

ABRIR CAPÍTULO 21

ANEXOS

(Tomo I)

T
1016
II

UNIVERSIDAD COMPLUTENSE
530995161X

T
1.016
II

ANEXO I

ANÁLISIS MESOESTRUCTURAL

FACULTAD DE CIENCIAS GEOLÓGICAS
BIBLIOTECA

R.11.010

ANEXO I

ANÁLISIS MESOESTRUCTURAL. ÍNDICE GENERAL.

- ANTEPAÍS BÉTICO:
  - ANÁLISIS POBLACIONAL DE FALLAS.
  - ANÁLISIS POBLACIONAL DE DIACLASAS.
  - ANÁLISIS DE ESTRUCTURAS DE PLEGAMIENTO.
  - CARACTERÍSTICAS PRINCIPALES DE LOS SISMOS CONSIDERADOS.
- ISLA DE FUERTEVENTURA:
  - ANÁLISIS POBLACIONAL DE FALLAS.
  - ANÁLISIS POBLACIONAL DE DIACLASAS.
- EJE NEOVOLCÁNICO DE MÉXICO:
  - ANÁLISIS POBLACIONAL DE FALLAS.



FACULTAD DE CIENCIAS GEOLOGICAS
BIBLIOTECA

ANEXO I

ANÁLISIS MESOESTRUCTURAL:

ANTEPAÍS BÉTICO

"ANÁLISIS POBLACIONAL DE FALLAS"

PORCENTAJES DE LOS DISTINTOS TIPOS DE FALLAS DEDUCIDOS PARA LAS POBLACIONES TOTALES

ESTACIÓN	ZONA	Nº	DESG.	DIR-NOR	NOR-DIR	NORM.	DIR-INV	INV-DIR	INV.
3203K82	Península	31	0%	6%	13%	10%	19%	45%	6%
3204K12	Península	23	4%	39%	17%	4%	26%	9%	0%
3204K16	Península	32	16%	53%	22%	0%	9%	0%	0%
3204K19	Península	26	27%	42%	19%	4%	4%	4%	0%
3205K17	Península	29	14%	45%	31%	0%	3%	7%	0%
3210K97	Península	41	10%	37%	20%	0%	17%	15%	2%
3211K57	Península	24	17%	25%	21%	0%	8%	17%	12%
3211K61	Península	26	4%	62%	12%	0%	19%	4%	0%
3211K65	Península	26	4%	50%	15%	0%	19%	12%	0%
322K290	Península	34	0%	88%	0%	0%	6%	6%	0%
322K305	Península	39	0%	62%	3%	3%	18%	13%	3%
4017K83	Península	47	26%	36%	23%	0%	6%	9%	0%
401K39	Península	39	8%	59%	26%	0%	8%	0%	0%
403K28	Península	41	5%	39%	22%	2%	20%	12%	0%
4106K63	Península	32	12%	56%	16%	9%	6%	0%	0%
4157K17	Península	34	0%	53%	12%	3%	26%	6%	0%
4157K6	Península	24	0%	17%	25%	0%	21%	38%	0%
415K164	Península	24	0%	17%	21%	0%	21%	42%	0%
415K170	Península	28	0%	0%	4%	4%	7%	36%	50%
415K184	Península	25	4%	4%	60%	16%	4%	8%	4%
415K188	Península	23	17%	26%	26%	0%	17%	13%	0%
415K211	Península	33	9%	27%	24%	3%	30%	6%	0%
415K225	Península	21	14%	5%	29%	0%	0%	38%	14%
415K230	Península	36	3%	28%	19%	0%	33%	17%	0%
415K236	Península	26	0%	42%	15%	0%	27%	15%	0%
415K244	Península	22	0%	9%	9%	0%	36%	23%	23%
415K250	Península	16	19%	31%	19%	0%	31%	0%	0%
420K130	Península	29	14%	62%	0%	3%	21%	0%	0%
420K138	Península	24	0%	42%	42%	0%	17%	0%	0%
430K438	Península	39	5%	46%	15%	0%	21%	13%	0%
430K469	Península	30	7%	53%	13%	0%	27%	0%	0%
430K482	Península	31	6%	65%	6%	0%	13%	10%	0%
744-01	Península	19	5%	32%	37%	0%	16%	11%	0%
784-04	Península	39	13%	13%	23%	13%	36%	3%	0%
785-04	Península	51	12%	45%	31%	4%	8%	0%	0%
810-01	Península	64	9%	52%	22%	0%	17%	0%	0%
834-01	Península	37	5%	27%	24%	11%	24%	8%	0%
836-01	Península	43	23%	42%	26%	2%	7%	0%	0%
836-02	Península	41	12%	54%	27%	2%	5%	0%	0%
836-03	Península	40	18%	42%	32%	2%	2%	0%	2%
858-01	Península	36	11%	42%	14%	17%	11%	6%	0%
860-01	Península	32	6%	31%	28%	3%	31%	0%	0%
879-01	Península	30	0%	27%	17%	10%	30%	17%	0%
880-01	Península	28	11%	36%	29%	4%	21%	0%	0%
880-02	Península	38	0%	18%	11%	11%	32%	29%	0%
884-01	Península	24	8%	17%	8%	33%	25%	8%	0%
884-02	Península	40	12%	62%	2%	5%	5%	10%	2%
904-01	Península	30	3%	27%	17%	17%	20%	17%	0%
904-02	Península	34	6%	62%	29%	0%	3%	0%	0%
905-01	Península	31	10%	52%	16%	3%	16%	3%	0%
905-02	Península	13	0%	62%	8%	0%	23%	8%	0%

Estación	Zona	X (U.T.M.)	Y (U.T.M.)	Z	Huso	Hoja	Nº	Edad	Litología
Malosai	Península	409800	4309600	655	30	784	12	Pleistoc. med.-sup.	Carbonatos y margas
Maximo	Península	474200	4317200	690	30	761	68	Jurásico	Carbonatos
Mencal	Península	561200	4275500	1000	30	841	22	Jurásico	Carbonatos
Mestac	Península	548500	4277000	1160	30	841	31	Jurásico	Carbonatos
Mestaj	Península	546900	4278750	1080	30	841	34	Jurásico	Carbonatos
Mirabel	Península	230300	4424100	448	30	622	29	Precámbrico	Cuarcitas y/o pizarras
Nava	Península	439200	4322800	643	30	760	6	Mioc. sup.-Pleist. inf.	Volcánico
Ngriego	Península	576850	4273000	1020	30	842	24	Jurásico	Carbonatos
NIVK208	Península	463600	4289800	685	30	812	38	Paleozoico	Cuarcitas y/o pizarras
NIVK232	Península	455313	4263920	800	30	838	37	Paleozoico	Pizarras
NIVK240	Península	454900	4250300	892	30	863	37	Paleozoico	Cuarcitas
NVN430	Península	230600	4320800	220	30	753	17	Plioceno	Arcillas
Ossa	Península	514800	4316400	890	30	788	24	Jurásico	Carbonatos
Pedrosa	Península	487400	4316100	760	30	787	40	Jurásico	Carbonatos
Penarro	Península	498400	4323200	737	30	762	37	Jurásico	Carbonatos
Penasco	Península	551500	4279250	1180	30	841	28	Jurásico	Carbonatos
Perdon	Península	525200	4369500	734	30	715	21	Jurásico	Carbonatos
Picazo	Península	527200	4255400	1100	30	865	41	Jurásico	Carbonatos
Picon	Península	411150	4322000	600	30	759	4	Paleozoico	Cuarcitas y/o pizarras
Plasenc	Península	233300	4432100	385	30	623	45	Precámbrico	Cuarcitas y/o pizarras
Portezu	Península	206300	4412100	503	30	650	32	Jurásico	Dique básico
Puebla	Península	361000	4328000	498	30	757	49	Paleozoico	Pizarras
Spedro	Península	515800	4309800	860	30	788	30	Paleozoico	Cuarcitas
Tranco	Península	517400	4226100	720	30	887	40	Jurásico	Carbonatos
Urda	Península	445400	4347600	940	30	737	19	Paleozoico	Carbonatos
Valdeaz	Península	337800	4288800	370	30	807	22	Paleozoico	Cuarcitas
Valenzu	Península	435200	4298200	720	30	811	39	Mioc. sup.-Pleist. inf.	Volcánico
Valverd	Península	407500	4325700	620	30	784	13	Mioc. sup.-Pleist. inf.	Volcánico
Valleh e	Península	486300	4302200	760	30	787	37	Paleozoico	Cuarcitas
Vianosc	Península	544500	4274250	1180	30	841	29	Jurásico	Carbonatos
Vianosj	Península	543900	4277750	1080	30	841	34	Jurásico	Carbonatos
Villama	Península	502200	4267300	872	30	839	32	Paleozoico	Cuarcitas
Wgriego	Península	575000	4273250	1080	30	842	41	Jurásico	Carbonatos
Yezosa	Península	441700	4299200	710	30	785	95	Mioc. sup.-Pleist. inf.	Volcánico

Estación	Zona	X (U.T.M.)	Y (U.T.M.)	Z	Huso	Hoja	Nº	Edad	Litología
904-01	Península	413400	4215400	383	30	904	30	Paleozoico	Cuarcitas y/o pizarras
904-02	Península	417900	4218600	359	30	904	34	Paleozoico	Cuarcitas y/o pizarras
905-01	Península	431300	4224600	441	30	905	31	Paleozoico	Cuarcitas y/o pizarras
905-02	Península	432100	4218200	382	30	905	13	Mioc. sup.	Margas y arcillas
905-03	Península	426700	4216100	253	30	905	42	Paleozoico	Cuarcitas y/o pizarras
907-02	Península	496900	4213900	428	30	907	15	Mioceno inferior	Margas y arcillas
928-01	Península	485700	4199300	469	30	928	18	Mioceno inferior	Margas y arcillas
928-02	Península	501800	4197900	866	30	928	31	Jurásico	Carbonatos
928-03	Península	504400	4200900	930	30	928	34	Jurásico	Carbonatos
928-04	Península	496800	4190700	833	30	928	28	Jurásico	Carbonatos
949-01	Península	496000	4183100	1041	30	949	42	Jurásico	Carbonatos
Alarcos	Península	412700	4312700	570	30	784	15	Paleozoico	Cuarcitas
Albala	Península	518700	4263700	699	30	840	35	Paleozoico	Cuarcitas y/o pizarras
Alcaraz	Península	544000	4279900	920	30	841	40	Paleozoico	Cuarcitas y/o pizarras
Alcazar	Península	484000	4359000	648	30	713	39	Paleozoico	Cuarcitas y/o pizarras
Alised	Península	175800	4371100	253	30	703	41	Jurásico	Dique básico
Alisep	Península	175800	4371100	253	30	703	8	Precámb.	Grauwackas
Almagrh	Península	441000	4301000	680	30	785	8	Paleozoico	Cuarcitas y/o pizarras
Almagrv	Península	439500	4306600	660	30	785	53	Mioc. sup.-Pleist. inf.	Volcánico
Arzolla	Península	414600	4313700	650	30	784	31	Mioc. sup.-Pleist. inf.	Volcánico
Arzone	Península	502100	4225800	830	30	886	35	Jurásico	Carbonatos
Arzose	Península	500900	4224000	754	30	907	31	Jurásico	Carbonatos
Ave	Península	423400	4345000	715	30	736	52	Paleozoico	Cuarcitas
Beas	Península	512600	4234300	700	30	886	39	Jurásico	Carbonatos
Bolano	Península	443200	4305100	680	30	785	77	Mioc. sup.-Pleist. inf.	Volcánico
Canadi	Península	209800	4416100	376	30	650	20	Jurásico	Dique básico
Canapr	Península	209800	4416100	376	30	650	8	Precámb.	Grauwackas
Carbon	Península	556100	4279750	1290	30	841	23	Jurásico	Carbonatos
Castibl	Península	318600	4351200	440	30	733	15	Cuaternario	Aluviales
Cijara	Península	326600	4361600	400	30	708	37	Paleozoico	Cuarcitas
Crbad	Península	341000	4330400	585	30	757	36	Paleozoico	Cuarcitas y/o pizarras
Criptan	Península	492200	4362200	741	30	714	48	Jurásico	Carbonatos
Curda	Península	438000	4362600	772	30	712	75	Paleozoico	Cuarcitas y/o pizarras
Donana	Península	519300	4234500	920	30	887	26	Jurásico	Carbonatos
Esteras	Península	344200	4308000	460	30	782	43	Paleozoico	Cuarcitas y/o pizarras
Garrovi	Península	200300	4400100	254	30	650	36	Jurásico	Dique básico
Garsola	Península	311400	4336000	361	30	733	44	Paleozoico	Cuarcitas
Granatu	Península	436400	4296000	740	30	811	40	Paleozoico	Cuarcitas
Grinalb	Península	219800	4420600	324	30	622	47	Jurásico	Dique básico
Haches	Península	572000	4272200	1100	30	842	26	Jurásico	Carbonatos
Herrera	Península	475600	4320100	700	30	761	37	Jurásico	Carbonatos
Jabalon	Península	432500	4291900	700	30	811	90	Mioc. sup.-Pleist. inf.	Volcánico
Lahoz	Península	548600	4282000	1050	30	815	41	Jurásico	Carbonatos
Llanos	Península	518000	4371900	716	30	715	18	Jurásico	Carbonatos
Madrid	Península	456000	4377560	790	30	687	43	Paleozoico	Cuarcitas y/o pizarras
Madrond	Península	189300	4388600	370	30	677	13	Jurásico	Dique básico
Madrong	Península	189300	4388600	370	30	677	49	Paleozoico	Granito
Majales	Península	402375	4331800	760	30	759	20	Paleozoico	Cuarcitas y/o pizarras
Malagon	Península	428100	4339800	640	30	737	30	Paleozoico	Cuarcitas y/o pizarras

DATOS BÁSICOS DE LAS ESTACIONES DE ANÁLISIS MESOESTRUCTURAL

Estación	Zona	X (U.T.M.)	Y (U.T.M.)	Z	Huso	Hoja	Nº	Edad	Litología
3203K82	Península	582800	4257150	700	30	867	31	Cretác.-Mioc. sup.	Carbonatos
3204K12	Península	546500	4256250	1060	30	866	23	Jurásico	Carbonatos
3204K16	Península	548400	4259000	1100	30	866	32	Jurásico	Carbonatos
3204K19	Península	550900	4259850	1000	30	866	26	Jurásico	Carbonatos
3205K17	Península	540400	4258500	900	30	865	29	Jurásico	Carbonatos
3210K97	Península	521250	4236500	1000	30	887	41	Jurásico	Carbonatos
3211K57	Península	580800	4269200	850	30	842	24	Jurásico	Carbonatos
3211K61	Península	579900	4267700	650	30	842	26	Jurásico	Carbonatos
3211K65	Península	577500	4267200	800	30	842	26	Jurásico	Carbonatos
322K290	Península	549000	4292500	981	30	815	34	Jurásico	Carbonatos
322K305	Península	561400	4296700	864	30	815	39	Jurásico	Carbonatos
4017K83	Península	368600	4358600	807	30	709	47	Paleozoico	Cuarcitas y/o pizarras
401K39	Península	381400	4391600	654	30	684	39	Paleozoico	Cuarcitas y/o pizarras
403K28	Península	395100	4371500	723	30	710	41	Paleozoico	Cuarcitas y/o pizarras
4106K63	Península	366500	4350400	598	30	734	32	Paleozoico	Cuarcitas y/o pizarras
4157K17	Península	364000	4381000	892	30	683	34	Paleozoico	Cuarcitas y/o pizarras
4157K6	Península	371000	4384400	993	30	684	24	Paleozoico	Cuarcitas y/o pizarras
415K164	Península	549000	4272000	1200	30	841	24	Jurásico	Carbonatos
415K170	Península	552550	4269900	1330	30	841	28	Jurásico	Carbonatos
415K184	Península	553700	4266650	1320	30	841	25	Jurásico	Carbonatos
415K188	Península	543000	4263500	1300	30	841	23	Jurásico	Carbonatos
415K211	Península	559600	4260900	940	30	866	33	Triás.-Jurás.	Areniscas y carbonatos
415K225	Península	571200	4259100	900	30	867	21	Mioceno superior	Carbonatos
415K230	Península	575100	4257400	860	30	867	36	Mioceno superior	Carbonatos
415K236	Península	581000	4256400	660	30	867	26	Cretácico	Carbonatos
415K244	Península	585100	4253300	520	30	867	22	Jurásico-Cretácico	Carbonatos
415K250	Península	587700	4250500	640	30	867	16	Jurásico	Carbonatos
420K130	Península	382000	4272700	704	30	835	29	Paleozoico	Cuarcitas y/o pizarras
420K138	Península	384400	4279100	777	30	835	24	Paleozoico	Cuarcitas y/o pizarras
430K438	Península	529300	4318300	979	30	763	39	Jurásico	Carbonatos
430K469	Península	555600	4319900	957	30	764	30	Jurásico	Carbonatos
430K482	Península	566200	4322300	809	30	764	31	Jurásico	Carbonatos
744-01	Península	642800	4352100	677	30	744	19	Mioceno superior	Carbonatos
784-04	Península	408850	4315250	590	30	784	39	Plioc. inf.	Carbonatos
785-04	Península	446700	4299700	730	30	785	52	Mioc. sup.-Pleist. inf.	Volcánico
810-01	Península	403500	4296900	750	30	810	64	Mioc. sup.-Pleist. inf.	Volcánico
834-01	Península	352100	4271200	643	30	834	37	Paleozoico	Cuarcitas y/o pizarras
836-01	Península	403000	4265500	667	30	836	43	Mioc. sup.-Pleist. inf.	Volcánico
836-02	Península	403500	4280200	665	30	836	41	Mioc. sup.-Pleist. inf.	Volcánico
836-03	Península	405900	4280500	650	30	836	40	Mioc. sup.-Pleist. inf.	Volcánico
858-01	Península	317800	4258200	551	30	858	36	Paleozoico	Volcánico
860-01	Península	385000	4246700	546	30	860	32	Paleozoico	Cuarcitas y/o pizarras
879-01	Península	291600	4242600	543	30	879	30	Paleozoico	Cuarcitas y/o pizarras
880-01	Península	316500	4233700	501	30	880	28	Paleozoico	Cuarcitas y/o pizarras
880-02	Península	327000	4236600	772	30	880	38	Paleozoico	Cuarcitas y/o pizarras
884-01	Península	447500	4230900	443	30	884	24	Paleozoico	Cuarcitas y/o pizarras
884-02	Península	449900	4241100	736	30	884	40	Paleozoico	Cuarcitas y/o pizarras

ESTACIÓN	ZONA	Nº	DESG.	DIR-NOR	NOR-DIR	NORM.	DIR-INV	INV-DIR	INV.
905-03	Peninsula	42	5%	45%	21%	5%	19%	5%	0%
907-02	Peninsula	15	0%	33%	13%	7%	33%	7%	7%
928-01	Peninsula	18	11%	50%	33%	0%	6%	0%	0%
928-02	Peninsula	31	0%	68%	13%	0%	3%	3%	13%
928-03	Peninsula	34	3%	32%	35%	3%	26%	0%	0%
928-04	Peninsula	28	18%	43%	11%	7%	14%	7%	0%
949-01	Peninsula	42	17%	57%	12%	0%	12%	2%	0%
ALARCOS	Peninsula	15	20%	47%	13%	0%	20%	0%	0%
ALBALA	Peninsula	35	3%	40%	26%	6%	17%	9%	0%
ALCARAZ	Peninsula	40	0%	22%	20%	15%	22%	20%	0%
ALCAZAR	Peninsula	39	3%	5%	28%	13%	41%	8%	3%
ALISED	Peninsula	41	5%	54%	15%	5%	22%	0%	0%
ALISEP	Peninsula	8	12%	12%	12%	25%	38%	0%	0%
ALMAGRH	Peninsula	6	0%	17%	17%	17%	33%	0%	17%
ALMAGRV	Peninsula	53	40%	17%	9%	15%	19%	0%	0%
ARZOLLAR	Peninsula	31	52%	26%	13%	3%	6%	0%	0%
ARZONE	Peninsula	35	6%	40%	17%	0%	14%	14%	9%
ARZOSE	Peninsula	31	10%	35%	16%	0%	10%	6%	23%
AVE	Peninsula	52	37%	50%	6%	0%	8%	0%	0%
BEAS	Peninsula	39	15%	41%	33%	0%	10%	0%	0%
BOLANO	Peninsula	77	27%	51%	5%	5%	9%	3%	0%
CANADI	Peninsula	20	10%	25%	10%	10%	20%	25%	0%
CANAPR	Peninsula	8	88%	12%	0%	0%	0%	0%	0%
CARBON	Peninsula	23	4%	17%	30%	9%	26%	9%	4%
CASTIBL	Peninsula	15	73%	27%	0%	0%	0%	0%	0%
CIJARA	Peninsula	47	36%	49%	6%	2%	6%	0%	0%
CRBAD	Peninsula	36	8%	31%	17%	3%	11%	17%	14%
CRIPTANA	Peninsula	48	46%	31%	4%	2%	15%	0%	2%
CURDA	Peninsula	75	41%	28%	1%	0%	29%	0%	0%
DONANA	Peninsula	26	4%	23%	23%	0%	19%	23%	8%
ESTERAS	Peninsula	43	12%	12%	14%	9%	35%	12%	7%
GARROVI	Peninsula	36	19%	17%	14%	8%	25%	11%	6%
GARSOLA	Peninsula	44	50%	36%	0%	7%	7%	0%	0%
GRANATU	Peninsula	40	15%	32%	0%	2%	42%	8%	0%
GRINALB	Peninsula	47	19%	23%	11%	6%	28%	9%	4%
HACHES	Peninsula	26	8%	58%	12%	0%	15%	8%	0%
HERRERA	Peninsula	37	0%	22%	14%	3%	24%	19%	19%
JABALON	Peninsula	90	11%	44%	21%	3%	14%	6%	0%
LAHOZ	Peninsula	41	17%	41%	24%	15%	2%	0%	0%
LLANOS	Peninsula	18	22%	39%	17%	0%	17%	6%	0%
MADRID	Peninsula	43	12%	51%	23%	2%	9%	2%	0%
MADROND	Peninsula	13	23%	23%	0%	8%	15%	31%	0%
MADRONG	Peninsula	49	22%	14%	20%	12%	14%	16%	0%
MAJALES	Peninsula	20	20%	5%	15%	20%	15%	10%	15%
MALAGON	Peninsula	20	60%	10%	0%	10%	20%	0%	0%
MALOSAI	Peninsula	12	17%	67%	0%	0%	17%	0%	0%
MAXIMO	Peninsula	68	21%	10%	10%	24%	15%	7%	13%
MENCAL	Peninsula	22	5%	23%	14%	0%	36%	23%	0%
MESTAC	Peninsula	31	0%	3%	26%	10%	3%	26%	32%
MESTAJ	Peninsula	34	15%	50%	18%	3%	9%	3%	3%
MIRABEL	Peninsula	29	24%	38%	7%	17%	14%	0%	0%
NAVA	Peninsula	6	17%	17%	17%	50%	0%	0%	0%
NGRIEGO	Peninsula	24	0%	21%	4%	0%	38%	25%	12%
NIVK208	Peninsula	38	29%	21%	29%	0%	21%	0%	0%

ESTACIÓN	ZONA	Nº	DESG.	DIR-NOR	NOR-DIR	NORM.	DIR-INV	INV-DIR	INV.
NIVK232	Peninsula	37	14%	41%	14%	3%	24%	5%	0%
NIVK240	Peninsula	37	16%	59%	19%	0%	5%	0%	0%
NVN430	Peninsula	17	6%	76%	12%	0%	6%	0%	0%
OSSA	Peninsula	24	8%	17%	8%	33%	21%	8%	4%
PEDROSA	Peninsula	40	55%	5%	0%	0%	18%	5%	18%
PENARROY	Peninsula	37	30%	27%	5%	16%	14%	8%	0%
PENASCO	Peninsula	28	7%	25%	18%	4%	7%	4%	36%
PERDON	Peninsula	21	10%	48%	24%	5%	14%	0%	0%
PICAZO	Peninsula	41	2%	39%	29%	0%	22%	0%	7%
PICON	Peninsula	4	0%	0%	50%	50%	0%	0%	0%
PLASENC	Peninsula	45	7%	20%	11%	9%	40%	11%	2%
PORTEZU	Peninsula	32	16%	34%	12%	6%	16%	16%	0%
PUEBLA	Peninsula	49	27%	33%	4%	16%	16%	4%	0%
SPEDRO	Peninsula	30	3%	0%	20%	3%	10%	30%	33%
TRANCO	Peninsula	40	2%	28%	12%	5%	25%	22%	5%
URDA	Peninsula	19	21%	11%	5%	5%	26%	32%	0%
VALDEAZ	Peninsula	22	18%	45%	9%	5%	14%	5%	5%
VALENZU	Peninsula	39	38%	33%	0%	5%	23%	0%	0%
VALLEHER	Peninsula	37	0%	27%	24%	5%	14%	27%	3%
VALVERDE	Peninsula	13	0%	0%	62%	0%	15%	23%	0%
VIANOSC	Peninsula	29	3%	17%	3%	0%	14%	10%	52%
VIANOSJ	Peninsula	34	15%	47%	24%	0%	15%	0%	0%
VILLAMA	Peninsula	32	3%	69%	19%	0%	9%	0%	0%
WGRIEGO	Peninsula	41	7%	46%	17%	0%	10%	15%	5%
YEZOSA	Peninsula	95	13%	21%	18%	14%	16%	12%	7%

PORCENTAJES DE LOS DISTINTOS TIPOS DE FALLAS DEDUCIDOS PARA LAS POBLACIONES PARCIALES

Estación	Pobl.	Zona	Nº	DESG.	DIR-NOR	NOR-DIR	NORM.	DIR-INV	INV-DIR	INV.
3203K82	A1	Peninsula	19	0%	5%	11%	16%	32%	32%	5%
3203K82	A2	Peninsula	19	0%	5%	11%	16%	32%	32%	5%
3203K82	B	Peninsula	12	0%	8%	17%	0%	0%	67%	8%
3204K12	A	Peninsula	3	0%	67%	0%	0%	0%	33%	0%
3204K12	B1	Peninsula	20	5%	35%	20%	5%	30%	5%	0%
3204K12	B2	Peninsula	20	5%	35%	20%	5%	30%	5%	0%
3204K16	A1	Peninsula	17	0%	65%	18%	0%	18%	0%	0%
3204K16	A2	Peninsula	17	0%	65%	18%	0%	18%	0%	0%
3204K16	B	Peninsula	15	33%	40%	27%	0%	0%	0%	0%
3204K19	A1	Peninsula	18	22%	56%	22%	0%	0%	0%	0%
3204K19	A2	Peninsula	18	22%	56%	22%	0%	0%	0%	0%
3204K19	B	Peninsula	8	38%	12%	12%	12%	12%	12%	0%
3205K17	A	Peninsula	9	11%	44%	44%	0%	0%	0%	0%
3205K17	B	Peninsula	20	15%	45%	25%	0%	5%	10%	0%
3210K97	A	Peninsula	27	11%	30%	19%	0%	26%	11%	4%
3210K97	B	Peninsula	14	7%	50%	21%	0%	0%	21%	0%
3211K57	A	Peninsula	15	7%	40%	20%	0%	13%	13%	7%
3211K57	B	Peninsula	9	33%	0%	22%	0%	0%	22%	22%
3211K61	A	Peninsula	15	7%	67%	7%	0%	13%	7%	0%
3211K61	B	Peninsula	11	0%	55%	18%	0%	27%	0%	0%
3211K65	A	Peninsula	9	0%	78%	11%	0%	0%	11%	0%
3211K65	B	Peninsula	17	6%	35%	18%	0%	29%	12%	0%
322K290	A	Peninsula	18	0%	83%	0%	0%	11%	6%	0%
322K290	B	Peninsula	16	0%	94%	0%	0%	0%	6%	0%
322K305	A	Peninsula	24	0%	58%	0%	0%	29%	8%	4%
322K305	B	Peninsula	15	0%	67%	7%	7%	0%	20%	0%
4017K83	A	Peninsula	21	33%	29%	19%	0%	5%	14%	0%
4017K83	B	Peninsula	26	19%	42%	27%	0%	8%	4%	0%
401K39	A	Peninsula	25	8%	68%	20%	0%	4%	0%	0%
401K39	B	Peninsula	14	7%	43%	36%	0%	14%	0%	0%
403K28	A	Peninsula	31	3%	32%	29%	3%	23%	10%	0%
403K28	B	Peninsula	10	10%	60%	0%	0%	10%	20%	0%
4106K63	U1	Peninsula	32	12%	56%	16%	9%	6%	0%	0%
4106K63	U2	Peninsula	32	12%	56%	16%	9%	6%	0%	0%
4106K63	U3	Peninsula	32	12%	56%	16%	9%	6%	0%	0%
4157K17	A1	Peninsula	22	0%	41%	9%	5%	36%	9%	0%
4157K17	A2	Peninsula	22	0%	41%	9%	5%	36%	9%	0%
4157K17	B	Peninsula	12	0%	75%	17%	0%	8%	0%	0%
4157K6	A	Peninsula	15	0%	27%	33%	0%	27%	13%	0%
4157K6	B	Peninsula	9	0%	0%	11%	0%	11%	78%	0%
415K164	A1	Peninsula	16	0%	25%	31%	0%	25%	19%	0%
415K164	A2	Peninsula	16	0%	25%	31%	0%	25%	19%	0%
415K164	B	Peninsula	8	0%	0%	0%	0%	12%	88%	0%
415K170	A	Peninsula	23	0%	0%	0%	0%	0%	39%	61%
415K170	B	Peninsula	5	0%	0%	20%	20%	40%	20%	0%
415K184	A	Peninsula	9	0%	0%	22%	44%	11%	22%	0%

Estación	Pobl.	Zona	Nº	DESG.	DIR-NOR	NOR-DIR	NORM.	DIR-INV	INV-DIR	INV.
415K184	B	Península	16	6%	6%	81%	0%	0%	0%	6%
415K188	A	Península	9	33%	22%	0%	0%	22%	22%	0%
415K188	B1	Península	14	7%	29%	43%	0%	14%	7%	0%
415K188	B2	Península	14	7%	29%	43%	0%	14%	7%	0%
415K211	A	Península	21	5%	33%	10%	0%	48%	5%	0%
415K211	B	Península	12	17%	17%	50%	8%	0%	8%	0%
415K225	A	Península	18	11%	0%	33%	0%	0%	39%	17%
415K225	B	Península	3	33%	33%	0%	0%	0%	33%	0%
415K230	A1	Península	22	5%	41%	5%	0%	32%	18%	0%
415K230	A2	Península	22	5%	41%	5%	0%	32%	18%	0%
415K230	B	Península	14	0%	7%	43%	0%	36%	14%	0%
415K236	A	Península	16	0%	44%	6%	0%	31%	19%	0%
415K236	B	Península	10	0%	40%	30%	0%	20%	10%	0%
415K244	A	Península	10	0%	0%	10%	0%	40%	30%	20%
415K244	B	Península	12	0%	17%	8%	0%	33%	17%	25%
415K250	A	Península	11	18%	18%	27%	0%	36%	0%	0%
415K250	B	Península	5	20%	60%	0%	0%	20%	0%	0%
420K130	A	Península	10	40%	40%	0%	0%	20%	0%	0%
420K130	B	Península	19	0%	74%	0%	5%	21%	0%	0%
420K138	A	Península	12	0%	17%	67%	0%	17%	0%	0%
420K138	B	Península	12	0%	67%	17%	0%	17%	0%	0%
430K438	A	Península	15	7%	40%	13%	0%	33%	7%	0%
430K438	B	Península	24	4%	50%	17%	0%	12%	17%	0%
430K469	A	Península	10	10%	70%	10%	0%	10%	0%	0%
430K469	B	Península	20	5%	45%	15%	0%	35%	0%	0%
430K482	A	Península	22	5%	59%	9%	0%	18%	9%	0%
430K482	B	Península	9	11%	78%	0%	0%	0%	11%	0%
744-01	A1	Península	13	8%	31%	23%	0%	23%	15%	0%
744-01	A2	Península	13	8%	31%	23%	0%	23%	15%	0%
744-01	B	Península	6	0%	33%	67%	0%	0%	0%	0%
784-04	A	Península	15	7%	13%	7%	13%	53%	7%	0%
784-04	B1	Península	24	17%	12%	33%	12%	25%	0%	0%
784-04	B2	Península	24	17%	12%	33%	12%	25%	0%	0%
785-04	A	Península	8	12%	38%	50%	0%	0%	0%	0%
785-04	B1	Península	43	12%	47%	28%	5%	9%	0%	0%
785-04	B2	Península	43	12%	47%	28%	5%	9%	0%	0%
810-01	A1	Península	31	6%	42%	29%	0%	23%	0%	0%
810-01	A2	Península	31	6%	42%	29%	0%	23%	0%	0%
810-01	B1	Península	33	12%	61%	15%	0%	12%	0%	0%
810-01	B2	Península	33	12%	61%	15%	0%	12%	0%	0%
834-01	A	Península	18	0%	39%	22%	0%	28%	11%	0%
834-01	B	Península	19	11%	16%	26%	21%	21%	5%	0%
836-01	A	Península	34	21%	44%	24%	3%	9%	0%	0%
836-01	B	Península	9	33%	33%	33%	0%	0%	0%	0%
836-02	A	Península	19	16%	53%	16%	5%	11%	0%	0%
836-02	B1	Península	22	9%	55%	36%	0%	0%	0%	0%
836-02	B2	Península	22	9%	55%	36%	0%	0%	0%	0%
836-03	A	Península	30	20%	43%	30%	3%	3%	0%	0%
836-03	B	Península	10	10%	40%	40%	0%	0%	0%	10%

Estación	Pobl.	Zona	Nº	DESG.	DIR-NOR	NOR-DIR	NORM.	DIR-INV	INV-DIR	INV.
858-01	A	Peninsula	6	0%	50%	33%	0%	17%	0%	0%
858-01	B	Peninsula	30	13%	40%	10%	20%	10%	7%	0%
860-01	A	Peninsula	22	9%	18%	32%	5%	36%	0%	0%
860-01	B	Peninsula	10	0%	60%	20%	0%	20%	0%	0%
879-01	A	Peninsula	21	0%	33%	19%	0%	29%	19%	0%
879-01	B	Peninsula	9	0%	11%	11%	33%	33%	11%	0%
880-01	A1	Peninsula	24	12%	38%	25%	4%	21%	0%	0%
880-01	A2	Peninsula	24	12%	38%	25%	4%	21%	0%	0%
880-01	B	Peninsula	4	0%	25%	50%	0%	25%	0%	0%
880-02	A	Peninsula	16	0%	6%	19%	12%	31%	31%	0%
880-02	B1	Peninsula	22	0%	27%	5%	9%	32%	27%	0%
880-02	B2	Peninsula	22	0%	27%	5%	9%	32%	27%	0%
884-01	U	Peninsula	24	8%	17%	8%	33%	25%	8%	0%
884-02	A1	Peninsula	12	8%	58%	0%	8%	17%	8%	0%
884-02	A2	Peninsula	12	8%	58%	0%	8%	17%	8%	0%
884-02	B*	Peninsula	28	14%	64%	4%	4%	0%	11%	4%
884-02	B1	Peninsula	28	14%	64%	4%	4%	0%	11%	4%
884-02	B2	Peninsula	28	14%	64%	4%	4%	0%	11%	4%
904-01	A	Peninsula	11	0%	27%	18%	27%	18%	9%	0%
904-01	B1	Peninsula	19	5%	26%	16%	11%	21%	21%	0%
904-01	B2	Peninsula	19	5%	26%	16%	11%	21%	21%	0%
904-02	A	Peninsula	5	0%	60%	40%	0%	0%	0%	0%
904-02	B1	Peninsula	29	7%	62%	28%	0%	3%	0%	0%
904-02	B2	Peninsula	29	7%	62%	28%	0%	3%	0%	0%
905-01	A	Peninsula	5	0%	80%	0%	0%	20%	0%	0%
905-01	B	Peninsula	26	12%	46%	19%	4%	15%	4%	0%
905-02	A	Peninsula	4	0%	75%	0%	0%	25%	0%	0%
905-02	B	Peninsula	9	0%	56%	11%	0%	22%	11%	0%
905-03	A1	Peninsula	32	3%	41%	22%	3%	25%	6%	0%
905-03	A2	Peninsula	32	3%	41%	22%	3%	25%	6%	0%
905-03	B	Peninsula	10	10%	60%	20%	10%	0%	0%	0%
907-02	A	Peninsula	11	0%	18%	18%	0%	45%	9%	9%
907-02	B	Peninsula	4	0%	75%	0%	25%	0%	0%	0%
928-01	U1	Peninsula	18	11%	50%	33%	0%	6%	0%	0%
928-01	U2	Peninsula	18	11%	50%	33%	0%	6%	0%	0%
928-02	U1	Peninsula	31	0%	68%	13%	0%	3%	3%	13%
928-02	U2	Peninsula	31	0%	68%	13%	0%	3%	3%	13%
928-03	A	Peninsula	17	0%	41%	35%	0%	24%	0%	0%
928-03	B	Peninsula	17	6%	24%	35%	6%	29%	0%	0%
928-04	A1	Peninsula	22	23%	45%	9%	0%	18%	5%	0%
928-04	A2	Peninsula	22	23%	45%	9%	0%	18%	5%	0%
928-04	B	Peninsula	6	0%	33%	17%	33%	0%	17%	0%
949-01	A	Peninsula	18	33%	44%	0%	0%	17%	6%	0%
949-01	B	Peninsula	24	4%	67%	21%	0%	8%	0%	0%
Alarcos	A	Peninsula	10	20%	70%	0%	0%	10%	0%	0%
Alarcos	B	Peninsula	5	20%	0%	40%	0%	40%	0%	0%
Albala	A	Peninsula	27	4%	52%	22%	7%	7%	7%	0%
Albala	B	Peninsula	8	0%	0%	38%	0%	50%	12%	0%
Alcaraz	A	Peninsula	13	0%	15%	54%	0%	23%	8%	0%

Estación	Pobl.	Zona	Nº	DESG.	DIR-NOR	NOR-DIR	NORM.	DIR-INV	INV-DIR	INV.
Alcaraz	B1	Península	27	0%	26%	4%	22%	22%	26%	0%
Alcaraz	B2	Península	27	0%	26%	4%	22%	22%	26%	0%
Alcazar	U1	Península	39	3%	5%	28%	13%	41%	8%	3%
Alcazar	U2	Península	39	3%	5%	28%	13%	41%	8%	3%
Alised	A1	Península	24	8%	29%	21%	8%	33%	0%	0%
Alised	A2	Península	24	8%	29%	21%	8%	33%	0%	0%
Alised	B	Península	17	0%	88%	6%	0%	6%	0%	0%
Alisep	U	Península	8	12%	12%	12%	25%	38%	0%	0%
Almagrh	A	Península	2	0%	0%	0%	50%	50%	0%	0%
Almagrh	B	Península	4	0%	25%	25%	0%	25%	0%	25%
Almagrv	A	Península	32	44%	16%	6%	9%	25%	0%	0%
Almagrv	B1	Península	21	33%	19%	14%	24%	10%	0%	0%
Almagrv	B2	Península	21	33%	19%	14%	24%	10%	0%	0%
Arzolla	A	Península	20	65%	10%	10%	5%	10%	0%	0%
Arzolla	B	Península	11	27%	55%	18%	0%	0%	0%	0%
Arzone	A	Península	23	4%	48%	9%	0%	13%	13%	13%
Arzone	B	Península	12	8%	25%	33%	0%	17%	17%	0%
Arzose	A1	Península	25	8%	40%	16%	0%	8%	0%	28%
Arzose	A2	Península	25	8%	40%	16%	0%	8%	0%	28%
Arzose	B	Península	6	17%	17%	17%	0%	17%	33%	0%
Ave	A	Península	13	54%	38%	0%	0%	8%	0%	0%
Ave	B1	Península	39	31%	54%	8%	0%	8%	0%	0%
Ave	B2	Península	39	31%	54%	8%	0%	8%	0%	0%
Beas	A1	Península	30	17%	50%	20%	0%	13%	0%	0%
Beas	A2	Península	30	17%	50%	20%	0%	13%	0%	0%
Beas	B	Península	9	11%	11%	78%	0%	0%	0%	0%
Bolano	A1	Península	29	24%	52%	7%	7%	3%	7%	0%
Bolano	A2	Península	29	24%	52%	7%	7%	3%	7%	0%
Bolano	B1	Península	48	29%	50%	4%	4%	12%	0%	0%
Bolano	B2	Península	48	29%	50%	4%	4%	12%	0%	0%
Bolano	B3	Península	48	29%	50%	4%	4%	12%	0%	0%
Bolano	B4	Península	48	29%	50%	4%	4%	12%	0%	0%
Canadi	A	Península	9	11%	22%	11%	11%	11%	33%	0%
Canadi	B1	Península	11	9%	27%	9%	9%	27%	18%	0%
Canadi	B2	Península	11	9%	27%	9%	9%	27%	18%	0%
Canapr	U	Península	8	88%	12%	0%	0%	0%	0%	0%
Carbon	A	Península	13	8%	23%	31%	15%	23%	0%	0%
Carbon	B	Península	10	0%	10%	30%	0%	30%	20%	10%
Castibl	A	Península	8	75%	25%	0%	0%	0%	0%	0%
Castibl	B	Península	7	71%	29%	0%	0%	0%	0%	0%
Cijara	A1	Península	32	44%	41%	6%	3%	6%	0%	0%
Cijara	A2	Península	32	44%	41%	6%	3%	6%	0%	0%
Cijara	B	Península	15	20%	67%	7%	0%	7%	0%	0%
Crbad	A1	Península	23	4%	30%	17%	4%	17%	22%	4%
Crbad	A2	Península	23	4%	30%	17%	4%	17%	22%	4%
Crbad	B	Península	13	15%	31%	15%	0%	0%	8%	31%
Criptan	A	Península	12	67%	25%	0%	8%	0%	0%	0%
Criptan	B	Península	36	39%	33%	6%	0%	19%	0%	3%
Curda	A	Península	54	41%	28%	2%	0%	30%	0%	0%

Estación	Pobl.	Zona	Nº	DESG.	DIR-NOR	NOR-DIR	NORM.	DIR-INV	INV-DIR	INV.
Curda	B	Peninsula	21	43%	29%	0%	0%	29%	0%	0%
Donana	A	Peninsula	9	0%	11%	22%	0%	22%	22%	22%
Donana	B	Peninsula	17	6%	29%	24%	0%	18%	24%	0%
Esteras	A	Peninsula	35	9%	11%	11%	11%	43%	14%	0%
Esteras	B	Peninsula	8	25%	12%	25%	0%	0%	0%	38%
Garrovi	A	Peninsula	28	25%	21%	14%	7%	14%	11%	7%
Garrovi	B	Peninsula	8	0%	0%	12%	12%	62%	12%	0%
Garsola	A	Peninsula	26	62%	27%	0%	0%	12%	0%	0%
Garsola	B	Peninsula	18	33%	50%	0%	17%	0%	0%	0%
Granatu	A1	Peninsula	20	20%	55%	0%	5%	15%	5%	0%
Granatu	A2	Peninsula	20	20%	55%	0%	5%	15%	5%	0%
Granatu	B1	Peninsula	20	10%	10%	0%	0%	70%	10%	0%
Granatu	B2	Peninsula	20	10%	10%	0%	0%	70%	10%	0%
Grinalb	A	Peninsula	25	24%	20%	4%	4%	44%	0%	4%
Grinalb	B	Peninsula	22	14%	27%	18%	9%	9%	18%	5%
Haches	A	Peninsula	11	9%	73%	0%	0%	9%	9%	0%
Haches	B	Peninsula	15	7%	47%	20%	0%	20%	7%	0%
Herrera	A	Peninsula	15	0%	40%	27%	7%	0%	0%	27%
Herrera	B1	Peninsula	22	0%	9%	5%	0%	41%	32%	14%
Herrera	B2	Peninsula	22	0%	9%	5%	0%	41%	32%	14%
Jabalon	A1	Peninsula	71	13%	49%	15%	1%	15%	6%	0%
Jabalon	A2	Peninsula	71	13%	49%	15%	1%	15%	6%	0%
Jabalon	A3	Peninsula	71	13%	49%	15%	1%	15%	6%	0%
Jabalon	A4	Peninsula	71	13%	49%	15%	1%	15%	6%	0%
Jabalon	B1	Peninsula	19	5%	26%	42%	11%	11%	5%	0%
Jabalon	B2	Peninsula	19	5%	26%	42%	11%	11%	5%	0%
Lahoz	A	Peninsula	14	29%	29%	14%	29%	0%	0%	0%
Lahoz	B	Peninsula	27	11%	48%	30%	7%	4%	0%	0%
Llanos	A	Peninsula	10	30%	30%	20%	0%	20%	0%	0%
Llanos	B	Peninsula	8	12%	50%	12%	0%	12%	12%	0%
Madrid	A1	Peninsula	30	10%	50%	20%	3%	13%	3%	0%
Madrid	A2	Peninsula	30	10%	50%	20%	3%	13%	3%	0%
Madrid	B	Peninsula	13	15%	54%	31%	0%	0%	0%	0%
Madrond	A	Peninsula	8	12%	25%	0%	12%	12%	38%	0%
Madrond	B	Peninsula	5	40%	20%	0%	0%	20%	20%	0%
Madrong	A1	Peninsula	38	24%	18%	24%	8%	16%	11%	0%
Madrong	A2	Peninsula	38	24%	18%	24%	8%	16%	11%	0%
Madrong	B	Peninsula	11	18%	0%	9%	27%	9%	36%	0%
Majales	A	Peninsula	11	27%	9%	9%	0%	18%	18%	18%
Majales	B	Peninsula	9	11%	0%	22%	44%	11%	0%	11%
Malagon	A	Peninsula	10	60%	10%	0%	0%	30%	0%	0%
Malagon	B1	Peninsula	10	60%	10%	0%	20%	10%	0%	0%
Malagon	B2	Peninsula	10	60%	10%	0%	20%	10%	0%	0%
Malosai	A	Peninsula	3	33%	67%	0%	0%	0%	0%	0%
Malosai	B	Peninsula	9	11%	67%	0%	0%	22%	0%	0%
Maximo	A1	Peninsula	44	30%	16%	7%	25%	14%	5%	5%
Maximo	A2	Peninsula	44	30%	16%	7%	25%	14%	5%	5%
Maximo	B1	Peninsula	24	4%	0%	17%	21%	17%	12%	29%
Maximo	B2	Peninsula	24	4%	0%	17%	21%	17%	12%	29%

Estación	Pobl.	Zona	Nº	DESG.	DIR-NOR	NOR-DIR	NORM.	DIR-INV	INV-DIR	INV.
Mencal	A	Península	8	0%	12%	0%	0%	38%	50%	0%
Mencal	B	Península	14	7%	29%	21%	0%	36%	7%	0%
Mestac	A	Península	16	0%	6%	6%	0%	6%	44%	38%
Mestac	B	Península	15	0%	0%	47%	20%	0%	7%	27%
Mestaj	A	Península	8	25%	50%	0%	0%	25%	0%	0%
Mestaj	B	Península	26	12%	50%	23%	4%	4%	4%	4%
Mirabel	A	Península	25	28%	28%	8%	20%	16%	0%	0%
Mirabel	B	Península	4	0%	100%	0%	0%	0%	0%	0%
Nava	U	Península	6	17%	17%	17%	50%	0%	0%	0%
Ngriego	A	Península	8	0%	25%	0%	0%	50%	25%	0%
Ngriego	B	Península	16	0%	19%	6%	0%	31%	25%	19%
NIVk208	A1	Península	28	32%	11%	32%	0%	25%	0%	0%
NIVk208	A2	Península	28	32%	11%	32%	0%	25%	0%	0%
NIVk208	B	Península	10	20%	50%	20%	0%	10%	0%	0%
NIVk232	A1	Península	19	16%	37%	16%	5%	21%	5%	0%
NIVk232	A2	Península	19	16%	37%	16%	5%	21%	5%	0%
NIVk232	B	Península	18	11%	44%	11%	0%	28%	6%	0%
NIVk240	A	Península	19	21%	63%	5%	0%	11%	0%	0%
NIVk240	B	Península	18	11%	56%	33%	0%	0%	0%	0%
NVN430	A	Península	10	0%	90%	10%	0%	0%	0%	0%
NVN430	B	Península	7	14%	57%	14%	0%	14%	0%	0%
Ossa	A	Península	2	0%	0%	0%	0%	0%	50%	50%
Ossa	B1	Península	22	9%	18%	9%	36%	23%	5%	0%
Ossa	B2	Península	22	9%	18%	9%	36%	23%	5%	0%
Pedrosa	A1	Península	27	52%	4%	0%	0%	22%	4%	19%
Pedrosa	A2	Península	27	52%	4%	0%	0%	22%	4%	19%
Pedrosa	B	Península	13	62%	8%	0%	0%	8%	8%	15%
Penarro	A	Península	4	75%	25%	0%	0%	0%	0%	0%
Penarro	B1	Península	33	24%	27%	6%	18%	15%	9%	0%
Penarro	B2	Península	33	24%	27%	6%	18%	15%	9%	0%
Penasco	A1	Península	17	12%	24%	12%	6%	12%	0%	35%
Penasco	A2	Península	17	12%	24%	12%	6%	12%	0%	35%
Penasco	B	Península	11	0%	27%	27%	0%	0%	9%	36%
Perdon	A	Península	15	13%	60%	7%	7%	13%	0%	0%
Perdon	B	Península	6	0%	17%	67%	0%	17%	0%	0%
Picazo	A	Península	21	0%	43%	19%	0%	29%	0%	10%
Picazo	B	Península	20	5%	35%	40%	0%	15%	0%	5%
Picon	U	Península	4	2%	39%	29%	0%	22%	0%	7%
Plasenc	A	Península	29	3%	14%	14%	14%	45%	10%	0%
Plasenc	B	Península	16	12%	31%	6%	0%	31%	12%	6%
Portezu	A	Península	18	6%	56%	6%	0%	11%	22%	0%
Portezu	B1	Península	14	29%	7%	21%	14%	21%	7%	0%
Portezu	B2	Península	14	29%	7%	21%	14%	21%	7%	0%
Puebla	A	Península	15	40%	60%	0%	0%	0%	0%	0%
Puebla	B	Península	34	21%	21%	6%	24%	24%	6%	0%
Spedro	A	Península	8	12%	0%	38%	12%	25%	0%	12%
Spedro	B	Península	22	0%	0%	14%	0%	5%	41%	41%
Tranco	A	Península	23	0%	13%	22%	9%	22%	26%	9%
Tranco	B1	Península	17	6%	47%	0%	0%	29%	18%	0%

Estación	Pobl.	Zona	Nº	DESG.	DIR-NOR	NOR-DIR	NORM.	DIR-INV	INV-DIR	INV.
Tranco	B2	Peninsula	17	6%	47%	0%	0%	29%	18%	0%
Urda	A	Peninsula	4	25%	25%	25%	25%	0%	0%	0%
Urda	B1	Peninsula	15	20%	7%	0%	0%	33%	40%	0%
Urda	B2	Peninsula	15	20%	7%	0%	0%	33%	40%	0%
Valdeaz	A	Peninsula	11	36%	9%	0%	9%	27%	9%	9%
Valdeaz	B1	Peninsula	11	0%	82%	18%	0%	0%	0%	0%
Valdeaz	B2	Peninsula	11	0%	82%	18%	0%	0%	0%	0%
Valenzu	A	Peninsula	15	47%	33%	0%	0%	20%	0%	0%
Valenzu	B	Peninsula	24	33%	33%	0%	8%	25%	0%	0%
Vallehe	A1	Peninsula	13	0%	0%	31%	0%	8%	54%	8%
Vallehe	A2	Peninsula	13	0%	0%	31%	0%	8%	54%	8%
Vallehe	B	Peninsula	24	0%	42%	21%	8%	17%	12%	0%
Valverd	A	Peninsula	8	0%	0%	62%	0%	25%	12%	0%
Valverd	B	Peninsula	5	0%	0%	60%	0%	0%	40%	0%
Vianosc	A	Peninsula	13	8%	8%	0%	0%	0%	8%	77%
Vianosc	B	Peninsula	16	0%	25%	6%	0%	25%	12%	31%
Vianosj	A1	Peninsula	21	14%	57%	5%	0%	24%	0%	0%
Vianosj	A2	Peninsula	21	14%	57%	5%	0%	24%	0%	0%
Vianosj	B	Peninsula	13	15%	31%	54%	0%	0%	0%	0%
Villama	A	Peninsula	26	4%	65%	19%	0%	12%	0%	0%
Villama	B	Peninsula	6	0%	83%	17%	0%	0%	0%	0%
Wgriego	A1	Peninsula	32	6%	50%	16%	0%	6%	16%	6%
Wgriego	A2	Peninsula	32	6%	50%	16%	0%	6%	16%	6%
Wgriego	B	Peninsula	9	11%	33%	22%	0%	22%	11%	0%
Yezosa	A	Peninsula	35	11%	20%	17%	11%	14%	20%	6%
Yezosa	B1	Peninsula	60	13%	22%	18%	15%	17%	7%	8%
Yezosa	B2	Peninsula	60	13%	22%	18%	15%	17%	7%	8%

RESULTADOS DE LA APLICACIÓN DEL MODELO DE DESLIZAMIENTO A LAS SUBDIVISIONES PARCIALES

Estación	Población	Zona	N° de planos	Ey	Buzamiento	Cabeceo	Parámetro K'
3203K82	A1	Península	19	124° ± 7°	48° ± 14°	36° ± 24°	0,551
3203K82	A2	Península	19	124° ± 7°	48° ± 14°	36° ± 24°	0,551
3203K82	B	Península	12	41° ± 7°	46° ± 22°	41° ± 15°	0,426
3204K12	A	Península	3	23° ± 1°	62° ± 11°	29° ± 5°	1,455
3204K12	B1	Península	20	129° ± 10°	75° ± 10°	34° ± 18°	1,819
3204K12	B2	Península	20	129° ± 10°	75° ± 10°	34° ± 18°	1,819
3204K16	A1	Península	17	134° ± 9°	81° ± 8°	29° ± 12°	2,825
3204K16	A2	Península	17	134° ± 9°	81° ± 8°	29° ± 12°	2,825
3204K16	B	Península	15	23° ± 6°	82° ± 5°	30° ± 20°	2,827
3204K19	A1	Península	18	33° ± 6°	82° ± 6°	28° ± 16°	3,218
3204K19	A2	Península	18	33° ± 6°	82° ± 6°	28° ± 16°	3,218
3204K19	B	Península	8	135° ± 10°	70° ± 15°	31° ± 21°	1,827
3205K17	A	Península	9	114° ± 7°	79° ± 5°	35° ± 15°	1,844
3205K17	B	Península	20	20° ± 8°	76° ± 15°	34° ± 15°	1,78
3210K97	A	Península	27	103° ± 8°	65° ± 12°	30° ± 17°	1,588
3210K97	B	Península	14	14° ± 11°	71° ± 16°	30° ± 16°	1,996
3211K57	A	Península	15	116° ± 8°	68° ± 18°	32° ± 18°	1,573
3211K57	B	Península	9	25° ± 12°	62° ± 17°	41° ± 27°	0,796
3211K61	A	Península	15	131° ± 16°	71° ± 8°	32° ± 9°	1,805
3211K61	B	Península	11	14° ± 8°	78° ± 8°	29° ± 11°	2,679
3211K65	A	Península	9	101° ± 13°	77° ± 10°	31° ± 11°	2,278
3211K65	B	Península	17	26° ± 9°	64° ± 12°	31° ± 15°	1,497
322K290	A	Península	18	114° ± 12°	73° ± 8°	24° ± 6°	3,28
322K290	B	Península	16	36° ± 7°	77° ± 11°	29° ± 9°	2,572
322K305	A	Península	24	112° ± 6°	69° ± 12°	29° ± 12°	2,031
322K305	B	Península	15	31° ± 6°	66° ± 17°	32° ± 16°	1,475
4017K83	A	Península	21	106° ± 13°	73° ± 11°	27° ± 17°	2,659
4017K83	B	Península	26	28° ± 8°	76° ± 11°	31° ± 15°	2,246
401K39	A	Península	25	129° ± 10°	82° ± 6°	32° ± 12°	2,324
401K39	B	Península	14	34° ± 11°	76° ± 10°	31° ± 15°	2,266
403K28	A	Península	31	131° ± 11°	65° ± 12°	35° ± 17°	1,255
403K28	B	Península	10	32° ± 9°	68° ± 11°	26° ± 8°	2,318
4106K63	U1	Península	32	113° ± 10°	83° ± 7°	35° ± 20°	1,956
4106K63	U2	Península	32	113° ± 10°	83° ± 7°	35° ± 20°	1,956
4106K63	U3	Península	32	113° ± 10°	83° ± 7°	35° ± 20°	1,956
4157K17	A1	Península	22	118° ± 10°	67° ± 8°	30° ± 17°	1,719
4157K17	A2	Península	22	118° ± 10°	67° ± 8°	30° ± 17°	1,719
4157K17	B	Península	12	32° ± 11°	76° ± 10°	30° ± 16°	2,35
4157K6	A	Península	15	122° ± 12°	65° ± 13°	35° ± 15°	1,213
4157K6	B	Península	9	24° ± 7°	41° ± 11°	25° ± 9°	0,533
415K164	A1	Península	16	123° ± 12°	64° ± 13°	36° ± 15°	1,146
415K164	A2	Península	16	123° ± 12°	64° ± 13°	36° ± 15°	1,146
415K164	B	Península	8	22° ± 7°	39° ± 10°	23° ± 5°	0,506
415K170	A	Península	23	127° ± 4°	42° ± 6°	63° ± 12°	0,107
415K170	B	Península	5	51° ± 6°	51° ± 10°	30° ± 31°	0,852
415K184	A	Península	9	121° ± 11°	49° ± 5°	54° ± 21°	0,241
415K184	B	Península	16	33° ± 10°	78° ± 9°	53° ± 12°	0,538
415K188	A	Península	9	138° ± 12°	73° ± 11°	21° ± 14°	4,142
415K188	B1	Península	14	30° ± 10°	71° ± 9°	35° ± 18°	1,448

Estación	Población	Zona	Nº de planos	Ev	Buzamiento	Cabeceo	Parámetro K'
415K188	B2	Península	14	30° ± 10°	71° ± 9°	35° ± 18°	1,448
415K211	A	Península	21	130° ± 11°	69° ± 7°	25° ± 11°	2,534
415K211	B	Península	12	18° ± 9°	71° ± 17°	46° ± 21°	0,76
415K225	A	Península	18	143° ± 9°	50° ± 15°	43° ± 22°	0,445
415K225	B	Península	3	58° ± 8°	66° ± 21°	17° ± 9°	3,272
415K230	A1	Península	22	126° ± 13°	66° ± 11°	25° ± 13°	2,139
415K230	A2	Península	22	126° ± 13°	66° ± 11°	25° ± 13°	2,139
415K230	B	Península	14	21° ± 9°	59° ± 7°	38° ± 15°	0,842
415K236	A	Península	16	126° ± 10°	64° ± 11°	26° ± 10°	1,955
415K236	B	Península	10	31° ± 9°	68° ± 9°	34° ± 12°	1,486
415K244	A	Península	10	119° ± 11°	42° ± 18°	32° ± 11°	0,485
415K244	B	Península	12	17° ± 8°	51° ± 15°	39° ± 22°	0,57
415K250	A	Península	11	112° ± 11°	72° ± 5°	26° ± 16°	2,739
415K250	B	Península	5	17° ± 9°	71° ± 5°	23° ± 10°	3,093
420K130	A	Península	10	118° ± 7°	75° ± 7°	17° ± 10°	5,964
420K130	B	Península	19	23° ± 9°	78° ± 8°	28° ± 13°	2,969
420K138	A	Península	12	129° ± 13°	78° ± 8°	39° ± 15°	1,342
420K138	B	Península	12	34° ± 6°	78° ± 7°	29° ± 13°	2,763
430K438	A	Península	15	130° ± 10°	68° ± 9°	33° ± 12°	1,54
430K438	B	Península	24	49° ± 8°	72° ± 16°	33° ± 12°	1,919
430K469	A	Península	10	31° ± 8°	79° ± 8°	30° ± 11°	2,644
430K469	B	Península	20	120° ± 13°	74° ± 6°	28° ± 14°	2,624
430K482	A	Península	22	117° ± 8°	71° ± 12°	26° ± 10°	2,577
430K482	B	Península	9	46° ± 5°	72° ± 9°	24° ± 10°	3,053
744-01	A1	Península	13	134° ± 6°	68° ± 11°	33° ± 13°	1,552
744-01	A2	Península	13	134° ± 6°	68° ± 11°	33° ± 13°	1,552
744-01	B	Península	6	60° ± 13°	81° ± 5°	50° ± 14°	0,669
784-04	A	Península	15	152° ± 7°	68° ± 7°	30° ± 24°	1,807
784-04	B1	Península	24	41° ± 12°	69° ± 10°	36° ± 24°	1,333
784-04	B2	Península	24	41° ± 12°	69° ± 10°	36° ± 24°	1,333
785-04	A	Península	8	142° ± 5°	81° ± 4°	34° ± 18°	2,067
785-04	B1	Península	43	34° ± 10°	81° ± 6°	35° ± 19°	1,864
785-04	B2	Península	43	34° ± 10°	81° ± 6°	35° ± 19°	1,864
810-01	A1	Península	31	120° ± 9°	75° ± 9°	31° ± 16°	2,186
810-01	A2	Península	31	120° ± 9°	75° ± 9°	31° ± 16°	2,186
810-01	B1	Península	33	48° ± 12°	81° ± 6°	29° ± 13°	2,954
810-01	B2	Península	33	48° ± 12°	81° ± 6°	29° ± 13°	2,954
834-01	A	Península	18	125° ± 10°	67° ± 10°	28° ± 17°	1,925
834-01	B	Península	19	48° ± 11°	67° ± 13°	43° ± 25°	0,854
836-01	A	Península	34	125° ± 11°	80° ± 6°	30° ± 18°	2,607
836-01	B	Península	9	30° ± 10°	81° ± 6°	26° ± 18°	3,6
836-02	A	Península	19	124° ± 10°	77° ± 6°	30° ± 20°	2,412
836-02	B1	Península	22	28° ± 9°	81° ± 5°	37° ± 13°	1,665
836-02	B2	Península	22	28° ± 9°	81° ± 5°	37° ± 13°	1,665
836-03	A	Península	30	119° ± 8°	80° ± 7°	35° ± 21°	1,888
836-03	B	Península	10	27° ± 7°	71° ± 20°	36° ± 17°	1,441
858-01	A	Península	6	40° ± 1°	70° ± 7°	33° ± 9°	1,691
858-01	B	Península	30	110° ± 11°	77° ± 9°	39° ± 27°	1,316
860-01	A	Península	22	117° ± 8°	71° ± 4°	30° ± 24°	1,999
860-01	B	Península	10	31° ± 5°	80° ± 8°	30° ± 15°	2,741
879-01	A	Península	21	121° ± 7°	65° ± 8°	32° ± 10°	1,391
879-01	B	Península	9	5° ± 10°	57° ± 8°	42° ± 28°	0,641

Estación	Población	Zona	Nº de planos	Ey	Buzamiento	Cabeceo	Parámetro K'
880-01	A1	Península	24	125° ± 7°	76° ± 9°	31° ± 19°	2,25
880-01	A2	Península	24	125° ± 7°	76° ± 9°	31° ± 19°	2,25
880-01	B	Península	4	36° ± 7°	70° ± 5°	32° ± 17°	1,809
880-02	A	Península	16	137° ± 10°	56° ± 5°	36° ± 16°	0,841
880-02	B1	Península	22	39° ± 12°	58° ± 10°	36° ± 15°	0,906
880-02	B2	Península	22	39° ± 12°	58° ± 10°	36° ± 15°	0,906
884-01	U	Península	24	18° ± 11°	69° ± 10°	42° ± 27°	0,905
884-02	A1	Península	12	105° ± 15°	71° ± 11°	32° ± 15°	1,796
884-02	A2	Península	12	105° ± 15°	71° ± 11°	32° ± 15°	1,796
884-02	B*	Península	28	24° ± 8°	74° ± 18°	28° ± 14°	2,554
884-02	B1	Península	28	24° ± 8°	74° ± 18°	28° ± 14°	2,554
884-02	B2	Península	28	24° ± 8°	74° ± 18°	28° ± 14°	2,554
904-01	A	Península	11	24° ± 8°	62° ± 10°	41° ± 21°	0,774
904-01	B1	Península	19	141° ± 15°	67° ± 9°	39° ± 19°	1,016
904-01	B2	Península	19	141° ± 15°	67° ± 9°	39° ± 19°	1,016
904-02	A	Península	5	147° ± 7°	76° ± 6°	40° ± 11°	1,228
904-02	B1	Península	29	48° ± 13°	82° ± 5°	35° ± 14°	1,925
904-02	B2	Península	29	48° ± 13°	82° ± 5°	35° ± 14°	1,925
905-01	A	Península	5	145° ± 2°	67° ± 4°	30° ± 5°	1,729
905-01	B	Península	26	61° ± 16°	74° ± 10°	30° ± 17°	2,272
905-02	A	Península	4	145° ± 2°	72° ± 6°	25° ± 5°	2,871
905-02	B	Península	9	59° ± 17°	71° ± 12°	26° ± 15°	2,57
905-03	A1	Península	32	92° ± 14°	67° ± 9°	34° ± 16°	1,4
905-03	A2	Península	32	92° ± 14°	67° ± 9°	34° ± 16°	1,4
905-03	B	Península	10	25° ± 5°	73° ± 6°	37° ± 18°	1,424
907-02	A	Península	11	115° ± 12°	62° ± 10°	35° ± 13°	1,092
907-02	B	Península	4	9° ± 14°	66° ± 10°	46° ± 19°	0,67
928-01	U1	Península	18	106° ± 12°	80° ± 7°	35° ± 15°	1,868
928-01	U2	Península	18	106° ± 12°	80° ± 7°	35° ± 15°	1,868
928-02	U1	Península	31	35° ± 11°	72° ± 18°	40° ± 16°	1,115
928-02	U2	Península	31	35° ± 11°	72° ± 18°	40° ± 16°	1,115
928-03	A	Península	17	32° ± 7°	75° ± 9°	33° ± 15°	1,856
928-03	B	Península	17	114° ± 12°	65° ± 11°	35° ± 17°	1,201
928-04	A1	Península	22	120° ± 12°	74° ± 11°	25° ± 18°	3,198
928-04	A2	Península	22	120° ± 12°	74° ± 11°	25° ± 18°	3,198
928-04	B	Península	6	13° ± 6°	70° ± 12°	51° ± 20°	0,531
949-01	A	Península	18	126° ± 11°	77° ± 7°	20° ± 9°	5,02
949-01	B	Península	24	13° ± 8°	77° ± 8°	32° ± 10°	2,153
Alarcos	A	Península	10	48° ± 12°	76° ± 6°	24° ± 10°	3,736
Alarcos	B	Península	5	157° ± 9°	66° ± 8°	29° ± 11°	1,781
Albala	A	Península	27	38° ± 9°	77° ± 9°	36° ± 16°	1,625
Albala	B	Península	8	122° ± 1°	58° ± 3°	28° ± 9°	1,247
Alcaraz	A	Península	13	135° ± 6°	64° ± 10°	47° ± 16°	0,603
Alcaraz	B1	Península	27	32° ± 10°	59° ± 15°	37° ± 26°	0,884
Alcaraz	B2	Península	27	32° ± 10°	59° ± 15°	37° ± 26°	0,884
Alcazar	U1	Península	39	54° ± 18°	63° ± 12°	34° ± 27°	1,177
Alcazar	U2	Península	39	54° ± 18°	63° ± 12°	34° ± 27°	1,177
Alised	A1	Península	24	115° ± 8°	69° ± 9°	32° ± 18°	1,72
Alised	A2	Península	24	115° ± 8°	69° ± 9°	32° ± 18°	1,72
Alised	B	Península	17	39° ± 9°	75° ± 9°	32° ± 10°	2,008
Alisep	U	Península	8	30° ± 16°	74° ± 3°	32° ± 31°	2,006
Almagrh	A	Península	2	35° ± 0°	66° ± 20°	38° ± 36°	1,093

Estación	Población	Zona	Nº de planos	Ey	Buzamiento	Cabeceo	Parámetro K'
Almagrh	B	Península	4	126° ± 15°	66° ± 20°	38° ± 22°	1,061
Almagrv	A	Península	32	56° ± 12°	76° ± 9°	22° ± 24°	4,366
Almagrv	B1	Península	21	147° ± 8°	76° ± 9°	36° ± 30°	1,603
Almagrv	B2	Península	21	147° ± 8°	76° ± 9°	36° ± 30°	1,603
Arzolla	A	Península	20	132° ± 11°	80° ± 7°	18° ± 19°	7,215
Arzolla	B	Península	11	36° ± 14°	83° ± 9°	31° ± 14°	2,625
Arzone	A	Península	23	119° ± 11°	68° ± 18°	36° ± 24°	1,246
Arzone	B	Península	12	23° ± 11°	67° ± 14°	34° ± 17°	1,449
Arzose	A1	Península	25	116° ± 14°	67° ± 21°	44° ± 24°	0,773
Arzose	A2	Península	25	116° ± 14°	67° ± 21°	44° ± 24°	0,773
Arzose	B	Península	6	28° ± 7°	59° ± 15°	22° ± 18°	1,731
Ave	A	Península	13	134° ± 11°	82° ± 5°	16° ± 9°	9,935
Ave	B1	Península	39	28° ± 8°	82° ± 7°	25° ± 15°	3,976
Ave	B2	Península	39	28° ± 8°	82° ± 7°	25° ± 15°	3,976
Beas	A1	Península	30	113° ± 10°	77° ± 8°	28° ± 14°	2,734
Beas	A2	Península	30	113° ± 10°	77° ± 8°	28° ± 14°	2,734
Beas	B	Península	9	7° ± 15°	72° ± 10°	44° ± 17°	0,867
Bolano	A1	Península	29	53° ± 10°	80° ± 10°	26° ± 21°	3,578
Bolano	A2	Península	29	53° ± 10°	80° ± 10°	26° ± 21°	3,578
Bolano	B1	Península	48	143° ± 11°	79° ± 9°	23° ± 18°	4,596
Bolano	B2	Península	48	143° ± 11°	79° ± 9°	23° ± 18°	4,596
Bolano	B3	Península	48	143° ± 11°	79° ± 9°	23° ± 18°	4,596
Bolano	B4	Península	48	143° ± 11°	79° ± 9°	23° ± 18°	4,596
Canadi	A	Península	9	115° ± 10°	62° ± 19°	29° ± 24°	1,476
Canadi	B1	Península	11	25° ± 8°	72° ± 14°	30° ± 23°	2,136
Canadi	B2	Península	11	25° ± 8°	72° ± 14°	30° ± 23°	2,136
Canapr	U	Península	8	119° ± 26°	84° ± 2°	9° ± 6°	26,904
Carbon	A	Península	13	128° ± 9°	70° ± 9°	40° ± 27°	1,097
Carbon	B	Península	10	22° ± 11°	57° ± 20°	38° ± 22°	0,777
Castibl	A	Península	8	20° ± 4°	81° ± 6°	9° ± 10°	20,255
Castibl	B	Península	7	129° ± 10°	80° ± 6°	12° ± 7°	13,976
Cijara	A1	Península	32	115° ± 9°	80° ± 8°	20° ± 17°	6,028
Cijara	A2	Península	32	115° ± 9°	80° ± 8°	20° ± 17°	6,028
Cijara	B	Península	15	16° ± 7°	82° ± 5°	22° ± 12°	5,244
Crbad	A1	Península	23	126° ± 10°	59° ± 19°	35° ± 20°	0,969
Crbad	A2	Península	23	126° ± 10°	59° ± 19°	35° ± 20°	0,969
Crbad	B	Península	13	18° ± 7°	67° ± 21°	42° ± 24°	0,896
Criptan	A	Península	12	157° ± 5°	83° ± 4°	17° ± 18°	9,358
Criptan	B	Península	36	84° ± 9°	78° ± 11°	19° ± 18°	6,154
Curda	A	Península	54	137° ± 9°	77° ± 7°	16° ± 10°	7,035
Curda	B	Península	21	36° ± 10°	77° ± 9°	14° ± 8°	8,3
Donana	A	Península	9	119° ± 8°	50° ± 13°	36° ± 23°	0,627
Donana	B	Península	17	21° ± 10°	67° ± 20°	32° ± 13°	1,496
Esteras	A	Península	35	114° ± 7°	61° ± 13°	27° ± 24°	1,565
Esteras	B	Península	8	27° ± 7°	62° ± 15°	43° ± 24°	0,716
Garrovi	A	Península	28	123° ± 13°	68° ± 16°	34° ± 27°	1,456
Garrovi	B	Península	8	24° ± 9°	61° ± 10°	25° ± 24°	1,732
Garsola	A	Península	26	110° ± 10°	81° ± 6°	16° ± 10°	9,761
Garsola	B	Península	18	10° ± 8°	75° ± 13°	31° ± 23°	2,186
Granatu	A1	Península	20	135° ± 10°	76° ± 9°	24° ± 14°	3,828
Granatu	A2	Península	20	135° ± 10°	76° ± 9°	24° ± 14°	3,828
Granatu	B1	Península	20	31° ± 10°	62° ± 11°	13° ± 10°	2,882

Estación	Población	Zona	Nº de planos	Ev	Buzamiento	Cabeceo	Parámetro K'
Granatu	B2	Península	20	31° ± 10°	62° ± 11°	13° ± 10°	2,882
Grinalb	A	Península	25	116° ± 10°	71° ± 9°	22° ± 17°	3,365
Grinalb	B	Península	22	28° ± 12°	68° ± 19°	35° ± 25°	1,363
Haches	A	Península	11	134° ± 9°	75° ± 13°	29° ± 11°	2,461
Haches	B	Península	15	41° ± 10°	73° ± 10°	29° ± 15°	2,36
Herrera	A	Península	15	64° ± 10°	56° ± 13°	52° ± 22°	0,342
Herrera	B1	Península	22	156° ± 9°	51° ± 13°	36° ± 22°	0,676
Herrera	B2	Península	22	156° ± 9°	51° ± 13°	36° ± 22°	0,676
Jabalon	A1	Península	71	130° ± 10°	75° ± 10°	29° ± 15°	2,483
Jabalon	A2	Península	71	130° ± 10°	75° ± 10°	29° ± 15°	2,483
Jabalon	A3	Península	71	130° ± 10°	75° ± 10°	29° ± 15°	2,483
Jabalon	A4	Península	71	130° ± 10°	75° ± 10°	29° ± 15°	2,483
Jabalon	B1	Península	19	44° ± 11°	75° ± 10°	44° ± 20°	0,959
Jabalon	B2	Península	19	44° ± 11°	75° ± 10°	44° ± 20°	0,959
Lahoz	A	Península	14	121° ± 9°	78° ± 6°	41° ± 30°	1,16
Lahoz	B	Península	27	32° ± 9°	78° ± 6°	38° ± 22°	1,456
Llanos	A	Península	10	69° ± 17°	71° ± 10°	20° ± 16°	3,837
Llanos	B	Península	8	137° ± 7°	76° ± 10°	28° ± 14°	2,77
Madrid	A1	Península	30	131° ± 14°	74° ± 10°	31° ± 19°	2,152
Madrid	A2	Península	30	131° ± 14°	74° ± 10°	31° ± 19°	2,152
Madrid	B	Península	13	33° ± 7°	77° ± 5°	36° ± 18°	1,652
Madrond	A	Península	8	121° ± 10°	62° ± 14°	33° ± 21°	1,224
Madrond	B	Península	5	25° ± 9°	67° ± 19°	16° ± 12°	3,574
Madrong	A1	Península	38	123° ± 9°	73° ± 14°	32° ± 25°	1,954
Madrong	A2	Península	38	123° ± 9°	73° ± 14°	32° ± 25°	1,954
Madrong	B	Península	11	26° ± 9°	68° ± 16°	41° ± 28°	0,97
Majales	A	Península	11	133° ± 8°	65° ± 18°	36° ± 25°	1,145
Majales	B	Península	9	47° ± 12°	68° ± 13°	60° ± 24°	0,284
Malagon	A	Península	10	135° ± 7°	78° ± 9°	12° ± 8°	11,014
Malagon	B1	Península	10	48° ± 15°	77° ± 12°	22° ± 31°	4,397
Malagon	B2	Península	10	48° ± 15°	77° ± 12°	22° ± 31°	4,397
Malosai	A	Península	3	142° ± 2°	78° ± 0°	21° ± 13°	5,236
Malosai	B	Península	9	16° ± 6°	78° ± 5°	20° ± 6°	5,466
Maximo	A1	Península	44	123° ± 9°	72° ± 16°	39° ± 31°	1,182
Maximo	A2	Península	44	123° ± 9°	72° ± 16°	39° ± 31°	1,182
Maximo	B1	Península	24	24° ± 14°	54° ± 22°	51° ± 31°	0,341
Maximo	B2	Península	24	24° ± 14°	54° ± 22°	51° ± 31°	0,341
Mencal	A	Península	8	118° ± 7°	60° ± 13°	34° ± 11°	1,067
Mencal	B	Península	14	24° ± 11°	66° ± 11°	30° ± 19°	1,676
Mestac	A	Península	16	123° ± 12°	40° ± 12°	52° ± 26°	0,191
Mestac	B	Península	15	36° ± 10°	59° ± 18°	66° ± 15°	0,144
Mestaj	A	Península	8	115° ± 9°	78° ± 5°	24° ± 12°	3,762
Mestaj	B	Península	26	25° ± 11°	80° ± 13°	36° ± 18°	1,807
Mirabel	A	Península	25	119° ± 11°	74° ± 13°	32° ± 27°	1,937
Mirabel	B	Península	4	30° ± 4°	78° ± 6°	26° ± 5°	3,253
Nava	U	Península	6	101° ± 21°	71° ± 9°	58° ± 29°	0,338
Ngriego	A	Península	8	31° ± 5°	59° ± 7°	28° ± 6°	1,336
Ngriego	B	Península	16	177° ± 19°	55° ± 14°	41° ± 19°	0,611
NIVk208	A1	Península	28	128° ± 11°	75° ± 5°	26° ± 19°	3,084
NIVk208	A2	Península	28	128° ± 11°	75° ± 5°	26° ± 19°	3,084
NIVk208	B	Península	10	22° ± 7°	79° ± 8°	27° ± 14°	3,359
NIVk232	A1	Península	19	114° ± 13°	73° ± 11°	29° ± 17°	2,397

Estación	Población	Zona	Nº de planos	Ev	Buzamiento	Cabeceo	Parámetro K'
NIVk232	A2	Península	19	114° ± 13°	73° ± 11°	29° ± 17°	2,397
NIVk232	B	Península	18	26° ± 7°	74° ± 11°	26° ± 16°	2,903
NIVk240	A	Península	19	106° ± 11°	79° ± 6°	25° ± 11°	3,921
NIVk240	B	Península	18	32° ± 8°	75° ± 6°	34° ± 16°	1,776
NVN430	A	Península	10	120° ± 7°	81° ± 4°	31° ± 11°	2,529
NVN430	B	Península	7	25° ± 5°	83° ± 5°	25° ± 13°	4,213
Ossa	A	Península	2	134° ± 0°	44° ± 1°	64° ± 1°	0,102
Ossa	B1	Península	22	51° ± 11°	66° ± 12°	44° ± 31°	0,737
Ossa	B2	Península	22	51° ± 11°	66° ± 12°	44° ± 31°	0,737
Pedrosa	A1	Península	27	146° ± 8°	69° ± 22°	19° ± 25°	3,897
Pedrosa	A2	Península	27	146° ± 8°	69° ± 22°	19° ± 25°	3,897
Pedrosa	B	Península	13	38° ± 11°	72° ± 20°	26° ± 29°	2,78
Penarro	A	Península	4	136° ± 4°	80° ± 4°	16° ± 13°	8,919
Penarro	B1	Península	33	47° ± 16°	76° ± 13°	33° ± 28°	2,006
Penarro	B2	Península	33	47° ± 16°	76° ± 13°	33° ± 28°	2,006
Penasco	A1	Península	17	133° ± 5°	60° ± 26°	45° ± 30°	0,598
Penasco	A2	Península	17	133° ± 5°	60° ± 26°	45° ± 30°	0,598
Penasco	B	Península	11	17° ± 10°	58° ± 25°	51° ± 23°	0,397
Perdon	A	Península	15	114° ± 10°	79° ± 7°	28° ± 16°	2,942
Perdon	B	Península	6	4° ± 3°	69° ± 8°	43° ± 20°	0,891
Picazo	A	Península	21	130° ± 13°	66° ± 16°	32° ± 15°	1,469
Picazo	B	Península	20	20° ± 10°	69° ± 14°	38° ± 18°	1,159
Picon	U	Península	4	113° ± 4°	59° ± 5°	66° ± 14°	0,132
Plasenc	A	Península	29	106° ± 11°	65° ± 11°	32° ± 25°	1,4
Plasenc	B	Península	16	25° ± 12°	64° ± 16°	25° ± 18°	1,947
Portezu	A	Península	18	114° ± 10°	70° ± 13°	30° ± 13°	2,011
Portezu	B1	Península	14	24° ± 10°	69° ± 10°	34° ± 26°	1,464
Portezu	B2	Península	14	24° ± 10°	69° ± 10°	34° ± 26°	1,464
Puebla	A	Península	15	27° ± 10°	84° ± 3°	17° ± 8°	9,464
Puebla	B	Península	34	111° ± 9°	67° ± 12°	31° ± 30°	1,719
Spedro	A	Península	8	146° ± 11°	57° ± 12°	48° ± 26°	0,457
Spedro	B	Península	22	60° ± 20°	40° ± 18°	52° ± 22°	0,181
Tranco	A	Península	23	107° ± 11°	56° ± 14°	44° ± 19°	0,57
Tranco	B1	Península	17	16° ± 10°	72° ± 18°	22° ± 9°	3,433
Tranco	B2	Península	17	16° ± 10°	72° ± 18°	22° ± 9°	3,433
Urda	A	Península	4	101° ± 20°	82° ± 3°	46° ± 34°	0,881
Urda	B1	Península	15	24° ± 10°	59° ± 16°	24° ± 20°	1,601
Urda	B2	Península	15	24° ± 10°	59° ± 16°	24° ± 20°	1,601
Valdeaz	A	Península	11	104° ± 9°	71° ± 15°	32° ± 25°	1,827
Valdeaz	B1	Península	11	32° ± 10°	82° ± 7°	34° ± 14°	2,069
Valdeaz	B2	Península	11	32° ± 10°	82° ± 7°	34° ± 14°	2,069
Valenzu	A	Península	15	30° ± 6°	77° ± 6°	13° ± 6°	9,238
Valenzu	B	Península	24	126° ± 10°	78° ± 5°	22° ± 20°	4,634
Vallehe	A1	Península	13	33° ± 5°	46° ± 12°	36° ± 26°	0,513
Vallehe	A2	Península	13	33° ± 5°	46° ± 12°	36° ± 26°	0,513
Vallehe	B	Península	24	137° ± 10°	67° ± 15°	34° ± 23°	1,362
Valverd	A	Península	8	149° ± 6°	68° ± 13°	40° ± 19°	1,048
Valverd	B	Península	5	56° ± 14°	52° ± 13°	54° ± 11°	0,273
Vianosc	A	Península	13	135° ± 10°	38° ± 15°	61° ± 19°	0,1
Vianosc	B	Península	16	22° ± 11°	50° ± 26°	34° ± 19°	0,694
Vianosj	A1	Península	21	128° ± 10°	76° ± 7°	22° ± 11°	4,118
Vianosj	A2	Península	21	128° ± 10°	76° ± 7°	22° ± 11°	4,118

Estación	Población	Zona	Nº de planos	Ey	Buzamiento	Cabeceo	Parámetro K'
Vianosj	B	Península	13	43° ± 12°	78° ± 7°	41° ± 22°	1,187
Villama	A	Península	26	127° ± 10°	75° ± 10°	32° ± 11°	2,059
Villama	B	Península	6	17° ± 5°	72° ± 5°	33° ± 7°	1,749
Wgriego	A1	Península	32	101° ± 11°	71° ± 19°	35° ± 17°	1,504
Wgriego	A2	Península	32	101° ± 11°	71° ± 19°	35° ± 17°	1,504
Wgriego	B	Península	9	16° ± 10°	73° ± 13°	30° ± 21°	2,223
Yezosa	A	Península	35	139° ± 9°	65° ± 15°	40° ± 26°	0,92
Yezosa	B1	Península	60	26° ± 14°	66° ± 15°	41° ± 27°	0,915
Yezosa	B2	Península	60	26° ± 14°	66° ± 15°	41° ± 27°	0,915



RESULTADOS DE LA APLICACIÓN DEL MÉTODO DE INVERSIÓN DE ESFUERZOS A LAS SUBDIVISIONES PARCIALES

Estación	Pob.	Zona	N°	S. Inm. σ1	Inm. σ1	S. Inm. σ2	Inm. σ2	S. Inm. σ3	Inm. σ3	"R"	C. Fric.	F.E.
3203K82	A1	Península	19	121	21	220	23	353	57	0,39	0,31	5
3203K82	B	Península	12	210	7	314	61	116	27	0,35	0,31	12
3203K82	A2	Península	19	308	1	202	82	38	7	0,2	0,91	11
3204K12	B1	Península	20	178	49	293	19	37	33	0,3	0,31	10
3204K12	B2	Península	20	302	82	123	7	33	0	0,09	1,11	8
3204K12	A	Península	3	0	0	0	0	0	0	0	0	0
3204K16	A1	Península	17	104	84	291	5	201	0	0,18	0,71	5
3204K16	A2	Península	17	147	4	320	85	57	0	0,37	0,4	5
3204K16	B	Península	15	25	71	196	17	287	2	0,59	1,51	7
3204K19	B	Península	8	144	45	283	36	30	21	0,35	0,31	7
3204K19	A1	Península	18	25	47	202	42	293	1	0,62	1,31	5
3204K19	A2	Península	18	210	71	41	18	310	3	0,42	0,81	11
3205K17	A	Península	9	161	83	315	5	46	2	0,35	0,31	6
3205K17	B	Península	20	191	38	10	51	101	0	0,37	0,31	10
3210K97	A	Península	27	102	9	251	79	12	5	0,77	0,31	26
3210K97	B	Península	14	14	2	121	82	283	7	0,5	0,81	10
3211K57	B	Península	9	222	17	333	47	118	37	0,31	0,31	7
3211K57	A	Península	15	305	16	203	33	57	51	0,26	0,31	5
3211K61	B	Península	11	182	63	10	26	278	3	0,15	0,4	5
3211K61	A	Península	15	189	65	327	18	62	15	0,03	0,31	5
3211K65	A	Península	9	94	4	330	82	184	6	0,59	0,31	7
3211K65	B	Península	17	31	1	138	83	301	6	0,51	0,5	16
322K290	A	Península	18	129	36	313	53	220	2	0,61	0,31	15
322K290	B	Península	16	51	55	224	34	316	3	0,82	0,4	13
322K305	A	Península	24	106	22	264	66	13	7	0,68	0,31	23
322K305	B	Península	15	13	34	193	55	103	0	0,43	0,31	11
4017K83	A	Península	21	117	24	298	65	207	0	0,77	0,31	14
4017K83	B	Península	26	204	30	45	57	300	9	0,88	1,01	18
401K39	B	Península	14	51	59	230	30	320	0	0,85	0,31	11
401K39	A	Península	25	300	39	128	49	33	4	0,73	0,5	11
403K28	B	Península	10	217	10	9	78	126	5	0,7	0,5	10
403K28	A	Península	31	303	25	131	64	34	3	0,71	0,31	23
4106K63	U2	Península	32	82	18	260	71	352	0	0,82	0,31	10
4106K63	U1	Península	32	34	89	296	0	206	0	0,57	1,41	12
4106K63	U3	Península	32	272	84	152	2	61	4	0,2	0,91	8
4157K17	A1	Península	22	115	32	264	52	15	14	0,65	0,91	7
4157K17	B	Península	12	40	37	175	42	290	24	0,24	0,61	5
4157K17	A2	Península	22	304	43	135	46	39	5	0,85	0,31	10
4157K6	A	Península	15	95	43	307	42	202	16	0,72	0,31	7
4157K6	B	Península	9	42	15	132	0	224	74	0,2	0,5	8
415K164	A1	Península	16	122	12	10	59	219	27	0,47	0,31	9
415K164	B	Península	8	44	15	314	0	221	74	0,19	0,61	8
415K164	A2	Península	16	342	65	115	17	210	17	0,18	0,31	5
415K170	A	Península	23	119	5	209	0	305	84	0,16	0,31	23
415K170	B	Península	5	0	0	0	0	0	0	0	0	0
415K184	A	Península	9	165	79	50	4	320	9	0,23	0,31	5
415K184	B	Península	16	9	18	260	44	115	40	0,56	0,4	12
415K188	A	Península	9	146	11	258	61	50	26	0,27	0,31	8
415K188	B1	Península	14	38	55	214	34	305	2	0,35	0,91	9

Estación	Pob.	Zona	Nº	S. Inm. σ1	Inm. σ1	S. Inm. σ2	Inm. σ2	S. Inm. σ3	Inm. σ3	"R"	C. Fric.	F.E.
415K188	B2	Península	14	195	7	16	82	285	0	0,31	0,5	5
415K211	A	Península	21	313	29	144	60	45	5	0,55	0,31	11
415K211	B	Península	12	187	76	6	13	96	0	0,38	0,4	9
415K225	B	Península	3	0	0	0	0	0	0	0	0	0
415K225	A	Península	18	316	6	211	66	49	22	0,3	0,4	17
415K230	A1	Península	22	113	13	330	75	205	8	0,19	0,4	5
415K230	B	Península	14	34	50	197	38	294	8	0,17	0,31	12
415K230	A2	Península	22	350	67	111	12	205	18	0,33	0,5	12
415K236	A	Península	16	132	19	293	69	40	6	0,42	0,31	16
415K236	B	Península	10	268	80	25	4	116	8	0,51	0,31	6
415K244	B	Península	12	15	4	137	81	284	6	0,27	0,31	9
415K244	A	Península	10	0	0	0	0	0	0	0	0	0
415K250	B	Península	5	0	0	0	0	0	0	0	0	0
415K250	A	Península	11	311	65	123	24	214	3	0,84	0,31	11
420K130	B	Península	19	18	54	197	35	288	0	0,72	0,31	11
420K130	A	Península	10	298	63	115	26	205	1	0,74	0,31	6
420K138	A	Península	12	32	86	167	2	257	2	0,16	0,31	9
420K138	B	Península	12	50	47	207	40	307	11	0,58	0,31	10
430K438	A	Península	15	131	28	321	60	224	4	0,68	0,31	11
430K438	B	Península	24	50	6	195	81	319	4	0,47	0,31	13
430K469	A	Península	10	18	73	220	15	128	5	0,47	0,4	5
430K469	B	Península	20	289	47	103	42	196	3	0,46	0,31	15
430K482	A	Península	22	120	26	313	62	212	5	0,69	0,31	21
430K482	B	Península	9	50	2	167	84	320	4	0,51	0,31	9
744-01	A1	Península	13	148	17	249	31	33	53	0,31	0,31	5
744-01	B	Península	6	0	0	0	0	0	0	0	0	0
744-01	A2	Península	13	331	64	121	22	216	11	0,31	0,71	7
784-04	A	Península	15	147	23	349	64	241	8	0,46	0,31	14
784-04	B1	Península	24	44	84	233	5	143	0	0,48	0,4	16
784-04	B2	Península	24	211	4	29	85	121	0	0,27	0,5	8
785-04	A	Península	8	48	89	307	0	217	0	0,38	0,71	5
785-04	B2	Península	43	230	85	50	4	320	0	0,39	0,71	23
785-04	B1	Península	43	185	0	281	80	95	9	0,67	0,31	9
810-01	A1	Península	31	111	36	286	53	19	2	0,61	0,31	21
810-01	B1	Península	33	25	64	195	25	287	4	0,62	0,31	20
810-01	B2	Península	33	271	81	71	8	161	2	0,42	1,41	11
810-01	A2	Península	31	342	78	144	11	234	3	0,62	0,31	9
834-01	A	Península	18	144	49	303	38	41	10	0,64	0,31	13
834-01	B	Península	19	351	81	223	5	132	6	0,69	0,31	8
836-01	A	Península	34	118	66	316	22	223	6	0,58	0,4	31
836-01	B	Península	9	192	54	12	35	102	0	0,61	0,31	7
836-02	A	Península	19	137	85	312	4	42	0	0,61	0,31	13
836-02	B1	Península	22	11	74	228	12	136	8	0,13	0,4	16
836-02	B2	Península	22	340	86	180	3	90	1	0,26	1,41	5
836-03	B	Península	10	14	48	174	40	273	10	0,3	0,31	8
836-03	A	Península	30	190	87	298	0	28	2	0,34	0,61	22
858-01	B	Península	30	121	48	303	41	212	1	0,51	0,31	15
858-01	A	Península	6	0	0	0	0	0	0	0	0	0
860-01	A	Península	22	40	70	296	4	204	18	0,13	0,31	9
860-01	B	Península	10	207	14	16	75	116	2	0,46	1,71	6
879-01	B	Península	9	27	42	177	43	282	15	0,48	0,5	9
879-01	A	Península	21	294	8	147	79	24	5	0,67	0,3	21

Estación	Pob.	Zona	Nº	S. Inm. σ1	Inm. σ1	S. Inm. σ2	Inm. σ2	S. Inm. σ3	Inm. σ3	"R"	C. Fric.	F.E.
880-01	A1	Península	24	158	72	334	17	64	1	0,27	0,31	5
880-01	B	Península	4	0	0	0	0	0	0	0	0	0
880-01	A2	Península	24	309	44	92	39	199	19	0,3	0,31	17
880-02	A	Península	16	122	12	288	77	31	2	0,59	0,31	14
880-02	B2	Península	22	224	0	222	84	134	5	0,18	0,5	14
880-02	B1	Península	22	189	33	345	54	92	11	0,32	0,31	5
884-01	U	Península	24	1	50	197	38	101	8	0,09	1,11	12
884-02	A2	Península	12	101	42	316	41	209	18	0,21	0,31	6
884-02	B2	Península	28	172	81	26	6	295	4	0,35	0,5	12
884-02	A1	Península	12	79	30	264	59	170	2	0,64	0,31	5
884-02	B1	Península	28	44	14	199	74	312	6	0,3	0,5	5
884-02	B3	Península	28	183	4	279	54	90	35	0,32	0,31	8
904-01	B2	Península	19	146	1	238	59	56	30	0,72	0,31	6
904-01	B1	Península	19	133	38	293	49	35	9	0,5	0,31	8
904-01	A	Península	11	195	26	30	62	288	6	0,46	0,31	7
904-02	B1	Península	29	80	87	276	2	186	0	0,27	0,4	5
904-02	B2	Península	29	242	84	32	4	123	2	0,3	0,31	19
904-02	A	Península	5	316	78	134	11	224	0	0,65	0,4	5
905-01	B	Península	26	72	65	252	24	342	0	0,25	0,31	16
905-01	A	Península	5	0	0	0	0	0	0	0	0	0
905-02	B	Península	9	226	35	78	49	328	16	0,56	0,31	8
905-02	A	Península	4	0	0	0	0	0	0	0	0	0
905-03	A1	Península	32	39	62	280	14	184	23	0,34	0,31	15
905-03	B	Península	10	209	77	23	12	114	1	0,86	0,4	10
905-03	A2	Península	32	313	58	108	29	204	11	0,59	0,31	12
907-02	A	Península	11	147	48	301	38	42	12	0,38	0,31	6
907-02	B	Península	4	0	0	0	0	0	0	0	0	0
928-01	U1	Península	18	109	23	294	65	200	1	0,6	2,01	5
928-01	U2	Península	18	125	85	24	0	294	3	0,36	0,31	10
928-02	U2	Península	31	240	11	342	46	140	41	0,11	0,31	7
928-02	U1	Península	31	212	12	25	77	121	1	0,56	0,61	21
928-03	B	Península	17	56	86	289	2	199	3	0,59	0,31	10
928-03	A	Península	17	41	56	231	33	138	4	0,68	0,31	12
928-04	A1	Península	22	96	10	332	71	189	14	0,95	0,31	8
928-04	B	Península	6	209	75	33	14	303	1	0,44	0,31	5
928-04	A2	Península	22	299	59	139	28	45	8	0,34	0,31	8
949-01	B	Península	24	199	50	11	38	105	3	0,7	0,5	17
949-01	A	Península	18	300	38	112	51	207	4	0,69	0,31	16
Alarcos	A	Península	10	56	18	181	60	318	22	0,29	0,31	8
Alarcos	B	Península	5	0	0	0	0	0	0	0	0	0
Albala	A	Península	27	34	10	169	75	302	10	0,36	0,31	12
Albala	B	Península	8	11	58	106	2	198	31	0,05	1,91	5
Alcaraz	A	Península	13	126	37	11	29	254	39	0,38	0,31	9
Alcaraz	B1	Península	27	36	32	286	27	165	44	0,18	0,4	18
Alcaraz	B2	Península	27	272	62	2	0	92	27	0,04	1,01	6
Alcazar	U1	Península	39	212	11	32	78	302	0	0,72	0,31	8
Alcazar	U2	Península	39	264	29	112	57	1	12	0,29	0,31	22
Alised	A1	Península	24	112	71	294	18	204	0	0,5	0,31	6
Alised	B	Península	17	92	83	200	2	291	6	0,5	0,4	12
Alised	A2	Península	24	128	48	308	41	38	0	0,45	0,31	14
Alisep	U	Península	8	0	0	0	0	0	0	0	0	0
Almagrh	B	Península	4	0	0	0	0	0	0	0	0	0

Estación	Pob.	Zona	Nº	S. Inm. σ1	Inm. σ1	S. Inm. σ2	Inm. σ2	S. Inm. σ3	Inm. σ3	"R"	C. Fric.	F.E.
Almagrh	A	Península	2	0	0	0	0	0	0	0	0	0
Almagrv	B1	Península	21	148	49	327	40	58	0	0,67	0,31	7
Almagrv	A	Península	32	239	5	96	83	330	3	0,89	0,31	26
Almagrv	B2	Península	21	325	74	148	15	58	0	0,52	0,61	12
Arzolla	A	Península	20	134	5	311	84	44	0	0,59	0,31	13
Arzolla	B	Península	11	39	83	211	6	301	0	0,43	0,4	5
Arzone	B	Península	12	23	28	255	49	129	27	0,31	0,31	10
Arzone	A	Península	23	297	7	54	73	205	14	0,55	0,31	15
Arzose	A1	Península	25	97	15	322	68	191	14	0,46	0,31	15
Arzose	B	Península	6	0	0	0	0	0	0	0	0	0
Arzose	A2	Península	25	331	15	78	46	228	39	0,27	0,31	8
Ave	A	Península	13	138	25	321	64	228	1	0,52	0,91	11
Ave	B1	Península	39	27	45	195	43	291	5	0,55	0,31	24
Ave	B2	Península	39	49	82	225	7	315	0	0,43	0,31	11
Beas	A1	Península	30	111	0	209	83	21	6	0,77	0,5	7
Beas	B	Península	9	72	78	219	9	310	6	0,52	0,31	8
Beas	A2	Península	30	178	86	284	0	14	3	0,55	0,31	23
Bolano	B1	Península	48	141	1	240	83	51	6	0,31	0,4	12
Bolano	A1	Península	29	236	9	93	78	327	7	0,32	0,31	10
Bolano	B2	Península	48	214	87	331	1	61	2	0,54	0,31	17
Bolano	A2	Península	29	251	85	51	4	141	1	0,37	0,31	14
Bolano	B3	Península	48	287	19	115	69	18	2	0,7	0,31	10
Bolano	B4	Península	48	359	26	183	63	90	1	0,75	0,31	9
Canadi	A	Península	9	103	32	281	57	13	0	0,14	0,31	8
Canadi	B1	Península	11	36	66	233	22	140	5	0,41	0,31	5
Canadi	B2	Península	11	192	3	291	71	101	18	0,25	0,4	6
Canapr	U	Península	8	0	0	0	0	0	0	0	0	0
Carbon	B	Península	10	181	13	31	75	272	7	0,29	0,61	7
Carbon	A	Península	13	306	44	107	44	206	9	0,52	0,31	11
Castibl	B	Península	7	306	32	100	55	208	11	0,42	0,31	7
Castibl	A	Península	8	181	63	24	24	290	8	0,12	1,41	6
Cijara	A1	Península	32	115	3	264	86	25	1	0,47	0,61	13
Cijara	A2	Península	32	290	80	113	9	23	0	0,68	0,31	13
Cijara	B	Península	15	195	49	8	40	101	3	0,57	0,31	10
Crbad	A1	Península	23	139	20	256	50	36	32	0,24	0,5	14
Crbad	B	Península	13	32	17	145	51	290	32	0,15	0,31	11
Crbad	A2	Península	23	261	61	26	17	123	21	0,44	0,31	7
Criptan	B	Península	36	269	15	96	74	359	1	0,68	0,31	27
Criptan	A	Península	12	339	65	151	24	242	3	0,86	0,31	12
Curda	B	Península	21	32	10	263	74	124	12	0,72	0,31	16
Curda	A	Península	54	321	25	129	64	229	4	0,65	0,31	51
Donana	A	Península	9	100	14	216	59	3	26	0,29	0,61	6
Donana	B	Península	17	206	0	298	84	116	5	0,39	0,5	13
Esteras	A	Península	35	123	1	27	76	213	13	0,34	0,4	30
Esteras	B	Península	8	186	83	19	6	288	1	0,58	0,31	5
Garrovi	A	Península	28	129	23	343	61	225	13	0,48	0,31	15
Garrovi	B	Península	8	198	57	353	30	89	11	0,08	1,11	5
Garsola	A	Península	26	112	54	277	34	12	6	0,61	0,31	20
Garsola	B	Península	18	7	58	188	31	97	0	0,6	0,61	17
Granatu	B1	Península	20	250	9	359	62	156	25	0,74	0,31	11
Granatu	A1	Península	20	302	19	139	69	34	5	0,58	0,31	14
Granatu	B2	Península	20	357	7	110	70	265	17	0,13	0,5	6

Estación	Pob.	Zona	Nº	S. Inm. σ1	Inm. σ1	S. Inm. σ2	Inm. σ2	S. Inm. σ3	Inm. σ3	"R"	C. Fric.	F.E.
Granatu	A2	Peninsula	20	333	69	154	20	64	0	0,78	0.5	5
Grinalb	A	Peninsula	25	118	18	256	66	23	14	0.78	0,31	17
Grinalb	B	Peninsula	22	16	22	182	66	283	5	0,77	0,31	14
Haches	A	Peninsula	11	119	11	318	78	210	3	0,47	0,4	10
Haches	B	Peninsula	15	52	57	238	31	146	2	0,67	0,31	15
Herrera	A	Peninsula	15	249	1	154	77	340	12	0,71	0,4	13
Herrera	B2	Peninsula	22	344	3	86	75	253	13	0,25	0,31	16
Herrera	B1	Peninsula	22	333	7	65	18	221	69	0,11	0,91	5
Jabalon	A2	Peninsula	71	140	48	304	40	41	7	0,75	0,31	46
Jabalon	A1	Peninsula	71	60	60	223	28	317	7	0,46	0,31	10
Jabalon	B1	Peninsula	19	36	84	219	5	129	0	0,46	0,31	12
Jabalon	B2	Peninsula	19	229	54	99	24	357	24	0,22	0,81	5
Jabalon	A3	Peninsula	71	272	82	127	6	36	4	0,61	0,31	7
Jabalon	A4	Peninsula	71	332	0	237	84	62	5	0,86	0,4	6
Lahoz	B	Peninsula	27	14	85	219	3	129	1	0,34	0,31	20
Lahoz	A	Peninsula	14	326	78	115	9	206	5	0,19	1,31	11
Llanos	A	Peninsula	10	209	54	80	24	338	24	0,5	0,31	8
Llanos	B	Peninsula	8	0	0	0	0	0	0	0	0	0
Madrid	A1	Peninsula	30	161	86	300	2	30	2	0,61	0,31	17
Madrid	B	Peninsula	13	250	85	28	3	118	2	0,68	0,4	13
Madrid	A2	Peninsula	30	341	2	81	74	250	15	0,55	0,31	8
Madrond	A	Peninsula	8	130	6	229	53	35	35	0,15	0,61	7
Madrond	B	Peninsula	5	22	19	222	69	115	6	0,11	0,31	5
Madrong	A1	Peninsula	38	112	77	333	9	242	7	0,31	0,61	9
Madrong	A2	Peninsula	38	293	0	58	88	203	0	0,69	0,31	27
Madrong	B	Peninsula	11	0	0	0	0	0	0	0	0	0
Majalcs	B	Peninsula	9	88	62	276	27	184	3	0,04	0,4	5
Majalcs	A	Peninsula	11	306	1	42	71	216	17	0,37	0,4	11
Malagon	B1	Peninsula	10	57	6	279	81	148	5	0,45	0,31	5
Malagon	B2	Peninsula	10	354	89	257	0	167	0	0,32	0,4	5
Malagon	A	Peninsula	10	322	9	120	79	231	3	0,45	0,31	10
Malosai	B	Peninsula	9	9	70	194	19	103	1	0,88	0,31	7
Malosai	A	Peninsula	3	0	0	0	0	0	0	0	0	0
Maximo	A1	Peninsula	44	130	31	297	58	36	5	0,69	0,31	26
Maximo	B1	Peninsula	24	204	3	301	65	113	24	0,45	0,31	14
Maximo	A2	Peninsula	44	291	45	54	28	163	30	0,49	0,31	11
Maximo	B2	Peninsula	24	335	71	118	15	211	10	0,49	0,4	6
Mencal	A	Peninsula	8	111	10	352	69	205	17	0,31	0,4	8
Mencal	B	Peninsula	14	214	1	314	82	124	7	0,43	0,5	8
Mestac	A	Peninsula	16	110	6	8	58	204	30	0,22	0,31	10
Mestac	B	Peninsula	15	218	9	323	56	122	31	0,62	0,31	9
Mestaj	B	Peninsula	26	32	88	204	1	294	0	0,42	1,01	15
Mestaj	A	Peninsula	8	0	0	0	0	0	0	0	0	0
Mirabel	A	Peninsula	25	301	43	111	46	206	5	0,61	0,31	18
Mirabel	B	Peninsula	4	0	0	0	0	0	0	0	0	0
Nava	U	Peninsula	6	212	86	105	1	15	3	0,32	0,4	5
Ngriego	B	Peninsula	16	6	8	261	59	101	29	0,26	0,31	13
Ngriego	A	Peninsula	8	242	12	118	69	336	16	0,51	0,31	7
NIVk208	B	Peninsula	10	13	39	162	46	269	16	0,33	0,4	6
NIVk208	A1	Peninsula	28	270	87	130	2	40	1	0,52	0,61	11
NIVk208	A2	Peninsula	28	317	4	212	74	48	15	0,51	0,31	15
NIVk232	B	Peninsula	18	31	9	240	79	122	5	0,56	0,31	16

Estación	Pob.	Zona	N°	S. Inm. σ1	Inm. σ1	S. Inm. σ2	Inm. σ2	S. Inm. σ3	Inm. σ3	"R"	C. Fric.	F.E.
NIVk232	A2	Península	19	297	40	113	49	206	2	0,81	0,31	9
NIVk232	A1	Península	19	283	82	103	7	193	0	0,67	0,31	6
NIVk240	A	Península	19	82	28	279	59	176	7	0,6	0,31	15
NIVk240	B	Península	18	45	43	214	45	310	5	0,53	1,01	18
NVN430	B	Península	7	20	34	199	55	289	0	0,28	1,91	6
NVN430	A	Península	10	287	74	99	15	189	2	0,57	0,31	6
Ossa	B1	Península	22	44	74	216	15	307	2	0,31	0,4	13
Ossa	B2	Península	22	219	19	77	65	314	13	0,5	0,31	9
Ossa	A	Península	2	0	0	0	0	0	0	0	0	0
Pedrosa	A1	Península	27	108	0	18	7	202	82	0,61	0,71	5
Pedrosa	A2	Península	27	151	4	313	84	60	1	0,37	0,31	22
Pedrosa	B	Península	13	45	24	305	22	177	56	0,15	0,4	6
Penarro	B1	Península	33	40	81	228	8	137	1	0,35	0,31	11
Penarro	B2	Península	33	258	34	86	55	351	3	0,86	0,31	10
Penarro	A	Península	4	0	0	0	0	0	0	0	0	0
Penasco	A1	Península	17	130	20	266	62	33	17	0,18	0,31	7
Penasco	B	Península	11	8	2	101	54	277	35	0,36	0,31	9
Penasco	A2	Península	17	309	6	152	83	39	2	0,23	0,71	5
Perdon	A	Península	15	0	0	0	0	0	0	0	0	0
Perdon	B	Península	6	192	54	359	34	94	5	0,62	0,4	6
Picazo	A	Península	21	140	8	333	81	230	1	0,38	0,4	14
Picazo	B	Península	20	312	81	217	0	127	8	0,44	0,31	14
Picon	U	Península	4	0	0	0	0	0	0	0	0	0
Plasenc	B	Península	16	208	27	302	7	47	61	0,25	0,31	12
Plasenc	A	Península	29	288	8	152	77	19	8	0,75	0,31	24
Portezu	A	Península	18	117	13	265	74	25	7	0,47	0,31	15
Portezu	B1	Península	14	17	57	116	5	209	31	0,72	0,31	6
Portezu	B2	Península	14	202	41	35	48	298	6	0,64	0,31	7
Puebla	B	Península	34	79	28	290	57	177	14	0,49	0,31	17
Puebla	A	Península	15	43	83	184	4	275	3	0,42	0,31	7
Spedro	B	Península	22	246	7	152	27	350	61	0,09	0,31	17
Spedro	A	Península	8	0	0	0	0	0	0	0	0	0
Tranco	A	Península	23	109	4	211	69	17	19	0,48	0,4	19
Tranco	B1	Península	17	69	9	195	74	337	11	0,34	0,5	6
Tranco	B2	Península	17	186	16	12	72	276	1	0,27	0,5	10
Urda	B2	Península	15	84	7	232	80	354	4	0,23	0,4	5
Urda	B1	Península	15	17	11	132	65	282	21	0,24	0,31	10
Urda	A	Península	4	0	0	0	0	0	0	0	0	0
Valdeaz	A	Península	11	102	27	285	62	193	1	0,43	0,31	10
Valdeaz	B1	Península	11	38	31	222	58	129	1	0,02	0,4	5
Valdeaz	B2	Península	11	39	33	221	56	130	0	0,33	1,91	6
Valenzu	A	Península	15	208	17	9	71	116	5	0,72	0,31	15
Valenzu	B	Península	24	312	4	127	85	222	0	0,63	0,31	20
Vallehe	B	Península	24	119	8	254	78	28	7	0,65	0,31	20
Vallehe	A1	Península	13	26	31	139	33	264	40	0,58	0,31	6
Vallehe	A2	Península	13	207	4	301	43	113	46	0,14	1,41	7
Valverd	A	Península	8	2	24	120	45	254	34	0,7	0,31	6
Valverd	B	Península	5	0	0	0	0	0	0	0	0	0
Vianosc	A	Península	13	158	22	261	28	35	52	0,08	0,61	13
Vianosc	B	Península	16	5	47	258	15	155	38	0,34	0,31	11
Vianosj	A1	Península	21	112	81	316	7	226	3	0,7	0,31	11
Vianosj	A2	Península	21	296	3	39	75	205	13	0,67	0,31	9

Estación	Pob.	Zona	Nº	S. Inm. σ1	Inm. σ1	S. Inm. σ2	Inm. σ2	S. Inm. σ3	Inm. σ3	"R"	C. Fric.	F.E.
Vianosj	B	Peninsula	13	337	84	228	1	138	5	0,45	0,31	9
Villama	B	Peninsula	6	51	75	187	10	279	9	0,56	1,21	6
Villama	A	Peninsula	26	350	89	107	0	197	0	0,62	0,31	16
Wgriego	A1	Peninsula	32	66	11	325	43	168	44	0,2	0,31	6
Wgriego	B	Peninsula	9	36	35	174	45	289	22	0,47	0,31	5
Wgriego	A2	Peninsula	32	287	16	120	73	18	3	0,38	0,4	22
Yezosa	B1	Peninsula	60	11	12	101	2	202	77	0,19	0,31	17
Yezosa	B2	Peninsula	60	219	80	25	9	116	2	0,24	0,81	31
Yezosa	A	Peninsula	35	316	16	170	69	49	10	0,43	0,31	27

RESULTADOS DE LA APLICACIÓN DEL DIAGRAMA DE MÖHR A LAS SUBDIVISIONES PARCIALES

Estación	Población	Zona	N° de planos	Presión de Fluidos
3203K82	A1	Península	19	-28
3203K82	A2	Península	19	6
3203K82	B	Península	12	-13
3204K12	B1	Península	20	-20
3204K12	B2	Península	20	3
3204K16	A1	Península	17	-12,2
3204K16	A2	Península	17	2
3204K16	B	Península	15	4,5
3204K19	A1	Península	18	1
3204K19	A2	Península	18	1,5
3204K19	B	Península	8	-6
3205K17	A	Península	9	-13
3205K17	B	Península	20	-13
3210K97	A	Península	27	-8
3210K97	B	Península	14	3
3211K57	A	Península	15	-30
3211K57	B	Península	9	10
3211K61	A	Península	15	-18
3211K61	B	Península	11	-2
3211K65	A	Península	9	-25,5
3211K65	B	Península	17	-6
322K290	A	Península	18	-25
322K290	B	Península	16	-20
322K305	A	Península	24	7
322K305	B	Península	15	-20,2
4017K83	A	Península	21	-10,5
4017K83	B	Península	26	-3
401K39	A	Península	25	-18
401K39	B	Península	14	-39
403K28	A	Península	31	-24
403K28	B	Península	10	-4
4106K63	U1	Península	32	-47
4106K63	U2	Península	32	4
4106K63	U3	Península	32	5
4157K17	A1	Península	22	-46
4157K17	A2	Península	22	0
4157K17	B	Península	12	-2,5
4157K6	A	Península	15	-30
4157K6	B	Península	9	-13
415K164	A1	Península	16	-20
415K164	A2	Península	16	-19
415K164	B	Península	8	-6
415K170	A	Península	23	0
415K184	A	Península	9	-29,5
415K184	B	Península	16	-15
415K188	A	Península	9	-21
415K188	B1	Península	14	-13
415K188	B2	Península	14	-2,5
415K211	A	Península	21	-28

Estación	Población	Zona	Nº de planos	Presión de Fluidos
415K211	B	Península	12	-10
415K225	A	Península	18	-4
415K230	A1	Península	22	-29,5
415K230	A2	Península	22	-8
415K230	B	Península	14	-7
415K236	A	Península	16	-11
415K236	B	Península	10	-18
415K244	B	Península	12	-20,5
415K250	A	Península	11	-6
420K130	A	Península	10	6
420K130	B	Península	19	-37
420K138	A	Península	12	-8
420K138	B	Península	12	-14
430K438	A	Península	15	0
430K438	B	Península	24	-22
430K469	A	Península	10	-13
430K469	B	Península	20	-19
430K482	A	Península	22	-29
430K482	B	Península	9	0
744-01	A1	Península	13	-16
744-01	A2	Península	13	-3
784-04	A	Península	15	-17
784-04	B1	Península	24	-17
784-04	B2	Península	24	-12
785-04	A	Península	8	1
785-04	B1	Península	43	-41
785-04	B2	Península	43	-3,5
810-01	A1	Península	31	-32
810-01	A2	Península	31	-23
810-01	B1	Península	33	-23
810-01	B2	Península	33	2,5
834-01	A	Península	18	-18
834-01	B	Península	19	-28
836-01	A	Península	34	-13
836-01	B	Península	9	-16
836-02	A	Península	19	-21
836-02	B1	Península	22	0
836-02	B2	Península	22	3,5
836-03	A	Península	30	-4
836-03	B	Península	10	-16
858-01	A	Península	30	-20
860-01	A	Península	22	-8
860-01	B	Península	10	6
879-01	A	Península	21	10
879-01	B	Península	9	6
880-01	A1	Península	24	-36
880-01	A2	Península	24	-21
880-02	A	Península	16	0
880-02	B1	Península	22	-28
880-02	B2	Península	22	-12
884-01	U	Península	24	3,25
884-02	A1	Península	12	-26

Estación	Población	Zona	Nº de planos	Presión de Fluidos
884-02	A2	Península	12	-13
884-02	B1	Península	28	-24
884-02	B2	Península	28	-19
884-02	B3	Península	28	-11
904-01	A	Península	11	-21
904-01	B1	Península	19	-26
904-01	B2	Península	19	-21
904-02	A	Península	5	-13
904-02	B1	Península	29	-13
904-02	B2	Península	29	-13
905-01	B	Península	26	-8
905-02	B	Península	9	-25,5
905-03	A1	Península	32	-22
905-03	A2	Península	32	-21
905-03	B	Península	10	0
907-02	A	Península	11	-11
928-01	U1	Península	18	-2
928-01	U2	Península	18	7
928-02	U1	Península	31	-44
928-02	U2	Península	31	2
928-03	A	Península	17	-31
928-03	B	Península	17	-17
928-04	A1	Península	22	-21
928-04	A2	Península	22	-21
928-04	B	Península	6	-7,25
949-01	A	Península	18	-10
949-01	B	Península	24	-12
Alarcos	A	Península	10	-34
Albala	A	Península	27	-21
Albala	B	Península	8	9
Alcaraz	A	Península	13	-12
Alcaraz	B1	Península	27	-21
Alcaraz	B2	Península	27	-4,5
Alcazar	U1	Península	39	-38
Alcazar	U2	Península	39	-18
Alised	A1	Península	24	-28
Alised	A2	Península	24	-14
Alised	B	Península	17	-10
Almagrv	A	Península	32	-15
Almagrv	B1	Península	21	-36
Almagrv	B2	Península	21	-4
Arzolla	A	Península	20	-29
Arzolla	B	Península	11	-13
Arzone	A	Península	23	-16
Arzone	B	Península	12	-20
Arzose	A1	Península	25	-30
Arzose	A2	Península	25	-28
Ave	A	Península	13	5,5
Ave	B1	Península	39	-24
Ave	B2	Península	39	-15
Beas	A1	Península	30	-14,5
Beas	A2	Península	30	-13

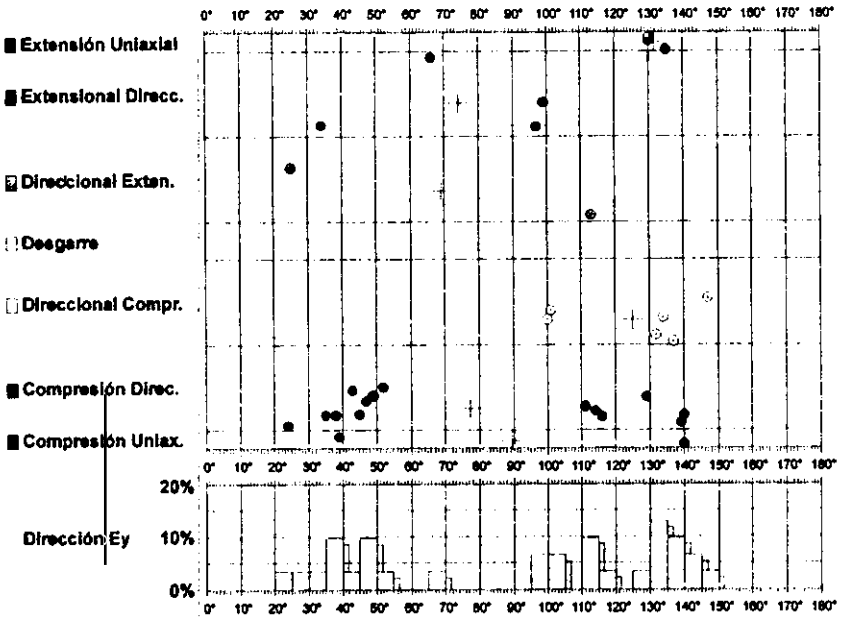
Estación	Población	Zona	N° de planos	Presión de Fluidos
Beas	B	Península	9	-10
Bolano	A1	Península	29	-41
Bolano	A2	Península	29	-14
Bolano	B1	Península	48	-42
Bolano	B2	Península	48	-37
Bolano	B3	Península	48	-36
Bolano	B4	Península	48	-24
Canadi	A	Península	9	-13
Canadi	B1	Península	11	-27
Canadi	B2	Península	11	-13
Carbon	A	Península	13	-8
Carbon	B	Península	10	5
Castibl	A	Península	8	6
Castibl	B	Península	7	0
Cijara	A1	Península	32	-24
Cijara	A2	Península	32	-10
Cijara	B	Península	15	-16
Crbad	A1	Península	23	-30
Crbad	A2	Península	23	-4
Crbad	B	Península	13	-30
Criptan	A	Península	12	0
Criptan	B	Península	36	-18
Curda	A	Península	54	-8
Curda	B	Península	21	-14
Donana	A	Península	9	0
Donana	B	Península	17	-8
Esteras	A	Península	35	-8
Esteras	B	Península	8	-13
Garrovi	A	Península	28	-26
Garrovi	B	Península	8	10
Garsola	A	Península	26	-15
Garsola	B	Península	18	0
Granatu	A1	Península	20	-18
Granatu	A2	Península	20	-16
Granatu	B1	Península	20	-14
Granatu	B2	Península	20	-8
Grinalb	A	Península	25	-35
Grinalb	B	Península	22	-19
Haches	A	Península	11	10
Haches	B	Península	15	0
Herrera	A	Península	15	10
Herrera	B1	Península	22	-24
Herrera	B2	Península	22	-9,5
Jabalon	A1	Península	71	-38
Jabalon	A2	Península	71	-34
Jabalon	A3	Península	71	-31
Jabalon	A4	Península	71	-27
Jabalon	B1	Península	19	-21
Jabalon	B2	Península	19	6,5
Lahoz	A	Península	14	8
Lahoz	B	Península	27	-16
Llanos	A	Península	10	-13

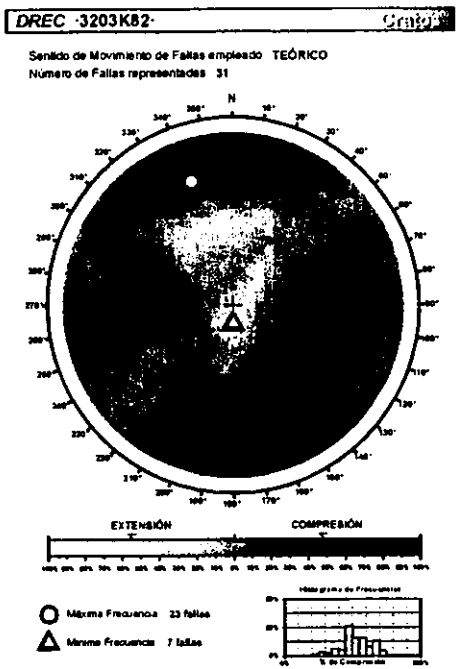
Estación	Población	Zona	Nº de planos	Presión de Fluidos
Madrid	A1	Península	30	-34
Madrid	A2	Península	30	-27
Madrid	B	Península	13	0
Madrond	A	Península	8	-3
Madrond	B	Península	5	0
Madrong	A1	Península	38	-27
Madrong	A2	Península	38	-14
Majales	A	Península	11	-2
Majales	B	Península	9	4
Malagon	A	Península	10	0
Malagon	B1	Península	10	-13
Malagon	B2	Península	10	-10
Malosai	B	Península	9	-41
Maximo	A1	Península	44	-23
Maximo	A2	Península	44	-21
Maximo	B1	Península	24	-16
Maximo	B2	Península	24	-8,25
Mencal	A	Península	8	0
Mencal	B	Península	14	-8
Mestac	A	Península	16	-13
Mestac	B	Península	15	0
Mestaj	B	Península	26	4
Mirabel	A	Península	25	-22
Nava	U	Península	6	-3
Ngriego	A	Península	8	-27
Ngriego	B	Península	16	-27
NIVk208	A1	Península	28	-46
NIVk208	A2	Península	28	-8
NIVk208	B	Península	10	-21,5
NIVk232	A1	Península	19	-23
NIVk232	A2	Península	19	-13
NIVk232	B	Península	18	-10
NIVk240	A	Península	19	-22
NIVk240	B	Península	18	8,5
NVN430	A	Península	10	-12
NVN430	B	Península	7	8
Ossa	B1	Península	22	-23
Ossa	B2	Península	22	-20
Pedrosa	A1	Península	27	-12
Pedrosa	A2	Península	27	-11
Pedrosa	B	Península	13	-11
Penarro	B1	Península	33	-41
Penarro	B2	Península	33	-15
Penasco	A1	Península	17	-20
Penasco	A2	Península	17	-2
Penasco	B	Península	11	-12,5
Perdon	B	Península	6	0
Picazo	A	Península	21	-18
Picazo	B	Península	20	-14
Plasenc	A	Península	29	-18
Plasenc	B	Península	16	-14
Portezu	A	Península	18	-11

Estación	Población	Zona	Nº de planos	Presión de Fluidos
Portezu	B1	Peninsula	14	-21
Portezu	B2	Peninsula	14	10
Puebla	A	Peninsula	15	-16
Puebla	B	Peninsula	34	-28
Spedro	B	Peninsula	22	-19
Tranco	A	Peninsula	23	-7
Tranco	B1	Peninsula	17	-13
Tranco	B2	Peninsula	17	-7
Urda	B1	Peninsula	15	-27
Urda	B2	Peninsula	15	-26
Valdeaz	A	Peninsula	11	0
Valdeaz	B1	Peninsula	11	2
Valdeaz	B2	Peninsula	11	8,5
Valenzu	A	Peninsula	15	0
Valenzu	B	Peninsula	24	-31
Vallehe	A1	Peninsula	13	0,5
Vallehe	A2	Peninsula	13	7,5
Vallehe	B	Peninsula	24	-10
Valverd	A	Peninsula	8	-32
Vianosc	A	Peninsula	13	8
Vianosc	B	Peninsula	16	-13
Vianosj	A1	Peninsula	21	-33
Vianosj	A2	Peninsula	21	-28
Vianosj	B	Peninsula	13	-15
Villama	A	Peninsula	26	-16
Villama	B	Peninsula	6	7
Wgriego	A1	Peninsula	32	-34
Wgriego	A2	Peninsula	32	-12
Wgriego	B	Peninsula	9	-28
Yezosa	A	Peninsula	35	-18
Yezosa	B1	Peninsula	60	-29
Yezosa	B2	Peninsula	60	-4

Modelo de Deslizamiento ·3203K82·

Cratos





Trazas cicloográficas e histogramas del azimut, buzamiento y cabeceo

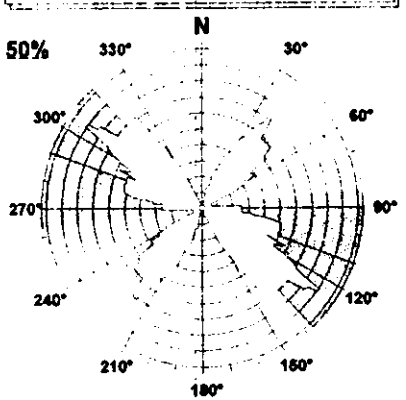
Estación: 3203K82
Coordenadas U.T.M. (metros)
X:582800
Y:4257150
Z:700
Litología: Carbonatos
Edad: indiferenciada (Cret. y Mioc. sup.)

1ª Subpoblación:

Ey: 124°±7°	Ey: 124°±7°
Buz: 48°±14°	Buz: 48°±14°
Cab: 36°±24°	Cab: 36°±24°
s1 01°/308°	s1 21°/121°
s2 82°/202°	s2 23°/220°
s3 07°/038°	s3 57°/353°
R = 0.20	R = 0.39
μ = 0.91	μ = 0.31
F.E. = 11 (19)	F.E. = 5 (19)

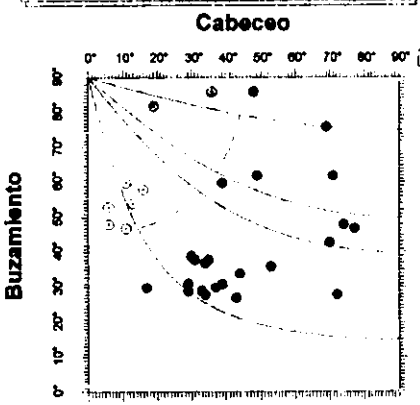
2ª Subpoblación:
Ey: 041°±7°
Buz: 46°±22°
Cab: 41°±15°
s1 07°/210°
s2 61°/314°
s3 27°/116°
R = 0.35
μ = 0.31
F.E. = 12 (12)

Rosa de Direcciones

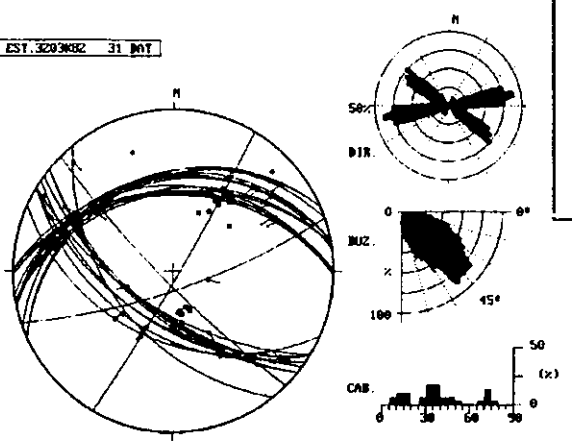


Valor Máximo de Escala: 50%
Ángulo de Apertura: 15°
DEYM: 110° ± 27,20°

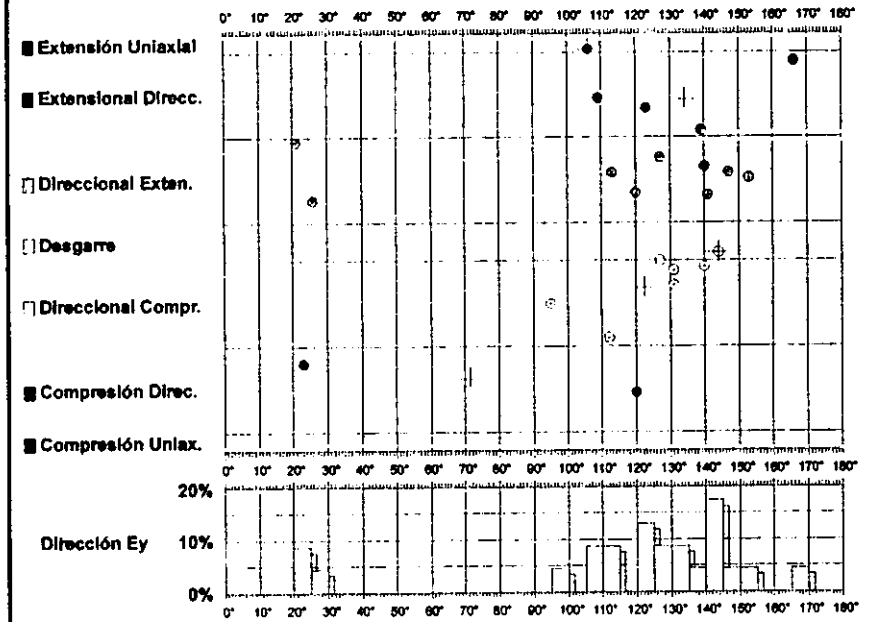
Diagrama Cabeceo/Buzamiento

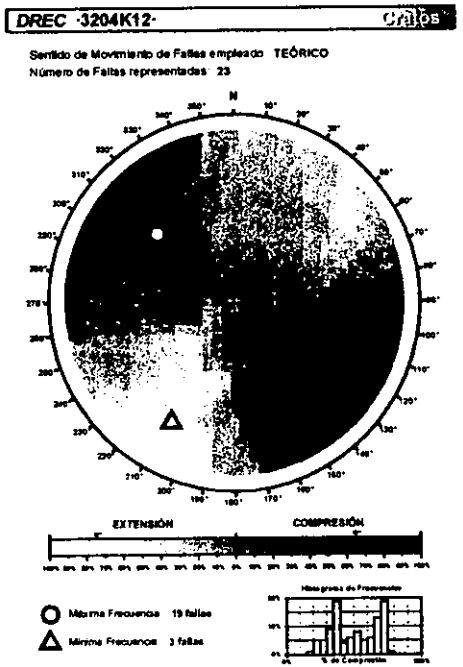


Parámetros Globales
K':0,0205 Buzamiento:47°±18°
PHI:-23,13° Cabeceo:38°±21°



Modelo de Deslizamiento ·3204K12· Cratos





Trazas cicloográficas e histogramas del azimut, buzamiento y cabeceo

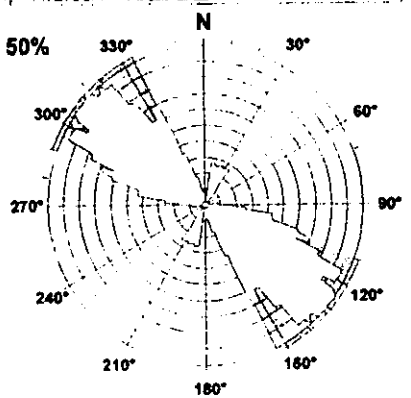
Estación: 3204k12
Coordenadas U.T.M. (metros)
X:546500
Y:4256250
Z:1060
Litología: Carbonatos
Edad: Jurásico

1ª Subpoblación:
Ey: 023°±1°
Buz: 62°±11°
Cab: 29°±5°
s1 --°/---°
s2 --°/---°
s3 --°/---°
R = ---
μ = ---
F.E. = 0 (3)

2ª Subpoblación:

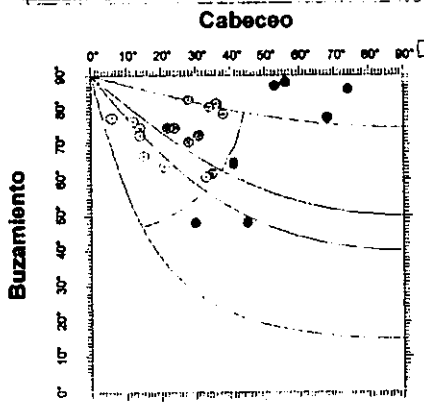
Ey: 129°±10°	Ey: 129°±10°
Buz: 75°±10°	Buz: 75°±10°
Cab: 34°±18°	Cab: 34°±18°
s1 49°/178°	s1 82°/302°
s2 19°/293°	s2 07°/123°
s3 33°/037°	s3 00°/033°
R = 0.30	R = 0.09
μ = 0.31	μ = 1.11
F.E. = 10 (20)	F.E. = 8 (20)

Rosa de Direcciones

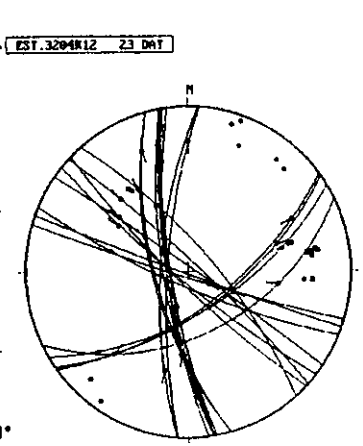


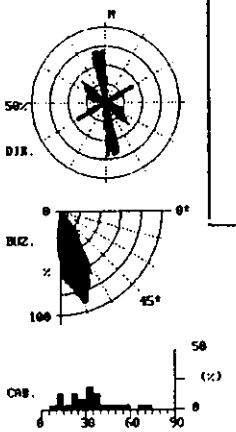
Valor Máximo de Escala: 50%
Ángulo de Apertura: 15°
DEYM: 132° ± 21,71°

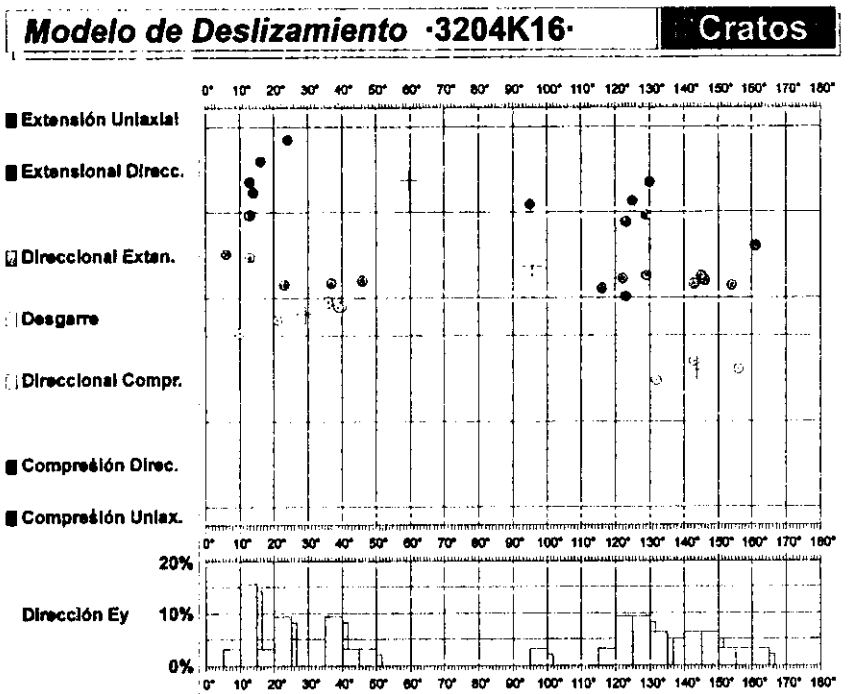
Diagrama Cabeceo/Buzamiento

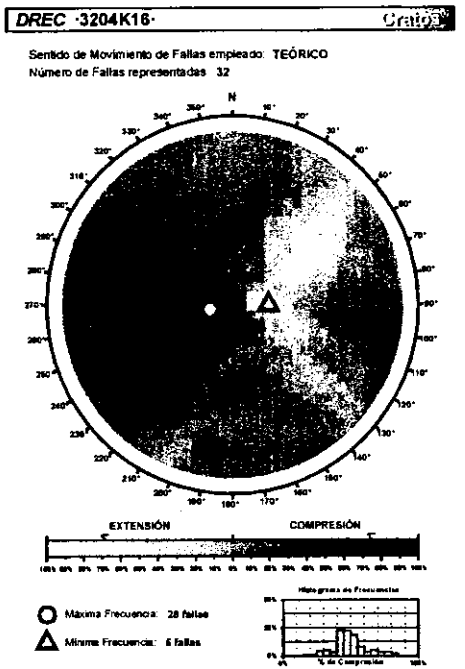


Parámetros Globales
K':-3,8797
PHI:31,38°
Buzamiento:73°±11°
Cabeceo:33°±17°







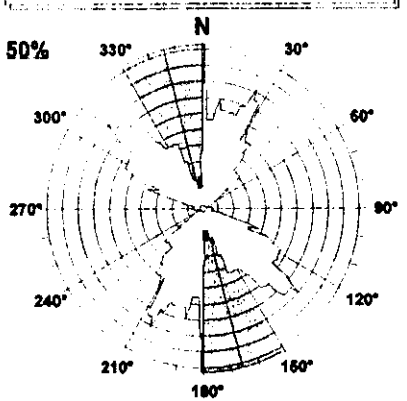


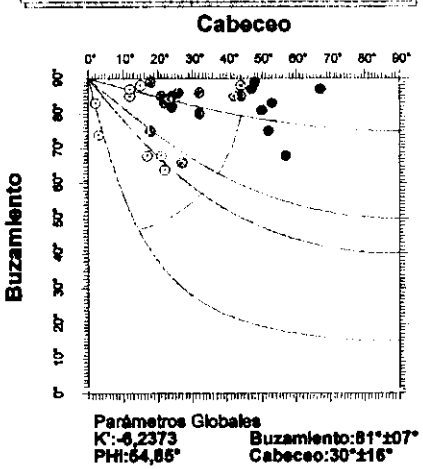
Trazas ciclográficas e histogramas del azimut, buzamiento y cabeceo

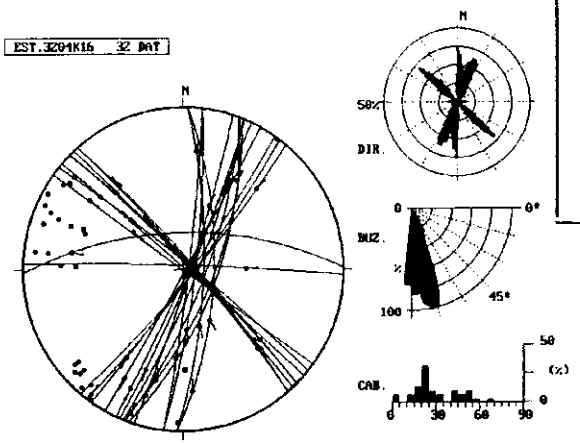
Estación: 3204k16
Coordenadas U.T.M. (metros)
X:548400
Y:4259000
Z:1100
Litología: Carbonatos
Edad: Jurásico

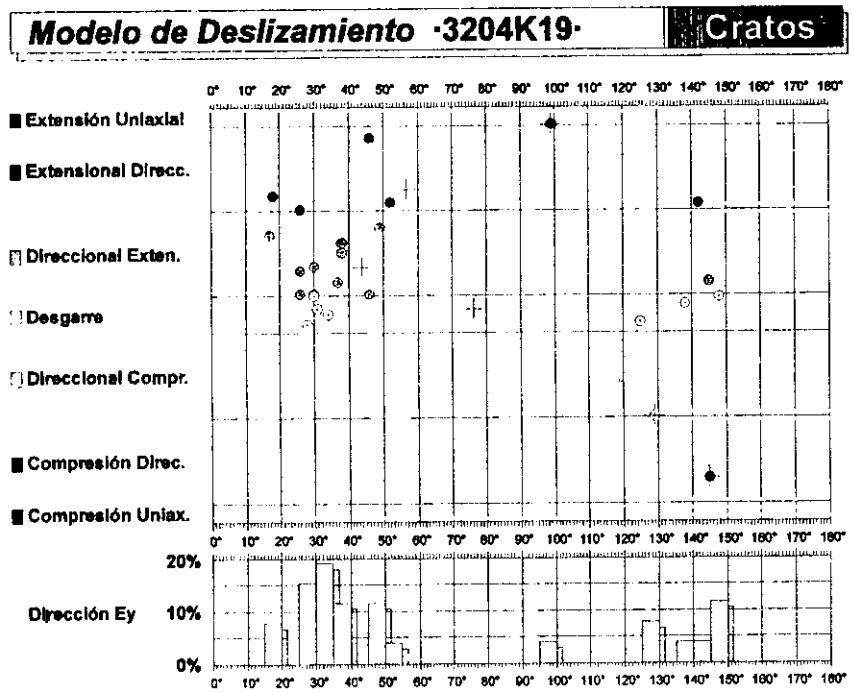
1ª Subpoblación:	
Ey: 134°±9°	Ey: 134°±9°
Buz: 81°±8°	Buz: 81°±8°
Cab: 29°±12°	Cab: 29°±12°
s1 84°/104°	s1 04°/147°
s2 05°/291°	s2 85°/320°
s3 00°/201°	s3 00°/057°
R = 0.18	R = 0.37
μ = 0.71	μ = 0.40
F.E. = 5 (17)	F.E. = 5 (17)

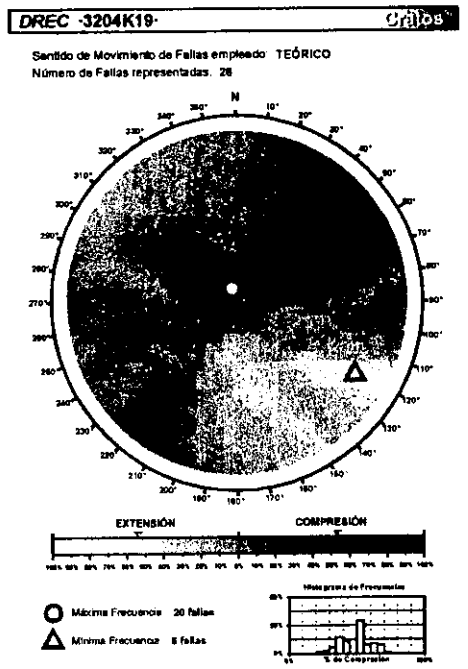
2ª Subpoblación:
Ey: 023°±6°
Buz: 82°±5°
Cab: 30°±20°
s1 71°/025°
s2 17°/096°
s3 02°/287°
R = 0.59
μ = 1.51
F.E. = 7 (15)









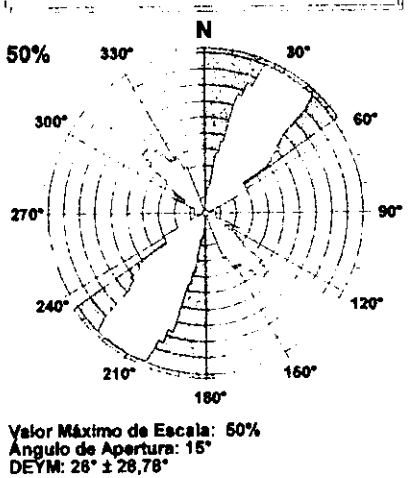


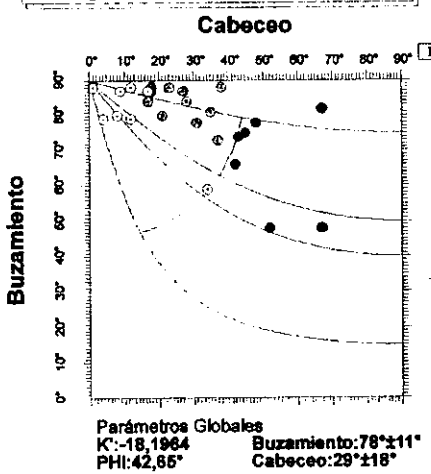
Estación: 3204k19
Coordenadas U.T.M. (metros)
X:550900
Y:4259850
Z:1000
Litología:Carbonatos
Edad: Jurásico

1ª Subpoblación:

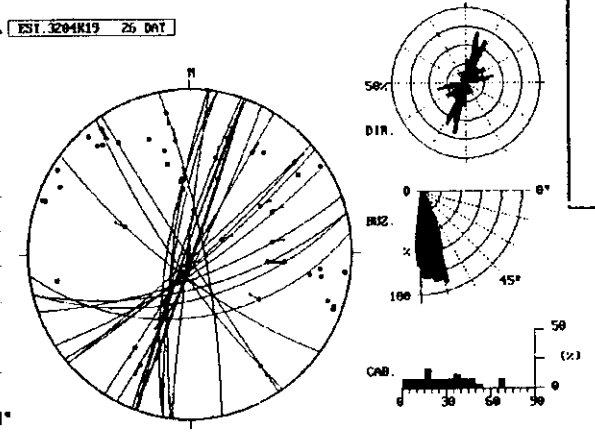
Ey: 033°±6°	Ey: 033°±6°
Buz: 82°±6°	Buz: 82°±6°
Cab: 28°±16°	Cab: 28°±16°
s1 71°/210°	s1 47°/025°
s2 18°/041°	s2 42°/202°
s3 03°/310°	s3 01°/293°
R = 0.42	R = 0.62
μ = 0.81	μ = 1.31
F.E. = 11 (18)	F.E. = 5 (18)

2ª Subpoblación:
Ey: 135°±10°
Buz: 70°±15°
Cab: 31°±21°
s1 45°/144°
s2 36°/283°
s3 21°/030°
R = 0.35
μ = 0.31
F.E. = 7 (8)

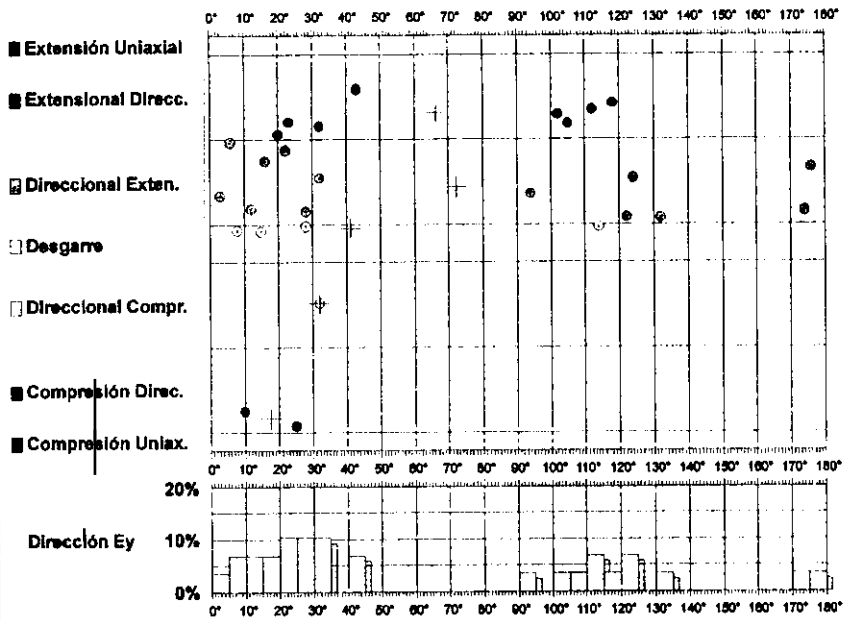


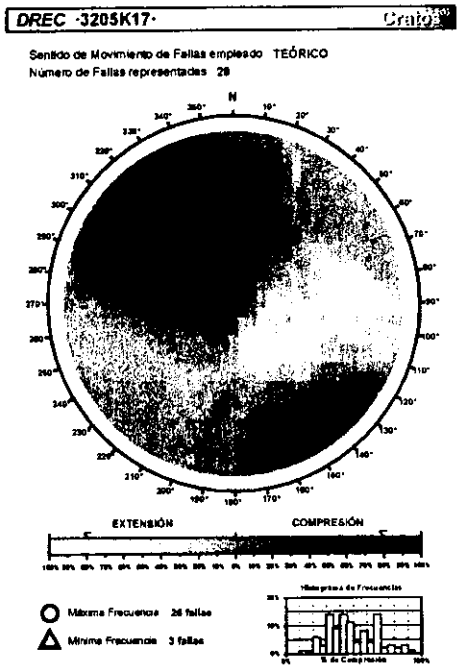


Trazas ciclográficas e histogramas del azimut, buzamiento y cabeceo



Modelo de Deslizamiento ·3205K17· — Cratos





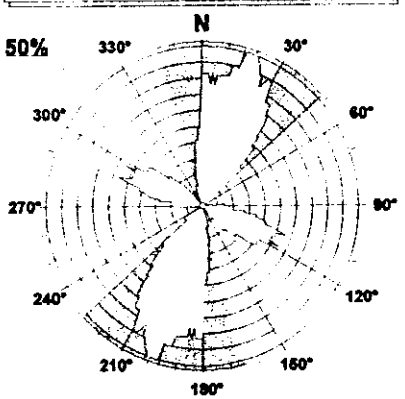
Trazas cicloográficas e histogramas del azimut, buzamiento y cabeceo

Estación: 3205k17
Coordenadas U.T.M. (metros)
X:540400
Y:4258500
Z:900
Litología: Carbonatos
Edad: Jurásico

1ª Subpoblación:
Ey: 114°±7°
Buz: 79°±5°
Cab: 35°±15°
s1 83°/161°
s2 05°/315°
s3 02°/046°
R = 0.35
μ = 0.31
F.E. = 6 (9)

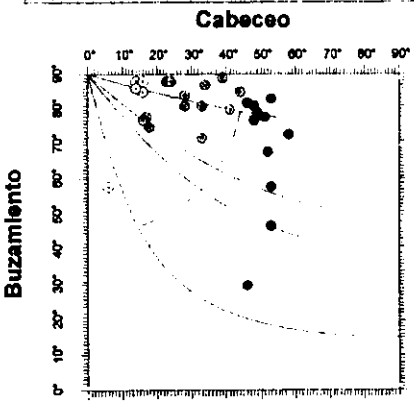
2ª Subpoblación:
Ey: 020°±8°
Buz: 76°±15°
Cab: 34°±15°
s1 38°/191°
s2 51°/010°
s3 00°/101°
R = 0.37
μ = 0.31
F.E. = 10 (20)

Rosa de Direcciones

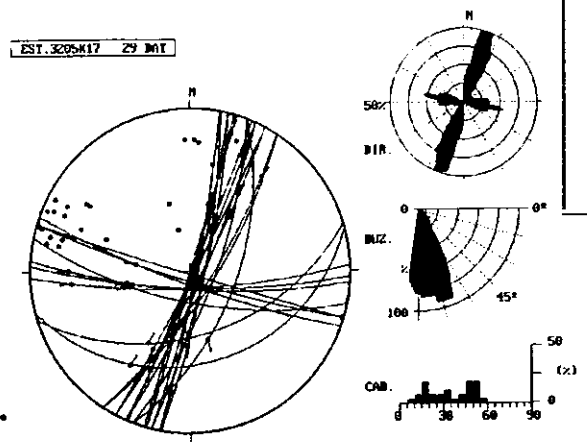


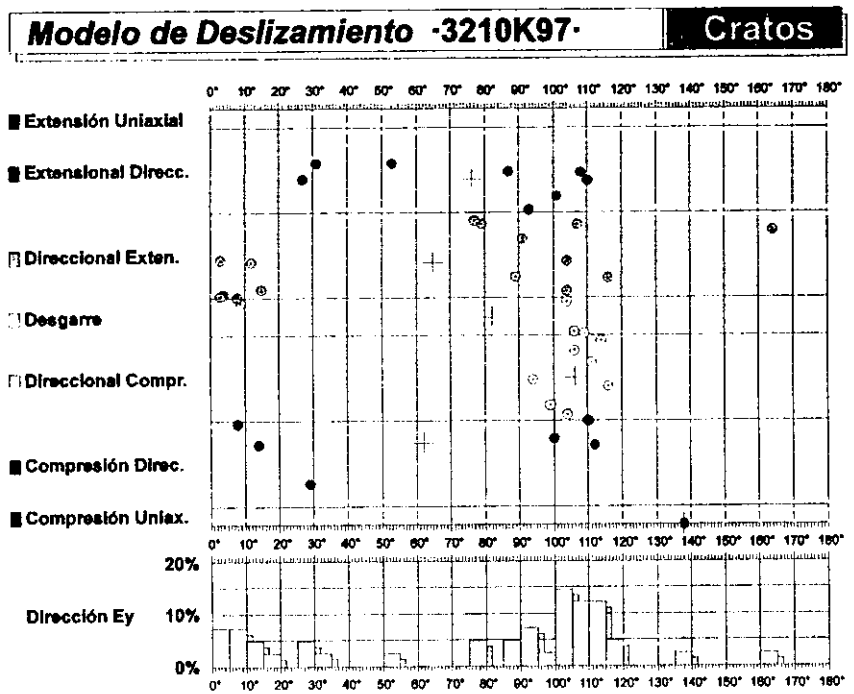
Valor Máximo de Escala: 50%
Ángulo de Apertura: 15°
DEYM: 18° ± 32,32°

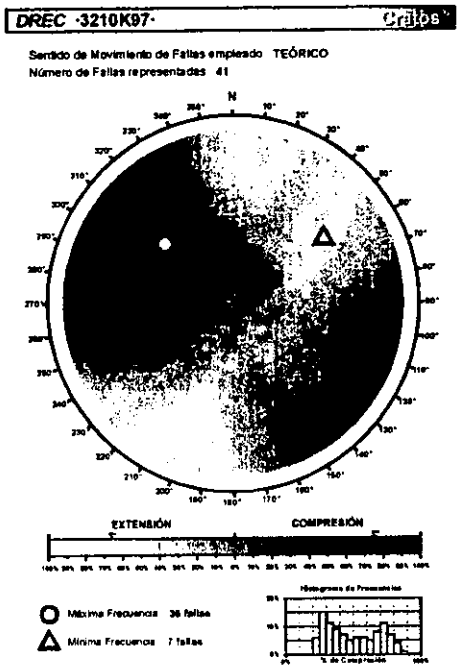
Diagrama Cabeceo/Buzamiento



Parámetros Globales
K':2,5879
PHI:46,15°
Buzamiento:77°±13°
Cabeceo:35°±15°





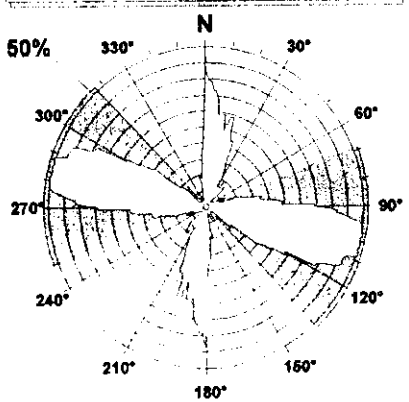


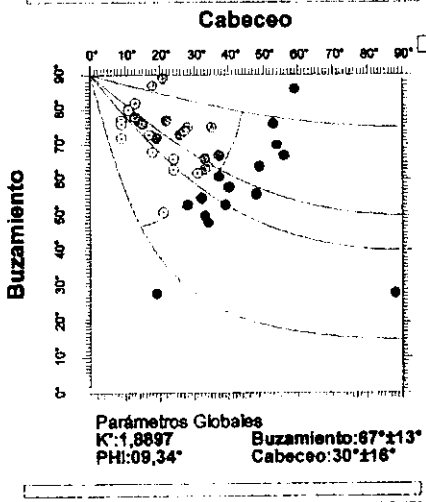
Estación: 3210k97
Coordenadas U.T.M. (metros)
X:521250
Y:4236500
Z:1000
Litología Carbonatos:
Edad: Jurásico

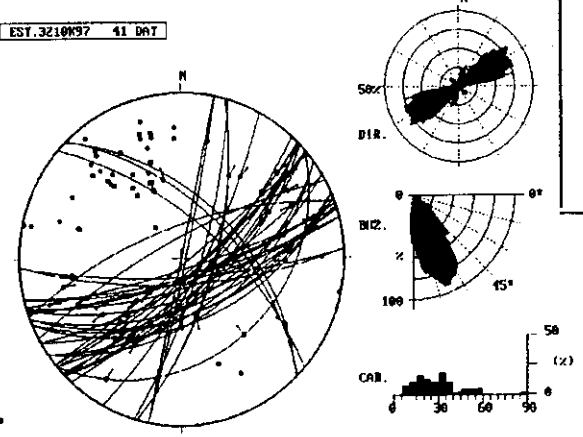
1ª Subpoblación:
Ey: 103°±8°
Buz: 65°±12°
Cab: 30°±17°
s1 09°/102°
s2 79°/251°
s3 05°/012°
R = 0.77
μ = 0.31
F.E. = 26 (27)

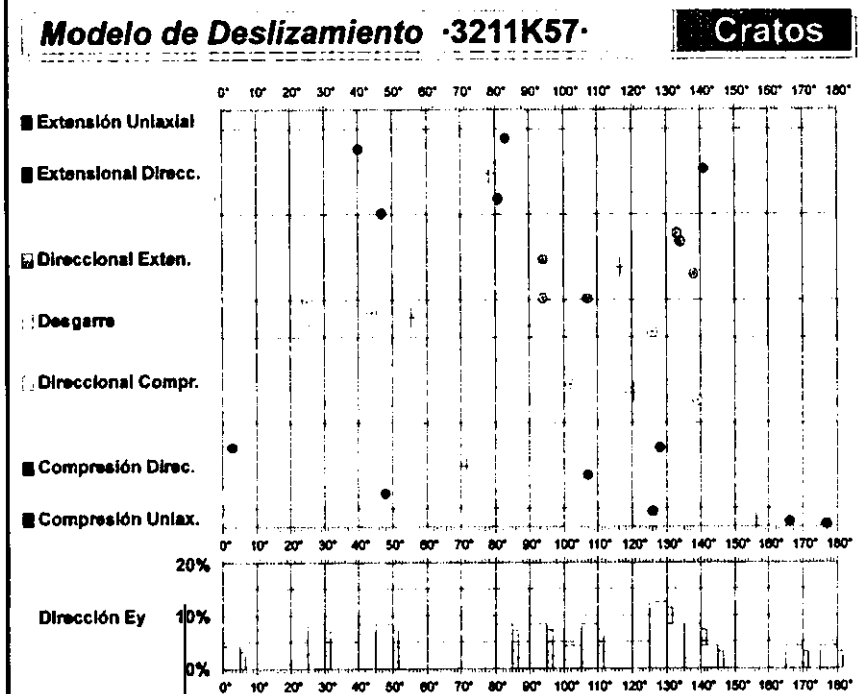
2ª Subpoblación:
Ey: 014°±11°
Buz: 71°±16°
Cab: 30°±16°
s1 02°/014°
s2 82°/121°
s3 07°/283°
R = 0.50
μ = 0.81
F.E. = 10 (14)

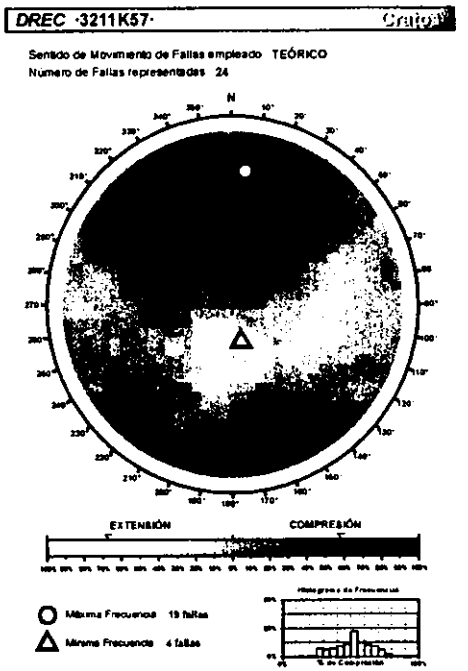
Trazas ciclográficas e histogramas del azimut, buzamiento y cabeceo











Trazas cicloográficas e histogramas del azimut, buzamiento y cabeceo

Estación: 3211k57
Coordenadas U.T.M. (metros)
X:580800
Y:4269200
Z:850
Litología: Carbonatos
Edad: Jurásico

1ª Subpoblación:
Ey: 116°±8°
Buz: 68°±18°
Cab: 32°±18°
s1 16°/305°
s2 33°/203°
s3 51°/057°
R = 0.26
μ = 0.31
F.E. = 5 (15)

2ª Subpoblación:
Ey: 025°±12°
Buz: 62°±17°
Cab: 41°±27°
s1 17°/222°
s2 47°/333°
s3 37°/118°
R = 0.31
μ = 0.31
F.E. = 7 (9)

Rosa de Direcciones

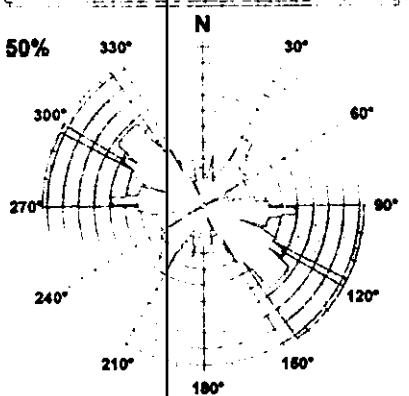
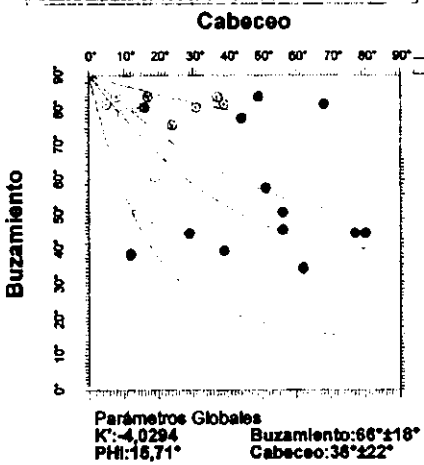
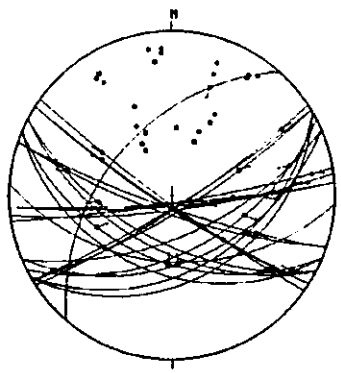
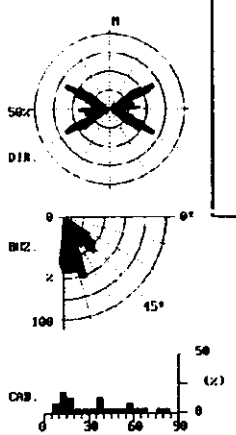
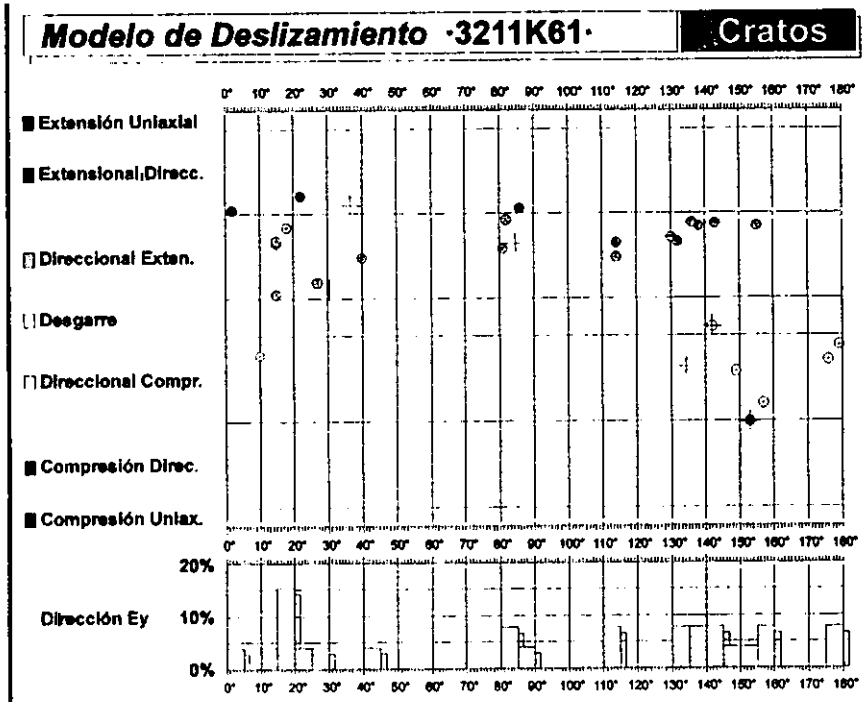


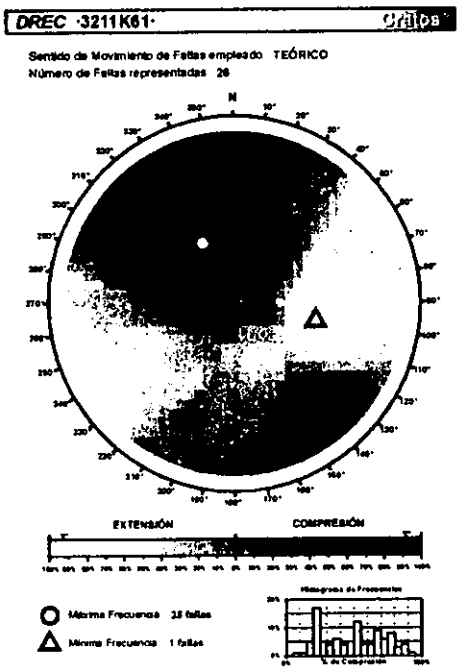
Diagrama Cabeceo/Buzamiento









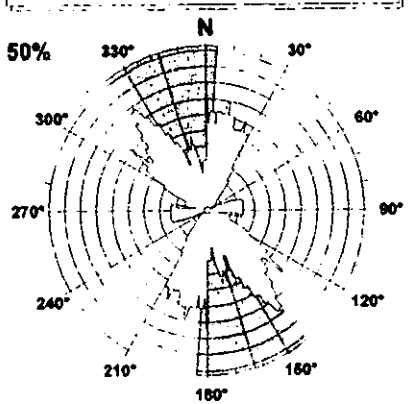


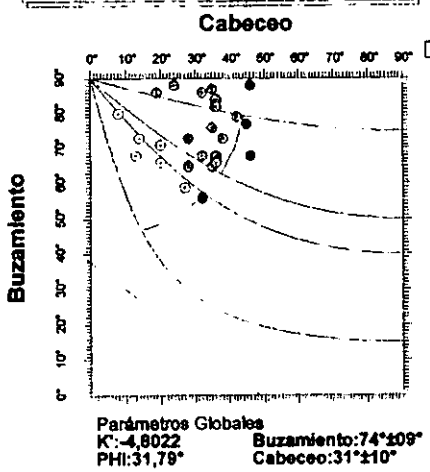
Estación: 3211k61
Coordenadas U.T.M. (metros)
X:579900
Y:4267700
Z:650
Litología: Carbonatos
Edad: Jurásico

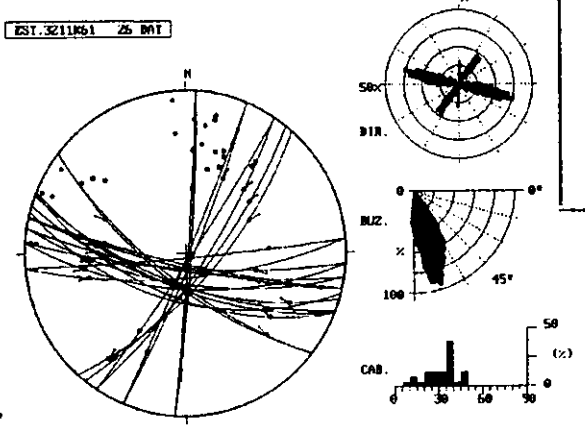
1ª Subpoblación:
Ey: 131°±16°
Buz: 71°±8°
Cab: 32°±9°
s1 65°/189°
s2 18°/327°
s3 15°/062°
R = 0.03
μ = 0.31
F.E. = 5 (15)

2ª Subpoblación:
Ey: 014°±8°
Buz: 78°±8°
Cab: 29°±11°
s1 63°/182°
s2 26°/010°
s3 03°/278°
R = 0.15
μ = 0.40
F.E. = 5 (11)

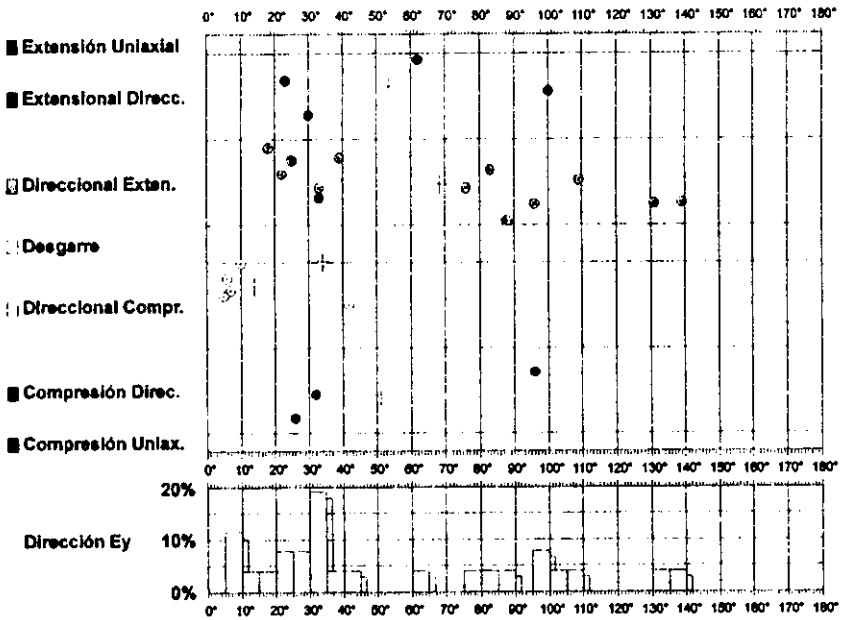
Trazas cicloográficas e histogramas del azimut, buzamiento y cabeceo

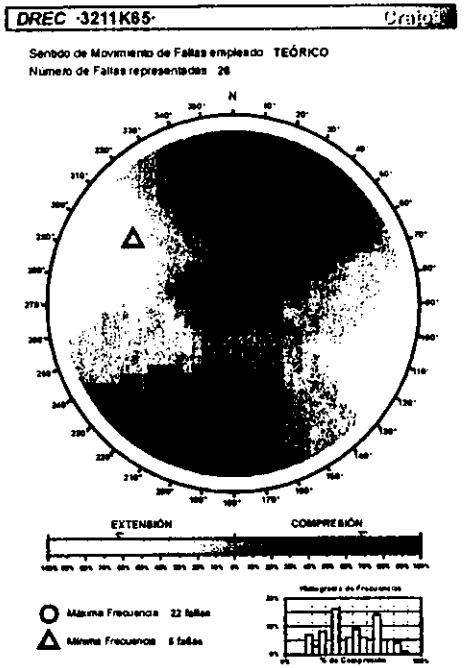






Modelo de Deslizamiento ·3211K65· Cratos





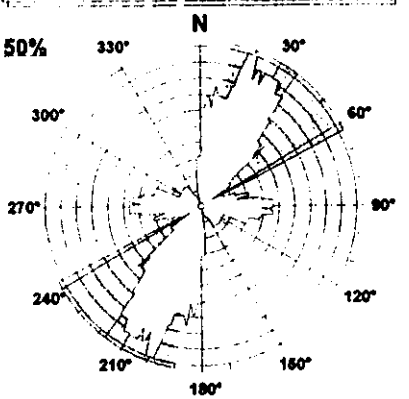
Trazas ciclográficas e histogramas del azimut, buzamiento y cabeceo

Estación: 3211k65
Coordenadas U.T.M. (metros)
X:577500
Y:4267200
Z:800
Litología: Carbonatos
Edad: Jurásico

1ª Subpoblación:
Ey: 101°±13°
Buz: 77°±10°
Cab: 31°±11°
s1 04°/094°
s2 82°/330°
s3 06°/184°
R = 0.59
μ = 0.31
F.E. = 7 (10)

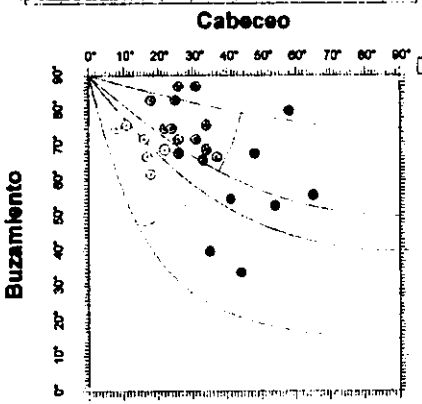
2ª Subpoblación:
Ey: 026°±9°
Buz: 64°±12°
Cab: 31°±15°
s1 01°/031°
s2 83°/138°
s3 06°/301°
R = 0.51
μ = 0.50
F.E. = 16 (17)

Rosa de Direcciones

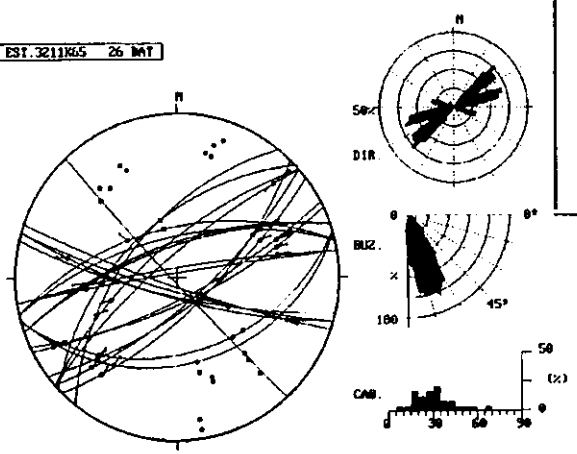


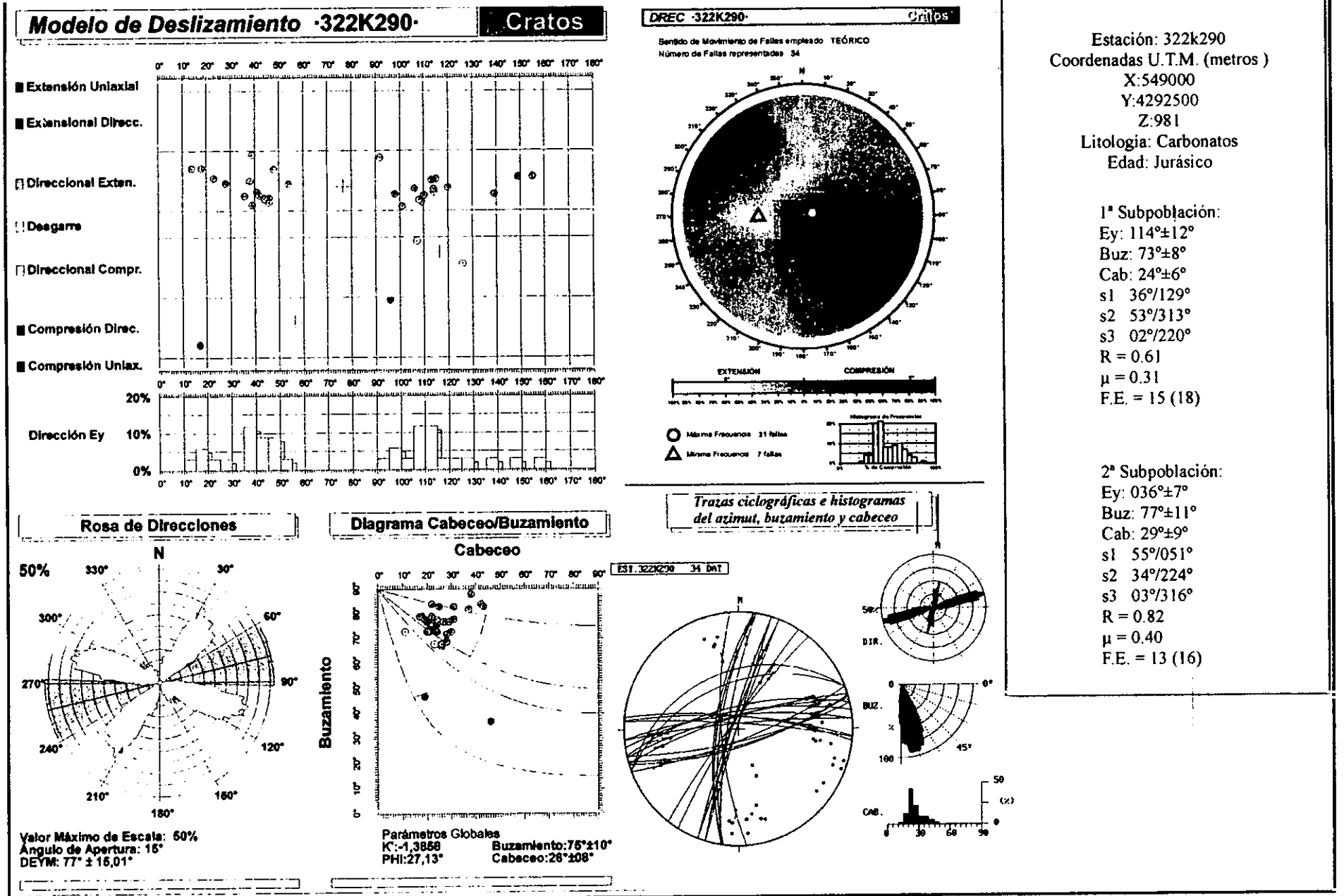
Valor Máximo de Escala: 50%
Ángulo de Apertura: 15°
DEYM: 37° ± 25,89°

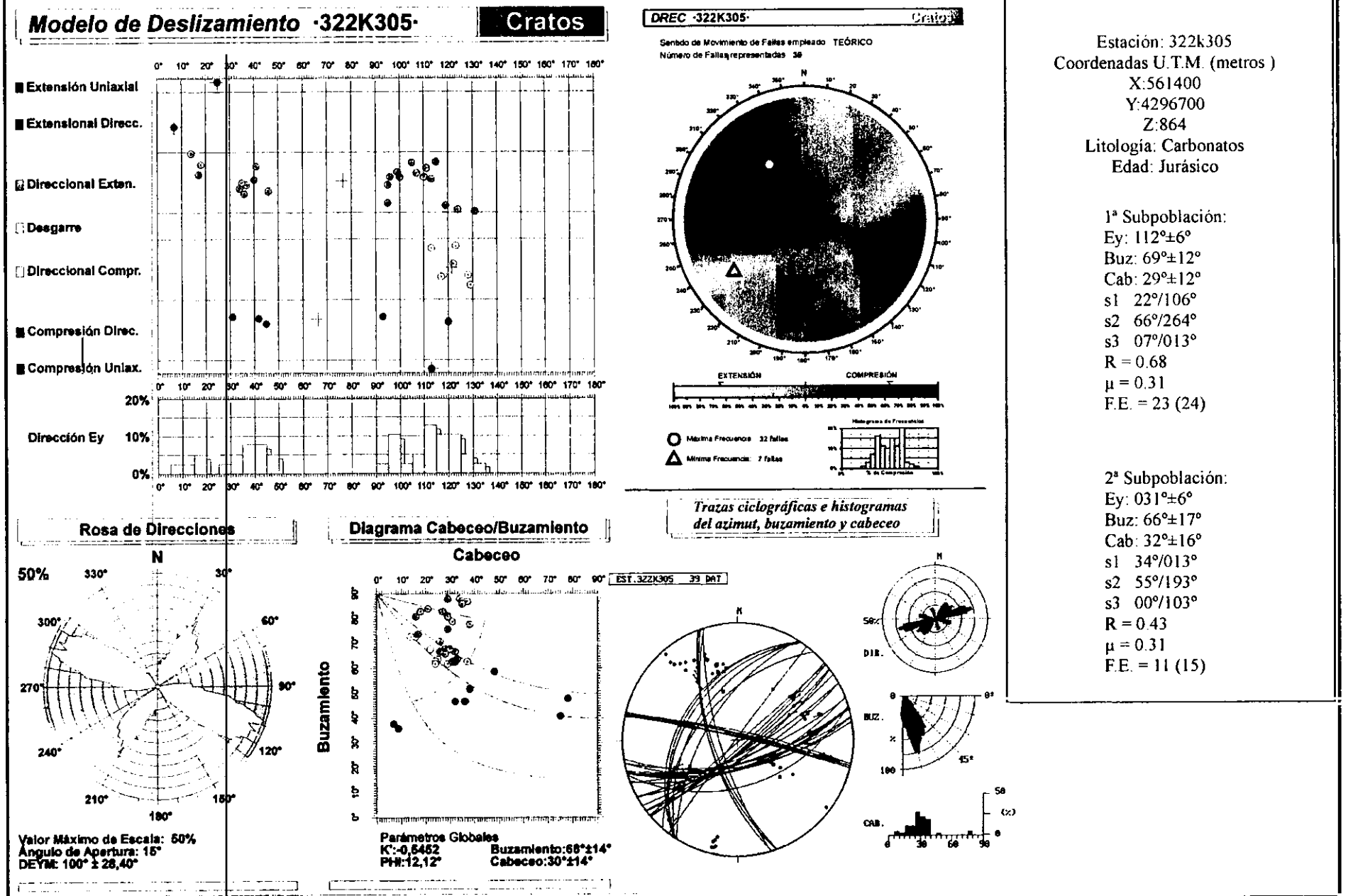
Diagrama Cabeceo/Buzamiento



Parámetros Globales
K':-3,0952
PHI:16,60°
Buzamiento:69°±13°
Cabeceo:31°±14°



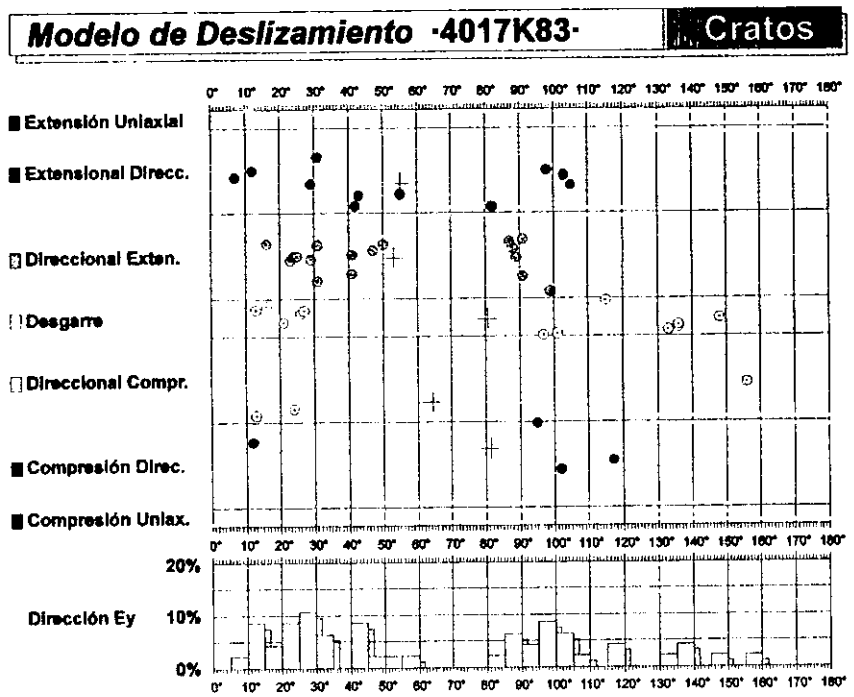

Modelo de Deslizamiento ·322K290·
Cratos
Extensión Uniaxial
Extensional Direcc.
Direccional Exten.
Desgarre
Direccional Compr.
Compresión Direc.
Compresión Uniax.
Dirección Ey
20%
10%
0%
DREC ·322K290·
Cratos
Sentido de Movimiento de Fallas empleado TEÓRICO
Número de Fallas representadas 34
EXTENSIÓN
COMPRESIÓN
Máxima Frecuencia 11 fallas
Mínima Frecuencia 7 fallas
Estación: 322k290
Coordenadas U.T.M. (metros)
X:549000
Y:4292500
Z:981
Litología: Carbonatos
Edad: Jurásico
1ª Subpoblación:
Ey: 114°±12°
Buz: 73°±8°
Cab: 24°±6°
s1 36°/129°
s2 53°/313°
s3 02°/220°
R = 0.61
μ = 0.31
F.E. = 15 (18)
2ª Subpoblación:
Ey: 036°±7°
Buz: 77°±11°
Cab: 29°±9°
s1 55°/051°
s2 34°/224°
s3 03°/316°
R = 0.82
μ = 0.40
F.E. = 13 (16)
Rosa de Direcciones
50%
N
Valor Máximo de Escala: 50%
Ángulo de Apertura: 15°
DEYM: 77° ± 15,01°
Diagrama Cabeceo/Buzamiento
Cabeceo
Buzamiento
EST.322K290 34 DAT
Parámetros Globales
K':-1,3858
PHI:27,13°
Buzamiento:75°±10°
Cabeceo:26°±08°
Trazas cicloográficas e histogramas del azimut, buzamiento y cabeceo
DIR.
BUZ.
CAB.

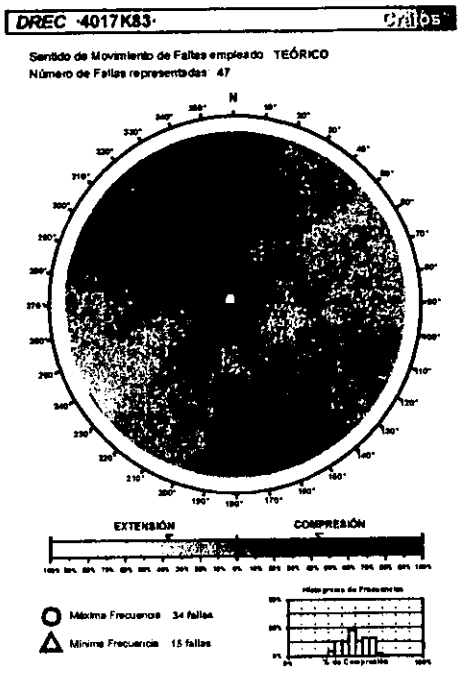


Estación: 322k305
Coordenadas U.T.M. (metros)
X:561400
Y:4296700
Z:864
Litología: Carbonatos
Edad: Jurásico

1ª Subpoblación:
Ey: 112°±6°
Buz: 69°±12°
Cab: 29°±12°
s1 22°/106°
s2 66°/264°
s3 07°/013°
R = 0.68
μ = 0.31
F.E. = 23 (24)

2ª Subpoblación:
Ey: 031°±6°
Buz: 66°±17°
Cab: 32°±16°
s1 34°/013°
s2 55°/193°
s3 00°/103°
R = 0.43
μ = 0.31
F.E. = 11 (15)



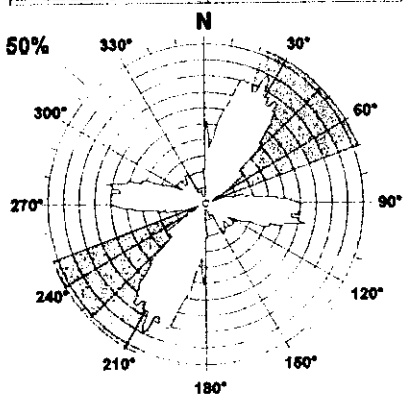


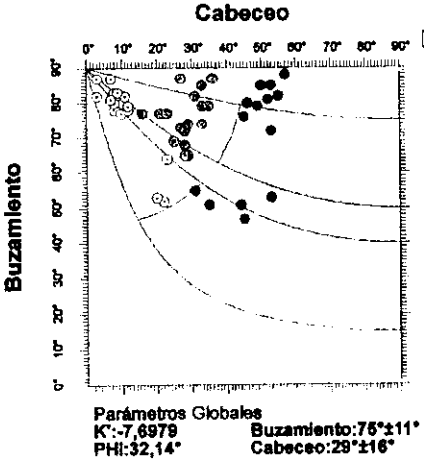
Estación: 4017k83
Coordenadas U.T.M. (metros)
X:368600
Y:4358600
Z:807
Litología: Basamento hercínico
Edad: Paleozoico

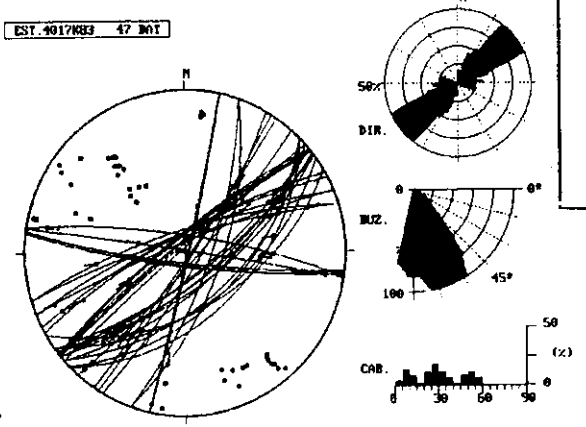
1ª Subpoblación:
Ey: 106°±13°
Buz: 73°±11°
Cab: 27°±17°
s1 24°/117°
s2 65°/298°
s3 00°/207°
R = 0.77
μ = 0.31
F.E. = 14 (21)

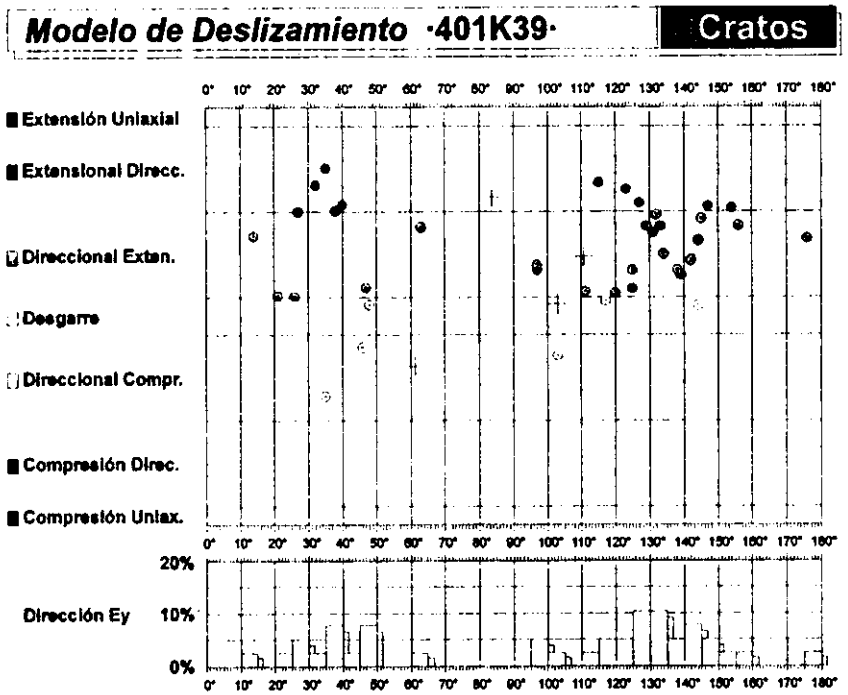
2ª Subpoblación:
Ey: 028°±8°
Buz: 76°±11°
Cab: 31°±15°
s1 30°/204°
s2 57°/045°
s3 09°/300°
R = 0.88
μ = 1.01
F.E. = 18 (26)

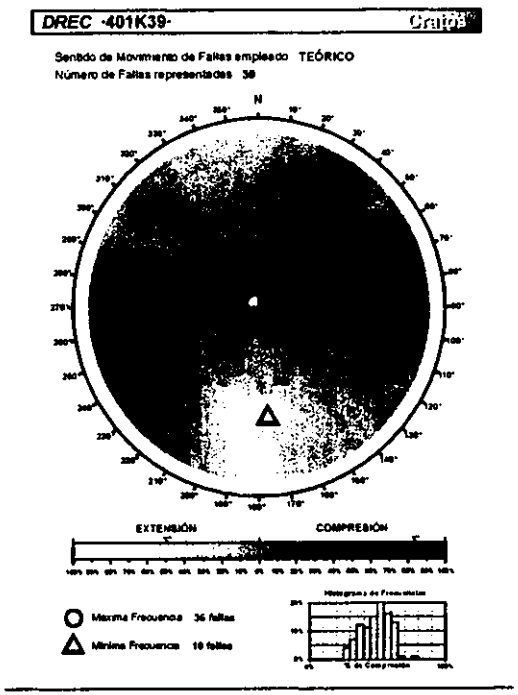
Trazas ciclográficas e histogramas del azimut, buzamiento y cabeceo











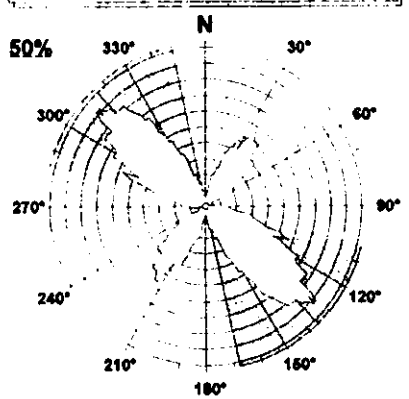
Trazas ciclográficas e histogramas del azimut, buzamiento y cabeceo

Estación: 401k39
Coordenadas U.T.M. (metros)
X:381400
Y:4391600
Z:654
Litología: Basamento hercínico
Edad: Paleozoico

1ª Subpoblación:
Ey: 129°±10°
Buz: 82°±6°
Cab: 32°±12°
s1 39°/300°
s2 49°/128°
s3 04°/033°
R = 0.73
μ = 0.50
F.E. = 11 (25)

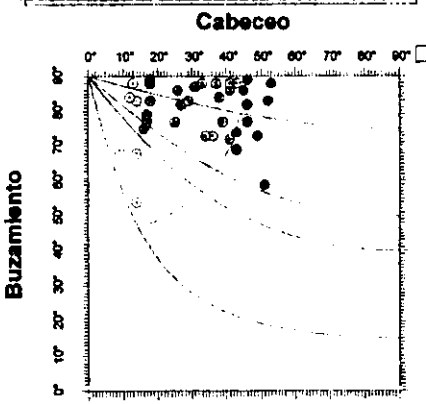
2ª Subpoblación:
Ey: 034°±11°
Buz: 76°±10°
Cab: 31°±15°
s1 59°/051°
s2 30°/230°
s3 00°/320°
R = 0.85
μ = 0.31
F.E. = 11 (14)

Rosa de Direcciones

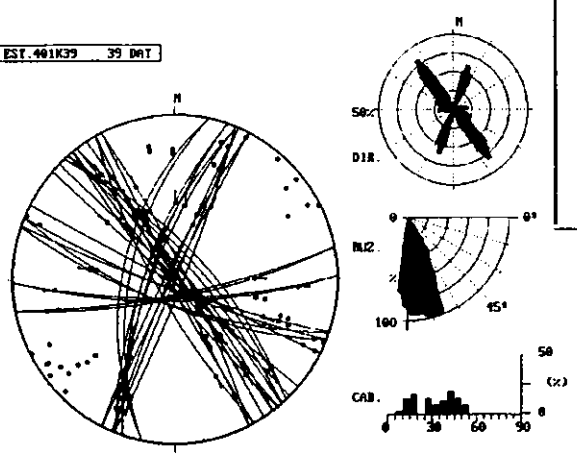


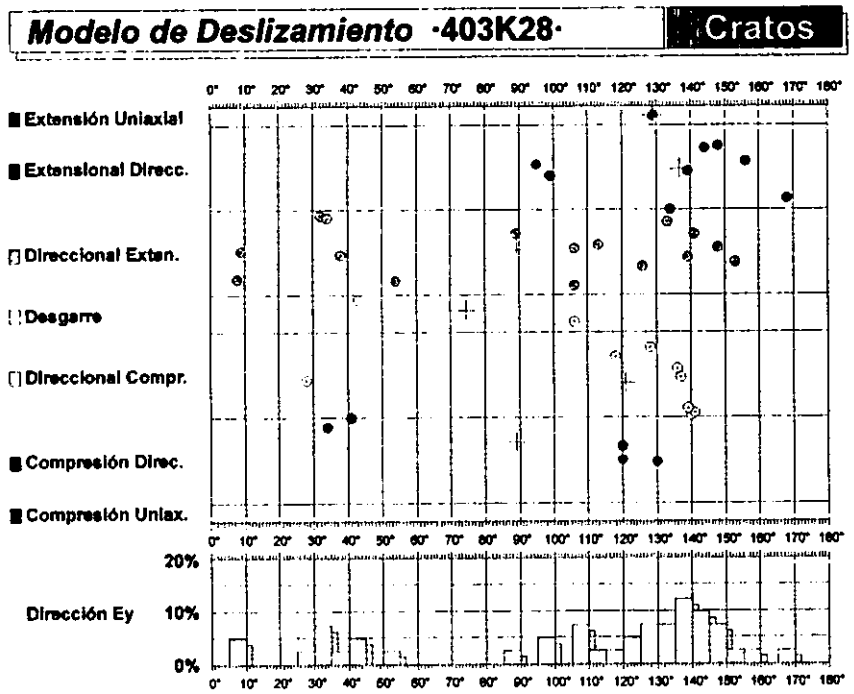
Valor Máximo de Escala: 50%
Ángulo de Apertura: 15°
DEYM: 136° ± 31,74°

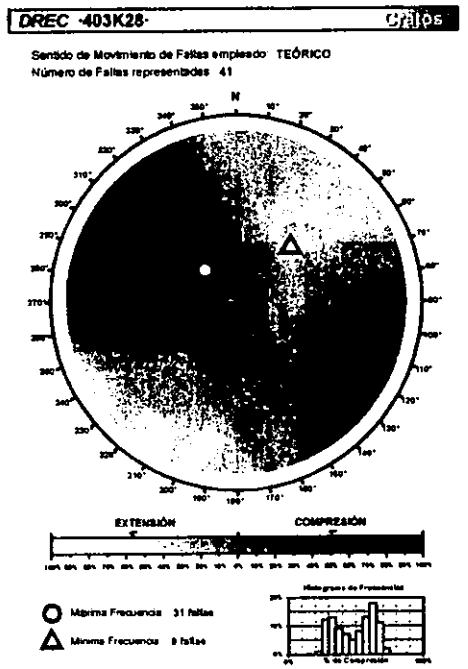
Diagrama Cabeceo/Buzamiento



Parámetros Globales
K':3,9581 Buzamiento:80°±06°
PHI:63,19° Cabeceo:32°±13°



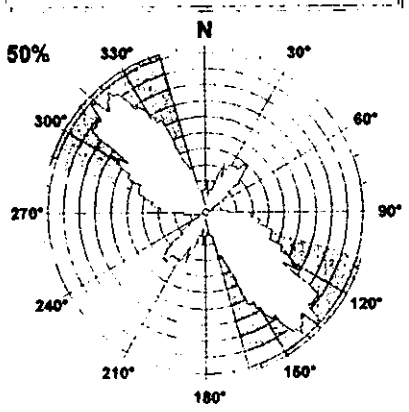


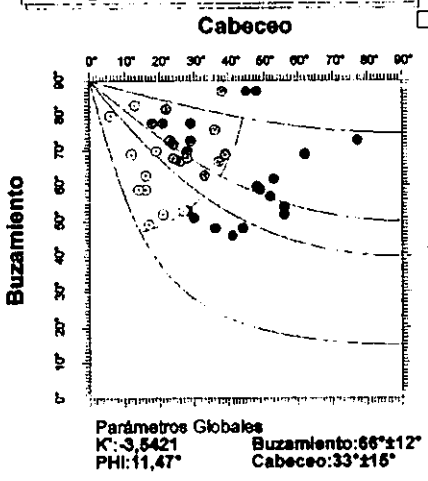


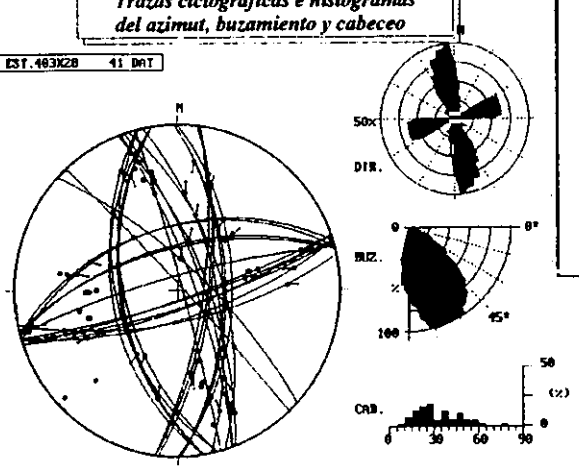
Estación: 403k28
Coordenadas U.T.M. (metros)
X:395100
Y:4371500
Z:723
Litología:Basamento hercínico
Edad: Paleozoico

1ª Subpoblación:
Ey: 131°±11°
Buz: 65°±12°
Cab: 35°±17°
s1 25°/303°
s2 64°/131°
s3 03°/034°
R = 0.71
μ = 0.31
F.E. = 23 (31)

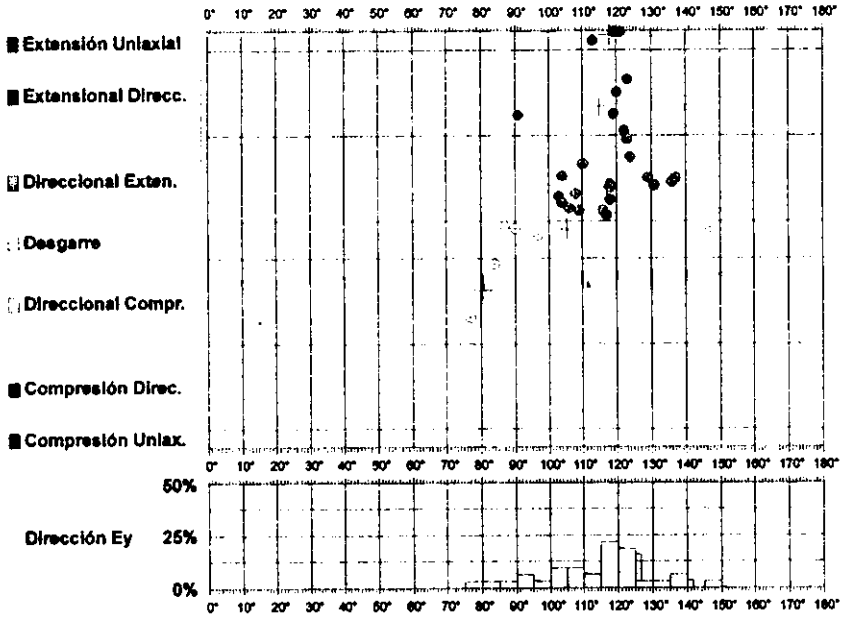
2ª Subpoblación:
Ey: 032°±9°
Buz: 68°±11°
Cab: 26°±8°
s1 10°/217°
s2 78°/009°
s3 05°/126°
R = 0.70
μ = 0.50
F.E. = 10 (10)

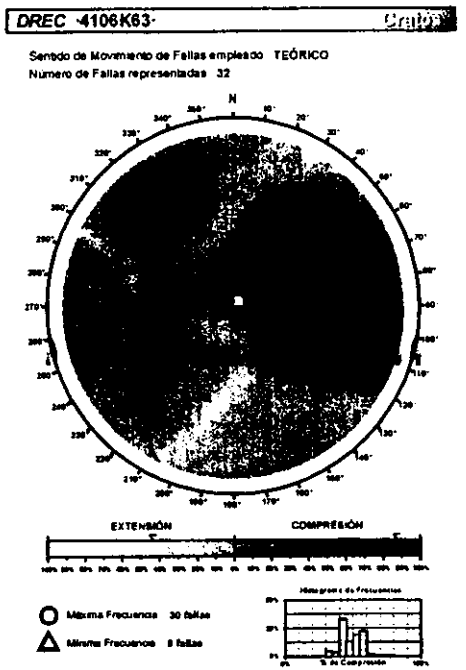






Modelo de Deslizamiento ·4106K63· Cratos



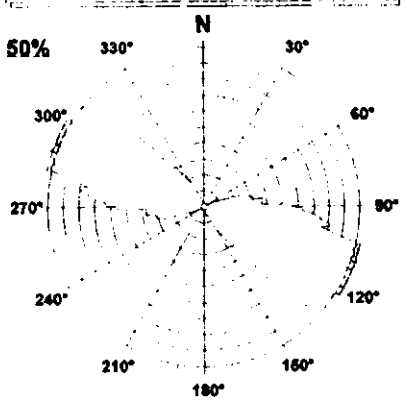


Estación: 4106k63
Coordenadas U.T.M. (metros)
X:366500
Y:4350400
Z:598
Litología: Basamento hercínico
Edad: Paleozoico

Ey: 113°±10°	Ey: 113°±10°	Ey: 113°±10°
Buz: 83°±7°	Buz: 83°±7°	Buz: 83°±7°
Cab: 35°±20°	Cab: 35°±20°	Cab: 35°±20°
s1 18°/082°	s1 84°/272°	s1 89°/034°
s2 71°/260°	s2 02°/152°	s2 00°/296°
s3 00°/352°	s3 04°/061°	s3 00°/206°
R = 0.82	R = 0.20	R = 0.57
μ = 0.31	μ = 0.91	μ = 1.41
F.E. = 10 (32)	F.E. = 8 (32)	F.E. = 12 (32)

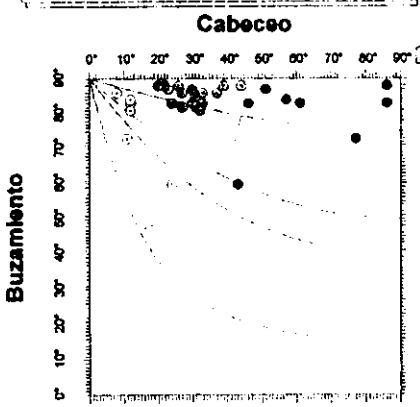
Trazas ciclográficas e histogramas del azimut, buzamiento y cabeceo

Rosa de Direcciones

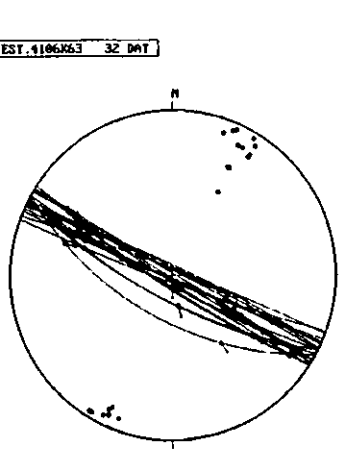


Valor Máximo de Escala: 50%
Ángulo de Apertura: 15°
DEYM: 113° ± 9,74°

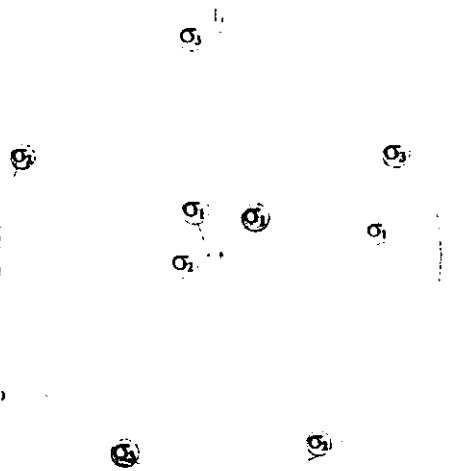
Diagrama Cabeceo/Buzamiento

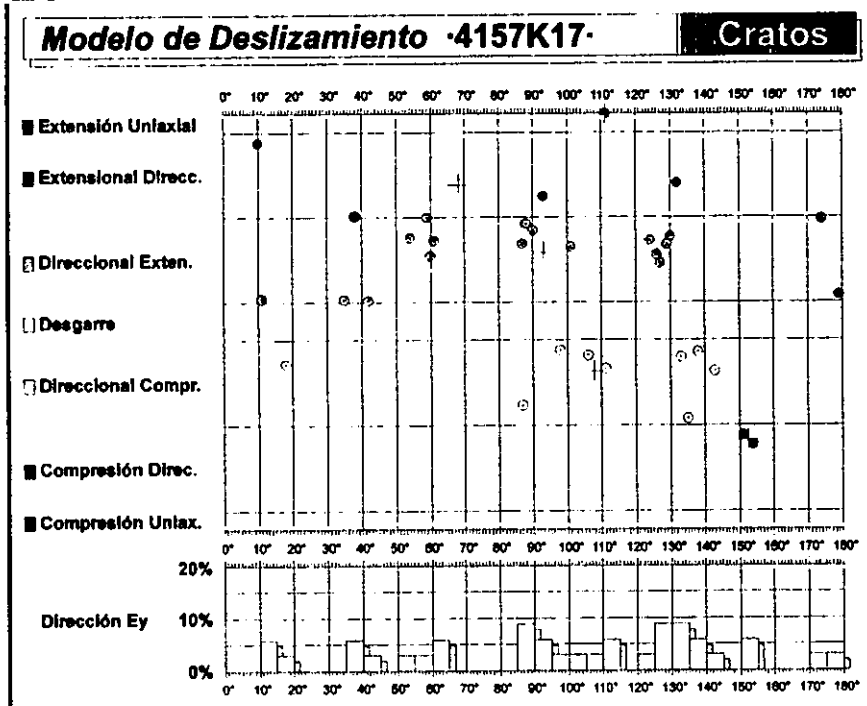


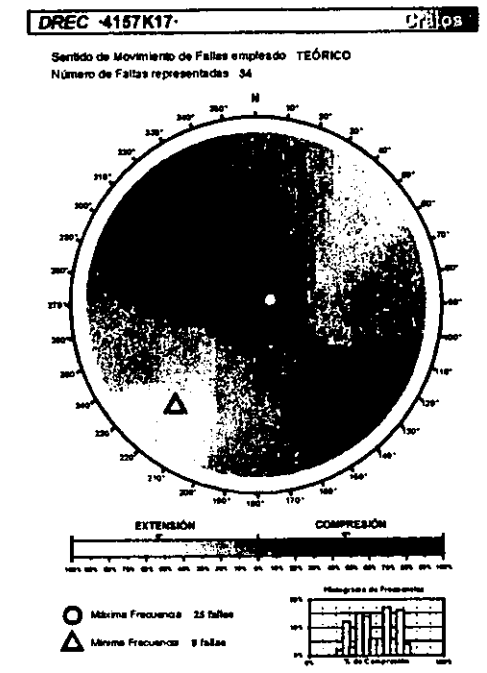
Parámetros Globales
K':4,1410 Buzamiento:83°±07°
PHI:66,83° Cabeceo:35°±20°



Método de Inversión de Esfuerzos







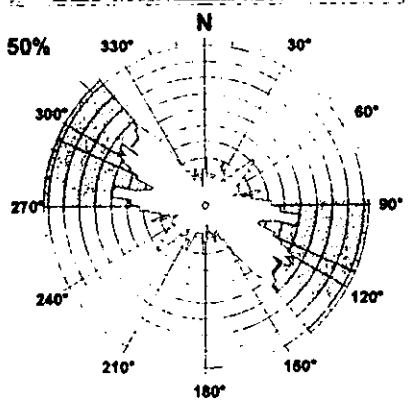
Estación: 4157k17
Coordenadas U.T.M. (metros)
X:364000
Y:4381000
Z:892
Litología: Basamento hercínico
Edad: Paleozoico

1ª Subpoblación:

Ey: 118°±10°	Ey: 118°±10°
Buz: 67°±8°	Buz: 67°±8°
Cab: 30°±17°	Cab: 30°±17°
s1 32°/115°	s1 43°/304°
s2 52°/264°	s2 46°/135°
s3 14°/015°	s3 05°/039°
R = 0.65	R = 0.85
μ = 0.91	μ = 0.31
F.E. = 7 (22)	F.E. = 10 (22)

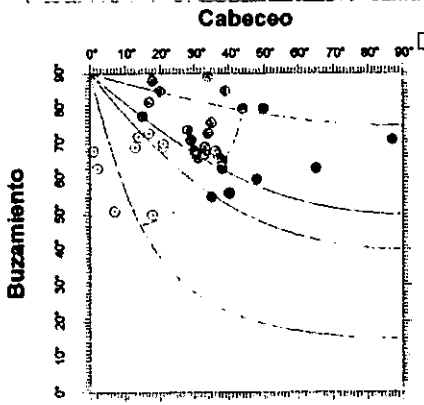
2ª Subpoblación:
Ey: 032°±11°
Buz: 76°±10°
Cab: 30°±16°
s1 37°/040°
s2 42°/175°
s3 24°/290°
R = 0.24
μ = 0.61
F.E. = 5 (12)

Rosa de Direcciones



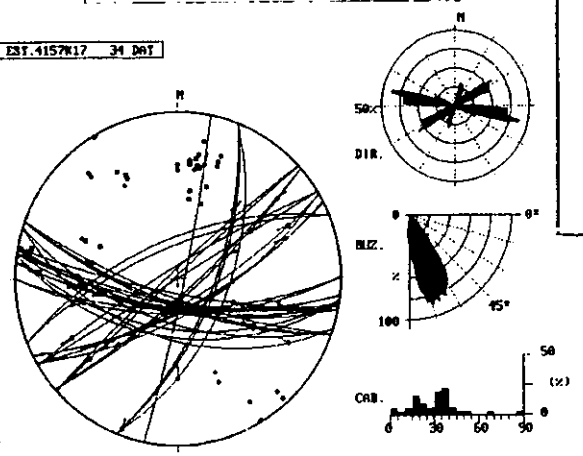
Valor Máximo de Escala: 50%
Ángulo de Apertura: 15°
DEYM: 114° ± 25,52°

Diagrama Cabeceo/Buzamiento



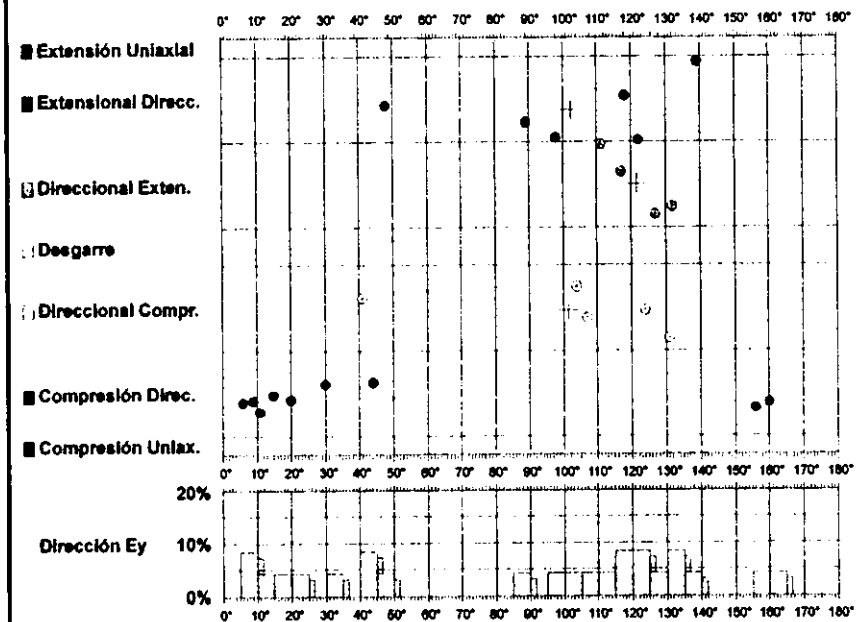
Parámetros Globales
K':-0,5796
PHI:17,89°
Buzamiento:70°±10°
Cabeceo:30°±17°

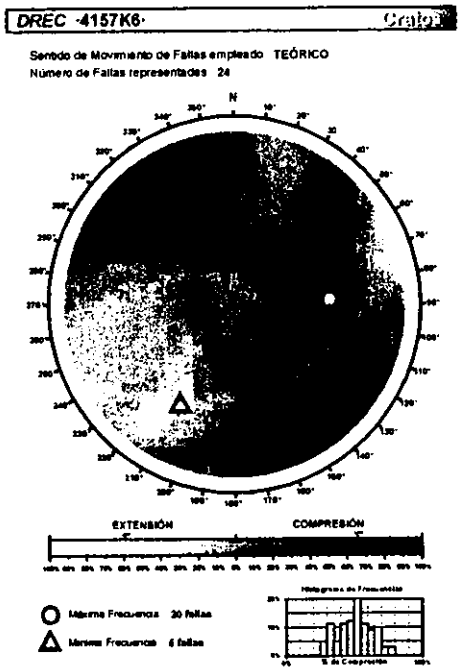
Trazas ciclográficas e histogramas del azimut, buzamiento y cabeceo



Modelo de Deslizamiento ·4157K6·

Cratos





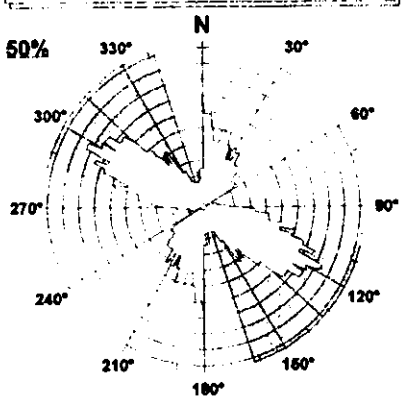
Trazas ciclográficas e histogramas del azimut, buzamiento y cabeceo

Estación: 4157k6
Coordenadas U.T.M. (metros)
X:371000
Y:4384400
Z:993
Litología: Basamento hercínico
Edad: Paleozoico

1ª Subpoblación:
Ey: 122°±12°
Buz: 65°±13°
Cab: 35°±15°
s1 43°/095°
s2 42°/307°
s3 16°/202°
R = 0.72
μ = 0.31
F.E. = 7 (15)

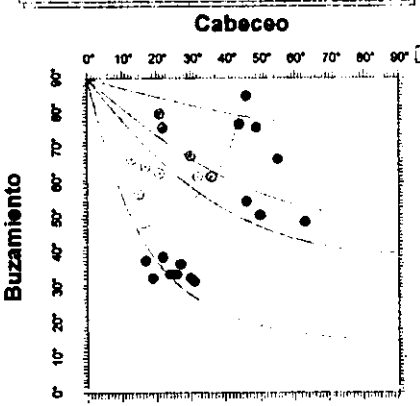
2ª Subpoblación:
Ey: 024°±7°
Buz: 41°±11°
Cab: 25°±9°
s1 15°/042°
s2 00°/132°
s3 74°/224°
R = 0.20
μ = 0.50
F.E. = 8 (9)

Rosa de Direcciones

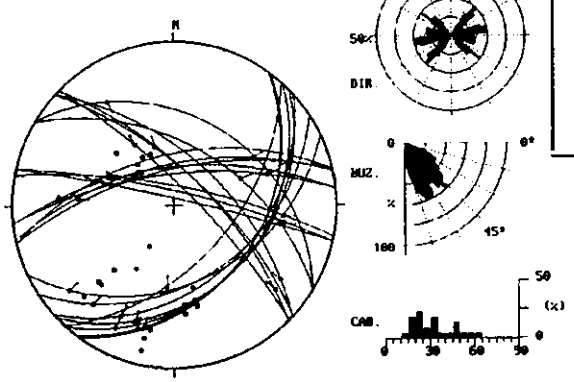


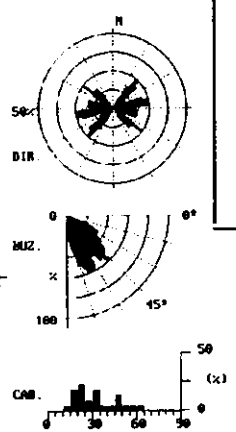
Valor Máximo de Escala: 50%
Ángulo de Apertura: 15°
DEYM: 133° ± 28,83°

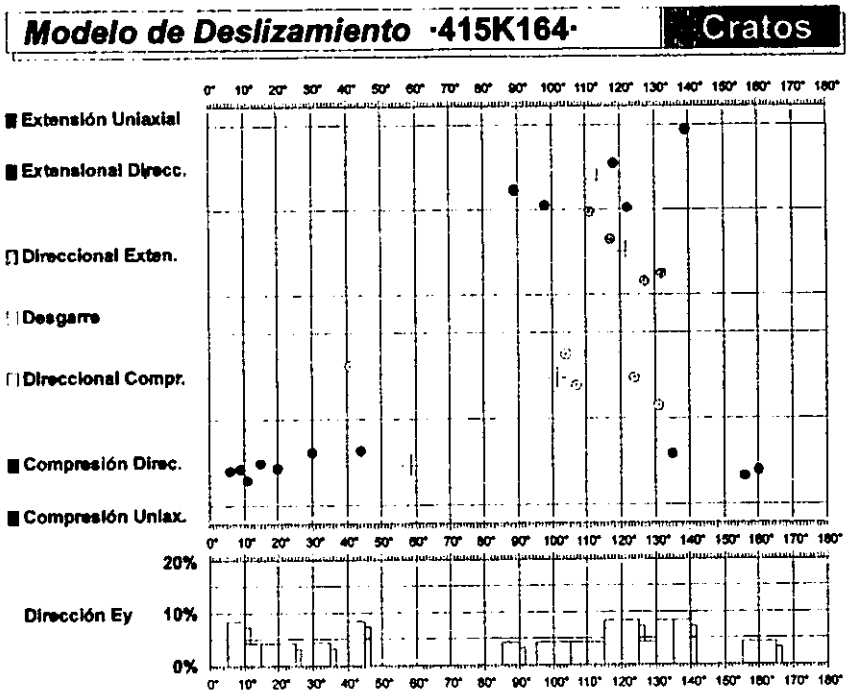
Diagrama Cabeceo/Buzamiento

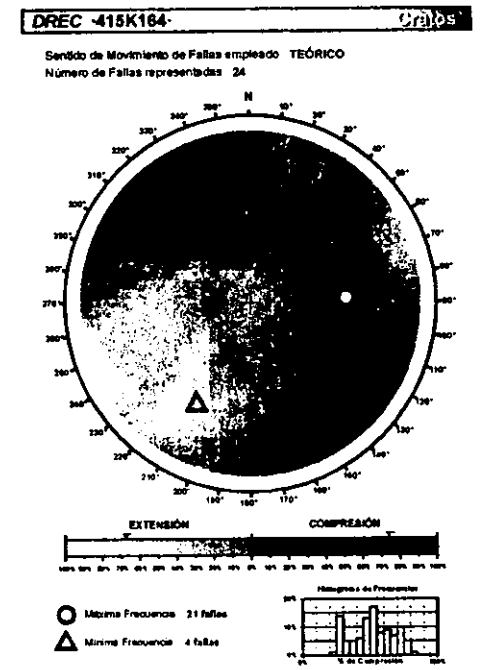


Parámetros Globales
K':-0,2883
PHI:-13,89°
Buzamiento:56°±17°
Cabeceo:32°±14°









Estación: 415k164
Coordenadas U.T.M. (metros)
X:549000
Y:4272000
Z:1200
Litología: Carbonatos
Edad: Jurásico

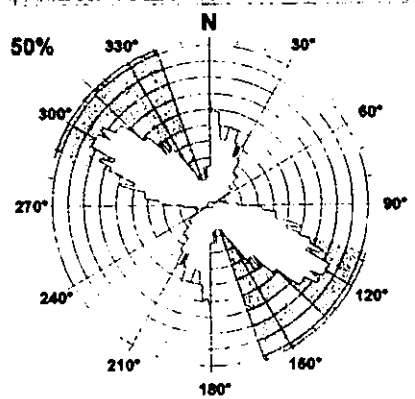
1ª Subpoblación:

Ey: 123°±12°	Ey: 123°±12°
Buz: 64°±13°	Buz: 64°±13°
Cab: 36°±15°	Cab: 36°±15°
s1 65°/342°	s1 12°/122°
s2 17°/115°	s2 59°/010°
s3 17°/210°	s3 27°/219°
R = 0.18	R = 0.47
μ = 0.31	μ = 0.31
F.E. = 5 (16)	F.E. = 9 (16)

2ª Subpoblación:
Ey: 022°±7°
Buz: 39°±10°
Cab: 23°±5°
s1 15°/042°
s2 00°/132°
s3 74°/224°
R = 0.20
μ = 0.50
F.E. = 8 (8)

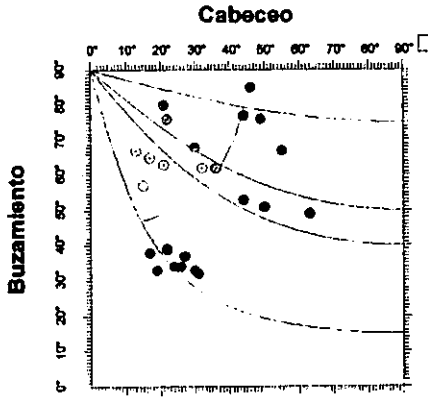
Trazas cicloográficas e histogramas del azimut, buzamiento y cabeceo

Rosa de Direcciones

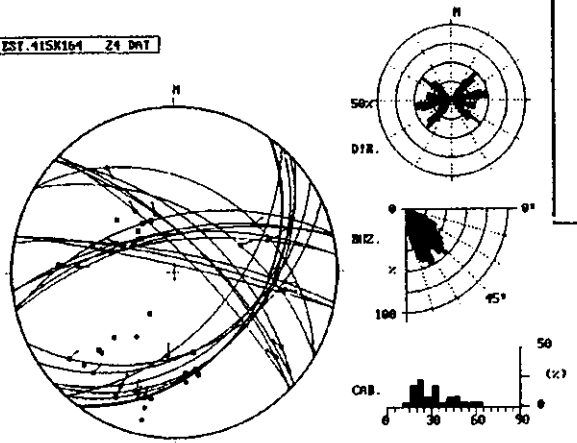


Valor Máximo de Escala: 50%
Ángulo de Apertura: 15°
DEYM: 134° ± 27,46°

Diagrama Cabeceo/Buzamiento

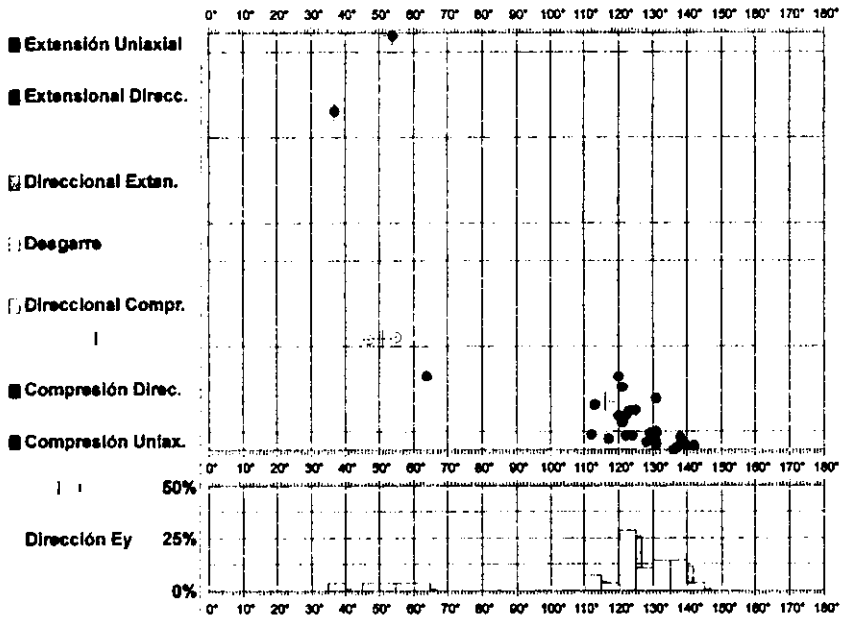


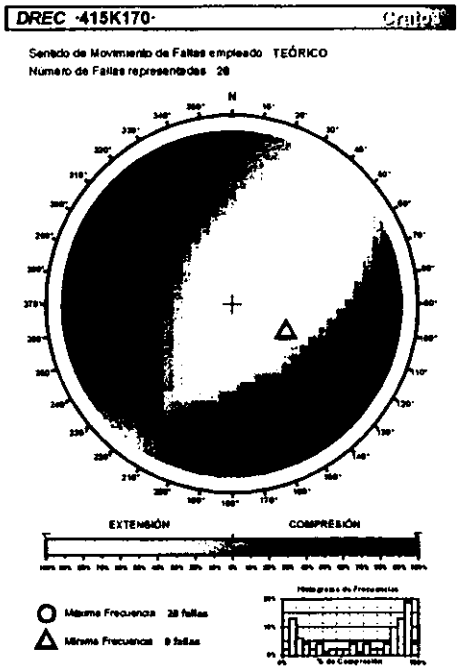
Parámetros Globales
K':-0,2854 Buzamiento:56°±17°
PHI:-15,27° Cabeceo:31°±14°



Modelo de Deslizamiento ·415K170·

Cratos





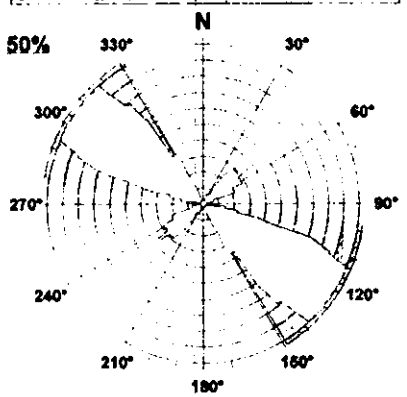
Trazas ciclográficas e histogramas del azimut, buzamiento y cabeceo

Estación: 415k170
Coordenadas U.T.M. (metros)
X:552550
Y:4269900
Z:1330
Litología: Carbonatos
Edad: Jurásico

1ª Subpoblación:
Ey: 127°±4°
Buz: 42°±6°
Cab: 63°±12°
s1 05°/119°
s2 00°/209°
s3 84°/305°
R = 0.16
μ = 0.31
F.E. = 23 (23)

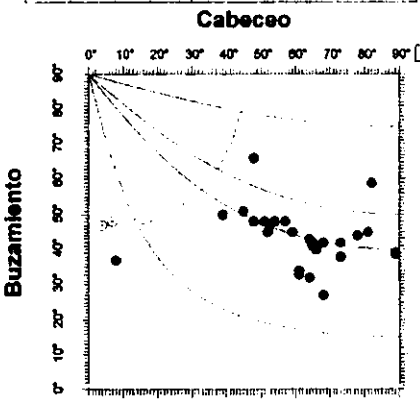
2ª Subpoblación:
Ey: 051°±6°
Buz: 51°±10°
Cab: 30°±31°
s1 --°/---°
s2 --°/---°
s3 --°/---°
R = ---
μ = ---
F.E. = 0 (5)

Rosa de Direcciones

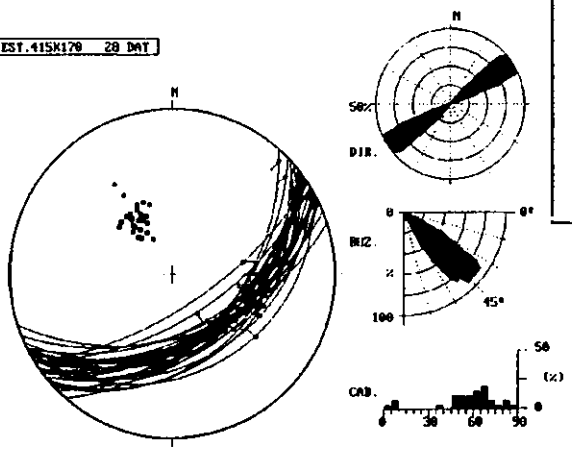


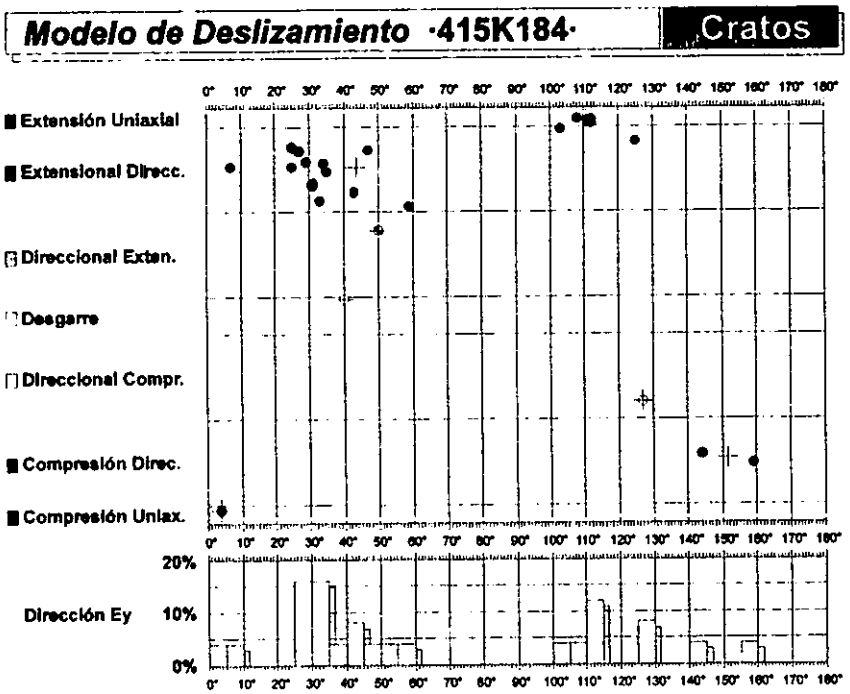
Valor Máximo de Escala: 50%
Ángulo de Apertura: 15°
DEYM: 123° ± 25,92°

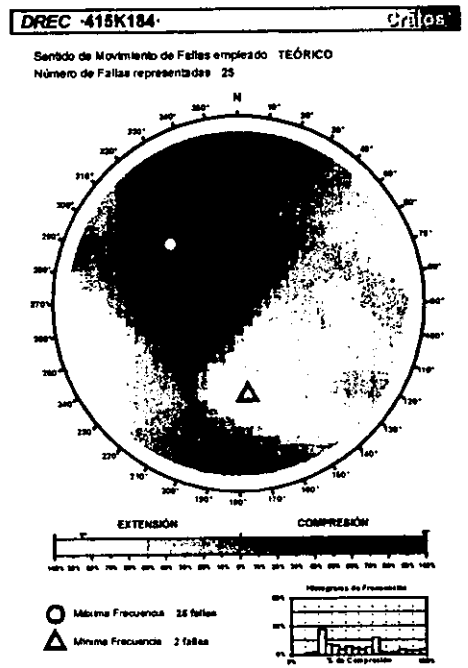
Diagrama Cabeceo/Buzamiento



Parámetros Globales
K':-0,7848 Buzamiento:44°±08°
PHI:-11,99° Cabeceo:57°±21°





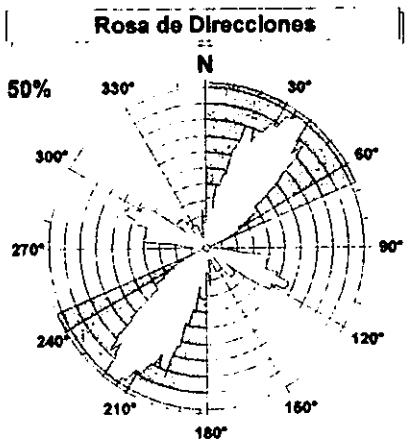


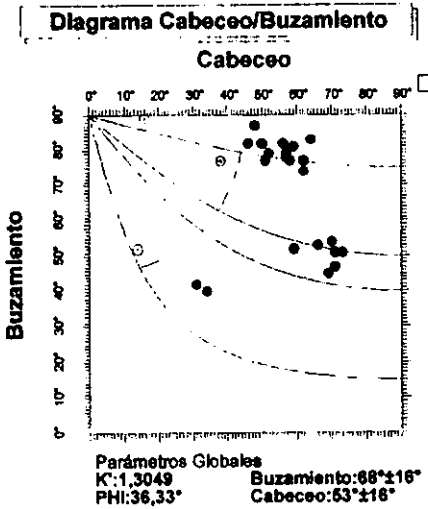
Estación: 415k184
Coordenadas U.T.M. (metros)
X:553700
Y:4266650
Z:1320
Litología: Carbonatos
Edad: Jurásico

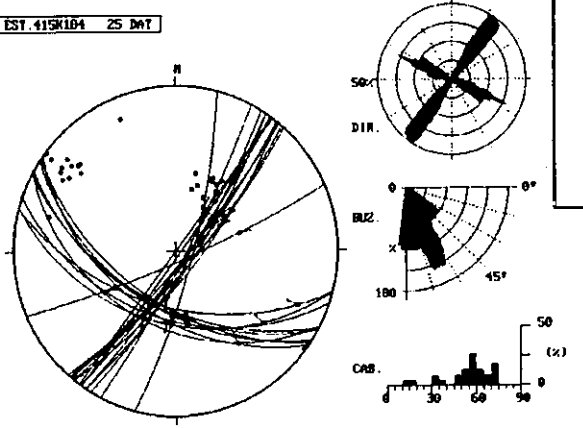
1ª Subpoblación:
Ey: 121°±11°
Buz: 49°±5°
Cab: 54°±21°
s1 79°/165°
s2 04°/050°
s3 09°/320°
R = 0.23
μ = 0.31
F.E. = 5 (9)

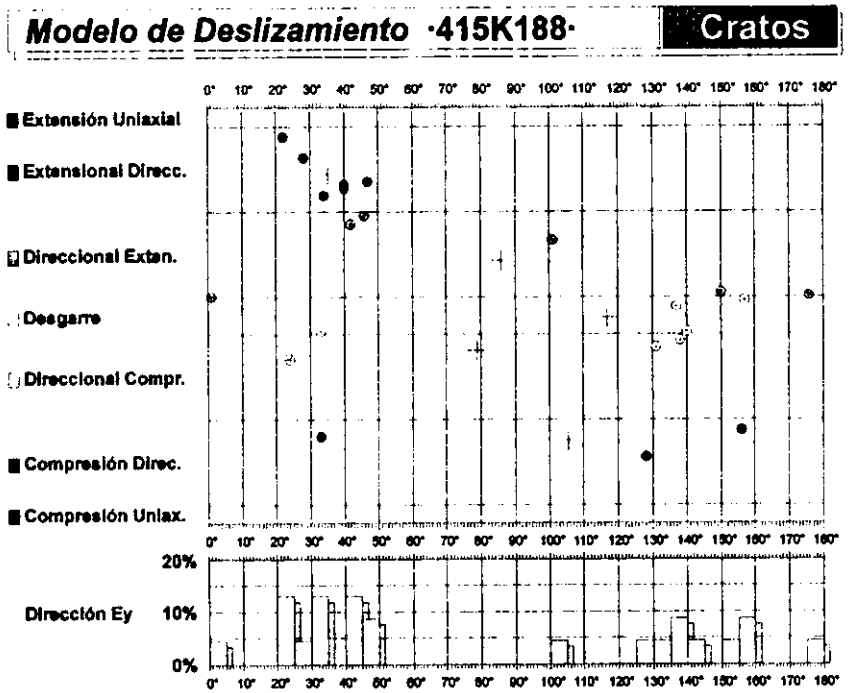
2ª Subpoblación:
Ey: 033°±10°
Buz: 78°±9°
Cab: 53°±12°
s1 18°/009°
s2 44°/260°
s3 40°/115°
R = 0.56
μ = 0.40
F.E. = 12 (16)

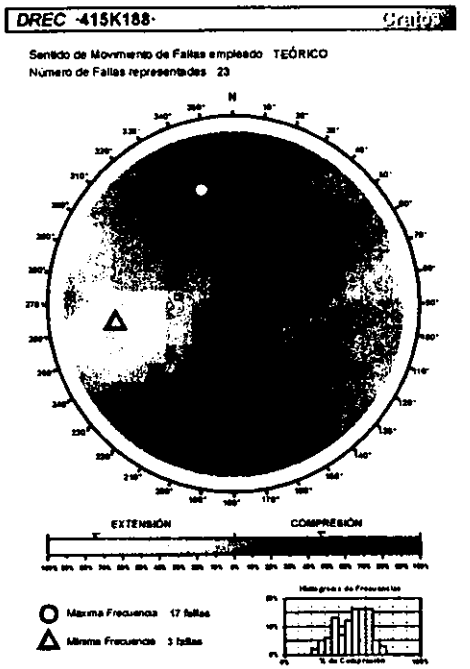
Trazas ciclográficas e histogramas del azimut, buzamiento y cabeceo











Trazas cicloográficas e histogramas del azimut, buzamiento y cabeceo

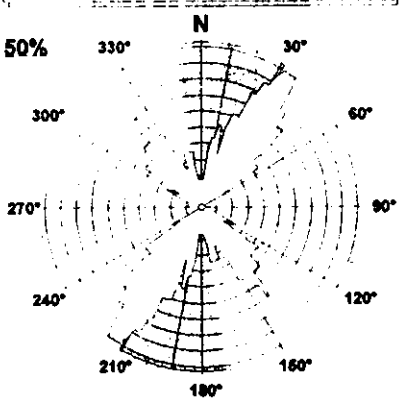
Estación: 415k188
Coordenadas U.T.M. (metros)
X:543000
Y:4263500
Z:1300
Litología: Carbonatos
Edad: Jurásico

1ª Subpoblación:
Ey: 138°±12°
Buz: 73°±11°
Cab: 21°±14°
s1 11°/146°
s2 61°/258°
s3 26°/050°
R = 0.27
μ = 0.31
F.E. = 8 (9)

2ª Subpoblación:

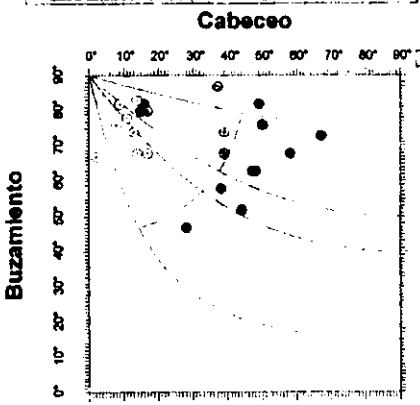
Ey: 030°±10°	Ey: 030°±10°
Buz: 71°±9°	Buz: 71°±9°
Cab: 35°±18°	Cab: 35°±18°
s1 07°/195°	s1 55°/038°
s2 82°/016°	s2 34°/214°
s3 00°/285°	s3 02°/305°
R = 0.31	R = 0.35
μ = 0.50	μ = 0.91
F.E. = 5 (14)	F.E. = 9 (14)

Rosa de Direcciones

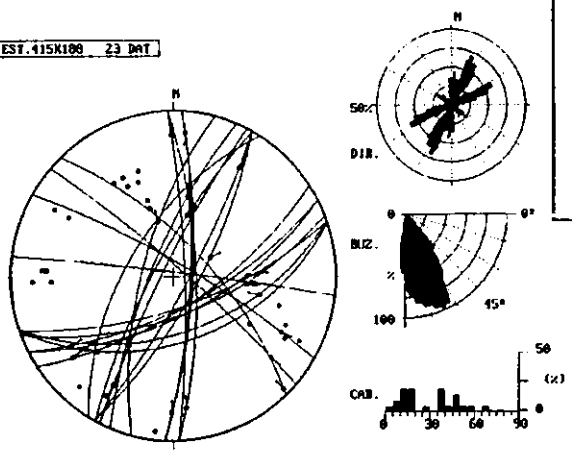


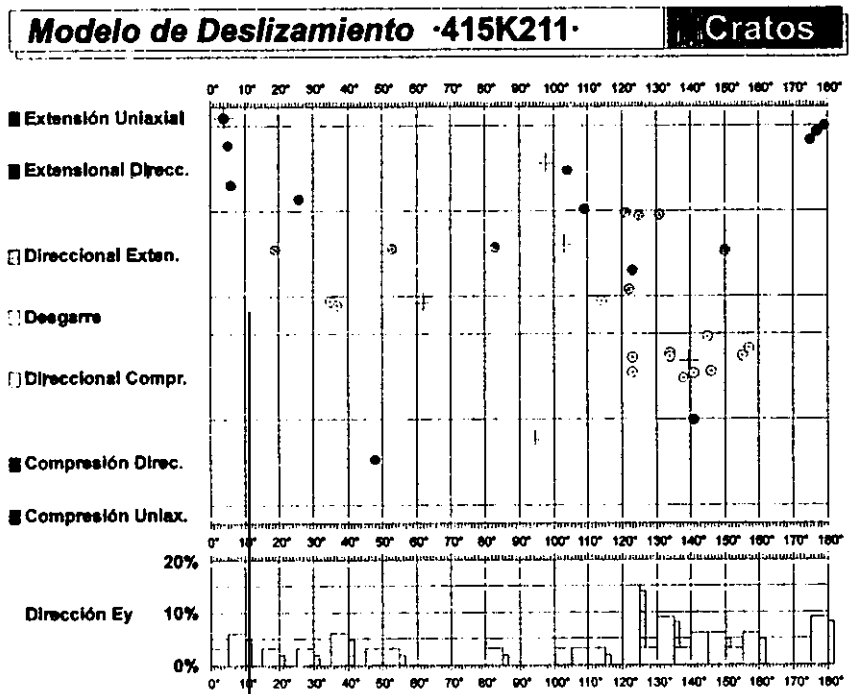
Valor Máximo de Escala: 50%
Ángulo de Apertura: 15°
DEYM: 11° ± 20,24°

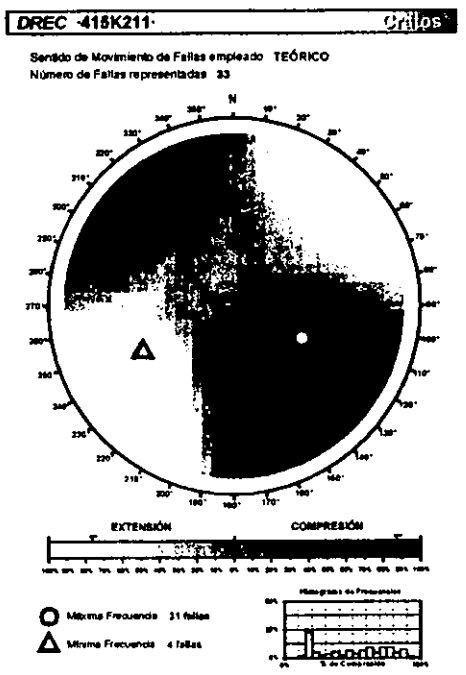
Diagrama Cabeceo/Buzamiento



Parámetros Globales
K':2,6065 Buzamiento:72°±10°
PHI:23,96° Cabeceo:30°±18°





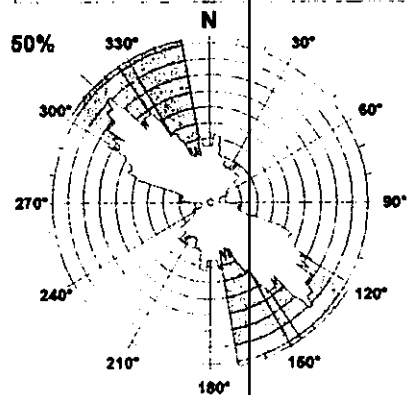


Estación: 415k211
Coordenadas U.T.M. (metros)
X:559600
Y:4260900
Z:940
Litología: Cuarcitas y carbonatos
Edad: Triásico-Jurásico

1ª Subpoblación:
Ey: 130°±11°
Buz: 69°±7°
Cab: 25°±11°
s1 29°/313°
s2 60°/144°
s3 05°/045°
R = 0.55
μ = 0.31
F.E. = 11 (21)

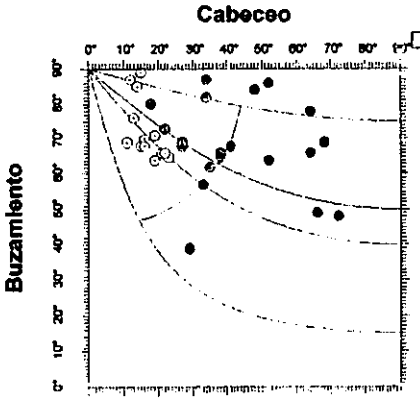
2ª Subpoblación:
Ey: 018°±9°
Buz: 71°±17°
Cab: 46°±21°
s1 76°/187°
s2 13°/006°
s3 00°/096°
R = 0.38
μ = 0.40
F.E. = 9 (12)

Rosa de Direcciones



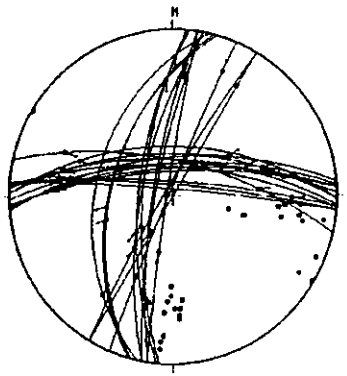
Valor Máximo de Escala: 50%
Ángulo de Apertura: 15°
DEYM: 146° ± 23,92°

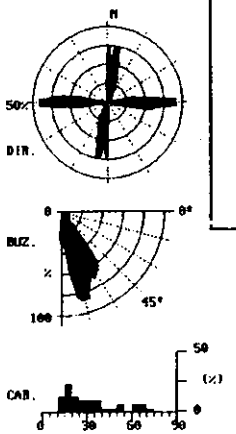
Diagrama Cabeceo/Buzamiento

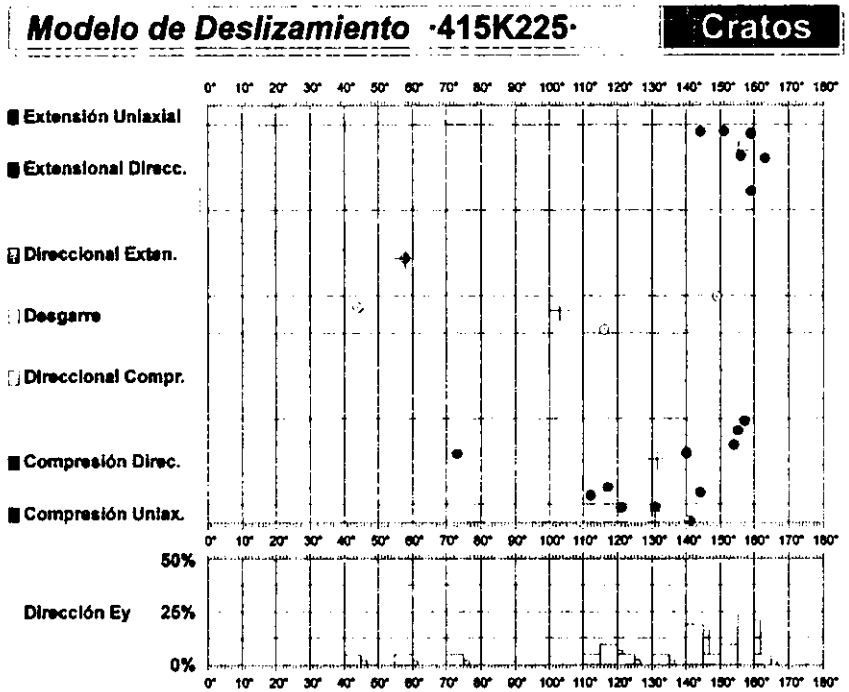


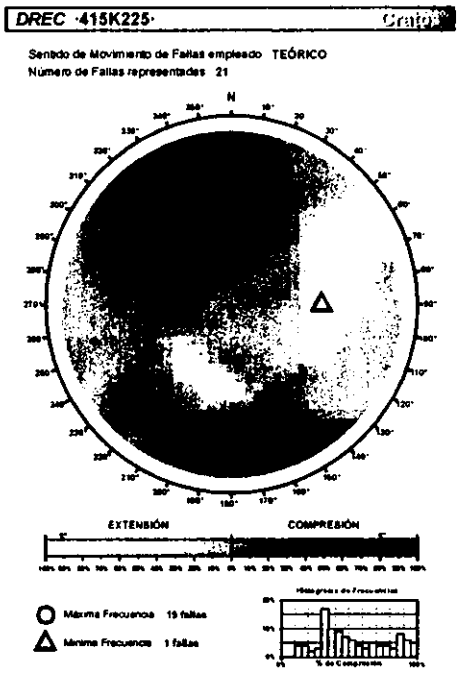
Parámetros Globales
K':2,0985 Buzamiento:70°±11°
PHI:22,49° Cabeceo:33°±18°

Trazas cicloográficas e histogramas del azimut, buzamiento y cabeceo







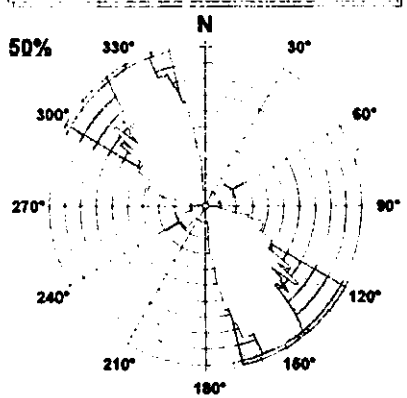


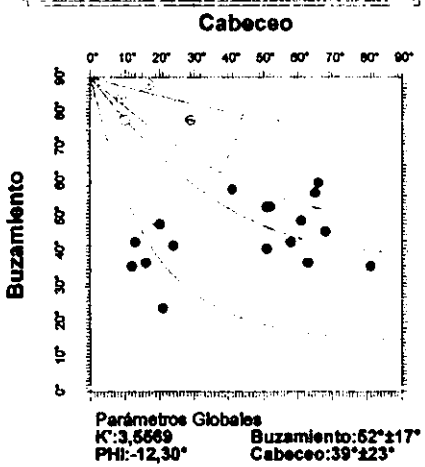
Trazas cicloográficas e histogramas del azimut, buzamiento y cabeceo

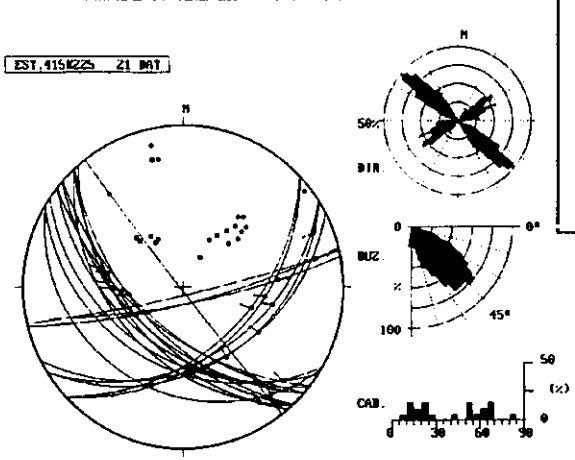
Estación: 415k225
Coordenadas U.T.M. (metros)
X: 571200
Y: 4259100
Z: 900
Litología: Carbonatos
Edad: Mioceno superior

1ª Subpoblación:
Ey: 143°±9°
Buz: 50°±15°
Cab: 43°±22°
s1 06°/316°
s2 66°/211°
s3 22°/049°
R = 0.30
μ = 0.40
F.E. = 17 (18)

2ª Subpoblación:
Ey: 058°±8°
Buz: 66°±21°
Cab: 17°±9°
s1 --°/---°
s2 --°/---°
s3 --°/---°
R = ---
μ = ---
F.E. = 0 (3)



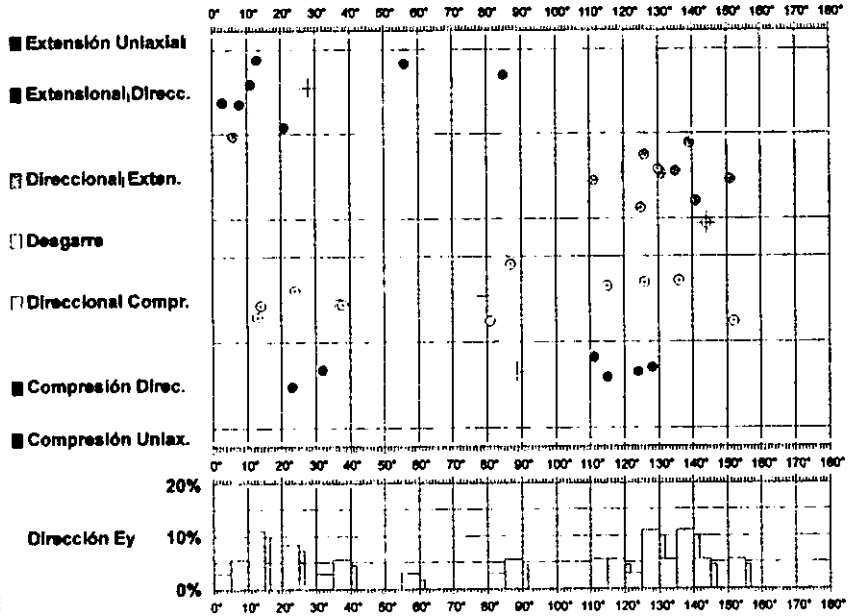


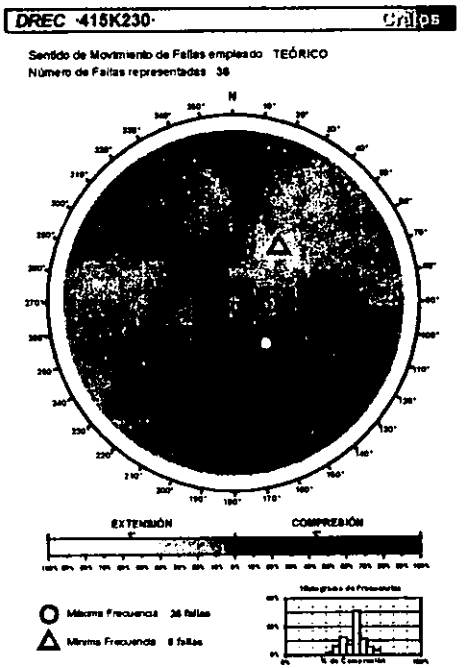


FACULTAD DE CIENCIAS GEOLÓGICAS - BIBLIOTECA -

Modelo de Deslizamiento ·415K230·

Cratos





Trazas ciclográficas e histogramas del azimut, buzamiento y cabeceo

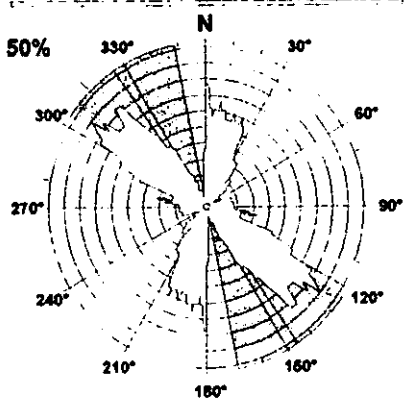
Estación: 415k230
Coordenadas U.T.M. (metros)
X: 575100
Y: 4257400
Z: 860
Litología: Carbonatos
Edad: Mioceno superior

1ª Subpoblación:

Ey: 126°±13°	Ey: 126°±13°
Buz: 66°±11°	Buz: 66°±11°
Cab: 25°±13°	Cab: 25°±13°
s1 13°/113°	s1 67°/350°
s2 75°/330°	s2 12°/111°
s3 08°/205°	s3 18°/205°
R = 0.19	R = 0.33
μ = 0.40	μ = 0.50
F.E. = 5 (22)	F.E. = 12 (22)

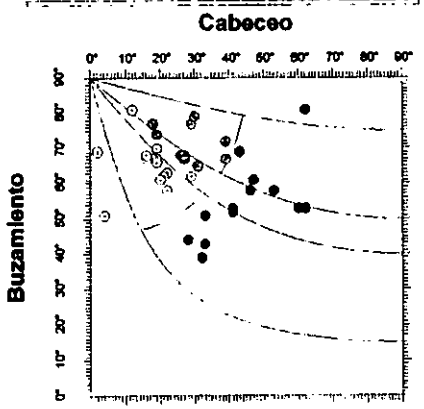
2ª Subpoblación:
Ey: 021°±9°
Buz: 59°±7°
Cab: 38°±15°
s1 50°/034°
s2 38°/197°
s3 08°/294°
R = 0.17
μ = 0.31
F.E. = 12 (14)

Rosa de Direcciones

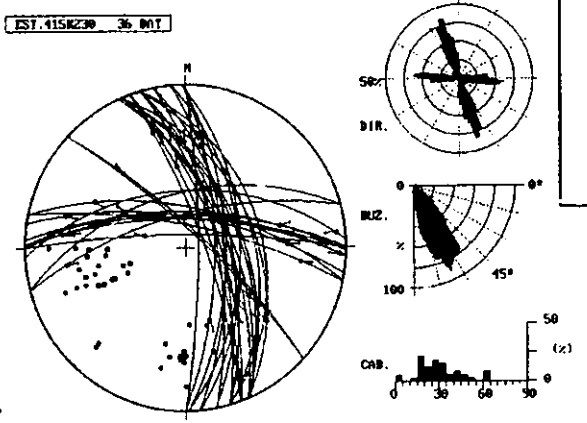


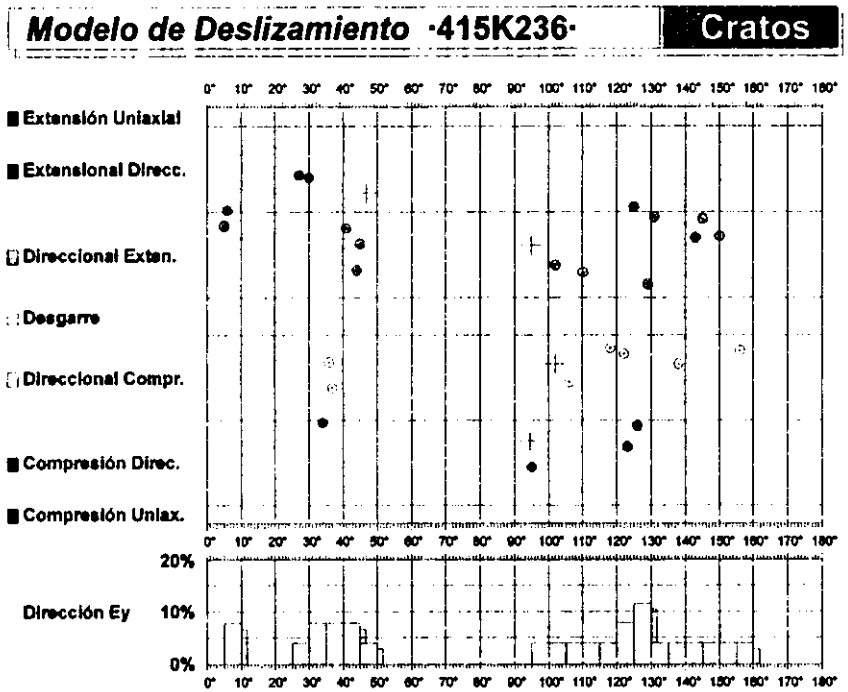
Valor Máximo de Escala: 50%
Ángulo de Apertura: 15°
DEYM: 146° ± 23,25°

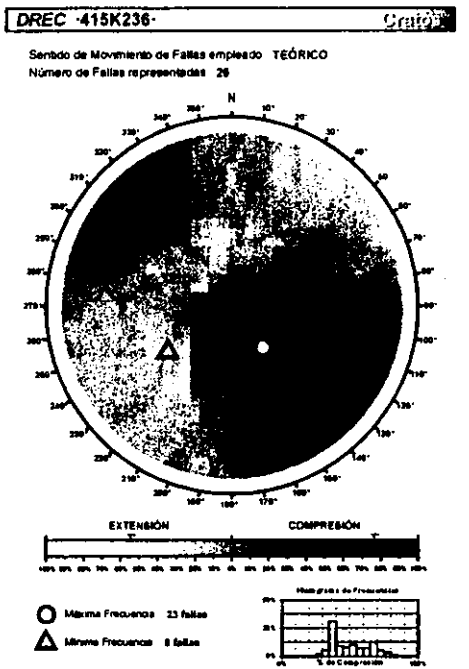
Diagrama Cabeceo/Buzamiento



Parámetros Globales
K':2,3160
PHI:-01,08°
Buzamiento:63°±10°
Cabeceo:30°±15°





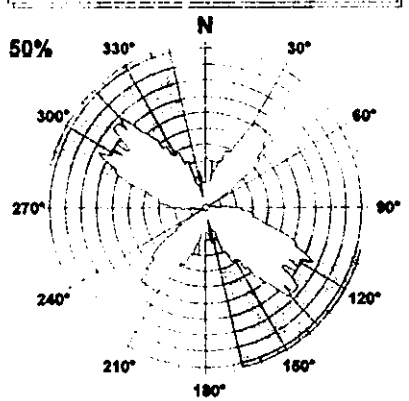


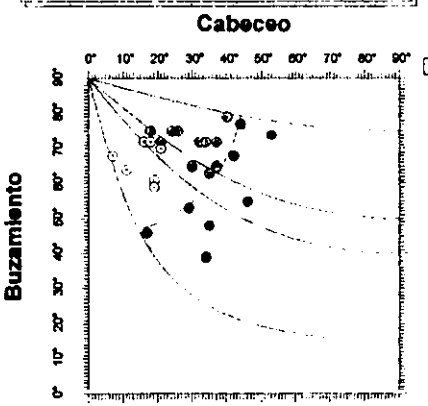
Trazas ciclográficas e histogramas del azimut, buzamiento y cabeceo

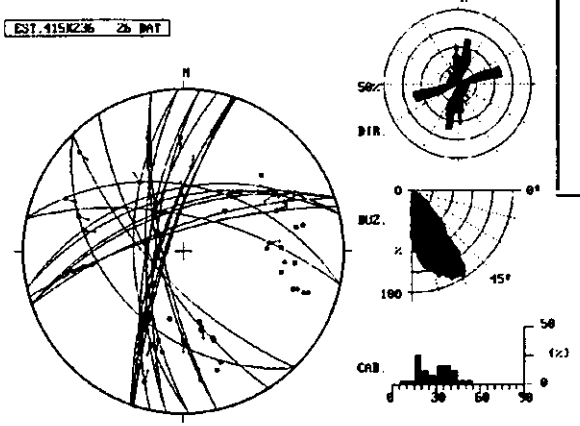
Estación: 415k236
Coordenadas U.T.M. (metros)
X: 581000
Y: 4256400
Z: 660
Litología: Carbonatos
Edad: Cretácico

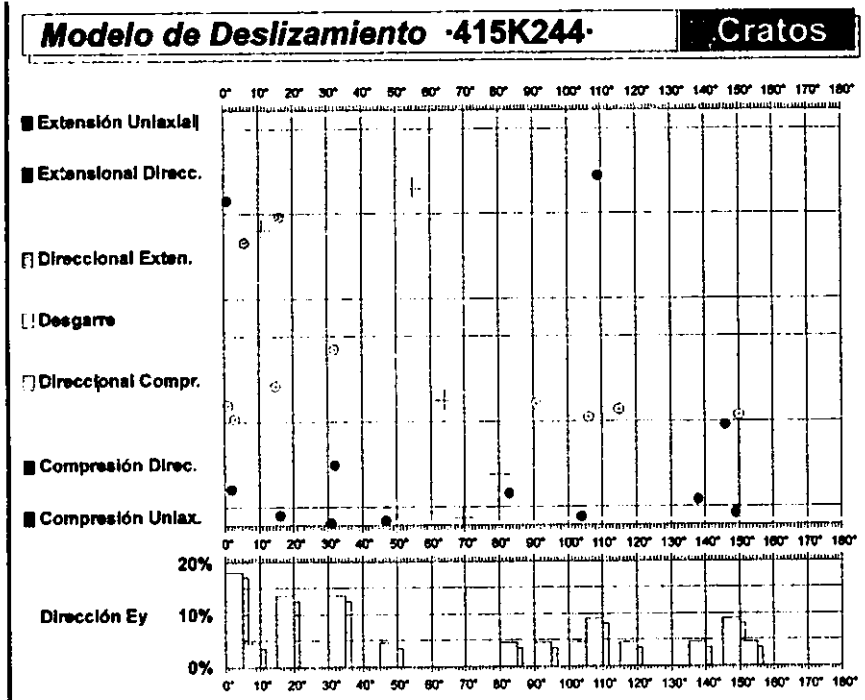
1ª Subpoblación:
Ey: 126°±10°
Buz: 64°±11°
Cab: 26°±10°
s1 19°/132°
s2 69°/293°
s3 06°/040°
R = 0.42
μ = 0.31
F.E. = 16 (16)

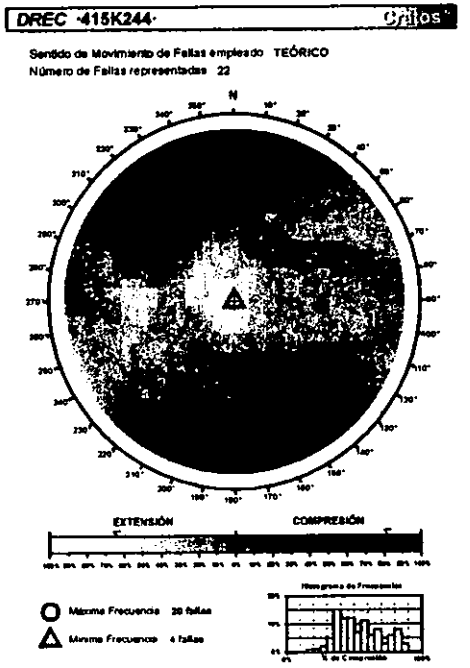
2ª Subpoblación:
Ey: 031°±9°
Buz: 68°±9°
Cab: 34°±12°
s1 80°/268°
s2 04°/025°
s3 08°/116°
R = 0.51
μ = 0.31
F.E. = 6 (10)









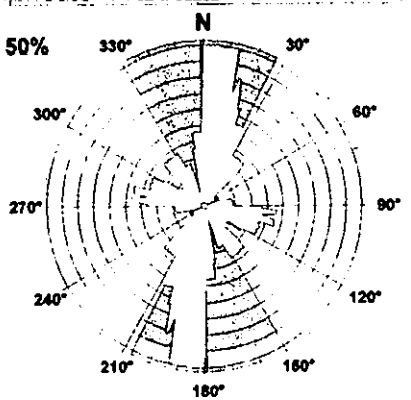


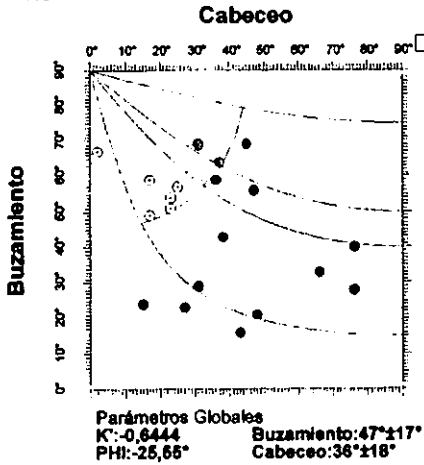
Estación: 415k244
Coordenadas U.T.M. (metros)
X: 585100
Y: 4253300
Z: 520
Litología: Carbonatos
Edad: Jurásico-Cretácico

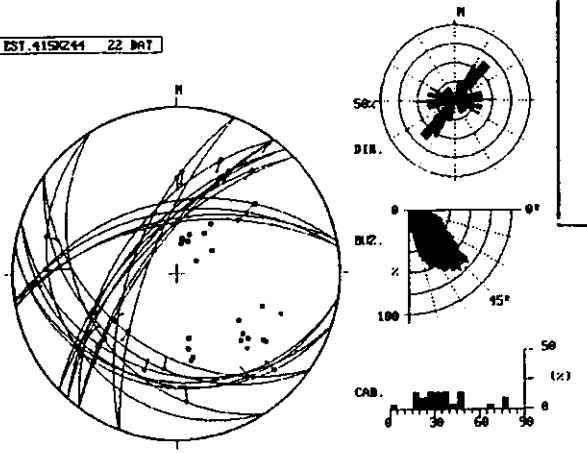
1ª Subpoblación:
Ey: 119°±11°
Buz: 42°±18°
Cab: 32°±11°
s1 --°/---°
s2 --°/---°
s3 --°/---°
R = ---
μ = ---
F.E. = 0 (10)

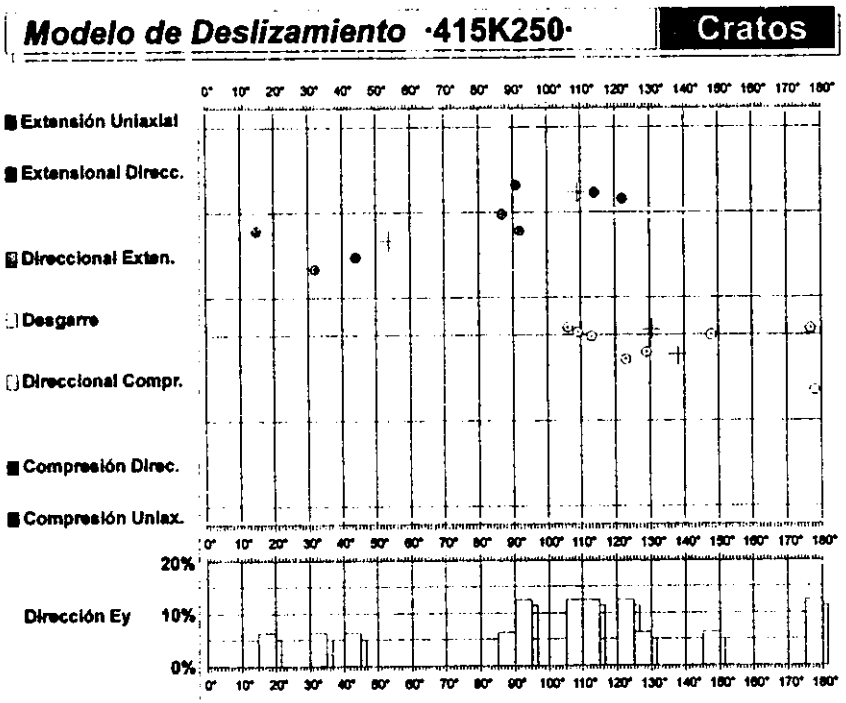
2ª Subpoblación:
Ey: 017°±8°
Buz: 51°±15°
Cab: 39°±22°
s1 04°/015°
s2 81°/137°
s3 06°/284°
R = 0.27
μ = 0.31
F.E. = 9 (12)

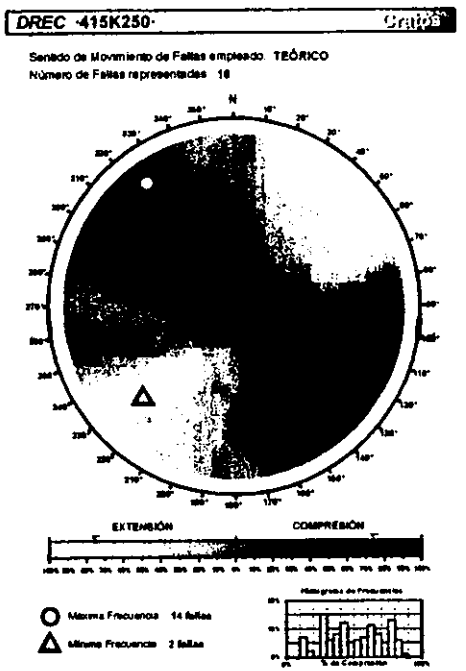
Trazas ciclográficas e histogramas del azimut, buzamiento y cabeceo











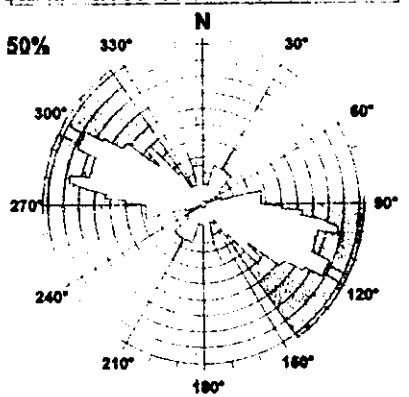
Trazas ciclográficas e histogramas del azimut, buzamiento y cabeceo

Estación: 415k250
Coordenadas U.T.M. (metros)
X: 587700
Y: 4250500
Z: 640
Litología: Carbonatos
Edad: Jurásico

1ª Subpoblación:
Ey: 112°±11°
Buz: 72°±5°
Cab: 26°±16°
s1 65°/311°
s2 24°/123°
s3 03°/214°
R = 0.84
μ = 0.31
F.E. = 11 (11)

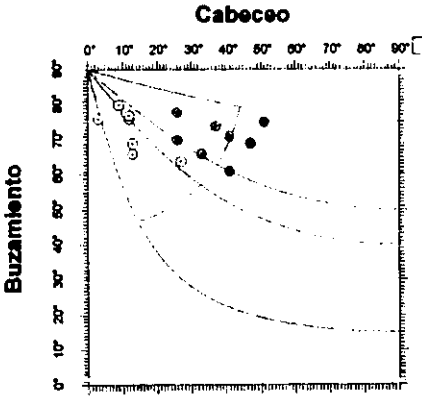
2ª Subpoblación:
Ey: 017°±9°
Buz: 71°±5°
Cab: 23°±10°
s1 --°/---°
s2 --°/---°
s3 --°/---°
R = ---
μ = ---
F.E. = 0 (5)

Rosa de Direcciones

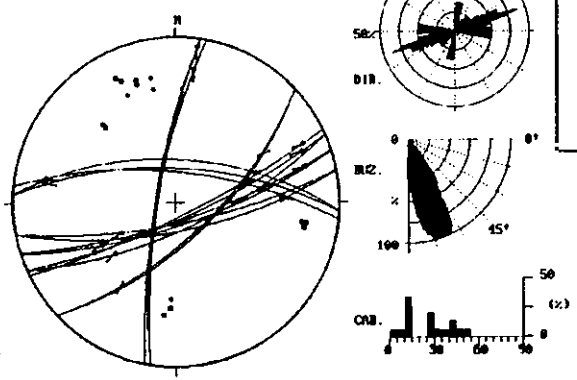


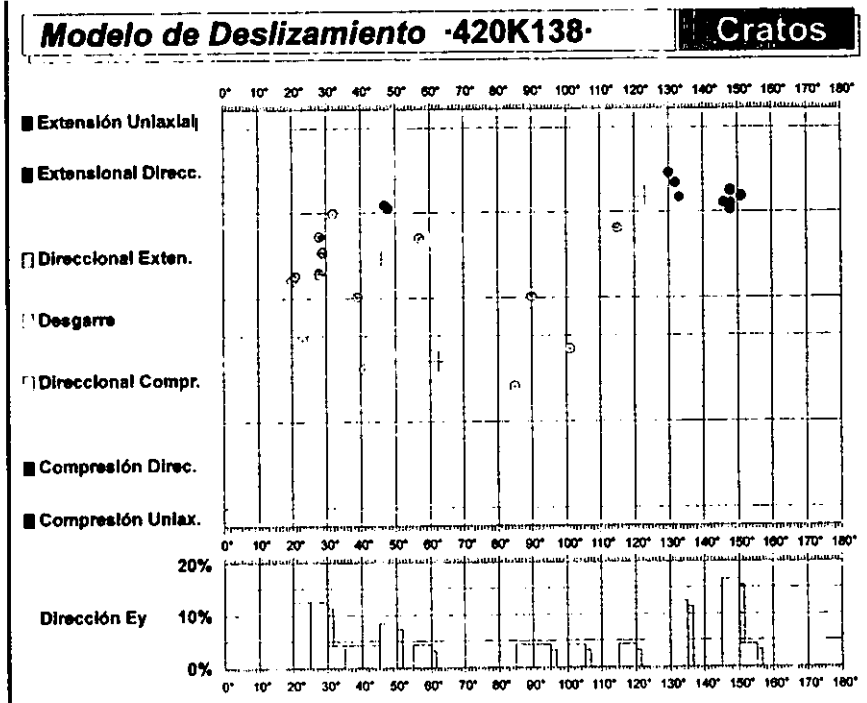
Valor Máximo de Escala: 50%
Ángulo de Apertura: 15°
DEYM: 116° ± 29,38°

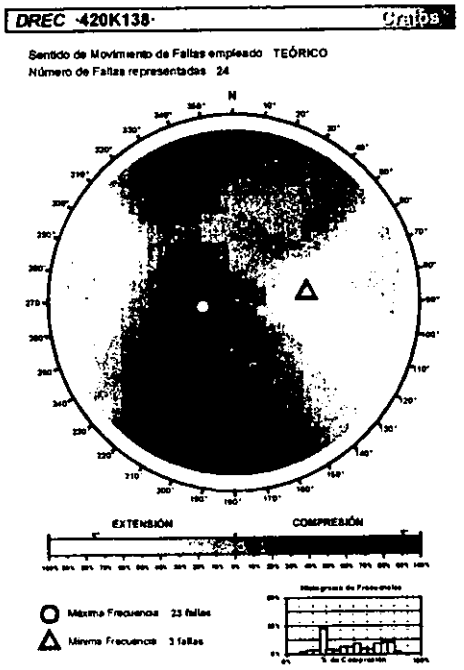
Diagrama Cabeceo/Buzamiento



Parámetros Globales
K': -6,0377
PHI: 14,89°
Buzamiento: 72°±06°
Cabeceo: 25°±15°





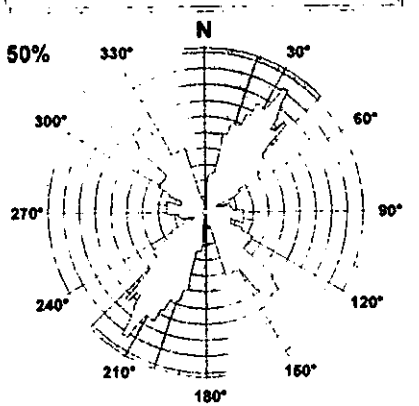


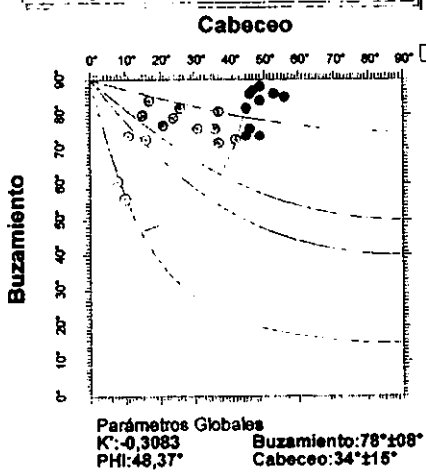
Estación: 420k138
Coordenadas U.T.M. (metros)
X: 384400
Y: 4279100
Z: 777
Litología: Basamento hercínico
Edad: Paleozoico

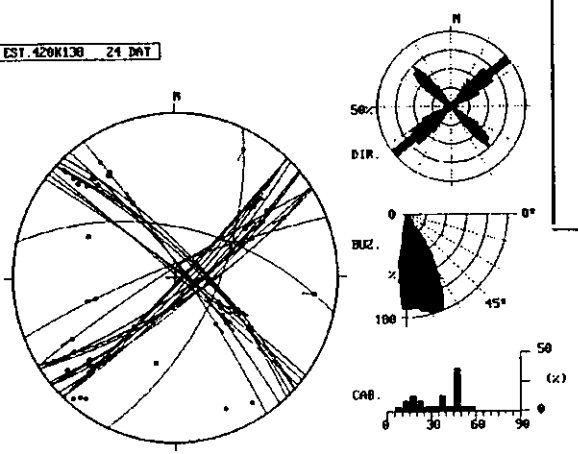
1ª Subpoblación:
Ey: 129°±13°
Buz: 78°±8°
Cab: 39°±15°
s1 86°/032°
s2 02°/167°
s3 02°/257°
R = 0.16
μ = 0.31
F.E. = 9 (12)

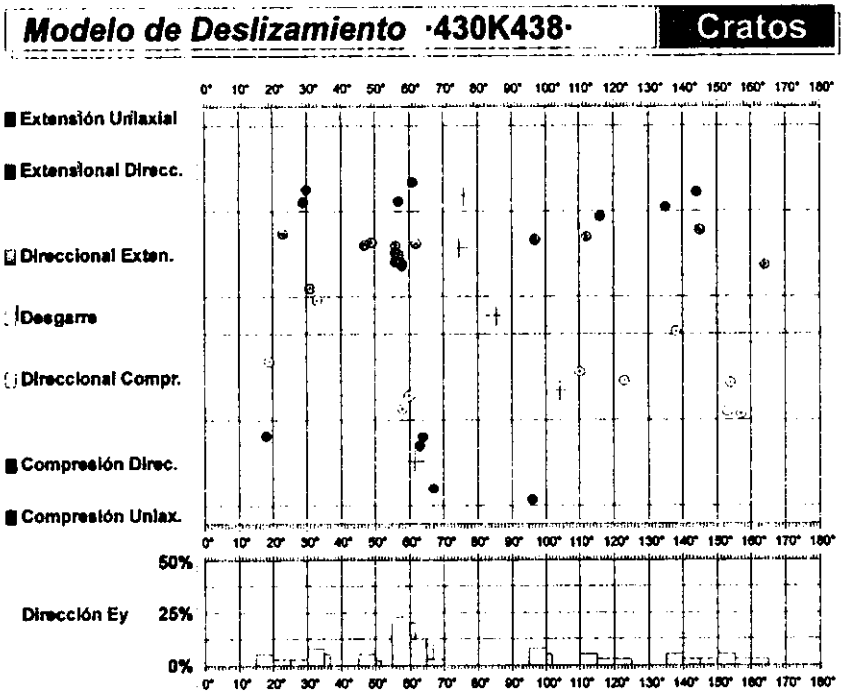
2ª Subpoblación:
Ey: 034°±6°
Buz: 78°±7°
Cab: 29°±13°
s1 47°/050°
s2 40°/207°
s3 11°/307°
R = 0.58
μ = 0.31
F.E. = 10 (12)

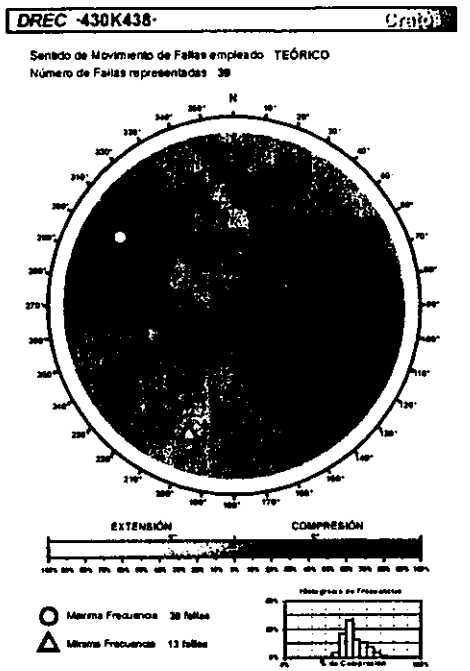
Trazas cicloográficas e histogramas del azimut, buzamiento y cabeceo











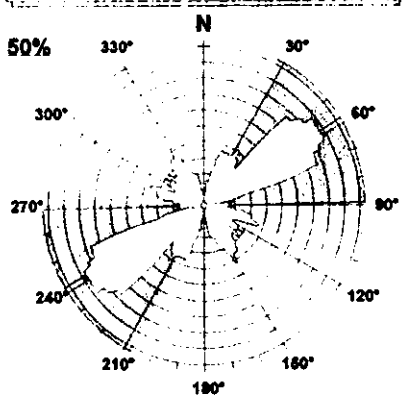
Trazas ciclográficas e histogramas del azimut, buzamiento y cabeceo

Estación: 430k438
Coordenadas U.T.M. (metros)
X: 529300
Y: 4318300
Z: 979
Litología: Carbonatos
Edad: Jurásico

1ª Subpoblación:
Ey: 130°±10°
Buz: 68°±9°
Cab: 33°±12°
s1 28°/131°
s2 60°/321°
s3 04°/224°
R = 0.68
μ = 0.31
F.E. = 11 (15)

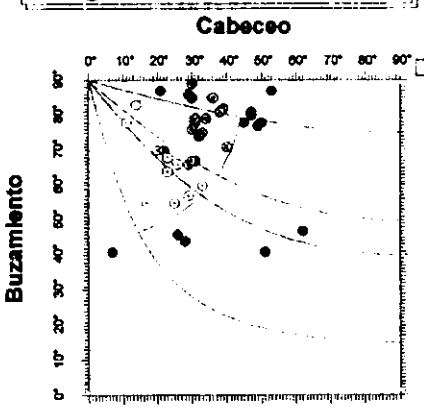
2ª Subpoblación:
Ey: 049°±8°
Buz: 72°±16°
Cab: 33°±12°
s1 06°/050°
s2 81°/195°
s3 04°/319°
R = 0.47
μ = 0.31
F.E. = 13 (24)

Rosa de Direcciones

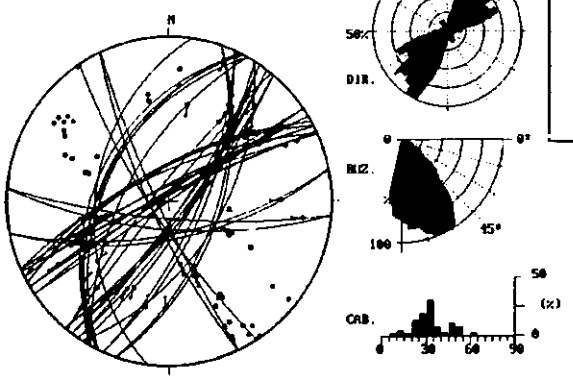


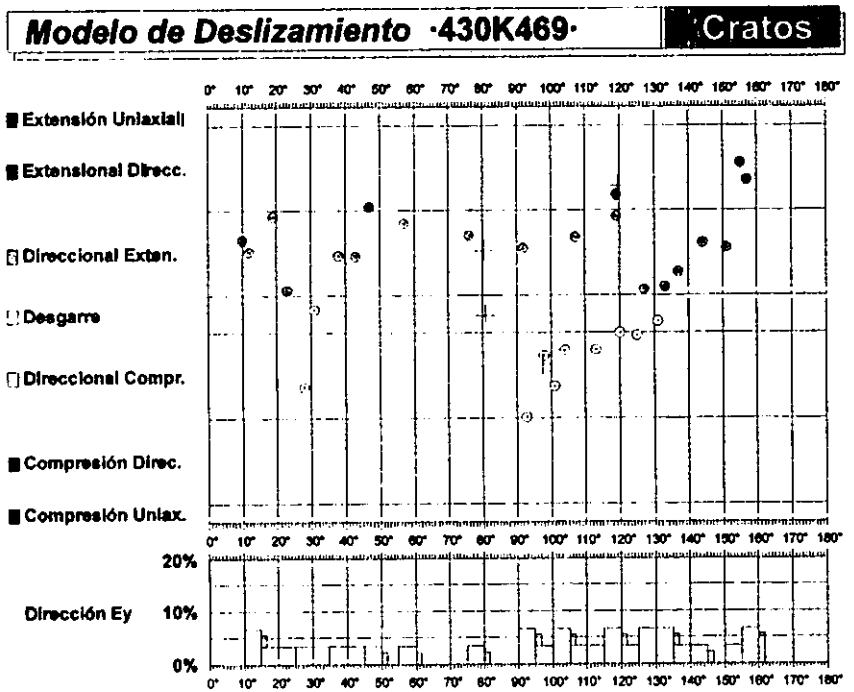
Valor Máximo de Escala: 50%
Ángulo de Apertura: 15°
DEYM: 58° ± 31,11°

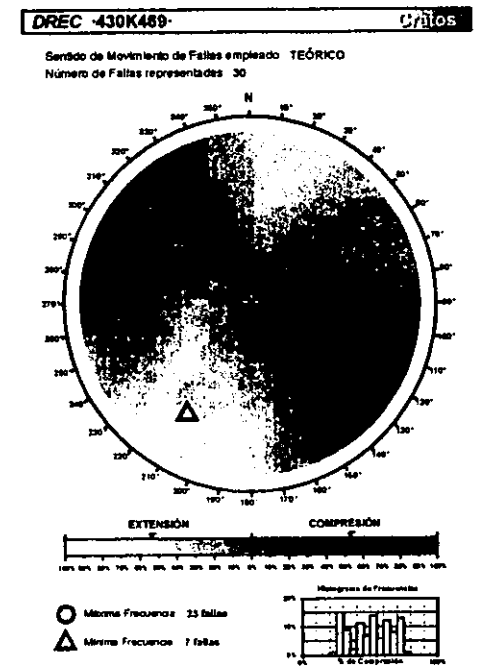
Diagrama Cabeceo/Buzamiento



Parámetros Globales
K':-2,8174
PHI:23,97°
Buzamiento:71°±13°
Cabeceo:32°±12°





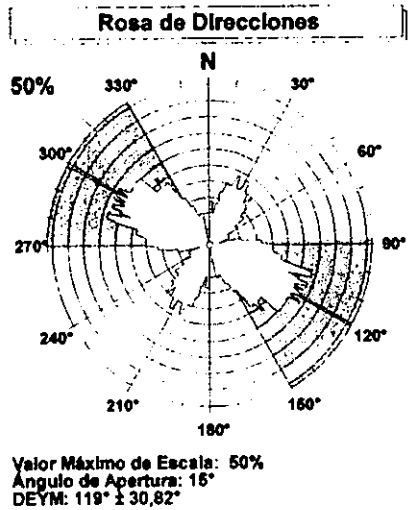


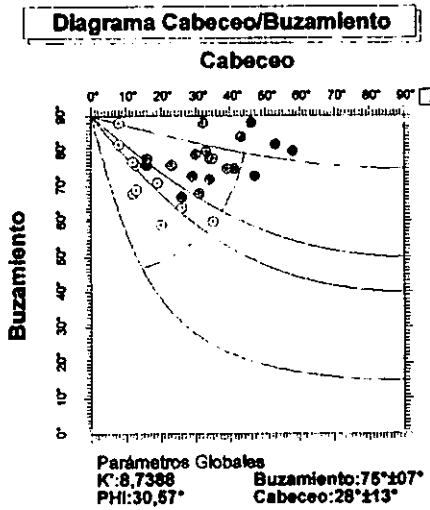
Trazas cicloográficas e histogramas del azimut, buzamiento y cabeceo

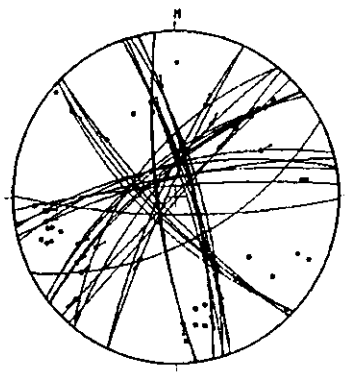
Estación: 430k469
Coordenadas U.T.M. (metros)
X: 555600
Y: 4319900
Z: 957
Litología: Carbonatos
Edad: Jurásico

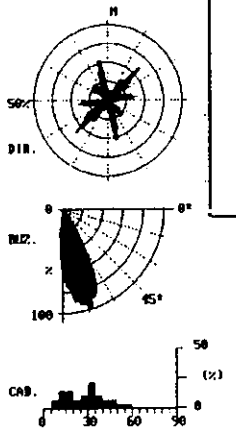
1ª Subpoblación:
Ey: 031°±8°
Buz: 79°±8°
Cab: 30°±11°
s1 73°/018°
s2 15°/220°
s3 05°/128°
R = 0.47
μ = 0.40
F.E. = 5 (10)

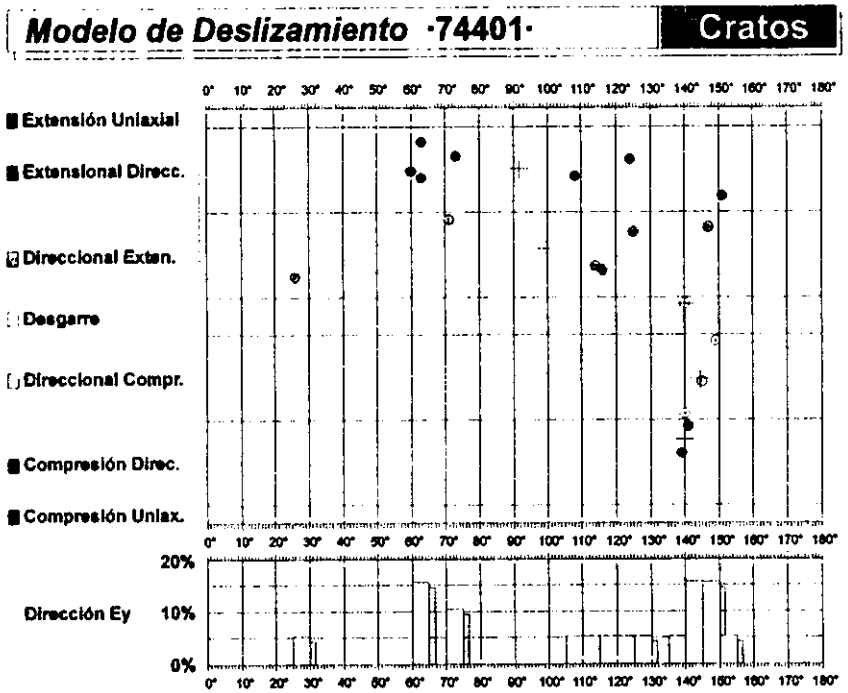
2ª Subpoblación:
Ey: 120°±13°
Buz: 74°±6°
Cab: 28°±14°
s1 47°/289°
s2 42°/103°
s3 03°/196°
R = 0.46
μ = 0.31
F.E. = 15 (20)

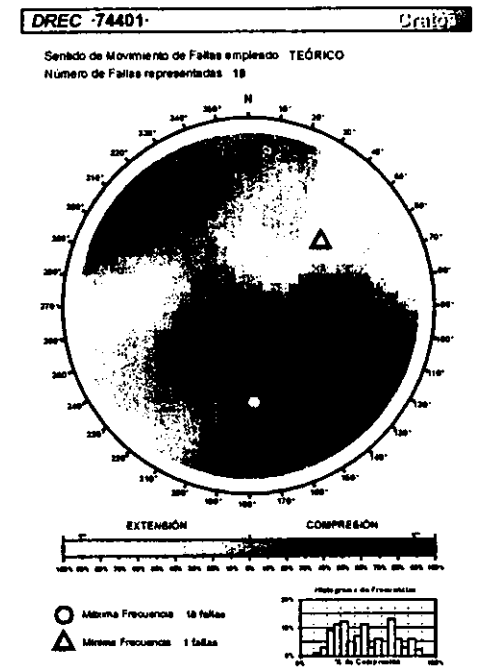












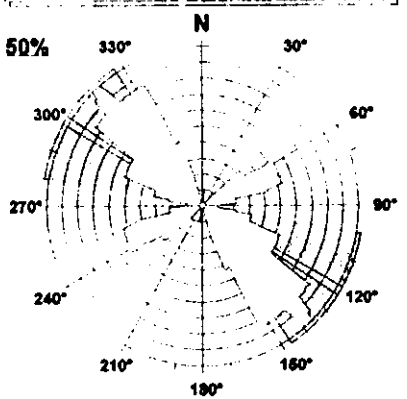
Trazas ciclográficas e histogramas del azimut, buzamiento y cabeceo

Estación: 744-01
Coordenadas U.T.M. (metros)
X: 642800
Y: 4352100
Z: 677
Litología: Carbonatos
Edad: Mioceno superior

1ª Subpoblación:	
Ey: 134°±6°	Ey: 134°±6°
Buz: 68°±11°	Buz: 68°±11°
Cab: 33°±13°	Cab: 33°±13°
s1 17°/148°	s1 64°/331°
s2 31°/249°	s2 22°/121°
s3 53°/033°	s3 11°/216°
R = 0.31	R = 0.31
μ = 0.31	μ = 0.71
F.E. = 5 (13)	F.E. = 7 (13)

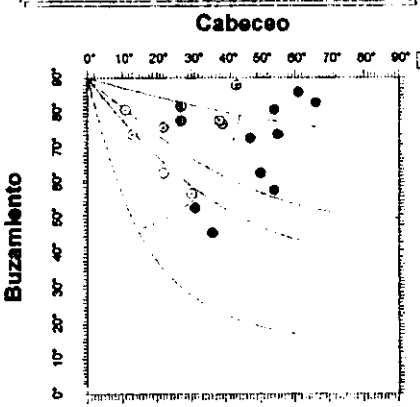
2ª Subpoblación:
Ey: 060°±13°
Buz: 81°±5°
Cab: 50°±14°
s1 --°/---
s2 --°/---°
s3 --°/---°
R = ---
μ = ---
F.E. = 0 (6)

Rosa de Direcciones

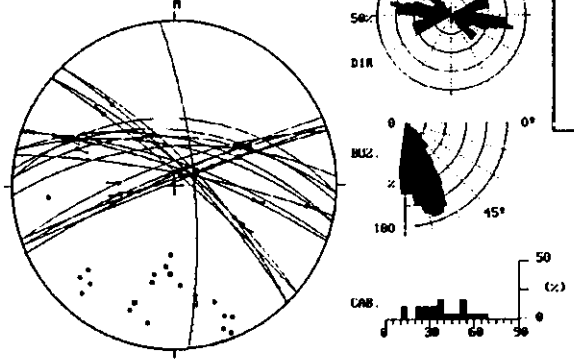


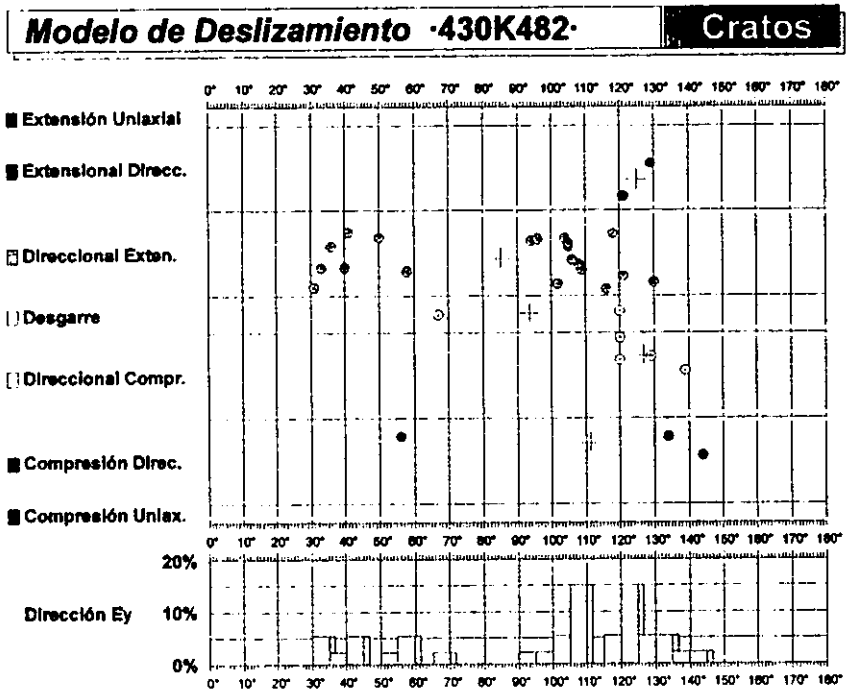
Valor Máximo de Escala: 50%
Ángulo de Apertura: 15°
DEYM: 123° ± 23,83°

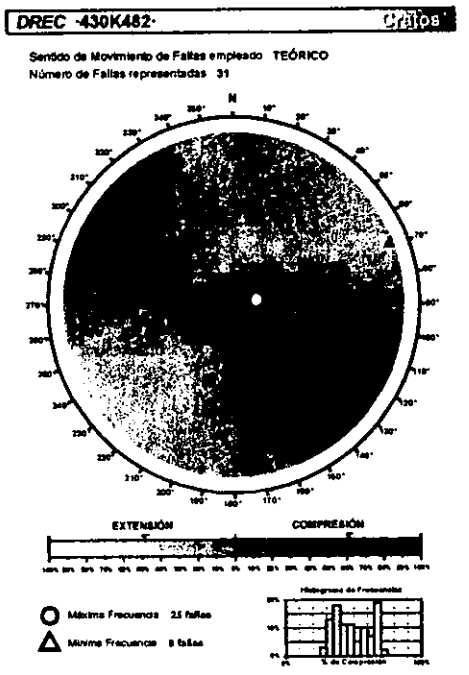
Diagrama Cabeceo/Buzamiento



Parámetros Globales
K':2,4815 Buzamiento:72°±12°
PHI:34,36° Cabeceo:38°±16°





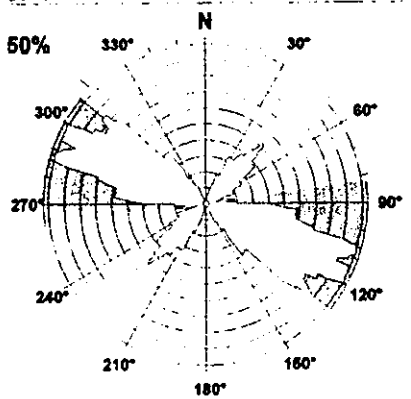


Estación: 430k482
Coordenadas U.T.M. (metros)
X: 566200
Y: 4322300
Z: 809
Litología: Carbonatos
Edad: Jurásico

1ª Subpoblación:
Ey: 117°±8°
Buz: 71°±12°
Cab: 26°±10°
s1 26°/120°
s2 62°/313°
s3 05°/212°
R = 0.69
μ = 0.31
F.E. = 21 (22)

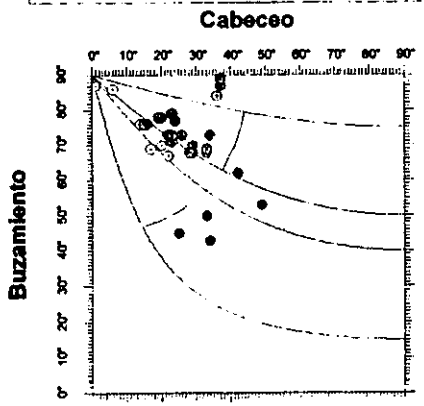
2ª Subpoblación:
Ey: 046°±5°
Buz: 72°±9°
Cab: 24°±10°
s1 02°/050°
s2 84°/167°
s3 04°/320°
R = 0.51
μ = 0.31
F.E. = 9 (9)

Rosa de Direcciones



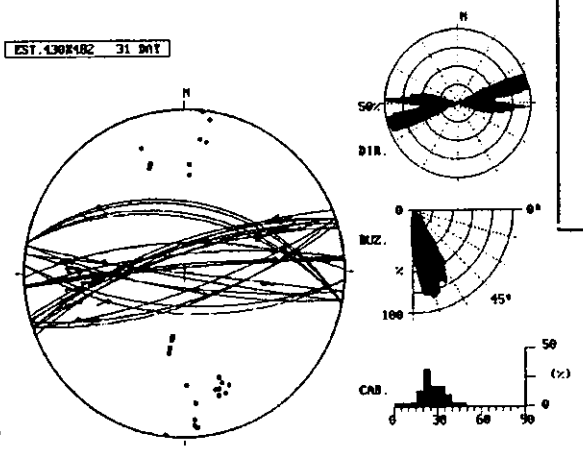
Valor Máximo de Escala: 50%
Ángulo de Apertura: 15°
DEYM: 106° ± 24,33°

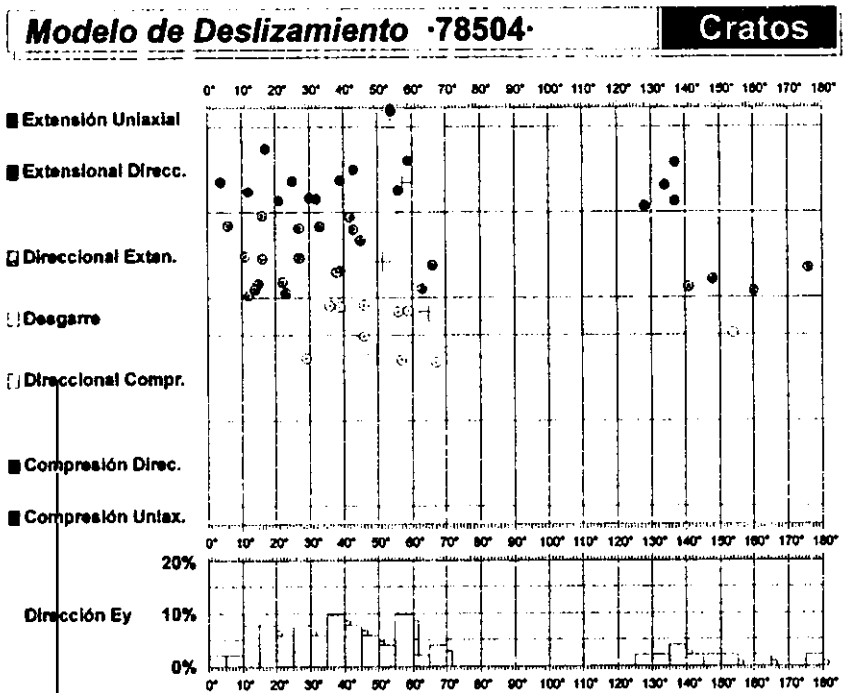
Diagrama Cabeceo/Buzamiento

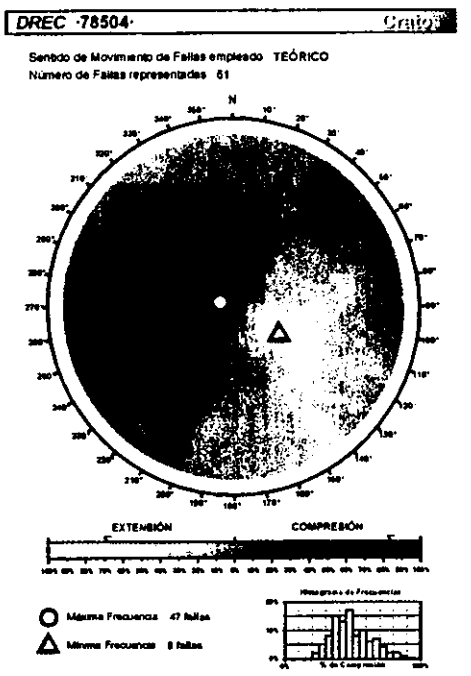


Parámetros Globales
K':-39,7475 Buzamiento:71°±11°
PHI:13,70° Cabeceo:26°±10°

Trazas ciclográficas e histogramas del azimut, buzamiento y cabeceo







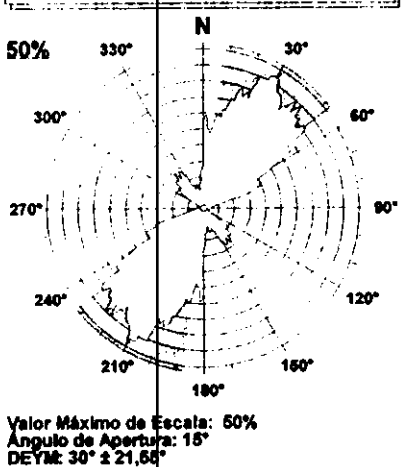
Trazas cicloográficas e histogramas del azimut, buzamiento y cabeceo

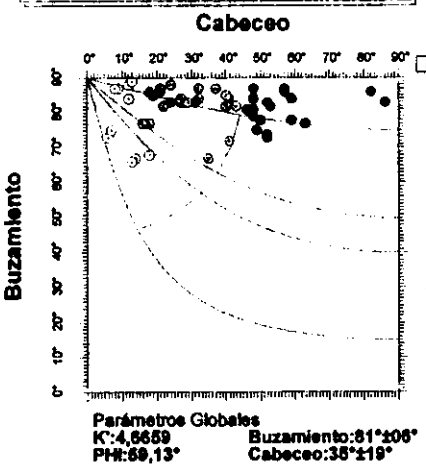
Estación: 785-04
Coordenadas U.T.M. (metros)
X: 446700
Y: 4299700
Z: 730
Litología: Colada lávica
Edad: Mioceno sup.-Pleistoceno inf.

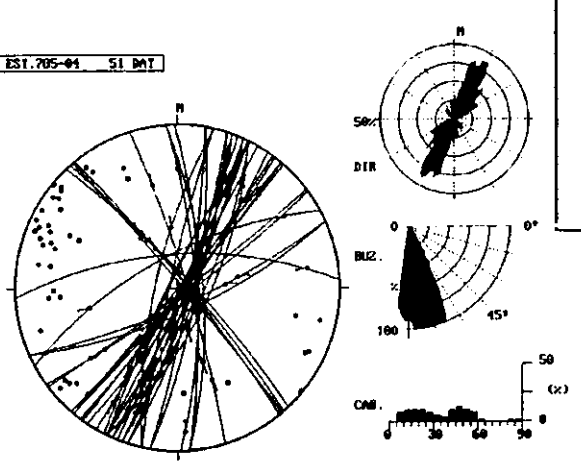
1ª Subpoblación:
Ey: 142°±5°
Buz: 81°±4°
Cab: 34°±18°
s1 89°/048°
s2 00°/307°
s3 00°/217°
R = 0.38
μ = 0.71
F.E. = 5 (8)

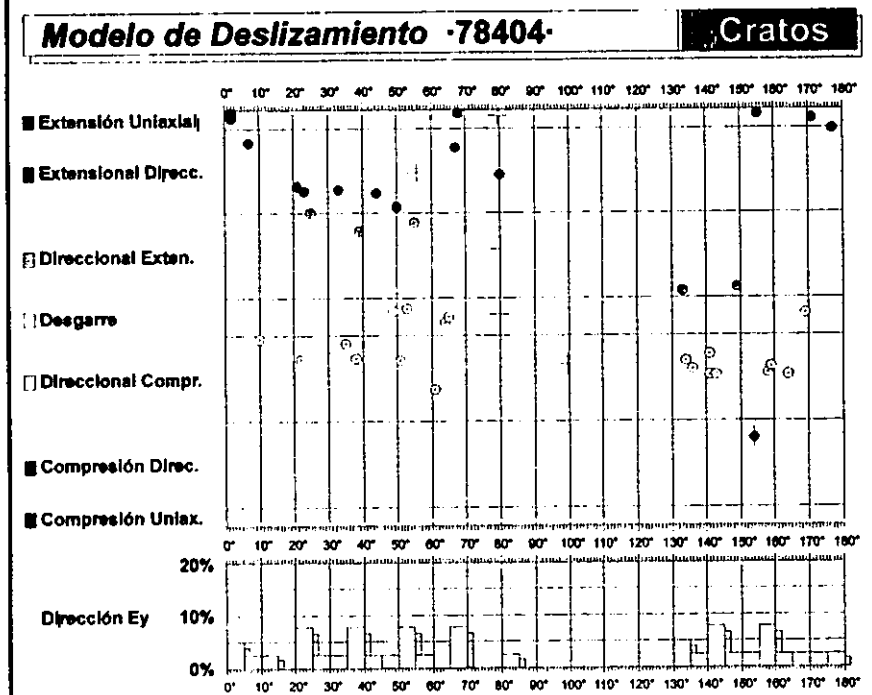
2ª Subpoblación:

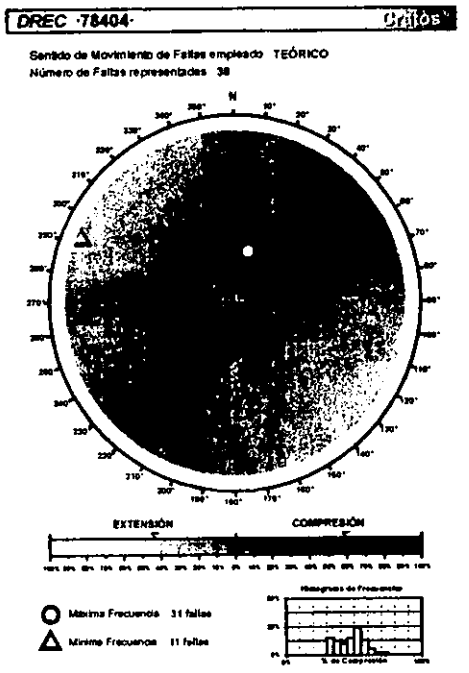
Ey: 034°±10°	Ey: 034°±10°
Buz: 81°±6°	Buz: 81°±6°
Cab: 35°±19°	Cab: 35°±19°
s1 85°/230°	s1 00°/185°
s2 04°/050°	s2 80°/281°
s3 00°/320°	s3 09°/095°
R = 0.39	R = 0.67
μ = 0.71	μ = 0.31
F.E. = 23 (43)	F.E. = 9 (43)











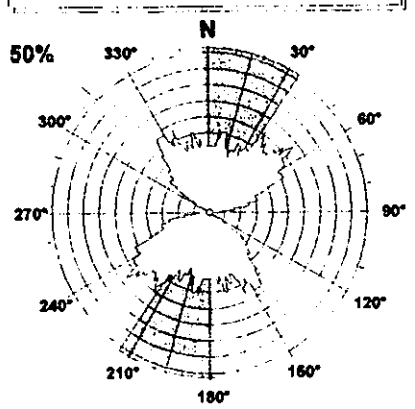
Trazas cicloográficas e histogramas del azimut, buzamiento y cabeceo

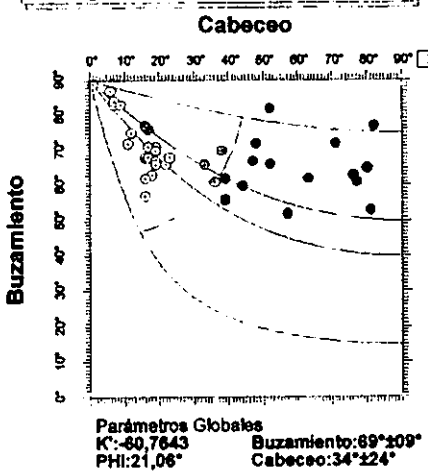
Estación: 784-04
Coordenadas U.T.M. (metros)
X: 408850
Y: 4315250
Z: 590
Litología: Carbonatos
Edad: Plioceno inferior

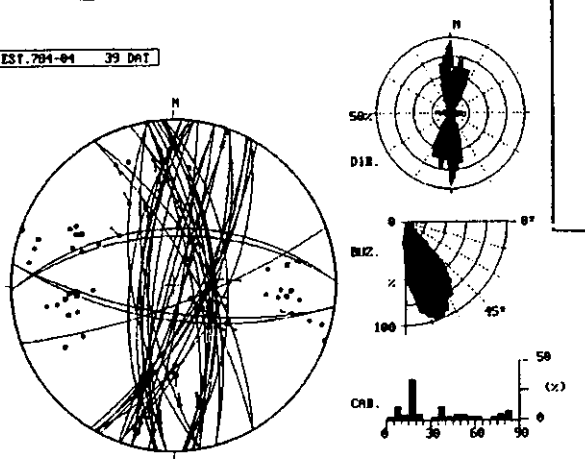
1ª Subpoblación:
Ey: 152°±7°
Buz: 68°±7°
Cab: 30°±24°
s1 23°/147°
s2 64°/349°
s3 08°/241°
R = 0.46
μ = 0.31
F.E. = 14 (15)

2ª Subpoblación:

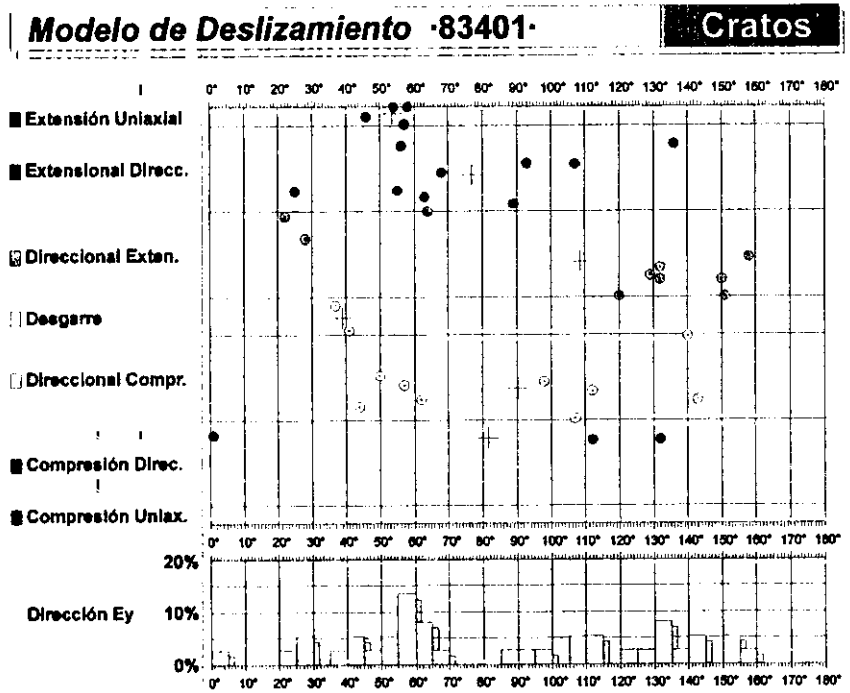
Ey: 041°±12°	Ey: 041°±12°
Buz: 69°±10°	Buz: 69°±10°
Cab: 36°±24°	Cab: 36°±24°
s1 84°/044°	s1 04°/211°
s2 05°/233°	s2 85°/029°
s3 00°/143°	s3 00°/121°
R = 0.48	R = 0.27
μ = 0.40	μ = 0.50
F.E. = 16 (24)	F.E. = 8 (24)

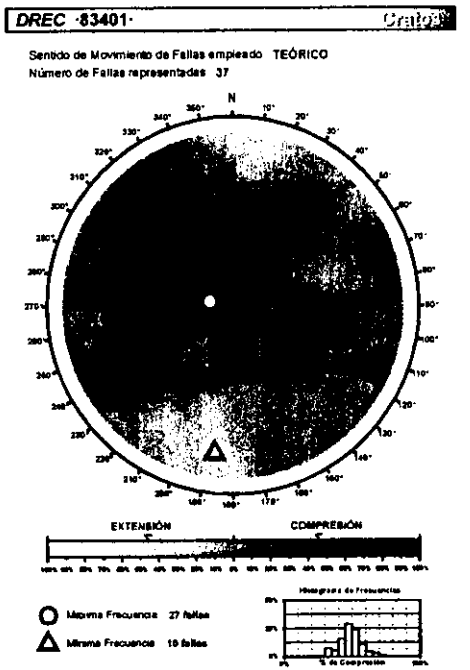






FACULTAD DE CIENCIAS GEOLÓGICAS - BIBLIOTECA



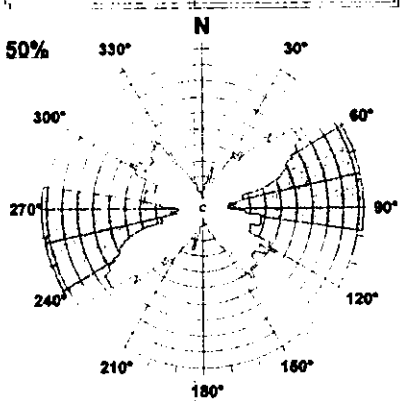


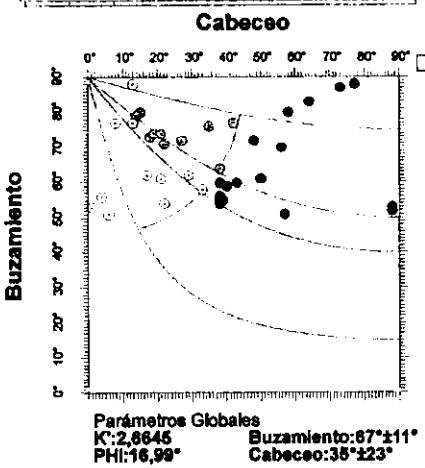
Trazas ciclográficas e histogramas del azimut, buzamiento y cabeceo

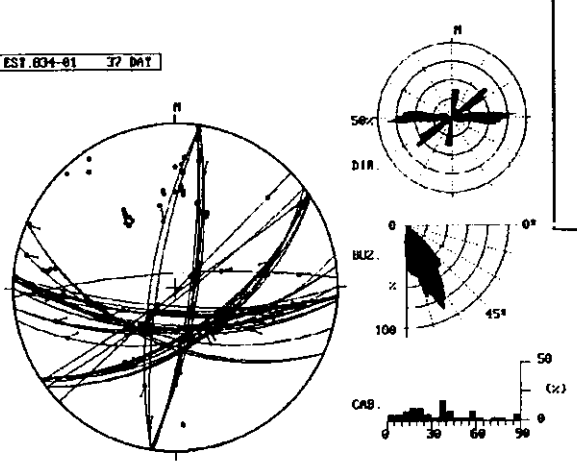
Estación: 834-01
Coordenadas U.T.M. (metros)
X: 352100
Y: 4271200
Z: 643
Litología: Basamento hercínico
Edad: Paleozoico

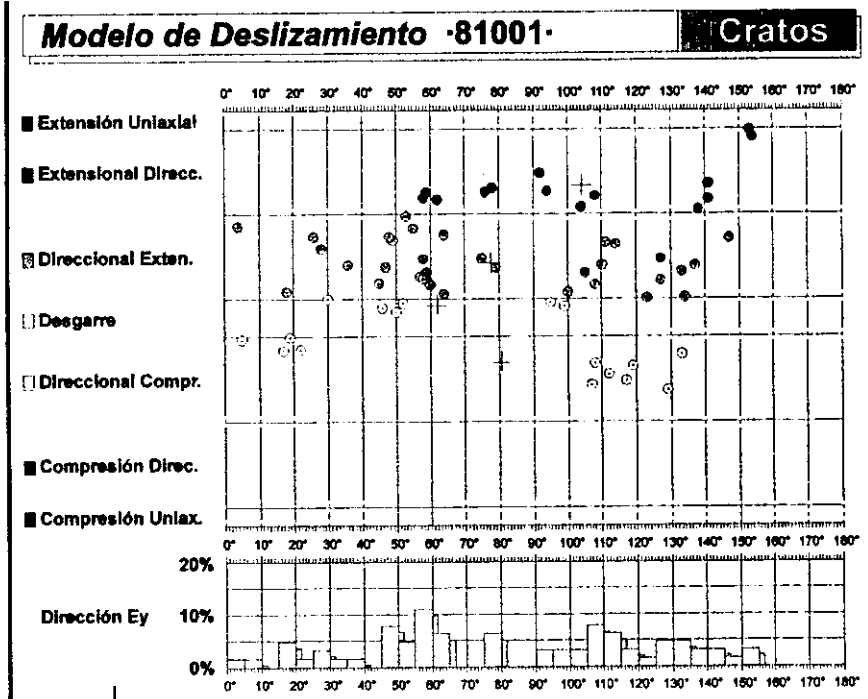
1ª Subpoblación:
Ey: 125°±10°
Buz: 67°±10°
Cab: 28°±17°
s1 49°/144°
s2 38°/303°
s3 10°/041°
R = 0.64
μ = 0.31
F.E. = 13 (18)

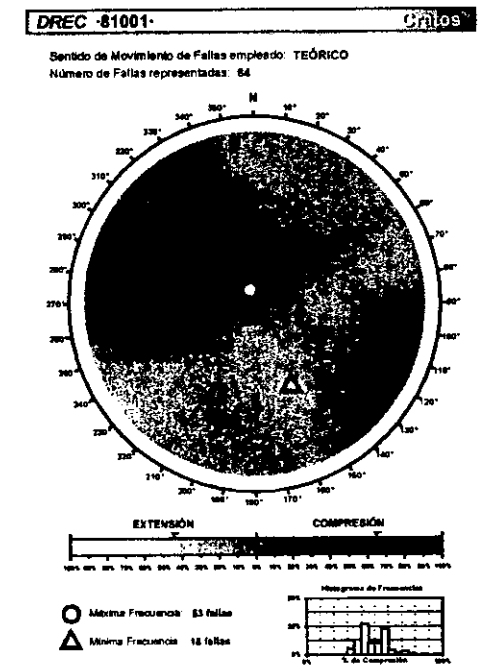
2ª Subpoblación:
Ey: 048°±11°
Buz: 67°±13°
Cab: 43°±25°
s1 81°/351°
s2 05°/223°
s3 06°/132°
R = 0.69
μ = 0.31
F.E. = 8 (19)









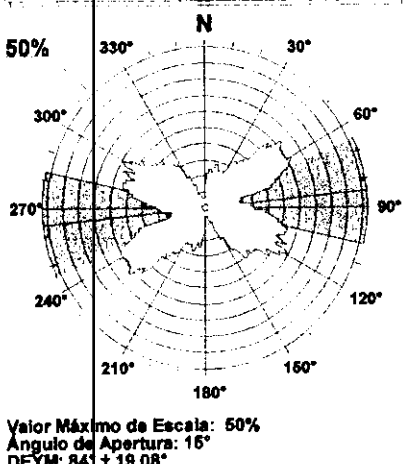


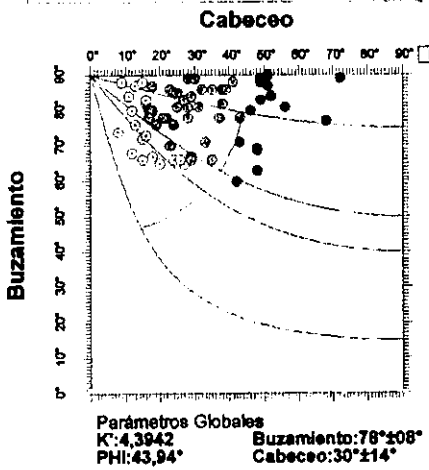
Estación: 810-01
Coordenadas U.T.M. (metros)
X: 403500
Y: 4296900
Z: 750
Litología: Colada lávica
Edad: Mioceno sup.-Pleistoceno inf.

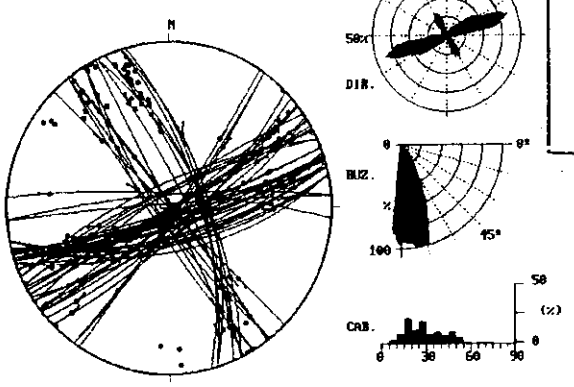
1ª Subpoblación:	
Ey: 120°±9°	Ey: 120°±9°
Buz: 75°±9°	Buz: 75°±9°
Cab: 31°±16°	Cab: 31°±16°
s1 36°/111°	s1 78°/342°
s2 53°/286°	s2 11°/144°
s3 02°/019°	s3 03°/234°
R = 0.61	R = 0.62
μ = 0.31	μ = 0.31
F.E. = 21 (31)	F.E. = 9 (31)

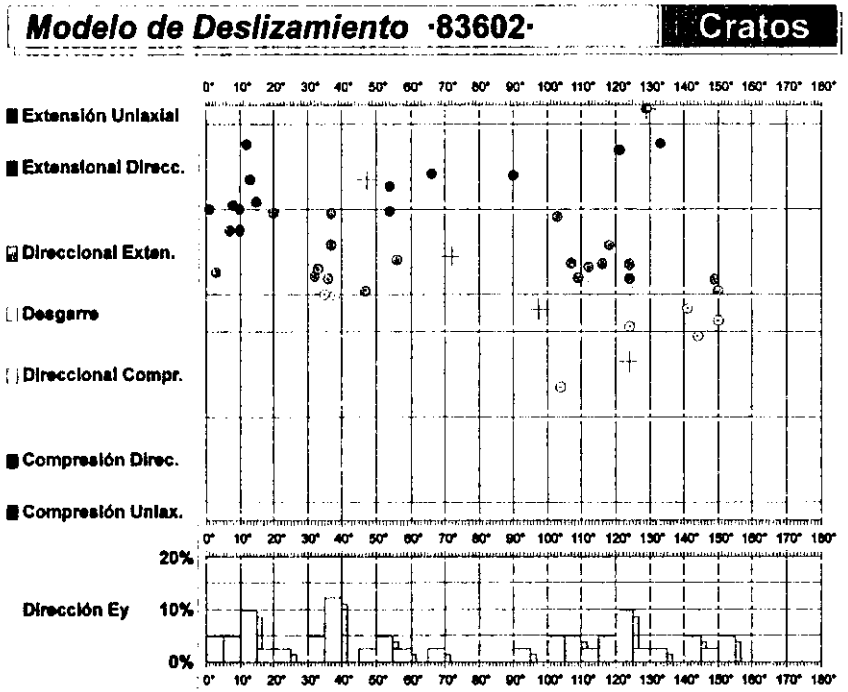
2ª Subpoblación:	
Ey: 048°±12°	Ey: 048°±12°
Buz: 81°±6°	Buz: 81°±6°
Cab: 29°±13°	Cab: 29°±13°
s1 64°/025°	s1 81°/271°
s2 25°/195°	s2 08°/071°
s3 04°/287°	s3 02°/161°
R = 0.62	R = 0.42
μ = 0.31	μ = 1.41
F.E. = 20 (33)	F.E. = 11 (33)

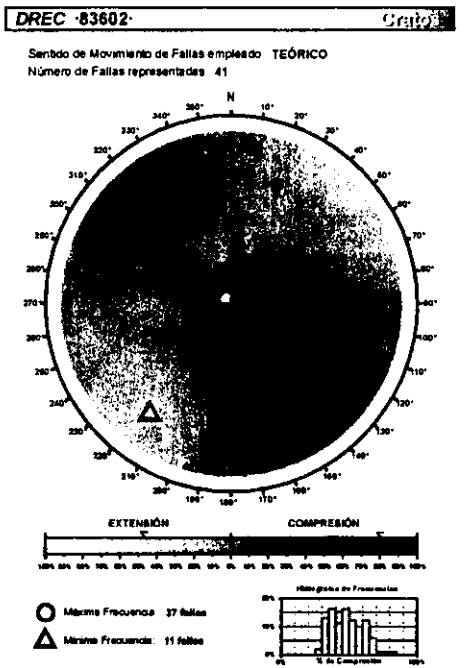
Trazas ciclográficas e histogramas del azimut, buzamiento y cabeceo











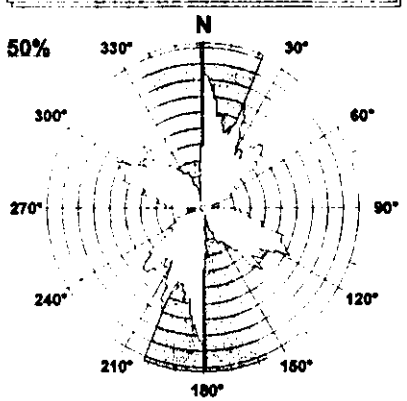
Trazas ciclográficas e histogramas del azimut, buzamiento y cabeceo

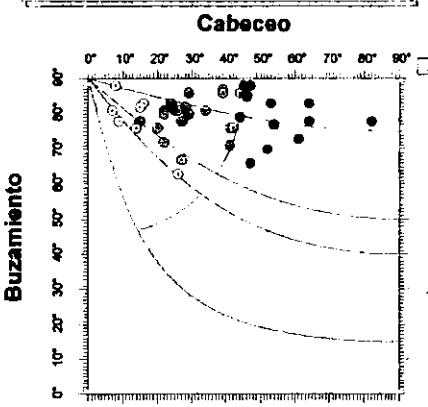
Estación: 836-02
Coordenadas U.T.M. (metros)
X: 403500
Y: 4280200
Z: 665
Litología: Colada lávica
Edad: Mioceno sup.-Pleistoceno inf.

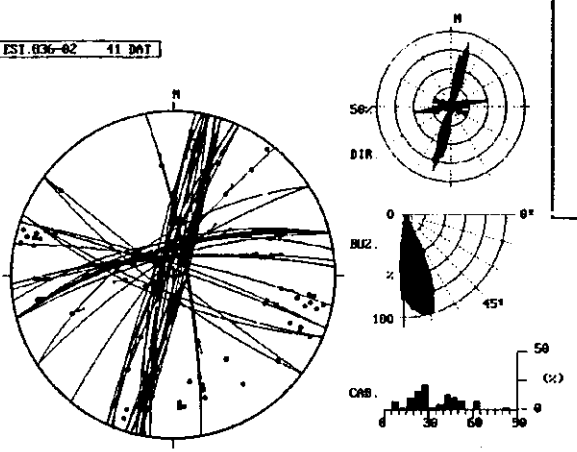
1ª Subpoblación:
Ey: 124°±10°
Buz: 77°±6°
Cab: 30°±20°
s1 85°/137°
s2 04°/312°
s3 00°/042°
R = 0.61
μ = 0.31
F.E. = 13 (19)

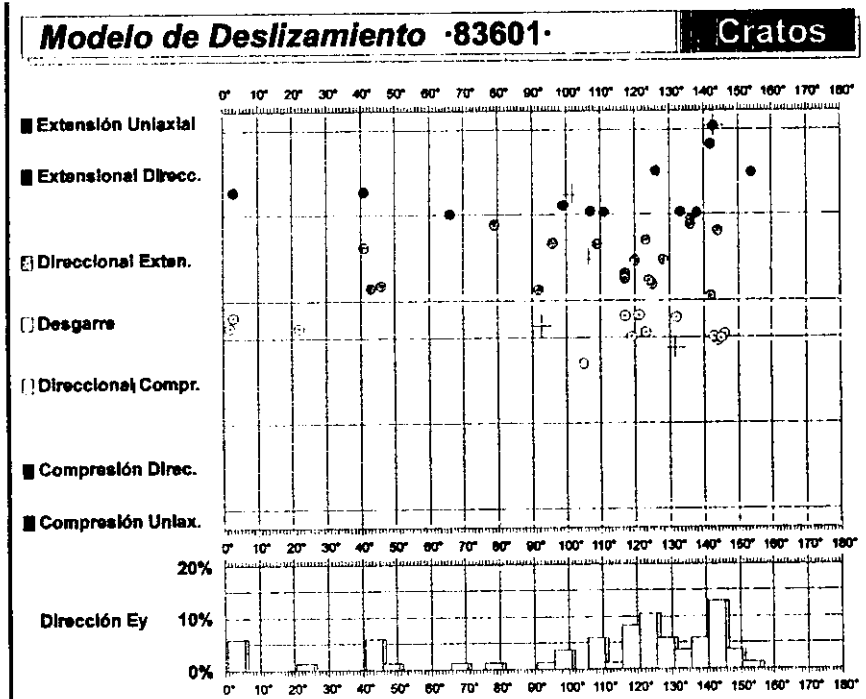
2ª Subpoblación:

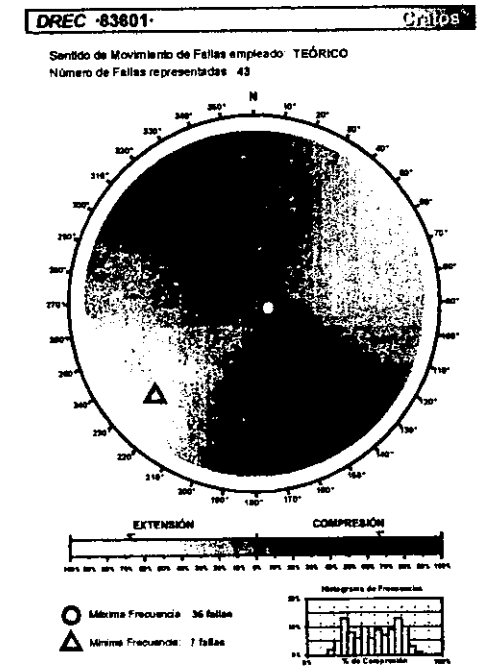
Ey: 028°±9°	Ey: 028°±9°
Buz: 81°±5°	Buz: 81°±5°
Cab: 37°±13°	Cab: 37°±13°
s1 74°/011°	s1 86°/340°
s2 12°/228°	s2 03°/180°
s3 08°/136°	s3 01°/090°
R = 0.13	R = 0.26
μ = 0.40	μ = 1.41
F.E. = 16 (22)	F.E. = 5 (22)









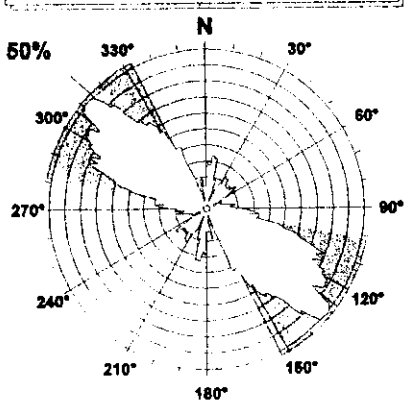


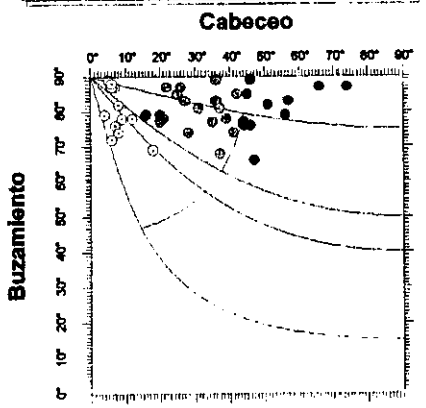
Estación: 836-01
Coordenadas U.T.M. (metros)
X: 403000
Y: 4265500
Z: 667
Litología: Colada lávica
Edad: Mioceno sup.-Pleistoceno inf.

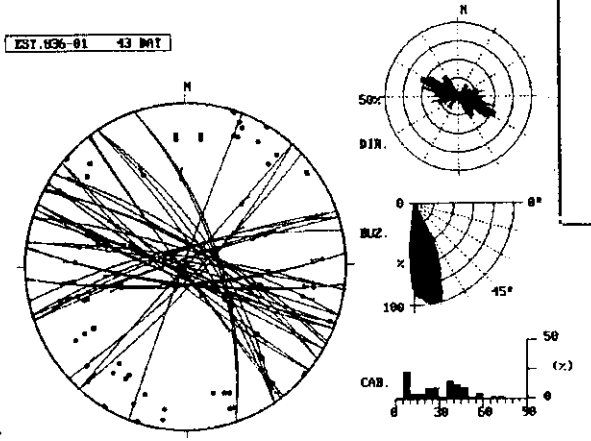
1ª Subpoblación:
Ey: 125°±11°
Buz: 80°±6°
Cab: 30°±18°
s1 66°/118°
s2 22°/316°
s3 06°/223°
R = 0.58
μ = 0.40
F.E. = 31 (34)

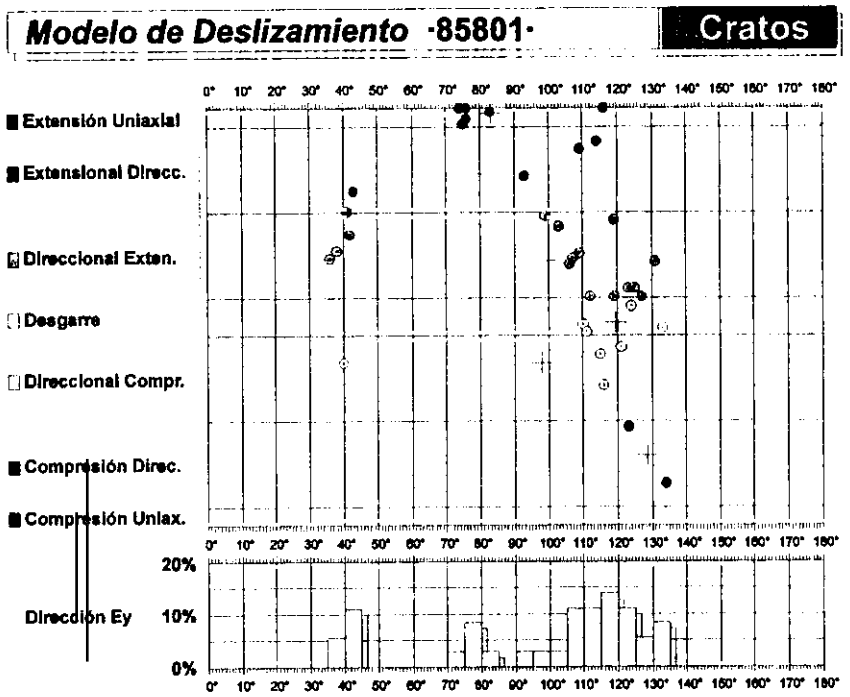
2ª Subpoblación:
Ey: 030°±10°
Buz: 81°±6°
Cab: 26°±18°
s1 54°/192°
s2 35°/012°
s3 00°/102°
R = 0.61
μ = 0.31
F.E. = 7 (9)

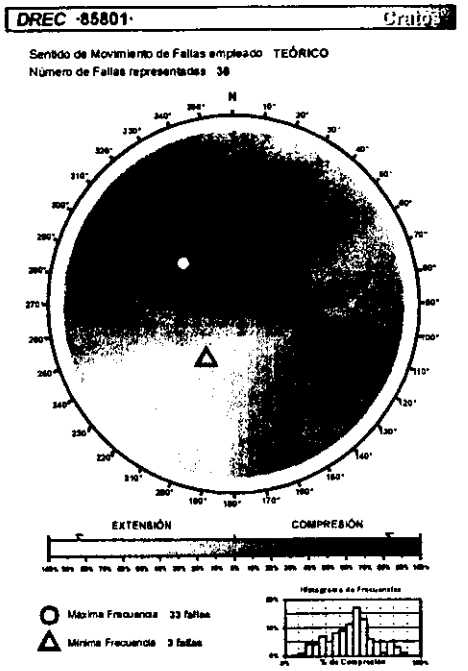
Trazas cicloográficas e histogramas del azimut, buzamiento y cabeceo









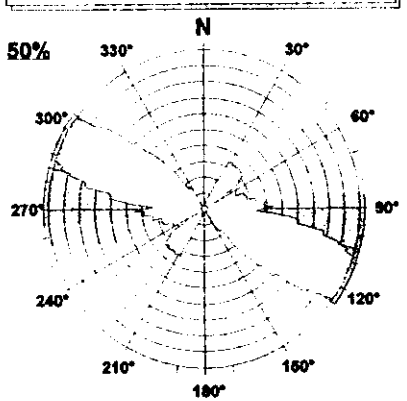


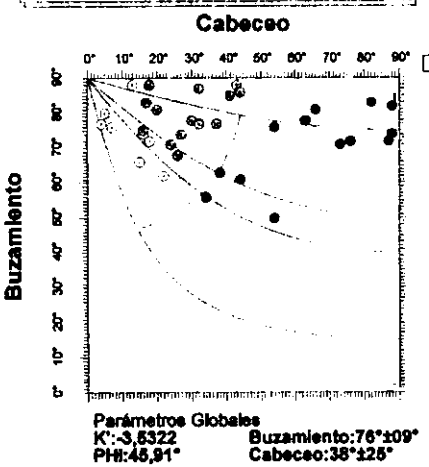
Estación: 858-01
Coordenadas U.T.M. (metros)
X: 317800
Y: 4258200
Z: 551
Litología: Basamento hercínico
Edad: Paleozoico

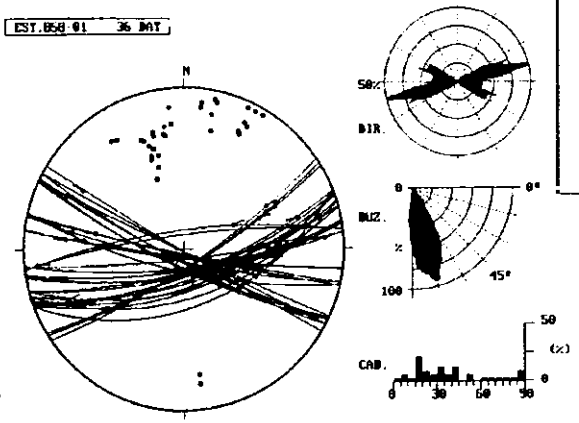
1ª Subpoblación:
Ey: 040°±1°
Buz: 70°±7°
Cab: 33°±9°
s1 --°/---°
s2 --°/---°
s3 --°/---°
R = ---
μ = ---
F.E. = 0 (6)

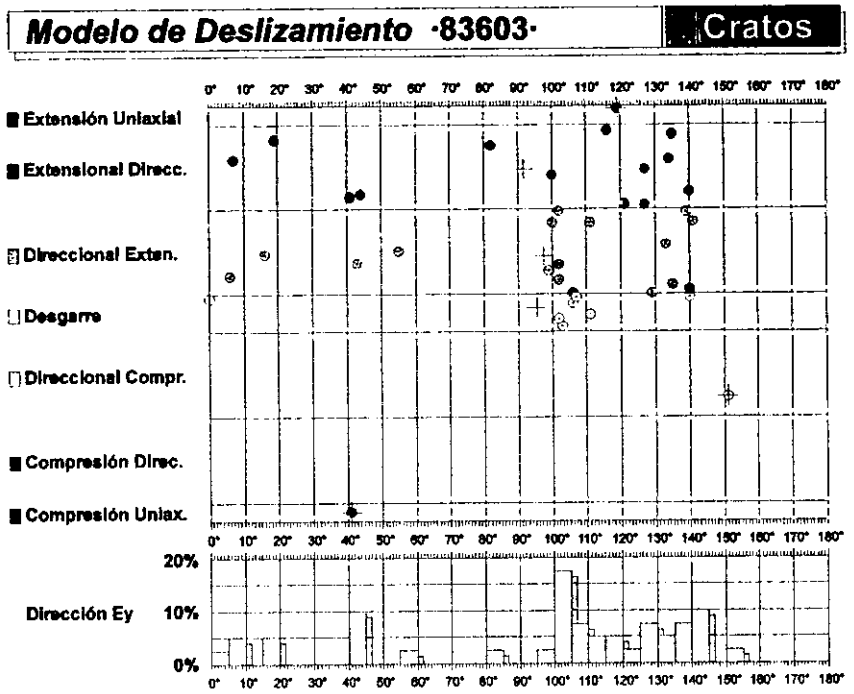
2ª Subpoblación:
Ey: 110°±11°
Buz: 77°±9°
Cab: 39°±27°
s1 48°/121°
s2 41°/303°
s3 01°/212°
R = 0.51
μ = 0.31
F.E. = 15 (30)

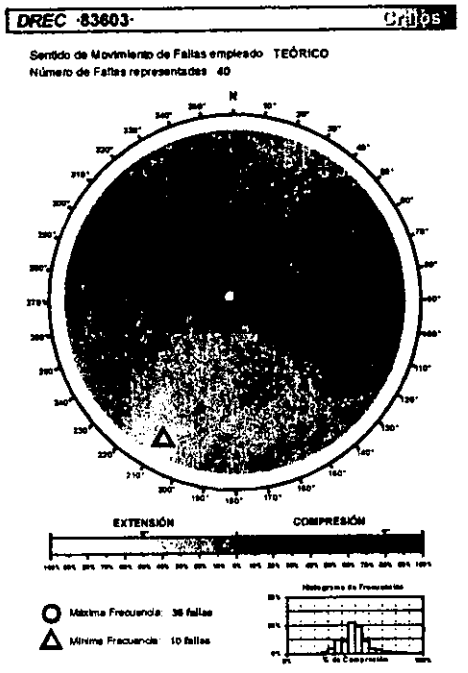
Trazas cicloográficas e histogramas del azimut, buzamiento y cabeceo









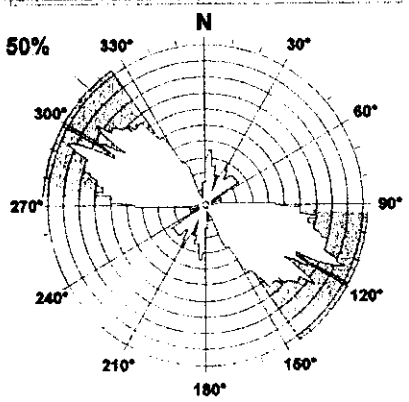


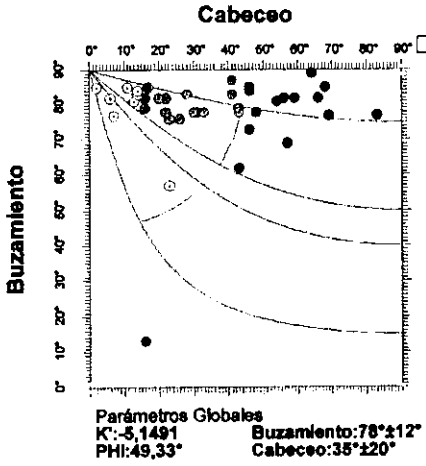
Estación: 836-03
Coordenadas U.T.M. (metros)
X: 405900
Y: 4280500
Z: 650
Litología: Colada lávica
Edad: Mioceno sup.-Pleistoceno inf.

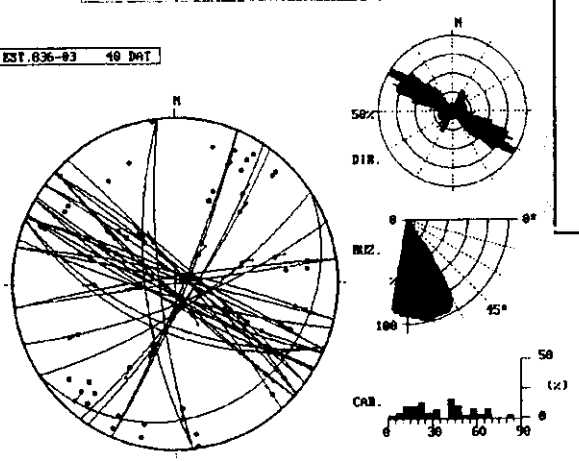
1ª Subpoblación:
Ey: 119°±8°
Buz: 80°±7°
Cab: 35°±21°
s1 87°/190°
s2 00°/298°
s3 02°/028°
R = 0.34
μ = 0.61
F.E. = 22 (30)

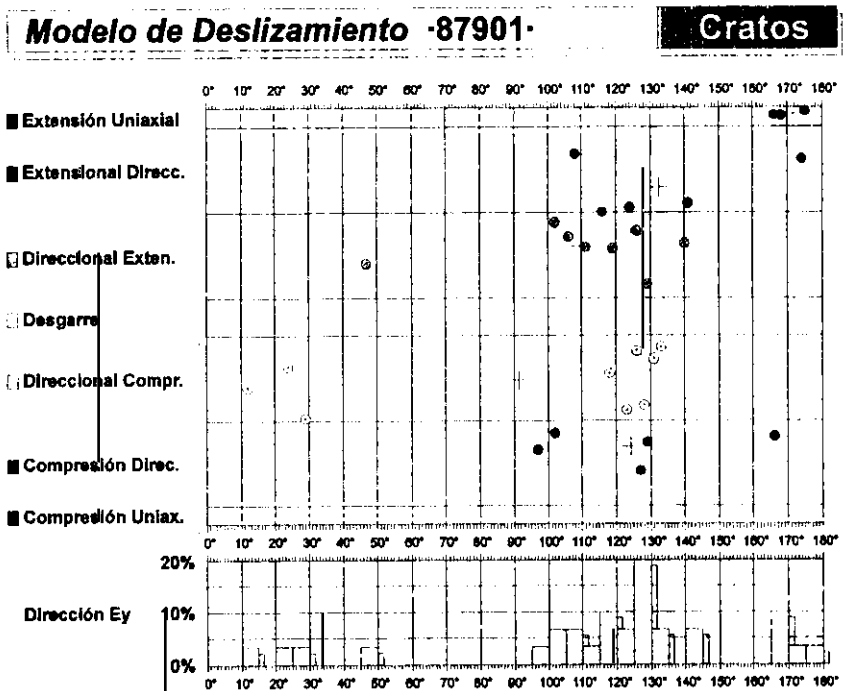
2ª Subpoblación:
Ey: 027°±7°
Buz: 71°±20°
Cab: 36°±17°
s1 48°/014°
s2 40°/174°
s3 10°/273°
R = 0.30
μ = 0.31
F.E. = 8 (10)

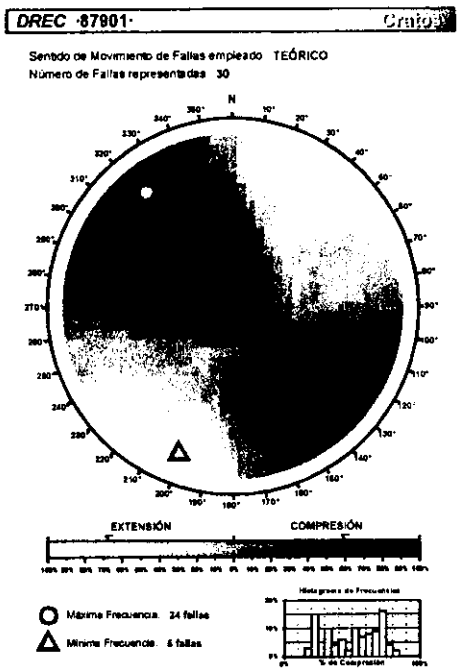
Trazas cicloográficas e histogramas del azimut, buzamiento y cabeceo









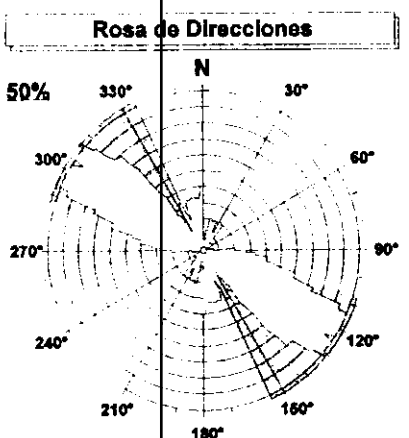


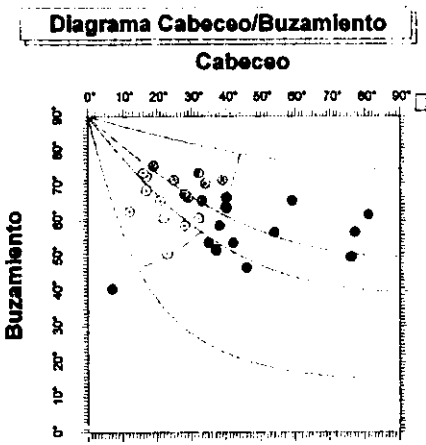
Trazas ciclográficas e histogramas del azimut, buzamiento y cabeceo

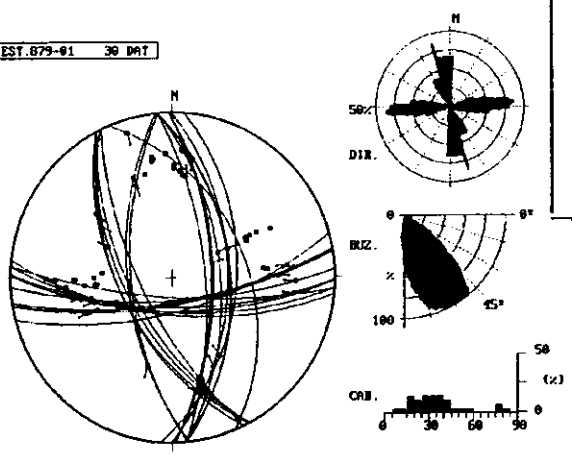
Estación: 879-01
Coordenadas U.T.M. (metros)
X: 291600
Y: 4242600
Z: 543
Litología: Basamento hercínico
Edad: Paleozoico

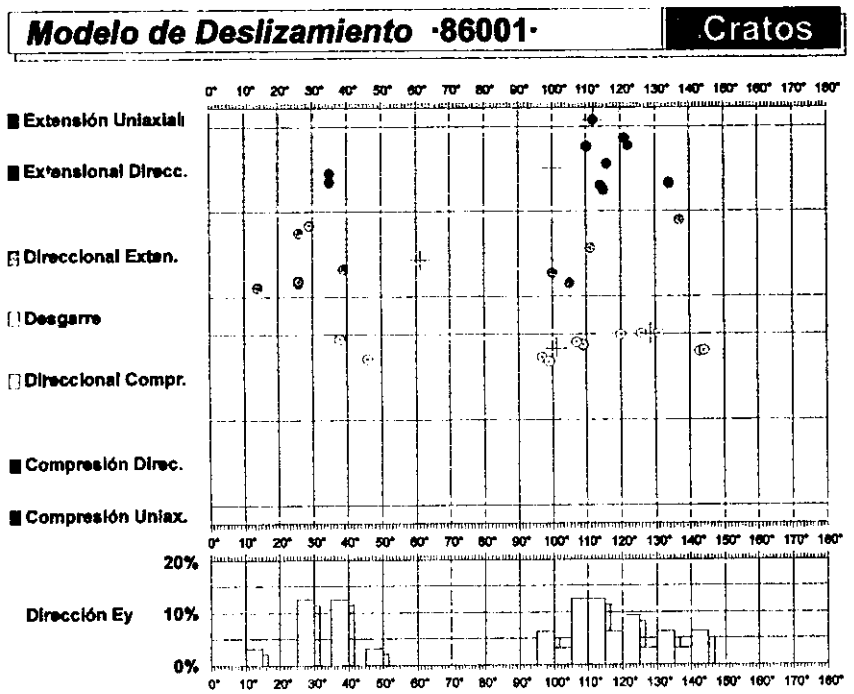
1ª Subpoblación:
Ey: 121°±7°
Buz: 65°±8°
Cab: 32°±10°
s1 08°/295°
s2 79°/155°
s3 06°/026°
R = 0.77
μ = 0.40
F.E. = 21 (21)

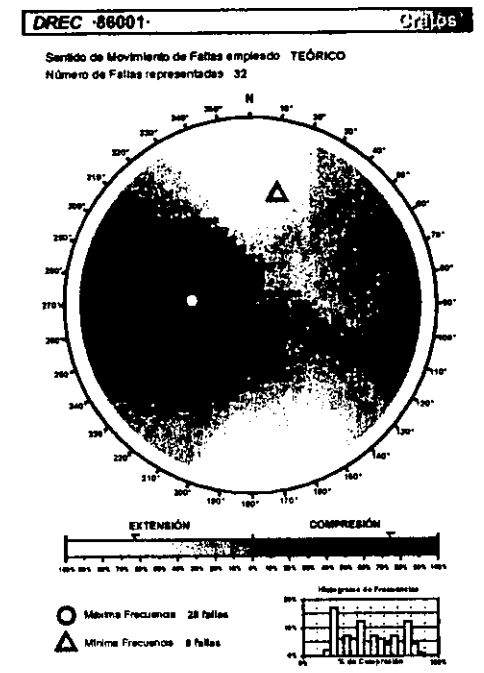
2ª Subpoblación:
Ey: 005°±10°
Buz: 57°±8°
Cab: 42°±28°
s1 42°/027°
s2 43°/177°
s3 15°/282°
R = 0.48
μ = 0.50
F.E. = 9 (9)









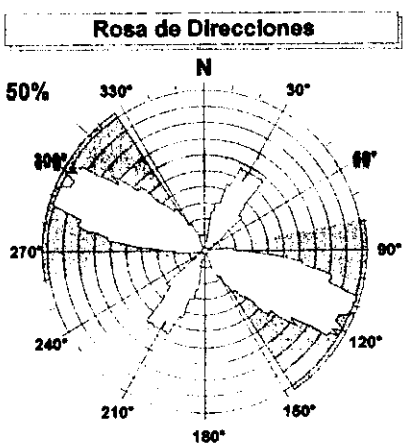


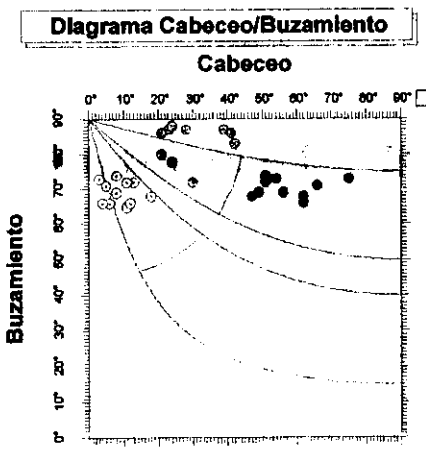
Estación: 860-01
Coordenadas U.T.M. (metros)
X: 385000
Y: 4246700
Z: 546
Litología: Basamento hercínico
Edad: Paleozoico

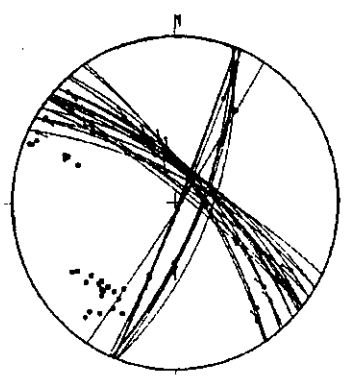
1ª Subpoblación:
Ey: 117°±8°
Buz: 71°±4°
Cab: 30°±24°
s1 70°/040°
s2 04°/296°
s3 18°/204°
R = 0.13
μ = 0.31
F.E. = 9 (22)

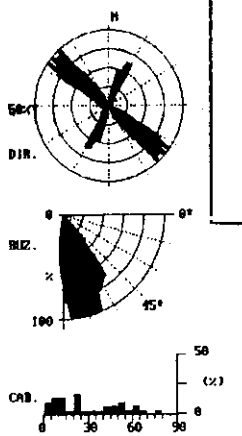
2ª Subpoblación:
Ey: 031°±5°
Buz: 80°±8°
Cab: 30°±15°
s1 14°/207°
s2 75°/016°
s3 02°/116°
R = 0.46
μ = 1.71
F.E. = 6 (10)

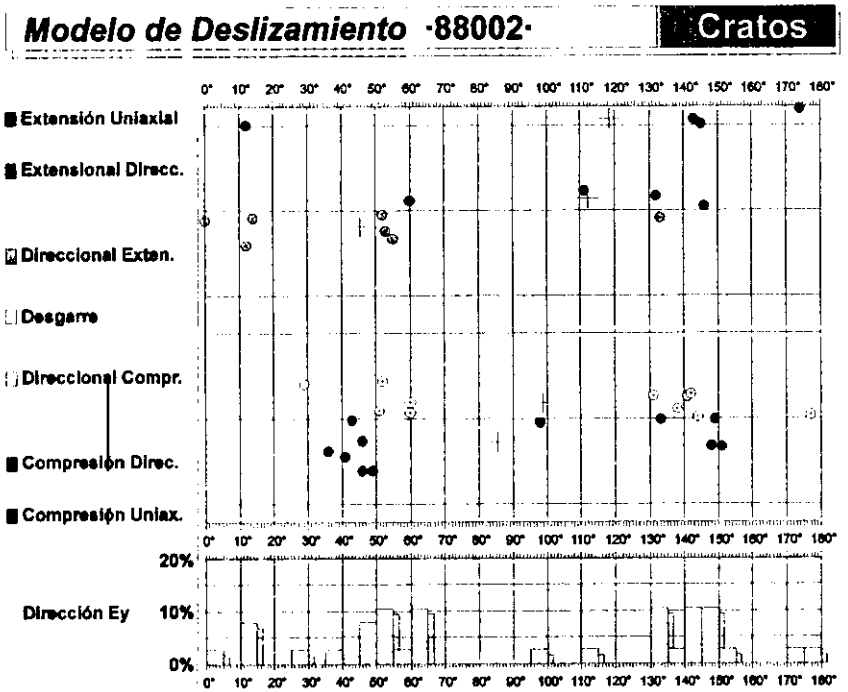
Trazas ciclográficas e histogramas del azimut, buzamiento y cabeceo

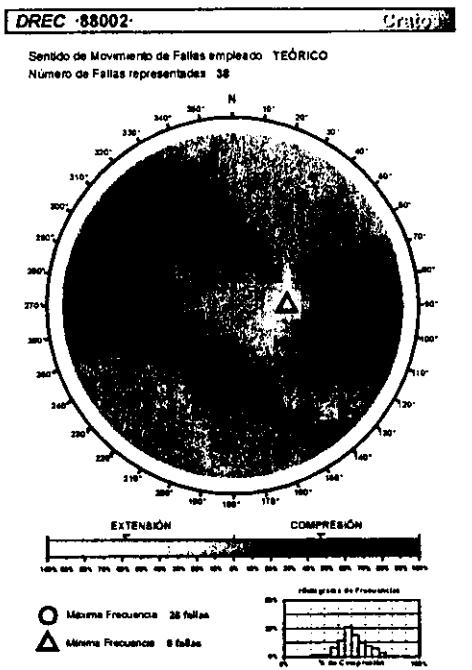












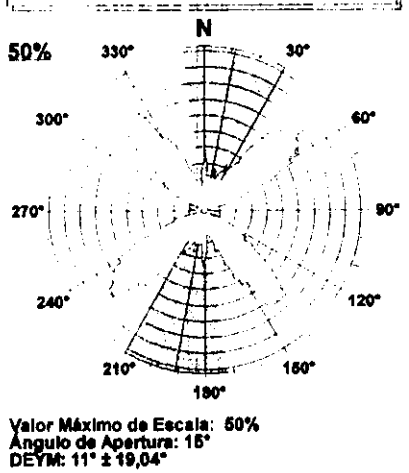
Trazas ciclográficas e histogramas del azimut, buzamiento y cabeceo

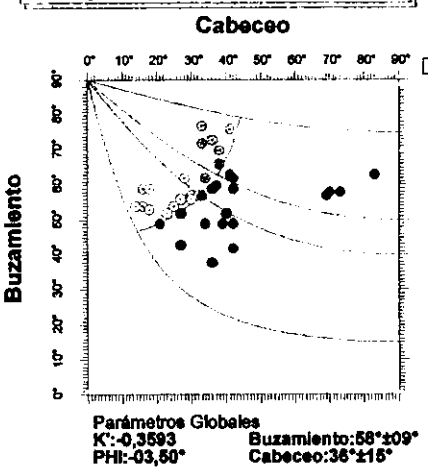
Estación: 880-02
Coordenadas U.T.M. (metros)
X: 327000
Y: 4236600
Z: 772
Litología: Basamento hercínico
Edad: Paleozoico

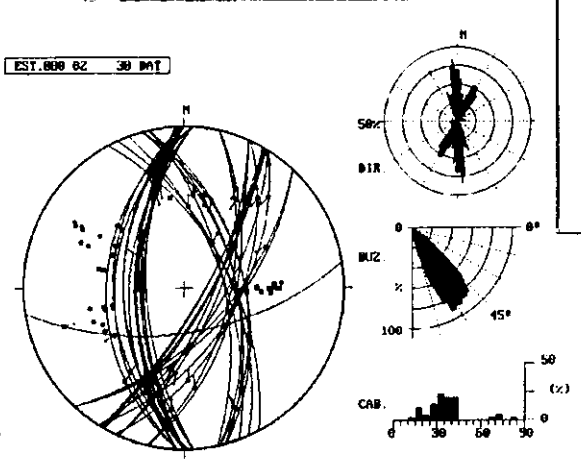
1ª Subpoblación:
Ey: 137°±10°
Buz: 56°±5°
Cab: 36°±16°
s1 12°/122°
s2 77°/288°
s3 02°/031°
R = 0.59
μ = 0.31
F.E. = 14 (16)

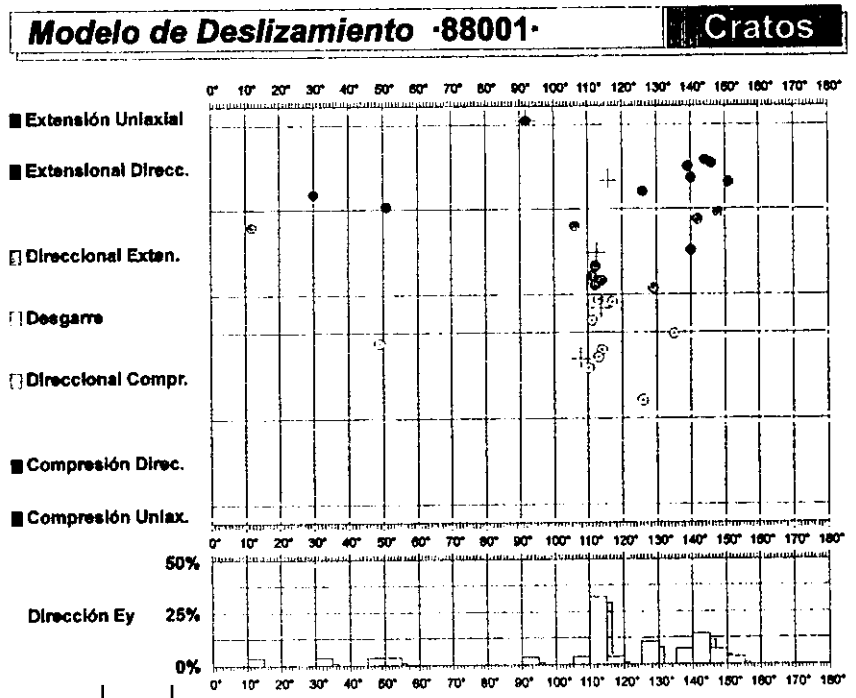
2ª Subpoblación:

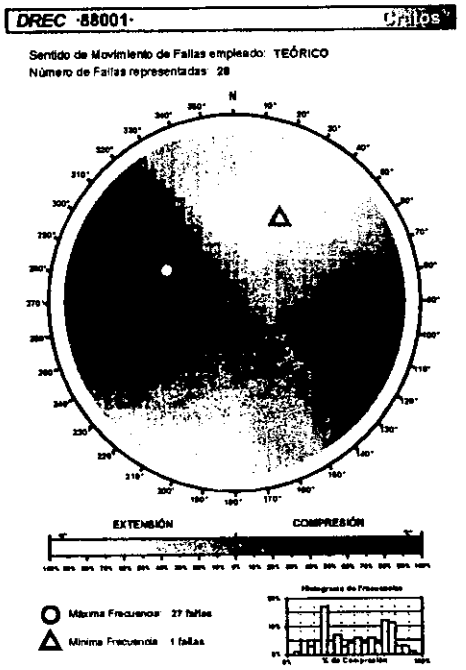
Ey: 039°±12°	Ey: 039°±12°
Buz: 58°±10°	Buz: 58°±10°
Cab: 36°±15°	Cab: 36°±15°
s1 00°/224°	s1 33°/189°
s2 84°/322°	s2 54°/345°
s3 05°/134°	s3 11°/092°
R = 0.18	R = 0.32
μ = 0.50	μ = 0.31
F.E. = 14 (22)	F.E. = 5 (22)











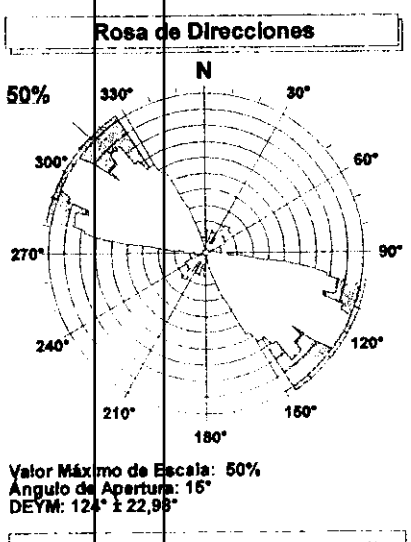
Trazas ciclográficas e histogramas del azimut, buzamiento y cabeceo

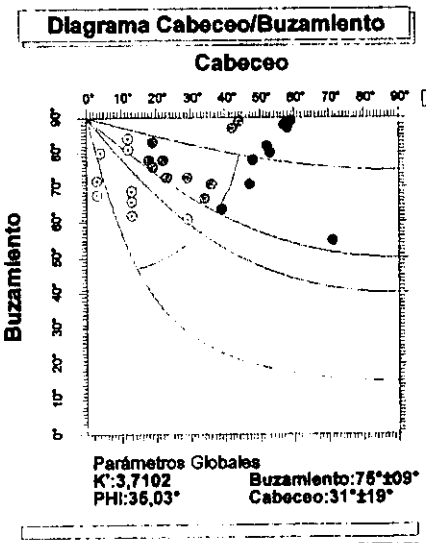
Estación: 880-01
Coordenadas U.T.M. (metros)
X: 316500
Y: 4233700
Z: 501
Litología: Basamento hercínico
Edad: Paleozoico

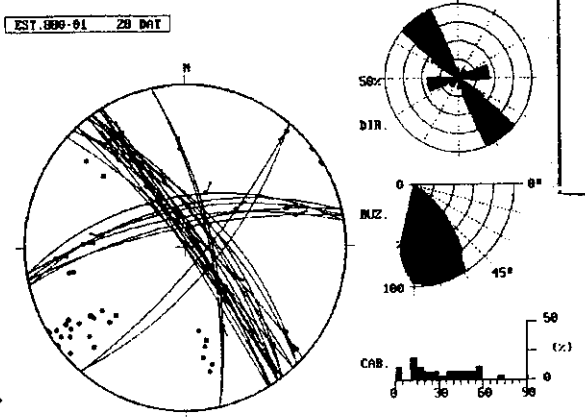
1ª Subpoblación:

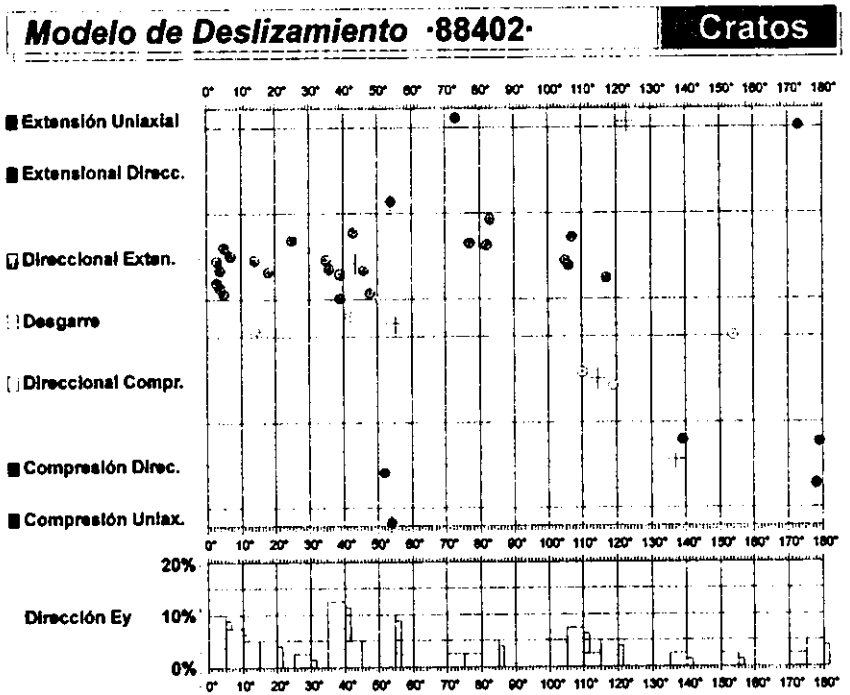
Ey: 125°±7°	Ey: 125°±7°
Buz: 76°±9°	Buz: 76°±9°
Cab: 31°±19°	Cab: 31°±19°
s1 72°/158°	s1 44°/309°
s2 17°/334°	s2 39°/092°
s3 01°/064°	s3 19°/199°
R = 0.27	R = 0.30
μ = 0.31	μ = 0.31
F.E. = 5 (24)	F.E. = 17 (24)

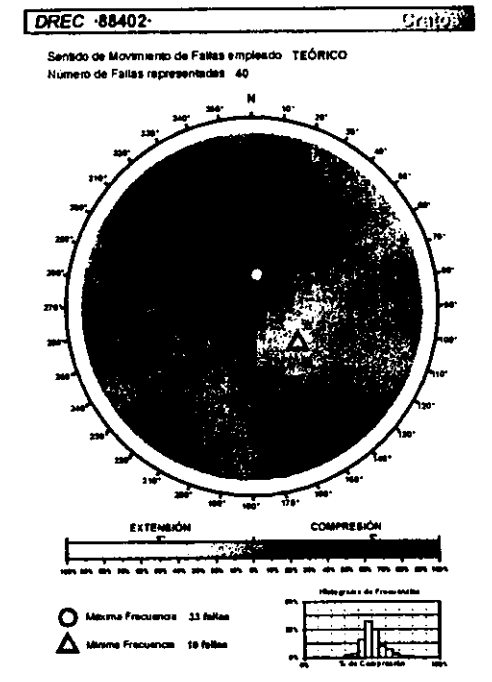
2ª Subpoblación:
Ey: 036°±7°
Buz: 70°±5°
Cab: 32°±17°
s1 --°/---°
s2 --°/---°
s3 --°/---°
R = ---
μ = ---
F.E. = 0 (4)









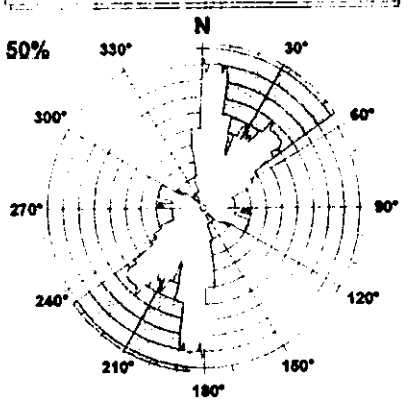


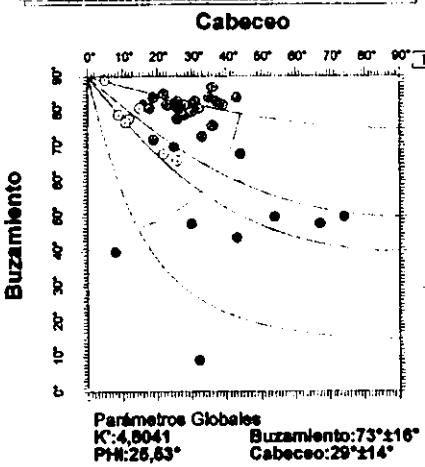
Trazas ciclográficas e histogramas del azimut, buzamiento y cabeceo

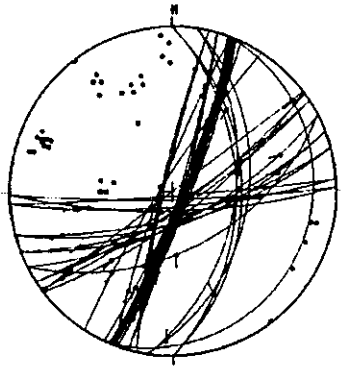
Estación: 884-02
Coordenadas U.T.M. (metros)
X: 449900
Y: 4241100
Z: 736
Litología: Basamento hercínico
Edad: Paleozoico

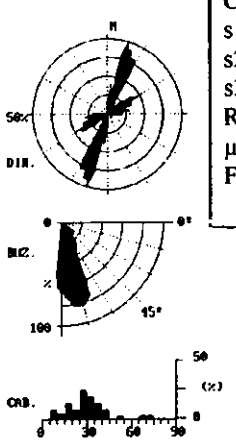
1ª Subpoblación:	
Ey: 105°±15°	Ey: 105°±15°
Buz: 71°±11°	Buz: 71°±11°
Cab: 32°±15°	Cab: 32°±15°
s1 42°/101°	s1 30°/079°
s2 41°/316°	s2 59°/264°
s3 18°/209°	s3 02°/170°
R = 0.21	R = 0.64
μ = 0.31	μ = 0.31
F.E. = 6 (12)	F.E. = 5 (12)

2ª Subpoblación:		
Ey: 024°±8°	Ey: 024°±8°	Ey: 024°±8°
Buz: 74°±18°	Buz: 74°±18°	Buz: 74°±18°
Cab: 28°±14°	Cab: 28°±14°	Cab: 28°±14°
s1 81°/172°	s1 04°/183°	s1 14°/044°
s2 06°/026°	s2 54°/279°	s2 74°/199°
s3 04°/295°	s3 35°/090°	s3 06°/312°
R = 0.35	R = 0.32	R = 0.30
μ = 0.50	μ = 0.31	μ = 0.50
F.E. = 12 (28)	F.E. = 8 (28)	F.E. = 5 (28)



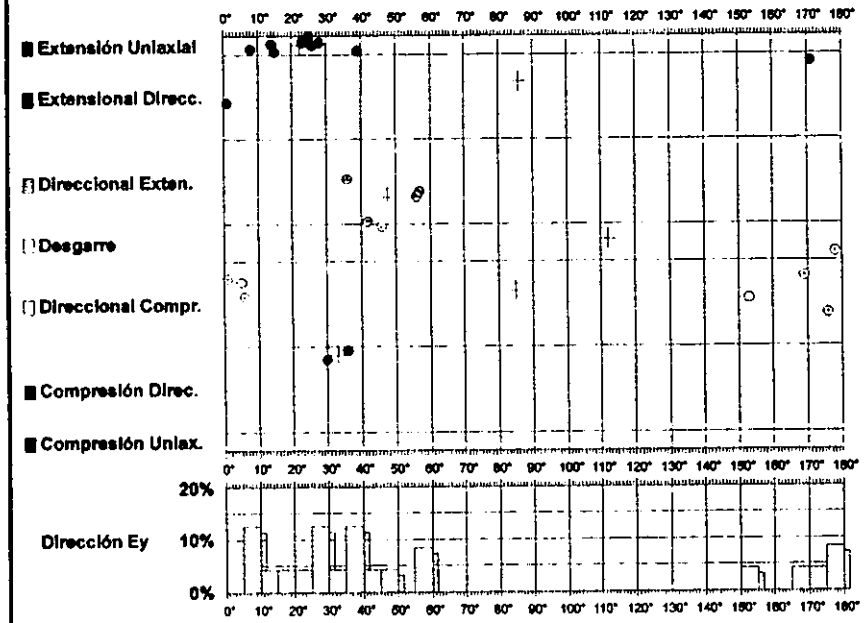




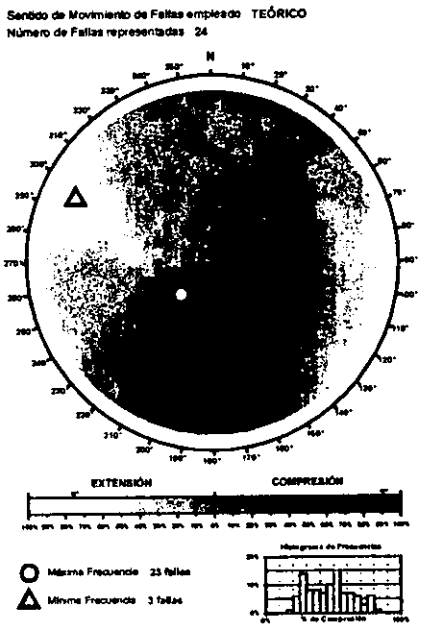


Modelo de Deslizamiento ·88401·

Cratos



DREC ·88401· Cratos

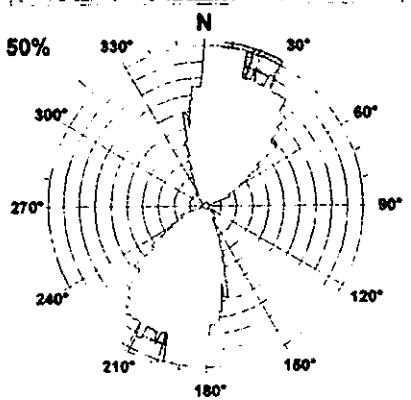


Estación: 884-01
Coordenadas U.T.M. (metros)
X: 447500
Y: 4230900
Z: 443
Litología: Basamento hercínico
Edad: Paleozoico

Ey: 018°±11°
Buz: 69°±10°
Cab: 42°±27°
s1 50°/001°
s2 38°/197°
s3 08°/101°
R = 0.09
μ = 1.11
F.E. = 12 (24)

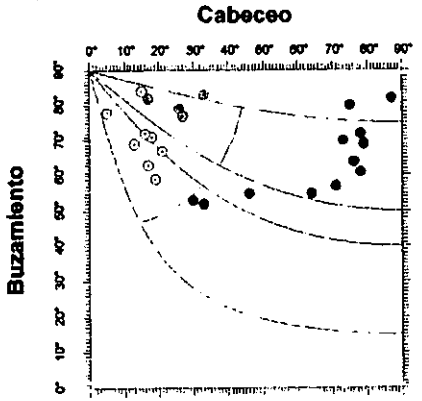
Trazas cicloográficas e histogramas del azimut, buzamiento y cabeceo

Rosa de Direcciones

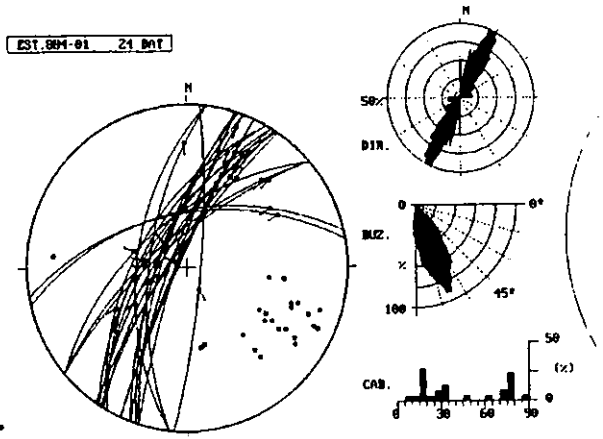


Valor Máximo de Escala: 50%
Ángulo de Apertura: 15°
DEYM: 18° ± 11,35°

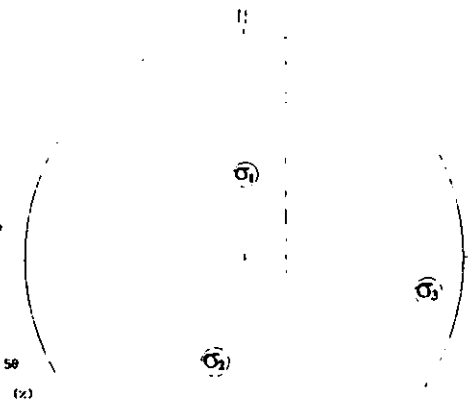
Diagrama Cabeceo/Buzamiento

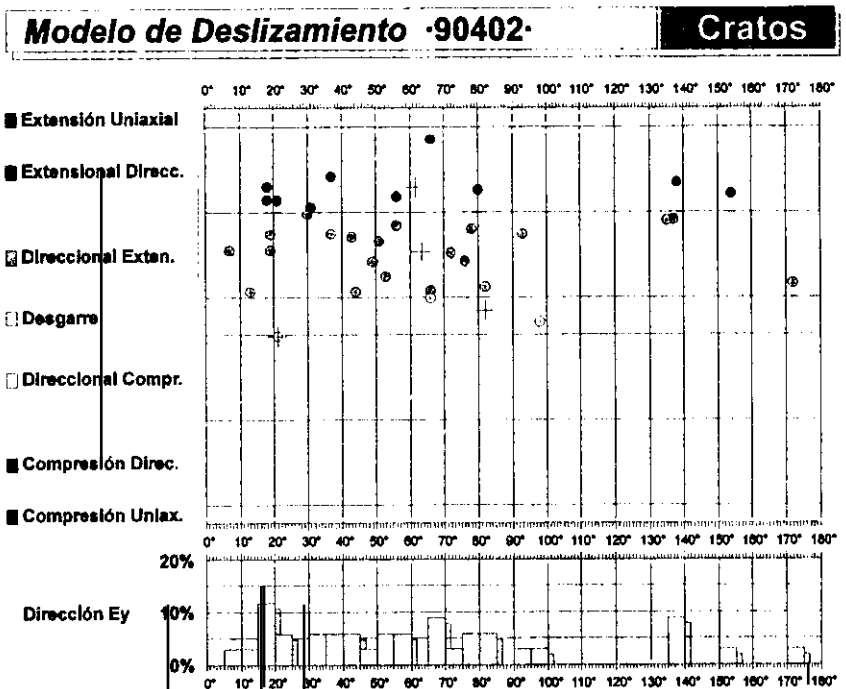


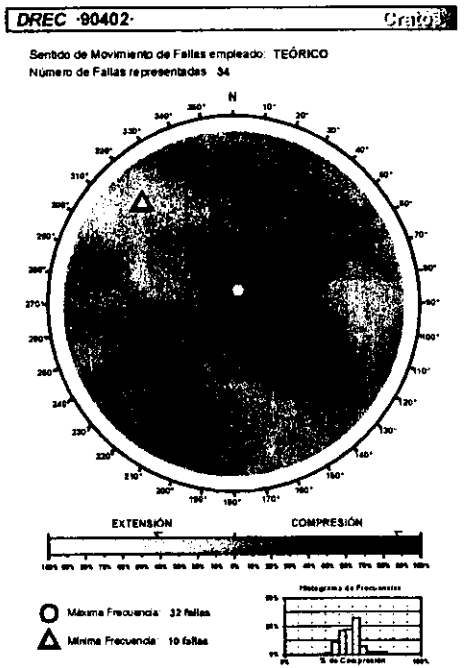
Parámetros Globales
K':-2,9276
PHI:30,32°
Buzamiento:69°±10°
Cabeceo:42°±27°



Método de Inversión de Esfuerzos







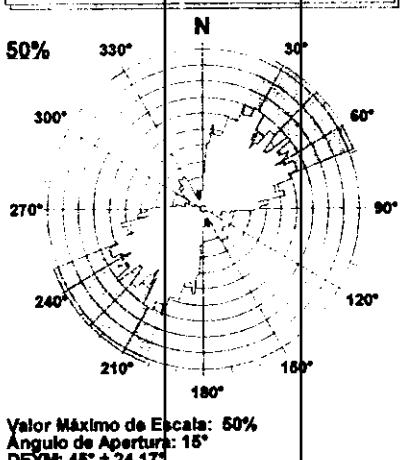
Trazas ciclográficas e histogramas del azimut, buzamiento y cabeceo

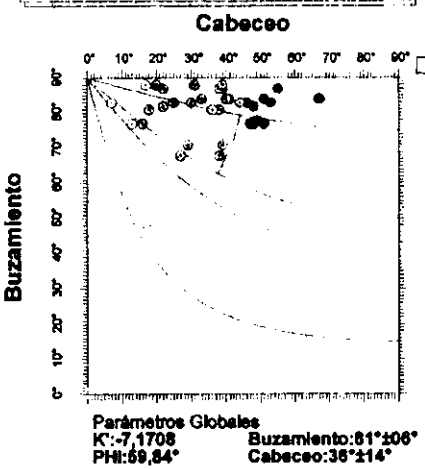
Estación: 904-02
Coordenadas U.T.M. (metros)
X: 417900
Y: 4218600
Z: 359
Litología: Basamento hercínico
Edad: Paleozoico

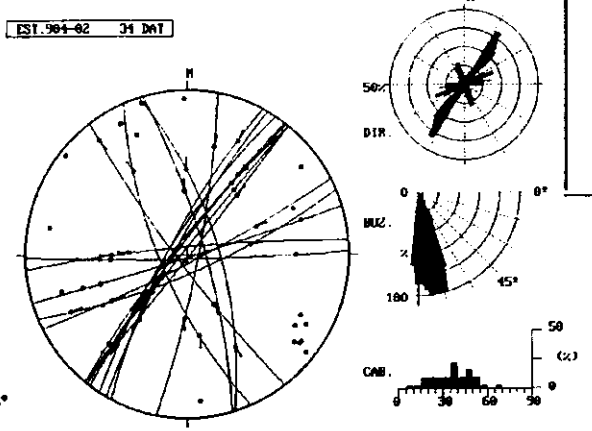
1ª Subpoblación:
Ey: 147°±7°
Buz: 76°±6°
Cab: 40°±11°
s1 78°/316°
s2 11°/134°
s3 00°/224°
R = 0.65
μ = 0.40
F.E. = 5 (5)

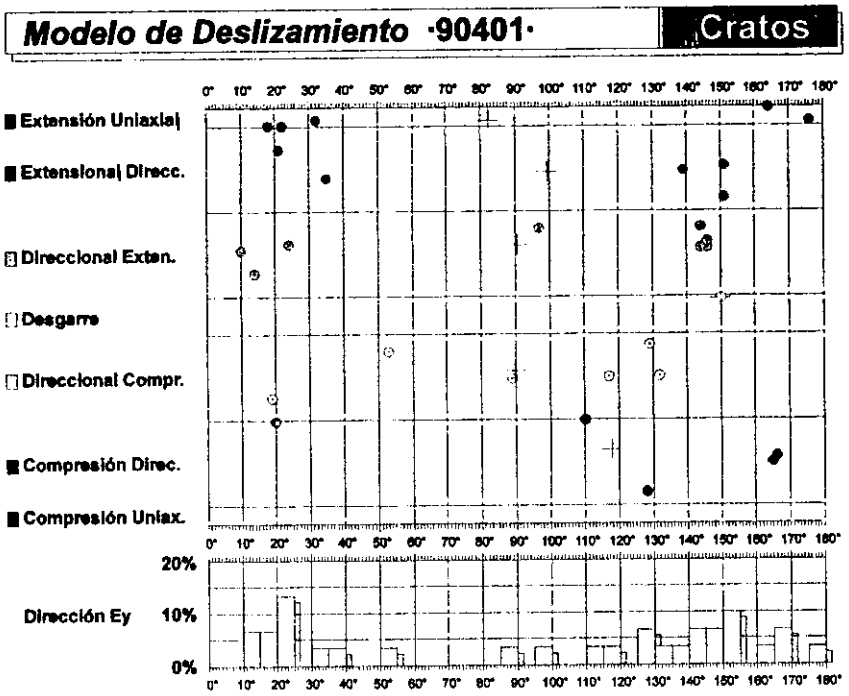
2ª Subpoblación:

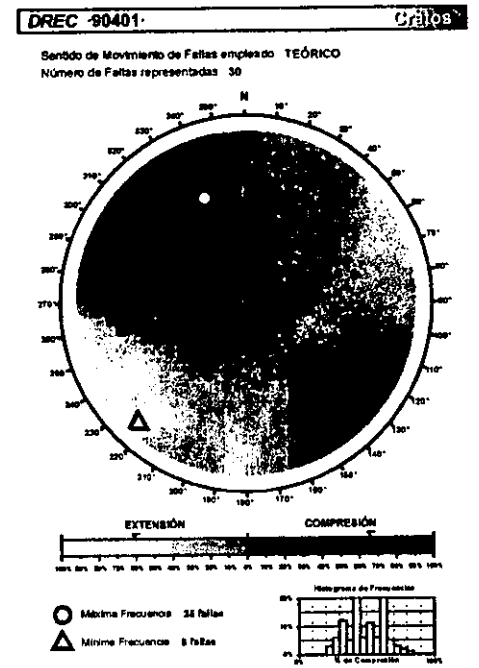
Ey: 048°±13°	Ey: 048°±13°
Buz: 82°±5°	Buz: 82°±5°
Cab: 35°±14°	Cab: 35°±14°
s1 84°/242°	s1 87°/080°
s2 04°/032°	s2 02°/276°
s3 02°/123°	s3 00°/186°
R = 0.30	R = 0.27
μ = 0.31	μ = 0.40
F.E. = 19 (29)	F.E. = 5 (29)











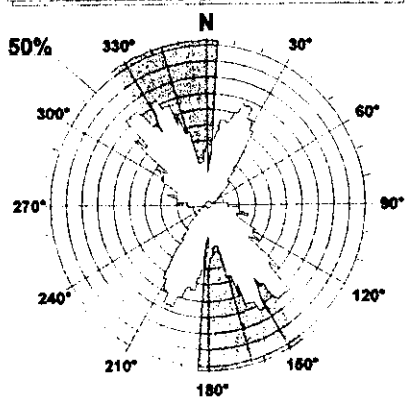
Estación: 904-01
Coordenadas U.T.M. (metros)
X: 413400
Y: 4215400
Z: 383
Litología: Basamento hercínico
Edad: Paleozoico

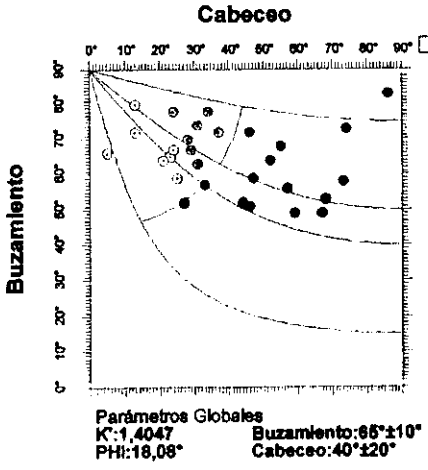
1ª Subpoblación:
Ey: 024°±8°
Buz: 62°±10°
Cab: 41°±21°
s1 26°/195°
s2 62°/030°
s3 06°/288°
R = 0.46
μ = 0.31
F.E. = 7 (11)

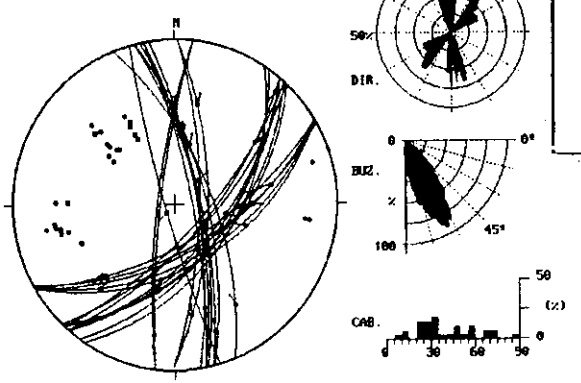
2ª Subpoblación:

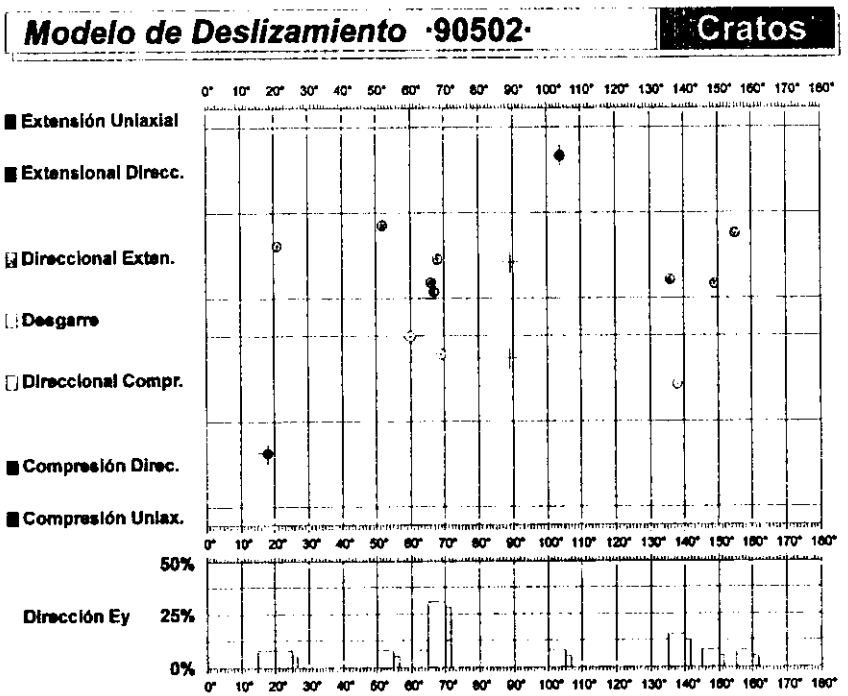
Ey: 141°±15°	Ey: 141°±15°
Buz: 67°±9°	Buz: 67°±9°
Cab: 39°±19°	Cab: 39°±19°
s1 38°/133°	s1 01°/146°
s2 49°/293°	s2 59°/238°
s3 09°/035°	s3 30°/056°
R = 0.50	R = 0.72
μ = 0.31	μ = 0.31
F.E. = 8 (19)	F.E. = 6 (19)

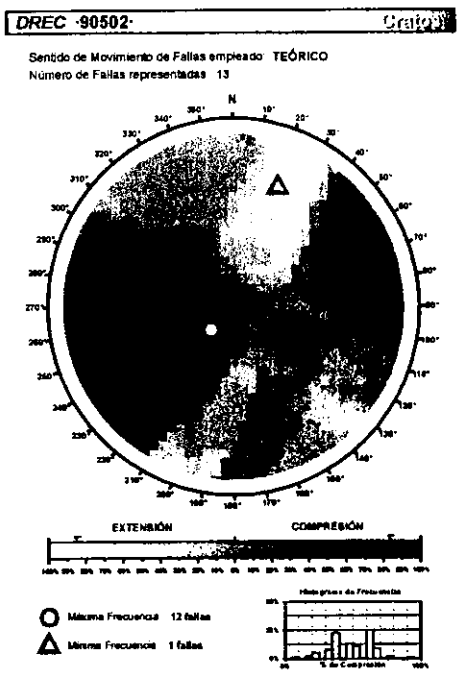
Trazas ciclográficas e histogramas del azimut, buzamiento y cabeceo









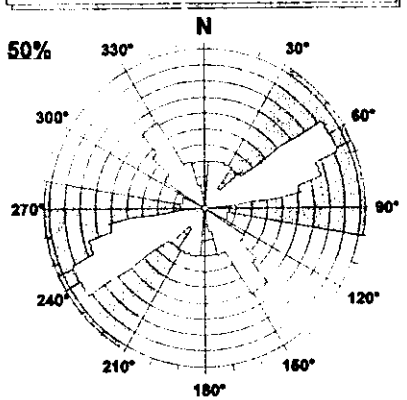


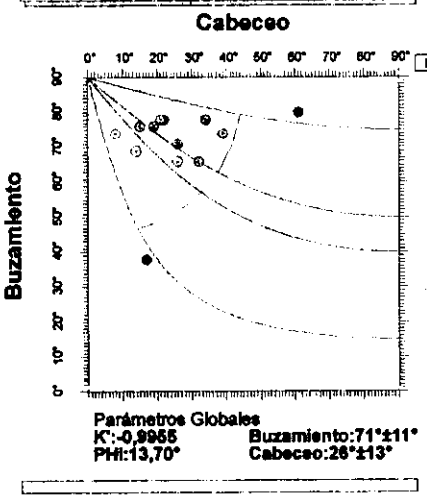
Trazas cicloográficas e histogramas del azimut, buzamiento y cabeceo

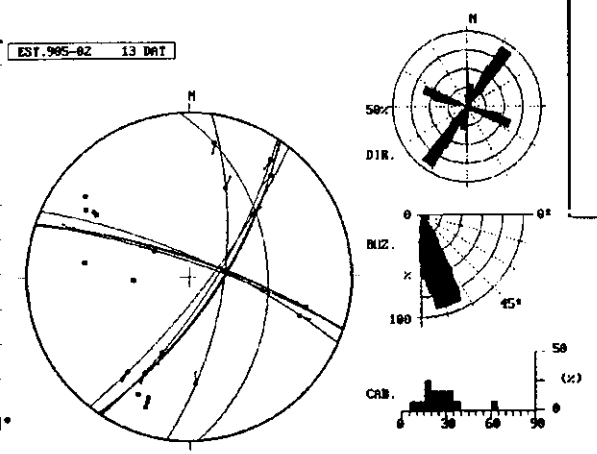
Estación: 905-02
Coordenadas U.T.M. (metros)
X: 432100
Y: 4218200
Z: 382
Litología: Carbonatos
Edad: Mioceno superior

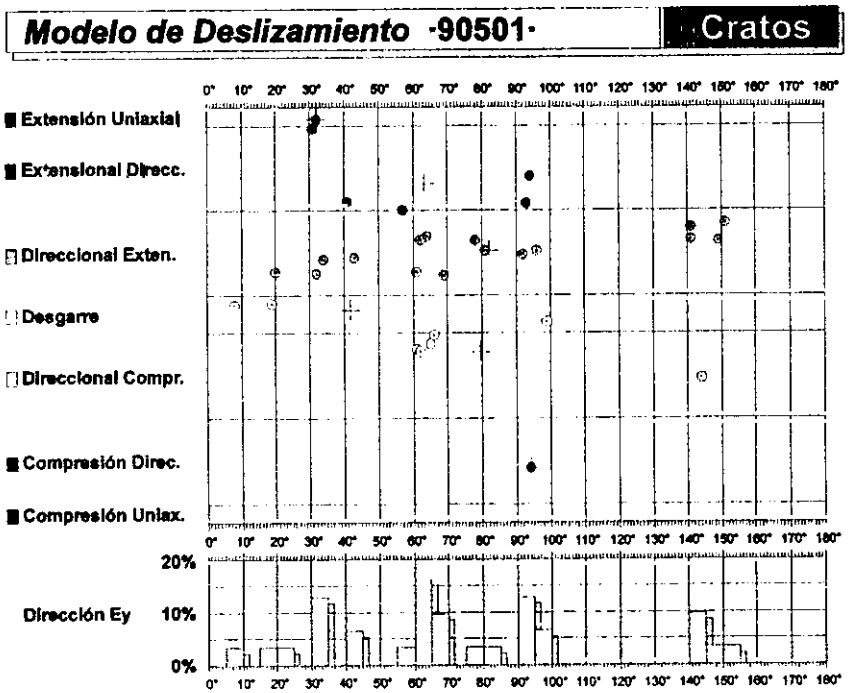
1ª Subpoblación:
Ey: 145°±2°
Buz: 72°±6°
Cab: 25°±5°
s1 --°/---°
s2 --°/---°
s3 --°/---°
R = ---
μ = ---
F.E. = 0 (4)

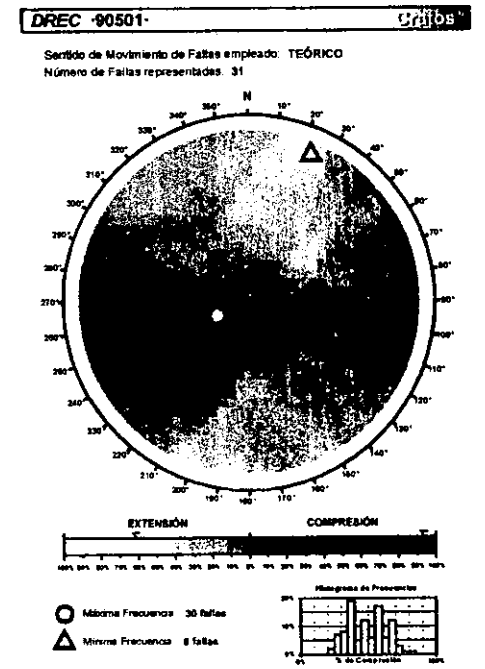
2ª Subpoblación:
Ey: 059°±17°
Buz: 71°±12°
Cab: 26°±15°
s1 35°/226°
s2 49°/078°
s3 16°/328°
R = 0.56
μ = 0.31
F.E. = 8 (9)









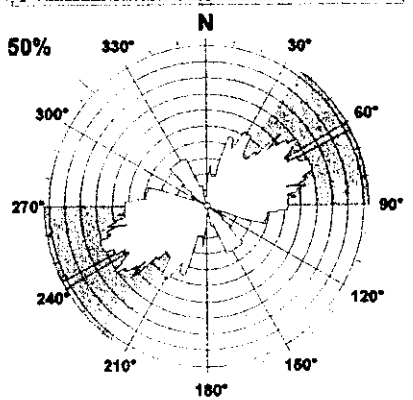


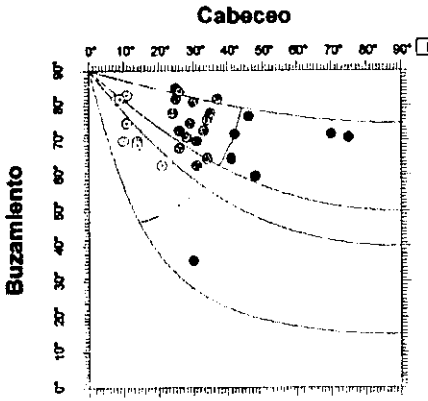
Estación: 905-01
Coordenadas U.T.M. (metros)
X: 431300
Y: 4224600
Z: 441
Litología: Basamento hercínico
Edad: Paleozoico

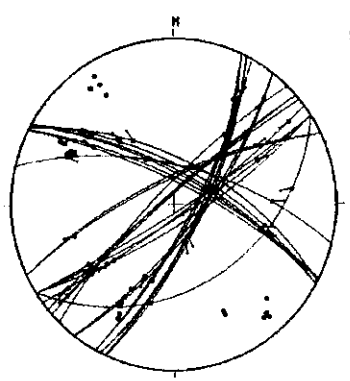
1ª Subpoblación:
Ey: 145°±2°
Buz: 67°±4°
Cab: 30°±5°
s1 --°/---°
s2 --°/---°
s3 --°/---°
R = ---
μ = ---
F.E. = 0 (5)

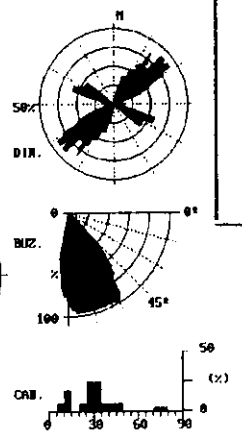
2ª Subpoblación:
Ey: 061°±16°
Buz: 74°±10°
Cab: 30°±17°
s1 65°/072°
s2 24°/252°
s3 00°/342°
R = 0.25
μ = 0.31
F.E. = 16 (26)

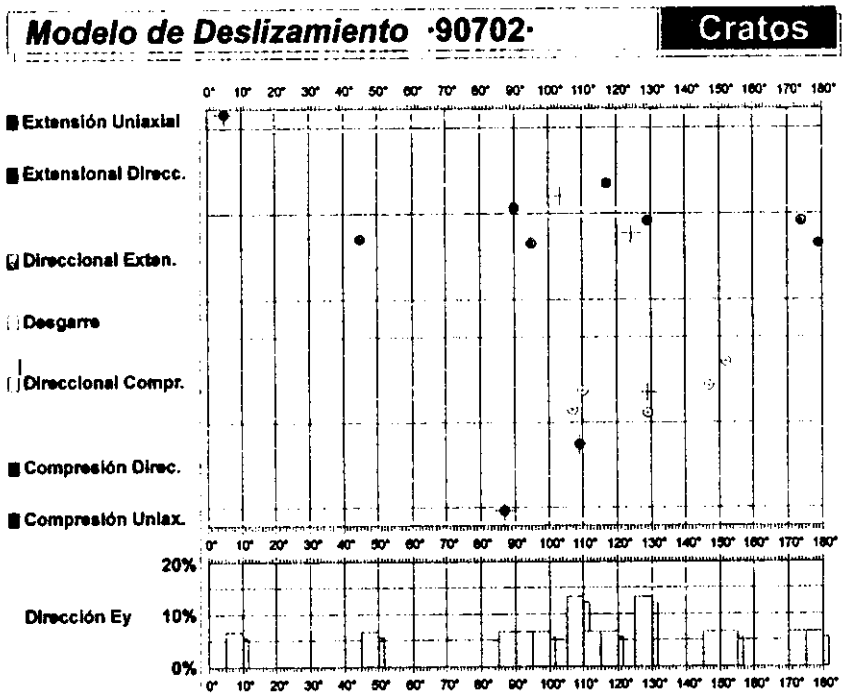
Trazas ciclográficas e histogramas del azimut, buzamiento y cabeceo

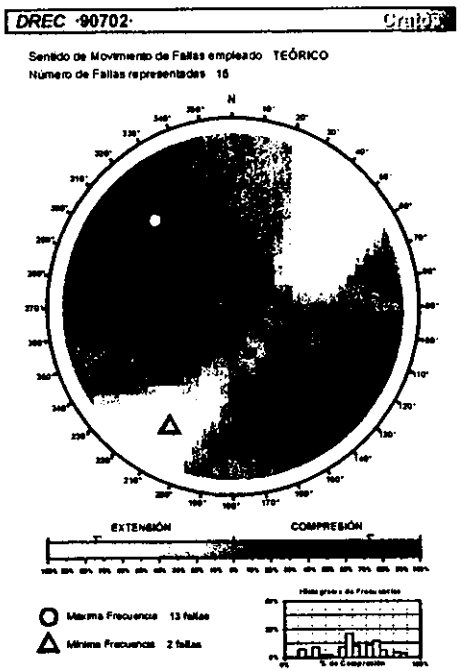












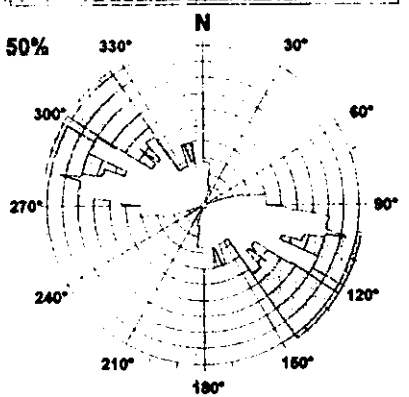
Trazas ciclográficas e histogramas del azimut, buzamiento y cabeceo

Estación: 907-02
Coordenadas U.T.M. (metros)
X: 496900
Y: 4213900
Z: 428
Litología: Carbonatos
Edad: Mioceno inferior

1ª Subpoblación:
Ey: 115°±12°
Buz: 62°±10°
Cab: 35°±13°
s1 48°/147°
s2 38°/301°
s3 12°/042°
R = 0.38
μ = 0.31
F.E. = 6 (11)

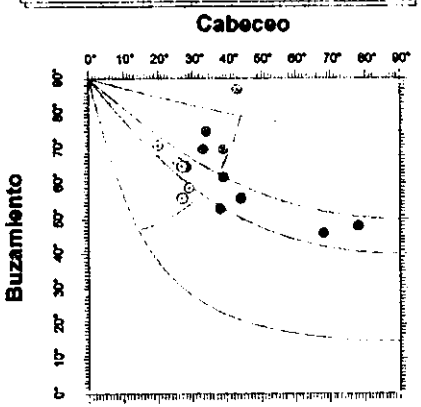
2ª Subpoblación:
Ey: 009°±14°
Buz: 66°±10°
Cab: 46°±19°
s1 --°/---°
s2 --°/---°
s3 --°/---°
R = ---
μ = ---
F.E. = 0 (4)

Rosa de Direcciones

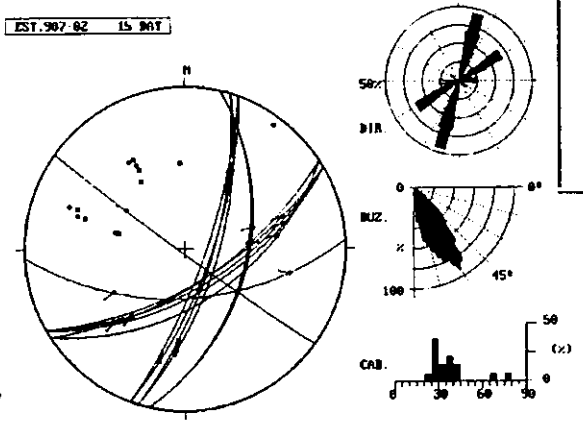


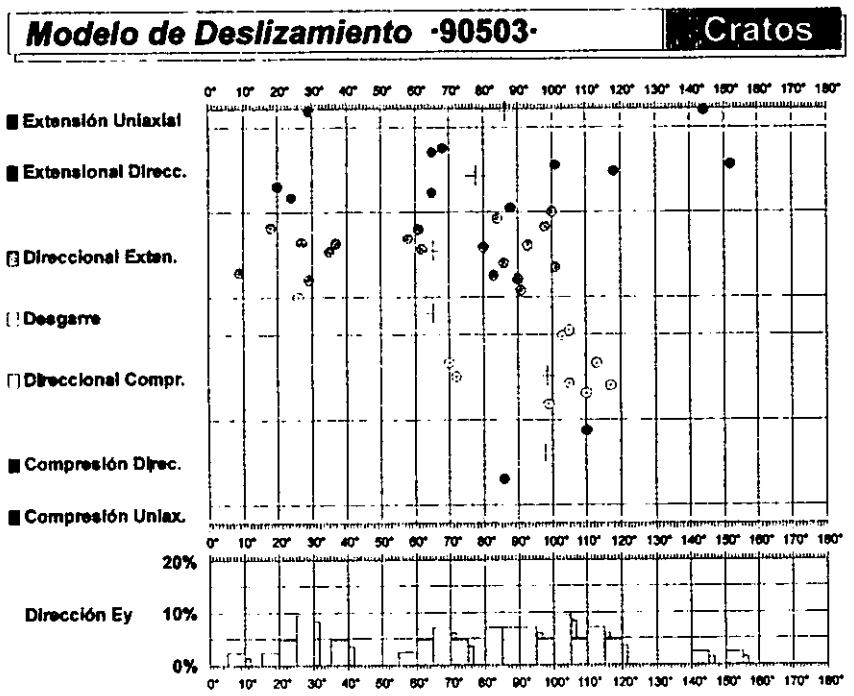
Valor Máximo de Escala: 50%
Ángulo de Apertura: 15°
DEYM: 123° ± 22,36°

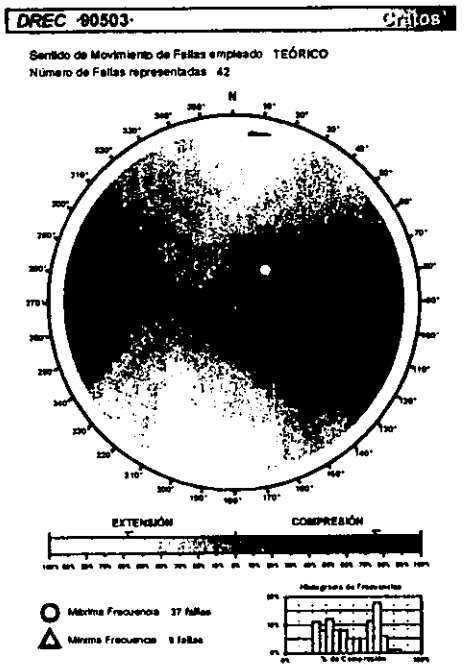
Diagrama Cabeceo/Buzamiento



Parámetros Globales
K':-0,5876 Buzamiento:63°±10°
PHI:10,78° Cabeceo:38°±15°







Estación: 905-03
Coordenadas U.T.M. (metros)
X: 426700
Y: 4216100
Z: 253
Litología: Basamento hercínico
Edad: Paleozoico

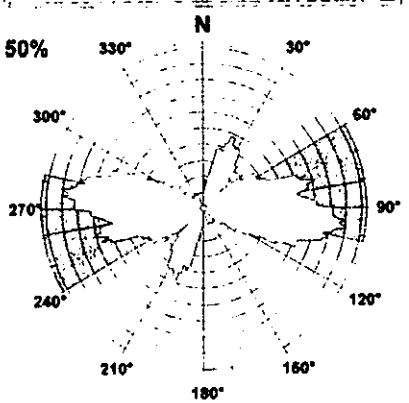
1ª Subpoblación:

Ey: 092°±14°	Ey: 092°±14°
Buz: 67°±9°	Buz: 67°±9°
Cab: 34°±16°	Cab: 34°±16°
s1 62°/039°	s1 58°/313°
s2 14°/280°	s2 29°/108°
s3 23°/184°	s3 11°/204°
R = 0.34	R = 0.59
μ = 0.31	μ = 0.31
F.E. = 15 (32)	F.E. = 12 (32)

2ª Subpoblación:
Ey: 025°±5°
Buz: 73°±6°
Cab: 37°±18°
s1 77°/209°
s2 12°/023°
s3 01°/114°
R = 0.86
μ = 0.40
F.E. = 10 (10)

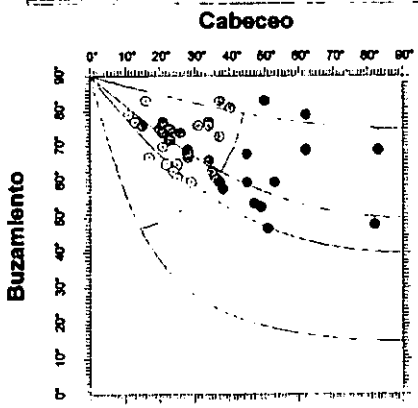
Trazas cicloográficas e histogramas del azimut, buzamiento y cabeceo

Rosa de Direcciones

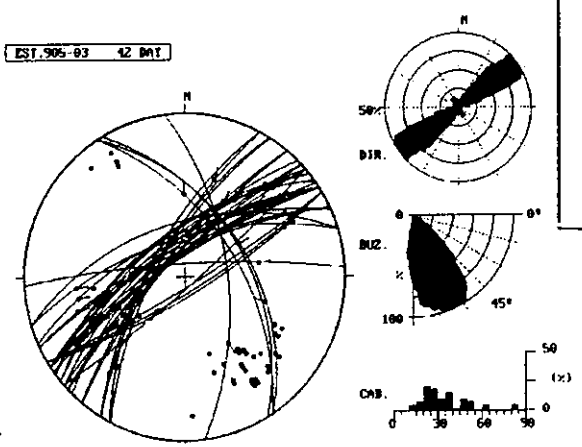


Valor Máximo de Escala: 50%
Ángulo de Apertura: 15°
DEYM: 81° ± 20,71°

Diagrama Cabeceo/Buzamiento

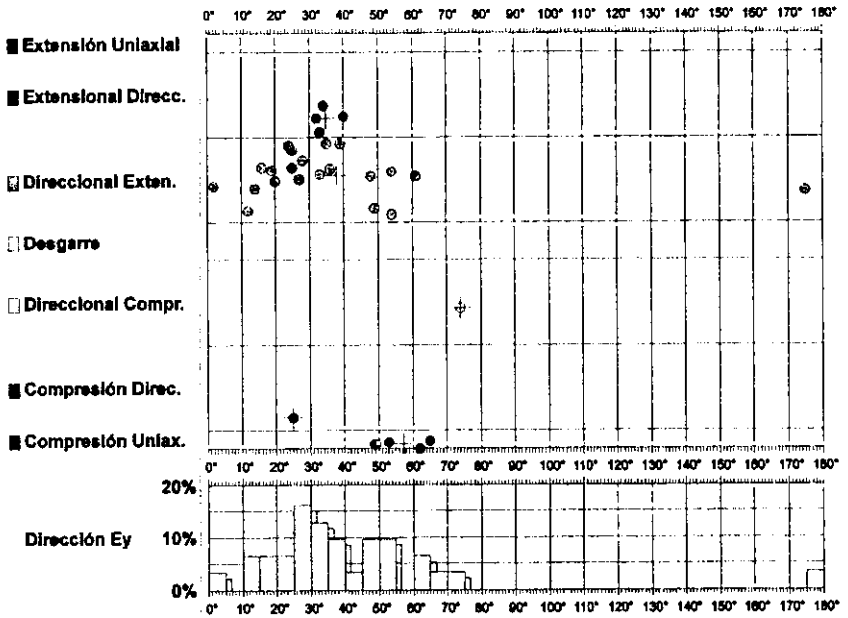


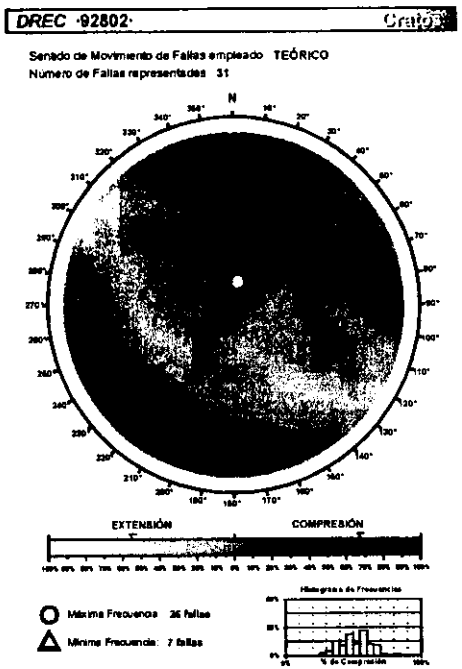
Parámetros Globales
K':-2,4296
PHI:22,41°
Buzamiento:69°±09°
Cabeceo:35°±16°



Modelo de Deslizamiento ·92802·

Cratos



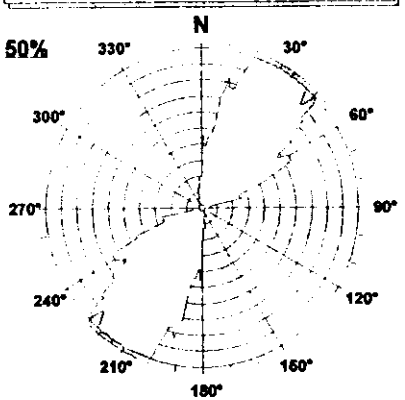


Estación: 928-02
Coordenadas U.T.M. (metros)
X: 501800
Y: 4197900
Z: 866
Litología: Carbonatos
Edad: Jurásico

Ey: 035°±11°	Ey: 035°±11°
Buz: 72°±18°	Buz: 72°±18°
Cab: 40°±16°	Cab: 40°±16°
s1 12°/212°	s1 11°/240°
s2 77°/025°	s2 46°/342°
s3 01°/121°	s3 41°/140°
R = 0.56	R = 0.11
μ = 0.61	μ = 0.31
F.E. = 21 (31)	F.E. = 7 (31)

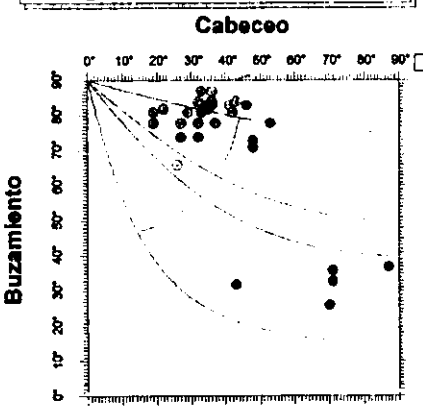
Trazas ciclográficas e histogramas del azimut, buzamiento y cabeceo

Rosa de Direcciones

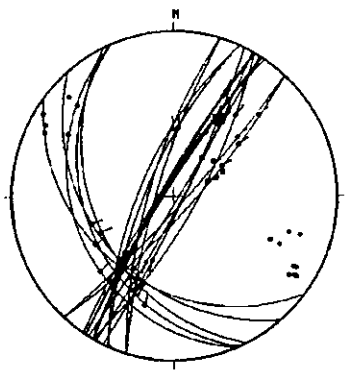


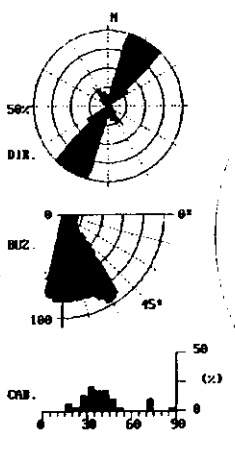
Valor Máximo de Escala: 50%
Ángulo de Apertura: 15°
DEYM: 35° ± 11,13°

Diagrama Cabeceo/Buzamiento

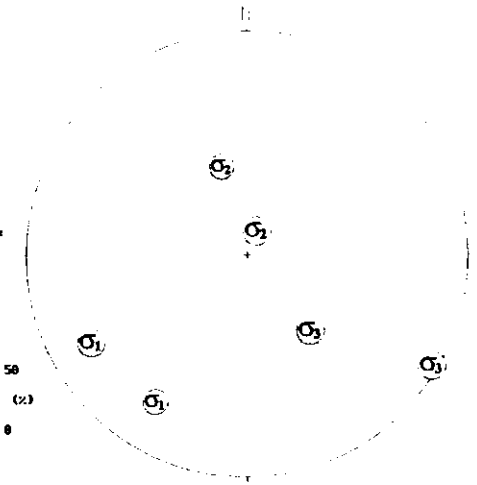


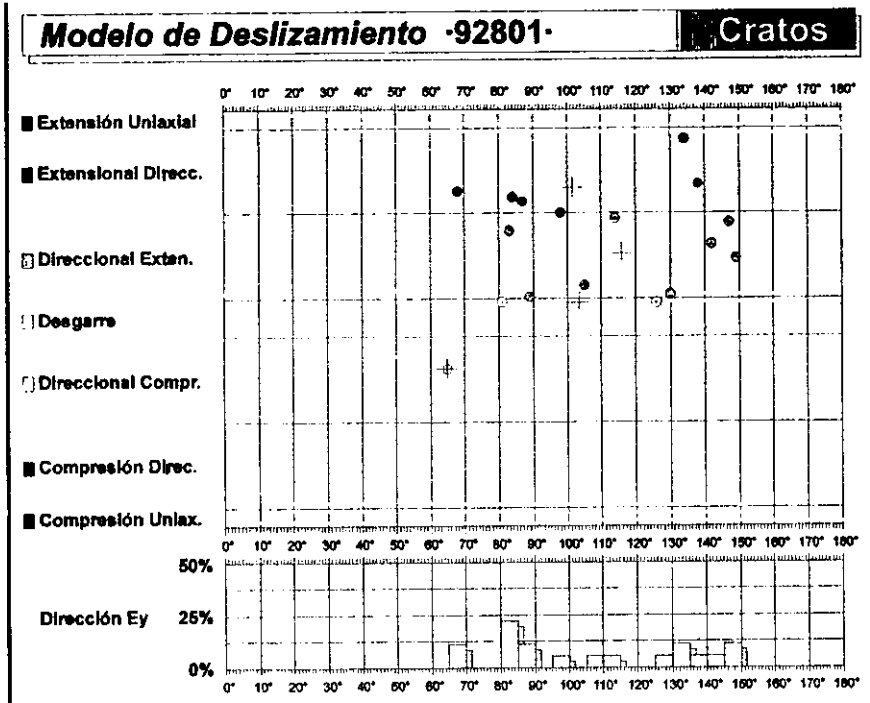
Parámetros Globales
K':-0,4002
PHI:36,37°
Buzamiento:72°±18°
Cabeceo:40°±16°

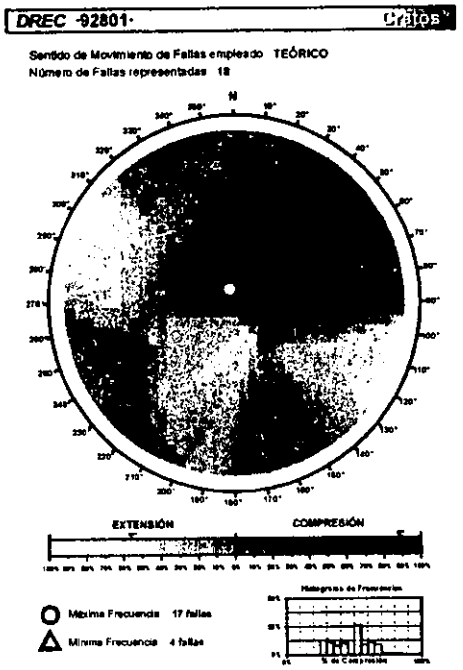




Método de Inversión de Esfuerzos





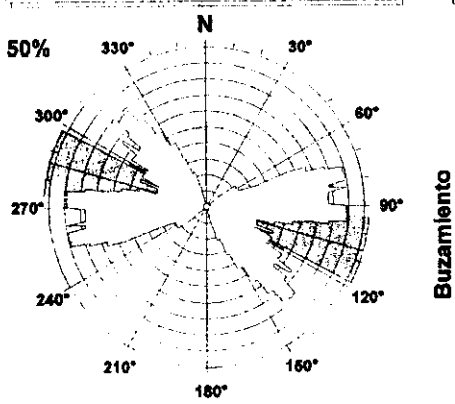


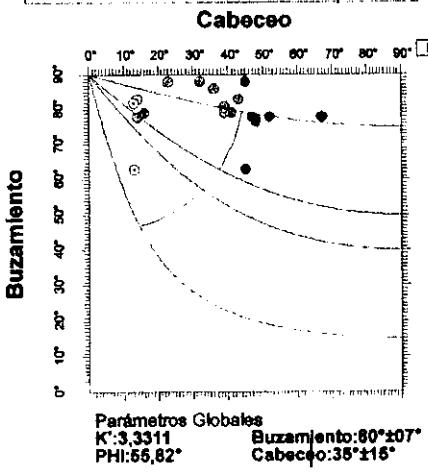
Estación: 928-01
Coordenadas U.T.M. (metros)
X: 485700
Y: 4199300
Z: 469
Litología: Carbonatos
Edad: Mioceno inferior

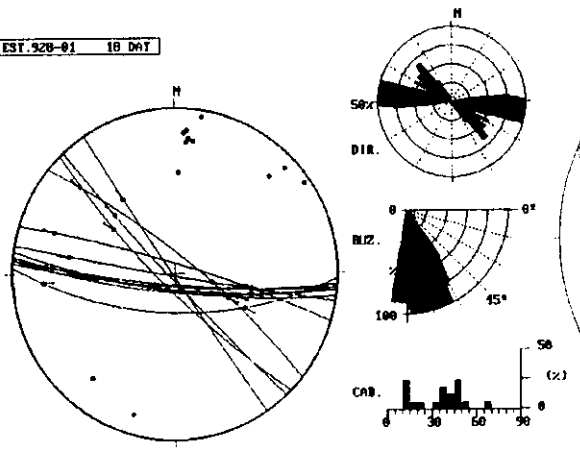
Ey: 106°±12°	Ey: 106°±12°
Buz: 80°±7°	Buz: 80°±7°
Cab: 35°±15°	Cab: 35°±15°
s1 85°/125°	s1 23°/109°
s2 00°/024°	s2 65°/294°
s3 03°/294°	s3 01°/200°
R = 0.36	R = 0.60
μ = 0.31	μ = 2.01
F.E. = 10 (18)	F.E. = 5 (18)

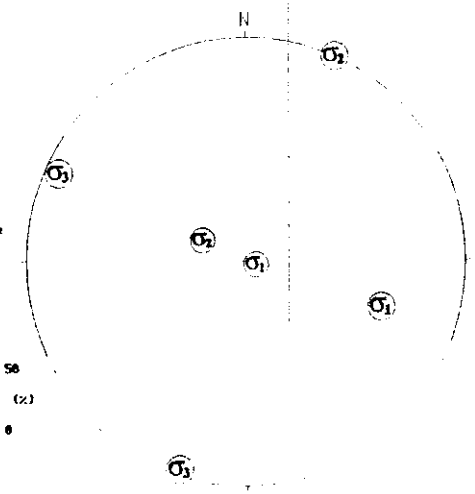
Trazas ciclográficas e histogramas del azimut, buzamiento y cabeceo

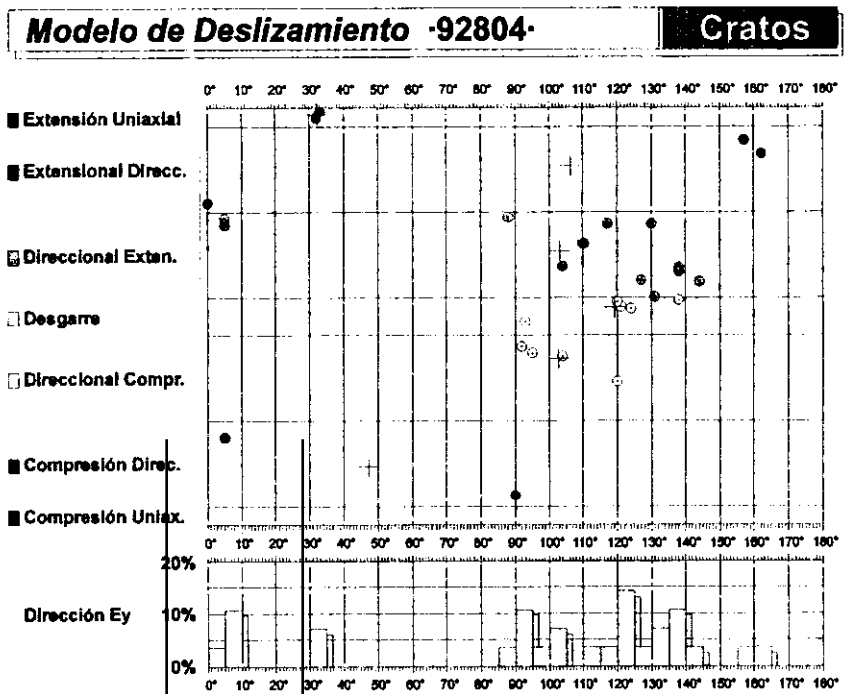
Método de Inversión de Esfuerzos

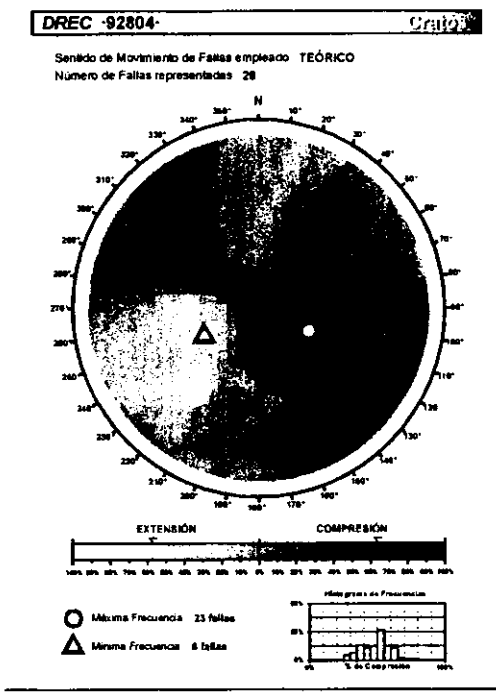












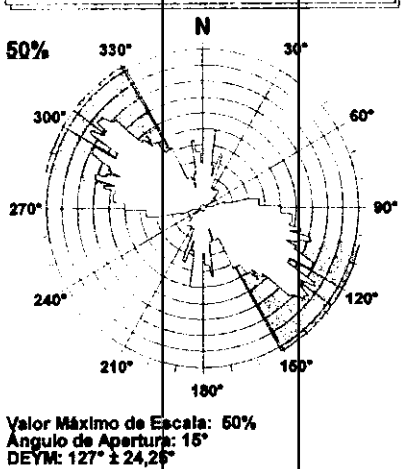
Estación: 928-04
Coordenadas U.T.M. (metros)
X: 496800
Y: 4190700
Z: 833
Litología: Carbonatos
Edad: Jurásico

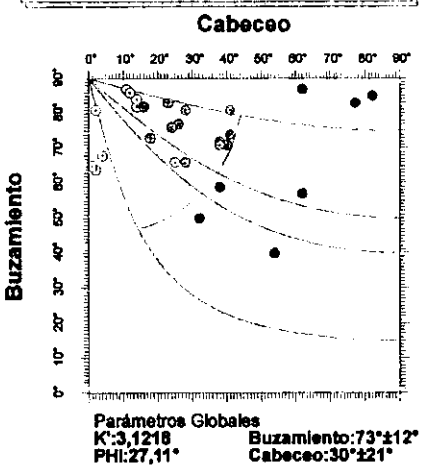
1ª Subpoblación:

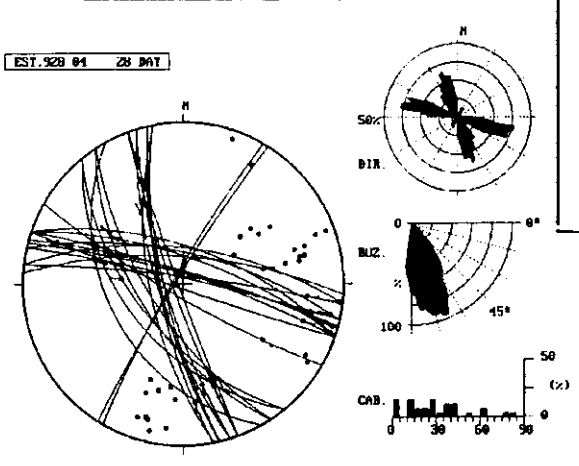
Ey: 120°±12°	Ey: 120°±12°
Buz: 74°±11°	Buz: 74°±11°
Cab: 25°±18°	Cab: 25°±18°
s1 59°/299°	s1 10°/096°
s2 28°/139°	s2 71°/332°
s3 08°/045°	s3 14°/189°
R = 0.34	R = 0.95
μ = 0.31	μ = 0.31
F.E. = 8 (22)	F.E. = 8 (22)

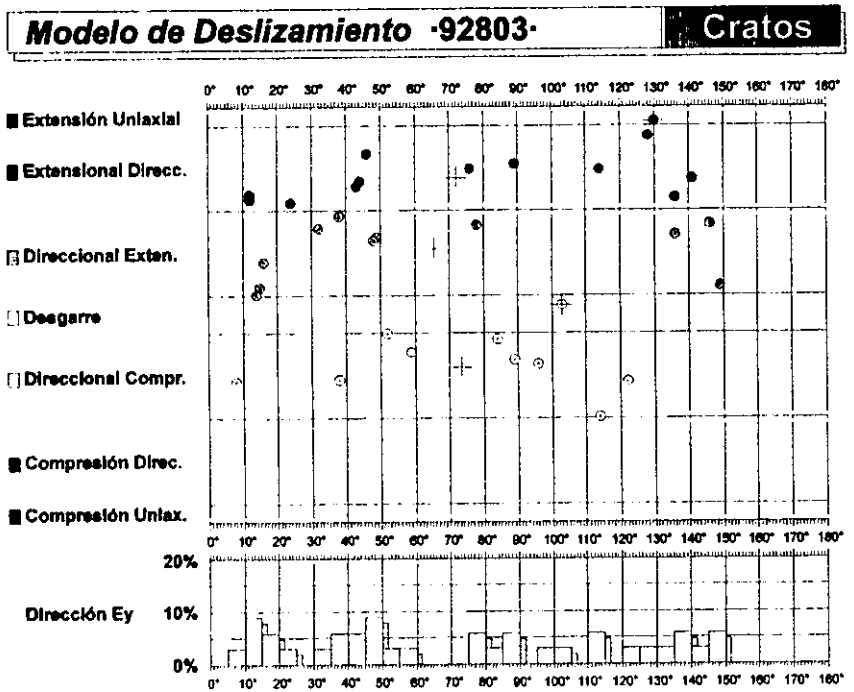
2ª Subpoblación:
Ey: 013°±6°
Buz: 70°±12°
Cab: 51°±20°
s1 75°/209°
s2 14°/033°
s3 01°/303°
R = 0.44
μ = 0.31
F.E. = 5 (6)

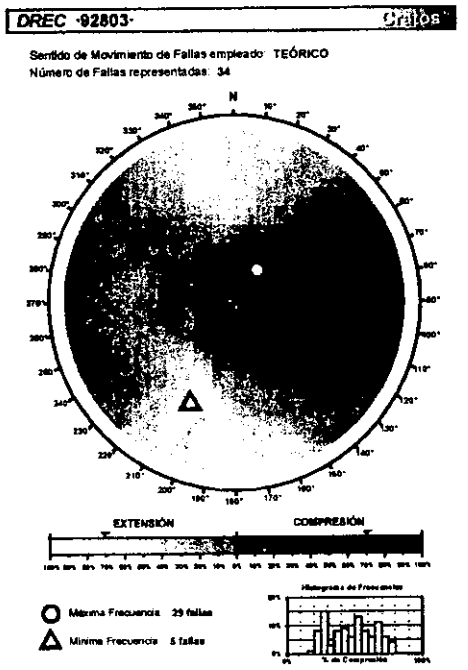
Trazas ciclográficas e histogramas del azimut, buzamiento y cabeceo









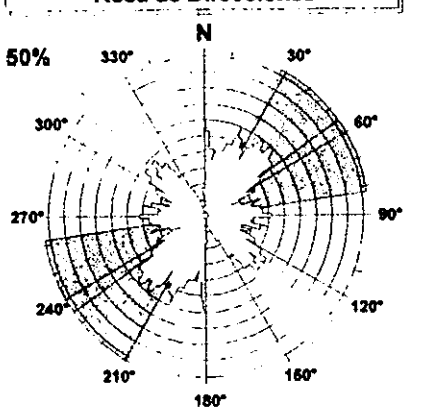


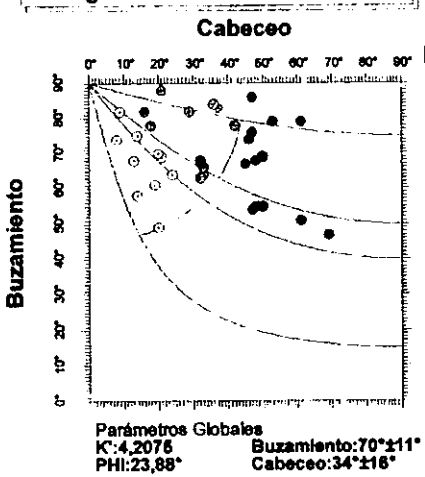
Estación: 928-03
Coordenadas U.T.M. (metros)
X: 504400
Y: 4200900
Z: 930
Litología: Carbonatos
Edad: Jurásico

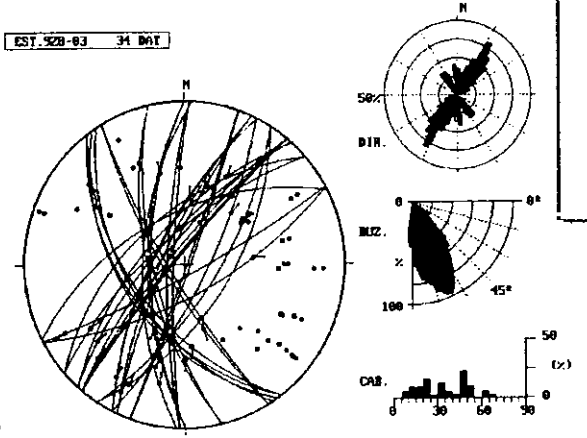
1ª Subpoblación:
Ey: 032°±7°
Buz: 75°±9°
Cab: 33°±15°
s1 56°/041°
s2 33°/231°
s3 04°/138°
R = 0.68
μ = 0.31
F.E. = 12 (17)

2ª Subpoblación:
Ey: 114°±12°
Buz: 65°±11°
Cab: 35°±17°
s1 86°/056°
s2 02°/289°
s3 03°/199°
R = 0.59
μ = 0.31
F.E. = 10 (17)

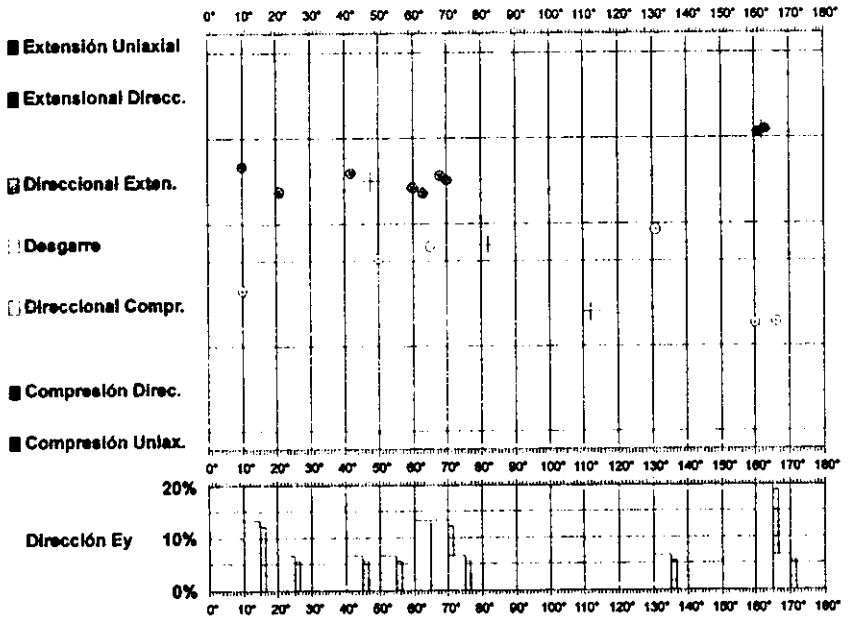
Trazas cicloográficas e histogramas del azimut, buzamiento y cabeceo

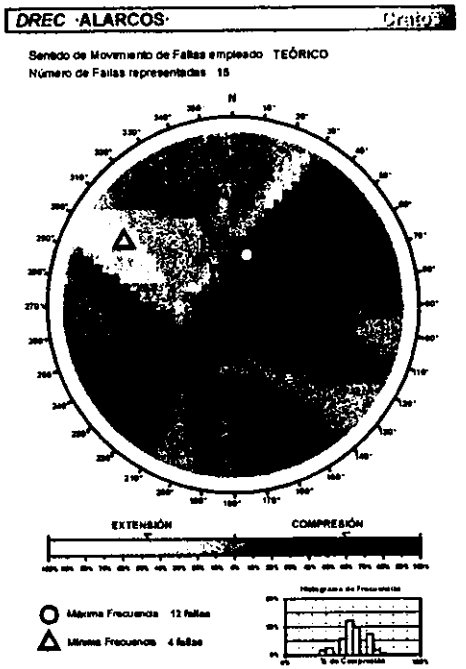






Modelo de Deslizamiento ·ALARCOS· Cratos





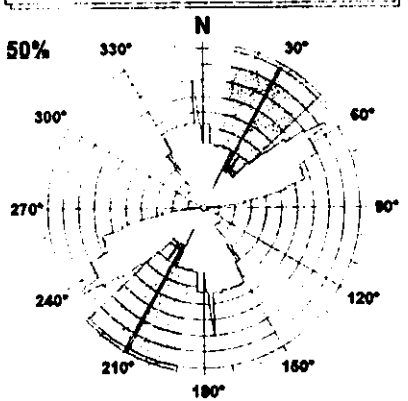
Trazas cicloográficas e histogramas del azimut, buzamiento y cabeceo

Estación: Alarcos
Coordenadas U.T.M. (metros)
X: 412700
Y: 4312700
Z: 570
Litología: Basamento hercínico
Edad: Paleozoico

1ª Subpoblación:
Ey: 048°±12°
Buz: 76°±6°
Cab: 24°±10°
s1 18°/056°
s2 60°/181°
s3 22°/318°
R = 0.29
μ = 0.31
F.E. = 8 (10)

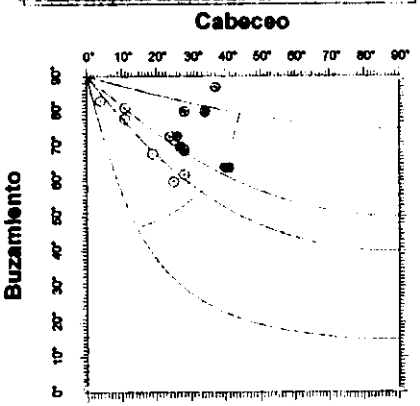
2ª Subpoblación:
Ey: 157°±9°
Buz: 66°±8°
Cab: 29°±11°
s1 --°/---°
s2 --°/---°
s3 --°/---°
R = ---
μ = ---
F.E. = 0 (5)

Rosa de Direcciones

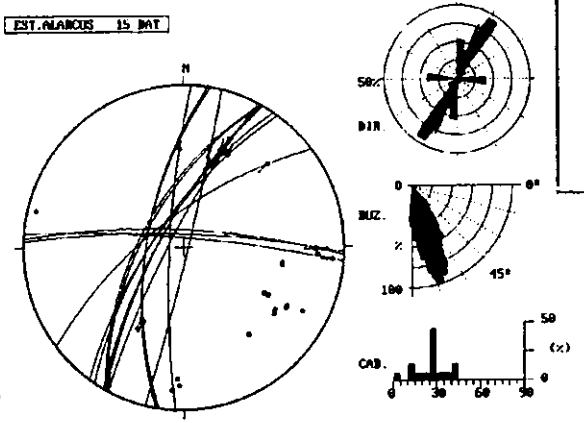


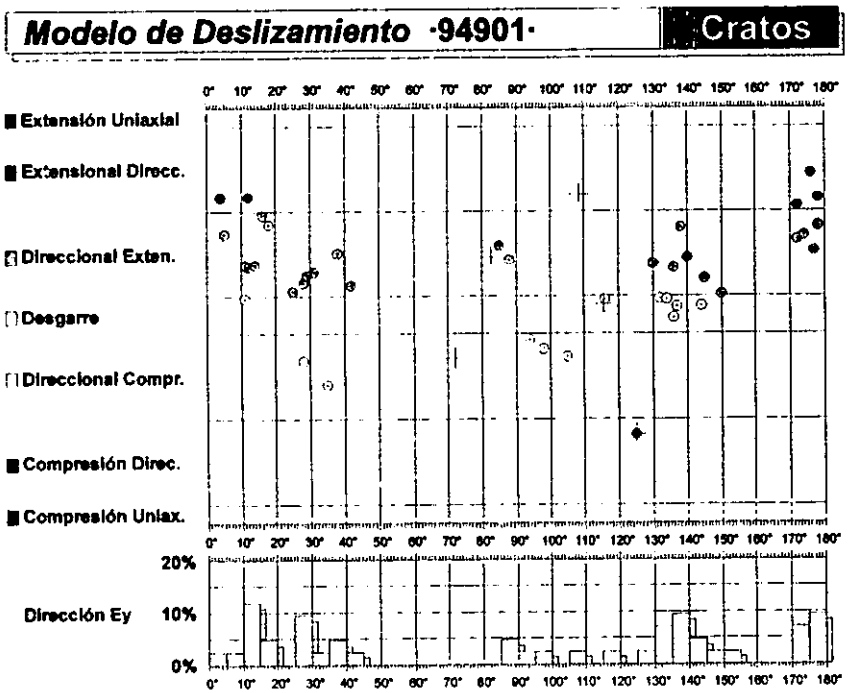
Valor Máximo de Escala: 50%
Ángulo de Apertura: 15°
DEYM: 29° ± 17,62°

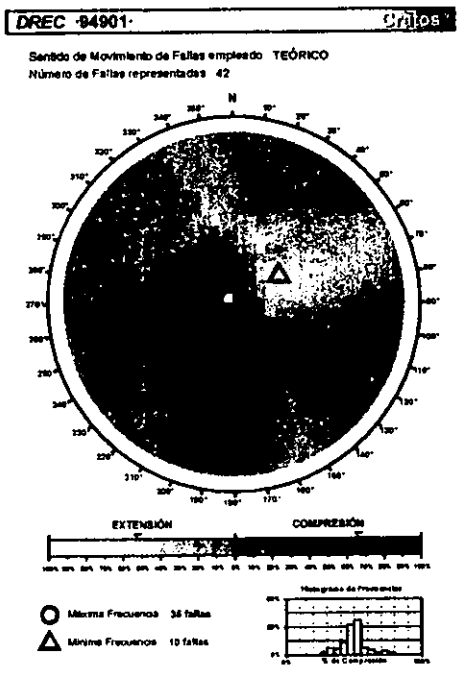
Diagrama Cabeceo/Buzamiento



Parámetros Globales
K':-6,5642
PHI:20,21°
Buzamiento:73°±08°
Cabeceo:26°±10°







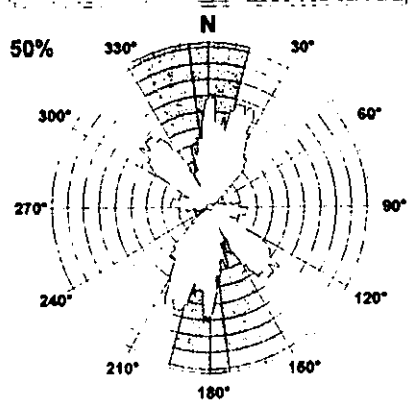
Estación: 949-01
Coordenadas U.T.M. (metros)
X: 496000
Y: 4183100
Z: 1041
Litología: Carbonatos
Edad: Jurásico

1ª Subpoblación:
Ey: 126°±11°
Buz: 77°±7°
Cab: 20°±9°
s1 38°/300°
s2 51°/112°
s3 04°/207°
R = 0.69
μ = 0.31
F.E. = 16 (18)

2ª Subpoblación:
Ey: 013°±8°
Buz: 77°±8°
Cab: 32°±10°
s1 50°/199°
s2 38°/011°
s3 03°/105°
R = 0.70
μ = 0.50
F.E. = 17 (24)

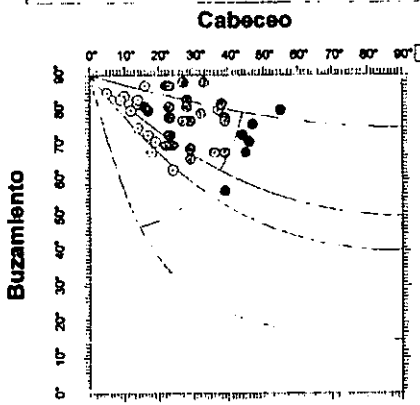
Trazas ciclográficas e histogramas del azimut, buzamiento y cabeceo

Rosa de Direcciones

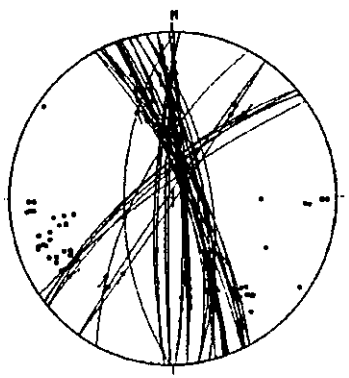


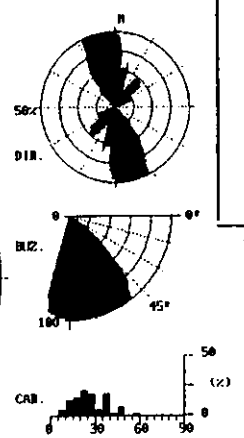
Valor Máximo de Escala: 50%
Ángulo de Apertura: 15°
DEYM: 173° ± 22,42°

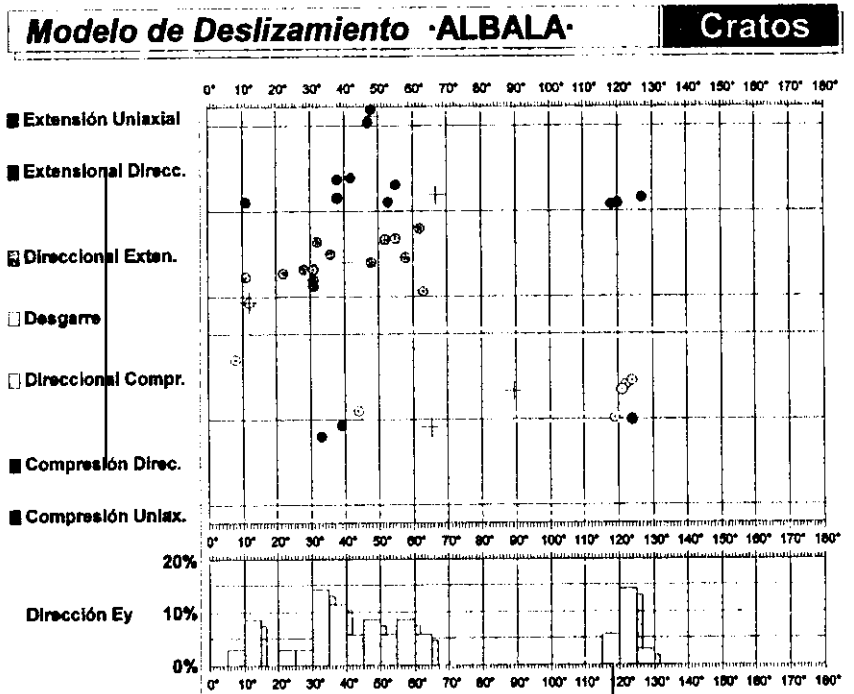
Diagrama Cabeceo/Buzamiento

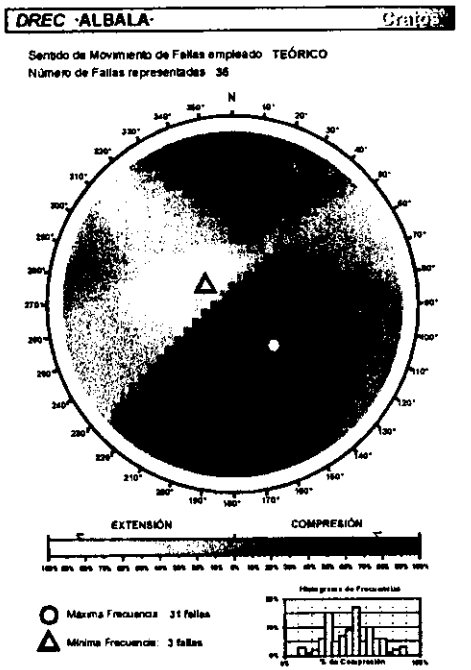


Parámetros Globales
K':4,0676 Buzamiento:77°±07°
PHI:38,09° Cabeceo:27°±12°







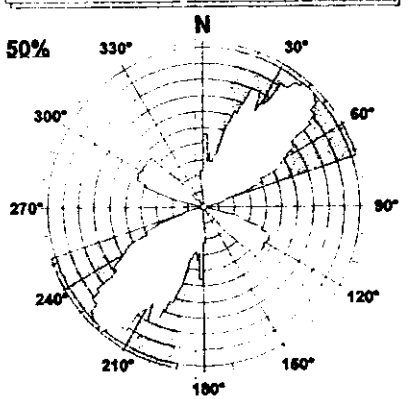


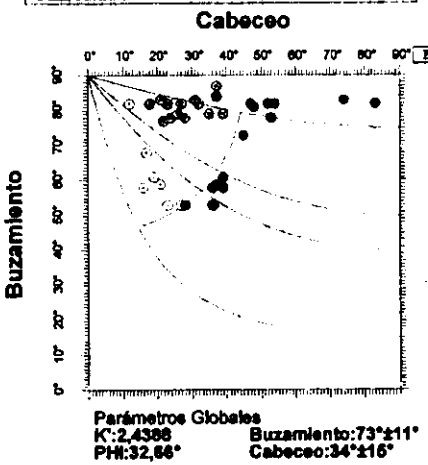
Trazas cicloográficas e histogramas del azimut, buzamiento y cabeceo

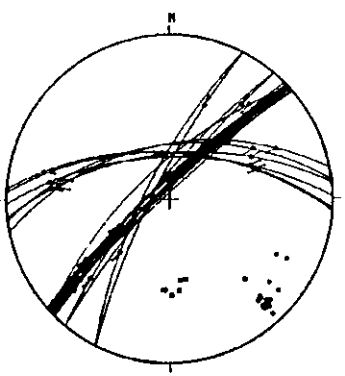
Estación: Albala
Coordenadas U.T.M. (metros)
X: 518700
Y: 4263700
Z: 699
Litología: Basamento hercínico
Edad: Paleozoico

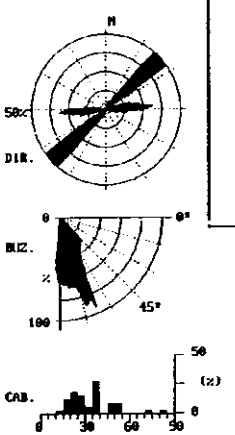
1ª Subpoblación:
Ey: 038°±9°
Buz: 77°±9°
Cab: 36°±16°
s1 10°/034°
s2 75°/169°
s3 10°/302°
R = 0.36
μ = 0.31
F.E. = 12 (27)

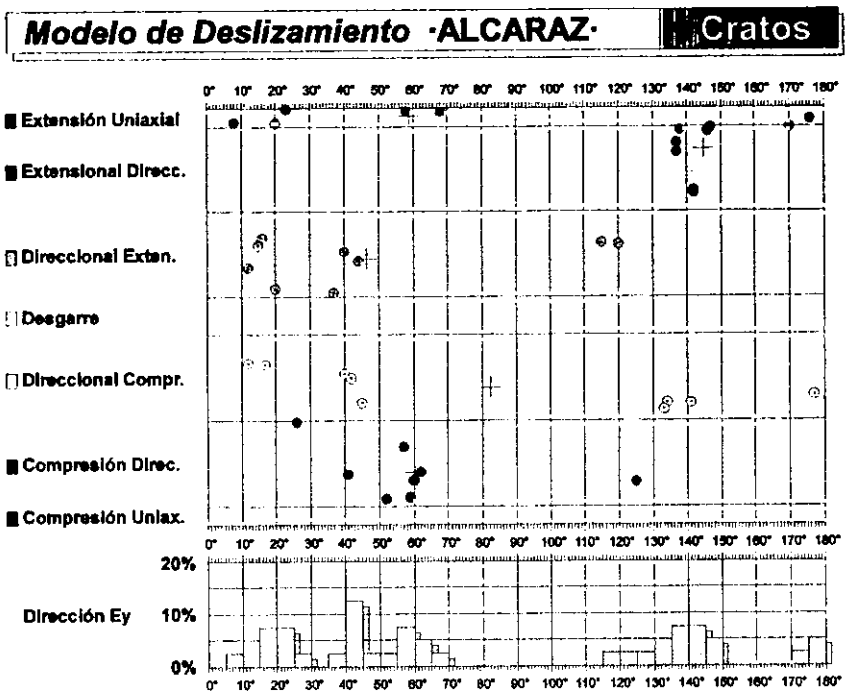
2ª Subpoblación:
Ey: 122°±1°
Buz: 58°±3°
Cab: 28°±9°
s1 58°/011°
s2 02°/106°
s3 31°/198°
R = 0.05
μ = 1.91
F.E. = 5 (8)

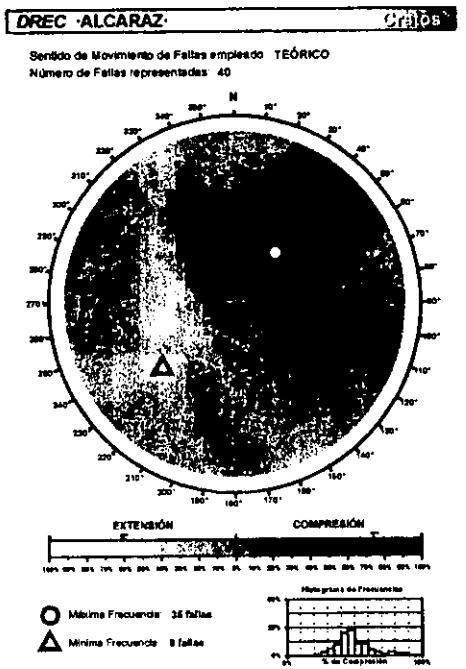










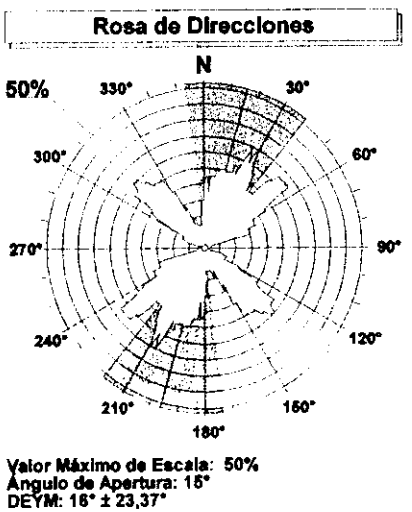


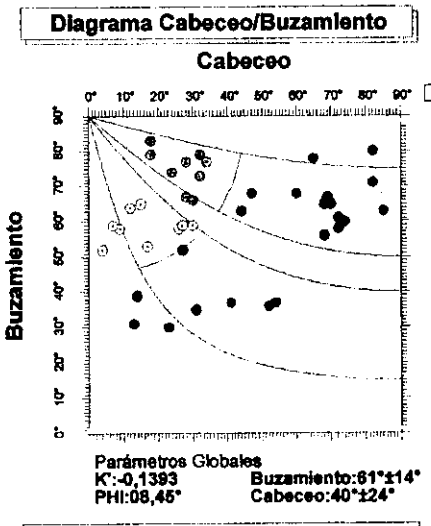
Estación: Alcaraz
Coordenadas U.T.M. (metros)
X: 544000
Y: 4279900
Z: 920
Litología: Basamento hercínico
Edad: Paleozoico

1ª Subpoblación:
Ey: 135°±6°
Buz: 64°±10°
Cab: 47°±16°
s1 37°/126°
s2 29°/011°
s3 39°/254°
R = 0.38
μ = 0.31
F.E. = 9 (13)

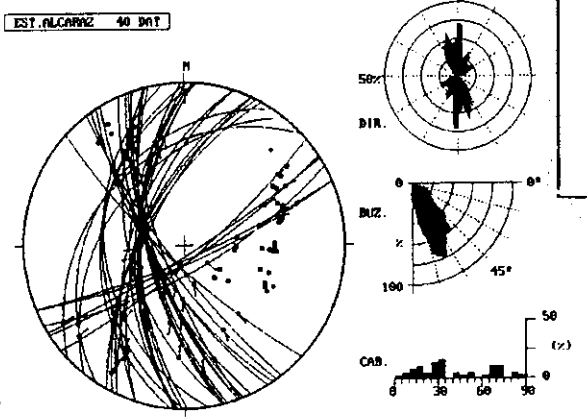
2ª Subpoblación:

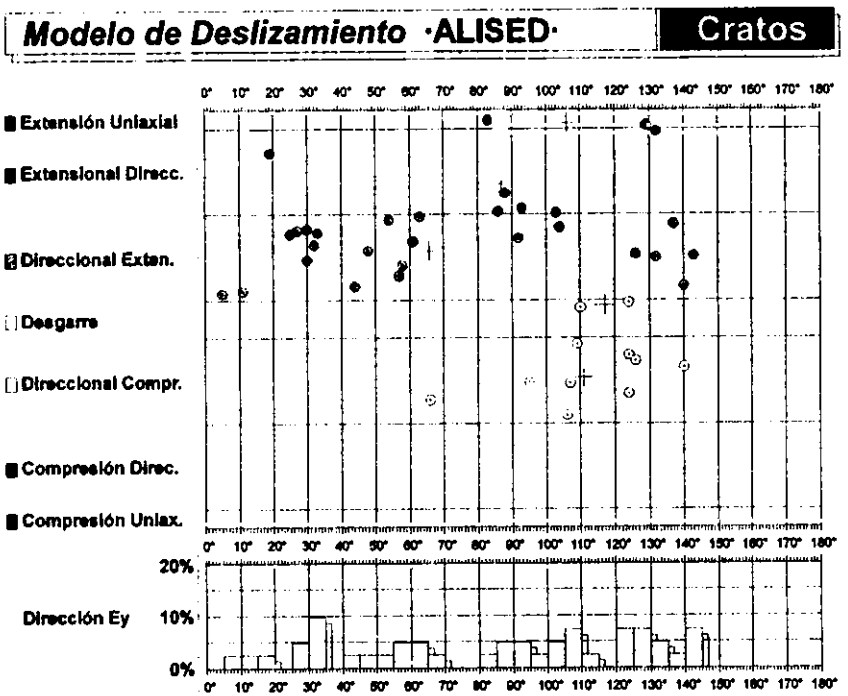
Ey: 032°±10°	Ey: 032°±10°
Buz: 59°±15°	Buz: 59°±15°
Cab: 37°±26°	Cab: 37°±26°
s1 32°/036°	s1 62°/272°
s2 27°/286°	s2 00°/002°
s3 44°/165°	s3 27°/092°
R = 0.18	R = 0.04
μ = 0.40	μ = 1.01
F.E. = 18 (27)	F.E. = 6 (27)

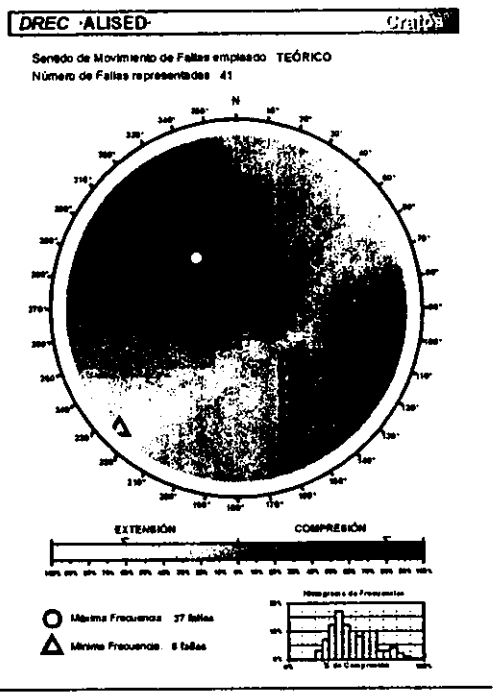




Trazas ciclográficas e histogramas del azimut, buzamiento y cabeceo







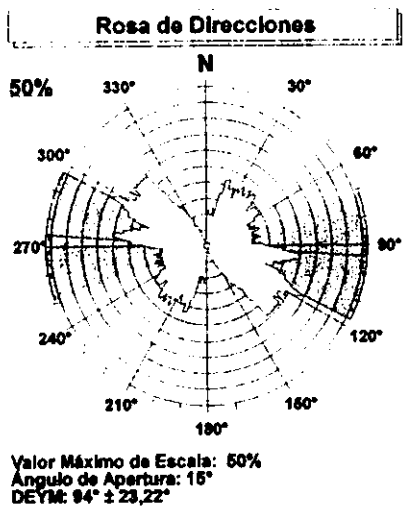
Trazas ciclográficas e histogramas del azimut, buzamiento y cabeceo

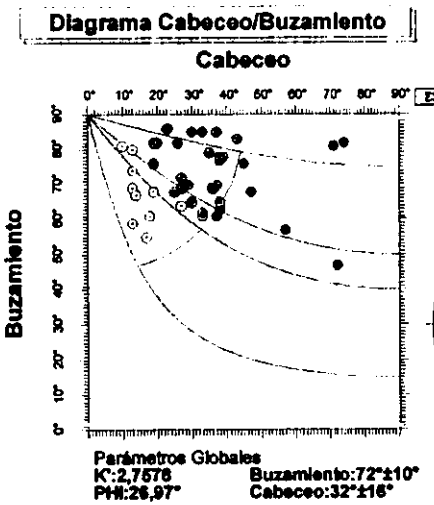
Estación: Alised
Coordenadas U.T.M. (metros)
X: 175800
Y: 4371100
Z: 253
Litología: Dique básico
Edad: Jurásico

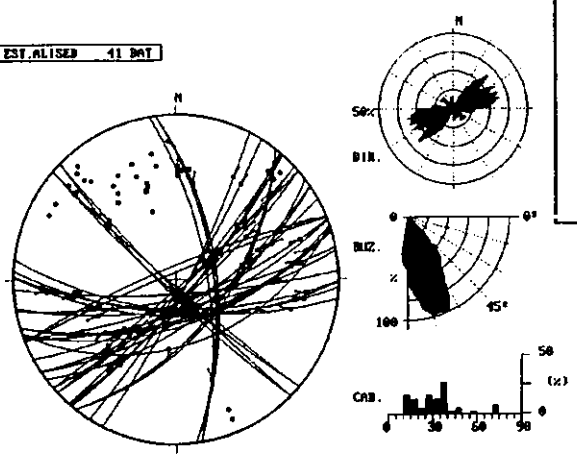
1ª Subpoblación:

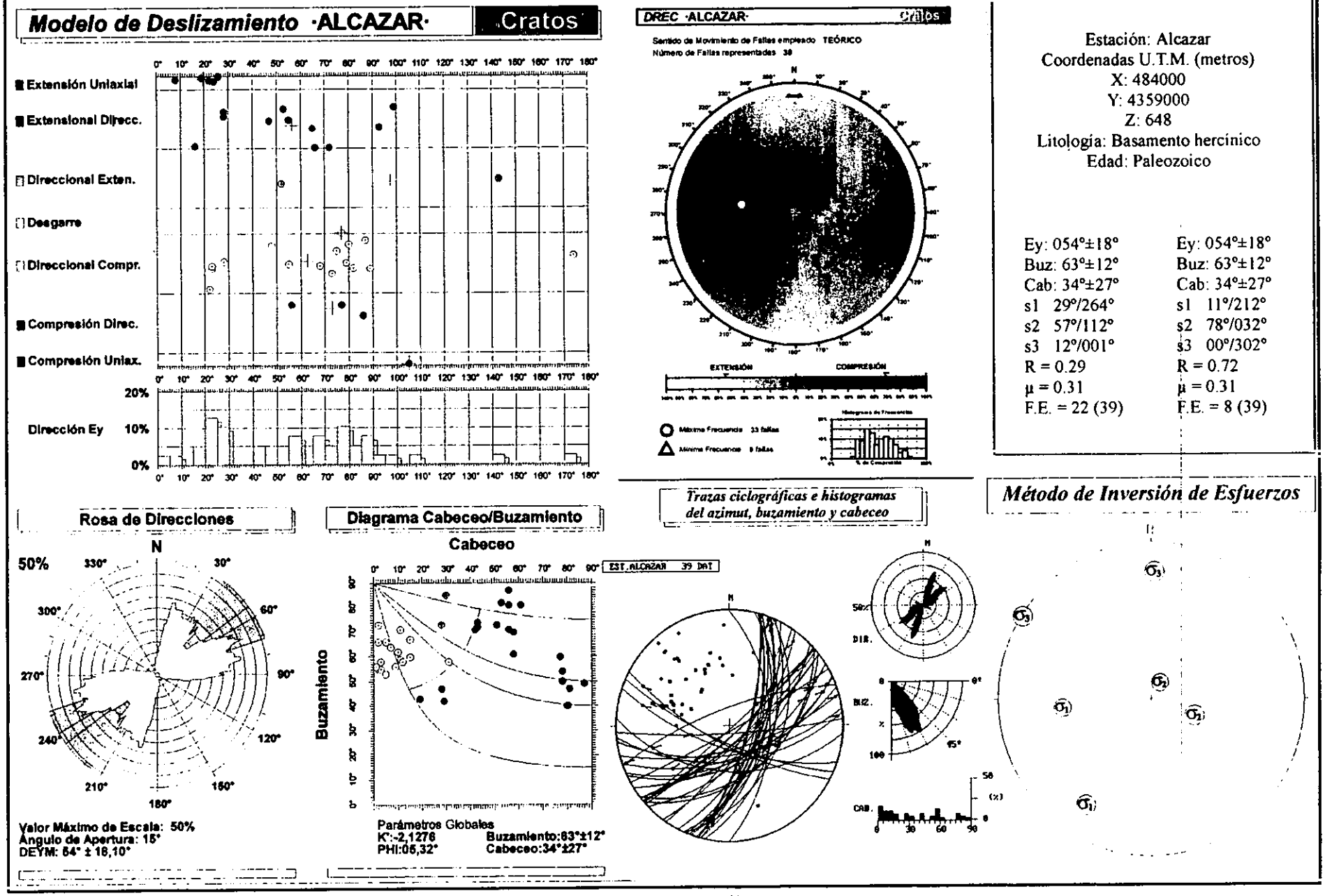
Ey: 115°±8°	Ey: 115°±8°
Buz: 69°±9°	Buz: 69°±9°
Cab: 32°±18°	Cab: 32°±18°
s1 48°/128°	s1 71°/112°
s2 41°/308°	s2 18°/294°
s3 00°/038°	s3 00°/204°
R = 0.45	R = 0.50
μ = 0.31	μ = 0.31
F.E. = 14 (24)	F.E. = 6 (24)

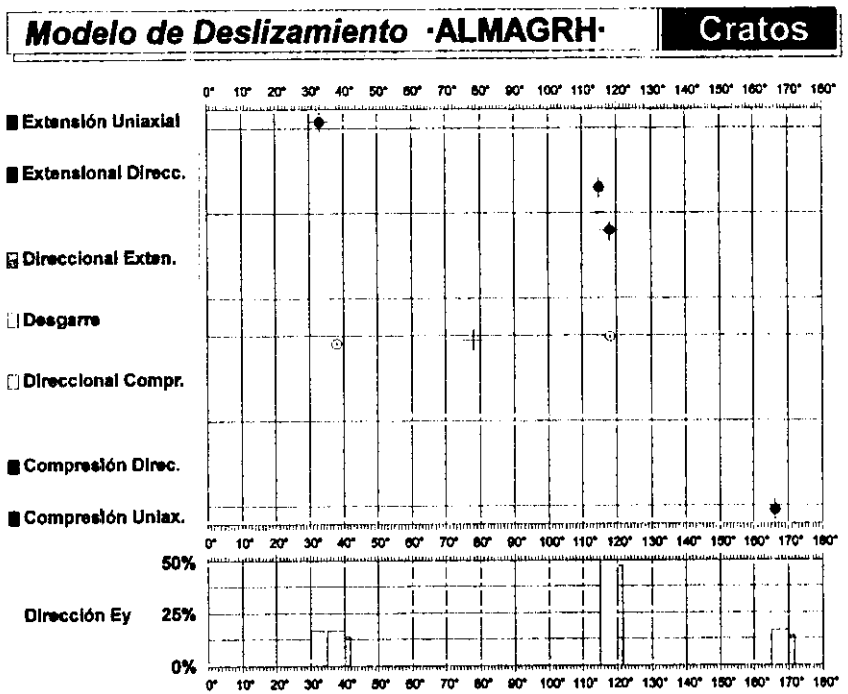
2ª Subpoblación:
Ey: 039°±9°
Buz: 75°±9°
Cab: 32°±10°
s1 83°/092°
s2 02°/200°
s3 06°/291°
R = 0.50
μ = 0.40
F.E. = 12 (17)

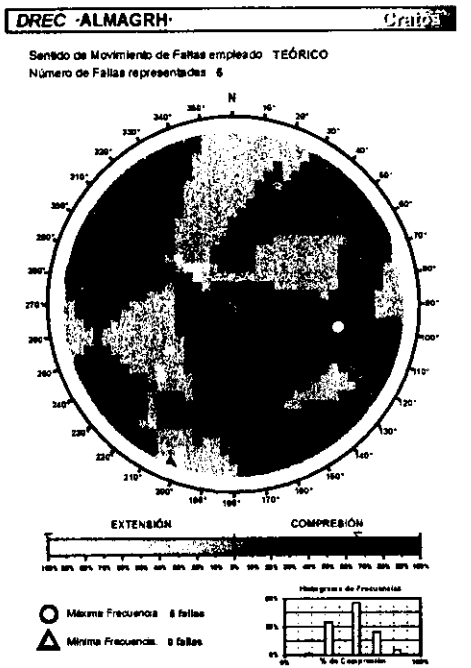







Modelo de Deslizamiento ·ALCAZAR·
Cratos
Extensión Uniaxial
Extensional Direcc.
Direccional Exten.
Deegarre
Direccional Compr.
Compresión Direc.
Compresión Uniax.
Dirección Ey
20%
10%
0%
DREC ·ALCAZAR·
Cratos
Sentido de Movimiento de Fallas empleado TEÓRICO
Número de Fallas representadas 39
EXTENSIÓN
COMPRESIÓN
Máxima Frecuencia 33 fallas
Mínima Frecuencia 9 fallas
Estación: Alcazar
Coordenadas U.T.M. (metros)
X: 484000
Y: 4359000
Z: 648
Litología: Basamento hercínico
Edad: Paleozoico
Ey: 054°±18°
Buz: 63°±12°
Cab: 34°±27°
s1 29°/264°
s2 57°/112°
s3 12°/001°
R = 0.29
μ = 0.31
F.E. = 22 (39)
Ey: 054°±18°
Buz: 63°±12°
Cab: 34°±27°
s1 11°/212°
s2 78°/032°
s3 00°/302°
R = 0.72
μ = 0.31
F.E. = 8 (39)
Trazas ciclográficas e histogramas del azimut, buzamiento y cabeceo
Método de Inversión de Esfuerzos
Rosa de Direcciones
N
50%
Valor Máximo de Escala: 50%
Ángulo de Apertura: 15°
DEYM: 64° ± 16,10°
Diagrama Cabeceo/Buzamiento
Cabeceo
Buzamiento
EST.ALCAZAR 39 DAT
Parámetros Globales
K*:-2,1276
PHI:06,32°
Buzamiento:63°±12°
Cabeceo:34°±27°
DIR.
BUZ.
CAB.



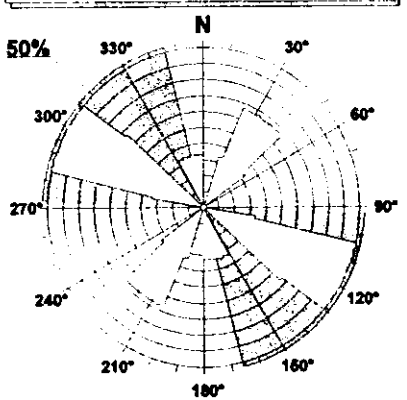


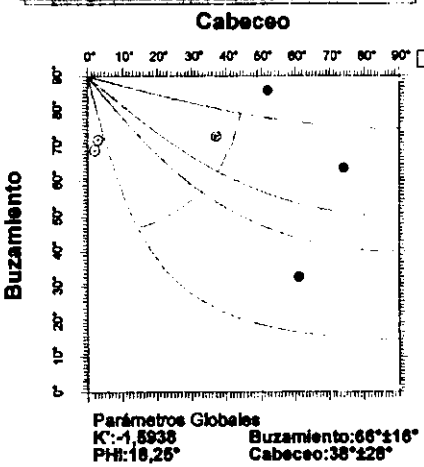
Trazas ciclográficas e histogramas del azimut, buzamiento y cabeceo

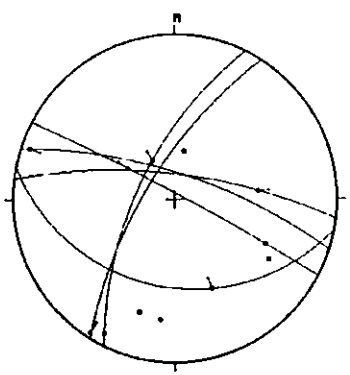
Estación: Almagrh
Coordenadas U.T.M. (metros)
X: 441000
Y: 4301000
Z: 680
Litología: Basamento hercínico
Edad: Paleozoico

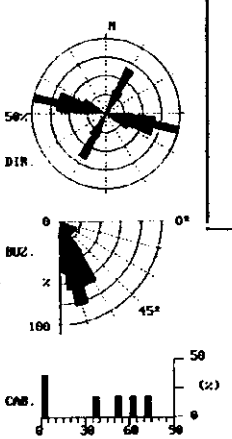
:
Ey: 035°±0°
Buz: 66°±20°
Cab: 38°±36°
s1 --°/---°
s2 --°/---°
s3 --°/---°
R = ---
μ = ---
F.E. = 0 (2)

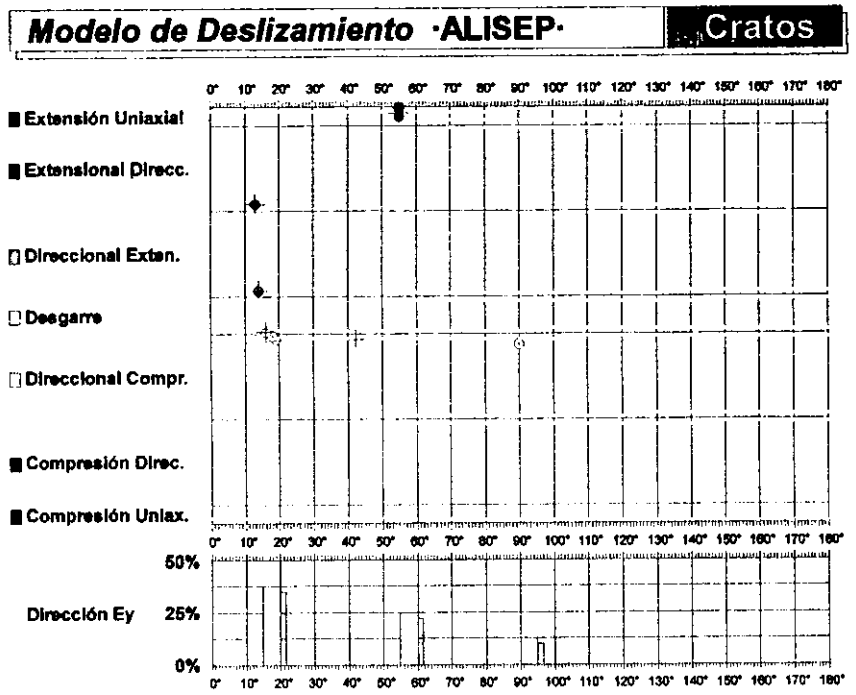
:
Ey: 126°±15°
Buz: 66°±20°
Cab: 38°±36°
s1 --°/---°
s2 --°/---°
s3 --°/---°
R = ---
μ = ---
F.E. = 0 (4)

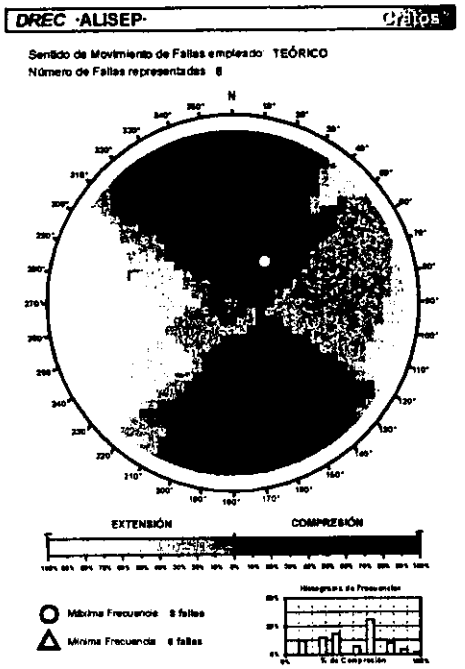








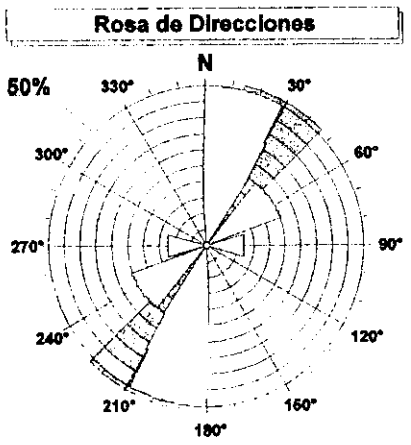


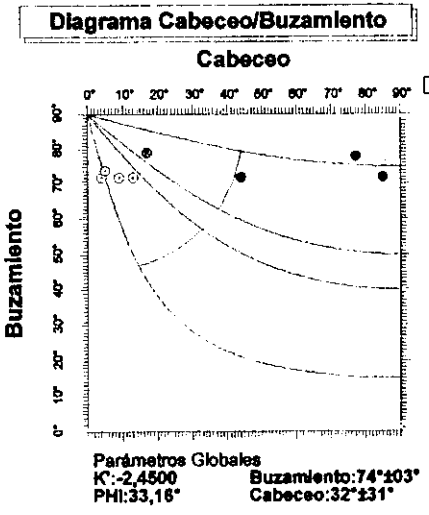


Estación: Alisep
Coordenadas U.T.M. (metros)
X: 175800
Y: 4371100
Z: 253
Litología: Basamento hercínico
Edad: Precámbrico

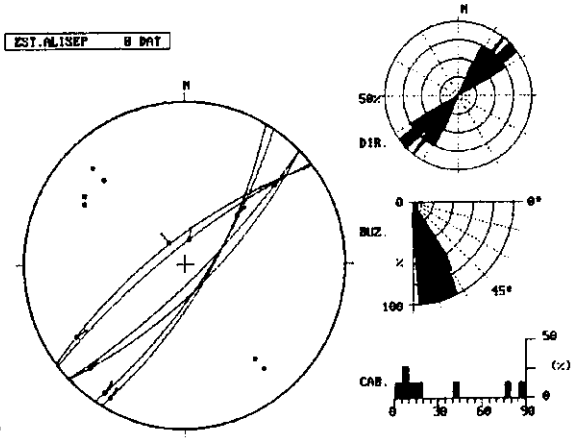
:

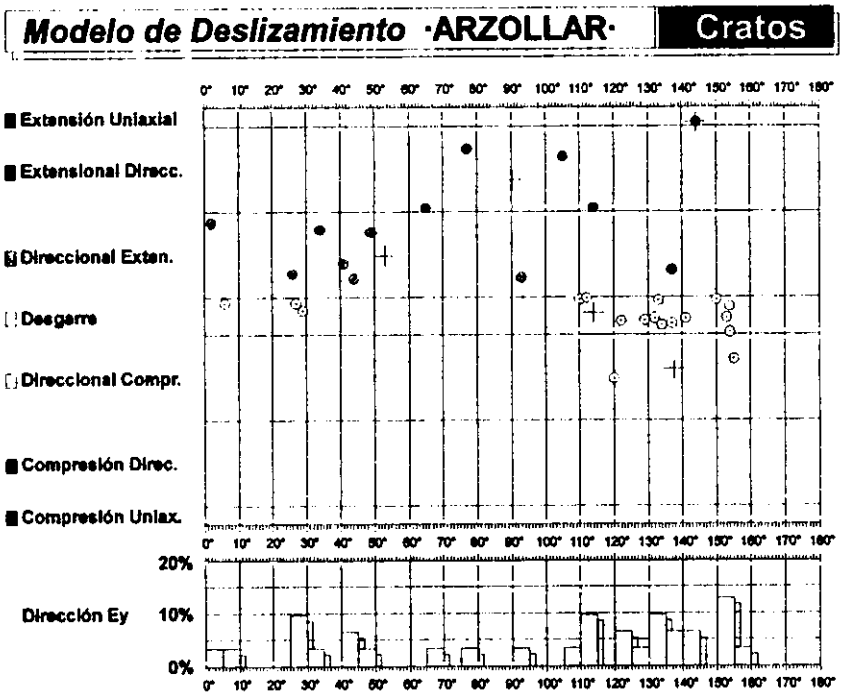
Ey: 030°±16°
Buz: 74°±3°
Cab: 32°±31°
s1 --°/---°
s2 --°/---°
s3 --°/---°
R = ---
μ = ---
F.E. = 0 (8)

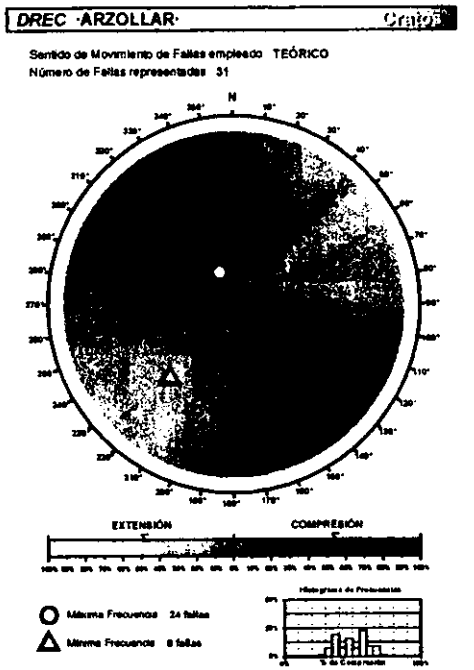




Trazas ciclográficas e histogramas del azimut, buzamiento y cabeceo





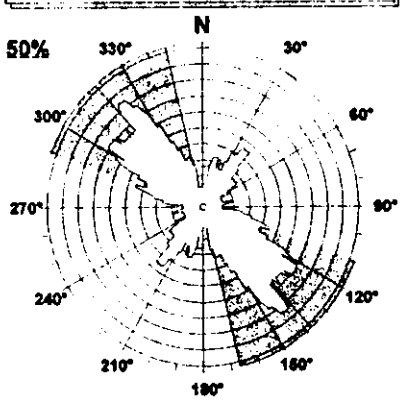


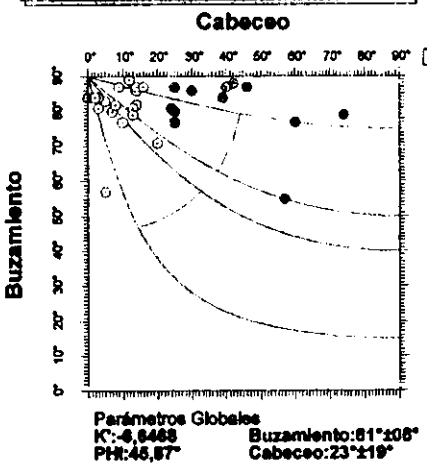
Estación: Arzollar
Coordenadas U.T.M. (metros)
X: 414600
Y: 4313700
Z: 650
Litología: Colada lávica
Edad: Mioceno sup.-Pleistoceno inf.

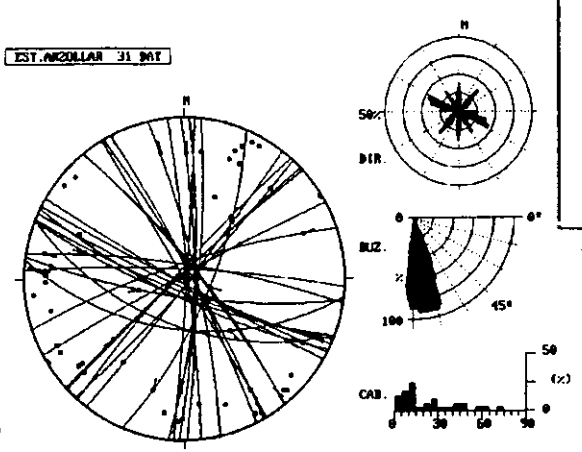
1ª Subpoblación:
Ey: 132°±11°
Buz: 80°±7°
Cab: 18°±19°
s1 05°/134°
s2 84°/311°
s3 00°/044°
R = 0.59
μ = 0.31
F.E. = 13 (20)

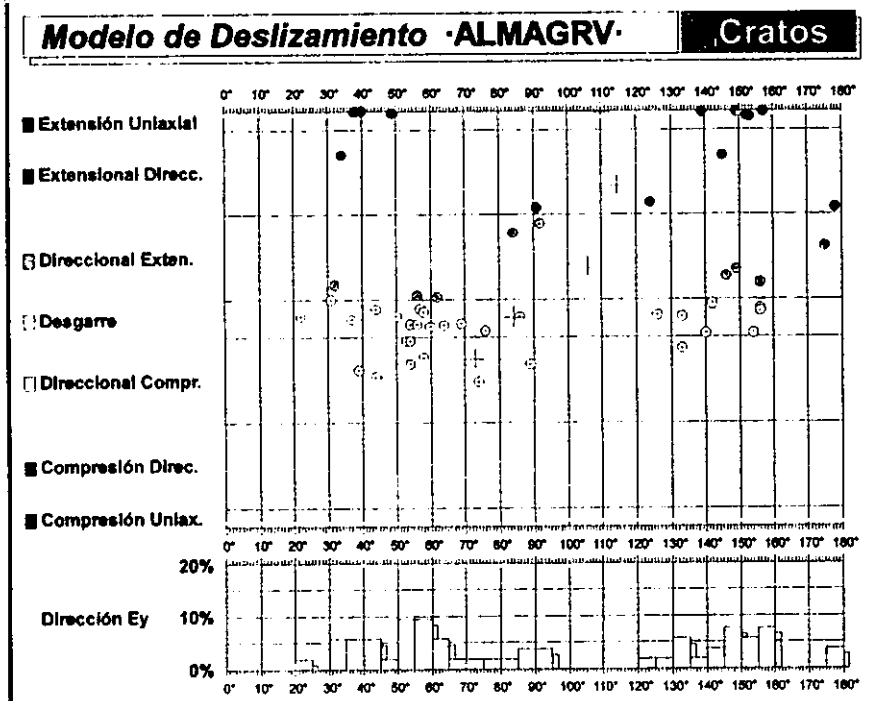
2ª Subpoblación:
Ey: 036°±14°
Buz: 83°±9°
Cab: 31°±14°
s1 83°/039°
s2 06°/211°
s3 00°/301°
R = 0.43
μ = 0.40
F.E. = 5 (11)

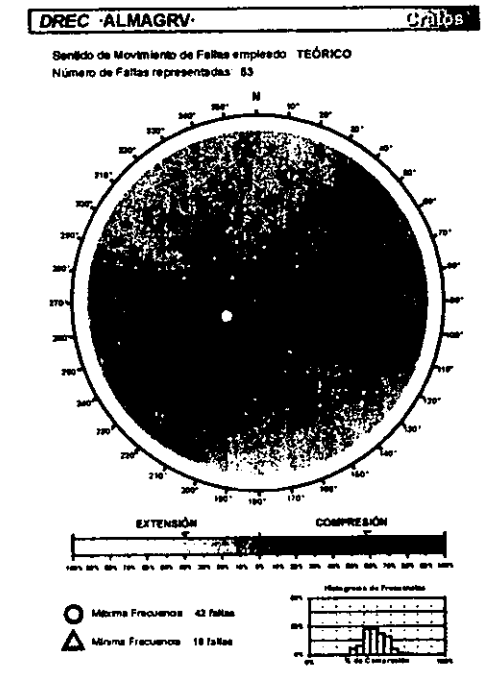
Trazas ciclográficas e histogramas del azimut, buzamiento y cabeceo











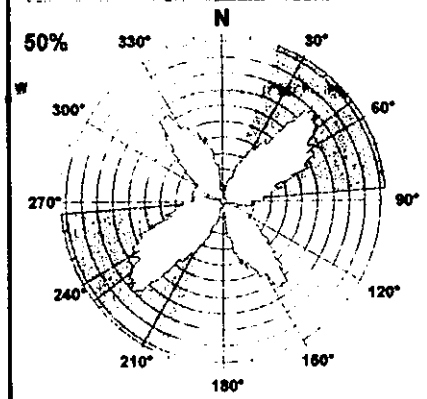
Estación: Almagrv
Coordenadas U.T.M. (metros)
X: 439500
Y: 4306600
Z: 660
Litología: Colada lávica
Edad: Mioceno sup.-Pleistoceno inf.

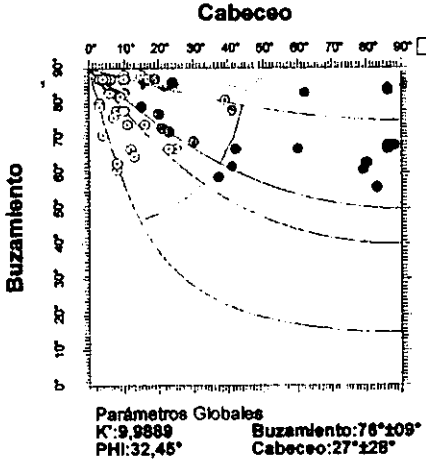
1ª Subpoblación:
Ey: 056°±12°
Buz: 76°±9°
Cab: 22°±24°
s1 05°/239°
s2 83°/096°
s3 03°/330°
R = 0.89
μ = 0.31
F.E. = 26 (32)

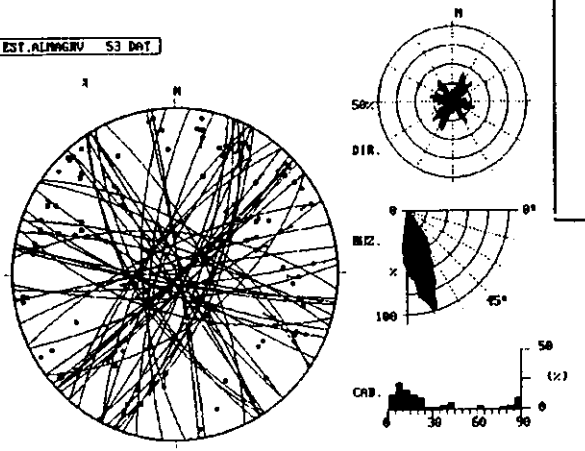
2ª Subpoblación:

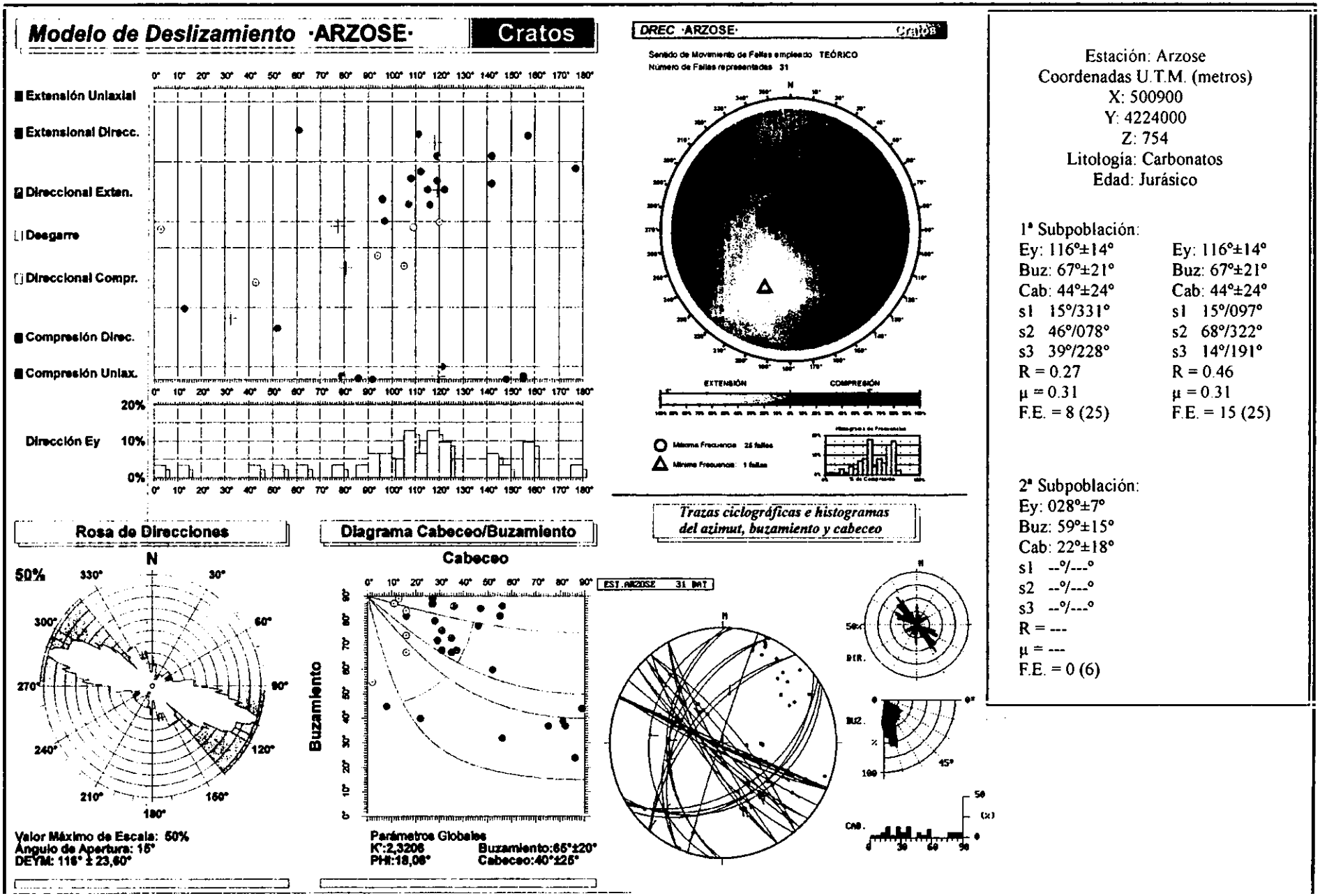
Ey: 147°±8°	Ey: 147°±8°
Buz: 76°±9°	Buz: 76°±9°
Cab: 36°±30°	Cab: 36°±30°
s1 74°/325°	s1 49°/148°
s2 15°/148°	s2 40°/327°
s3 00°/058°	s3 00°/058°
R = 0.52	R = 0.67
μ = 0.61	μ = 0.31
F.E. = 12 (21)	F.E. = 7 (21)

Trazas ciclográficas e histogramas del azimut, buzamiento y cabeceo





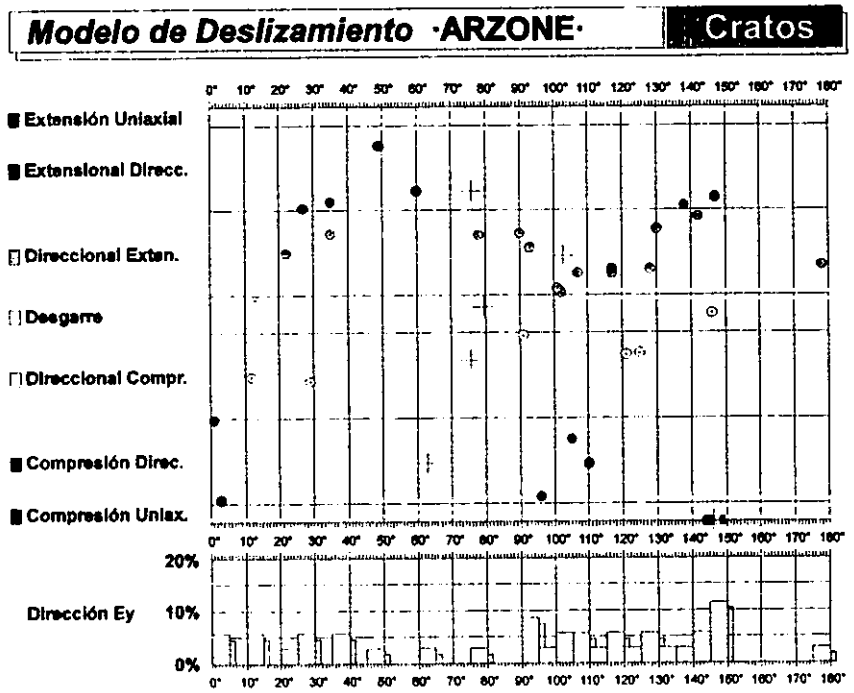


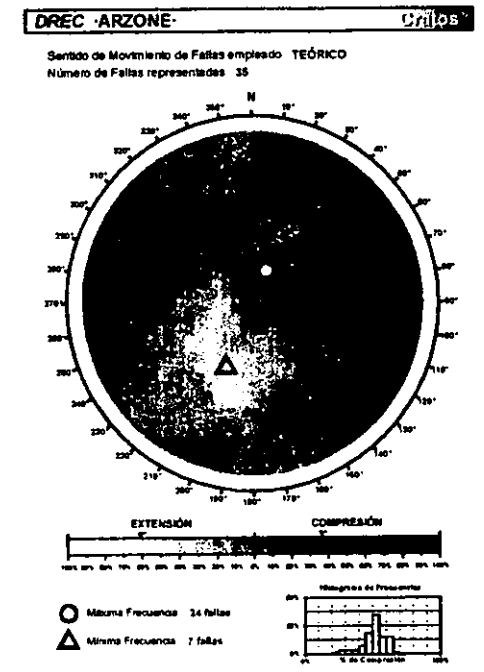


Estación: Arzose
Coordenadas U.T.M. (metros)
X: 500900
Y: 4224000
Z: 754
Litología: Carbonatos
Edad: Jurásico

1ª Subpoblación:	
Ey: 116°±14°	Ey: 116°±14°
Buz: 67°±21°	Buz: 67°±21°
Cab: 44°±24°	Cab: 44°±24°
s1 15°/331°	s1 15°/097°
s2 46°/078°	s2 68°/322°
s3 39°/228°	s3 14°/191°
R = 0.27	R = 0.46
μ = 0.31	μ = 0.31
F.E. = 8 (25)	F.E. = 15 (25)

2ª Subpoblación:
Ey: 028°±7°
Buz: 59°±15°
Cab: 22°±18°
s1 --°/---°
s2 --°/---°
s3 --°/---°
R = ---
μ = ---
F.E. = 0 (6)



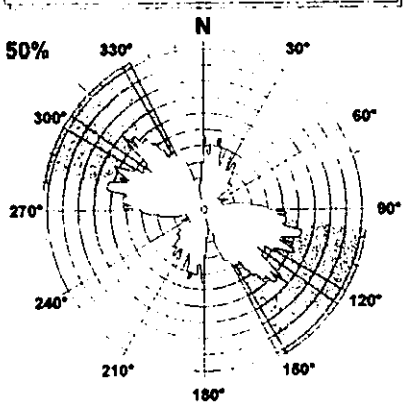


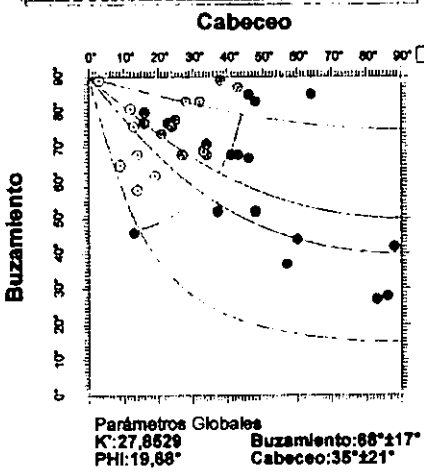
Estación: Arzone
Coordenadas U.T.M. (metros)
X: 502100
Y: 4225800
Z: 830
Litología: Carbonatos
Edad: Jurásico

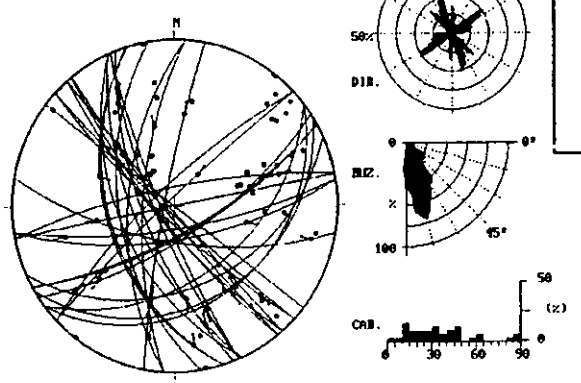
1ª Subpoblación:
Ey: 119°±11°
Buz: 68°±18°
Cab: 36°±24°
s1 07°/297°
s2 73°/054°
s3 14°/205°
R = 0.55
μ = 0.31
F.E. = 15 (23)

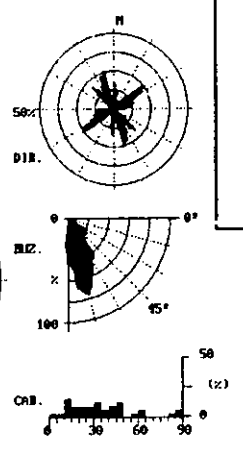
2ª Subpoblación:
Ey: 023°±11°
Buz: 67°±14°
Cab: 34°±17°
s1 28°/023°
s2 49°/255°
s3 27°/129°
R = 0.31
μ = 0.31
F.E. = 10 (12)

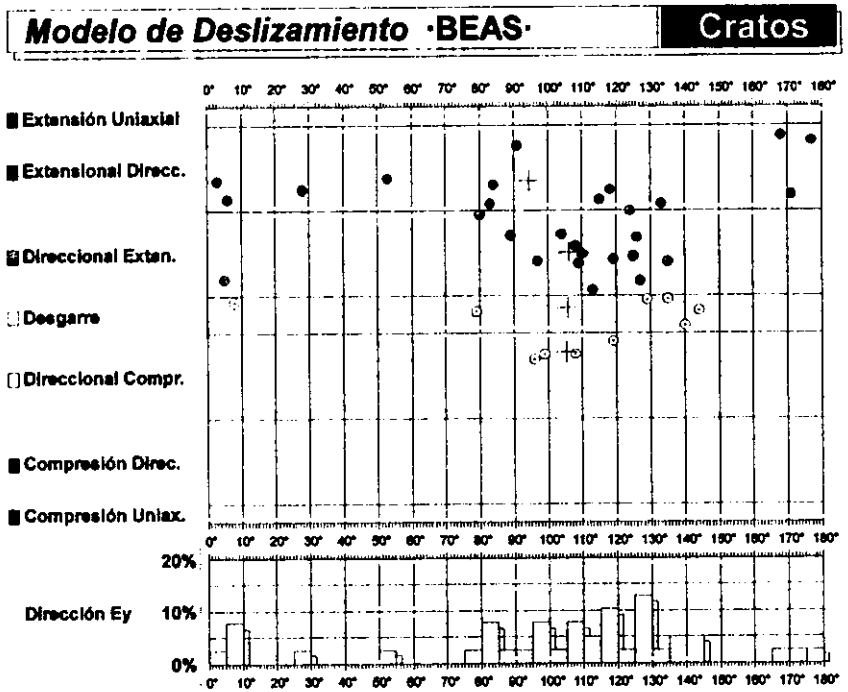
Trazas ciclográficas e histogramas del azimut, buzamiento y cabeceo

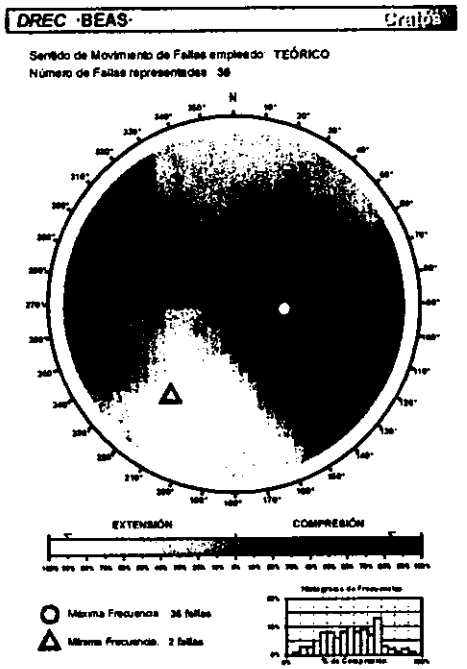










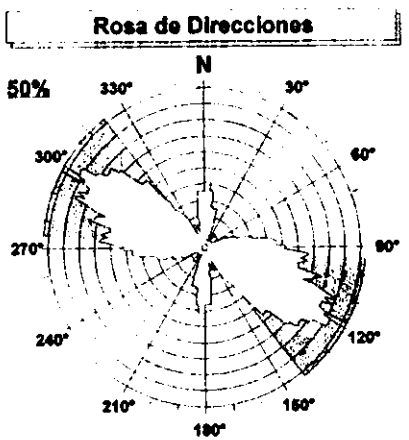


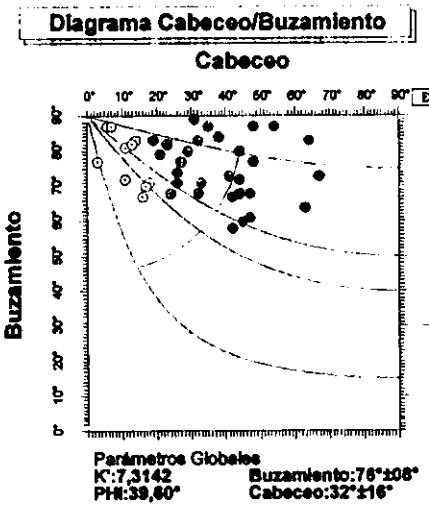
Trazas ciclográficas e histogramas del azimut, buzamiento y cabeceo

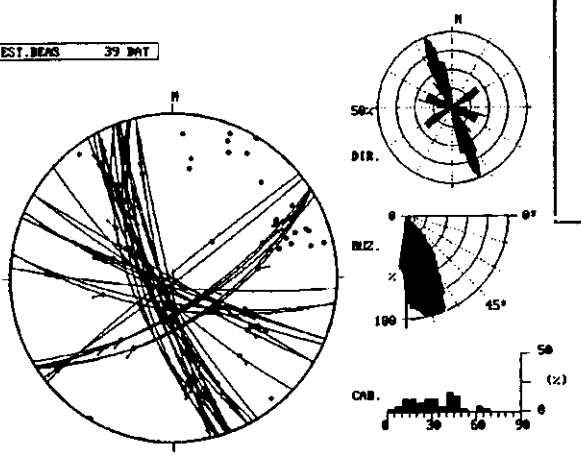
Estación: Beas
Coordenadas U.T.M. (metros)
X: 512600
Y: 4234300
Z: 700
Litología: Carbonatos
Edad: Jurásico

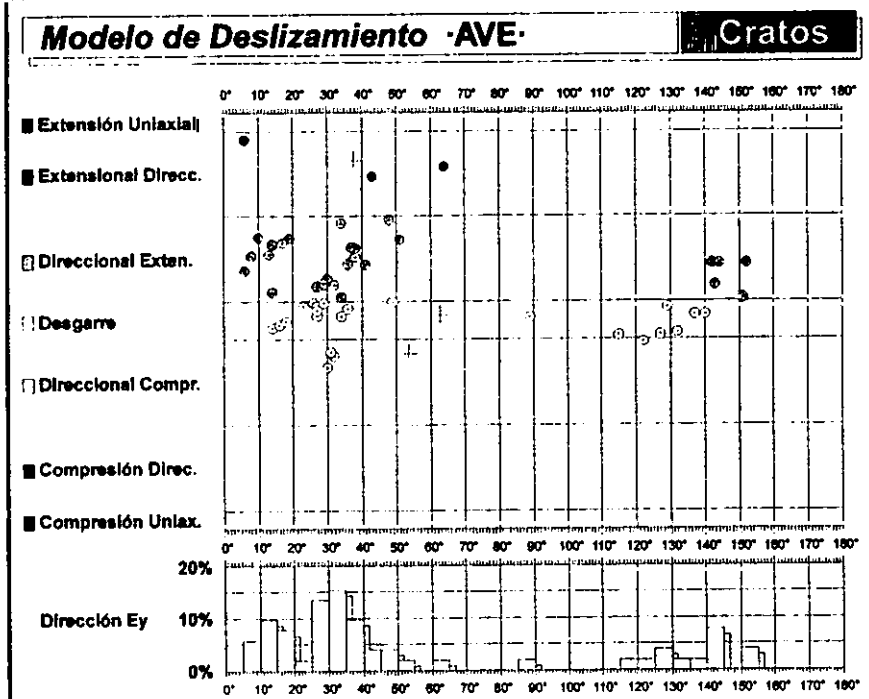
1ª Subpoblación:	
Ey: 113°±10°	Ey: 113°±10°
Buz: 77°±8°	Buz: 77°±8°
Cab: 28°±14°	Cab: 28°±14°
s1 86°/178°	s1 00°/111°
s2 00°/284°	s2 83°/209°
s3 03°/014°	s3 06°/021°
R = 0.55	R = 0.77
μ = 0.31	μ = 0.50
F.E. = 23 (30)	F.E. = 7 (30)

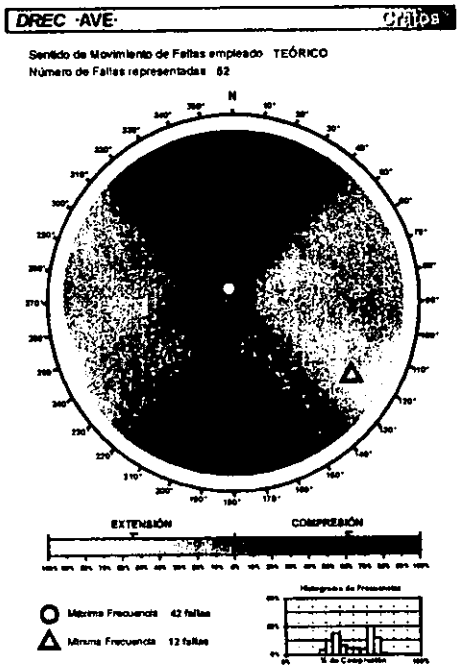
2ª Subpoblación:
Ey: 007°±15°
Buz: 72°±10°
Cab: 44°±17°
s1 78°/072°
s2 09°/219°
s3 06°/310°
R = 0.52
μ = 0.31
F.E. = 8 (9)











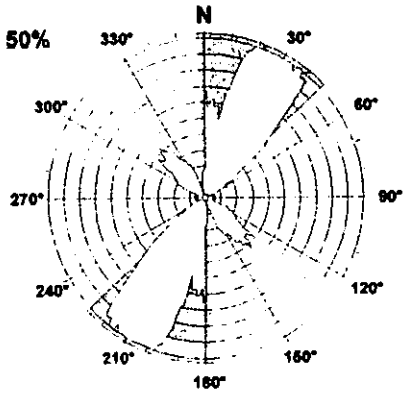
Estación: Ave
Coordenadas U.T.M. (metros)
X: 423400
Y: 4345000
Z: 715
Litología: Basamento hercínico
Edad: Paleozoico

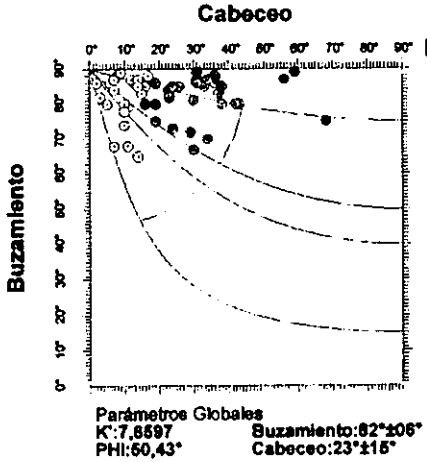
1ª Subpoblación:
Ey: 134°±11°
Buz: 82°±5°
Cab: 16°±9°
s1 25°/138°
s2 64°/321°
s3 01°/228°
R = 0.52
μ = 0.91
F.E. = 11 (13)

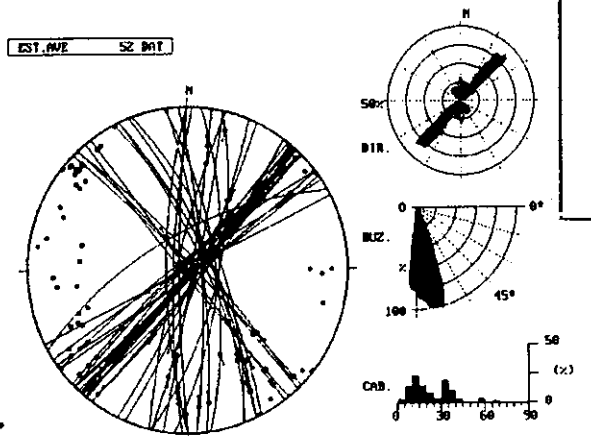
2ª Subpoblación:

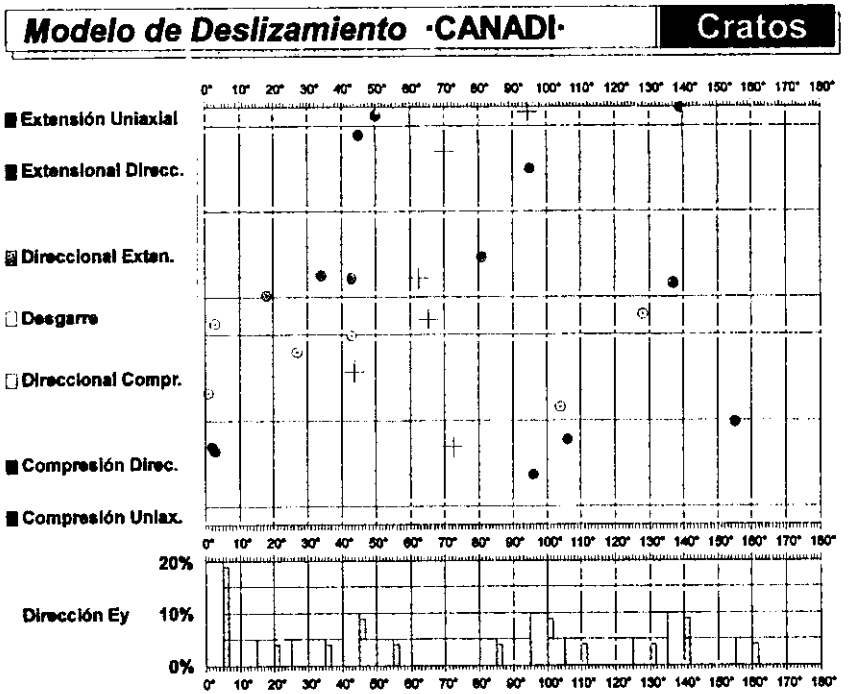
Ey: 028°±8°	Ey: 028°±8°
Buz: 82°±7°	Buz: 82°±7°
Cab: 25°±15°	Cab: 25°±15°
s1 45°/027°	s1 82°/049°
s2 43°/195°	s2 07°/225°
s3 05°/291°	s3 00°/315°
R = 0.55	R = 0.43
μ = 0.31	μ = 0.31
F.E. = 24 (39)	F.E. = 11 (39)

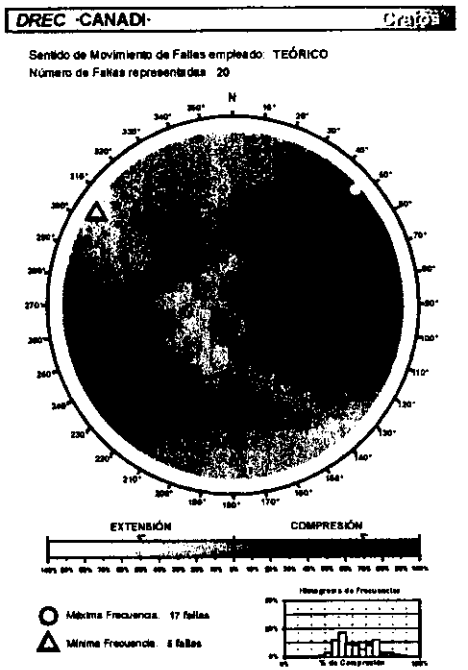
Trazas ciclográficas e histogramas del azimut, buzamiento y cabeceo











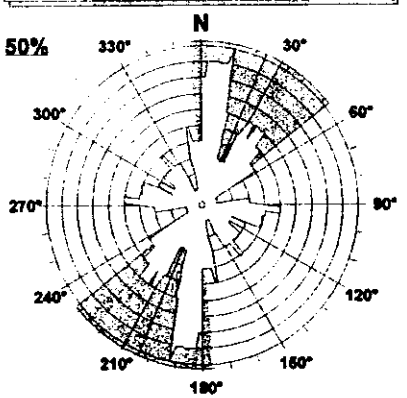
Estación: Canadi
Coordenadas U.T.M. (metros)
X: 209800
Y: 4416100
Z: 376
Litología: Dique básico
Edad: Jurásico

1ª Subpoblación:
Ey: 115°±10°
Buz: 62°±19°
Cab: 29°±24°
s1 32°/103°
s2 57°/281°
s3 00°/013°
R = 0.14
μ = 0.31
F.E. = 8 (9)

2ª Subpoblación:

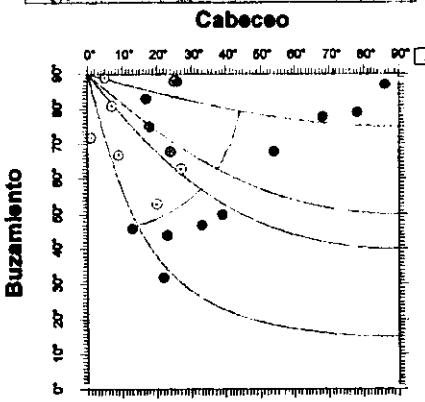
Ey: 025°±8°	Ey: 025°±8°
Buz: 72°±14°	Buz: 72°±14°
Cab: 30°±23°	Cab: 30°±23°
s1 66°/036°	s1 03°/192°
s2 22°/233°	s2 71°/291°
s3 05°/140°	s3 18°/101°
R = 0.41	R = 0.25
μ = 0.31	μ = 0.40
F.E. = 5 (11)	F.E. = 6 (11)

Rosa de Direcciones



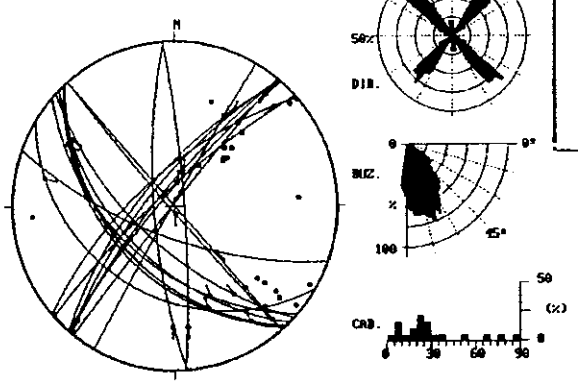
Valor Máximo de Escala: 50%
Ángulo de Apertura: 15°
DEYM: 24° ± 27,71°

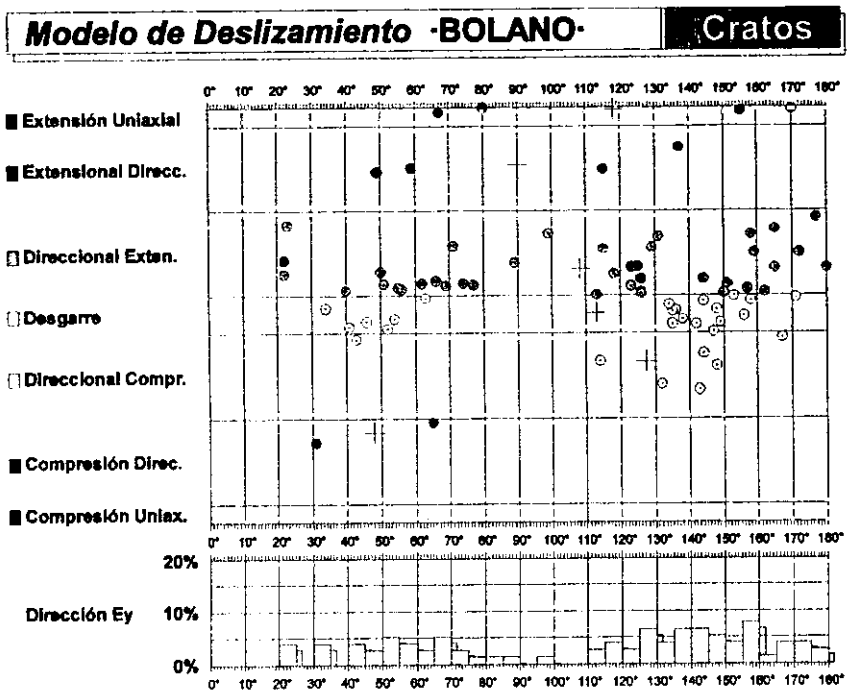
Diagrama Cabeceo/Buzamiento

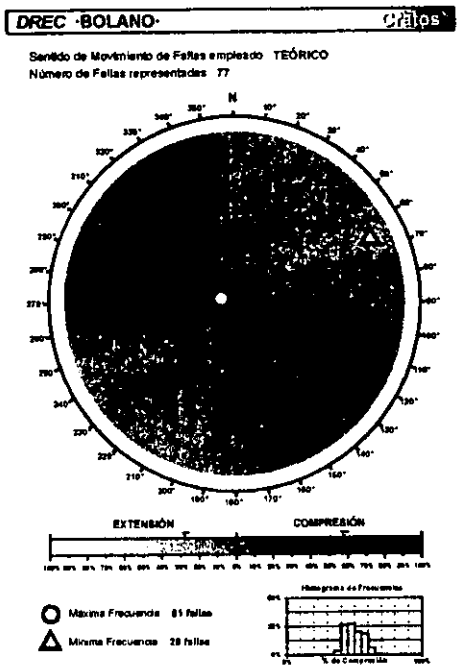


Parámetros Globales
K':12,3629 Buzamiento:68°±17°
PHI:12,12° Cabeceo:30°±23°

Trazas ciclográficas e histogramas del azimut, buzamiento y cabeceo







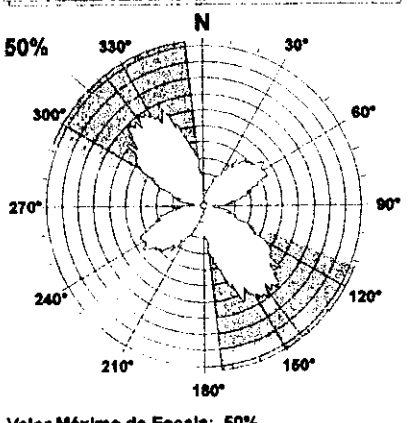
Trazas ciclográficas e histogramas del azimut, buzamiento y cabeceo

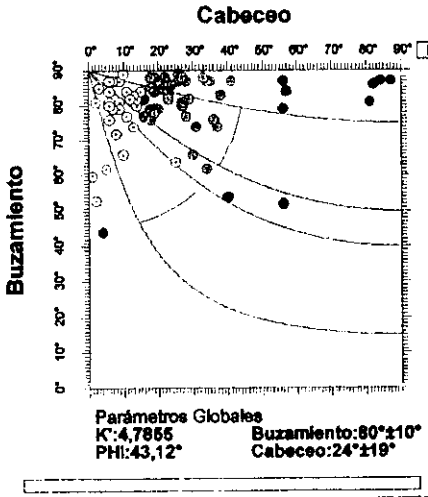
Estación: Bolano
Coordenadas U.T.M. (metros)
X: 443200
Y: 4305100
Z: 680
Litología: Colada lávica
Edad: Mioceno sup.-Pleistoceno inf.

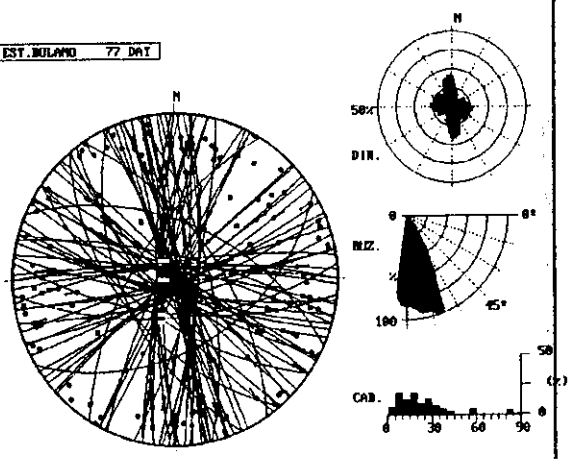
1ª Subpoblación:	
Ey: 053°±10°	Ey: 053°±10°
Buz: 80°±10°	Buz: 80°±10°
Cab: 26°±21°	Cab: 26°±21°
s1 85°/251°	s1 09°/236°
s2 04°/051°	s2 78°/093°
s3 01°/141°	s3 07°/327°
R = 0.37	R = 0.32
μ = 0.31	μ = 0.31
F.E. = 14 (29)	F.E. = 10 (29)

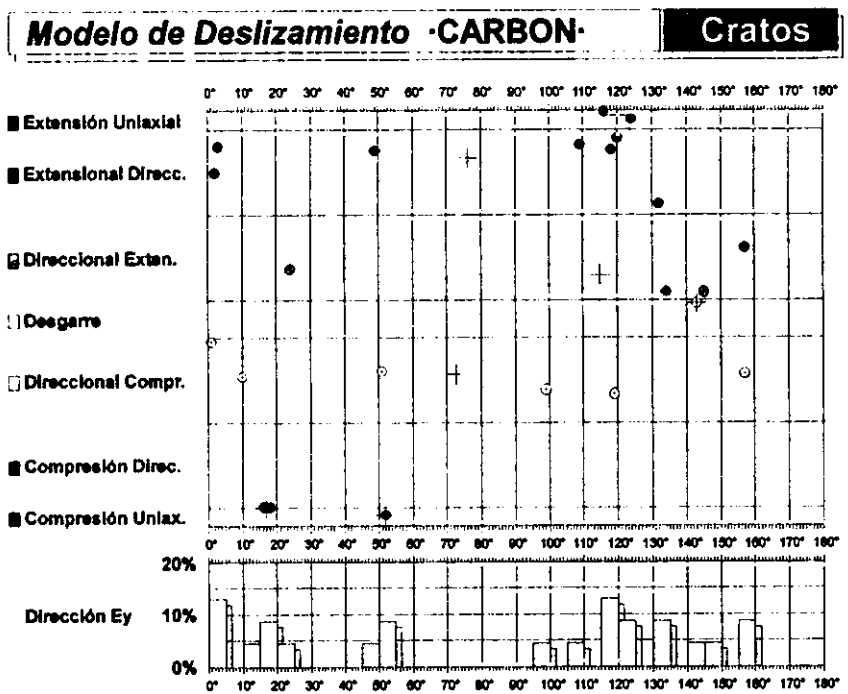
2ª Subpoblación:	
Ey: 143°±11°	Ey: 143°±11°
Buz: 79°±9°	Buz: 79°±9°
Cab: 23°±18°	Cab: 23°±18°
s1 26°/359°	s1 19°/287°
s2 63°/183°	s2 69°/115°
s3 01°/090°	s3 02°/018°
R = 0.75	R = 0.70
μ = 0.31	μ = 0.31
F.E. = 9 (48)	F.E. = 10 (48)

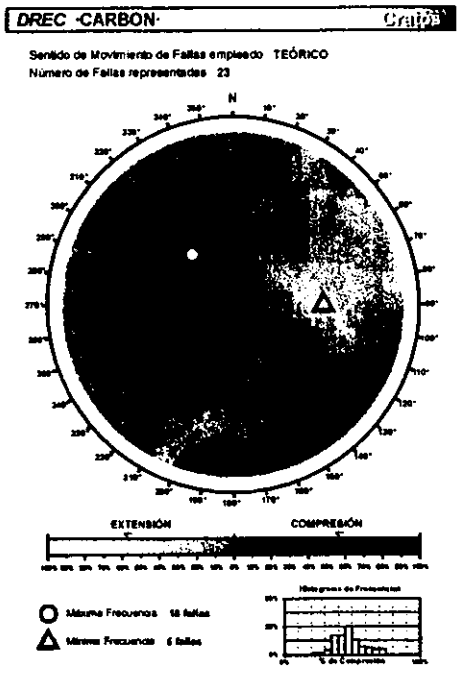
Ey: 143°±11°	Ey: 143°±11°
Buz: 79°±9°	Buz: 79°±9°
Cab: 23°±18°	Cab: 23°±18°
s1 01°/141°	s1 87°/214°
s2 83°/240°	s2 01°/331°
s3 06°/051°	s3 02°/061°
R = 0.31	R = 0.54
μ = 0.40	μ = 0.31
F.E. = 12 (48)	F.E. = 17 (48)











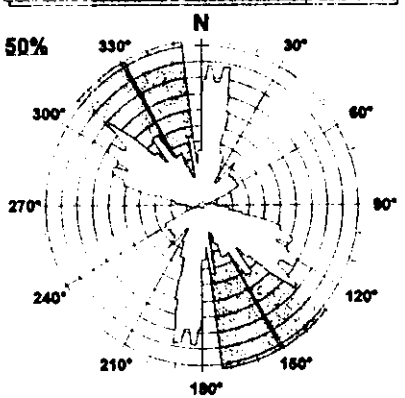
Estación: Carbon
Coordenadas U.T.M. (metros)
X: 556100
Y: 4279750
Z: 1290
Litología: Carbonatos
Edad: Jurásico

1ª Subpoblación:
Ey: 128°±9°
Buz: 70°±9°
Cab: 40°±27°
s1 44°/306°
s2 44°/107°
s3 09°/206°
R = 0.52
μ = 0.31
F.E. = 11 (13)

2ª Subpoblación:
Ey: 022°±11°
Buz: 57°±20°
Cab: 38°±22°
s1 13°/181°
s2 75°/031°
s3 07°/272°
R = 0.29
μ = 0.61
F.E. = 7 (10)

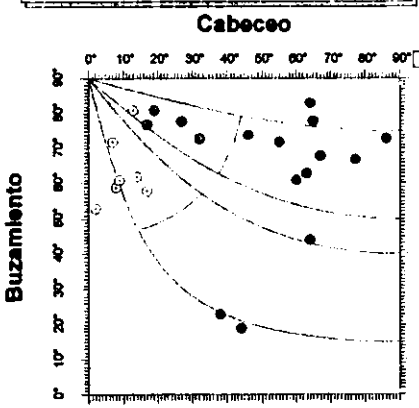
Trazas ciclográficas e histogramas del azimut, buzamiento y cabeceo

Rosa de Direcciones

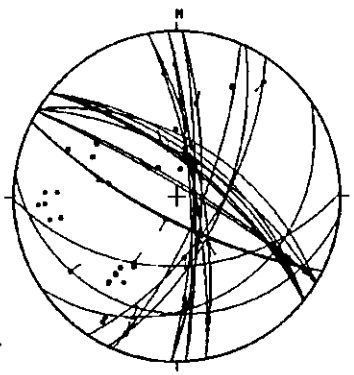


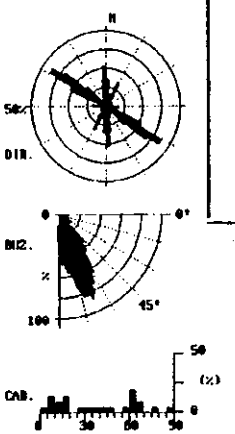
Valor Máximo de Escala: 50%
Ángulo de Apertura: 15°
DEYM: 151° ± 22,23°

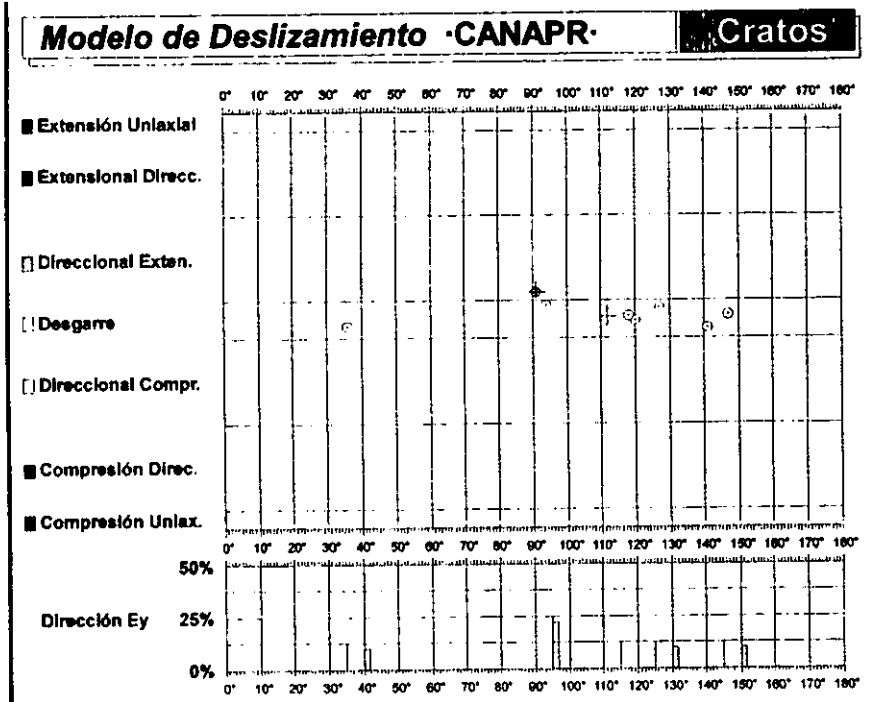
Diagrama Cabeceo/Buzamiento

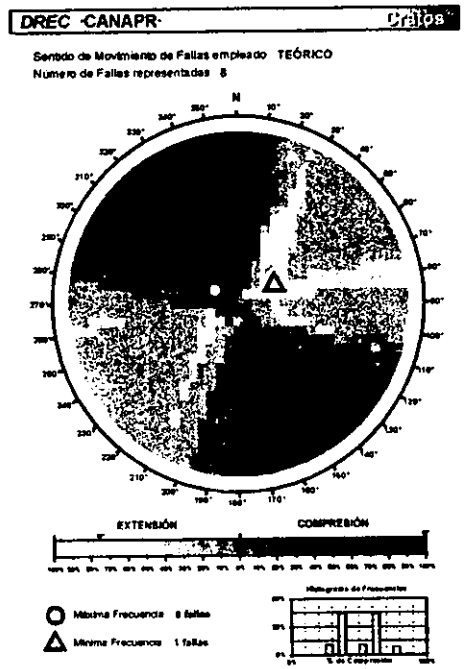


Parámetros Globales
K':1,6707
Phi:14,46°
Buzamiento:64°±16°
Cabeceo:39°±26°





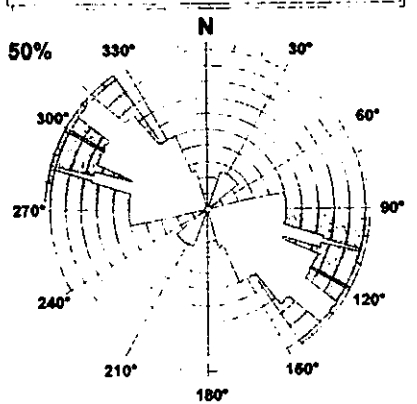




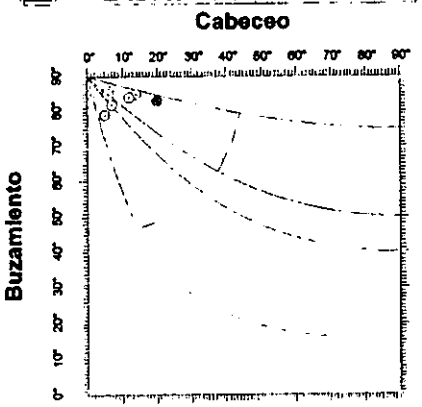
Estación: Canapr
Coordenadas U.T.M. (metros)
X: 209800
Y: 4416100
Z: 376
Litología: Basamento hercínico
Edad: Precámbrico

1ª Subpoblación:
Ey: 119°±26°
Buz: 84°±2°
Cab: 9°±6°
s1 --°/---°
s2 --°/---°
s3 --°/---°
R = ---
μ = ---
F.E. = 0 (8)

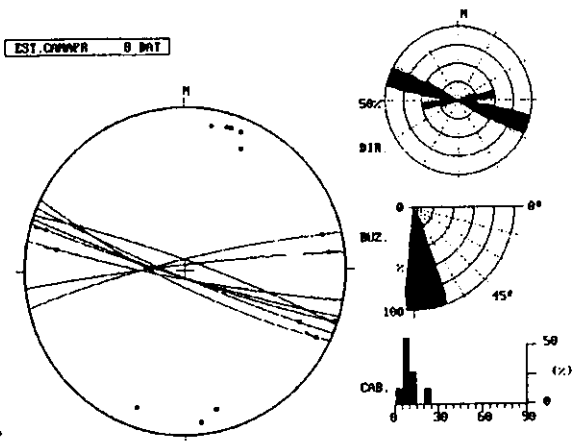
Trazas ciclográficas e histogramas del azimut, buzamiento y cabeceo

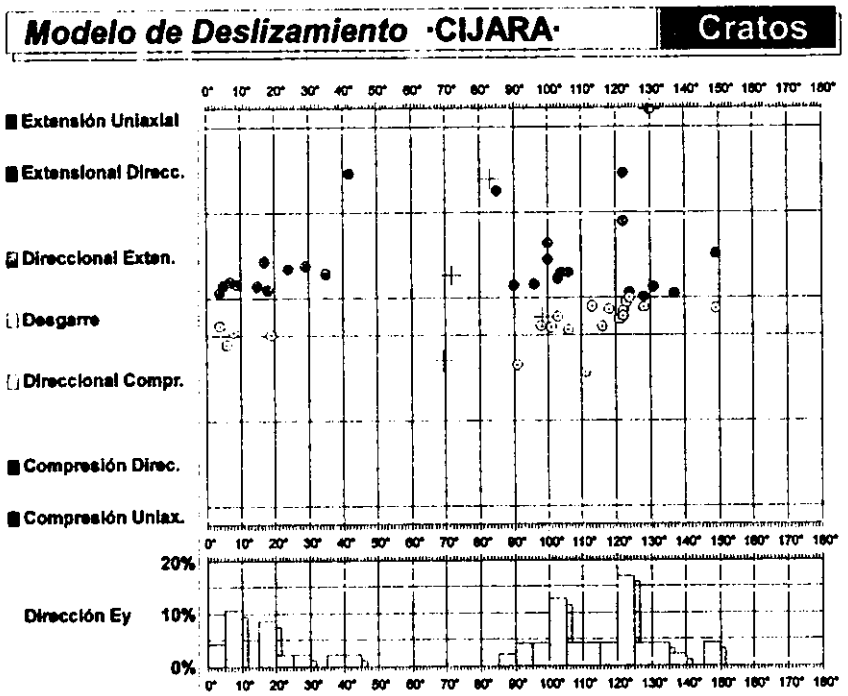


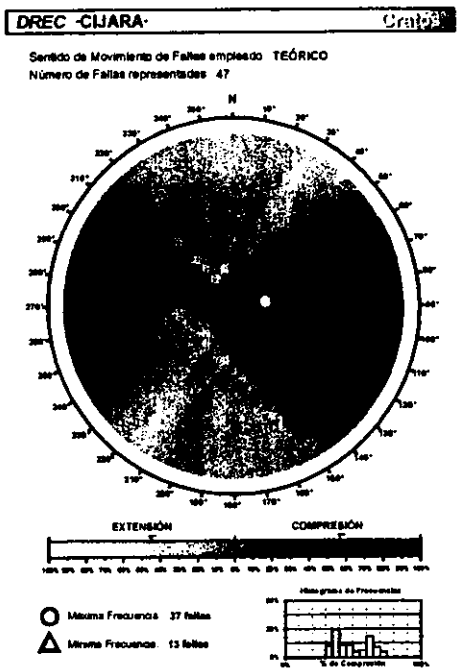
Valor Máximo de Escala: 50%
Ángulo de Apertura: 15°
DEYM: 119° ± 26,17°



Parámetros Globales
K':-19,9785
PHI:22,20°
Buzamiento:84°±02°
Cabeceo:09°±06°







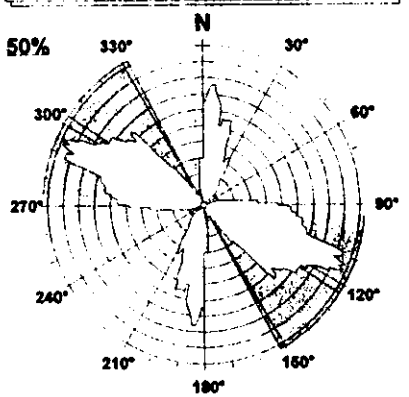
Estación: Cijara
Coordenadas U.T.M. (metros)
X: 326600
Y: 4361600
Z: 400
Litología: Basamento hercínico
Edad: Paleozoico

1ª Subpoblación:	
Ey: 115°±9°	Ey: 115°±9°
Buz: 80°±8°	Buz: 80°±8°
Cab: 20°±17°	Cab: 20°±17°
s1 80°/290°	s1 03°/115°
s2 09°/113°	s2 86°/264°
s3 00°/023°	s3 01°/025°
R = 0.68	R = 0.47
μ = 0.31	μ = 0.61
F.E. = 13 (32)	F.E. = 13 (32)

2ª Subpoblación:
Ey: 016°±7°
Buz: 82°±5°
Cab: 22°±12°
s1 49°/195°
s2 40°/008°
s3 03°/101°
R = 0.57
μ = 0.31
F.E. = 10 (15)

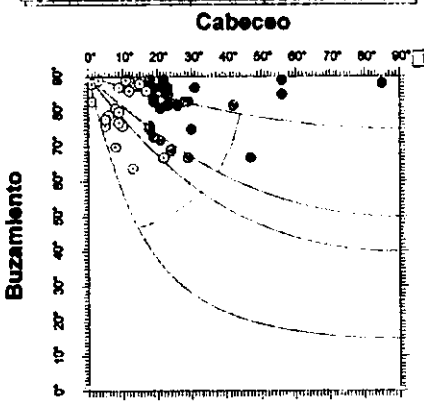
Trazas cicloográficas e histogramas del azimut, buzamiento y cabeceo

Rosa de Direcciones

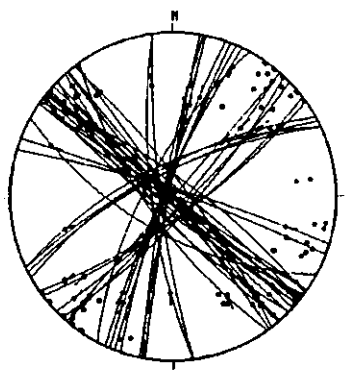


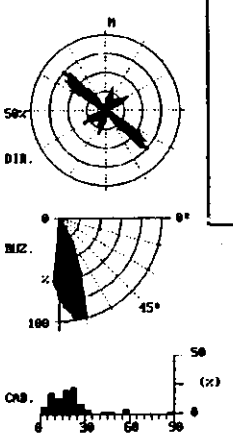
Valor Máximo de Escala: 50%
Ángulo de Apertura: 15°
DEYM: 123° ± 29,23°

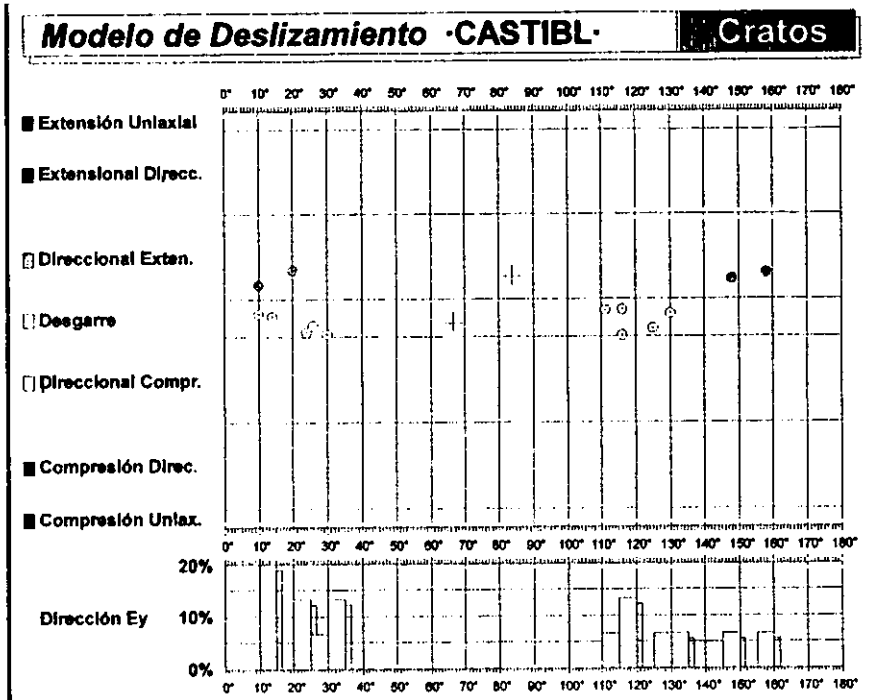
Diagrama Cabeceo/Buzamiento

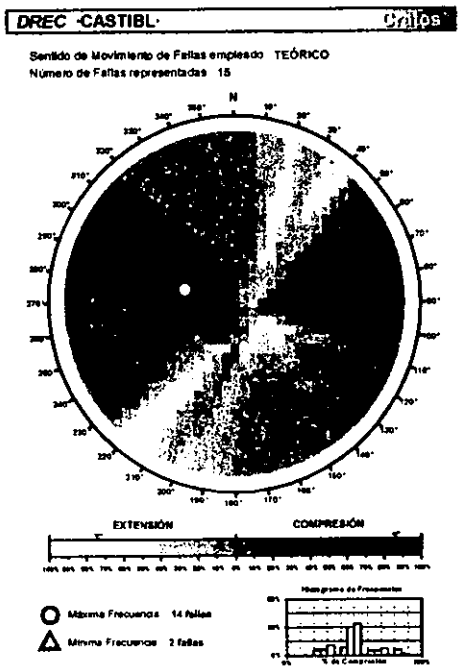


Parámetros Globales
K':-15,6103
PHI:42,31°
Buzamiento:81°±07°
Cabeceo:21°±16°







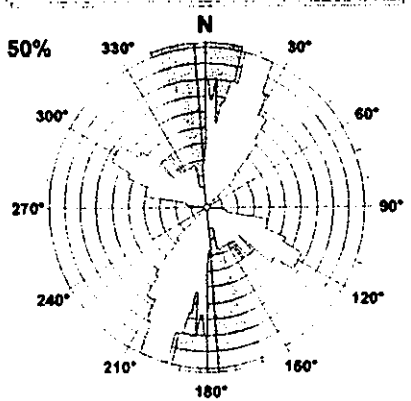


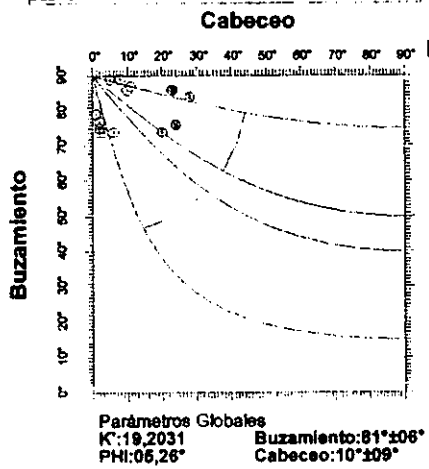
Estación: Castibl
Coordenadas U.T.M. (metros)
X: 318600
Y: 4351200
Z: 440
Litología: Aluvial
Edad: Cuaternario

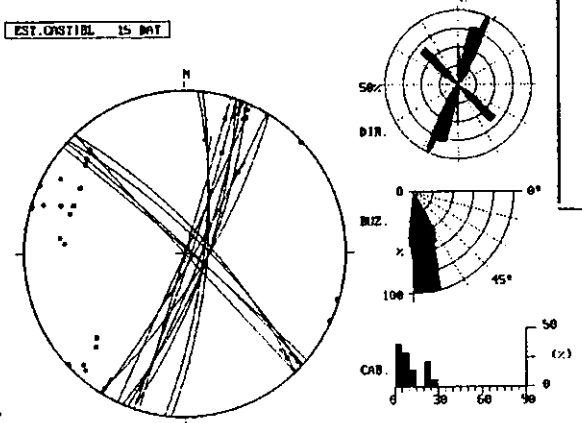
1ª Subpoblación:
Ey: 020°±4°
Buz: 81°±6°
Cab: 9°±10°
s1 63°/181°
s2 24°/024°
s3 08°/290°
R = 0.12
μ = 1.41
F.E. = 6 (8)

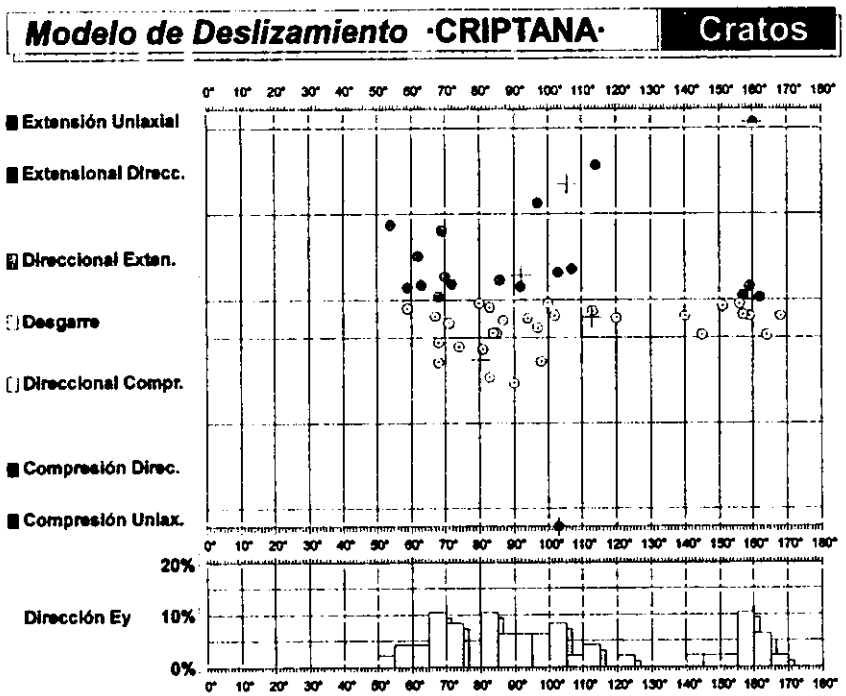
2ª Subpoblación:
Ey: 129°±10°
Buz: 80°±6°
Cab: 12°±7°
s1 32°/306°
s2 55°/100°
s3 11°/208°
R = 0.42
μ = 0.31
F.E. = 7 (7)

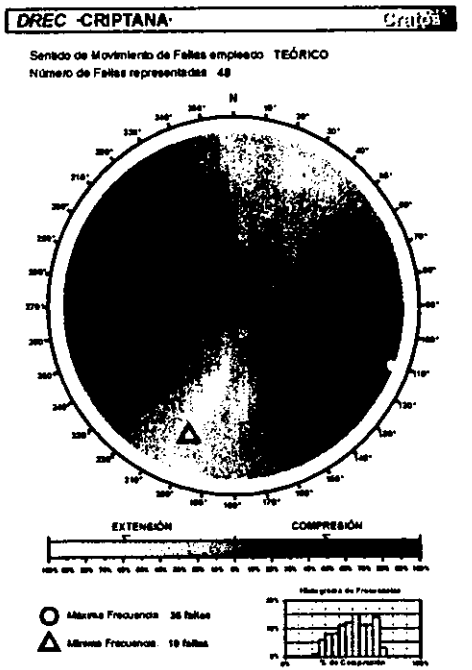
Trazas cicloográficas e histogramas del azimut, buzamiento y cabeceo









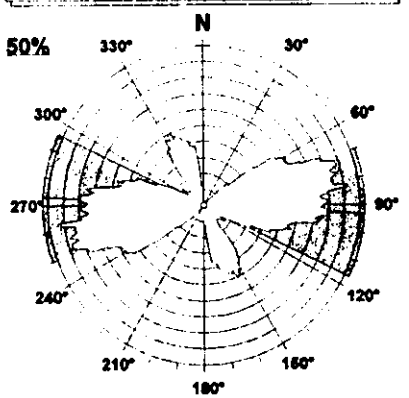


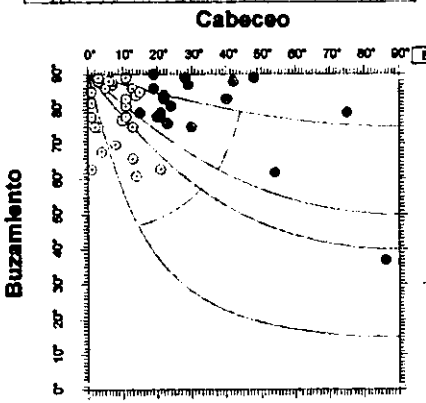
Estación: Criptana
Coordenadas U.T.M. (metros)
X: 492200
Y: 4362200
Z: 741
Litología: Carbonatos
Edad: Jurásico

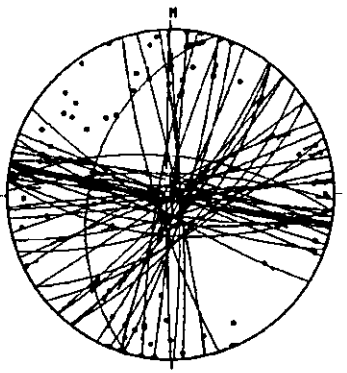
1ª Subpoblación:
Ey: 157°±5°
Buz: 83°±4°
Cab: 17°±18°
s1 65°/339°
s2 24°/151°
s3 03°/242°
R = 0.86
μ = 0.31
F.E. = 12 (12)

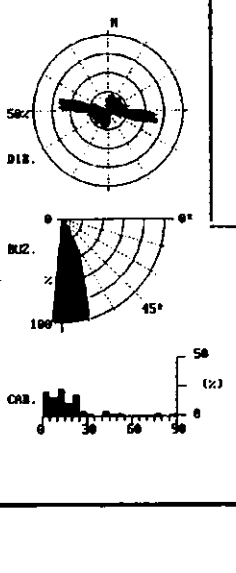
2ª Subpoblación:
Ey: 084°±9°
Buz: 78°±11°
Cab: 19°±18°
s1 15°/269°
s2 74°/096°
s3 01°/359°
R = 0.68
μ = 0.31
F.E. = 27 (36)

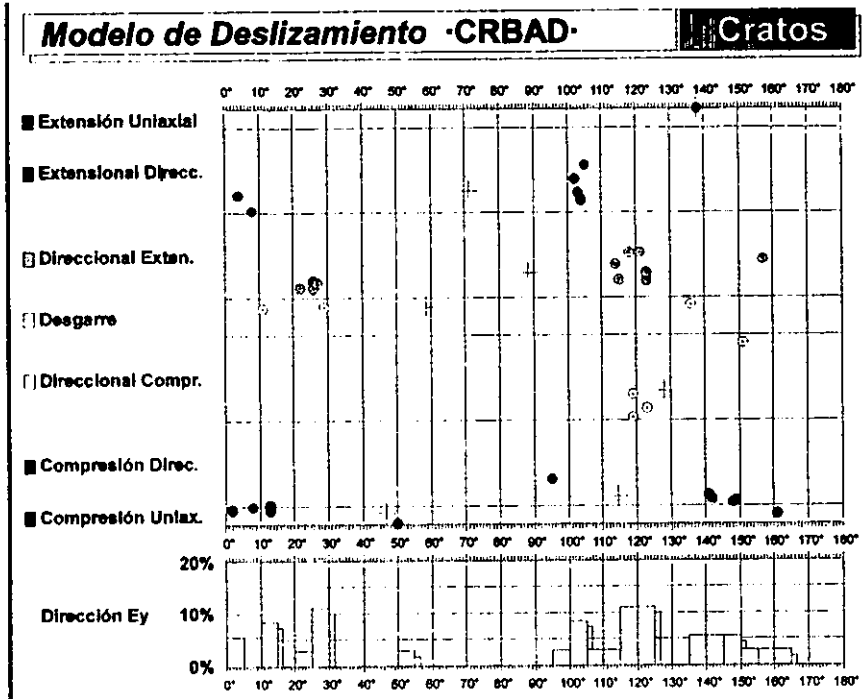
Trazas cicloográficas e histogramas del azimut, buzamiento y cabeceo

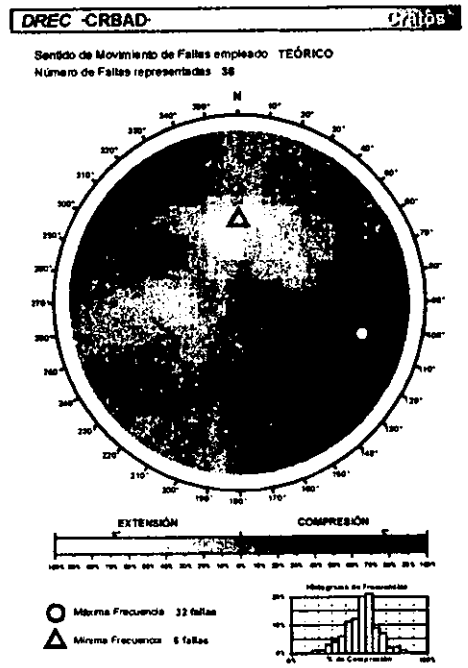










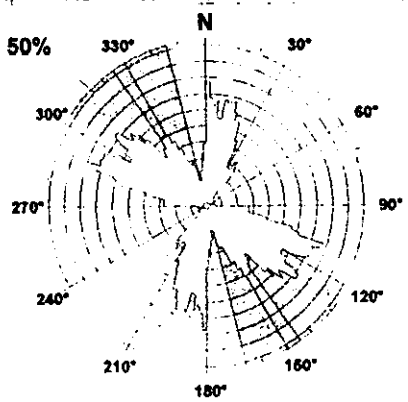


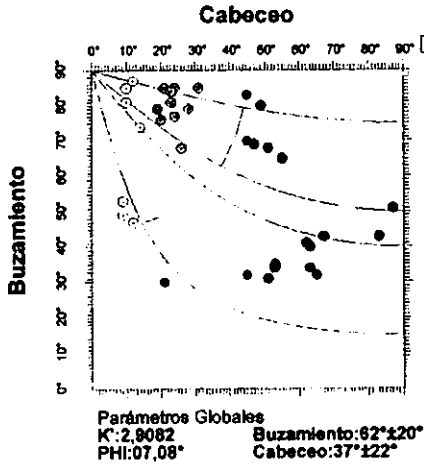
Estación: Crbad
Coordenadas U.T.M. (metros)
X: 341000
Y: 4330400
Z: 585
Litología: Basamento hercínico
Edad: Paleozoico

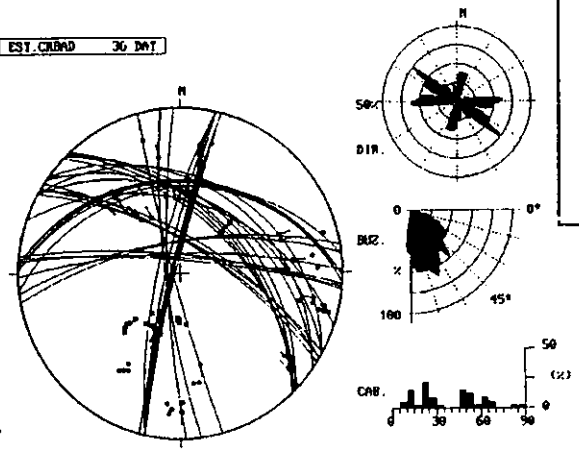
1ª Subpoblación:	
Ey: 126°±10°	Ey: 126°±10°
Buz: 59°±19°	Buz: 59°±19°
Cab: 35°±20°	Cab: 35°±20°
s1 20°/139°	s1 61°/261°
s2 50°/256°	s2 17°/026°
s3 32°/036°	s3 21°/123°
R = 0.24	R = 0.44
μ = 0.50	μ = 0.31
F.E. = 14 (23)	F.E. = 7 (23)

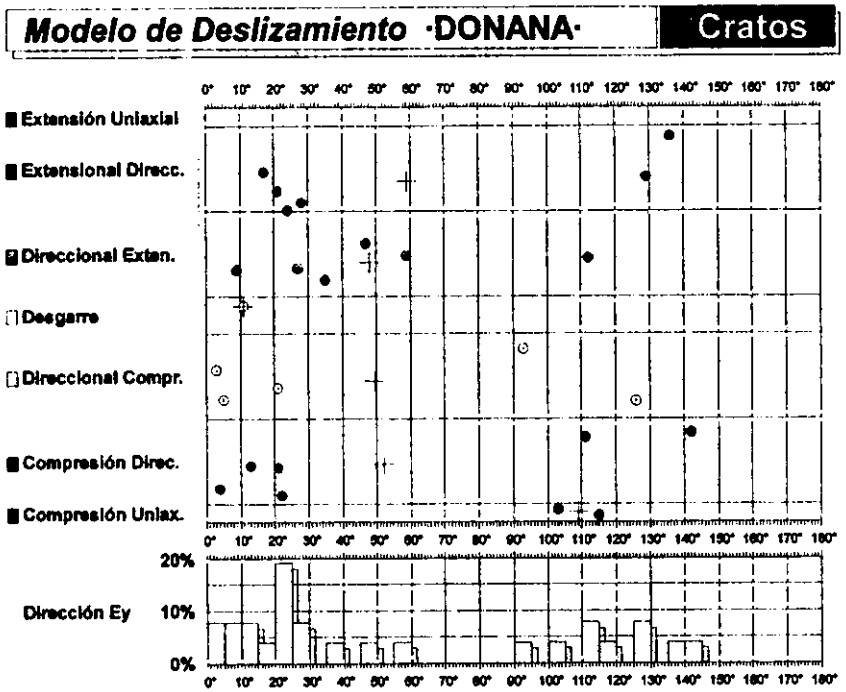
2ª Subpoblación:
Ey: 018°±7°
Buz: 67°±21°
Cab: 42°±24°
s1 17°/032°
s2 51°/145°
s3 32°/290°
R = 0.15
μ = 0.31
F.E. = 11 (13)

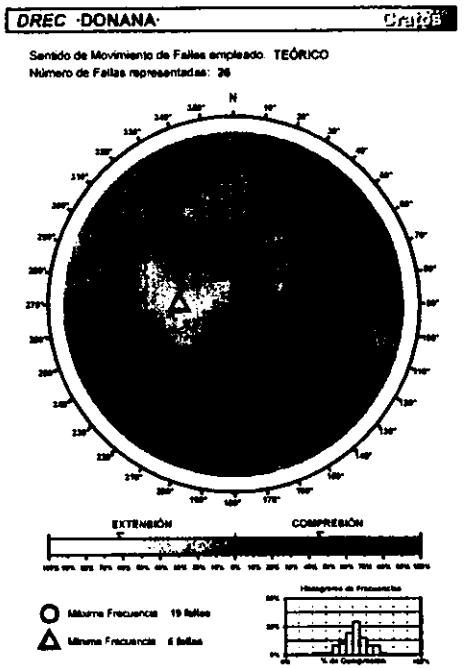
Trazas ciclográficas e histogramas del azimut, buzamiento y cabeceo









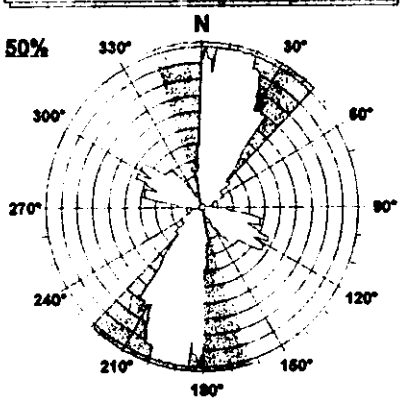


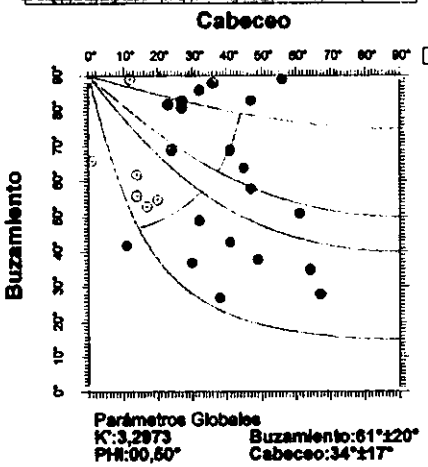
Trazas ciclográficas e histogramas del azimut, buzamiento y cabeceo

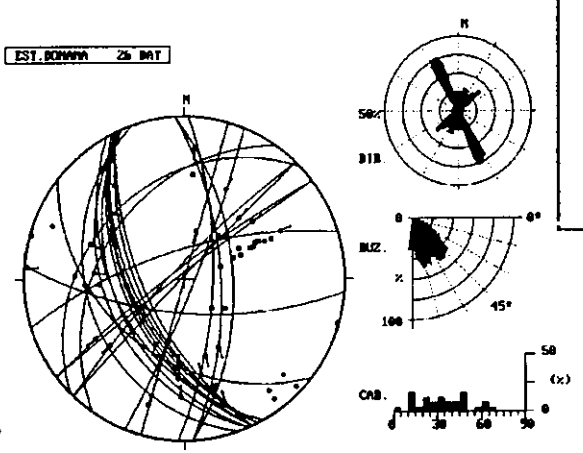
Estación: Donana
Coordenadas U.T.M. (metros)
X: 519300
Y: 4234500
Z: 920
Litología: Carbonatos
Edad: Jurásico

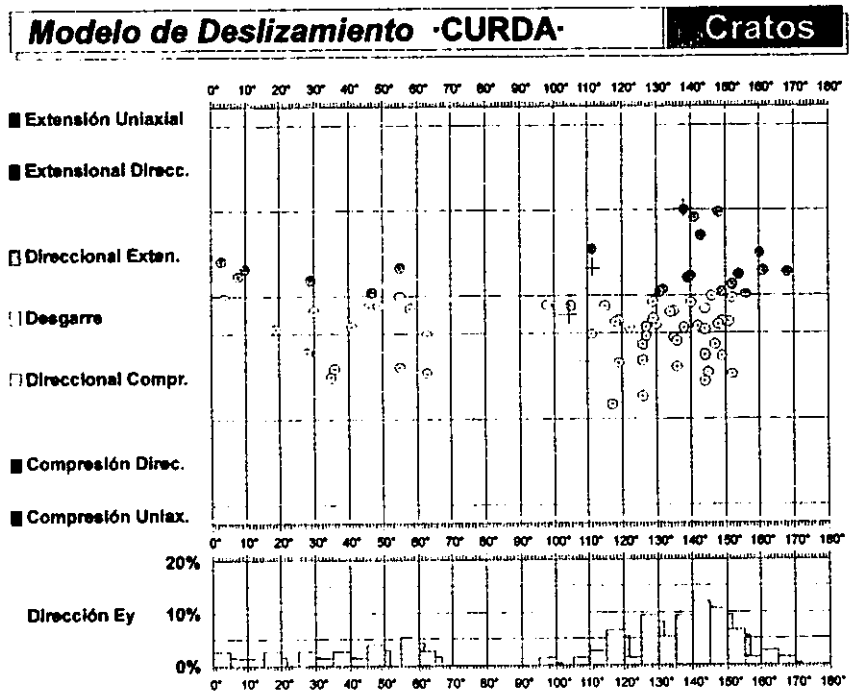
1ª Subpoblación:
Ey: 119°±8°
Buz: 50°±13°
Cab: 36°±23°
s1 14°/100°
s2 59°/216°
s3 26°/003°
R = 0.29
μ = 0.61
F.E. = 6 (9)

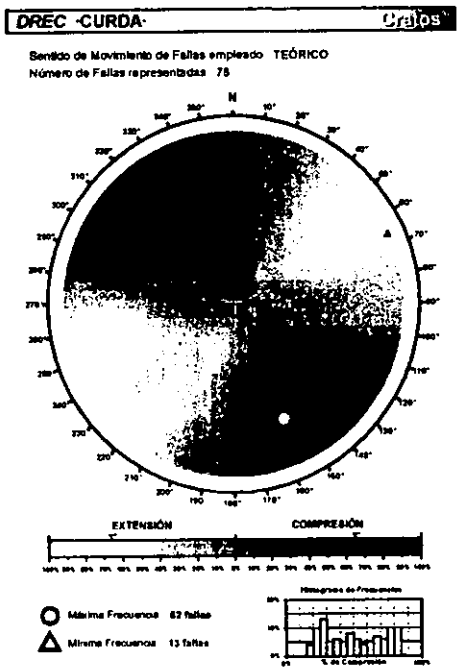
2ª Subpoblación:
Ey: 021°±10°
Buz: 67°±20°
Cab: 32°±13°
s1 00°/206°
s2 84°/298°
s3 05°/116°
R = 0.39
μ = 0.50
F.E. = 13 (17)









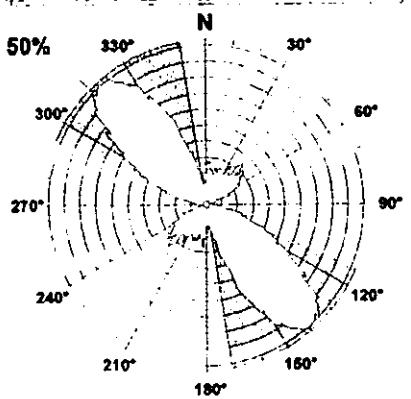


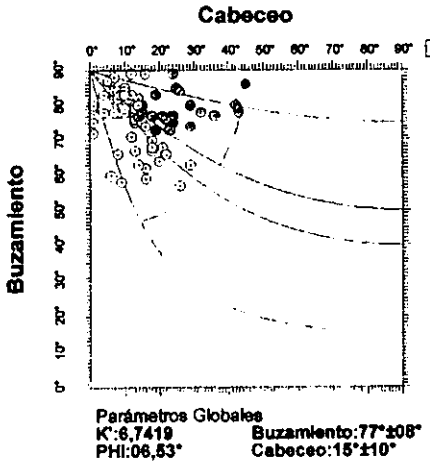
Estación: Curda
Coordenadas U.T.M. (metros)
X: 438000
Y: 4362600
Z: 772
Litología: Basamento hercínico
Edad: Paleozoico

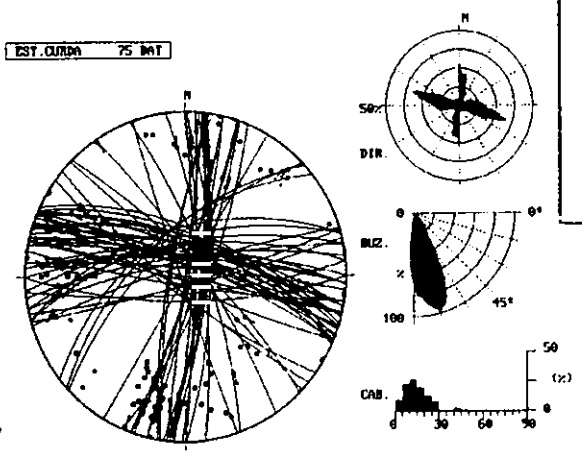
1ª Subpoblación:
Ey: 137°±9°
Buz: 77°±7°
Cab: 16°±10°
s1 25°/321°
s2 64°/129°
s3 04°/229°
R = 0.65
μ = 0.31
F.E. = 51 (54)

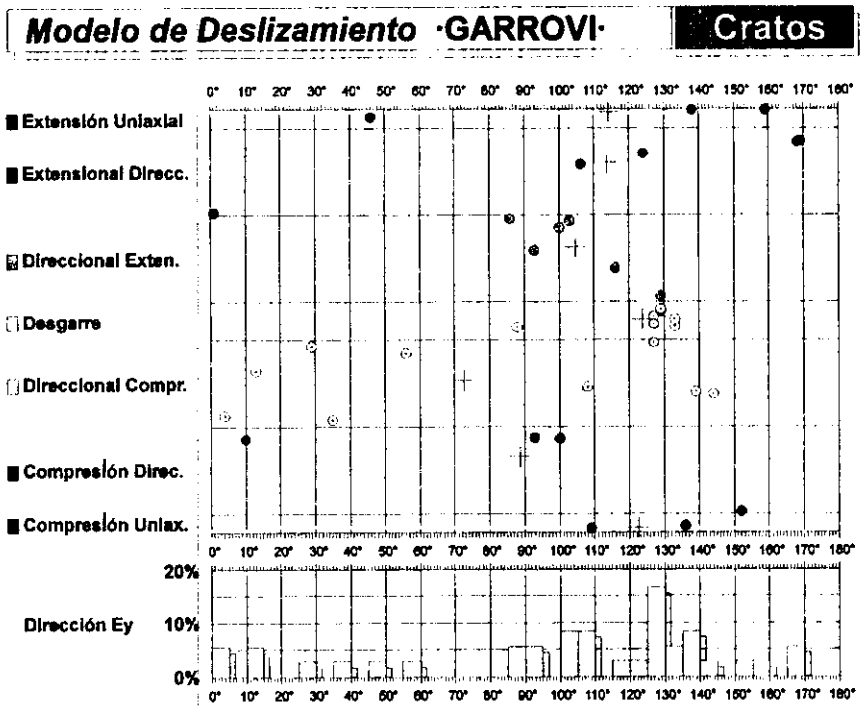
2ª Subpoblación:
Ey: 036°±10°
Buz: 77°±9°
Cab: 14°±8°
s1 10°/032°
s2 74°/263°
s3 12°/124°
R = 0.72
μ = 0.31
F.E. = 16 (21)

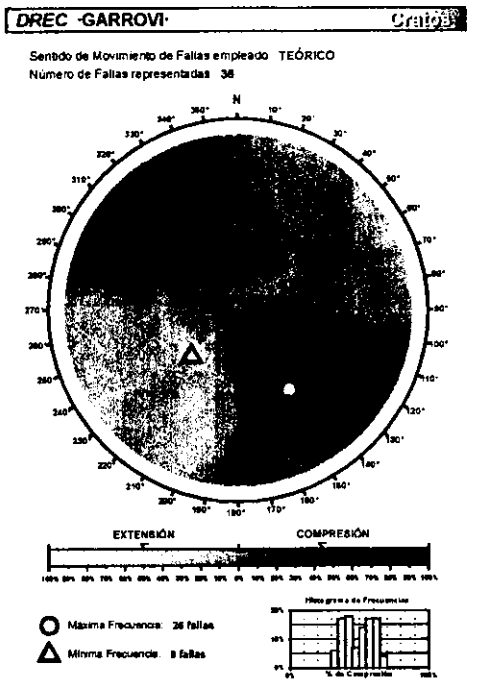
Trazas cicloográficas e histogramas del azimut, buzamiento y cabeceo









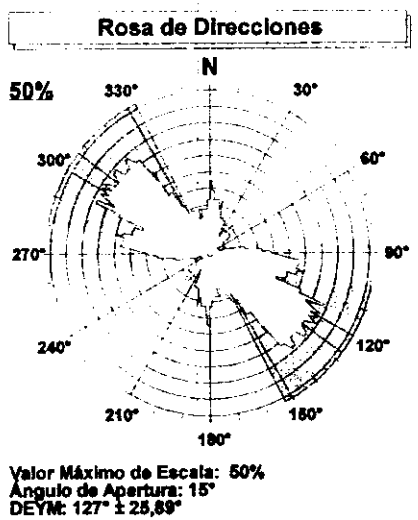


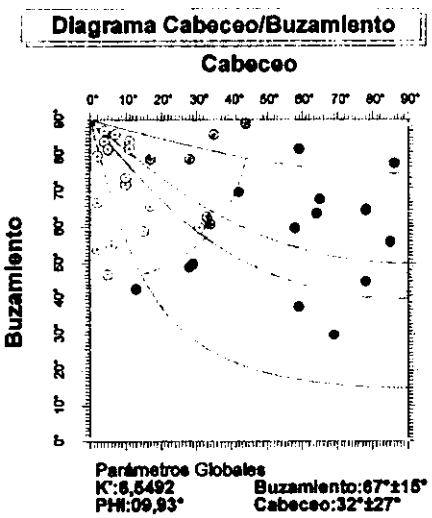
Trazas ciclográficas e histogramas del azimut, buzamiento y cabeceo

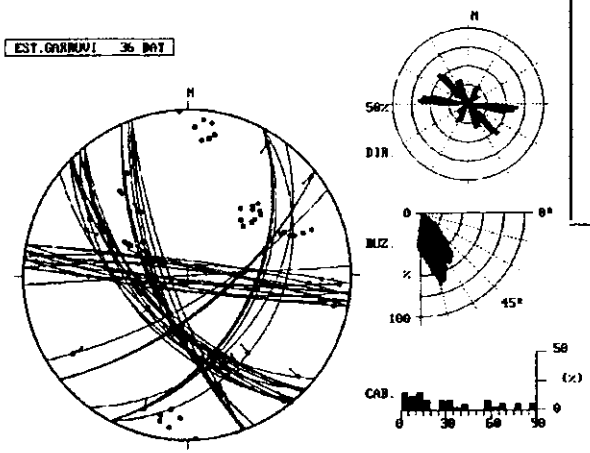
Estación: Garrovi
Coordenadas U.T.M. (metros)
X: 200300
Y: 4400100
Z: 254
Litología: Carbonatos
Edad: Jurásico

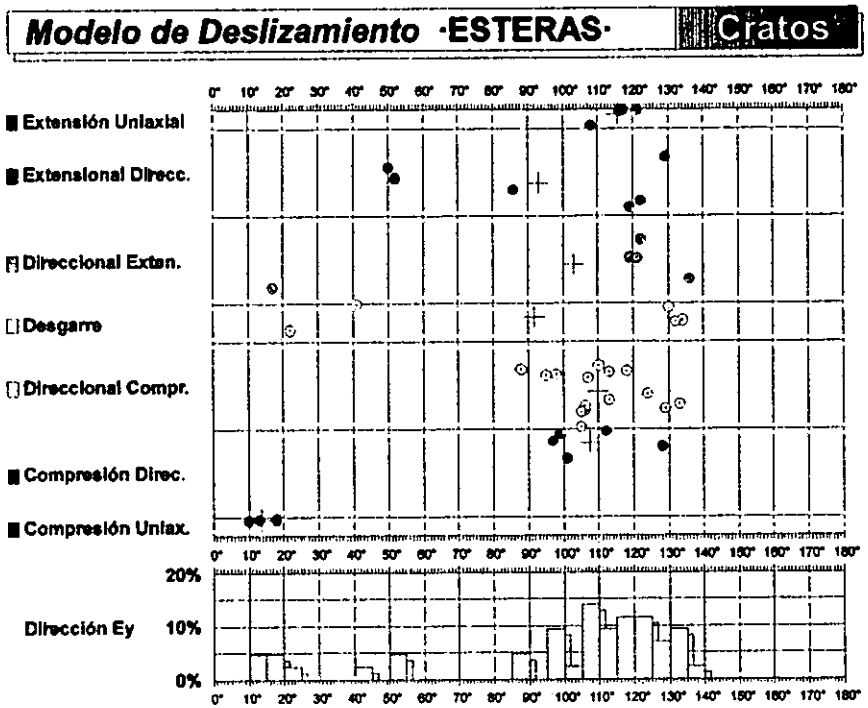
1ª Subpoblación:
Ey: 123°±13°
Buz: 68°±16°
Cab: 34°±27°
s1 23°/129°
s2 61°/343°
s3 13°/225°
R = 0.48
μ = 0.31
F.E. = 15 (28)

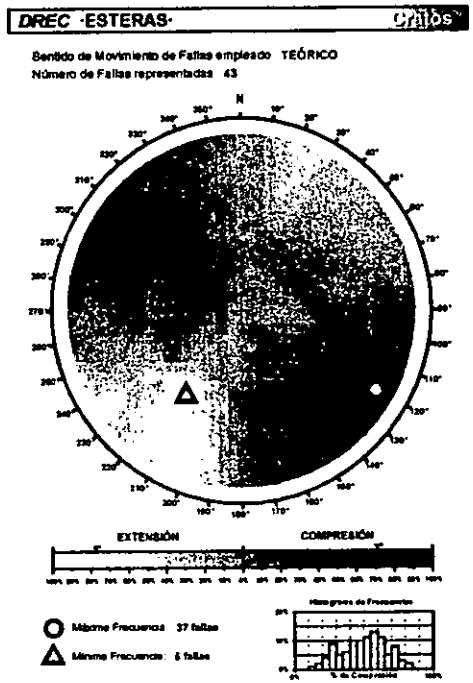
2ª Subpoblación:
Ey: 024°±9°
Buz: 61°±10°
Cab: 25°±24°
s1 57°/198°
s2 30°/353°
s3 11°/089°
R = 0.08
μ = 1.11
F.E. = 5 (8)







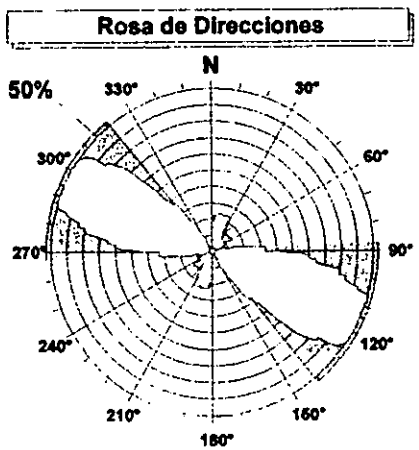


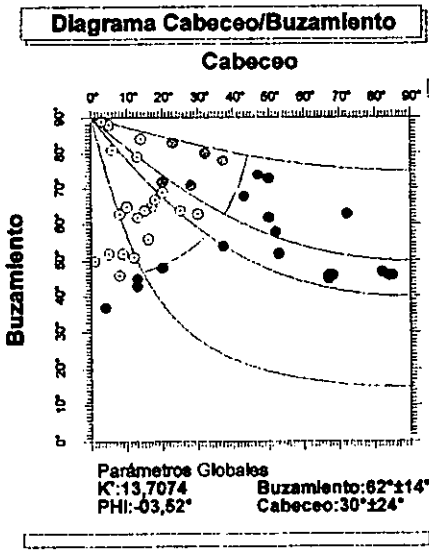


Estación: Esteras
Coordenadas U.T.M. (metros)
X: 344200
Y: 4308000
Z: 460
Litología: Basamento hercínico
Edad: Paleozoico

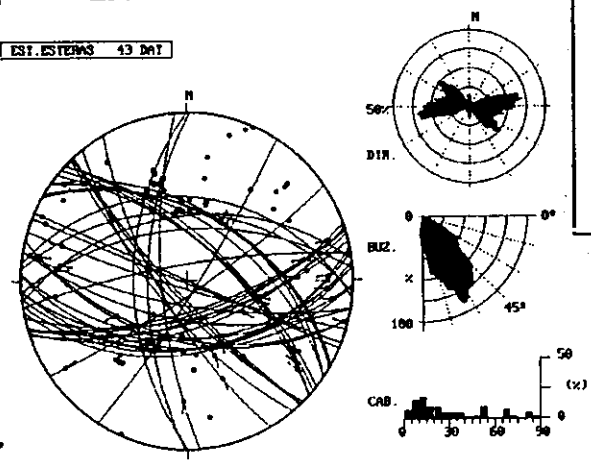
1ª Subpoblación:
Ey: 114°±7°
Buz: 61°±13°
Cab: 27°±24°
s1 01°/123°
s2 76°/027°
s3 13°/213°
R = 0.34
μ = 0.40
F.E. = 30 (35)

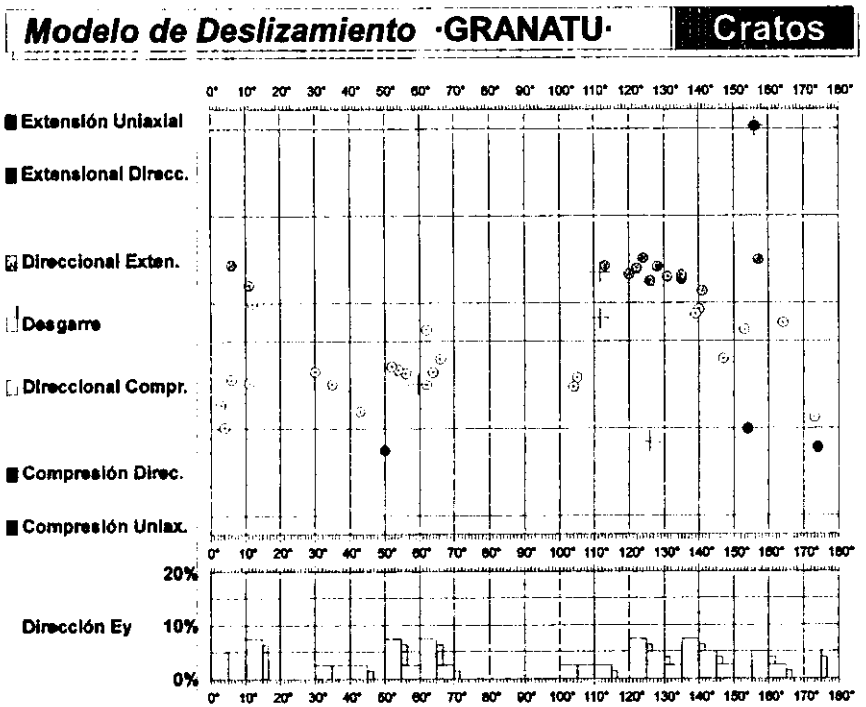
2ª Subpoblación:
Ey: 027°±7°
Buz: 62°±15°
Cab: 43°±24°
s1 83°/186°
s2 06°/019°
s3 01°/288°
R = 0.58
μ = 0.31
F.E. = 5 (8)

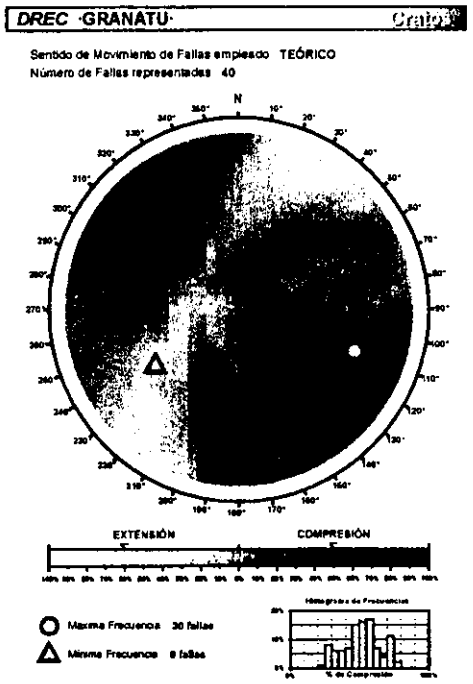




Trazas ciclográficas e histogramas del azimut, buzamiento y cabeceo





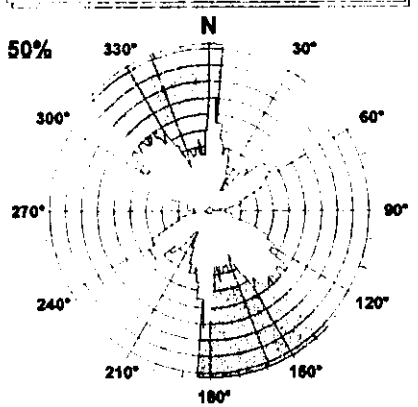


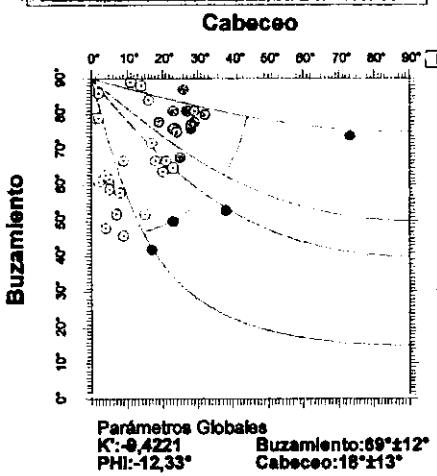
Trazas ciclográficas e histogramas del azimut, buzamiento y cabeceo

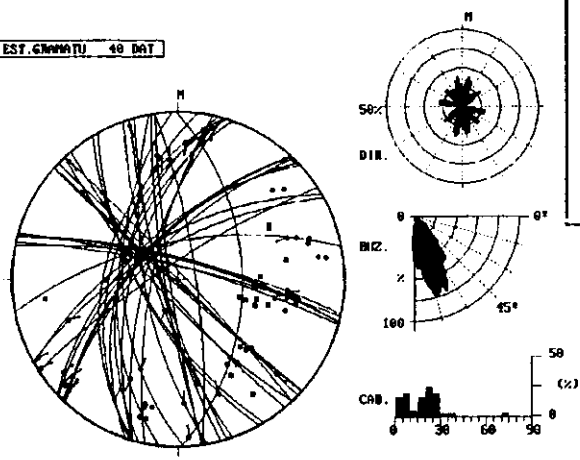
Estación: Granatu
Coordenadas U.T.M. (metros)
X: 436400
Y: 4296000
Z: 740
Litología: Basamento hercínico
Edad: Paleozoico

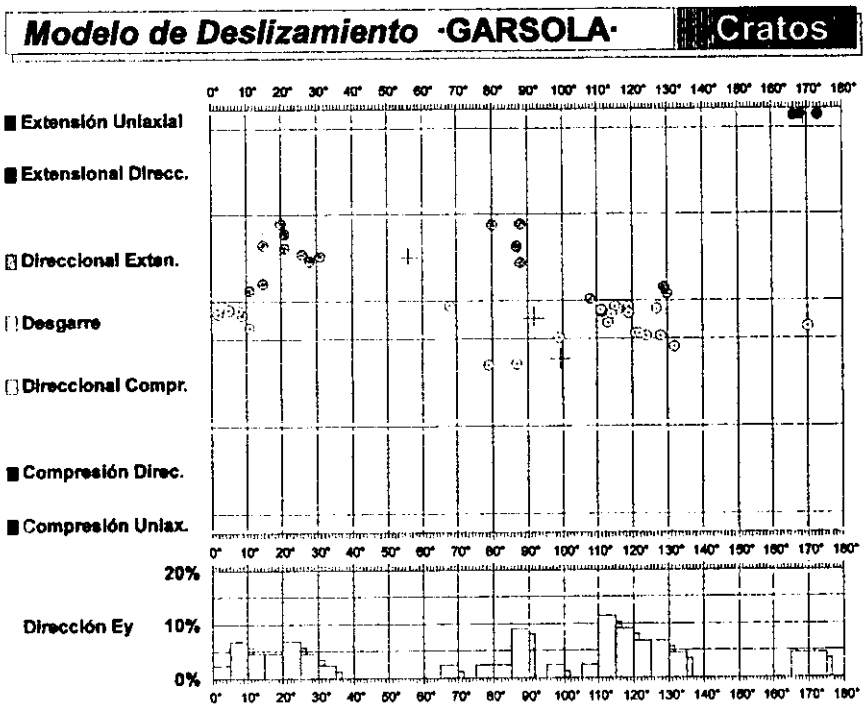
1ª Subpoblación:	
Ey: 135°±10°	Ey: 135°±10°
Buz: 76°±9°	Buz: 76°±9°
Cab: 24°±14°	Cab: 24°±14°
s1 19°/302°	s1 69°/333°
s2 69°/139°	s2 20°/154°
s3 05°/034°	s3 00°/064°
R = 0.58	R = 0.78
μ = 0.31	μ = 0.50
F.E. = 14 (20)	F.E. = 5 (20)

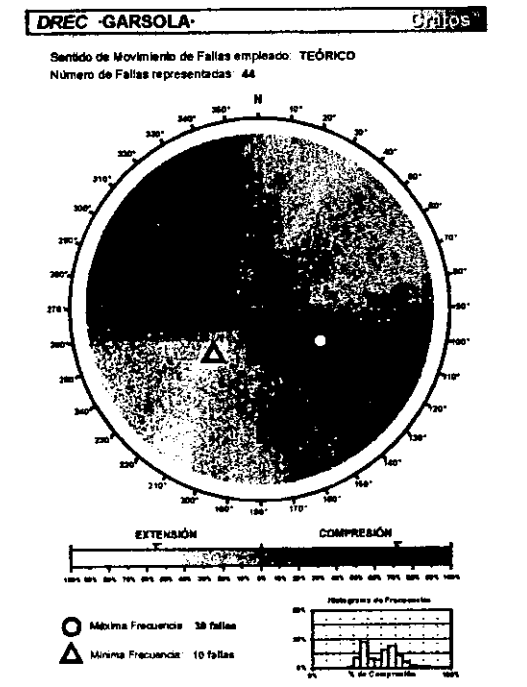
2ª Subpoblación:	
Ey: 031°±10°	Ey: 031°±10°
Buz: 62°±11°	Buz: 62°±11°
Cab: 13°±10°	Cab: 13°±10°
s1 09°/250°	s1 07°/357°
s2 62°/359°	s2 70°/110°
s3 25°/156°	s3 17°/265°
R = 0.74	R = 0.13
μ = 0.31	μ = 0.50
F.E. = 11 (20)	F.E. = 6 (20)









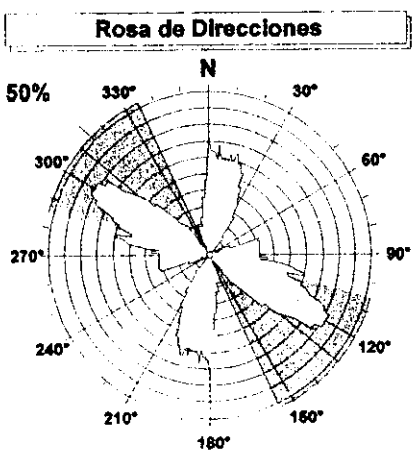


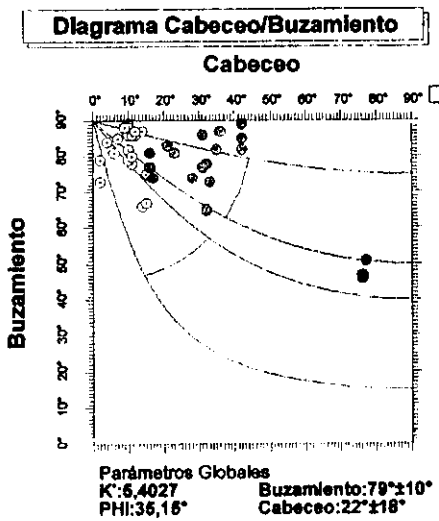
Estación: Garsola
Coordenadas U.T.M. (metros)
X: 311400
Y: 4336000
Z: 361
Litología: Basamento hercínico
Edad: Paleozoico

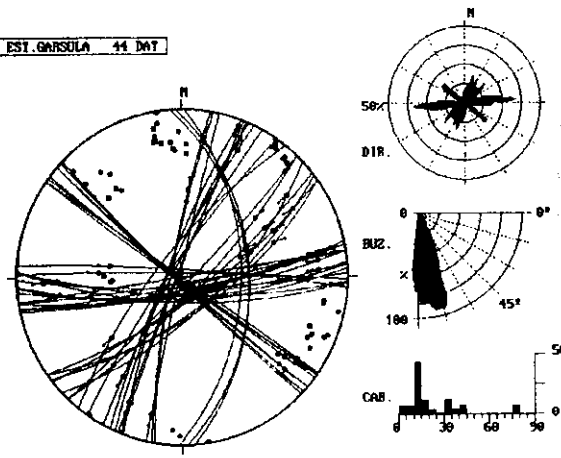
1ª Subpoblación:
Ey: 110°±10°
Buz: 81°±6°
Cab: 16°±10°
s1 54°/112°
s2 34°/277°
s3 06°/012°
R = 0.61
μ = 0.31
F.E. = 20 (26)

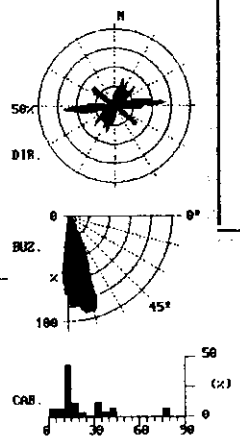
2ª Subpoblación:
Ey: 010°±8°
Buz: 75°±13°
Cab: 31°±23°
s1 58°/007°
s2 31°/188°
s3 00°/097°
R = 0.60
μ = 0.61
F.E. = 17 (18)

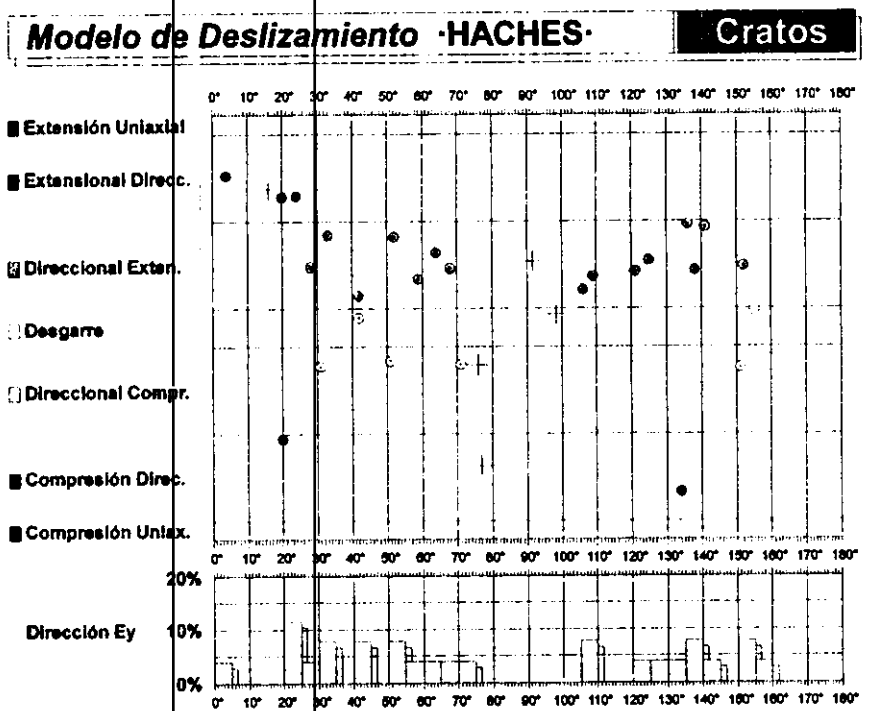
Trazas ciclográficas e histogramas del azimut, buzamiento y cabeceo

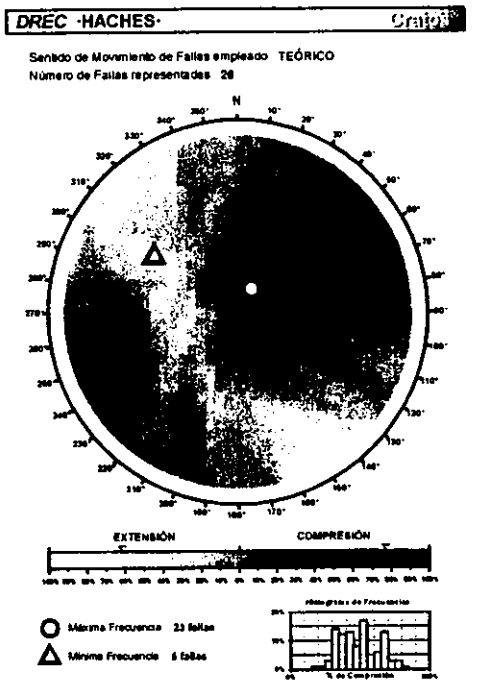










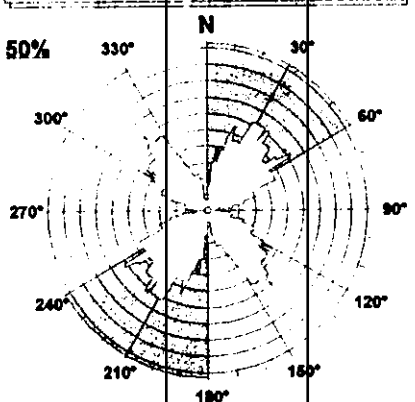


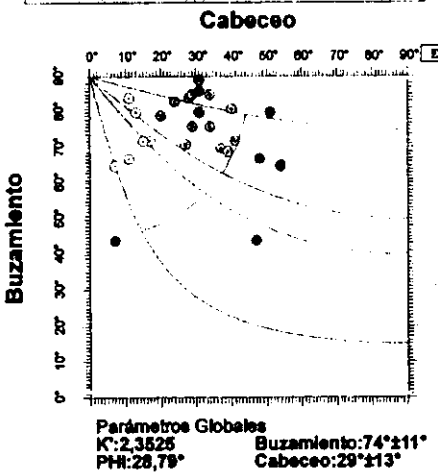
Trazas ciclográficas e histogramas del azimut, buzamiento y cabeceo

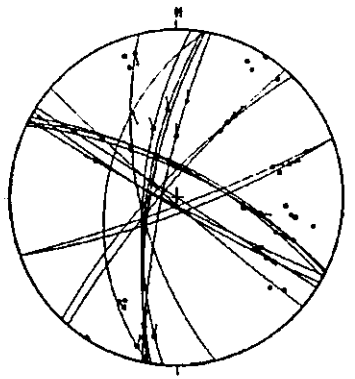
Estación: Haches
Coordenadas U.T.M. (metros)
X: 572000
Y: 4272200
Z: 1100
Litología: Carbonatos
Edad: Jurásico

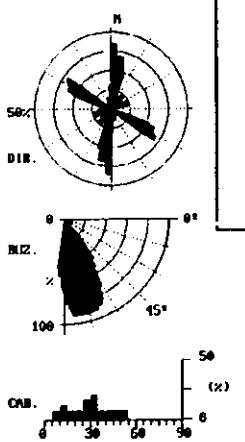
1ª Subpoblación:
Ey: 134°±9°
Buz: 75°±13°
Cab: 29°±11°
s1 11°/119°
s2 78°/318°
s3 03°/210°
R = 0.47
μ = 0.40
F.E. = 10 (11)

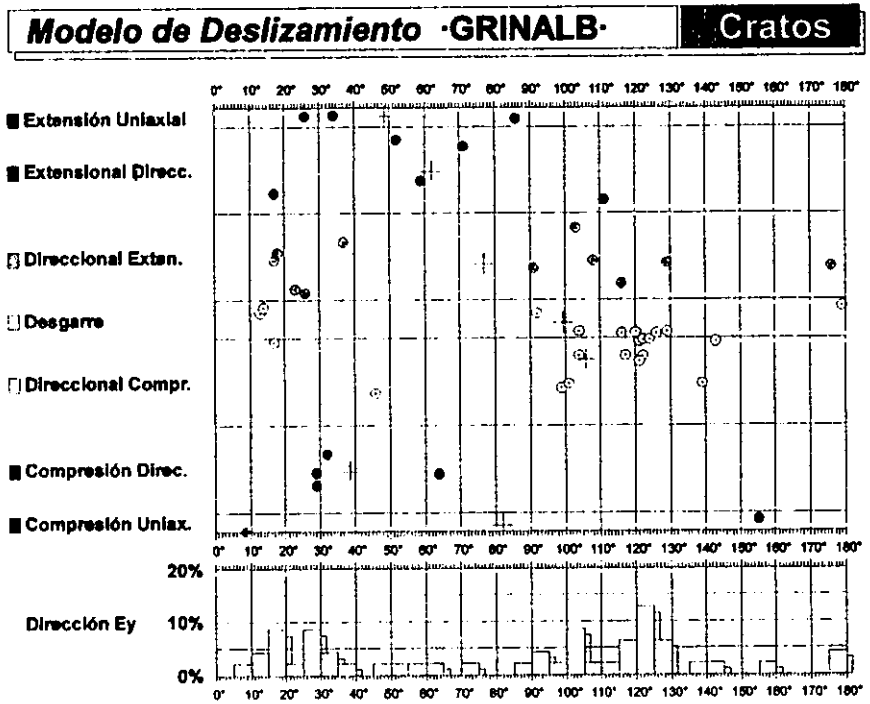
2ª Subpoblación:
Ey: 041°±10°
Buz: 73°±10°
Cab: 29°±15°
s1 57°/052°
s2 31°/238°
s3 02°/146°
R = 0.67
μ = 0.31
F.E. = 15 (15)

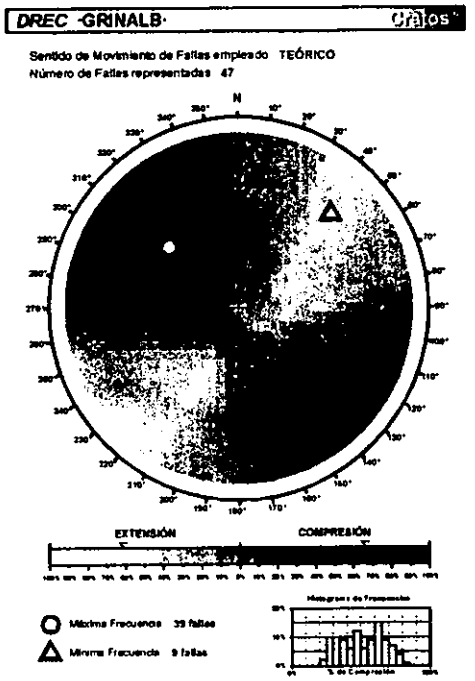










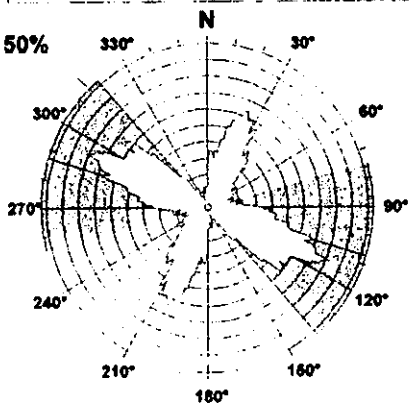


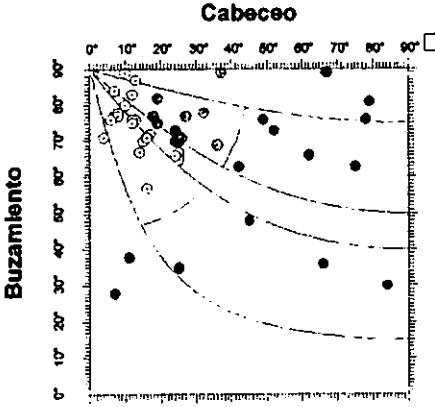
Estación: Grinalb
Coordenadas U.T.M. (metros)
X: 219800
Y: 4420600
Z: 324
Litología: Dique básico
Edad: Jurásico

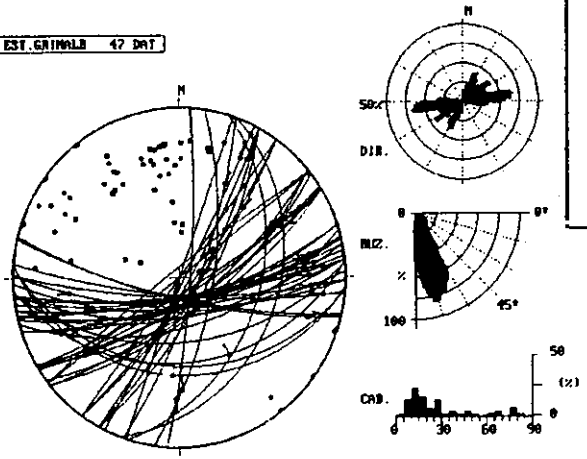
1ª Subpoblación:
Ey: 116°±10°
Buz: 71°±9°
Cab: 22°±17°
s1 18°/118°
s2 66°/256°
s3 14°/023°
R = 0.78
μ = 0.31
F.E. = 17 (25)

2ª Subpoblación:
Ey: 028°±12°
Buz: 68°±19°
Cab: 35°±25°
s1 22°/016°
s2 66°/182°
s3 05°/283°
R = 0.77
μ = 0.31
F.E. = 14 (22)

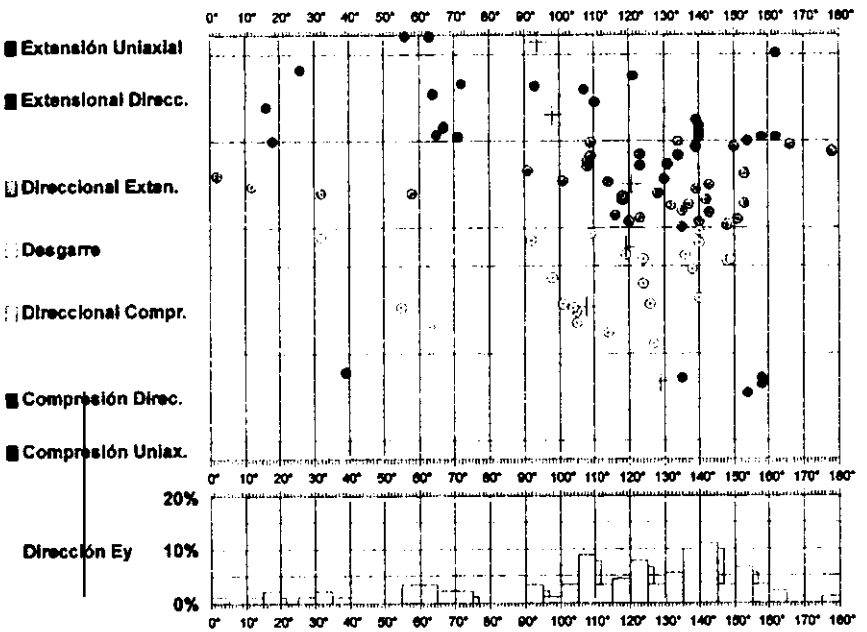
Trazas ciclográficas e histogramas del azimut, buzamiento y cabeceo

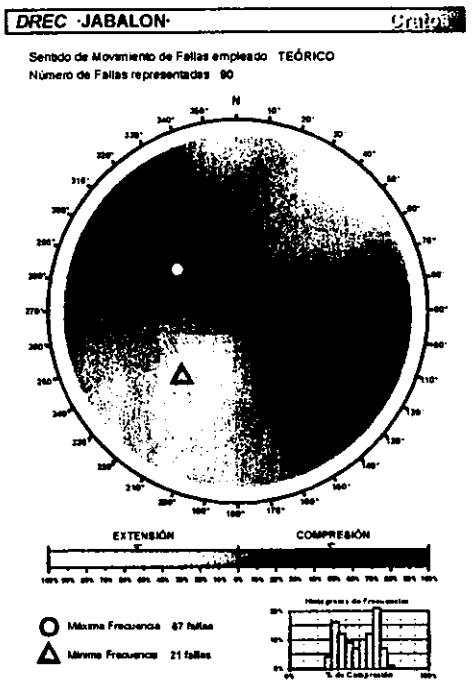






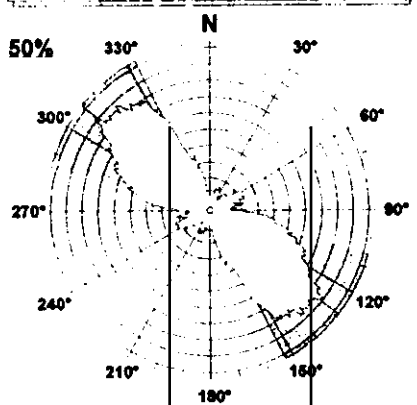
Modelo de Deslizamiento ·JABALON· Cratos





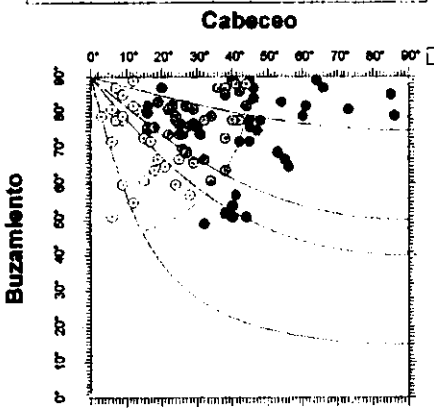
Trazas ciclográficas e histogramas del azimut, buzamiento y cabeceo

Rosa de Direcciones

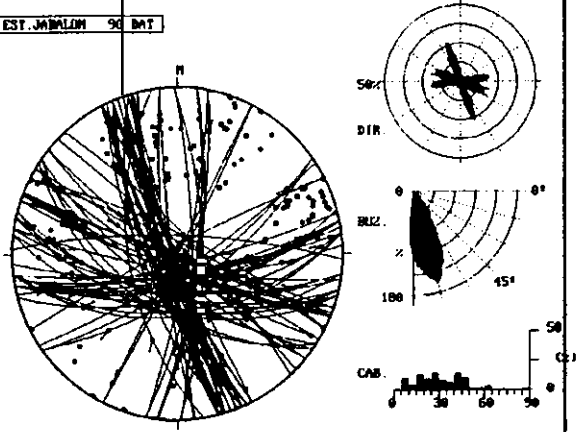


Valor Máximo de Escala: 50%
Ángulo de Apertura: 15°
DEYM: 129° ± 23,55°

Diagrama Cabeceo/Buzamiento



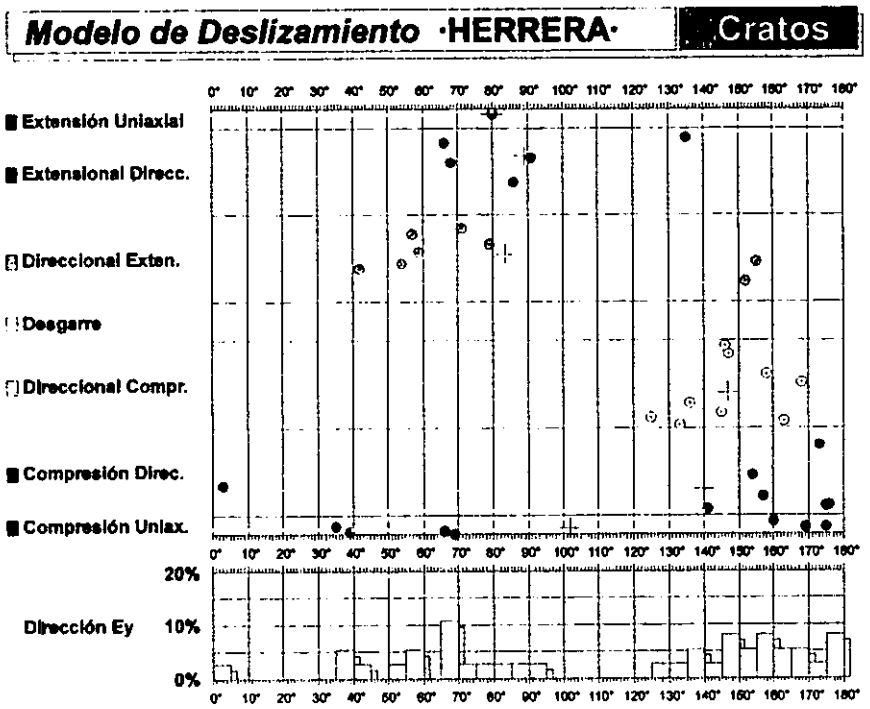
Parámetros Globales
K':3,6802 Buzamiento:75°±10°
PHI:36,36° Cabeceo:32°±18°

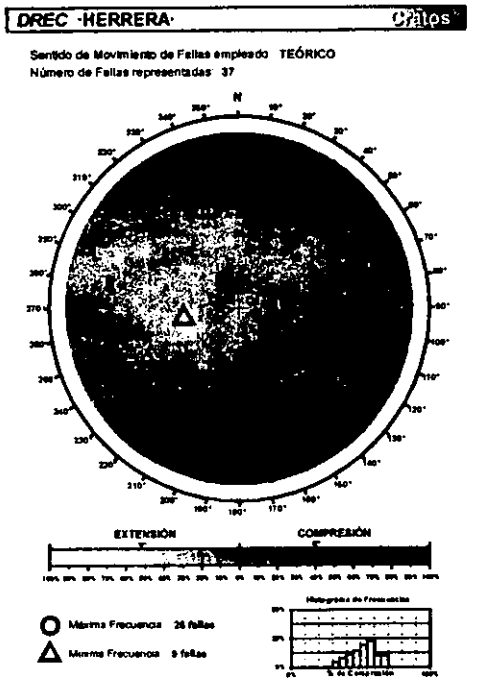


Estación: Jabalon
Coordenadas U.T.M. (metros)
X: 432500
Y: 4291900
Z: 700
Litología: Colada lávica
Edad: Mioceno sup.-Pleistoceno inf.

1ª Subpoblación:	
Ey: 130°±10°	Ey: 130°±10°
Buz: 75°±10°	Buz: 75°±10°
Cab: 29°±15°	Cab: 29°±15°
s1 48°/140°	s1 82°/272°
s2 40°/304°	s2 06°/127°
s3 07°/041°	s3 04°/036°
R = 0.75	R = 0.61
μ = 0.31	μ = 0.31
F.E. = 46 (71)	F.E. = 7 (71)
Ey: 130°±10°	Ey: 130°±10°
Buz: 75°±10°	Buz: 75°±10°
Cab: 29°±15°	Cab: 29°±15°
s1 60°/060°	s1 00°/332°
s2 28°/223°	s2 84°/237°
s3 07°/317°	s3 05°/062°
R = 0.46	R = 0.86
μ = 0.31	μ = 0.40
F.E. = 10 (71)	F.E. = 6 (71)

2ª Subpoblación:	
Ey: 044°±11°	Ey: 044°±11°
Buz: 75°±10°	Buz: 75°±10°
Cab: 44°±20°	Cab: 44°±20°
s1 84°/036°	s1 54°/229°
s2 05°/219°	s2 24°/099°
s3 00°/129°	s3 24°/357°
R = 0.46	R = 0.22
μ = 0.31	μ = 0.81
F.E. = 12 (19)	F.E. = 5 (19)



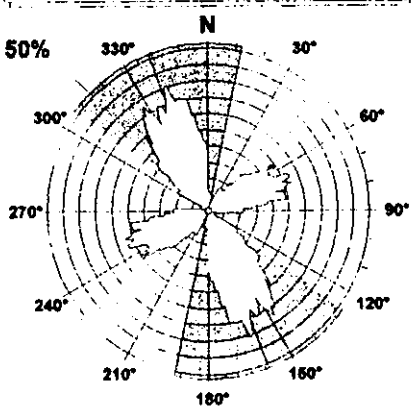


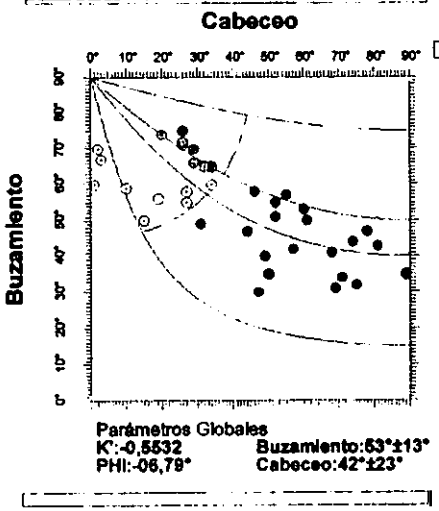
Estación: Herrera
Coordenadas U.T.M. (metros)
X: 475600
Y: 4320100
Z: 700
Litología: Carbonatos
Edad: Jurásico

1ª Subpoblación:
Ey: 064°±10°
Buz: 56°±13°
Cab: 52°±22°
s1 01°/249°
s2 77°/154°
s3 12°/340°
R = 0.71
μ = 0.40
F.E. = 13 (15)

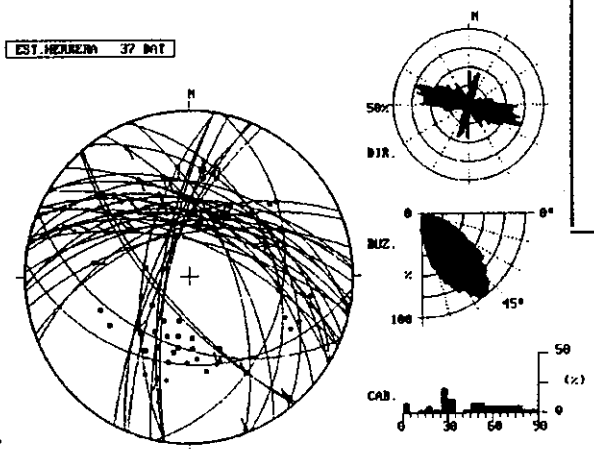
2ª Subpoblación:

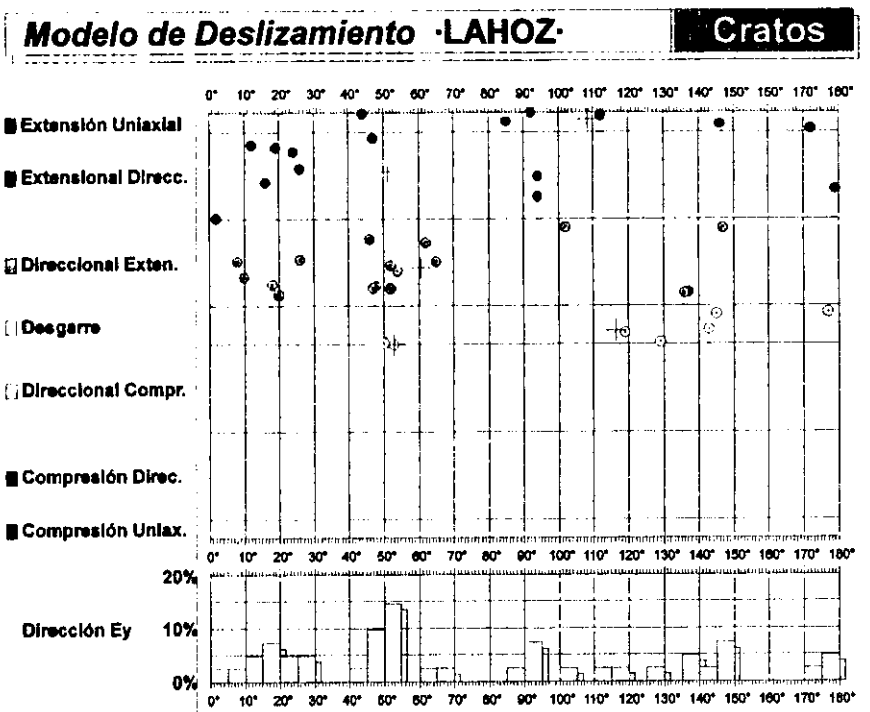
Ey: 156°±9°	Ey: 156°±9°
Buz: 51°±13°	Buz: 51°±13°
Cab: 36°±22°	Cab: 36°±22°
s1 03°/344°	s1 07°/333°
s2 75°/086°	s2 18°/065°
s3 13°/253°	s3 69°/221°
R = 0.25	R = 0.11
μ = 0.31	μ = 0.91
F.E. = 16 (22)	F.E. = 5 (22)

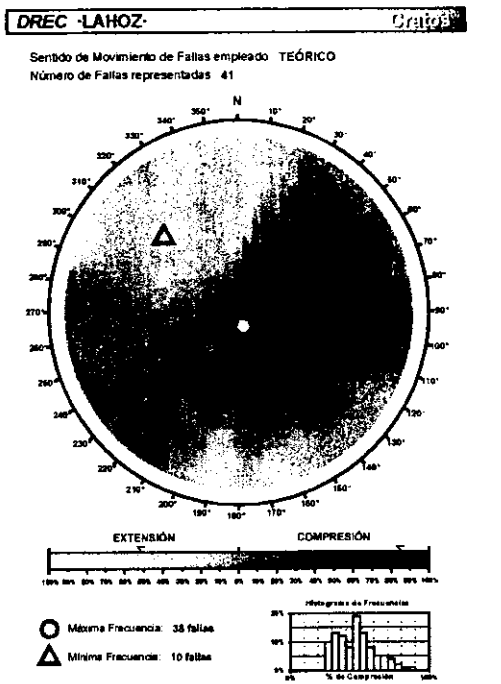




Trazas ciclográficas e histogramas del azimut, buzamiento y cabeceo





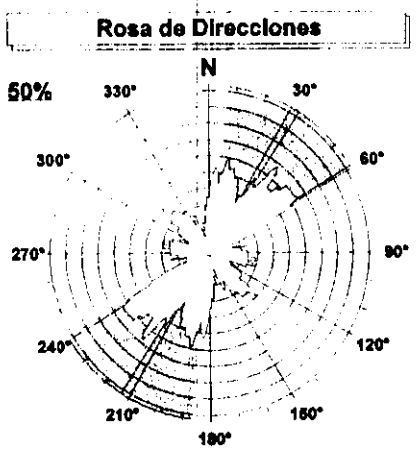


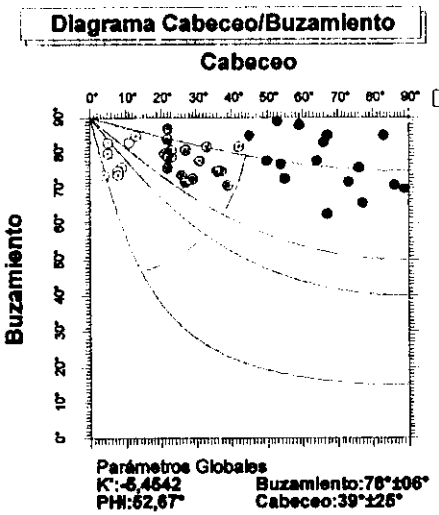
Trazas ciclográficas e histogramas del azimut, buzamiento y cabeceo

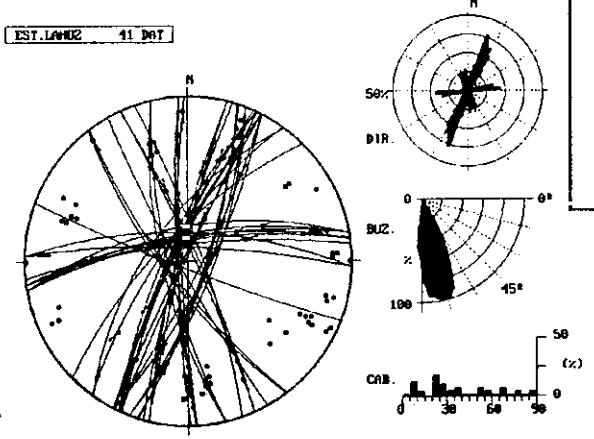
Estación: Lahoz
Coordenadas U.T.M. (metros)
X: 548600
Y: 4282000
Z: 1050
Litología: Carbonatos
Edad: Jurásico

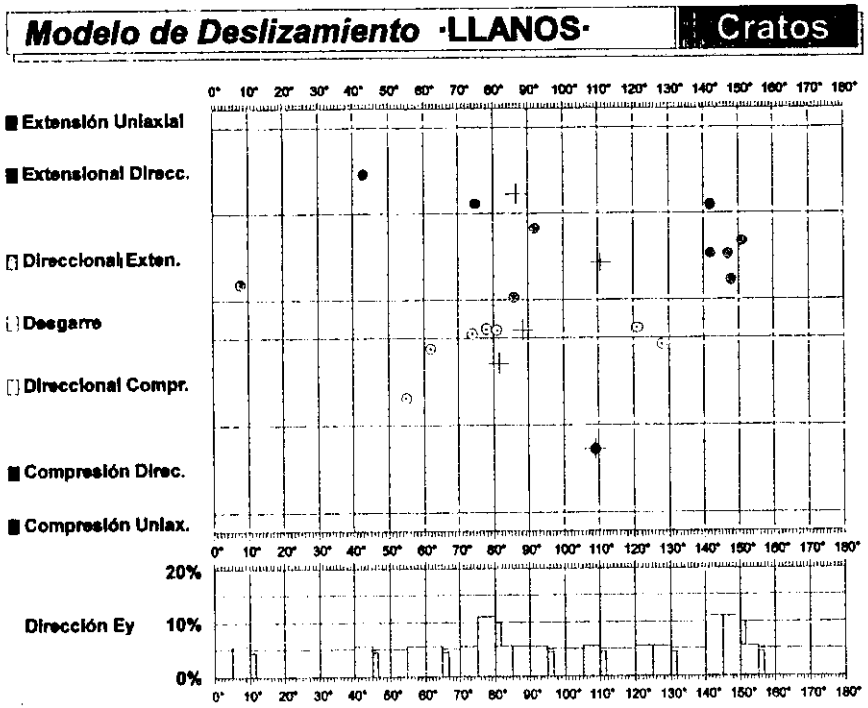
1ª Subpoblación:
Ey: 121°±9°
Buz: 78°±6°
Cab: 41°±30°
s1 78°/326°
s2 09°/115°
s3 05°/206°
R = 0.19
μ = 1.31
F.E. = 11 (14)

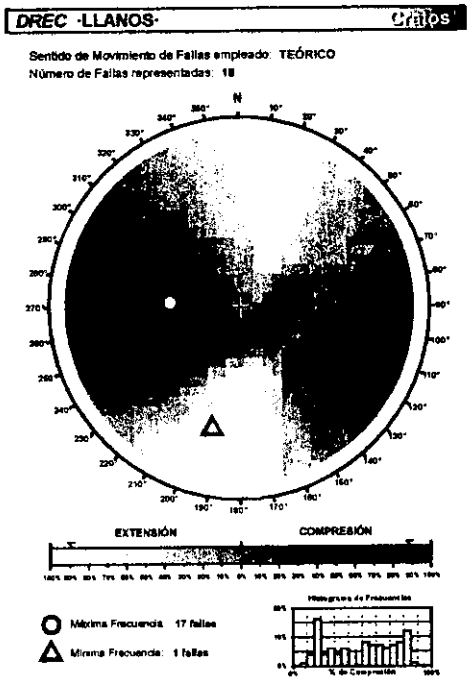
2ª Subpoblación:
Ey: 032°±9°
Buz: 78°±6°
Cab: 38°±22°
s1 85°/014°
s2 03°/219°
s3 01°/129°
R = 0.34
μ = 0.31
F.E. = 20 (27)









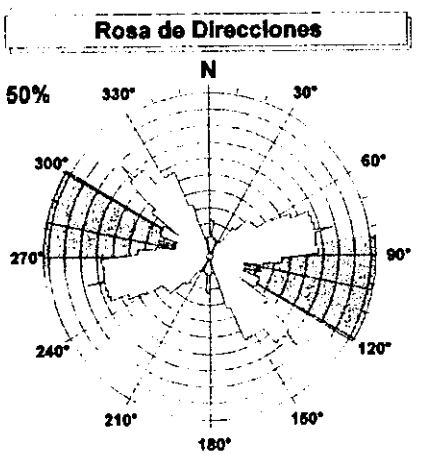


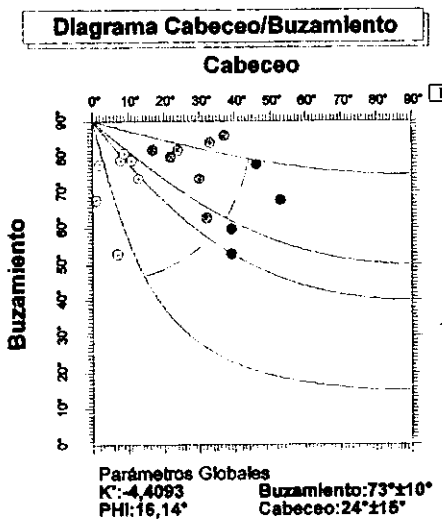
Estación: Llanos
Coordenadas U.T.M. (metros)
X: 518000
Y: 4371900
Z: 716
Litología: Carbonatos
Edad: Jurásico

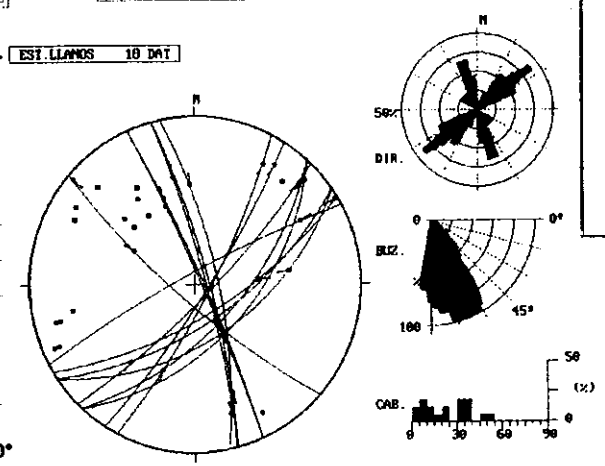
1ª Subpoblación:
Ey: 069°±17°
Buz: 71°±10°
Cab: 20°±16°
s1 54°/209°
s2 24°/080°
s3 24°/338°
R = 0.50
μ = 0.31
F.E. = 8 (10)

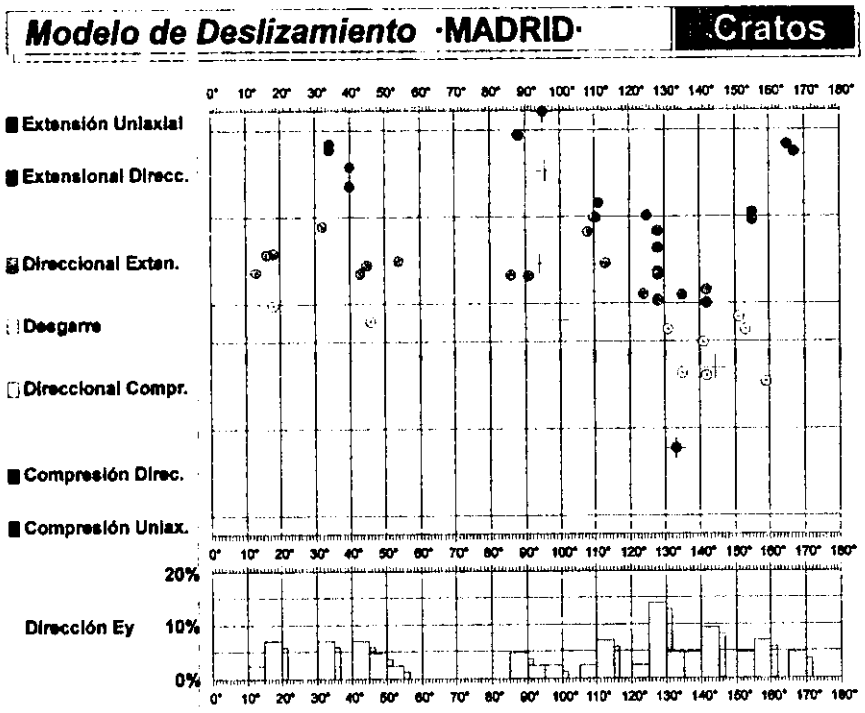
2ª Subpoblación:
Ey: 137°±7°
Buz: 76°±10°
Cab: 28°±14°
s1 --°/---°
s2 --°/---°
s3 --°/---°
R = ---
μ = ---
F.E. = 0 (8)

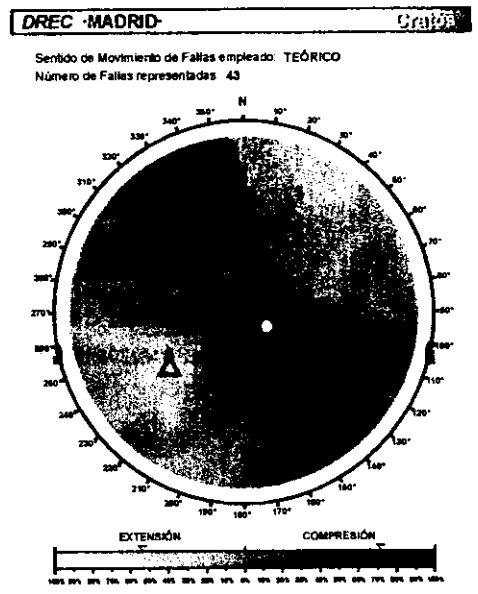
Trazas ciclográficas e histogramas del azimut, buzamiento y cabeceo











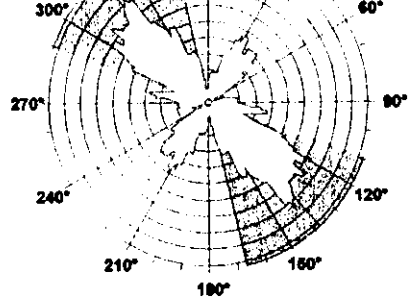
Trazas ciclográficas e histogramas del azimut, buzamiento y cabeceo

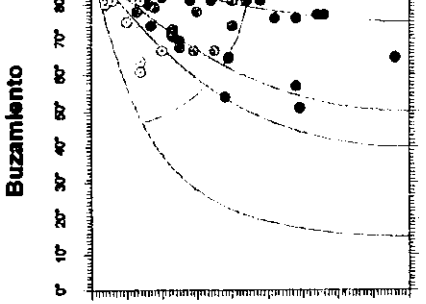
Estación: Madrid
Coordenadas U.T.M. (metros)
X: 456000
Y: 4377560
Z: 790
Litología: Basamento hercínico
Edad: Paleozoico

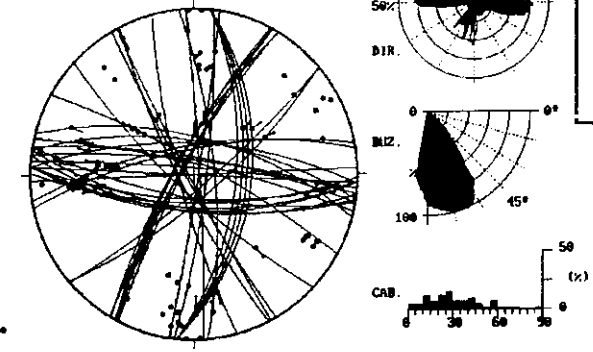
1ª Subpoblación:

Ey: 131°±14°	Ey: 131°±14°
Buz: 74°±10°	Buz: 74°±10°
Cab: 31°±19°	Cab: 31°±19°
s1 86°/161°	s1 02°/341°
s2 02°/300°	s2 74°/081°
s3 02°/030°	s3 15°/250°
R = 0.61	R = 0.55
μ = 0.31	μ = 0.31
F.E. = 17 (30)	F.E. = 8 (30)

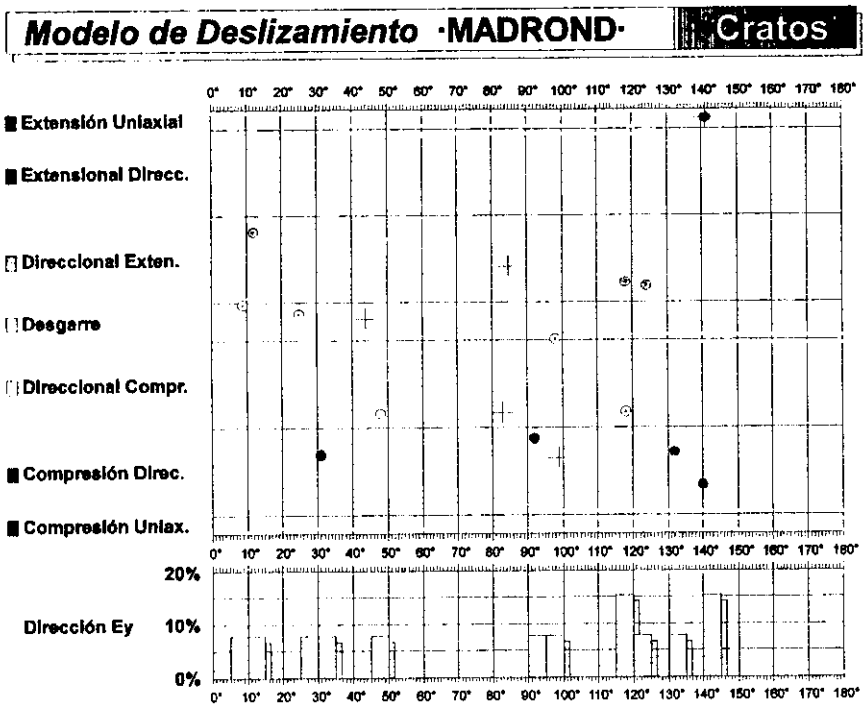
2ª Subpoblación:
Ey: 033°±7°
Buz: 77°±5°
Cab: 36°±18°
s1 85°/250°
s2 03°/028°
s3 02°/118°
R = 0.68
μ = 0.40
F.E. = 13 (13)

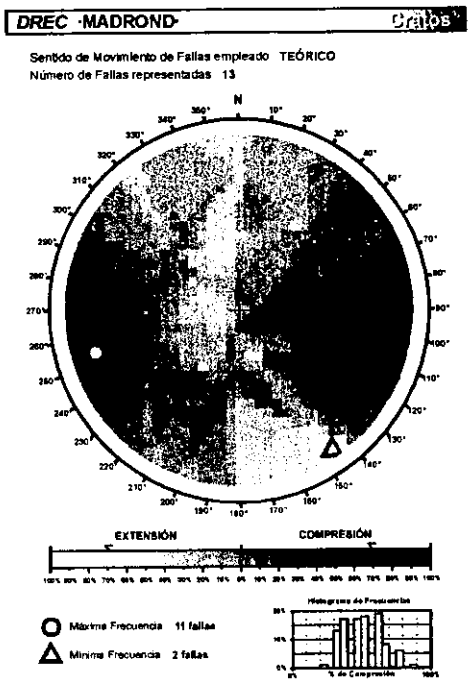






FACULTAD DE CIENCIAS GEOLÓGICAS - BIBLIOTECA -



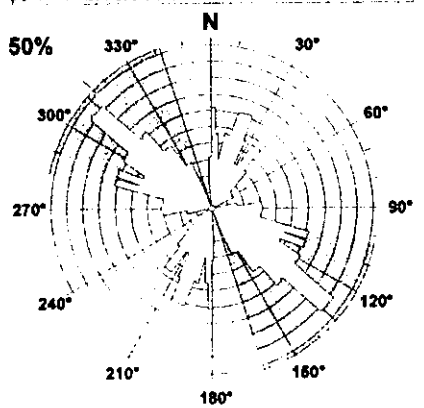


Estación: Madrond
Coordenadas U.T.M. (metros)
X: 189300
Y: 4388600
Z: 370
Litología: Dique básico
Edad: Jurásico

1ª Subpoblación:
Ey: 121°±10°
Buz: 62°±14°
Cab: 33°±21°
s1 06°/130°
s2 53°/229°
s3 35°/035°
R = 0.15
μ = 0.61
F.E. = 7 (8)

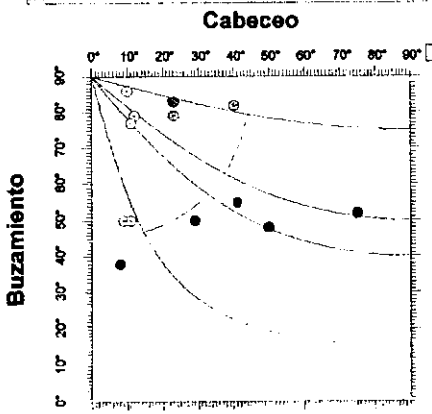
2ª Subpoblación:
Ey: 025°±9°
Buz: 67°±19°
Cab: 16°±12°
s1 19°/022°
s2 69°/222°
s3 06°/115°
R = 0.11
μ = 0.31
F.E. = 5 (5)

Rosa de Direcciones



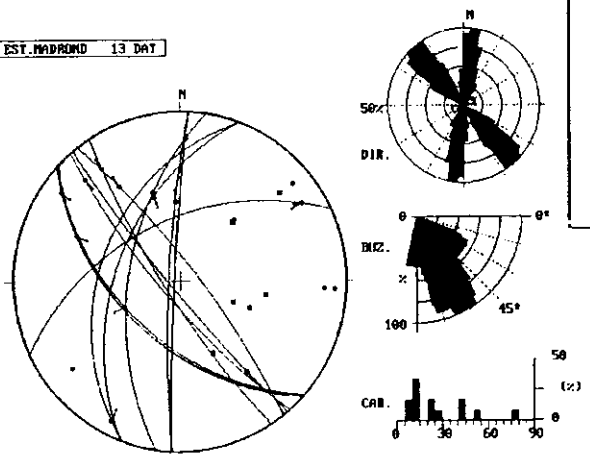
Valor Máximo de Escala: 50%
Ángulo de Apertura: 15°
DEYM: 132° ± 30,49°

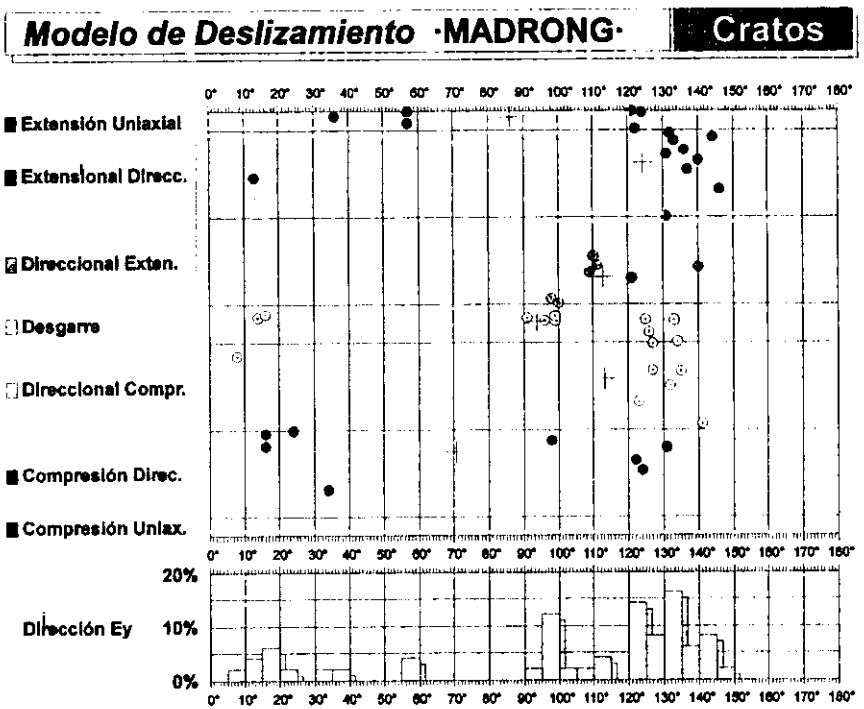
Diagrama Cabeceo/Buzamiento

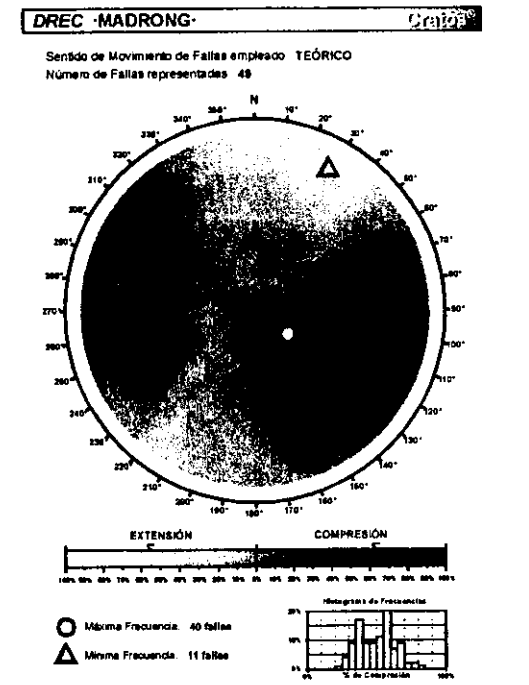


Parámetros Globales
K':3,3670 Buzamiento:64°±16°
PHI:-06,10° Cabeceo:26°±19°

Trazas ciclográficas e histogramas del azimut, buzamiento y cabeceo





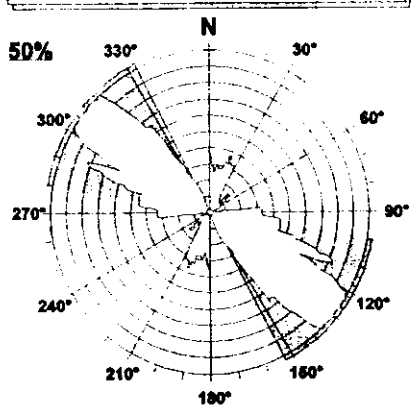


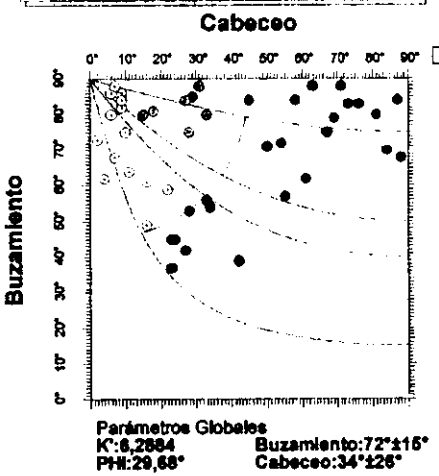
Estación: Madrong
Coordenadas U.T.M. (metros)
X: 189300
Y: 4388600
Z: 370
Litología: Basamento hercínico
Edad: Paleozoico

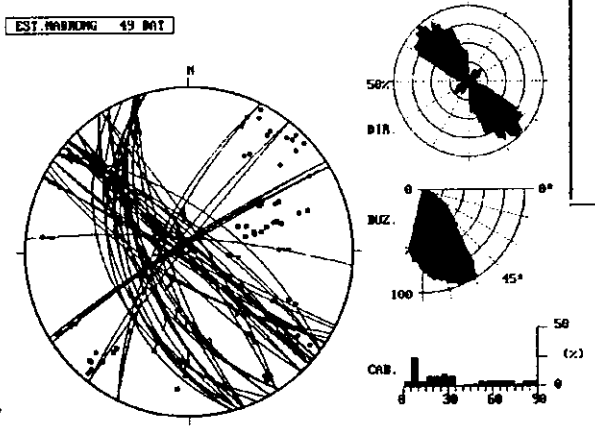
1ª Subpoblación:	
Ey: 123°±9°	Ey: 123°±9°
Buz: 73°±14°	Buz: 73°±14°
Cab: 32°±25°	Cab: 32°±25°
s1 00°/293°	s1 77°/112°
s2 88°/058°	s2 09°/333°
s3 00°/203°	s3 07°/242°
R = 0.69	R = 0.31
μ = 0.31	μ = 0.61
F.E. = 27 (38)	F.E. = 9 (38)

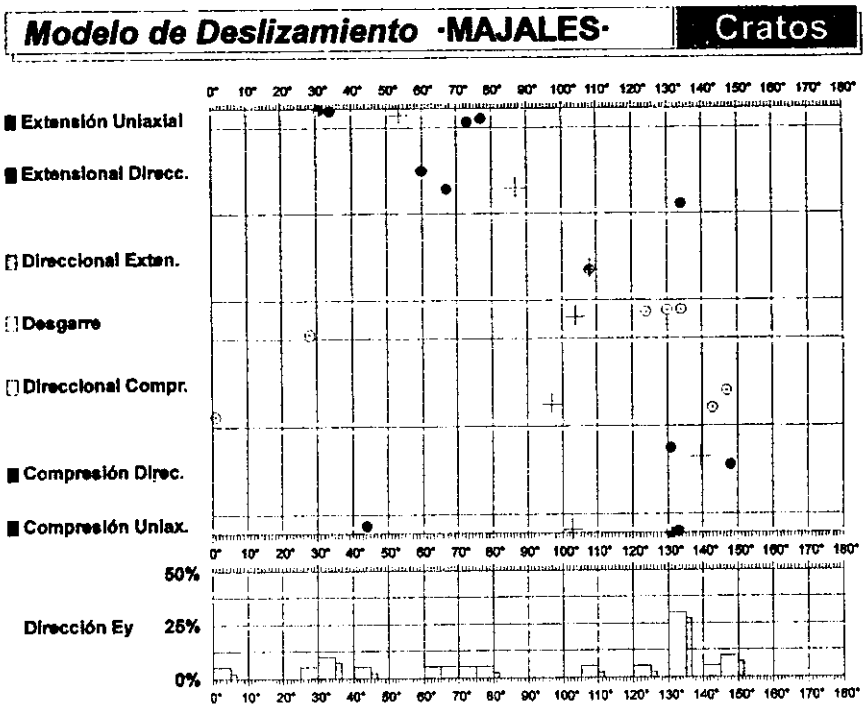
2ª Subpoblación:
Ey: 026°±9°
Buz: 68°±16°
Cab: 41°±28°
s1 --°/---°
s2 --°/---°
s3 --°/---°
R = ---
μ = ---
F.E. = 0 (11)

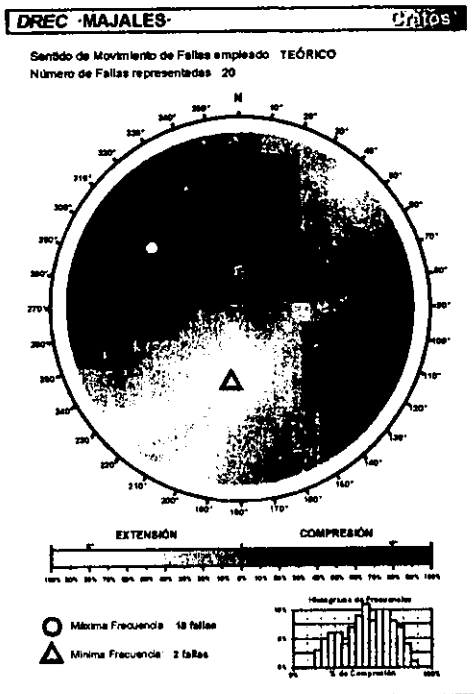
Trazas cicloográficas e histogramas del azimut, buzamiento y cabeceo









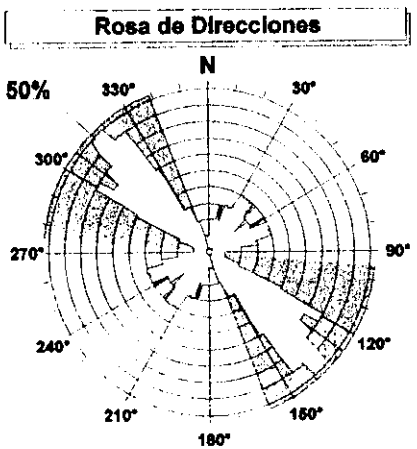


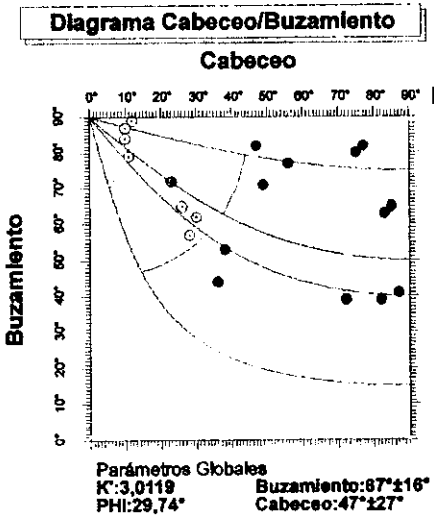
Estación: Majales
Coordenadas U.T.M. (metros)
X: 402375
Y: 4331800
Z: 760
Litología: Basamento hercínico
Edad: Paleozoico

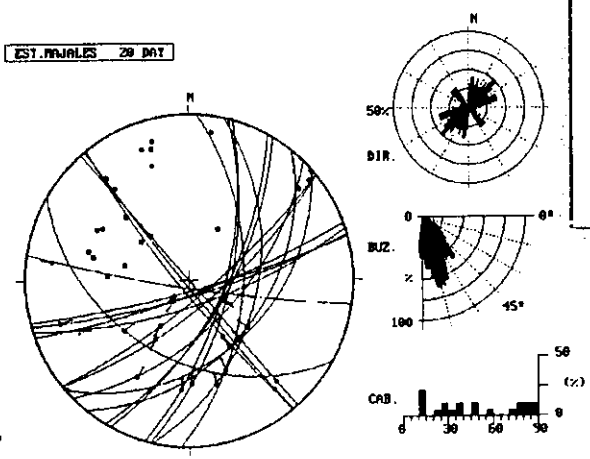
1ª Subpoblación:
Ey: 133°±8°
Buz: 65°±18°
Cab: 36°±25°
s1 01°/306°
s2 71°/042°
s3 17°/216°
R = 0.37
μ = 0.40
F.E. = 11 (11)

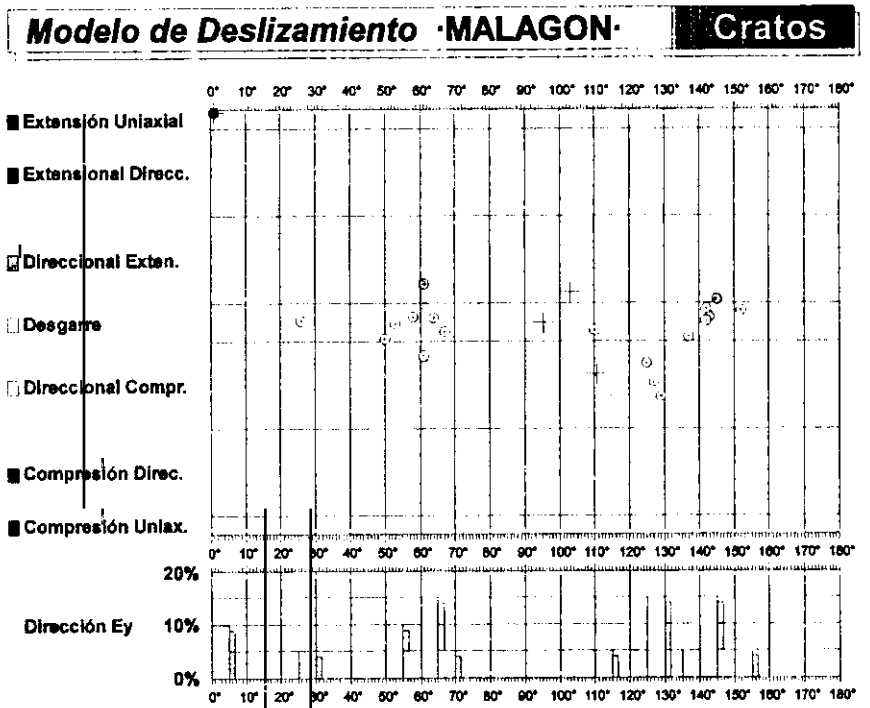
2ª Subpoblación:
Ey: 047°±12°
Buz: 68°±13°
Cab: 60°±24°
s1 62°/088°
s2 27°/276°
s3 03°/184
R = 0.04
μ = 0.40
F.E. = 5 (9)

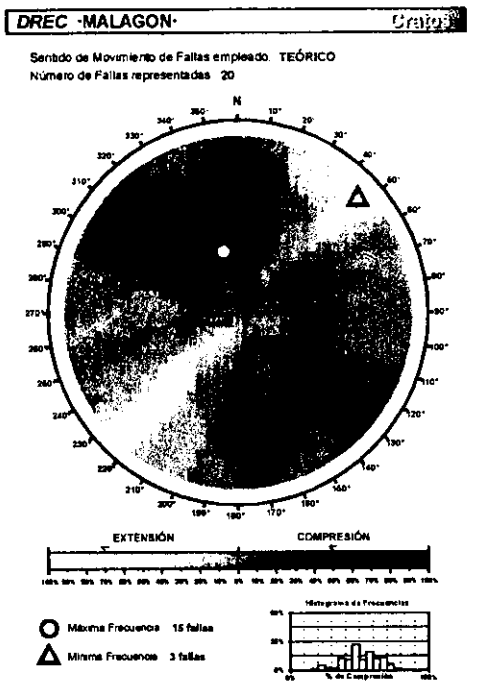
Trazas ciclográficas e histogramas del azimut, buzamiento y cabeceo











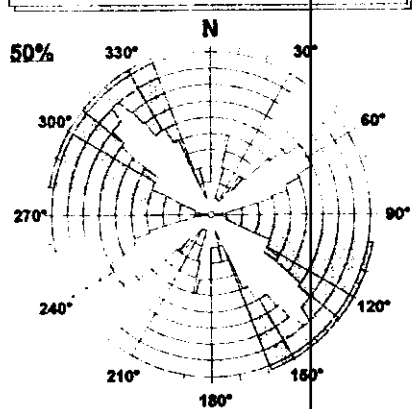
Estación: Malagon
Coordenadas U.T.M. (metros)
X: 428100
Y: 4339800
Z: 640
Litología: Basamento hercínico
Edad: Paleozoico

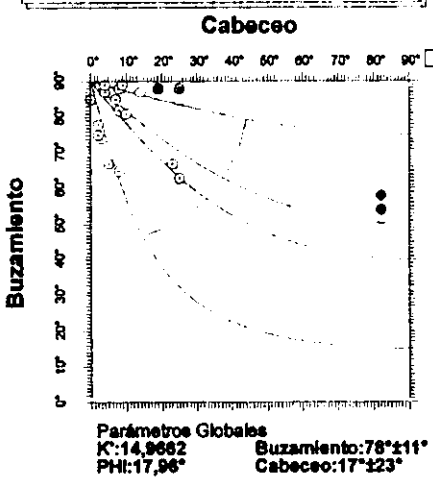
1ª Subpoblación:
Ey: 135°±7°
Buz: 78°±9°
Cab: 12°±8°
s1 09°/322°
s2 79°/120°
s3 03°/231°
R = 0.45
μ = 0.31
F.E. = 10 (10)

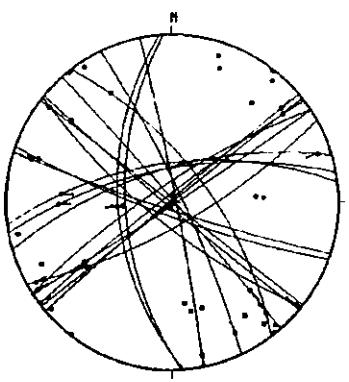
2ª Subpoblación:

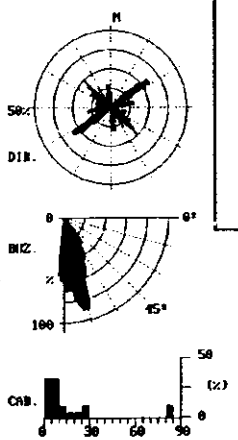
Ey: 048°±15°	Ey: 048°±15°
Buz: 77°±12°	Buz: 77°±12°
Cab: 22°±31°	Cab: 22°±31°
s1 89°/354°	s1 06°/057°
s2 00°/257°	s2 81°/279°
s3 00°/167°	s3 05°/148°
R = 0.32	R = 0.45
μ = 0.40	μ = 0.31
F.E. = 5 (10)	F.E. = 5 (10)

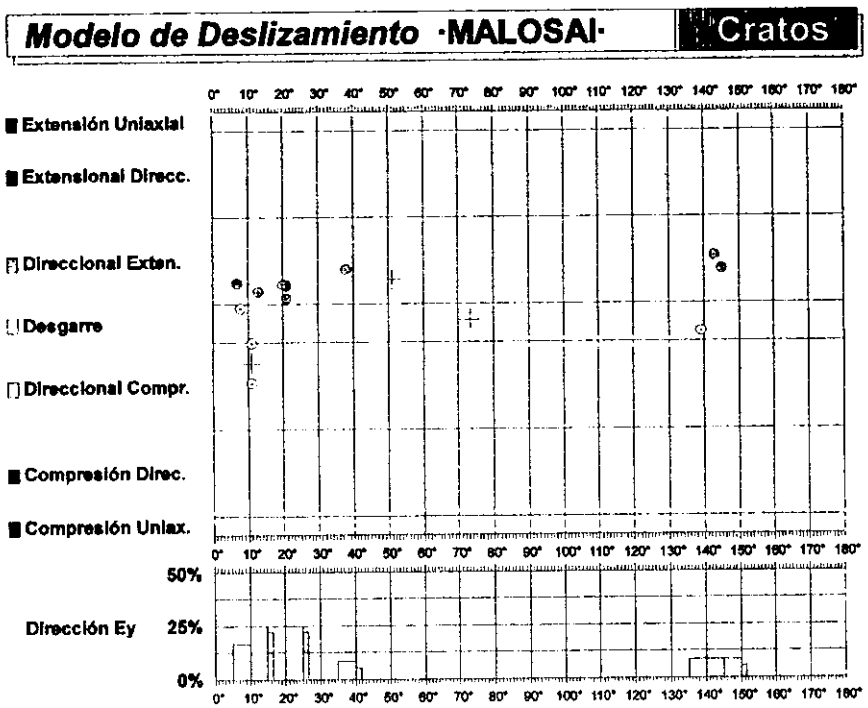
Trazas ciclográficas e histogramas del azimut, buzamiento y cabeceo

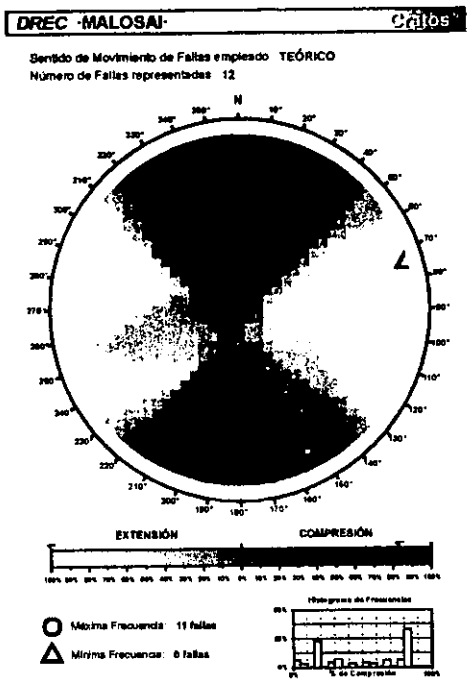










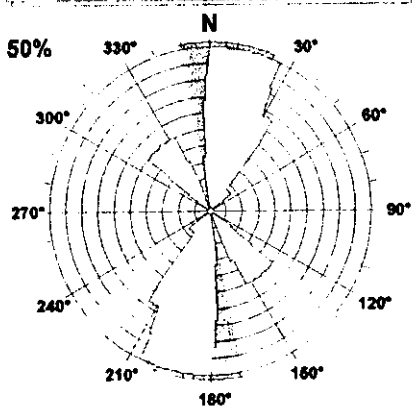


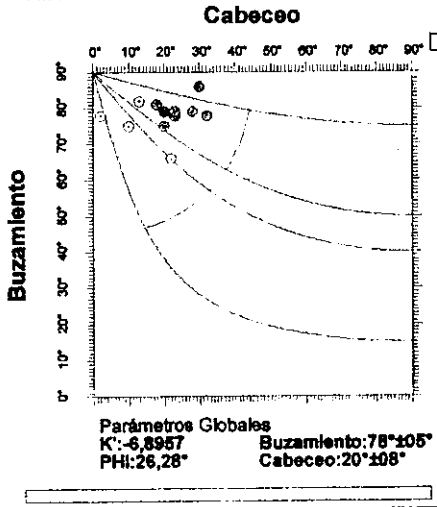
Estación: Malosai
Coordenadas U.T.M. (metros)
X: 409800
Y: 4309600
Z: 655
Litología: Carbonatos
Edad: Pleistoceno medio-superior

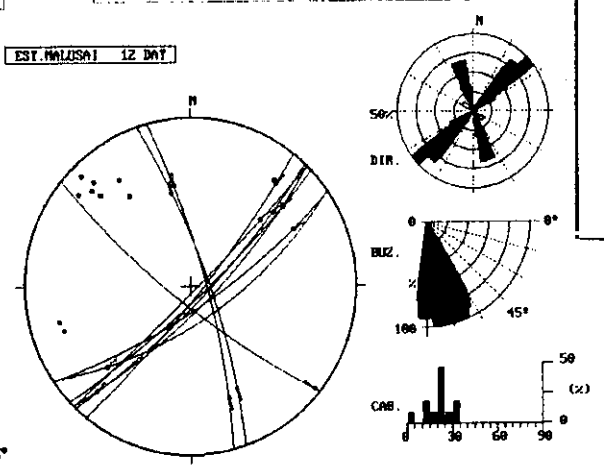
1ª Subpoblación:
Ey: 142°±2°
Buz: 78°±0°
Cab: 21°±13°
s1 --°/---°
s2 --°/---°
s3 --°/---°
R = ---
μ = ---
F.E. = 0 (3)

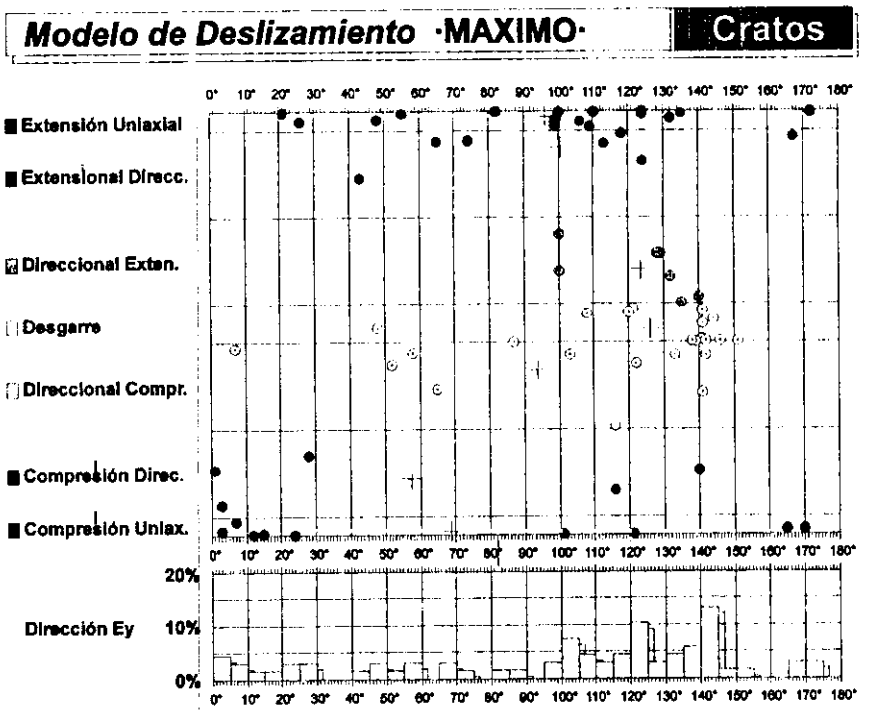
2ª Subpoblación:
Ey: 016°±6°
Buz: 78°±5°
Cab: 20°±6°
s1 70°/009°
s2 19°/194°
s3 01°/103°
R = 0.88
μ = 0.31
F.E. = 7 (9)

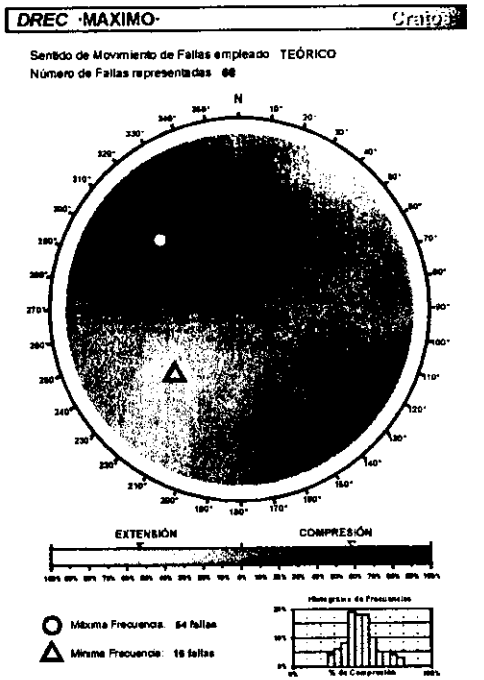
Trazas ciclográficas e histogramas del azimut, buzamiento y cabeceo









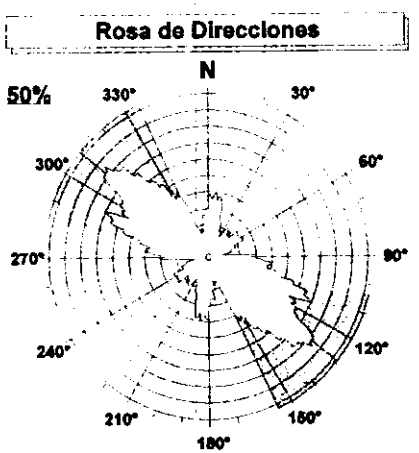


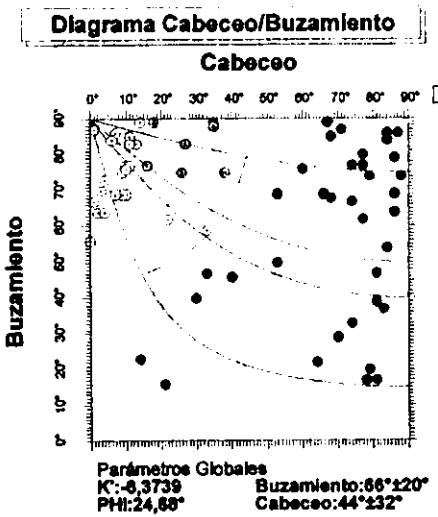
Estación: Maximo
Coordenadas U.T.M. (metros)
X: 474200
Y: 4317200
Z: 690
Litología: Carbonatos
Edad: Jurásico

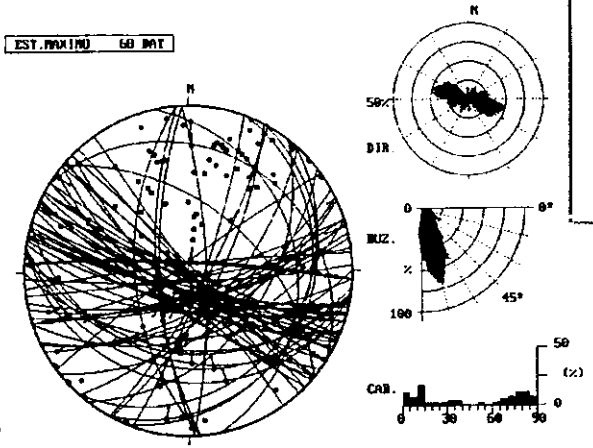
1ª Subpoblación:	
Ey: 123°±9°	Ey: 123°±9°
Buz: 72°±16°	Buz: 72°±16°
Cab: 39°±31°	Cab: 39°±31°
s1 31°/130°	s1 45°/291°
s2 58°/297°	s2 28°/054°
s3 05°/036°	s3 30°/163°
R = 0.69	R = 0.49
μ = 0.31	μ = 0.31
F.E. = 26 (44)	F.E. = 11 (44)

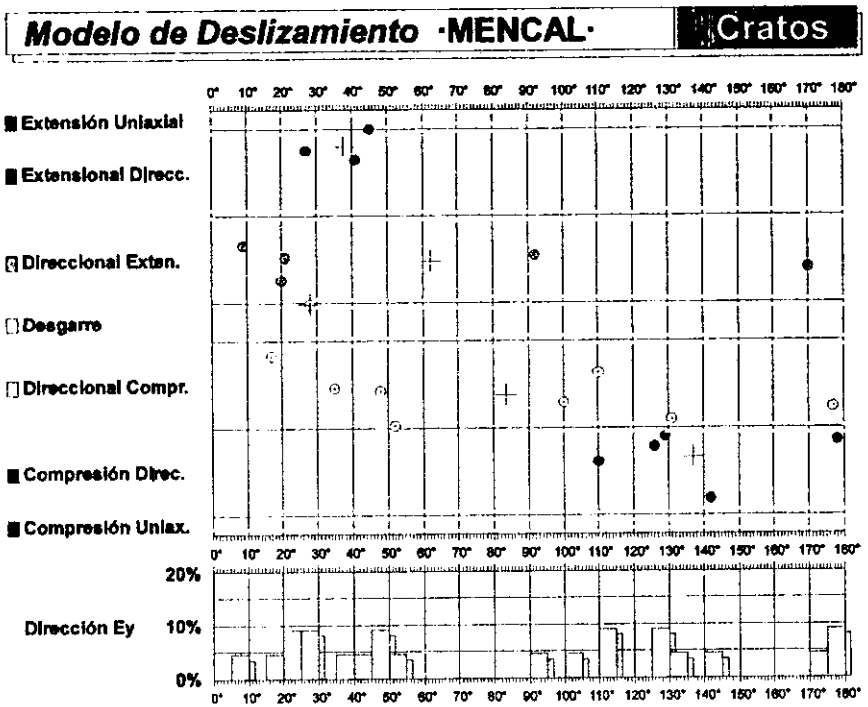
2ª Subpoblación:	
Ey: 024°±14°	Ey: 024°±14°
Buz: 54°±22°	Buz: 54°±22°
Cab: 51°±31°	Cab: 51°±31°
s1 03°/204°	s1 71°/335°
s2 65°/301°	s2 15°/118°
s3 24°/113°	s3 10°/211°
R = 0.45	R = 0.49
μ = 0.31	μ = 0.40
F.E. = 14 (24)	F.E. = 6 (24)

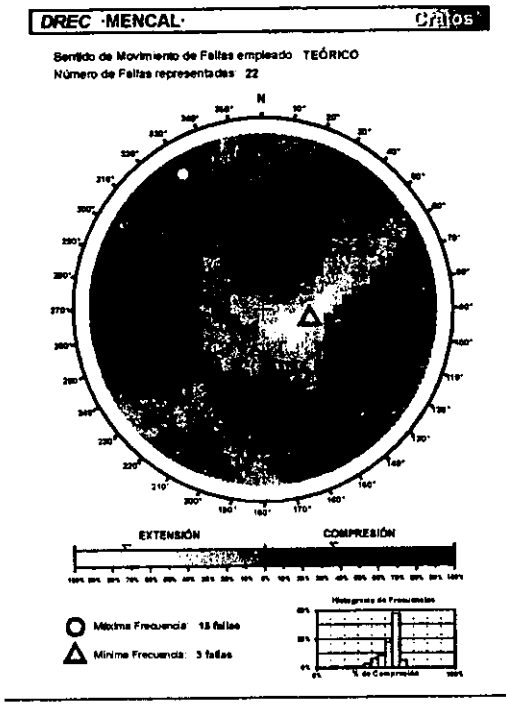
Trazas cicloográficas e histogramas del azimut, buzamiento y cabeceo









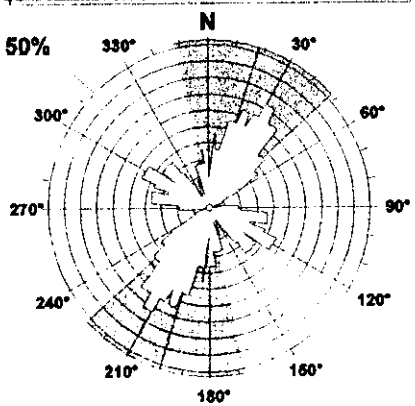


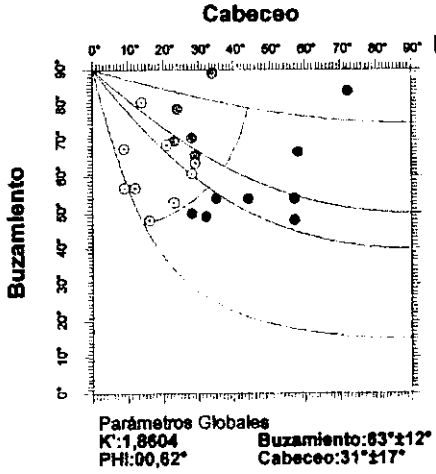
Estación: Mencal
Coordenadas U.T.M. (metros)
X: 561200
Y: 4275500
Z: 1000
Litología: Carbonatos
Edad: Jurásico

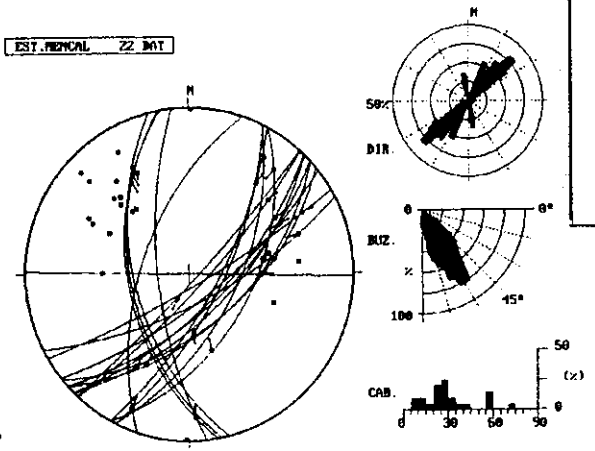
1ª Subpoblación:
Ey: 118°±7°
Buz: 60°±13°
Cab: 34°±11°
s1 10°/111°
s2 69°/352°
s3 17°/205°
R = 0.31
μ = 0.40
F.E. = 8 (8)

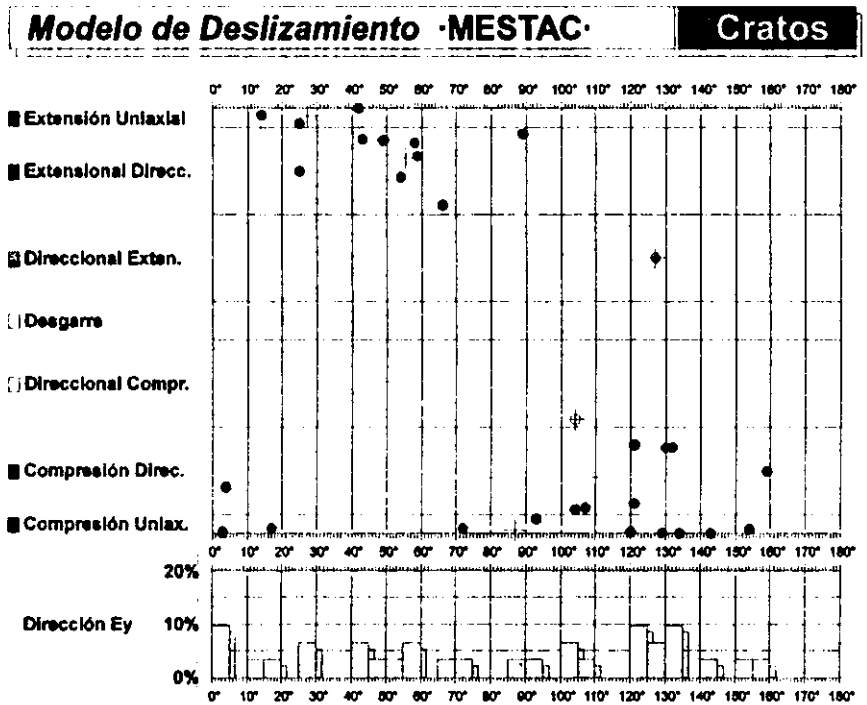
2ª Subpoblación:
Ey: 024°±11°
Buz: 66°±11°
Cab: 30°±19°
s1 01°/214°
s2 82°/314°
s3 07°/124°
R = 0.43
μ = 0.50
F.E. = 8 (14)

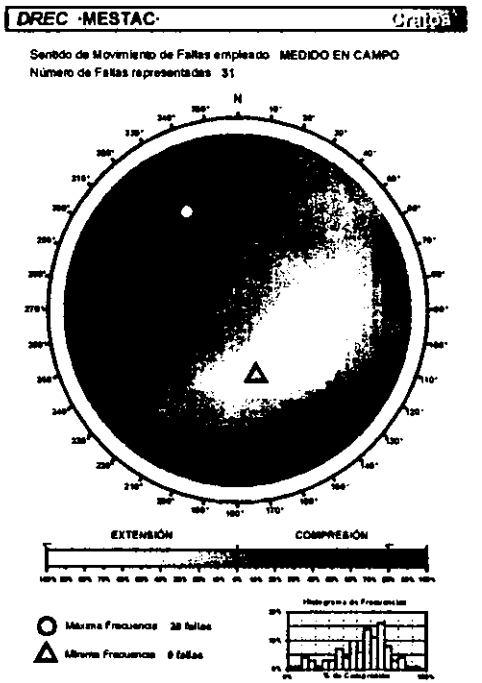
Trazas ciclográficas e histogramas del azimut, buzamiento y cabeceo









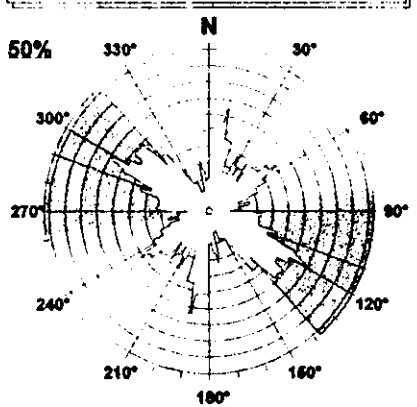


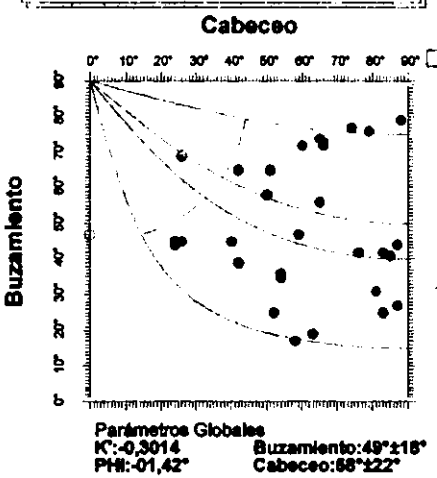
Estación: Mestac
Coordenadas U.T.M. (metros)
X: 548500
Y: 4277000
Z: 1160
Litología: Carbonatos
Edad: Jurásico

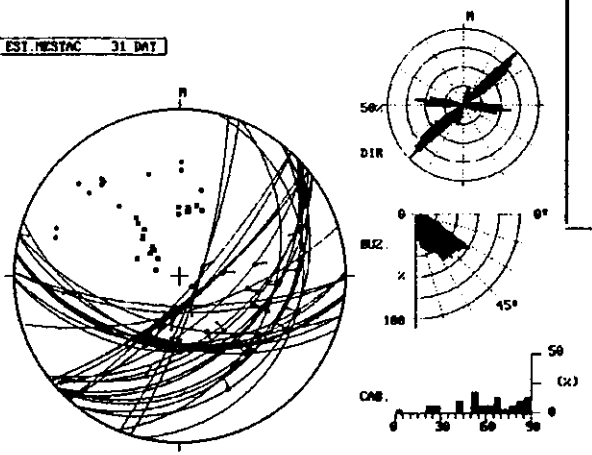
1ª Subpoblación:
Ey: 123°±12°
Buz: 40°±12°
Cab: 52°±26°
s1 06°/110°
s2 58°/008°
s3 30°/204°
R = 0.22
μ = 0.31
F.E. = 10 (16)

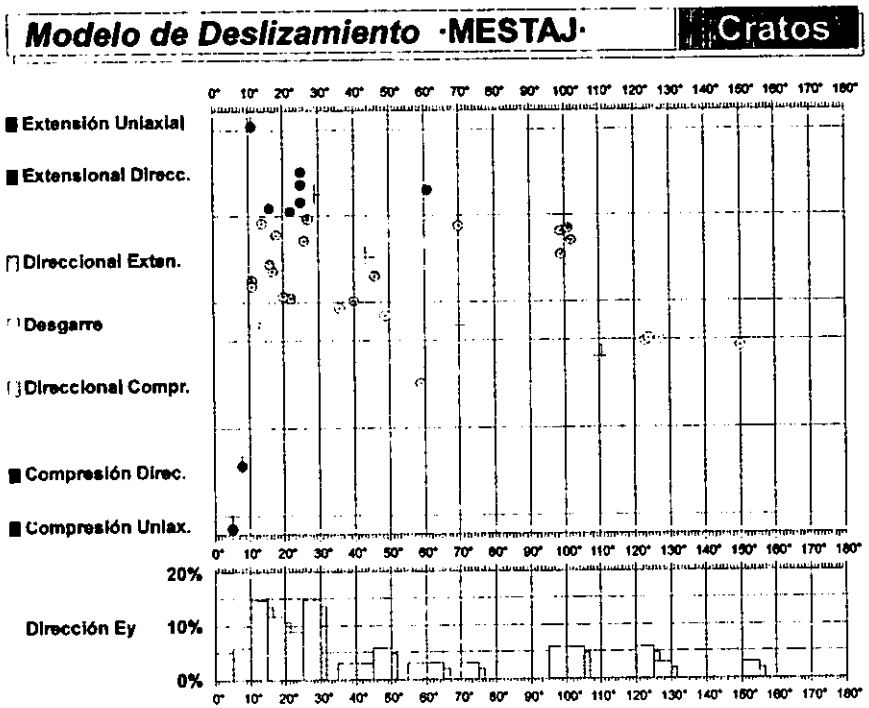
2ª Subpoblación:
Ey: 036°±10°
Buz: 59°±18°
Cab: 66°±15°
s1 09°/218°
s2 56°/323°
s3 31°/122°
R = 0.62
μ = 0.31
F.E. = 9 (15)

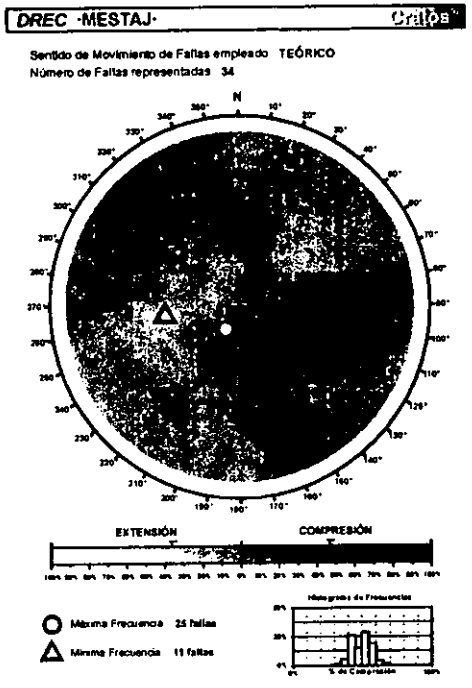
Trazas cicloográficas e histogramas del azimut, buzamiento y cabeceo









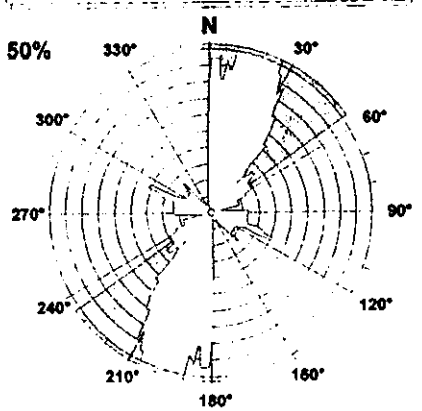


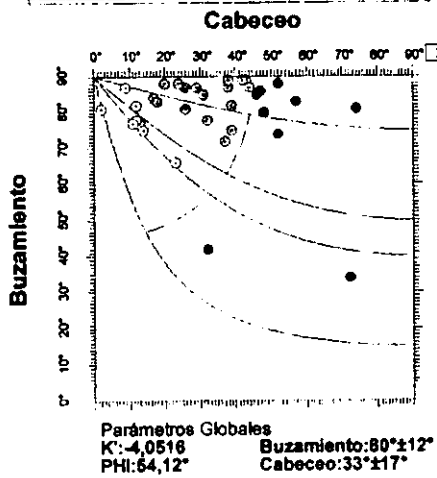
Estación: Mestaj
Coordenadas U.T.M. (metros)
X: 546900
Y: 4278750
Z: 1080
Litología: Carbonatos
Edad: Jurásico

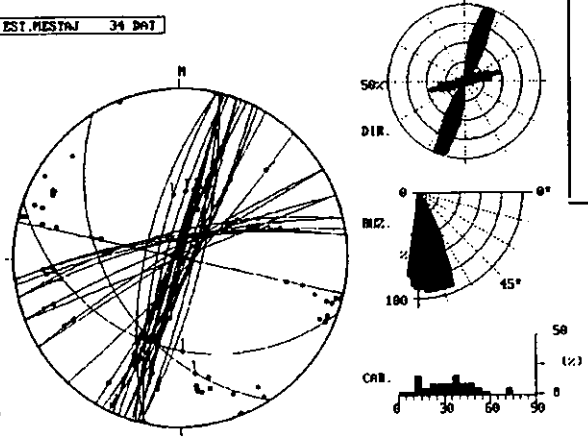
1ª Subpoblación:
Ey: 115°±9°
Buz: 78°±5°
Cab: 24°±12°
s1 --°/---°
s2 --°/---°
s3 --°/---°
R = ---
μ = ---
F.E. = 0 (8)

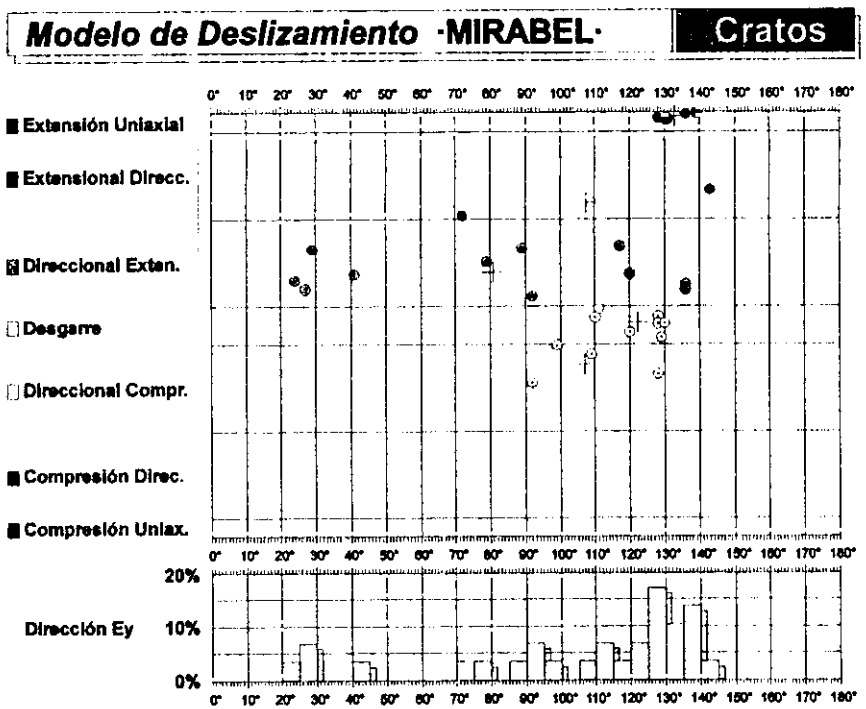
2ª Subpoblación:
Ey: 025°±11°
Buz: 80°±13°
Cab: 36°±18°
s1 88°/032°
s2 01°/204°
s3 00°/294°
R = 0.42
μ = 1.01
F.E. = 15 (26)

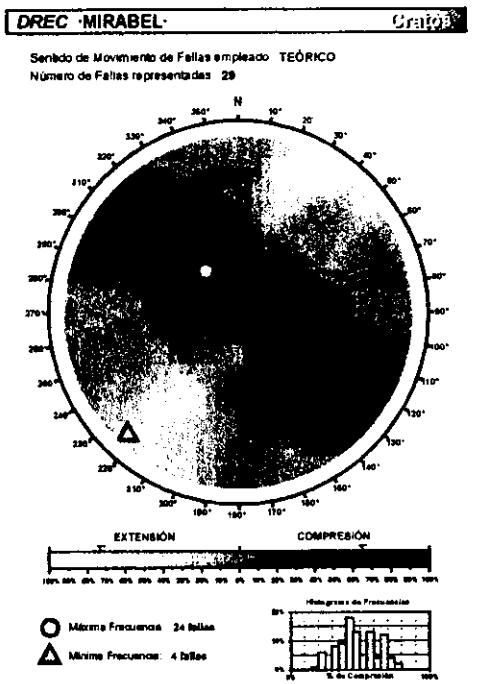
Trazas ciclográficas e histogramas del azimut, buzamiento y cabeceo









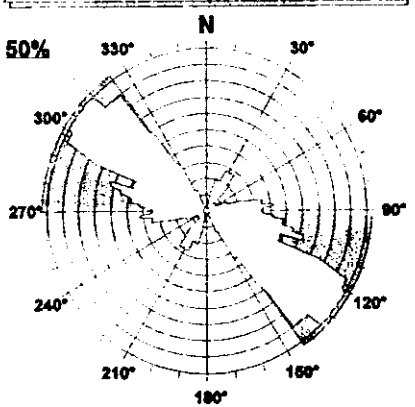


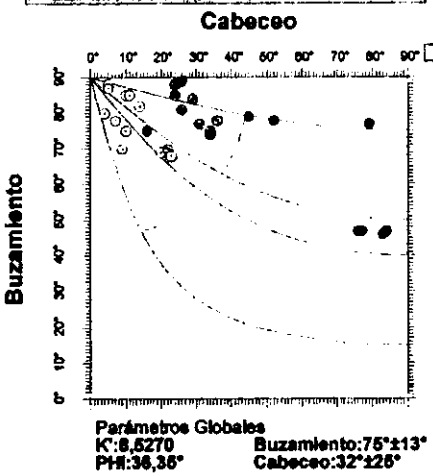
Trazas ciclográficas e histogramas del azimut, buzamiento y cabeceo

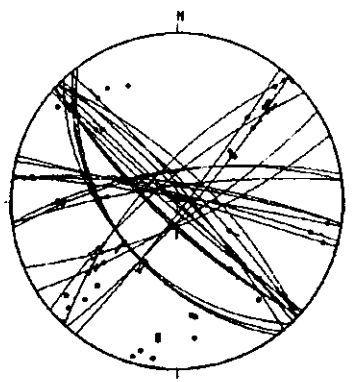
Estación: Mirabel
Coordenadas U.T.M. (metros)
X: 230300
Y: 4424100
Z: 448
Litología: Basamento hercínico
Edad: Precámbrico

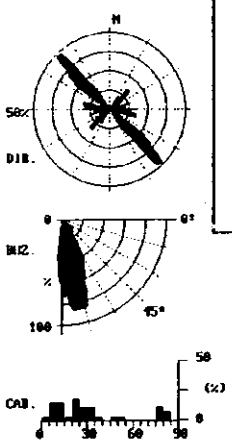
1ª Subpoblación:
Ey: 119°±11°
Buz: 74°±13°
Cab: 32°±27°
s1 43°/301°
s2 46°/111°
s3 05°/206°
R = 0.61
μ = 0.31
F.E. = 18 (25)

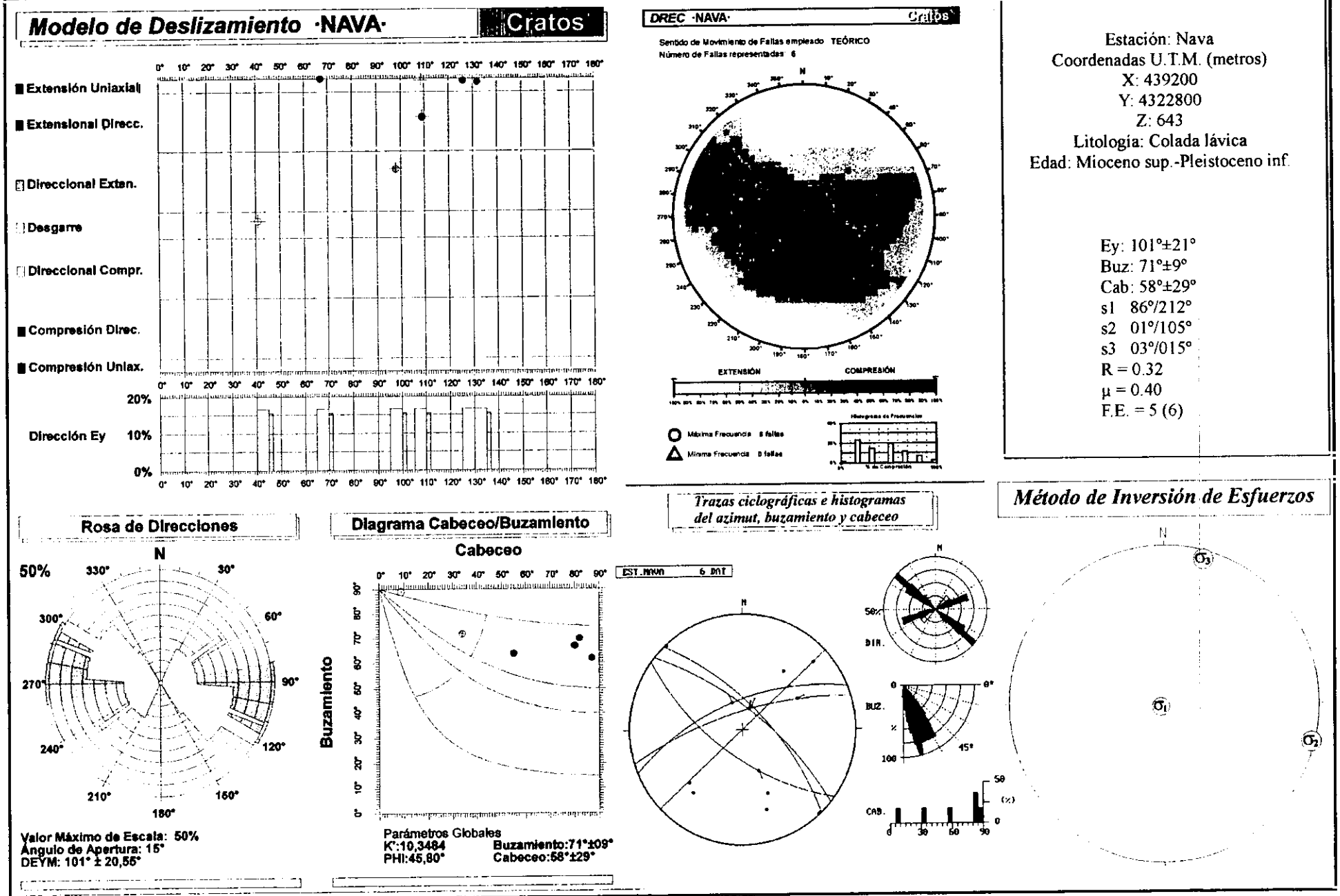
2ª Subpoblación:
Ey: 030°±4°
Buz: 78°±6°
Cab: 26°±5°
s1 --°/---°
s2 --°/---°
s3 --°/---°
R = ---
μ = ---
F.E. = 0 (4)

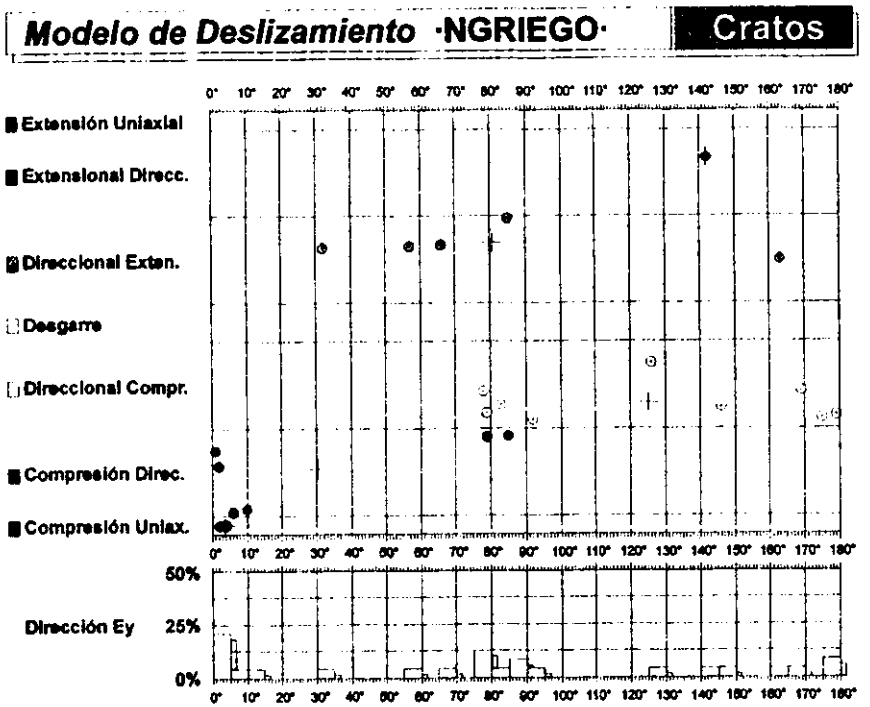


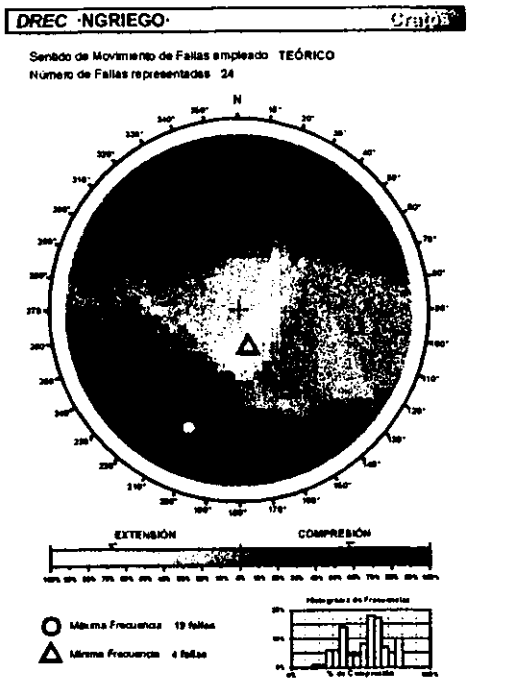







Modelo de Deslizamiento ·NAVA·
Cratos
Extensión Uniaxial
Extensional Direcc.
Direccional Extan.
Desgarre
Direccional Compr.
Compresión Direc.
Compresión Uniax.
Dirección Ey
20%
10%
0%
DREC ·NAVA·
Cratos
Sentido de Movimiento de Fallas empleado TEÓRICO
Número de Fallas representadas 6
EXTENSIÓN
COMPRESIÓN
Máxima Frecuencia 6 fallas
Mínima Frecuencia 0 fallas
Estación: Nava
Coordenadas U.T.M. (metros)
X: 439200
Y: 4322800
Z: 643
Litología: Colada lávica
Edad: Mioceno sup.-Pleistoceno inf.
Ey: 101°±21°
Buz: 71°±9°
Cab: 58°±29°
s1 86°/212°
s2 01°/105°
s3 03°/015°
R = 0.32
μ = 0.40
F.E. = 5 (6)
Trazas ciclográficas e histogramas del azimut, buzamiento y cabeceo
Método de Inversión de Esfuerzos
Rosa de Direcciones
50%
Valor Máximo de Escala: 50%
Ángulo de Apertura: 15°
DEYM: 101° ± 20,55°
Diagrama Cabeceo/Buzamiento
Cabeceo
Buzamiento
EST.NAVA 6 DAT
Parámetros Globales
K':10,3484
PHI:45,80°
Buzamiento:71°±09°
Cabeceo:58°±29°



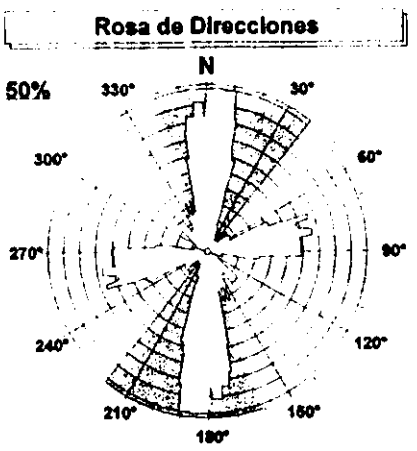


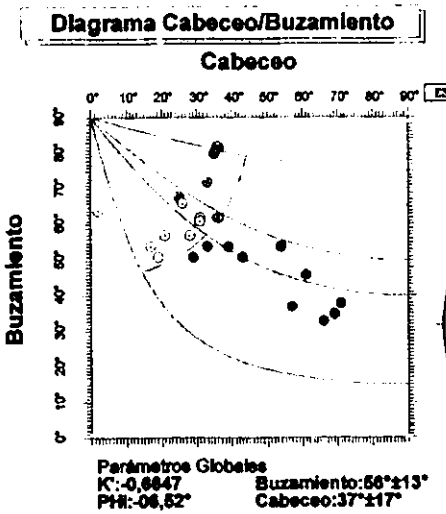
Trazas cicloográficas e histogramas del azimut, buzamiento y cabeceo

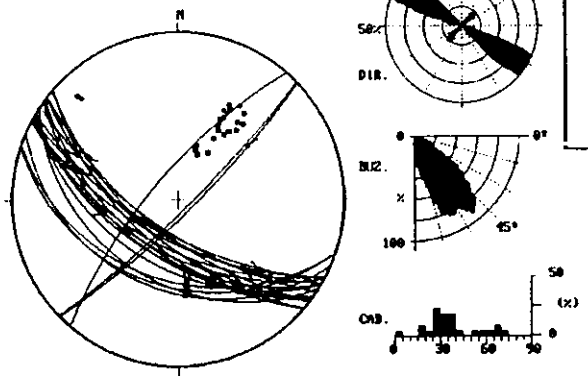
Estación: Ngriego
Coordenadas U.T.M. (metros)
X: 576850
Y: 4273000
Z: 1020
Litología: Carbonatos
Edad: Jurásico

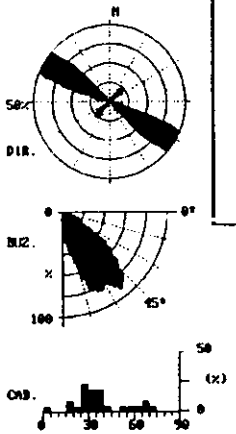
1ª Subpoblación:
Ey: 031°±5°
Buz: 59°±7°
Cab: 28°±6°
s1 12°/242°
s2 69°/118°
s3 16°/336°
R = 0.51
μ = 0.31
F.E. = 7 (8)

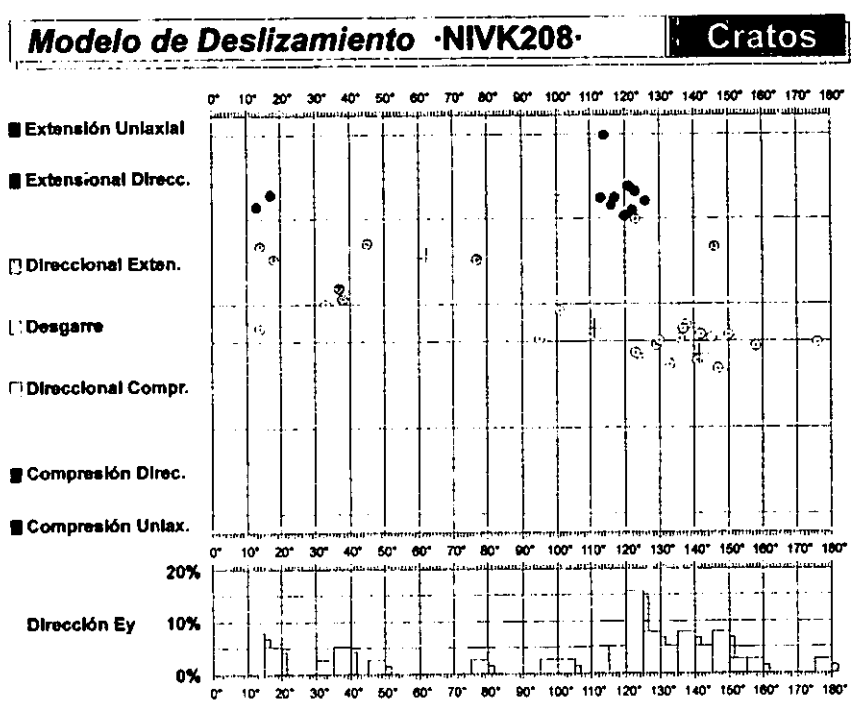
2ª Subpoblación:
Ey: 177°±19°
Buz: 55°±14°
Cab: 41°±19°
s1 08°/006°
s2 59°/261°
s3 29°/101°
R = 0.26
μ = 0.31
F.E. = 13 (16)

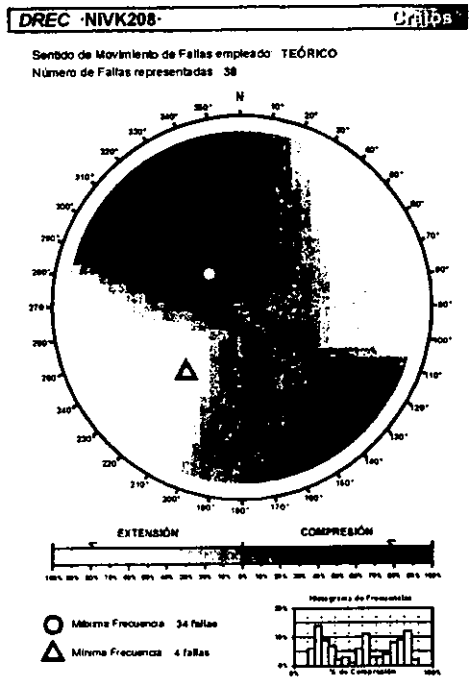










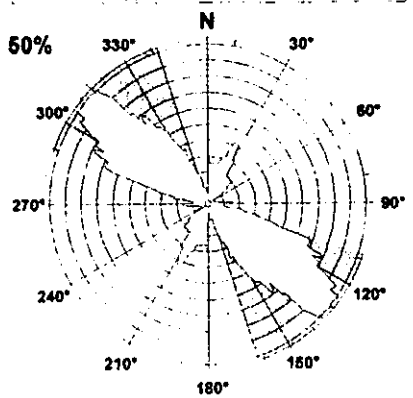


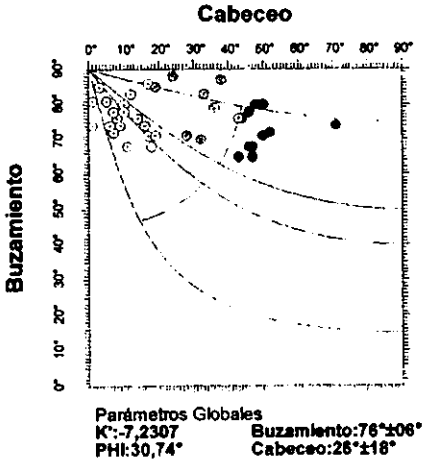
Estación: Nivk208
Coordenadas U.T.M. (metros)
X: 463600
Y: 4289800
Z: 685
Litología: Basamento hercínico
Edad: Paleozoico

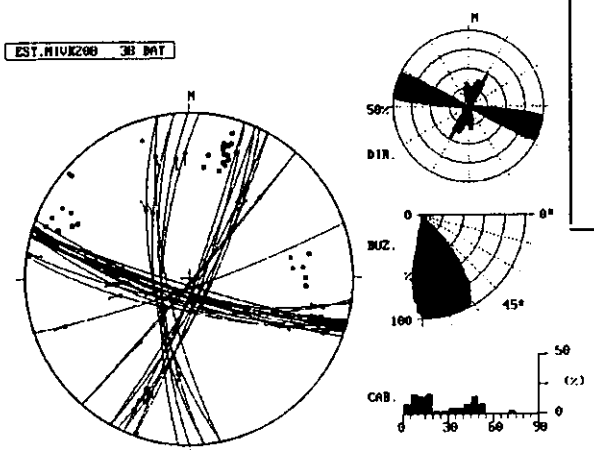
1ª Subpoblación:	
Ey: 128°±11°	Ey: 128°±11°
Buz: 75°±5°	Buz: 75°±5°
Cab: 26°±19°	Cab: 26°±19°
s1 87°/270°	s1 04°/317°
s2 02°/130°	s2 74°/212°
s3 01°/040°	s3 15°/048°
R = 0.52	R = 0.51
μ = 0.61	μ = 0.31
F.E. = 11 (28)	F.E. = 15 (28)

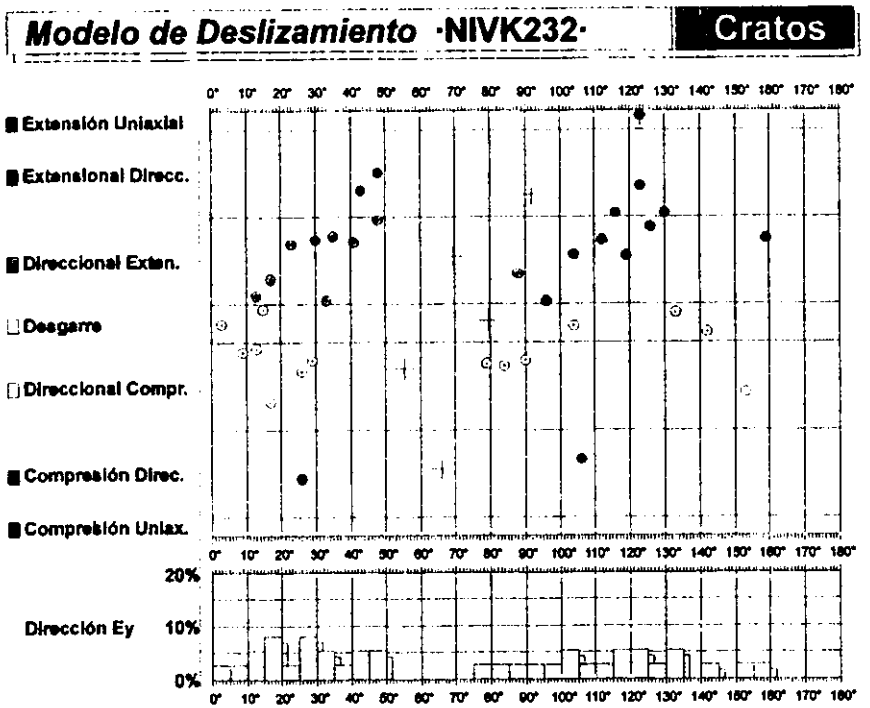
2ª Subpoblación:
Ey: 022°±7°
Buz: 79°±8°
Cab: 27°±14°
s1 39°/013°
s2 46°/162°
s3 16°/269°
R = 0.33
μ = 0.40
F.E. = 6 (10)

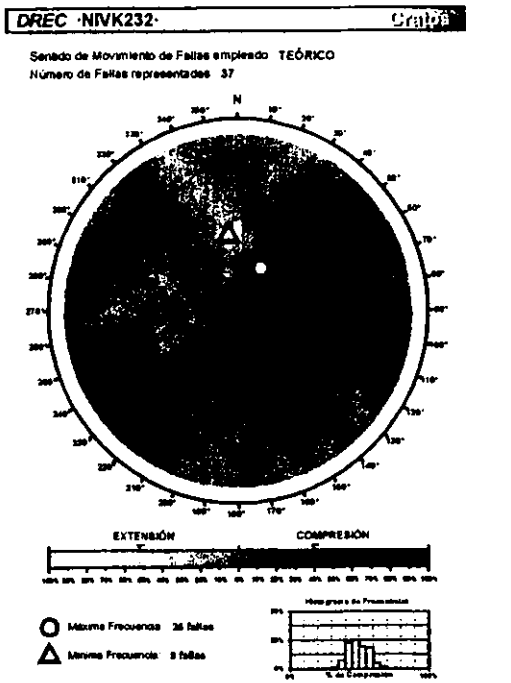
Trazas ciclográficas e histogramas del azimut, buzamiento y cabeceo









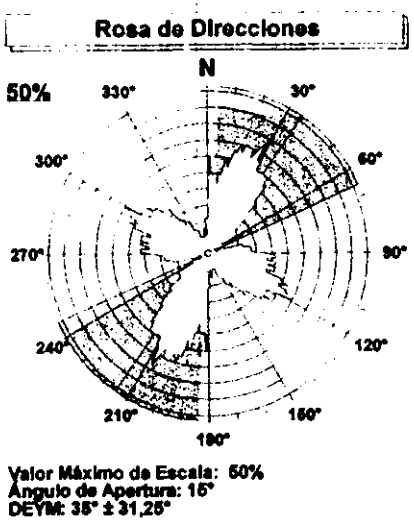


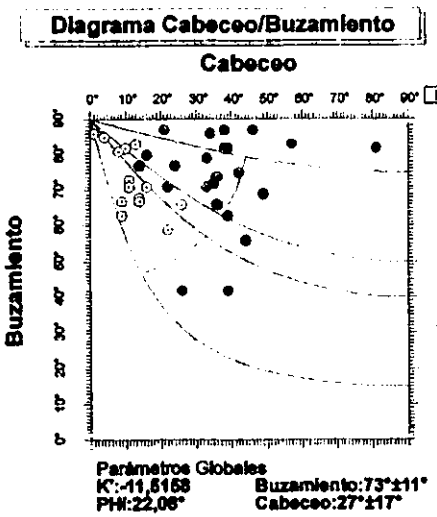
Trazas cicloográficas e histogramas del azimut, buzamiento y cabeceo

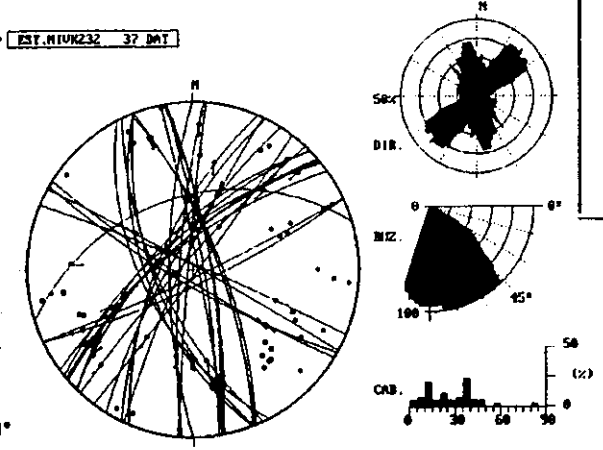
Estación: Nivk232
Coordenadas U.T.M. (metros)
X: 455313
Y: 4263920
Z: 800
Litología: Basamento hercínico
Edad: Paleozoico

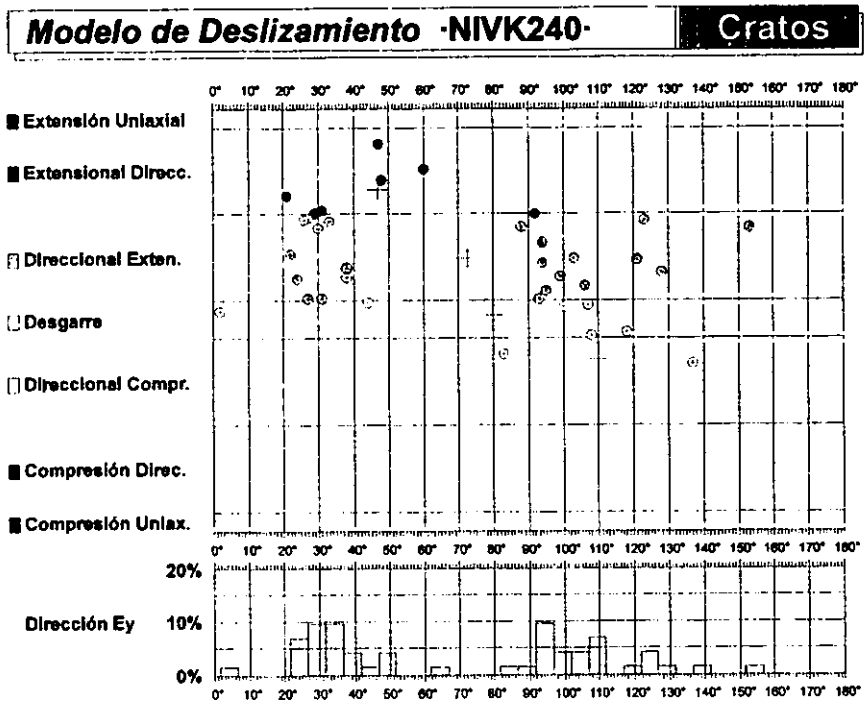
1ª Subpoblación:	
Ey: 114°±13°	Ey: 114°±13°
Buz: 73°±11°	Buz: 73°±11°
Cab: 29°±17°	Cab: 29°±17°
s1 40°/297°	s1 82°/283°
s2 49°/113°	s2 07°/103°
s3 02°/206°	s3 00°/193°
R = 0.81	R = 0.67
μ = 0.31	μ = 0.31
F.E. = 9 (19)	F.E. = 6 (19)

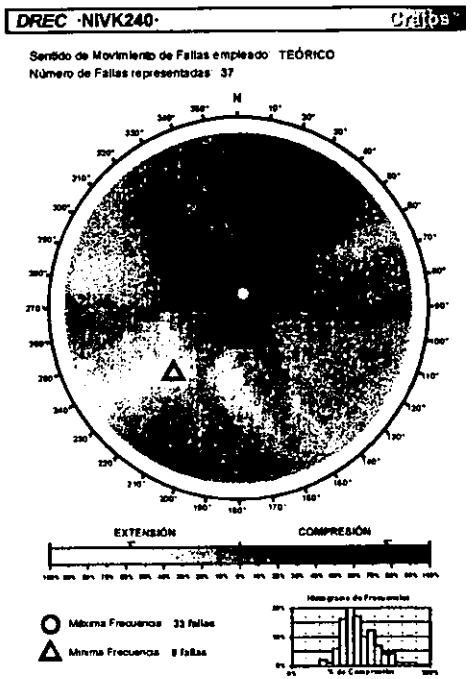
2ª Subpoblación:
Ey: 026°±7°
Buz: 74°±11°
Cab: 26°±16°
s1 09°/031°
s2 79°/240°
s3 05°/122°
R = 0.56
μ = 0.31
F.E. = 16 (18)









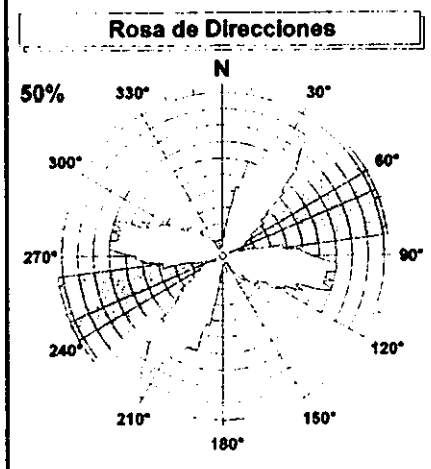


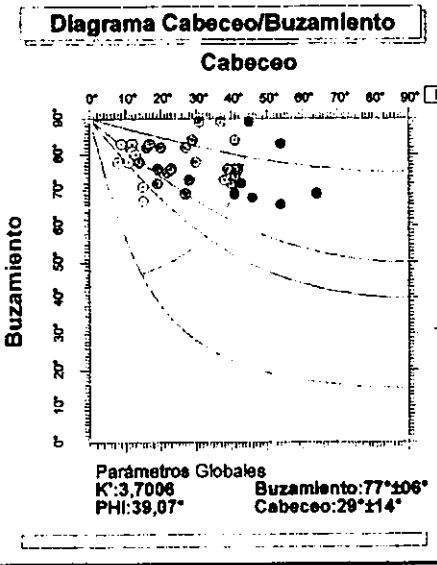
Trazas cicloográficas e histogramas del azimut, buzamiento y cabeceo

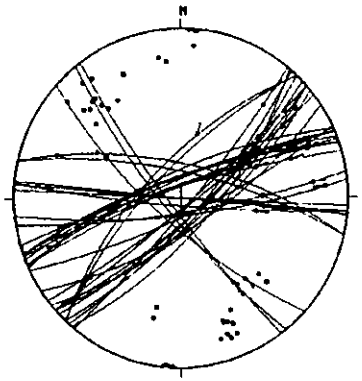
Estación: Nivk240
Coordenadas U.T.M. (metros)
X: 454900
Y: 4250300
Z: 892
Litología: Basamento hercínico
Edad: Paleozoico

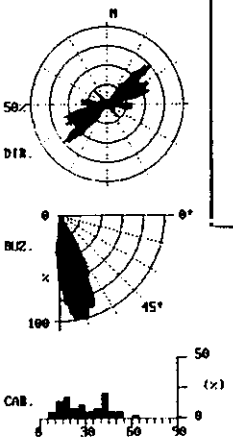
1ª Subpoblación:
Ey: 106°±11°
Buz: 79°±6°
Cab: 25°±11°
s1 28°/082°
s2 59°/279°
s3 07°/176°
R = 0.60
μ = 0.31
F.E. = 15 (19)

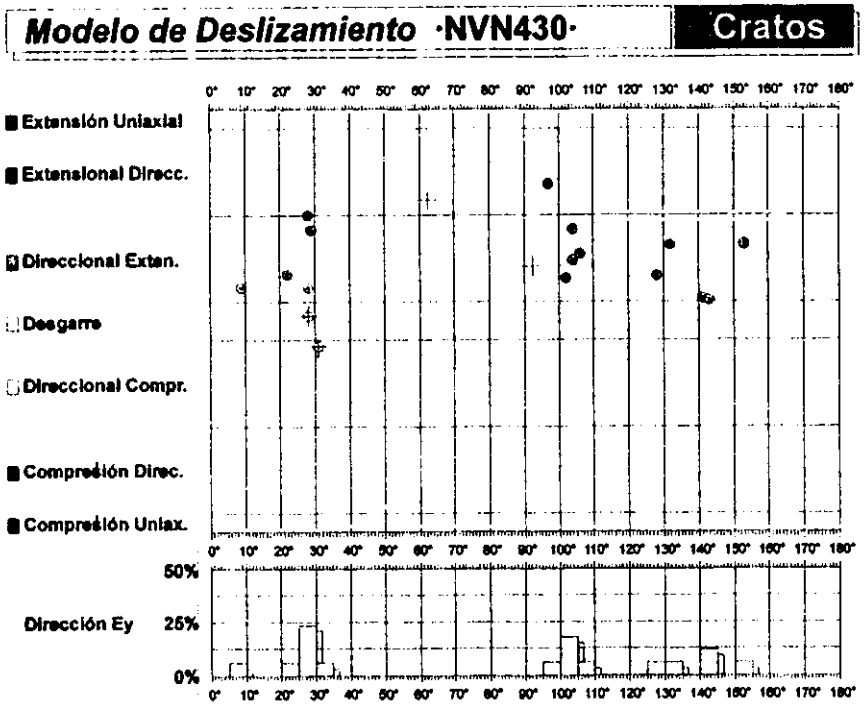
2ª Subpoblación:
Ey: 032°±8°
Buz: 75°±6°
Cab: 34°±16°
s1 43°/045°
s2 45°/214°
s3 05°/310°
R = 0.53
μ = 1.01
F.E. = 18 (18)

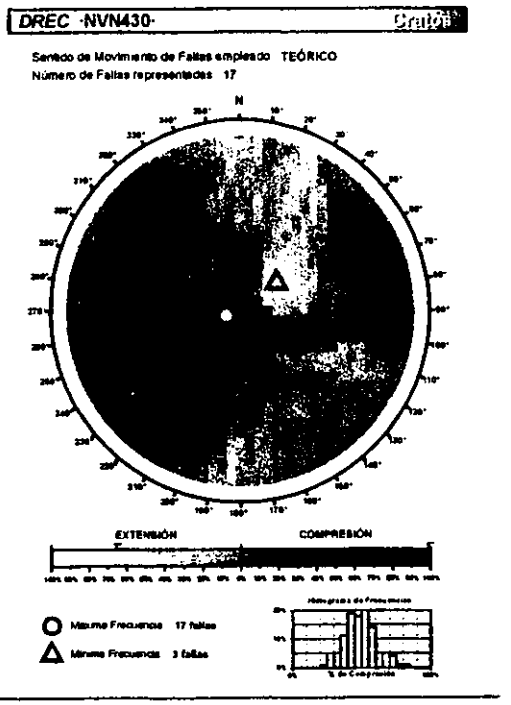










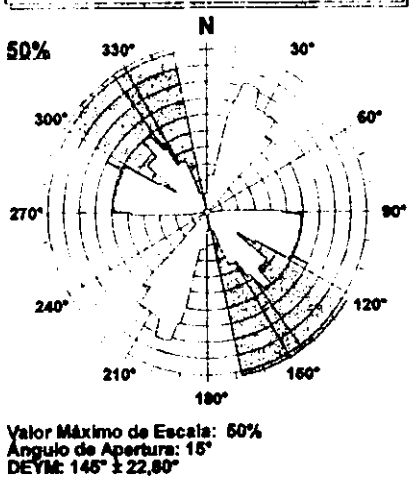


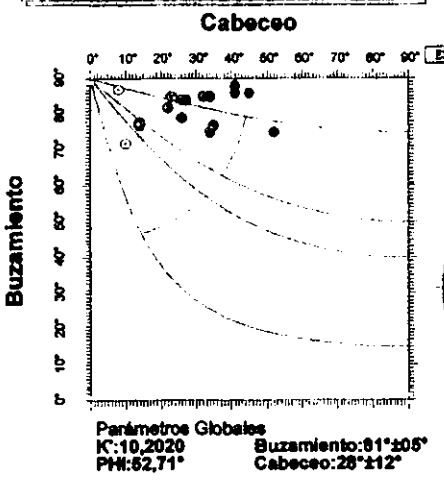
Trazas cicloográficas e histogramas del azimut, buzamiento y cabeceo

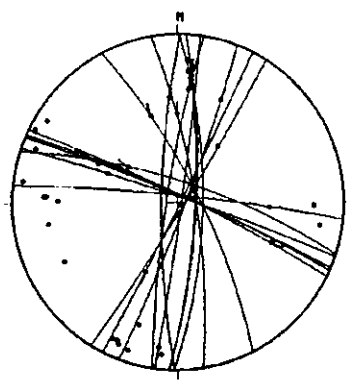
Estación: Nvn430
Coordenadas U.T.M. (metros)
X: 230600
Y: 4320800
Z: 220
Litología: Aluviales
Edad: Plioceno

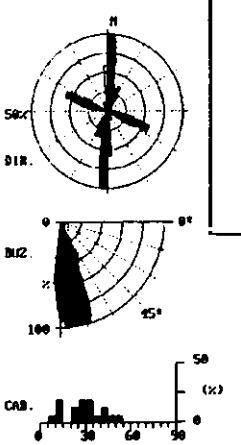
1ª Subpoblación:
Ey: 120°±7°
Buz: 81°±4°
Cab: 31°±11°
s1 74°/287°
s2 15°/099°
s3 02°/189°
R = 0.57
μ = 0.31
F.E. = 6 (10)

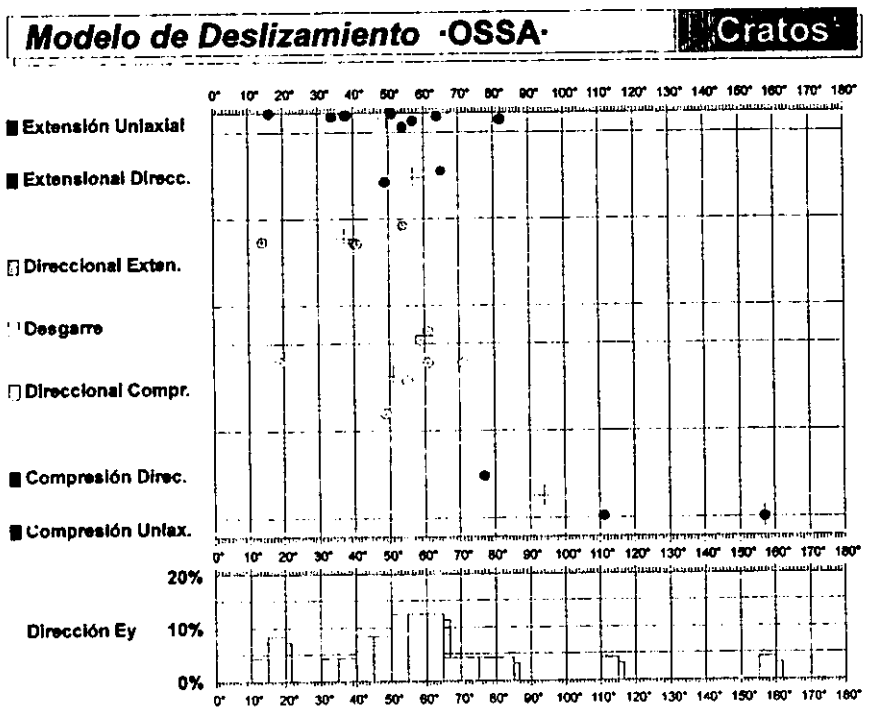
2ª Subpoblación:
Ey: 025°±5°
Buz: 83°±5°
Cab: 25°±13°
s1 34°/020°
s2 55°/199°
s3 00°/289°
R = 0.28
μ = 1.91
F.E. = 6 (7)

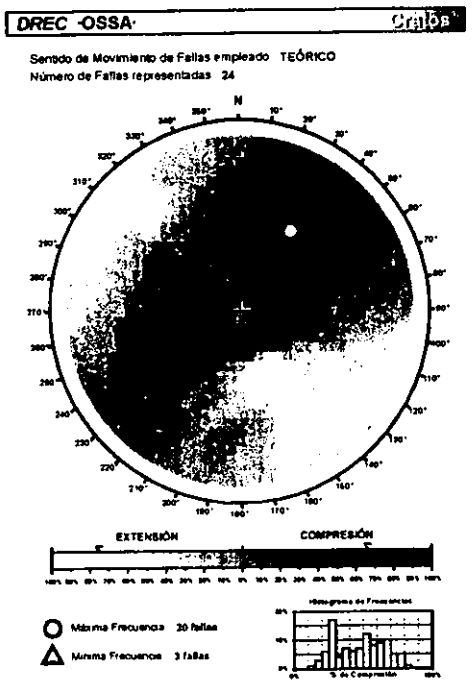












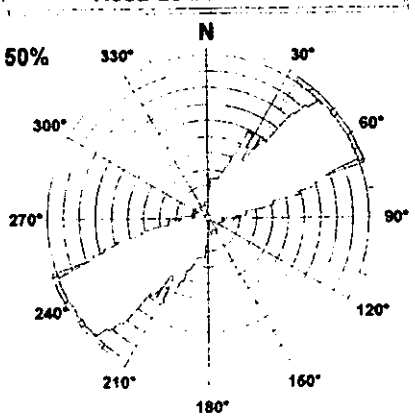
Trazas ciclográficas e histogramas del azimut, buzamiento y cabeceo

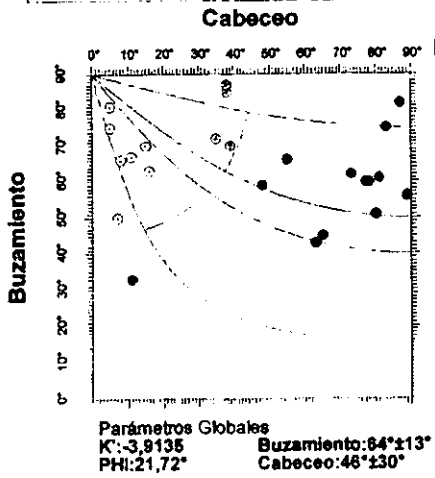
Estación: Ossa
Coordenadas U.T.M. (metros)
X: 514800
Y: 4316400
Z: 890
Litología: Carbonatos
Edad: Jurásico

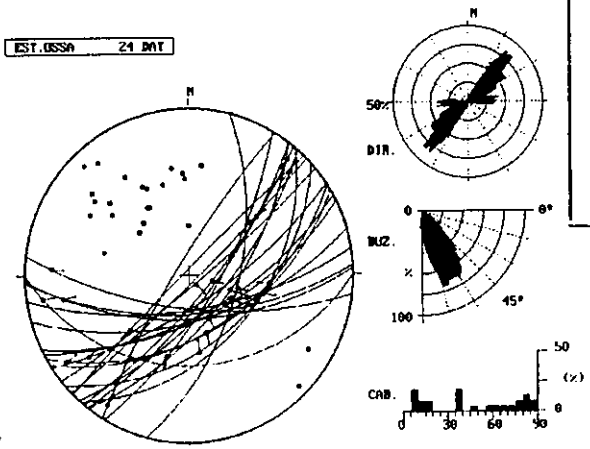
1ª Subpoblación:
Ey: 134°±0°
Buz: 44°±1°
Cab: 64°±1°
s1 --°/---°
s2 --°/---°
s3 --°/---°
R = ---
μ = ---
F.E. = 0 (2)

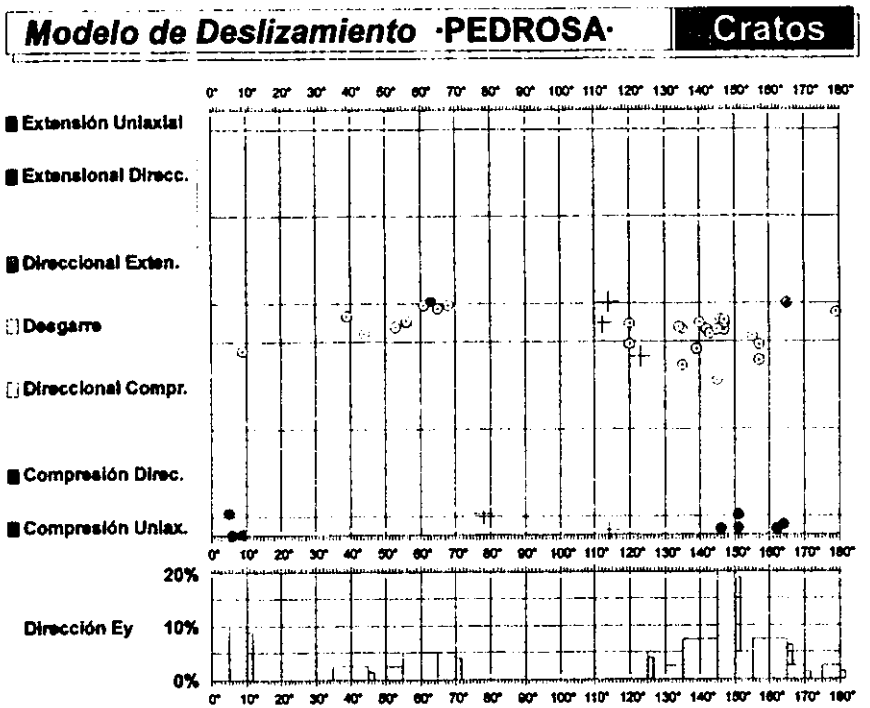
2ª Subpoblación:

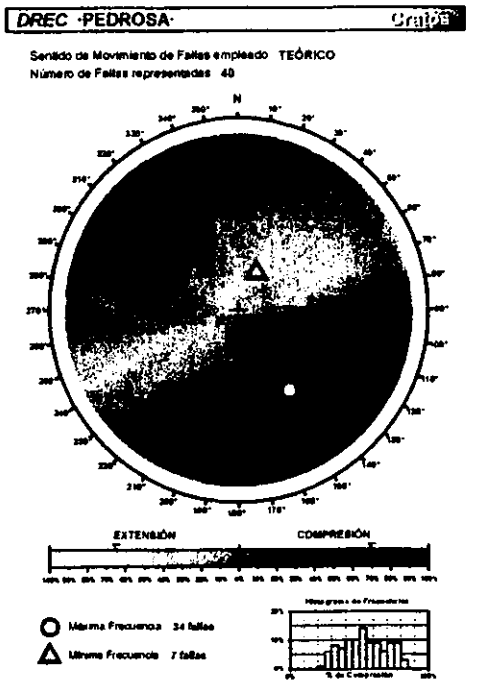
Ey: 051°±11°	Ey: 051°±11°
Buz: 66°±12°	Buz: 66°±12°
Cab: 44°±31°	Cab: 44°±31°
s1 19°/219°	s1 74°/044°
s2 65°/077°	s2 15°/216°
s3 13°/314°	s3 02°/307°
R = 0.50	R = 0.31
μ = 0.31	μ = 0.40
F.E. = 9 (22)	F.E. = 13 (22)











Estación: Pedrosa
Coordenadas U.T.M. (metros)
X: 487400
Y: 4316100
Z: 760
Litología: Carbonatos
Edad: Jurásico

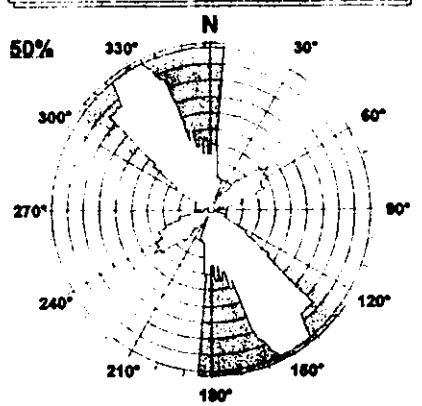
1ª Subpoblación:

Ey: 146°±8°	Ey: 146°±8°
Buz: 69°±22°	Buz: 69°±22°
Cab: 19°±25°	Cab: 19°±25°
s1 00°/108°	s1 04°/151°
s2 07°/018°	s2 84°/313°
s3 82°/202°	s3 01°/060°
R = 0.61	R = 0.37
μ = 0.71	μ = 0.31
F.E. = 5 (27)	F.E. = 22 (27)

2ª Subpoblación:
Ey: 038°±11°
Buz: 72°±20°
Cab: 26°±29°
s1 24°/045°
s2 22°/305°
s3 56°/177°
R = 0.15
μ = 0.40
F.E. = 6 (13)

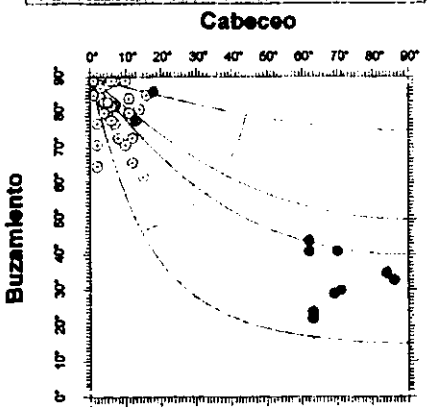
Trazas ciclográficas e histogramas del azimut, buzamiento y cabeceo

Rosa de Direcciones

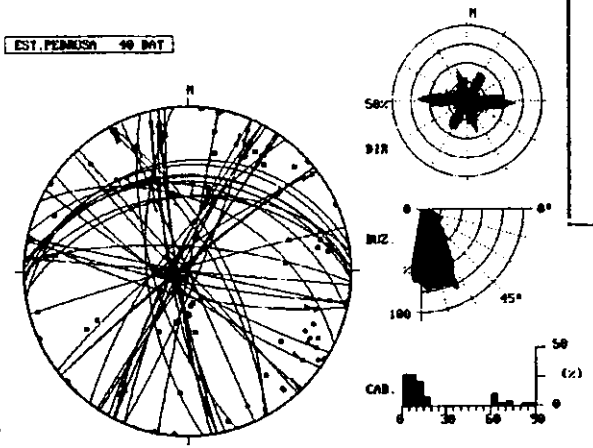


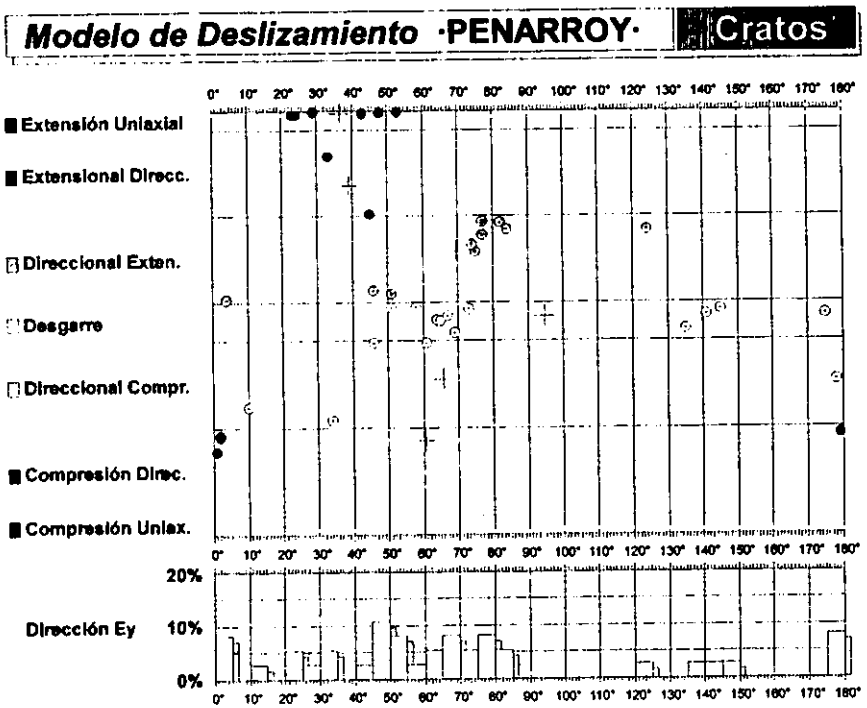
Valor Máximo de Escala: 50%
Ángulo de Apertura: 15°
DEYM: 165° ± 29,75°

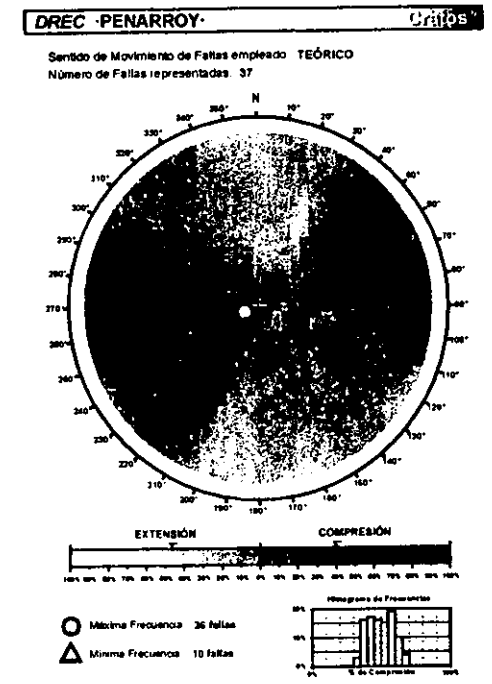
Diagrama Cabeceo/Buzamiento



Parámetros Globales
K':-53,1222 Buzamiento:70°±21°
PHI:-00,69° Cabeceo:21°±27°







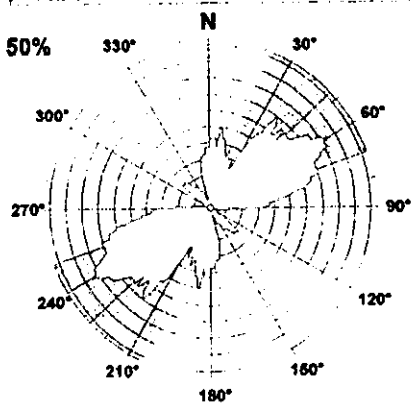
Trazas ciclográficas e histogramas del azimut, buzamiento y cabeceo

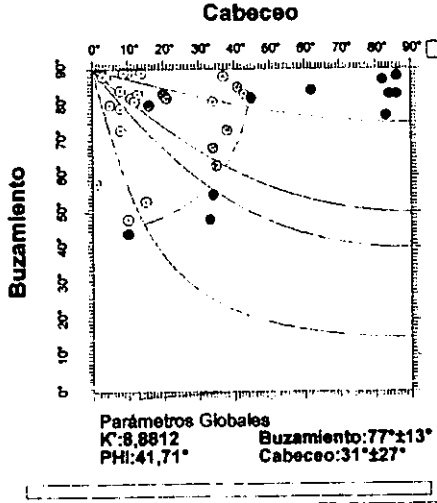
Estación: Penarroy
Coordenadas U.T.M. (metros)
X: 498400
Y: 4323200
Z: 737
Litología: Carbonatos
Edad: Jurásico

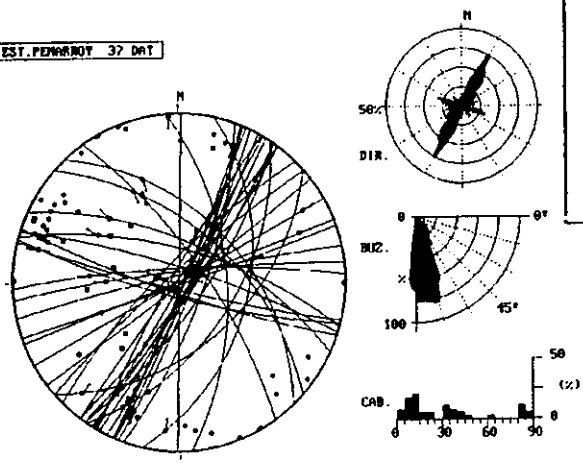
1ª Subpoblación:
Ey: 136°±4°
Buz: 80°±4°
Cab: 16°±13°
s1 --°/---°
s2 --°/---°
s3 --°/---°
R = ---
μ = ---
F.E. = 0 (4)

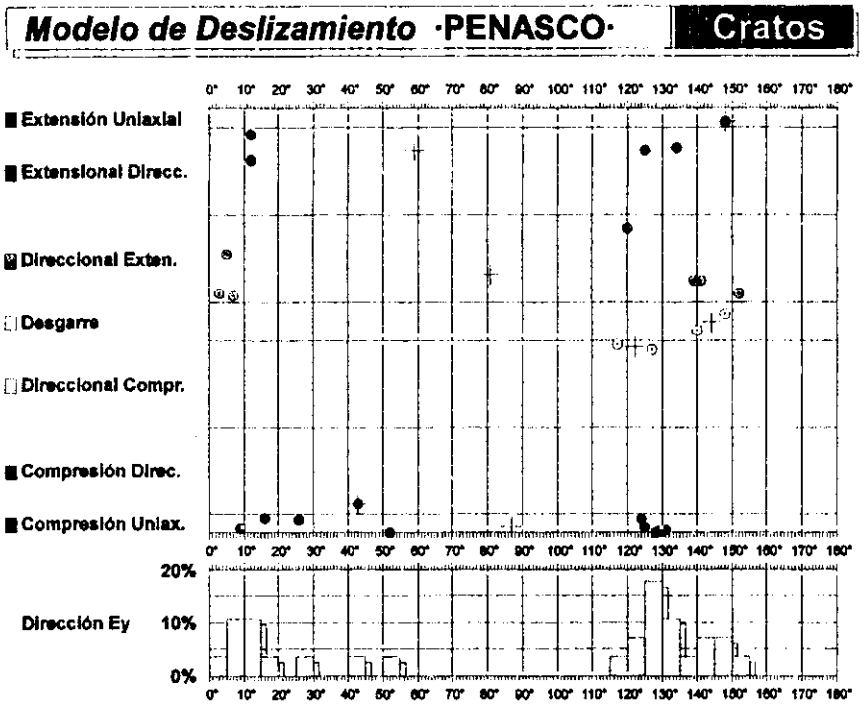
2ª Subpoblación:

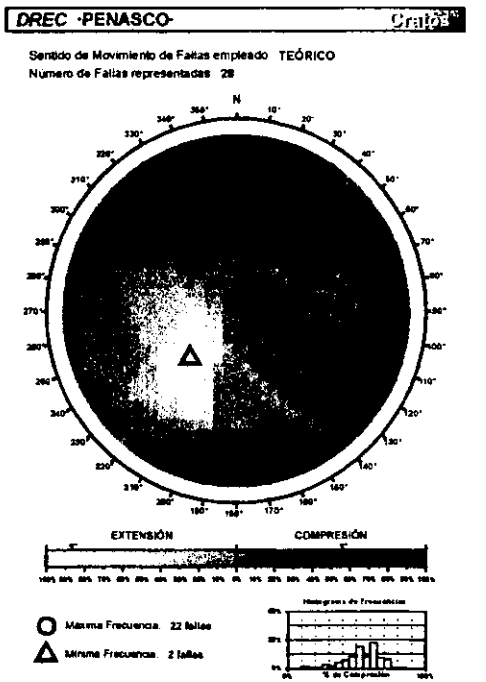
Ey: 047°±16°	Ey: 047°±16°
Buz: 76°±13°	Buz: 76°±13°
Cab: 33°±28°	Cab: 33°±28°
s1 81°/040°	s1 34°/258°
s2 08°/228°	s2 55°/086°
s3 01°/137°	s3 03°/351°
R = 0.35	R = 0.86
μ = 0.31	μ = 0.31
F.E. = 11 (33)	F.E. = 10 (33)









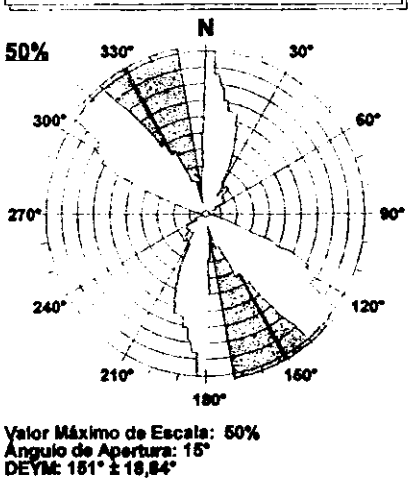


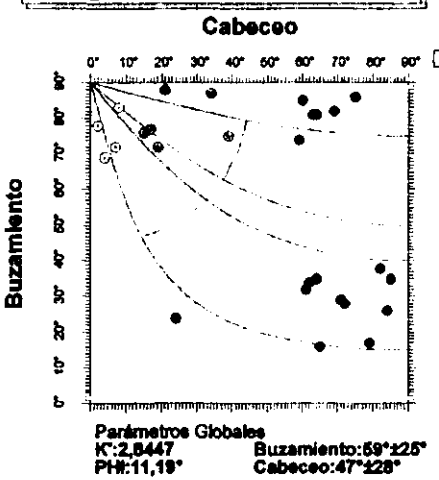
Estación: Penasco
Coordenadas U.T.M. (metros)
X: 551500
Y: 4279250
Z: 1180
Litología: Carbonatos
Edad: Jurásico

1ª Subpoblación:

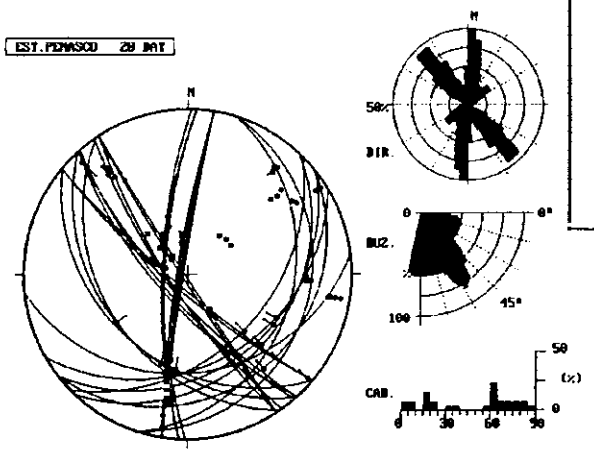
Ey: 133°±5°	Ey: 133°±5°
Buz: 60°±26°	Buz: 60°±26°
Cab: 45°±30°	Cab: 45°±30°
s1 06°/309°	s1 20°/130°
s2 83°/152°	s2 62°/266°
s3 02°/039°	s3 17°/033°
R = 0.23	R = 0.18
μ = 0.71	μ = 0.31
F.E. = 5 (17)	F.E. = 7 (17)

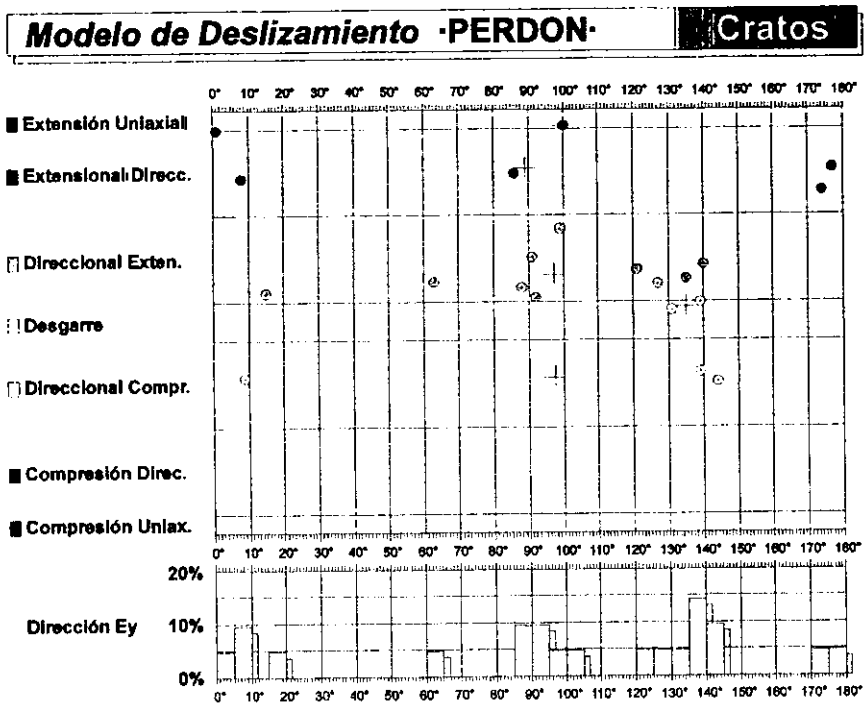
2ª Subpoblación:
Ey: 017°±10°
Buz: 58°±25°
Cab: 51°±23°
s1 02°/008°
s2 54°/101°
s3 35°/277°
R = 0.36
μ = 0.31
F.E. = 9 (11)

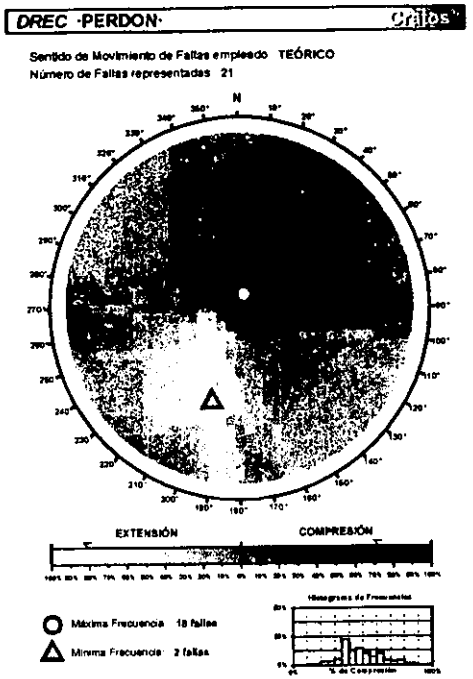




Trazas ciclográficas e histogramas del azimut, buzamiento y cabeceo





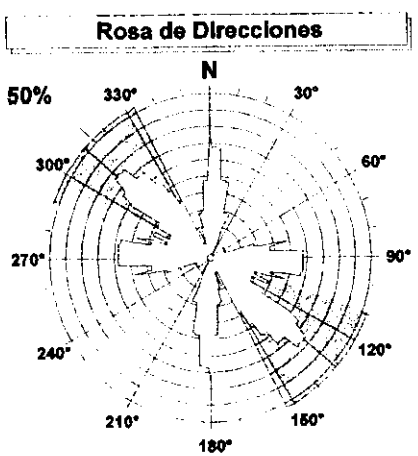


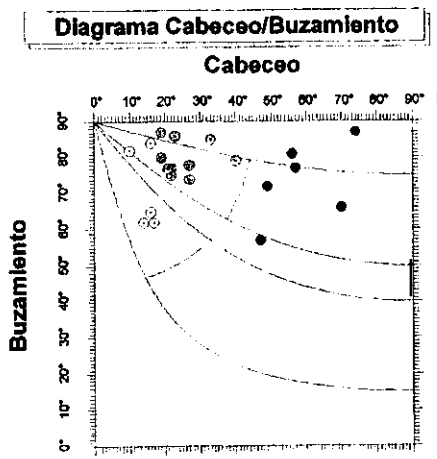
Estación: Perdon
Coordenadas U.T.M. (metros)
X: 525200
Y: 4369500
Z: 734
Litología: Carbonatos
Edad: Jurásico

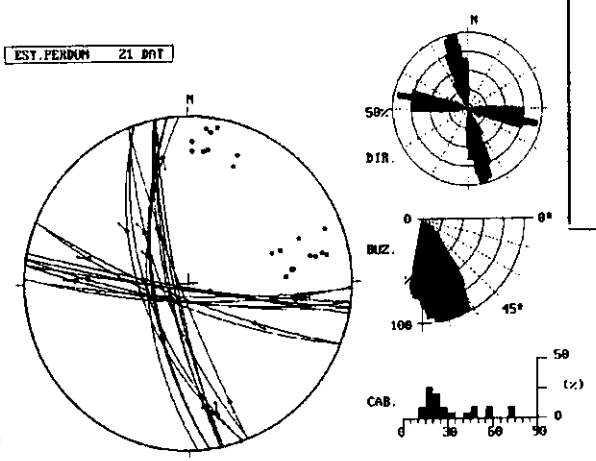
1ª Subpoblación:
Ey: 114°±10°
Buz: 79°±7°
Cab: 28°±16°
s1 --°/---°
s2 --°/---°
s3 --°/---°
R = ---
μ = ---
F.E. = 0 (15)

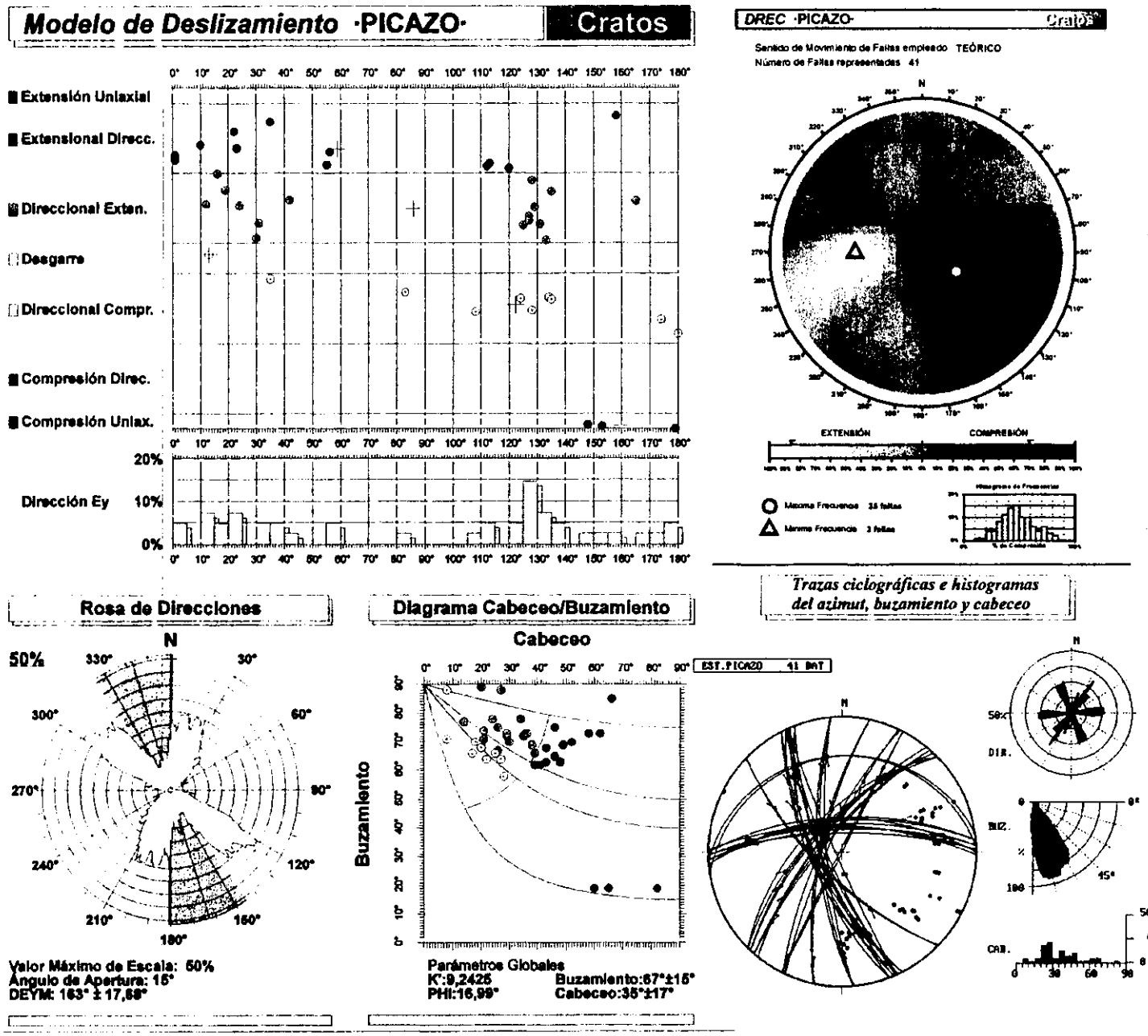
2ª Subpoblación:
Ey: 004°±3°
Buz: 69°±8°
Cab: 43°±20°
s1 54°/192°
s2 34°/359°
s3 05°/094°
R = 0.62
μ = 0.40
F.E. = 6 (6)

Trazas ciclográficas e histogramas del azimut, buzamiento y cabeceo





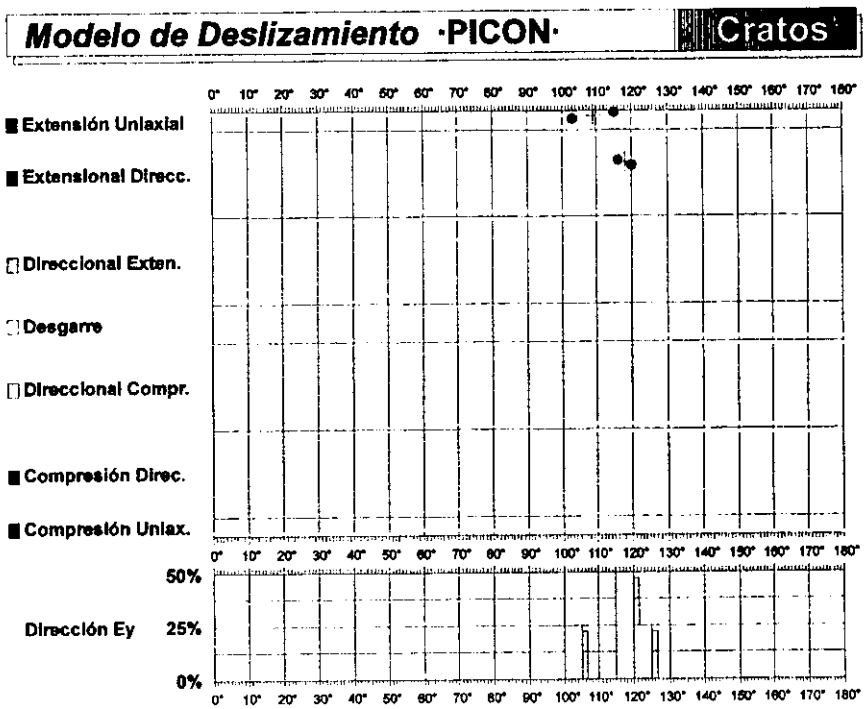


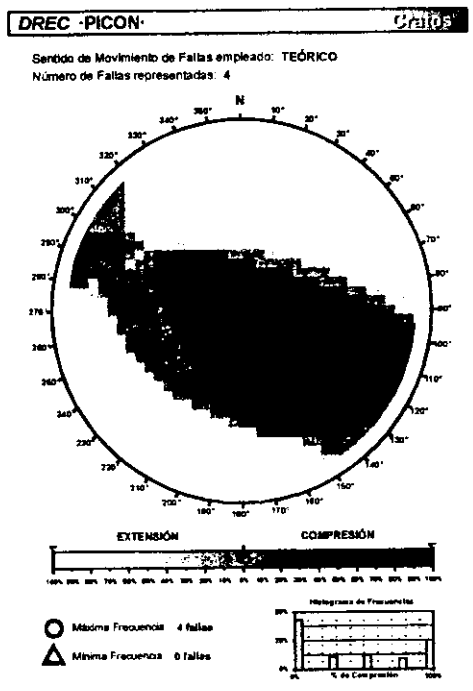


Estación: Picazo
Coordenadas U.T.M. (metros)
X: 527200
Y: 4255400
Z: 1100
Litología: Carbonatos
Edad: Jurásico

1ª Subpoblación:
Ey: 130°±13°
Buz: 66°±16°
Cab: 32°±15°
s1 08°/140°
s2 81°/333°
s3 01°/230°
R = 0.38
μ = 0.40
F.E. = 14 (21)

2ª Subpoblación:
Ey: 020°±10°
Buz: 69°±14°
Cab: 38°±18°
s1 81°/312°
s2 00°/217°
s3 08°/127°
R = 0.44
μ = 0.31
F.E. = 14 (20)



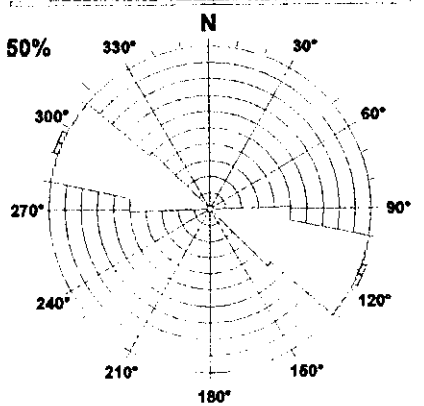


Trazas ciclográficas e histogramas del azimut, buzamiento y cabeceo

Estación: Picon
Coordenadas U.T.M. (metros)
X: 411150
Y: 4322000
Z: 600
Litología: Basamento hercínico
Edad: Paleozoico

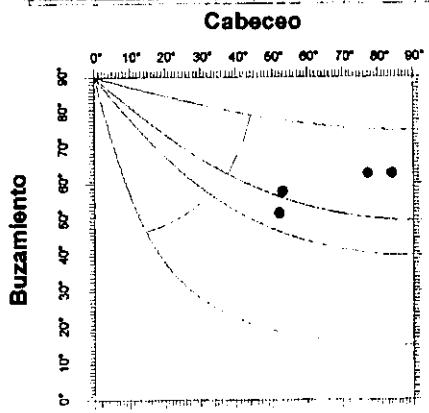
Ey: 113°±4°
Buz: 59°±5°
Cab: 66°±14°
s1 --°/---°
s2 --°/---°
s3 --°/---°
R = ---
μ = ---
F.E. = 0 (4)

Rosa de Direcciones

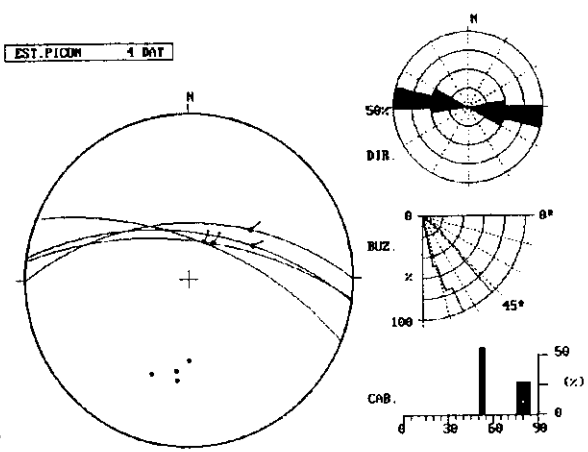


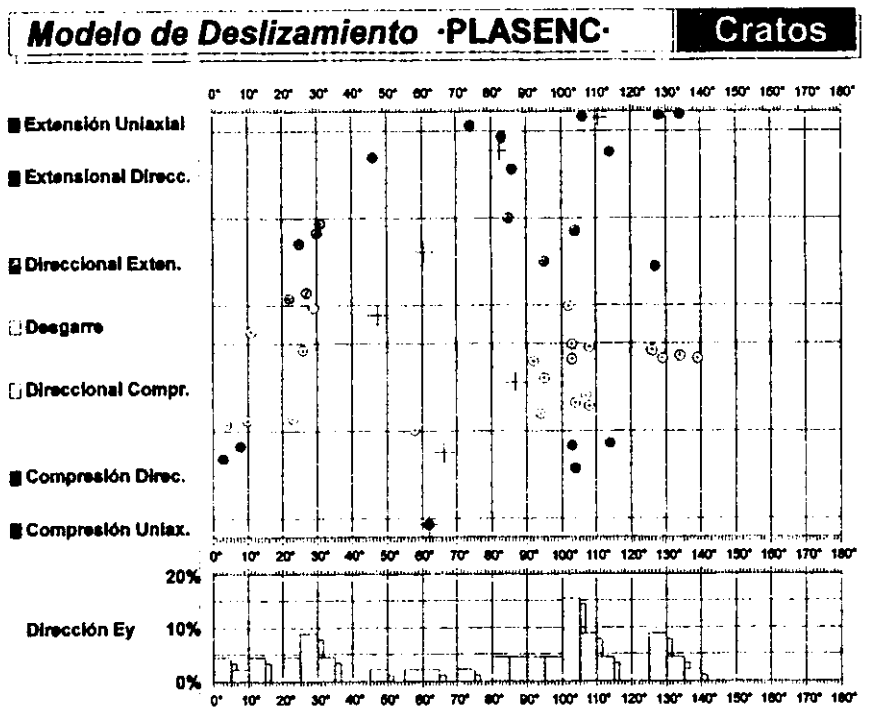
Valor Máximo de Escala: 50%
Ángulo de Apertura: 15°
DEYM: 114° ± 4,15°

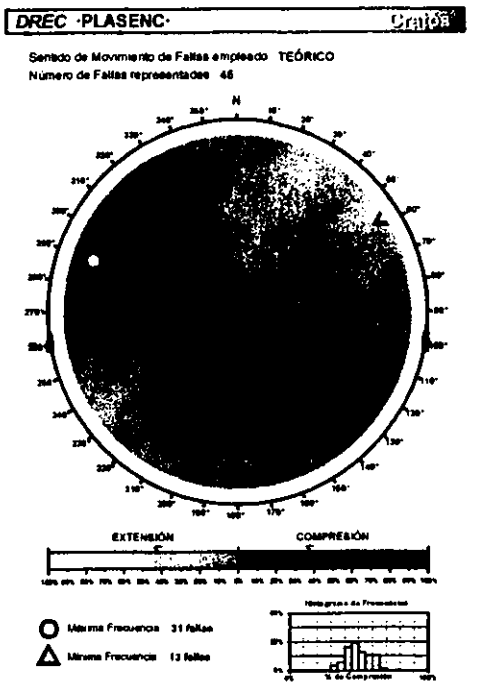
Diagrama Cabeceo/Buzamiento



Parámetros Globales
K':0,1777
PHI:23,33°
Buzamiento:59°±05°
Cabeceo:67°±14°





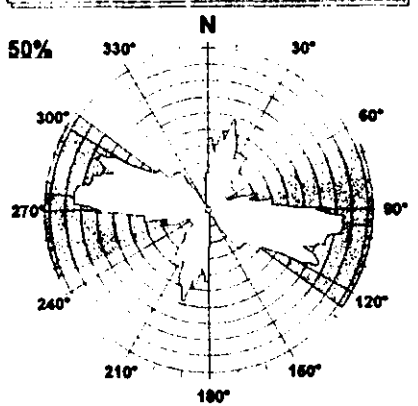


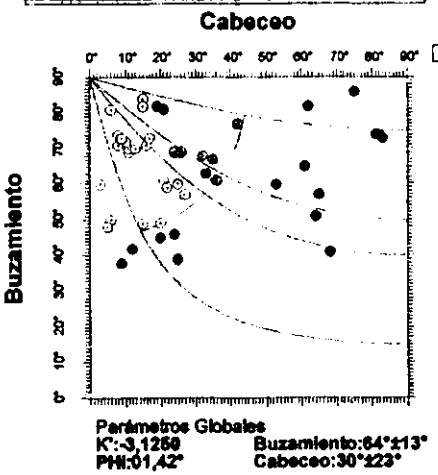
Trazas cicloográficas e histogramas del azimut, buzamiento y cabeceo

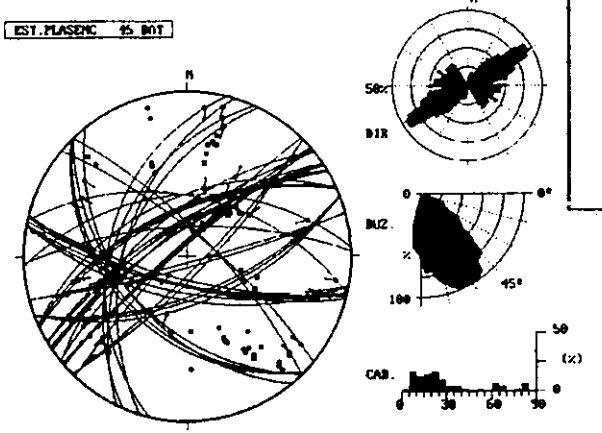
Estación: Plasenc
Coordenadas U.T.M. (metros)
X: 233300
Y: 4432100
Z: 385
Litología: Basamento hercínico
Edad: Precámbrico

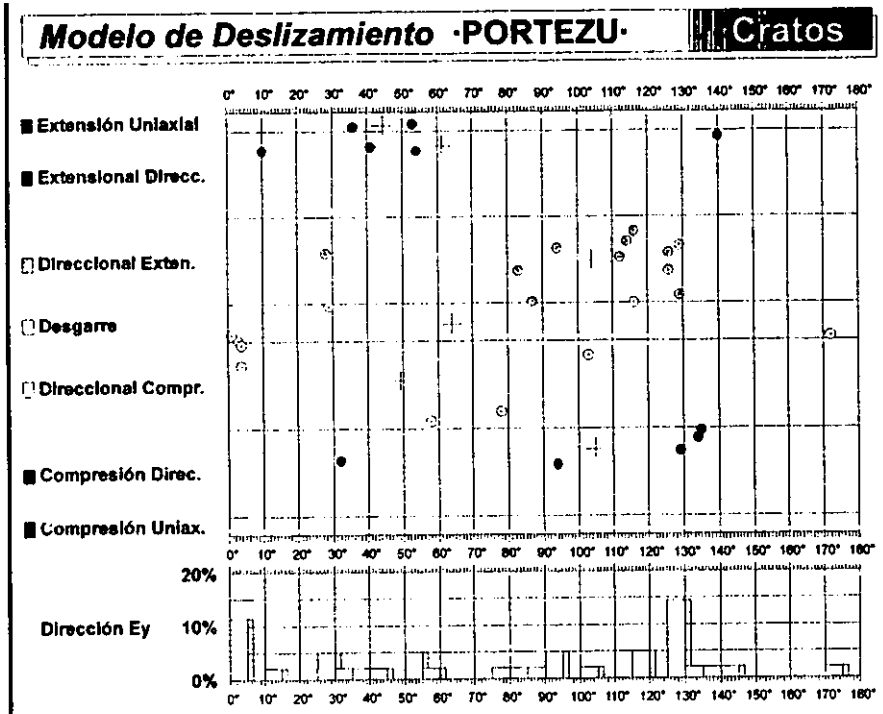
1ª Subpoblación:
Ey: 106°±11°
Buz: 65°±11°
Cab: 32°±25°
s1 08°/288°
s2 77°/152°
s3 08°/019°
R = 0.75
μ = 0.31
F.E. = 24 (29)

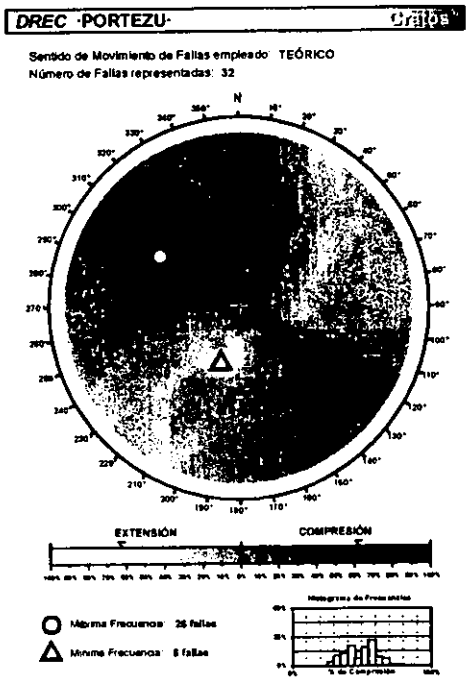
2ª Subpoblación:
Ey: 025±12°
Buz: 64°±16°
Cab: 25°±18°
s1 27°/208°
s2 07°/302°
s3 61°/047°
R = 0.25
μ = 0.31
F.E. = 12 (16)











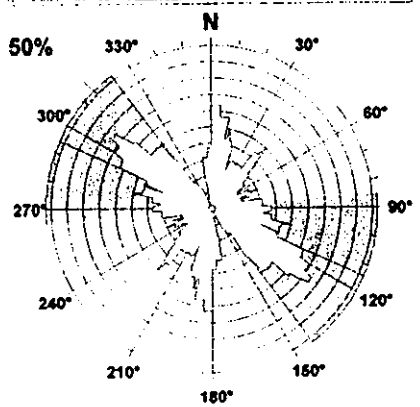
Estación: Portezu
Coordenadas U.T.M. (metros)
X: 206300
Y: 4412100
Z: 503
Litología: Carbonatos
Edad: Jurásico

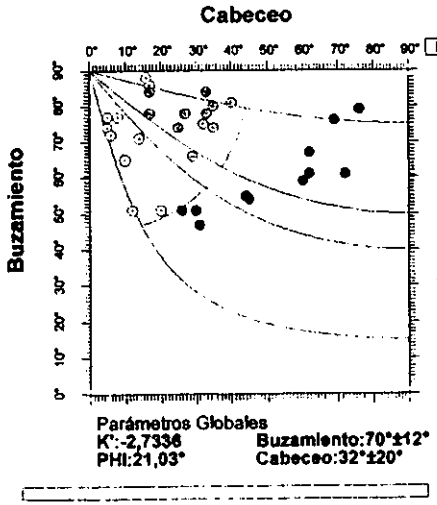
1ª Subpoblación:
Ey: 114°±10°
Buz: 70°±13°
Cab: 30°±13°
s1 13°/117°
s2 74°/265°
s3 07°/025°
R = 0.47
μ = 0.31
F.E. = 15 (18)

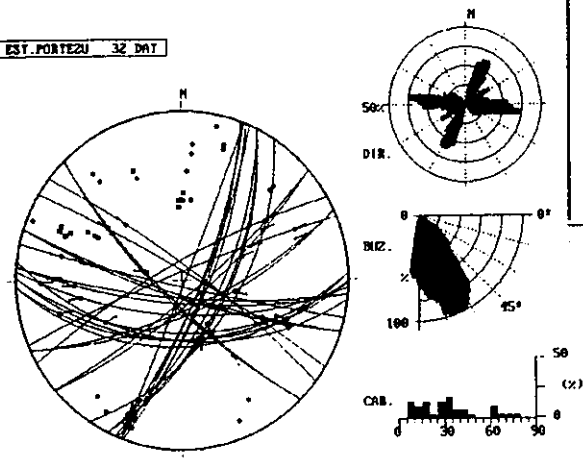
2ª Subpoblación:

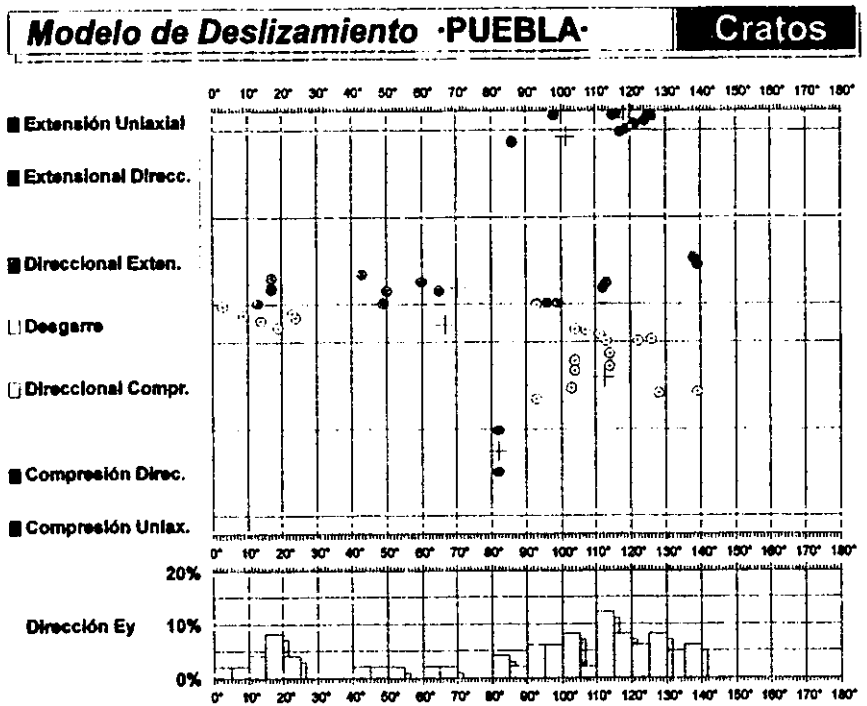
Ey: 024°±10°	Ey: 024°±10°
Buz: 69°±10°	Buz: 69°±10°
Cab: 34°±26°	Cab: 34°±26°
s1 41°/202°	s1 57°/017°
s2 48°/035°	s2 05°/116°
s3 06°/298°	s3 31°/209°
R = 0.64	R = 0.72
μ = 0.31	μ = 0.31
F.E. = 7 (14)	F.E. = 6 (14)

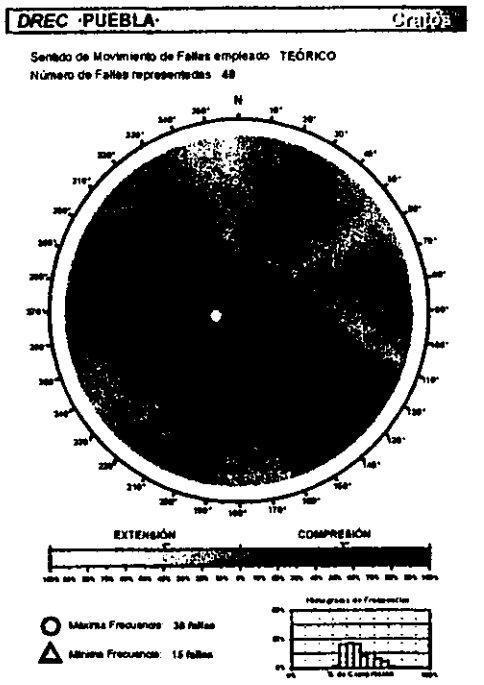
Trazas ciclográficas e histogramas del azimut, buzamiento y cabeceo









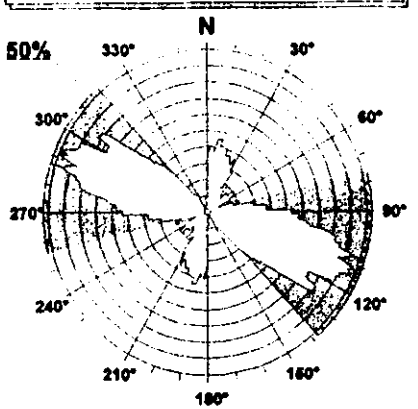


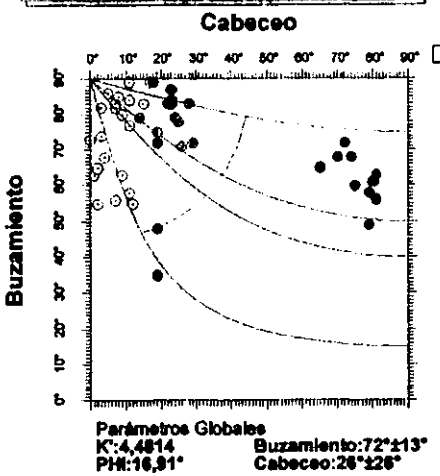
Estación: Puebla
Coordenadas U.T.M. (metros)
X: 361000
Y: 4328000
Z: 498
Litología: Basamento hercínico
Edad: paleozoico

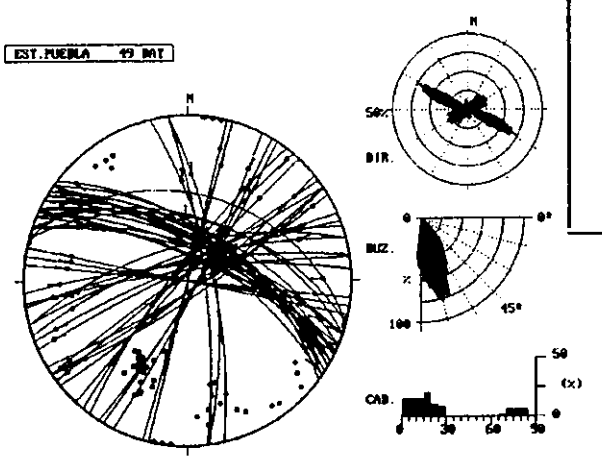
1ª Subpoblación:
Ey: 027°±10°
Buz: 84°±3°
Cab: 17°±8°
s1 83°/043°
s2 04°/184°
s3 03°/275°
R = 0.42
μ = 0.31
F.E. = 7 (15)

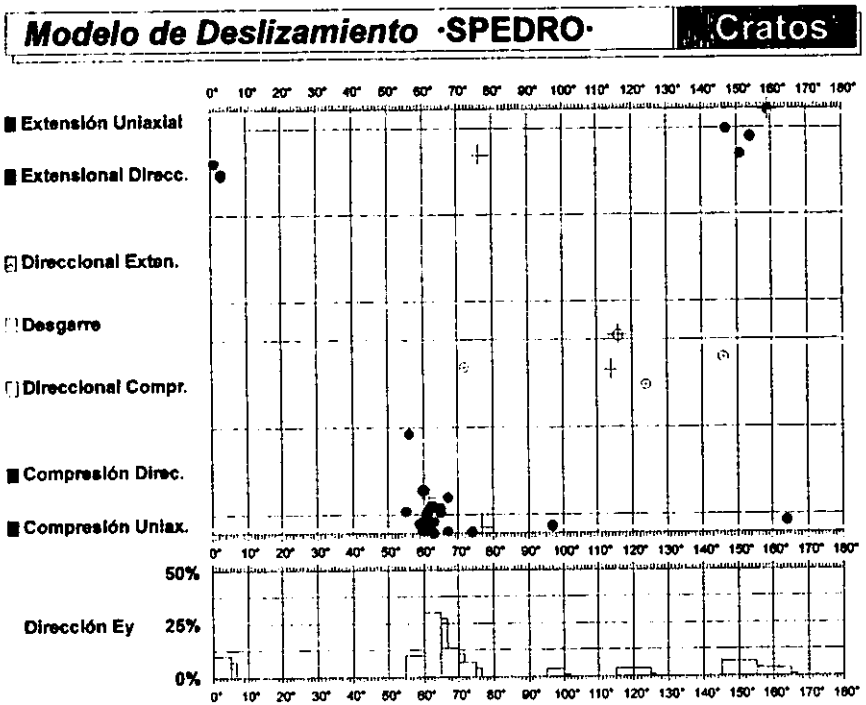
2ª Subpoblación:
Ey: 111°±9°
Buz: 67°±12°
Cab: 31°±30°
s1 28°/079°
s2 57°/290°
s3 14°/177°
R = 0.49
μ = 0.31
F.E. = 17 (34)

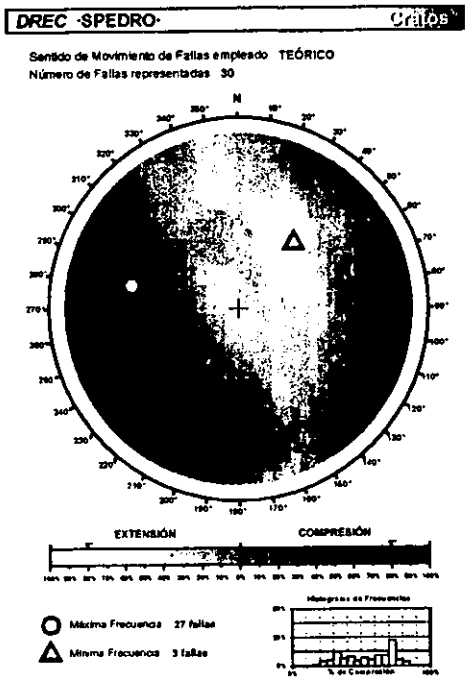
Trazas ciclográficas e histogramas del azimut, buzamiento y cabeceo









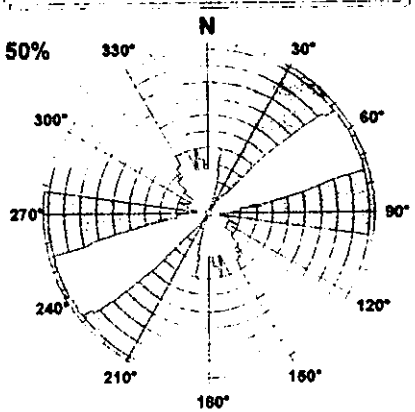


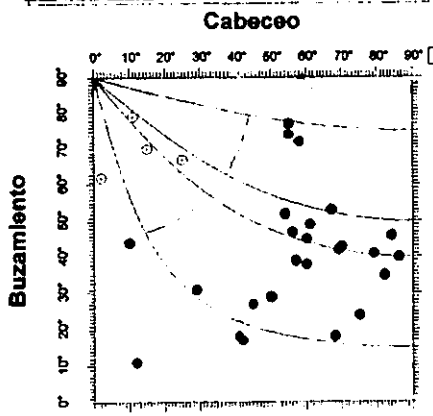
Estación: Spedro
Coordenadas U.T.M. (metros)
X: 515800
Y: 4309800
Z: 860
Litología: Basamento hercínico
Edad: Paleozoico

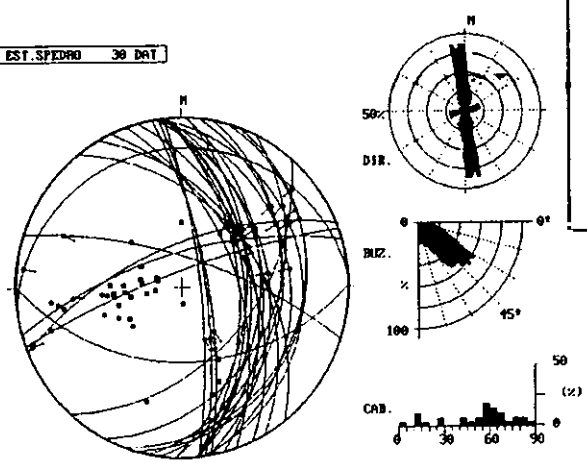
1ª Subpoblación:
Ey: 146°±11°
Buz: 57°±12°
Cab: 48°±26°
s1 --°/---°
s2 --°/---°
s3 --°/---°
R = ---
μ = ---
F.E. = 0 (8)

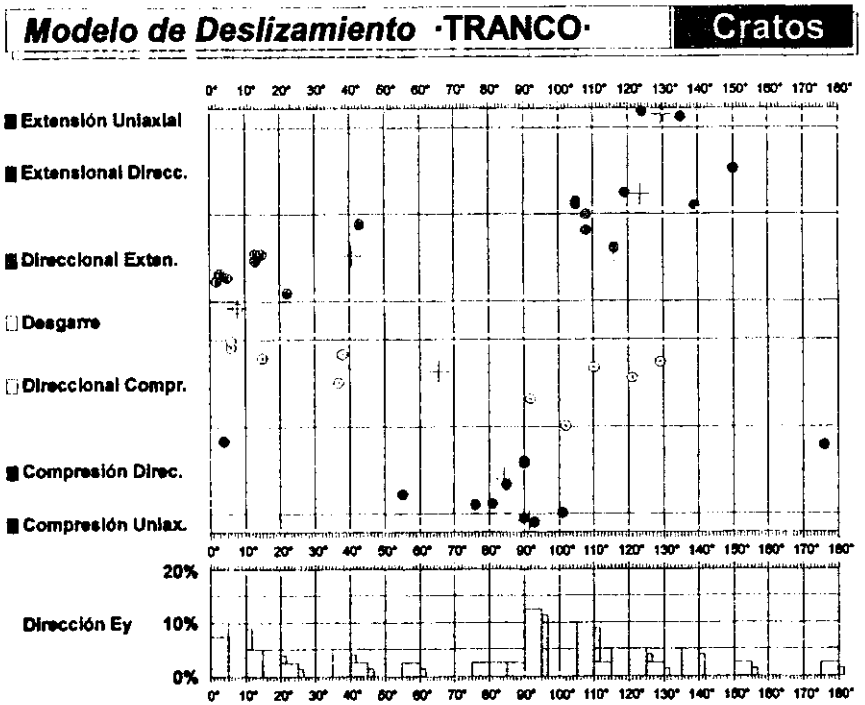
2ª Subpoblación:
Ey: 060°±20°
Buz: 40°±18°
Cab: 52°±22°
s1 07°/246°
s2 27°/152°
s3 61°/350°
R = 0.09
μ = 0.31
F.E. = 17 (22)

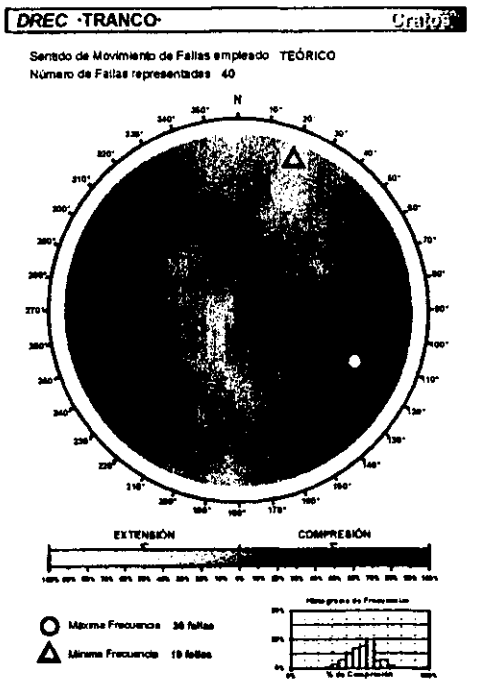
Trazas ciclográficas e histogramas del azimut, buzamiento y cabeceo











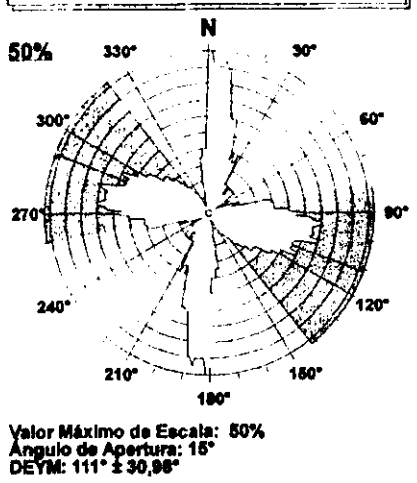
Estación: Tranco
Coordenadas U.T.M. (metros)
X: 517400
Y: 4226100
Z: 720
Litología: Carbonatos
Edad: Jurásico

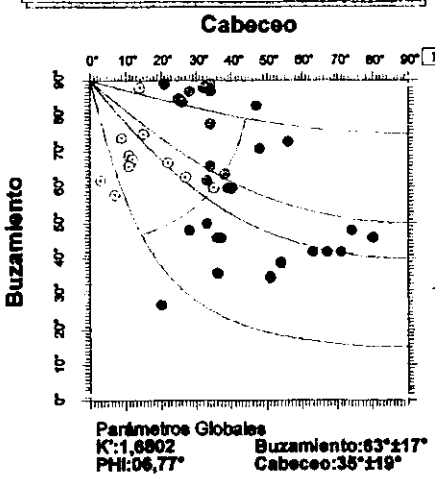
1ª Subpoblación:
Ey: 107°±11°
Buz: 56°±14°
Cab: 44°±19°
s1 04°/109°
s2 69°/211°
s3 19°/017°
R = 0.48
μ = 0.40
F.E. = 19 (23)

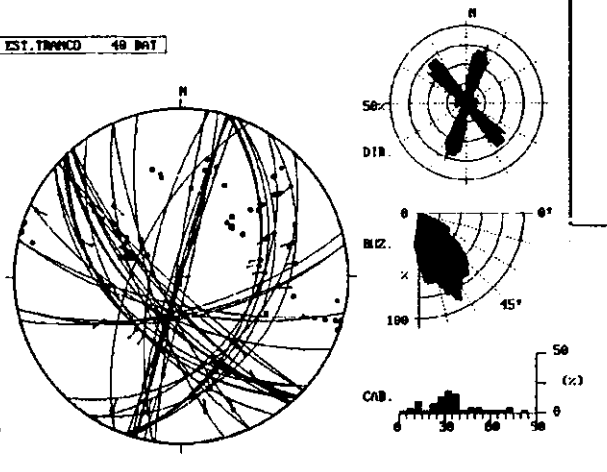
2ª Subpoblación:

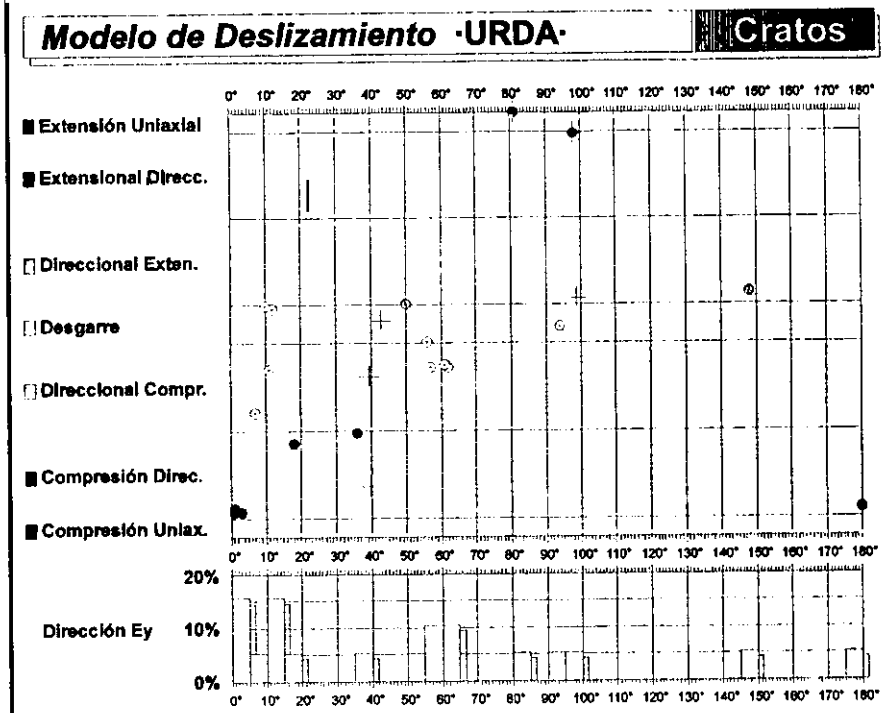
Ey: 016°±10°	Ey: 016°±10°
Buz: 72°±18°	Buz: 72°±18°
Cab: 22°±9°	Cab: 22°±9°
s1 16°/186°	s1 09°/069°
s2 72°/012°	s2 74°/195°
s3 01°/276°	s3 11°/337°
R = 0.27	R = 0.34
μ = 0.50	μ = 0.50
F.E. = 10 (17)	F.E. = 6 (17)

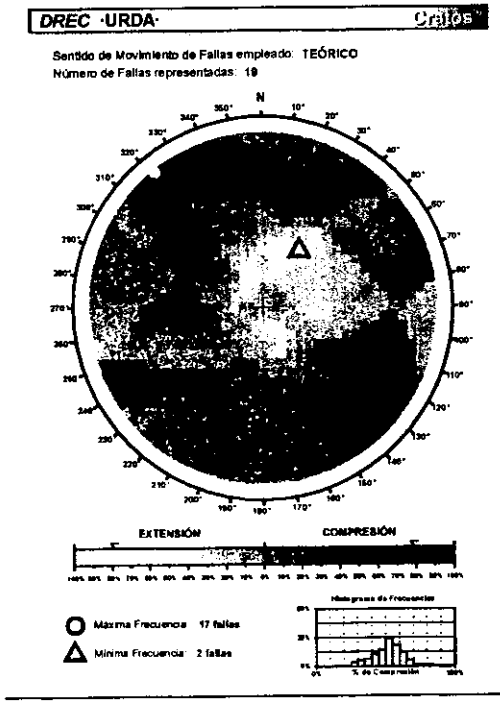
Trazas ciclográficas e histogramas del azimut, buzamiento y cabeceo











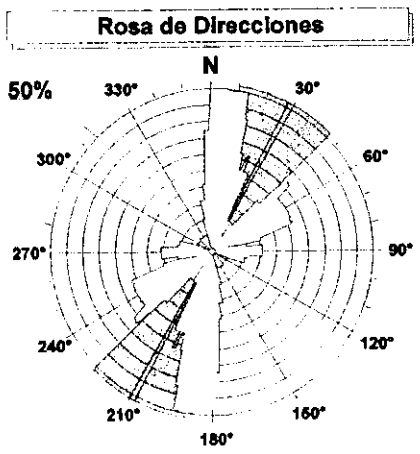
Estación: Urda
Coordenadas U.T.M. (metros)
X: 445400
Y: 4347600
Z: 940
Litología: Basamento hercínico
Edad: Paleozoico

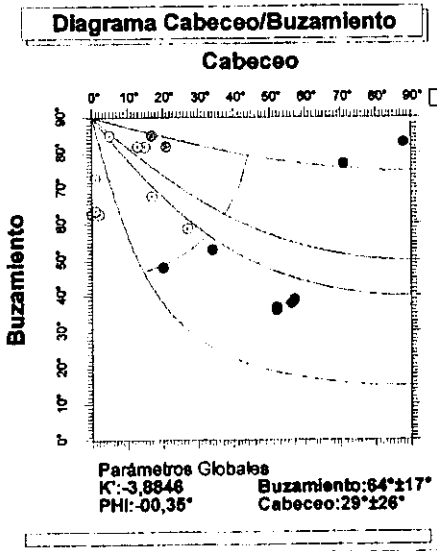
1ª Subpoblación:
Ey: 101°±20°
Buz: 82°±3°
Cab: 46°±34°
s1 --°/---°
s2 --°/---°
s3 --°/---°
R = ---
μ = ---
F.E. = 0 (4)

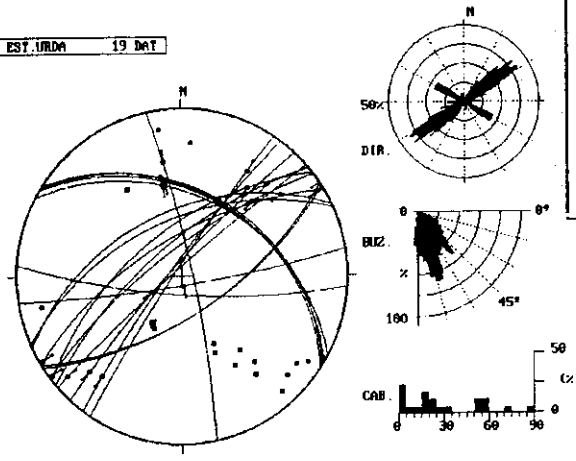
2ª Subpoblación:

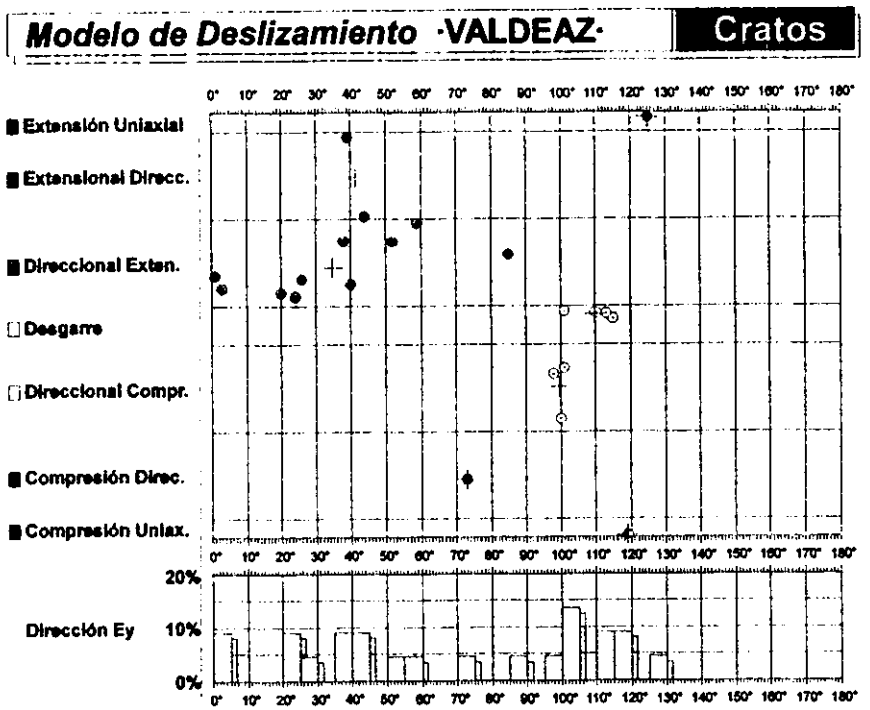
Ey: 024°±10°	Ey: 024°±10°
Buz: 59°±16°	Buz: 59°±16°
Cab: 24°±20°	Cab: 24°±20°
s1 07°/084°	s1 11°/017°
s2 80°/232°	s2 65°/132°
s3 04°/354°	s3 21°/282°
R = 0.23	R = 0.24
μ = 0.40	μ = 0.31
F.E. = 5 (15)	F.E. = 10 (15)

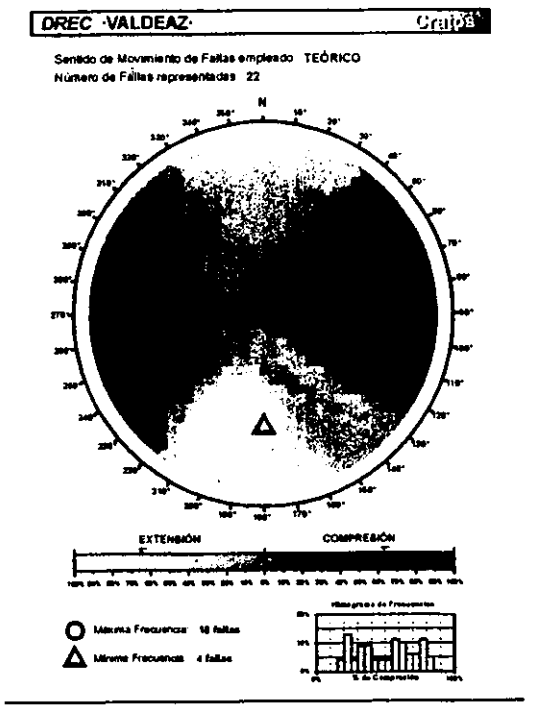
Trazas ciclográficas e histogramas del azimut, buzamiento y cabeceo











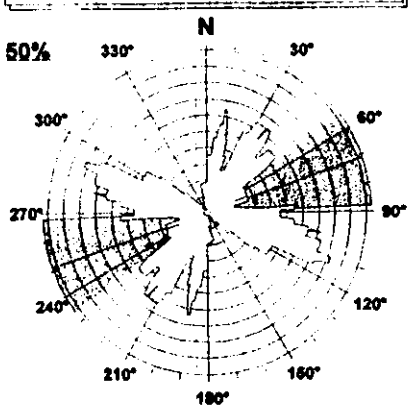
Trazas cicloográficas e histogramas del azimut, buzamiento y cabeceo

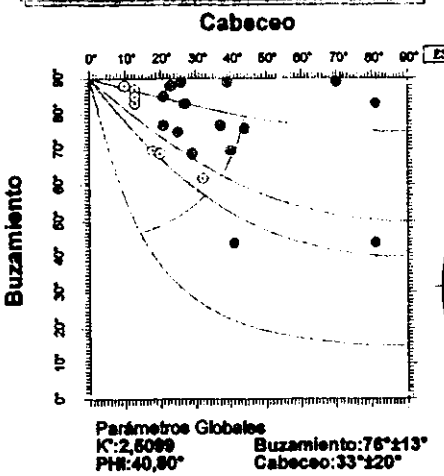
Estación: Valdeaz
Coordenadas U.T.M. (metros)
X: 337800
Y: 4288800
Z: 370
Litología: Basamento hercínico
Edad: Paleozoico

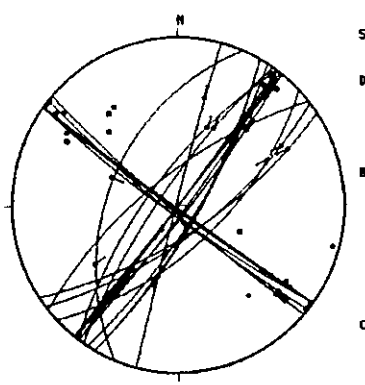
1ª Subpoblación:
Ey: 104°±9°
Buz: 71°±15°
Cab: 32°±25°
s1 27°/102°
s2 62°/285°
s3 01°/193°
R = 0.43
μ = 0.31
F.E. = 10 (11)

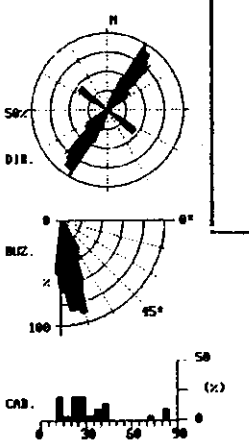
2ª Subpoblación:

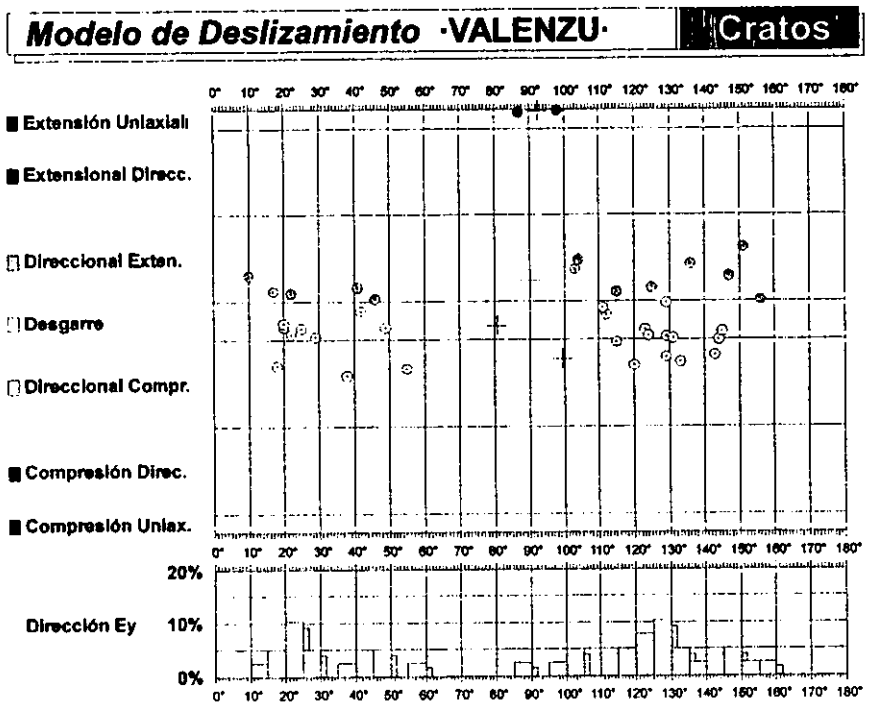
Ey: 032°±10°	Ey: 032°±10°
Buz: 82°±7°	Buz: 82°±7°
Cab: 34°±14°	Cab: 34°±14°
s1 33°/039°	s1 31°/038°
s2 56°/221°	s2 58°/222°
s3 00°/130°	s3 01°/129°
R = 0.33	R = 0.02
μ = 1.91	μ = 0.40
F.E. = 6 (11)	F.E. = 5 (11)

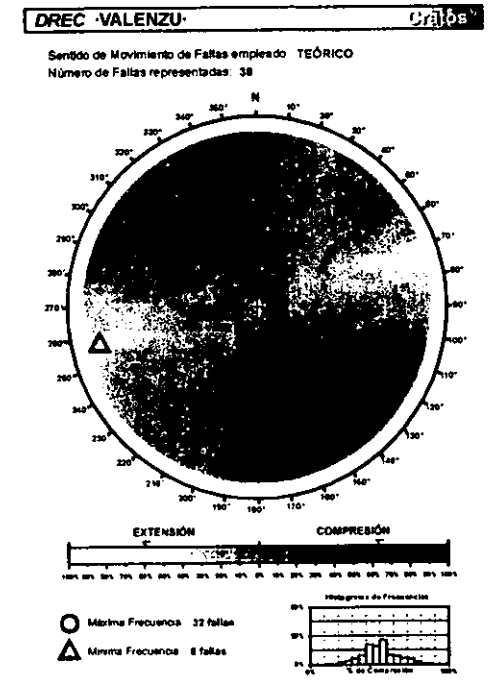












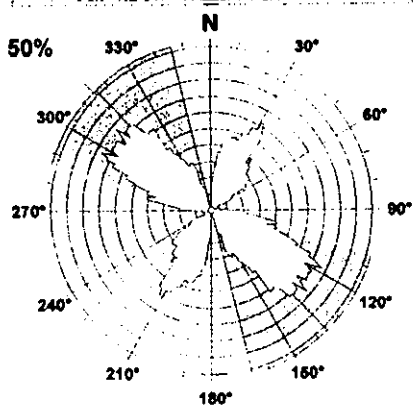
Estación: Valenzu
Coordenadas U.T.M. (metros)
X: 435200
Y: 4298200
Z: 720
Litología: Colada lávica
Edad: Mioceno sup.-Pleistoceno inf.

1ª Subpoblación:
Ey: 030°±6°
Buz: 77°±6°
Cab: 13°±6°
s1 17°/208°
s2 71°/009°
s3 05°/116°
R = 0.72
μ = 0.31
F.E. = 15 (15)

2ª Subpoblación:
Ey: 126°±10°
Buz: 78°±5°
Cab: 22°±20°
s1 04°/312°
s2 85°/127°
s3 00°/222°
R = 0.63
μ = 0.31
F.E. = 20 (24)

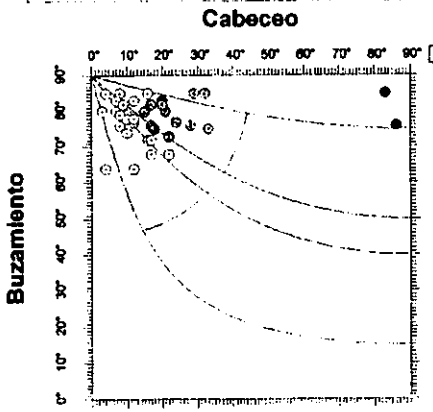
Trazas ciclográficas e histogramas del azimut, buzamiento y cabeceo

Rosa de Direcciones

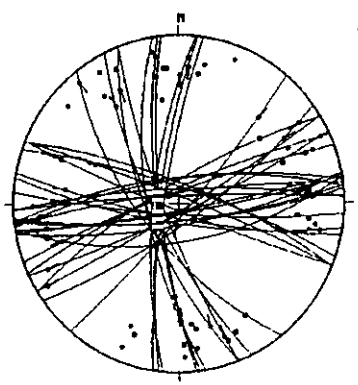


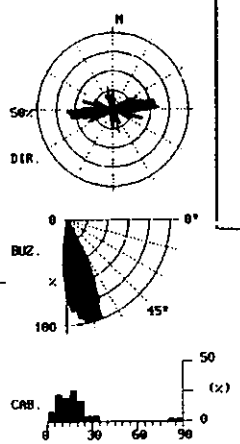
Valor Máximo de Escala: 50%
Ángulo de Apertura: 15°
DEYM: 136° ± 29,99°

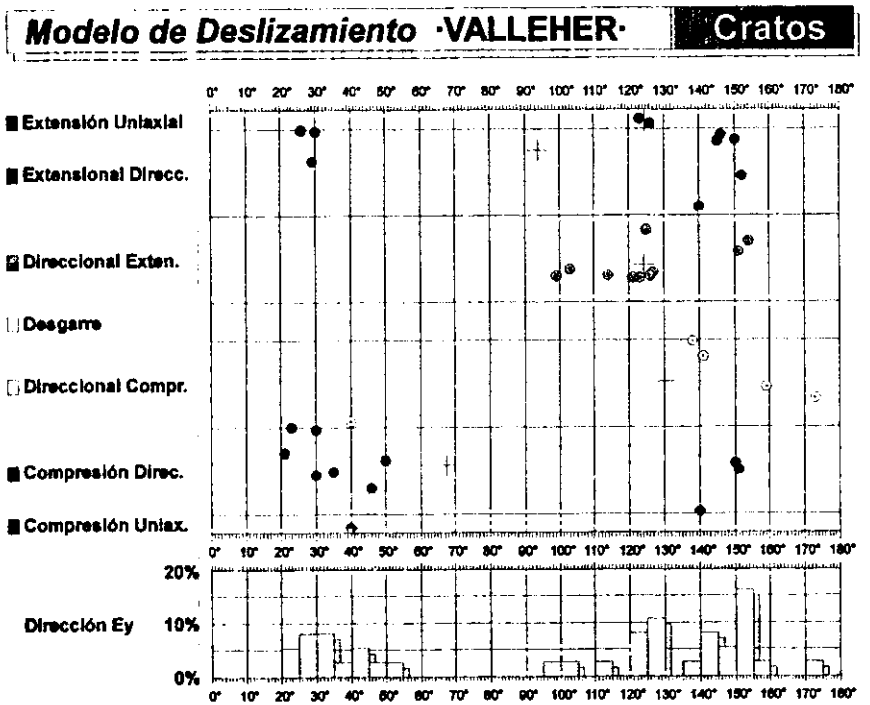
Diagrama Cabeceo/Buzamiento

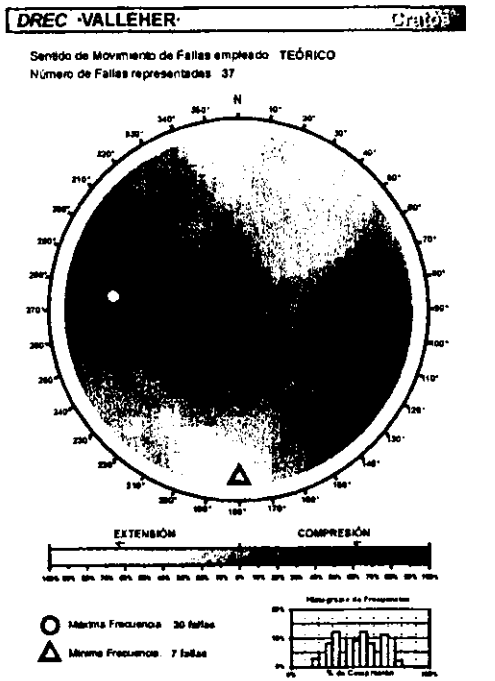


Parámetros Globales
K':-6,3269 Buzamiento:78°±06°
PHI:23,72° Cabeceo:19°±17°









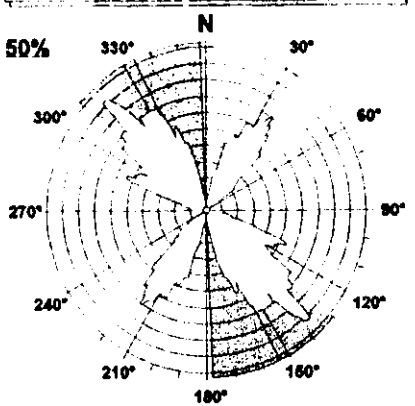
Estación: Valleher
Coordenadas U.T.M. (metros)
X: 486300
Y: 4302200
Z: 760
Litología: Basamento hercínico
Edad: Paleozoico

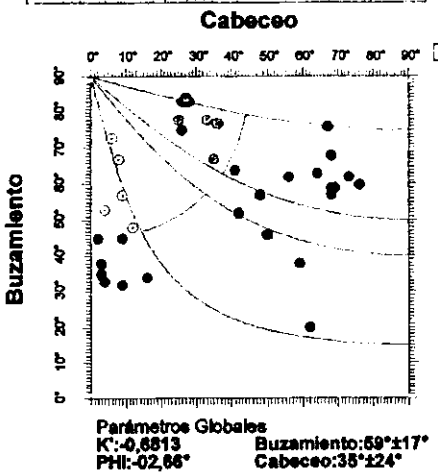
1ª Subpoblación:

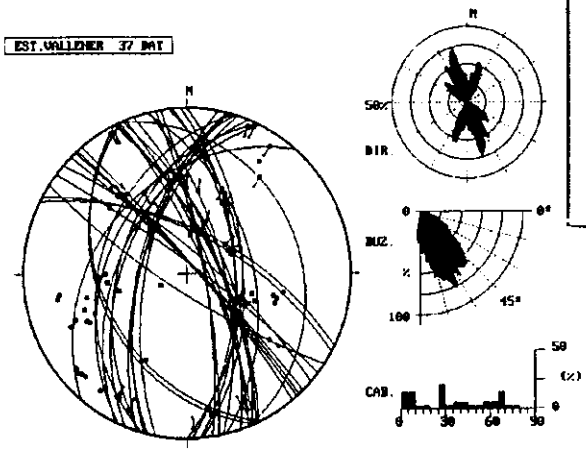
Ey: 033°±5°	Ey: 033°±5°
Buz: 46°±12°	Buz: 46°±12°
Cab: 36°±26°	Cab: 36°±26°
s1 04°/207°	s1 31°/026°
s2 43°/301°	s2 33°/139°
s3 46°/113°	s3 40°/264°
R = 0.14	R = 0.58
μ = 1.41	μ = 0.31
F.E. = 7 (13)	F.E. = 6 (13)

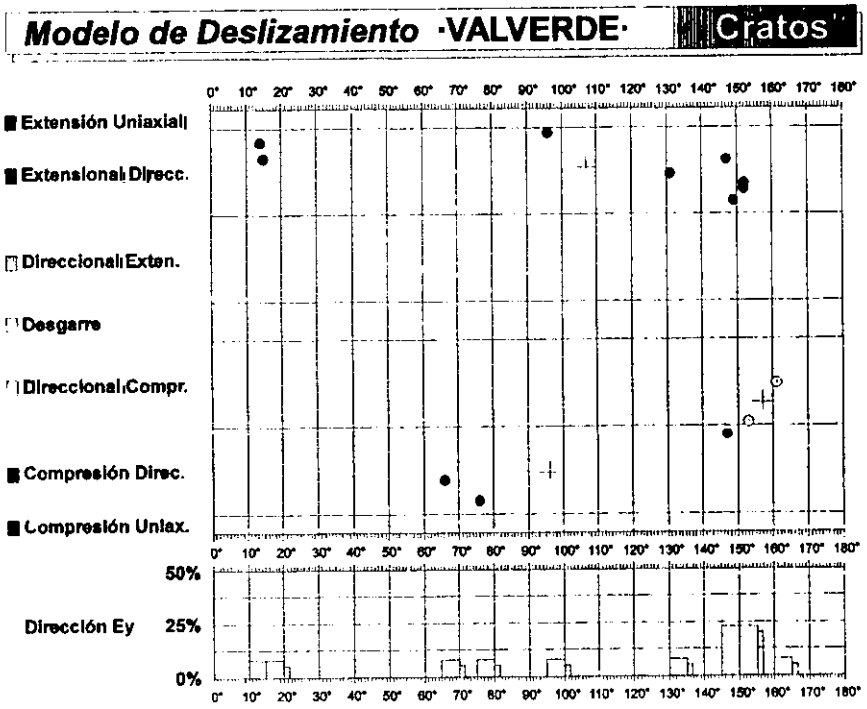
2ª Subpoblación:
Ey: 137°±10°
Buz: 67°±15°
Cab: 34°±23°
s1 08°/119°
s2 78°/254°
s3 07°/028°
R = 0.65
μ = 0.31
F.E. = 20 (24)

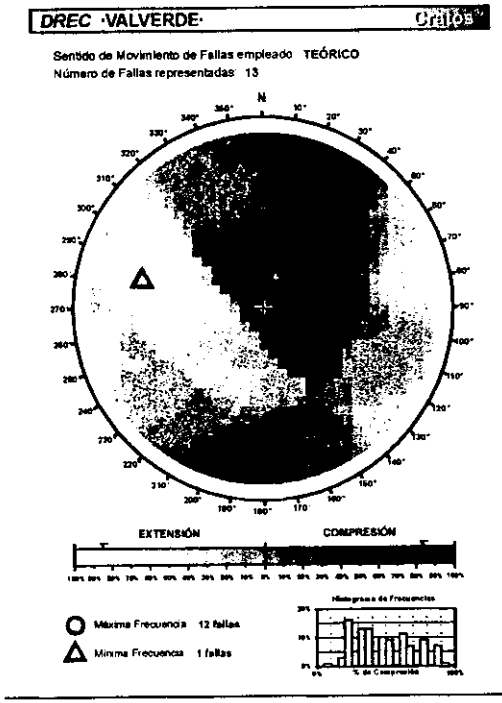
Trazas ciclográficas e histogramas del azimut, buzamiento y cabeceo









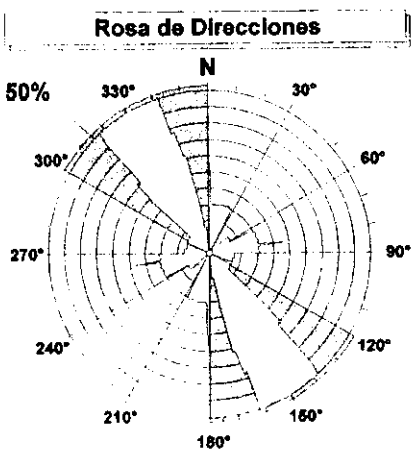


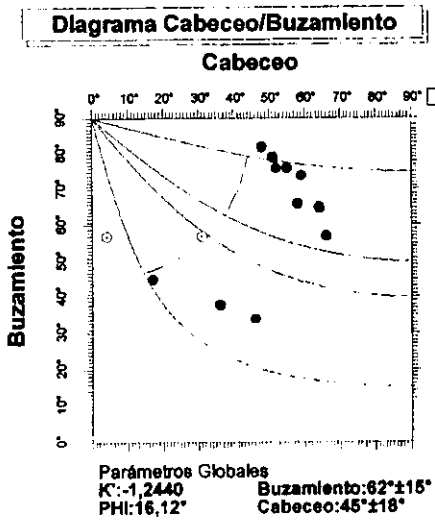
Estación: Valverde
Coordenadas U.T.M. (metros)
X: 407500
Y: 4325700
Z: 620
Litología: Colada lávica
Edad: Mioceno sup.-Pleistoceno inf.

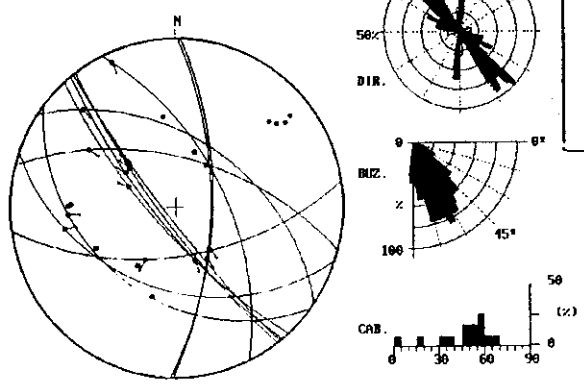
1ª Subpoblación:
Ey: 149°±6°
Buz: 68°±13°
Cab: 40°±19°
s1 24°/002°
s2 45°/120°
s3 34°/254°
R = 0.70
μ = 0.31
F.E. = 6 (8)

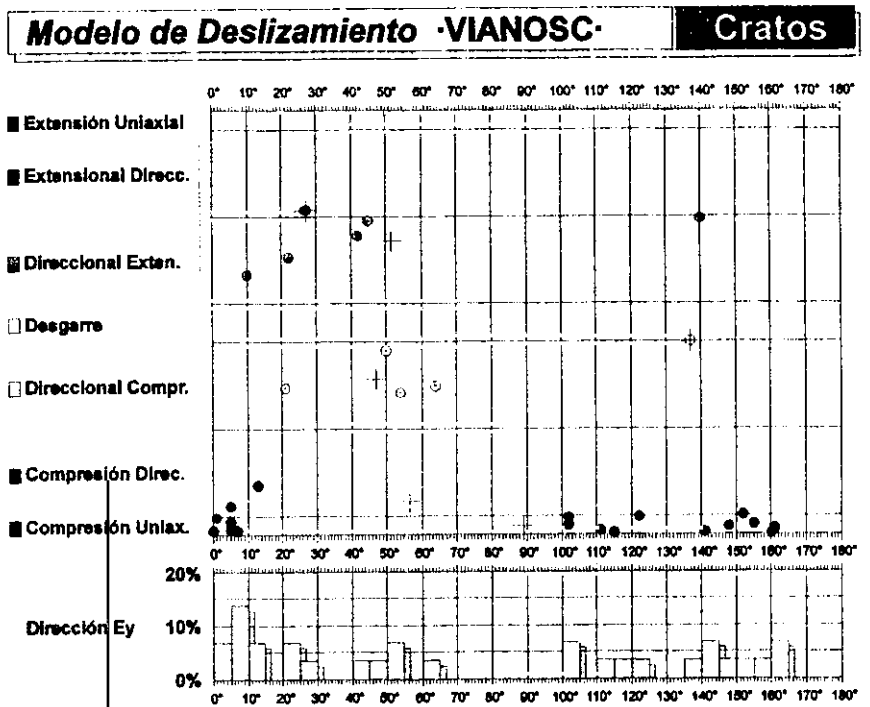
2ª Subpoblación:
Ey: 056°±14°
Buz: 52°±13°
Cab: 54°±11°
s1 --°/---°
s2 --°/---°
s3 --°/---°
R = ---
μ = ---
F.E. = 0 (5)

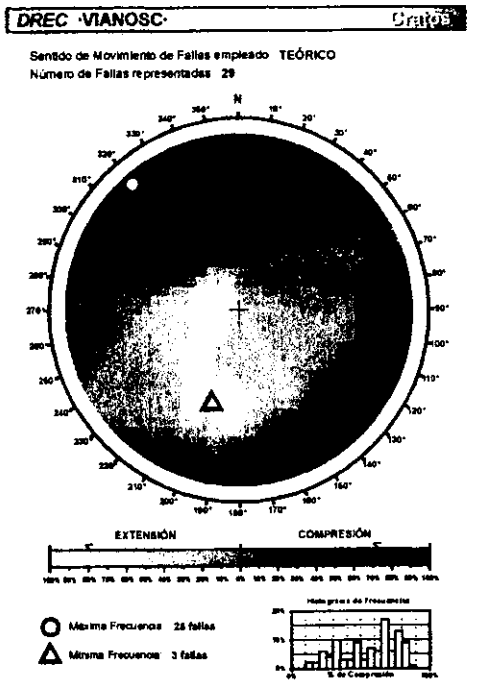
Trazas ciclográficas e histogramas del azimut, buzamiento y cabeceo









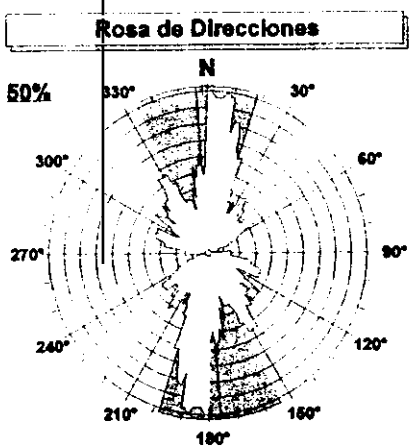


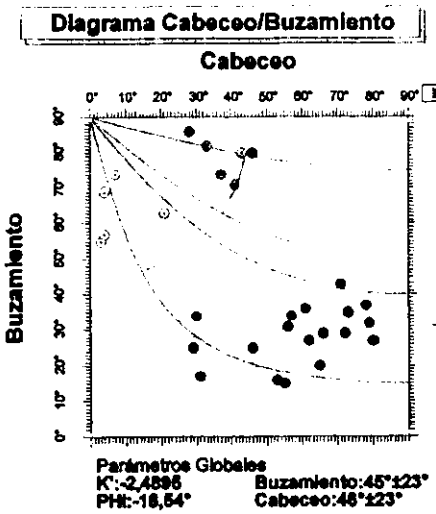
Trazas cicloográficas e histogramas del azimut, buzamiento y cabeceo

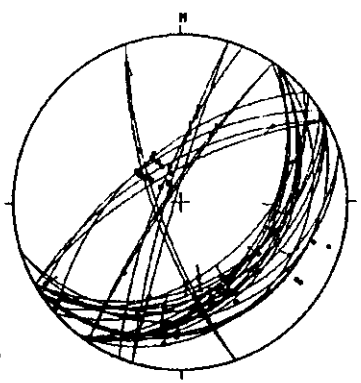
Estación: Vianosc
Coordenadas U.T.M. (metros)
X: 544500
Y: 4274250
Z: 1180
Litología: Carbonatos
Edad: Jurásico

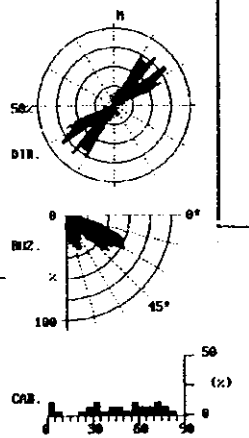
1ª Subpoblación:
Ey: 135°±10°
Buz: 38°±15°
Cab: 61°±19°
s1 22°/158°
s2 28°/261°
s3 52°/035°
R = 0.08
μ = 0.61
F.E. = 13 (13)

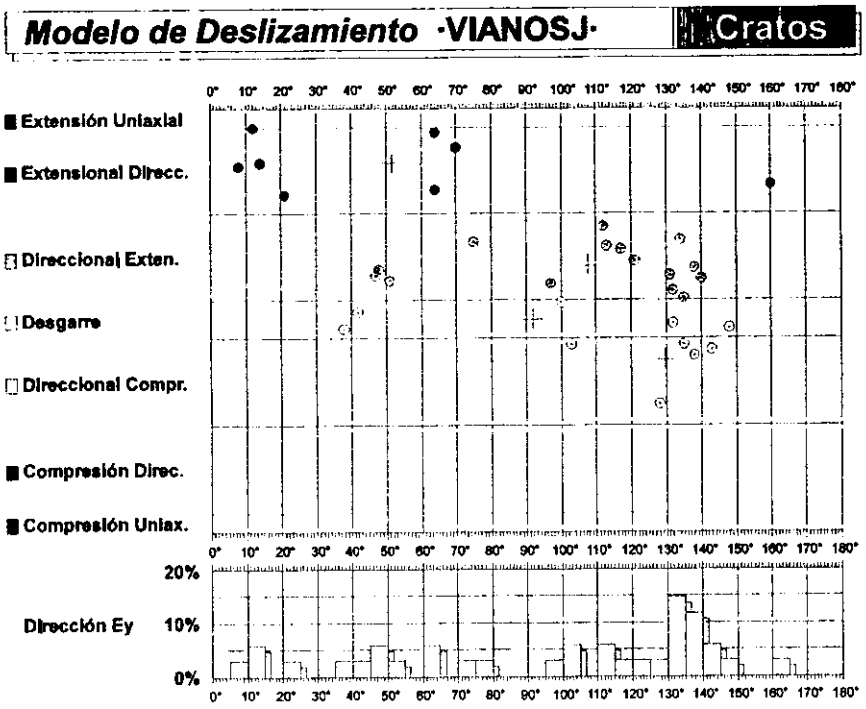
2ª Subpoblación:
Ey: 022°±11°
Buz: 50°±26°
Cab: 34°±19°
s1 47°/005°
s2 15°/258°
s3 38°/155°
R = 0.34
μ = 0.31
F.E. = 11 (16)

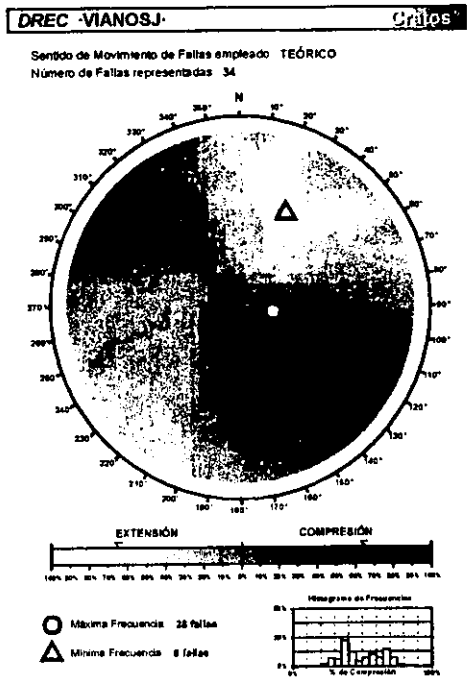










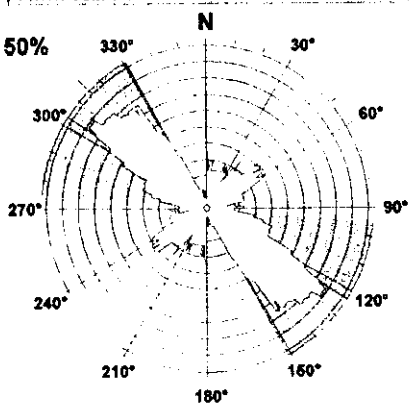


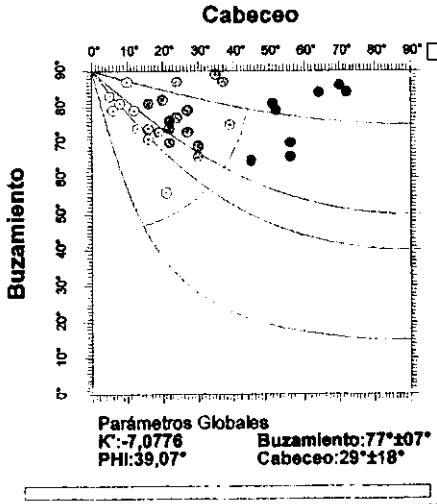
Estación: Vianosj
Coordenadas U.T.M. (metros)
X: 543900
Y: 4277750
Z: 1080
Litología: Carbonatos
Edad: Jurásico

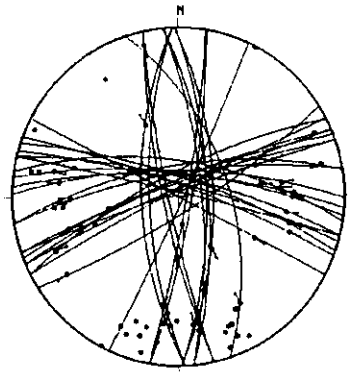
1ª Subpoblación:	
Ey: 128°±10°	Ey: 128°±10°
Buz: 76°±7°	Buz: 76°±7°
Cab: 22°±11°	Cab: 22°±11°
s1 03°/296°	s1 81°/112°
s2 75°/039°	s2 07°/316°
s3 13°/205°	s3 03°/226°
R = 0.67	R = 0.70
μ = 0.31	μ = 0.31
F.E. = 9 (21)	F.E. = 11 (21)

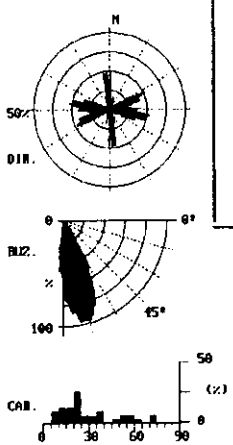
2ª Subpoblación:
Ey: 043°±12°
Buz: 78°±7°
Cab: 41°±22°
s1 84°/337°
s2 01°/228°
s3 05°/138°
R = 0.45
μ = 0.31
F.E. = 9 (13)

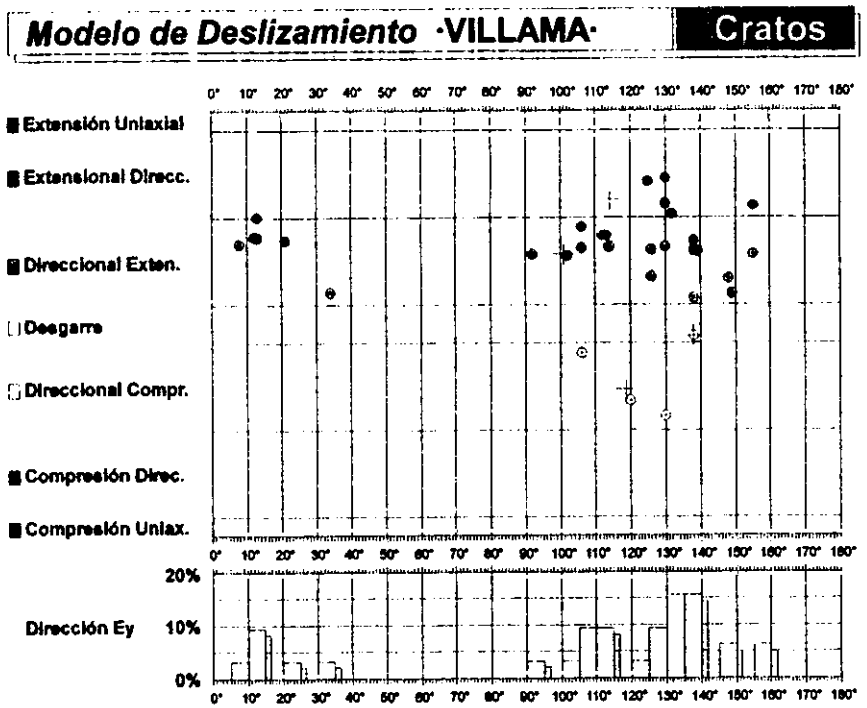
Trazas ciclográficas e histogramas del azimut, buzamiento y cabeceo

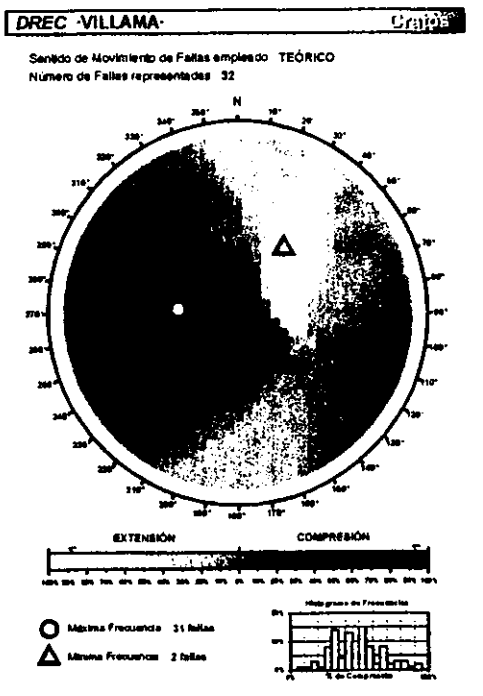










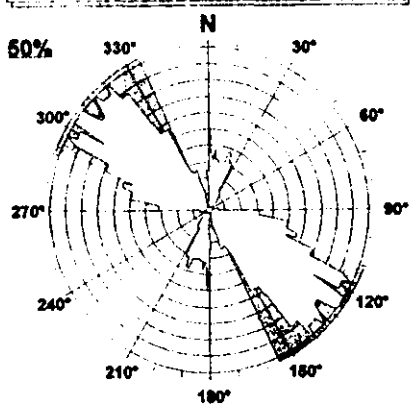


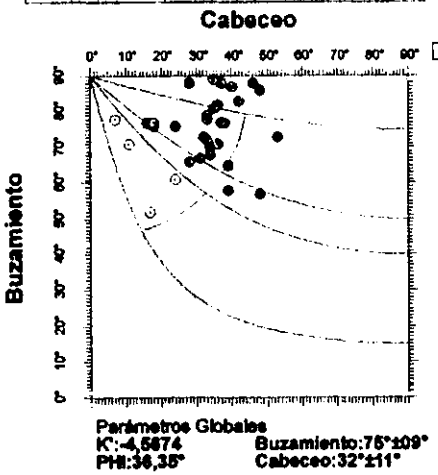
Estación: Villama
Coordenadas U.T.M. (metros)
X: 502200
Y: 4267300
Z: 872
Litología: Basamento hercinico
Edad: Paleozoico

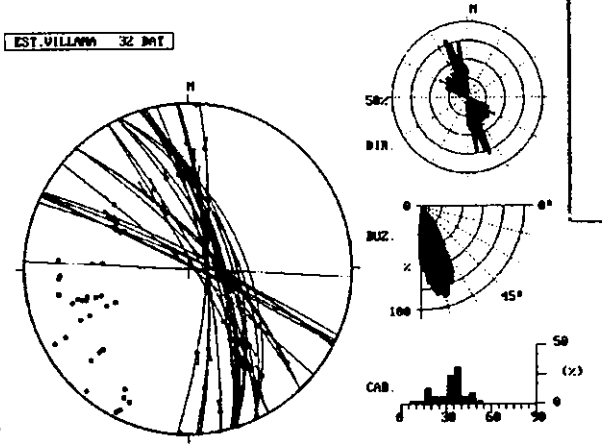
1ª Subpoblación:
Ey: 127°±10°
Buz: 75°±10°
Cab: 32°±11°
s1 89°/350°
s2 00°/107°
s3 00°/197°
R = 0.62
μ = 0.31
F.E. = 16 (26)

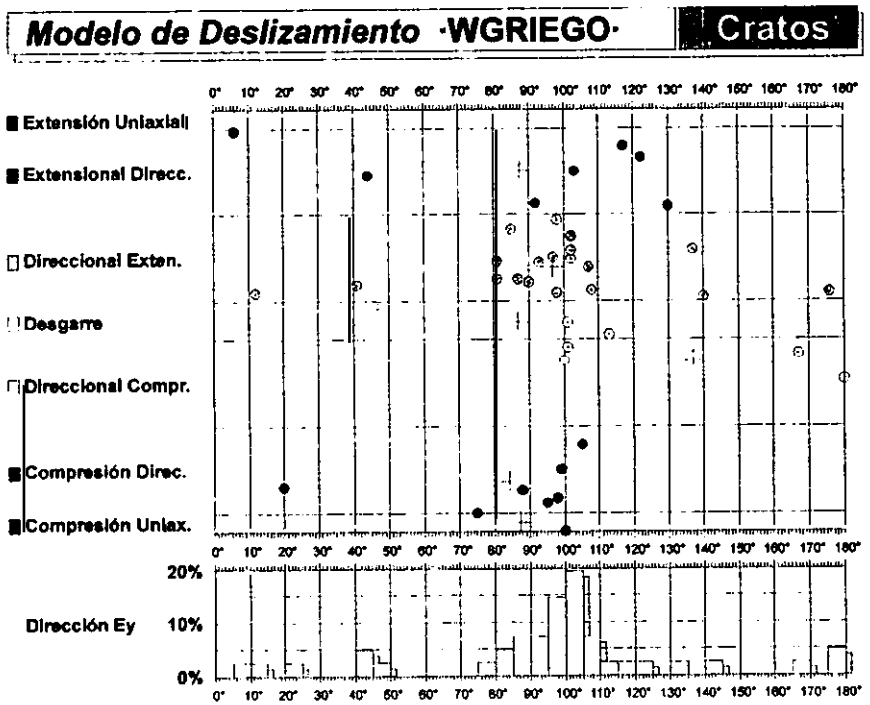
2ª Subpoblación:
Ey: 017°±5°
Buz: 72°±5°
Cab: 33°±7°
s1 75°/051°
s2 10°/187°
s3 09°/279°
R = 0.56
μ = 1.21
F.E. = 6 (6)

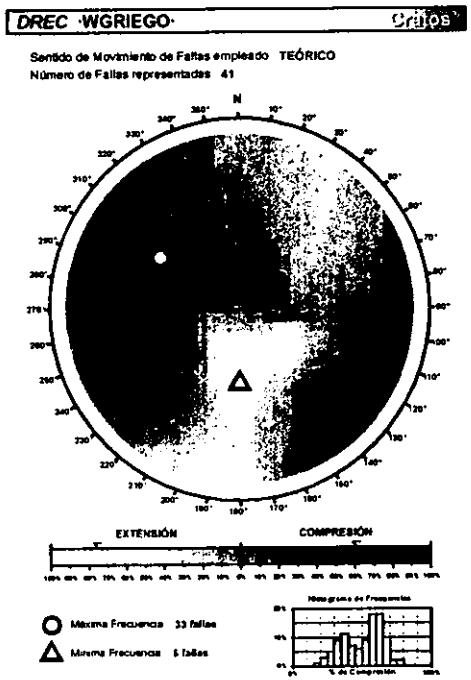
Trazas cicloográficas e histogramas del azimut, buzamiento y cabeceo











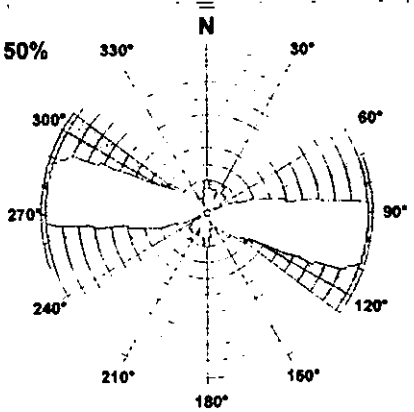
Trazas ciclográficas e histogramas del azimut, buzamiento y cabeceo

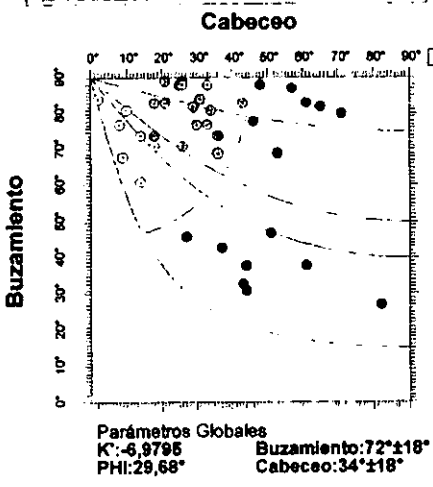
Estación: Wgriego
Coordenadas U.T.M. (metros)
X: 575000
Y: 4273250
Z: 1080
Litología: Carbonatos
Edad: Jurásico

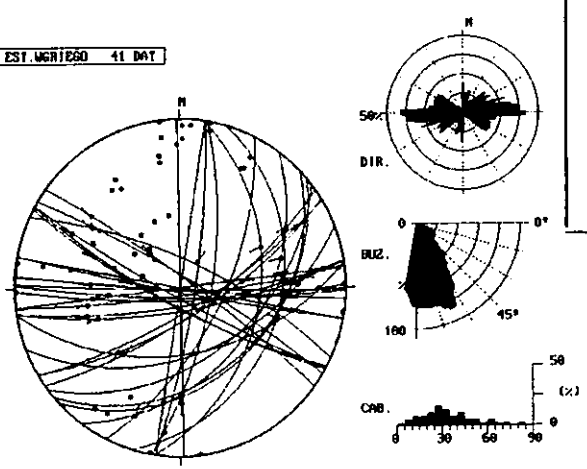
1ª Subpoblación:

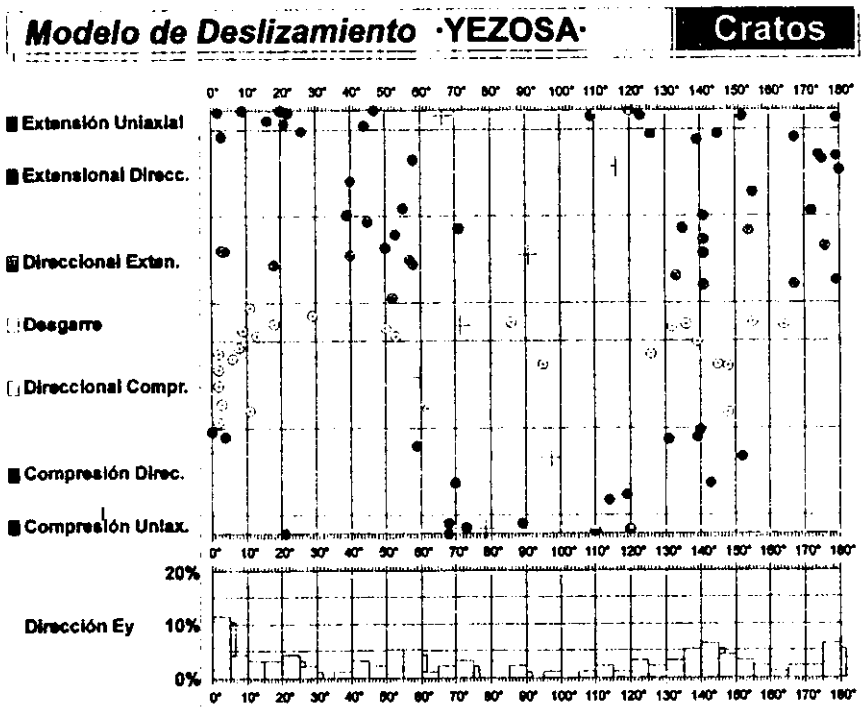
Ey: 101°±11°	Ey: 101°±11°
Buz: 71°±19°	Buz: 71°±19°
Cab: 35°±17°	Cab: 35°±17°
s1 16°/287°	s1 11°/066°
s2 73°/120°	s2 43°/325°
s3 03°/018°	s3 44°/168°
R = 0.38	R = 0.20
μ = 0.40	μ = 0.31
F.E. = 22 (32)	F.E. = 6 (32)

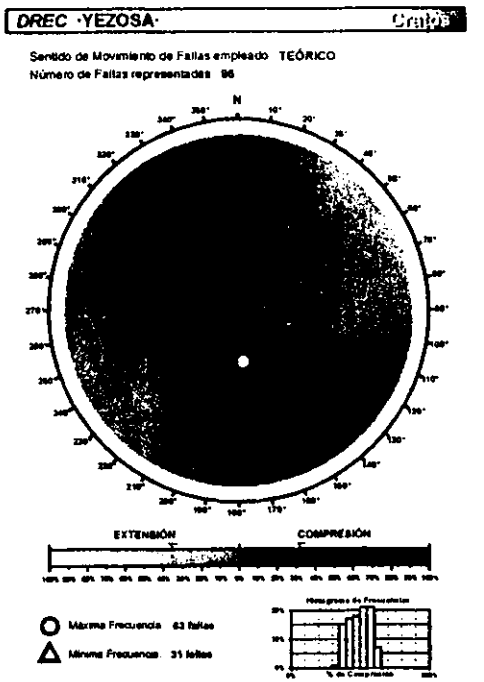
2ª Subpoblación:
Ey: 016°±10°
Buz: 73°±13°
Cab: 30°±21°
s1 35°/036°
s2 45°/174°
s3 22°/289°
R = 0.47
μ = 0.31
F.E. = 5 (9)











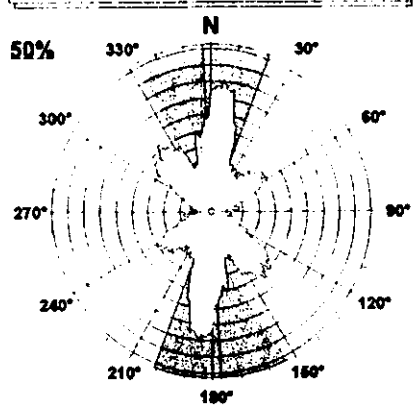
Trazas cicloográficas e histogramas del azimut, buzamiento y cabeceo

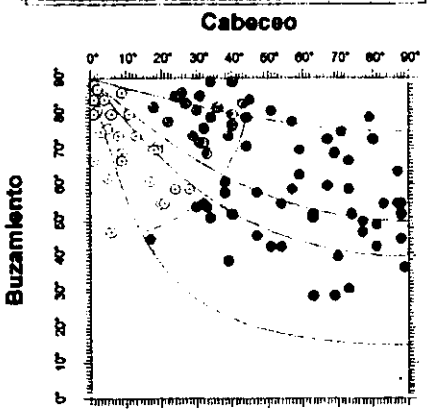
Estación: Yezosa
Coordenadas U.T.M. (metros)
X: 441700
Y: 4299200
Z: 710
Litología: Colada lávica
Edad: Mioceno sup.-Pleistoceno inf.

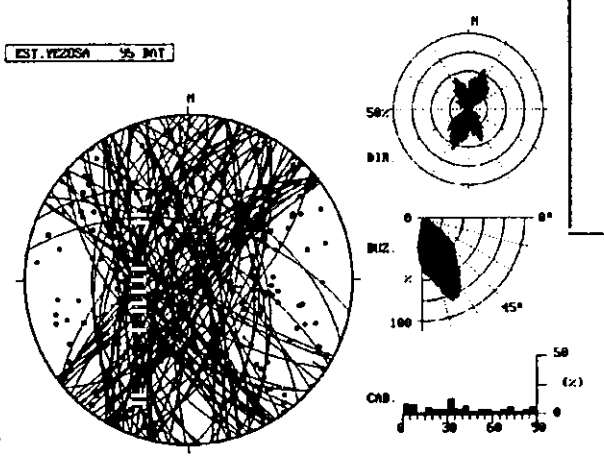
1ª Subpoblación:
Ey: 139°±9°
Buz: 65°±15°
Cab: 40°±26°
s1 16°/316°
s2 69°/170°
s3 10°/049°
R = 0.43
μ = 0.31
F.E. = 27 (35)

2ª Subpoblación:

Ey: 026°±14°	Ey: 026°±14°
Buz: 66°±15°	Buz: 66°±15°
Cab: 41°±27°	Cab: 41°±27°
s1 80°/219°	s1 12°/011°
s2 09°/025°	s2 02°/101°
s3 02°/116°	s3 77°/202°
R = 0.24	R = 0.19
μ = 0.81	μ = 0.31
F.E. = 31 (60)	F.E. = 17 (60)

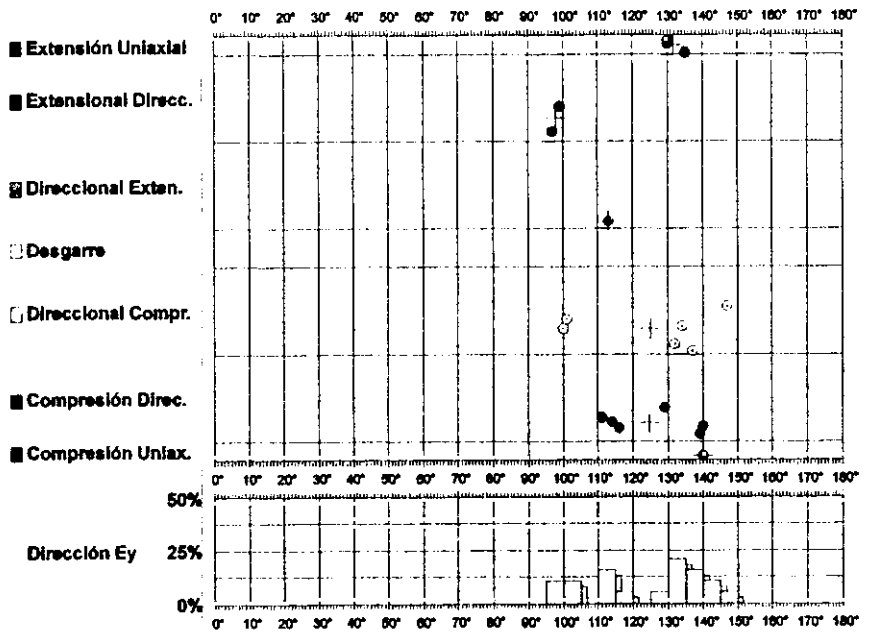


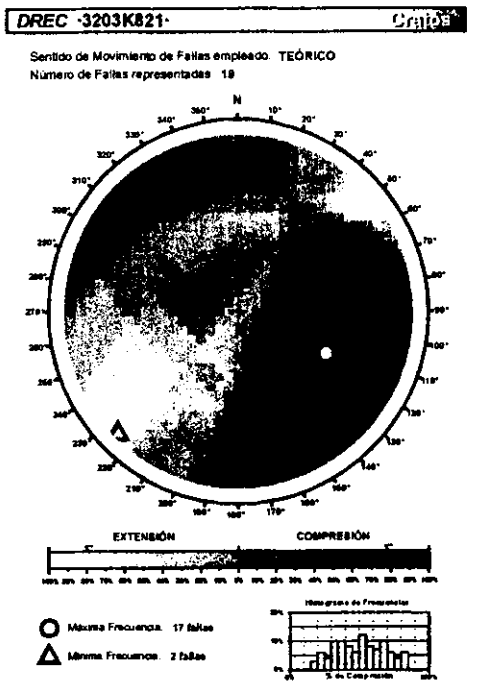




FACULTAD DE CIENCIAS GEOLOGICAS - BIBLIOTECA

Modelo de Deslizamiento ·3203K821· Cratos





Estación: 3203K82
Coordenadas U.T.M. (metros)
X:582800
Y:4257150
Z:700
Litología: Carbonatos
Edad: indiferenciada (Cret. y Mioc. sup.)

1ª Subpoblación:	
Ey: 124°±7°	Ey: 124°±7°
Buz: 48°±14°	Buz: 48°±14°
Cab: 36°±24°	Cab: 36°±24°
s1 01°/308°	s1 21°/121°
s2 82°/202°	s2 23°/220°
s3 07°/038°	s3 57°/353°
R = 0.20	R = 0.39
μ = 0.91	μ = 0.31
F.E. = 11 (19)	F.E. = 5 (19)

Rosa de Direcciones

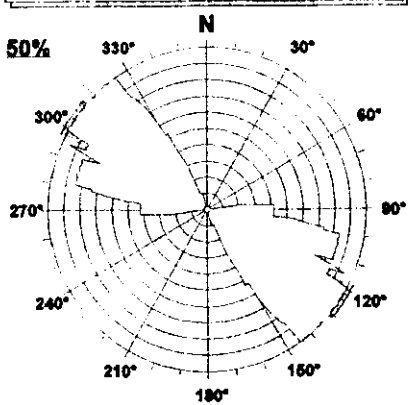
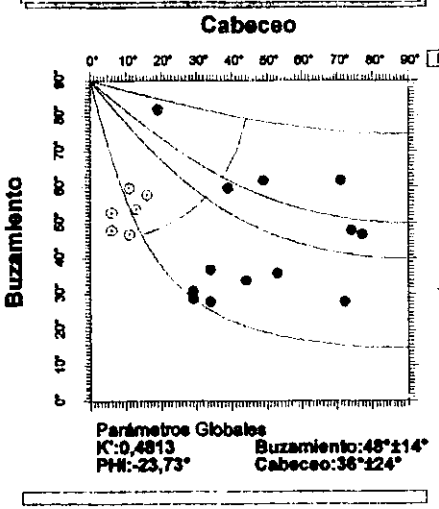
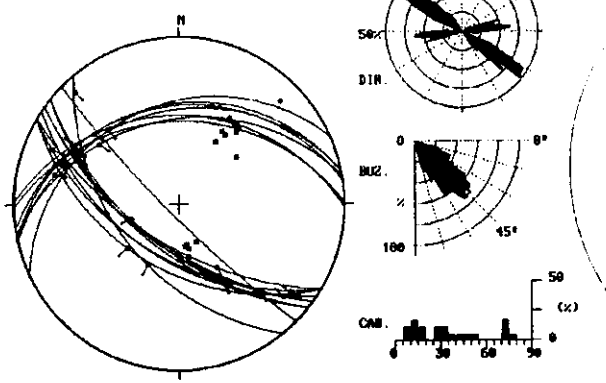


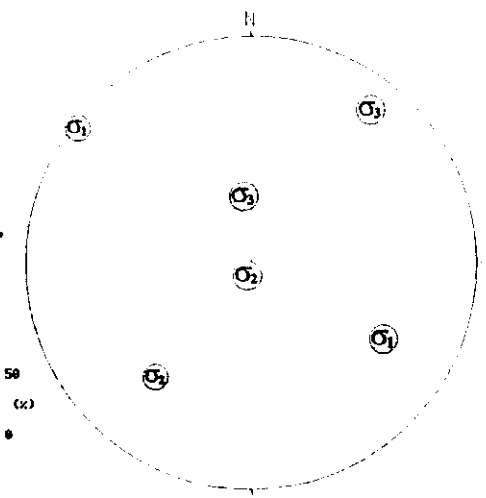
Diagrama Cabeceo/Buzamiento



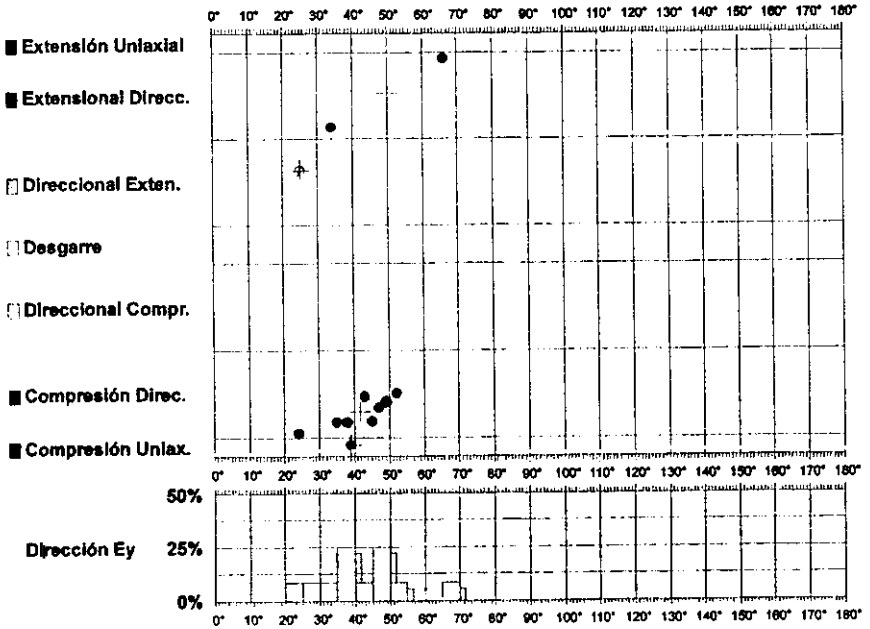
Trazas ciclográficas e histogramas del azimut, buzamiento y cabeceo

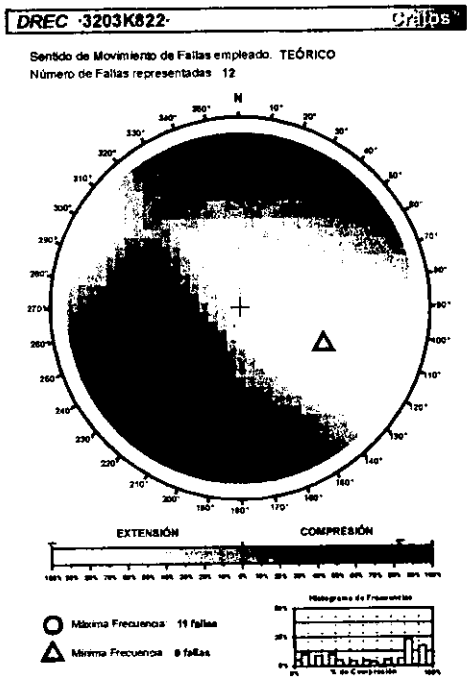


Método de Inversión de Esfuerzos



Modelo de Deslizamiento ·3203K822· Cratos



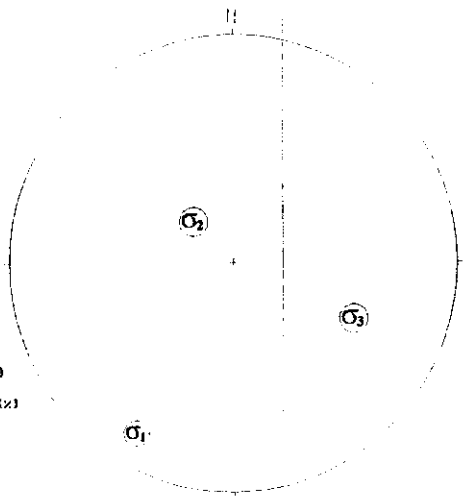


Estación: 3203K82
Coordenadas U.T.M: (metros)
X:582800
Y:4257150
Z:700
Litología: Carbonatos
Edad: indiferenciada (Cret. y Mioc. sup.)

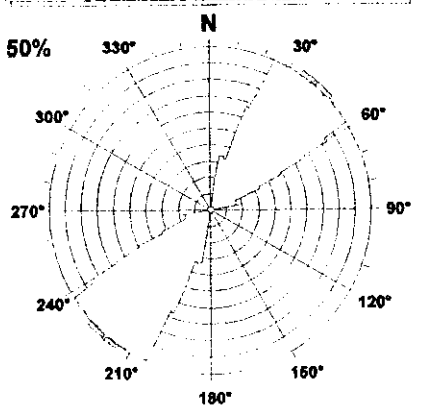
2ª Subpoblación:
Ey: 041°±7°
Buz: 46°±22°
Cab: 41°±15°
s1 07°/210°
s2 61°/314°
s3 27°/116°
R = 0.35
μ = 0.31
F.E. = 12 (12)

Trazas ciclográficas e histogramas del azimut, buzamiento y cabeceo

Método de Inversión de Esfuerzos

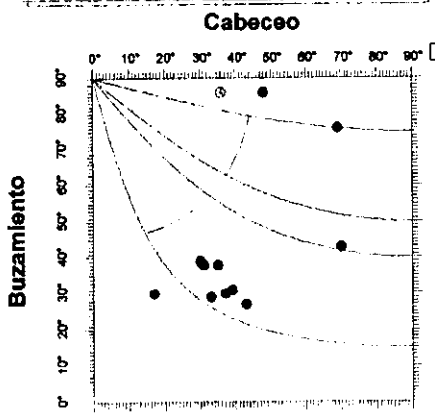


Rosa de Direcciones

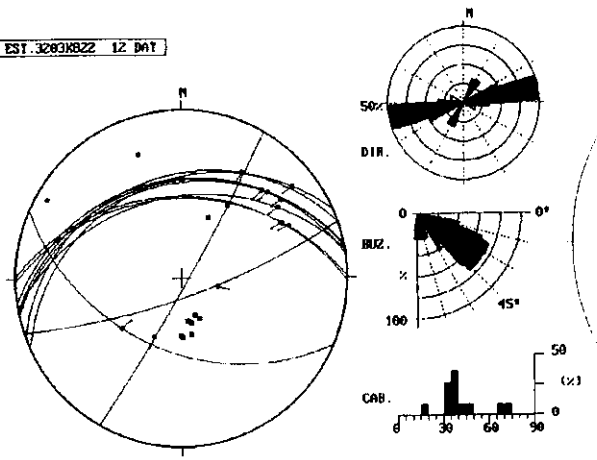


Valor Máximo de Escala: 50%
Ángulo de Apertura: 15°
DEYM: 41° ± 7,09°

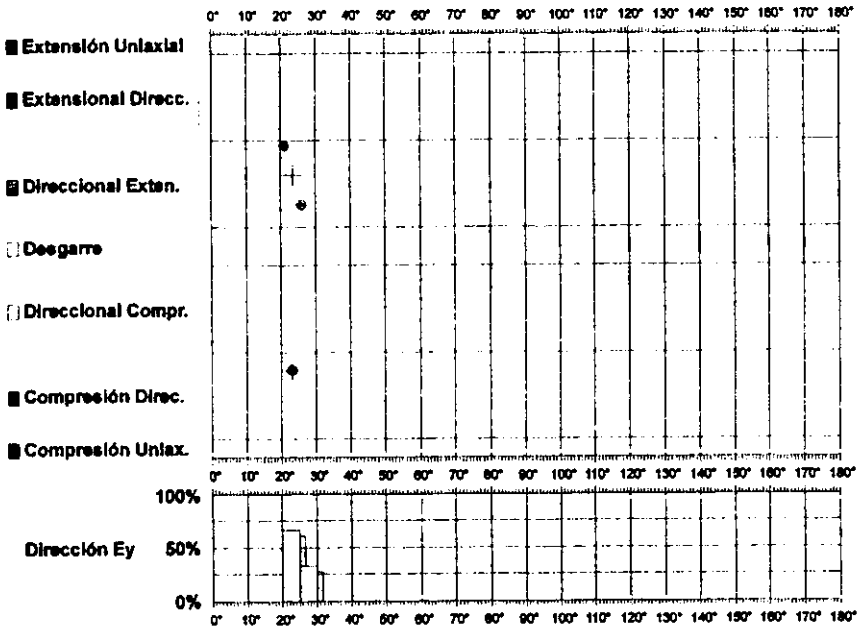
Diagrama Cabeceo/Buzamiento

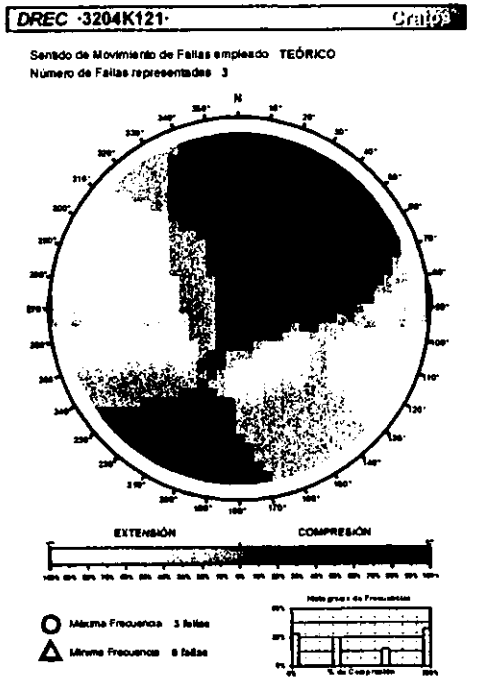


Parámetros Globales
K':0,0031 Buzamiento:46°±22°
PHI:-21,62° Cabeceo:41°±15°



Modelo de Deslizamiento ·3204K121· Cratos



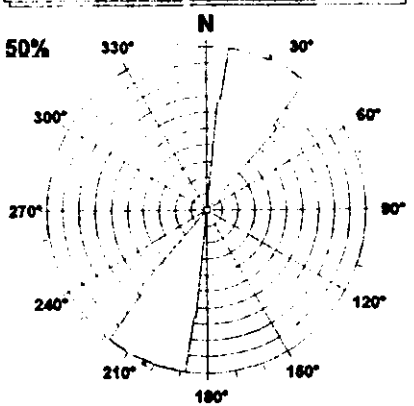


Estación: 3204k12
Coordenadas U.T.M. (metros)
X:546500
Y:4256250
Z:1060
Litología: Carbonatos
Edad: Jurásico

1ª Subpoblación:
Ey: 023°±1°
Buz: 62°±11°
Cab: 29°±5°
s1 --°/---°
s2 --°/---°
s3 --°/---°
R = ---
μ = ---
F.E. = 0 (3)

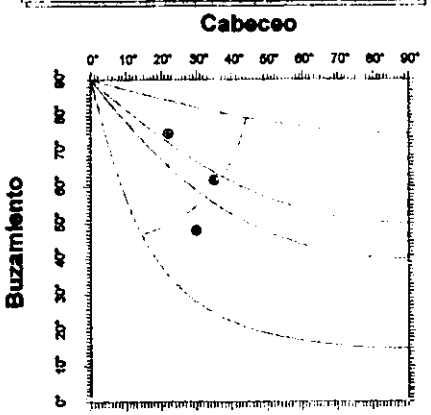
Trazas ciclográficas e histogramas del azimut, buzamiento y cabeceo

Rosa de Direcciones

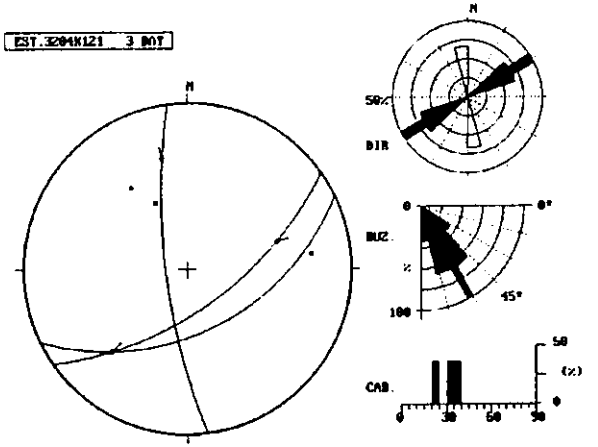


Valor Máximo de Escala: 50%
Ángulo de Apertura: 15°
DEYM: 23° ± 1,26°

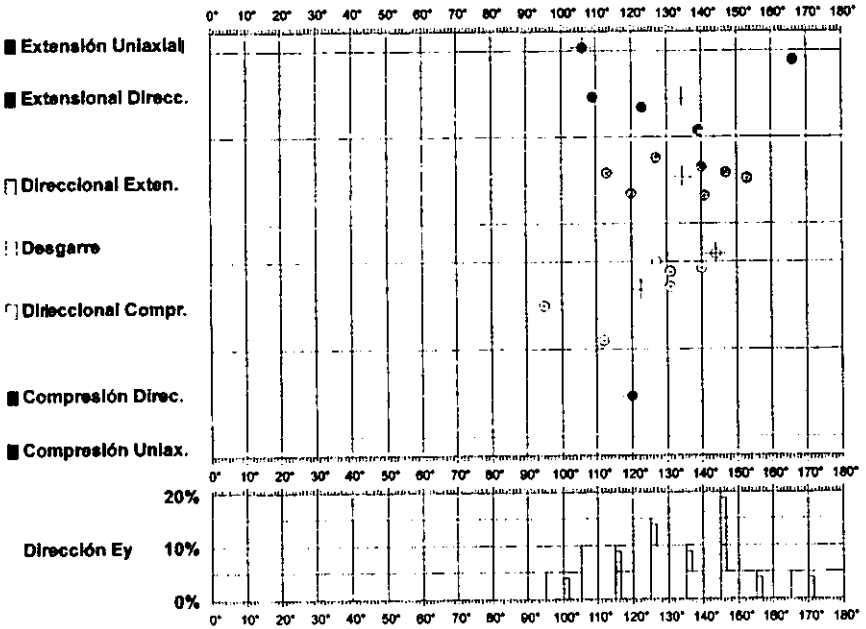
Diagrama Cabeceo/Buzamiento

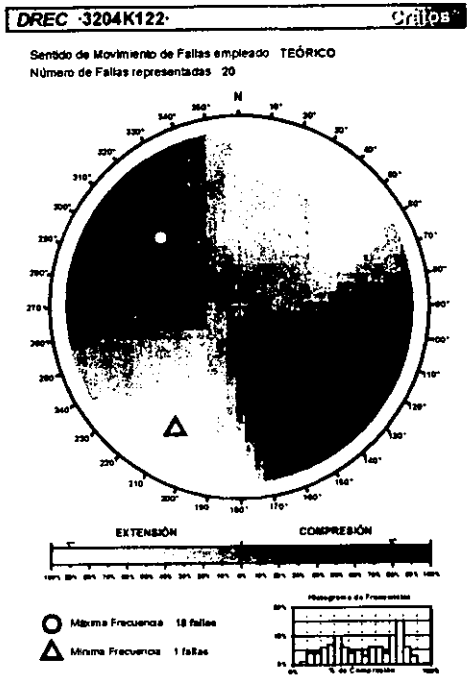


Parámetros Globales
K':0,4336 Buzamiento:62°±11°
PHI:-05,28° Cabeceo:29°±05°



Modelo de Deslizamiento ·3204K122· Cratos



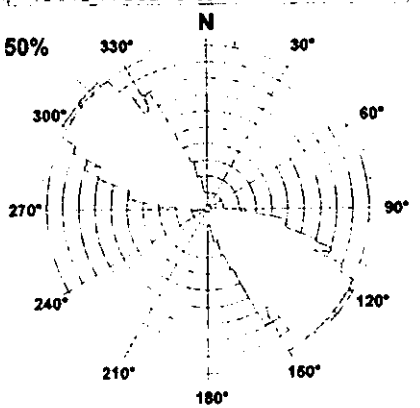


Estación: 3204k12
Coordenadas U.T.M. (metros)
X:546500
Y:4256250
Z:1060
Litología: Carbonatos
Edad: Jurásico

2ª Subpoblación:	
Ey: 129°±10°	Ey: 129°±10°
Buz: 75°±10°	Buz: 75°±10°
Cab: 34°±18°	Cab: 34°±18°
s1 49°/178°	s1 82°/302°
s2 19°/293°	s2 07°/123°
s3 33°/037°	s3 00°/033°
R = 0.30	R = 0.09
μ = 0.31	μ = 1.11
F.E. = 10 (20)	F.E. = 8 (20)

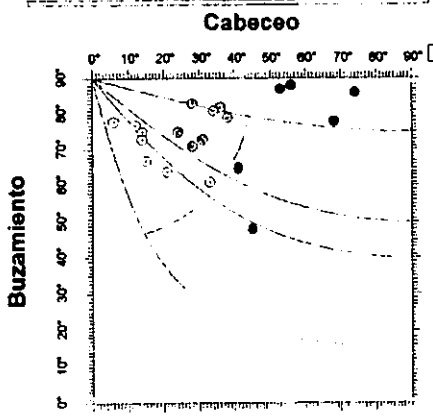
Trazas ciclográficas e histogramas del azimut, buzamiento y cabeceo

Rosa de Direcciones

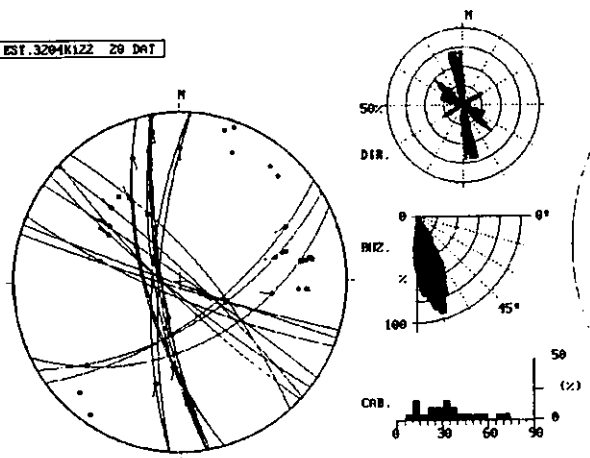


Valor Máximo de Escala: 50%
Ángulo de Apertura: 15°
DEYM: 129° ± 10,01°

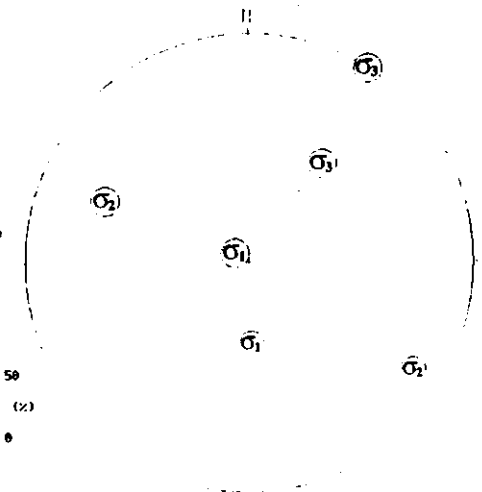
Diagrama Cabeceo/Buzamiento



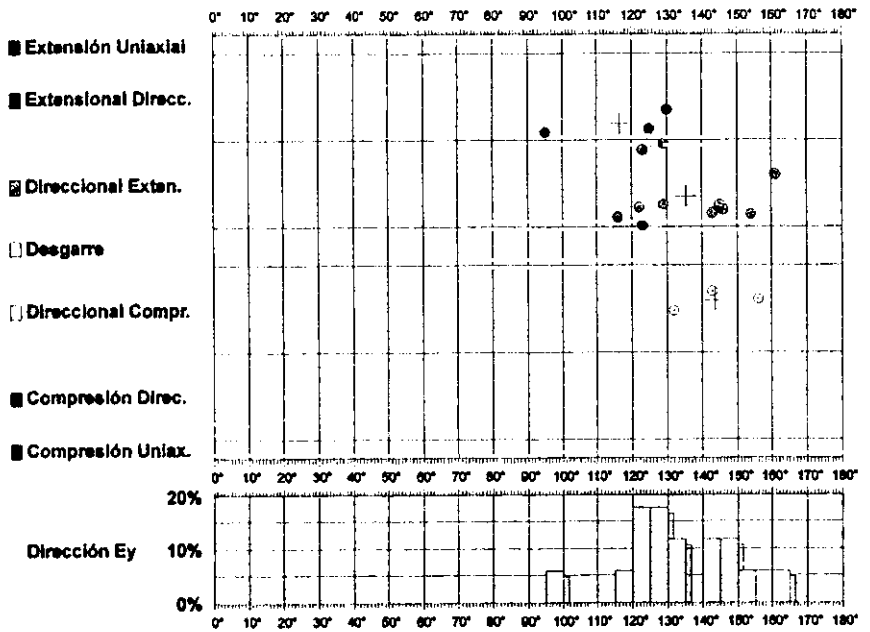
Parámetros Globales
K':-3,8607 Buzamiento:75°±10°
PHI:38,79° Cabeceo:34°±18°

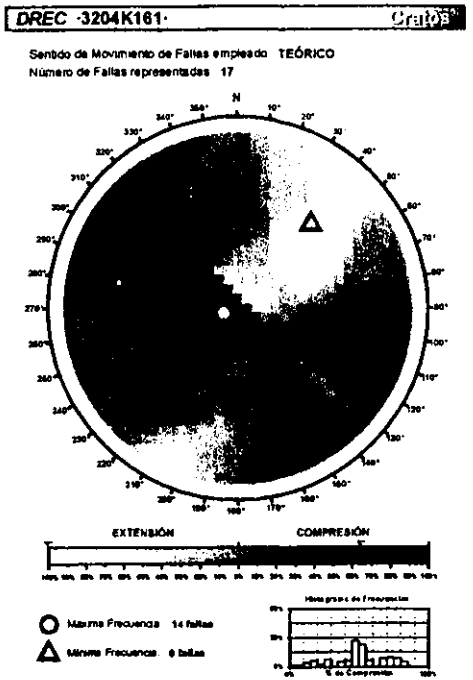


Método de Inversión de Esfuerzos



Modelo de Deslizamiento ·3204K161· Cratos





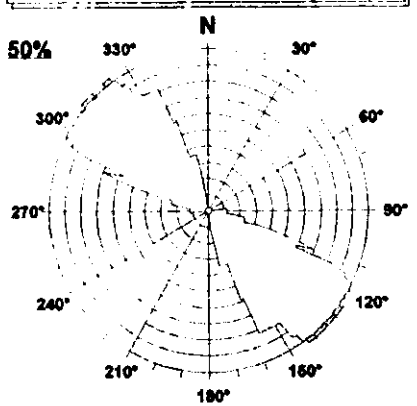
Estación: 3204k16
Coordenadas U.T.M. (metros)
X:548400
Y:4259000
Z:1100
Litología: Carbonatos
Edad: Jurásico

1ª Subpoblación:	
Ey: 134°±9°	Ey: 134°±9°
Buz: 81°±8°	Buz: 81°±8°
Cab: 29°±12°	Cab: 29°±12°
s1 84°/104°	s1 04°/147°
s2 05°/291°	s2 85°/320°
s3 00°/201°	s3 00°/057°
R = 0.18	R = 0.37
μ = 0.71	μ = 0.40
F.E. = 5 (17)	F.E. = 5 (17)

Trazas ciclográficas e histogramas del azimut, buzamiento y cabeceo

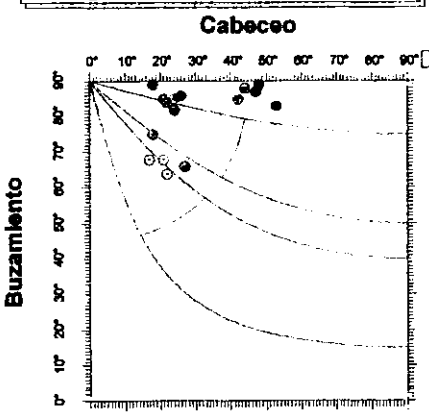
Método de Inversión de Esfuerzos

Rosa de Direcciones

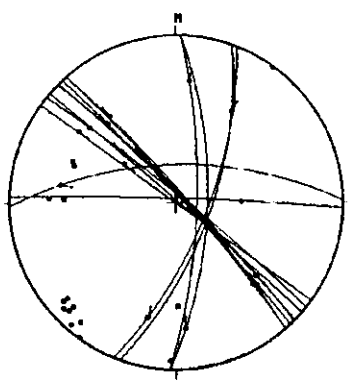


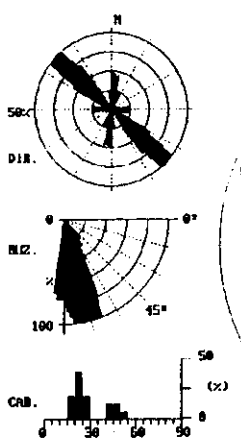
Valor Máximo de Escala: 50%
Ángulo de Apertura: 15°
DEYM: 134° ± 9,43°

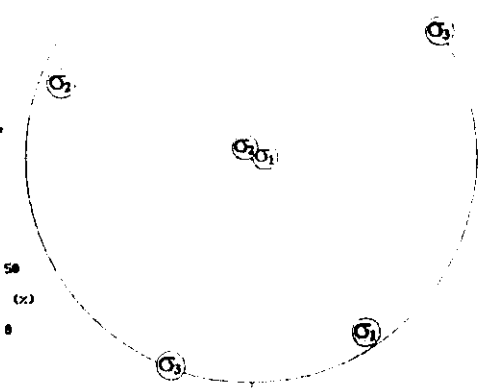
Diagrama Cabeceo/Buzamiento

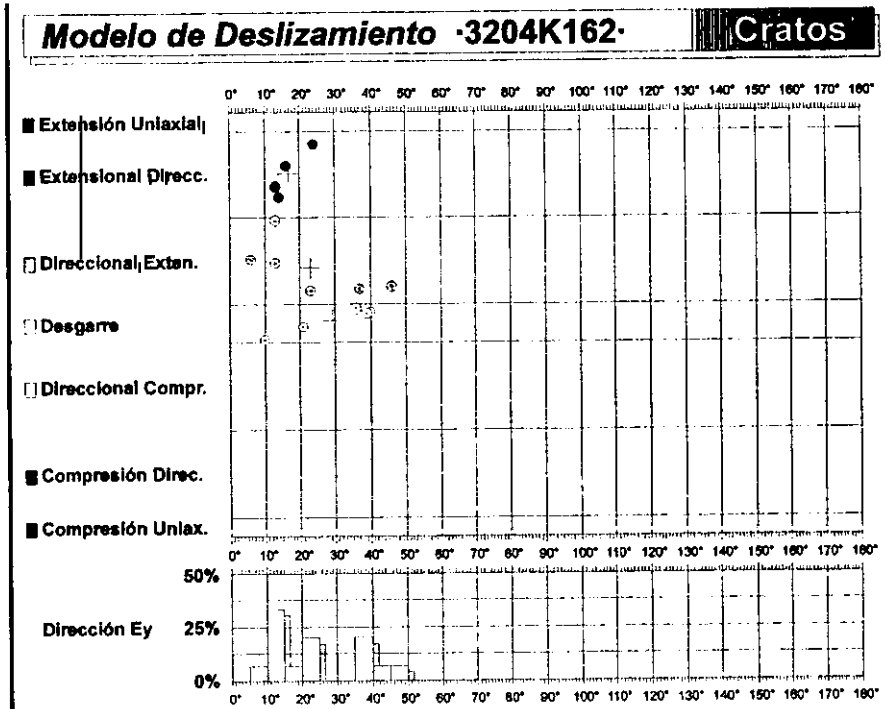


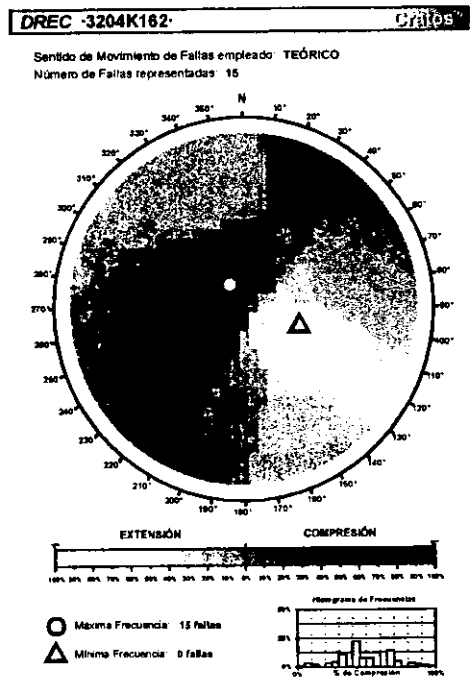
Parámetros Globales
K':0,3973 Buzamiento:81°±08°
PHI:83,81° Cabeceo:29°±12°









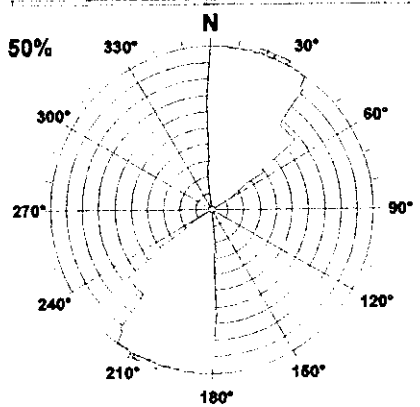


Estación: 3204k16
Coordenadas U.T.M. (metros)
X:548400
Y:4259000
Z:1100
Litología: Carbonatos
Edad: Jurásico

2ª Subpoblación:
Ey: 023°±6°
Buz: 82°±5°
Cab: 30°±20°
s1 71°/025°
s2 17°/096°
s3 02°/287°
R = 0.59
μ = 1.51
F.E. = 7 (15)

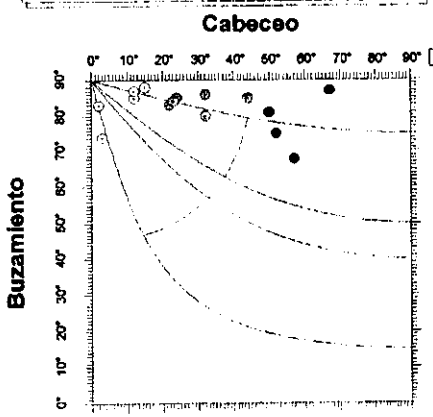
Trazas ciclográficas e histogramas del azimut, buzamiento y cabeceo

Rosa de Direcciones

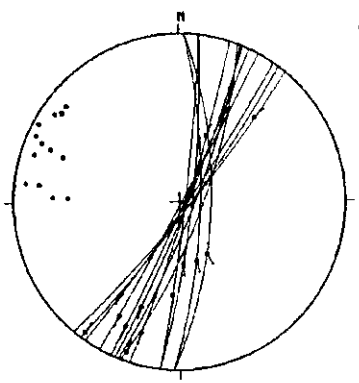


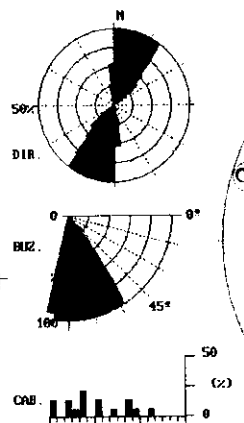
Valor Máximo de Escala: 50%
Ángulo de Apertura: 15°
DEYM: 23° ± 6,36°

Diagrama Cabeceo/Buzamiento

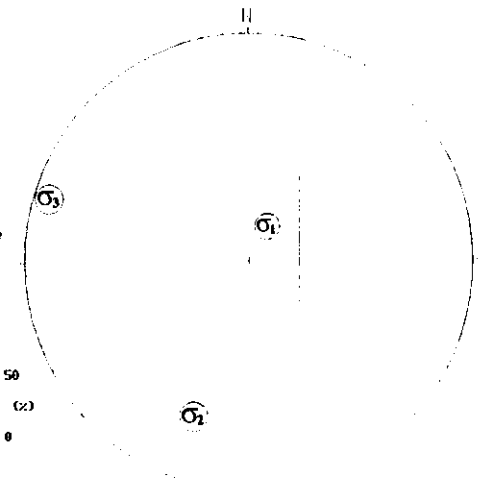


Parámetros Globales
K':-7,2193
PHI:58,60°
Buzamiento:82°±05°
Cabeceo:30°±20°

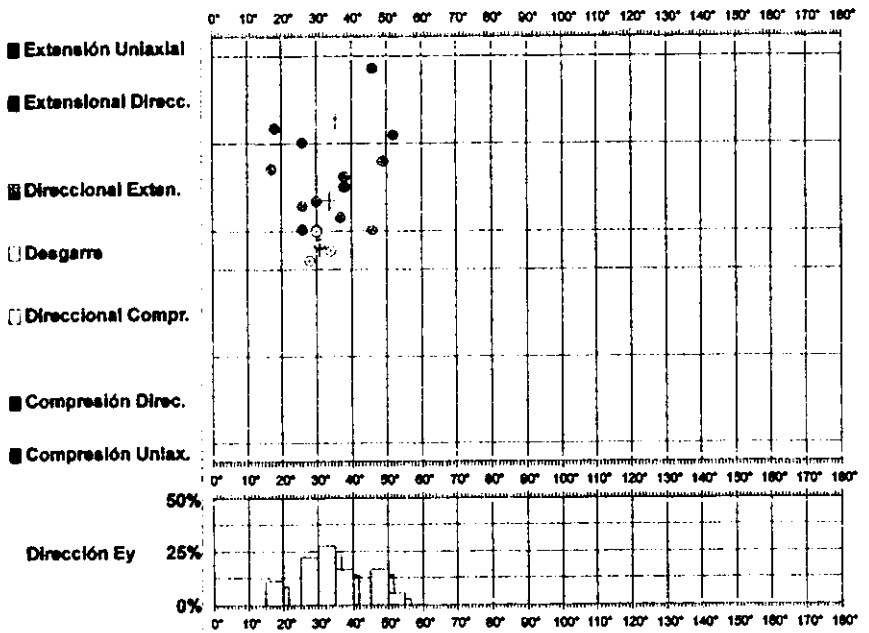


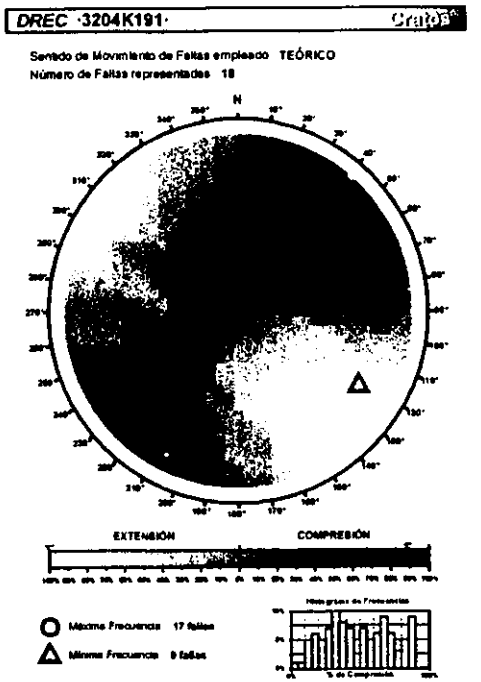


Método de Inversión de Esfuerzos



Modelo de Deslizamiento ·3204K191· Cratos





Estación: 3204k19
Coordenadas U.T.M. (metros)
X:550900
Y:4259850
Z:1000
Litología:Carbonatos
Edad: Jurásico

1ª Subpoblación:	
Ey: 033°±6°	Ey: 033°±6°
Buz: 82°±6°	Buz: 82°±6°
Cab: 28°±16°	Cab: 28°±16°
s1 71°/210°	s1 47°/025°
s2 18°/041°	s2 42°/202°
s3 03°/310°	s3 01°/293°
R = 0.42	R = 0.62
μ = 0.81	μ = 1.31
F.E. = 11 (18)	F.E. = 5 (18)

Rosa de Direcciones

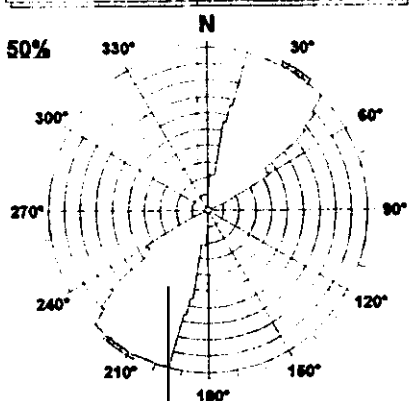
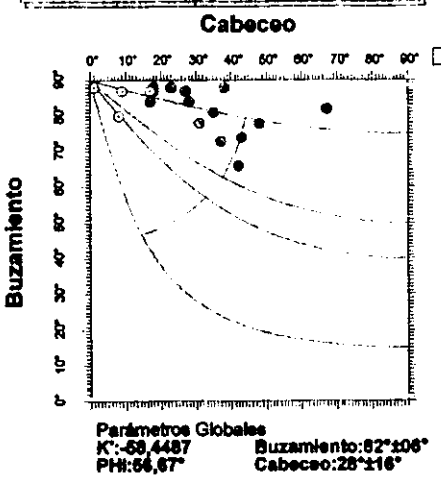
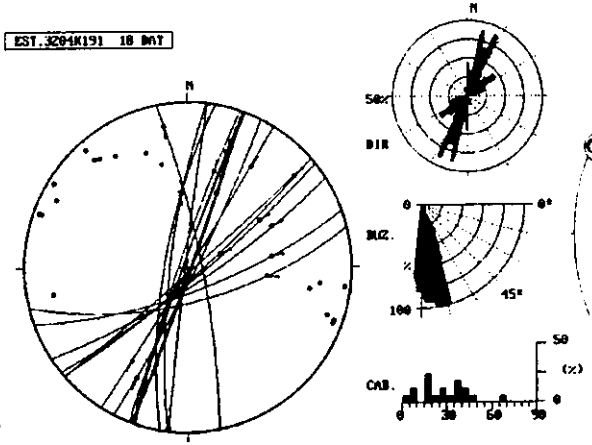


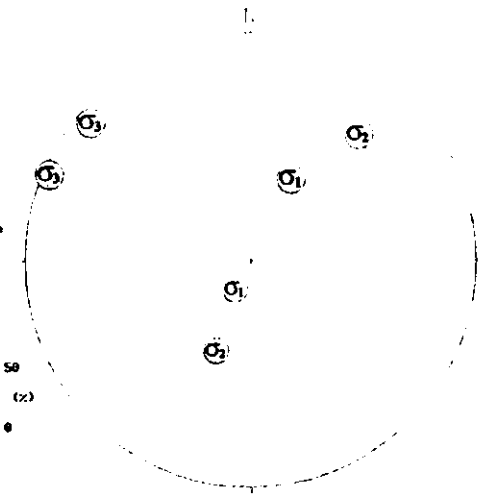
Diagrama Cabeceo/Buzamiento



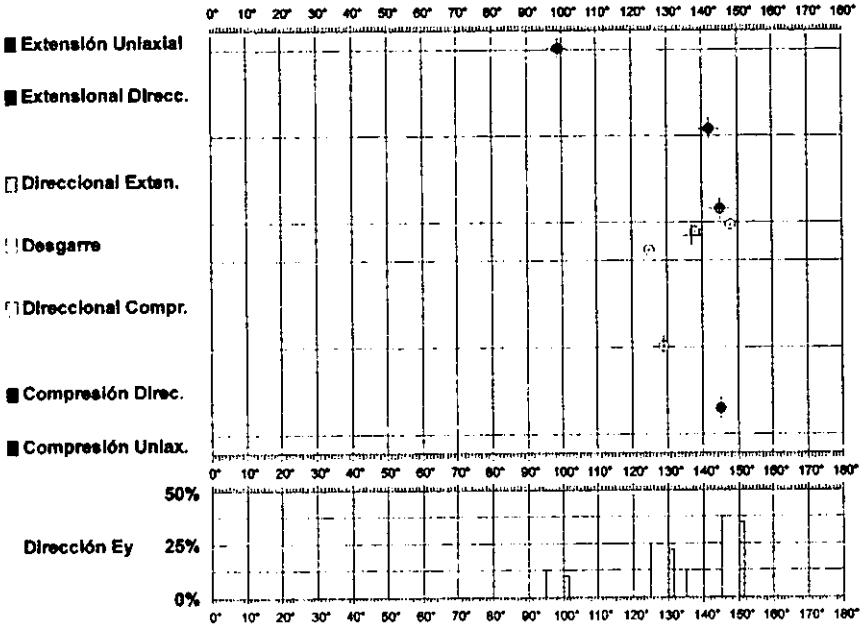
Trazas ciclográficas e histogramas del azimut, buzamiento y cabeceo

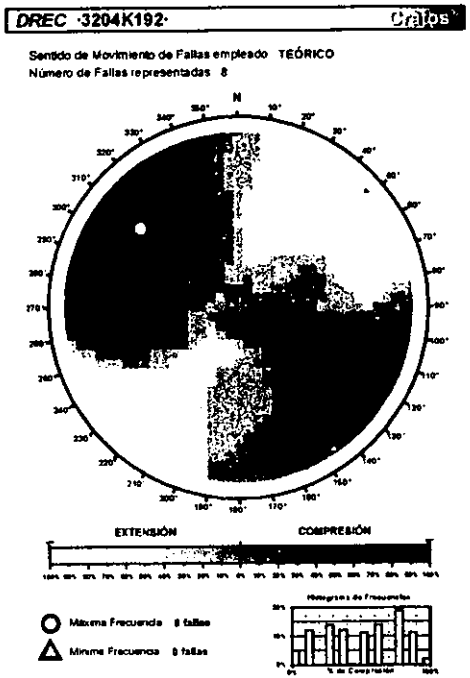


Método de Inversión de Esfuerzos



Modelo de Deslizamiento ·3204K192· Cratos



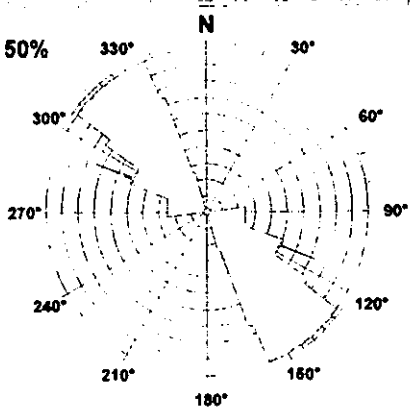


Estación: 3204k19
Coordenadas U.T.M. (metros)
X:550900
Y:4259850
Z:1000
Litología:Carbonatos
Edad: Jurásico

2ª Subpoblación:
Ey: 135°±10°
Buz: 70°±15°
Cab: 31°±21°
s1 45°/144°
s2 36°/283°
s3 21°/030°
R = 0.35
μ = 0.31
F.E. = 7 (8)

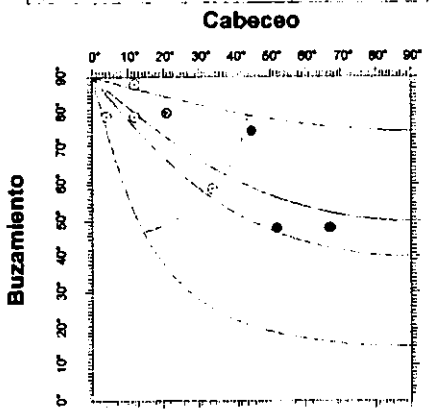
Trazas ciclográficas e histogramas del azimut, buzamiento y cabeceo

Rosa de Direcciones

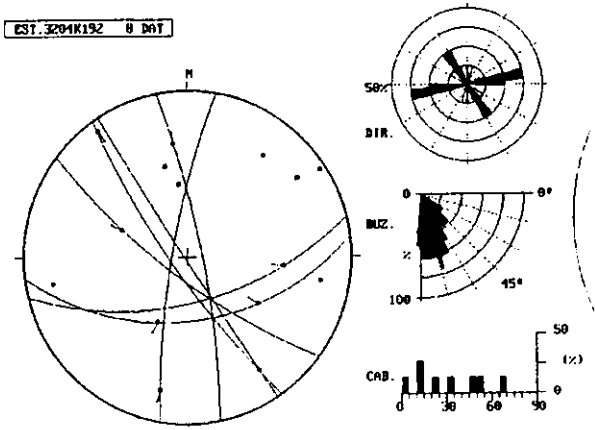


Valor Máximo de Escala: 50%
Ángulo de Apertura: 15°
DEYM: 135° ± 10,16°

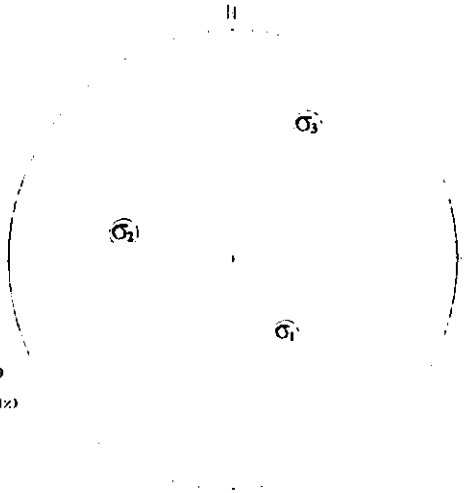
Diagrama Cabeceo/Buzamiento



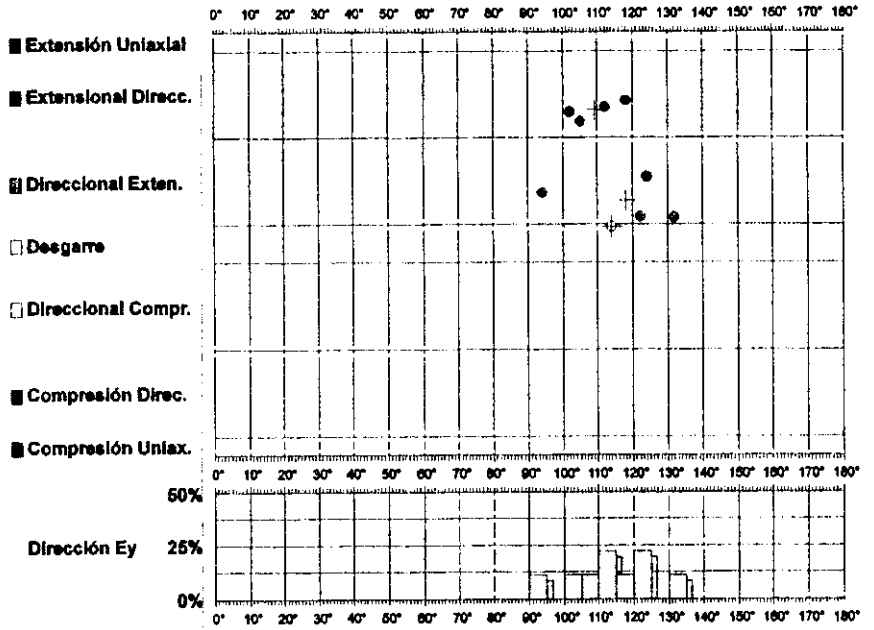
Parámetros Globales
K':3,7279
PHI:19,50°
Buzamiento:70°±15°
Cabeceo:31°±21°

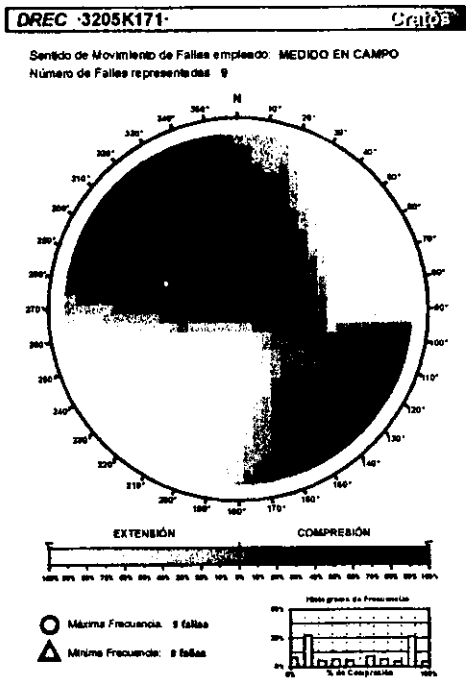


Método de Inversión de Esfuerzos



Modelo de Deslizamiento ·3205K171· — Cratos



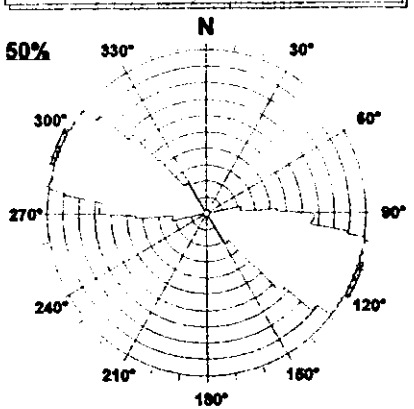


Estación: 3205k17
Coordenadas U.T.M. (metros)
X:540400
Y:4258500
Z:900
Litología: Carbonatos
Edad: Jurásico

1ª Subpoblación:
Ey: 114°±7°
Buz: 79°±5°
Cab: 35°±15°
s1 83°/161°
s2 05°/315°
s3 02°/046°
R = 0.35
μ = 0.31
F.E. = 6 (9)

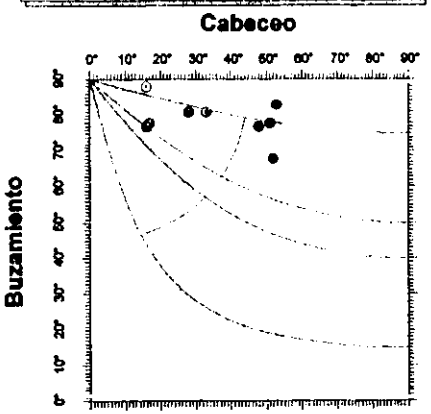
Trazas ciclográficas e histogramas del azimut, buzamiento y cabeceo

Rosa de Direcciones

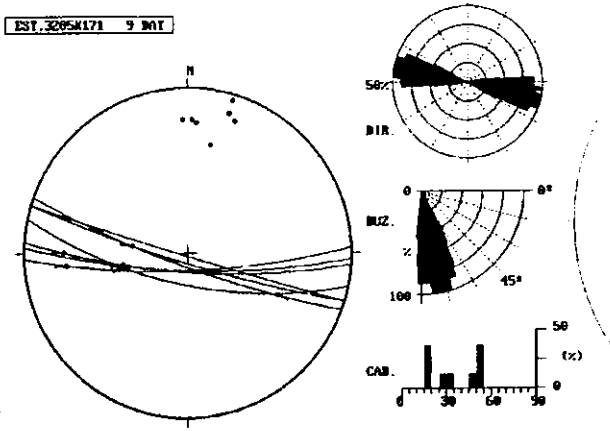


Valor Máximo de Escala: 50%
Ángulo de Apertura: 15°
DEYM: 114° ± 6,72°

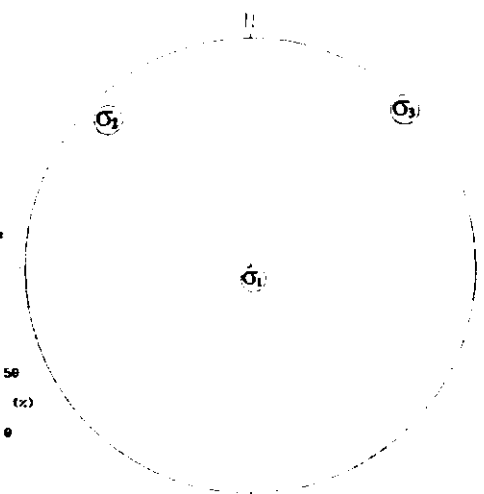
Diagrama Cabeceo/Buzamiento

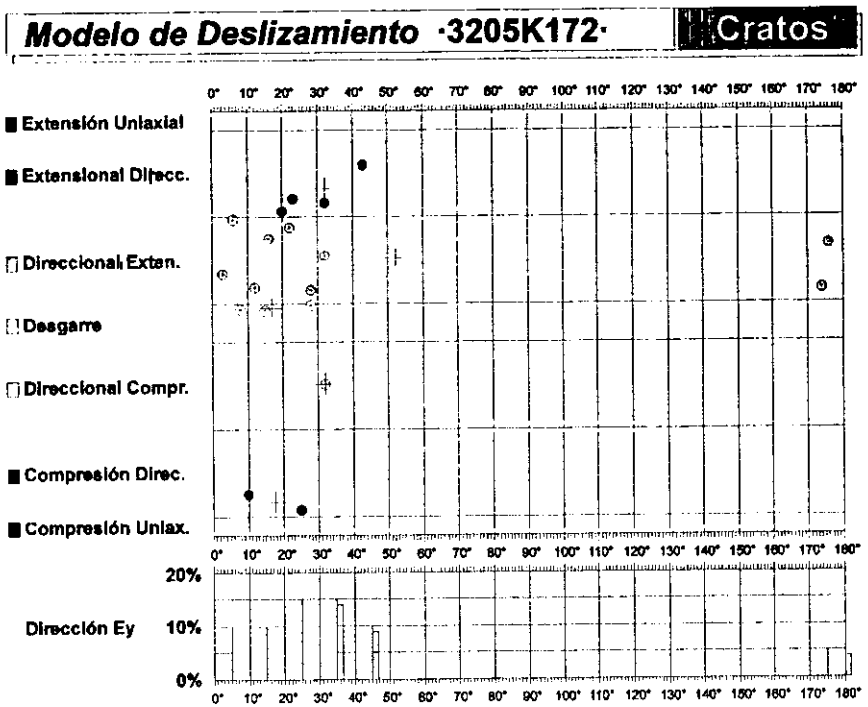


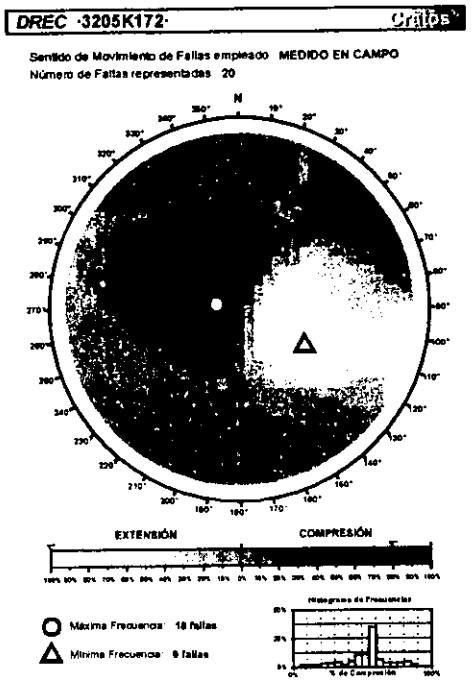
Parámetros Globales
K':5,8141
PHI:62,56°
Buzamiento:79°±05°
Cabeceo:35°±15°



Método de Inversión de Esfuerzos





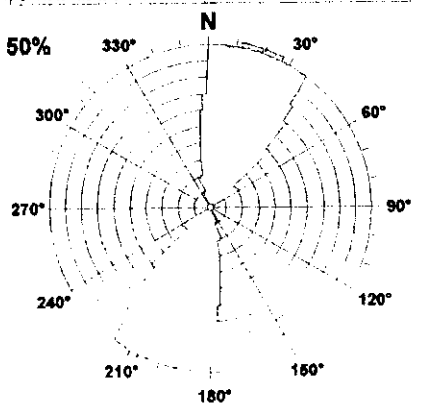


Estación: 3205k17
Coordenadas U.T.M. (metros)
X:540400
Y:4258500
Z:900
Litología: Carbonatos
Edad: Jurásico

2ª Subpoblación:
Ey: 020°±8°
Buz: 76°±15°
Cab: 34°±15°
s1 38°/191°
s2 51°/010°
s3 00°/101°
R = 0.37
μ = 0.31
F.E. = 10 (20)

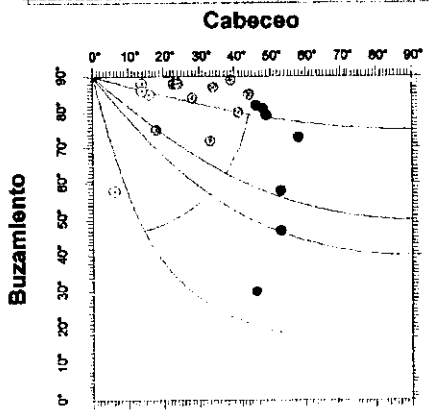
Trazas ciclográficas e histogramas del azimut, buzamiento y cabeceo

Rosa de Direcciones

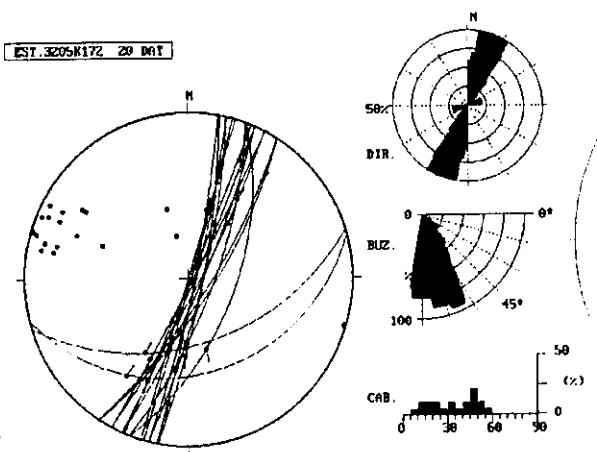


Valor Máximo de Escala: 50%
Ángulo de Apertura: 15°
DEYM: 19° ± 7,65°

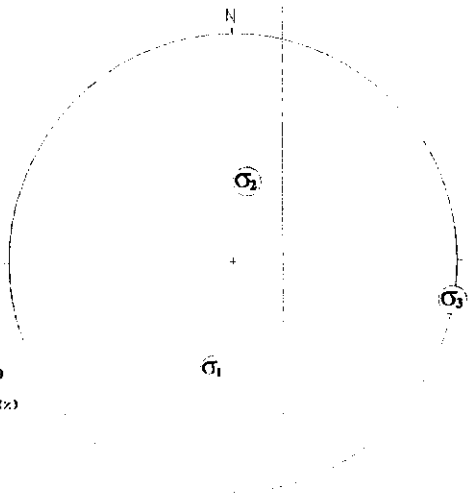
Diagrama Cabeceo/Buzamiento



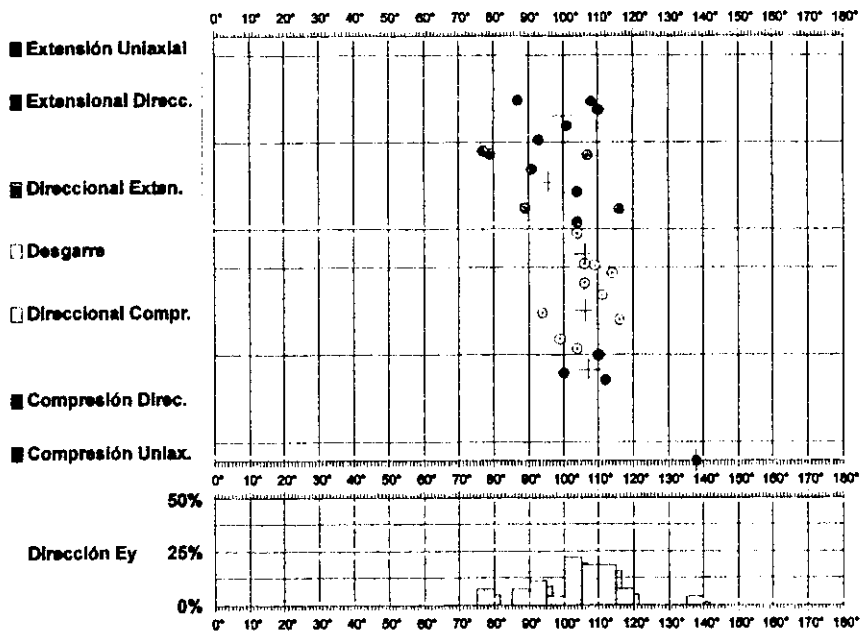
Parámetros Globales
K':2,5701
PHI:41,94°
Buzamiento:76°±15°
Cabeceo:34°±15°

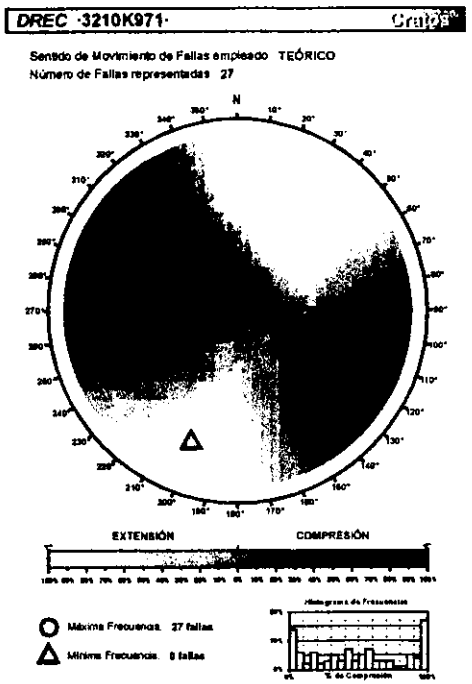


Método de Inversión de Esfuerzos



Modelo de Deslizamiento ·3210K971· Cratos



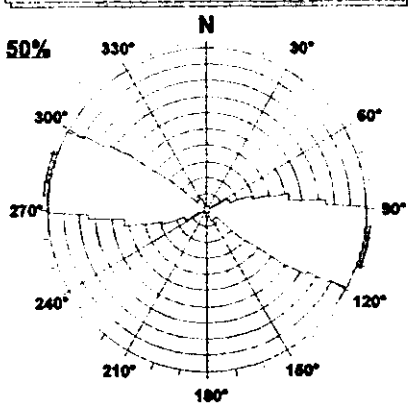


Estación: 3210k97
Coordenadas U.T.M. (metros)
X:521250
Y:4236500
Z:1000
Litología Carbonatos:
Edad: Jurásico

1ª Subpoblación:
Ey: 103°±8°
Buz: 65°±12°
Cab: 30°±17°
s1 09°/102°
s2 79°/251°
s3 05°/012°
R = 0.77
μ = 0.31
F.E. = 26 (27)

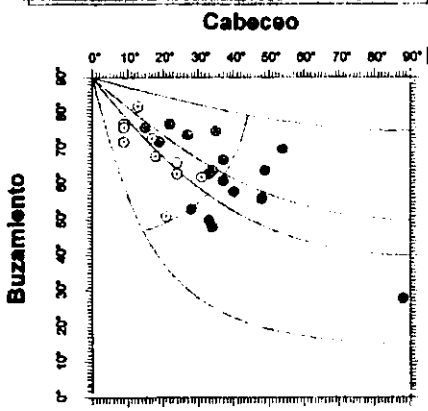
Trazas ciclográficas e histogramas del azimut, buzamiento y cabeceo

Rosa de Direcciones

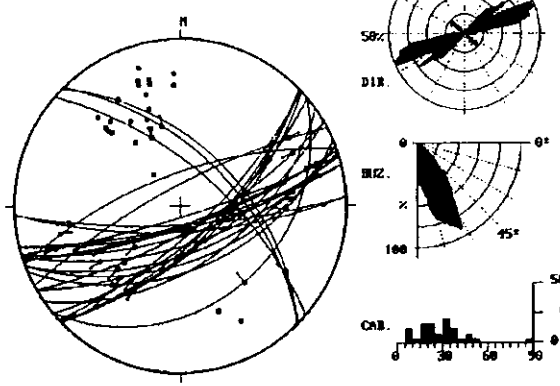


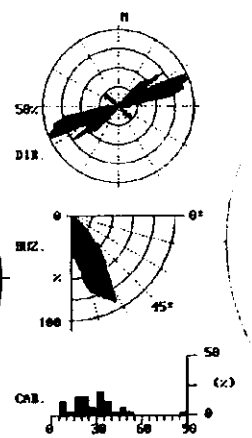
Valor Máximo de Escala: 50%
Ángulo de Apertura: 15°
DEYM: 103° ± 8,41°

Diagrama Cabeceo/Buzamiento

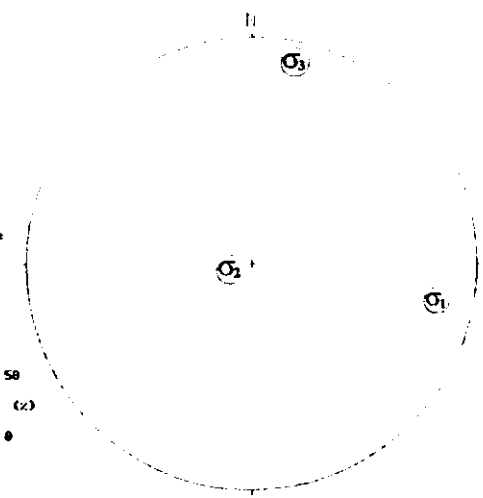


Parámetros Globales
K':-2,7510 Buzamiento:65°±12°
PHI:03,99° Cabeceo:30°±17°



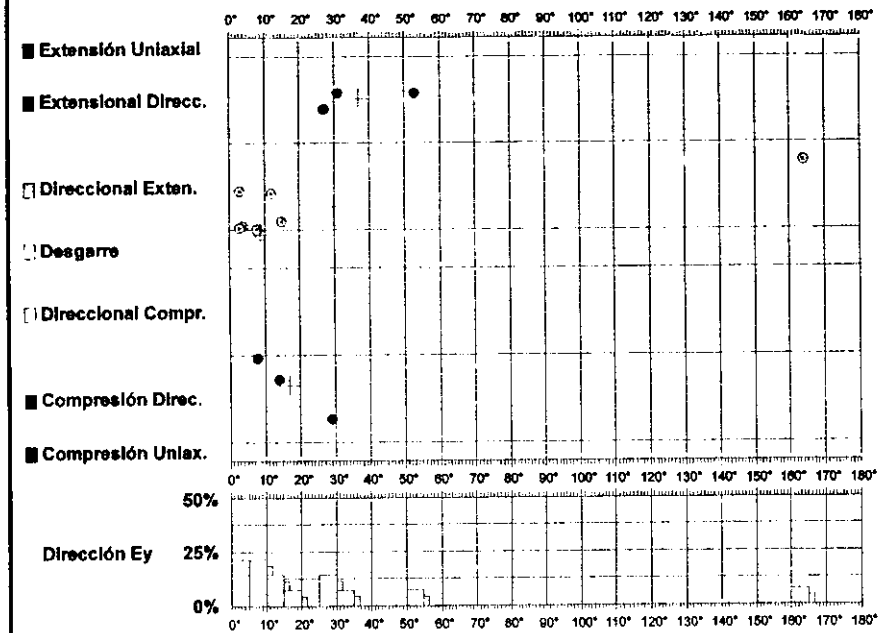


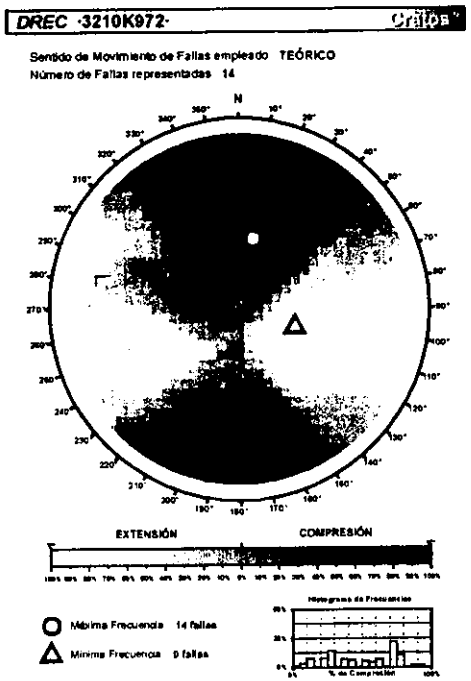
Método de Inversión de Esfuerzos



Modelo de Deslizamiento ·3210K972·

Cratos



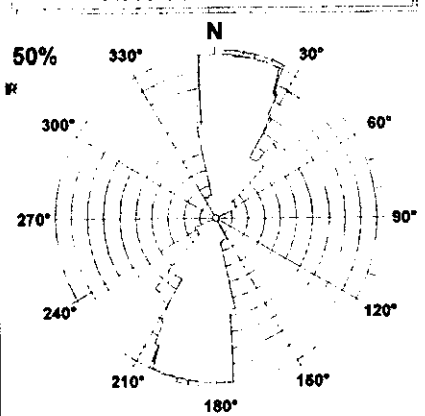


Estación: 3210k97
Coordenadas U.T.M. (metros)
X:521250
Y:4236500
Z:1000
Litología Carbonatos:
Edad: Jurásico

2ª Subpoblación:
Ey: 014°±11°
Buz: 71°±16°
Cab: 30°±16°
s1 02°/014°
s2 82°/121°
s3 07°/283°
R = 0.50
μ = 0.81
F.E. = 10 (14)

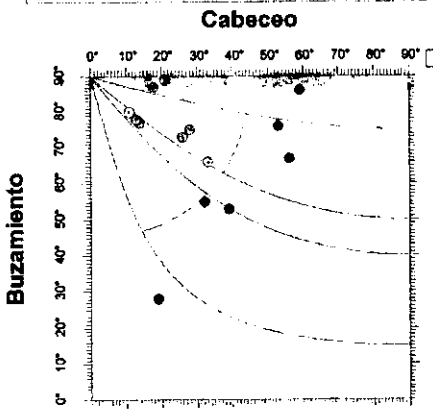
Trazas ciclográficas e histogramas del azimut, buzamiento y cabeceo

Rosa de Direcciones

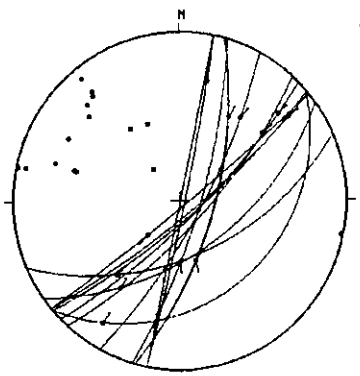


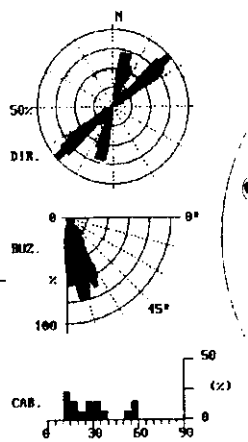
Valor Máximo de Escala: 50%
Ángulo de Apertura: 15°
DEYM: 14° ± 11,08°

Diagrama Cabeceo/Buzamiento

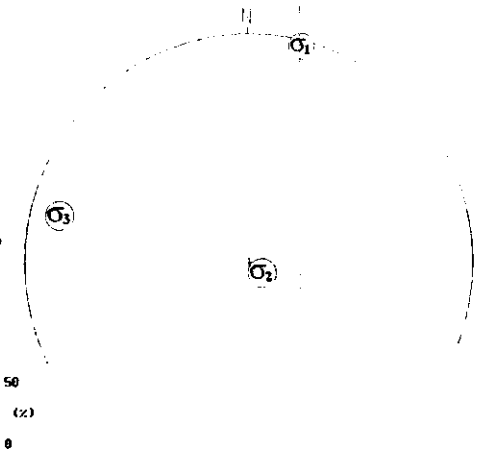


Parámetros Globales
K':4,7438
PHI:20,89°
Buzamiento:71°±16°
Cabeceo:30°±16°

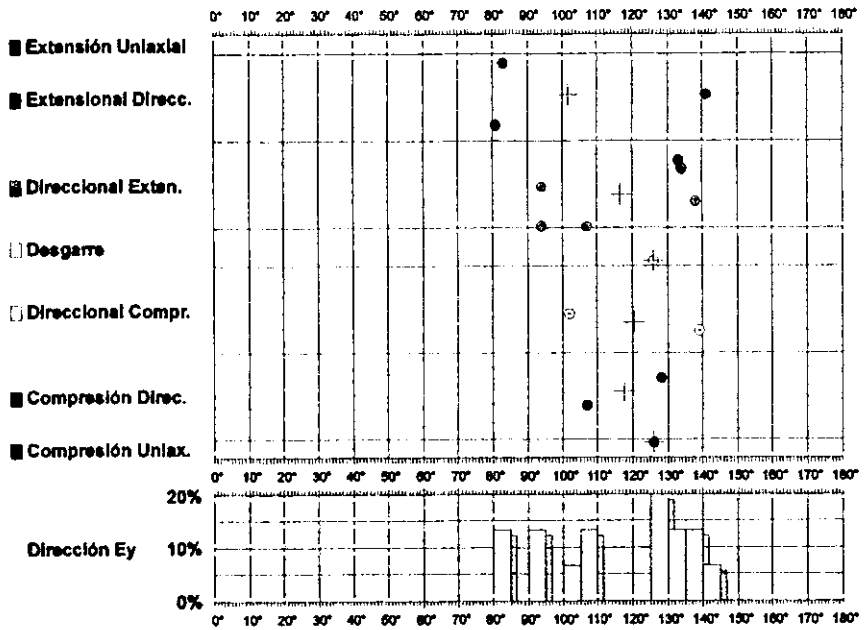


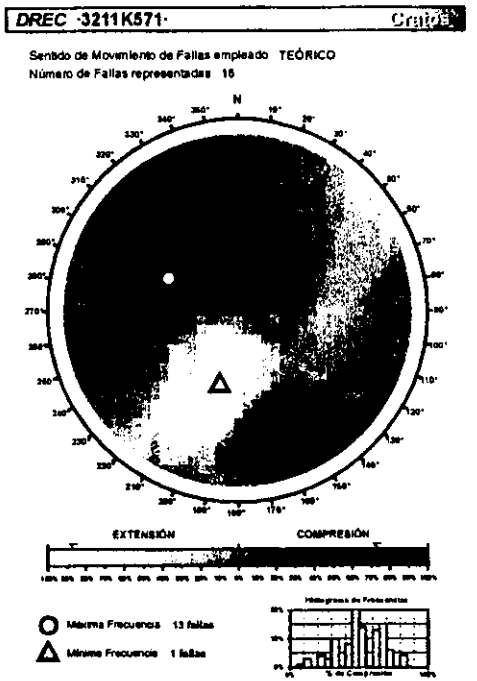


Método de Inversión de Esfuerzos



Modelo de Deslizamiento ·3211K571· Cratos



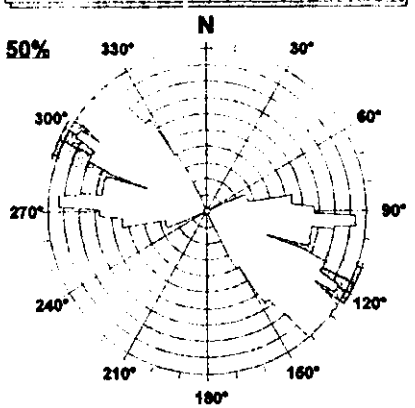


Estación: 3211k57
Coordenadas U.T.M. (metros)
X:580800
Y:4269200
Z:850
Litología: Carbonatos
Edad: Jurásico

1ª Subpoblación:
Ey: 116°±8°
Buz: 68°±18°
Cab: 32°±18°
s1 16°/305°
s2 33°/203°
s3 51°/057°
R = 0.26
μ = 0.31
F.E. = 5 (15)

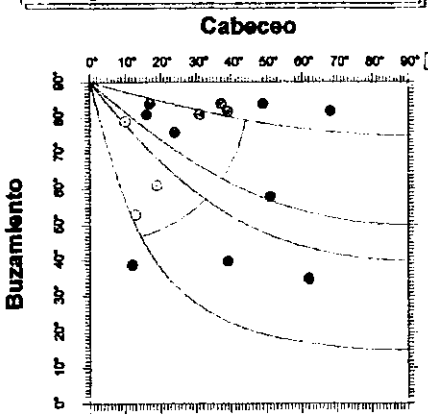
Trazas cicloográficas e histogramas del azimut, buzamiento y cabeceo

Rosa de Direcciones

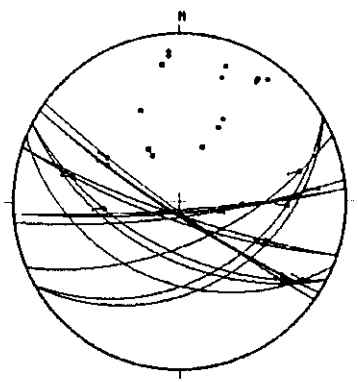


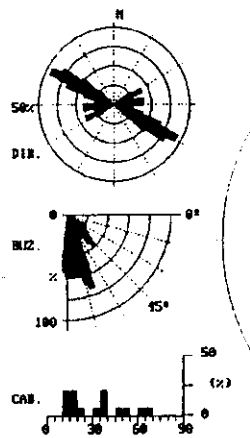
Valor Máximo de Escala: 50%
Ángulo de Apertura: 15°
DEYM: 116° ± 8,36°

Diagrama Cabeceo/Buzamiento

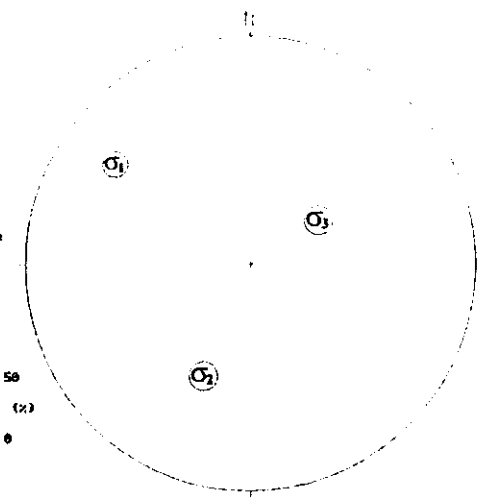


Parámetros Globales
K':-2,5964 Buzamiento:68°±18°
PHI:16,35° Cabeceo:32°±18°



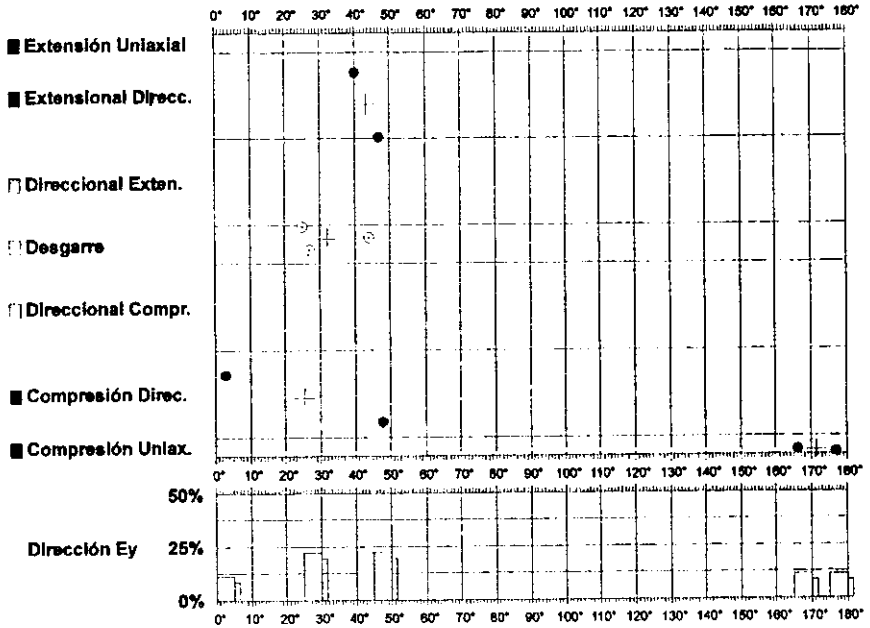


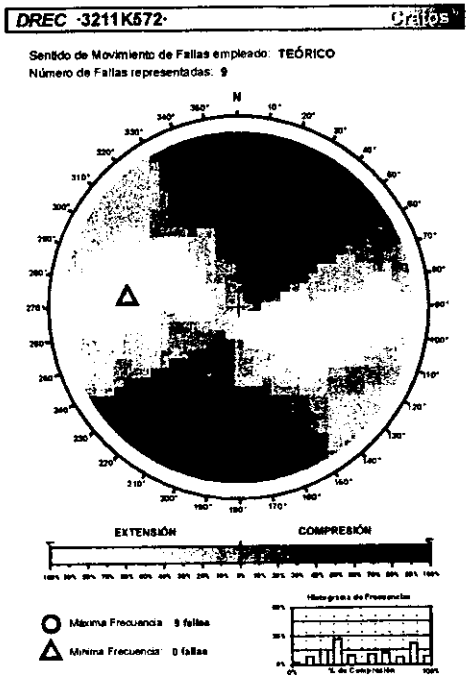
Método de Inversión de Esfuerzos



Modelo de Deslizamiento ·3211K572·

Cratos





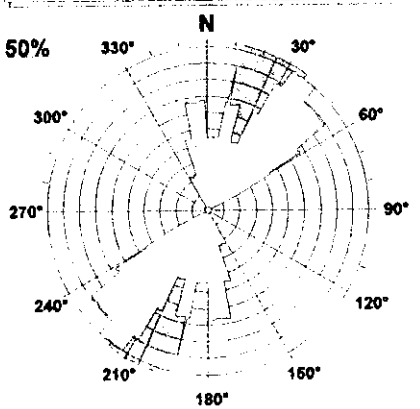
Estación: 3211k57
Coordenadas U.T.M. (metros)
X:580800
Y:4269200
Z:850
Litología: Carbonatos
Edad: Jurásico

2ª Subpoblación:
Ey: 025°±12°
Buz: 62°±17°
Cab: 41°±27°
s1 17°/222°
s2 47°/333°
s3 37°/118°
R = 0.31
μ = 0.31
F.E. = 7 (9)

Trazas cicloográficas e histogramas del azimut, buzamiento y cabeceo

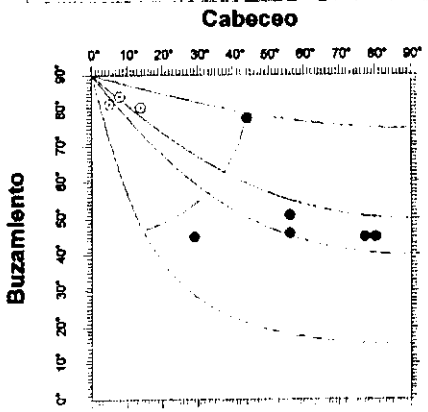
Método de Inversión de Esfuerzos

Rosa de Direcciones

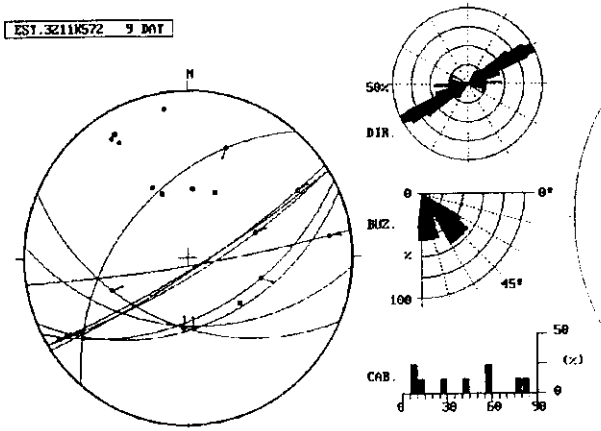


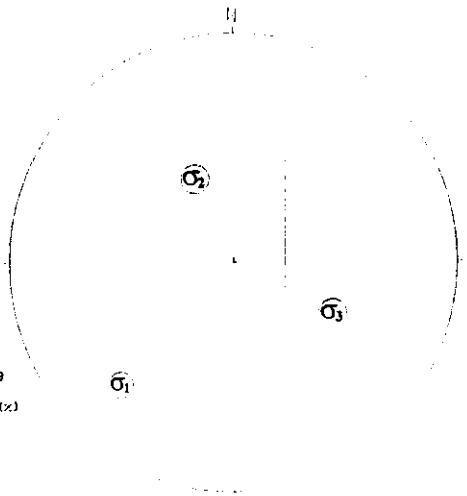
Valor Máximo de Escala: 50%
Ángulo de Apertura: 15°
DEYM: 25° ± 12,27°

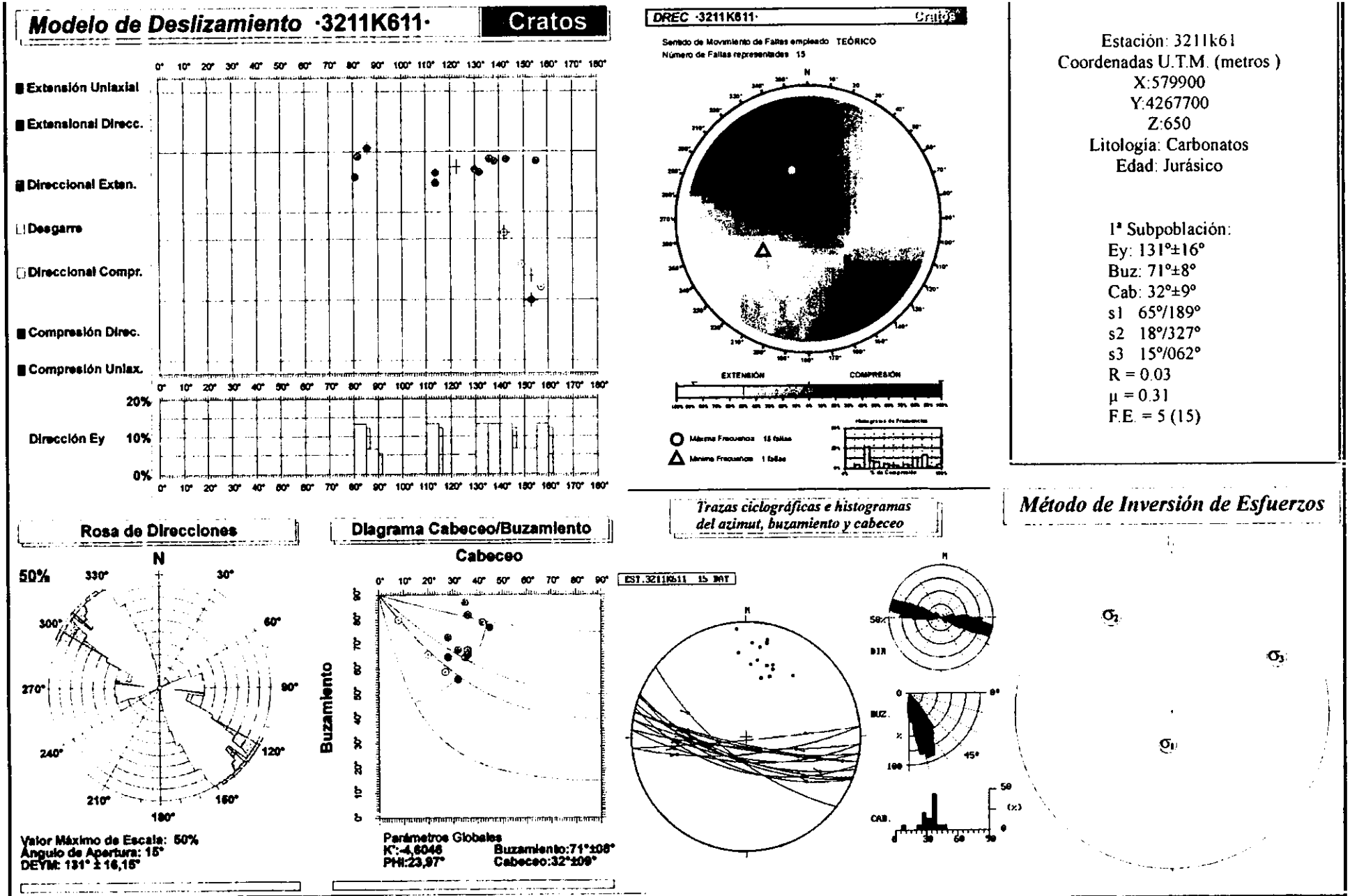
Diagrama Cabeceo/Buzamiento

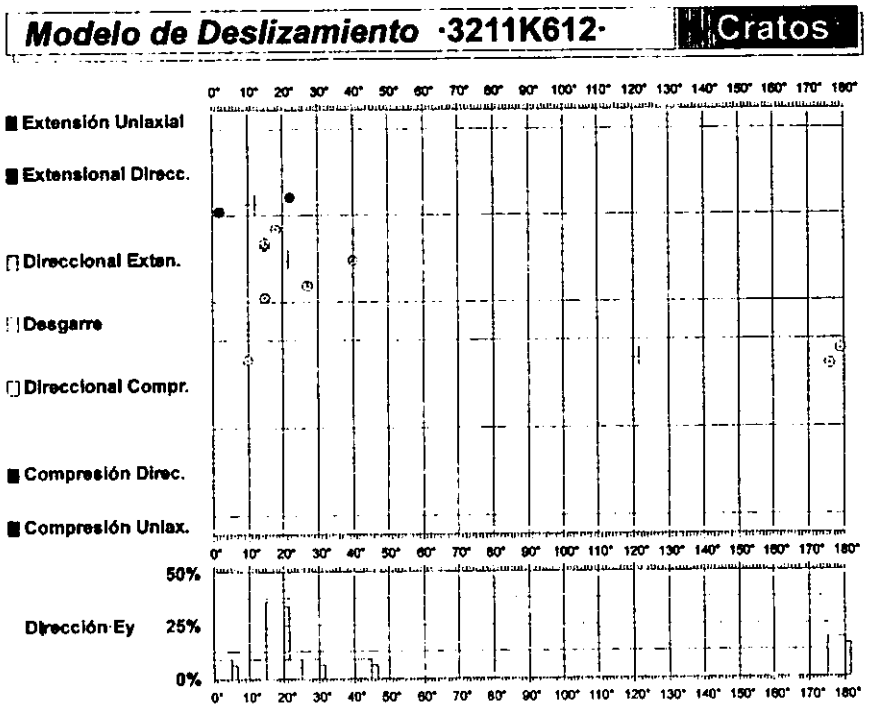


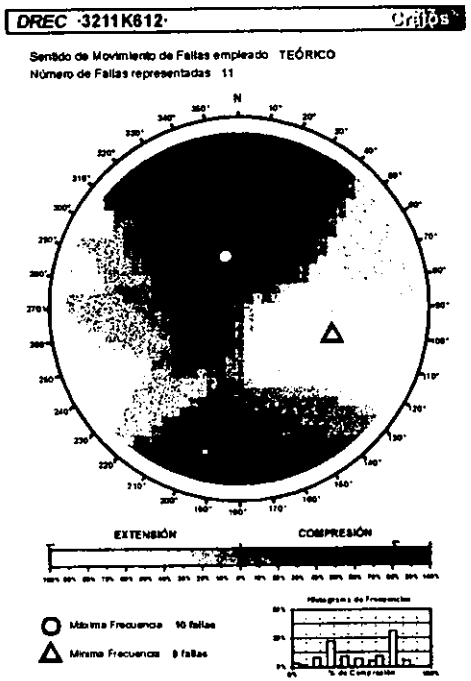
Parámetros Globales
K':6,2767 Buzamiento:62°±17°
PHI:11,95° Cabeceo:41°±27°






Modelo de Deslizamiento ·3211K611·
Cratos
Extensión Uniaxial
Extensional Direcc.
Direccional Exten.
Desgarre
Direccional Compr.
Compresión Direc.
Compresión Uniax.
Dirección Ey
20%
10%
0%
DREC ·3211K611·
Cratos
Sentido de Movimiento de Fallas empleado TEÓRICO
Número de Fallas representadas 15
EXTENSIÓN
COMPRESIÓN
Máxima Frecuencia 15 fallas
Mínima Frecuencia 1 fallas
Estación: 3211k61
Coordenadas U.T.M. (metros)
X:579900
Y:4267700
Z:650
Litología: Carbonatos
Edad: Jurásico
1ª Subpoblación:
Ey: 131°±16°
Buz: 71°±8°
Cab: 32°±9°
s1 65°/189°
s2 18°/327°
s3 15°/062°
R = 0.03
μ = 0.31
F.E. = 5 (15)
Trazas ciclográficas e histogramas del azimut, buzamiento y cabeceo
Método de Inversión de Esfuerzos
Rosa de Direcciones
50%
Valor Máximo de Escala: 50%
Ángulo de Apertura: 15°
DEYM: 131° ± 16,15°
Diagrama Cabeceo/Buzamiento
Cabeceo
Buzamiento
Parámetros Globales
K':-4,6046
PHI:23,97°
Buzamiento:71°±08°
Cabeceo:32°±09°
EST.3211K611 15 DAT
BIN
BUZ.
CAB.
σ2
σ3
σ1



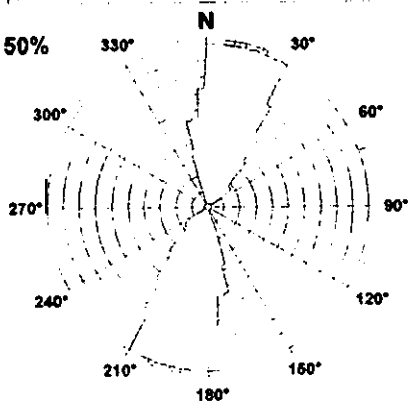


Estación: 3211k61
Coordenadas U.T.M. (metros)
X:579900
Y:4267700
Z:650
Litología: Carbonatos
Edad: Jurásico

2ª Subpoblación:
Ey: 014°±8°
Buz: 78°±8°
Cab: 29°±11°
s1 63°/182°
s2 26°/010°
s3 03°/278°
R = 0.15
μ = 0.40
F.E. = 5 (11)

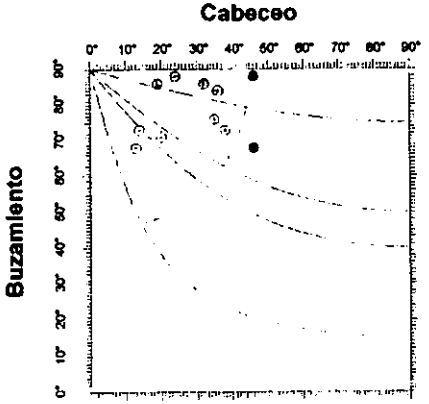
Trazas cicloográficas e histogramas del azimut, buzamiento y cabeceo

Rosa de Direcciones

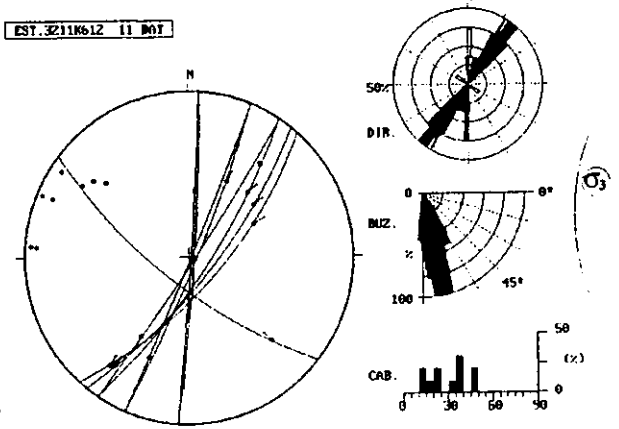


Valor Máximo de Escala: 50%
Ángulo de Apertura: 15°
DEYM: 14° ± 8,30°

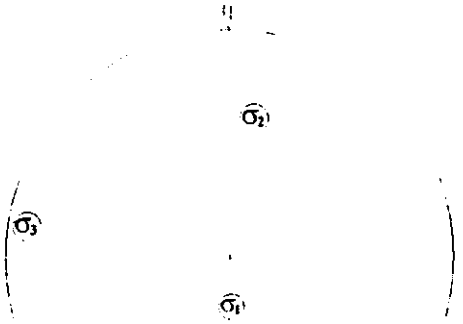
Diagrama Cabeceo/Buzamiento



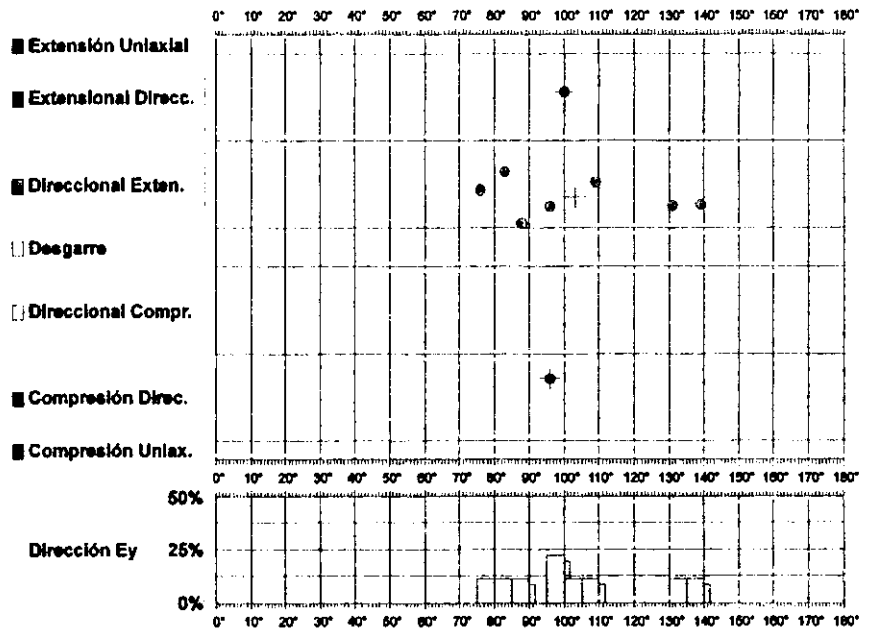
Parámetros Globales
K':-0,6219
PHI:42,65°
Buzamiento:78°±08°
Cabeceo:29°±11°

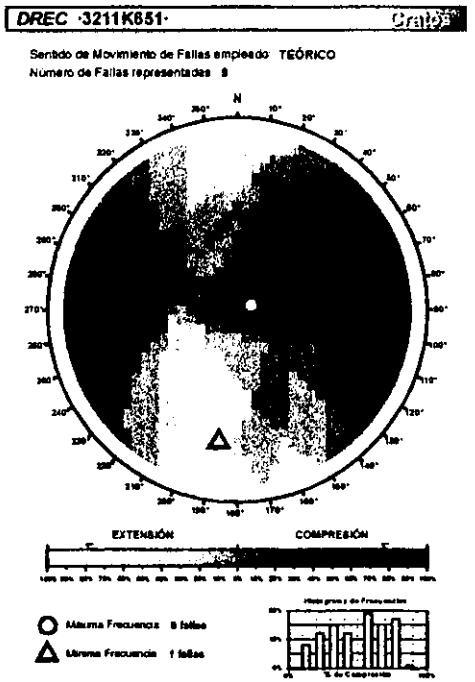


Método de Inversión de Esfuerzos



Modelo de Deslizamiento ·3211K651· Cratos



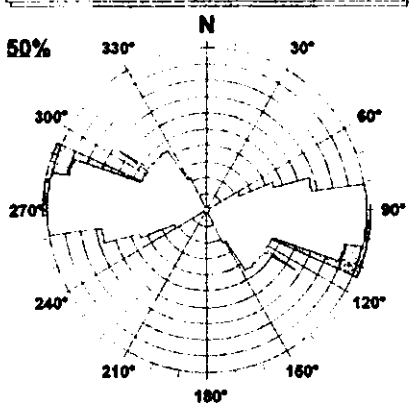


Estación: 3211k65
Coordenadas U.T.M. (metros)
X:577500
Y:4267200
Z:800
Litología: Carbonatos
Edad: Jurásico

1ª Subpoblación:
Ey: 101°±13°
Buz: 77°±10°
Cab: 31°±11°
s1 04°/094°
s2 82°/330°
s3 06°/184°
R = 0.59
μ = 0.31
F.E. = 7 (10)

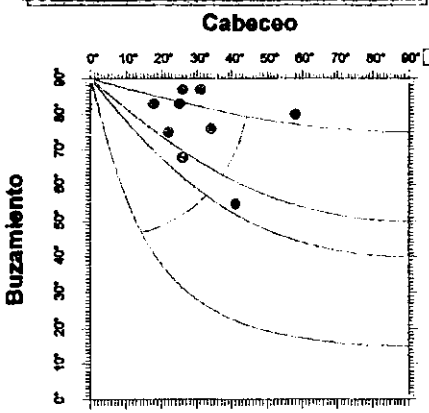
Trazas ciclográficas e histogramas del azimut, buzamiento y cabeceo

Rosa de Direcciones

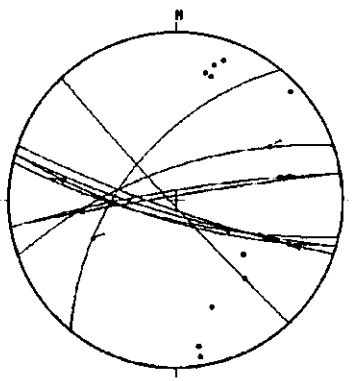


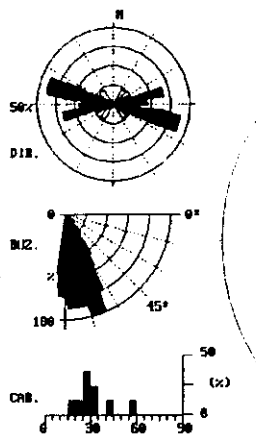
Valor Máximo de Escala: 50%
Ángulo de Apertura: 15°
DEYM: 101° ± 12,92°

Diagrama Cabeceo/Buzamiento

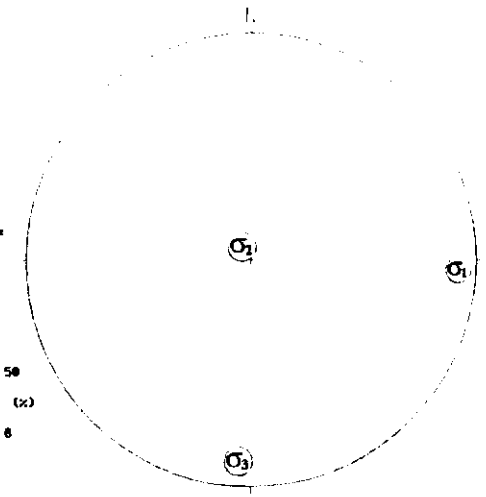


Parámetros Globales
K':0,8931 Buzamiento:77°±10°
PHI:41,71° Cabeceo:31°±11°

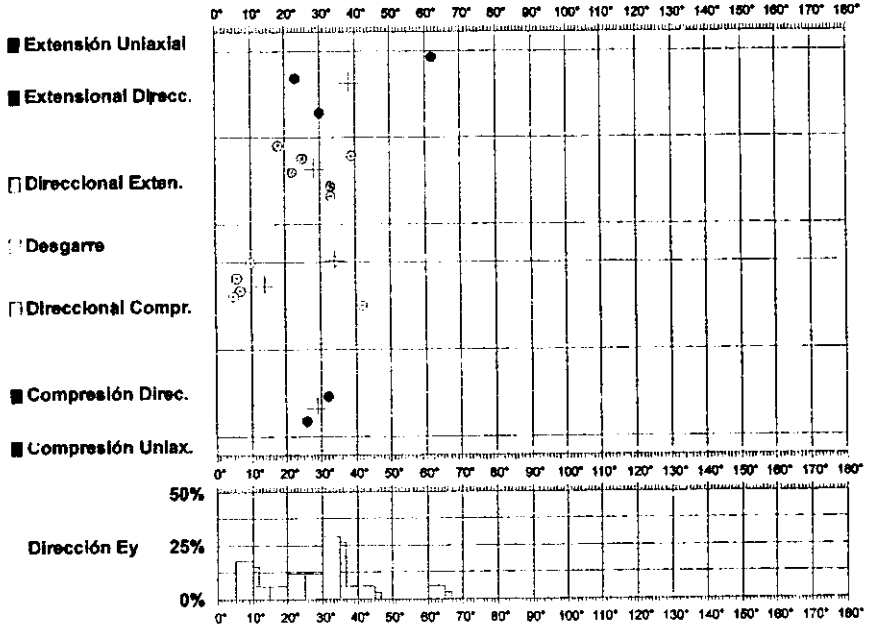


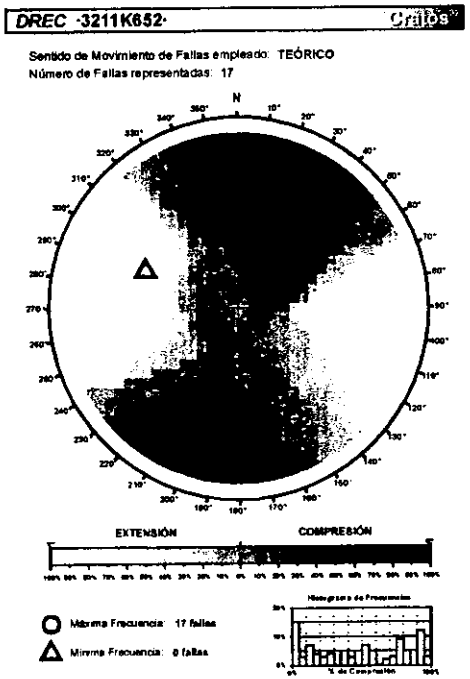


Método de Inversión de Esfuerzos



Modelo de Deslizamiento ·3211K652· Cratos





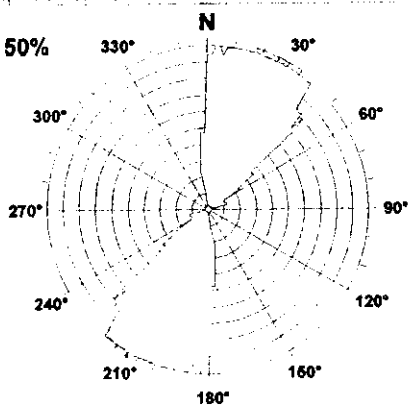
Estación: 3211k65
Coordenadas U.T.M. (metros)
X:577500
Y:4267200
Z:800
Litología: Carbonatos
Edad: Jurásico

2ª Subpoblación:
Ey: 026°±9°
Buz: 64°±12°
Cab: 31°±15°
s1 01°/031°
s2 83°/138°
s3 06°/301°
R = 0.51
μ = 0.50
F.E. = 16 (17)

Trazas ciclográficas e histogramas del azimut, buzamiento y cabeceo

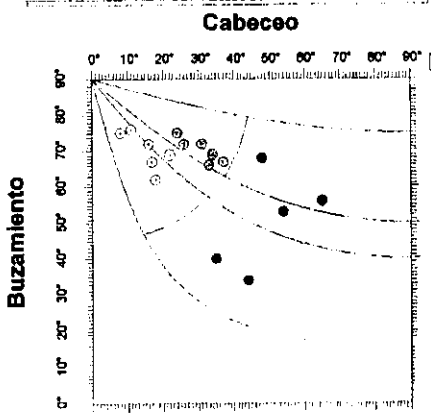
Método de Inversión de Esfuerzos

Rosa de Direcciones

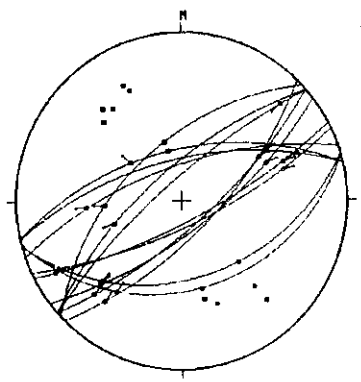


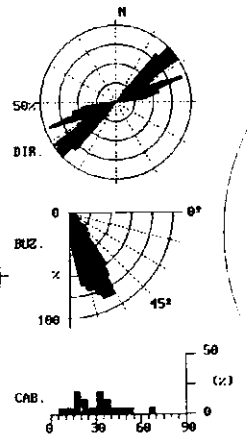
Valor Máximo de Escala: 50%
Ángulo de Apertura: 15°
DEYM: 26° ± 9,29°

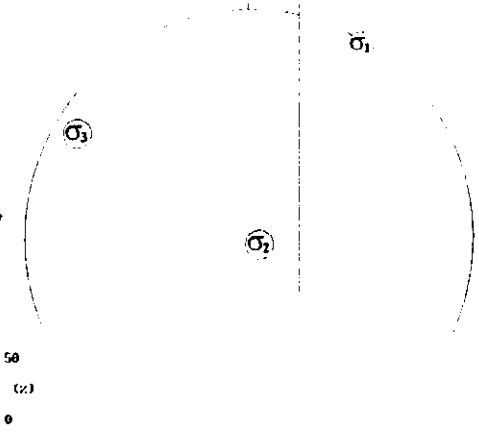
Diagrama Cabeceo/Buzamiento



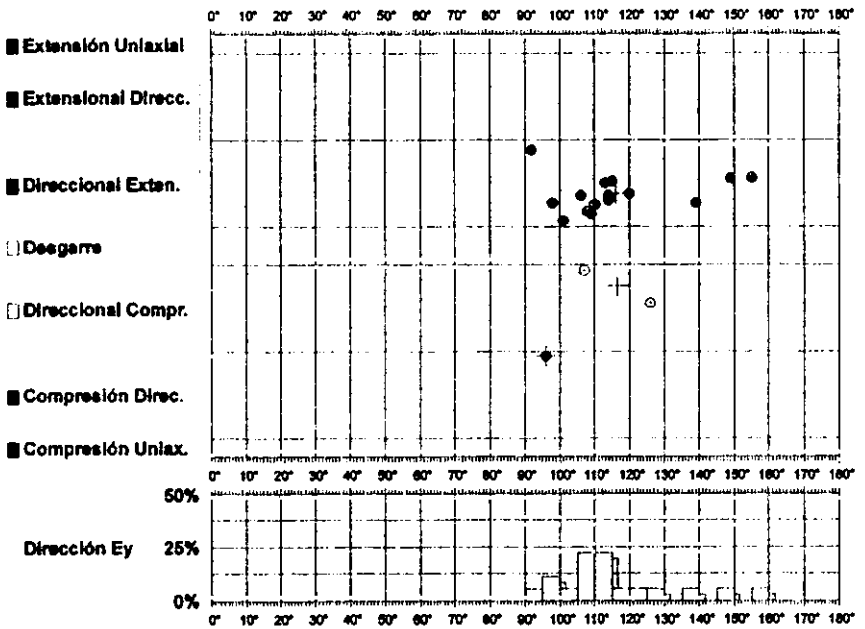
Parámetros Globales
K':-3,2762
PHI:03,12°
Buzamiento:64°±12°
Cabeceo:31°±15°

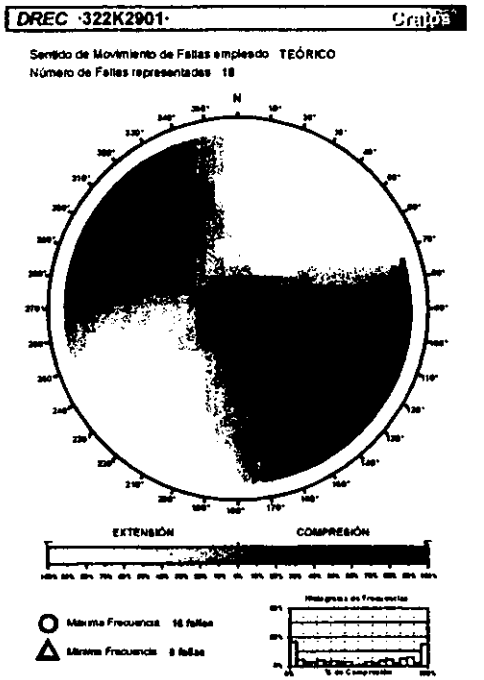






Modelo de Deslizamiento ·322K2901· Cratos





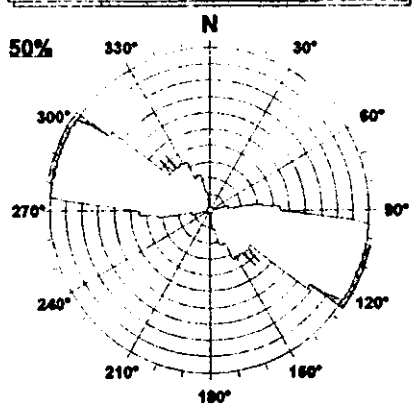
Estación: 322k290
Coordenadas U.T.M. (metros)
X:549000
Y:4292500
Z:981
Litología: Carbonatos
Edad: Jurásico

1ª Subpoblación:
Ey: 114°±12°
Buz: 73°±8°
Cab: 24°±6°
s1 36°/129°
s2 53°/313°
s3 02°/220°
R = 0.61
μ = 0.31
F.E. = 15 (18)

Trazas cicloográficas e histogramas del azimut, buzamiento y cabeceo

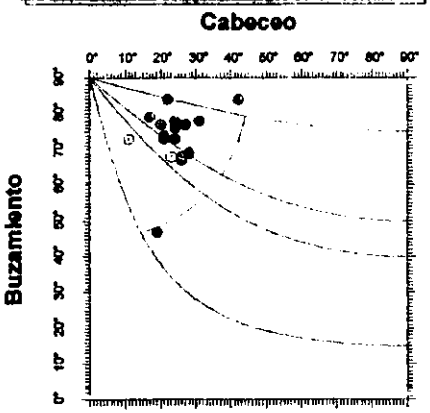
Método de Inversión de Esfuerzos

Rosa de Direcciones

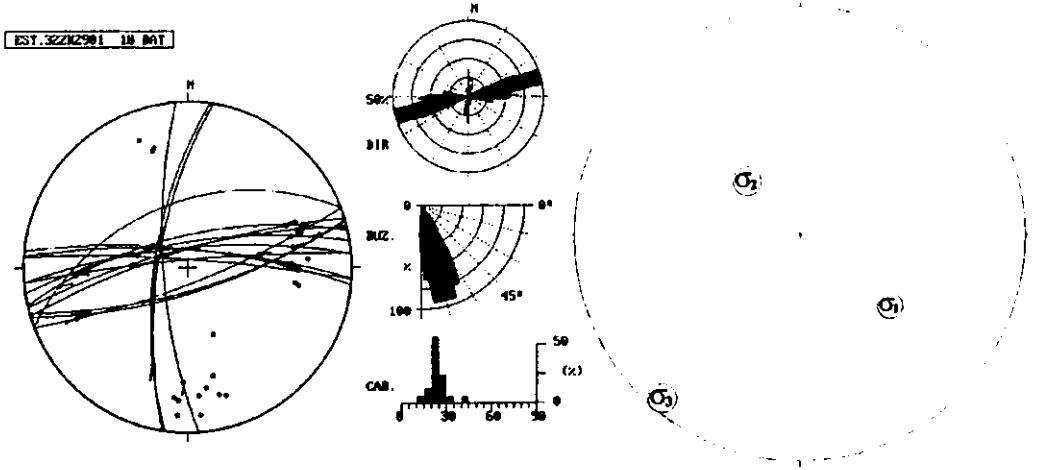


Valor Máximo de Escala: 50%
Ángulo de Apertura: 15°
DEYM: 114° ± 11,96°

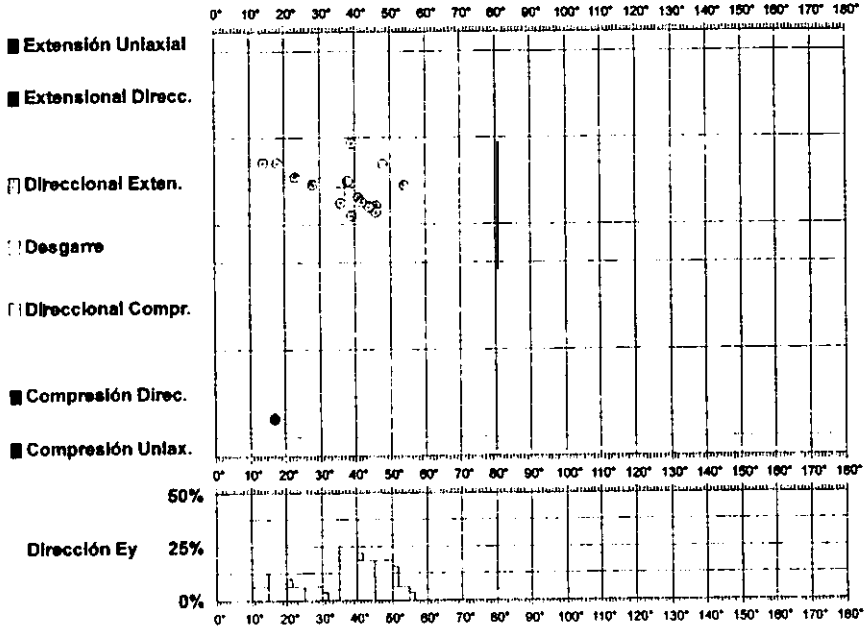
Diagrama Cabeceo/Buzamiento

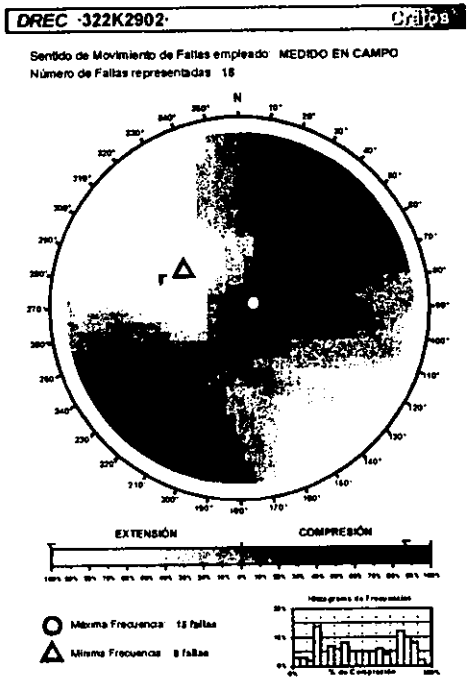


Parámetros Globales
K':-1,4642 Buzamiento:73°±08°
PHI:16,14° Cabeceo:24°±06°



Modelo de Deslizamiento ·322K2902· — Cratos



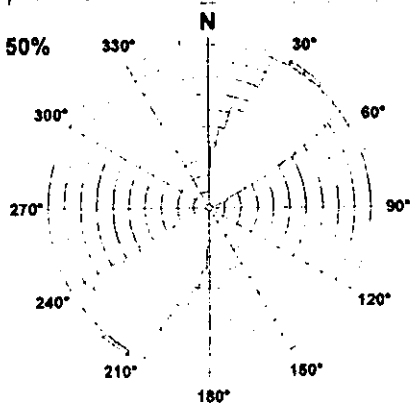


Estación: 322k290
Coordenadas U.T.M. (metros)
X:549000
Y:4292500
Z:981
Litología: Carbonatos
Edad: Jurásico

2ª Subpoblación:
Ey: 036°±7°
Buz: 77°±11°
Cab: 29°±9°
s1 55°/051°
s2 34°/224°
s3 03°/316°
R = 0.82
μ = 0.40
F.E. = 13 (16)

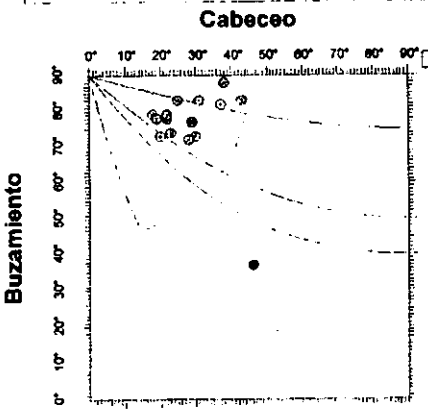
Trazas ciclográficas e histogramas del azimut, buzamiento y cabeceo

Rosa de Direcciones

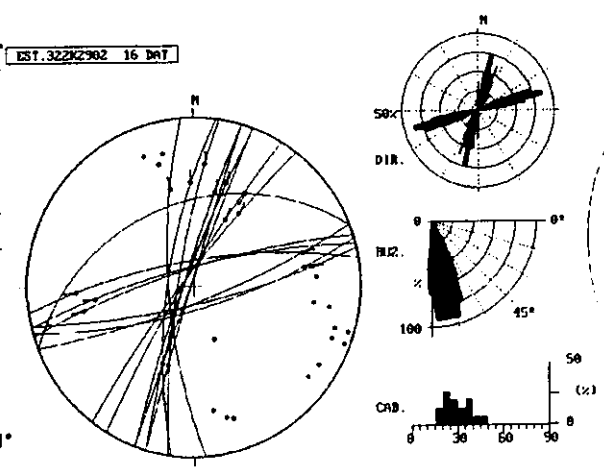


Valor Máximo de Escala: 50%
Ángulo de Apertura: 15°
DEYM: 36° ± 8,72°

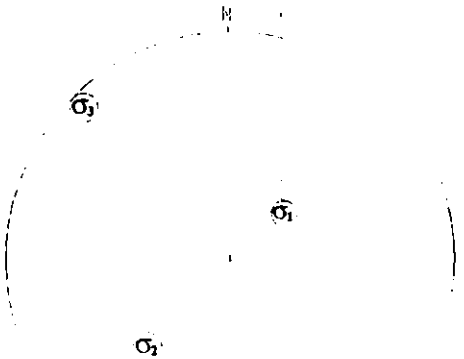
Diagrama Cabeceo/Buzamiento



Parámetros Globales
K':1,0642
PHI:39,07°
Buzamiento:77°±11°
Cabeceo:29°±09°

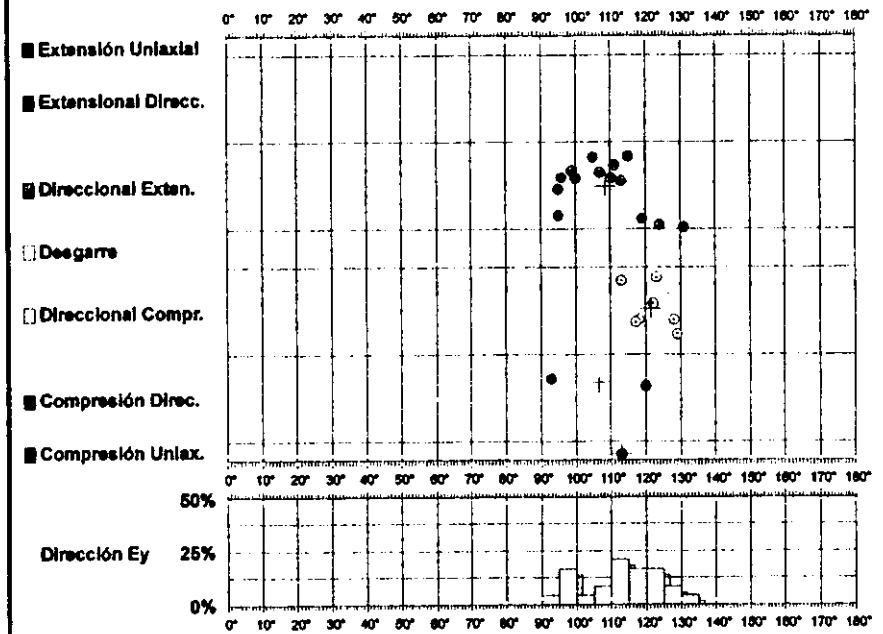


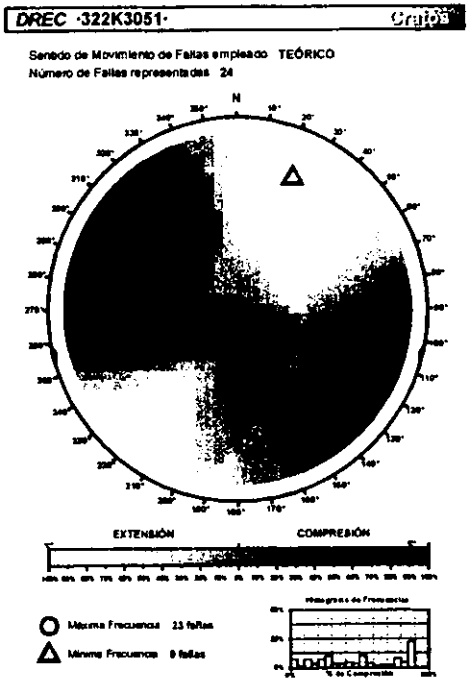
Método de Inversión de Esfuerzos



Modelo de Deslizamiento ·322K3051·

Cratos





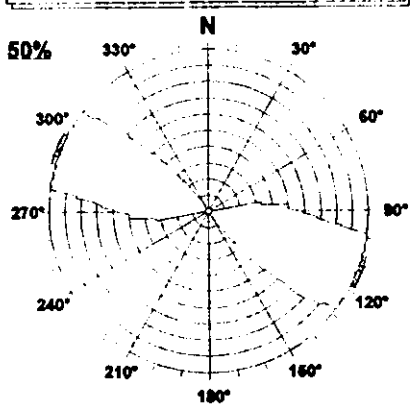
Estación: 322k305
Coordenadas U.T.M. (metros)
X:561400
Y:4296700
Z:864
Litología: Carbonatos
Edad: Jurásico

1ª Subpoblación:
Ey: 112°±6°
Buz: 69°±12°
Cab: 29°±12°
s1 22°/106°
s2 66°/264°
s3 07°/013°
R = 0.68
μ = 0.31
F.E. = 23 (24)

Trazas ciclográficas e histogramas del azimut, buzamiento y cabeceo

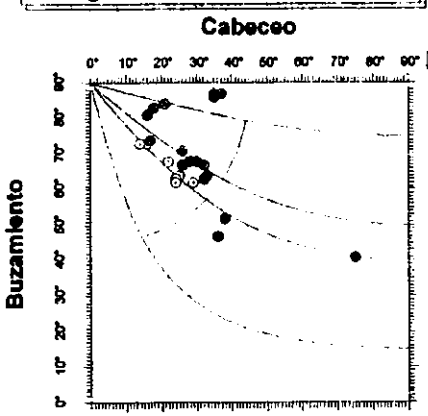
Método de Inversión de Esfuerzos

Rosa de Direcciones

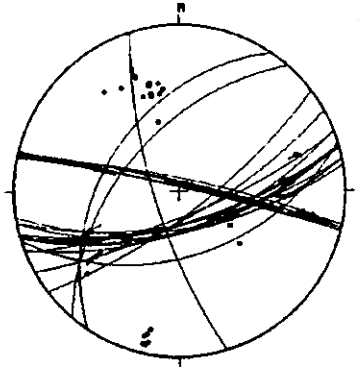


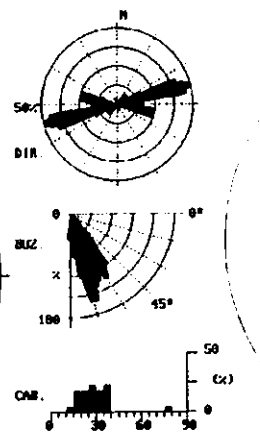
Valor Máximo de Escala: 50%
Ángulo de Apertura: 15°
DEYM: 112° ± 6,40°

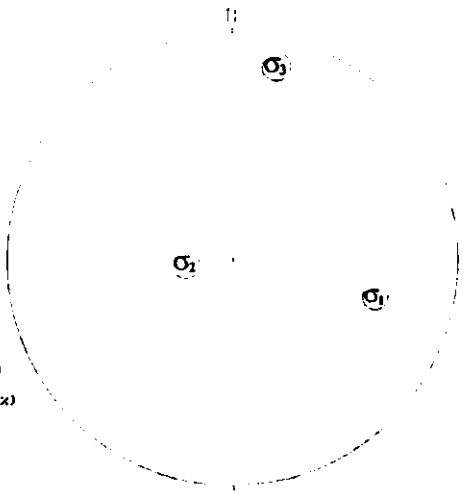
Diagrama Cabeceo/Buzamiento

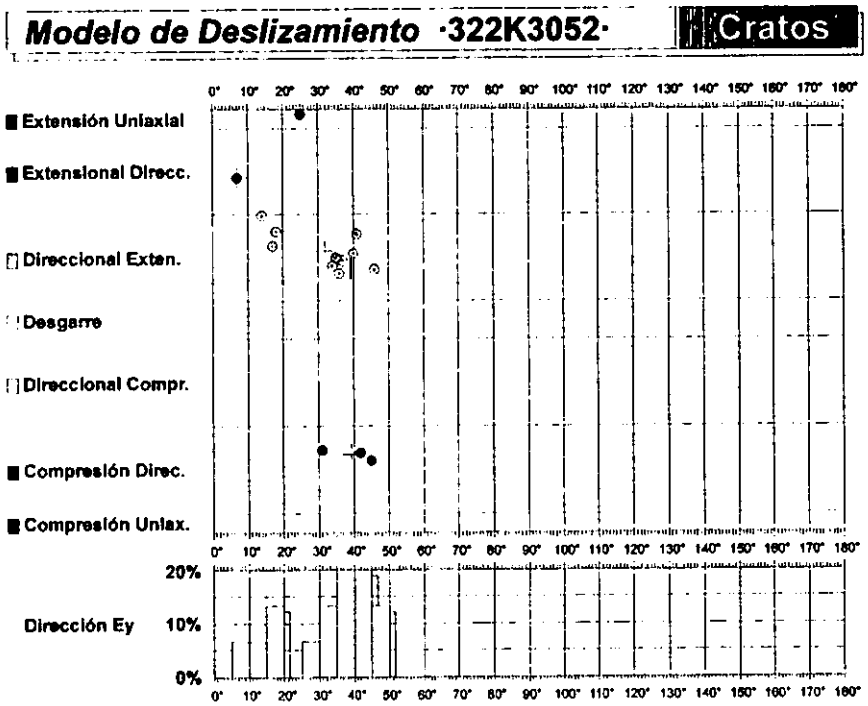


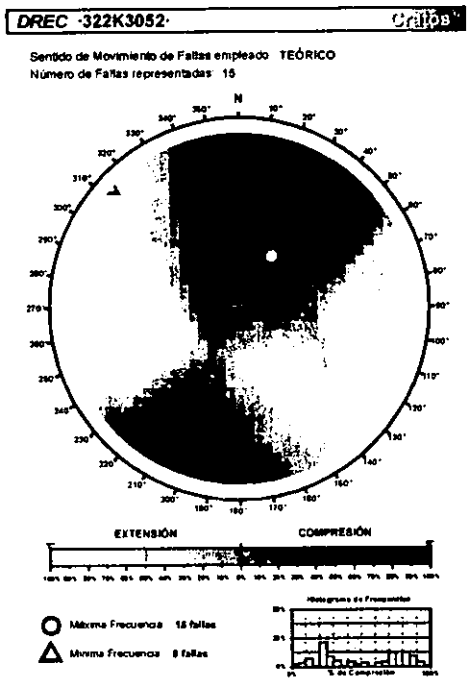
Parámetros Globales
K':-0,8297 Buzamiento:69°±12°
PHI:13,26° Cabeceo:29°±12°









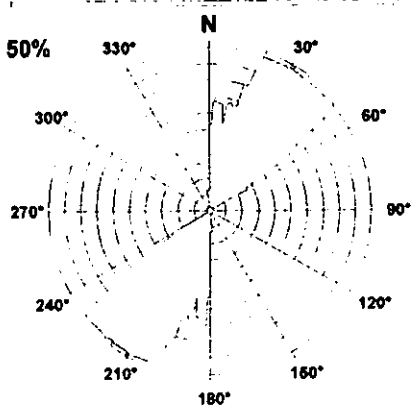


Estación: 322k305
Coordenadas U.T.M. (metros)
X:561400
Y:4296700
Z:864
Litología: Carbonatos
Edad: Jurásico

2ª Subpoblación:
Ey: 031°±6°
Buz: 66°±17°
Cab: 32°±16°
s1 34°/013°
s2 55°/193°
s3 00°/103°
R = 0.43
μ = 0.31
F.E. = 11 (15)

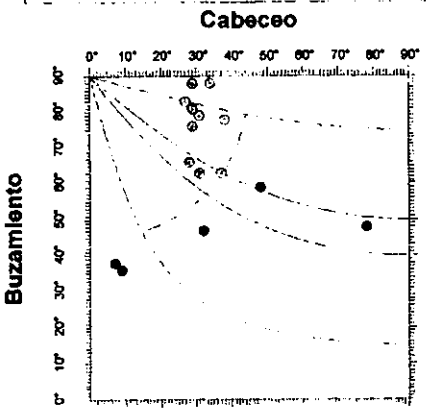
Trazas ciclográficas e histogramas del azimut, buzamiento y cabeceo

Rosa de Direcciones

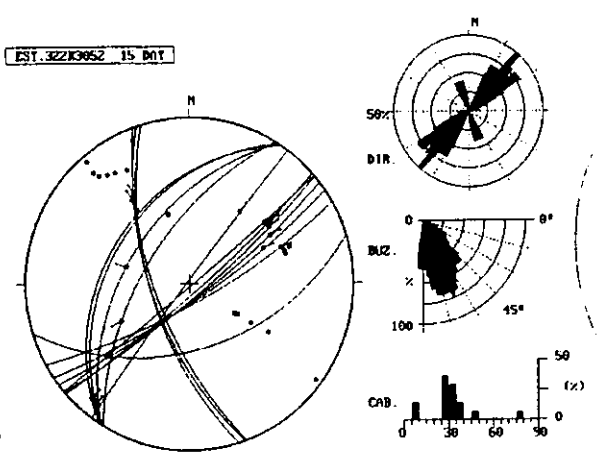


Valor Máximo de Escala: 50%
Ángulo de Apertura: 15°
DEYM: 31° ± 6,44°

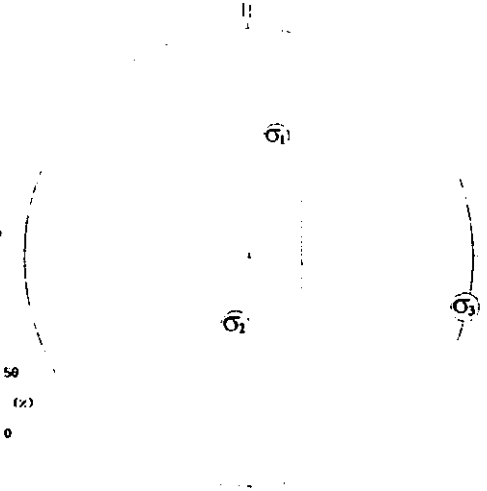
Diagrama Cabeceo/Buzamiento



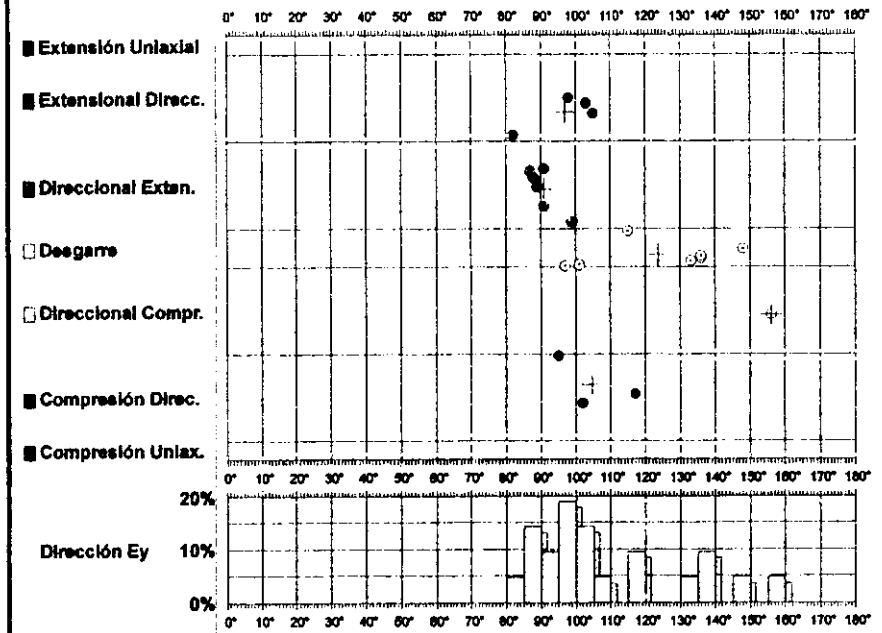
Parámetros Globales
K':0,3022
PHI:09,93°
Buzamiento:66°±17°
Cabeceo:32°±16°

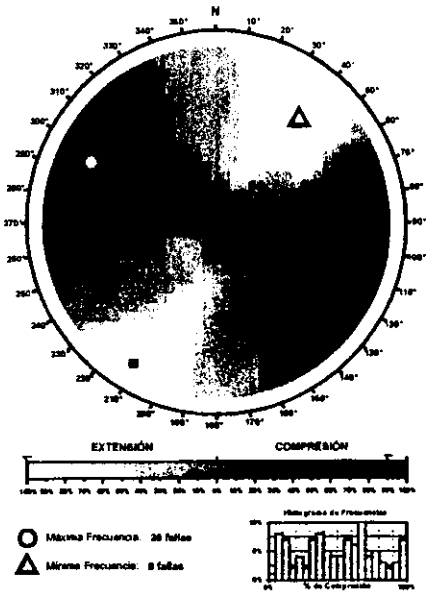


Método de Inversión de Esfuerzos



Modelo de Deslizamiento ·4017K831· Cratos



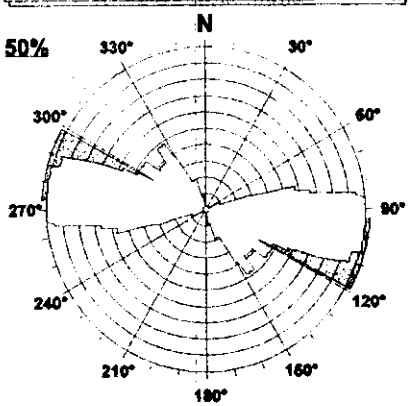


Estación: 4017k83
Coordenadas U.T.M. (metros)
X:368600
Y:4358600
Z:807
Litología: Basamento hercínico
Edad: Paleozoico

1ª Subpoblación:
Ey: 106°±13°
Buz: 73°±11°
Cab: 27°±17°
s1 24°/117°
s2 65°/298°
s3 00°/207°
R = 0.77
μ = 0.31
F.E. = 14 (21)

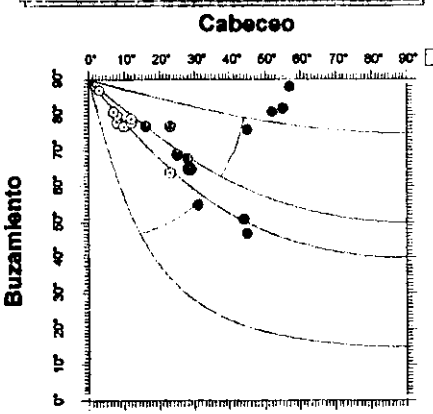
Trazas ciclográficas e histogramas del azimut, buzamiento y cabeceo

Rosa de Direcciones

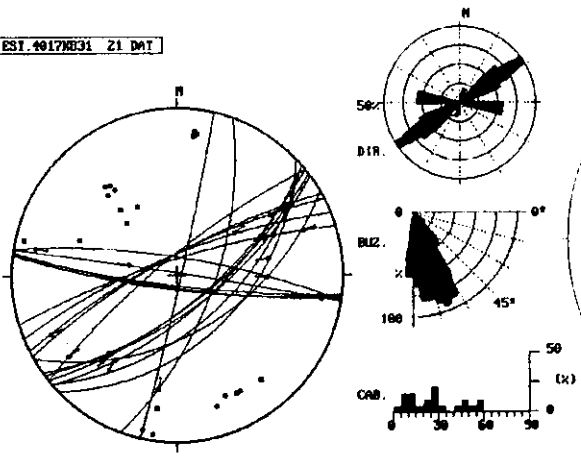


Valor Máximo de Escala: 50%
Angulo de Apertura: 15°
DEYM: 106° ± 12,91°

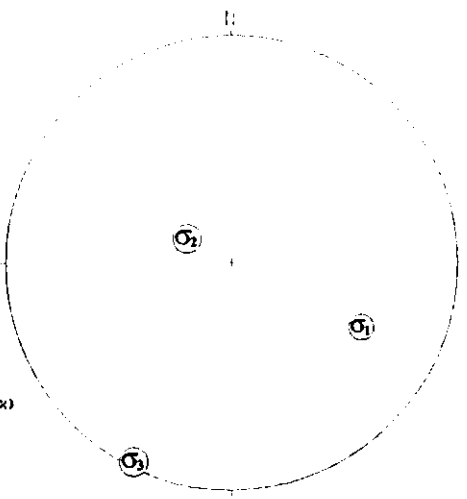
Diagrama Cabeceo/Buzamiento

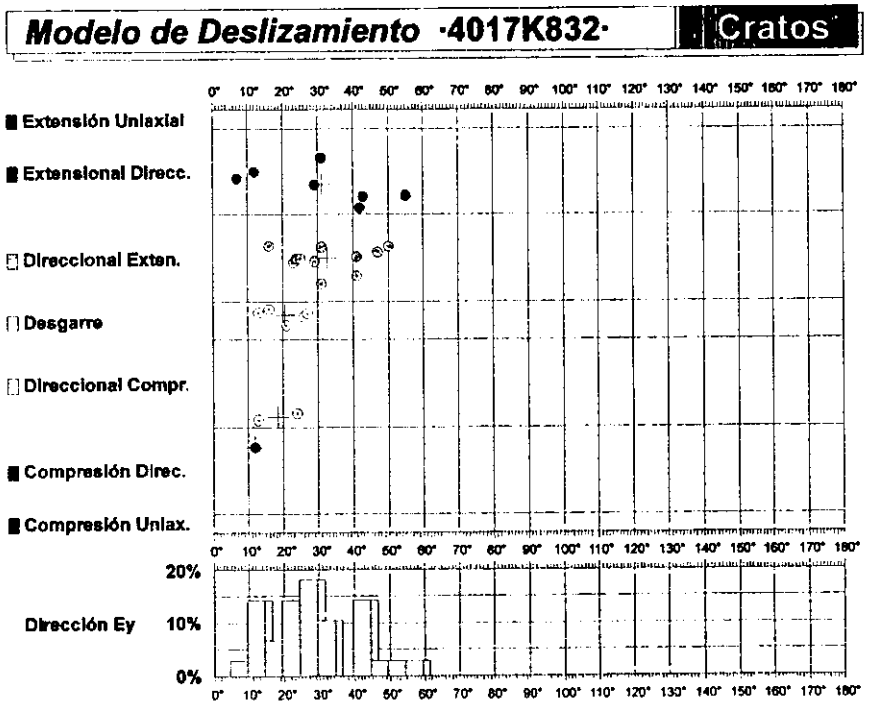


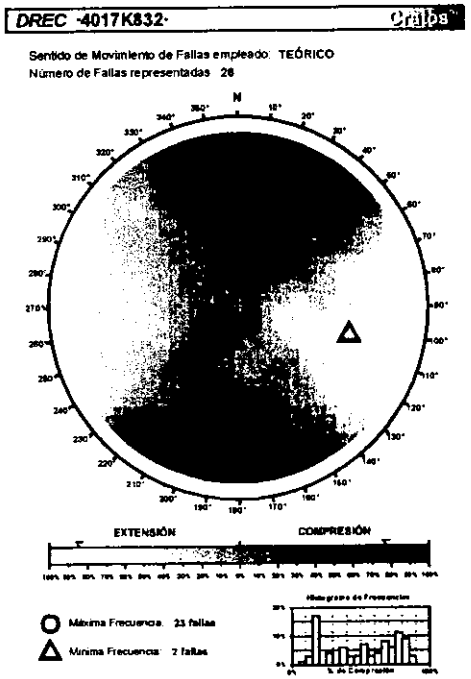
Parámetros Globales
K':-8,2277
PHI:22,06°
Buzamiento:73°±11°
Cabeceo:27°±17°



Método de Inversión de Esfuerzos



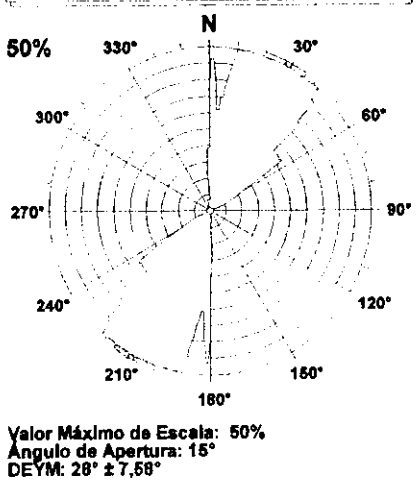


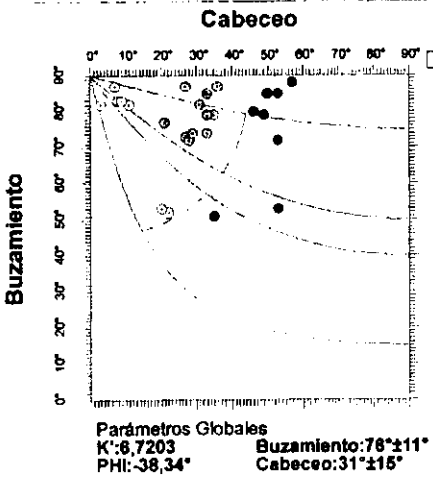


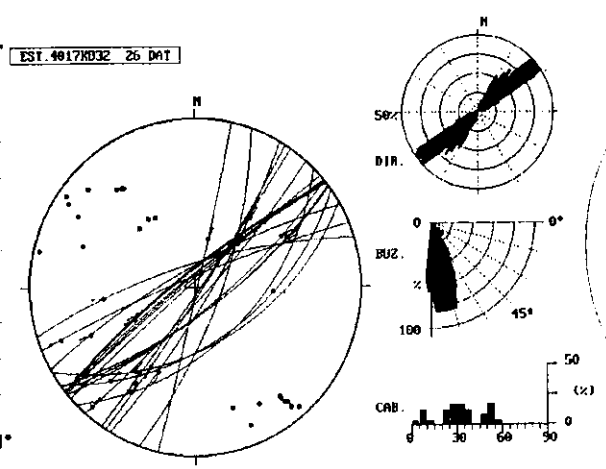
Estación: 4017k83
Coordenadas U.T.M. (metros)
X:368600
Y:4358600
Z:807
Litología: Basamento hercínico
Edad: Paleozoico

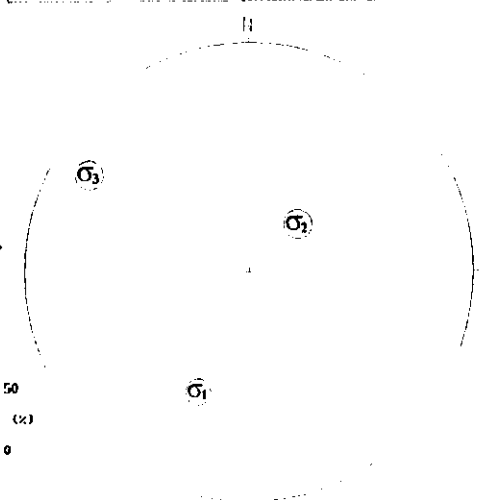
2ª Subpoblación:
Ey: 028°±8°
Buz: 76°±11°
Cab: 31°±15°
s1 30°/204°
s2 57°/045°
s3 09°/300°
R = 0.88
μ = 1.01
F.E. = 18 (26)

Trazas ciclográficas e histogramas del azimut, buzamiento y cabeceo

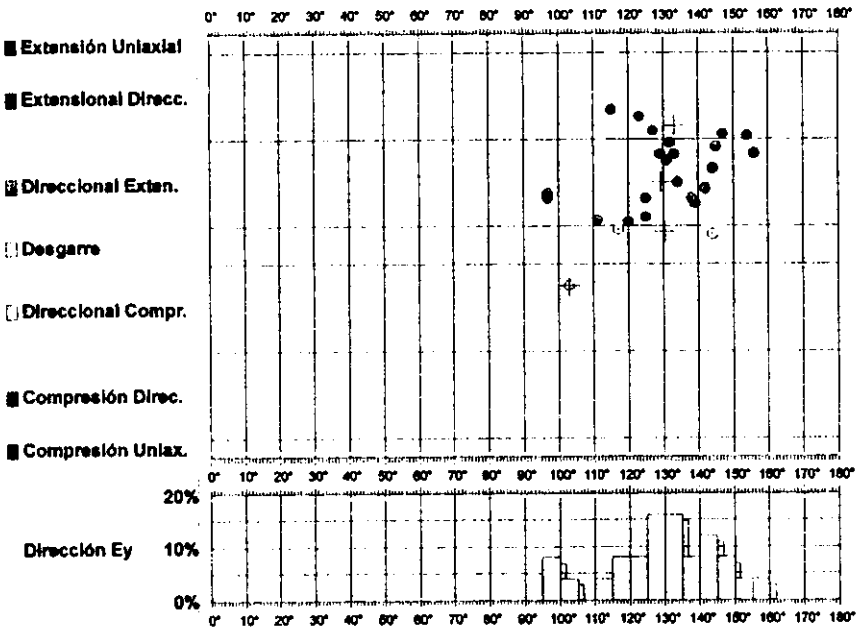


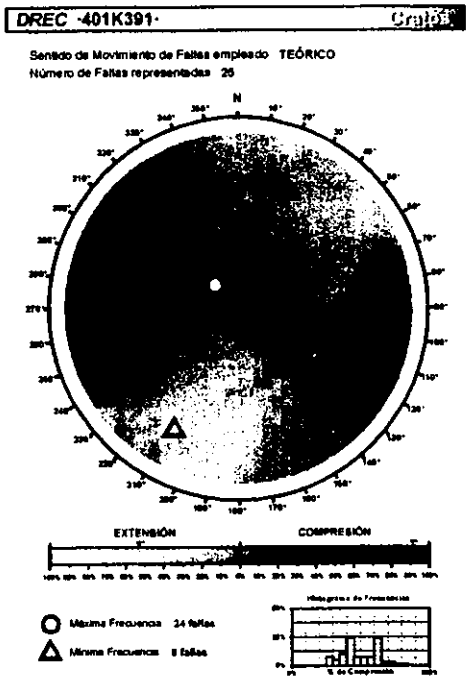






Modelo de Deslizamiento ·401K391· — Cratos



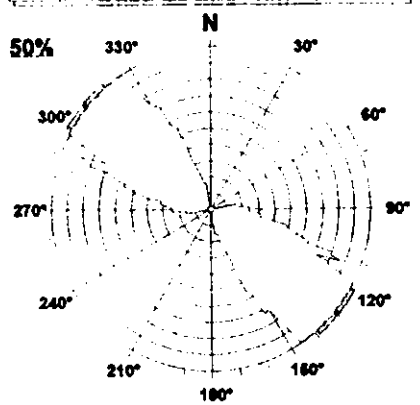


Estación: 401k39
Coordenadas U.T.M. (metros)
X:381400
Y:4391600
Z:654
Litología: Basamento hercínico
Edad: Paleozoico

1ª Subpoblación:
Ey: 129°±10°
Buz: 82°±6°
Cab: 32°±12°
s1 39°/300°
s2 49°/128°
s3 04°/033°
R = 0.73
μ = 0.50
F.E. = 11 (25)

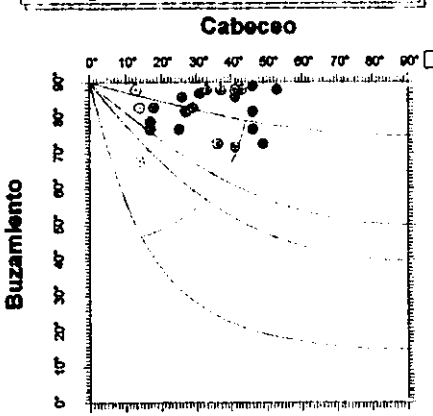
Trazas ciclográficas e histogramas del azimut, buzamiento y cabeceo

Rosa de Direcciones

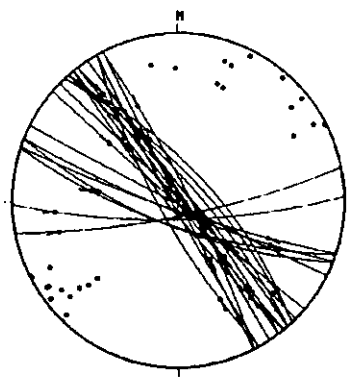


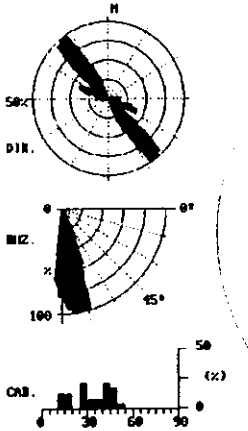
Valor Máximo de Escala: 50%
Ángulo de Apertura: 15°
DEYM: 129° ± 9,62°

Diagrama Cabeceo/Buzamiento

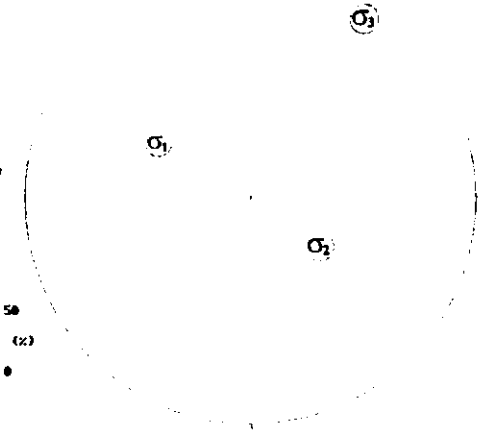


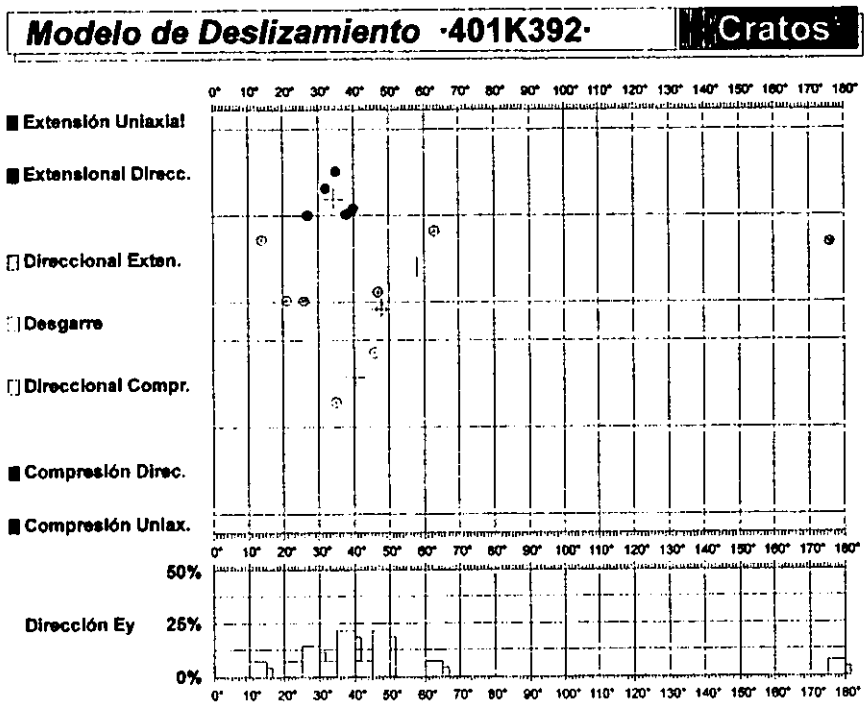
Parámetros Globales
K':3,6722
PHI:60,29°
Buzamiento:82°±06°
Cabeceo:32°±12°

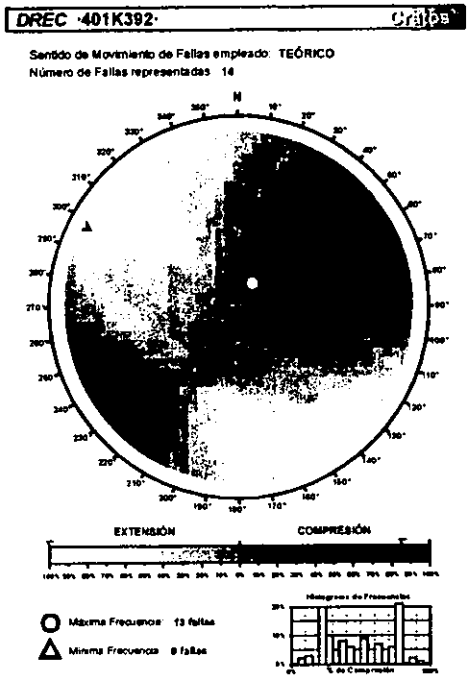




Método de Inversión de Esfuerzos





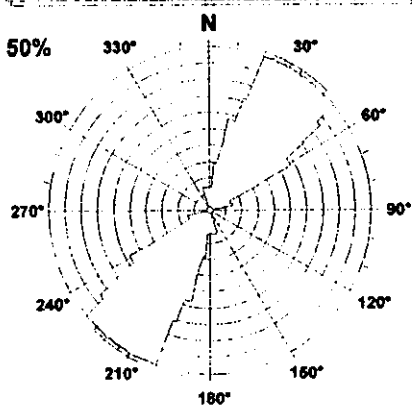


Estación: 401k39
Coordenadas U.T.M. (metros)
X:381400
Y:4391600
Z:654
Litología: Basamento hercínico
Edad: Paleozoico

2ª Subpoblación:
Ey: 034°±11°
Buz: 76°±10°
Cab: 31°±15°
s1 59°/051°
s2 30°/230°
s3 00°/320°
R = 0.85
μ = 0.31
F.E. = 11 (14)

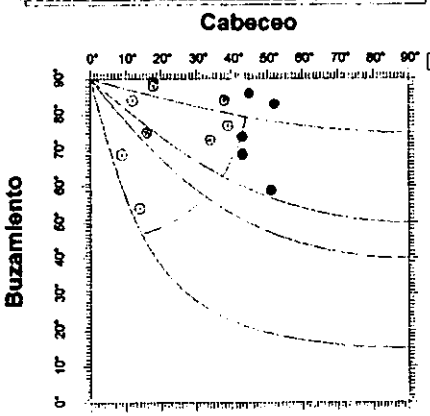
Trazas ciclográficas e histogramas del azimut, buzamiento y cabeceo

Rosa de Direcciones

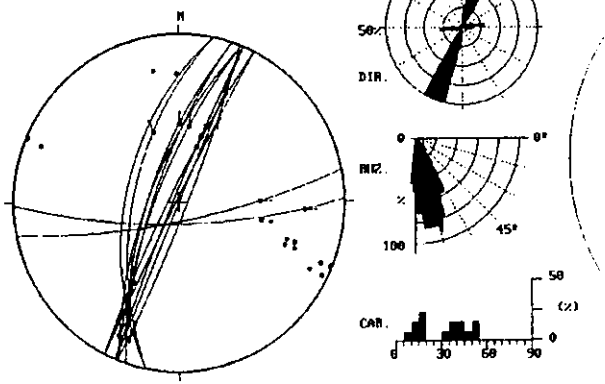


Valor Máximo de Escala: 50%
Ángulo de Apertura: 15°
DEYM: 34° ± 10,77°

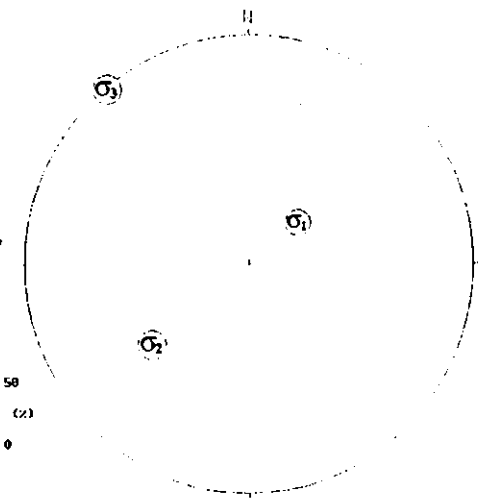
Diagrama Cabeceo/Buzamiento



Parámetros Globales
K':4,6749 Buzamiento:76°±10°
PHI:38,34° Cabeceo:31°±15°

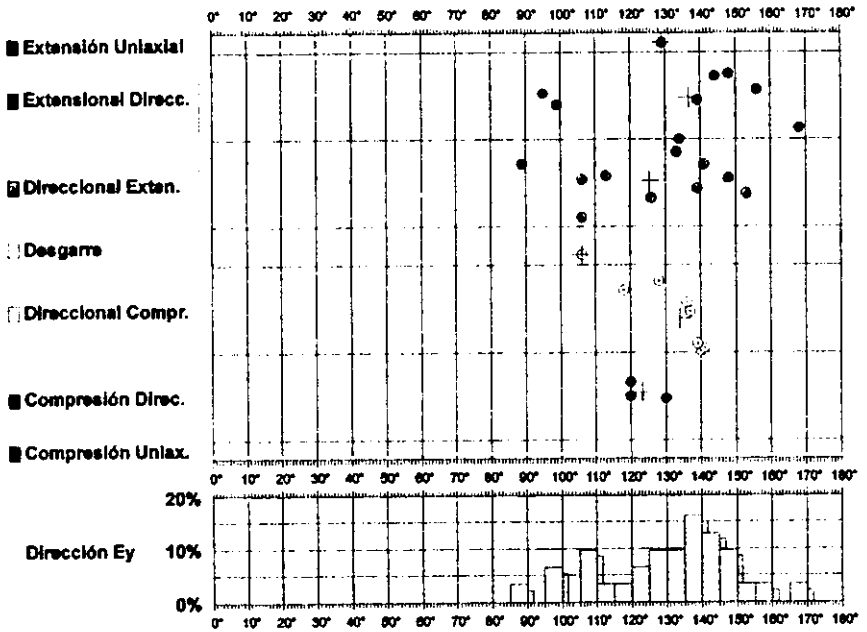


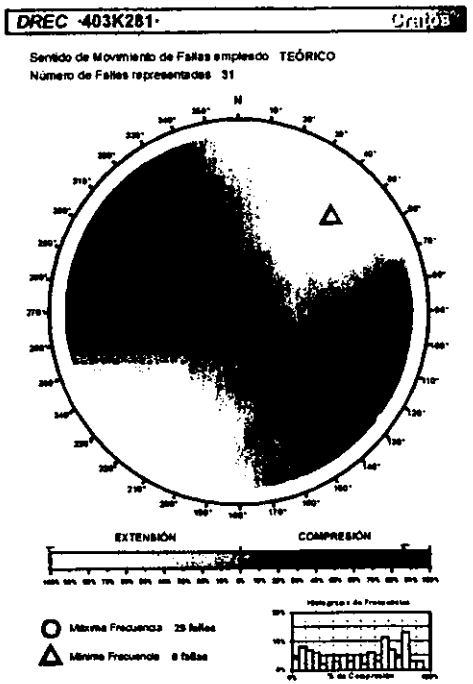
Método de Inversión de Esfuerzos



Modelo de Deslizamiento ·403K281·

Cratos





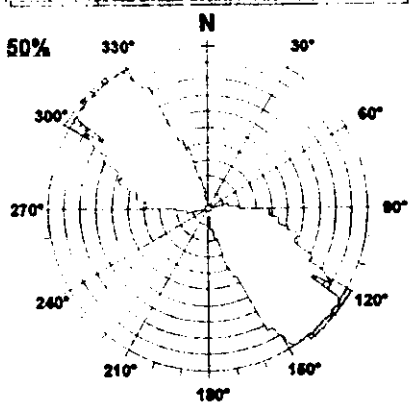
Estación: 403k28
Coordenadas U.T.M. (metros)
X:395100
Y:4371500
Z:723
Litología:Basamento hercínico
Edad: Paleozoico

1ª Subpoblación:
Ey: 131°±11°
Buz: 65°±12°
Cab: 35°±17°
s1 25°/303°
s2 64°/131°
s3 03°/034°
R = 0.71
μ = 0.31
F.E. = 23 (31)

Trazas ciclográficas e histogramas del azimut, buzamiento y cabeceo

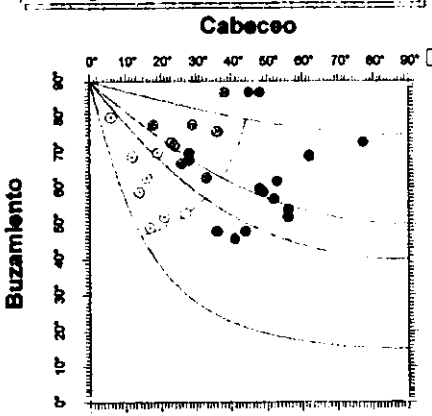
Método de Inversión de Esfuerzos

Rosa de Direcciones

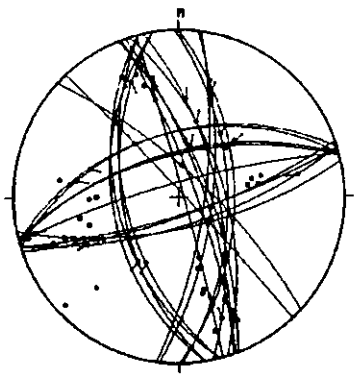


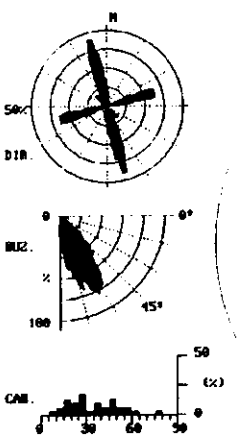
Valor Máximo de Escala: 50%
Ángulo de Apertura: 15°
DEYM: 131° ± 11,16°

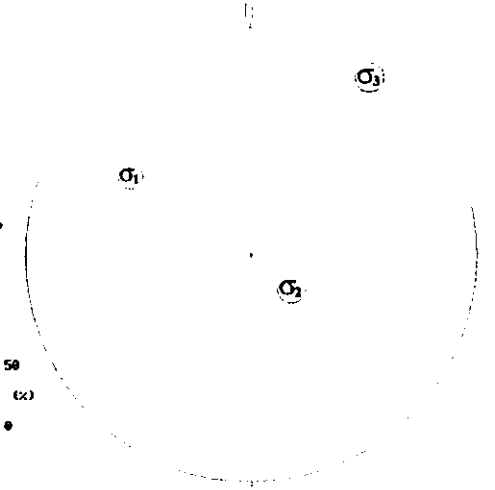
Diagrama Cabeceo/Buzamiento



Parámetros Globales
K':-4,3759 Buzamiento:65°±12°
PHI:11,76° Cabeceo:35°±17°

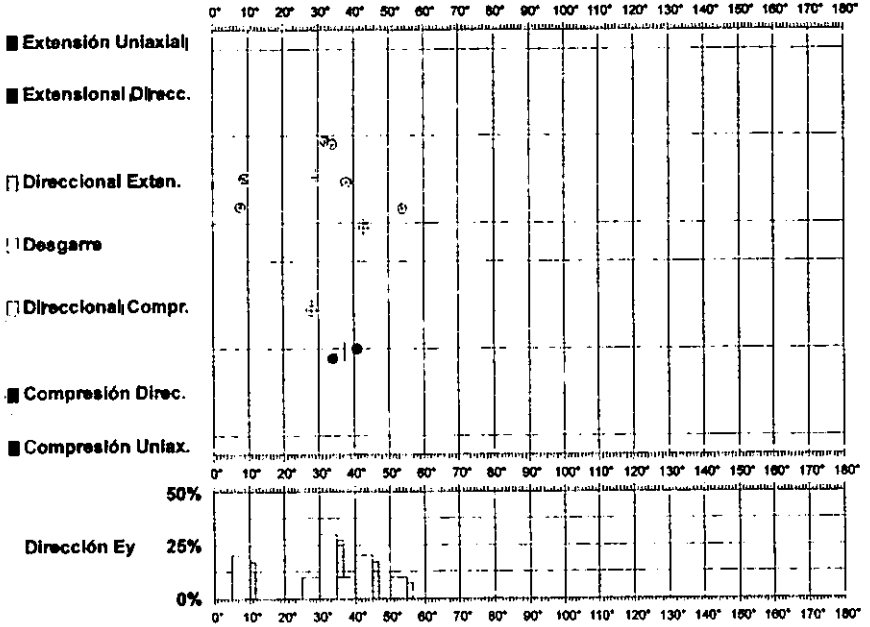


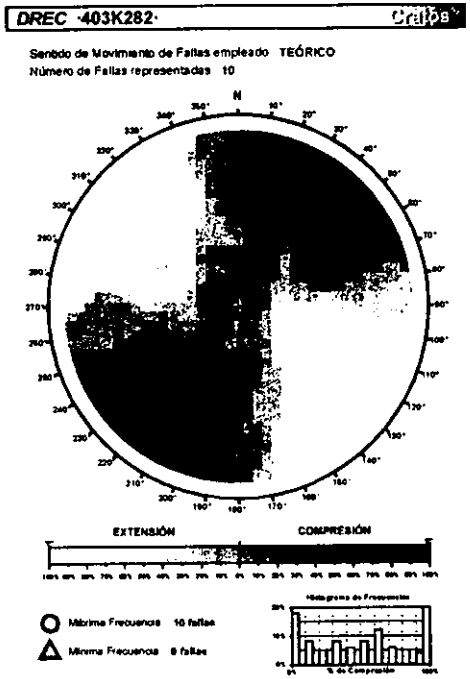




Modelo de Deslizamiento ·403K282·

Cratos



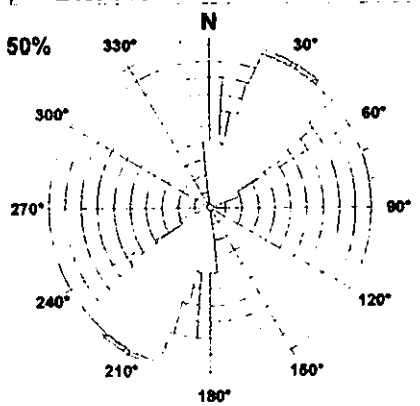


Estación: 403k28
Coordenadas U.T.M. (metros)
X:395100
Y:4371500
Z:723
Litología:Basamento hercínico
Edad: Paleozoico

2ª Subpoblación:
Ey: 032°±9°
Buz: 68°±11°
Cab: 26°±8°
s1 10°/217°
s2 78°/009°
s3 05°/126°
R = 0.70
μ = 0.50
F.E. = 10 (10)

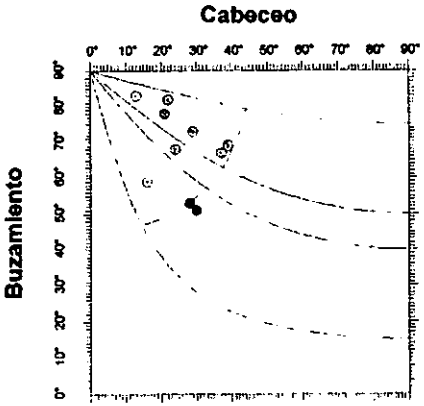
Trazas ciclográficas e histogramas del azimut, buzamiento y cabeceo

Rosa de Direcciones

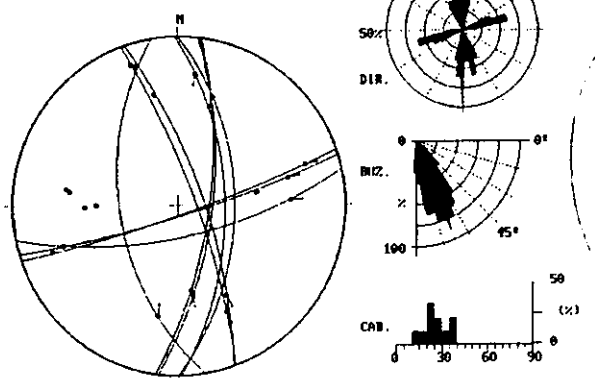


Valor Máximo de Escala: 50%
Ángulo de Apertura: 15°
DEYM: 32° ± 9,47°

Diagrama Cabeceo/Buzamiento



Parámetros Globales
K':3,0890 Buzamiento:68°±11°
PHI:04,67° Cabeceo:26°±08°

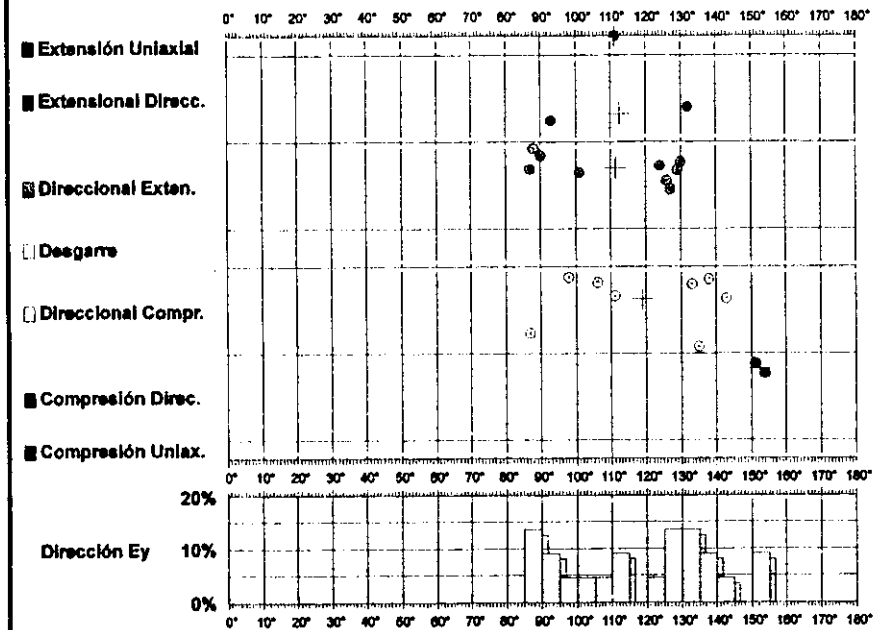


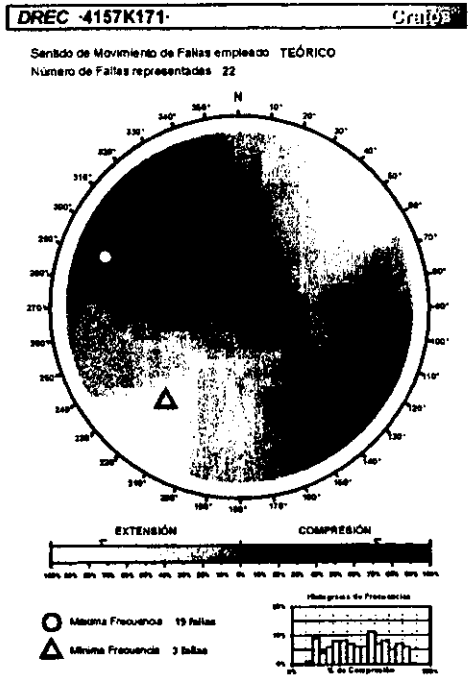
Método de Inversión de Esfuerzos



Modelo de Deslizamiento ·4157K171·

Cratos





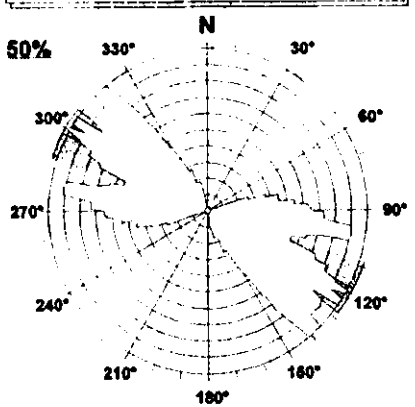
Estación: 4157k17
Coordenadas U.T.M. (metros)
X:364000
Y:4381000
Z:892
Litología: Basamento hercínico
Edad: Paleozoico

1ª Subpoblación:	
Ey: 118°±10°	Ey: 118°±10°
Buz: 67°±8°	Buz: 67°±8°
Cab: 30°±17°	Cab: 30°±17°
s1 32°/115°	s1 43°/304°
s2 52°/264°	s2 46°/135°
s3 14°/015°	s3 05°/039°
R = 0.65	R = 0.85
μ = 0.91	μ = 0.31
F.E. = 7 (22)	F.E. = 10 (22)

FACULTAD DE CIENCIAS GEOLÓGICAS BIBLIOTECA

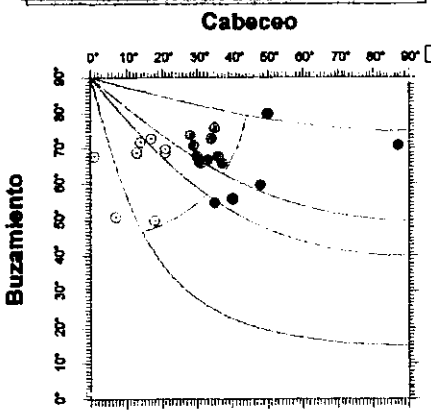
Trazas ciclográficas e histogramas del azimut, buzamiento y cabeceo

Rosa de Direcciones

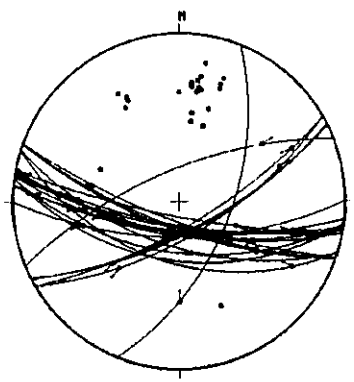


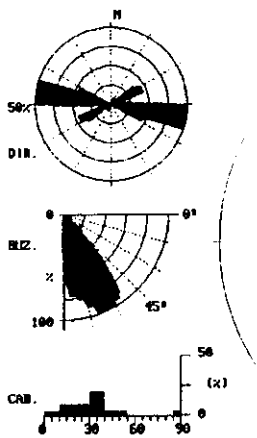
Valor Máximo de Escala: 50%
Ángulo de Apertura: 15°
DEYM: 118° ± 9,62°

Diagrama Cabeceo/Buzamiento

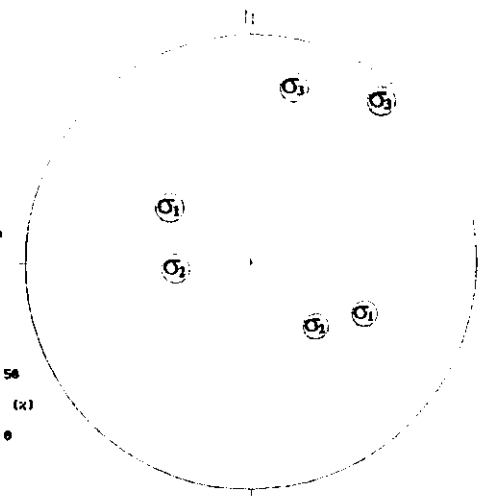


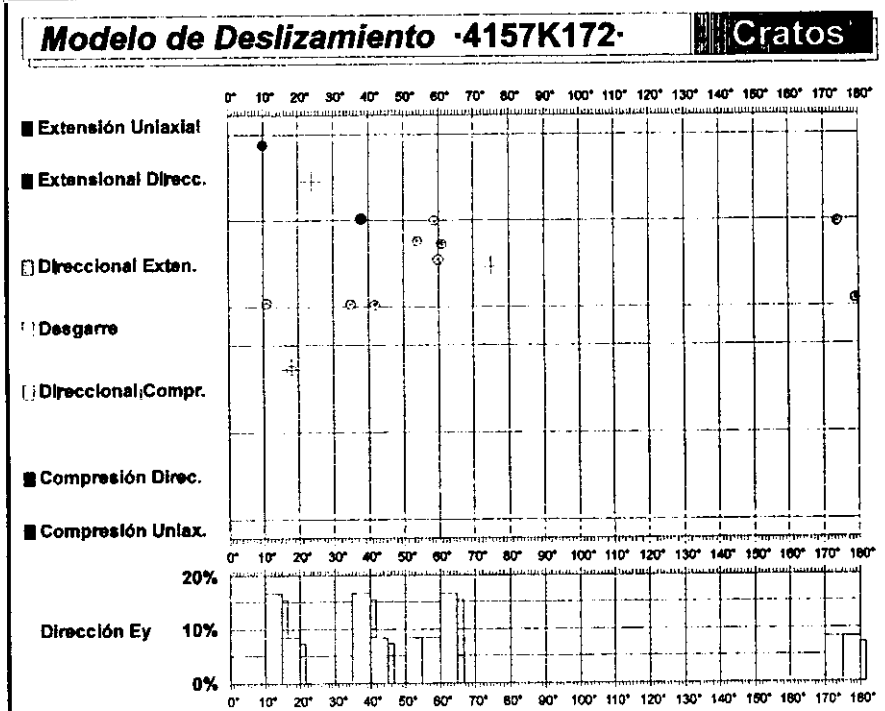
Parámetros Globales
K':-0,9598 Buzamiento:67°±08°
PHI:09,34° Cabeceo:30°±17°

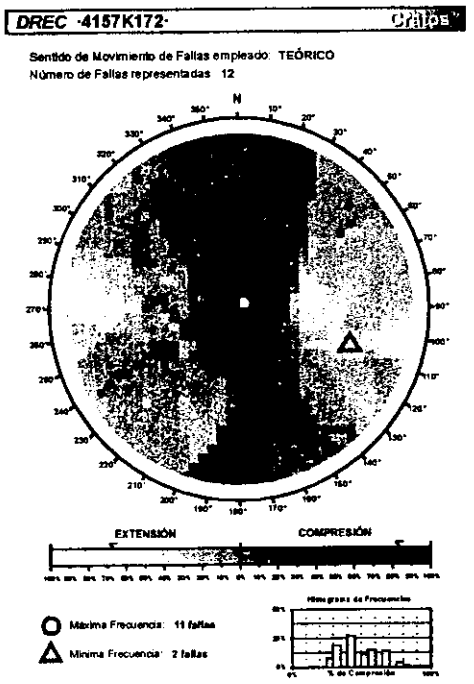




Método de Inversión de Esfuerzos





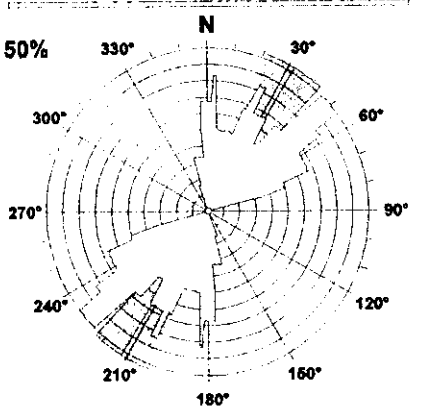


Estación: 4157k17
Coordenadas U.T.M. (metros)
X:364000
Y:4381000
Z:892
Litología: Basamento hercínico
Edad: Paleozoico

2ª Subpoblación:
Ey: 032°±11°
Buz: 76°±10°
Cab: 30°±16°
s1 37°/040°
s2 42°/175°
s3 24°/290°
R = 0.24
μ = 0.61
F.E. = 5 (12)

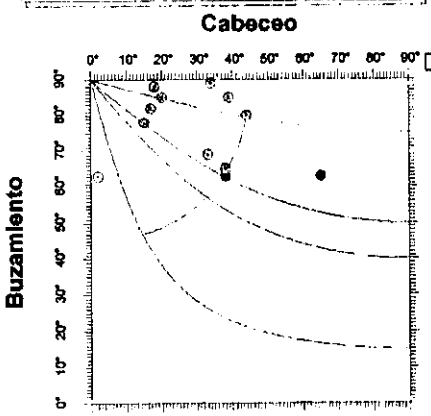
Trazas cicloográficas e histogramas del azimut, buzamiento y cabeceo

Rosa de Direcciones

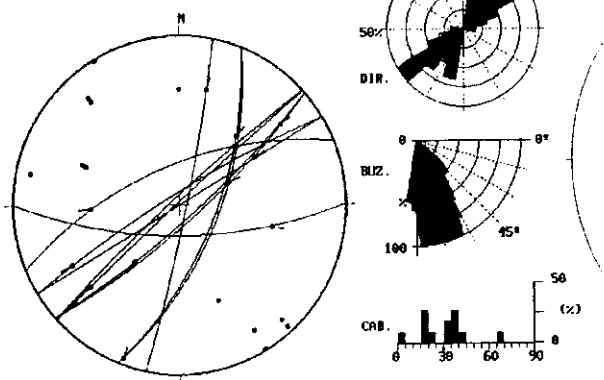


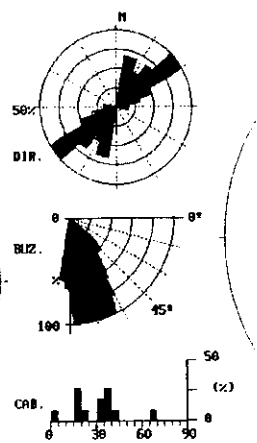
Valor Máximo de Escala: 50%
Ángulo de Apertura: 15°
DEYM: 32° ± 11,04°

Diagrama Cabeceo/Buzamiento

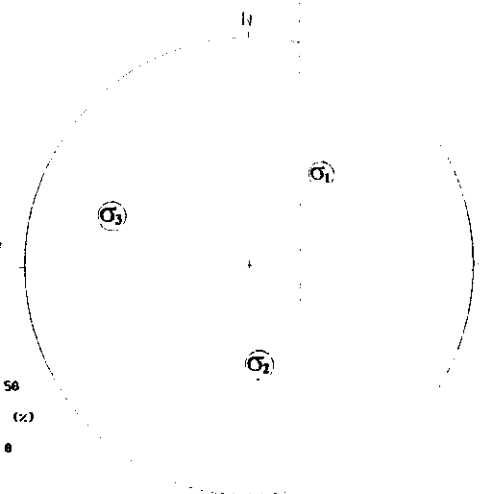


Parámetros Globales
K':0,0899 Buzamiento:76°±10°
PHI:36,99° Cabeceo:30°±16°

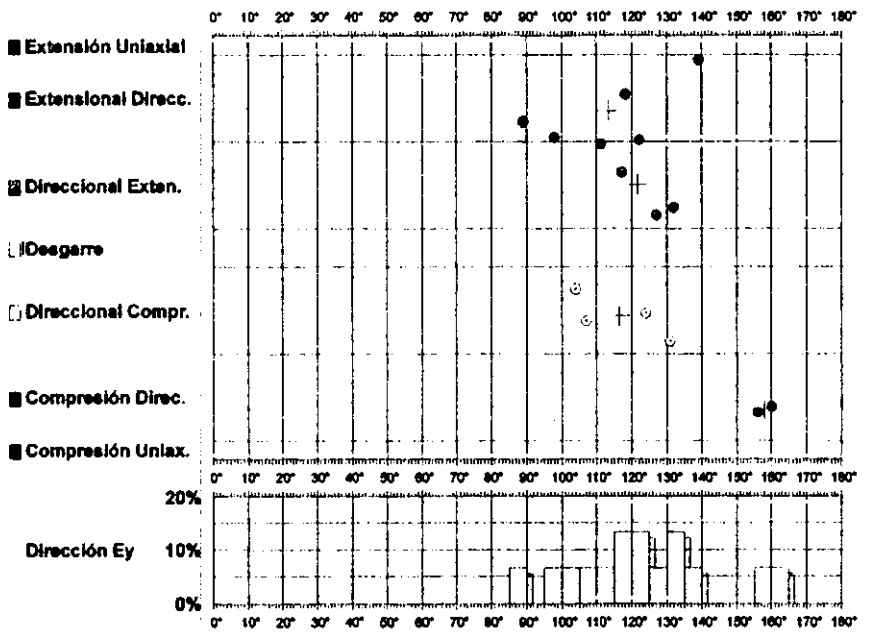


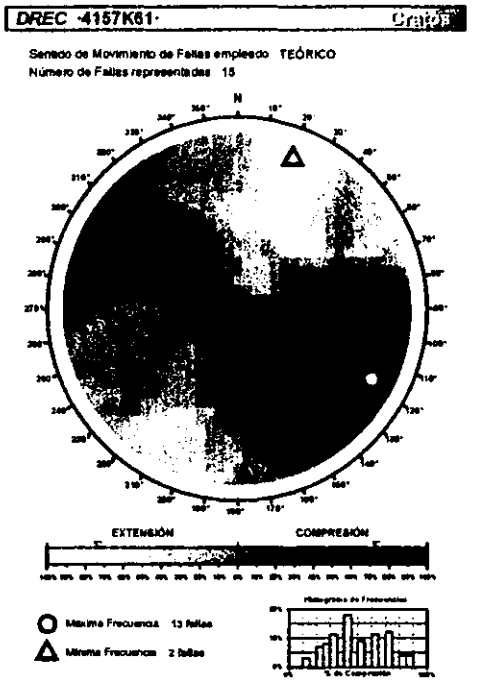


Método de Inversión de Esfuerzos



Modelo de Deslizamiento ·4157K61· Cratos





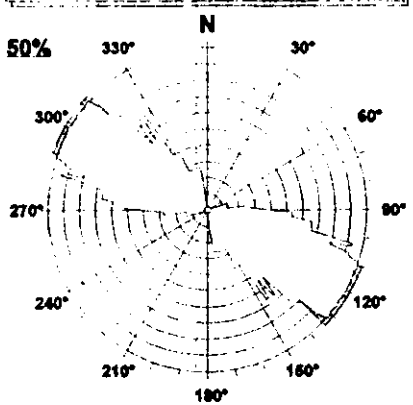
Estación: 4157k6
Coordenadas U.T.M. (metros)
X:371000
Y:4384400
Z:993
Litología: Basamento hercínico
Edad: Paleozoico

1ª Subpoblación:
Ey: 122°±12°
Buz: 65°±13°
Cab: 35°±15°
s1 43°/095°
s2 42°/307°
s3 16°/202°
R = 0.72
μ = 0.31
F.E. = 7 (15)

Trazas cicloográficas e histogramas del azimut, buzamiento y cabeceo

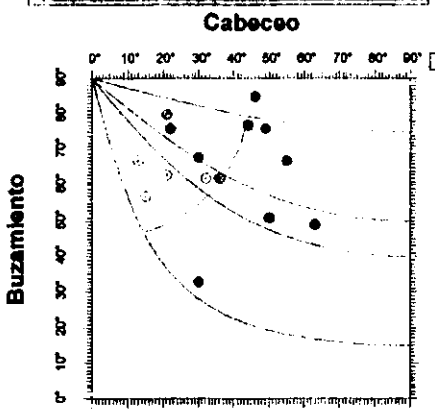
Método de Inversión de Esfuerzos

Rosa de Direcciones

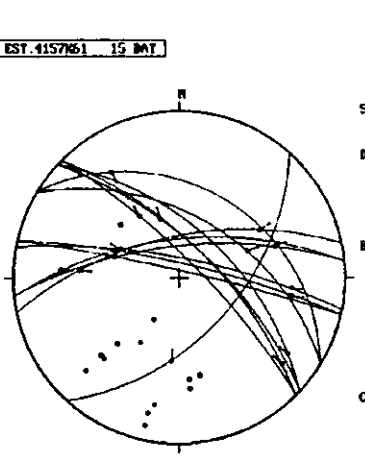


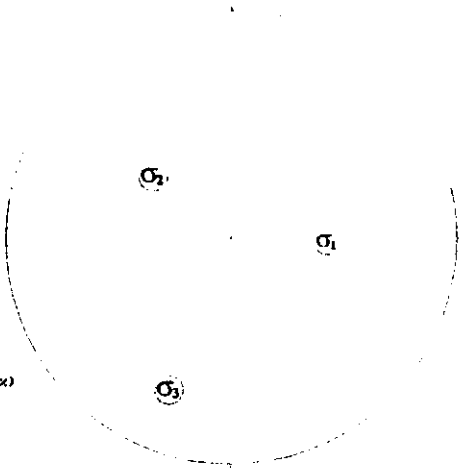
Valor Máximo de Escala: 50%
Ángulo de Apertura: 15°
DEYM: 122° ± 12,24°

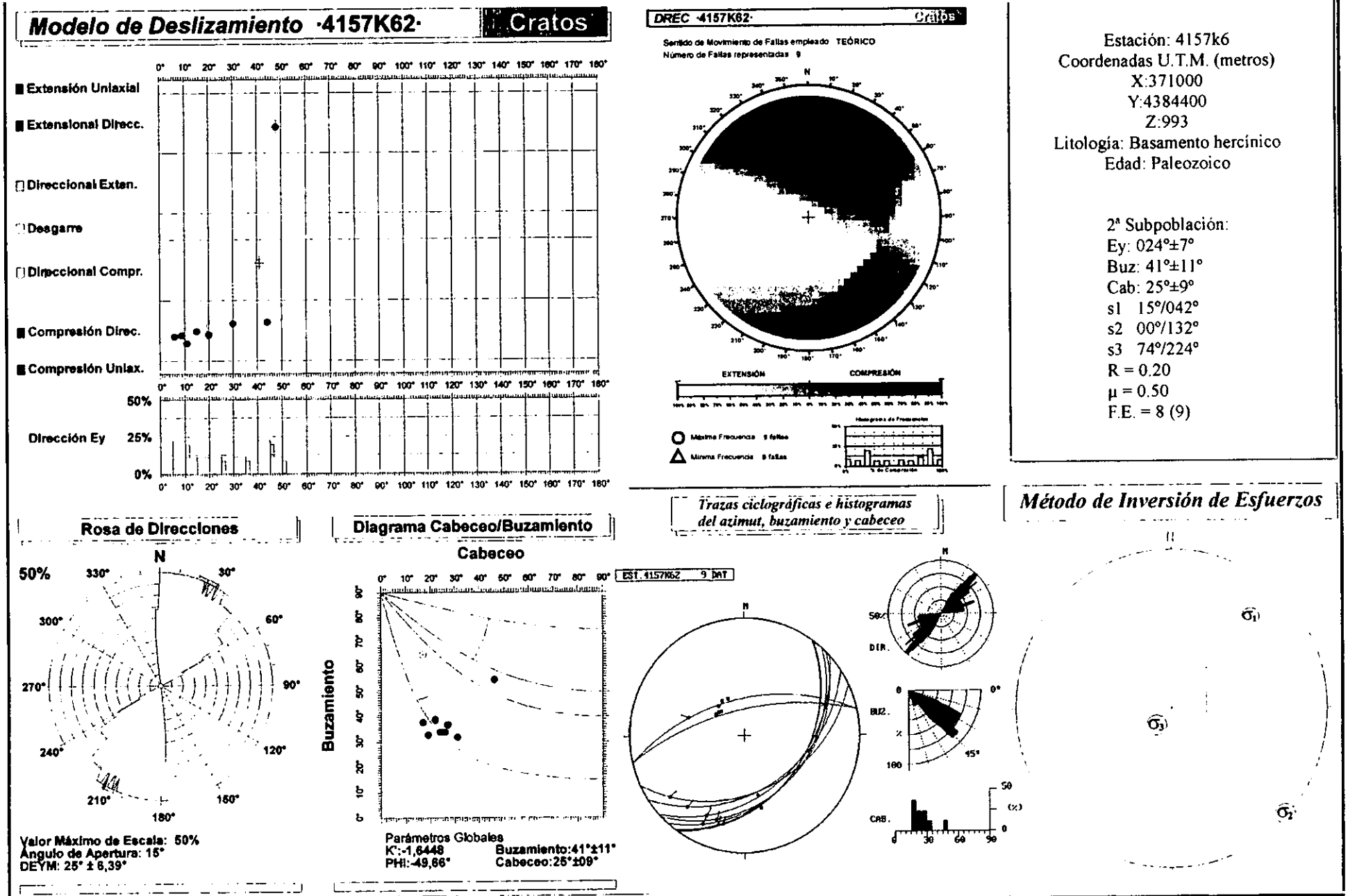
Diagrama Cabeceo/Buzamiento

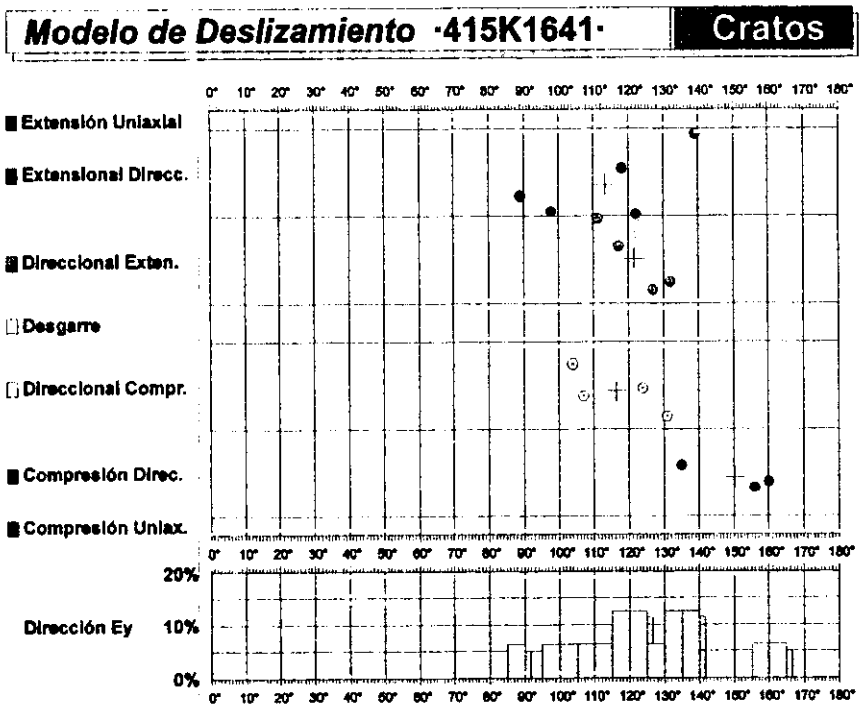


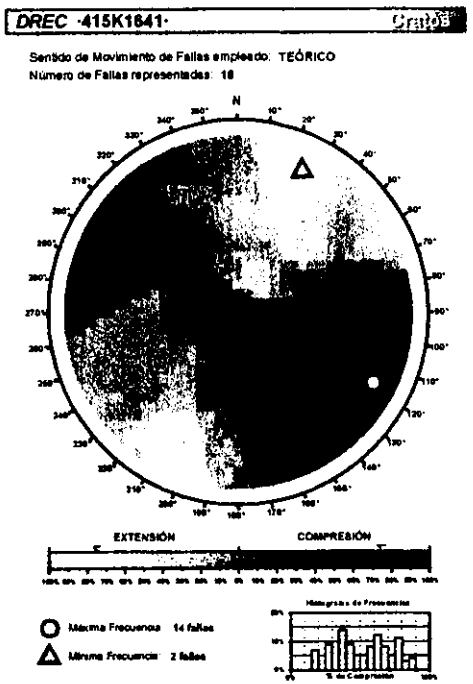
Parámetros Globales
K':-0,2343 Buzamiento:65°±13°
PHI:11,78° Cabeceo:35°±15°






Modelo de Deslizamiento ·4157K62·
Cratos
Extensión Uniaxial
Extensional Direcc.
Direccional Exten.
Desgarre
Direccional Compr.
Compresión Direc.
Compresión Uniax.
Dirección Ey
50%
25%
0%
DREC ·4157K62·
Cratos
Sentido de Movimiento de Fallas empleado TEÓRICO
Número de Fallas representadas 9
EXTENSIÓN
COMPRESIÓN
Máxima Frecuencia 9 fallas
Mínima Frecuencia 0 fallas
Estación: 4157k6
Coordenadas U.T.M. (metros)
X:371000
Y:4384400
Z:993
Litología: Basamento hercínico
Edad: Paleozoico
2ª Subpoblación:
Ey: 024°±7°
Buz: 41°±11°
Cab: 25°±9°
s1 15°/042°
s2 00°/132°
s3 74°/224°
R = 0.20
μ = 0.50
F.E. = 8 (9)
Trazas ciclográficas e histogramas del azimut, buzamiento y cabeceo
Método de Inversión de Esfuerzos
Rosa de Direcciones
Diagrama Cabeceo/Buzamiento
Cabeceo
Buzamiento
EST. 4157K62 9 DAT
DIR.
BUZ.
CAB.
Valor Máximo de Escala: 50%
Ángulo de Apertura: 15°
DEYM: 25° ± 8,39°
Parámetros Globales
K':-1,6448
PHI:-49,66°
Buzamiento:41°±11°
Cabeceo:25°±09°



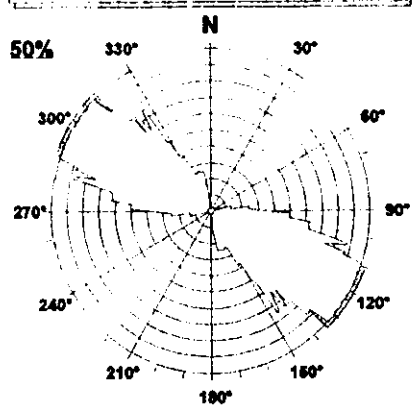


Estación: 415k164
Coordenadas U.T.M. (metros)
X:549000
Y:4272000
Z:1200
Litología: Carbonatos
Edad: Jurásico

1ª Subpoblación:	
Ey: 123°±12°	Ey: 123°±12°
Buz: 64°±13°	Buz: 64°±13°
Cab: 36°±15°	Cab: 36°±15°
s1 65°/342°	s1 12°/122°
s2 17°/115°	s2 59°/010°
s3 17°/210°	s3 27°/219°
R = 0.18	R = 0.47
μ = 0.31	μ = 0.31
F.E. = 5 (16)	F.E. = 9 (16)

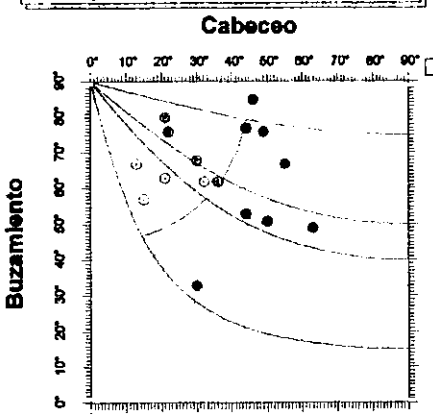
Trazas cicloográficas e histogramas del azimut, buzamiento y cabeceo

Rosa de Direcciones

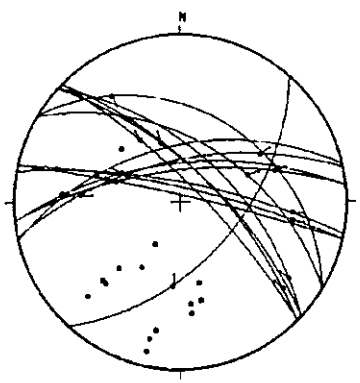


Valor Máximo de Escala: 50%
Ángulo de Apertura: 15°
DEYM: 123° ± 11,79°

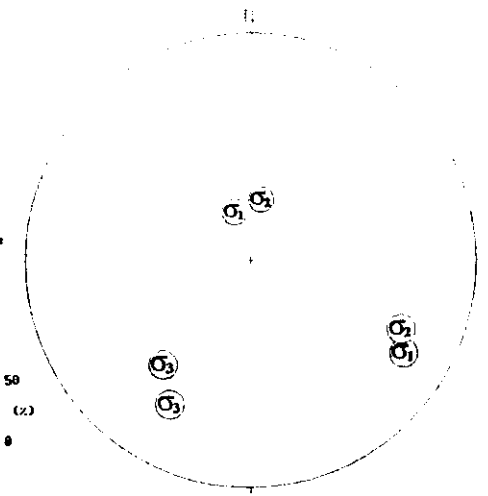
Diagrama Cabeceo/Buzamiento



Parámetros Globales
K':-0,2496
PHI:10,63°
Buzamiento:64°±13°
Cabeceo:36°±15°

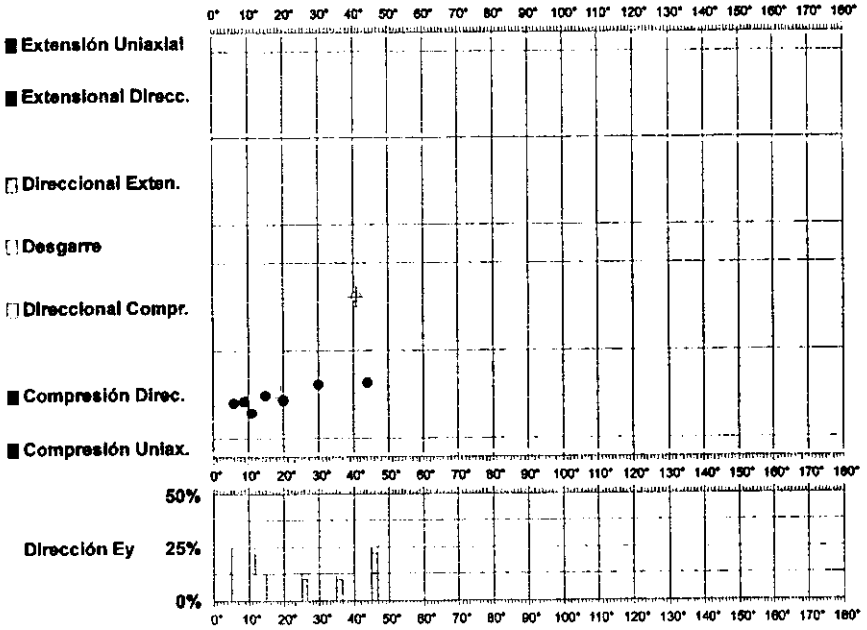


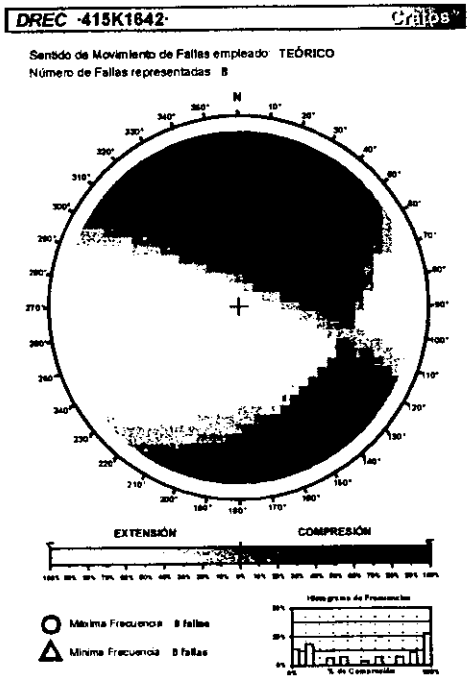
Método de Inversión de Esfuerzos



Modelo de Deslizamiento ·415K1642·

Cratos'

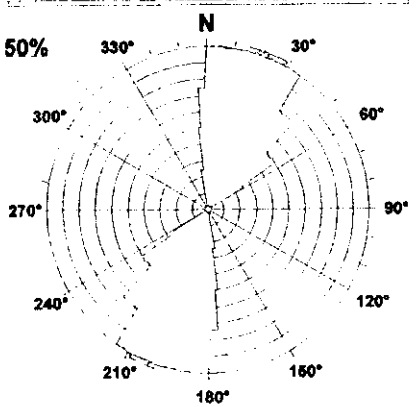




Estación: 415k164
Coordenadas U.T.M. (metros)
X:549000
Y:4272000
Z:1200
Litología: Carbonatos
Edad: Jurásico

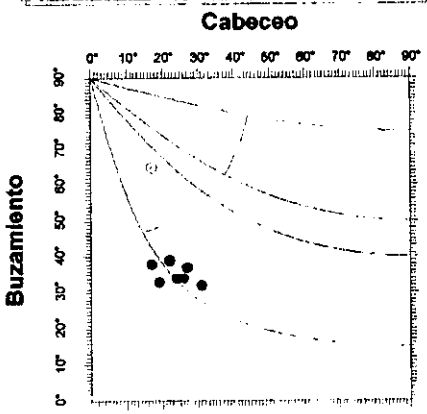
2ª Subpoblación:
Ey: 022°±7°
Buz: 39°±10°
Cab: 23°±5°
s1 15°/042°
s2 00°/132°
s3 74°/224°
R = 0.20
μ = 0.50
F.E. = 8 (8)

Rosa de Direcciones



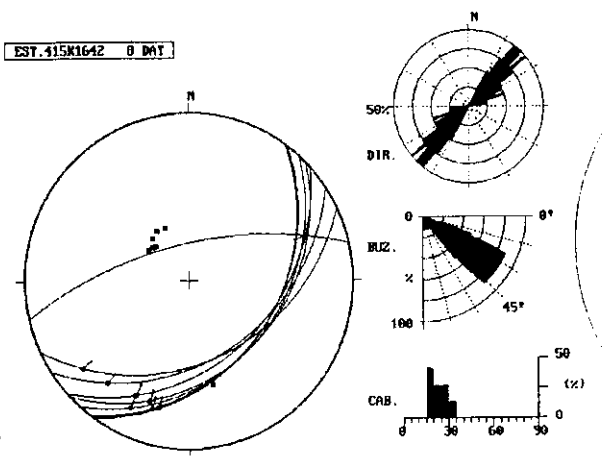
Valor Máximo de Escala: 50%
Ángulo de Apertura: 15°
DEYM: 22° ± 6,78°

Diagrama Cabeceo/Buzamiento

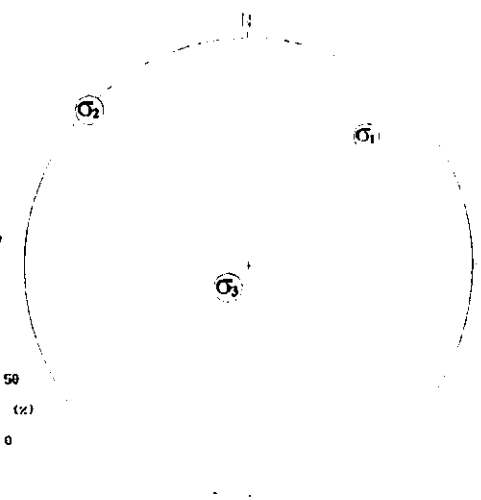


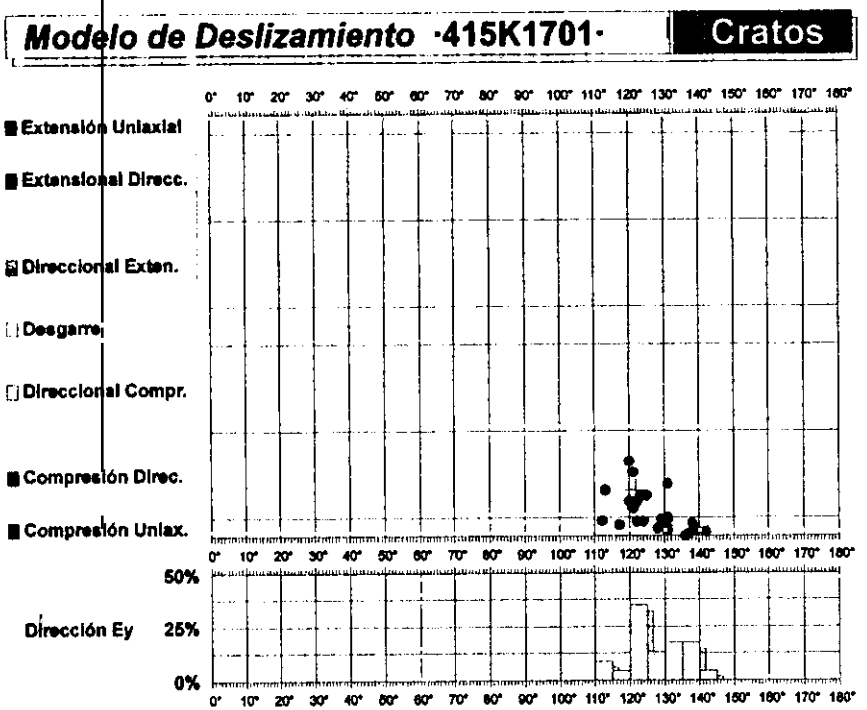
Parámetros Globales
K':-2,7067
PHI:-64,88°
Buzamiento:39°±10°
Cabeceo:23°±05°

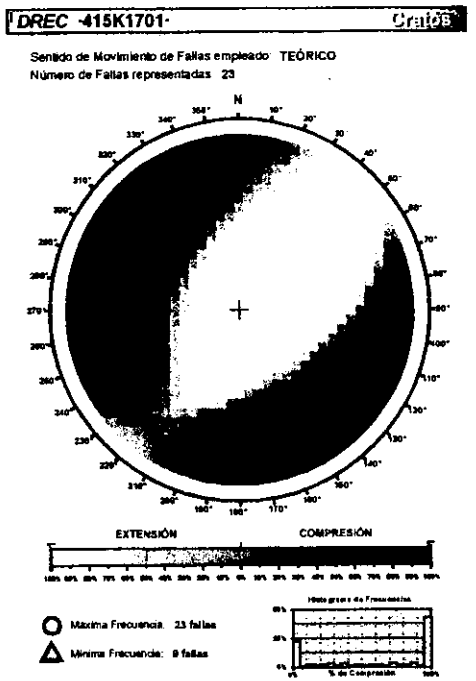
Trazas ciclográficas e histogramas del azimut, buzamiento y cabeceo



Método de Inversión de Esfuerzos





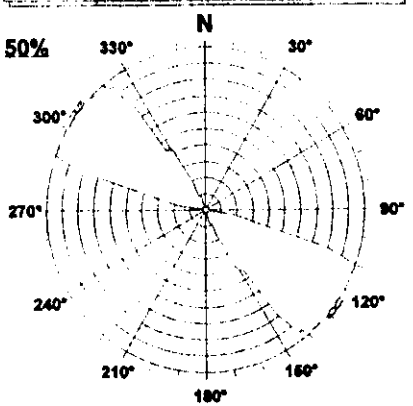


Estación: 415k170
Coordenadas U.T.M. (metros)
X:552550
Y:4269900
Z:1330
Litología: Carbonatos
Edad: Jurásico

1ª Subpoblación:
Ey: 127°±4°
Buz: 42°±6°
Cab: 63°±12°
s1 05°/119°
s2 00°/209°
s3 84°/305°
R = 0.16
μ = 0.31
F.E. = 23 (23)

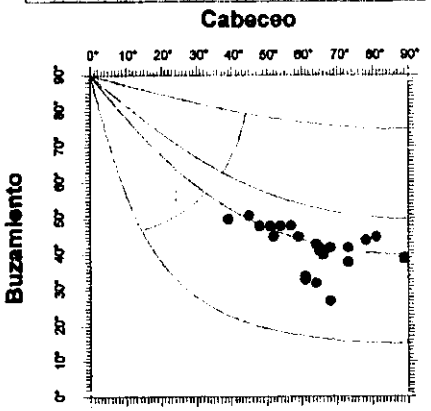
Trazas cicloográficas e histogramas del azimut, buzamiento y cabeceo

Rosa de Direcciones

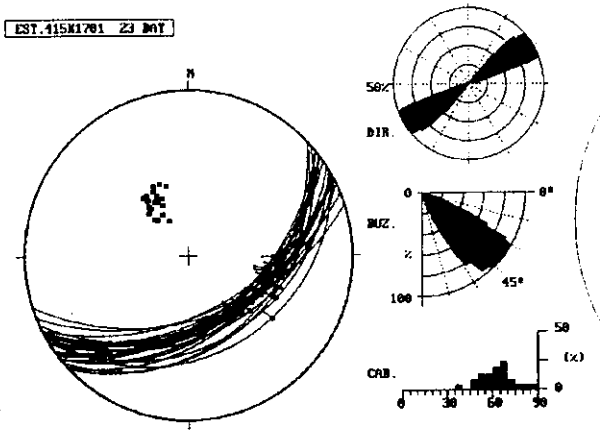


Valor Máximo de Escala: 50%
Ángulo de Apertura: 15°
DEYM: 127° ± 4,26°

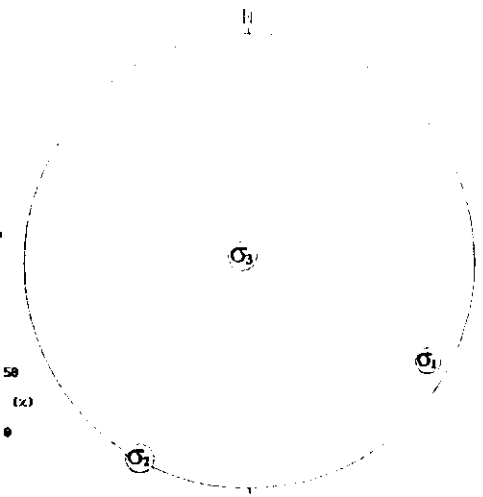
Diagrama Cabeceo/Buzamiento

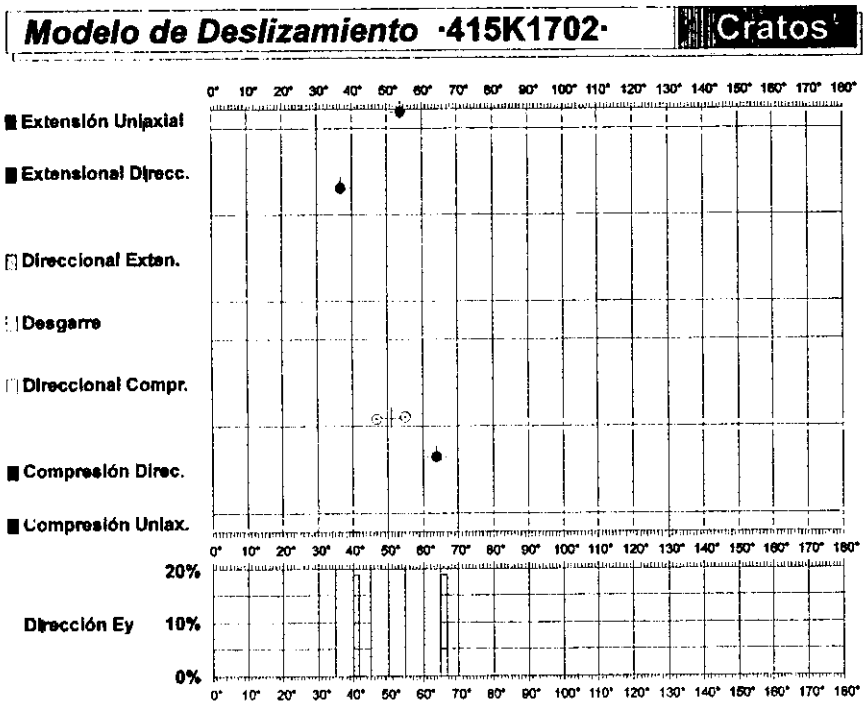


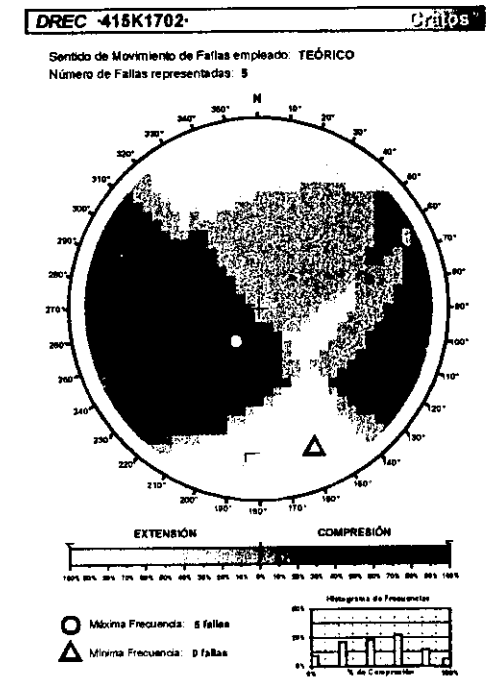
Parámetros Globales
K':-1,1717
PHI:-12,52°
Buzamiento:42°±06°
Cabeceo:63°±12°



Método de Inversión de Esfuerzos





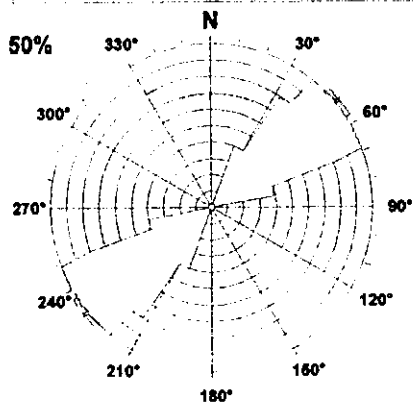


Estación: 415k170
Coordenadas U.T.M. (metros)
X:552550
Y:4269900
Z:1330
Litología: Carbonatos
Edad: Jurásico

2ª Subpoblación:
Ey: 051°±6°
Buz: 51°±10°
Cab: 30°±31°
s1 --°/---°
s2 --°/---°
s3 --°/---°
R = ---
μ = ---
F.E. = 0 (5)

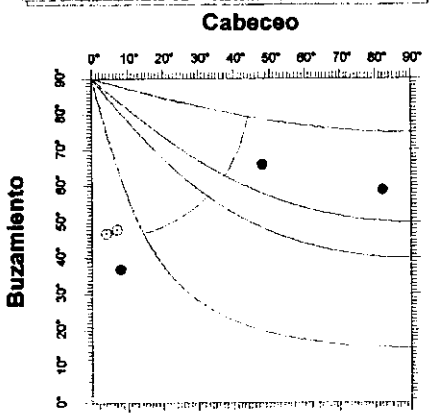
Trazas ciclográficas e histogramas del azimut, buzamiento y cabeceo

Rosa de Direcciones

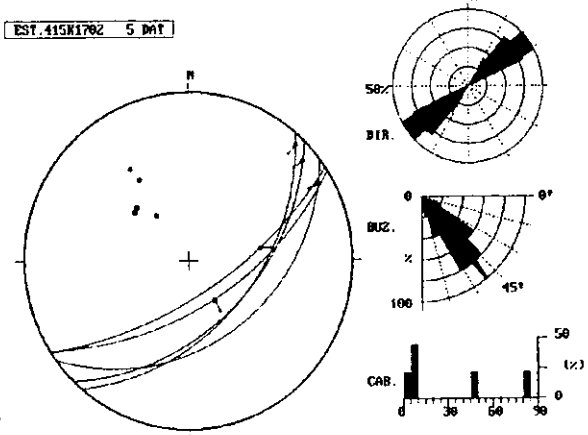


Valor Máximo de Escala: 50%
Ángulo de Apertura: 15°
DEYM: 51° ± 5,55°

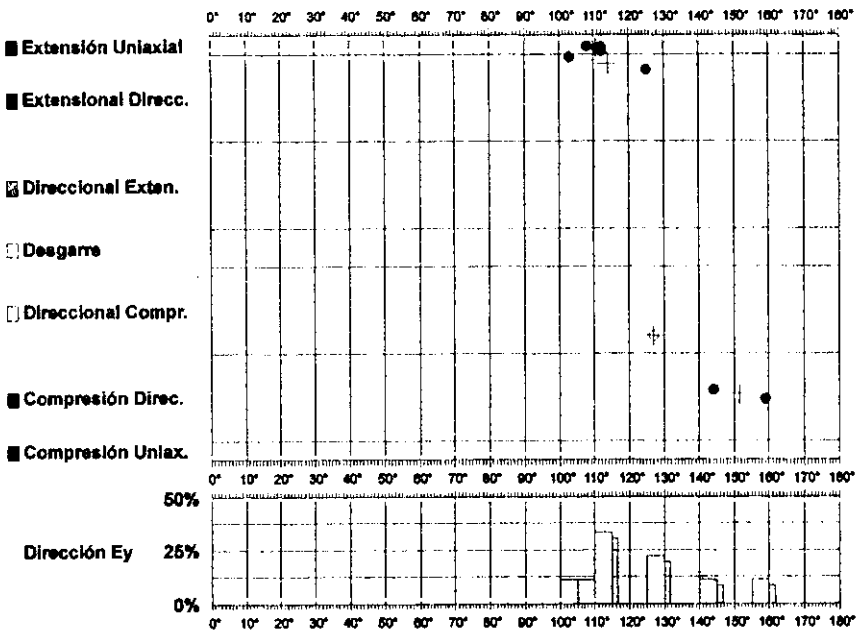
Diagrama Cabeceo/Buzamiento

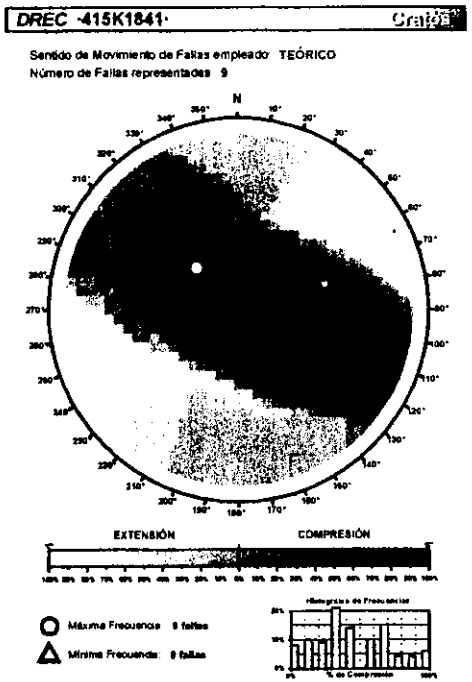


Parámetros Globales
K':-0,7763
PHI:-26,61°
Buzamiento:51°±10°
Cabeceo:30°±31°



Modelo de Deslizamiento ·415K1841· Cratos





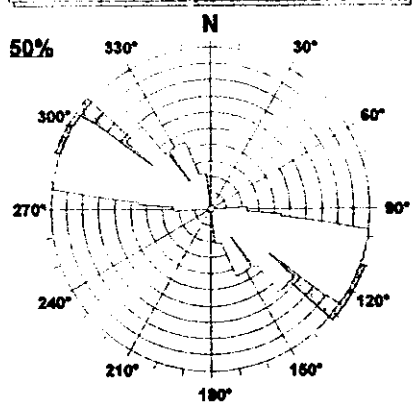
Estación: 415k184
Coordenadas U.T.M. (metros)
X:553700
Y:4266650
Z:1320
Litología: Carbonatos
Edad: Jurásico

1ª Subpoblación:
Ey: 121°±11°
Buz: 49°±5°
Cab: 54°±21°
s1 79°/165°
s2 04°/050°
s3 09°/320°
R = 0.23
μ = 0.31
F.E. = 5 (9)

Trazas ciclográficas e histogramas del azimut, buzamiento y cabeceo

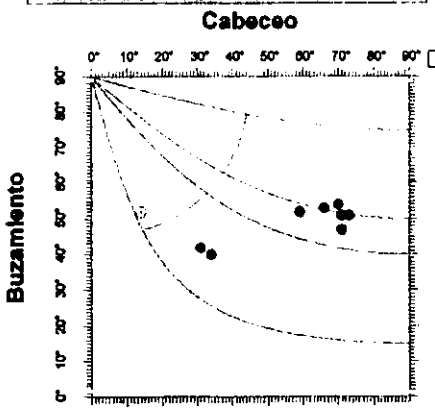
Método de Inversión de Esfuerzos

Rosa de Direcciones

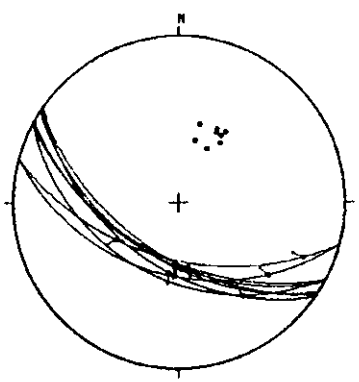


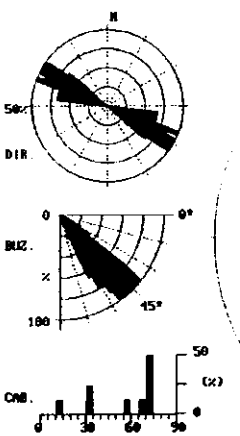
Valor Máximo de Escala: 50%
Ángulo de Apertura: 15°
DEYM: 121° ± 10,56°

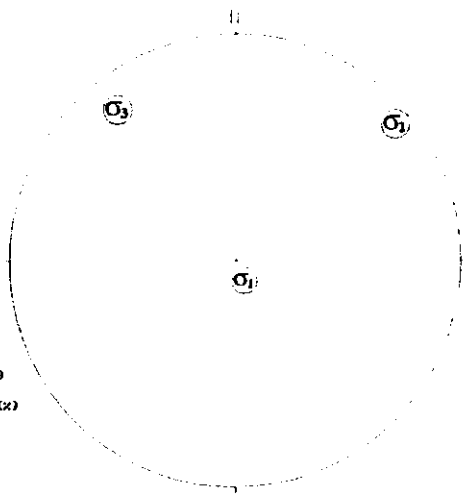
Diagrama Cabeceo/Buzamiento



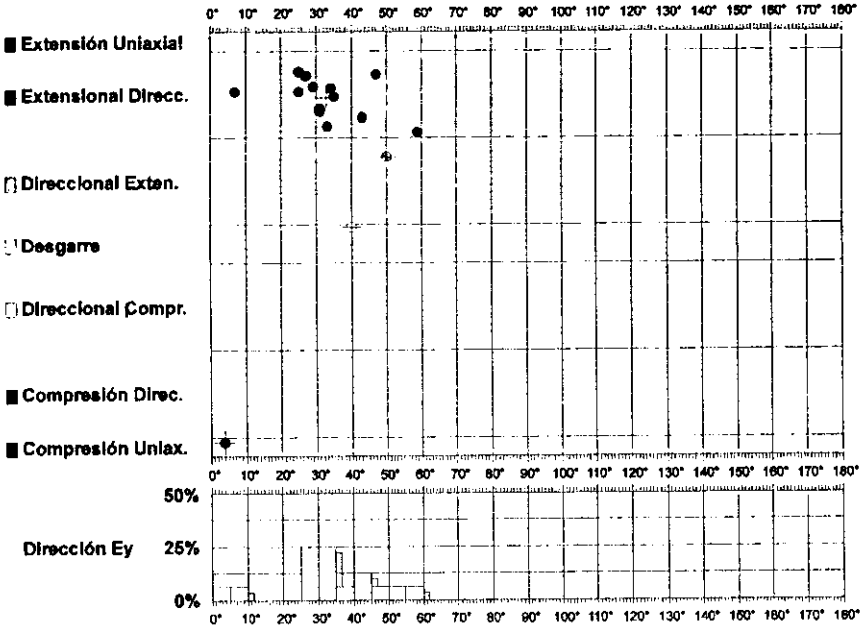
Parámetros Globales
K':-0,9067 Buzamiento:49°±05°
PHI:-04,11° Cabeceo:54°±21°

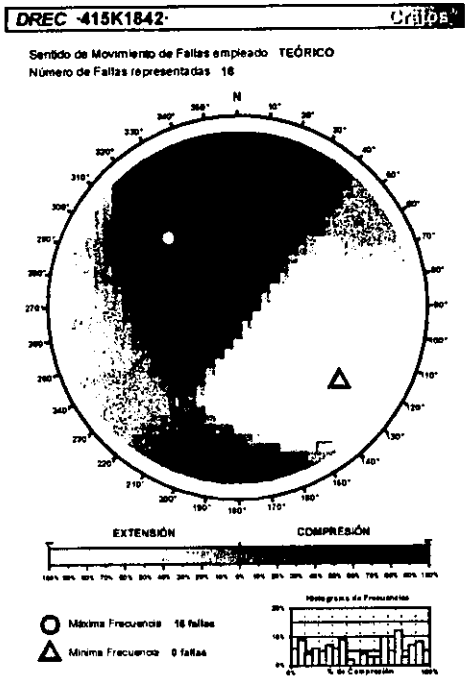






Modelo de Deslizamiento ·415K1842· Cratos



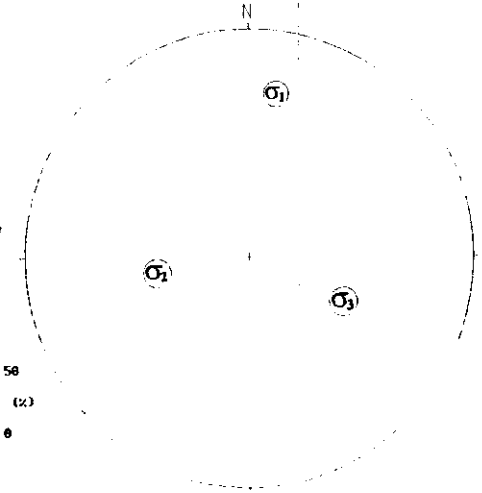


Estación: 415k184
Coordenadas U.T.M. (metros)
X:553700
Y:4266650
Z:1320
Litología: Carbonatos
Edad: Jurásico

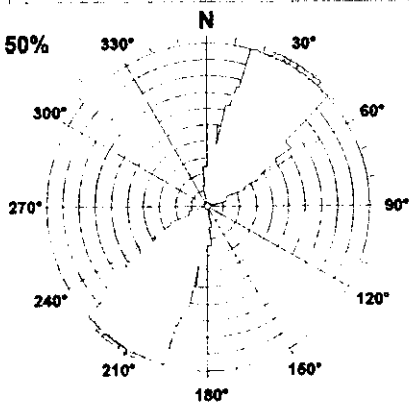
2ª Subpoblación:
Ey: 033°±10°
Buz: 78°±9°
Cab: 53°±12°
s1 18°/009°
s2 44°/260°
s3 40°/115°
R = 0.56
μ = 0.40
F.E. = 12 (16)

Trazas ciclográficas e histogramas del azimut, buzamiento y cabeceo

Método de Inversión de Esfuerzos

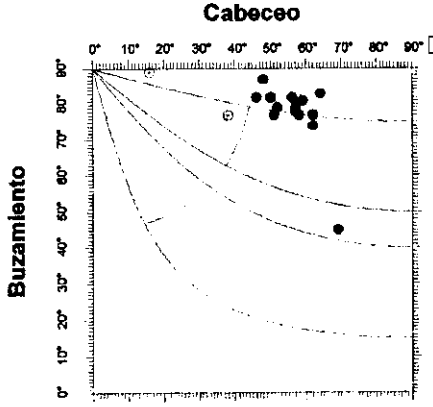


Rosa de Direcciones

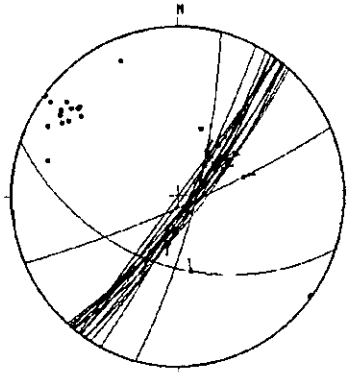


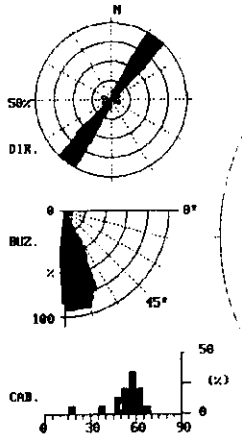
Valor Máximo de Escala: 50%
Ángulo de Apertura: 15°
DEYM: 33° ± 9,58°

Diagrama Cabeceo/Buzamiento

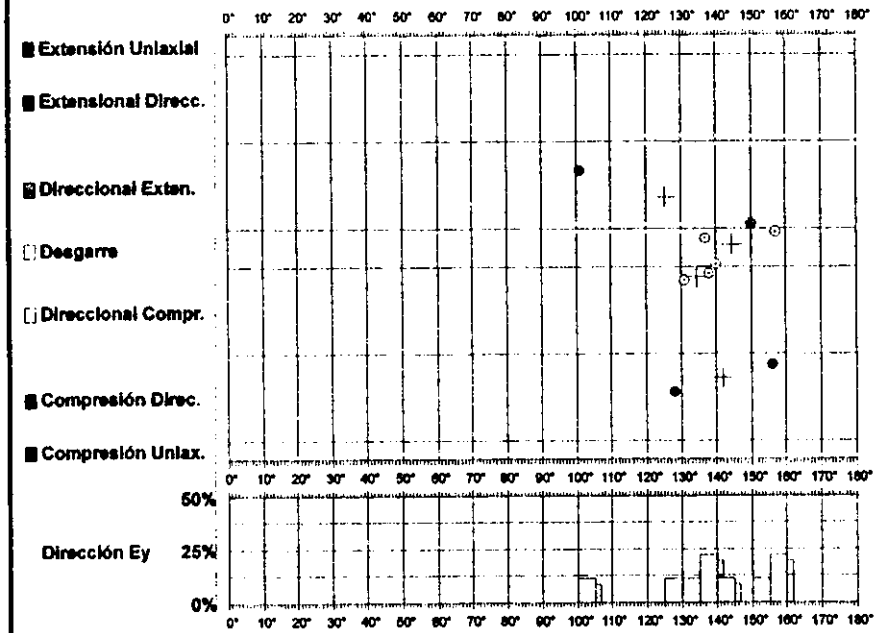


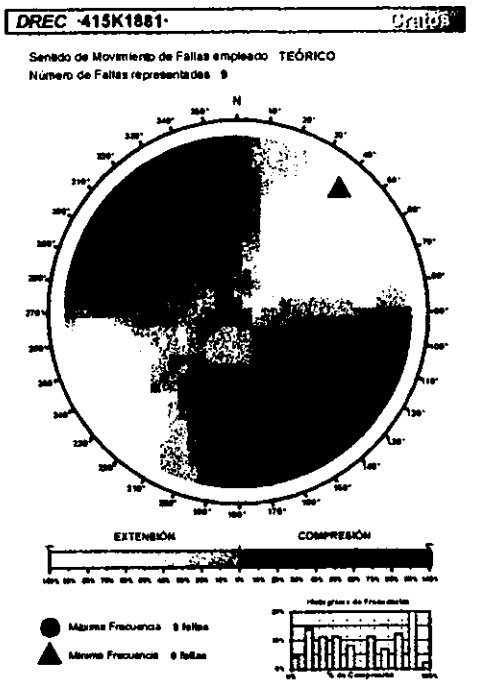
Parámetros Globales
K':3,2405 Buzamiento:78°±09°
PHI:60,19° Cabeceo:53°±12°





Modelo de Deslizamiento ·415K1881· Cratos



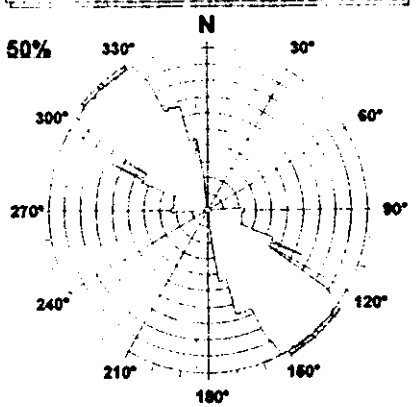


Estación: 415k188
Coordenadas U.T.M (metros)
X:543000
Y:4263500
Z:1300
Litología: Carbonatos
Edad: Jurásico

1ª Subpoblación:
Ey: 138°±12°
Buz: 73°±11°
Cab: 21°±14°
s1 11°/146°
s2 61°/258°
s3 26°/050°
R = 0.27
μ = 0.31
F.E. = 8 (9)

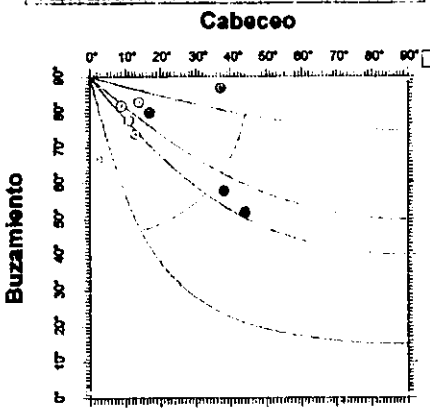
Trazas cicloográficas e histogramas del azimut, buzamiento y cabeceo

Rosa de Direcciones

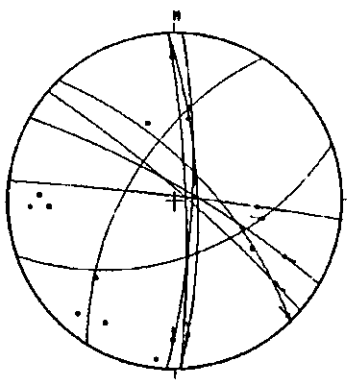


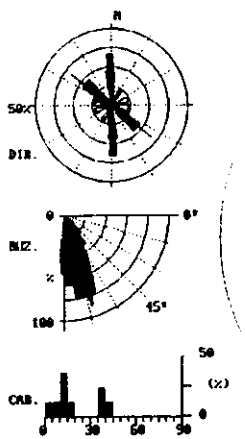
Valor Máximo de Escala: 50%
Ángulo de Apertura: 15°
DEYM: 138° ± 11,72°

Diagrama Cabeceo/Buzamiento

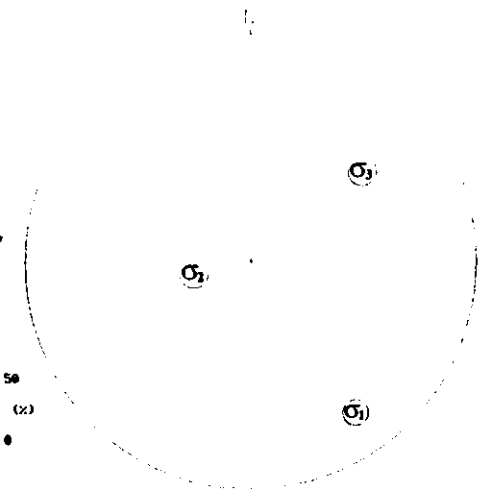


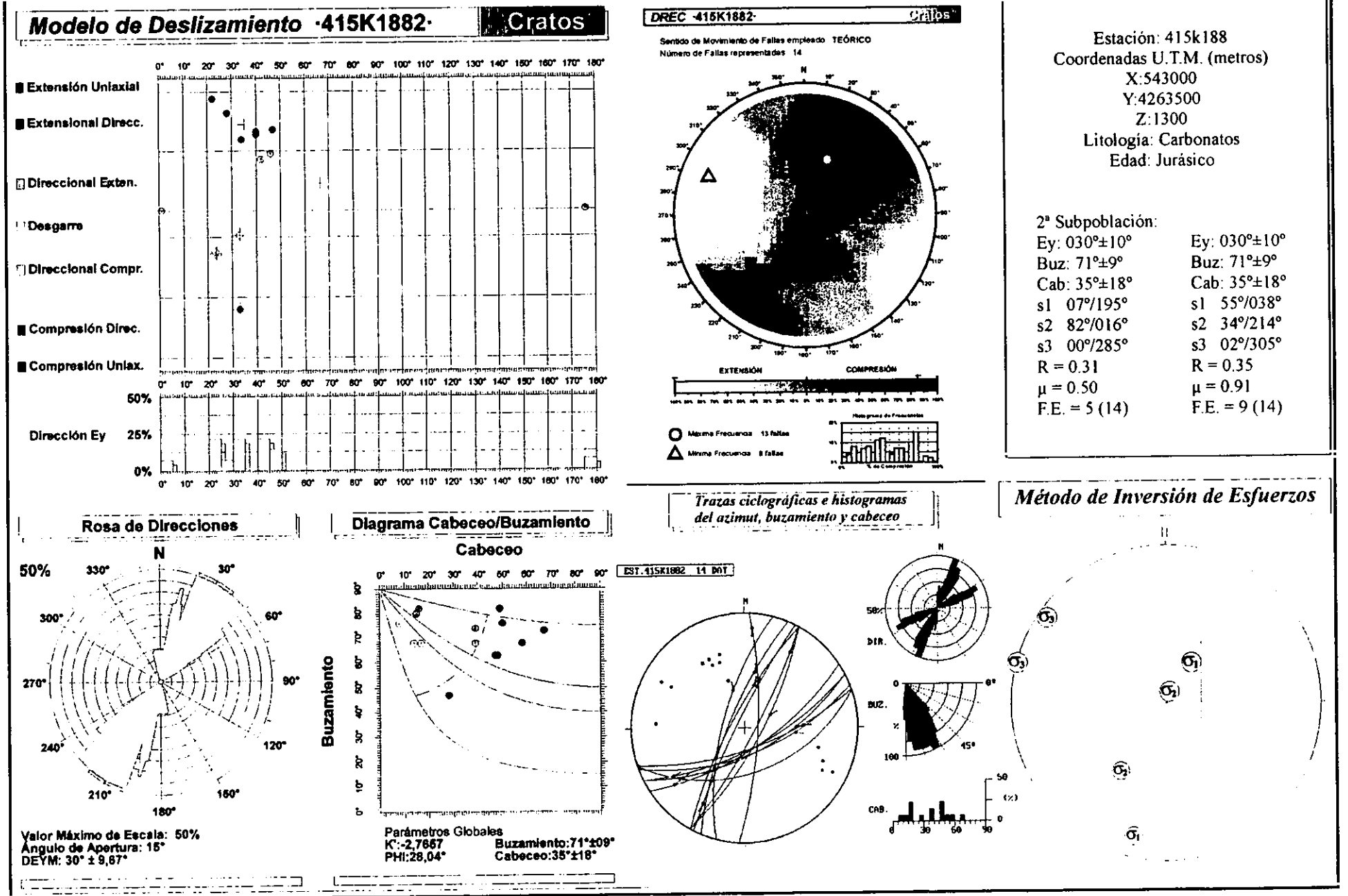
Parámetros Globales
K':2,9287 Buzamiento:73°±11°
PHI:09,06° Cabeceo:21°±14°



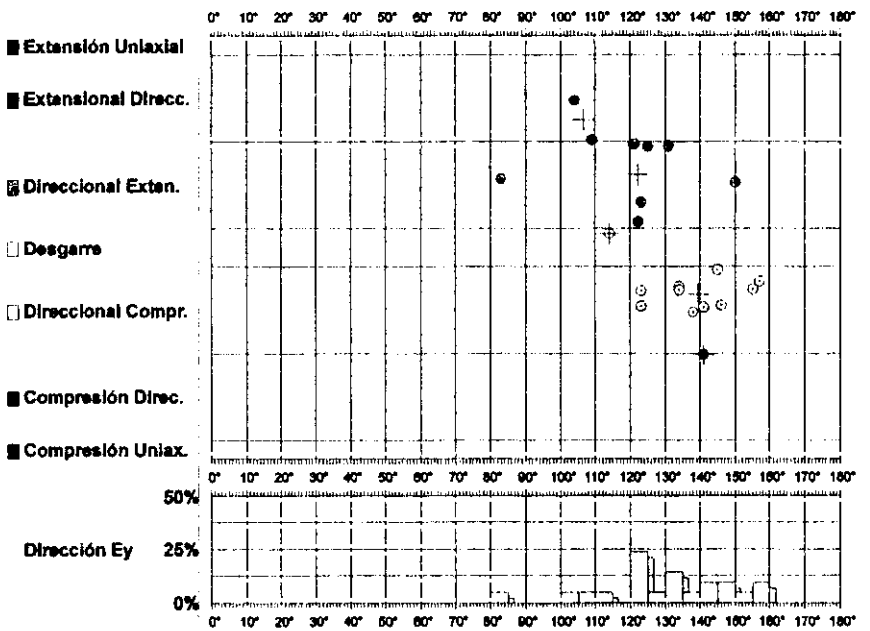


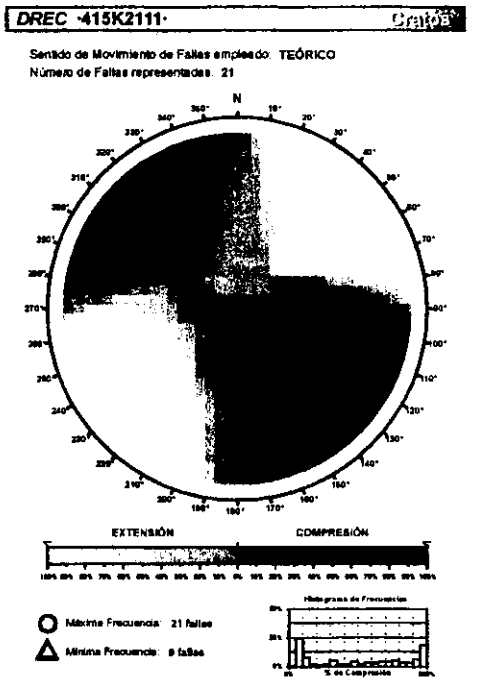
Método de Inversión de Esfuerzos




Modelo de Deslizamiento ·415K1882·
Cratos
Extensión Uniaxial
Extensional Direcc.
Direccional Exten.
Desgarre
Direccional Compr.
Compresión Direc.
Compresión Uniax.
Dirección Ey
50%
25%
0%
DREC ·415K1882·
Cratos
Sentido de Movimiento de Fallas empleado TEÓRICO
Número de Fallas representadas 14
EXTENSIÓN
COMPRESIÓN
Máxima Frecuencia 13 fallas
Mínima Frecuencia 8 fallas
Estación: 415k188
Coordenadas U.T.M. (metros)
X:543000
Y:4263500
Z:1300
Litología: Carbonatos
Edad: Jurásico
2ª Subpoblación:
Ey: 030°±10°
Buz: 71°±9°
Cab: 35°±18°
s1 07°/195°
s2 82°/016°
s3 00°/285°
R = 0.31
μ = 0.50
F.E. = 5 (14)
Ey: 030°±10°
Buz: 71°±9°
Cab: 35°±18°
s1 55°/038°
s2 34°/214°
s3 02°/305°
R = 0.35
μ = 0.91
F.E. = 9 (14)
Trazas cicloográficas e histogramas del azimut, buzamiento y cabeceo
Método de Inversión de Esfuerzos
Rosa de Direcciones
50%
N
Valor Máximo de Escala: 50%
Ángulo de Apertura: 15°
DEYM: 30° ± 9,67°
Diagrama Cabeceo/Buzamiento
Cabeceo
Buzamiento
EST.415K1882 14 DAT
DIR.
BUZ.
CAB.
Parámetros Globales
K':-2,7667
PHI:28,04°
Buzamiento:71°±09°
Cabeceo:35°±18°

Modelo de Deslizamiento ·415K2111· — Cratos





Estación: 415k211
Coordenadas U.T.M. (metros)
X:559600
Y:4260900
Z:940
Litología: Cuarcitas y carbonatos
Edad: Triásico-Jurásico

1ª Subpoblación:
Ey: 130°±11°
Buz: 69°±7°
Cab: 25°±11°
s1 29°/313°
s2 60°/144°
s3 05°/045°
R = 0.55
μ = 0.31
F.E. = 11 (21)

Trazas cicloográficas e histogramas del azimut, buzamiento y cabeceo

Método de Inversión de Esfuerzos

Rosa de Direcciones

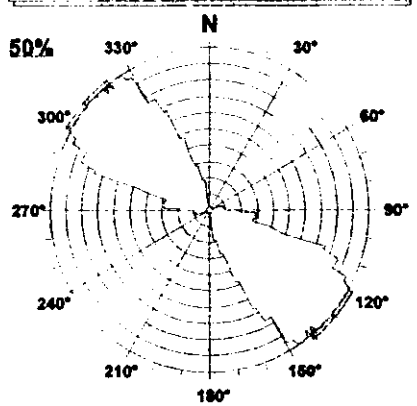
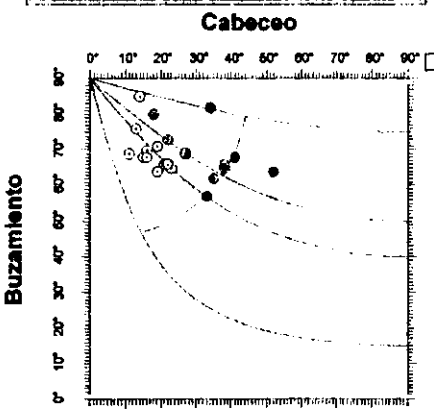
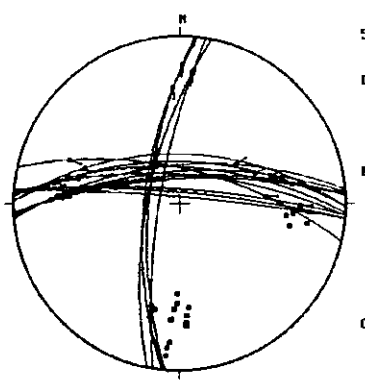
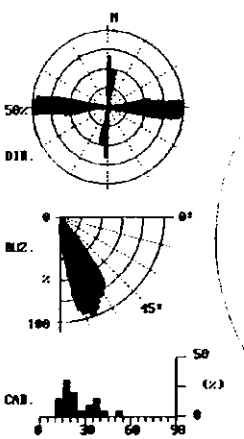
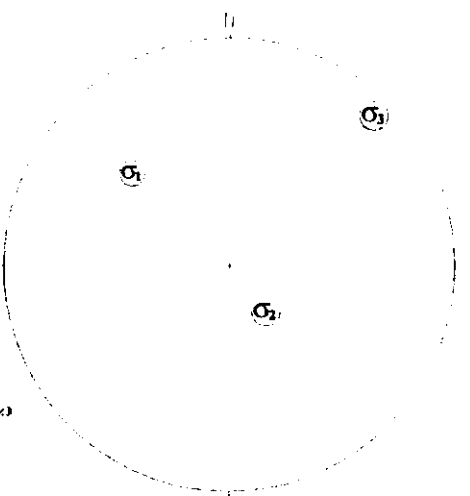


Diagrama Cabeceo/Buzamiento

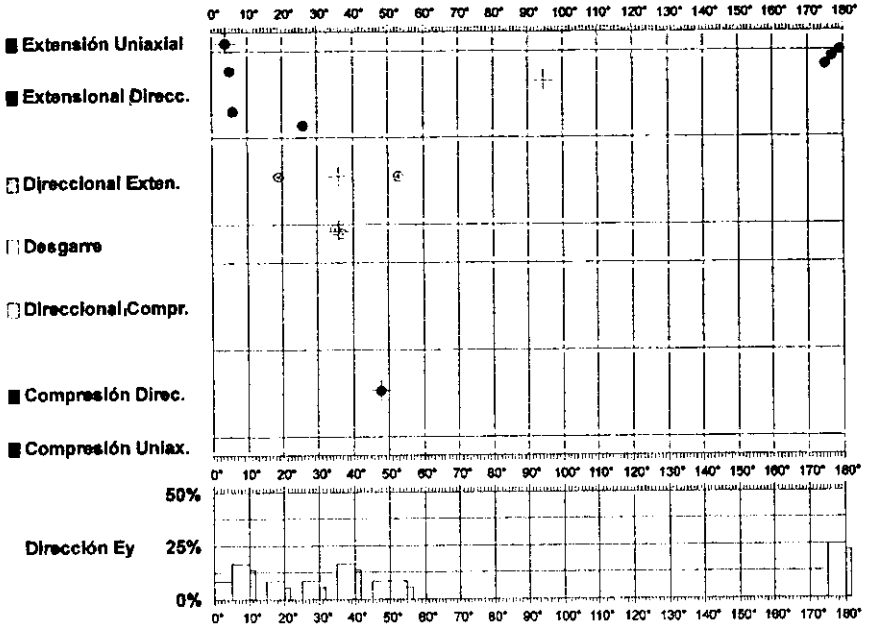


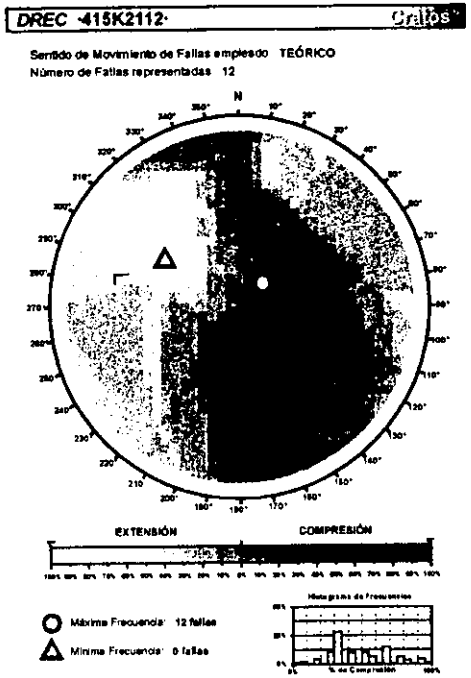






Modelo de Deslizamiento ·415K2112· Cratos



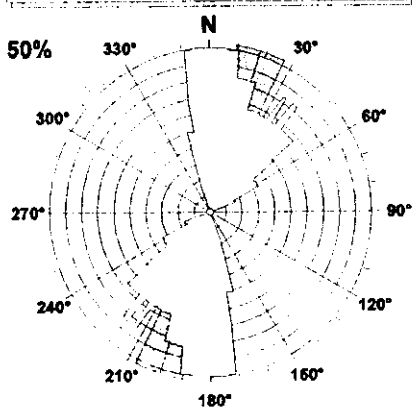


Estación: 415k211
Coordenadas U.T.M. (metros)
X:559600
Y:4260900
Z:940
Litología: Cuarcitas y carbonatos
Edad: Triásico-Jurásico

2ª Subpoblación:
Ey: 018°±9°
Buz: 71°±17°
Cab: 46°±21°
s1 76°/187°
s2 13°/006°
s3 00°/096°
R = 0.38
μ = 0.40
F.E. = 9 (12)

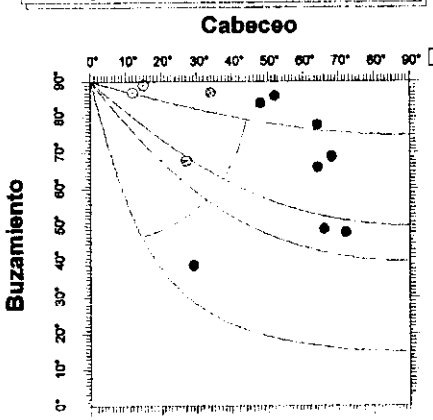
Trazas ciclográficas e histogramas del azimut, buzamiento y cabeceo

Rosa de Direcciones

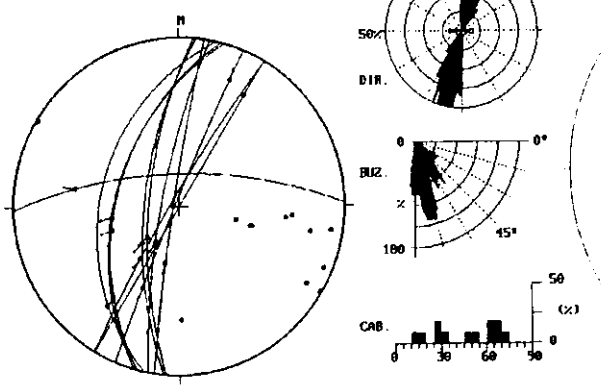


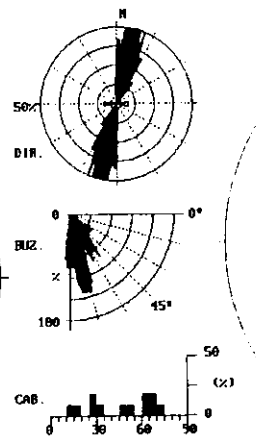
Valor Máximo de Escala: 50%
Ángulo de Apertura: 15°
DEYM: 18° ± 9,23°

Diagrama Cabeceo/Buzamiento

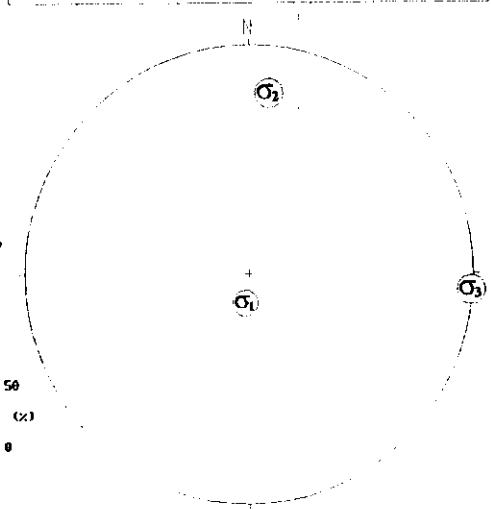


Parámetros Globales
K':3,6928 Buzamiento:71°±17°
PHI:38,84° Cabeceo:46°±21°



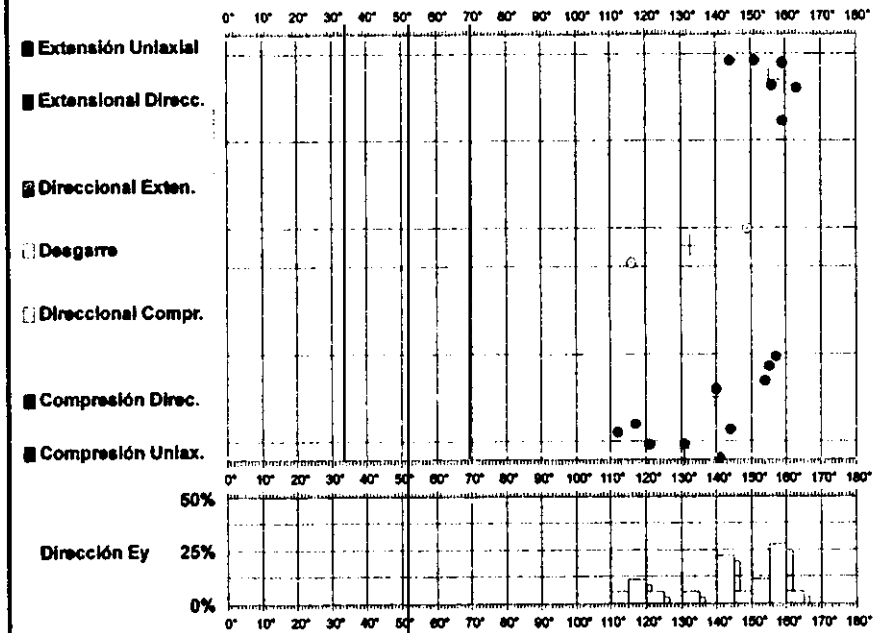


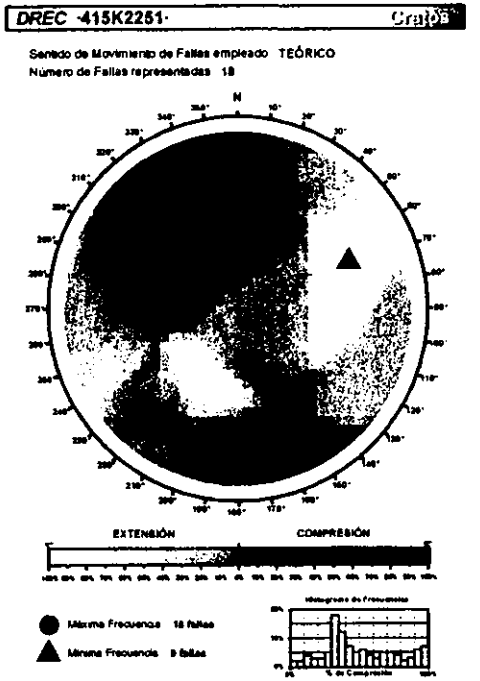
Método de Inversión de Esfuerzos



Modelo de Deslizamiento ·415K2251·

Cratos





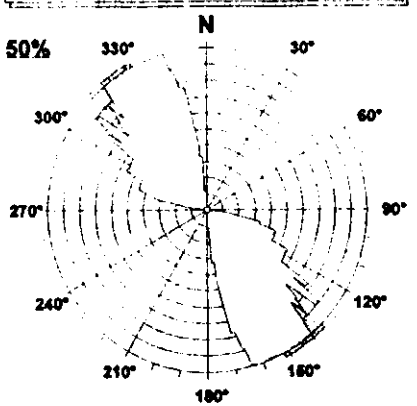
Estación: 415k225
Coordenadas U.T.M. (metros)
X: 571200
Y: 4259100
Z: 900
Litología: Carbonatos
Edad: Mioceno superior

1ª Subpoblación:
Ey: 143°±9°
Buz: 50°±15°
Cab: 43°±22°
s1 06°/316°
s2 66°/211°
s3 22°/049°
R = 0.30
μ = 0.40
F.E. = 17 (18)

Trazas ciclográficas e histogramas del azimut, buzamiento y cabeceo

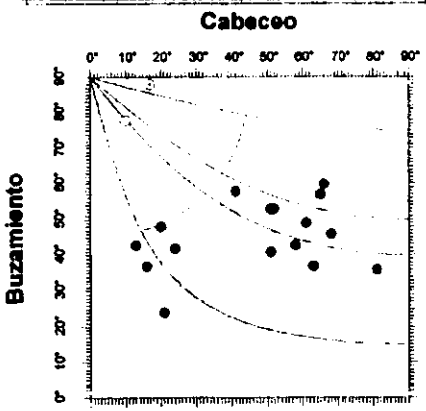
Método de Inversión de Esfuerzos

Rosa de Direcciones

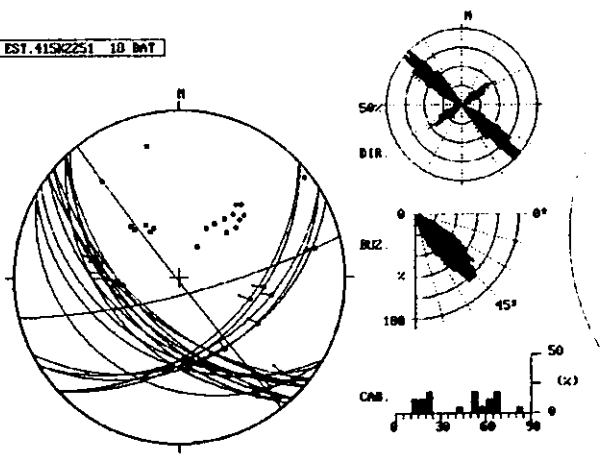


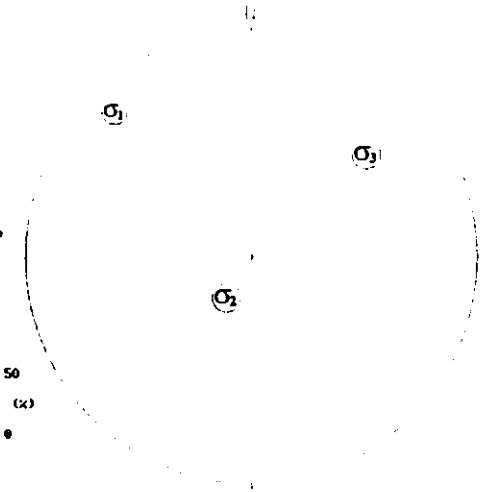
Valor Máximo de Escala: 50%
Ángulo de Apertura: 15°
DEYM: 143° ± 9,29°

Diagrama Cabeceo/Buzamiento



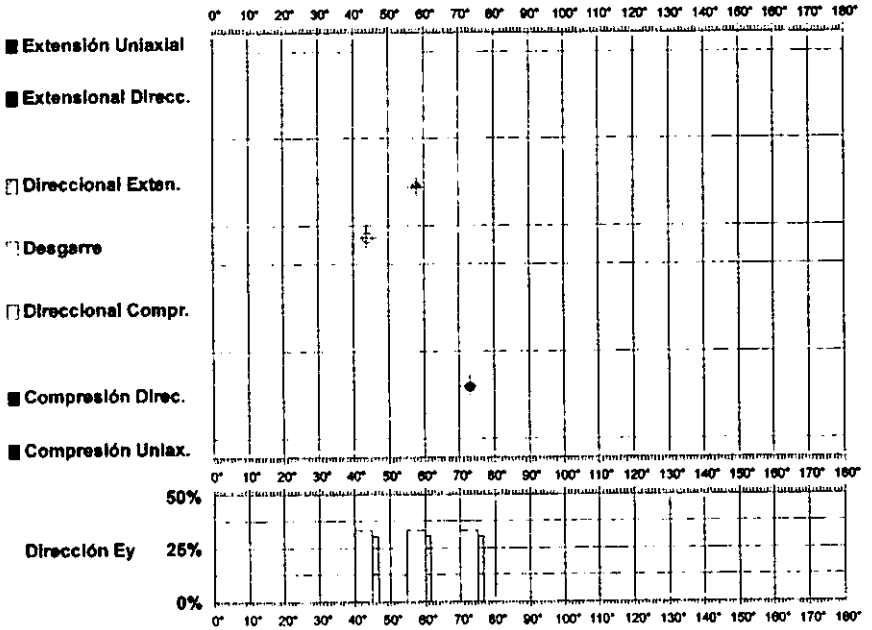
Parámetros Globales
K':-3,6121 Buzamiento:50°±15°
PHI:-11,79° Cabeceo:43°±22°

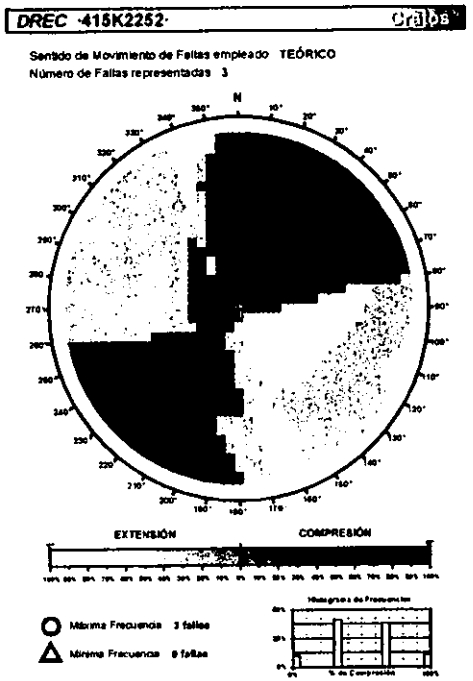




Modelo de Deslizamiento ·415K2252·

Cratos



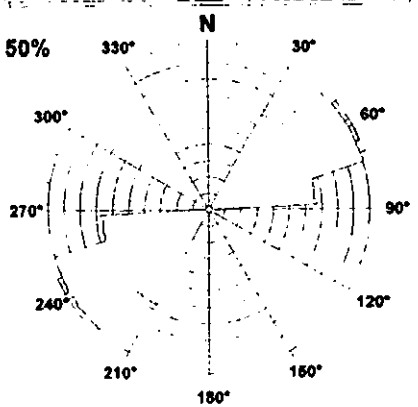


Estación: 415k225
Coordenadas U.T.M. (metros)
X: 571200
Y: 4259100
Z: 900
Litología: Carbonatos
Edad: Mioceno superior

2ª Subpoblación:
Ey: 058°±8°
Buz: 66°±21°
Cab: 17°±9°
s1 --°/---°
s2 --°/---°
s3 --°/---°
R = ---
μ = ---
F.E. = 0 (3)

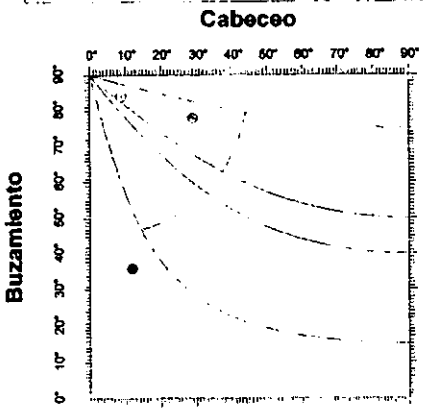
Trazas ciclográficas e histogramas del azimut, buzamiento y cabeceo

Rosa de Direcciones

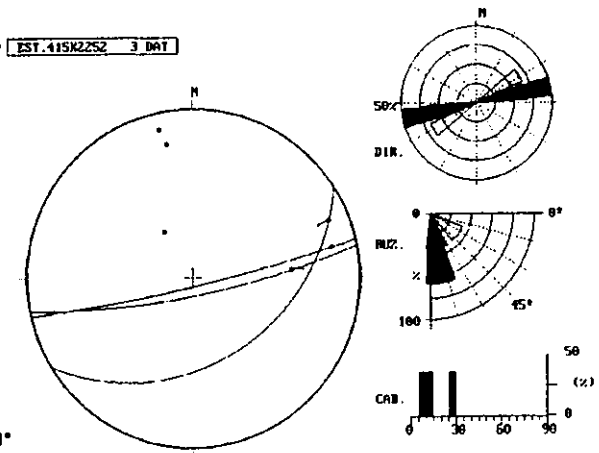


Valor Máximo de Escala: 50%
Ángulo de Apertura: 15°
DEYM: 58° ± 8,19°

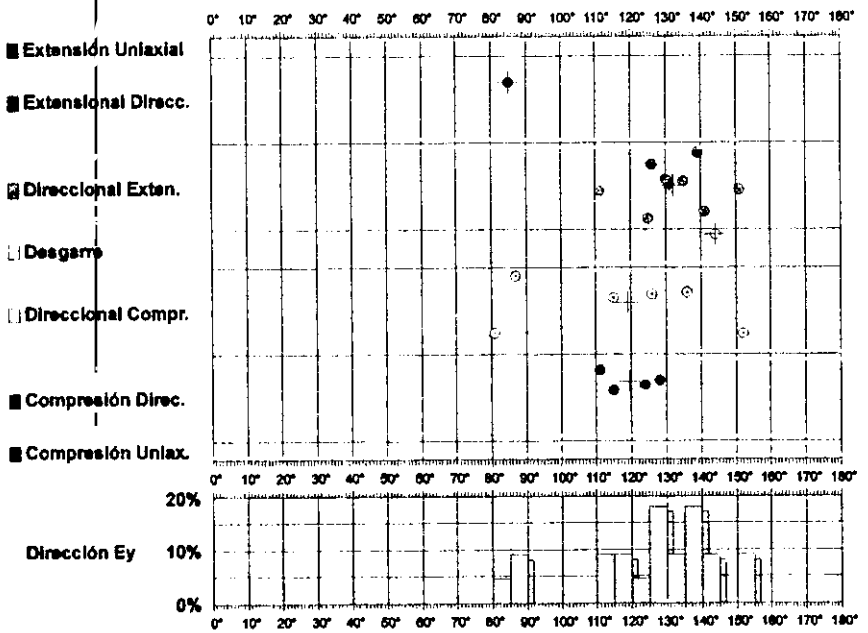
Diagrama Cabeceo/Buzamiento

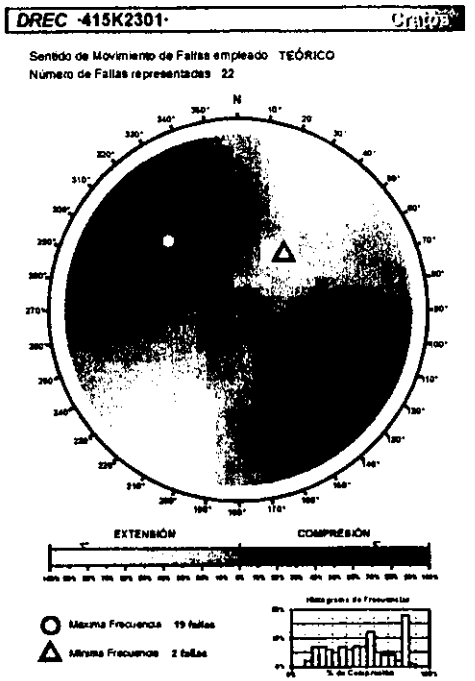


Parámetros Globales
K':9,5667 Buzamiento:66°±21°
PHI:-23,42° Cabeceo:17°±09°



Modelo de Deslizamiento ·415K2301· Cratos





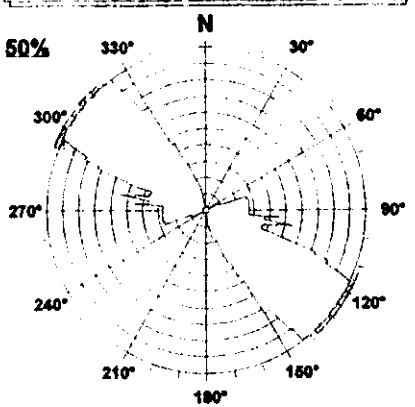
Estación: 415k230
Coordenadas U.T.M. (metros)
X: 575100
Y: 4257400
Z: 860
Litología: Carbonatos
Edad: Mioceno superior

1ª Subpoblación:	
Ey: 126°±13°	Ey: 126°±13°
Buz: 66°±11°	Buz: 66°±11°
Cab: 25°±13°	Cab: 25°±13°
s1 13°/113°	s1 67°/350°
s2 75°/330°	s2 12°/111°
s3 08°/205°	s3 18°/205°
R = 0.19	R = 0.33
μ = 0.40	μ = 0.50
F.E. = 5 (22)	F.E. = 12 (22)

Trazas ciclográficas e histogramas del azimut, buzamiento y cabeceo

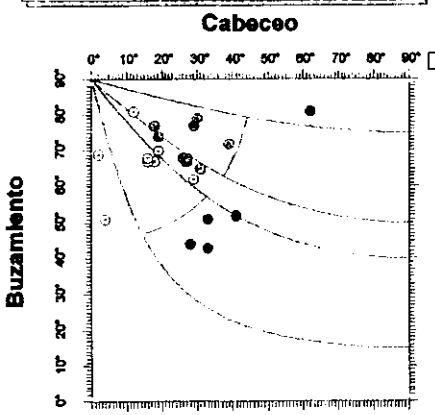
Método de Inversión de Esfuerzos

Rosa de Direcciones

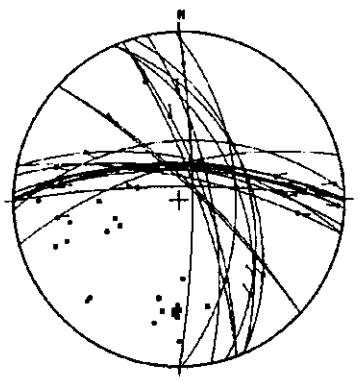


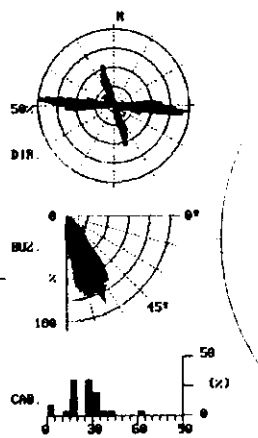
Valor Máximo de Escala: 50%
Ángulo de Apertura: 15°
DEYM: 125° ± 13,07°

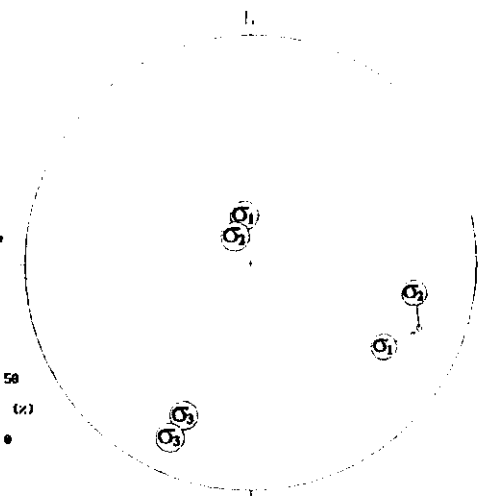
Diagrama Cabeceo/Buzamiento



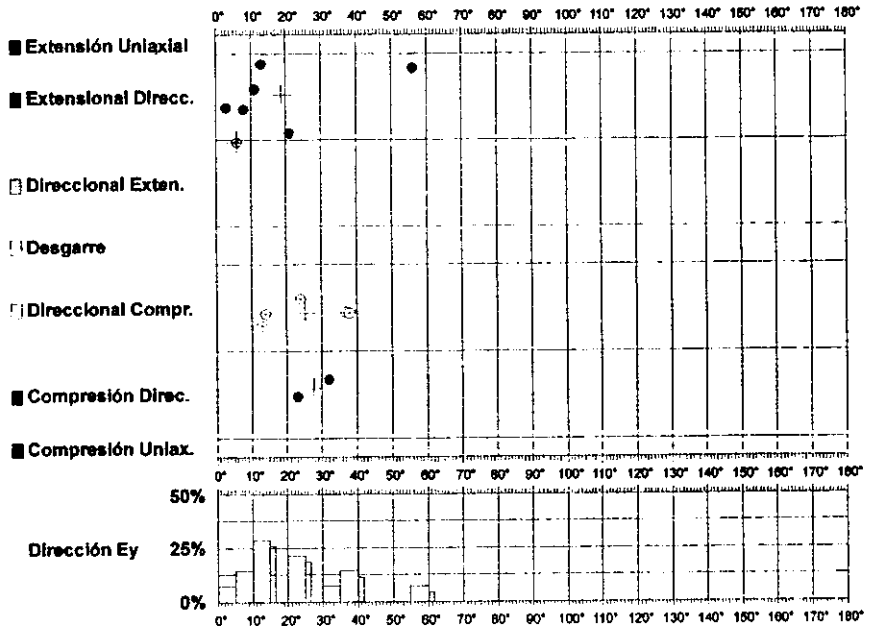
Parámetros Globales
K':2,2075 Buzamiento:66°±11°
PHI:-02,99° Cabeceo:25°±13°

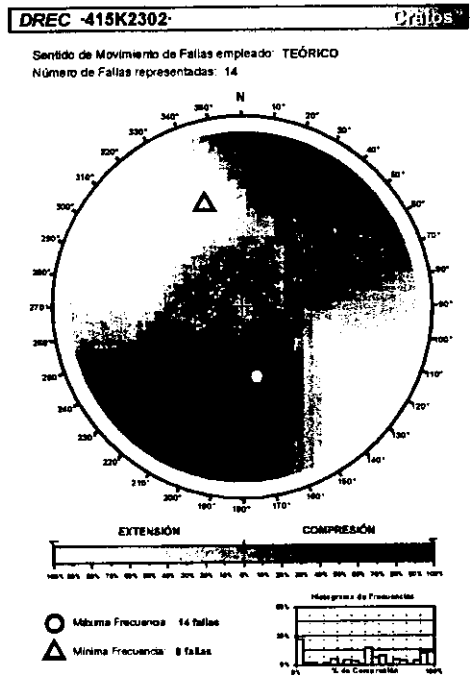






Modelo de Deslizamiento ·415K2302· Cratos



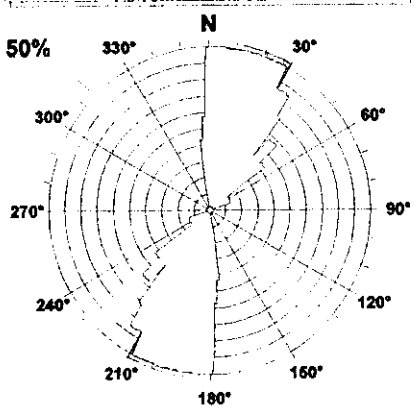


Estación: 415k230
Coordenadas U.T.M. (metros)
X: 575100
Y: 4257400
Z: 860
Litología: Carbonatos
Edad: Mioceno superior

2ª Subpoblación:
Ey: 021°±9°
Buz: 59°±7°
Cab: 38°±15°
s1 50°/034°
s2 38°/197°
s3 08°/294°
R = 0.17
μ = 0.31
F.E. = 12 (14)

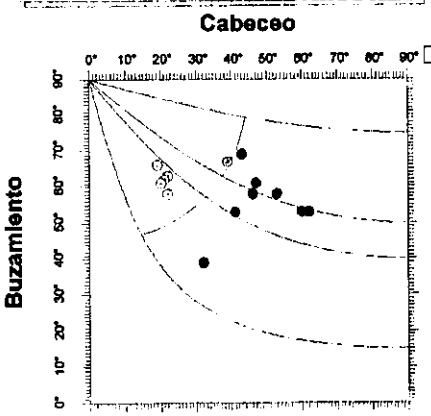
Trazas ciclográficas e histogramas del azimut, buzamiento y cabeceo

Rosa de Direcciones

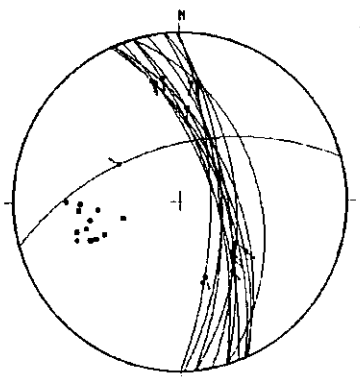


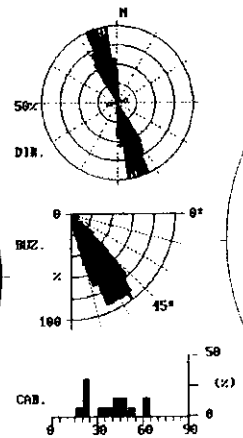
Valor Máximo de Escala: 50%
Ángulo de Apertura: 15°
DEYM: 21° ± 8,79°

Diagrama Cabeceo/Buzamiento

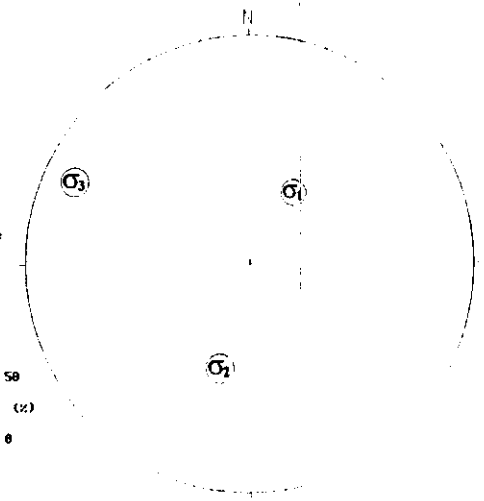


Parámetros Globales
K':-0,7936 Buzamiento:59°±07°
PHI:01,39° Cabeceo:38°±15°

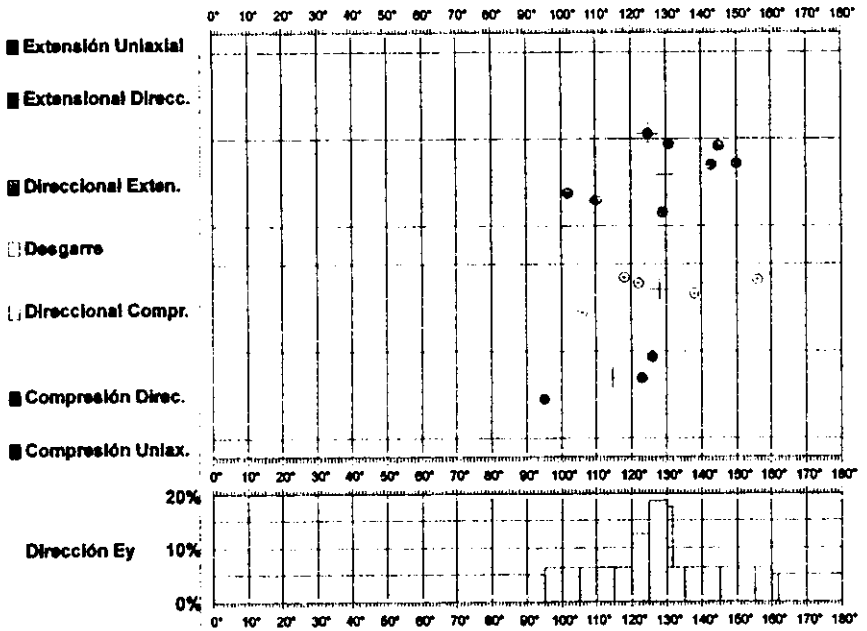


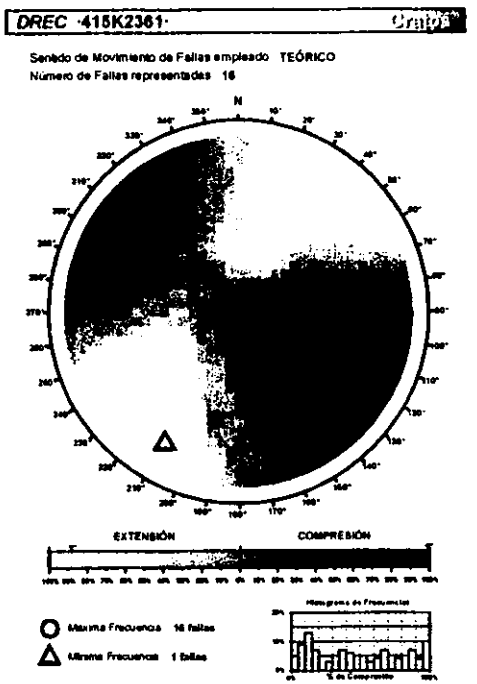


Método de Inversión de Esfuerzos



Modelo de Deslizamiento ·415K2361· Cratos





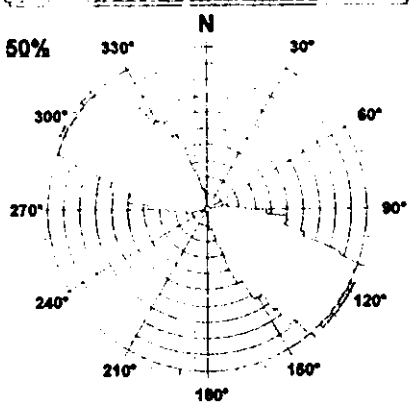
Estación: 415k236
Coordenadas U.T.M. (metros)
X: 581000
Y: 4256400
Z: 660
Litología: Carbonatos
Edad: Cretácico

1ª Subpoblación:
Ey: 126°±10°
Buz: 64°±11°
Cab: 26°±10°
s1 19°/132°
s2 69°/293°
s3 06°/040°
R = 0.42
μ = 0.31
F.E. = 16 (16)

Trazas ciclográficas e histogramas del azimut, buzamiento y cabeceo

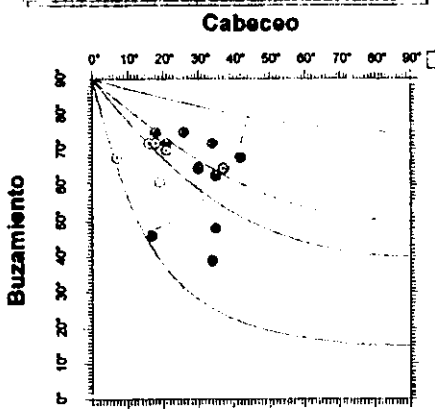
Método de Inversión de Esfuerzos

Rosa de Direcciones

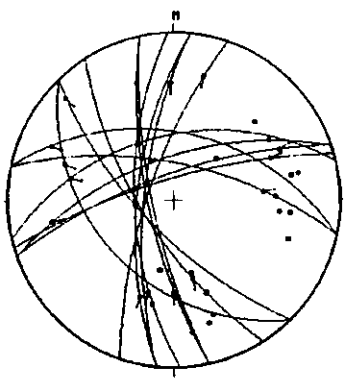


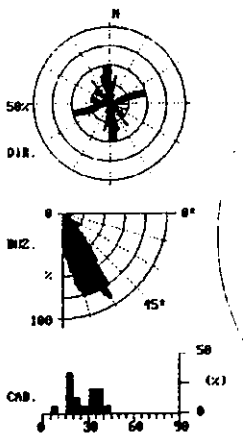
Valor Máximo de Escala: 50%
Ángulo de Apertura: 15°
DEYM: 126° ± 10,42°

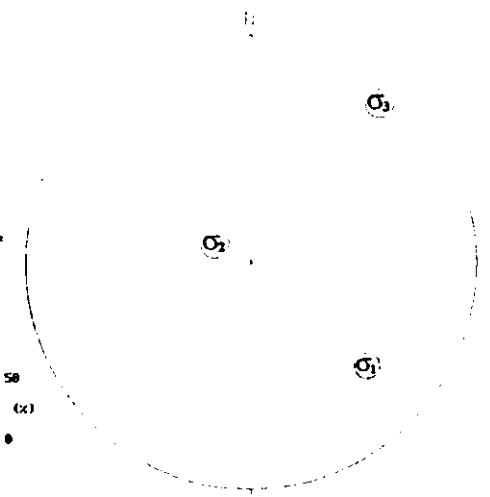
Diagrama Cabeceo/Buzamiento



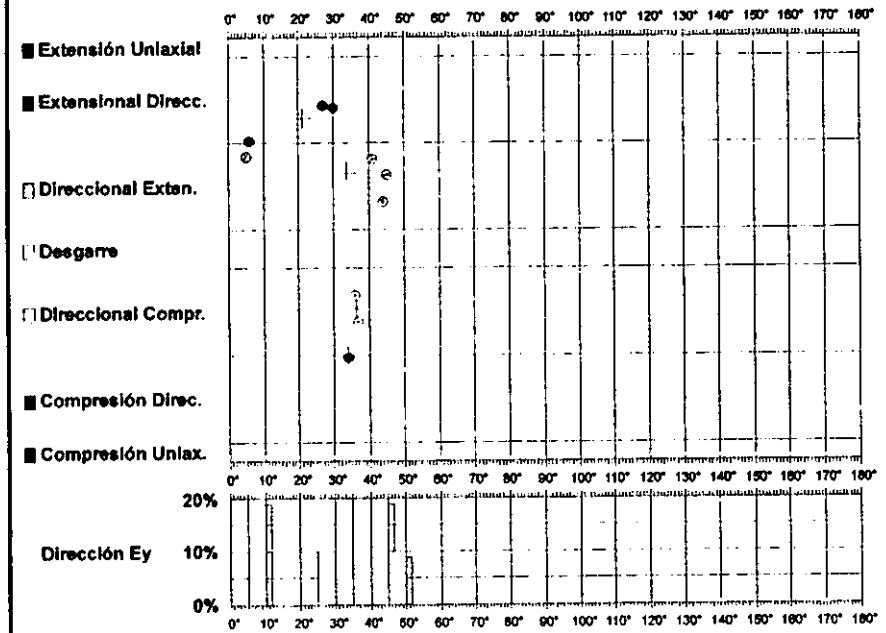
Parámetros Globales
K':-0,8286 Buzamiento:64°±11°
PHN:-06,10° Cabeceo:26°±10°





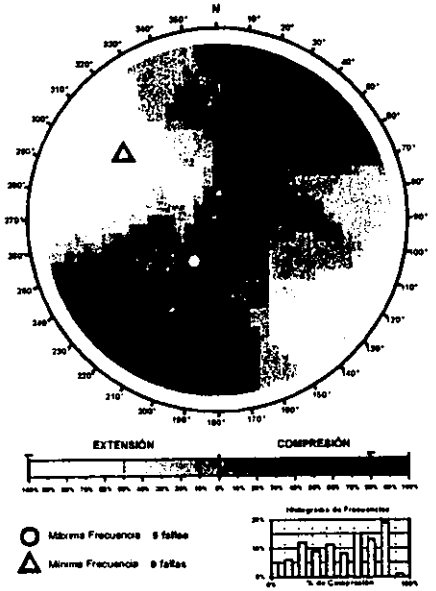


Modelo de Deslizamiento ·415K2362· Cratos



DREC ·415K2362· Cratos

Sentido de Movimiento de Fallas empleado TEÓRICO
Número de Fallas representadas 10

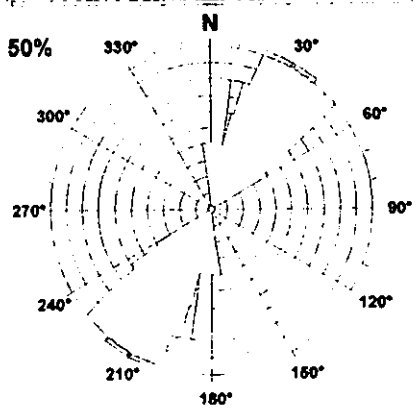


Estación: 415k236
Coordenadas U.T.M. (metros)
X: 581000
Y: 4256400
Z: 660
Litología: Carbonatos
Edad: Cretácico

2ª Subpoblación:
Ey: 031°±9°
Buz: 68°±9°
Cab: 34°±12°
s1 80°/268°
s2 04°/025°
s3 08°/116°
R = 0.51
μ = 0.31
F.E. = 6 (10)

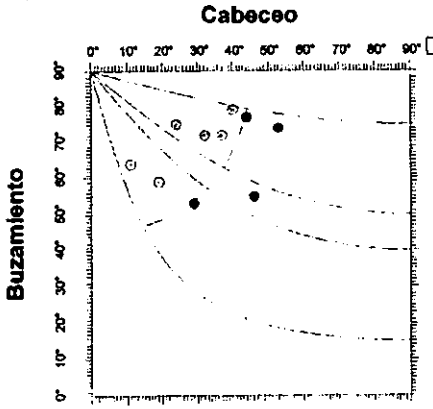
Trazas cicloográficas e histogramas del azimut, buzamiento y cabeceo

Rosa de Direcciones

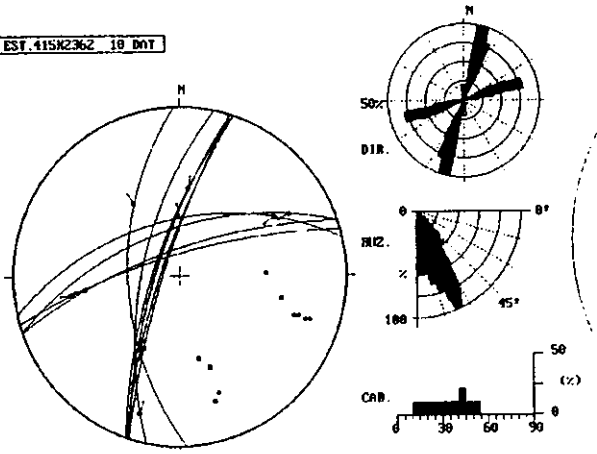


Valor Máximo de Escala: 50%
Ángulo de Apertura: 15°
DEYM: 31° ± 8,88°

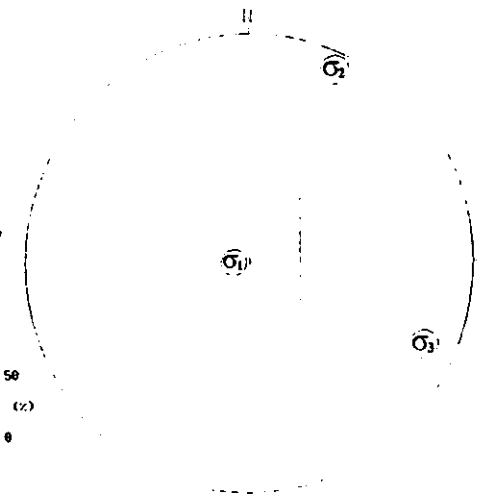
Diagrama Cabeceo/Buzamiento



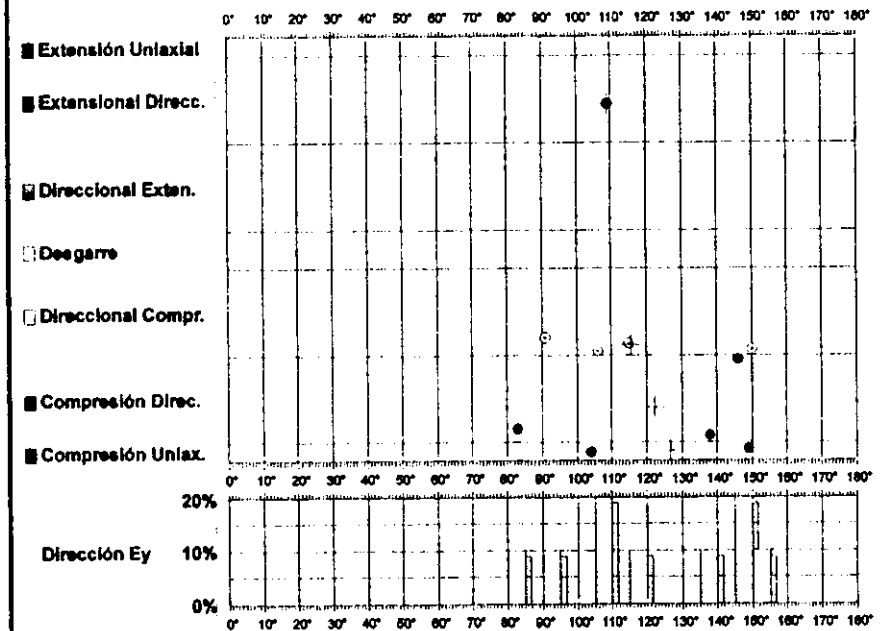
Parámetros Globales
K':-0,7515 Buzamiento:68°±09°
PHI:18,30° Cabeceo:34°±12°

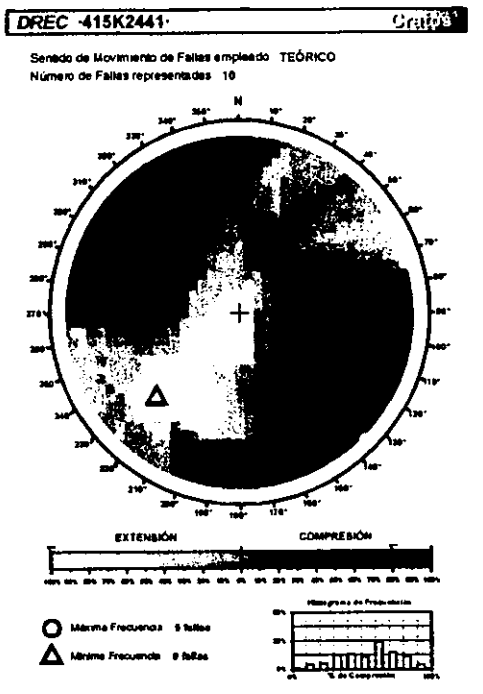


Método de Inversión de Esfuerzos



Modelo de Deslizamiento ·415K2441· Cratos



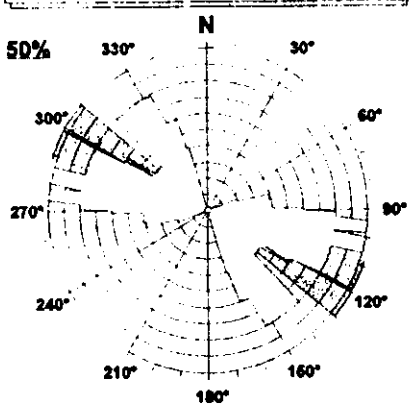


Trazas cicloográficas e histogramas del azimut, buzamiento y cabeceo

Estación: 415k244
Coordenadas U.T.M. (metros)
X: 585100
Y: 4253300
Z: 520
Litología: Carbonatos
Edad: Jurásico-Cretácico

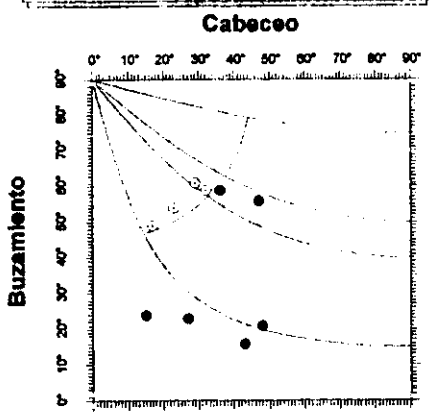
1ª Subpoblación:
Ey: 119°±11°
Buz: 42°±18°
Cab: 32°±11°
s1 --°/---°
s2 --°/---°
s3 --°/---°
R = ---
μ = ---
F.E. = 0 (10)

Rosa de Direcciones

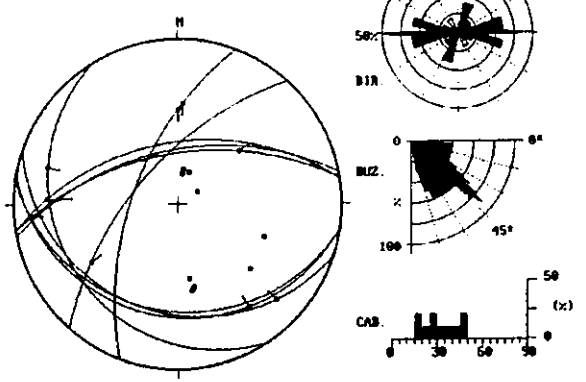


Valor Máximo de Escala: 50%
Ángulo de Apertura: 15°
DEYM: 119° ± 10,61°

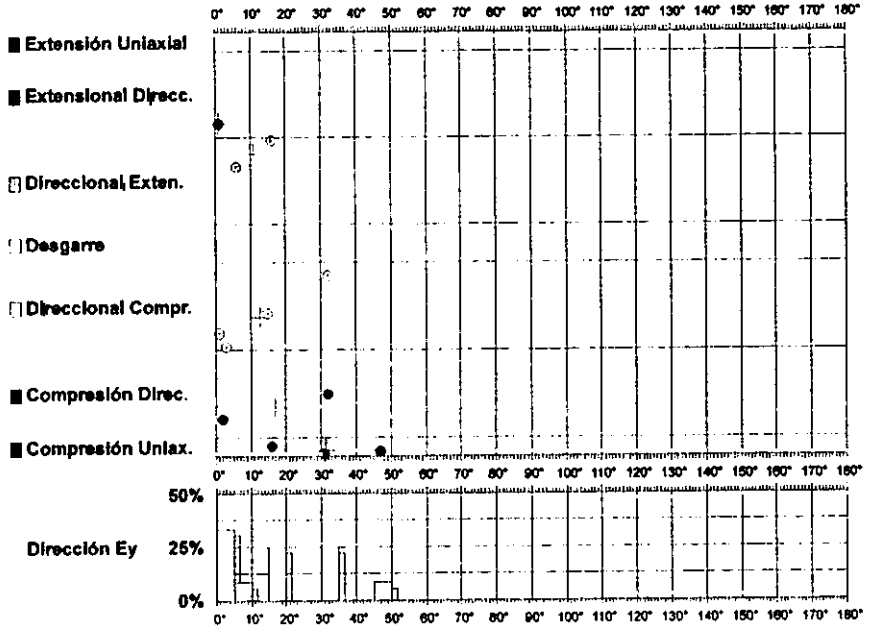
Diagrama Cabeceo/Buzamiento

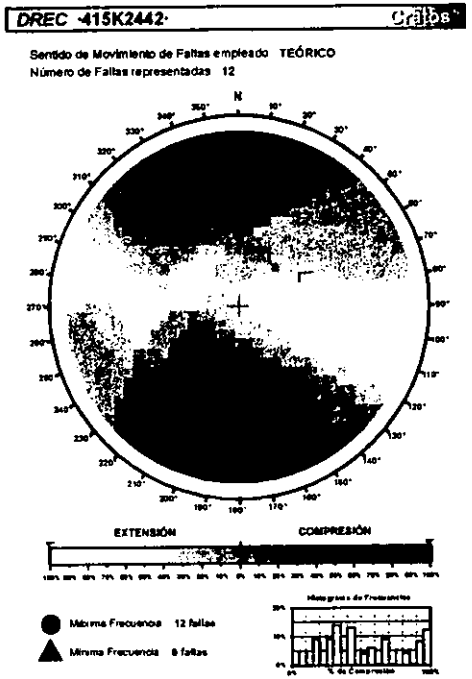


Parámetros Globales
K':-1,0533 Buzamiento:42°±18°
PHI:-38,99° Cabeceo:32°±11°



Modelo de Deslizamiento ·415K2442· Cratos



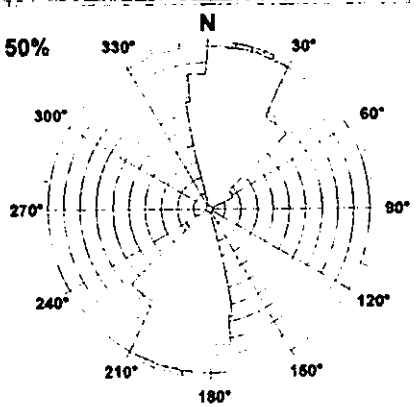


Estación: 415k244
Coordenadas U.T.M. (metros)
X: 585100
Y: 4253300
Z: 520
Litología: Carbonatos
Edad: Jurásico-Cretácico

2ª Subpoblación:
Ey: 017°±8°
Buz: 51°±15°
Cab: 39°±22°
s1 04°/015°
s2 81°/137°
s3 06°/284°
R = 0.27
μ = 0.31
F.E. = 9 (12)

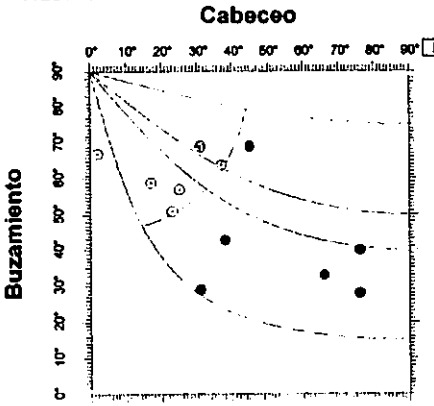
Trazas ciclográficas e histogramas del azimut, buzamiento y cabeceo

Rosa de Direcciones

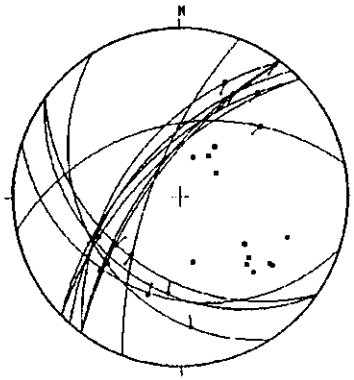


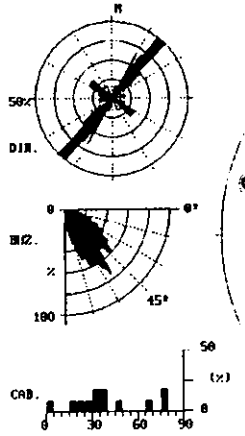
Valor Máximo de Escala: 50%
Ángulo de Apertura: 15°
DEYM: 16° ± 8,47°

Diagrama Cabeceo/Buzamiento

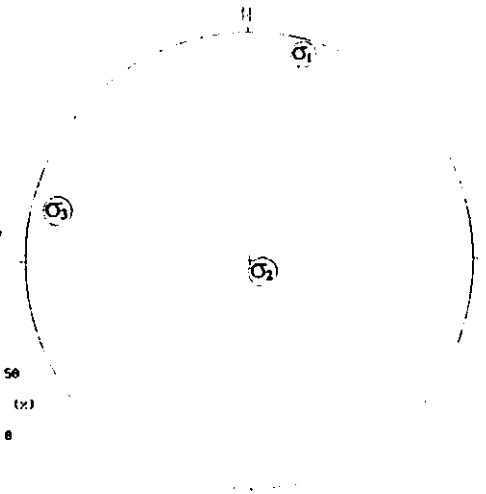


Parámetros Globales
K':-0,7271 Buzamiento:51°±15°
PHI:-14,30° Cabeceo:39°±22°

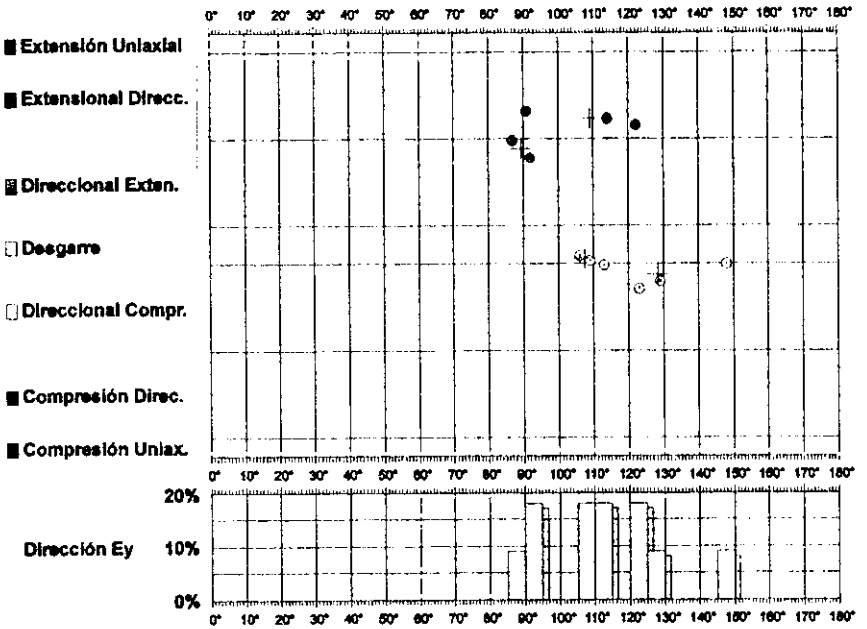


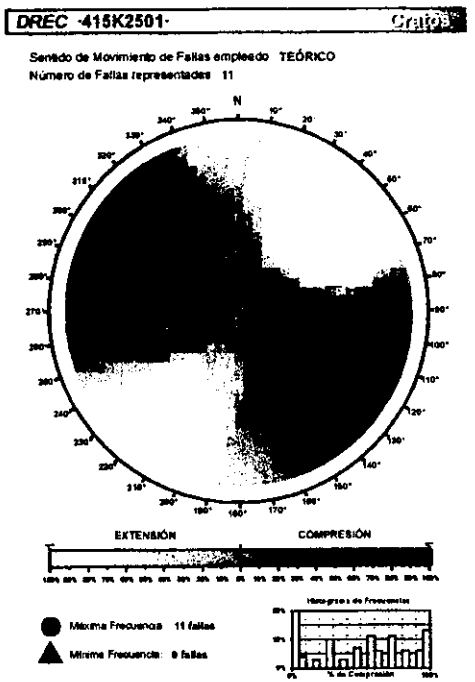


Método de Inversión de Esfuerzos



Modelo de Deslizamiento ·415K2501· Cratos



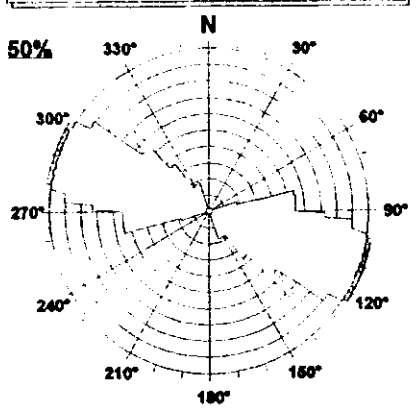


Estación: 415k250
Coordenadas U.T.M. (metros)
X: 587700
Y: 4250500
Z: 640
Litología: Carbonatos
Edad: Jurásico

1ª Subpoblación:
Ey: 112°±11°
Buz: 72°±5°
Cab: 26°±16°
s1 65°/311°
s2 24°/123°
s3 03°/214°
R = 0.84
μ = 0.31
F.E. = 11 (11)

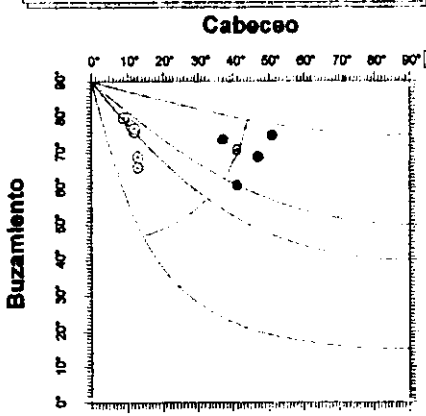
Trazas cicloográficas e histogramas del azimut, buzamiento y cabeceo

Rosa de Direcciones

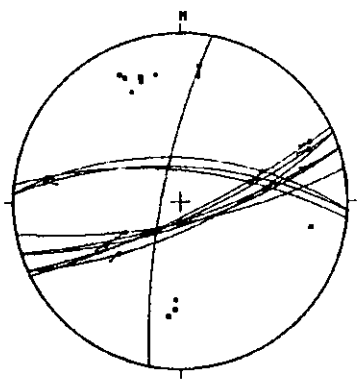


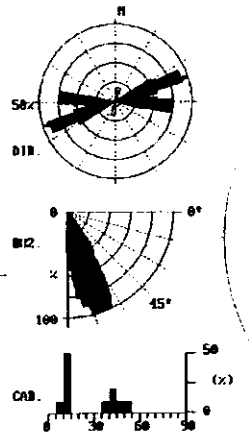
Valor Máximo de Escala: 50%
Ángulo de Apertura: 15°
DEYM: 112° ± 11,03°

Diagrama Cabeceo/Buzamiento

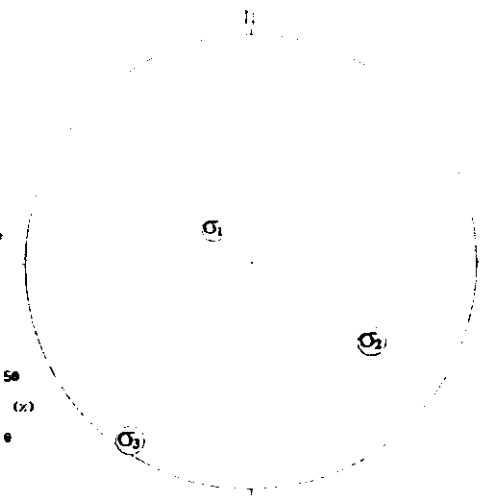


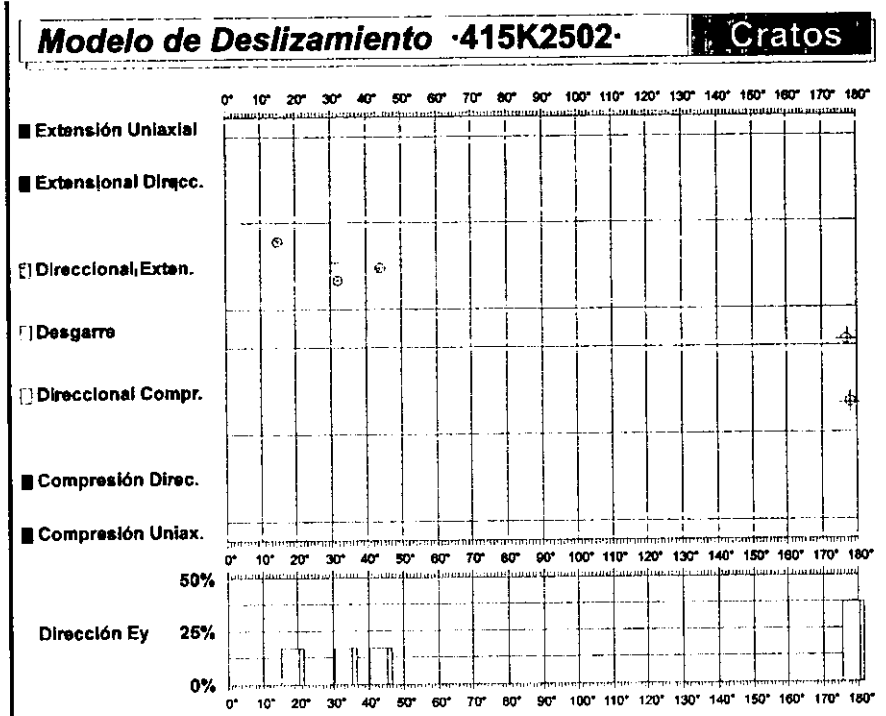
Parámetros Globales
K':-5,4167
PHI:16,91°
Buzamiento:72°±05°
Cabeceo:26°±16°

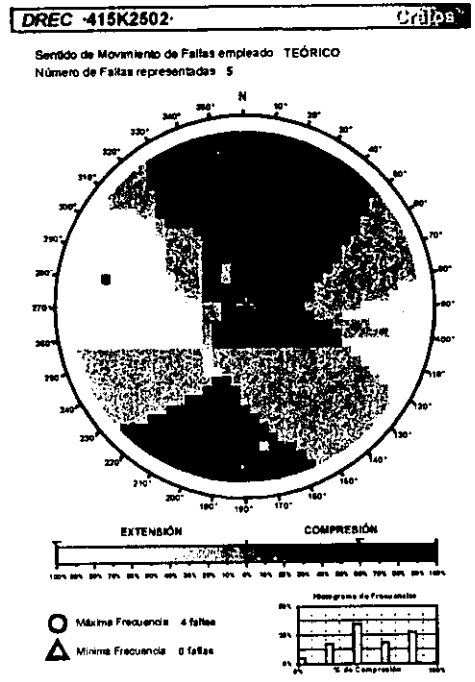




Método de Inversión de Esfuerzos



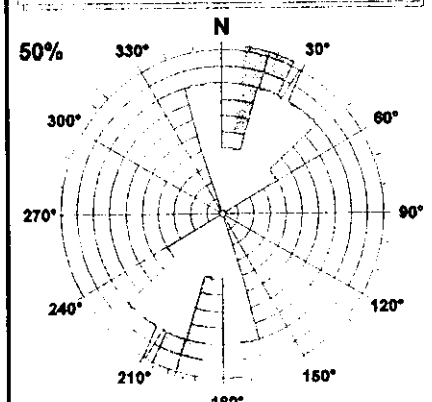


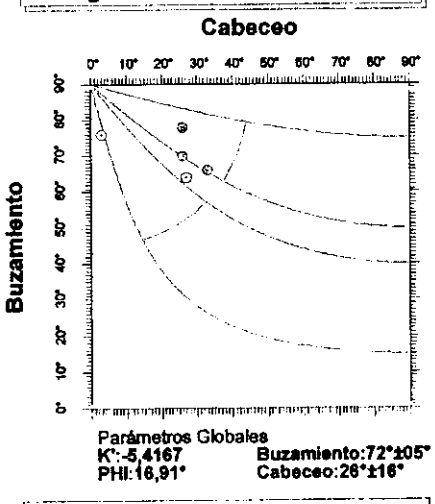


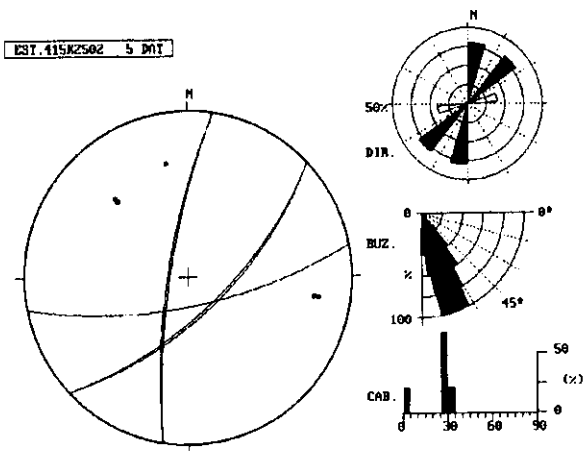
Estación: 415k250
Coordenadas U.T.M. (metros)
X: 587700
Y: 4250500
Z: 640
Litología: Carbonatos
Edad: Jurásico

2ª Subpoblación:
Ey: 017°±9°
Buz: 71°±5°
Cab: 23°±10°
s1 --°/---°
s2 --°/---°
s3 --°/---°
R = ---
μ = ---
F.E. = 0 (5)

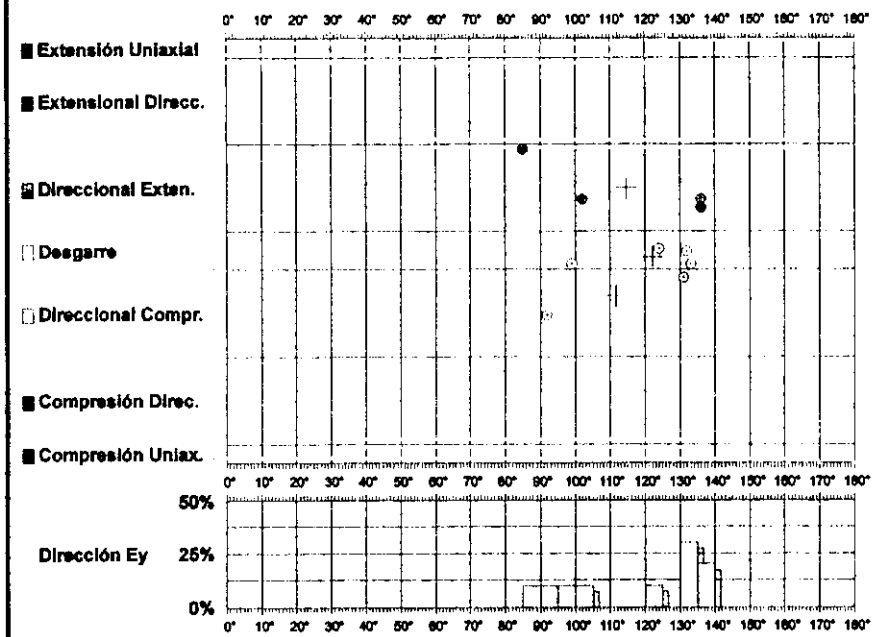
Trazas ciclográficas e histogramas del azimut, buzamiento y cabeceo

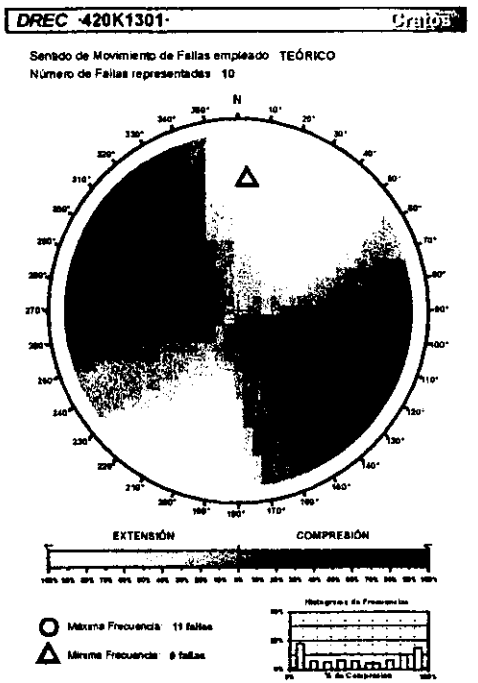






Modelo de Deslizamiento ·420K1301· Cratos





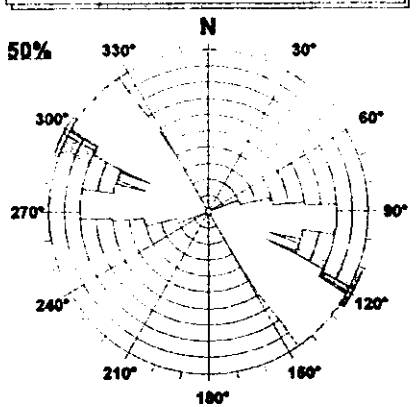
Estación: 420k130
Coordenadas U.T.M. (metros)
X: 382000
Y: 4272700
Z: 704
Litología: Basamento hercínico
Edad: Paleozoico

1ª Subpoblación:
Ey: 118°±7°
Buz: 75°±7°
Cab: 17°±10°
s1 63°/298°
s2 26°/115°
s3 01°/205°
R = 0.74
μ = 0.31
F.E. = 6 (10)

Trazas cicloográficas e histogramas del azimut, buzamiento y cabeceo

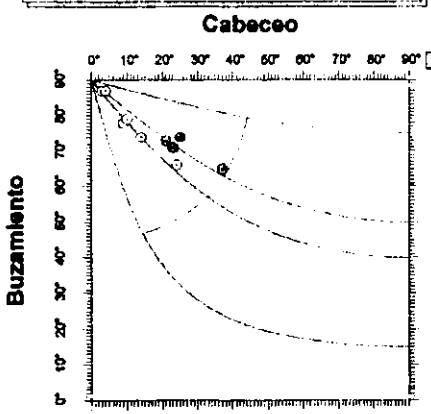
Método de Inversión de Esfuerzos

Rosa de Direcciones

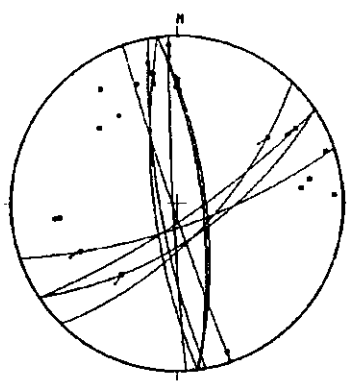


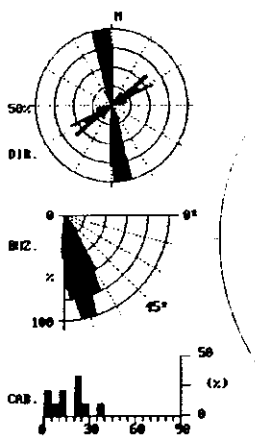
Valor Máximo de Escala: 50%
Ángulo de Apertura: 15°
DEYM: 118° ± 7,22°

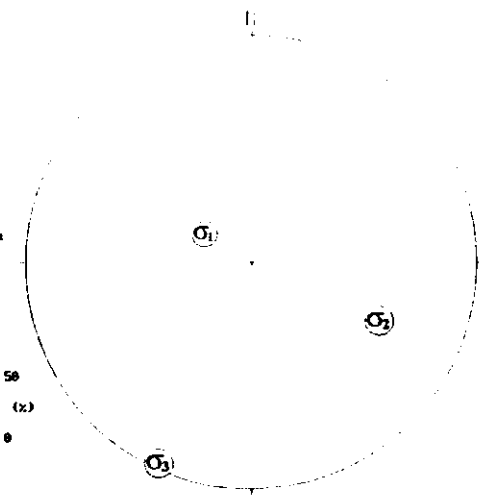
Diagrama Cabeceo/Buzamiento

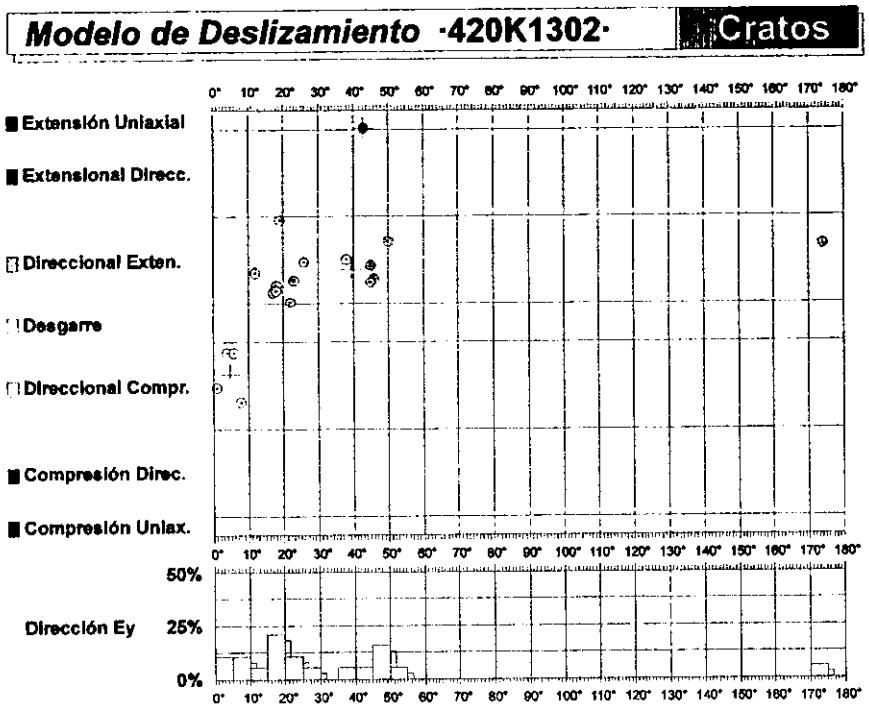


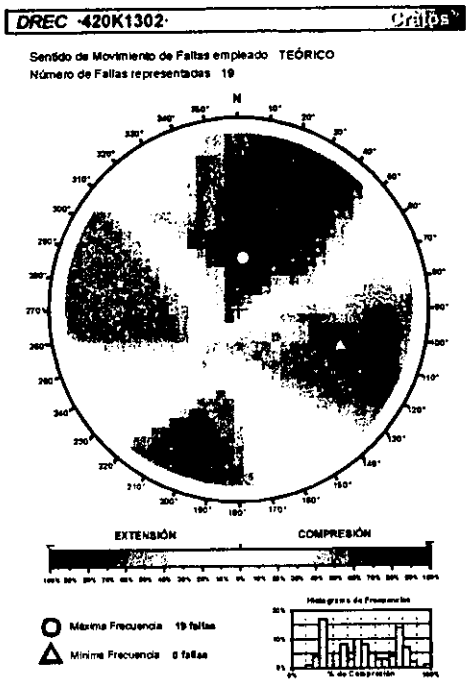
Parámetros Globales
K':-29,5304 Buzamiento:75°±07°
PHI:04,99° Cabeceo:17°±10°









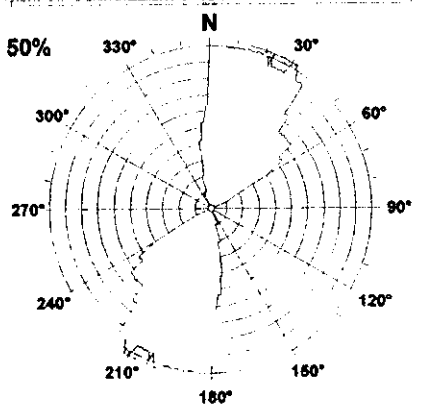


Estación: 420k130
Coordenadas U.T.M. (metros)
X: 382000
Y: 4272700
Z: 704
Litología: Basamento hercínico
Edad: Paleozoico

2ª Subpoblación:
Ey: 023°±9°
Buz: 78°±8°
Cab: 28°±13°
s1 54°/018°
s2 35°/197°
s3 00°/288°
R = 0.72
μ = 0.31
F.E. = 11 (19)

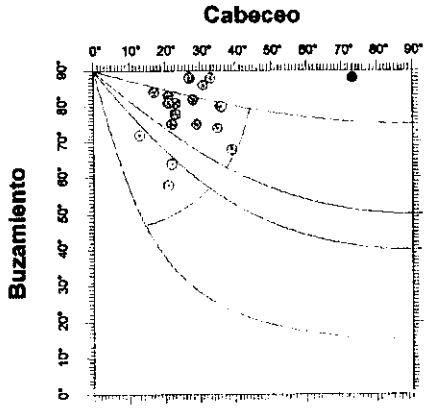
Trazas ciclográficas e histogramas del azimut, buzamiento y cabeceo

Rosa de Direcciones

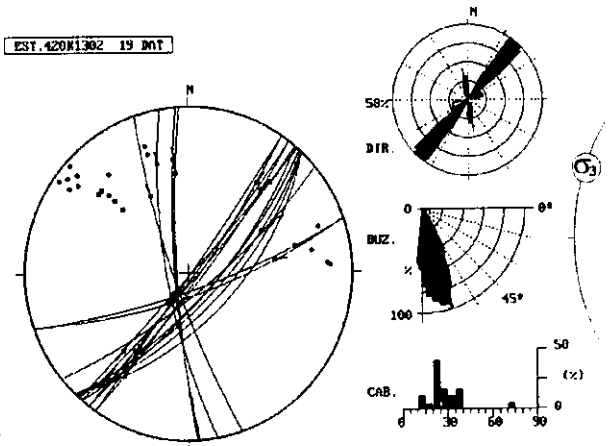


Valor Máximo de Escala: 50%
Ángulo de Apertura: 15°
DEYM: 23° ± 9,38°

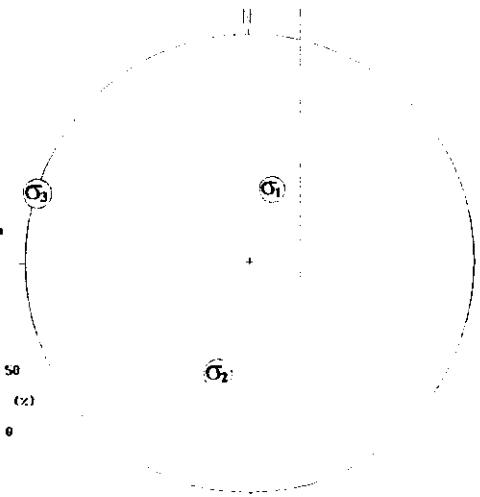
Diagrama Cabeceo/Buzamiento



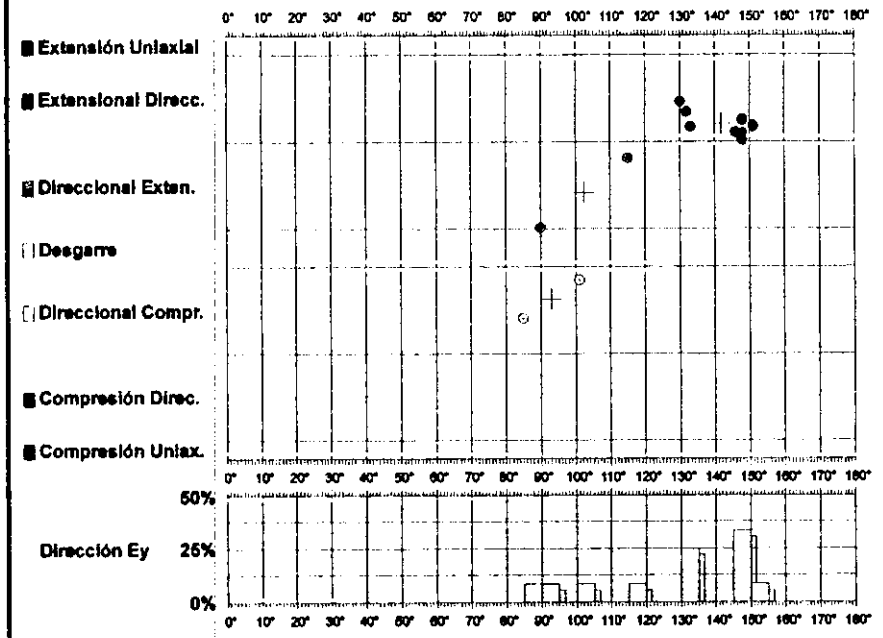
Parámetros Globales
K':-0,3727
PHI:41,28°
Buzamiento:78°±08°
Cabeceo:28°±13°

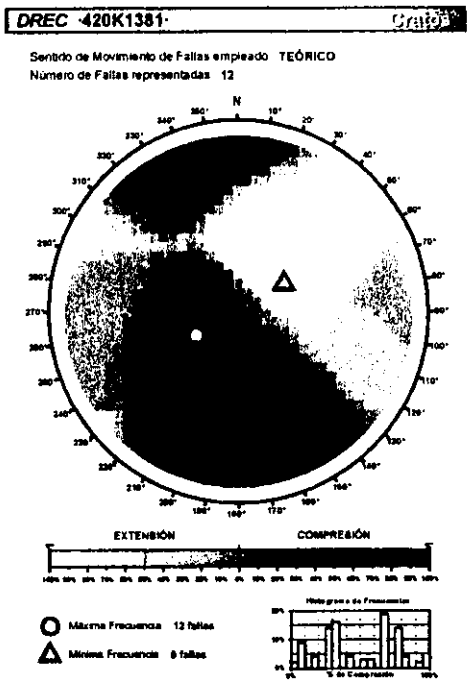


Método de Inversión de Esfuerzos



Modelo de Deslizamiento ·420K1381· Cratos

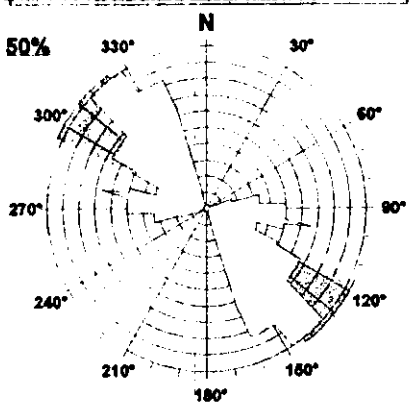




Estación: 420k138
Coordenadas U.T.M. (metros)
X: 384400
Y: 4279100
Z: 777
Litología: Basamento hercínico
Edad: Paleozoico

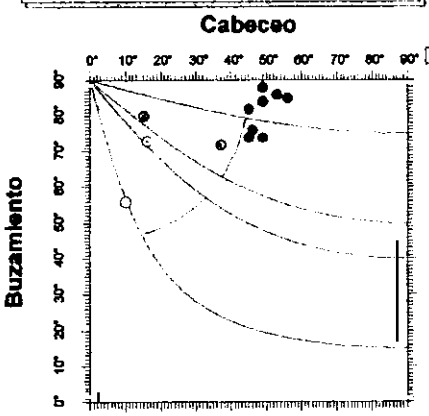
1ª Subpoblación:
Ey: 129°±13°
Buz: 78°±8°
Cab: 39°±15°
s1 86°/032°
s2 02°/167°
s3 02°/257°
R = 0.16
μ = 0.31
F.E. = 9 (12)

Rosa de Direcciones



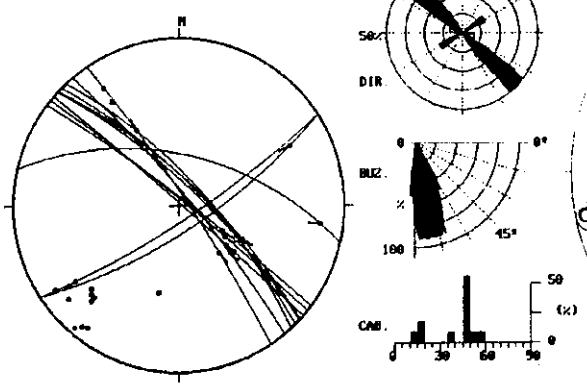
Valor Máximo de Escala: 50%
Ángulo de Apertura: 15°
DEYM: 129° ± 13,54°

Diagrama Cabeceo/Buzamiento

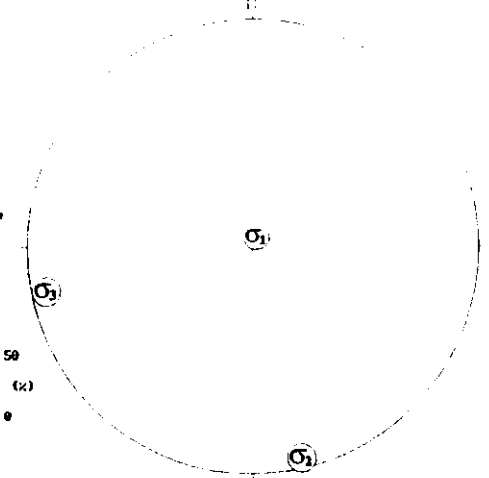


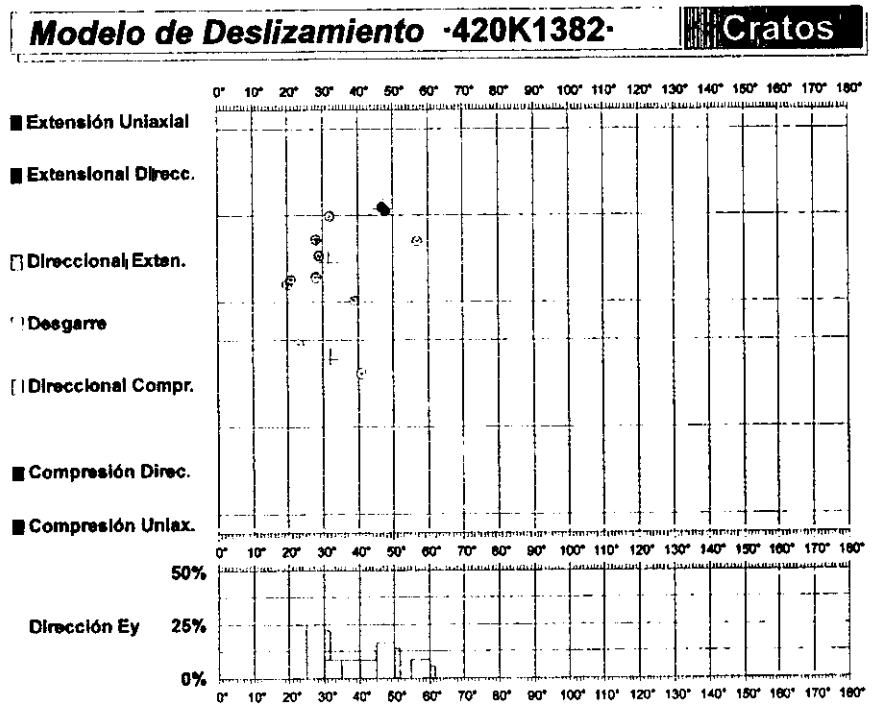
Parámetros Globales
K':0,4798 Buzamiento:78°±08°
PHI:62,67° Cabeceo:39°±16°

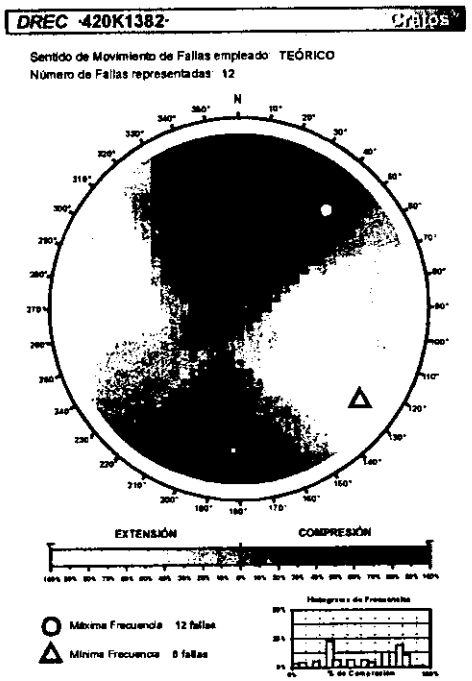
Trazas ciclográficas e histogramas del azimut, buzamiento y cabeceo



Método de Inversión de Esfuerzos





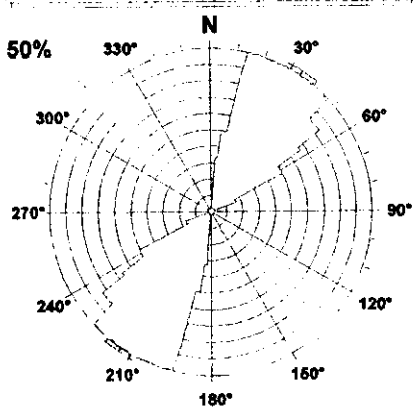


Estación: 420k138
Coordenadas U.T.M. (metros)
X: 384400
Y: 4279100
Z: 777
Litología: Basamento hercínico
Edad: Paleozoico

2ª Subpoblación:
Ey: 034°±6°
Buz: 78°±7°
Cab: 29°±13°
s1 47°/050°
s2 40°/207°
s3 11°/307°
R = 0.58
μ = 0.31
F.E. = 10 (12)

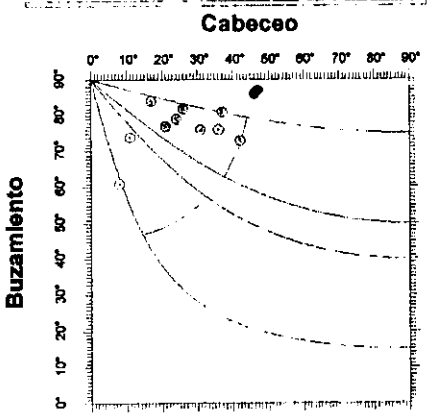
Trazas ciclográficas e histogramas del azimut, buzamiento y cabeceo

Rosa de Direcciones

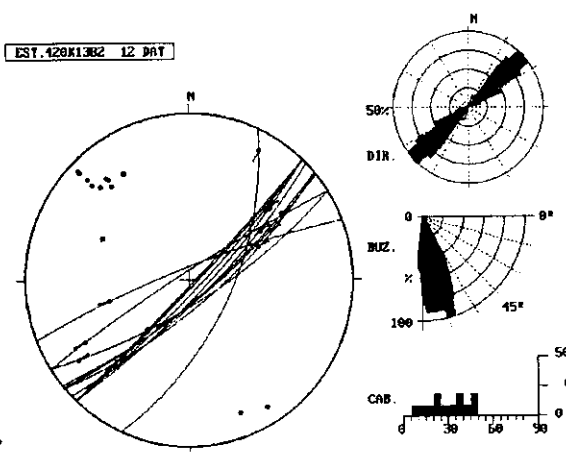


Valor Máximo de Escala: 50%
Ángulo de Apertura: 15°
DEYM: 34° ± 5,74°

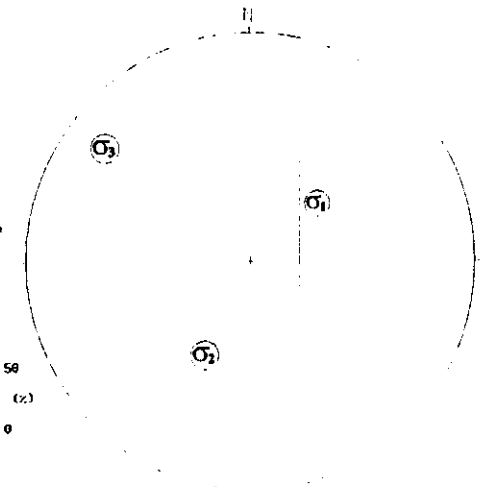
Diagrama Cabeceo/Buzamiento



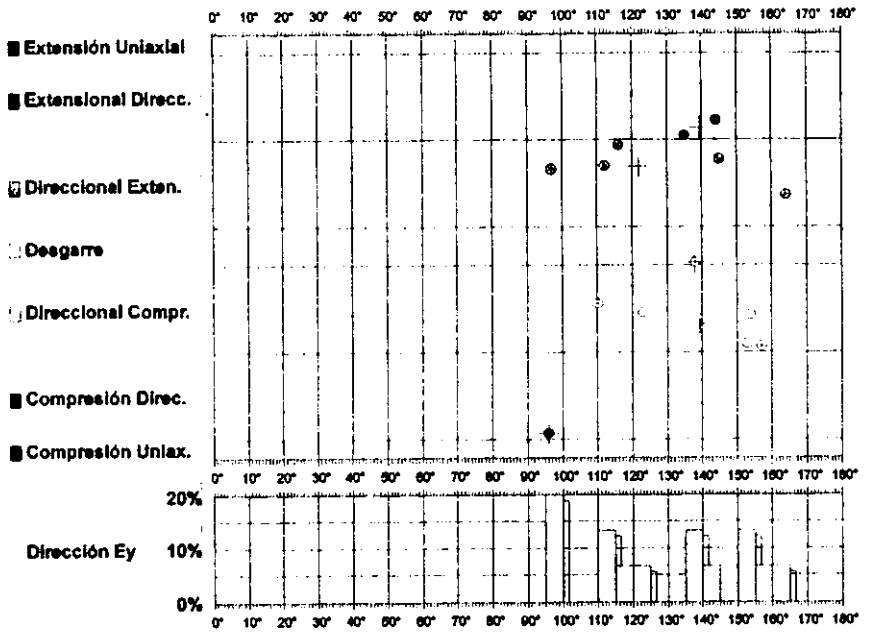
Parámetros Globales
K':-0,6931
PHI:42,65°
Buzamiento:78°±07°
Cabeceo:29°±13°

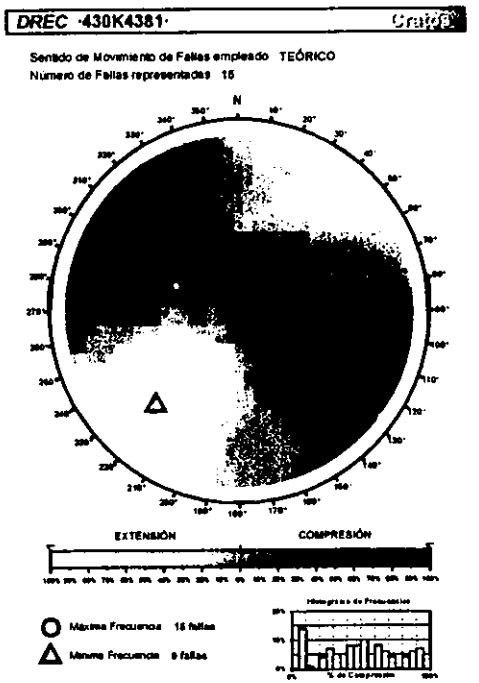


Método de Inversión de Esfuerzos



Modelo de Deslizamiento ·430K4381· Cratos





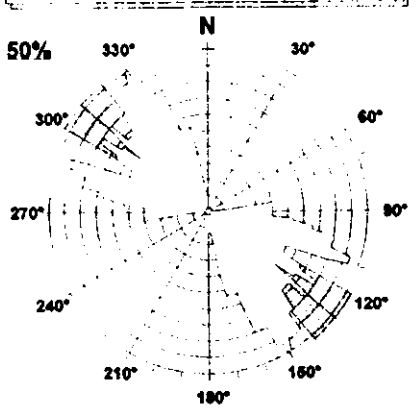
Estación: 430k438
Coordenadas U.T.M. (metros)
X: 529300
Y: 4318300
Z: 979
Litología: Carbonatos
Edad: Jurásico

1ª Subpoblación:
Ey: 130°±10°
Buz: 68°±9°
Cab: 33°±12°
s1 28°/131°
s2 60°/321°
s3 04°/224°
R = 0.68
μ = 0.31
F.E. = 11 (15)

Trazas cicloográficas e histogramas del azimut, buzamiento y cabeceo

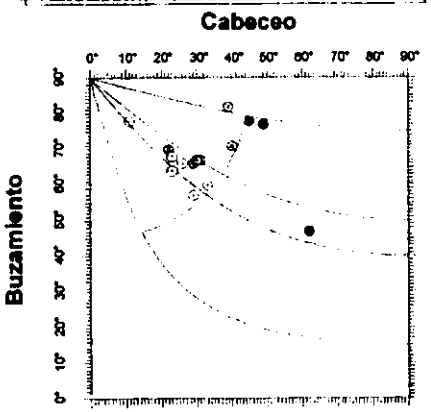
Método de Inversión de Esfuerzos

Rosa de Direcciones

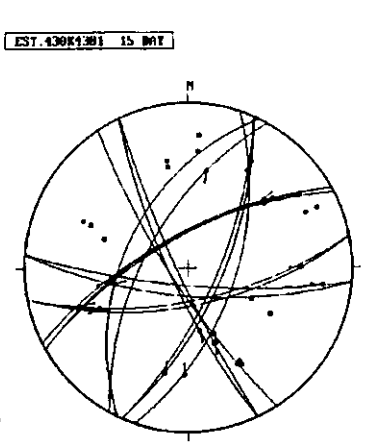


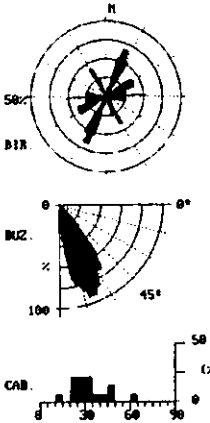
Valor Máximo de Escala: 50%
Ángulo de Apertura: 15°
DEVM: 130° ± 10,09°

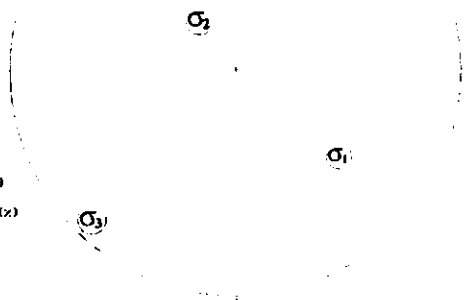
Diagrama Cabeceo/Buzamiento

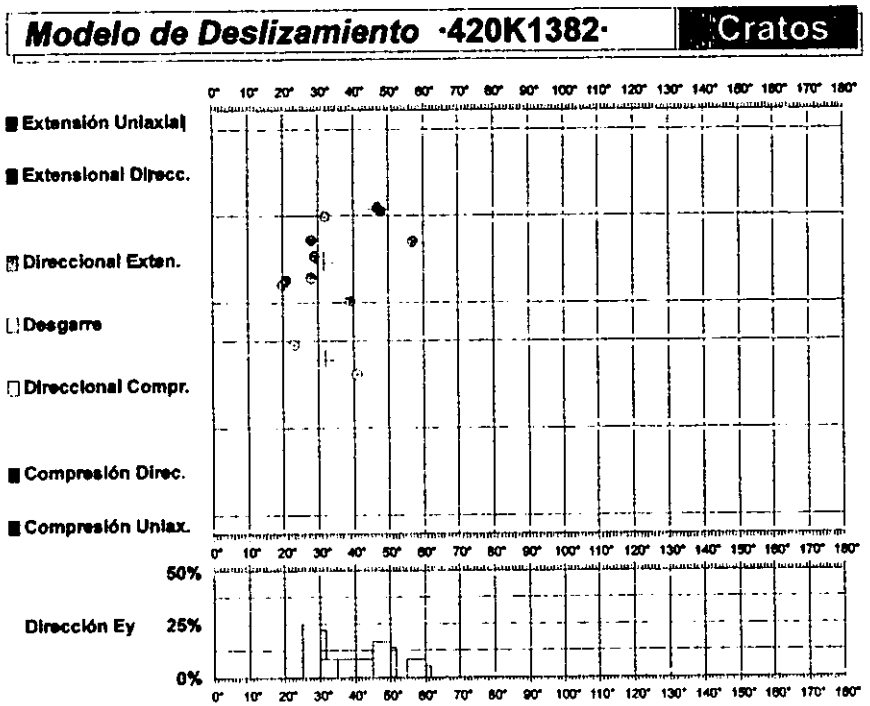


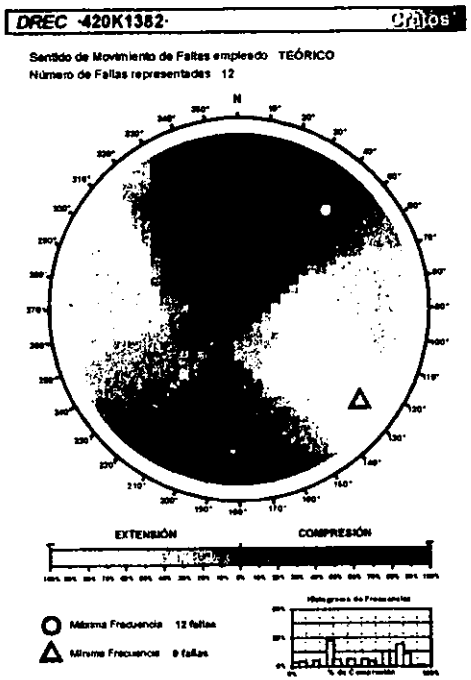
Parámetros Globales
K':-2,8338 Buzamiento:68°±09°
PHI:16,66° Cabeceo:33°±12°











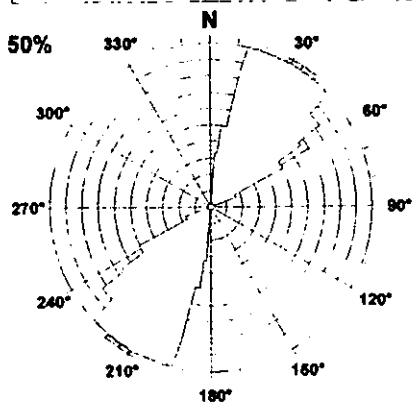
Estación: 420k138
Coordenadas U.T.M. (metros)
X: 384400
Y: 4279100
Z: 777
Litología: Basamento hercínico
Edad: Paleozoico

2ª Subpoblación:
Ey: 034°±6°
Buz: 78°±7°
Cab: 29°±13°
s1 47°/050°
s2 40°/207°
s3 11°/307°
R = 0.58
μ = 0.31
F.E. = 10 (12)

Trazas ciclográficas e histogramas del azimut, buzamiento y cabeceo

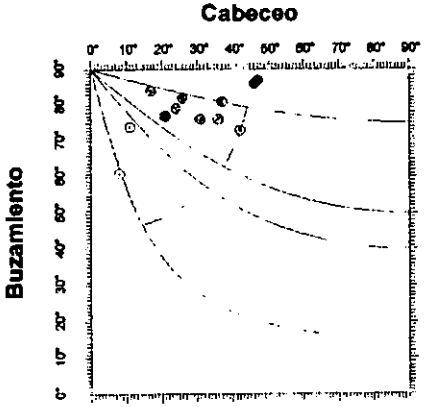
Método de Inversión de Esfuerzos

Rosa de Direcciones

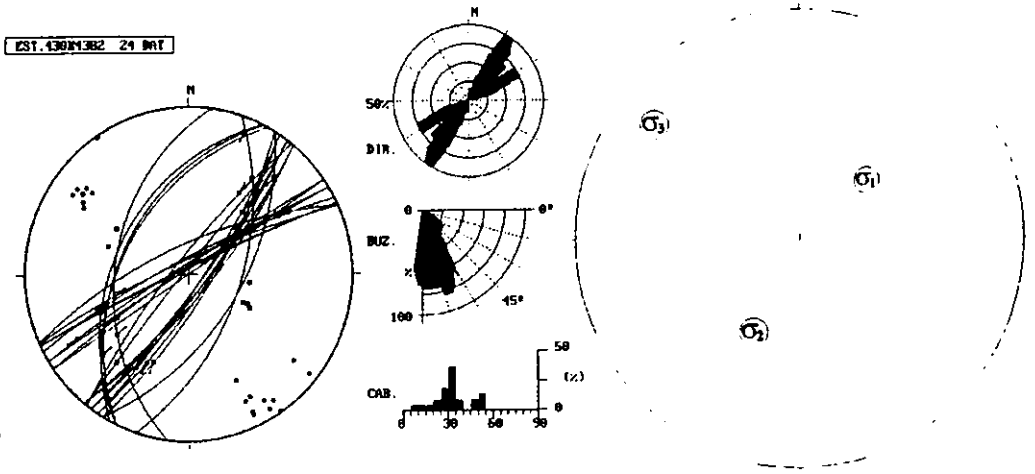


Valor Máximo de Escala: 50%
Ángulo de Apertura: 15°
DEYM: 34° ± 8,74°

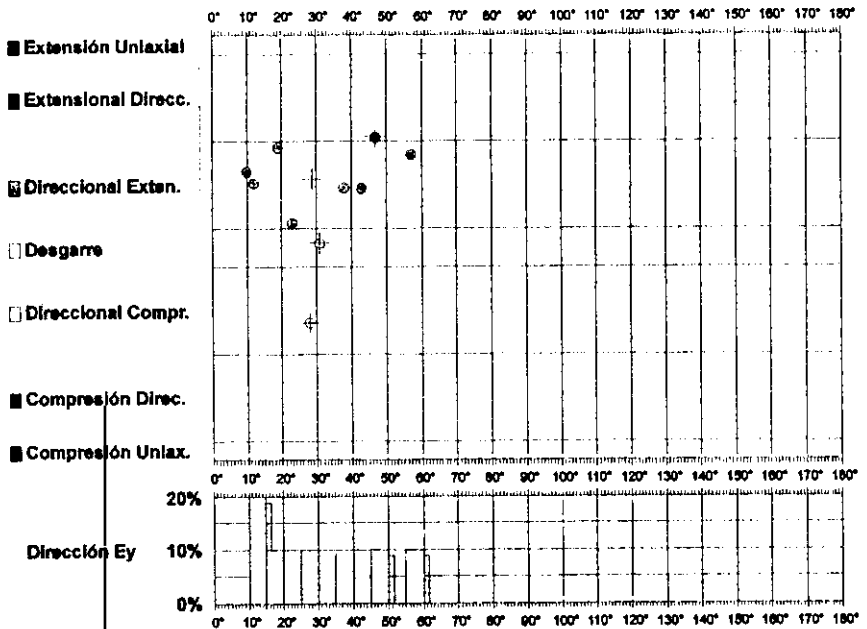
Diagrama Cabeceo/Buzamiento

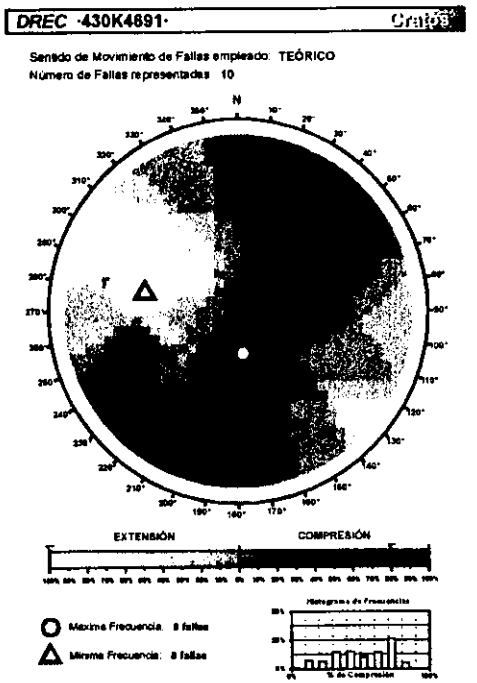


Parámetros Globales
K':-0,6931
PHI:42,86°
Buzamiento:78°±07°
Cabeceo:29°±13°



Modelo de Deslizamiento ·430K4691· Cratos



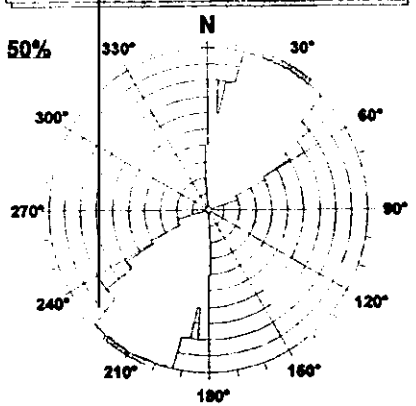


Estación: 430k469
Coordenadas U.T.M. (metros)
X: 555600
Y: 4319900
Z: 957
Litología: Carbonatos
Edad: Jurásico

1ª Subpoblación:
Ey: 031°±8°
Buz: 79°±8°
Cab: 30°±11°
s1 73°/018°
s2 15°/220°
s3 05°/128°
R = 0.47
μ = 0.40
F.E. = 5 (10)

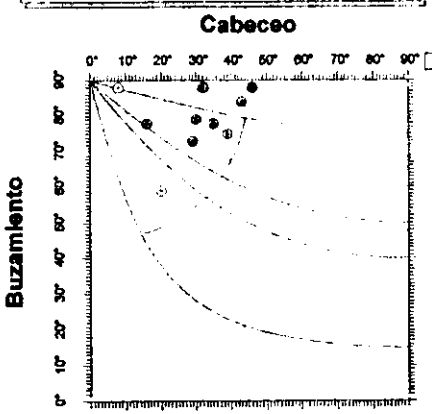
Trazas ciclográficas e histogramas del azimut, buzamiento y cabeceo

Rosa de Direcciones

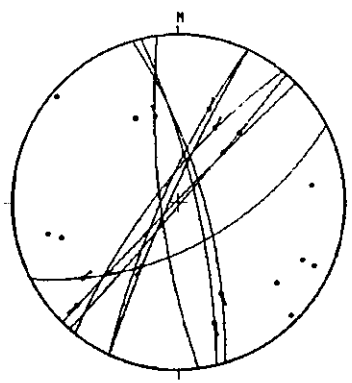


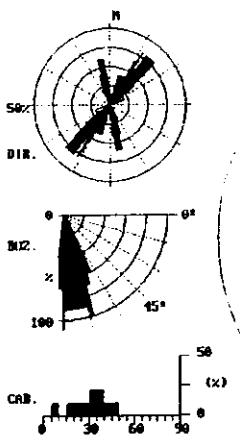
Valor Máximo de Escala: 50%
Ángulo de Apertura: 15°
DEYM: 31° ± 8,21°

Diagrama Cabeceo/Buzamiento

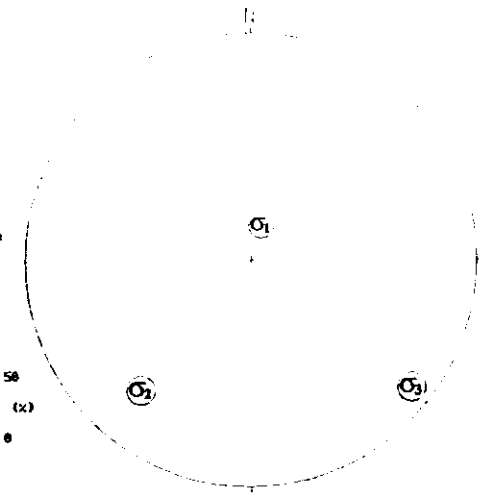


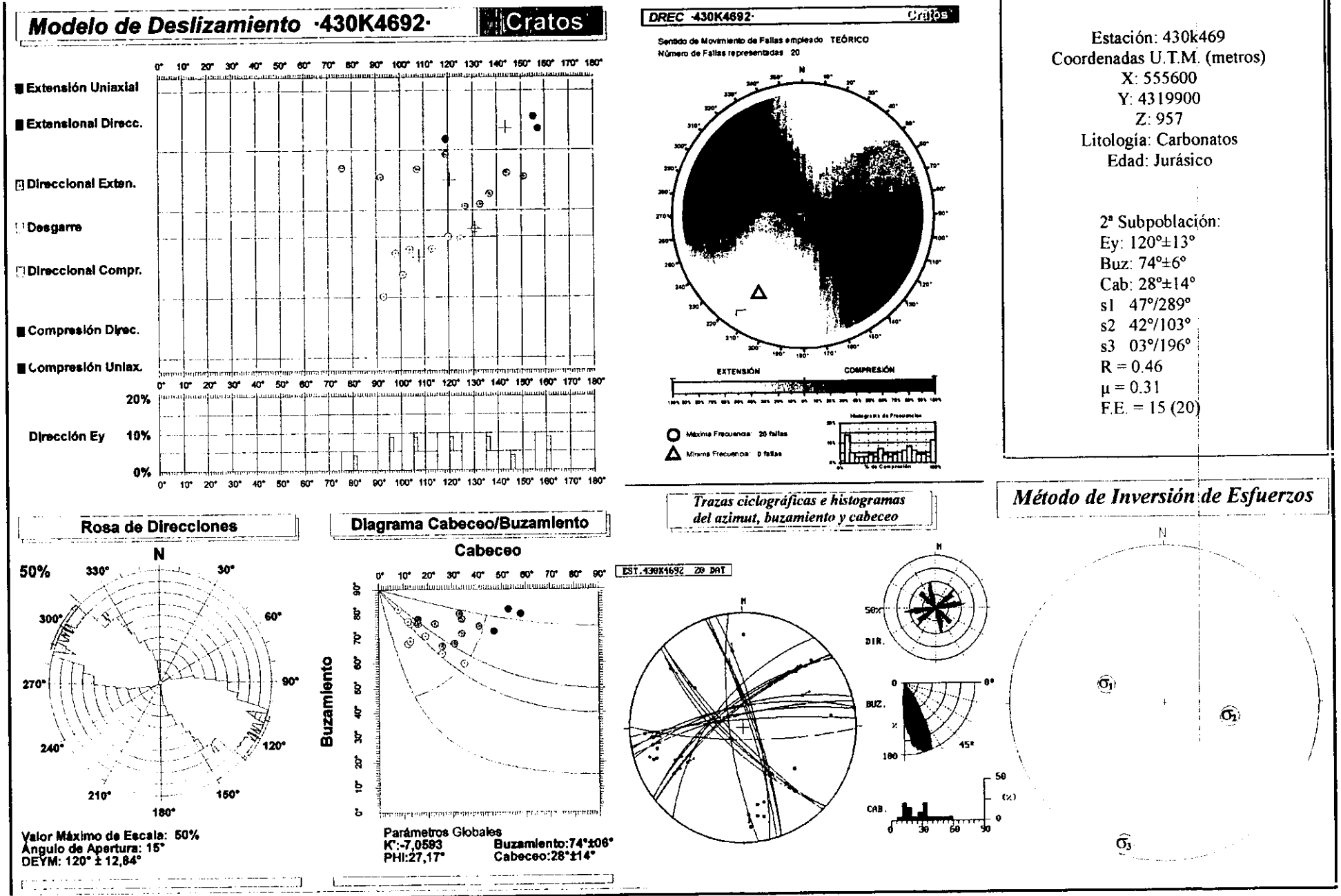
Parámetros Globales
K':12,1179 Buzamiento:79°±08°
PHI:47,51° Cabeceo:30°±11°



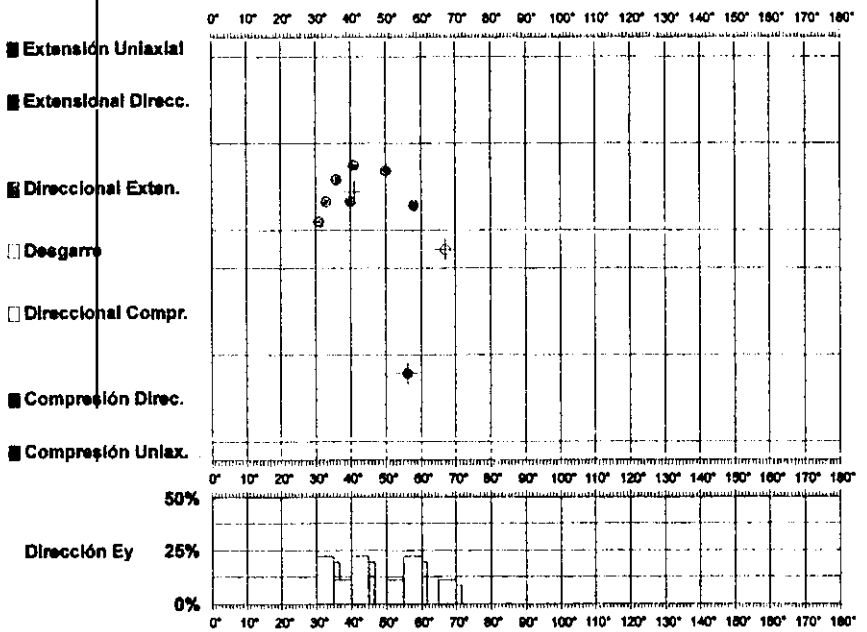


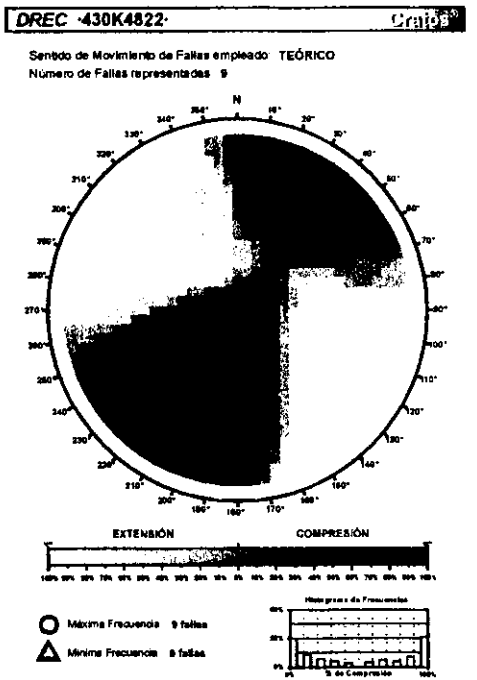
Método de Inversión de Esfuerzos




Modelo de Deslizamiento ·430K4692·
Cratos
Extensión Uniaxial
Extensional Direcc.
Direccional Exten.
Desgarre
Direccional Compr.
Compresión Direc.
Compresión Uniax.
Dirección Ey
20%
10%
0%
DREC ·430K4692·
Cratos
Sentido de Movimiento de Fallas empleado TEÓRICO
Número de Fallas representadas 20
EXTENSIÓN
COMPRESIÓN
Máxima Frecuencia 20 fallas
Mínima Frecuencia 0 fallas
Estación: 430k469
Coordenadas U.T.M. (metros)
X: 555600
Y: 4319900
Z: 957
Litología: Carbonatos
Edad: Jurásico
2ª Subpoblación:
Ey: 120°±13°
Buz: 74°±6°
Cab: 28°±14°
s1 47°/289°
s2 42°/103°
s3 03°/196°
R = 0.46
μ = 0.31
F.E. = 15 (20)
Trazas ciclográficas e histogramas del azimut, buzamiento y cabeceo
Método de Inversión de Esfuerzos
Rosa de Direcciones
50%
Valor Máximo de Escala: 50%
Ángulo de Apertura: 15°
DEYM: 120° ± 12,84°
Diagrama Cabeceo/Buzamiento
Cabeceo
Buzamiento
EST.430K1692 20 DAT
DIR.
BUZ.
CAB.
Parámetros Globales
K':-7,0593
PHI:27,17°
Buzamiento:74°±06°
Cabeceo:28°±14°

Modelo de Deslizamiento ·430K4822· Cratos



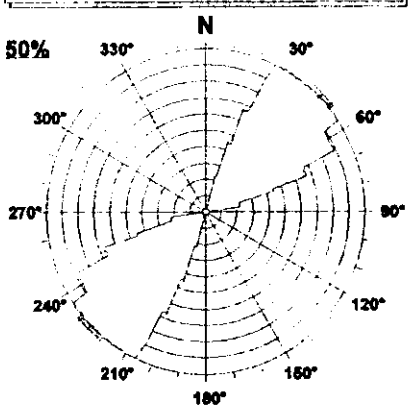


Estación: 430k482
Coordenadas U.T.M. (metros)
X: 566200
Y: 4322300
Z: 809
Litología: Carbonatos
Edad: Jurásico

2ª Subpoblación:
Ey: 046°±5°
Buz: 72°±9°
Cab: 24°±10°
s1 02°/050°
s2 84°/167°
s3 04°/320°
R = 0.51
μ = 0.31
F.E. = 9 (9)

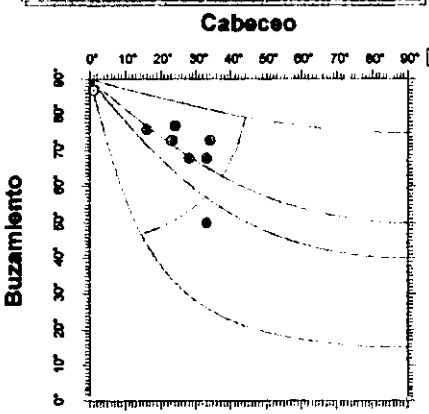
Trazas cicloográficas e histogramas del azimut, buzamiento y cabeceo

Rosa de Direcciones

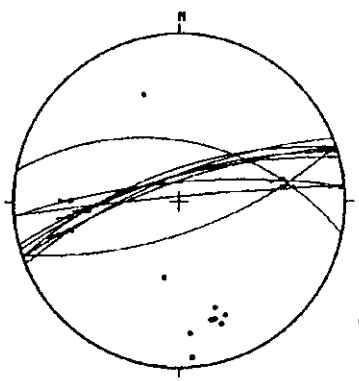


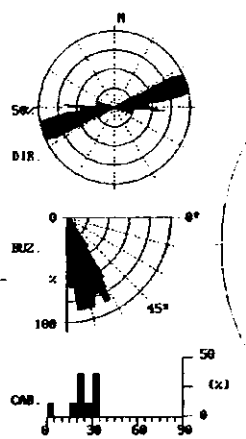
Valor Máximo de Escala: 50%
Ángulo de Apertura: 15°
DEYM: 48° ± 6,47°

Diagrama Cabeceo/Buzamiento

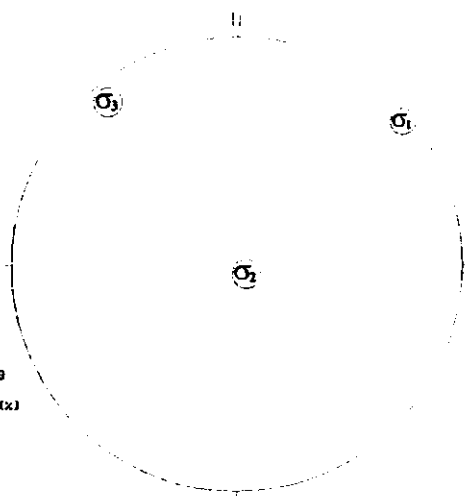


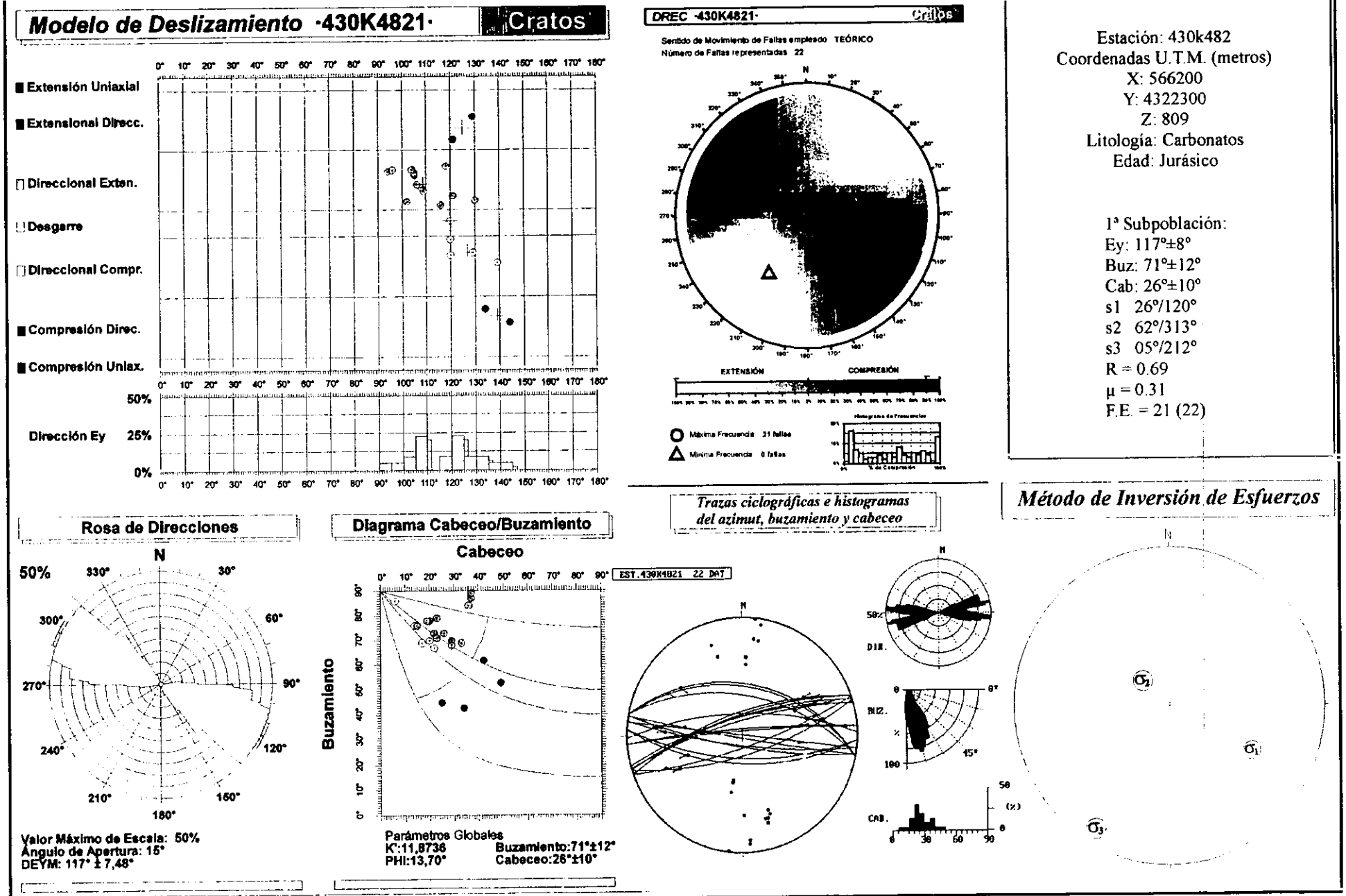
Parámetros Globales
K':-106,9667 Buzamiento:72°±09°
PHI:12,76° Cabeceo:24°±10°





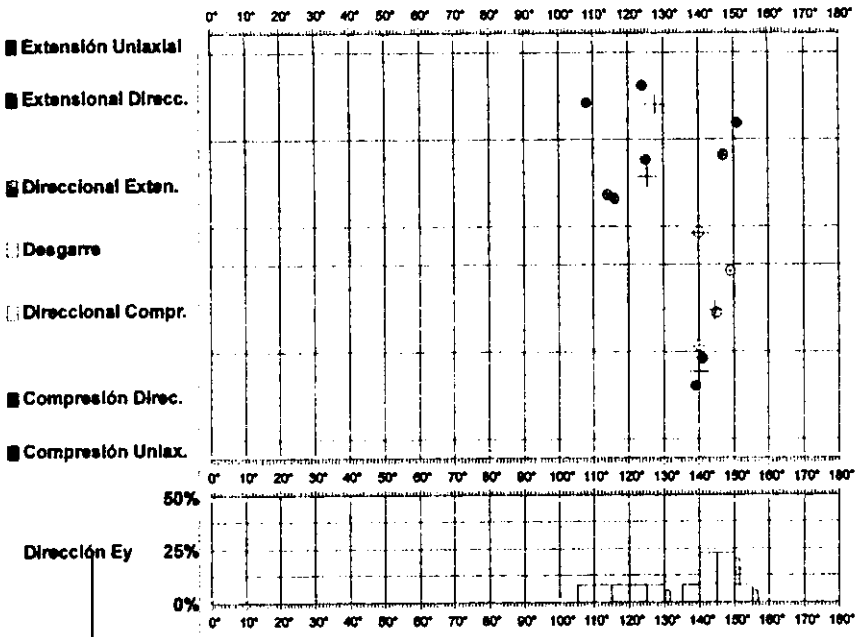
Método de Inversión de Esfuerzos

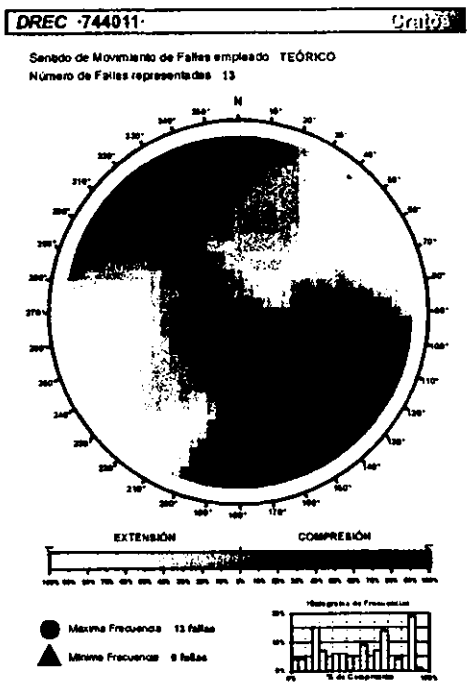



Modelo de Deslizamiento ·430K4821·
Cratos
Extensión Uniaxial
Extensional Direcc.
Direccional Exten.
Desgarre
Direccional Compr.
Compresión Direc.
Compresión Uniax.
Dirección Ey
50%
25%
0%
DREC ·430K4821·
Cratos
Sentido de Movimiento de Fallas empleado TEÓRICO
Número de Fallas representadas 22
EXTENSIÓN
COMPRESIÓN
Máxima Frecuencia 21 fallas
Mínima Frecuencia 0 fallas
Estación: 430k482
Coordenadas U.T.M. (metros)
X: 566200
Y: 4322300
Z: 809
Litología: Carbonatos
Edad: Jurásico
1ª Subpoblación:
Ey: 117°±8°
Buz: 71°±12°
Cab: 26°±10°
s1 26°/120°
s2 62°/313°
s3 05°/212°
R = 0.69
μ = 0.31
F.E. = 21 (22)
Trazas ciclográficas e histogramas del azimut, buzamiento y cabeceo
Método de Inversión de Esfuerzos
Rosa de Direcciones
Valor Máximo de Escala: 50%
Ángulo de Apertura: 15°
DEYM: 117° ± 7,48°
Diagrama Cabeceo/Buzamiento
Cabeceo
Buzamiento
EST.430K4821 22 DAT
Parámetros Globales
K':11,8736
PHI:13,70°
Buzamiento:71°±12°
Cabeceo:26°±10°

Modelo de Deslizamiento ·744011·

Cratos





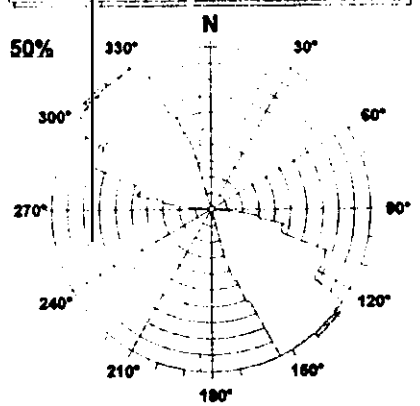
Estación: 744-01
Coordenadas U.T.M. (metros)
X: 642800
Y: 4352100
Z: 677
Litología: Carbonatos
Edad: Mioceno superior

1ª Subpoblación:	
Ey: 134°±6°	Ey: 134°±6°
Buz: 68°±11°	Buz: 68°±11°
Cab: 33°±13°	Cab: 33°±13°
s1 17°/148°	s1 64°/331°
s2 31°/249°	s2 22°/121°
s3 53°/033°	s3 11°/216°
R = 0.31	R = 0.31
μ = 0.31	μ = 0.71
F.E. = 5 (13)	F.E. = 7 (13)

Trazas ciclográficas e histogramas del azimut, buzamiento y cabeceo

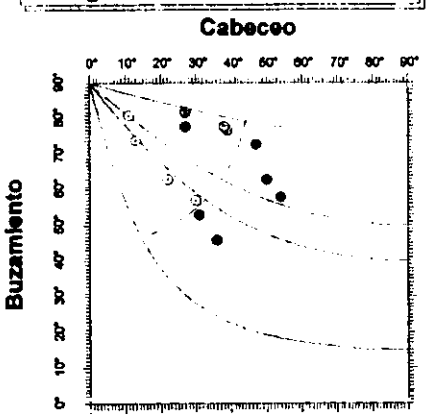
Método de Inversión de Esfuerzos

Rosa de Direcciones

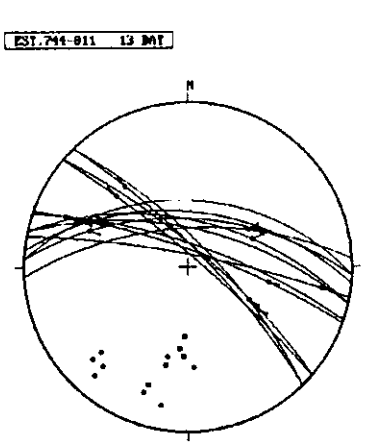


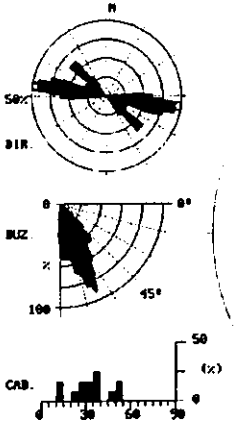
Valor Máximo de Escala: 50%
Ángulo de Apertura: 15°
DEYM: 134° ± 6,42°

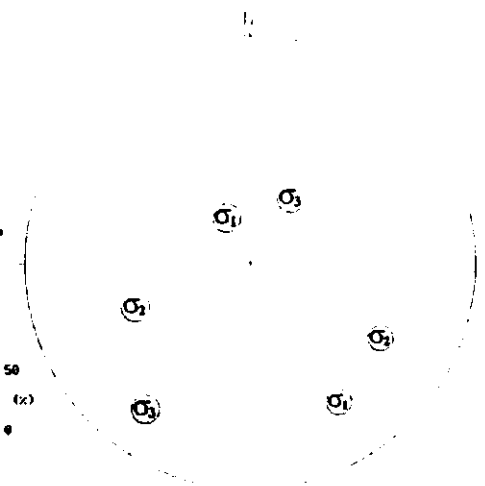
Diagrama Cabeceo/Buzamiento

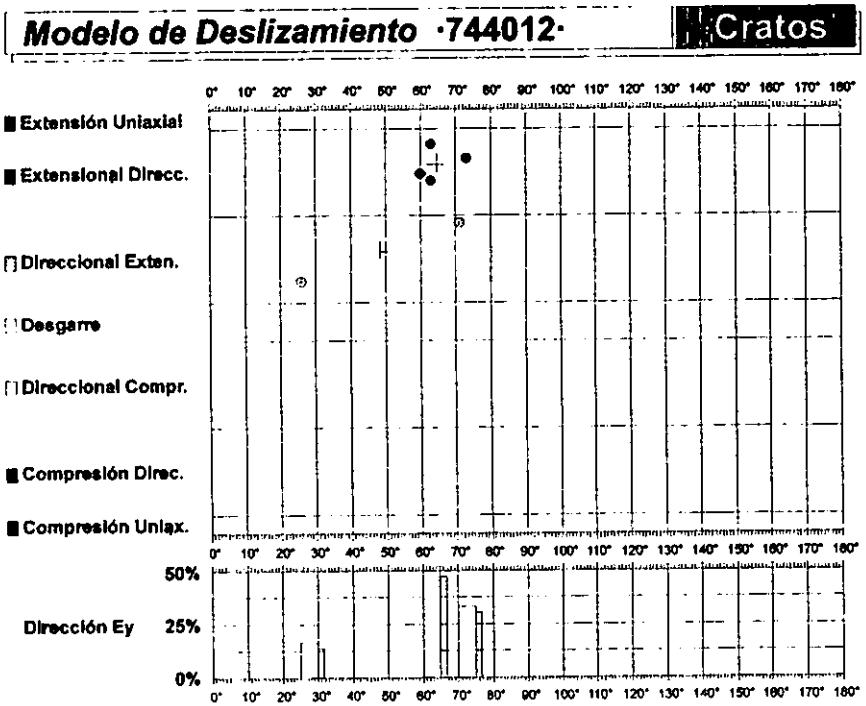


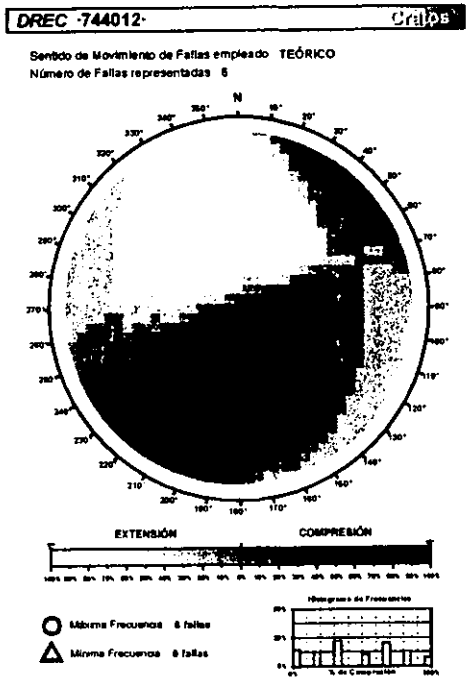
Parámetros Globales
K':2,4779 Buzamiento:68°±11°
PHI:16,86° Cabeceo:33°±13°









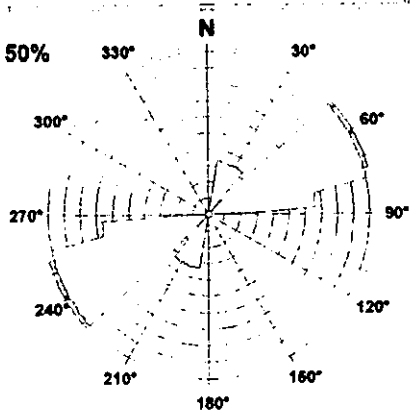


Estación: 744-01
Coordenadas U.T.M. (metros)
X: 642800
Y: 4352100
Z: 677
Litología: Carbonatos
Edad: Mioceno superior

2ª Subpoblación:
Ey: 060°±13°
Buz: 81°±5°
Cab: 50°±14°
s1 --°/---
s2 --°/---°
s3 --°/---°
R = ---
μ = ---
F.E. = 0 (6)

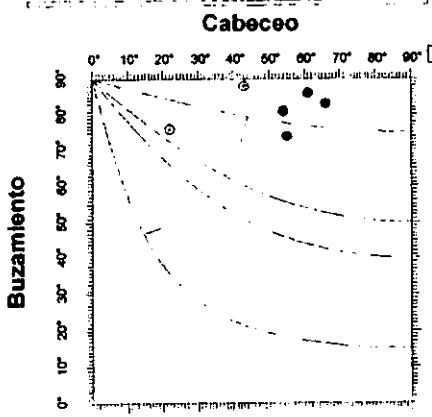
Trazas ciclográficas e histogramas del azimut, buzamiento y cabeceo

Rosa de Direcciones

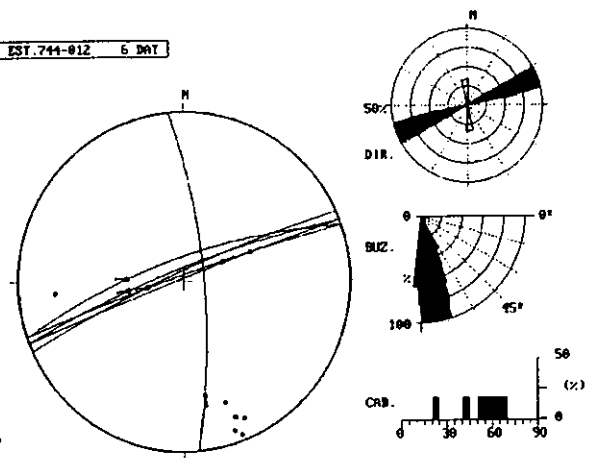


Valor Máximo de Escala: 50%
Ángulo de Apertura: 15°
DEYM: 61° ± 12,72°

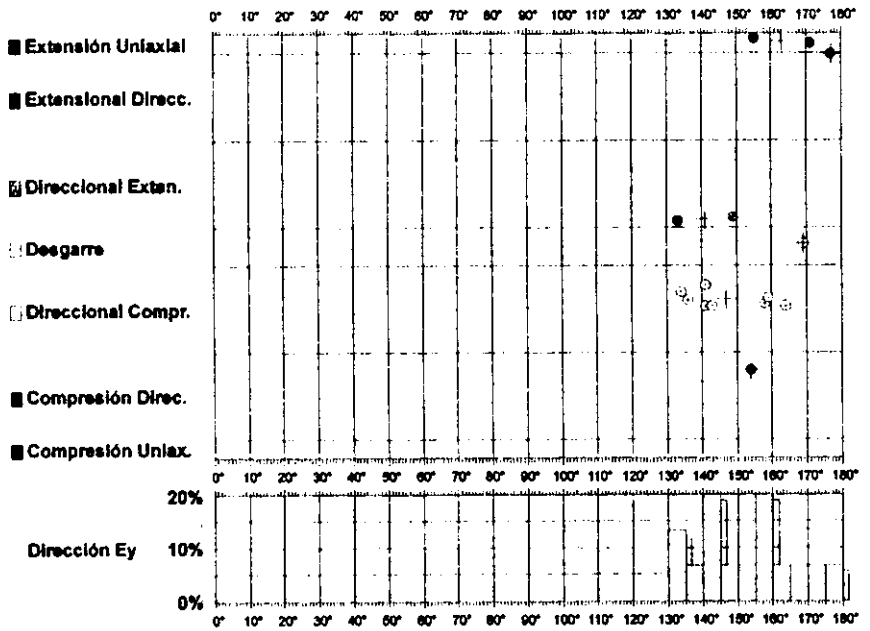
Diagrama Cabeceo/Buzamiento

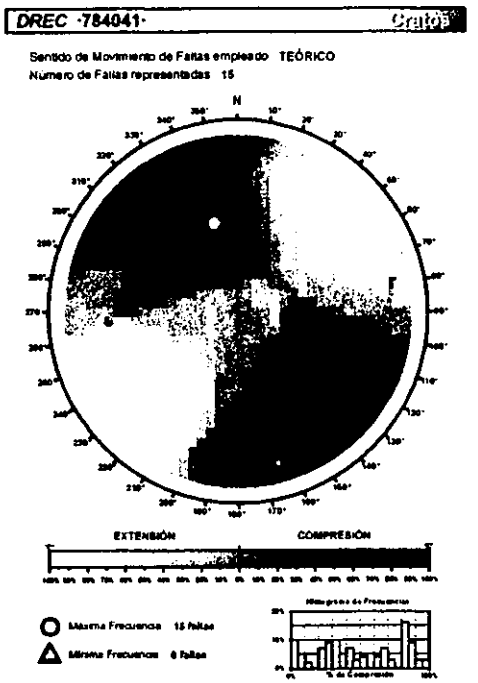


Parámetros Globales
K':1,5286
PHI:66,64°
Buzamiento:81°±05°
Cabeceo:50°±14°



Modelo de Deslizamiento ·784041· Cratos



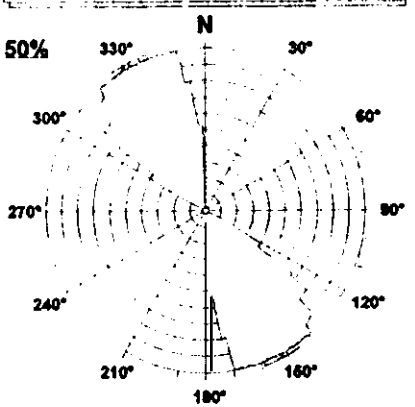


Estación: 784-04
Coordenadas U.T.M. (metros)
X: 408850
Y: 4315250
Z: 590
Litología: Carbonatos
Edad: Plioceno inferior

1ª Subpoblación:
Ey: 152°±7°
Buz: 68°±7°
Cab: 30°±24°
s1 23°/147°
s2 64°/349°
s3 08°/241°
R = 0.46
μ = 0.31
F.E. = 14 (15)

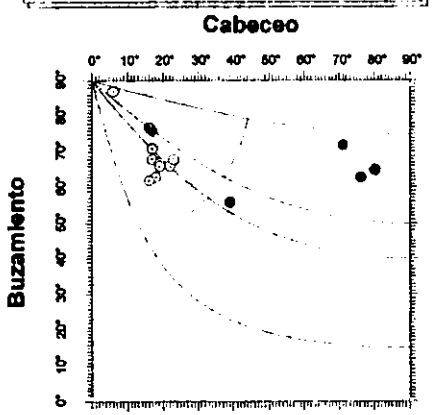
Trazas cicloográficas e histogramas del azimut, buzamiento y cabeceo

Rosa de Direcciones

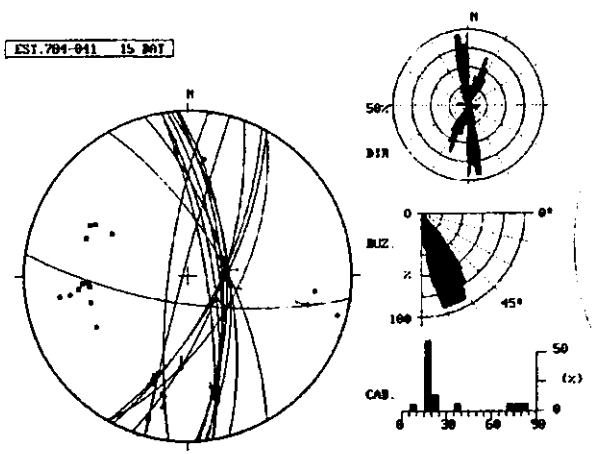


Valor Máximo de Escala: 50%
Ángulo de Apertura: 15°
DEYM: 152° ± 6,97°

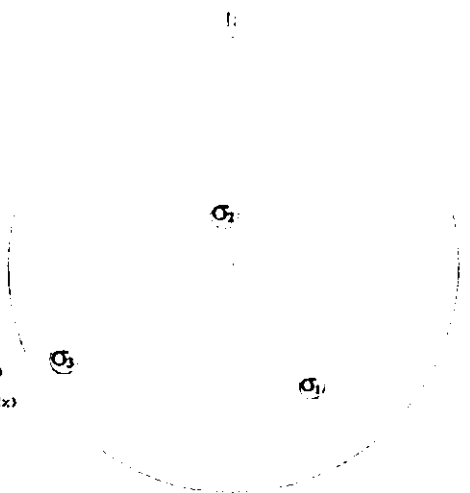
Diagrama Cabeceo/Buzamiento



Parámetros Globales
K':12,2281 Buzamiento:68°±07°
PHI:12,12° Cabeceo:30°±24°

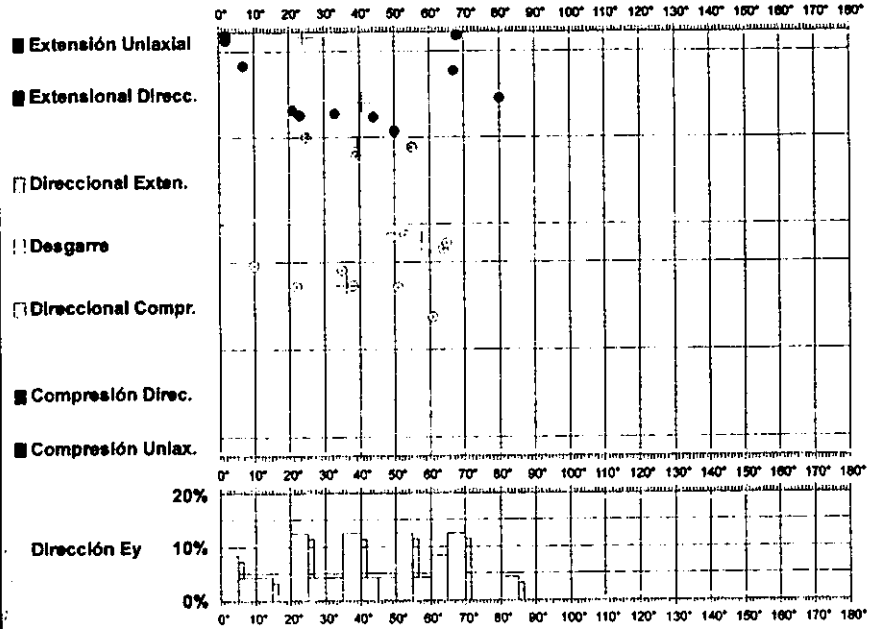


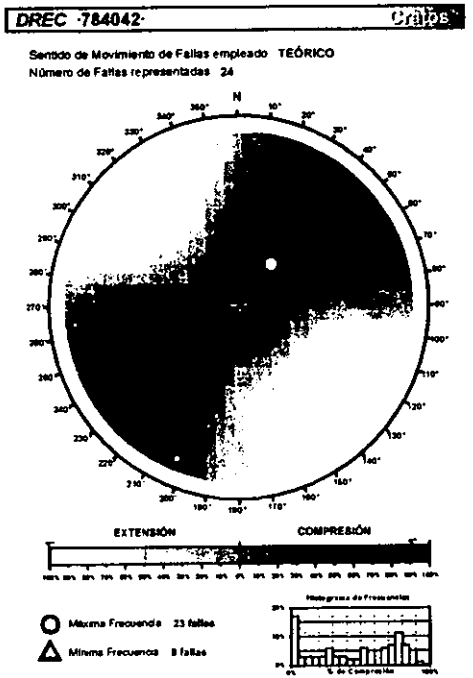
Método de Inversión de Esfuerzos



Modelo de Deslizamiento ·784042·

Cratos





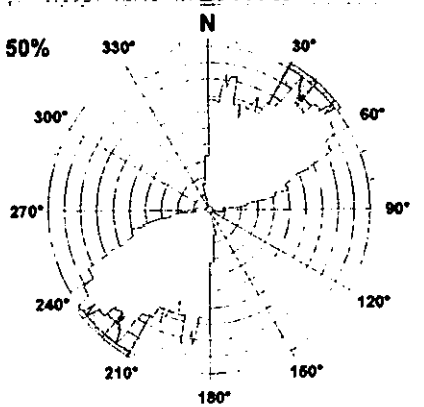
Estación: 784-04
Coordenadas U.T.M. (metros)
X: 408850
Y: 4315250
Z: 590
Litología: Carbonatos
Edad: Plioceno inferior

2ª Subpoblación:	
Ey: 041°±12°	Ey: 041°±12°
Buz: 69°±10°	Buz: 69°±10°
Cab: 36°±24°	Cab: 36°±24°
s1 84°/044°	s1 04°/211°
s2 05°/233°	s2 85°/029°
s3 00°/143°	s3 00°/121°
R = 0.48	R = 0.27
μ = 0.40	μ = 0.50
F.E. = 16 (24)	F.E. = 8 (24)

Trazas ciclográficas e histogramas del azimut, buzamiento y cabeceo

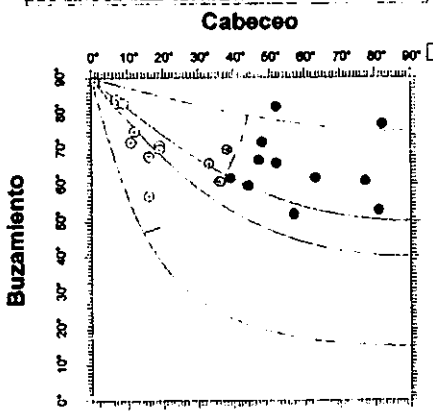
Método de Inversión de Esfuerzos

Rosa de Direcciones

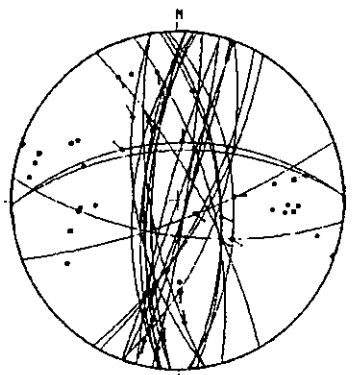


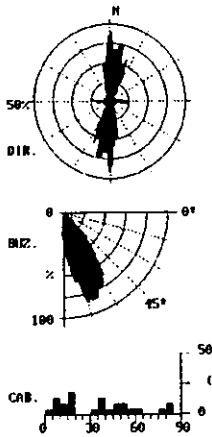
Valor Máximo de Escala: 50%
Ángulo de Apertura: 15°
DEYM: 41° ± 11,78°

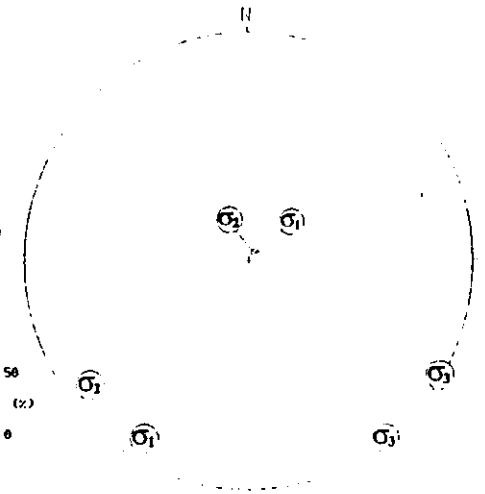
Diagrama Cabeceo/Buzamiento



Parámetros Globales
K':-87,6794 Buzamiento:69°±10°
PHI:23,70° Cabeceo:36°±24°

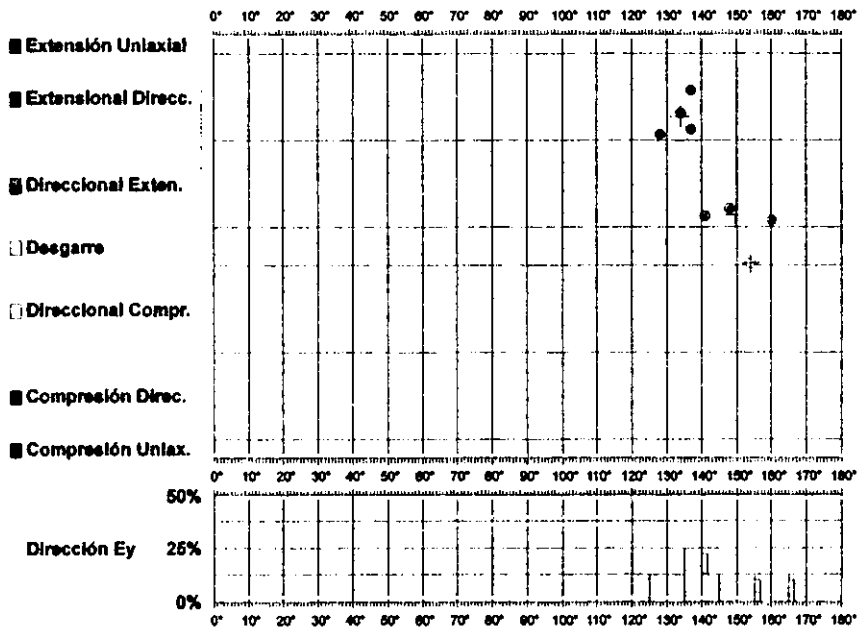


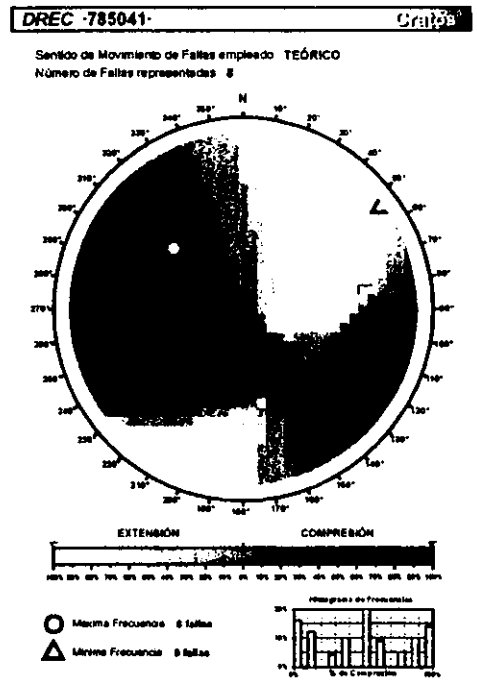




Modelo de Deslizamiento ·785041·

Cratos





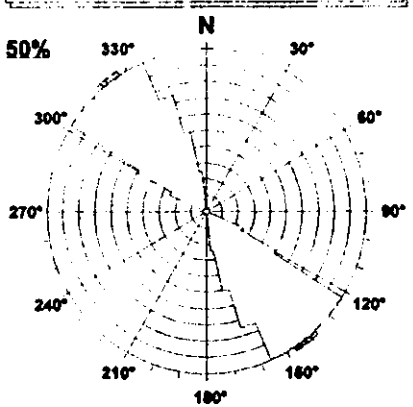
Estación: 785-04
Coordenadas U.T.M. (metros)
X: 446700
Y: 4299700
Z: 730
Litología: Colada lávica
Edad: Mioceno sup.-Pleistoceno inf.

1ª Subpoblación:
Ey: 142°±5°
Buz: 81°±4°
Cab: 34°±18°
s1 89°/048°
s2 00°/307°
s3 00°/217°
R = 0.38
μ = 0.71
F.E. = 5 (8)

Trazas cicloográficas e histogramas del azimut, buzamiento y cabeceo

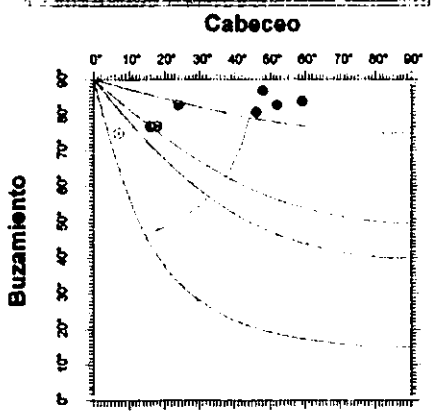
Método de Inversión de Esfuerzos

Rosa de Direcciones

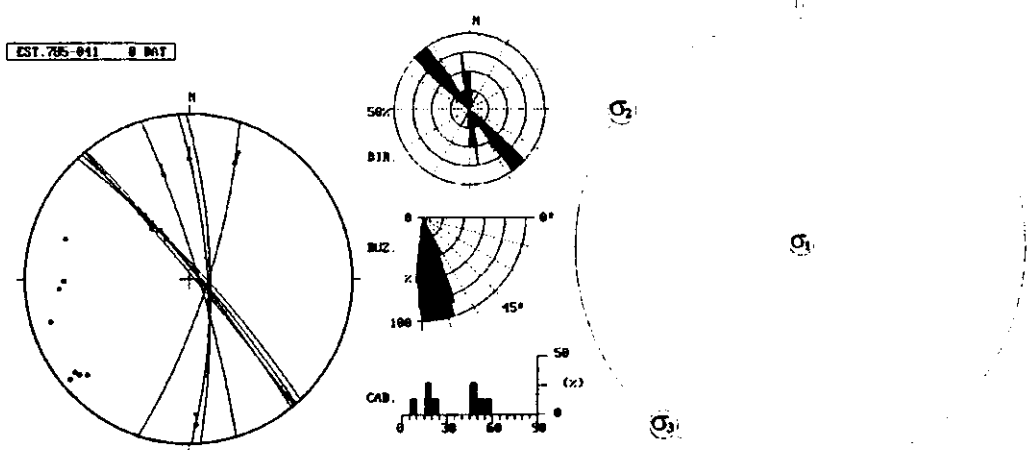


Valor Máximo de Escala: 50%
Ángulo de Apertura: 15°
DEYM: 142° ± 5,46°

Diagrama Cabeceo/Buzamiento

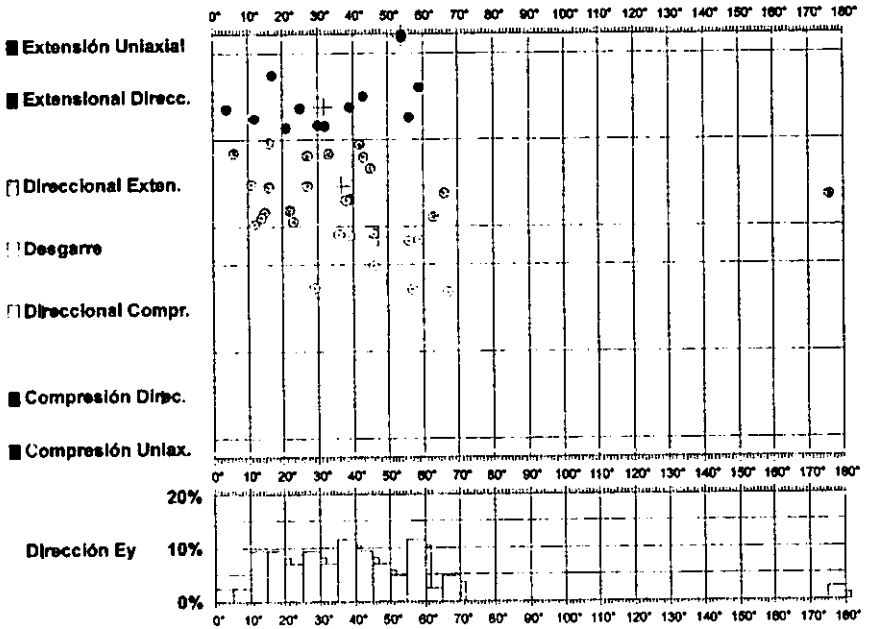


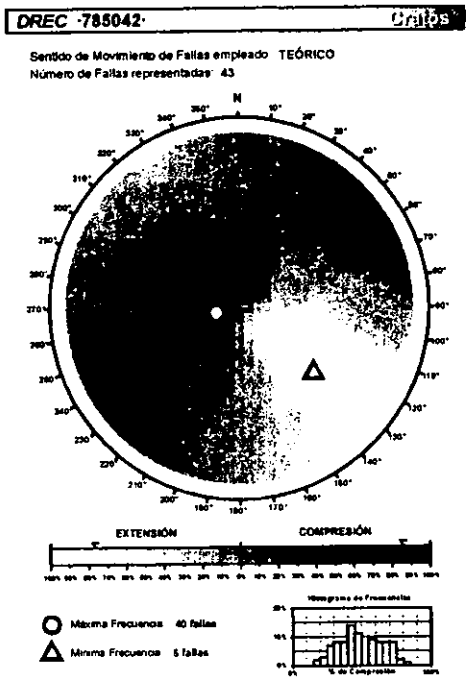
Parámetros Globales
K':-1,9188
PHI:58,37°
Buzamiento:81°±04°
Cabeceo:34°±18°



FACULTAD DE CIENCIAS - BIBLIOTECA - GEOLÓGICAS

Modelo de Deslizamiento ·785042· — Cratos



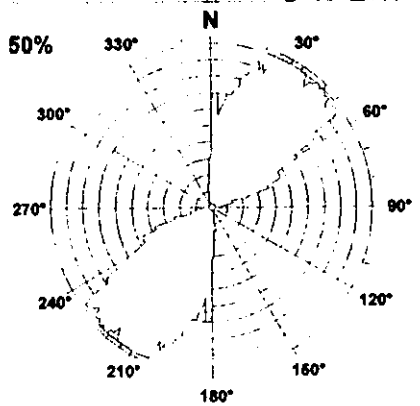


Estación: 785-04
Coordenadas U.T.M. (metros)
X: 446700
Y: 4299700
Z: 730
Litología: Colada lávica
Edad: Mioceno sup.-Pleistoceno inf.

2ª Subpoblación:	
Ey: 034°±10°	Ey: 034°±10°
Buz: 81°±6°	Buz: 81°±6°
Cab: 35°±19°	Cab: 35°±19°
s1 85°/230°	s1 00°/185°
s2 04°/050°	s2 80°/281°
s3 00°/320°	s3 09°/095°
R = 0.39	R = 0.67
μ = 0.71	μ = 0.31
F.E. = 23 (43)	F.E. = 9 (43)

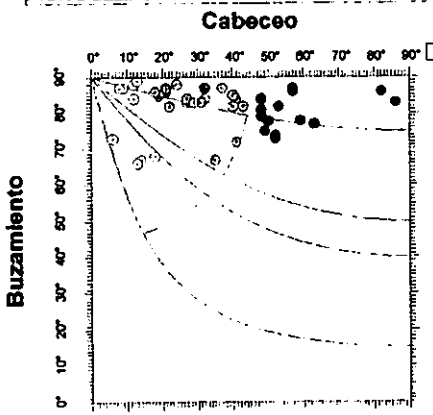
Trazas ciclográficas e histogramas del azimut, buzamiento y cabeceo

Rosa de Direcciones

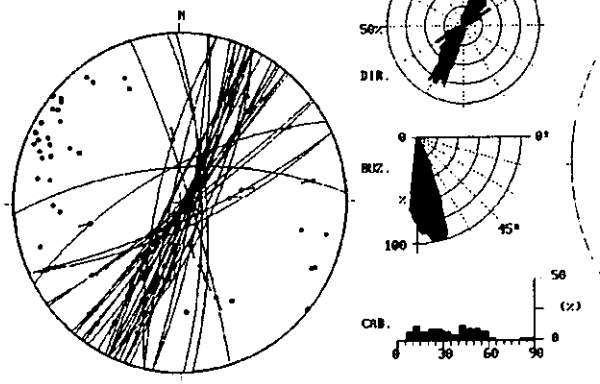


Valor Máximo de Escala: 50%
Ángulo de Apertura: 15°
DEYM: 34° ± 9,67°

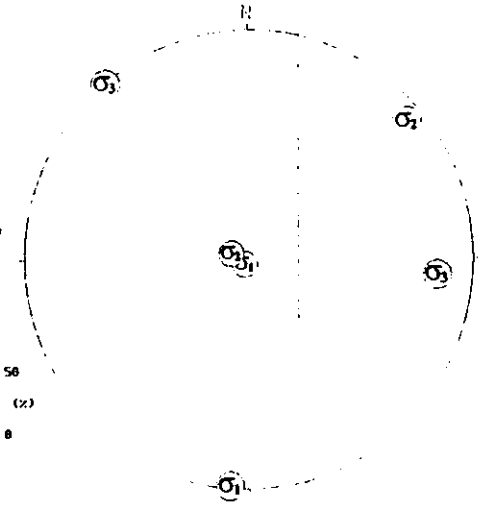
Diagrama Cabeceo/Buzamiento



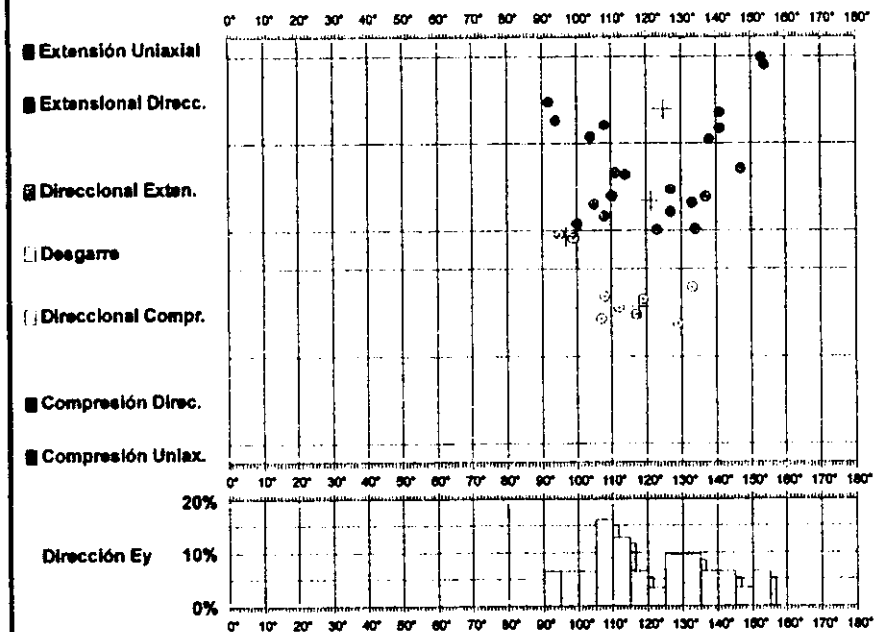
Parámetros Globales
K':5,1055 Buzamiento:81°±06°
PHI:59,13° Cabeceo:35°±19°

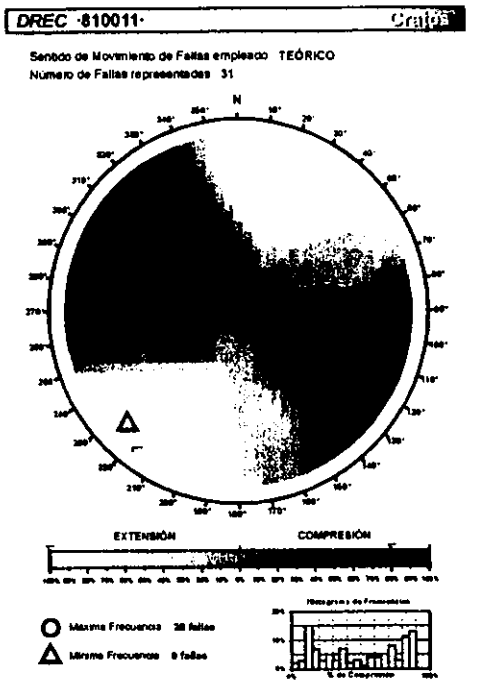


Método de Inversión de Esfuerzos



Modelo de Deslizamiento ·810011· — Cratos





Estación: 810-01
Coordenadas U.T.M. (metros)
X: 403500
Y: 4296900
Z: 750
Litología: Colada lávica
Edad: Mioceno sup.-Pleistoceno inf.

1ª Subpoblación:	
Ey: 120°±9°	Ey: 120°±9°
Buz: 75°±9°	Buz: 75°±9°
Cab: 31°±16°	Cab: 31°±16°
s1 36°/111°	s1 78°/342°
s2 53°/286°	s2 11°/144°
s3 02°/019°	s3 03°/234°
R = 0.61	R = 0.62
μ = 0.31	μ = 0.31
F.E. = 21 (31)	F.E. = 9 (31)

Trazas cicloográficas e histogramas del azimut, buzamiento y cabeceo

Método de Inversión de Esfuerzos

Rosa de Direcciones

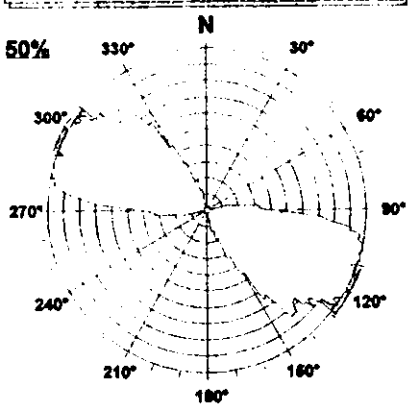
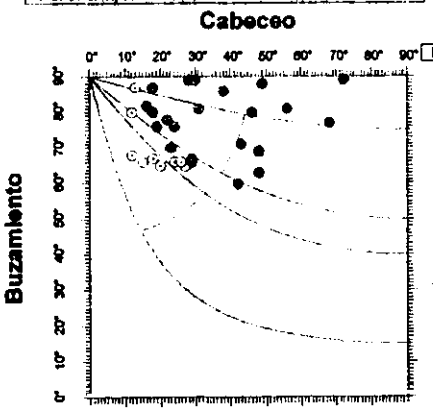
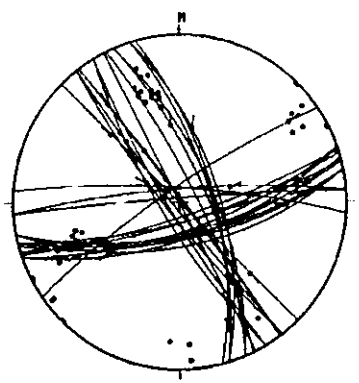
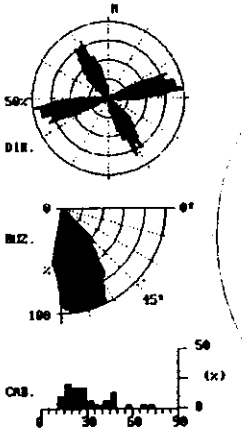
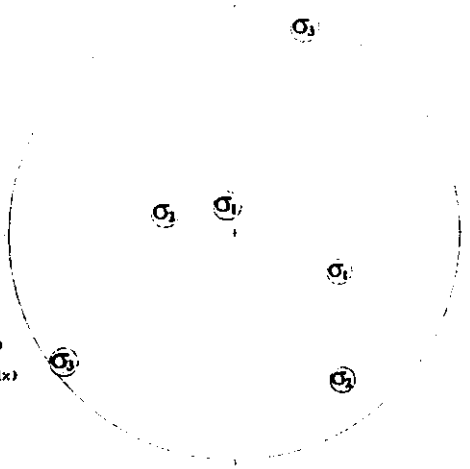


Diagrama Cabeceo/Buzamiento

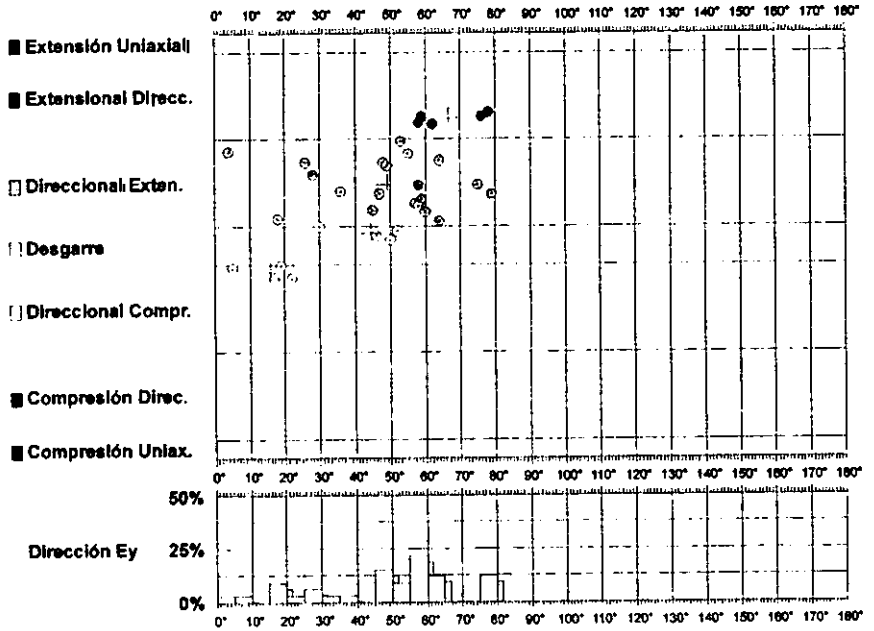


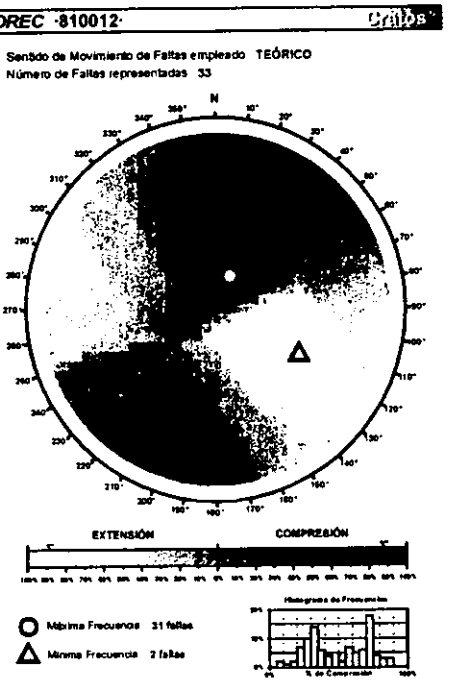






Modelo de Deslizamiento ·810012· Cratos





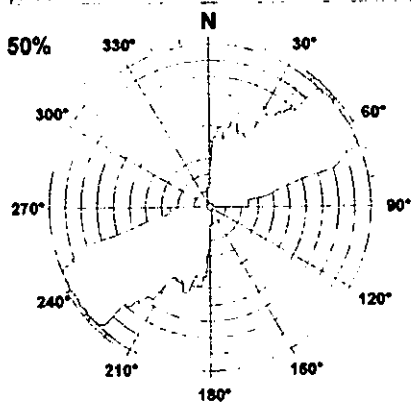
Estación: 810-01
Coordenadas U.T.M. (metros)
X: 403500
Y: 4296900
Z: 750
Litología: Colada lávica
Edad: Mioceno sup.-Pleistoceno inf.

2ª Subpoblación:	
Ey: 048°±12°	Ey: 048°±12°
Buz: 81°±6°	Buz: 81°±6°
Cab: 29°±13°	Cab: 29°±13°
s1 64°/025°	s1 81°/271°
s2 25°/195°	s2 08°/071°
s3 04°/287°	s3 02°/161°
R = 0.62	R = 0.42
μ = 0.31	μ = 1.41
F.E. = 20 (33)	F.E. = 11 (33)

Trazas ciclográficas e histogramas del azimut, buzamiento y cabeceo

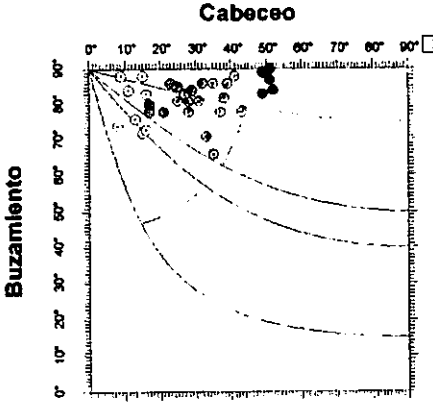
Método de Inversión de Esfuerzos

Rosa de Direcciones

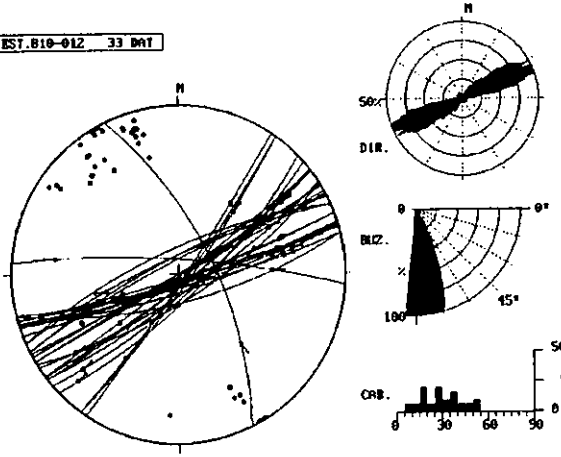


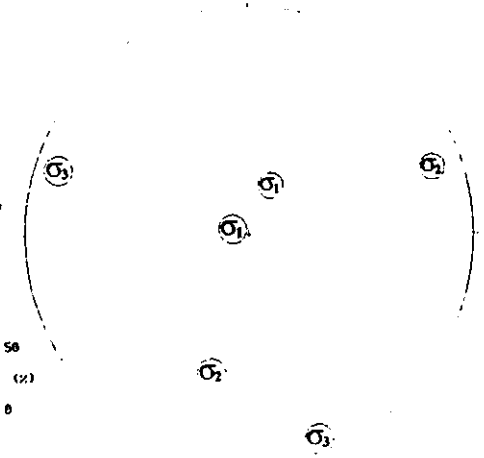
Valor Máximo de Escala: 50%
Ángulo de Apertura: 16°
DEYM: 48° ± 12,29°

Diagrama Cabeceo/Buzamiento

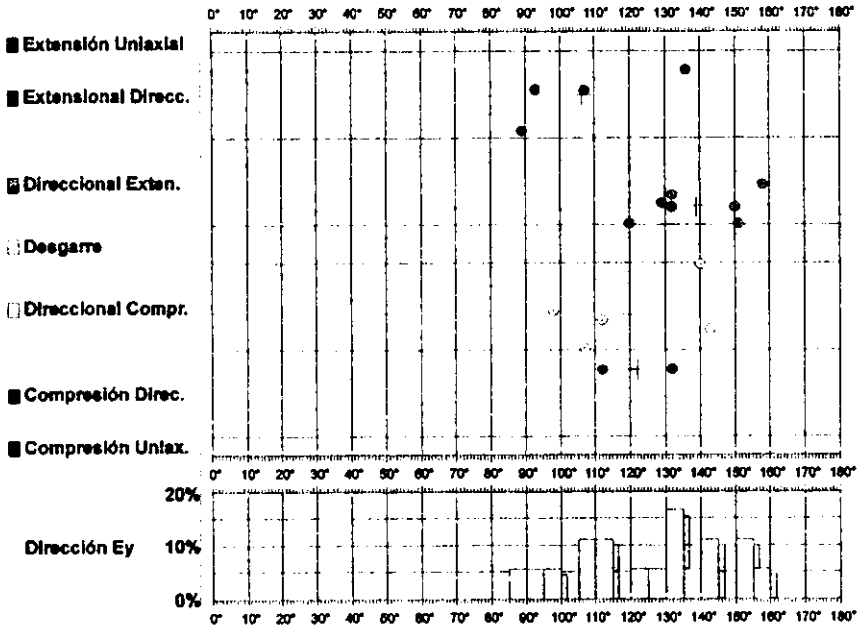


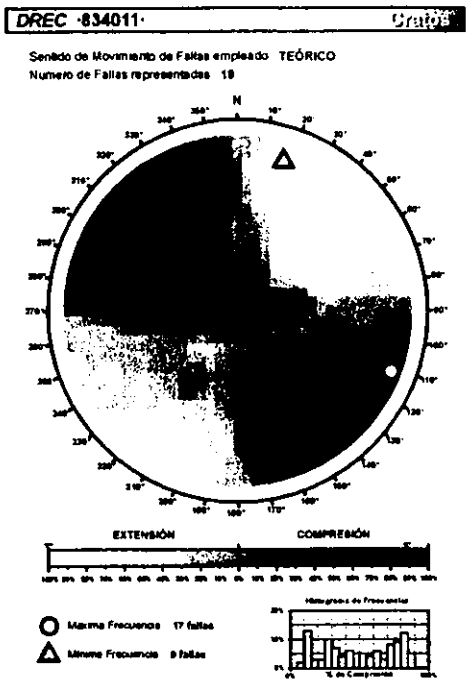
Parámetros Globales
K':4,0373 Buzamiento:81°±06°
PHI:63,81° Cabeceo:29°±13°





Modelo de Deslizamiento ·834011· — Cratos





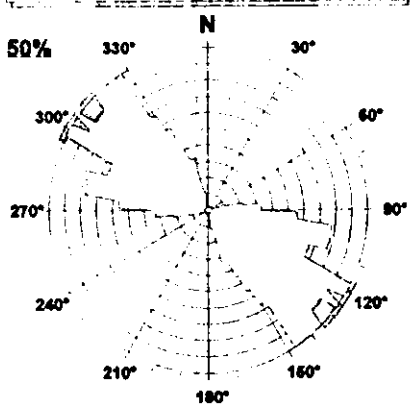
Estación: 834-01
Coordenadas U.T.M. (metros)
X: 352100
Y: 4271200
Z: 643
Litología: Basamento hercínico
Edad: Paleozoico

1ª Subpoblación:
Ey: 125°±10°
Buz: 67°±10°
Cab: 28°±17°
s1 49°/144°
s2 38°/303°
s3 10°/041°
R = 0.64
μ = 0.31
F.E. = 13 (18)

Trazas ciclográficas e histogramas del azimut, buzamiento y cabeceo

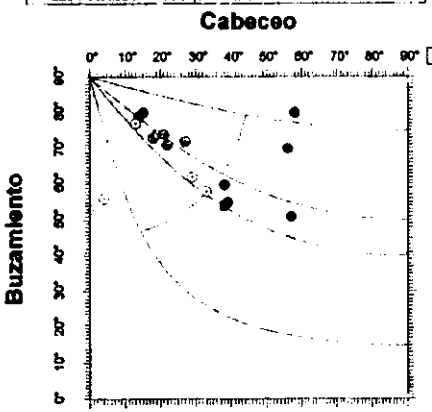
Método de Inversión de Esfuerzos

Rosa de Direcciones

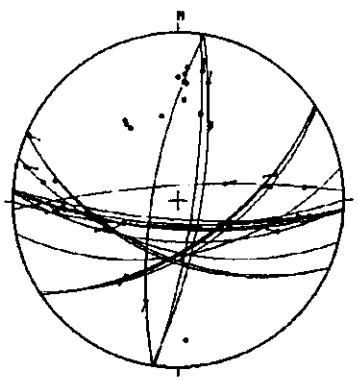


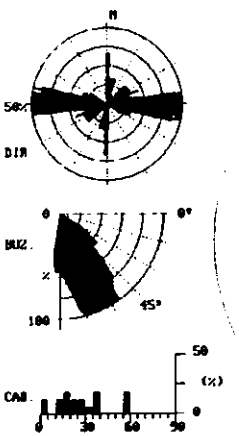
Valor Máximo de Escala: 50%
Angulo de Apertura: 15°
DEYM: 125° ± 10,16°

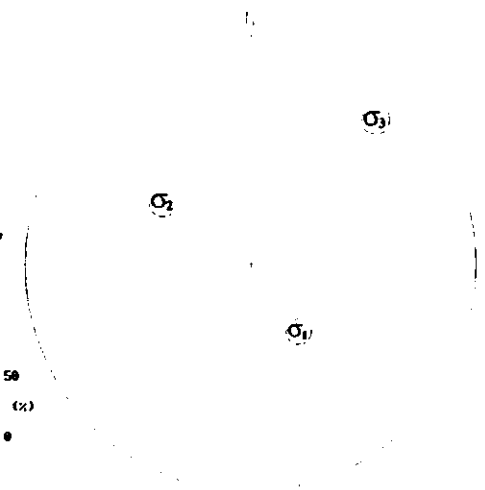
Diagrama Cabeceo/Buzamiento



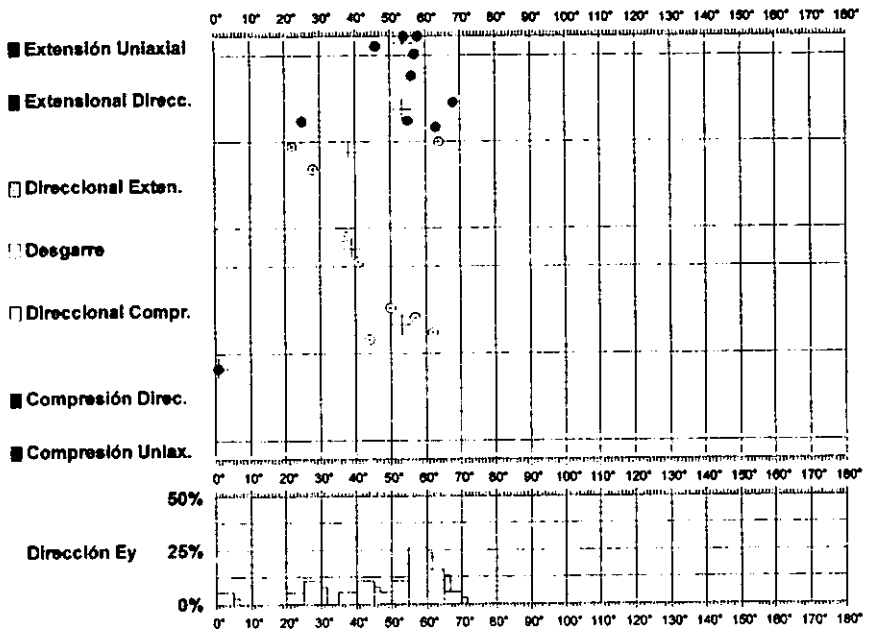
Parámetros Globales
K':0,0832 Buzamiento:67°±10°
PHI:05,76° Cabeceo:28°±17°

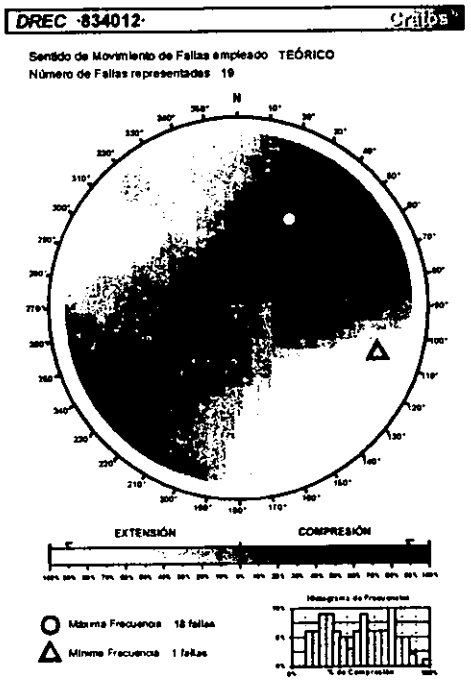






Modelo de Deslizamiento ·834012· — Cratos

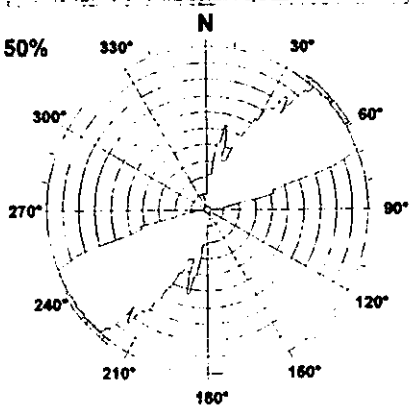




Estación: 834-01
Coordenadas U.T.M. (metros)
X: 352100
Y: 4271200
Z: 643
Litología: Basamento hercínico
Edad: Paleozoico

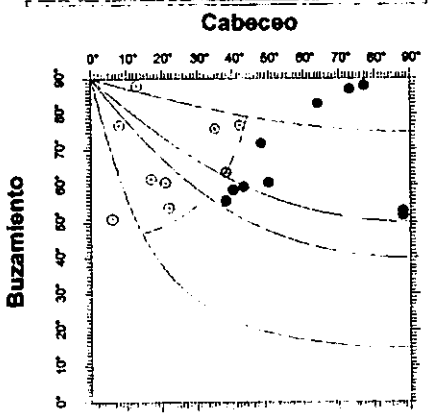
2ª Subpoblación:
Ey: 048°±11°
Buz: 67°±13°
Cab: 43°±25°
s1 81°/351°
s2 05°/223°
s3 06°/132°
R = 0.69
μ = 0.31
F.E. = 8 (19)

Rosa de Direcciones



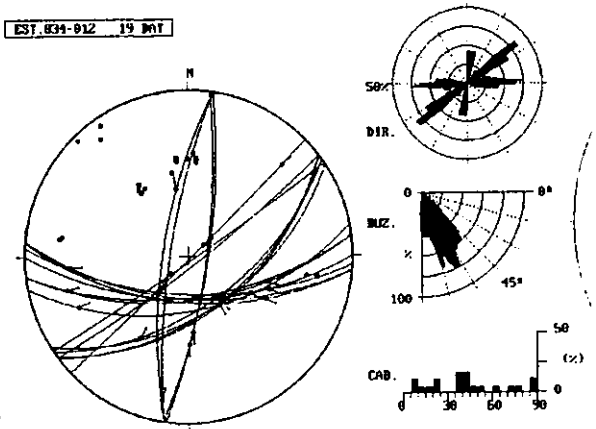
Valor Máximo de Escala: 50%
Angulo de Apertura: 15°
DEYM: 48° ± 10,62°

Diagrama Cabeceo/Buzamiento

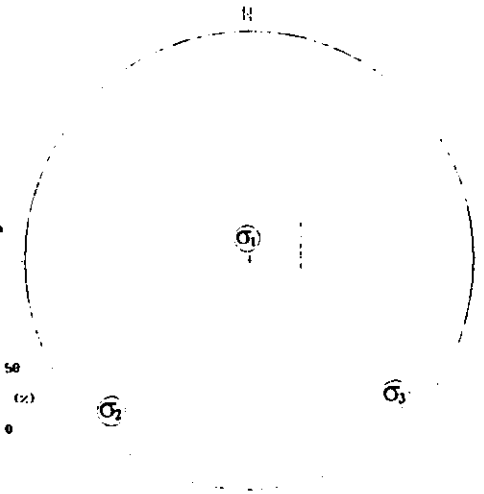


Parámetros Globales
K':2,2869
PHI:26,20°
Buzamiento:67°±13°
Cabeceo:43°±25°

Trazas ciclográficas e histogramas del azimut, buzamiento y cabeceo

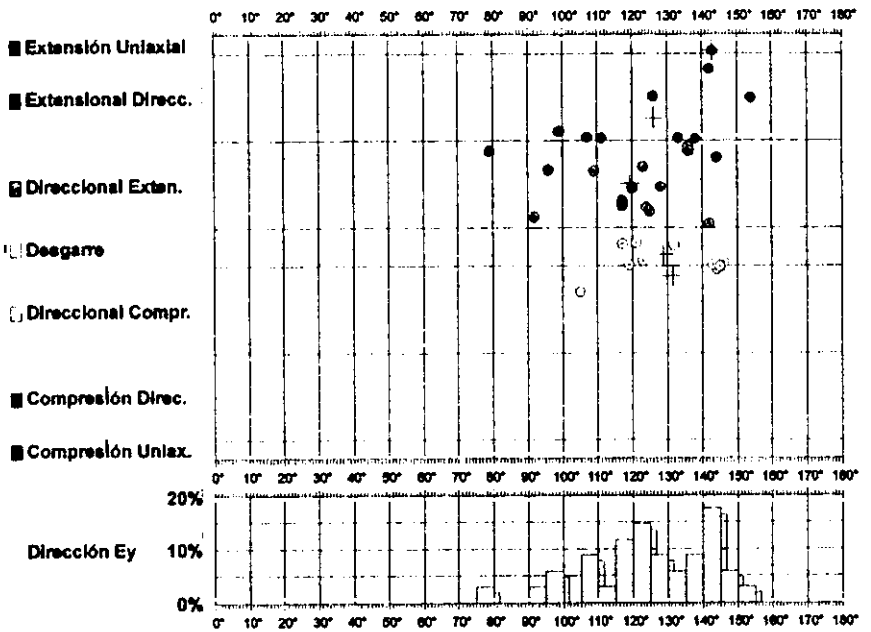


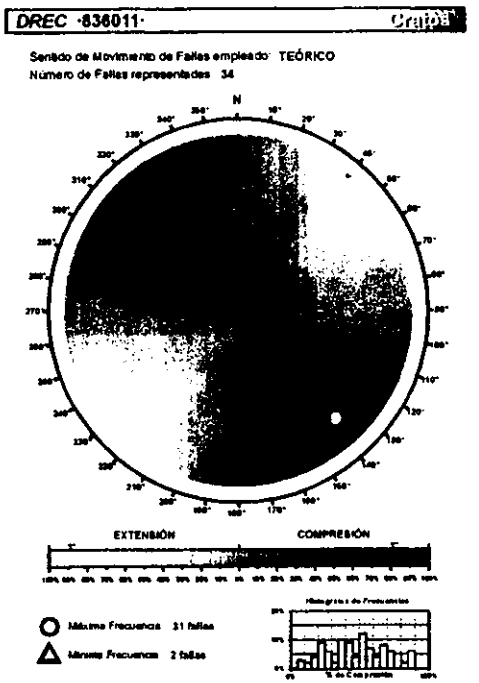
Método de Inversión de Esfuerzos



Modelo de Deslizamiento ·836011·

Cratos





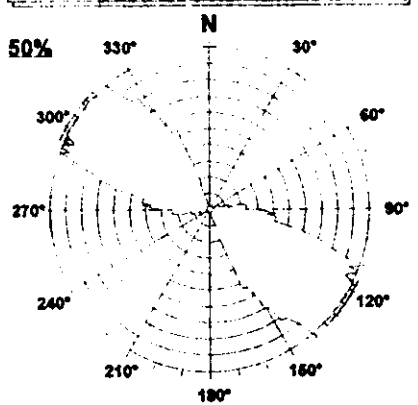
Estación: 836-01
Coordenadas U.T.M. (metros)
X: 403000
Y: 4265500
Z: 667
Litología: Colada lávica
Edad: Mioceno sup.-Pleistoceno inf.

1ª Subpoblación:
Ey: 125°±11°
Buz: 80°±6°
Cab: 30°±18°
s1 66°/118°
s2 22°/316°
s3 06°/223°
R = 0.58
μ = 0.40
F.E. = 31 (34)

Trazas ciclográficas e histogramas del azimut, buzamiento y cabeceo

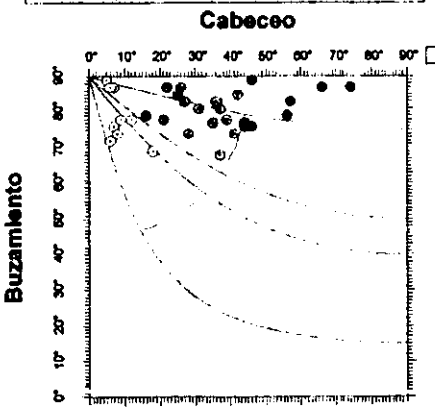
Método de Inversión de Esfuerzos

Rosa de Direcciones

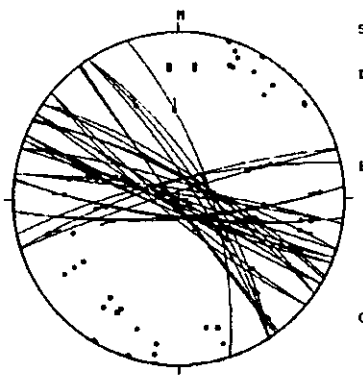


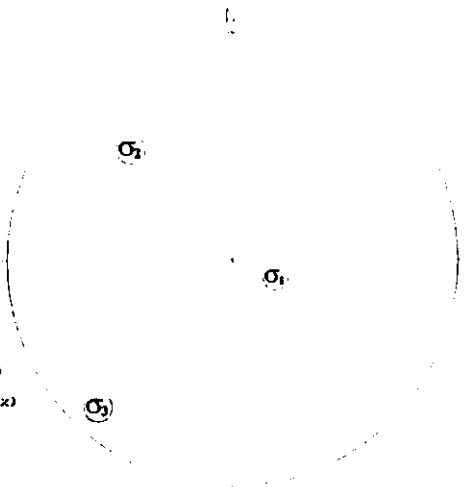
Valor Máximo de Escala: 50%
Ángulo de Apertura: 15°
DEYM: 125° ± 10,47°

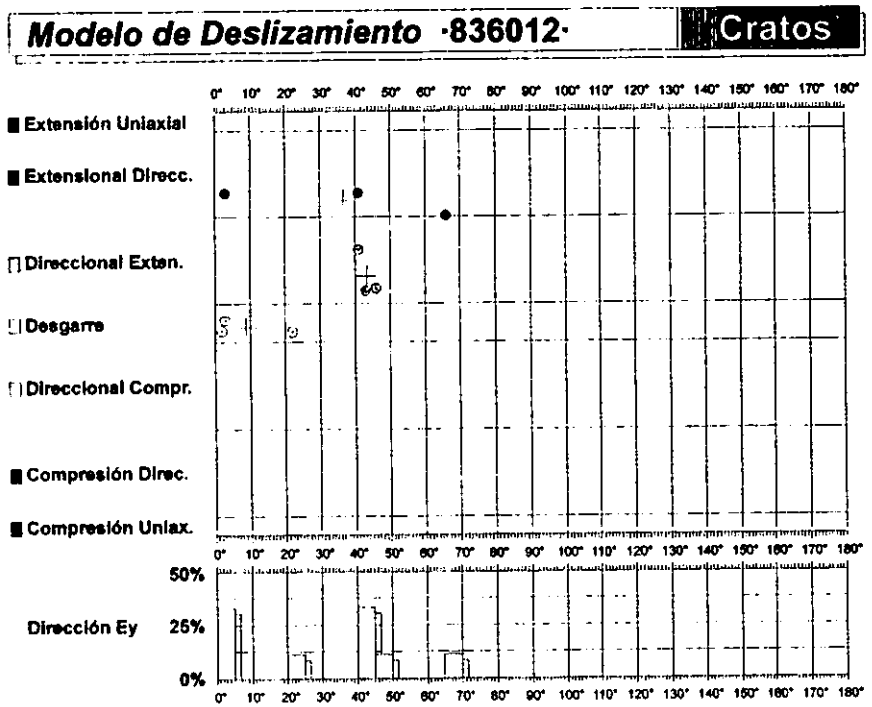
Diagrama Cabeceo/Buzamiento

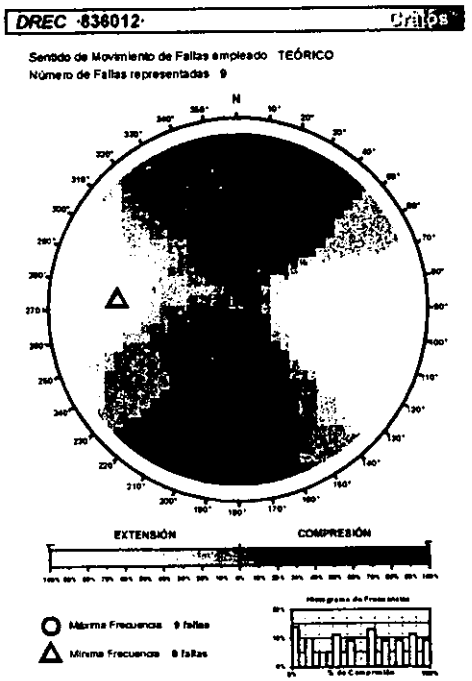


Parámetros Globales
K':7,8725
PHI:51,15°
Buzamiento:80°±06°
Cabeceo:30°±18°







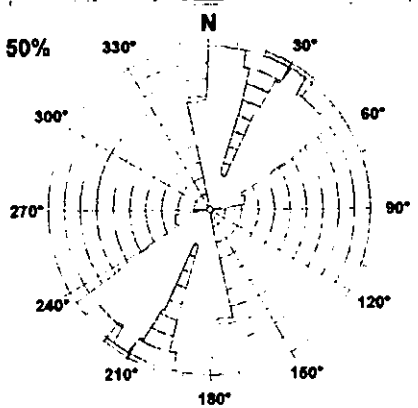


Estación: 836-01
Coordenadas U.T.M. (metros)
X: 403000
Y: 4265500
Z: 667
Litología: Colada lávica
Edad: Mioceno sup.-Pleistoceno inf.

2ª Subpoblación:
Ey: 030°±10°
Buz: 81°±6°
Cab: 26°±18°
s1 54°/192°
s2 35°/012°
s3 00°/102°
R = 0.61
μ = 0.31
F.E. = 7 (9)

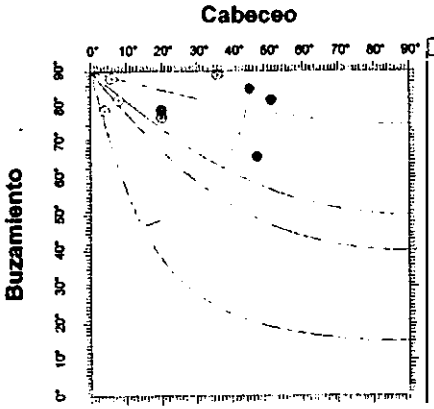
Trazas cicloográficas e histogramas del azimut, buzamiento y cabeceo

Rosa de Direcciones

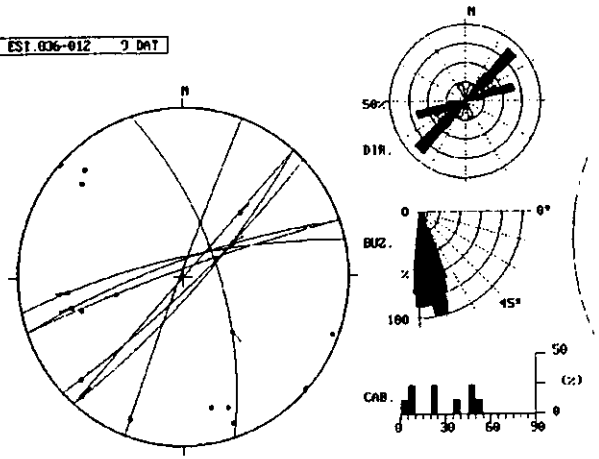


Valor Máximo de Escala: 50%
Ángulo de Apertura: 15°
DEYM: 30° ± 9,86°

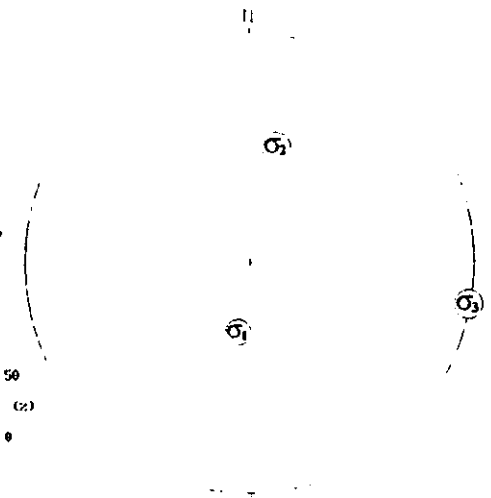
Diagrama Cabeceo/Buzamiento



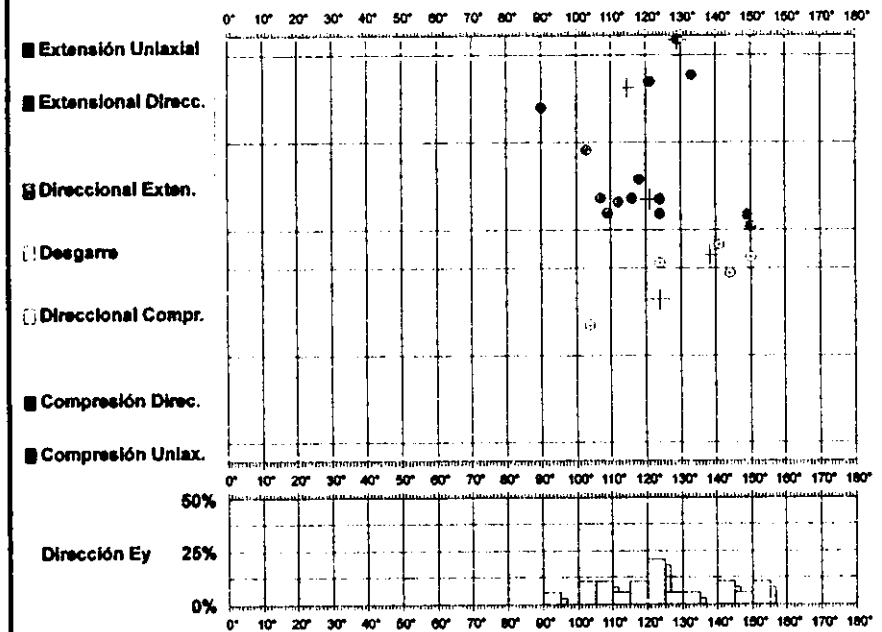
Parámetros Globales
K':16,3180
PHI:50,27°
Buzamiento:81°±06°
Cabeceo:26°±18°

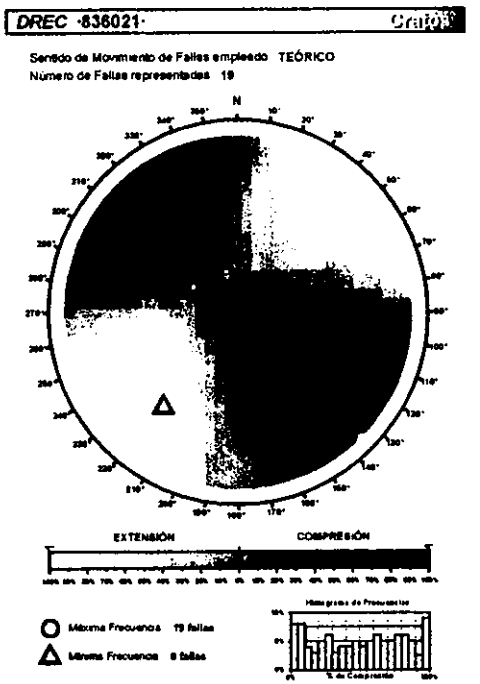


Método de Inversión de Esfuerzos



Modelo de Deslizamiento ·836021· — Cratos



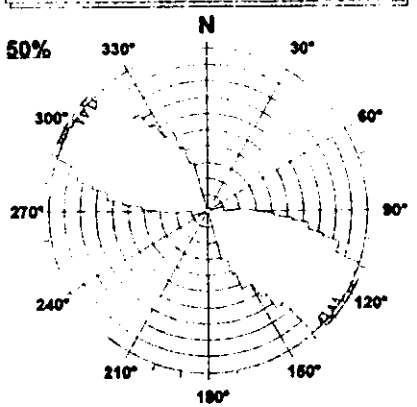


Estación: 836-02
Coordenadas U.T.M. (metros)
X: 403500
Y: 4280200
Z: 665
Litología: Colada lávica
Edad: Mioceno sup.-Pleistoceno inf.

1ª Subpoblación:
Ey: 124°±10°
Buz: 77°±6°
Cab: 30°±20°
s1 85°/137°
s2 04°/312°
s3 00°/042°
R = 0.61
μ = 0.31
F.E. = 13 (19)

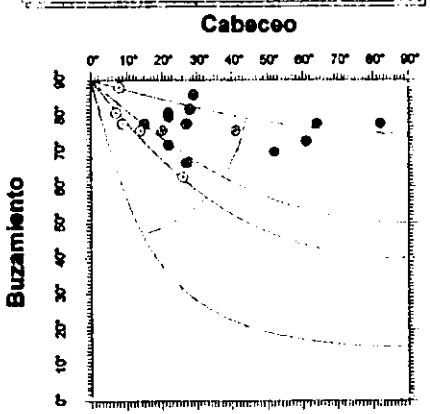
Trazas cicloográficas e histogramas del azimut, buzamiento y cabeceo

Rosa de Direcciones

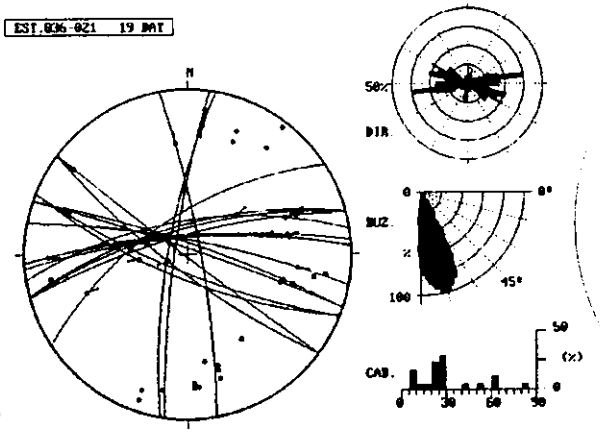


Valor Máximo de Escala: 50%
Ángulo de Apertura: 15°
DEYM: 124° ± 10,14°

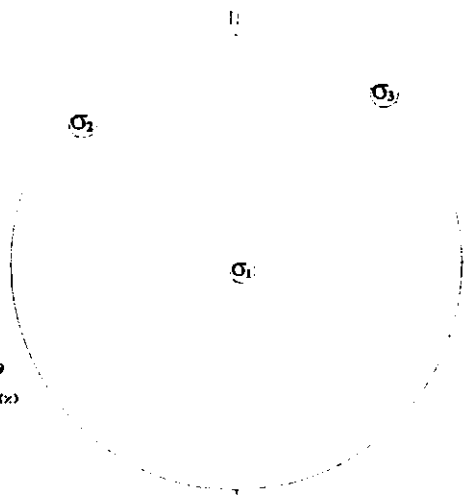
Diagrama Cabeceo/Buzamiento



Parámetros Globales
K':5,5927
PHI:40,43°
Buzamiento:77°±06°
Cabeceo:30°±20°

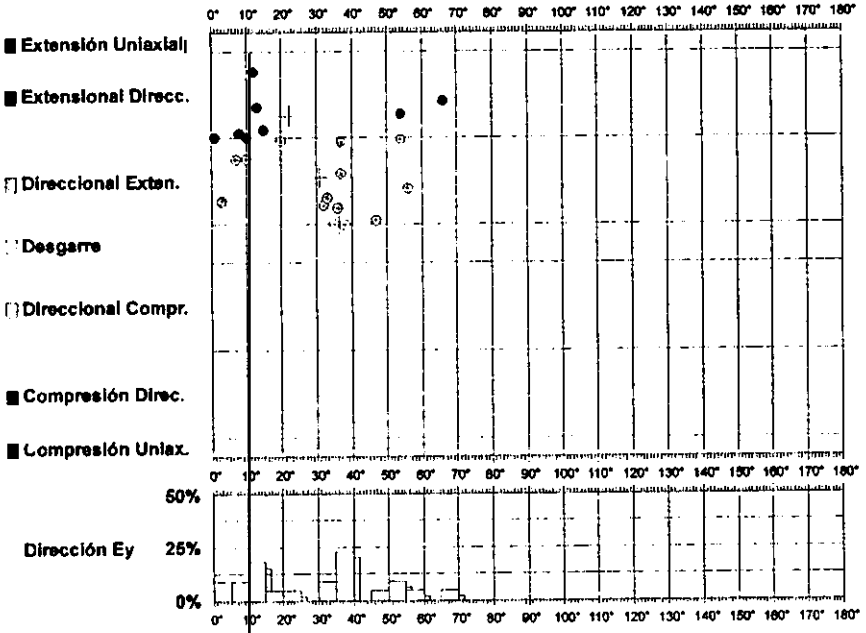


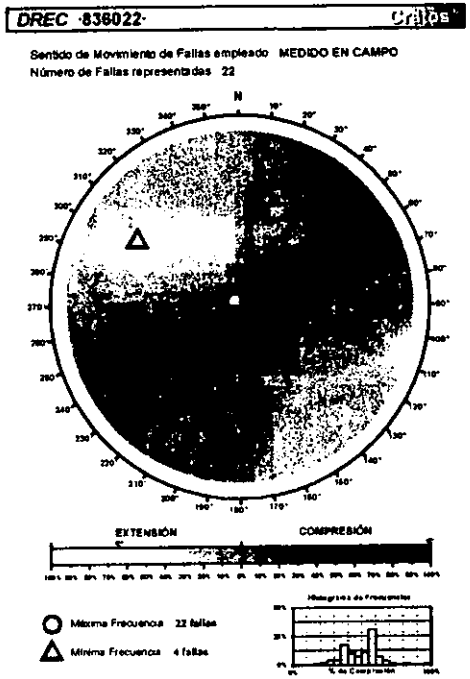
Método de Inversión de Esfuerzos



Modelo de Deslizamiento ·836022·

Cratos





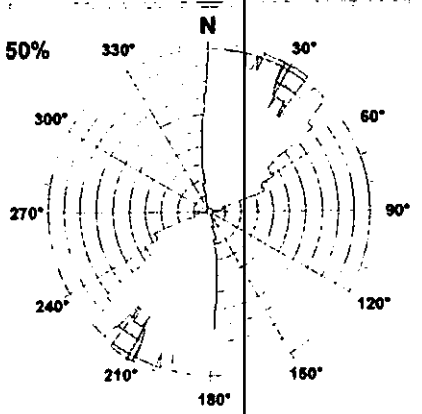
Estación: 836-02
Coordenadas U.T.M. (metros)
X: 403500
Y: 4280200
Z: 665
Litología: Colada lávica
Edad: Mioceno sup.-Pleistoceno inf.

2ª Subpoblación:	
Ey: 028°±9°	Ey: 028°±9°
Buz: 81°±5°	Buz: 81°±5°
Cab: 37°±13°	Cab: 37°±13°
s1 74°/011°	s1 86°/340°
s2 12°/228°	s2 03°/180°
s3 08°/136°	s3 01°/090°
R = 0.13	R = 0.26
μ = 0.40	μ = 1.41
F.E. = 16 (22)	F.E. = 5 (22)

Trazas ciclográficas e histogramas del azimut, buzamiento y cabeceo

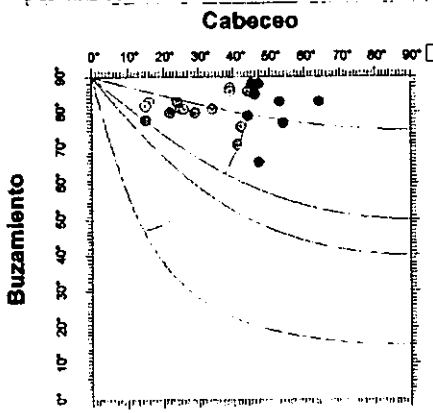
Método de Inversión de Esfuerzos

Rosa de Direcciones

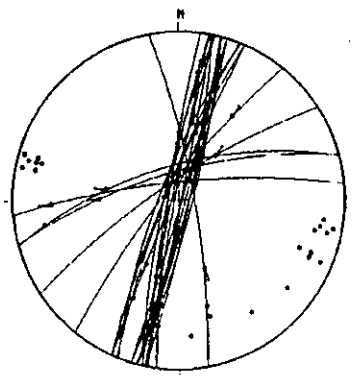


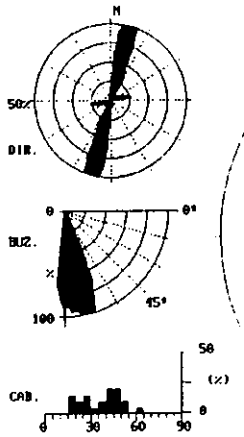
Valor Máximo de Escala: 50%
Ángulo de Apertura: 15°
DEYM: 28° ± 8,97°

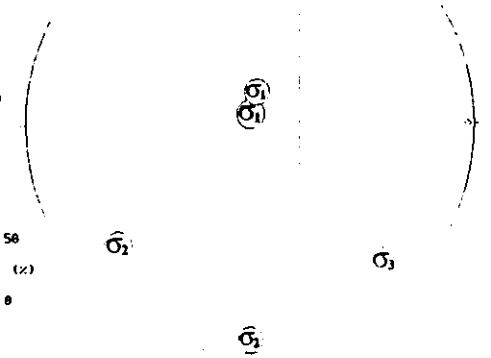
Diagrama Cabeceo/Buzamiento



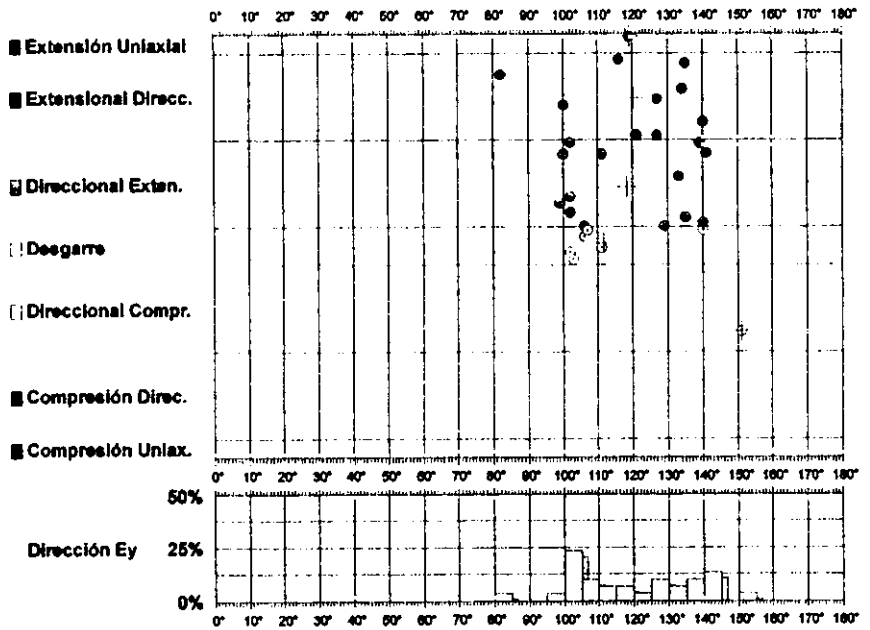
Parámetros Globales
K':4,7435
PHI:60,51°
Buzamiento:81°±05°
Cabeceo:37°±13°

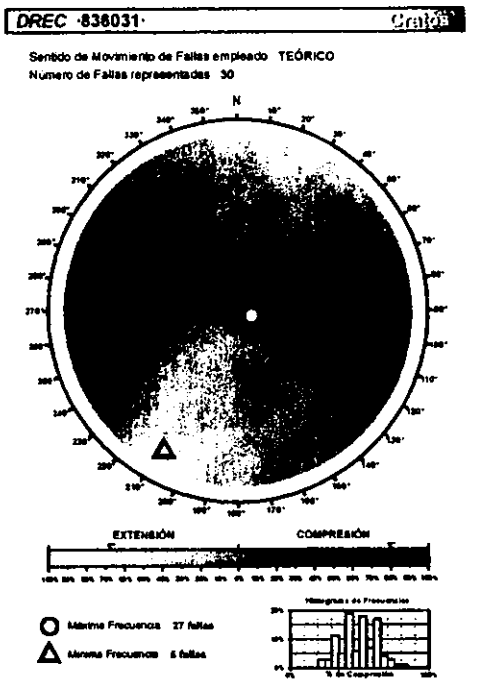






Modelo de Deslizamiento ·836031· — Cratos



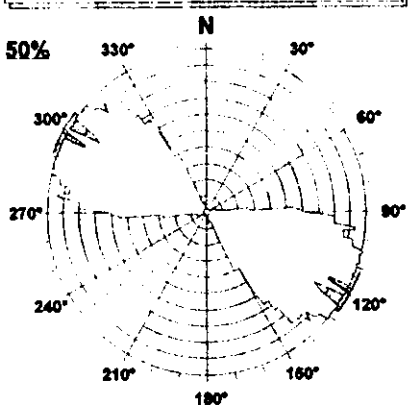


Estación: 836-03
Coordenadas U.T.M. (metros)
X: 405900
Y: 4280500
Z: 650
Litología: Colada lávica
Edad: Mioceno sup.-Pleistoceno inf.

1ª Subpoblación:
Ey: 119°±8°
Buz: 80°±7°
Cab: 35°±21°
s1 87°/190°
s2 00°/298°
s3 02°/028°
R = 0.34
μ = 0.61
F.E. = 22 (30)

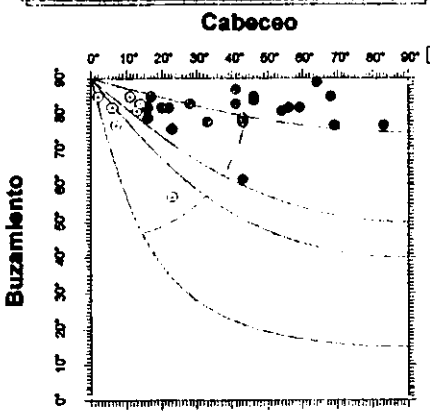
Trazas ciclográficas e histogramas del azimut, buzamiento y cabeceo

Rosa de Direcciones

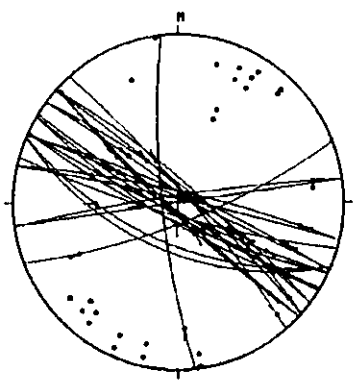


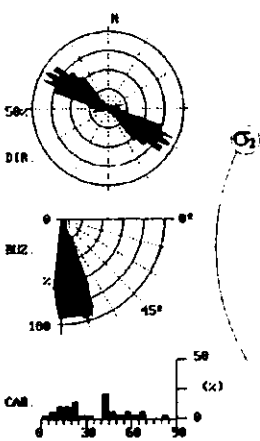
Valor Máximo de Escala: 50%
Ángulo de Apertura: 15°
DEYM: 119° ± 7,88°

Diagrama Cabeceo/Buzamiento

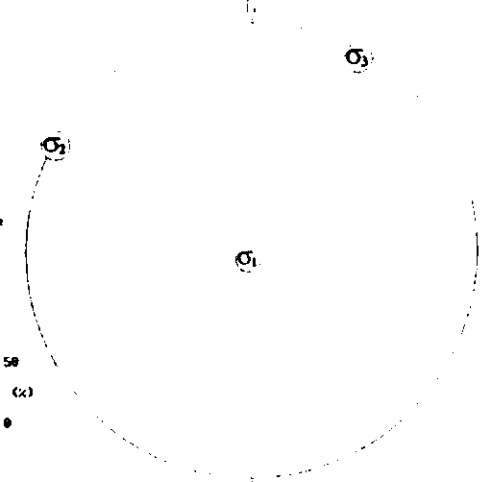


Parámetros Globales
K':-6,5332 Buzamiento:81°±07°
PHI:66,82° Cabeceo:35°±21°



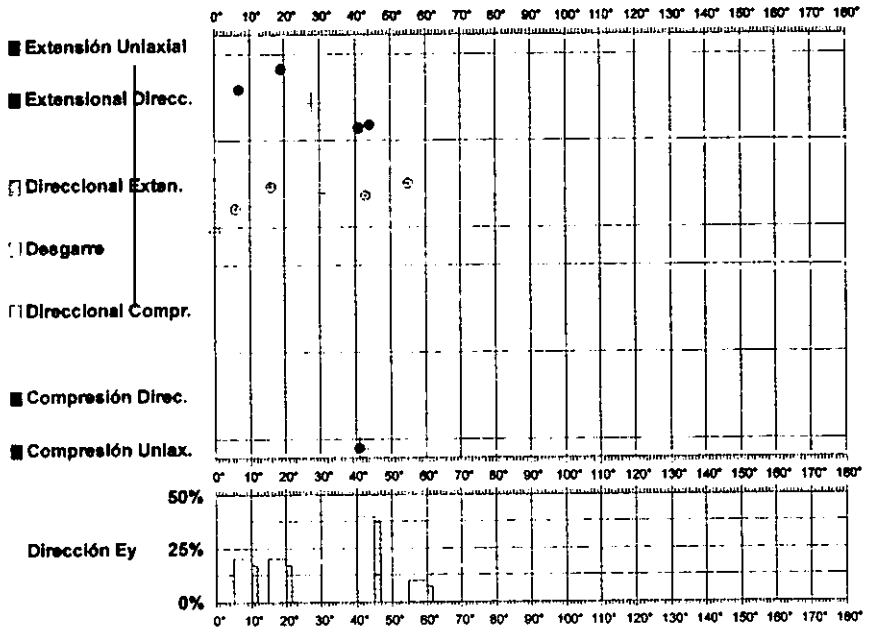


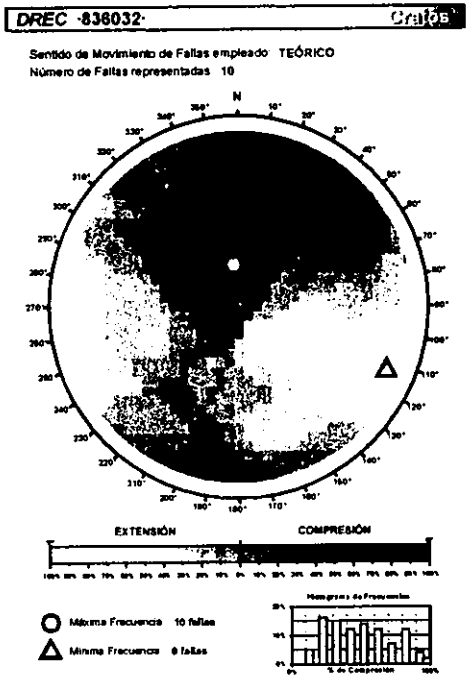
Método de Inversión de Esfuerzos



Modelo de Deslizamiento ·836032·

Cratos





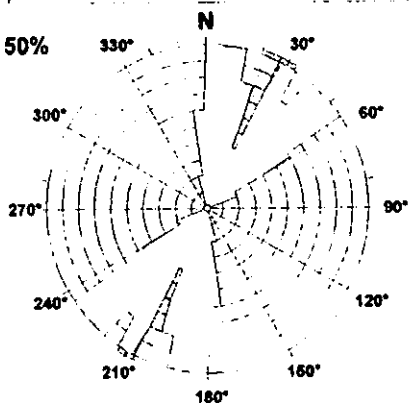
Estación: 836-03
Coordenadas U.T.M. (metros)
X: 405900
Y: 4280500
Z: 650
Litología: Colada lávica
Edad: Mioceno sup.-Pleistoceno inf.

2ª Subpoblación:
Ey: 027°±7°
Buz: 71°±20°
Cab: 36°±17°
s1 48°/014°
s2 40°/174°
s3 10°/273°
R = 0.30
μ = 0.31
F.E. = 8 (10)

Trazas ciclográficas e histogramas del azimut, buzamiento y cabeceo

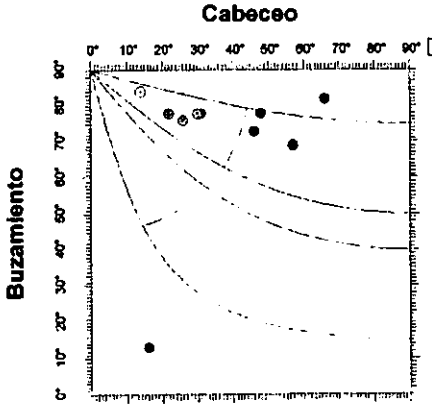
Método de Inversión de Esfuerzos

Rosa de Direcciones

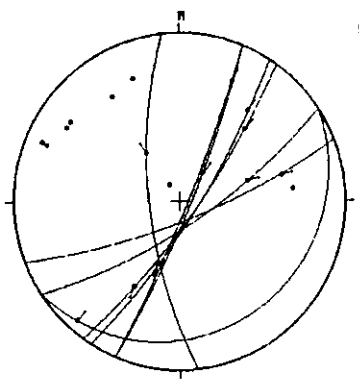


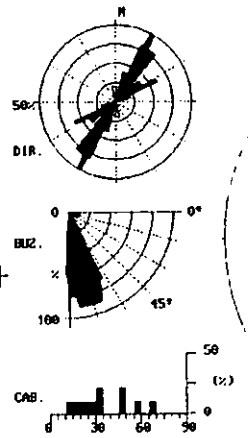
Valor Máximo de Escala: 50%
Ángulo de Apertura: 15°
DEYM: 27° ± 6,48°

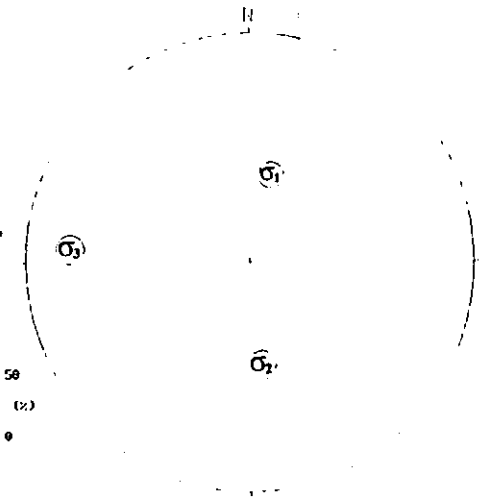
Diagrama Cabeceo/Buzamiento

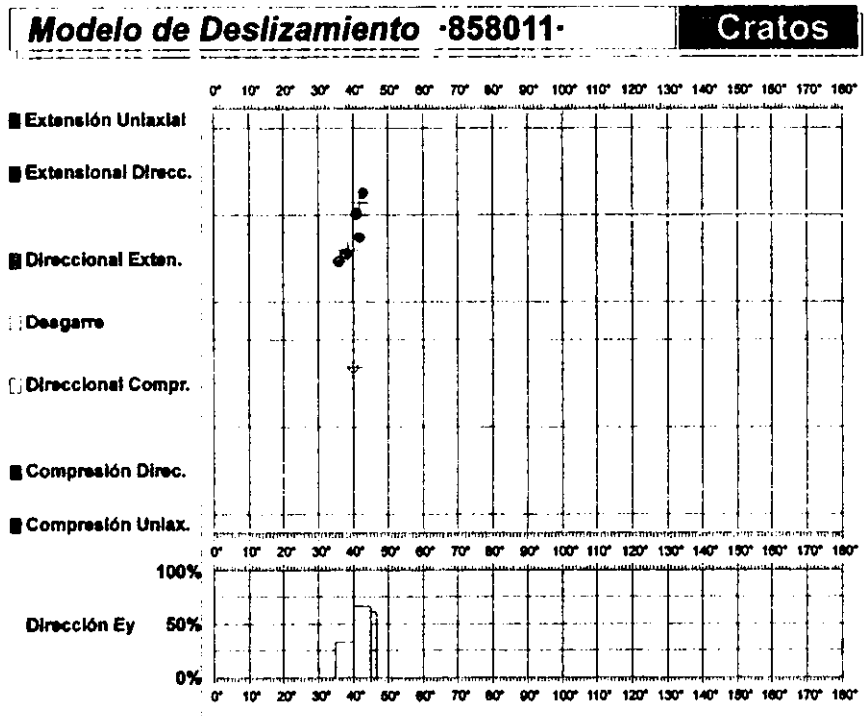


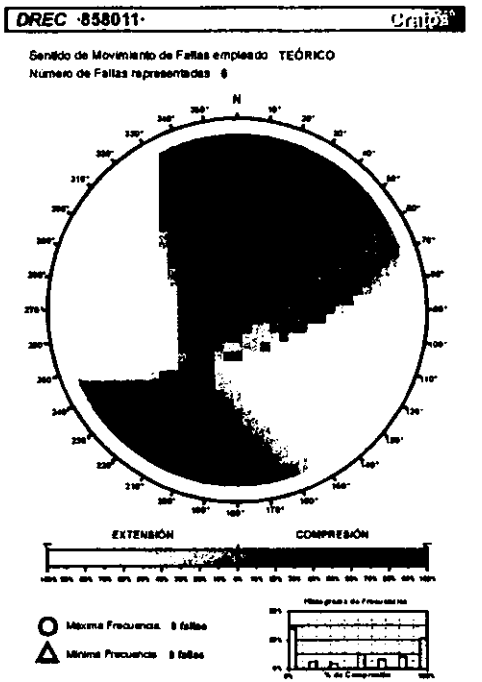
Parámetros Globales
K':4,0457
PHI:29,27°
Buzamiento:71°±20°
Cabeceo:36°±17°







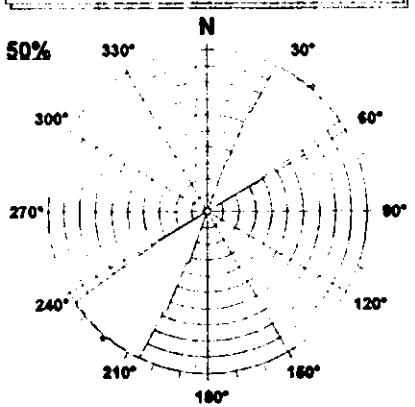


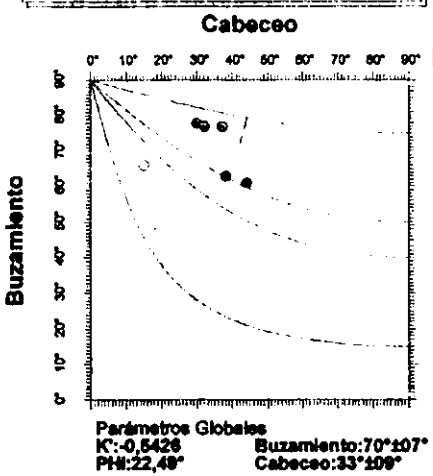


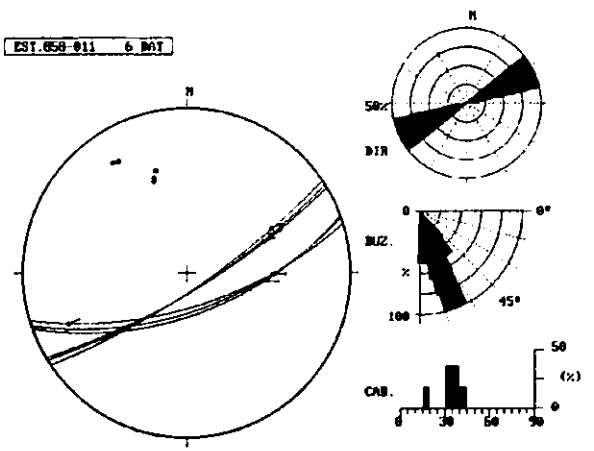
Estación: 858-01
Coordenadas U.T.M. (metros)
X: 317800
Y: 4258200
Z: 551
Litología: Basamento hercinico
Edad: Paleozoico

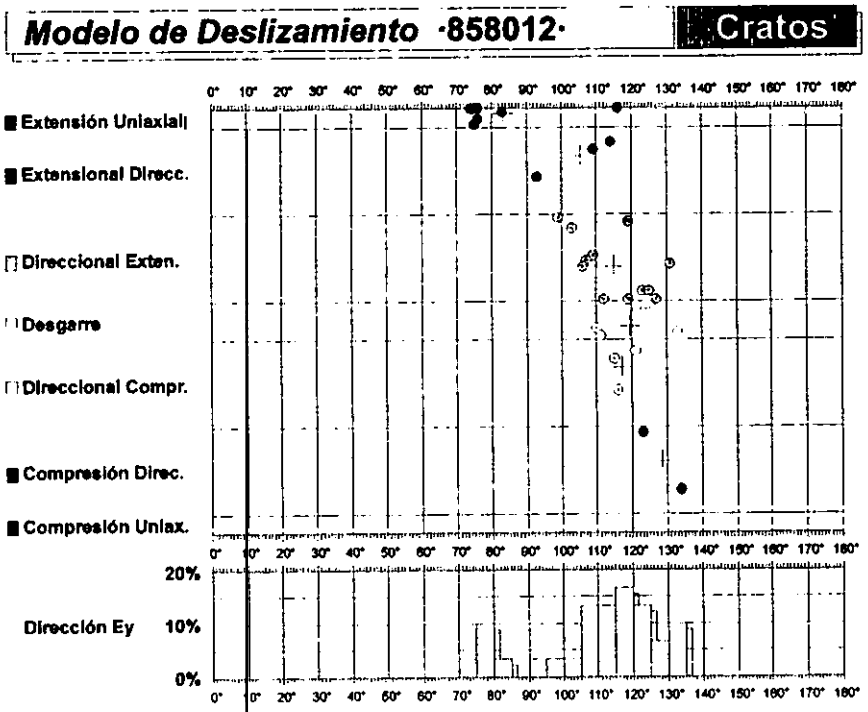
1ª Subpoblación:
Ey: 040°±1°
Buz: 70°±7°
Cab: 33°±9°
s1 --°/---°
s2 --°/---°
s3 --°/---°
R = ---
μ = ---
F.E. = 0 (6)

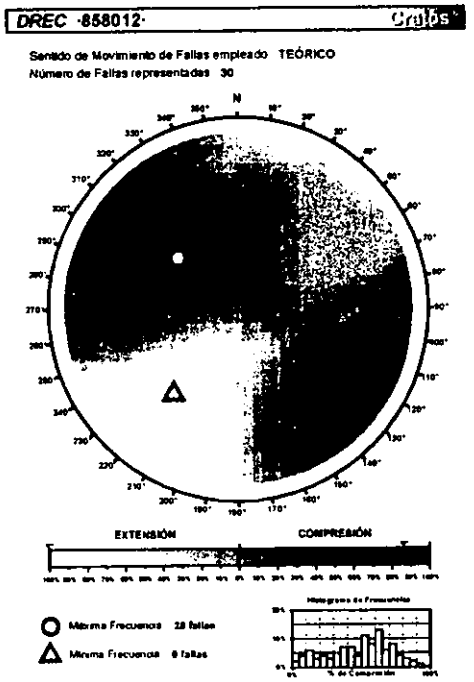
Trazas ciclográficas e histogramas del azimut, buzamiento y cabeceo









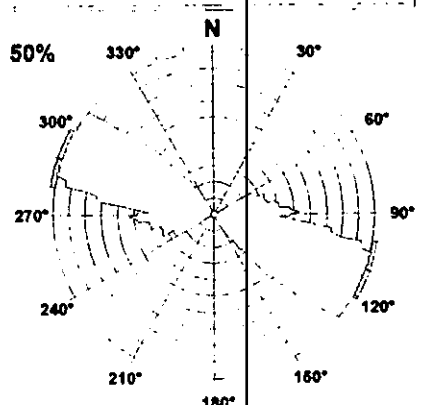


Estación: 858-01
Coordenadas U.T.M. (metros)
X: 317800
Y: 4258200
Z: 551
Litología: Basamento hercínico
Edad: Paleozoico

2ª Subpoblación:
Ey: 110°±11°
Buz: 77°±9°
Cab: 39°±27°
s1 48°/121°
s2 41°/303°
s3 01°/212°
R = 0.51
μ = 0.31
F.E. = 15 (30)

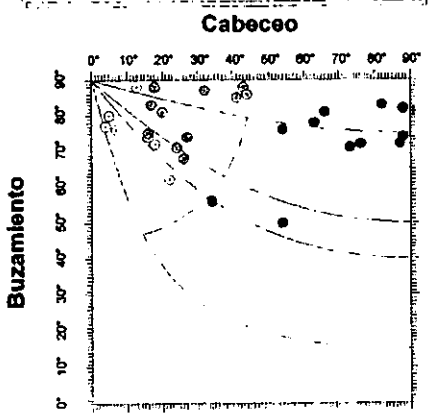
Trazas ciclográficas e histogramas del azimut, buzamiento y cabeceo

Rosa de Direcciones

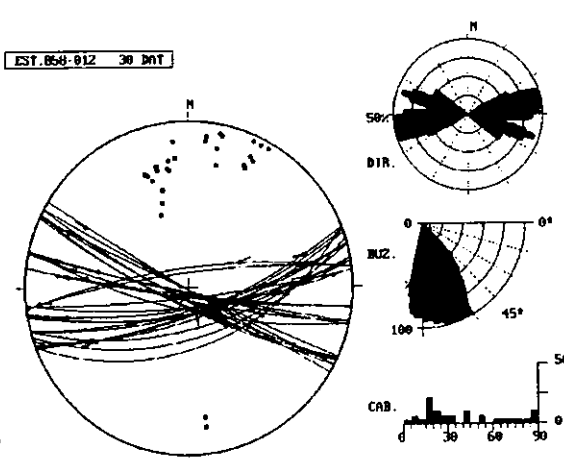


Valor Máximo de Escala: 50%
Ángulo de Apertura: 15°
DEYM: 110° ± 11,27°

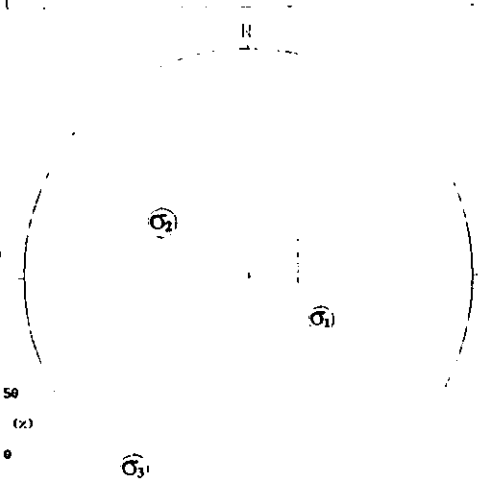
Diagrama Cabeceo/Buzamiento



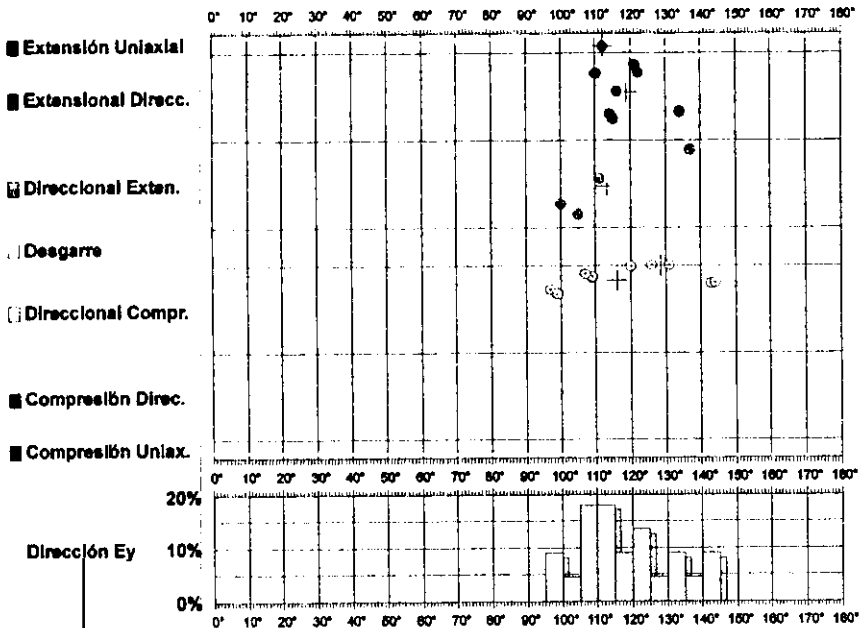
Parámetros Globales
K':-3,5097
PHI:49,71°
Buzamiento:77°±09°
Cabeceo:39°±27°

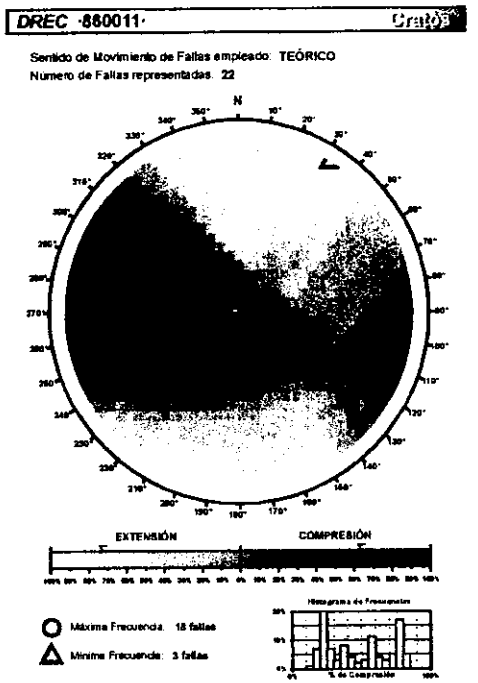


Método de Inversión de Esfuerzos



Modelo de Deslizamiento ·860011· Cratos





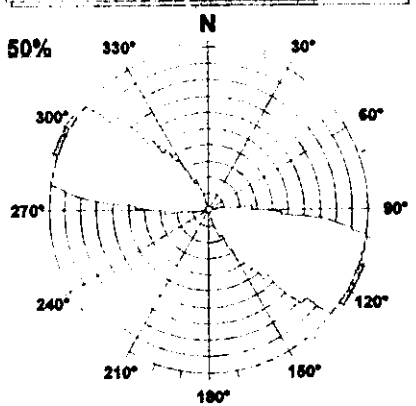
Estación: 860-01
Coordenadas U.T.M. (metros)
X: 385000
Y: 4246700
Z: 546
Litología: Basamento hercínico
Edad: Paleozoico

1ª Subpoblación:
Ey: 117°±8°
Buz: 71°±4°
Cab: 30°±24°
s1 70°/040°
s2 04°/296°
s3 18°/204°
R = 0.13
μ = 0.31
F.E. = 9 (22)

Trazas ciclográficas e histogramas del azimut, buzamiento y cabeceo

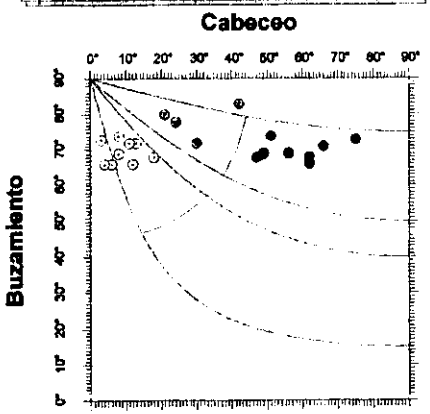
Método de Inversión de Esfuerzos

Rosa de Direcciones

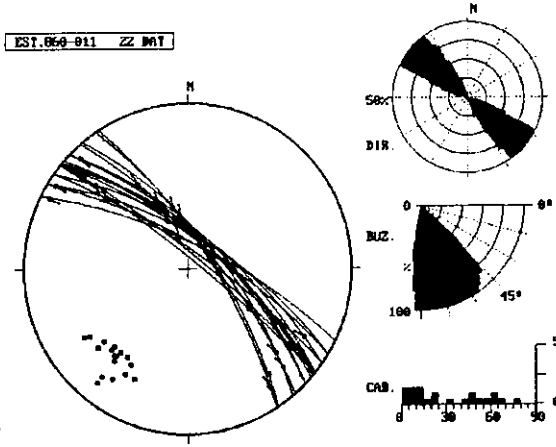


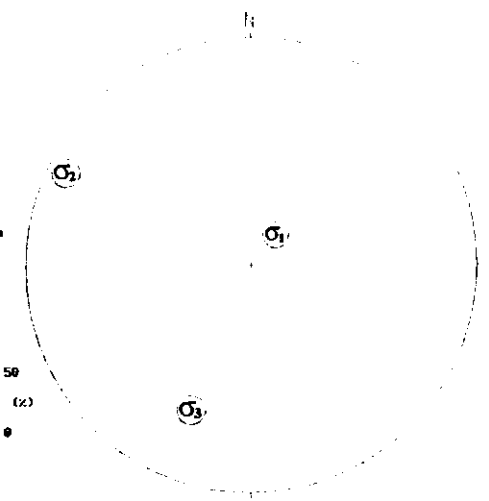
Valor Máximo de Escala: 50%
Ángulo de Apertura: 15°
DEYM: 117° ± 7,74°

Diagrama Cabeceo/Buzamiento



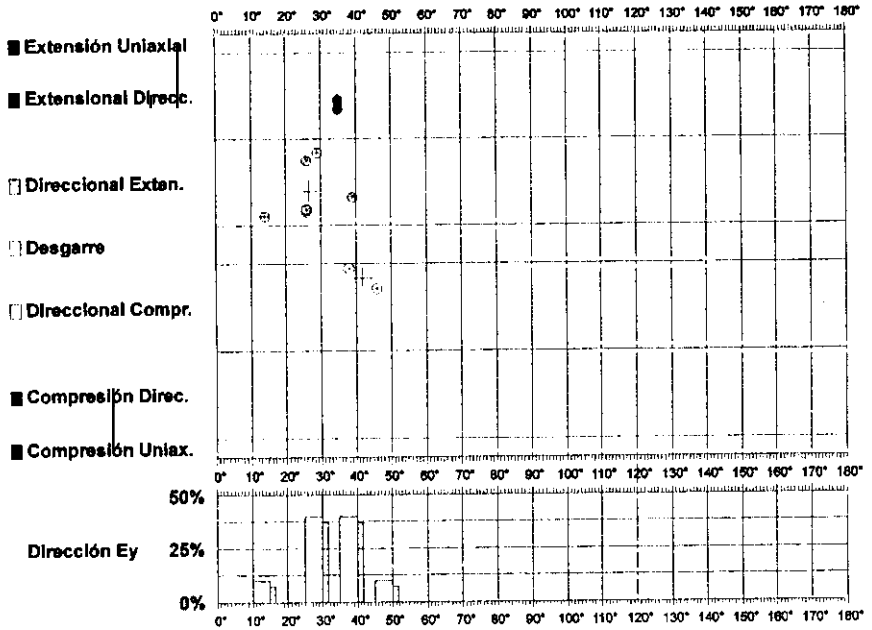
Parámetros Globales
K':-2,8792 Buzamiento:71°±04°
PHI:20,89° Cabeceo:31°±24°



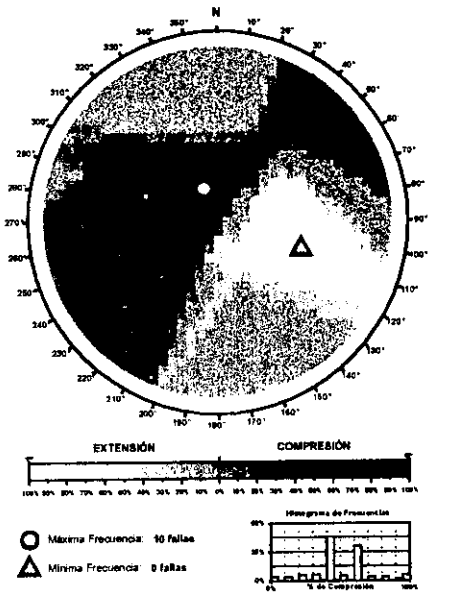


Modelo de Deslizamiento ·860012·

Cratos



DREC ·860012· Cratos



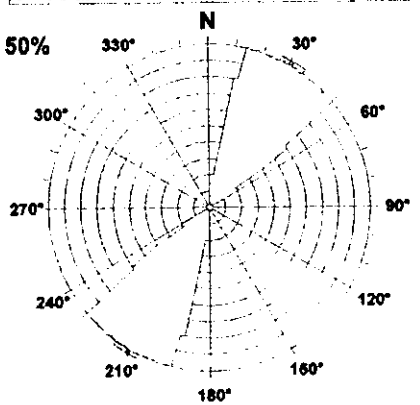
Estación: 860-01
Coordenadas U.T.M. (metros)
X: 385000
Y: 4246700
Z: 546
Litología: Basamento hercínico
Edad: Paleozoico

2ª Subpoblación:
Ey: 031°±5°
Buz: 80°±8°
Cab: 30°±15°
s1 14°/207°
s2 75°/016°
s3 02°/116°
R = 0.46
μ = 1.71
F.E. = 6 (10)

Trazas ciclográficas e histogramas del azimut, buzamiento y cabeceo

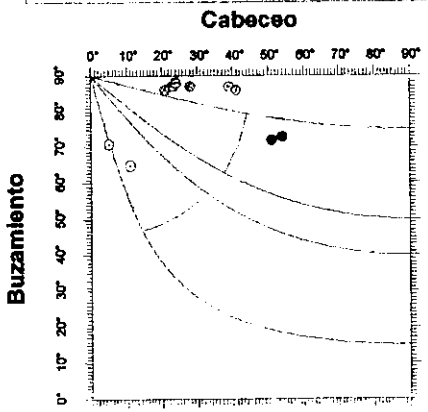
Método de Inversión de Esfuerzos

Rosa de Direcciones

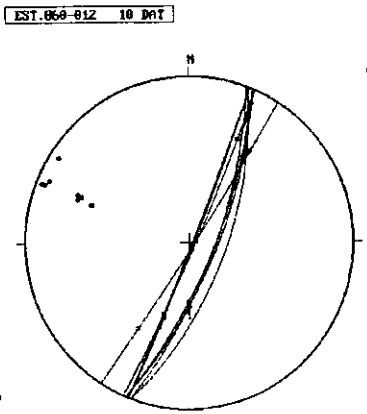


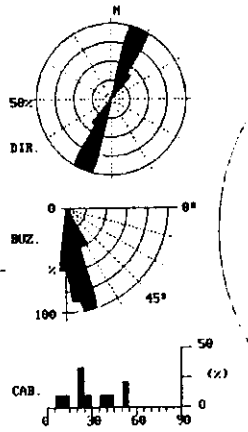
Valor Máximo de Escala: 50%
Ángulo de Apertura: 15°
DEYM: 31° ± 4,92°

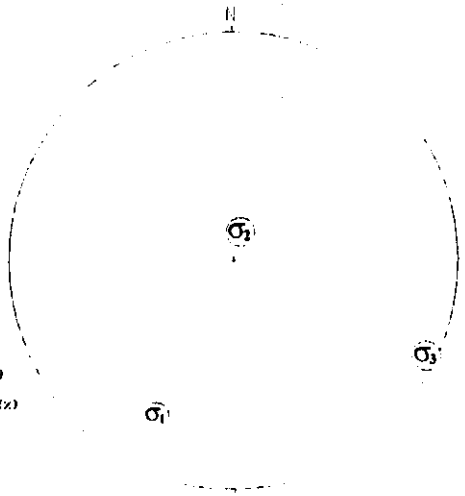
Diagrama Cabeceo/Buzamiento



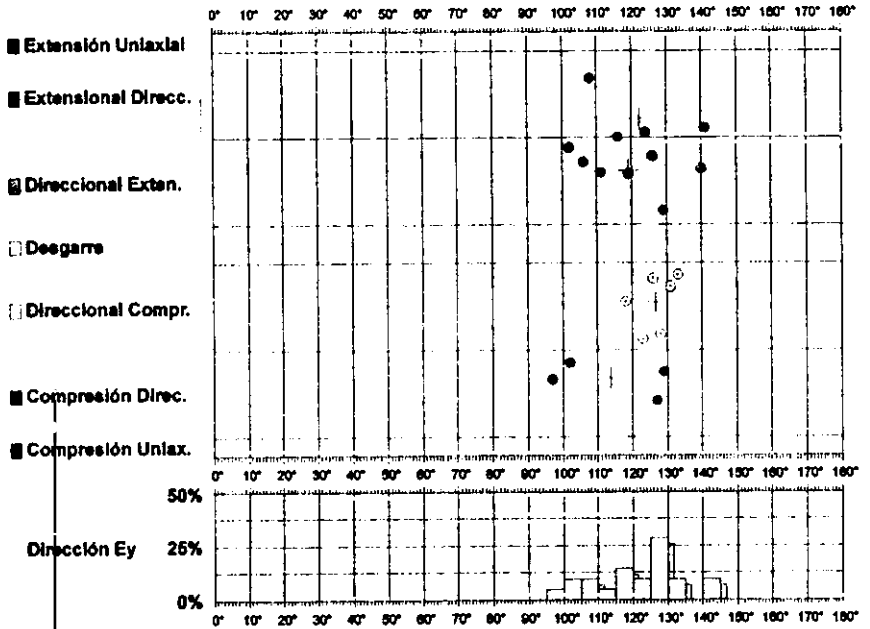
Parámetros Globales
K':-0,8118
PHI:51,15°
Buzamiento:80°±08°
Cabeceo:30°±15°

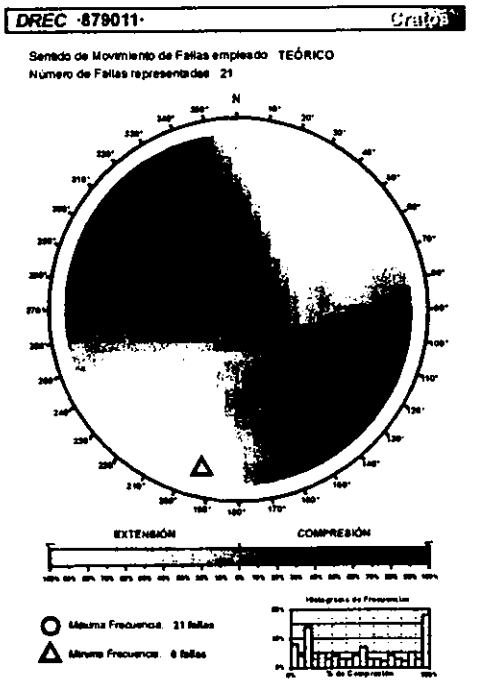






Modelo de Deslizamiento ·879011· Cratos





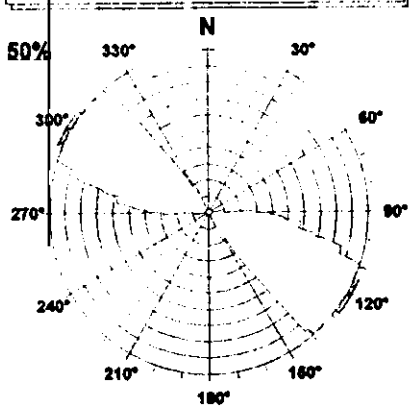
Estación: 879-01
Coordenadas U.T.M. (metros)
X: 291600
Y: 4242600
Z: 543
Litología: Basamento hercínico
Edad: Paleozoico

1ª Subpoblación:
Ey: 121°±7°
Buz: 65°±8°
Cab: 32°±10°
s1 08°/294°
s2 79°/147°
s3 05°/024°
R = 0.67
μ = 0.30 (0.26)
F.E. = 21 (21)

Trazas cicloográficas e histogramas del azimut, buzamiento y cabeceo

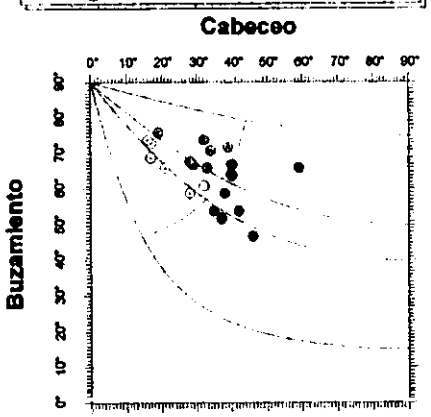
Método de Inversión de Esfuerzos

Rosa de Direcciones

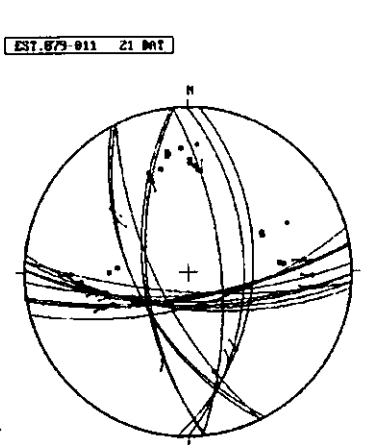


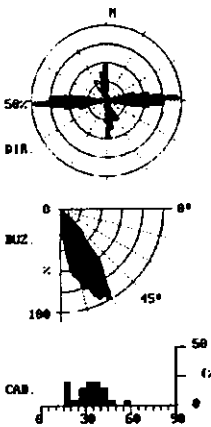
Valor Máximo de Escala: 50%
Ángulo de Apertura: 15°
DEYM: 121° ± 6,72°

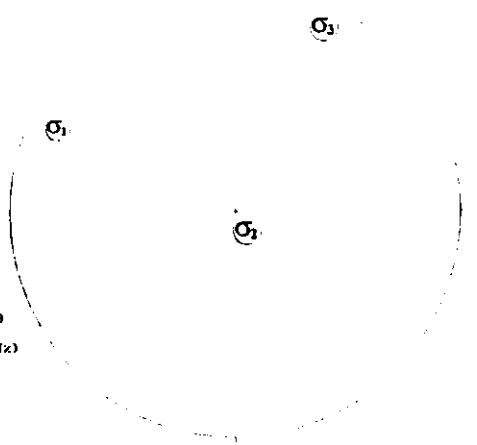
Diagrama Cabeceo/Buzamiento



Parámetros Globales
K':-0,7470 Buzamiento:65°±08°
PHI:07,31° Cabeceo:32°±10°

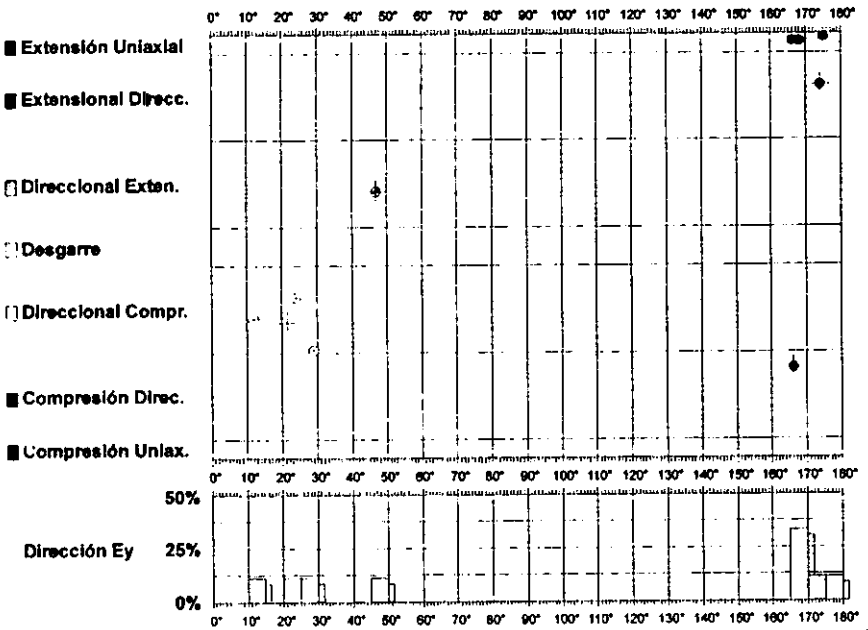




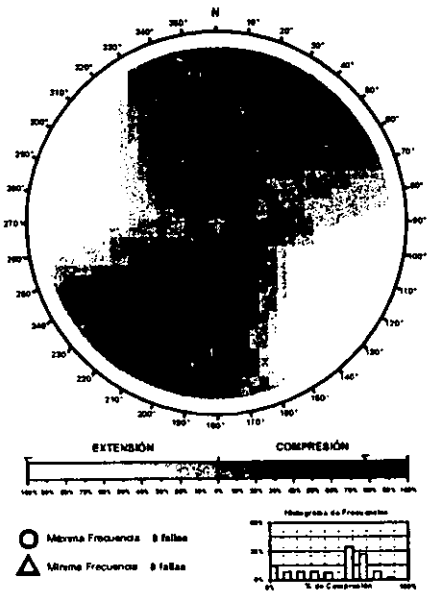


Modelo de Deslizamiento ·879012·

Cratos



DREC ·879012· Cratos

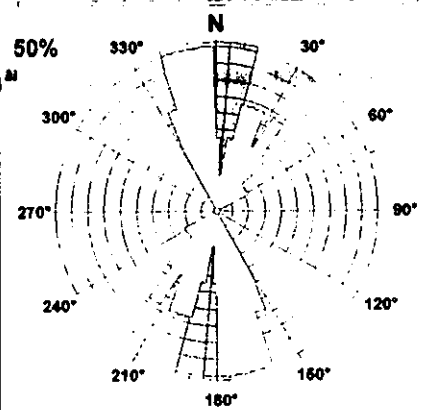


Estación: 879-01
Coordenadas U.T.M. (metros)
X: 291600
Y: 4242600
Z: 543
Litología: Basamento hercínico
Edad: Paleozoico

2ª Subpoblación:
Ey: 005°±10°
Buz: 57°±8°
Cab: 42°±28°
s1 42°/027°
s2 43°/177°
s3 15°/282°
R = 0.48
μ = 0.50
F.E. = 9 (9)

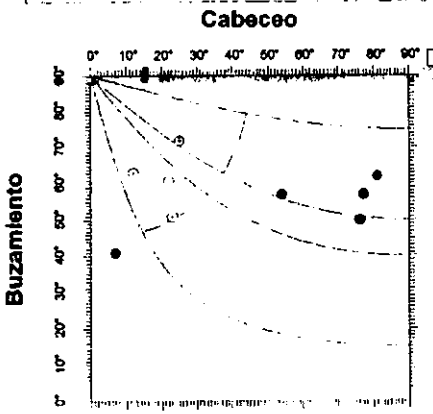
Trazas ciclográficas e histogramas del azimut, buzamiento y cabeceo

Rosa de Direcciones

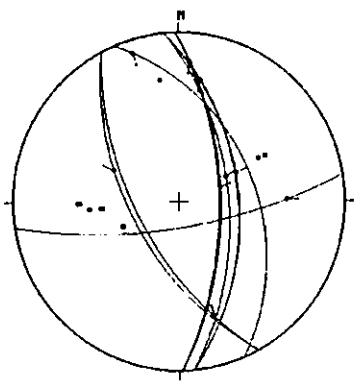


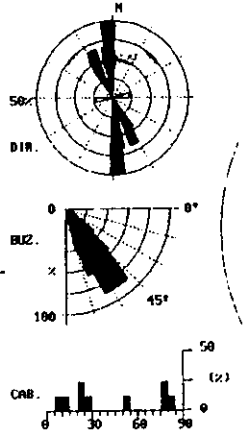
Valor Máximo de Escala: 50%
Ángulo de Apertura: 15°
DEYM: 5° ± 10,13°

Diagrama Cabeceo/Buzamiento

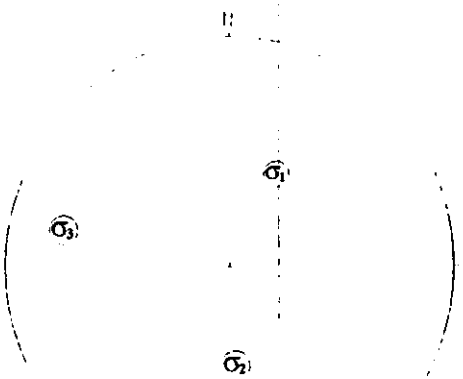


Parámetros Globales
K':-0,3074
PHI:01,71°
Buzamiento:57°±08°
Cabeceo:42°±28°

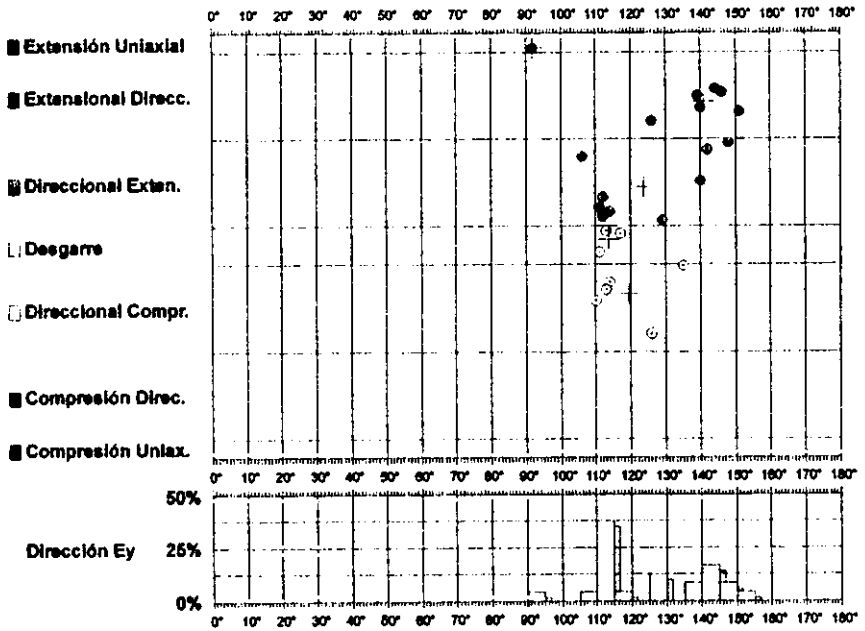


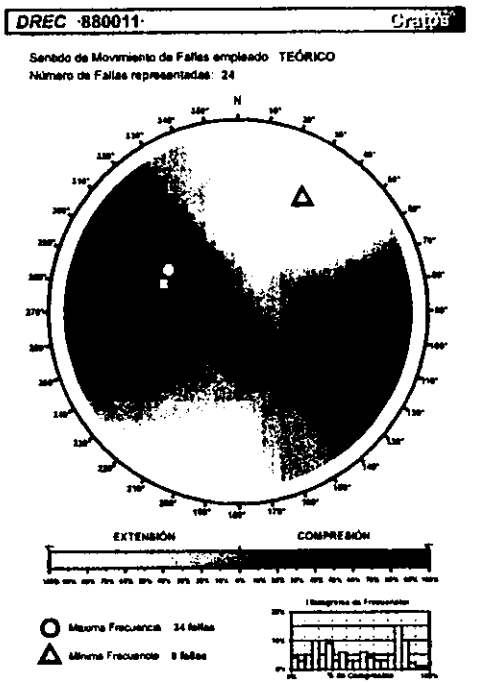


Método de Inversión de Esfuerzos



Modelo de Deslizamiento ·880011· — Cratos





Estación: 880-01
Coordenadas U.T.M. (metros)
X: 316500
Y: 4233700
Z: 501
Litología: Basamento hercínico
Edad: Paleozoico

1ª Subpoblación:	
Ey: 125°±7°	Ey: 125°±7°
Buz: 76°±9°	Buz: 76°±9°
Cab: 31°±19°	Cab: 31°±19°
s1 72°/158°	s1 44°/309°
s2 17°/334°	s2 39°/092°
s3 01°/064°	s3 19°/199°
R = 0.27	R = 0.30
μ = 0.31	μ = 0.31
F.E. = 5 (24)	F.E. = 17 (24)

Trazas cicloográficas e histogramas del azimut, buzamiento y cabeceo

Método de Inversión de Esfuerzos

Rosa de Direcciones

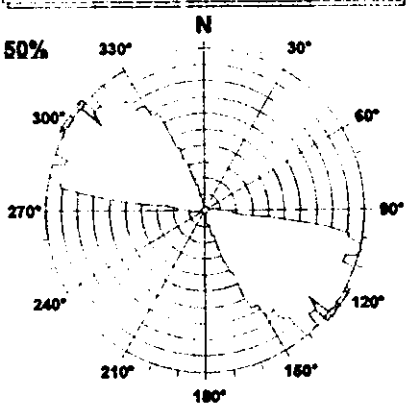
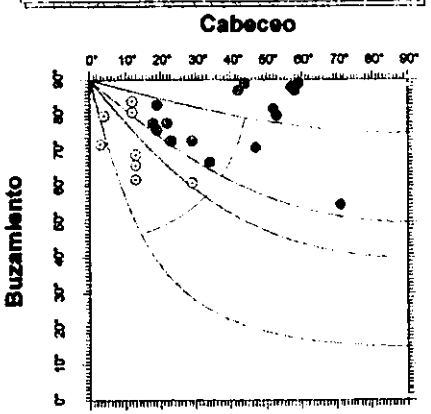
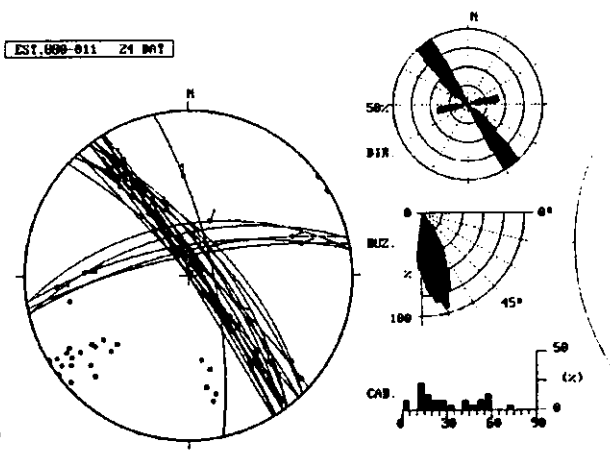
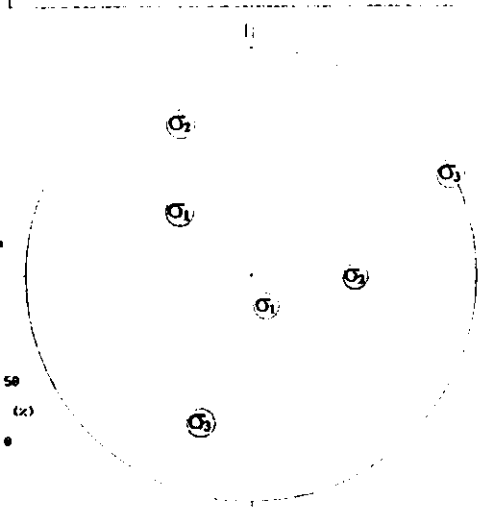
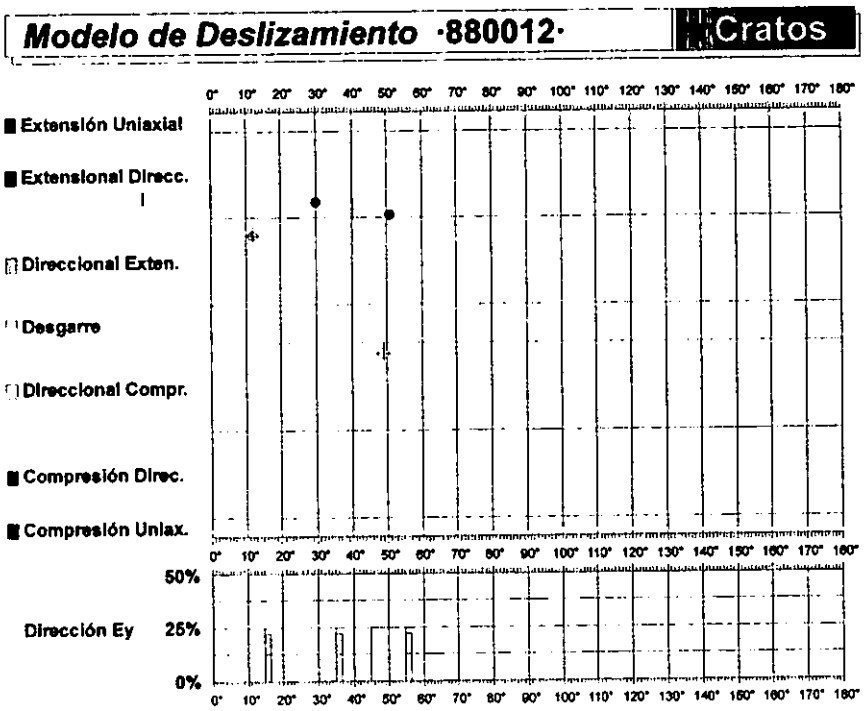


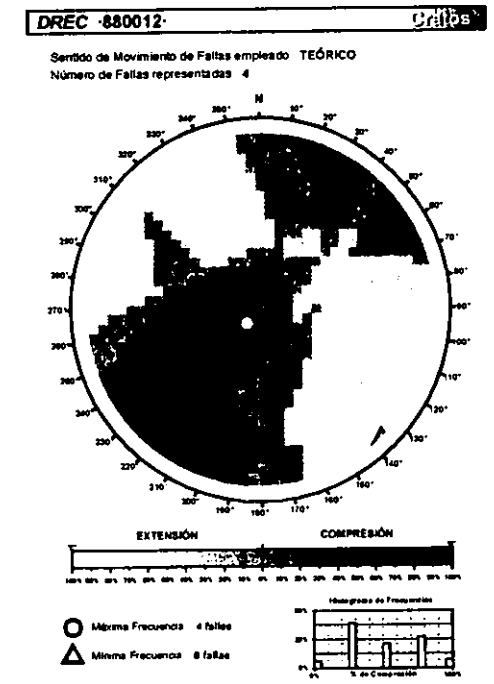
Diagrama Cabeceo/Buzamiento







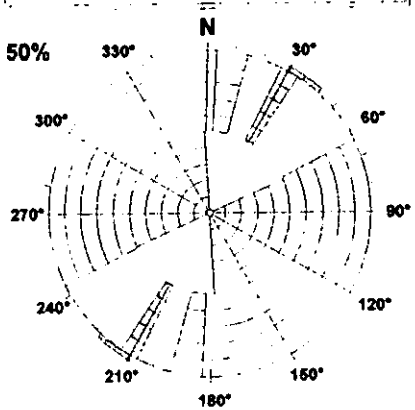


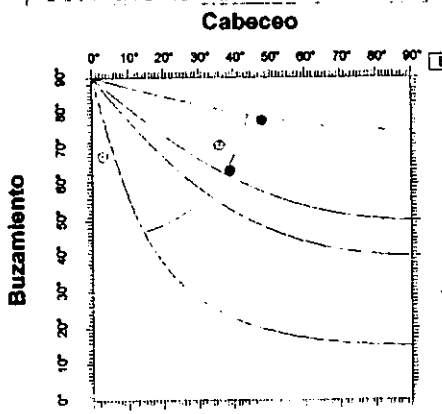


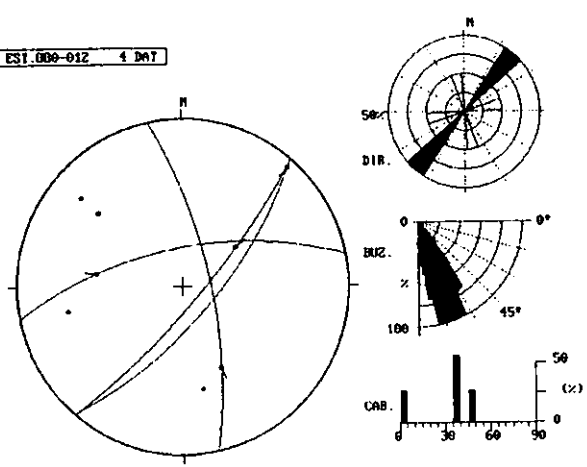
Estación: 880-01
Coordenadas U.T.M. (metros)
X: 316500
Y: 4233700
Z: 501
Litología: Basamento hercínico
Edad: Paleozoico

2ª Subpoblación:
Ey: 036°±7°
Buz: 70°±5°
Cab: 32°±17°
s1 --°/---°
s2 --°/---°
s3 --°/---°
R = ---
μ = ---
F.E. = 0 (4)

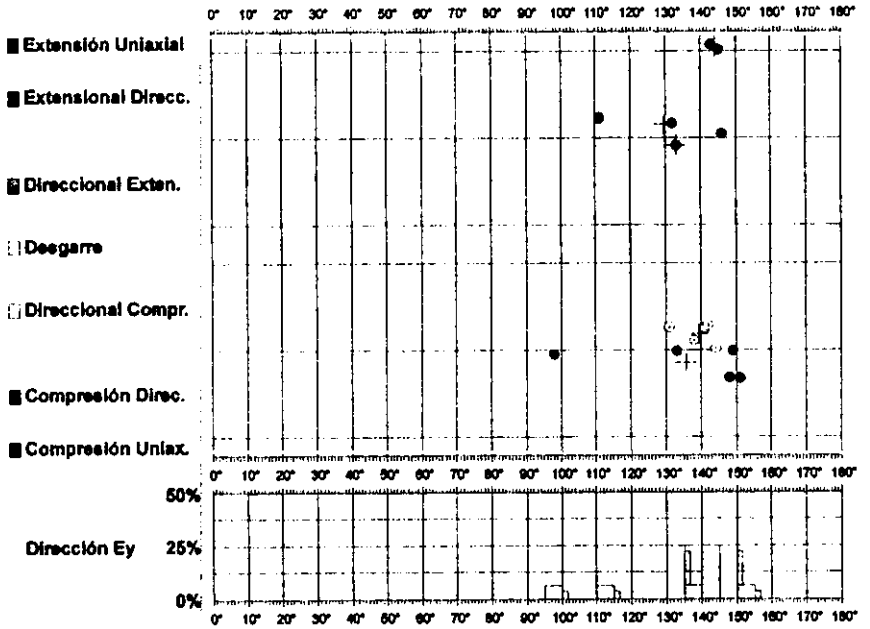
Trazas ciclográficas e histogramas del azimut, buzamiento y cabeceo

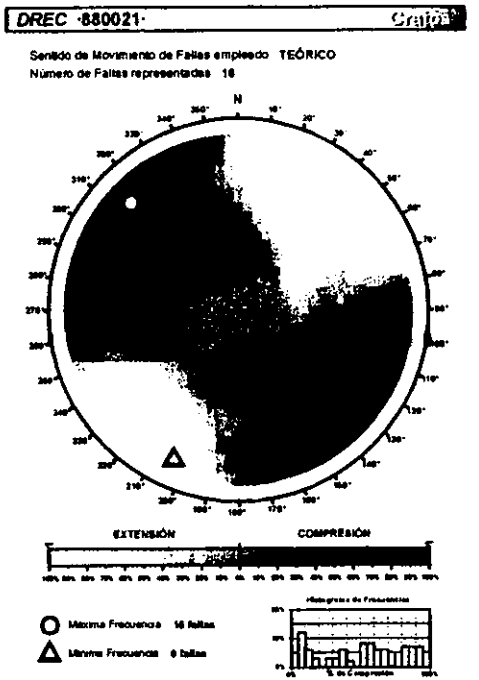






Modelo de Deslizamiento ·880021· Cratos



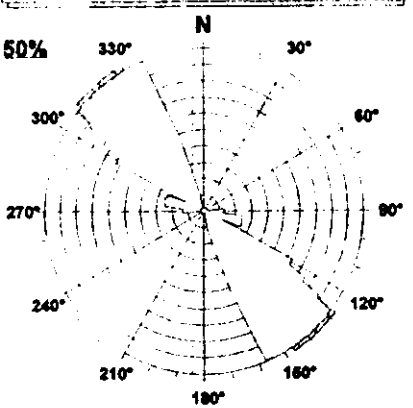


Estación: 880-02
Coordenadas U.T.M. (metros)
X: 327000
Y: 4236600
Z: 772
Litología: Basamento hercínico
Edad: Paleozoico

1ª Subpoblación:
Ey: 137°±10°
Buz: 56°±5°
Cab: 36°±16°
s1 12°/122°
s2 77°/288°
s3 02°/031°
R = 0.59
μ = 0.31
F.E. = 14 (16)

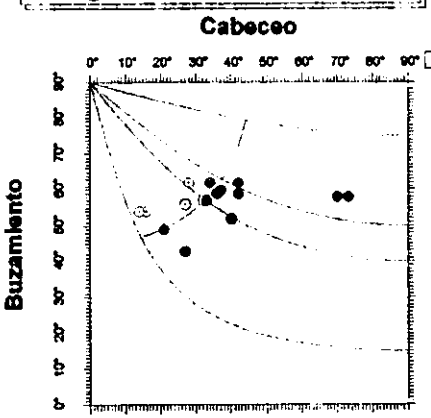
Trazas ciclográficas e histogramas del azimut, buzamiento y cabeceo

Rosa de Direcciones

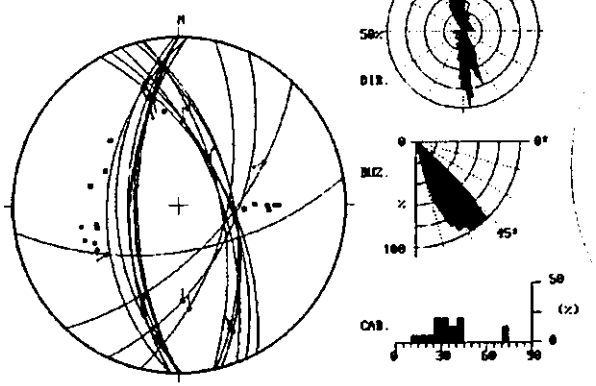


Valor Máximo de Escala: 50%
Ángulo de Apertura: 15°
DEYM: 137° ± 9,81°

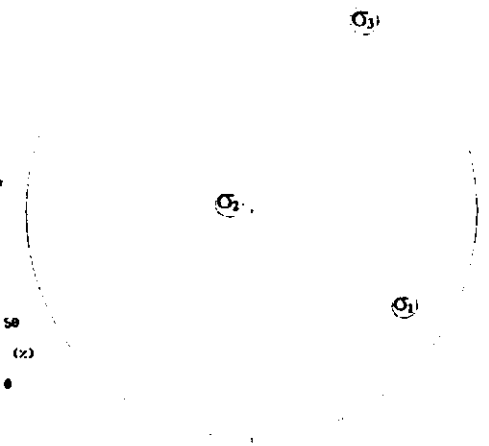
Diagrama Cabeceo/Buzamiento



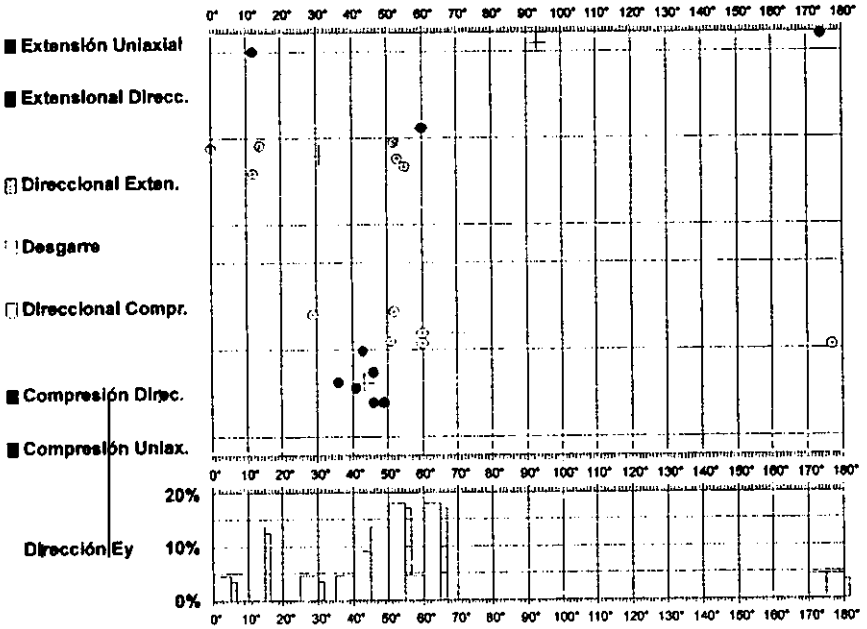
Parámetros Globales
K':-0,4347
PHI:-07,86°
Buzamiento:56°±05°
Cabeceo:36°±16°

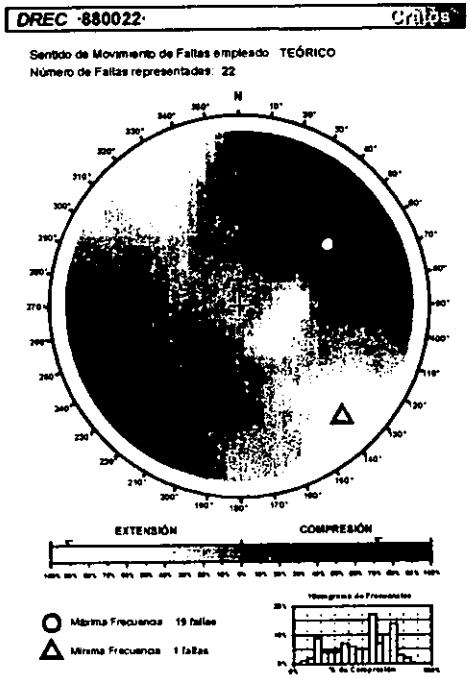


Método de Inversión de Esfuerzos



Modelo de Deslizamiento ·880022· Cratos

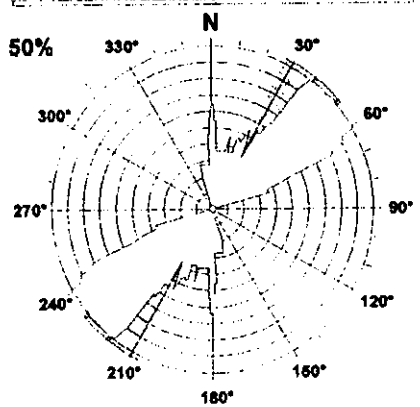




Estación: 880-02
Coordenadas U.T.M. (metros)
X: 327000
Y: 4236600
Z: 772
Litología: Basamento hercínico
Edad: Paleozoico

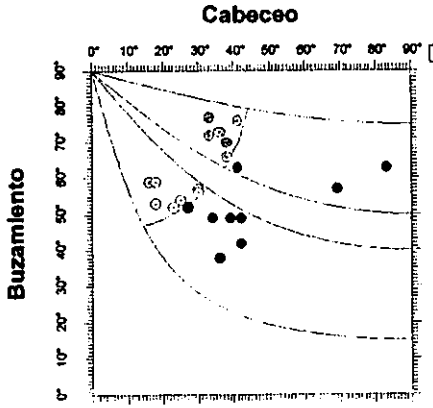
2ª Subpoblación:	
Ey: 039°±12°	Ey: 039°±12°
Buz: 58°±10°	Buz: 58°±10°
Cab: 36°±15°	Cab: 36°±15°
s1 00°/224°	s1 33°/189°
s2 84°/322°	s2 54°/345°
s3 05°/134°	s3 11°/092°
R = 0.18	R = 0.32
μ = 0.50	μ = 0.31
F.E. = 14 (22)	F.E. = 5 (22)

Rosa de Direcciones



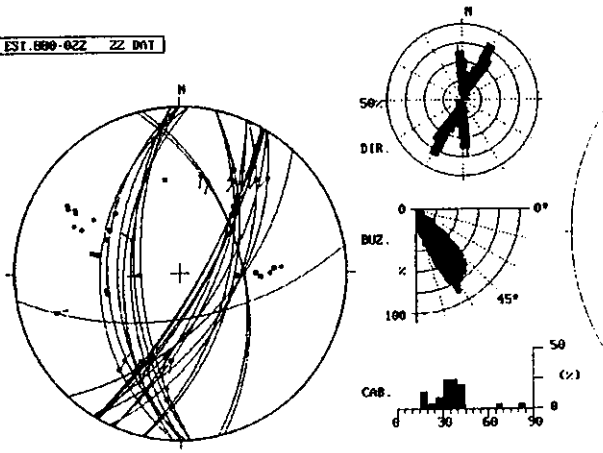
Valor Máximo de Escala: 50%
Ángulo de Apertura: 15°
DEYM: 39° ± 12,43°

Diagrama Cabeceo/Buzamiento

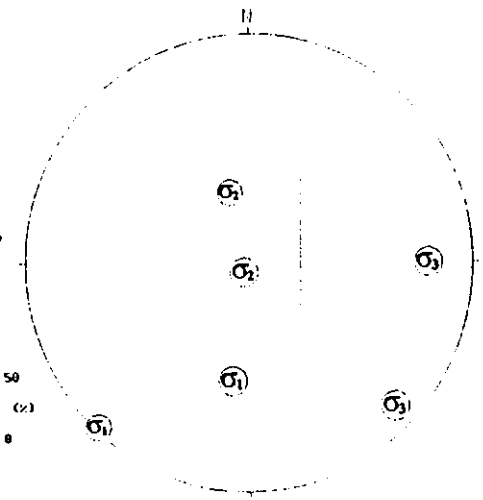


Parámetros Globales
K':-0,3257 Buzamiento:58°±10°
PHI:-03,50° Cabeceo:36°±16°

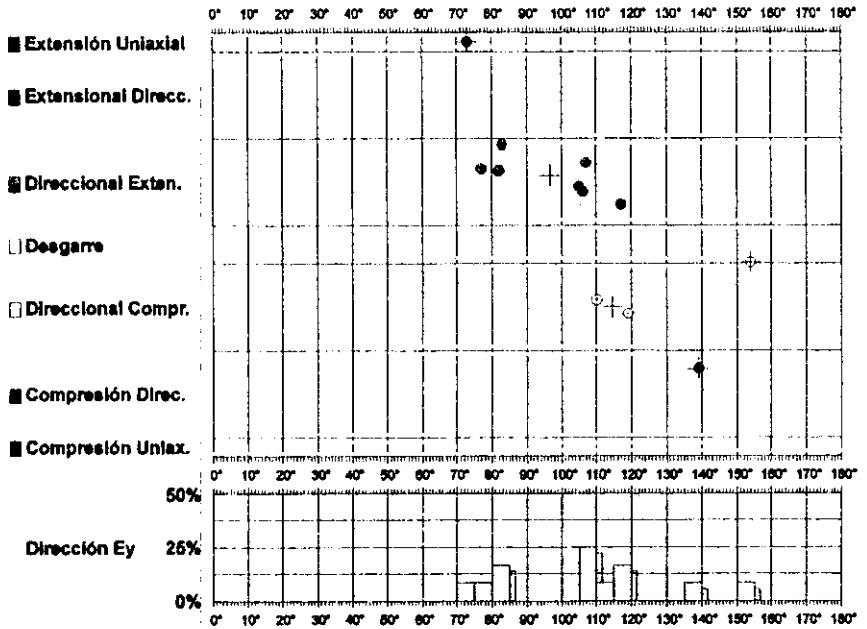
Trazas ciclográficas e histogramas del azimut, buzamiento y cabeceo

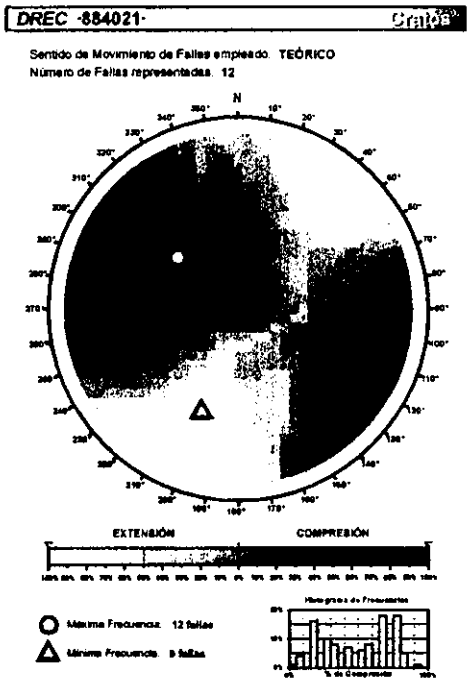


Método de Inversión de Esfuerzos



Modelo de Deslizamiento ·884021· — Cratos

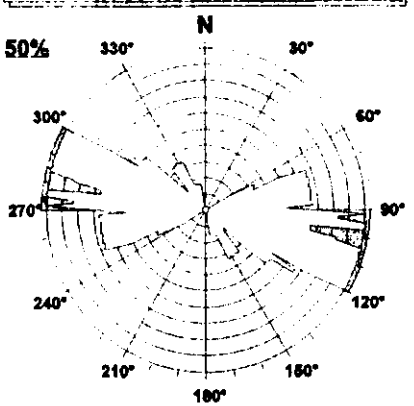




Estación: 884-02
Coordenadas U.T.M. (metros)
X: 449900
Y: 4241100
Z: 736
Litología: Basamento hercínico
Edad: Paleozoico

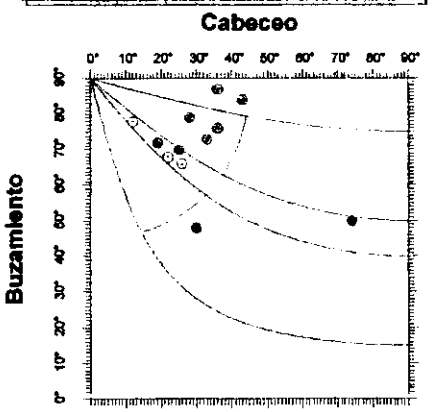
1ª Subpoblación:	
Ey: 105°±15°	Ey: 105°±15°
Buz: 71°±11°	Buz: 71°±11°
Cab: 32°±15°	Cab: 32°±15°
s1 42°/101°	s1 30°/079°
s2 41°/316°	s2 59°/264°
s3 18°/209°	s3 02°/170°
R = 0.21	R = 0.64
μ = 0.31	μ = 0.31
F.E. = 6 (12)	F.E. = 5 (12)

Rosa de Direcciones



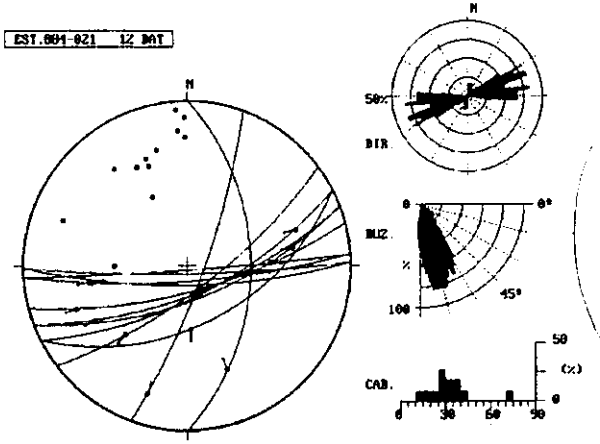
Valor Máximo de Escala: 50%
Ángulo de Apertura: 15°
DEYM: 105° ± 15,41°

Diagrama Cabeceo/Buzamiento

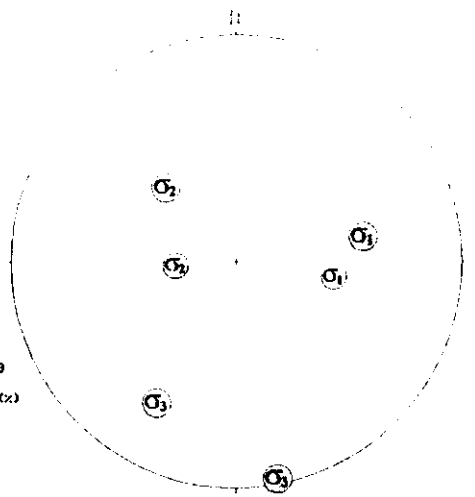


Parámetros Globales
K':-2,9206 Buzamiento:71°±11°
PHI:23,97° Cabeceo:32°±15°

Trazas cicloográficas e histogramas del azimut, buzamiento y cabeceo

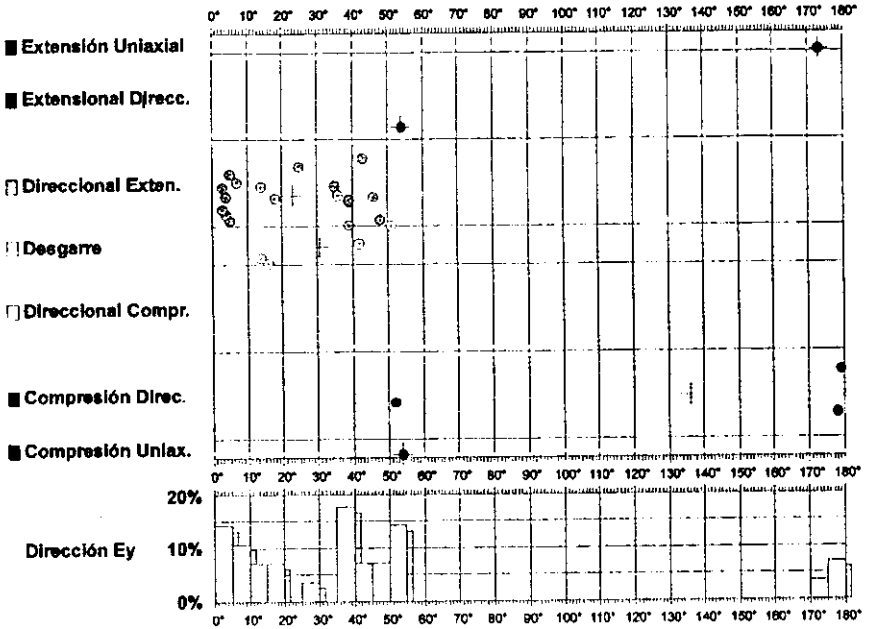


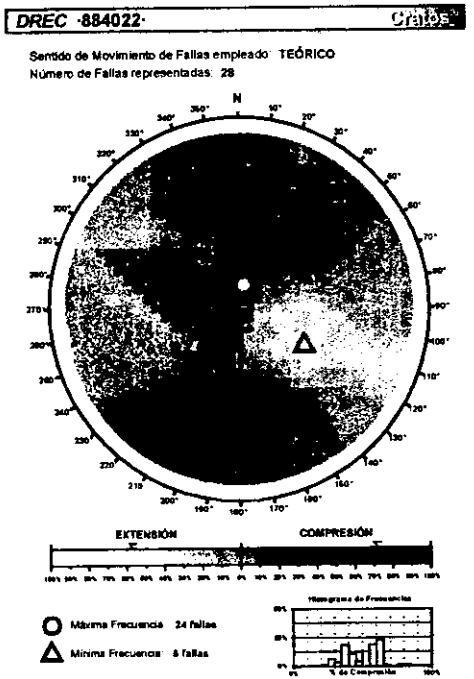
Método de Inversión de Esfuerzos



Modelo de Deslizamiento ·884022·

Cratos





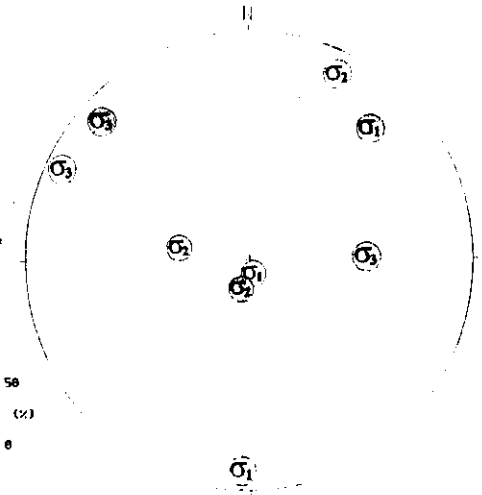
Estación: 884-02
Coordenadas U.T.M. (metros)
X: 449900
Y: 4241100
Z: 736
Litología: Basamento hercínico
Edad: Paleozoico

2ª Subpoblación:

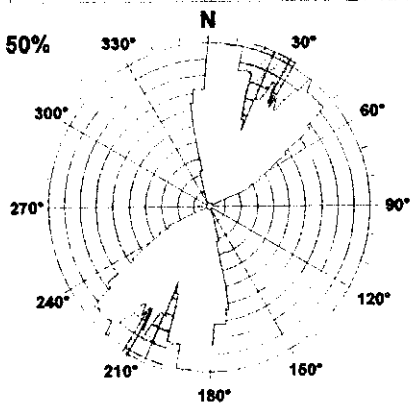
Ey: 024°±8°	Ey: 024°±8°	Ey: 024°±8°
Buz: 74°±18°	Buz: 74°±18°	Buz: 74°±18°
Cab: 28°±14°	Cab: 28°±14°	Cab: 28°±14°
s1 81°/172°	s1 04°/183°	s1 14°/044°
s2 06°/026°	s2 54°/279°	s2 74°/199°
s3 04°/295°	s3 35°/090°	s3 06°/312°
R = 0.35	R = 0.32	R = 0.30
μ = 0.50	μ = 0.31	μ = 0.50
F.E. = 12 (28)	F.E. = 8 (28)	F.E. = 5 (28)

Trazas ciclográficas e histogramas del azimut, buzamiento y cabeceo

Método de Inversión de Esfuerzos

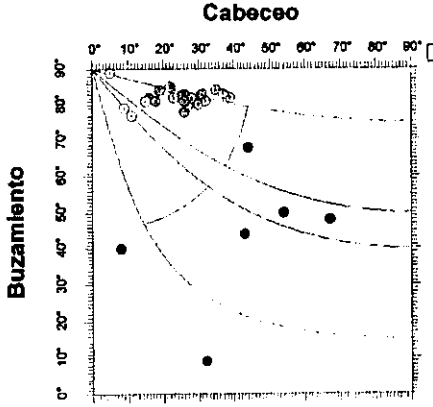


Rosa de Direcciones

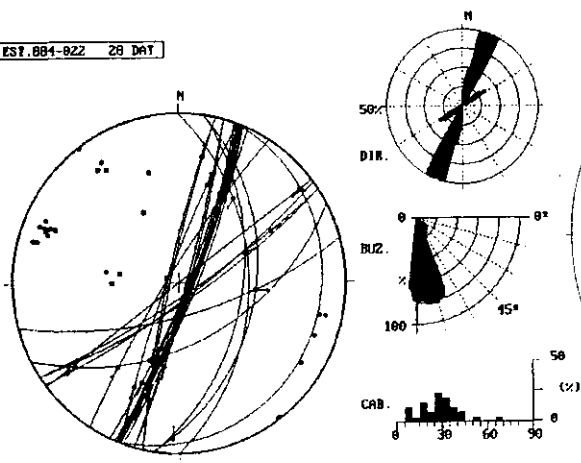


Valor Máximo de Escala: 50%
Ángulo de Apertura: 15°
DEYM: 24° ± 7,67°

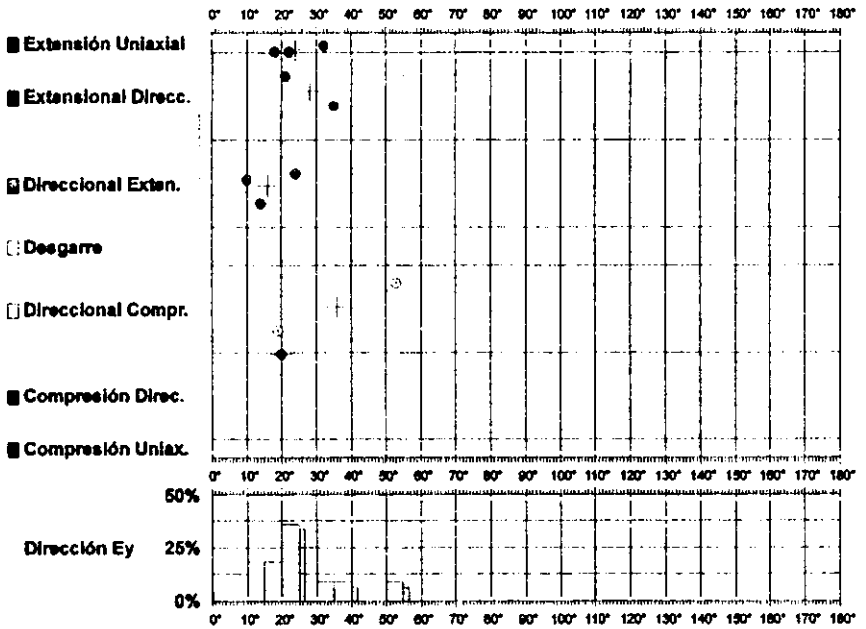
Diagrama Cabeceo/Buzamiento

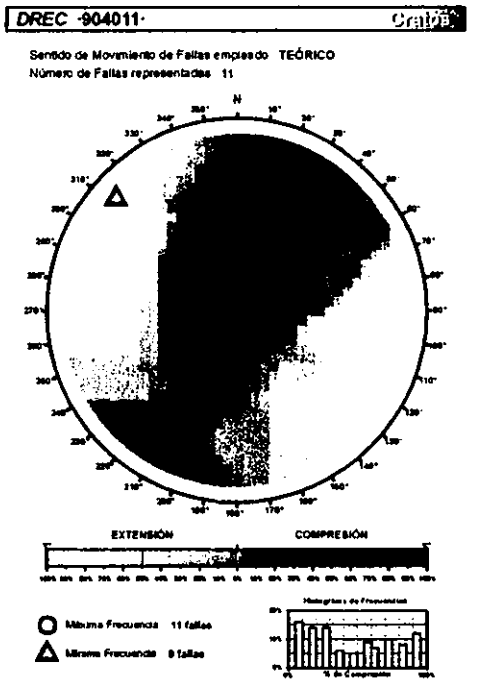


Parámetros Globales
K':7,2471
PHI:27,17°
Buzamiento:74°±18°
Cabeceo:28°±14°



Modelo de Deslizamiento ·904011· Cratos





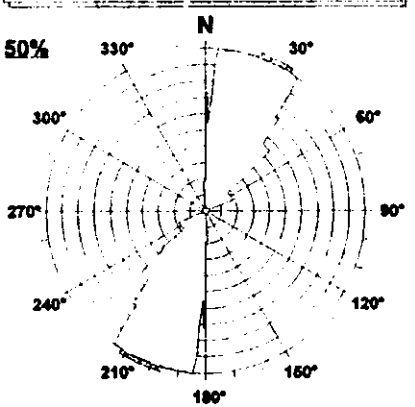
Estación: 904-01
Coordenadas U.T.M. (metros)
X: 413400
Y: 4215400
Z: 383
Litología: Basamento hercínico
Edad: Paleozoico

1ª Subpoblación:
Ey: 024°±8°
Buz: 62°±10°
Cab: 41°±21°
s1 26°/195°
s2 62°/030°
s3 06°/288°
R = 0.46
μ = 0.31
F.E. = 7 (11)

Trazas ciclográficas e histogramas del azimut, buzamiento y cabeceo

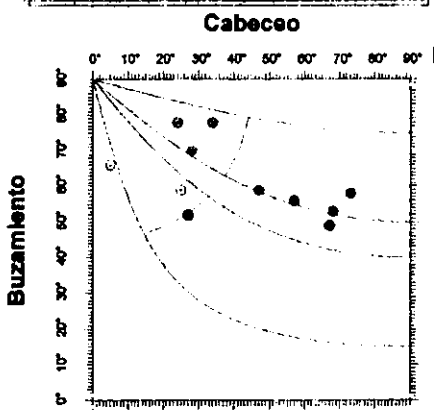
Método de Inversión de Esfuerzos

Rosa de Direcciones

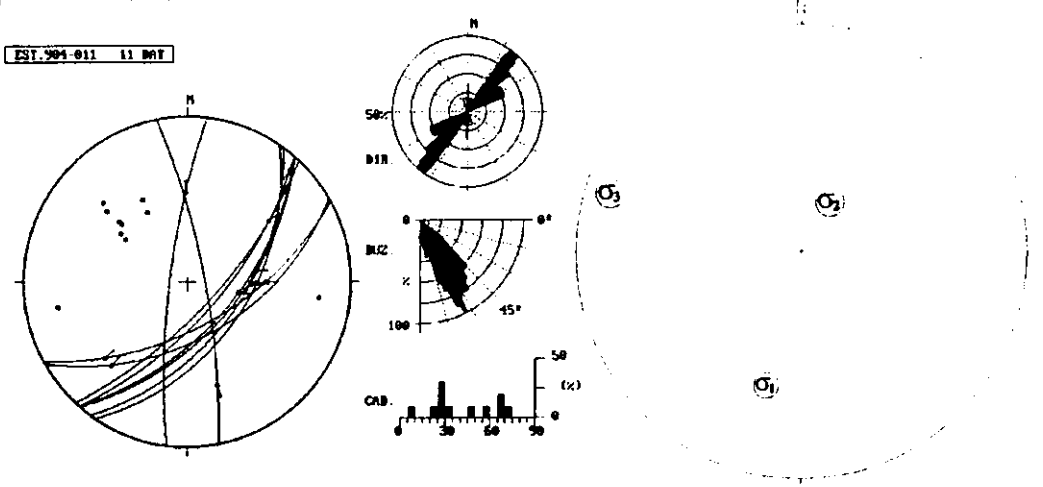


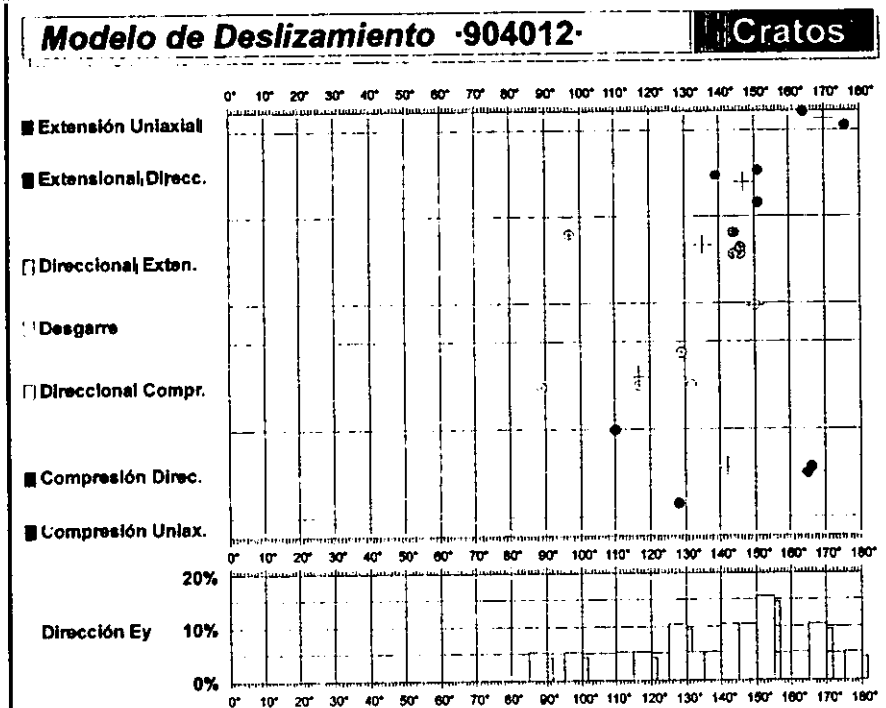
Valor Máximo de Escala: 50%
Ángulo de Apertura: 15°
DE/IM: 24° ± 8,02°

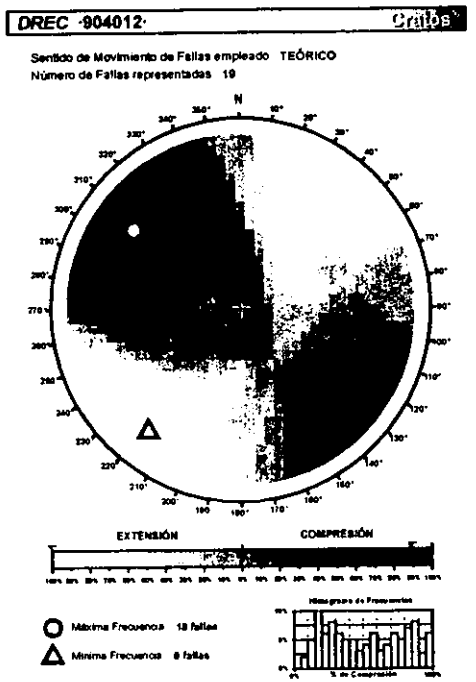
Diagrama Cabeceo/Buzamiento



Parámetros Globales
K':-0,6945 Buzamiento:62°±10°
PHI:11,96° Cabeceo:41°±21°





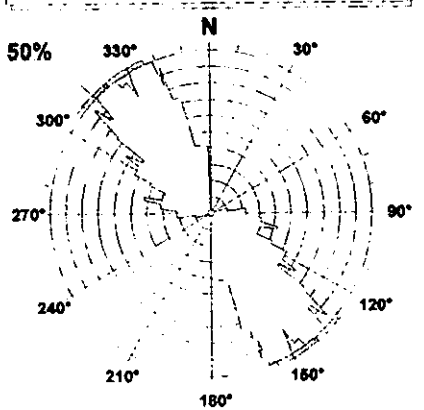


Estación: 904-01
Coordenadas U.T.M. (metros)
X: 413400
Y: 4215400
Z: 383
Litología: Basamento hercínico
Edad: Paleozoico

2ª Subpoblación:	
Ey: 141°±15°	Ey: 141°±15°
Buz: 67°±9°	Buz: 67°±9°
Cab: 39°±19°	Cab: 39°±19°
s1 38°/133°	s1 01°/146°
s2 49°/293°	s2 59°/238°
s3 09°/035°	s3 30°/056°
R = 0.50	R = 0.72
μ = 0.31	μ = 0.31
F.E. = 8 (19)	F.E. = 6 (19)

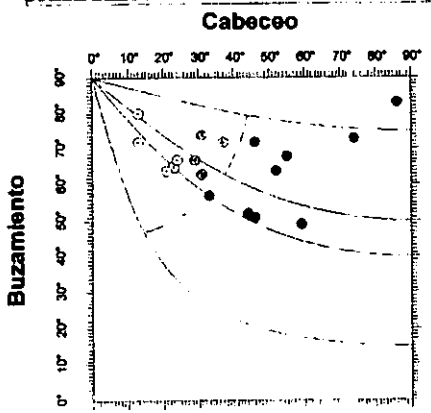
Trazas ciclográficas e histogramas del azimut, buzamiento y cabeceo

Rosa de Direcciones

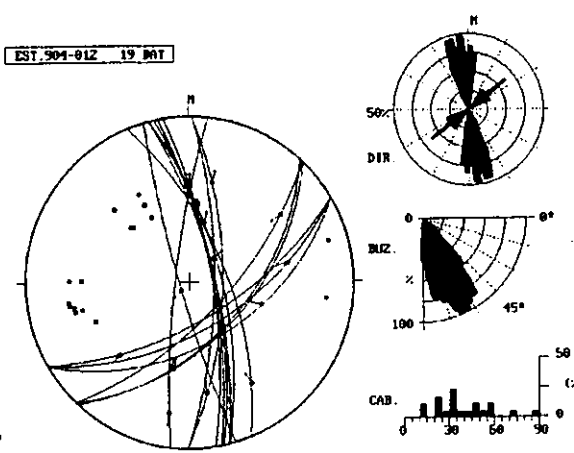


Valor Máximo de Escala: 50%
Ángulo de Apertura: 15°
DEYM: 141° ± 14,52°

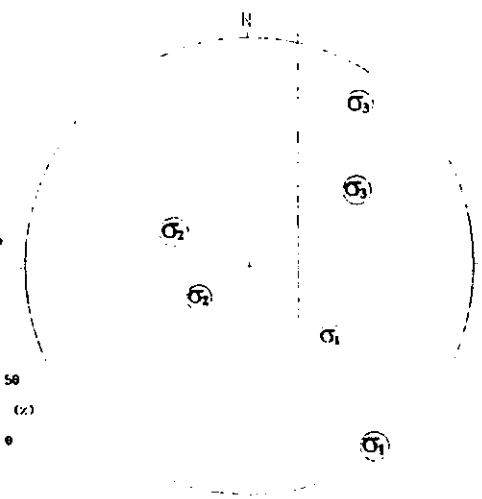
Diagrama Cabeceo/Buzamiento



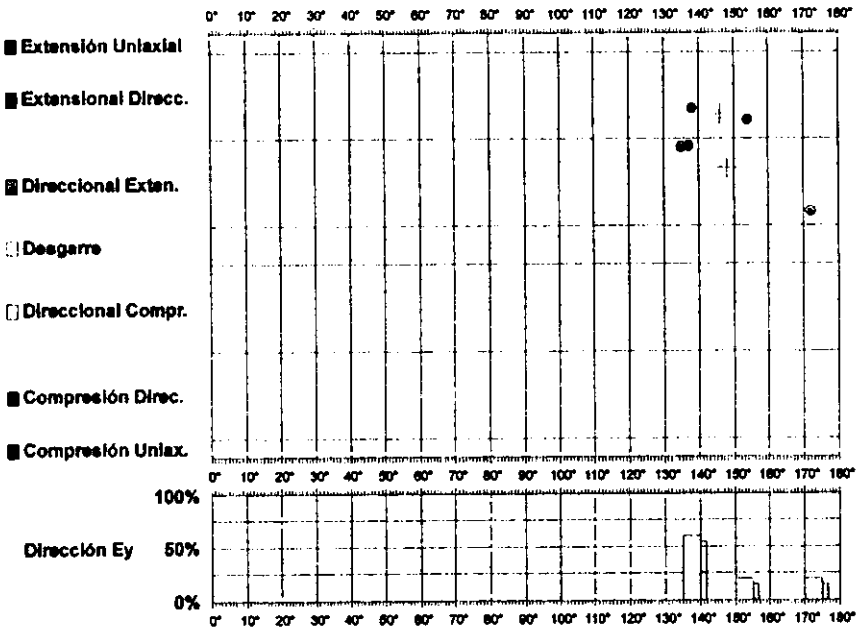
Parámetros Globales
K':1,3606 Buzamiento:67°±09°
PHI:22,00° Cabeceo:39°±19°

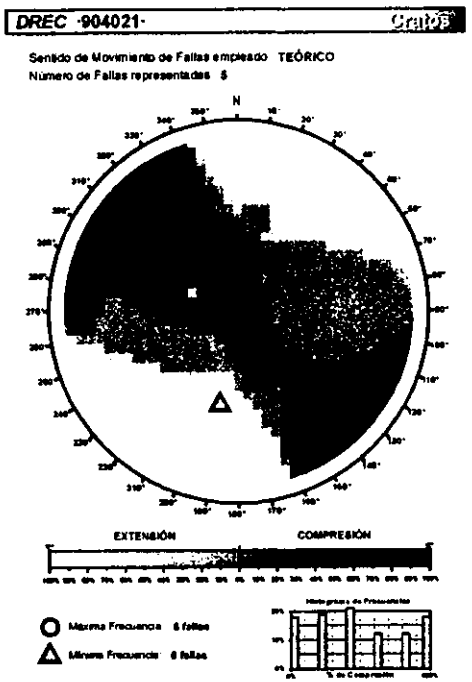


Método de Inversión de Esfuerzos



Modelo de Deslizamiento ·904021· Cratos





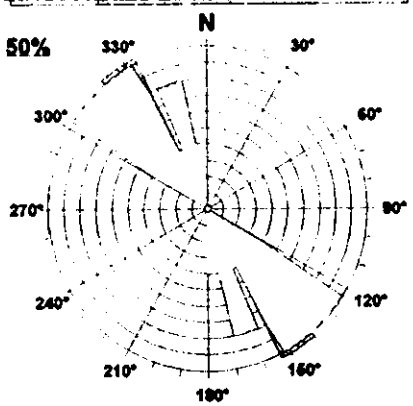
Estación: 904-02
Coordenadas U.T.M. (metros)
X: 417900
Y: 4218600
Z: 359
Litología: Basamento hercínico
Edad: Paleozoico

1ª Subpoblación:
Ey: 147°±7°
Buz: 76°±6°
Cab: 40°±11°
s1 78°/316°
s2 11°/134°
s3 00°/224°
R = 0.65
μ = 0.40
F.E. = 5 (5)

Trazas ciclográficas e histogramas del azimut, buzamiento y cabeceo

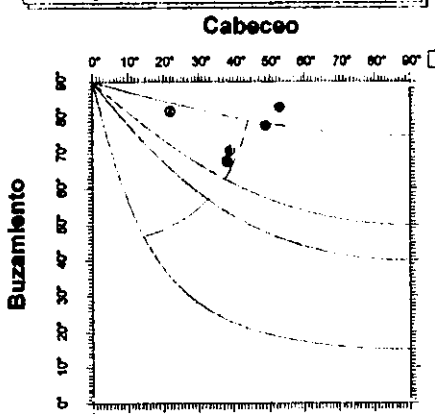
Método de Inversión de Esfuerzos

Rosa de Direcciones

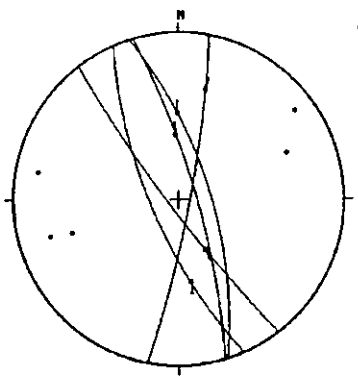


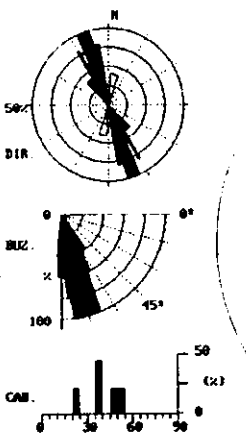
Valor Máximo de Escala: 50%
Ángulo de Apertura: 15°
DEYM: 147° ± 7,32°

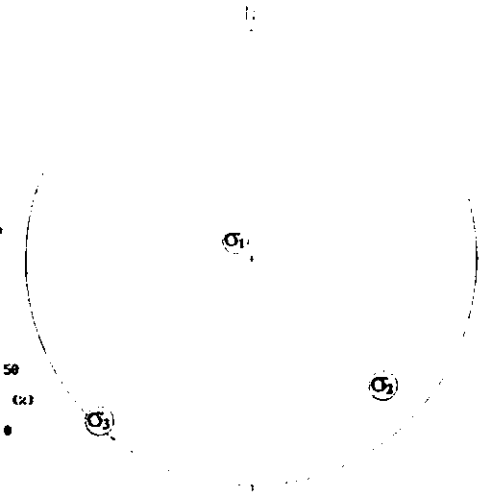
Diagrama Cabeceo/Buzamiento

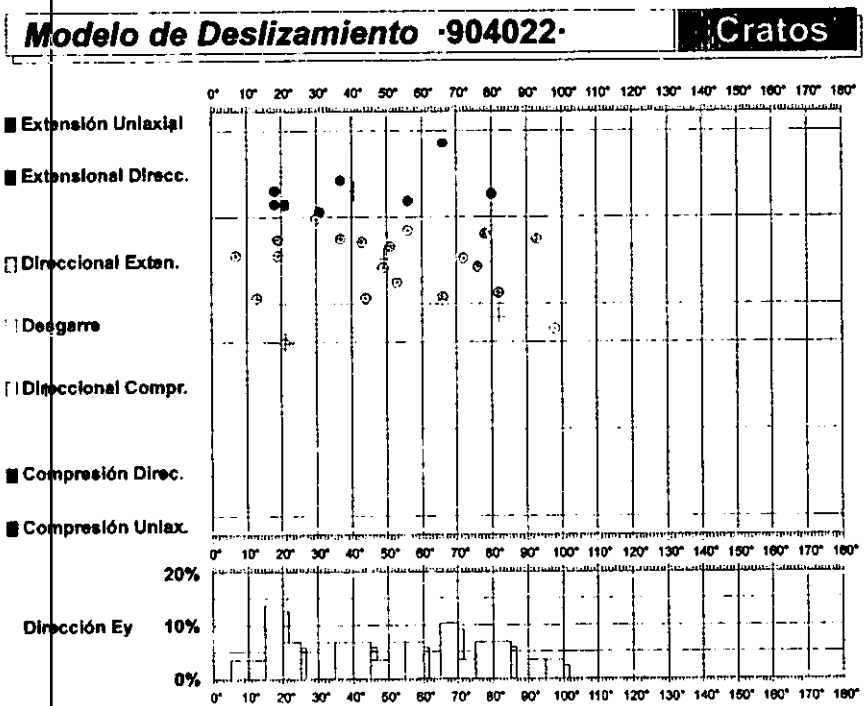


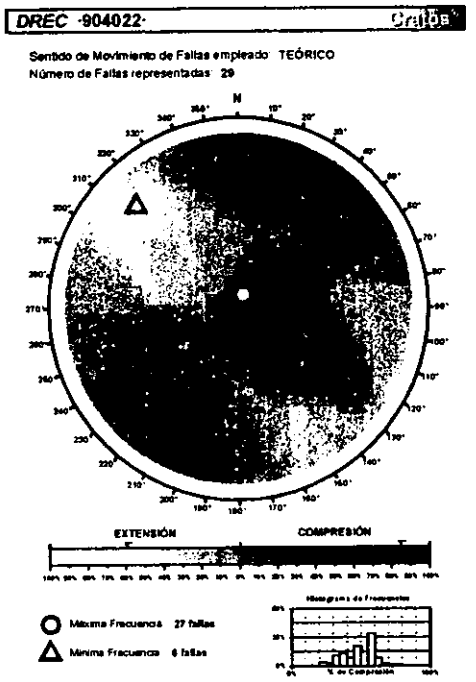
Parámetros Globales
K':1,5952 Buzamiento:76°±06°
PHI:47,80° Cabeceo:40°±11°









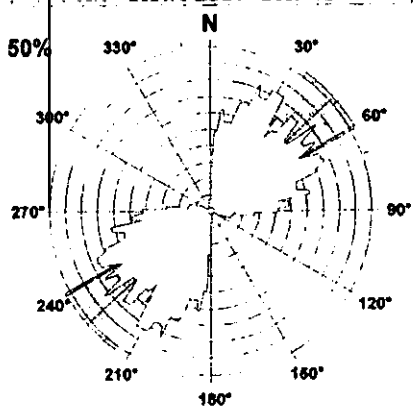


Estación: 904-02
Coordenadas U.T.M. (metros)
X: 417900
Y: 4218600
Z: 359
Litología: Basamento hercínico
Edad: Paleozoico

2ª Subpoblación:	
Ey: 048°±13°	Ey: 048°±13°
Buz: 82°±5°	Buz: 82°±5°
Cab: 35°±14°	Cab: 35°±14°
s1 84°/242°	s1 87°/080°
s2 04°/032°	s2 02°/276°
s3 02°/123°	s3 00°/186°
R = 0.30	R = 0.27
μ = 0.31	μ = 0.40
F.E. = 19 (29)	F.E. = 5 (29)

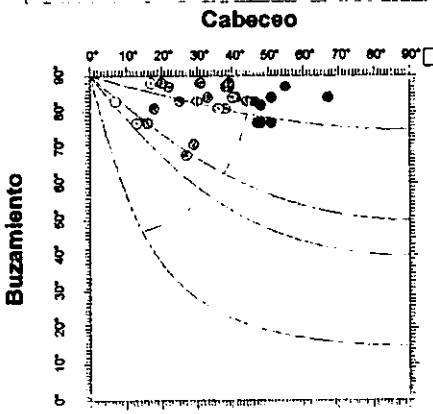
Trazas ciclográficas e histogramas del azimut, buzamiento y cabeceo

Rosa de Direcciones

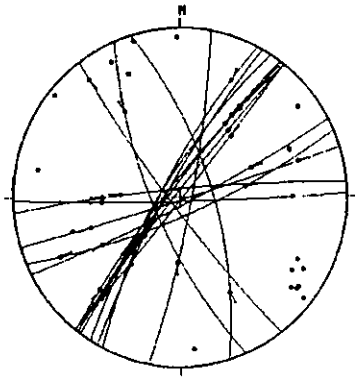


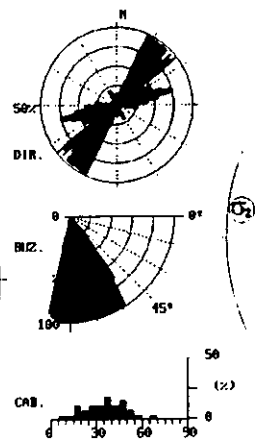
Valor Máximo de Escala: 50%
Ángulo de Apertura: 15°
DEYM: 48° ± 13,21°

Diagrama Cabeceo/Buzamiento

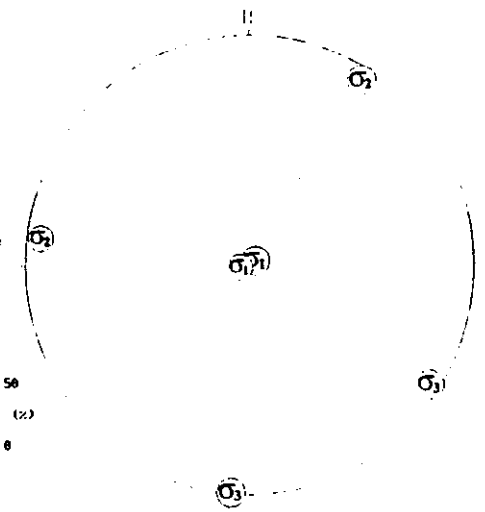


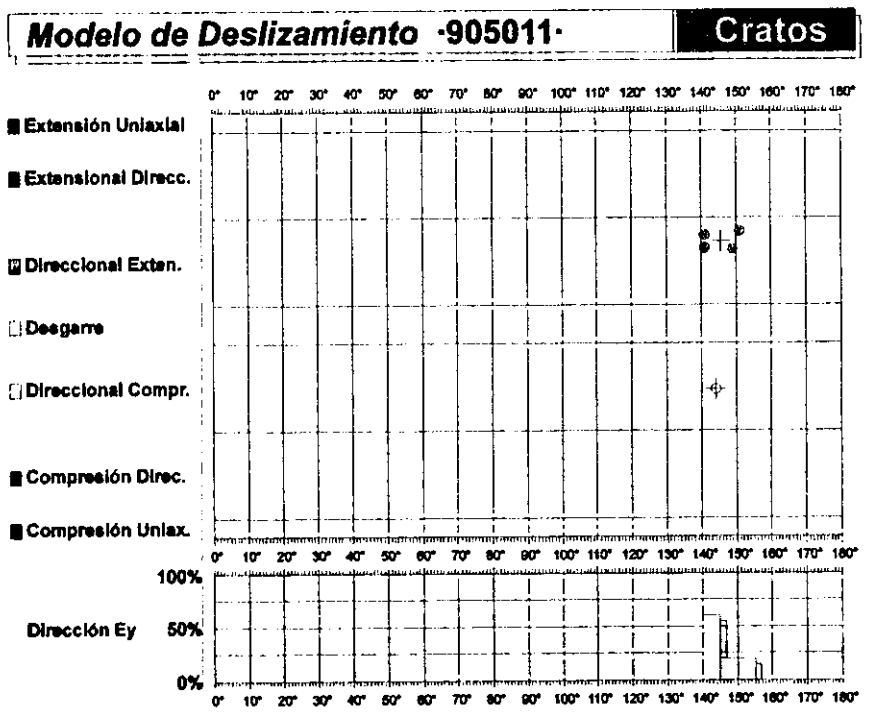
Parámetros Globales
K':-7,1501 Buzamiento:82°±05°
PHI:62,46° Cabeceo:35°±14°

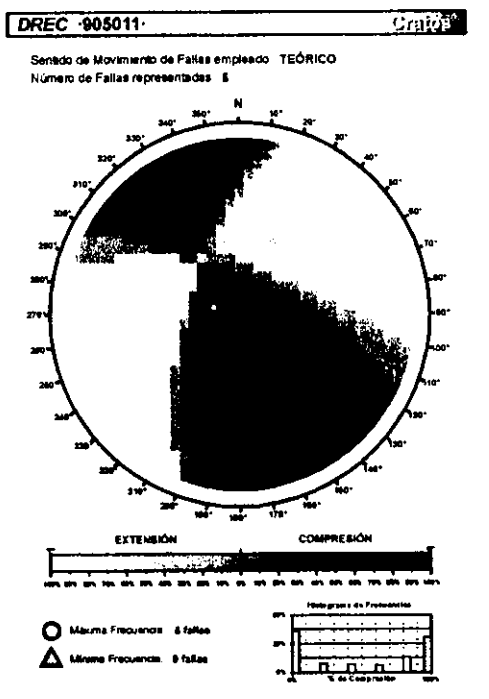




Método de Inversión de Esfuerzos



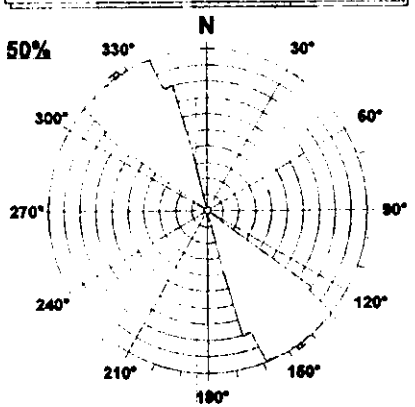


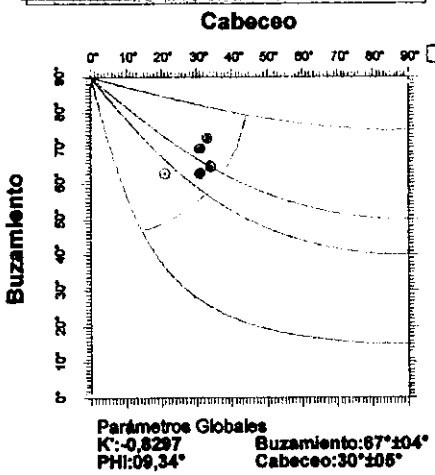


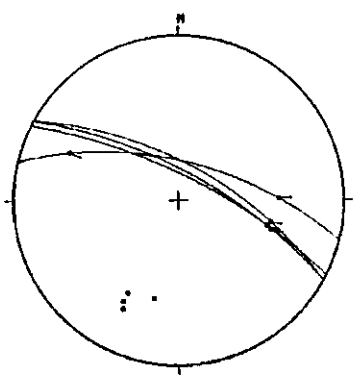
Estación: 905-01
Coordenadas U.T.M. (metros)
X: 431300
Y: 4224600
Z: 441
Litología: Basamento hercínico
Edad: Paleozoico

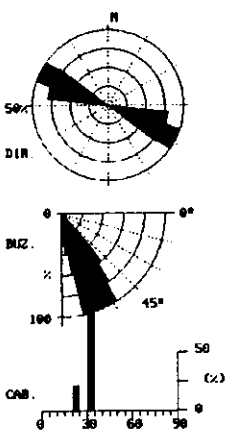
1ª Subpoblación:
Ey: 145°±2°
Buz: 67°±4°
Cab: 30°±5°
s1 --°/---°
s2 --°/---°
s3 --°/---°
R = ---
μ = ---
F.E. = 0 (5)

Trazas ciclográficas e histogramas del azimut, buzamiento y cabeceo

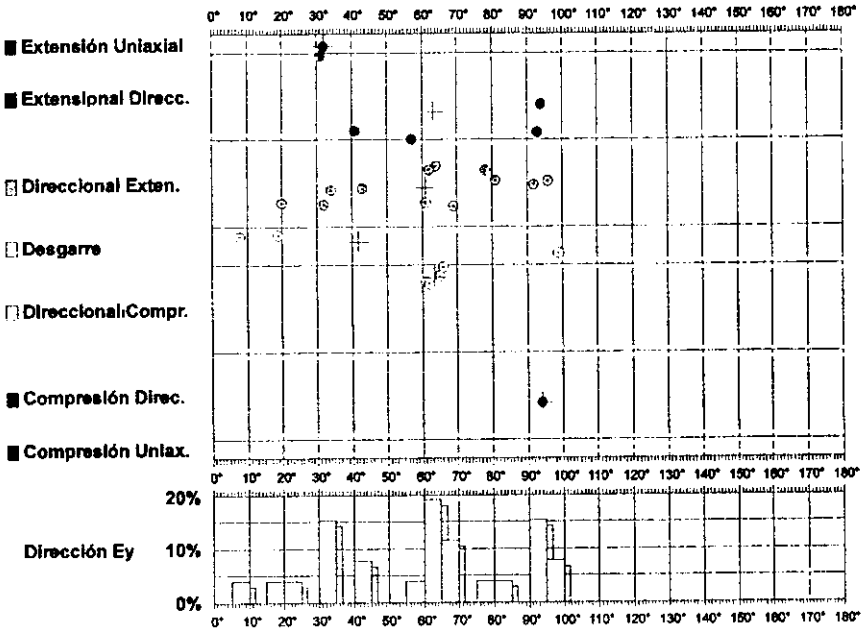


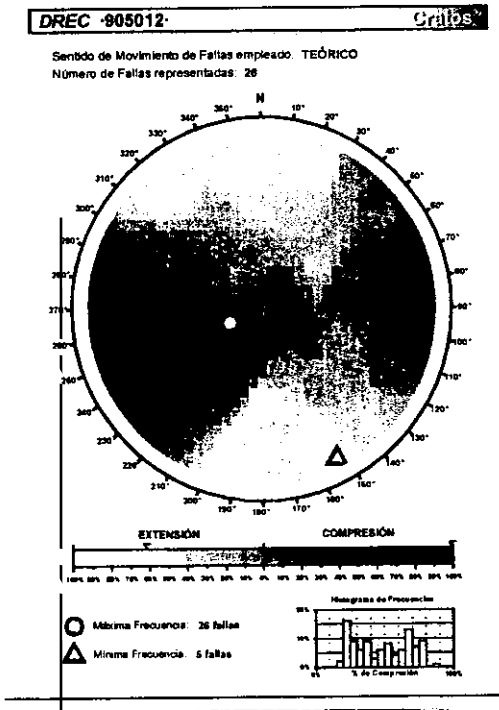






Modelo de Deslizamiento ·905012· Cratos



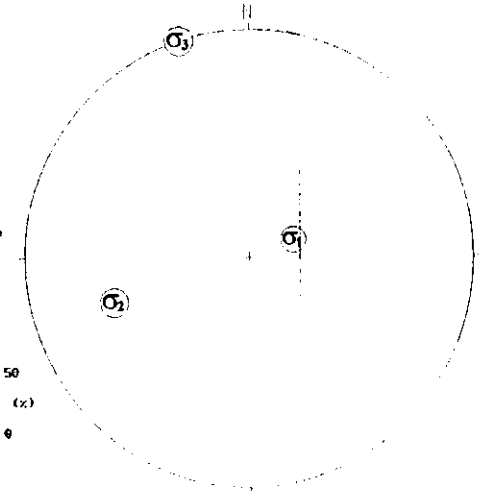


Trazas ciclográficas e histogramas del azimut, buzamiento y cabeceo

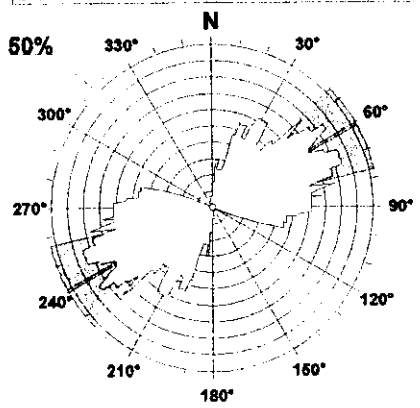
Estación: 905-01
Coordenadas U.T.M. (metros)
X: 431300
Y: 4224600
Z: 441
Litología: Basamento hercínico
Edad: Paleozoico

2ª Subpoblación:
Ey: 061°±16°
Buz: 74°±10°
Cab: 30°±17°
s1 65°/072°
s2 24°/252°
s3 00°/342°
R = 0.25
μ = 0.31
F.E. = 16 (26)

Método de Inversión de Esfuerzos

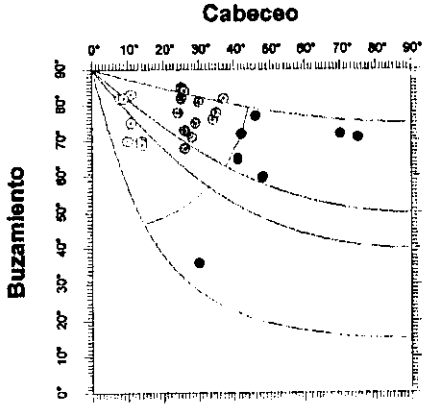


Rosa de Direcciones

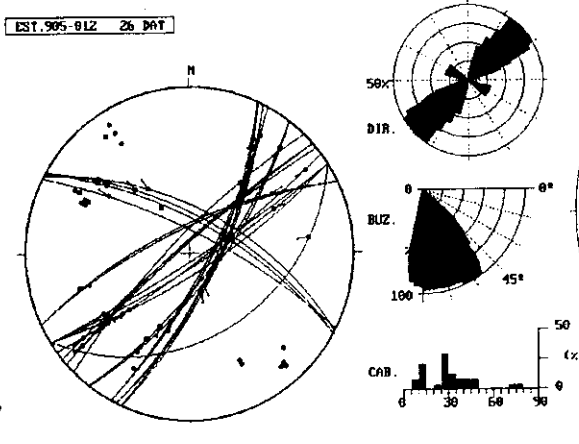


Valor Máximo de Escala: 50%
Ángulo de Apertura: 15°
DEYM: 61° ± 15,53°

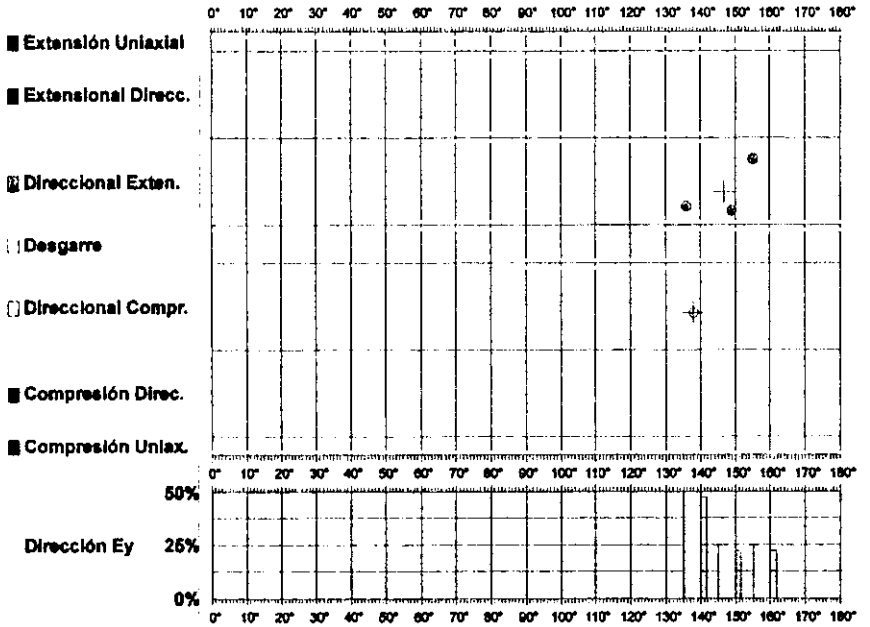
Diagrama Cabeceo/Buzamiento

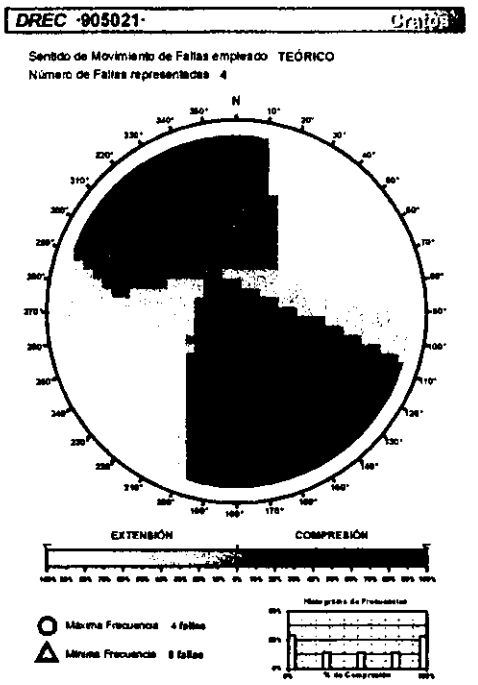


Parámetros Globales
K':2,9063 Buzamiento:74°±10°
PHI:30,33° Cabeceo:30°±17°



Modelo de Deslizamiento ·905021· Cratos



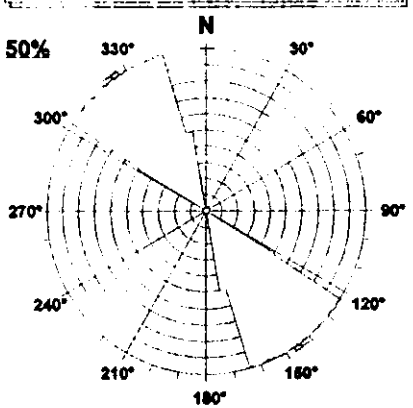


Trazas ciclográficas e histogramas del azimut, buzamiento y cabeceo

Estación: 905-02
Coordenadas U.T.M. (metros)
X: 432100
Y: 4218200
Z: 382
Litología: Carbonatos
Edad: Mioceno superior

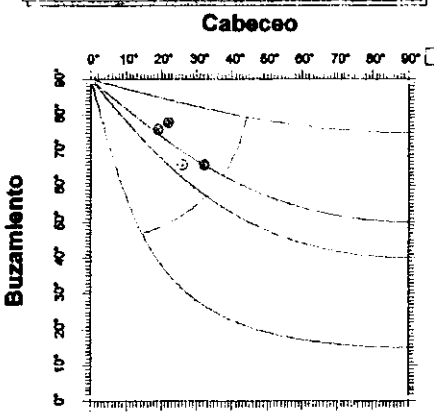
1ª Subpoblación:
Ey: 145°±2°
Buz: 72°±6°
Cab: 25°±5°
s1 --°/---°
s2 --°/---°
s3 --°/---°
R = ---
μ = ---
F.E. = 0 (4)

Rosa de Direcciones

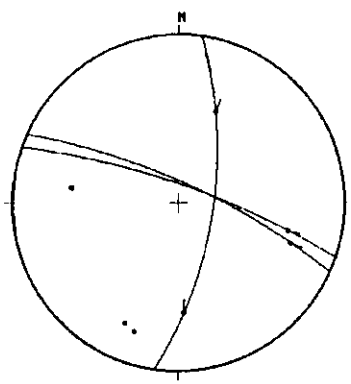


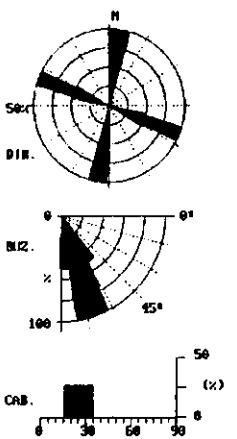
Valor Máximo de Escala: 50%
Ángulo de Apertura: 15°
DE/IM: 144° ± 2,88°

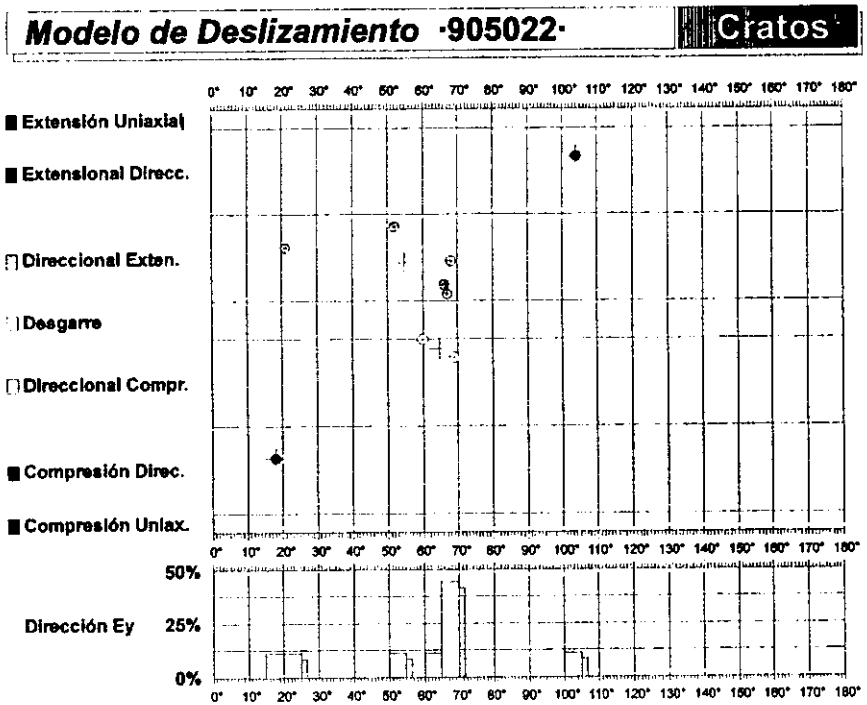
Diagrama Cabeceo/Buzamiento

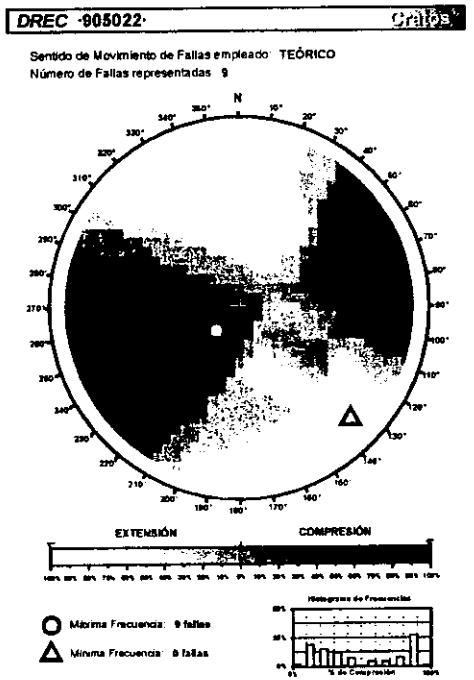


Parámetros Globales
K':0,3739 Buzamiento:72°±06°
PHI:14,89° Cabeceo:25°±05°







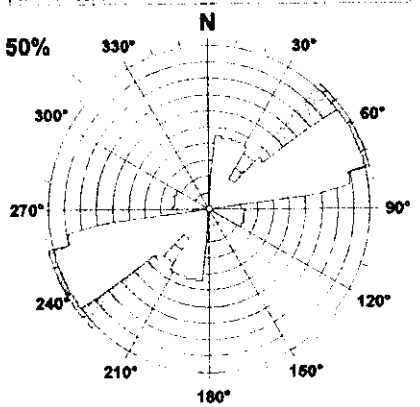


Estación: 905-02
Coordenadas U.T.M. (metros)
X: 432100
Y: 4218200
Z: 382
Litología: Carbonatos
Edad: Mioceno superior

2ª Subpoblación:
Ey: 059°±17°
Buz: 71°±12°
Cab: 26°±15°
s1 35°/226°
s2 49°/078°
s3 16°/328°
R = 0.56
μ = 0.31
F.E. = 8 (9)

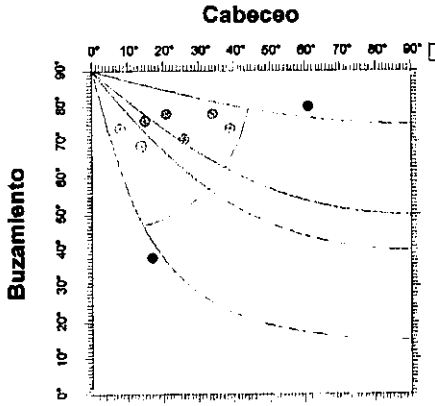
Trazas ciclográficas e histogramas del azimut, buzamiento y cabeceo

Rosa de Direcciones

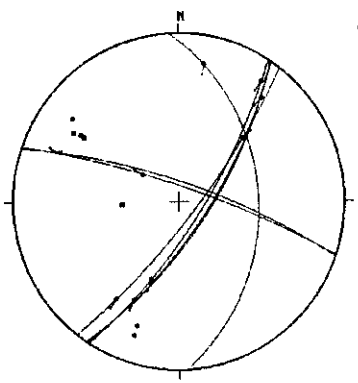


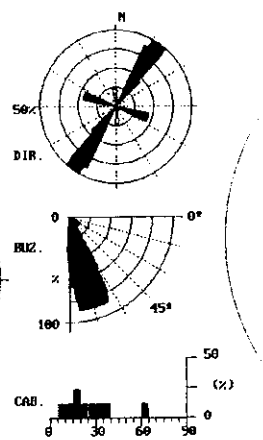
Valor Máximo de Escala: 50%
Ángulo de Apertura: 15°
DEYM: 59° ± 17,44°

Diagrama Cabeceo/Buzamiento

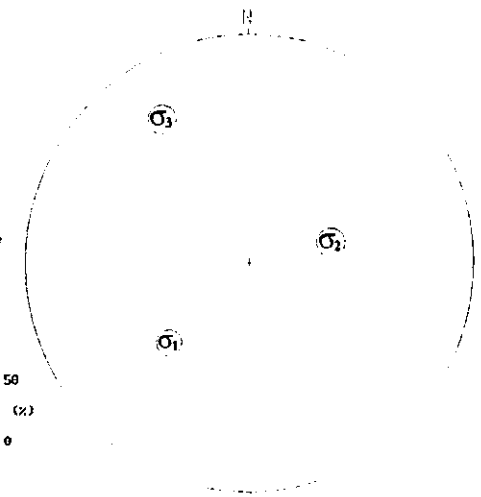


Parámetros Globales
K':-1,4356
PHI:13,70°
Buzamiento:71°±12°
Cabeceo:26°±15°

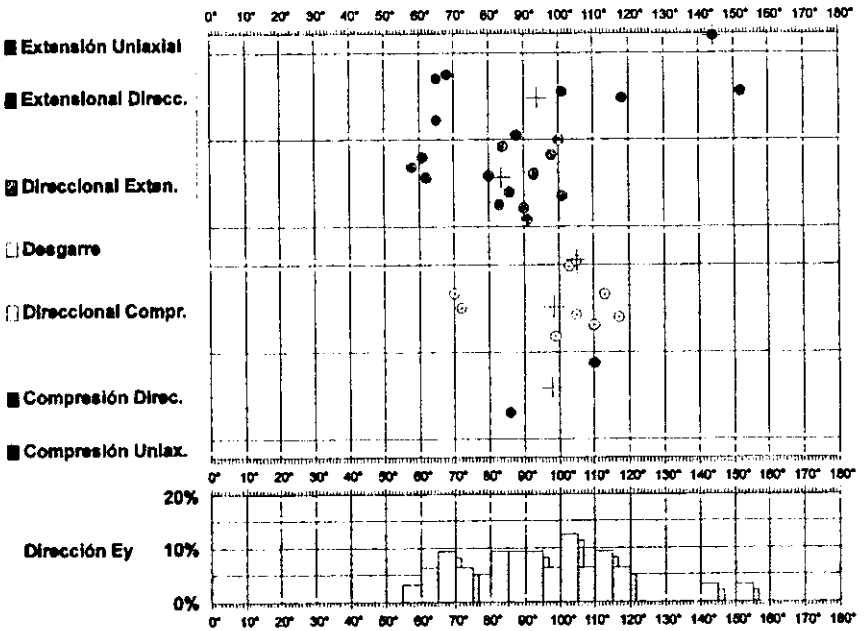


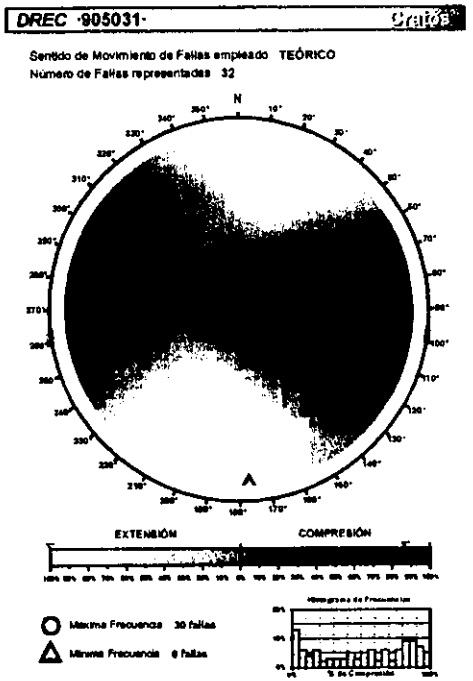


Método de Inversión de Esfuerzos



Modelo de Deslizamiento ·905031· Cratos





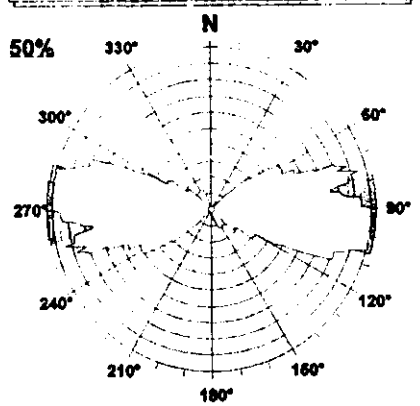
Estación: 905-03
Coordenadas U.T.M. (metros)
X: 426700
Y: 4216100
Z: 253
Litología: Basamento hercínico
Edad: Paleozoico

1ª Subpoblación:	
Ey: 092°±14°	Ey: 092°±14°
Buz: 67°±9°	Buz: 67°±9°
Cab: 34°±16°	Cab: 34°±16°
s1 62°/039°	s1 58°/313°
s2 14°/280°	s2 29°/108°
s3 23°/184°	s3 11°/204°
R = 0.34	R = 0.59
μ = 0.31	μ = 0.31
F.E. = 15 (32)	F.E. = 12 (32)

Trazas ciclográficas e histogramas del azimut, buzamiento y cabeceo

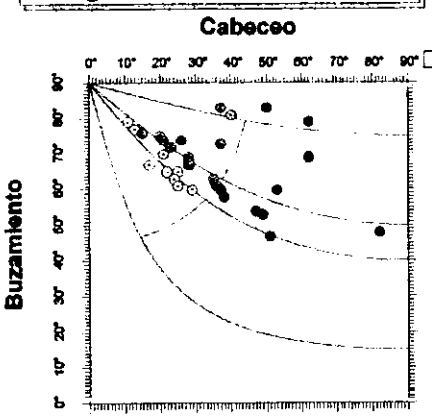
Método de Inversión de Esfuerzos

Rosa de Direcciones

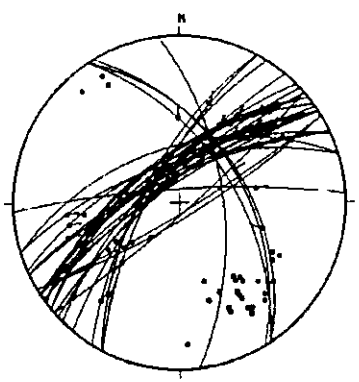


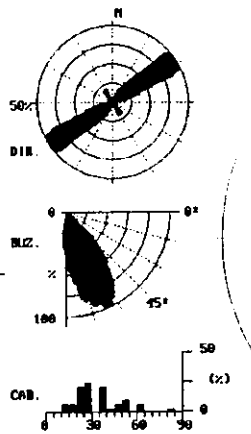
Valor Máximo de Escala: 50%
Ángulo de Apertura: 15°
DEYM: 92° ± 13,91°

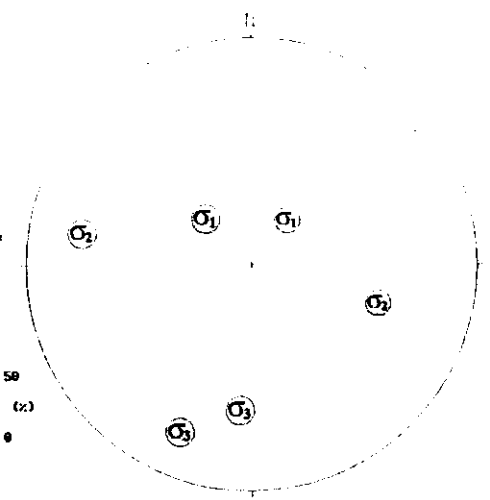
Diagrama Cabeceo/Buzamiento

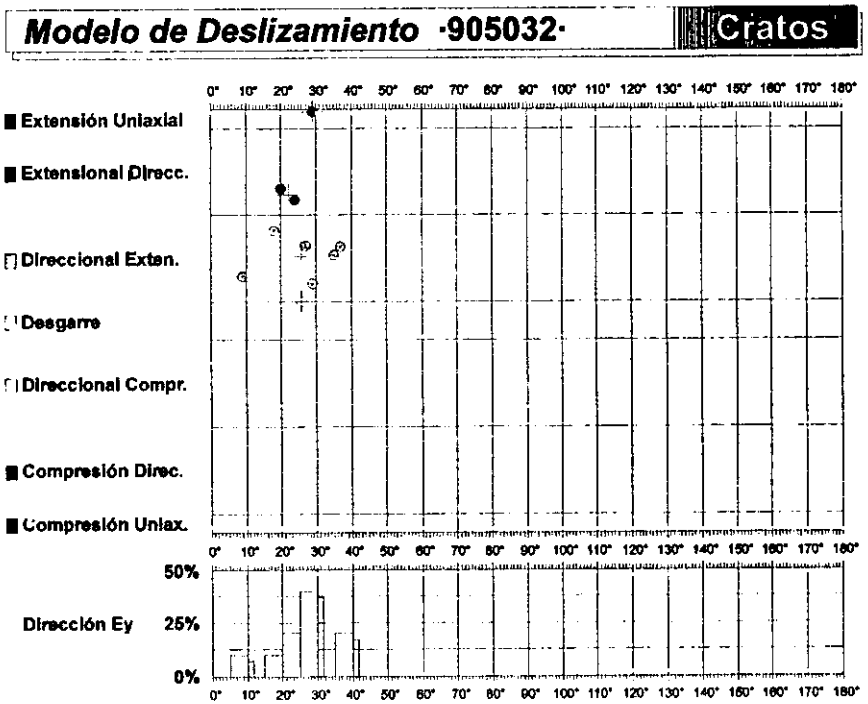


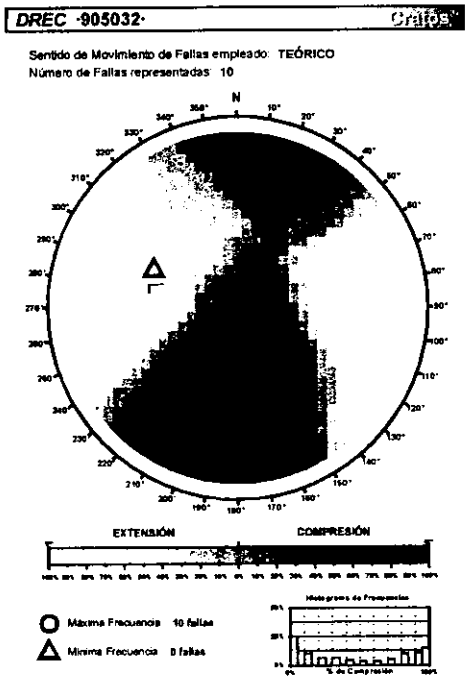
Parámetros Globales
K':-2,7551
PHI:15,60°
Buzamiento:67°±09°
Cabeceo:34°±16°









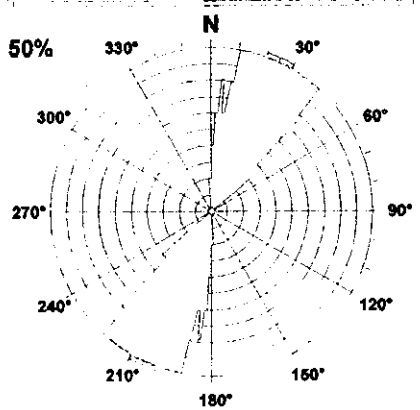


Estación: 905-03
Coordenadas U.T.M. (metros)
X: 426700
Y: 4216100
Z: 253
Litología: Basamento hercínico
Edad: Paleozoico

2ª Subpoblación:
Ey: 025°±5°
Buz: 73°±6°
Cab: 37°±18°
s1 77°/209°
s2 12°/023°
s3 01°/114°
R = 0.86
μ = 0.40
F.E. = 10 (10)

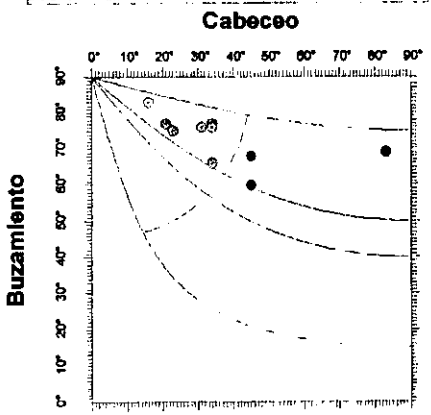
Trazas ciclográficas e histogramas del azimut, buzamiento y cabeceo

Rosa de Direcciones

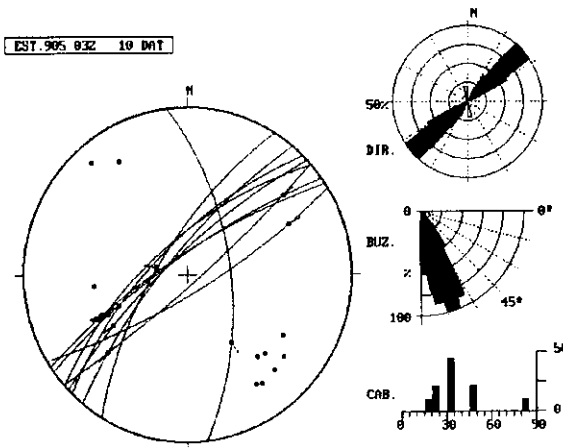


Valor Máximo de Escala: 50%
Ángulo de Apertura: 15°
DEYM: 25° ± 5,13°

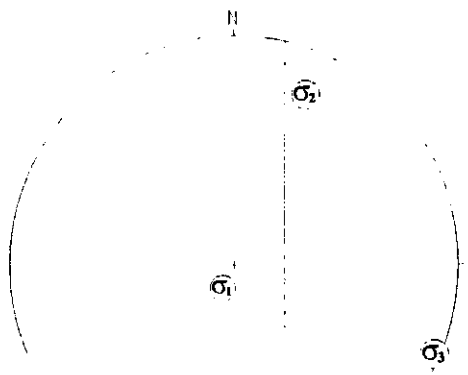
Diagrama Cabeceo/Buzamiento

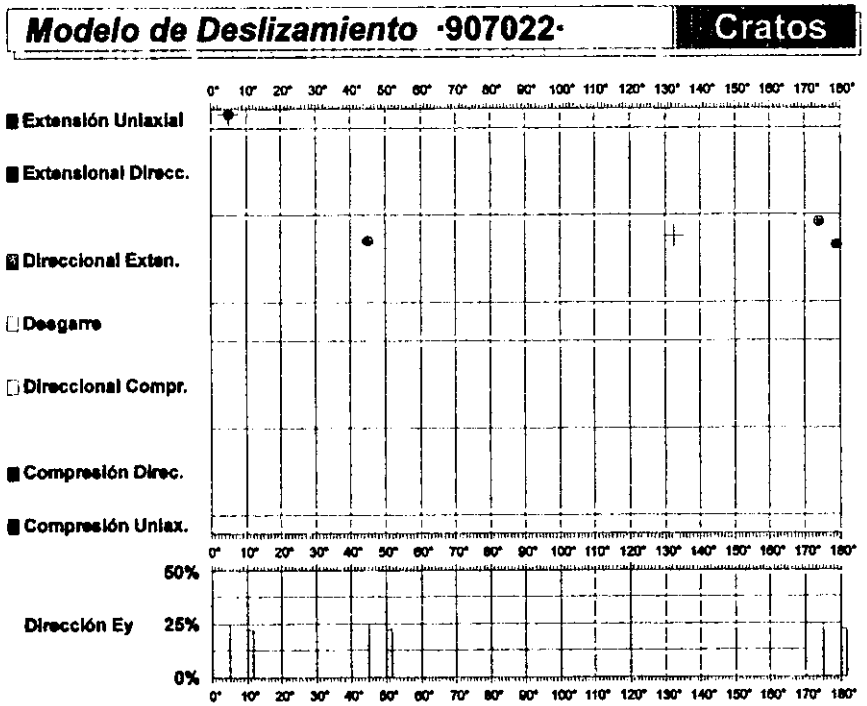


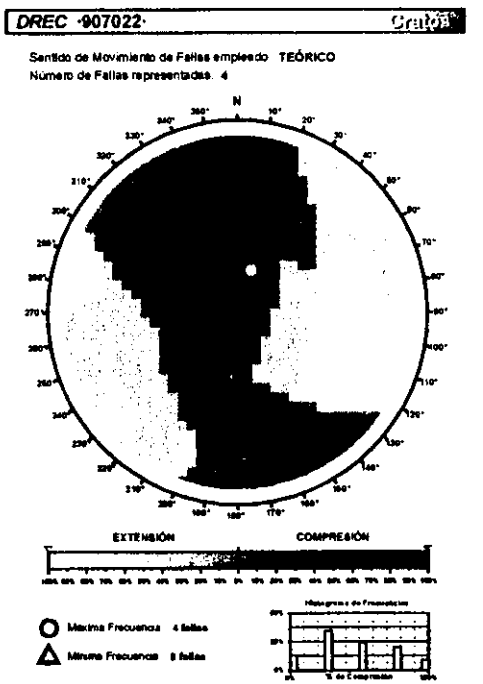
Parámetros Globales
K':3,3709 Buzamiento:73°±06°
PHI:36,14° Cabeceo:37°±18°



Método de Inversión de Esfuerzos



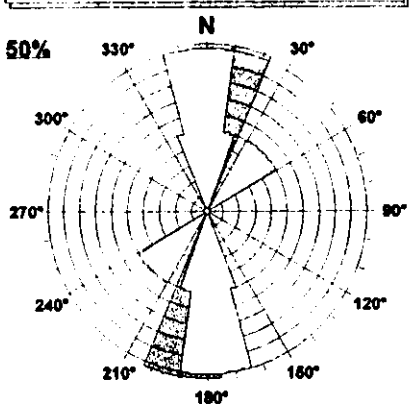


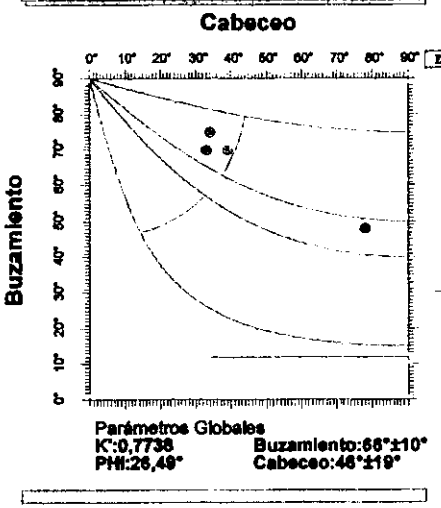


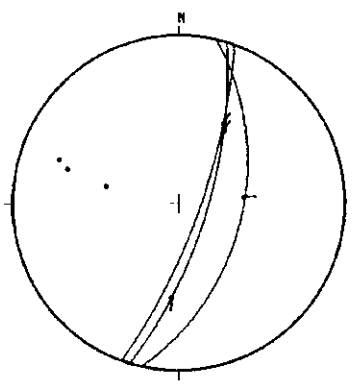
Estación: 907-02
Coordenadas U.T.M. (metros)
X: 496900
Y: 4213900
Z: 428
Litología: Carbonatos
Edad: Mioceno inferior

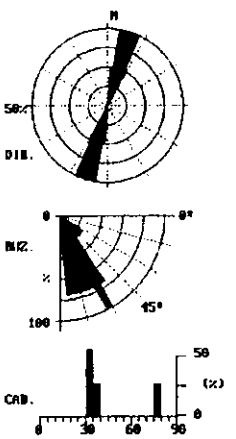
2ª Subpoblación:
Ey: 009°±14°
Buz: 66°±10°
Cab: 46°±19°
s1 --°/---°
s2 --°/---°
s3 --°/---°
R = ---
μ = ---
F.E. = 0 (4)

Trazas cicloográficas e histogramas del azimut, buzamiento y cabeceo



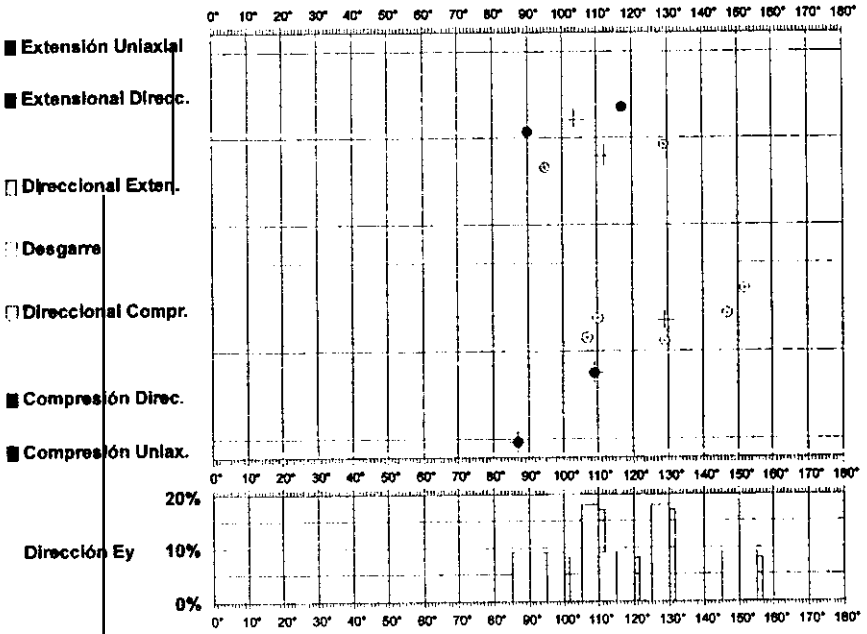


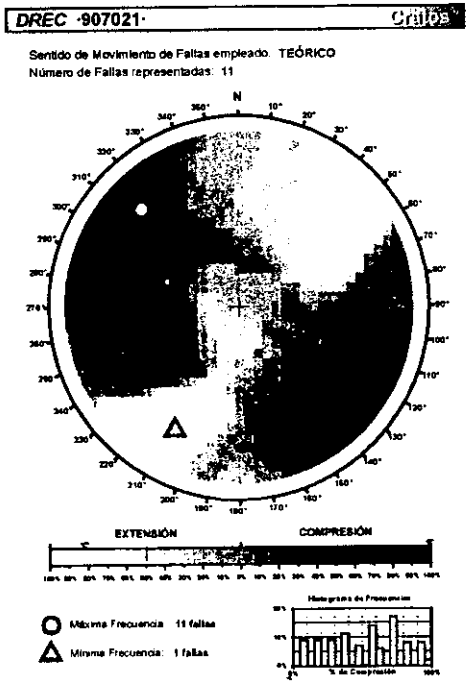




Modelo de Deslizamiento ·907021·

Cratos



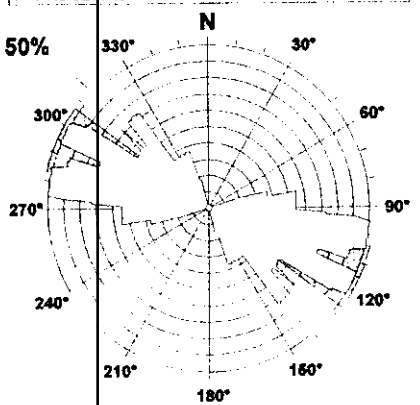


Estación: 907-02
Coordenadas U.T.M. (metros)
X: 496900
Y: 4213900
Z: 428
Litología: Carbonatos
Edad: Mioceno inferior

1ª Subpoblación:
Ey: 115°±12°
Buz: 62°±10°
Cab: 35°±13°
s1 48°/147°
s2 38°/301°
s3 12°/042°
R = 0.38
μ = 0.31
F.E. = 6 (11)

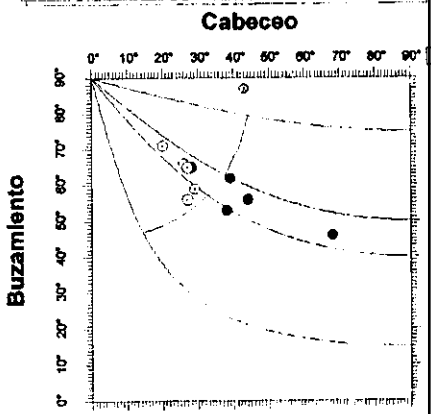
Trazas ciclográficas e histogramas del azimut, buzamiento y cabeceo

Rosa de Direcciones

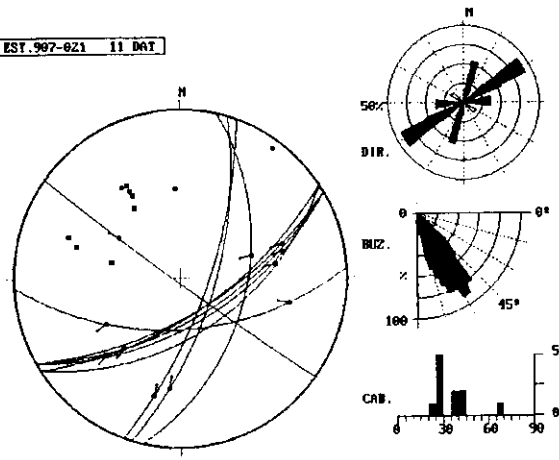


Valor Máximo de Escala: 50%
Ángulo de Apertura: 15°
DEYM: 115° ± 11,88°

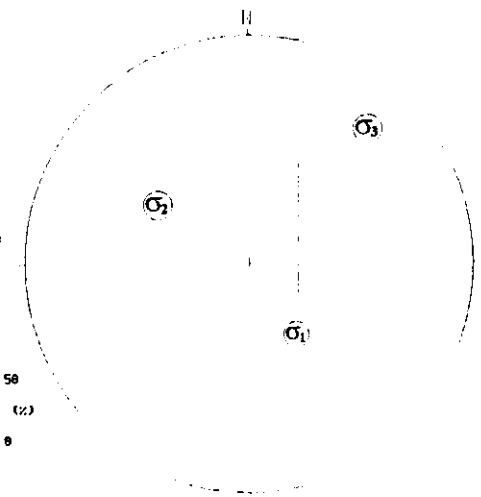
Diagrama Cabeceo/Buzamiento



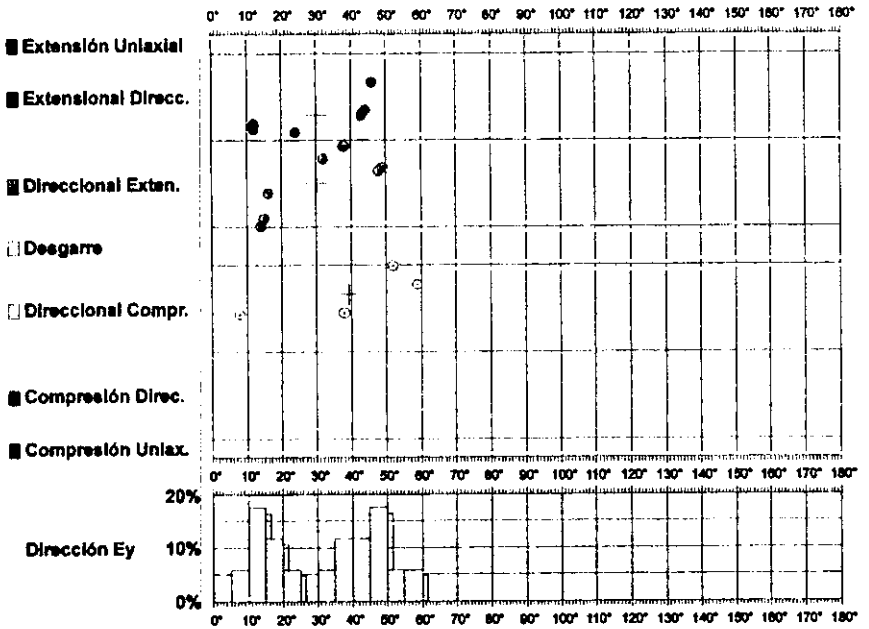
Parámetros Globales
K':-0,7173
PHI:04,34°
Buzamiento:62°±10°
Cabeceo:35°±13°

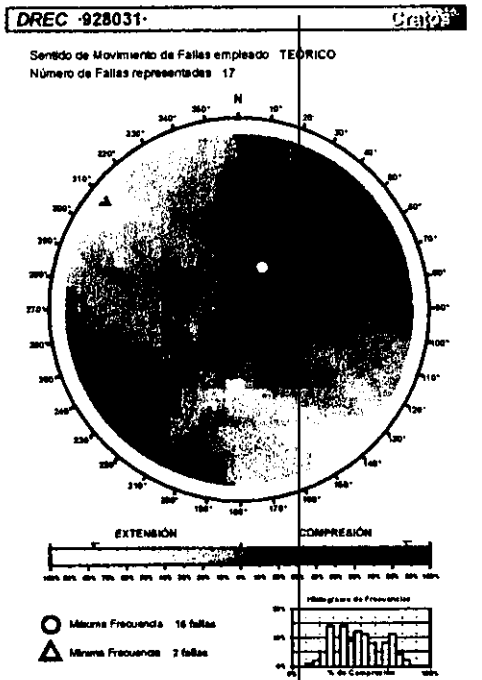


Método de Inversión de Esfuerzos



Modelo de Deslizamiento ·928031· Cratos



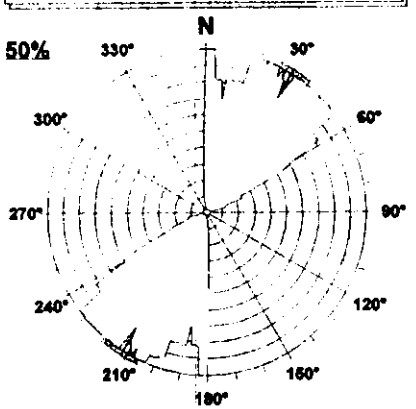


Estación: 928-03
Coordenadas U.T.M. (metros)
X: 504400
Y: 4200900
Z: 930
Litología: Carbonatos
Edad: Jurásico

1ª Subpoblación:
Ey: 032°±7°
Buz: 75°±9°
Cab: 33°±15°
s1 56°/041°
s2 33°/231°
s3 04°/138°
R = 0.68
μ = 0.31
F.E. = 12 (17)

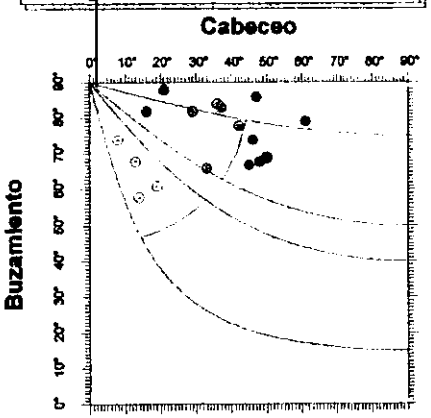
Trazas cicloográficas e histogramas del azimut, buzamiento y cabeceo

Rosa de Direcciones

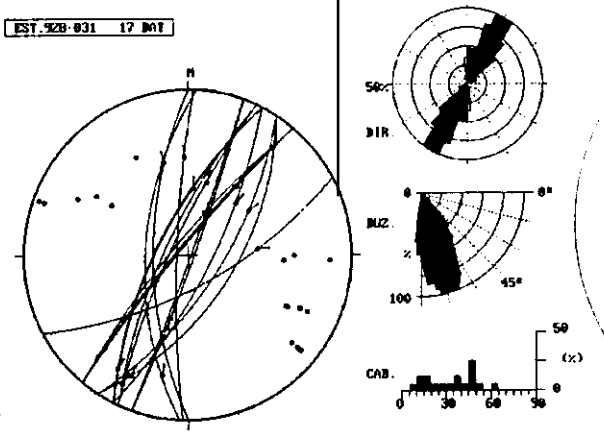


Valor Máximo de Escala: 50%
Ángulo de Apertura: 15°
DEYM: 32° ± 7,03°

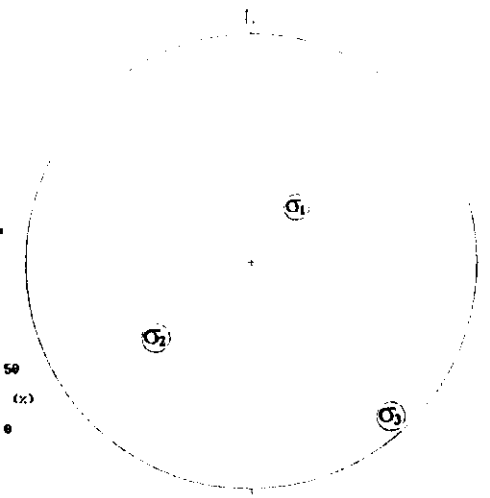
Diagrama Cabeceo/Buzamiento

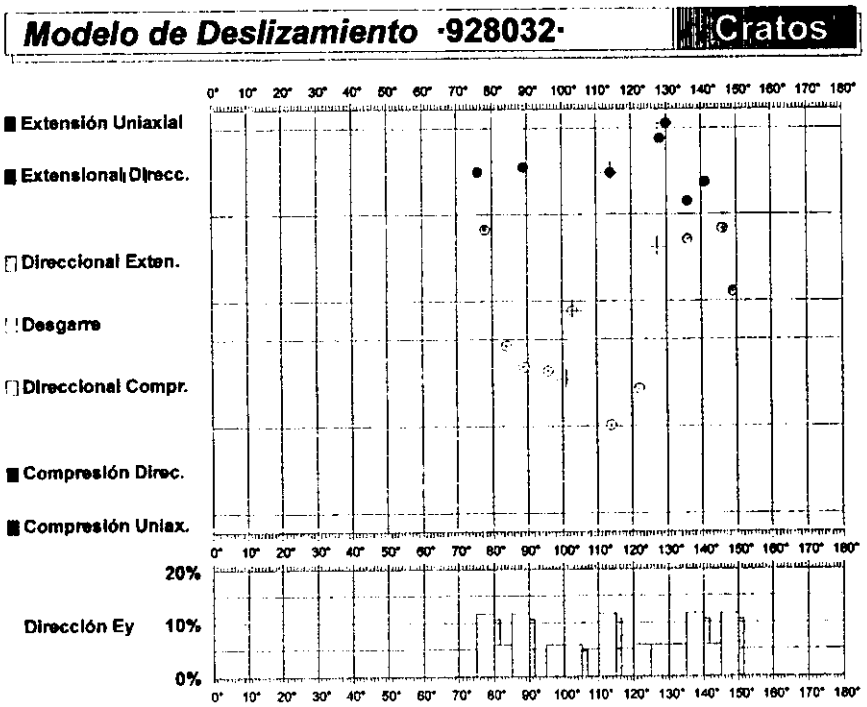


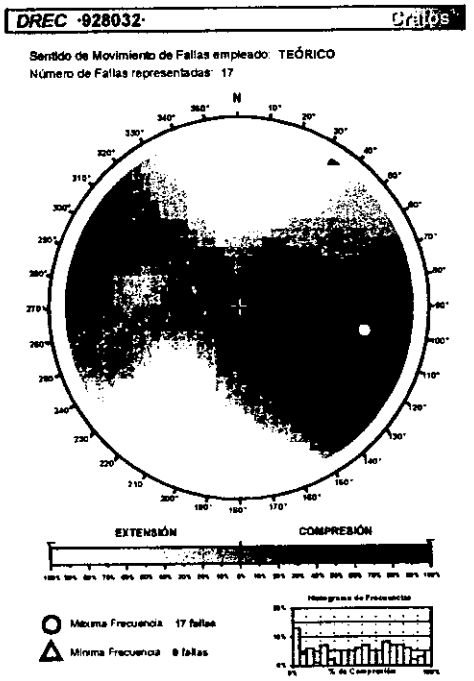
Parámetros Globales
K':-0,4353 Buzamiento:75°±09°
PHI:37,61° Cabeceo:33°±15°



Método de Inversión de Esfuerzos



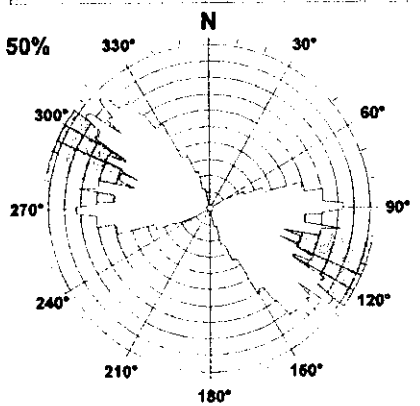




Estación: 928-03
Coordenadas U.T.M. (metros)
X: 504400
Y: 4200900
Z: 930
Litología: Carbonatos
Edad: Jurásico

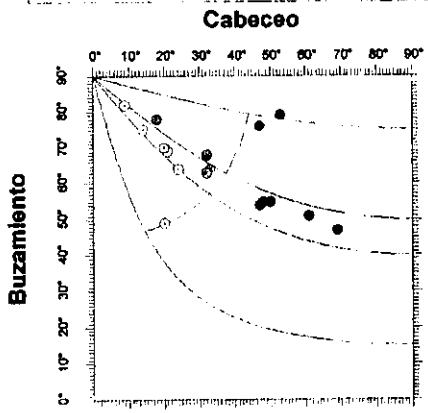
2ª Subpoblación:
Ey: 114°±12°
Buz: 65°±11°
Cab: 35°±17°
s1 86°/056°
s2 02°/289°
s3 03°/199°
R = 0.59
μ = 0.31
F.E. = 10 (17)

Rosa de Direcciones



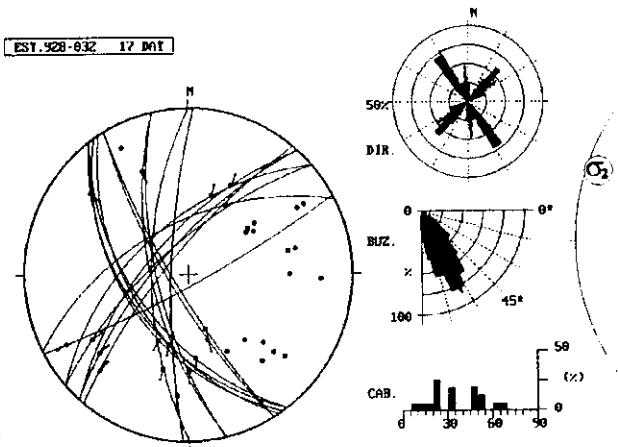
Valor Máximo de Escala: 50%
Ángulo de Apertura: 15°
DEYM: 114° ± 11,76°

Diagrama Cabeceo/Buzamiento

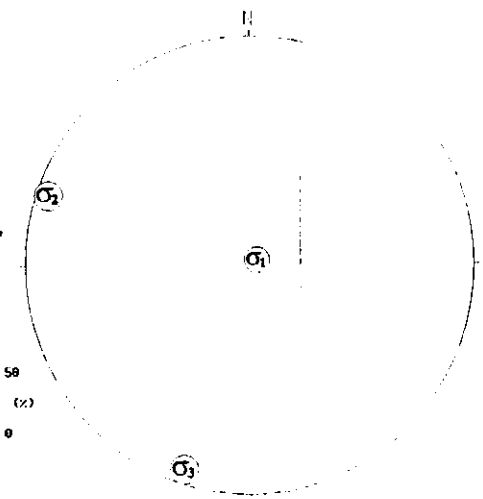


Parámetros Globales
K':4,1715
PHI:11,78°
Buzamiento:65°±11°
Cabeceo:35°±17°

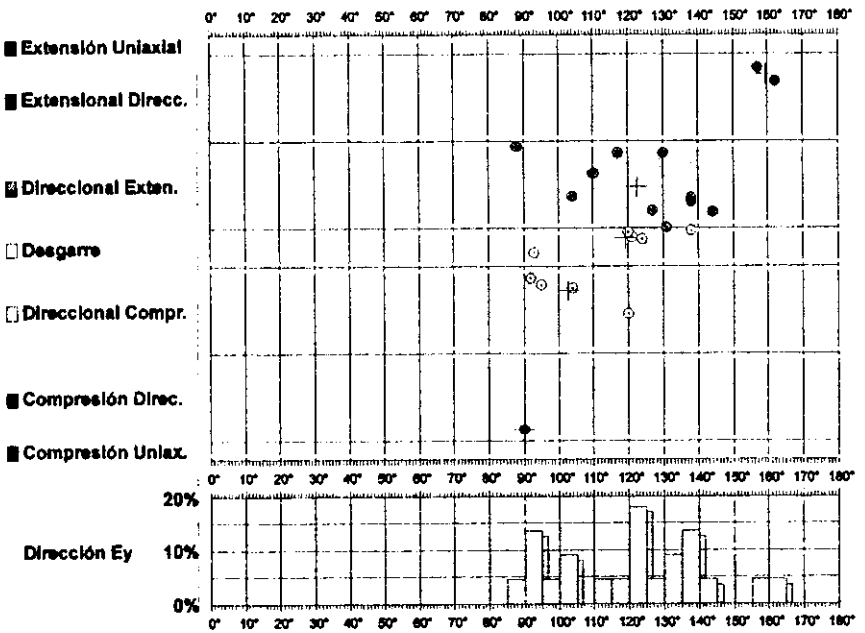
Trazas ciclográficas e histogramas del azimut, buzamiento y cabeceo

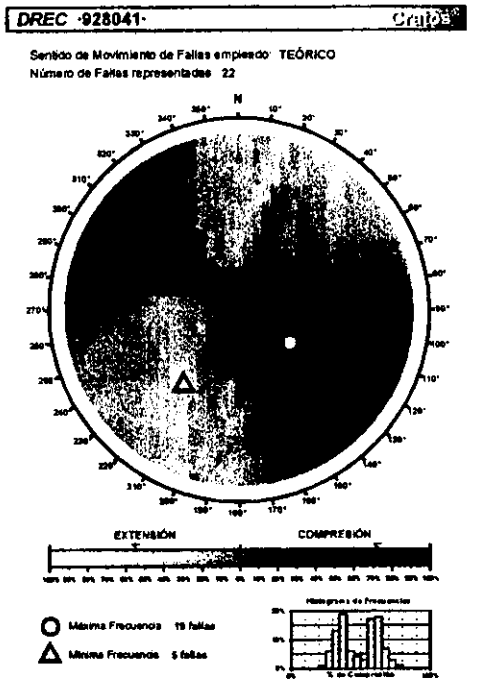


Método de Inversión de Esfuerzos



Modelo de Deslizamiento ·928041· Cratos

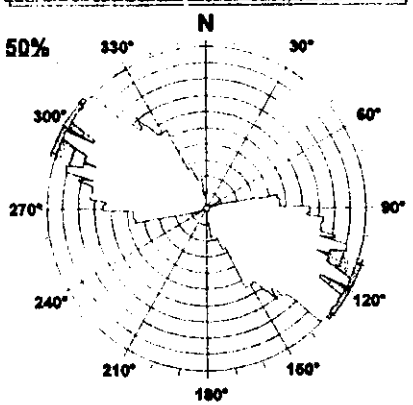




Estación: 928-04
Coordenadas U.T.M. (metros)
X: 496800
Y: 4190700
Z: 833
Litología: Carbonatos
Edad: Jurásico

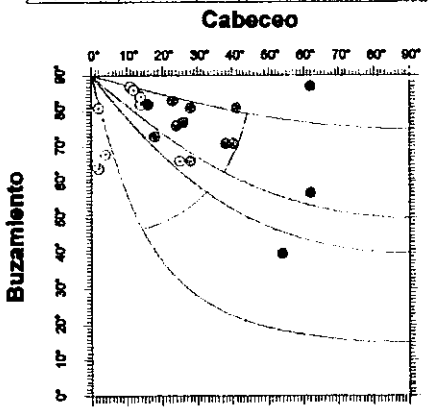
1ª Subpoblación:	
Ey: 120°±12°	Ey: 120°±12°
Buz: 74°±11°	Buz: 74°±11°
Cab: 25°±18°	Cab: 25°±18°
s1 59°/299°	s1 10°/096°
s2 28°/139°	s2 71°/332°
s3 08°/045°	s3 14°/189°
R = 0.34	R = 0.95
μ = 0.31	μ = 0.31
F.E. = 8 (22)	F.E. = 8 (22)

Rosa de Direcciones



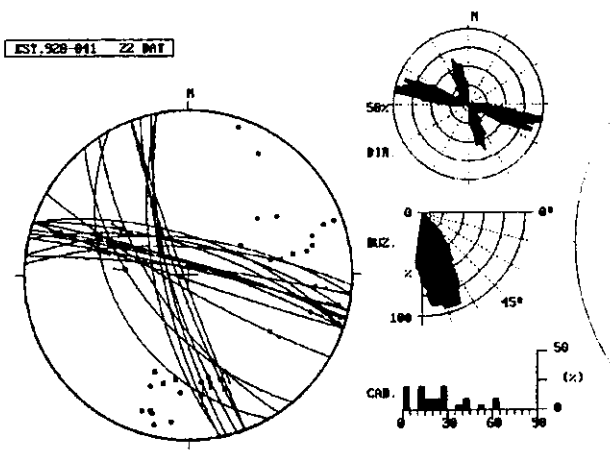
Valor Máximo de Escala: 50%
Ángulo de Apertura: 15°
DEYM: 120° ± 12,29°

Diagrama Cabeceo/Buzamiento

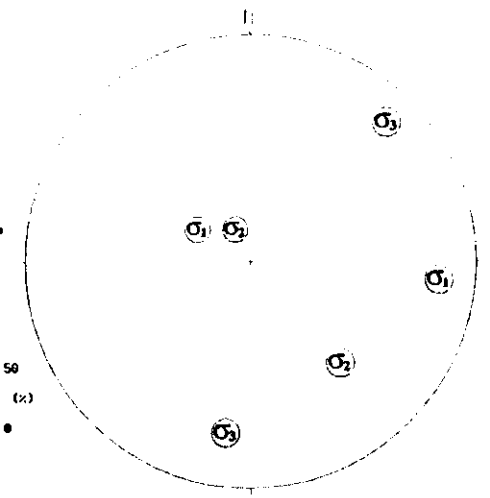


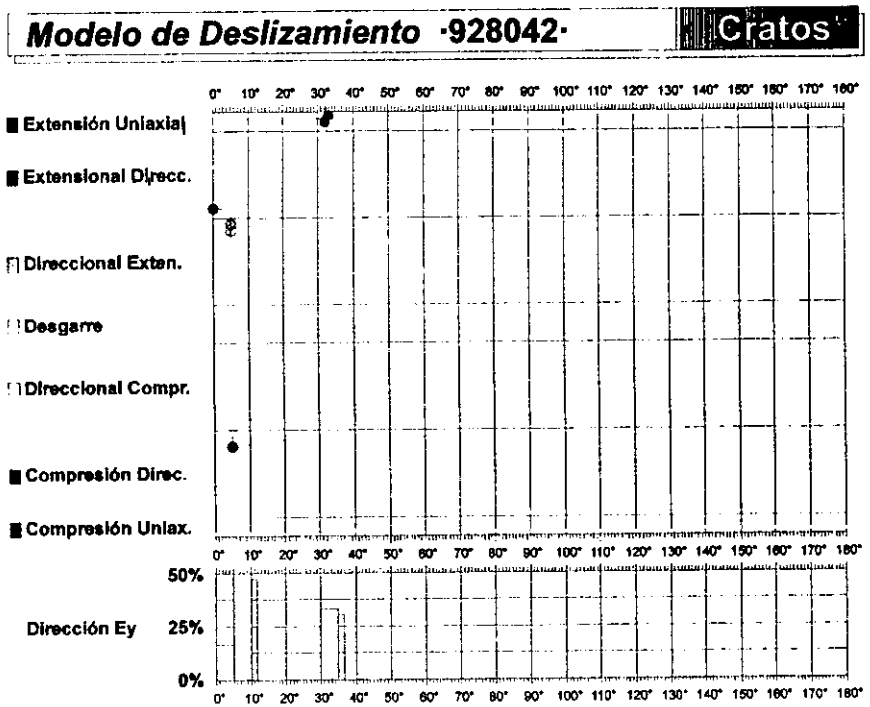
Parámetros Globales
K':3,8319 Buzamiento:74°±11°
PHI:21,88° Cabeceo:25°±18°

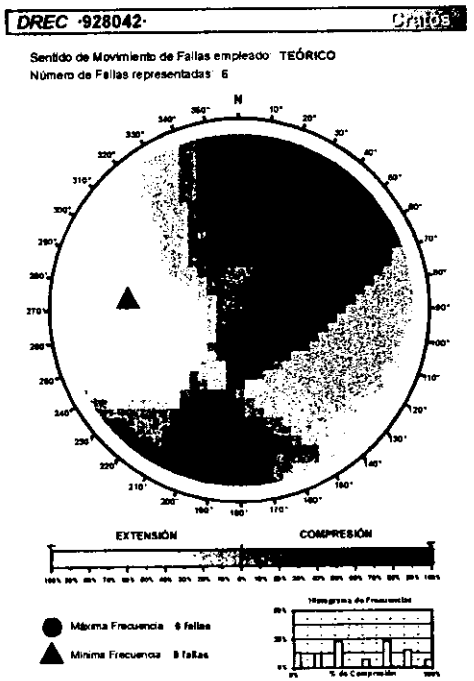
Trazas cicloográficas e histogramas del azimut, buzamiento y cabeceo



Método de Inversión de Esfuerzos





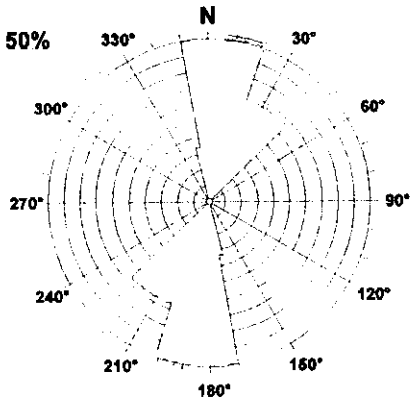


Estación: 928-04
Coordenadas U.T.M. (metros)
X: 496800
Y: 4190700
Z: 833
Litología: Carbonatos
Edad: Jurásico

2ª Subpoblación:
Ey: 013°±6°
Buz: 70°±12°
Cab: 51°±20°
s1 75°/209°
s2 14°/033°
s3 01°/303°
R = 0.44
μ = 0.31
F.E. = 5 (6)

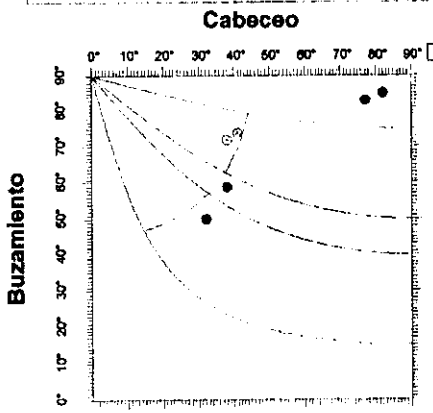
Trazas cicloográficas e histogramas del azimut, buzamiento y cabeceo

Rosa de Direcciones

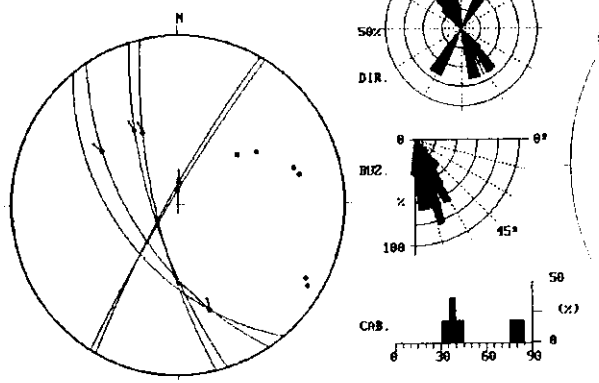


Valor Máximo de Escala: 50%
Ángulo de Apertura: 15°
DEYM: 13° ± 5,68°

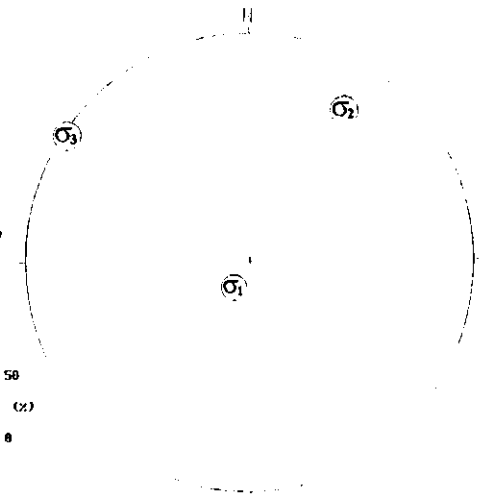
Diagrama Cabeceo/Buzamiento



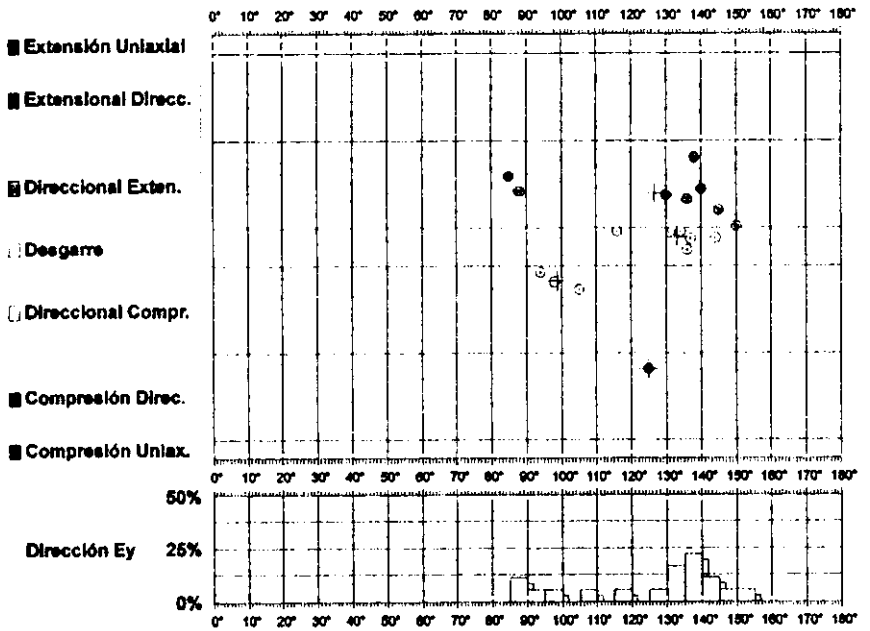
Parámetros Globales
K':0,0852
PHI:39,81°
Buzamiento:71°±12°
Cabeceo:51°±20°

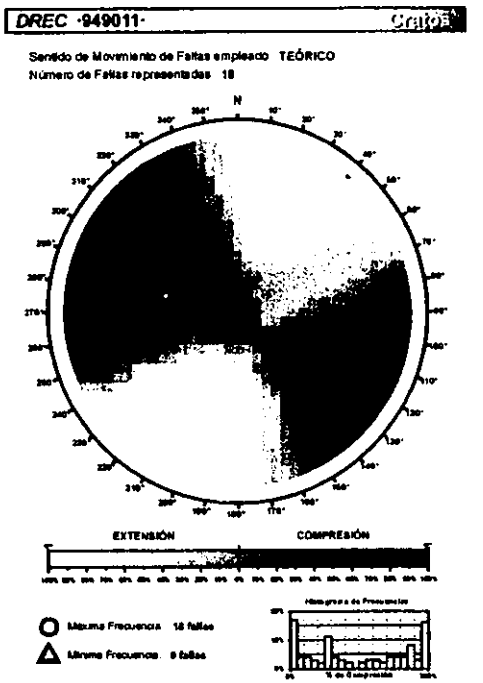


Método de Inversión de Esfuerzos



Modelo de Deslizamiento ·949011· Cratos





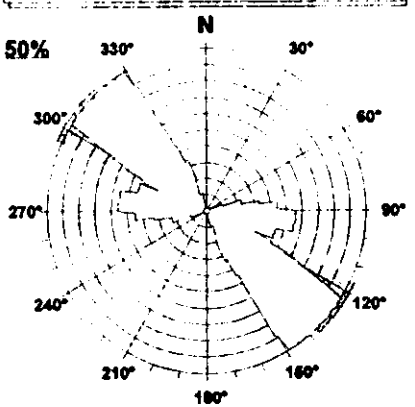
Estación: 949-01
Coordenadas U.T.M. (metros)
X: 496000
Y: 4183100
Z: 1041
Litología: Carbonatos
Edad: Jurásico

1ª Subpoblación:
Ey: 126°±11°
Buz: 77°±7°
Cab: 20°±9°
s1 38°/300°
s2 51°/112°
s3 04°/207°
R = 0.69
μ = 0.31
F.E. = 16 (18)

Trazas ciclográficas e histogramas del azimut, buzamiento y cabeceo

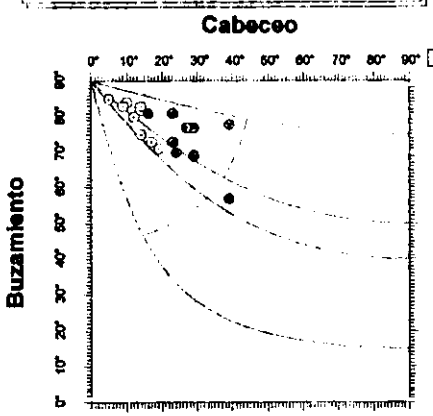
Método de Inversión de Esfuerzos

Rosa de Direcciones

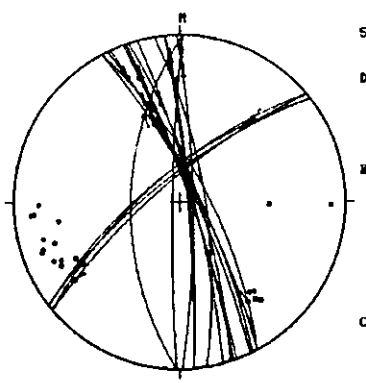


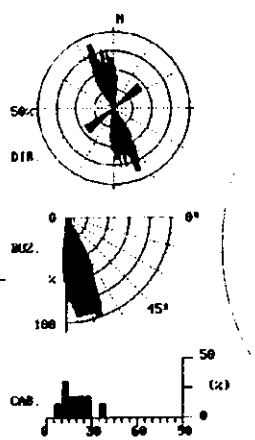
Valor Máximo de Escala: 50%
Ángulo de Apertura: 15°
DEYM: 126° ± 11,33°

Diagrama Cabeceo/Buzamiento



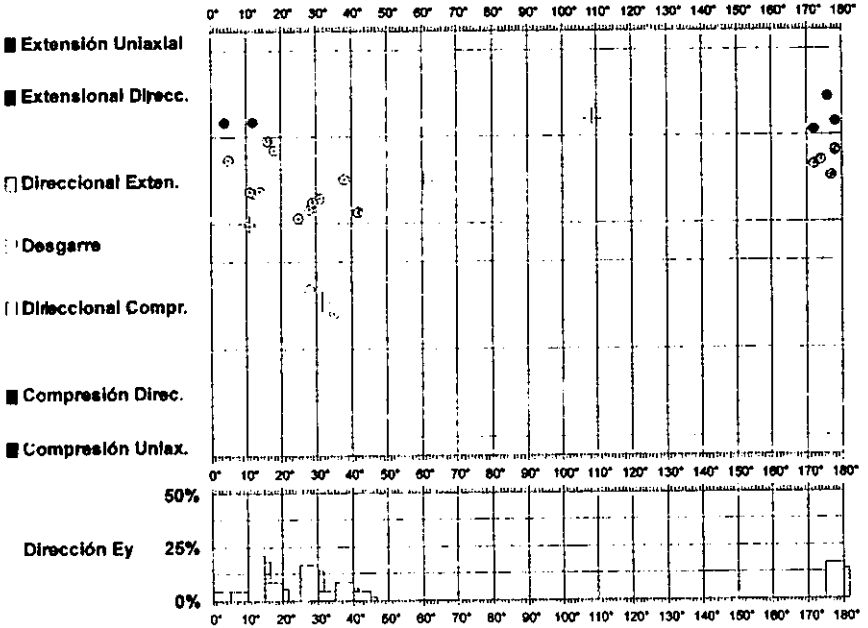
Parámetros Globales
K':5,2006
PHI:21,96°
Buzamiento:77°±07°
Cabeceo:20°±09°

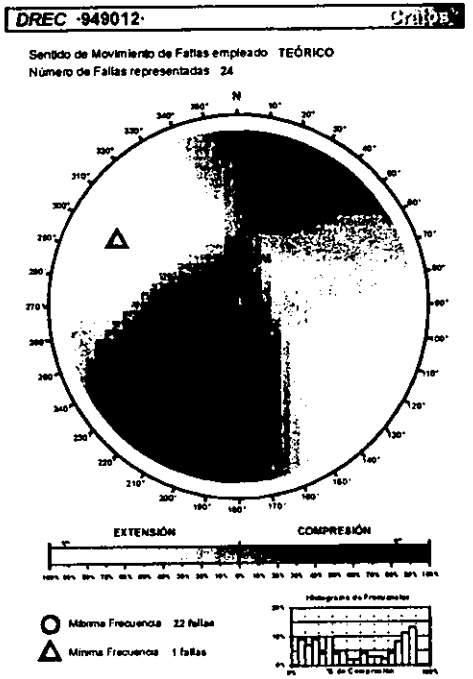






Modelo de Deslizamiento ·949012· Cratos



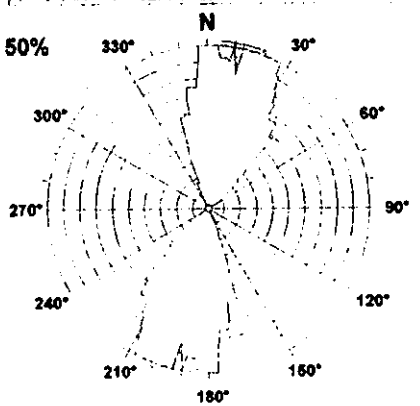


Estación: 949-01
Coordenadas U.T.M. (metros)
X: 496000
Y: 4183100
Z: 1041
Litología: Carbonatos
Edad: Jurásico

2ª Subpoblación:
Ey: 013°±8°
Buz: 77°±8°
Cab: 32°±10°
s1 50°/199°
s2 38°/011°
s3 03°/105°
R = 0.70
μ = 0.50
F.E. = 17 (24)

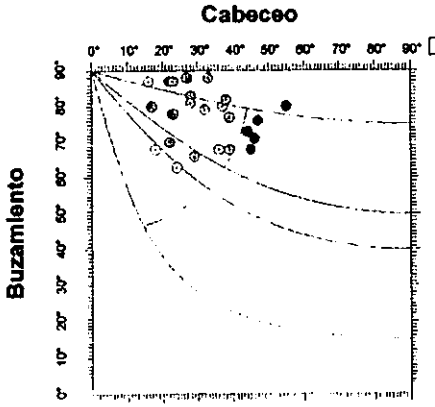
Trazas ciclográficas e histogramas del azimut, buzamiento y cabeceo

Rosa de Direcciones

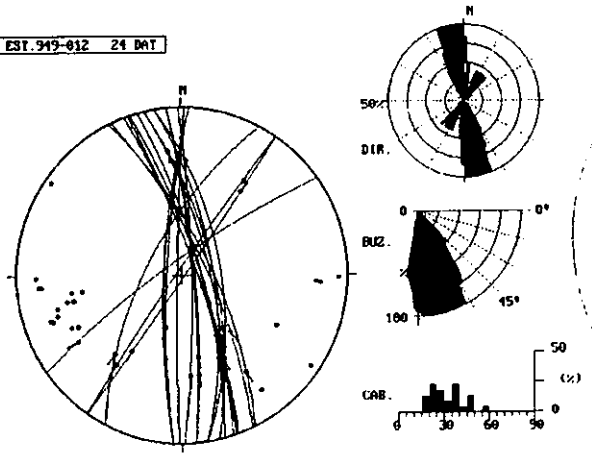


Valor Máximo de Escala: 50%
Ángulo de Apertura: 15°
DEYM: 13° ± 8,26°

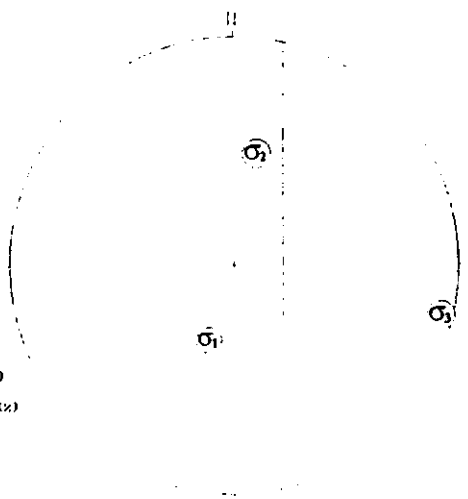
Diagrama Cabeceo/Buzamiento

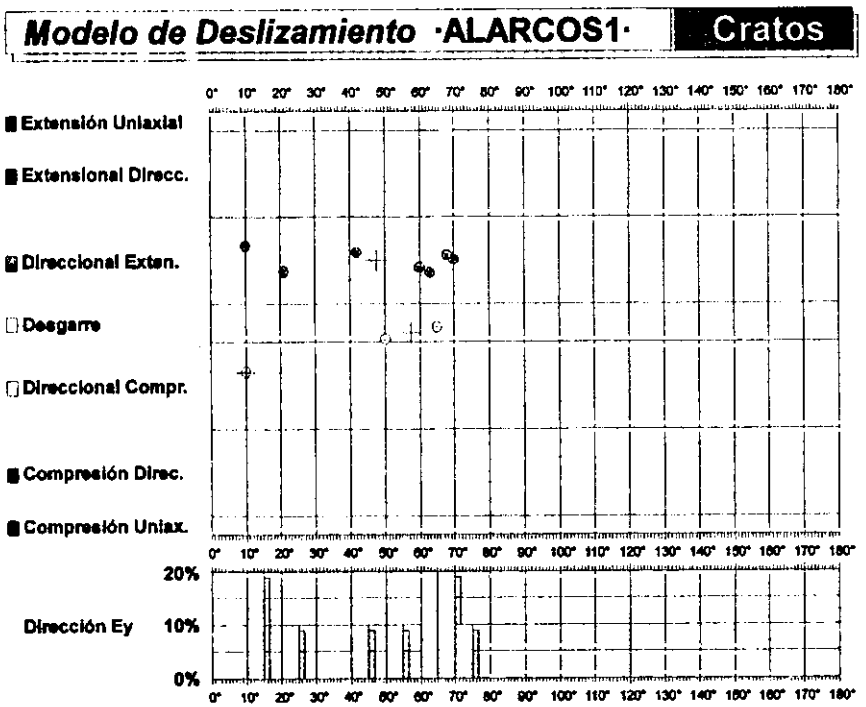


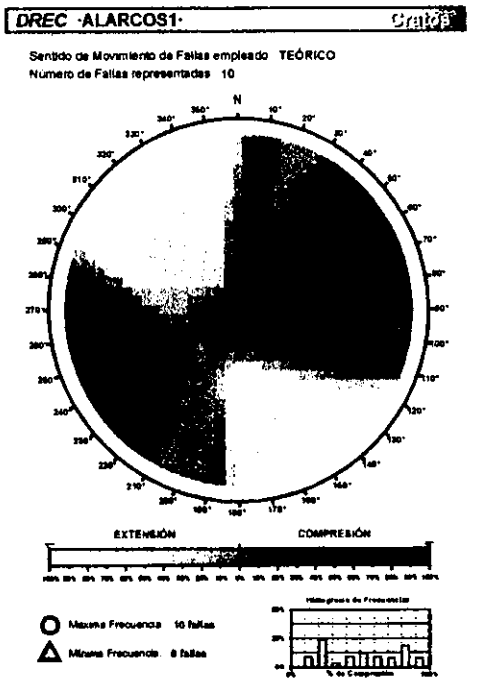
Parámetros Globales
K':2,9709 Buzamiento:77°±08°
PHI:42,92° Cabeceo:32°±10°



Método de Inversión de Esfuerzos





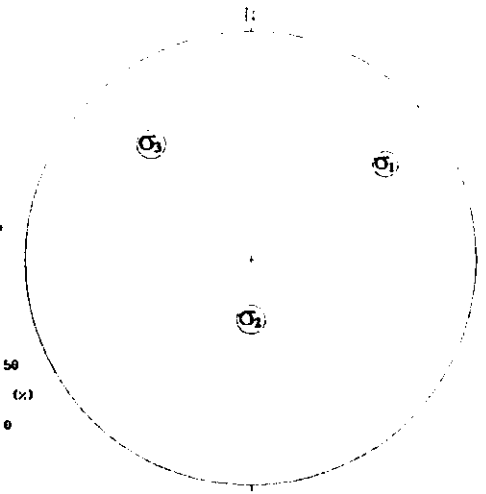


Estación: Alarcos
Coordenadas U.T.M. (metros)
X: 412700
Y: 4312700
Z: 570
Litología: Basamento hercínico
Edad: Paleozoico

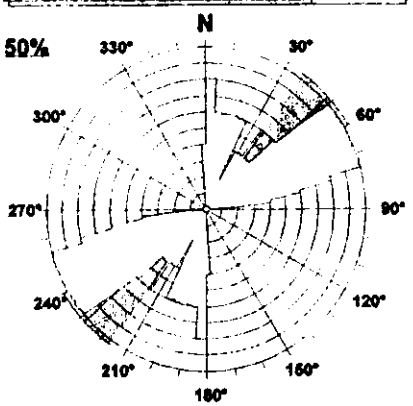
1ª Subpoblación:
Ey: 048°±12°
Buz: 76°±6°
Cab: 24°±10°
s1 18°/056°
s2 60°/181°
s3 22°/318°
R = 0.29
μ = 0.31
F.E. = 8 (10)

Trazas cicloográficas e histogramas del azimut, buzamiento y cabeceo

Método de Inversión de Esfuerzos

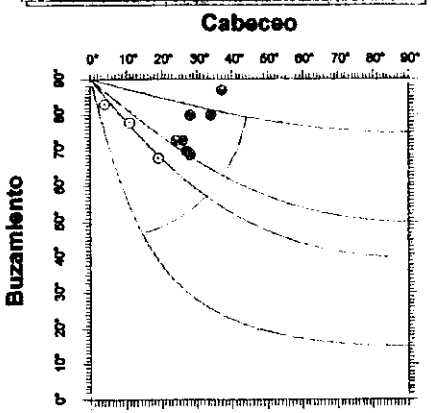


Rosa de Direcciones

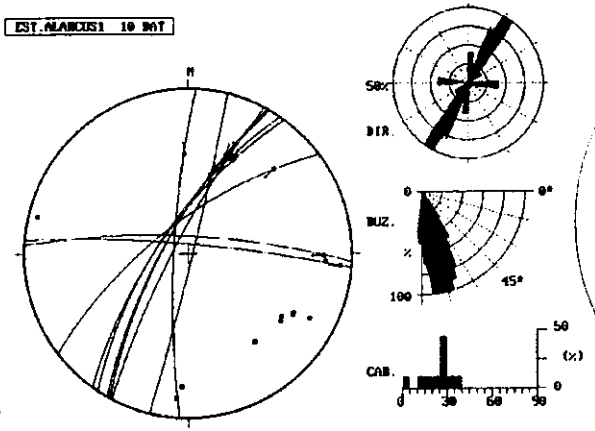


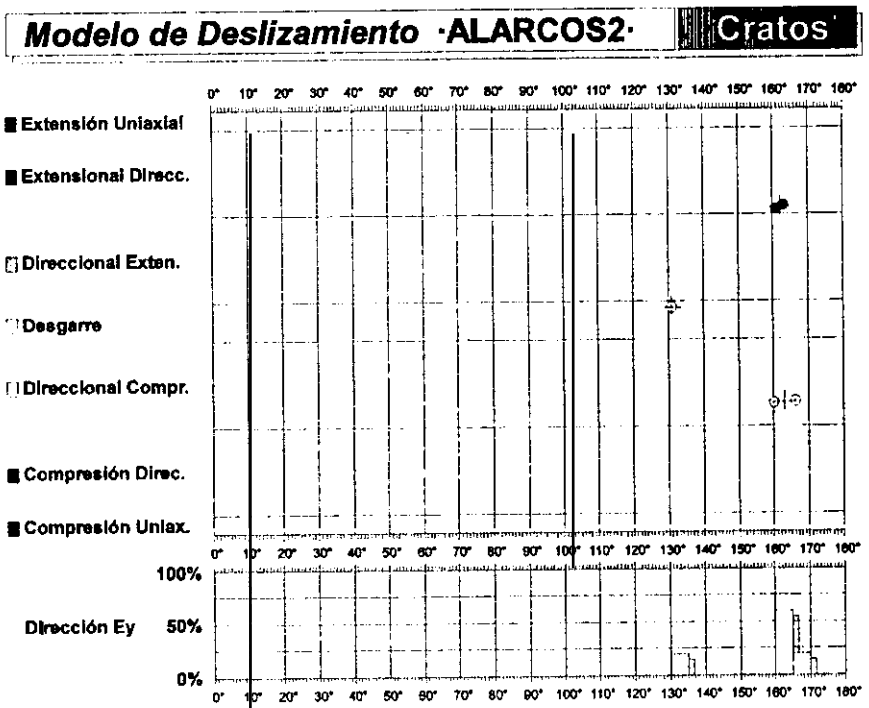
Valor Máximo de Escala: 50%
Ángulo de Apertura: 15°
DEYM: 48° ± 11,92°

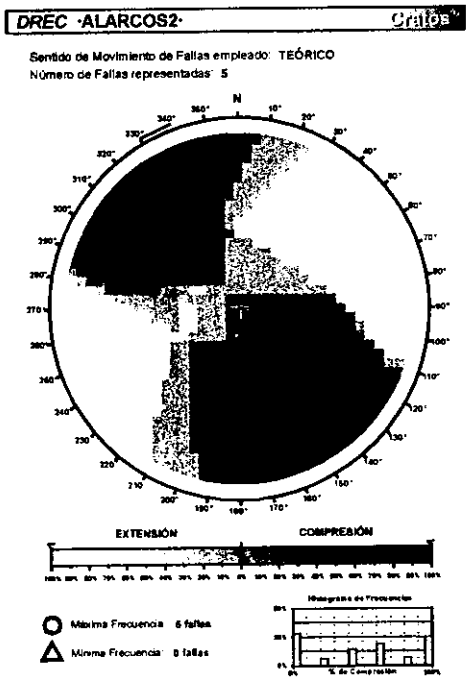
Diagrama Cabeceo/Buzamiento



Parámetros Globales
K':-11,2300
PHI:26,98°
Buzamiento:76°±06°
Cabeceo:24°±10°



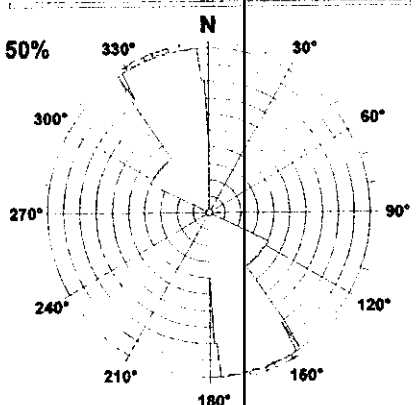


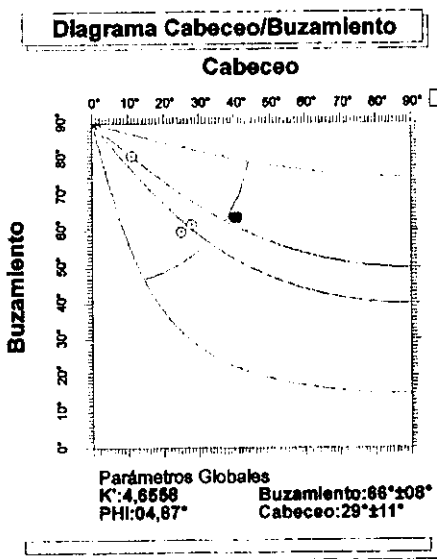


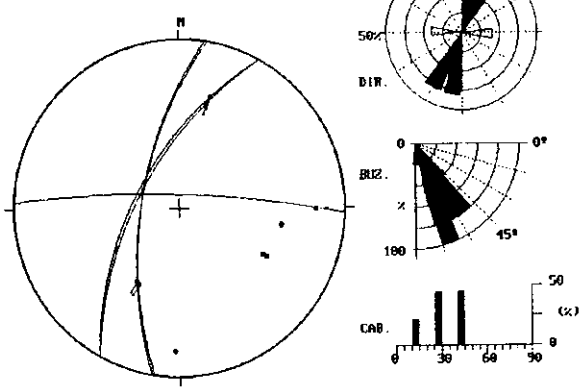
Estación: Alarcos
Coordenadas U.T.M. (metros)
X: 412700
Y: 4312700
Z: 570
Litología: Basamento hercínico
Edad: Paleozoico

2ª Subpoblación:
Ey: 157°±9°
Buz: 66°±8°
Cab: 29°±11°
s1 --°/---°
s2 --°/---°
s3 --°/---°
R = ---
μ = ---
F.E. = 0 (5)

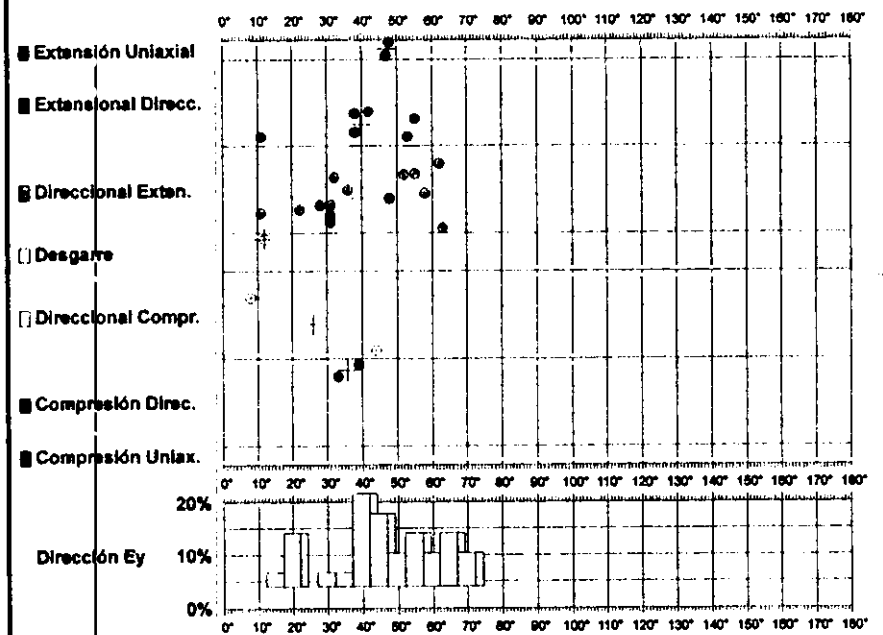
Trazas ciclográficas e histogramas del azimut, buzamiento y cabeceo

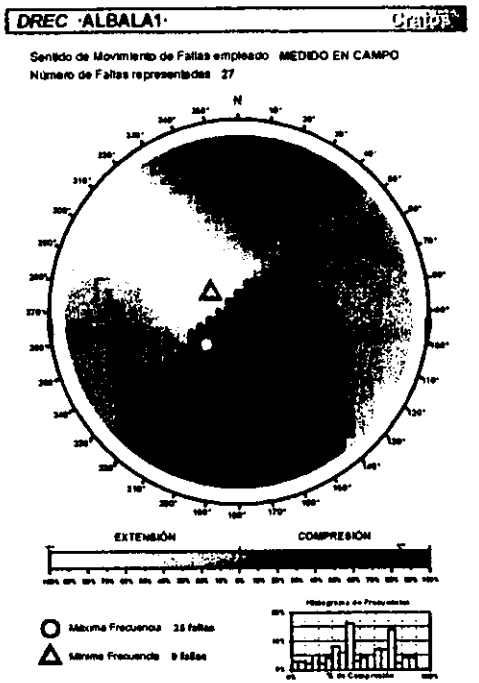






Modelo de Deslizamiento ·ALBALA1· Cratos

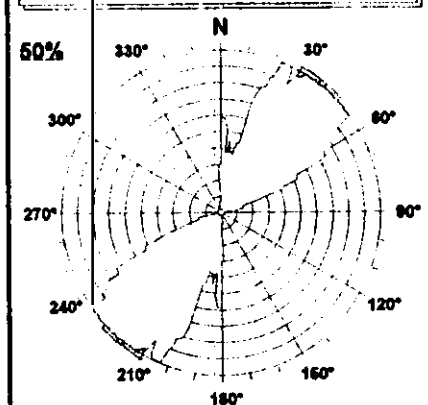




Estación: Albala
Coordenadas U.T.M. (metros)
X: 518700
Y: 4263700
Z: 699
Litología: Basamento hercínico
Edad: Paleozoico

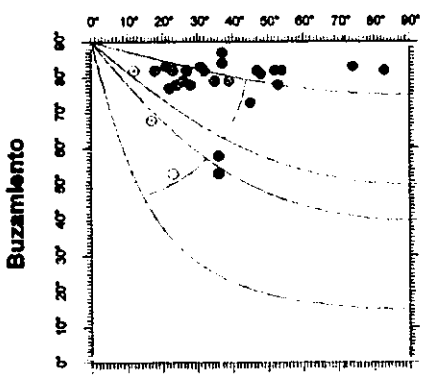
1ª Subpoblación:
Ey: 038°±9°
Buz: 77°±9°
Cab: 36°±16°
s1 10°/034°
s2 75°/169°
s3 10°/302°
R = 0.36
μ = 0.31
F.E. = 12 (27)

Rosa de Direcciones



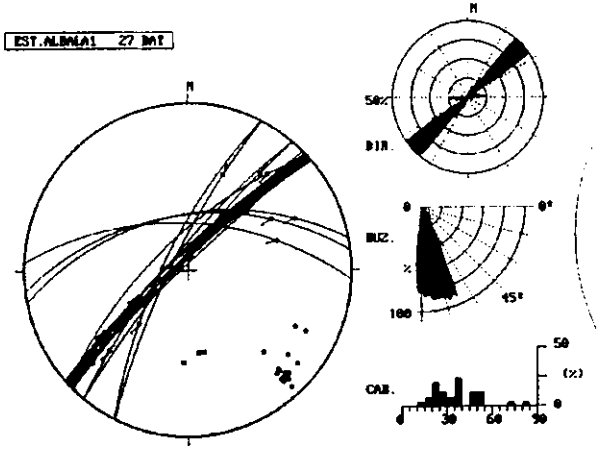
Valor Máximo de Escala: 50%
Angulo de Apertura: 15°
DEYM: 38° ± 9,19°

Diagrama Cabeceo/Buzamiento

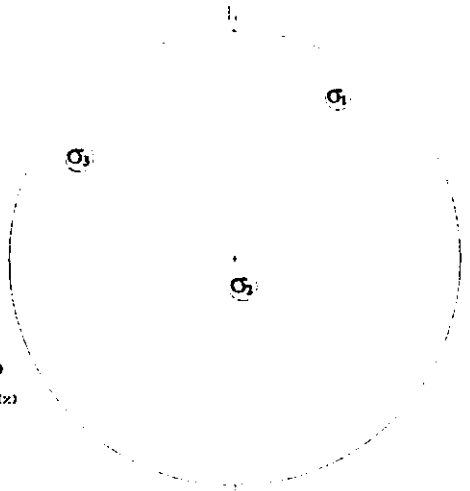


Parámetros Globales
K°:2,3640 Buzamiento:77°±09°
PHI:47,11° Cabeceo:36°±16°

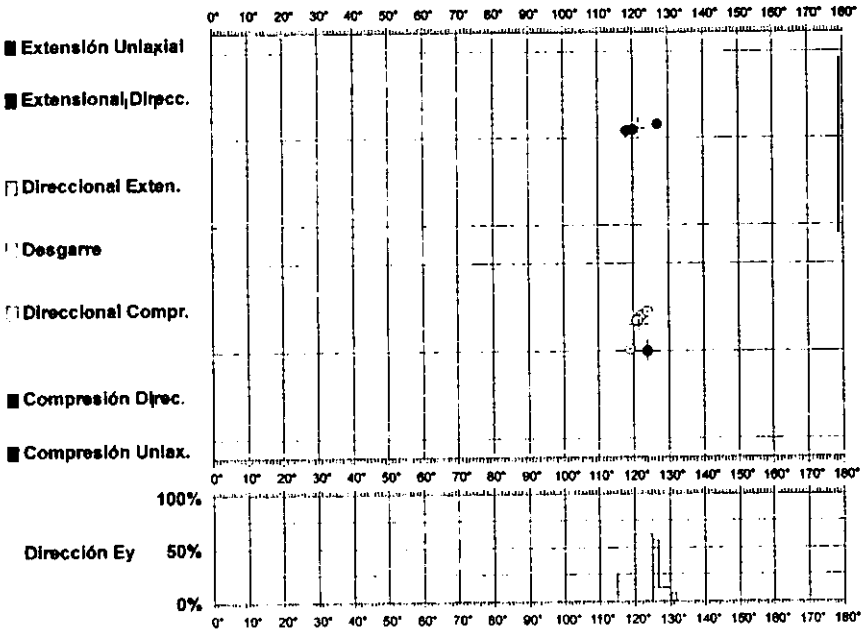
Trazas ciclográficas e histogramas del azimut, buzamiento y cabeceo



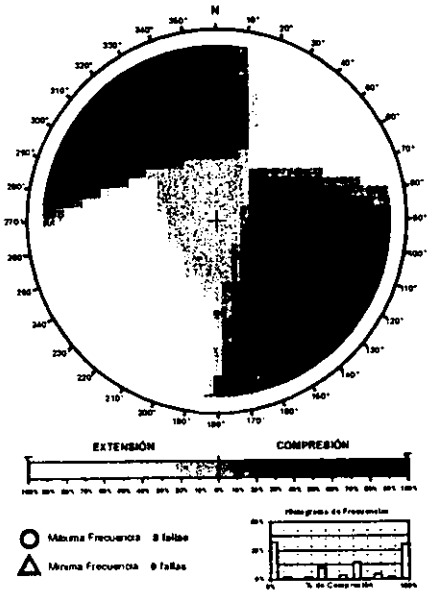
Método de Inversión de Esfuerzos



Modelo de Deslizamiento ·ALBALA2· Cratos



DREC ·ALBALA2· Cratos

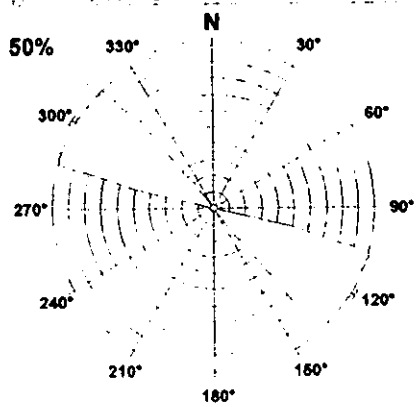


Estación: Albala
Coordenadas U.T.M. (metros)
X: 518700
Y: 4263700
Z: 699
Litología: Basamento hercínico
Edad: Paleozoico

2ª Subpoblación:
Ey: 122°±1°
Buz: 58°±3°
Cab: 28°±9°
s1 58°/011°
s2 02°/106°
s3 31°/198°
R = 0.05
μ = 1.91
F.E. = 5 (8)

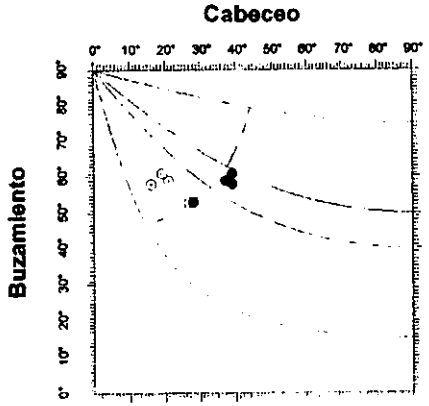
Trazas ciclográficas e histogramas del azimut, buzamiento y cabeceo

Rosa de Direcciones

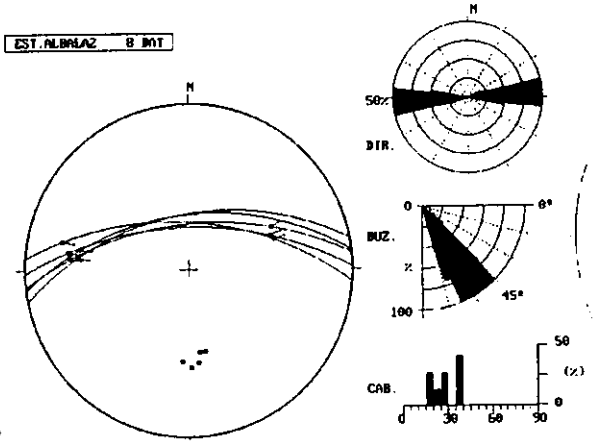


Valor Máximo de Escala: 50%
Ángulo de Apertura: 15°
DEYM: 122° ± 1,59°

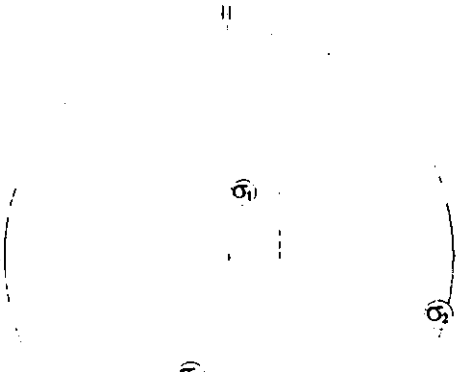
Diagrama Cabeceo/Buzamiento



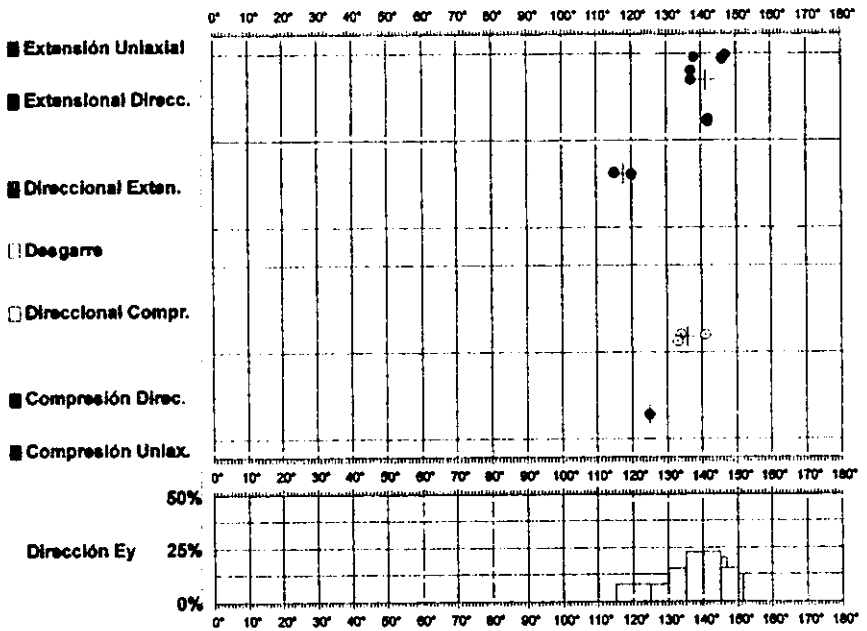
Parámetros Globales
K':-1,2968
PHI:-16,17°
Buzamiento:58°±03°
Cabeceo:28°±09°

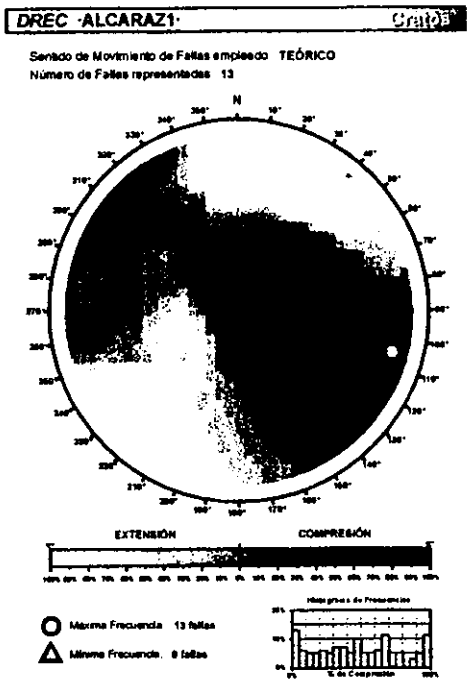


Método de Inversión de Esfuerzos



Modelo de Deslizamiento ·ALCARAZ1· Cratos





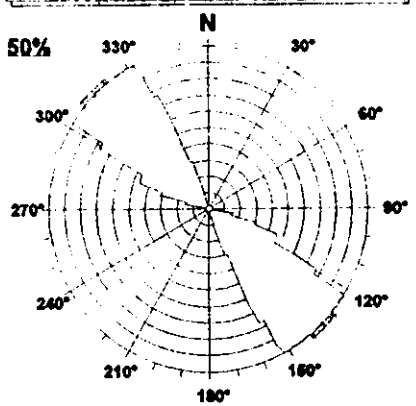
Estación: Alcaraz
Coordenadas U.T.M. (metros)
X: 544000
Y: 4279900
Z: 920
Litología: Basamento hercínico
Edad: Paleozoico

1ª Subpoblación:
Ey: 135°±6°
Buz: 64°±10°
Cab: 47°±16°
s1 37°/126°
s2 29°/011°
s3 39°/254°
R = 0.38
μ = 0.31
F.E. = 9 (13)

Trazas ciclográficas e histogramas del azimut, buzamiento y cabeceo

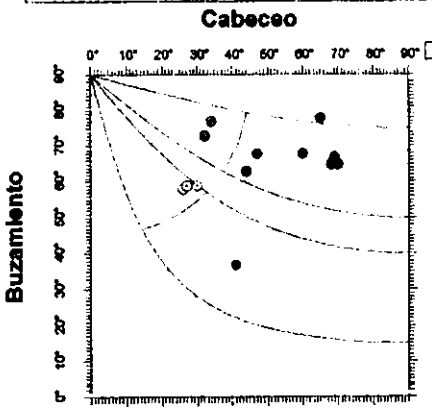
Método de Inversión de Esfuerzos

Rosa de Direcciones

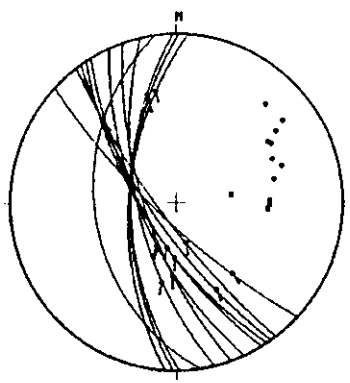


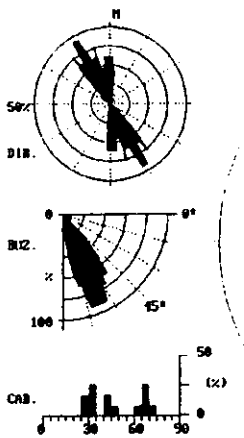
Valor Máximo de Escala: 50%
Ángulo de Apertura: 15°
DEYM: 135° ± 5,92°

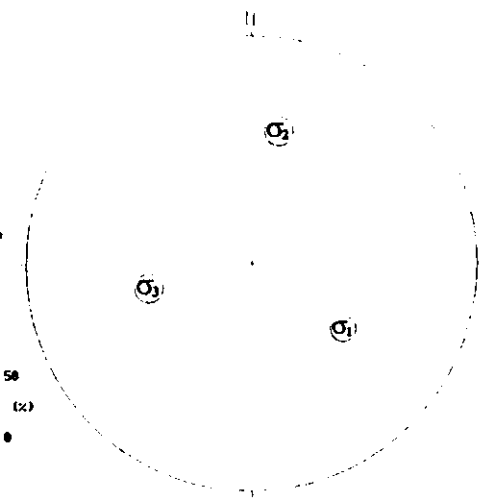
Diagrama Cabeceo/Buzamiento

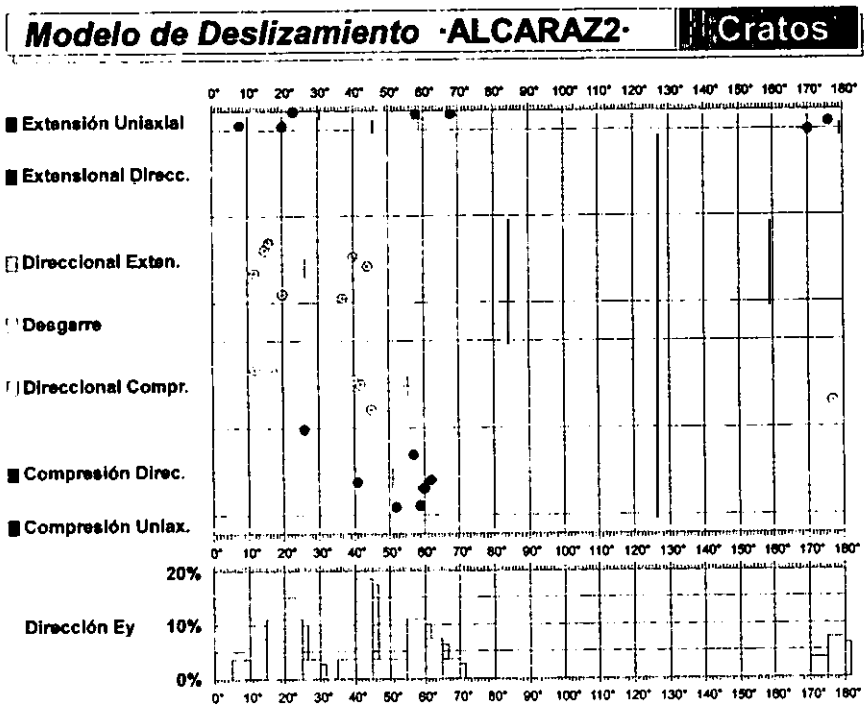


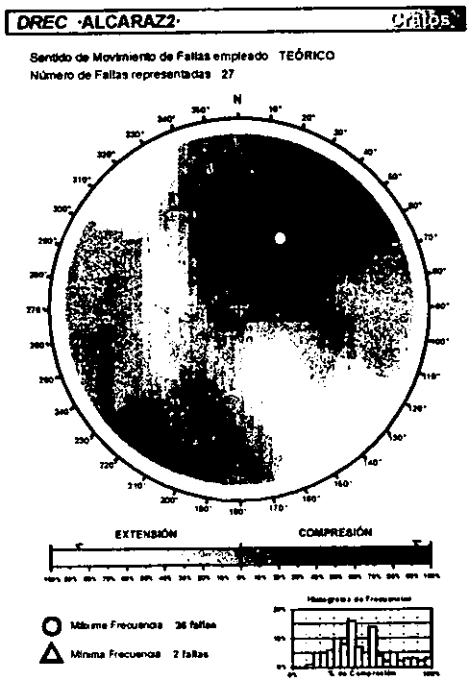
Parámetros Globales
K':-0,3469 Buzamiento:64°±10°
PHI:22,60° Cabeceo:47°±16°









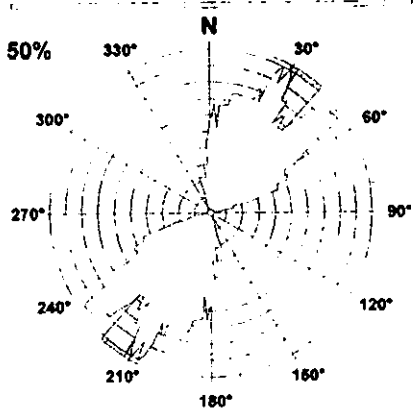


Estación: Alcaraz
Coordenadas U.T.M. (metros)
X: 544000
Y: 4279900
Z: 920
Litología: Basamento hercínico
Edad: Paleozoico

2ª Subpoblación:	
Ey: 032°±10°	Ey: 032°±10°
Buz: 59°±15°	Buz: 59°±15°
Cab: 37°±26°	Cab: 37°±26°
s1 32°/036°	s1 62°/272°
s2 27°/286°	s2 00°/002°
s3 44°/165°	s3 27°/092°
R = 0.18	R = 0.04
μ = 0.40	μ = 1.01
F.E. = 18 (27)	F.E. = 6 (27)

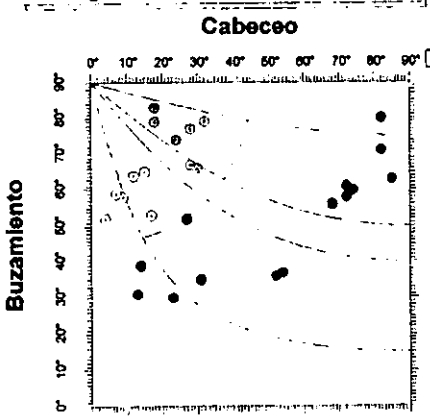
Trazas ciclográficas e histogramas del azimut, buzamiento y cabeceo

Rosa de Direcciones

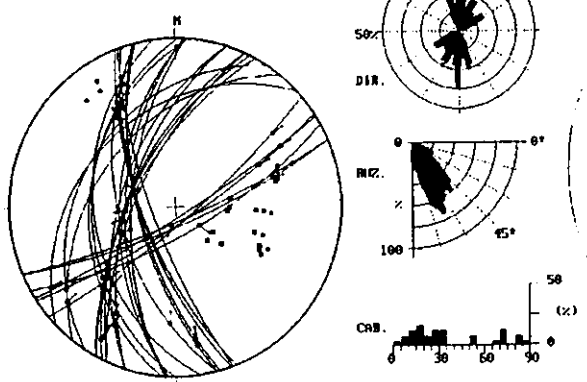


Valor Máximo de Escala: 50%
Ángulo de Apertura: 15°
DEYM: 32° ± 10,46°

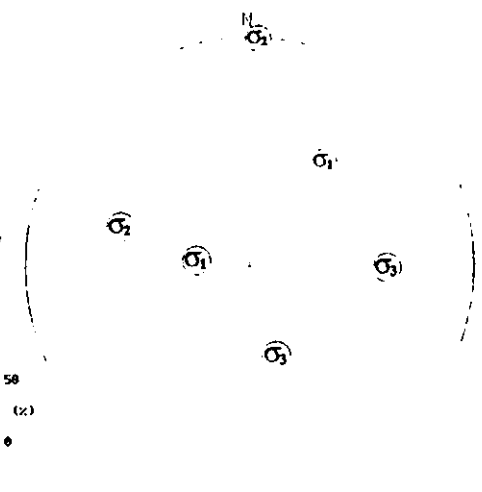
Diagrama Cabeceo/Buzamiento

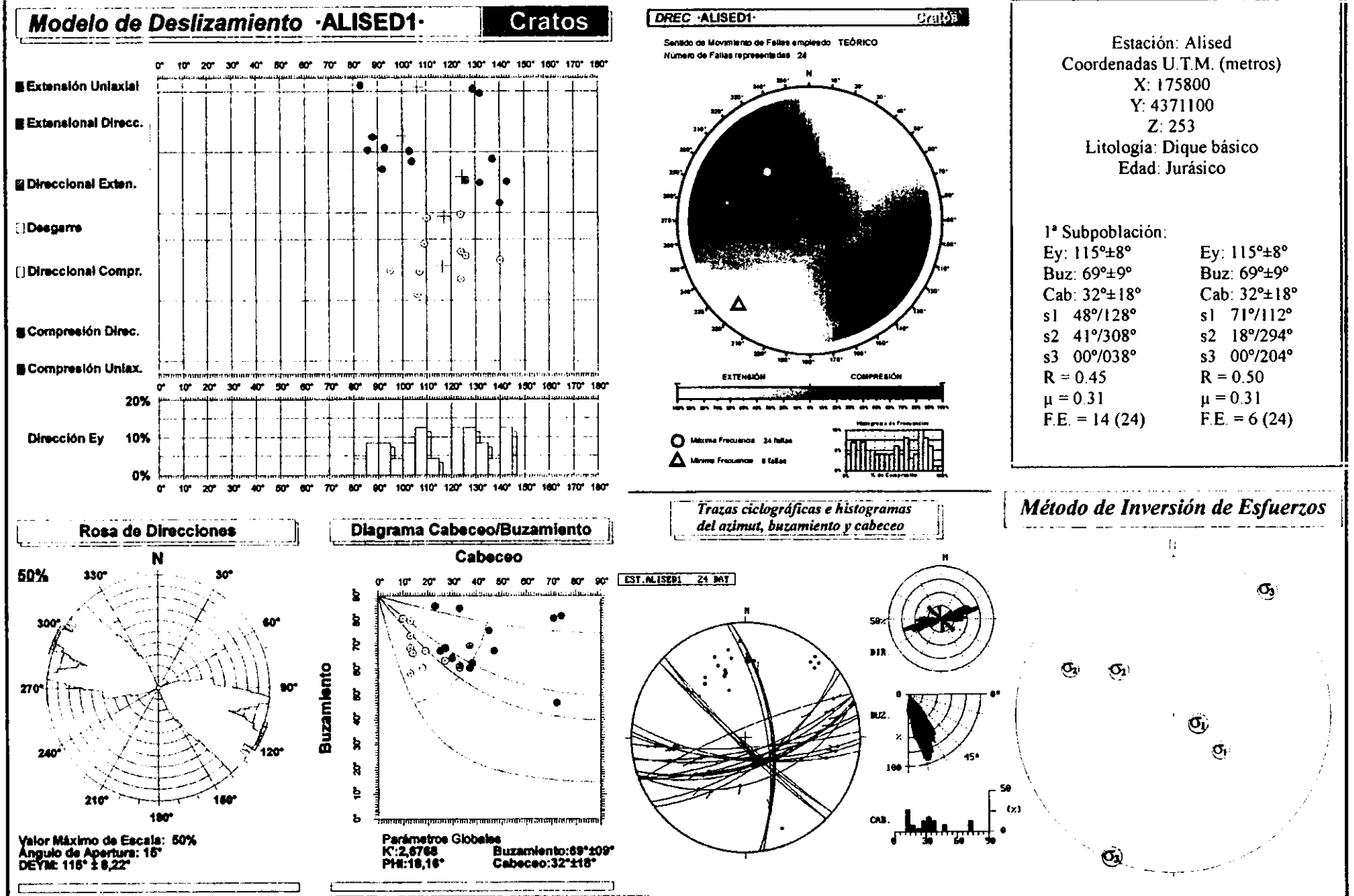


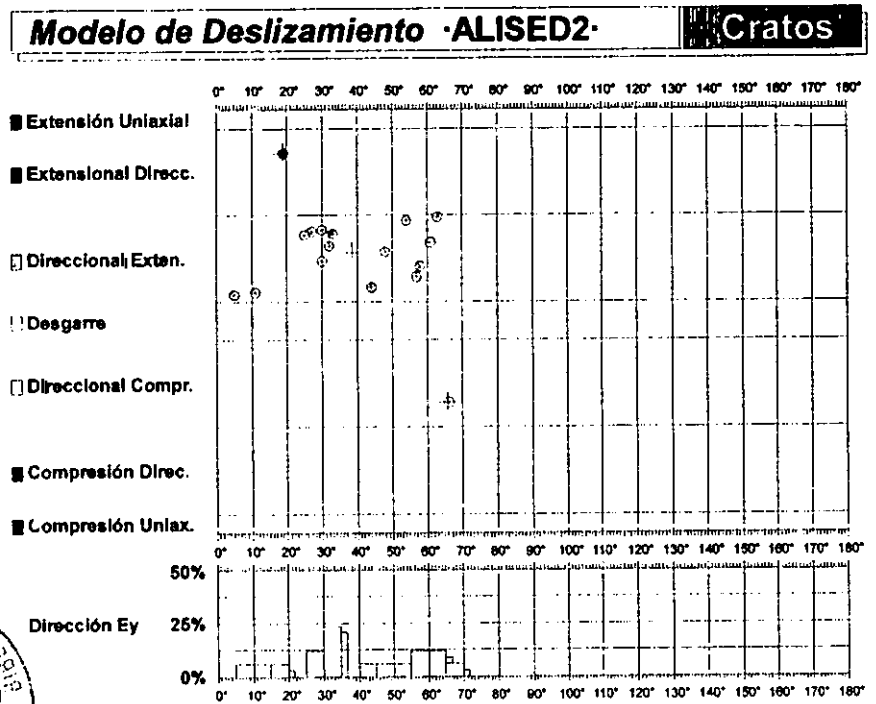
Parámetros Globales
K':-0,1656 Buzamiento:59°±15°
PHI:00,09° Cabeceo:37°±26°

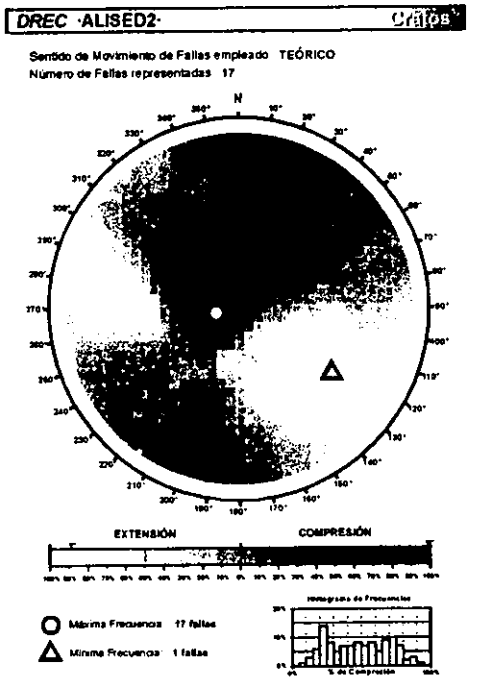


Método de Inversión de Esfuerzos




Modelo de Deslizamiento ·ALISED1·
Cratos
Extensión Uniaxial
Extensional Direcc.
Direccional Exten.
Deegarre
Direccional Compr.
Compresión Direc.
Compresión Uniax.
Dirección Ey
20%
10%
0%
DREC ·ALISED1·
Cratos
Sentido de Movimiento de Fallas empleado TEÓRICO
Número de Fallas representadas 24
N
EXTENSIÓN
COMPRESIÓN
Máxima Frecuencia 24 fallas
Mínima Frecuencia 0 fallas
Estación: Alised
Coordenadas U.T.M. (metros)
X: 175800
Y: 4371100
Z: 253
Litología: Dique básico
Edad: Jurásico
1ª Subpoblación:
Ey: 115°±8°
Buz: 69°±9°
Cab: 32°±18°
s1 48°/128°
s2 41°/308°
s3 00°/038°
R = 0.45
μ = 0.31
F.E. = 14 (24)
Ey: 115°±8°
Buz: 69°±9°
Cab: 32°±18°
s1 71°/112°
s2 18°/294°
s3 00°/204°
R = 0.50
μ = 0.31
F.E. = 6 (24)
Trazas ciclográficas e histogramas del azimut, buzamiento y cabeceo
Método de Inversión de Esfuerzos
Rosa de Direcciones
N
50%
Valor Máximo de Escala: 50%
Ángulo de Apertura: 15°
DEYM: 116° ± 8,22°
Diagrama Cabeceo/Buzamiento
Cabeceo
Buzamiento
Parámetros Globales
K':2,6766
Phi:18,16°
Buzamiento:69°±09°
Cabeceo:32°±18°
EST.ALISED1 24 DAT
BUZ.
CAB.
σ1
σ2
σ3



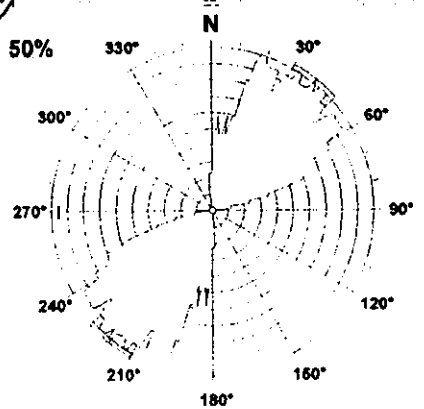


Estación: Alised
Coordenadas U.T.M. (metros)
X: 175800
Y: 4371100
Z: 253
Litología: Dique básico
Edad: Jurásico

2ª Subpoblación:
Ey: 039°±9°
Buz: 75°±9°
Cab: 32°±10°
s1 83°/092°
s2 02°/200°
s3 06°/291°
R = 0.50
μ = 0.40
F.E. = 12 (17)

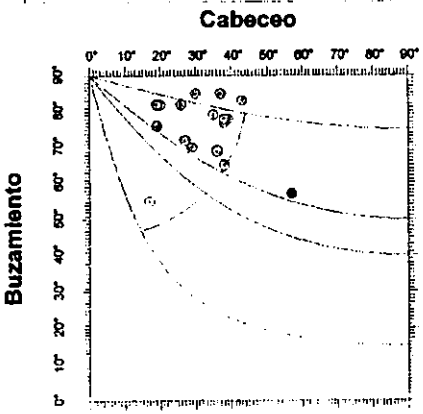
Trazas ciclográficas e histogramas del azimut, buzamiento y cabeceo

Rosa de Direcciones

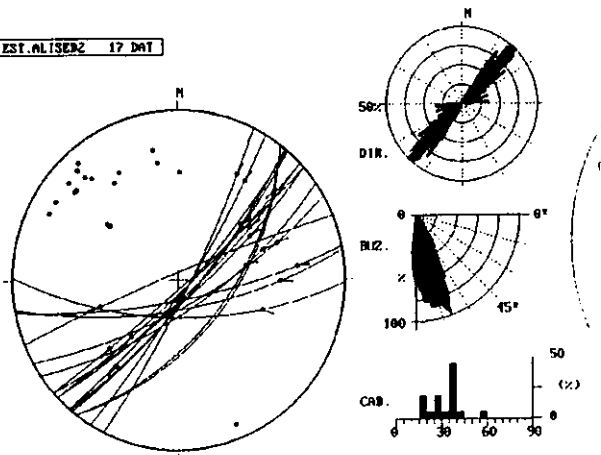


Valor Máximo de Escala: 50%
Ángulo de Apertura: 15°
DEYM: 39° ± 8,59°

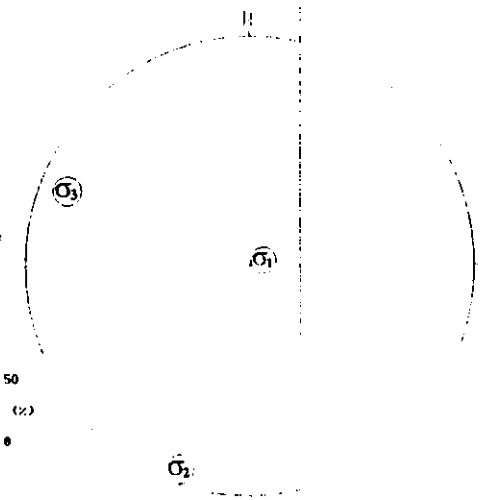
Diagrama Cabeceo/Buzamiento



Parámetros Globales
K':0,1482
PHI:36,36°
Buzamiento:75°±09°
Cabeceo:32°±10°

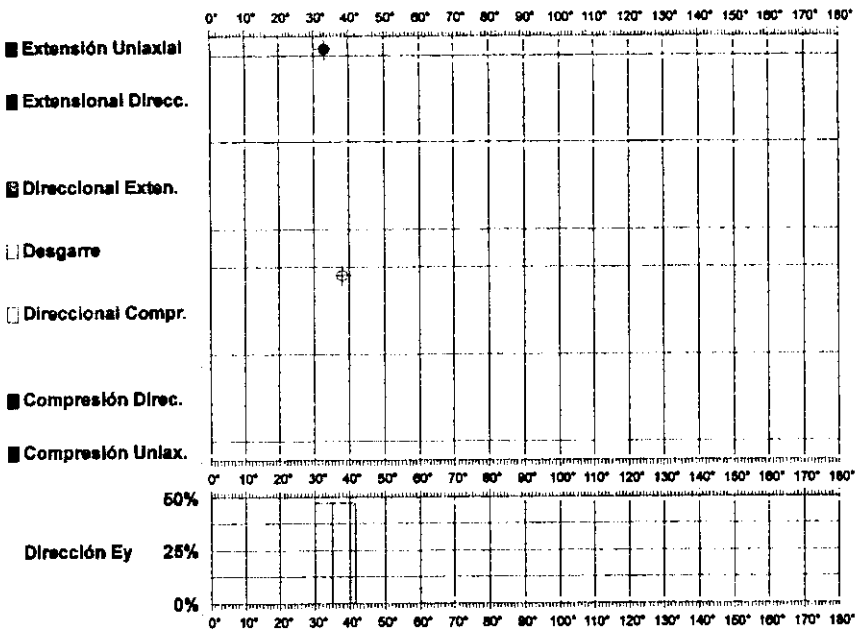


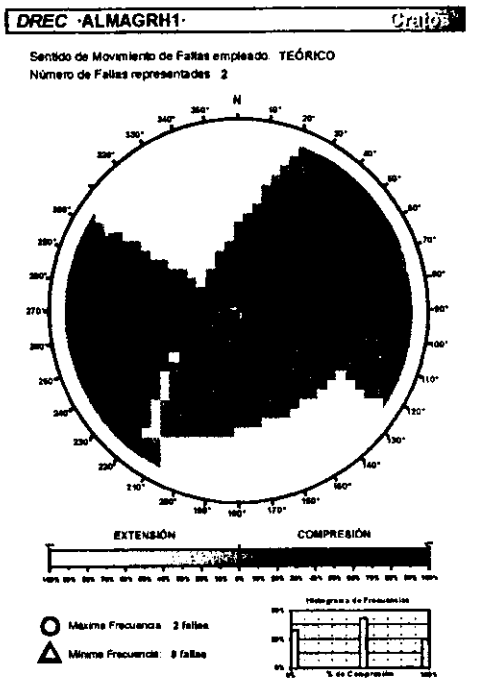
Método de Inversión de Esfuerzos



FACULTAD DE CIENCIAS - BIBLIOTECA

Modelo de Deslizamiento ·ALMAGRH1· Cratos



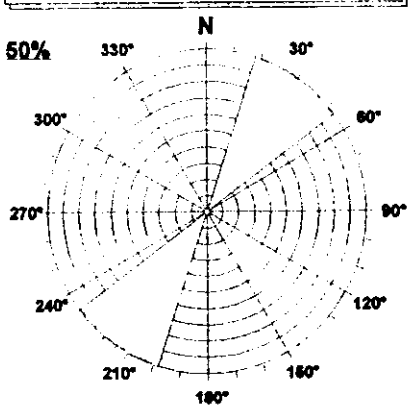


Estación: Almagrh
Coordenadas U.T.M. (metros)
X: 441000
Y: 4301000
Z: 680
Litología: Basamento hercínico
Edad: Paleozoico

Ey: 035°±0°
Buz: 66°±20°
Cab: 38°±36°
s1 --°/--°
s2 --°/--°
s3 --°/--°
R = ---
μ = ---
F.E. = 0 (2)

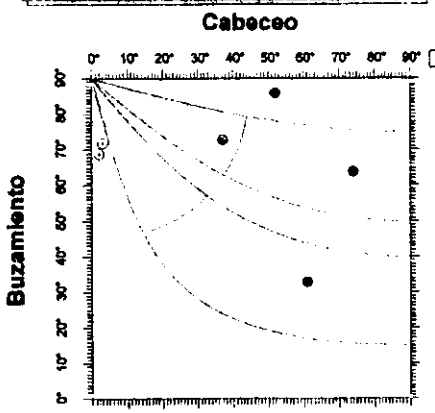
Trazas ciclográficas e histogramas del azimut, buzamiento y cabeceo

Rosa de Direcciones

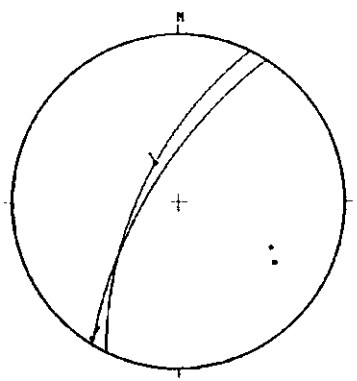


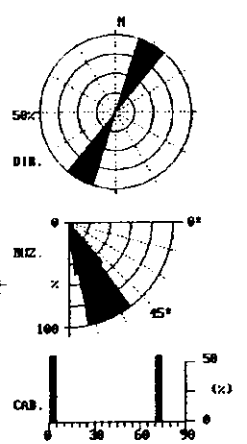
Valor Máximo de Escala: 50%
Ángulo de Apertura: 15°
DEYM: 35° ± 0,00°

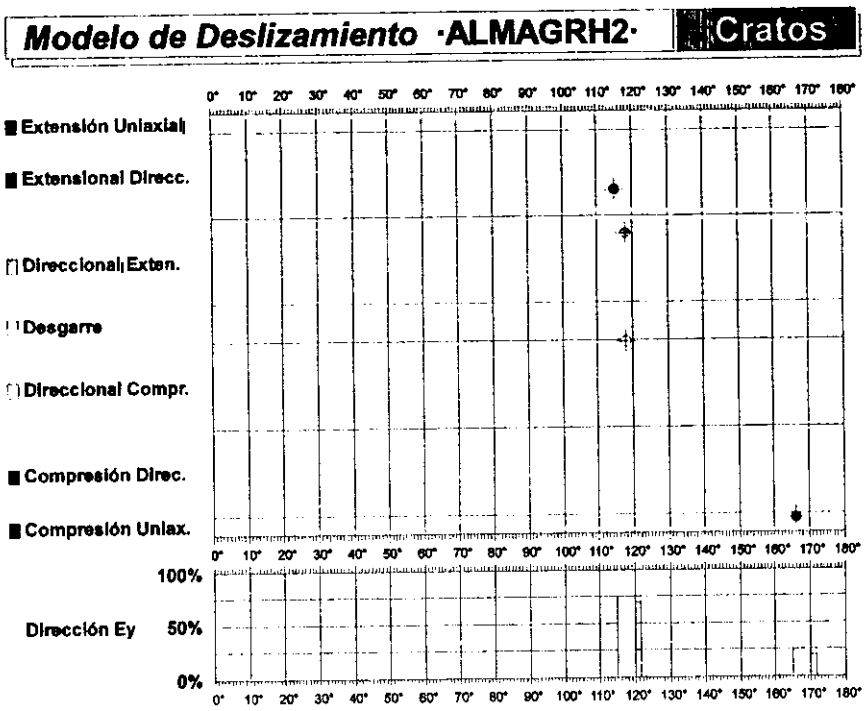
Diagrama Cabeceo/Buzamiento

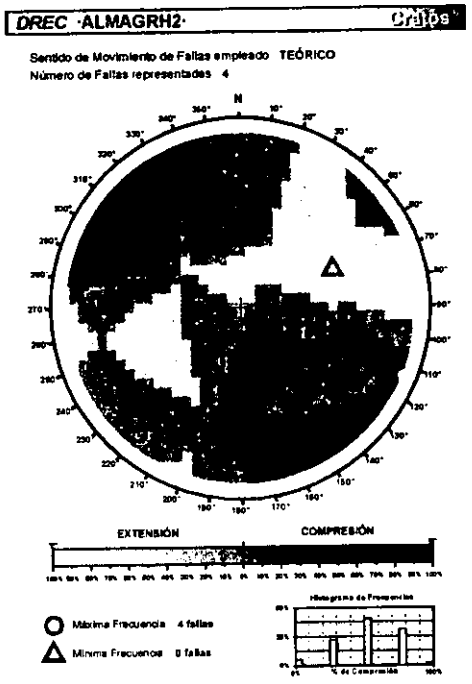


Parámetros Globales
K':-3,8285 Buzamiento:67°±03°
PHI:18,25° Cabeceo:38°±36°





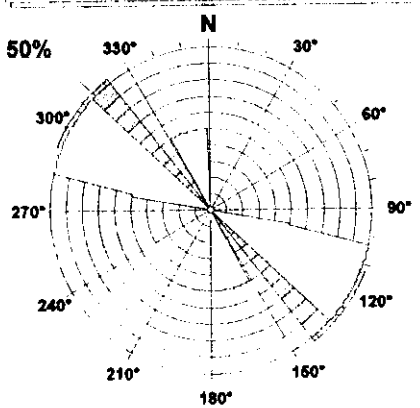


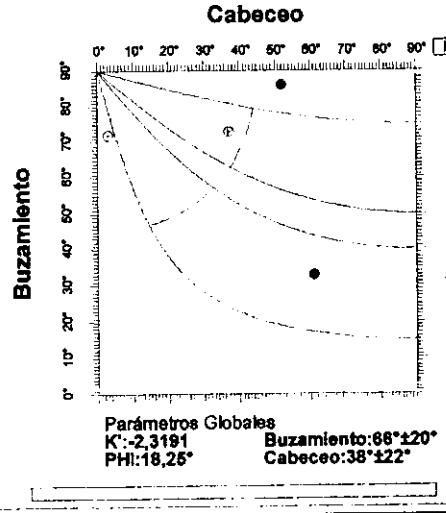


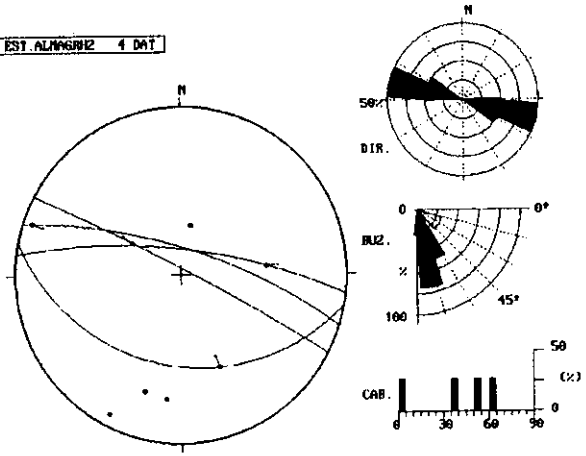
Estación: Almagrh
Coordenadas U.T.M. (metros)
X: 441000
Y: 4301000
Z: 680
Litología: Basamento hercínico
Edad: Paleozoico

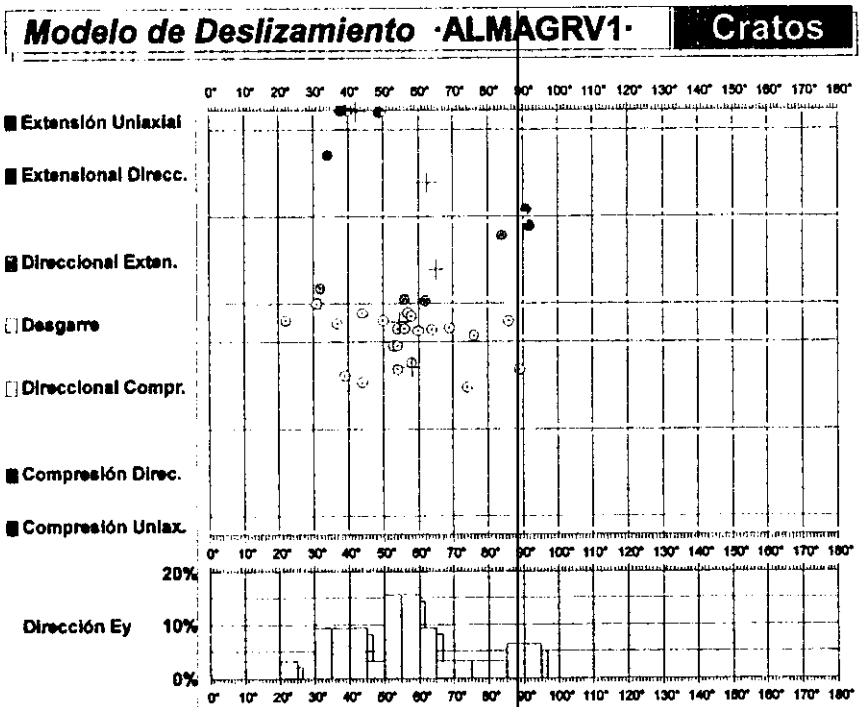
:
Ey: 126°±15°
Buz: 66°±20°
Cab: 38°±36°
s1 --°/---°
s2 --°/---°
s3 --°/---°
R = ---
μ = ---
F.E. = 0 (4)

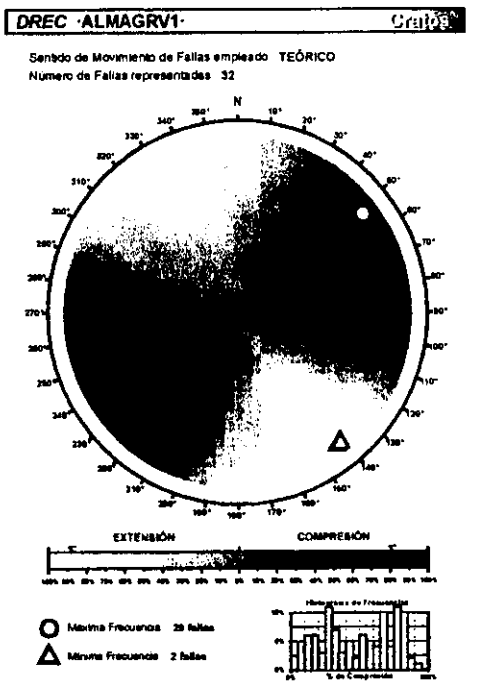
Trazas ciclográficas e histogramas del azimut, buzamiento y cabeceo











Estación: Almagrv
Coordenadas U.T.M. (metros)
X: 439500
Y: 4306600
Z: 660
Litología: Colada lávica
Edad: Mioceno sup.-Pleistoceno inf.

1ª Subpoblación:
Ey: 056°±12°
Buz: 76°±9°
Cab: 22°±24°
s1 05°/239°
s2 83°/096°
s3 03°/330°
R = 0.89
μ = 0.31
F.E. = 26 (32)

Trazas cicloográficas e histogramas del azimut, buzamiento y cabeceo

Rosa de Direcciones

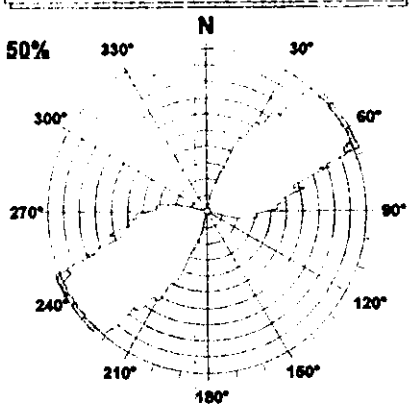
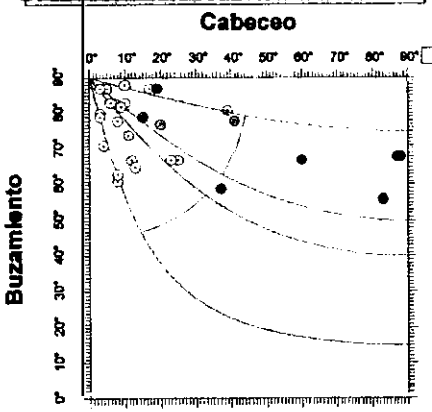
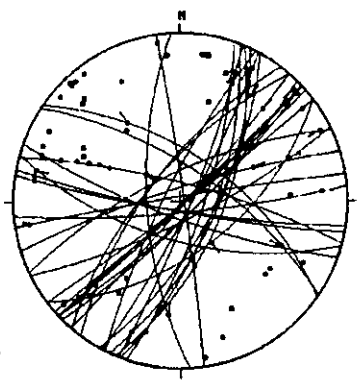
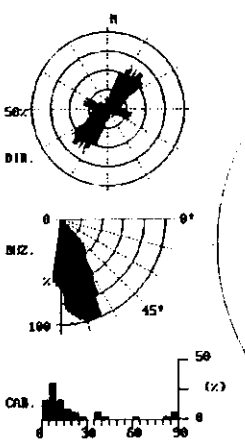


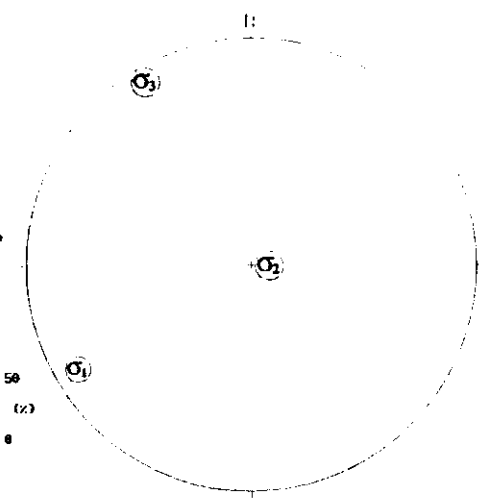
Diagrama Cabeceo/Buzamiento

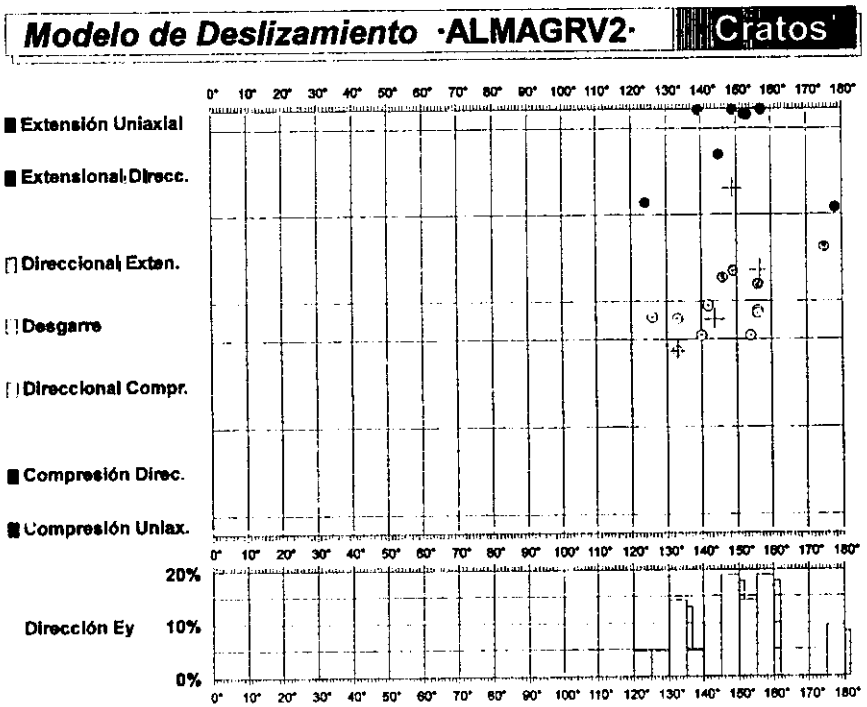


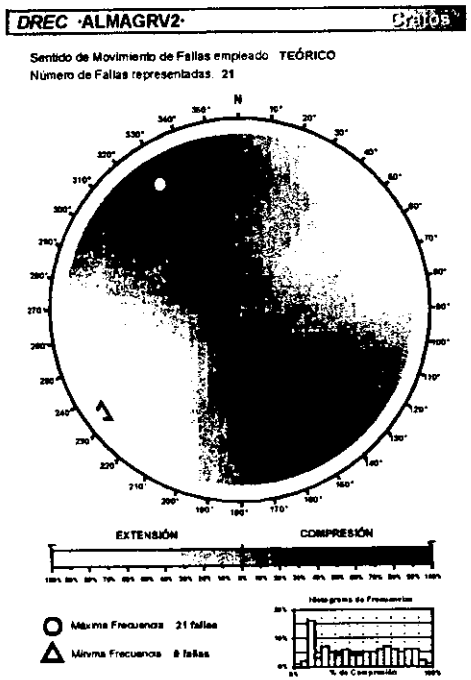




Método de Inversión de Esfuerzos





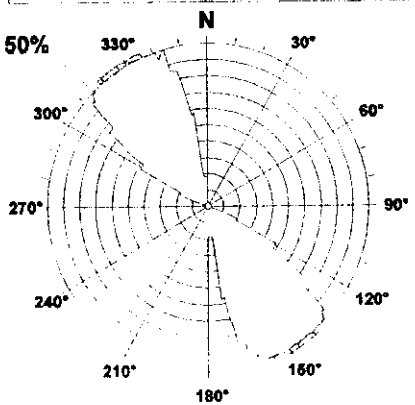


Estación: Almagrv
Coordenadas U.T.M. (metros)
X: 439500
Y: 4306600
Z: 660
Litología: Colada lávica
Edad: Mioceno sup.-Pleistoceno inf.

2ª Subpoblación:	
Ey: 147°±8°	Ey: 147°±8°
Buz: 76°±9°	Buz: 76°±9°
Cab: 36°±30°	Cab: 36°±30°
s1 74°/325°	s1 49°/148°
s2 15°/148°	s2 40°/327°
s3 00°/058°	s3 00°/058°
R = 0.52	R = 0.67
μ = 0.61	μ = 0.31
F.E. = 12 (21)	F.E. = 7 (21)

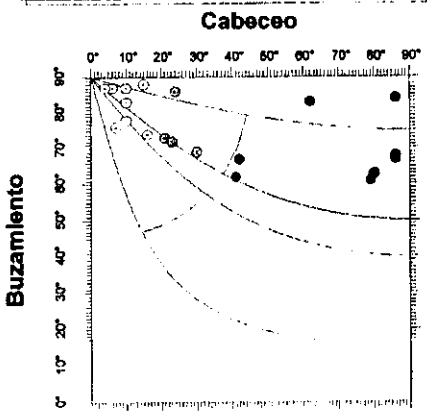
Trazas cicloográficas e histogramas del azimut, buzamiento y cabeceo

Rosa de Direcciones

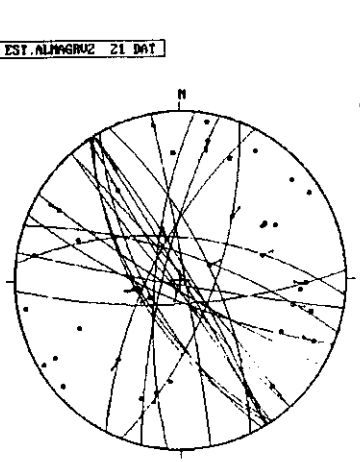


Valor Máximo de Escala: 50%
Ángulo de Apertura: 15°
DEYM: 147° ± 8,53°

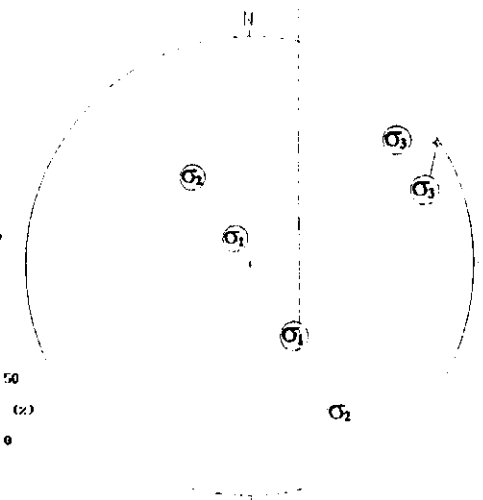
Diagrama Cabeceo/Buzamiento

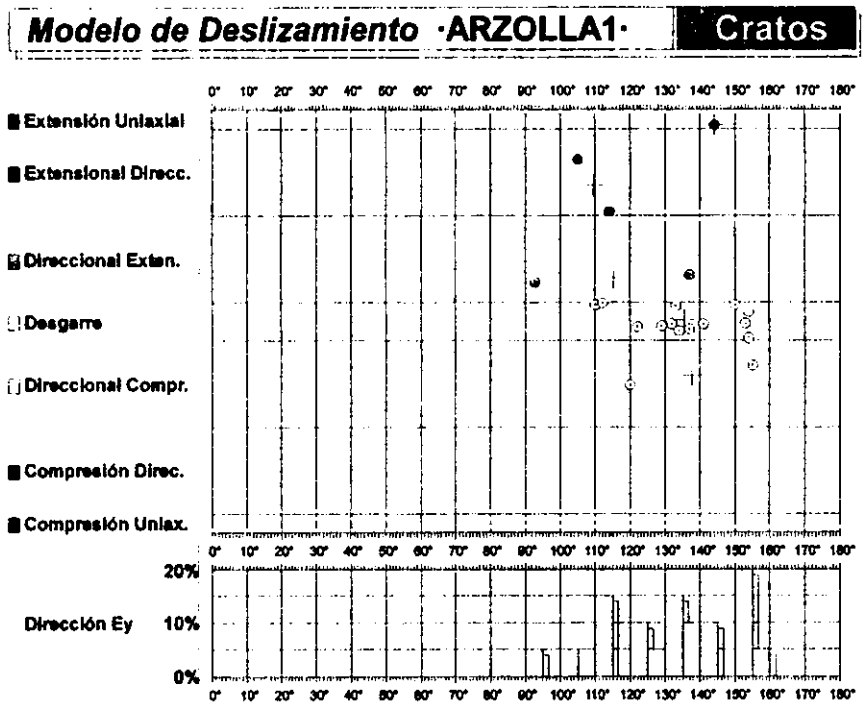


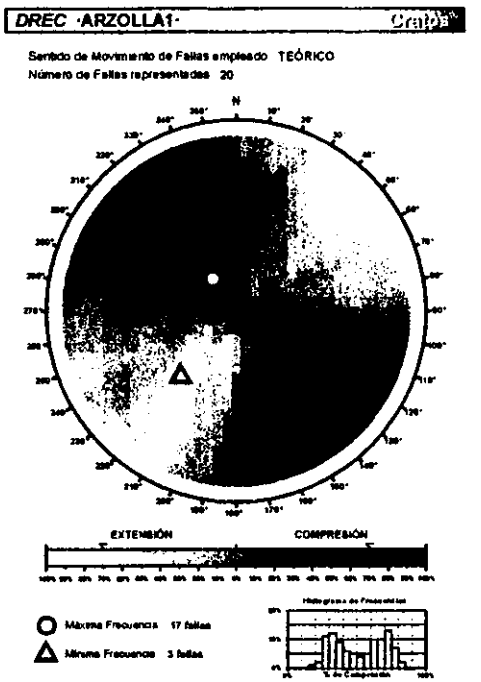
Parámetros Globales
K':7,9012
PHI:44,03°
Buzamiento:76°±09°
Cabeceo:36°±30°



Método de Inversión de Esfuerzos







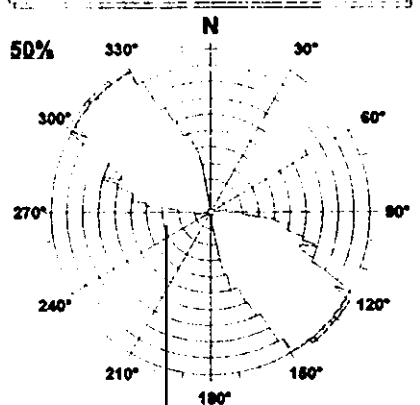
Estación: Arzollar
Coordenadas U.T.M. (metros)
X: 414600
Y: 4313700
Z: 650
Litología: Colada lávica
Edad: Mioceno sup.-Pleistoceno inf.

1ª Subpoblación:
Ey: 132°±11°
Buz: 80°±7°
Cab: 18°±19°
s1 05°/134°
s2 84°/311°
s3 00°/044°
R = 0.59
μ = 0.31
F.E. = 13 (20)

Trazas ciclográficas e histogramas del azimut, buzamiento y cabeceo

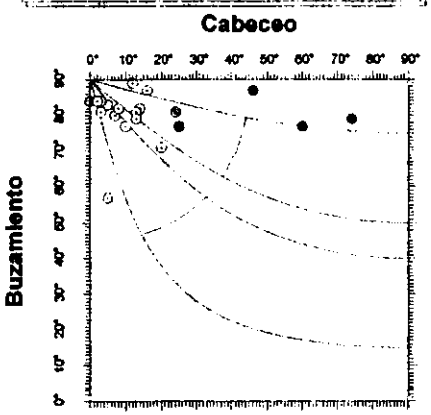
Método de Inversión de Esfuerzos

Rosa de Direcciones

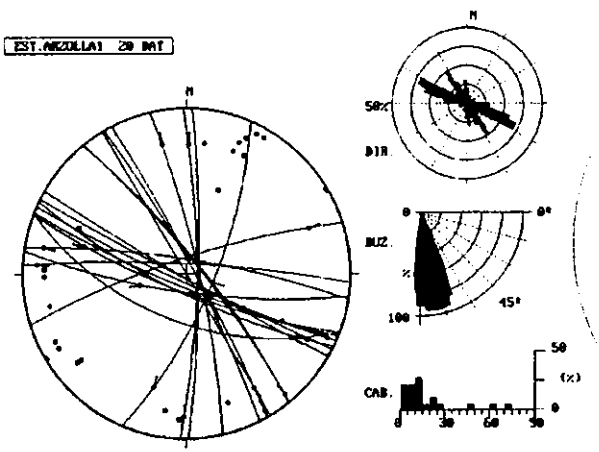


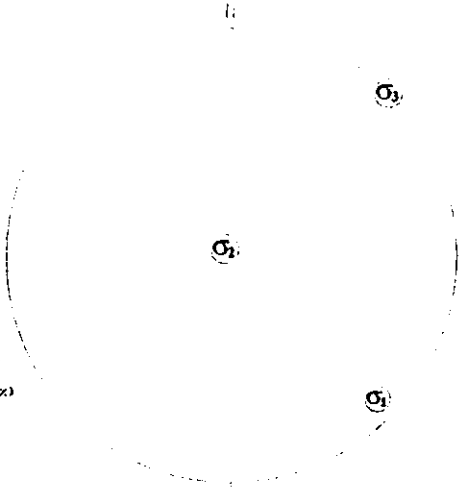
Valor Máximo de Escala: 50%
Ángulo de Apertura: 15°
DEYM: 132° ± 10,29°

Diagrama Cabeceo/Buzamiento

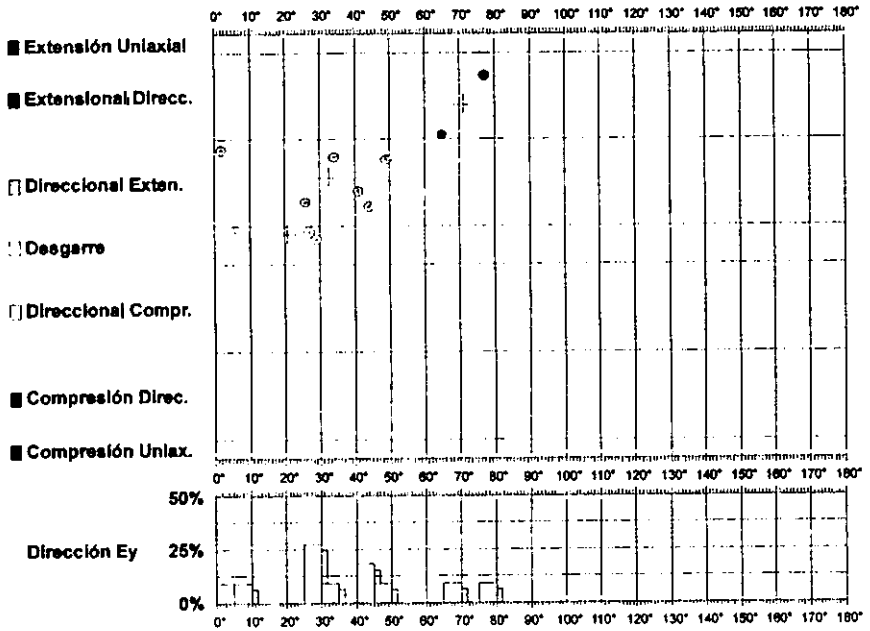


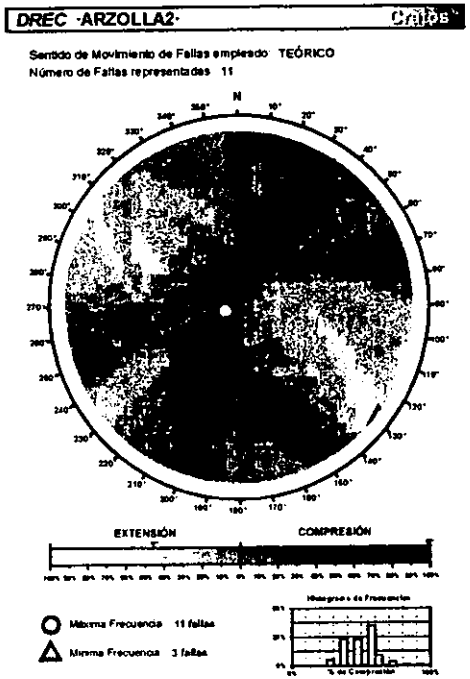
Parámetros Globales
K':-6,9358
PHI:30,58°
Buzamiento:80°±07°
Cabeceo:18°±19°





Modelo de Deslizamiento ·ARZOLLA2· Cratos





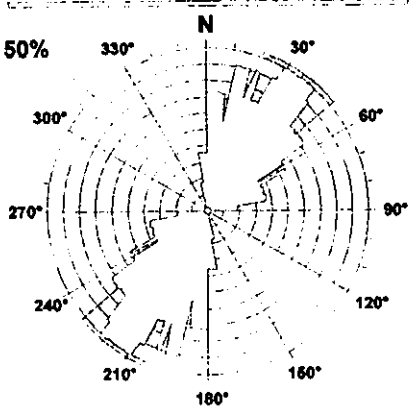
Estación: Arzollar
Coordenadas U.T.M. (metros)
X: 414600
Y: 4313700
Z: 650
Litología: Colada lávica
Edad: Mioceno sup.-Pleistoceno inf.

2ª Subpoblación:
Ey: 036°±14°
Buz: 83°±9°
Cab: 31°±14°
s1 83°/039°
s2 06°/211°
s3 00°/301°
R = 0.43
μ = 0.40
F.E. = 5 (11)

Trazas ciclográficas e histogramas del azimut, buzamiento y cabeceo

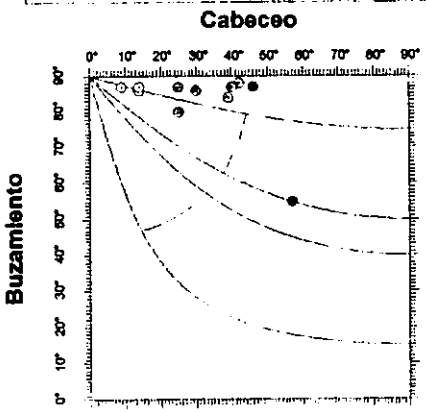
Método de Inversión de Esfuerzos

Rosa de Direcciones

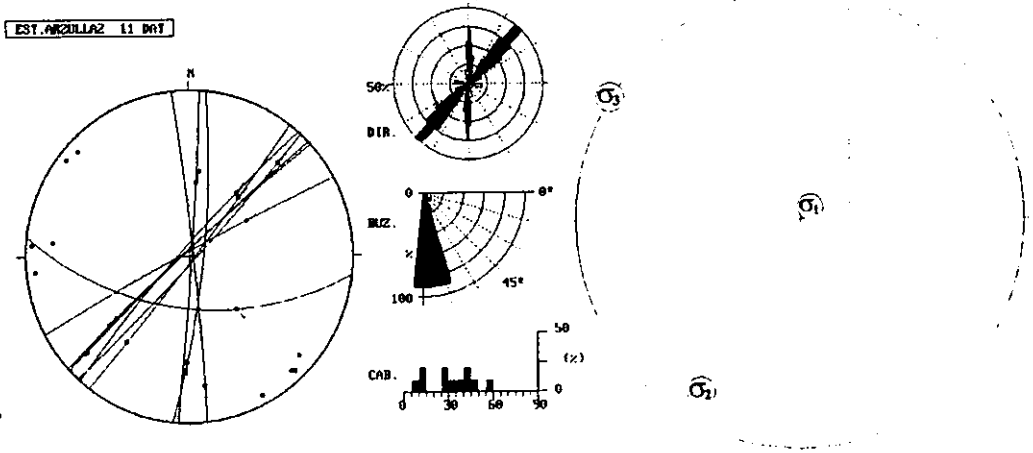


Valor Máximo de Escala: 50%
Ángulo de Apertura: 15°
DEYM: 36° ± 13,64°

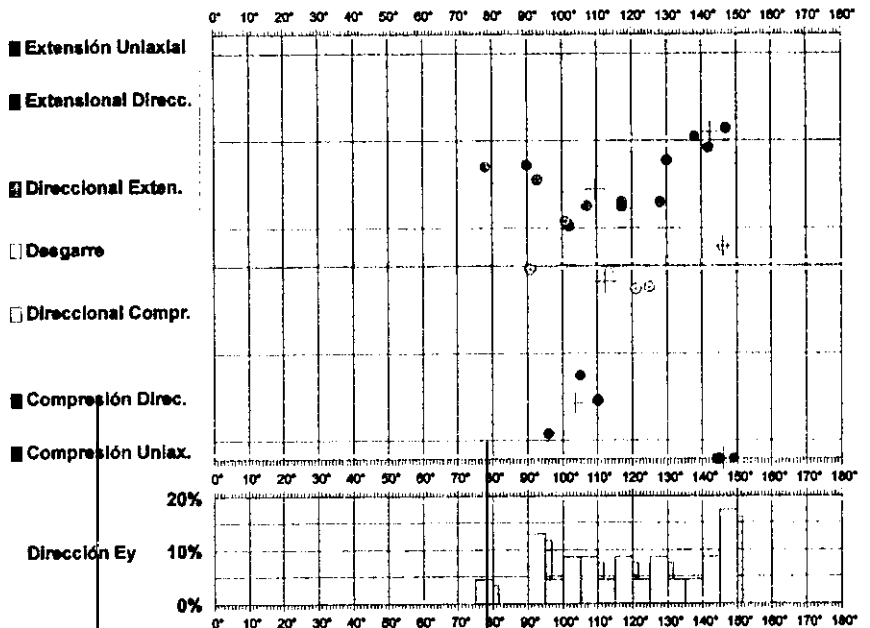
Diagrama Cabeceo/Buzamiento

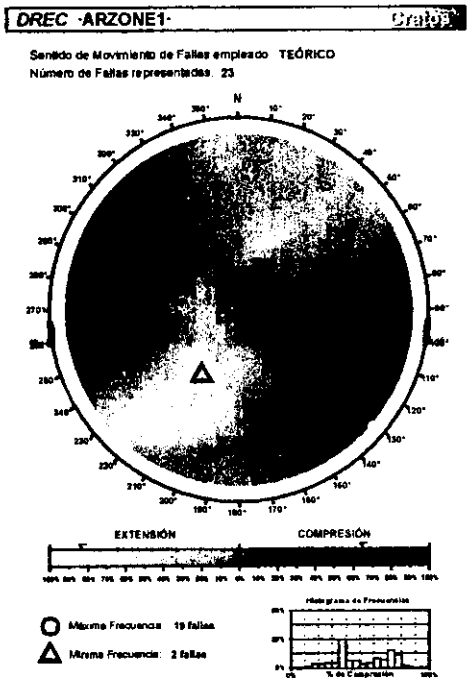


Parámetros Globales
K':8,3966
PHI:63,18°
Buzamiento:83°±09°
Cabeceo:31°±14°



Modelo de Deslizamiento ·ARZONE1· Cratos



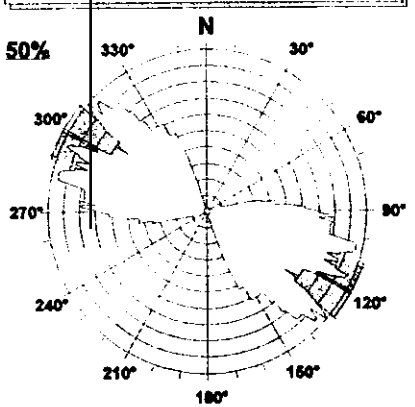


Estación: Arzone
Coordenadas U.T.M. (metros)
X: 502100
Y: 4225800
Z: 830
Litología: Carbonatos
Edad: Jurásico

1ª Subpoblación:
Ey: 119°±11°
Buz: 68°±18°
Cab: 36°±24°
s1 07°/297°
s2 73°/054°
s3 14°/205°
R = 0.55
μ = 0.31
F.E. = 15 (23)

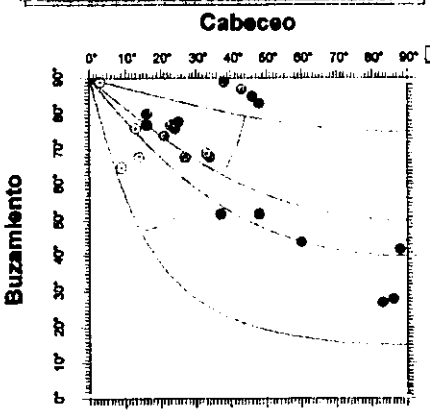
Trazas ciclográficas e histogramas del azimut, buzamiento y cabeceo

Rosa de Direcciones

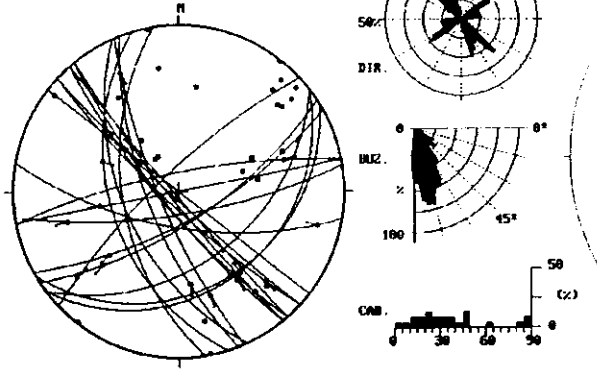


Valor Máximo de Escala: 60%
Ángulo de Apertura: 15°
DEYM: 119° ± 10,62°

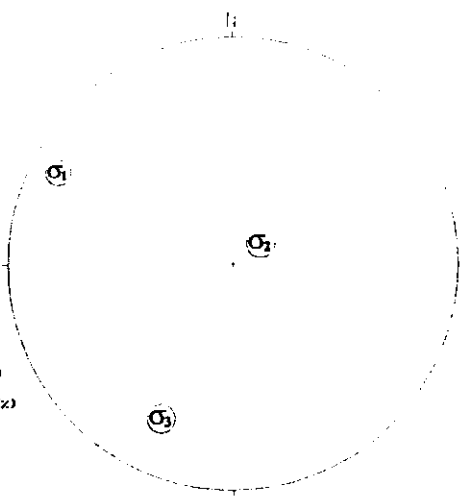
Diagrama Cabeceo/Buzamiento



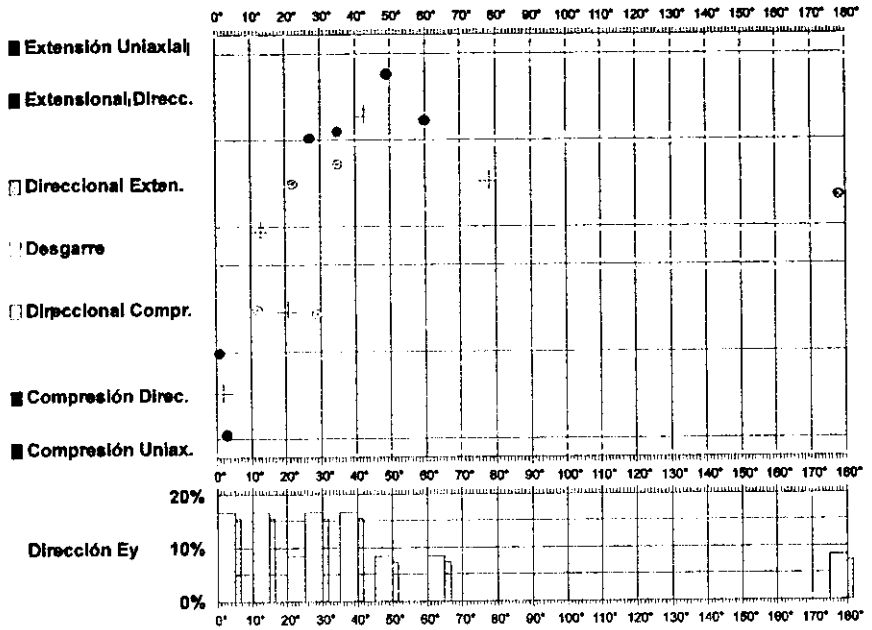
Parámetros Globales
K':63,8164 Buzamiento:68°±18°
PHI:20,99° Cabeceo:36°±24°

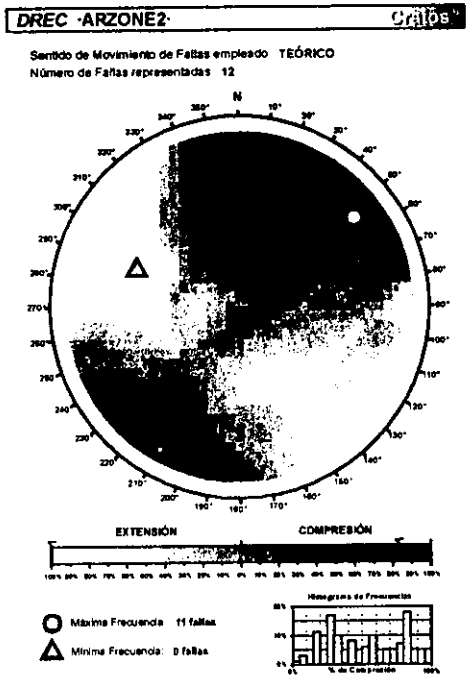


Método de Inversión de Esfuerzos



Modelo de Deslizamiento ·ARZONE2· Cratos



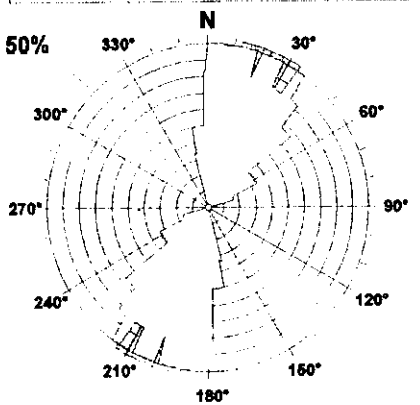


Estación: Arzone
Coordenadas U.T.M. (metros)
X: 502100
Y: 4225800
Z: 830
Litología: Carbonatos
Edad: Jurásico

2ª Subpoblación:
Ey: 023°±11°
Buz: 67°±14°
Cab: 34°±17°
s1 28°/023°
s2 49°/255°
s3 27°/129°
R = 0.31
μ = 0.31
F.E. = 10 (12)

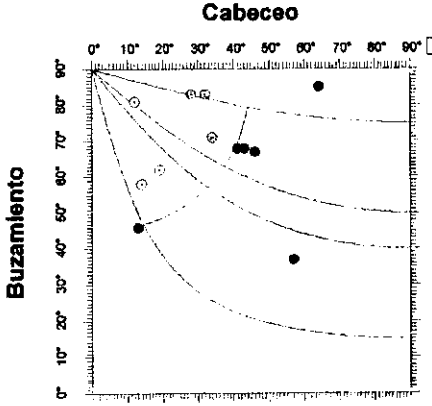
Trazas ciclográficas e histogramas del azimut, buzamiento y cabeceo

Rosa de Direcciones

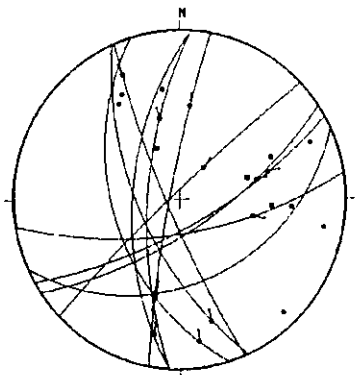


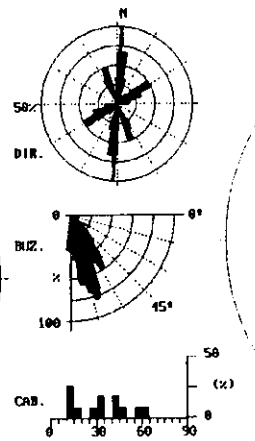
Valor Máximo de Escala: 50%
Ángulo de Apertura: 15°
DEYM: 23° ± 10,58°

Diagrama Cabeceo/Buzamiento

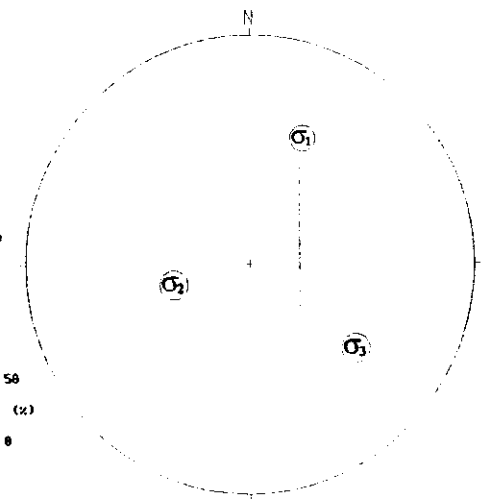


Parámetros Globales
K':2,4784
PHI:16,60°
Buzamiento:67°±14°
Cabeceo:34°±17°

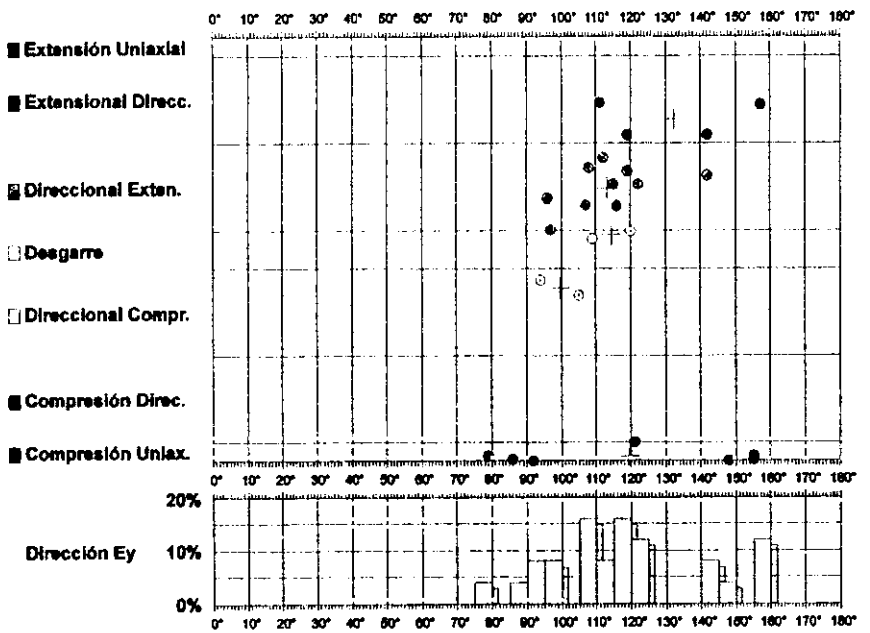


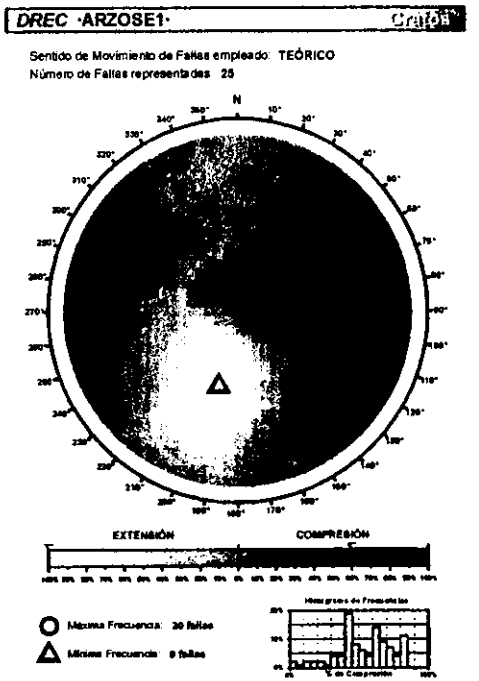


Método de Inversión de Esfuerzos



Modelo de Deslizamiento ·ARZOSE1· Cratos





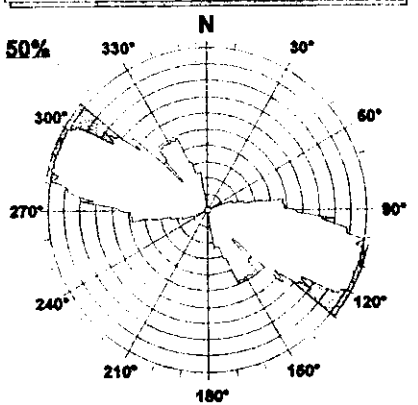
Estación: Arzose
Coordenadas U.T.M. (metros)
X: 500900
Y: 4224000
Z: 754
Litología: Carbonatos
Edad: Jurásico

1ª Subpoblación:	
Ey: 116°±14°	Ey: 116°±14°
Buz: 67°±21°	Buz: 67°±21°
Cab: 44°±24°	Cab: 44°±24°
s1 15°/331°	s1 15°/097°
s2 46°/078°	s2 68°/322°
s3 39°/228°	s3 14°/191°
R = 0.27	R = 0.46
μ = 0.31	μ = 0.31
F.E. = 8 (25)	F.E. = 15 (25)

Trazas cicloográficas e histogramas del azimut, buzamiento y cabeceo

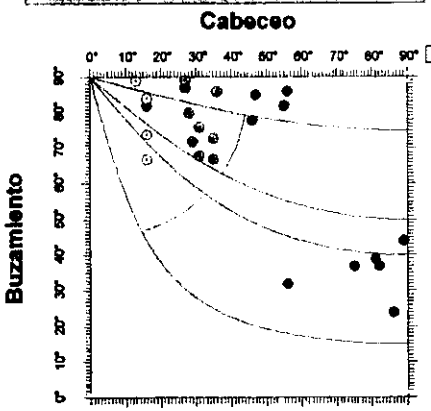
Método de Inversión de Esfuerzos

Rosa de Direcciones

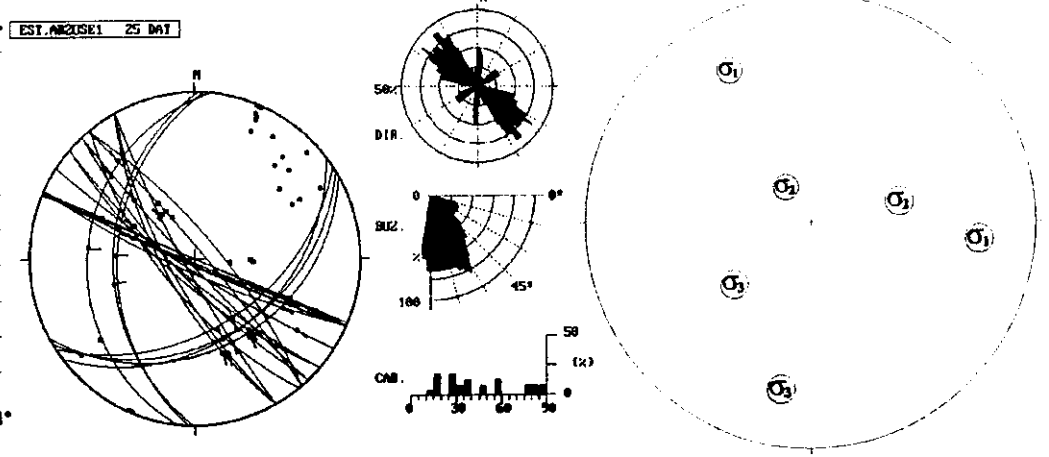


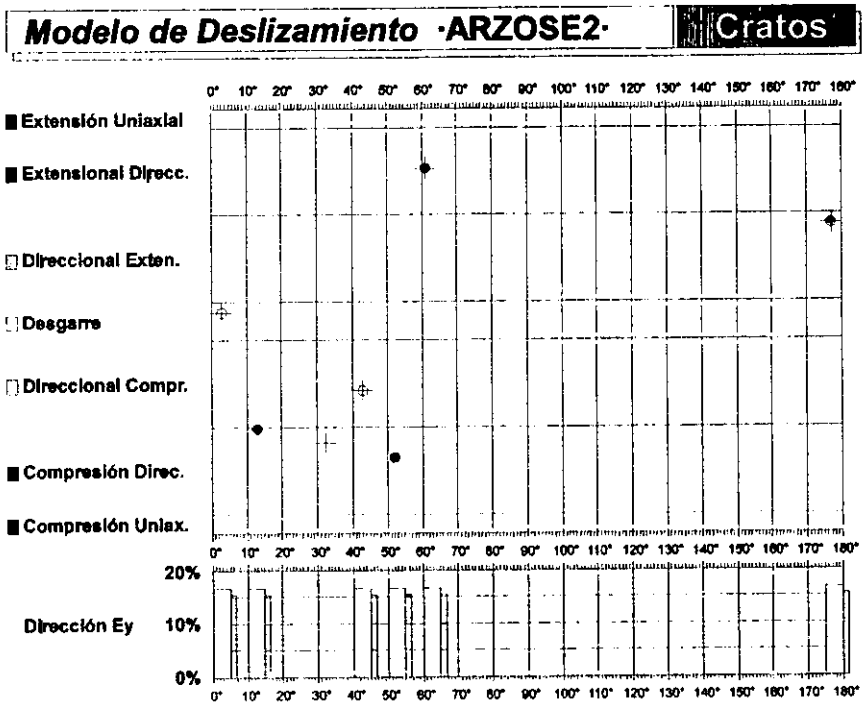
Valor Máximo de Escala: 50%
Ángulo de Apertura: 15°
DEYM: 116° ± 13,74°

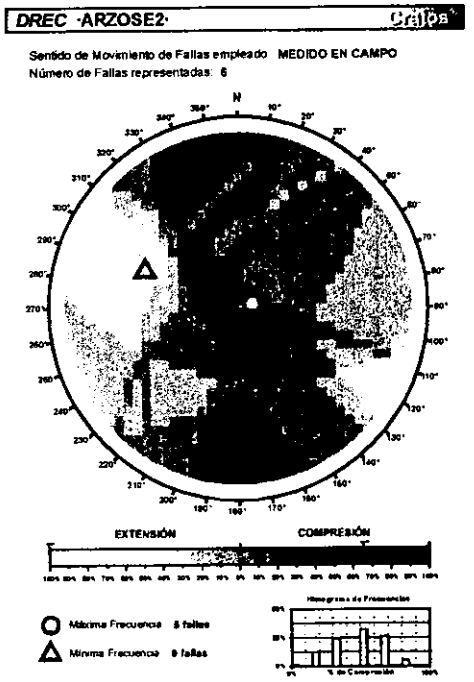
Diagrama Cabeceo/Buzamiento



Parámetros Globales
K':2,3370
PHI:27,14°
Buzamiento:67°±21°
Cabeceo:44°±24°



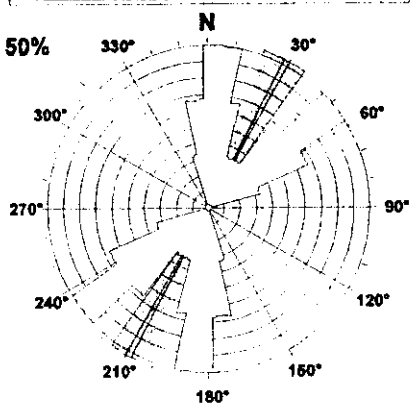


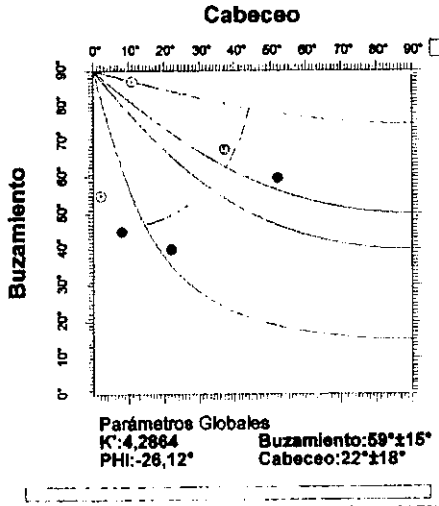


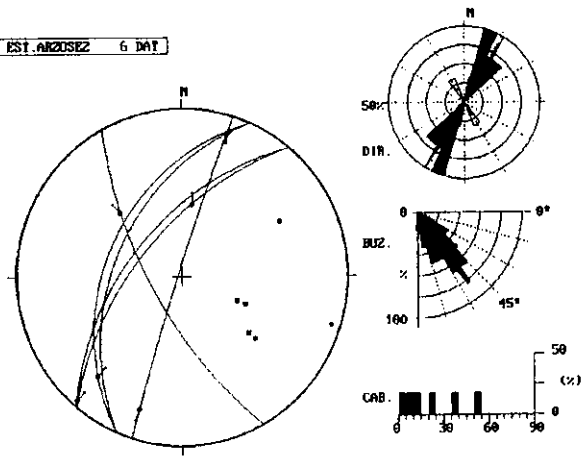
Estación: Arzose
Coordenadas U.T.M. (metros)
X: 500900
Y: 4224000
Z: 754
Litología: Carbonatos
Edad: Jurásico

2ª Subpoblación:
Ey: 028°±7°
Buz: 59°±15°
Cab: 22°±18°
s1 --°/---°
s2 --°/---°
s3 --°/---°
R = ---
μ = ---
F.E. = 0 (6)

Trazas ciclográficas e histogramas del azimut, buzamiento y cabeceo

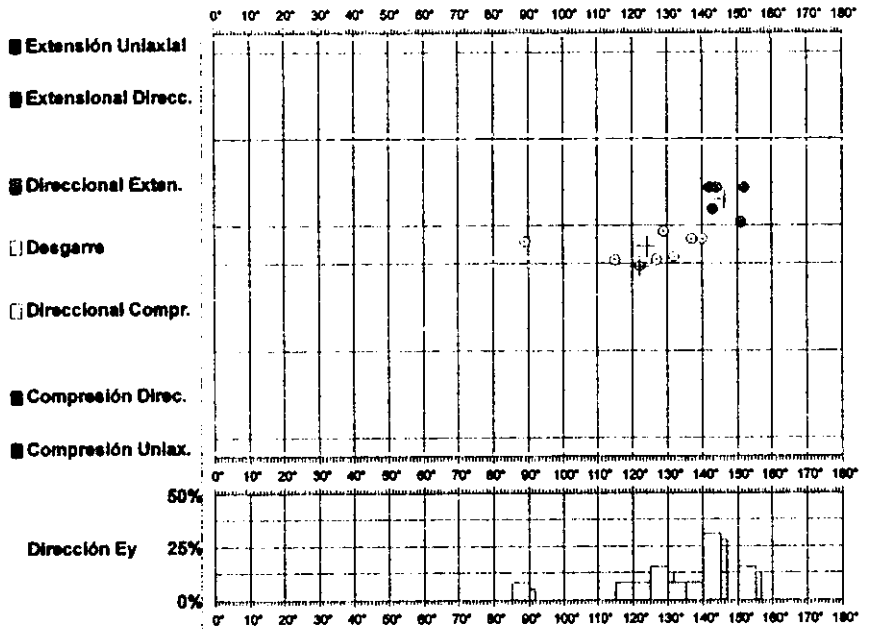


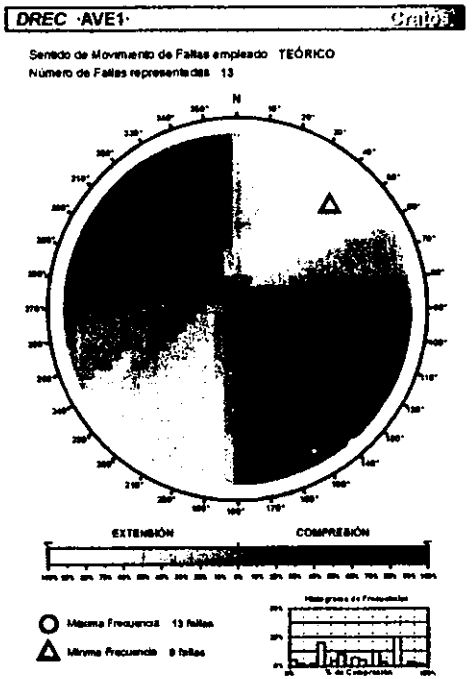




Modelo de Deslizamiento ·AVE1·

Cratos





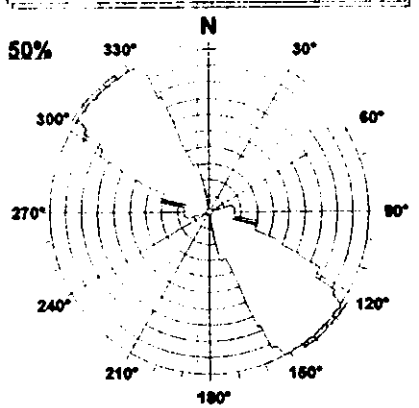
Estación: Ave
Coordenadas U.T.M. (metros)
X: 423400
Y: 4345000
Z: 715
Litología: Basamento hercínico
Edad: Paleozoico

1ª Subpoblación:
Ey: 134°±11°
Buz: 82°±5°
Cab: 16°±9°
s1 25°/138°
s2 64°/321°
s3 01°/228°
R = 0.52
μ = 0.91
F.E. = 11 (13)

Trazas ciclográficas e histogramas del azimut, buzamiento y cabeceo

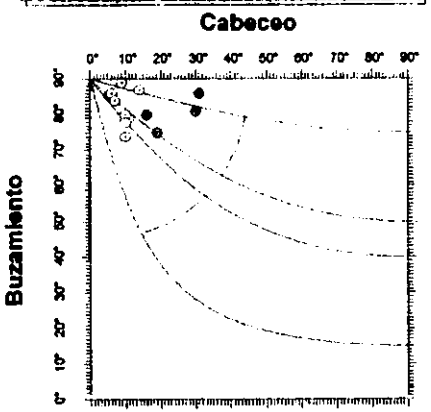
Método de Inversión de Esfuerzos

Rosa de Direcciones

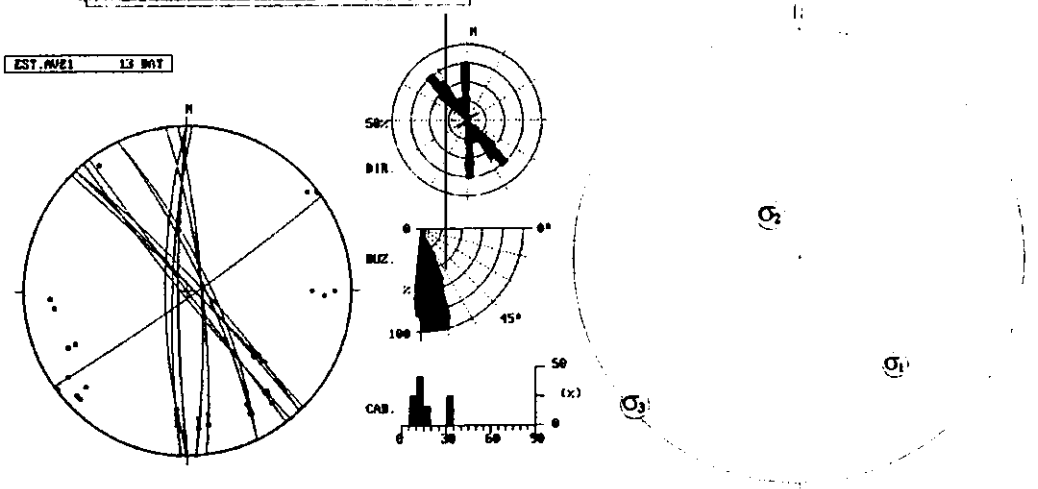


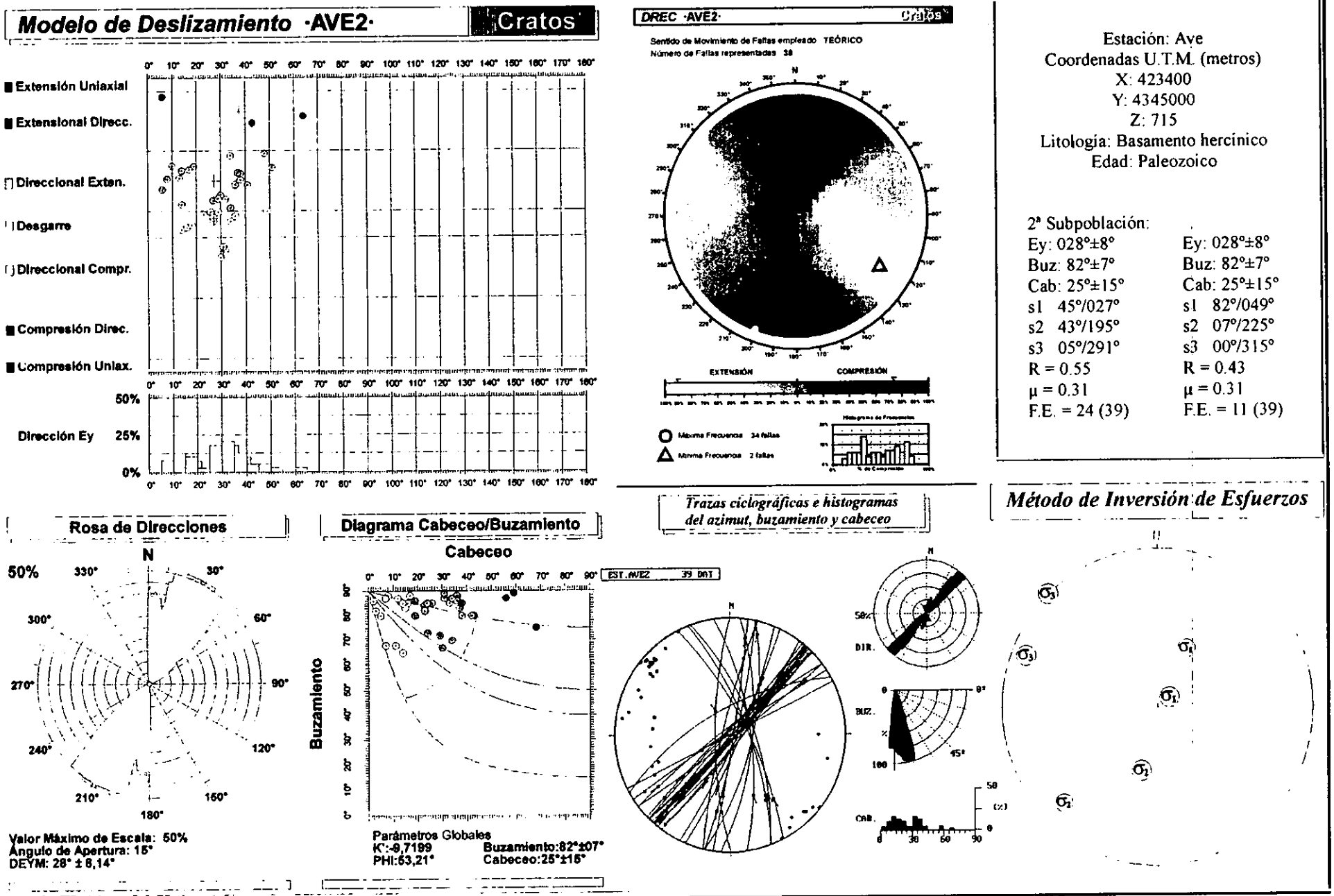
Valor Máximo de Escala: 50%
Ángulo de Apertura: 15°
DEYM: 134° ± 11,16°

Diagrama Cabeceo/Buzamiento

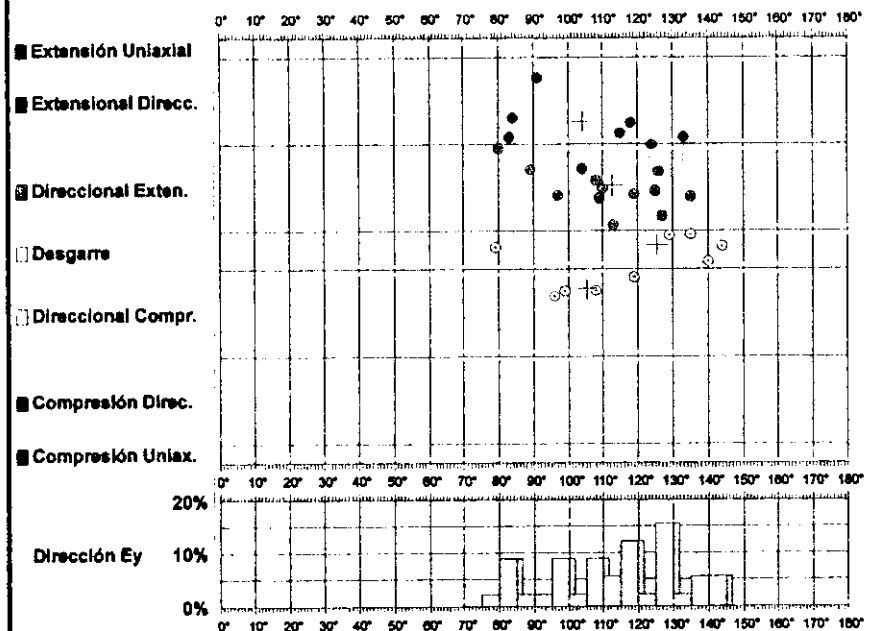


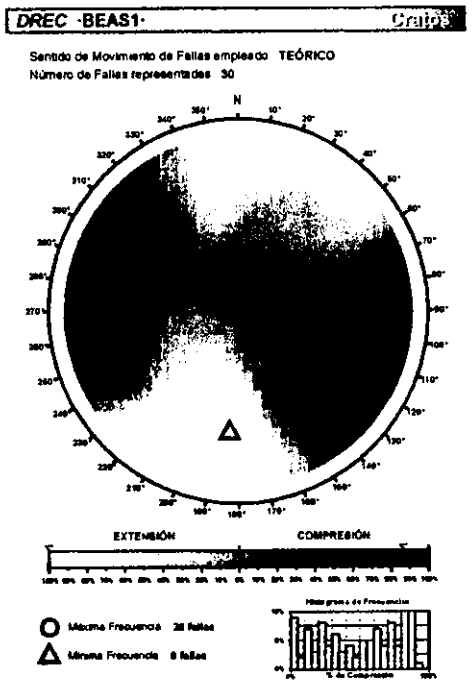
Parámetros Globales
K':7,7682
Phi:35,97°
Buzamiento:82°±05°
Cabeceo:16°±09°




Modelo de Deslizamiento ·AVE2·
Cratos
Extensión Uniaxial
Extensional Direcc.
Direccional Exten.
Desgarre
Direccional Compr.
Compresión Direc.
Compresión Uniax.
Dirección Ey
50%
25%
0%
DREC ·AVE2·
Cratos
Sentido de Movimiento de Fallas empleado TEÓRICO
Número de Fallas representadas 38
EXTENSIÓN
COMPRESIÓN
Máxima Frecuencia 34 fallas
Mínima Frecuencia 2 fallas
Estación: Ave
Coordenadas U.T.M. (metros)
X: 423400
Y: 4345000
Z: 715
Litología: Basamento hercínico
Edad: Paleozoico
2ª Subpoblación:
Ey: 028°±8°
Buz: 82°±7°
Cab: 25°±15°
s1 45°/027°
s2 43°/195°
s3 05°/291°
R = 0.55
μ = 0.31
F.E. = 24 (39)
Ey: 028°±8°
Buz: 82°±7°
Cab: 25°±15°
s1 82°/049°
s2 07°/225°
s3 00°/315°
R = 0.43
μ = 0.31
F.E. = 11 (39)
Trazas ciclográficas e histogramas del azimut, buzamiento y cabeceo
Método de Inversión de Esfuerzos
Rosa de Direcciones
Diagrama Cabeceo/Buzamiento
Cabeceo
Buzamiento
EST.AVE2 39 DAT
Valor Máximo de Escala: 50%
Ángulo de Apertura: 15°
DEYM: 28° ± 8,14°
Parámetros Globales
K':-9,7199
PHI:63,21°
Buzamiento:82°±07°
Cabeceo:25°±15°

Modelo de Deslizamiento ·BEAS1· Cratos

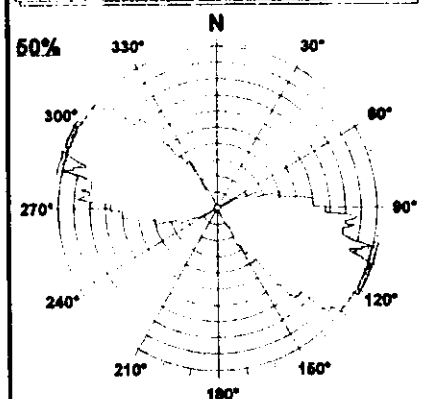




Estación: Beas
Coordenadas U.T.M. (metros)
X: 512600
Y: 4234300
Z: 700
Litología: Carbonatos
Edad: Jurásico

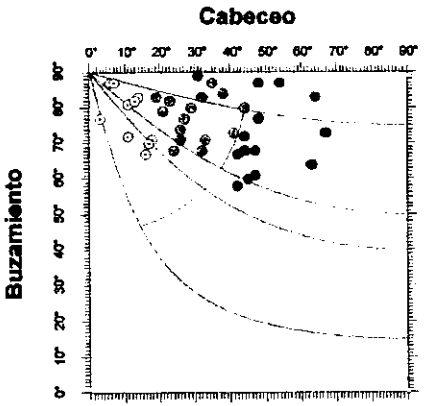
1ª Subpoblación:	
Ey: 113°±10°	Ey: 113°±10°
Buz: 77°±8°	Buz: 77°±8°
Cab: 28°±14°	Cab: 28°±14°
s1 86°/178°	s1 00°/111°
s2 00°/284°	s2 83°/209°
s3 03°/014°	s3 06°/021°
R = 0.55	R = 0.77
μ = 0.31	μ = 0.50
F.E. = 23 (30)	F.E. = 7 (30)

Rosa de Direcciones



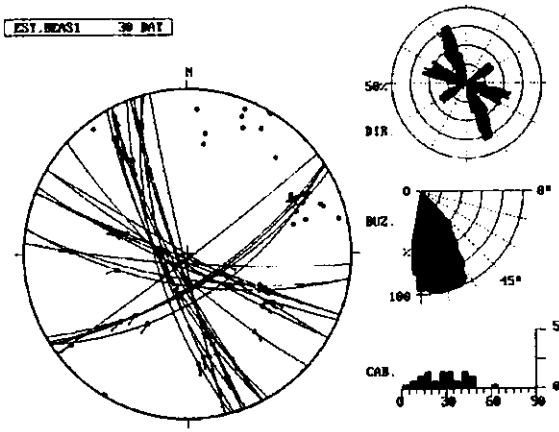
Valor Máximo de Escala: 50%
Ángulo de Apertura: 15°
DEYM: 112° ± 10,01°

Diagrama Cabeceo/Buzamiento

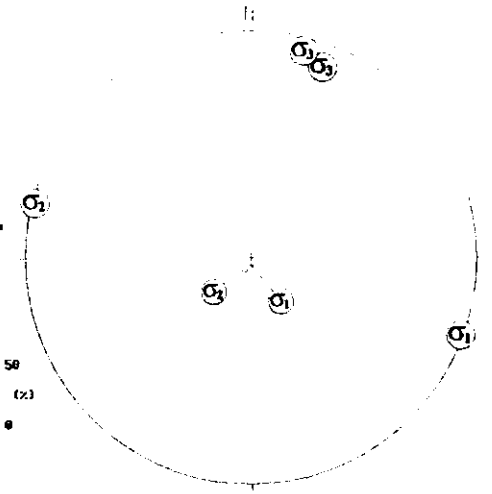


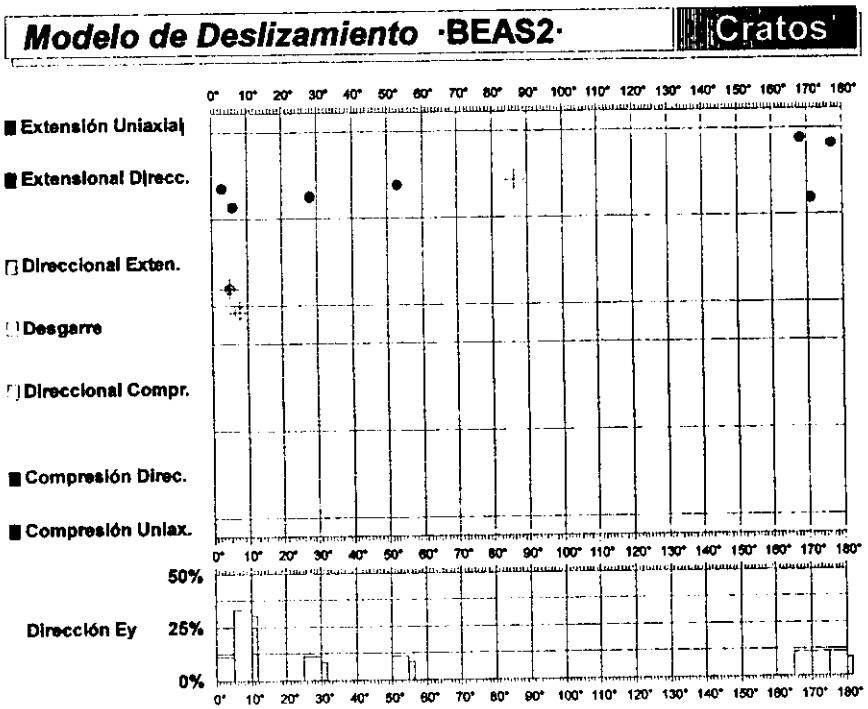
Parámetros Globales
K':8,0932 Buzamiento:77°±08°
PHI:37,63° Cabeceo:28°±14°

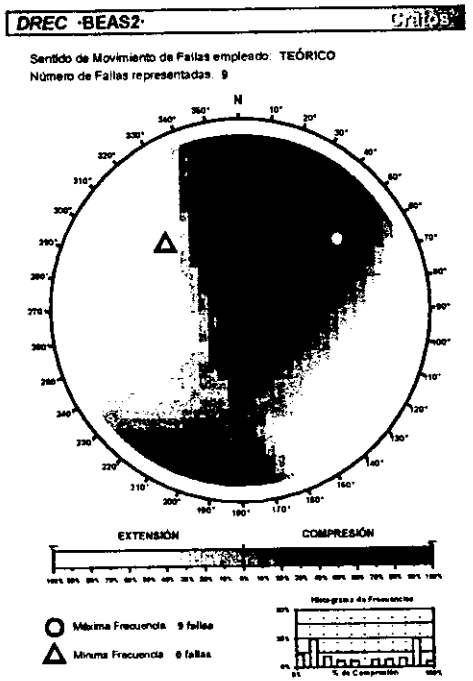
Trazas ciclográficas e histogramas del azimut, buzamiento y cabeceo



Método de Inversión de Esfuerzos



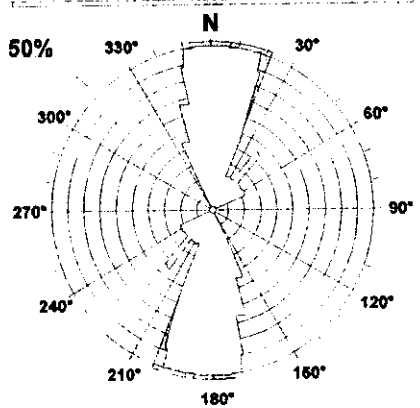


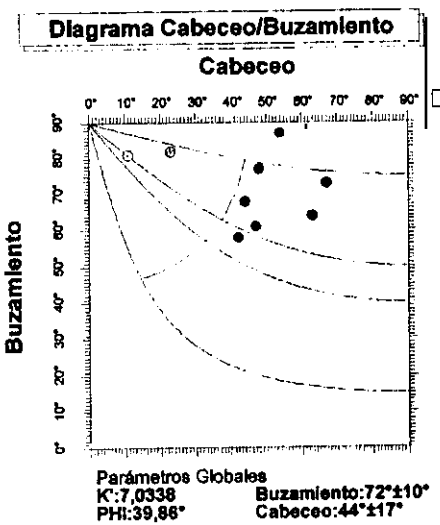


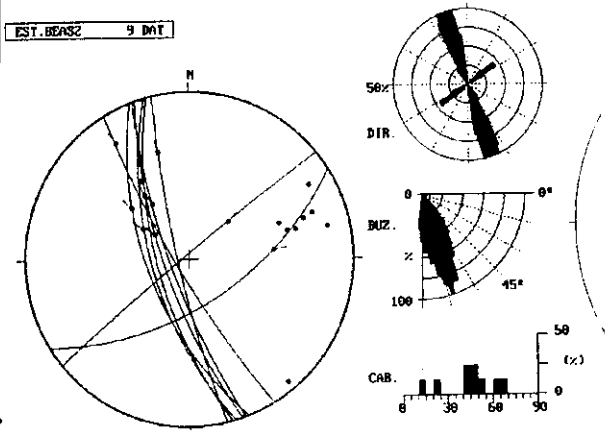
Estación: Beas
Coordenadas U.T.M. (metros)
X: 512600
Y: 4234300
Z: 700
Litología: Carbonatos
Edad: Jurásico

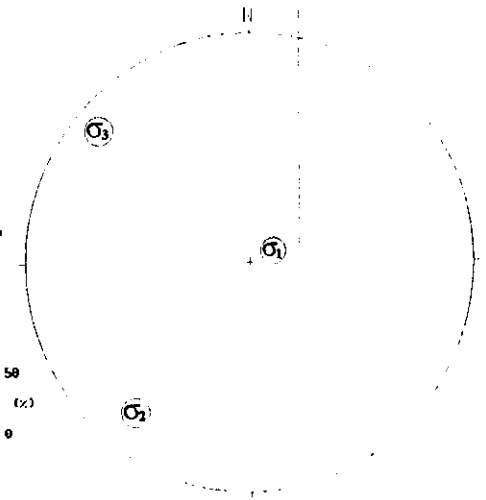
1ª Subpoblación:	
Ey: 113°±10°	Ey: 113°±10°
Buz: 77°±8°	Buz: 77°±8°
Cab: 28°±14°	Cab: 28°±14°
s1 86°/178°	s1 00°/111°
s2 00°/284°	s2 83°/209°
s3 03°/014°	s3 06°/021°
R = 0.55	R = 0.77
μ = 0.31	μ = 0.50
F.E. = 23 (30)	F.E. = 7 (30)

Trazas cicloográficas e histogramas del azimut, buzamiento y cabeceo

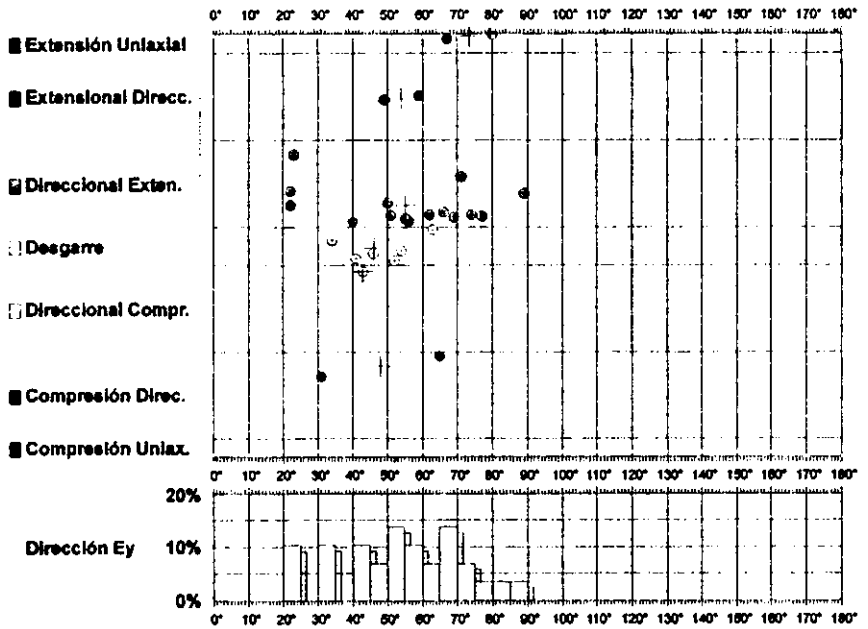


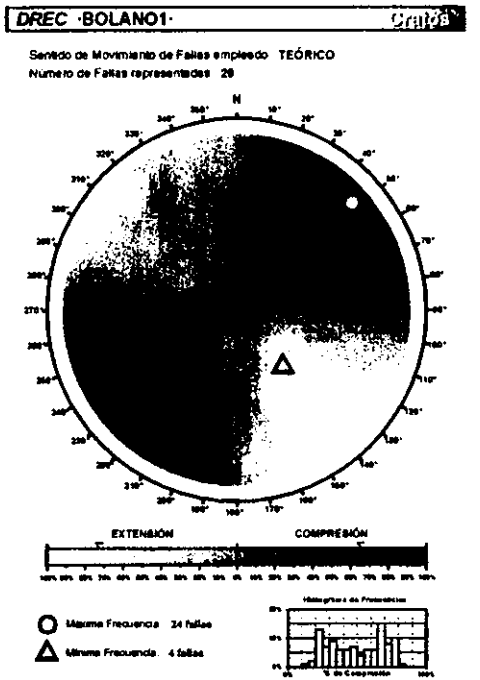






Modelo de Deslizamiento ·BOLANO1· Cratos



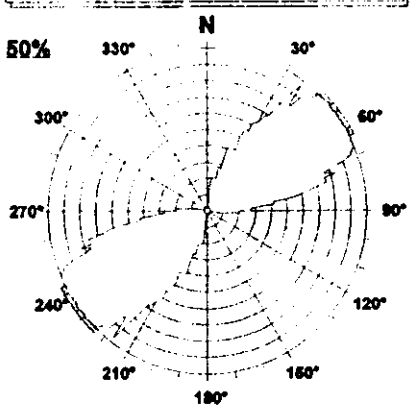


Estación: Bolano
Coordenadas U.T.M. (metros)
X: 443200
Y: 4305100
Z: 680
Litología: Colada lávica
Edad: Mioceno sup.-Pleistoceno inf.

1ª Subpoblación:	
Ey: 053°±10°	Ey: 053°±10°
Buz: 80°±10°	Buz: 80°±10°
Cab: 26°±21°	Cab: 26°±21°
s1 85°/251°	s1 09°/236°
s2 04°/051°	s2 78°/093°
s3 01°/141°	s3 07°/327°
R = 0.37	R = 0.32
μ = 0.31	μ = 0.31
F.E. = 14 (29)	F.E. = 10 (29)

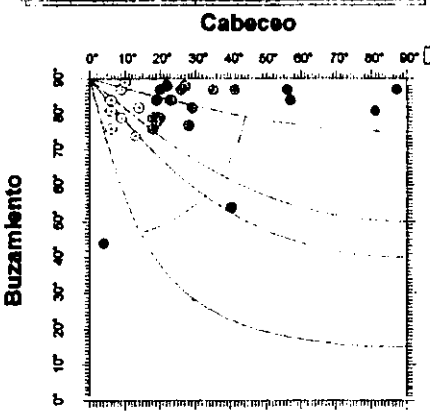
Trazas ciclográficas e histogramas del azimut, buzamiento y cabeceo

Rosa de Direcciones

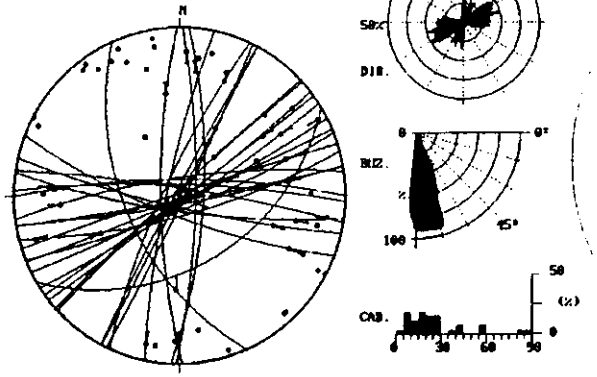


Valor Máximo de Escala: 50%
Ángulo de Apertura: 15°
DEYM: 53° ± 10,22°

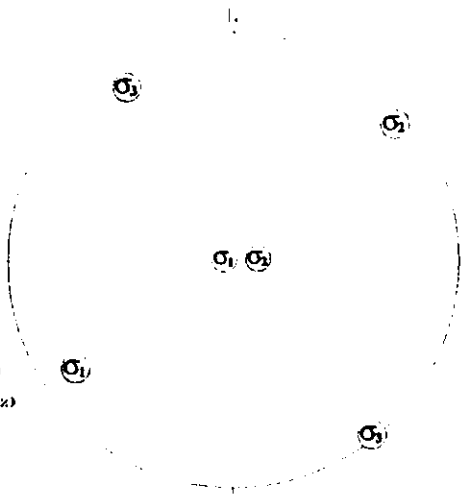
Diagrama Cabeceo/Buzamiento



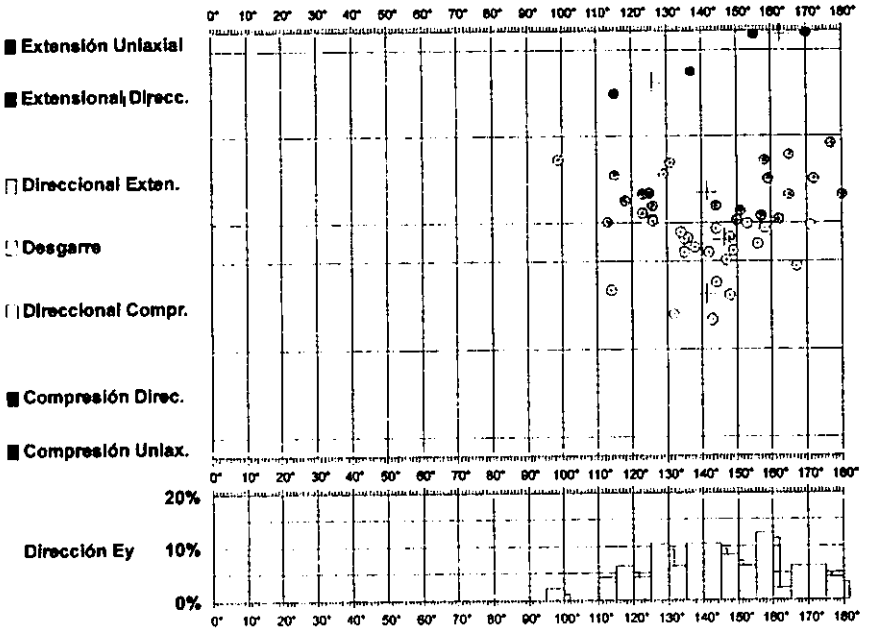
Parámetros Globales
K':-5,1726 Buzamiento:80°±10°
PHI:46,17° Cabeceo:26°±21°

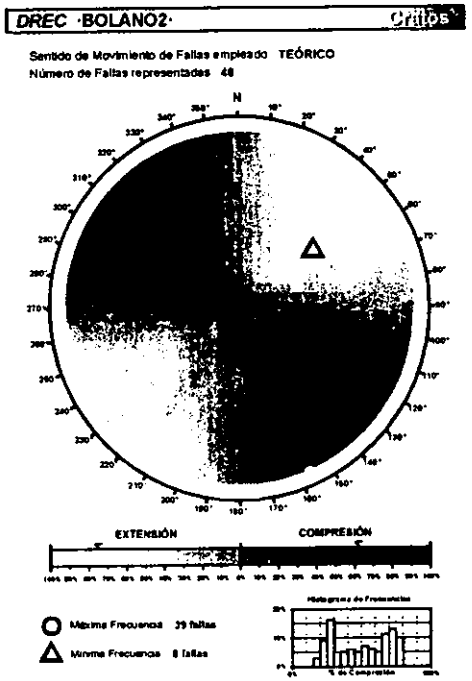


Método de Inversión de Esfuerzos



Modelo de Deslizamiento ·BOLANO2· — Cratos



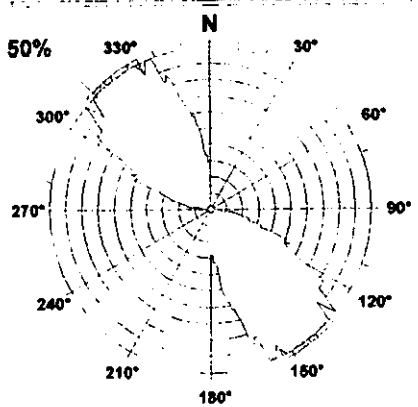


Estación: Bolano
Coordenadas U.T.M. (metros)
X: 443200
Y: 4305100
Z: 680
Litología: Colada lávica
Edad: Mioceno sup.-Pleistoceno inf.

2ª Subpoblación:	
Ey: 143°±11°	Ey: 143°±11°
Buz: 79°±9°	Buz: 79°±9°
Cab: 23°±18°	Cab: 23°±18°
s1 26°/359°	s1 19°/287°
s2 63°/183°	s2 69°/115°
s3 01°/090°	s3 02°/018°
R = 0.75	R = 0.70
μ = 0.31	μ = 0.31
F.E. = 9 (48)	F.E. = 10 (48)
Ey: 143°±11°	Ey: 143°±11°
Buz: 79°±9°	Buz: 79°±9°
Cab: 23°±18°	Cab: 23°±18°
s1 01°/141°	s1 87°/214°
s2 83°/240°	s2 01°/331°
s3 06°/051°	s3 02°/061°
R = 0.31	R = 0.54
μ = 0.40	μ = 0.31
F.E. = 12 (48)	F.E. = 17 (48)

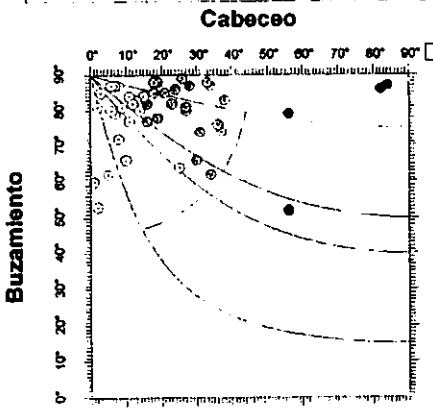
Trazas cicloográficas e histogramas del azimut, buzamiento y cabeceo

Rosa de Direcciones

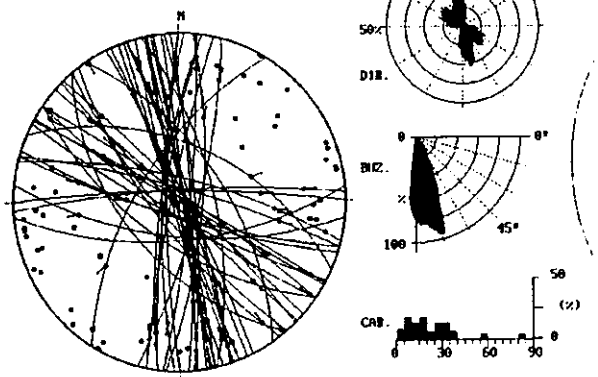


Valor Máximo de Escala: 50%
Ángulo de Apertura: 15°
DEYM: 143° ± 10,60°

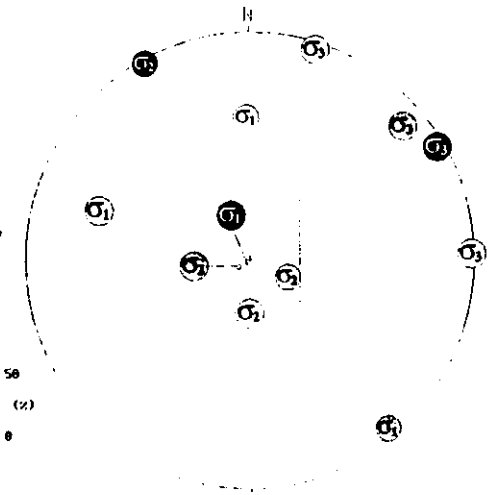
Diagrama Cabeceo/Buzamiento



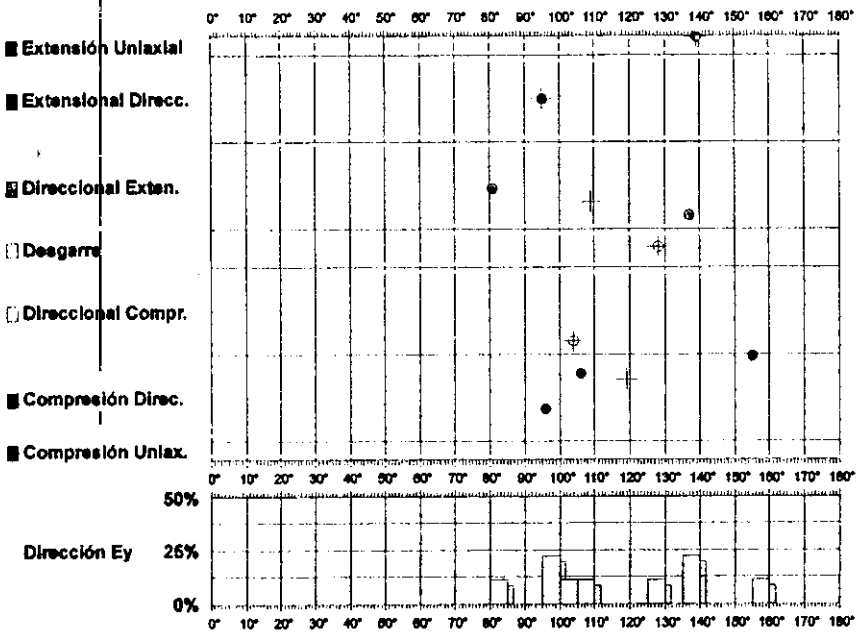
Parámetros Globales
K':6,5681 Buzamiento:79°±09°
PHI:37,10° Cabeceo:23°±18°

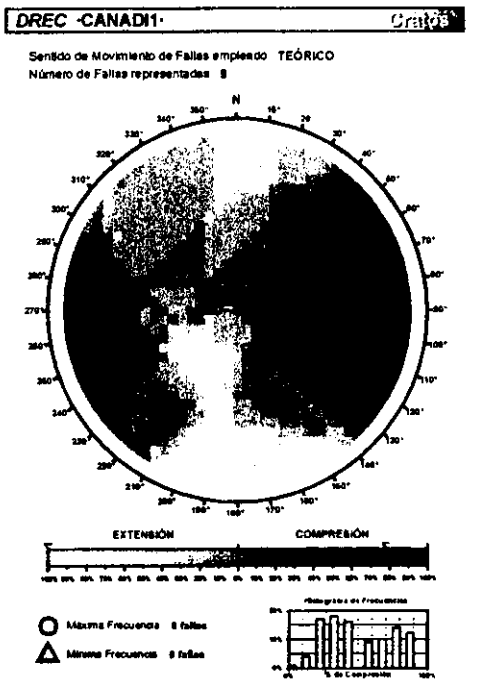


Método de Inversión de Esfuerzos



Modelo de Deslizamiento ·CANADI1· Cratos





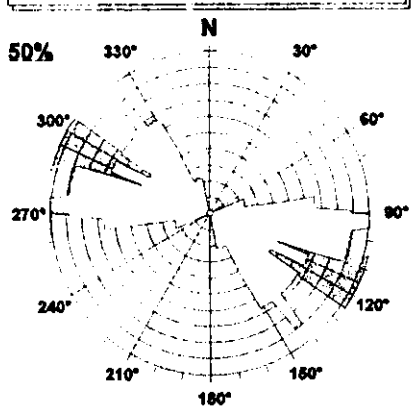
Estación: Canadí
Coordenadas U.T.M. (metros)
X: 209800
Y: 4416100
Z: 376
Litología: Dique básico
Edad: Jurásico

1ª Subpoblación:
Ey: 115°±10°
Buz: 62°±19°
Cab: 29°±24°
s1 32°/103°
s2 57°/281°
s3 00°/013°
R = 0.14
μ = 0.31
F.E. = 8 (9)

Trazas cicloográficas e histogramas del azimut, buzamiento y cabeceo

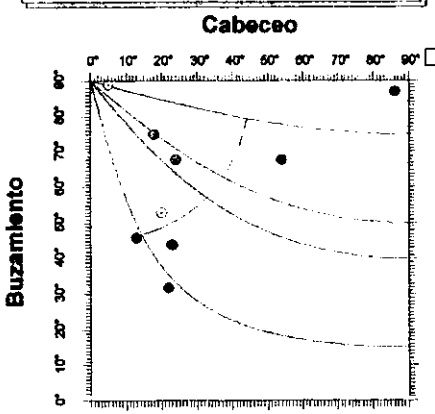
Método de Inversión de Esfuerzos

Rosa de Direcciones

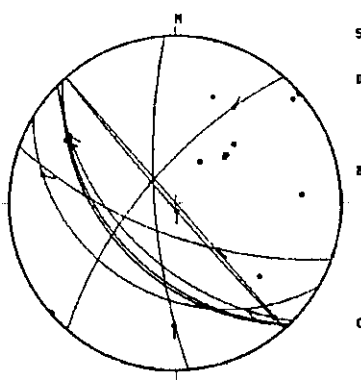


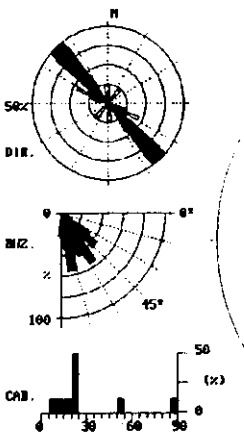
Valor Máximo de Escala: 50%
Ángulo de Apertura: 15°
DEYM: 115° ± 10,33°

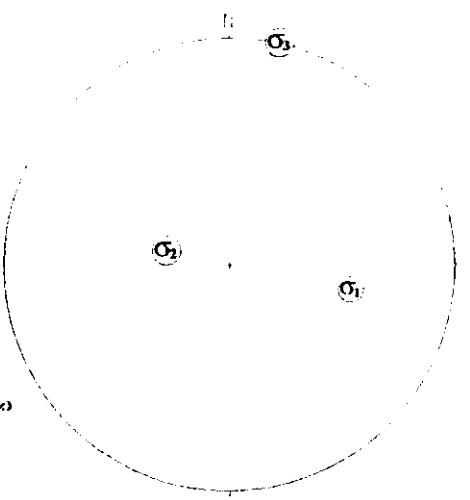
Diagrama Cabeceo/Buzamiento



Parámetros Globales
K':21,0095 Buzamiento:62°±19°
PHI:-05,28° Cabeceo:29°±24°

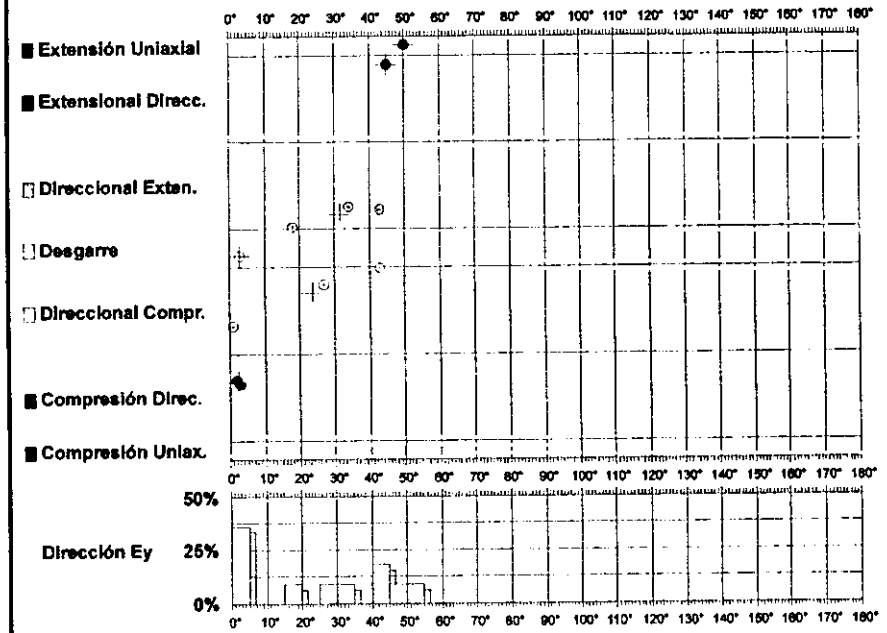


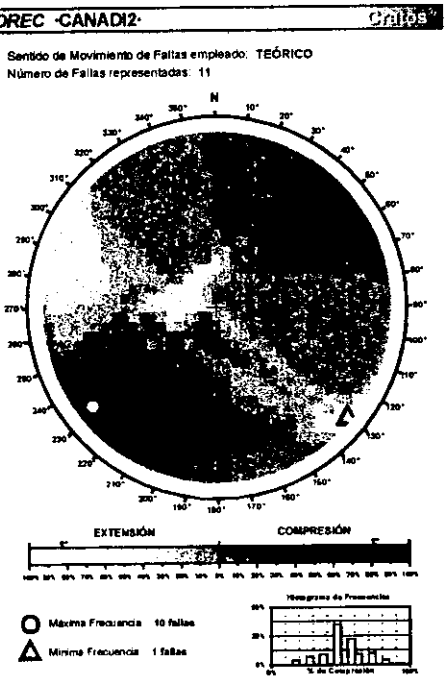




Modelo de Deslizamiento ·CANADI2·

Cratos



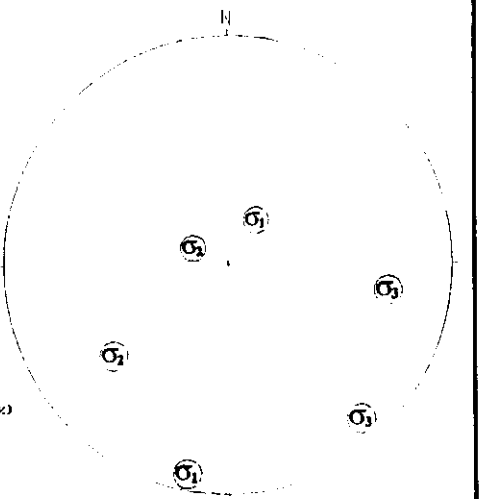


Estación: Canadi
Coordenadas U.T.M. (metros)
X: 209800
Y: 4416100
Z: 376
Litología: Dique básico
Edad: Jurásico

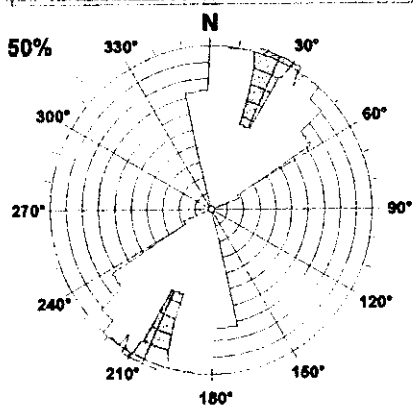
2ª Subpoblación:	
Ey: 025°±8°	Ey: 025°±8°
Buz: 72°±14°	Buz: 72°±14°
Cab: 30°±23°	Cab: 30°±23°
s1 66°/036°	s1 03°/192°
s2 22°/233°	s2 71°/291°
s3 05°/140°	s3 18°/101°
R = 0.41	R = 0.25
μ = 0.31	μ = 0.40
F.E. = 5 (11)	F.E. = 6 (11)

Trazas ciclográficas e histogramas del azimut, buzamiento y cabeceo

Método de Inversión de Esfuerzos

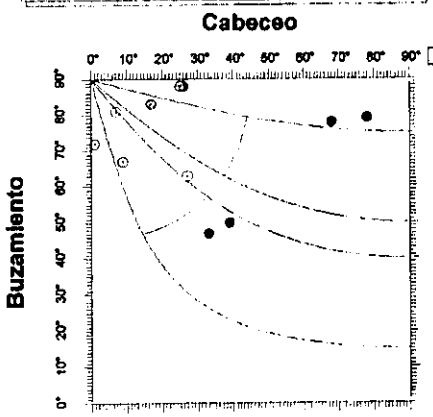


Rosa de Direcciones

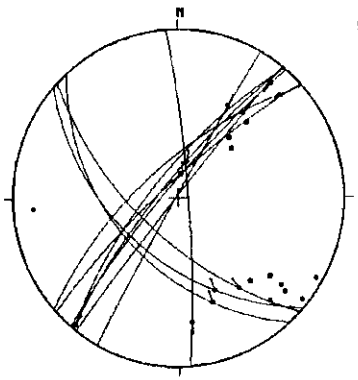


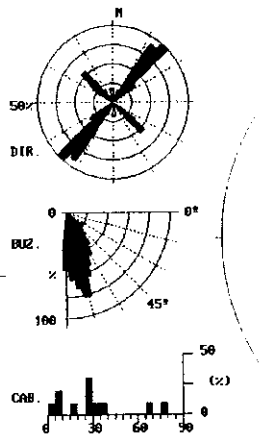
Valor Máximo de Escala: 50%
Ángulo de Apertura: 15°
DEYM: 25° ± 7,62°

Diagrama Cabeceo/Buzamiento

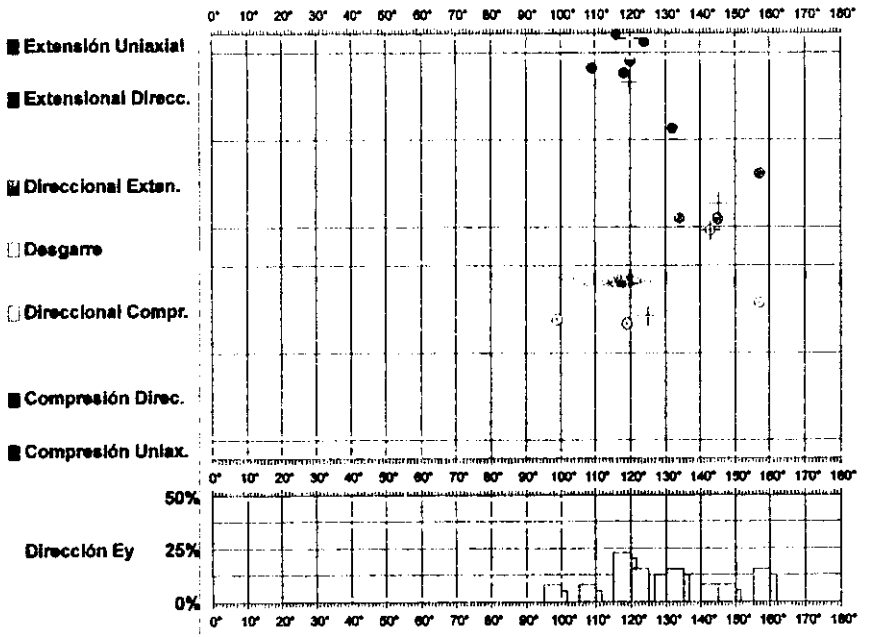


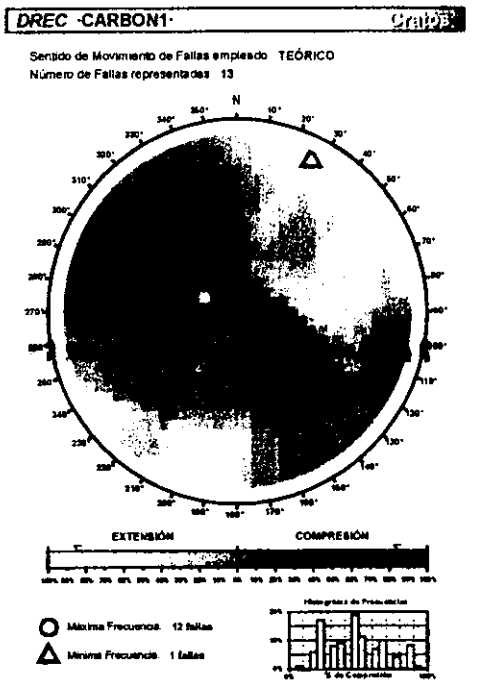
Parámetros Globales
K':-4,5665
PHI:23,96°
Buzamiento:72°±14°
Cabeceo:30°±23°





Modelo de Deslizamiento ·CARBON1· Cratos



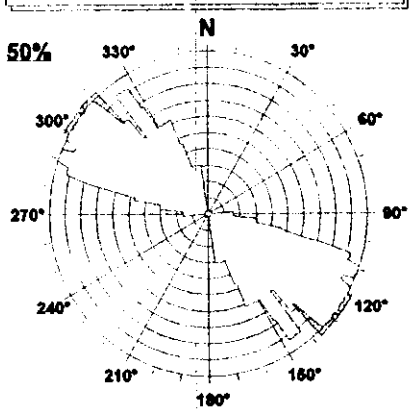


Estación: Carbon
Coordenadas U.T.M. (metros)
X: 556100
Y: 4279750
Z: 1290
Litología: Carbonatos
Edad: Jurásico

1ª Subpoblación:
Ey: 128°±9°
Buz: 70°±9°
Cab: 40°±27°
s1 44°/306°
s2 44°/107°
s3 09°/206°
R = 0.52
μ = 0.31
F.E. = 11 (13)

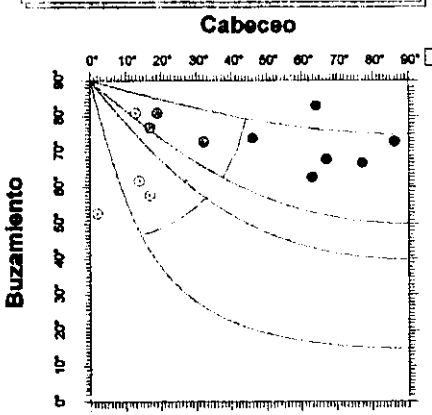
Trazas ciclográficas e histogramas del azimut, buzamiento y cabeceo

Rosa de Direcciones

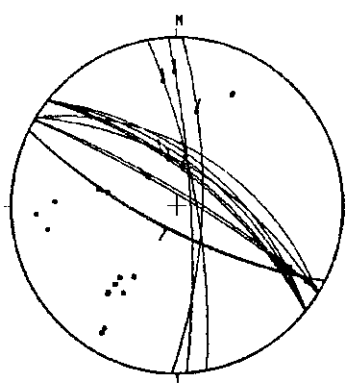


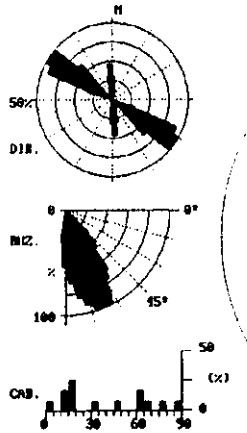
Valor Máximo de Escala: 50%
Ángulo de Apertura: 15°
DEYM: 128° ± 9,27°

Diagrama Cabeceo/Buzamiento

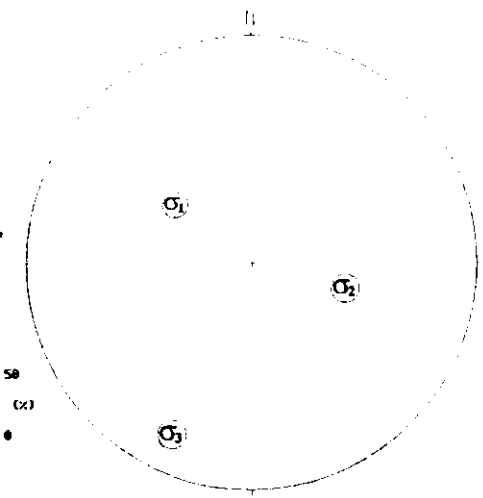


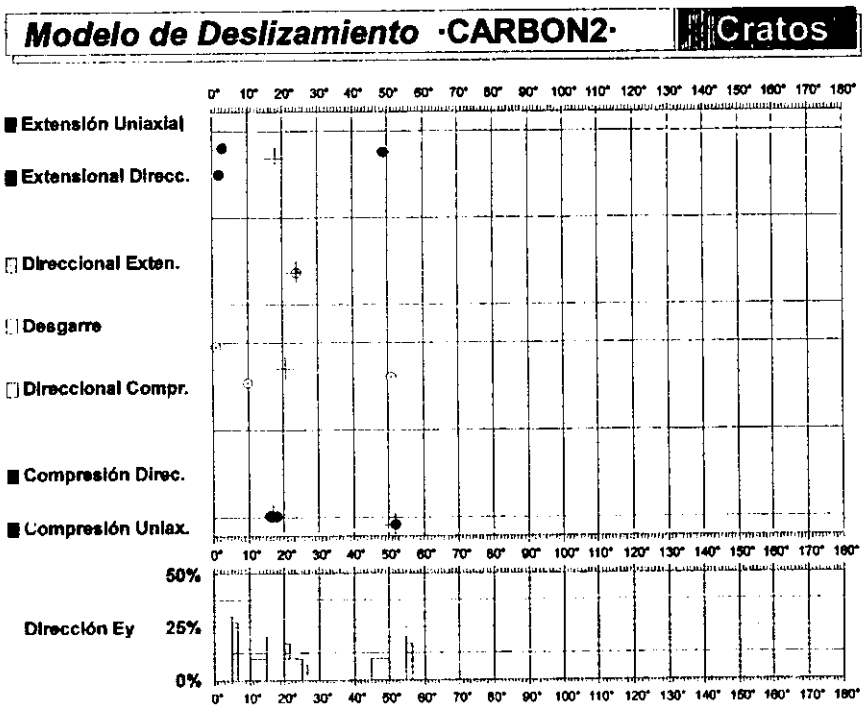
Parámetros Globales
K':2,9768 Buzamiento:70°±09°
PHI:30,96° Cabeceo:40°±27°

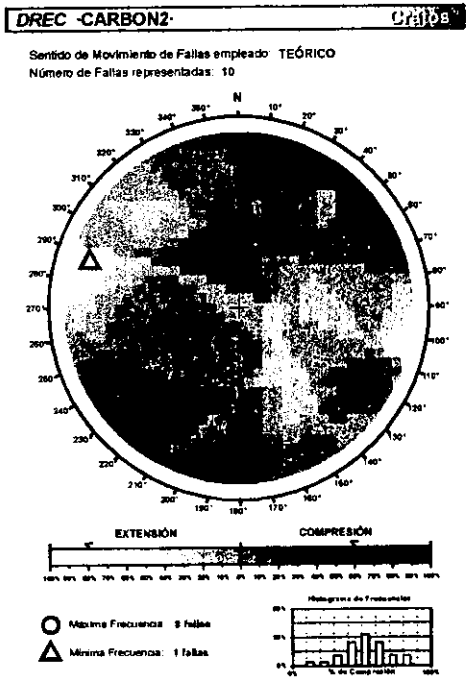




Método de Inversión de Esfuerzos





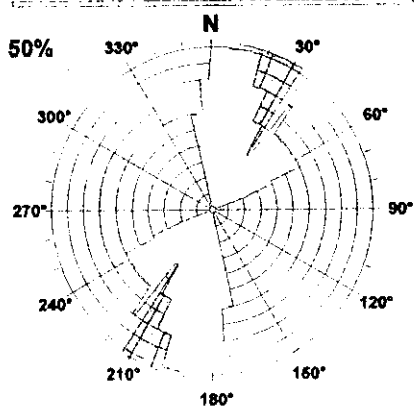


Estación: Carbon
Coordenadas U.T.M. (metros)
X: 556100
Y: 4279750
Z: 1290
Litología: Carbonatos
Edad: Jurásico

2ª Subpoblación:
Ey: 022°±11°
Buz: 57°±20°
Cab: 38°±22°
s1 13°/181°
s2 75°/031°
s3 07°/272°
R = 0.29
μ = 0.61
F.E. = 7 (10)

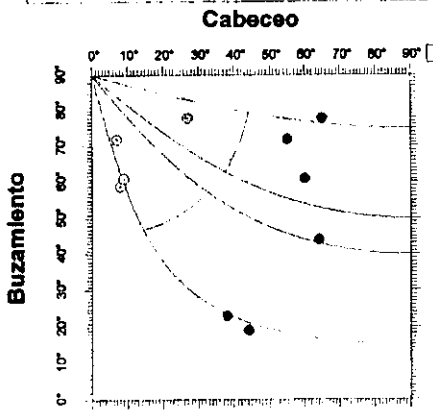
Trazas ciclográficas e histogramas del azimut, buzamiento y cabeceo

Rosa de Direcciones

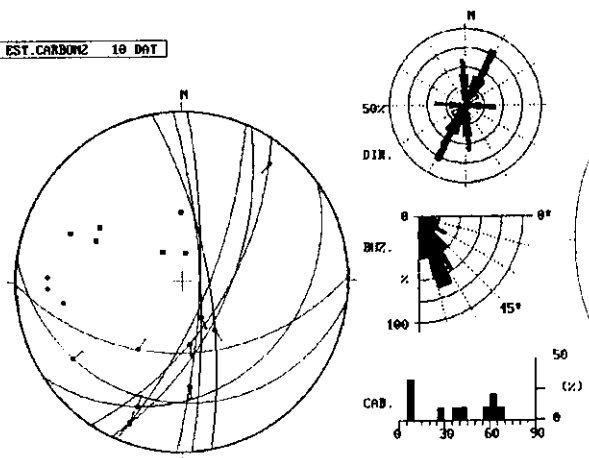


Valor Máximo de Escala: 50%
Ángulo de Apertura: 15°
DEYM: 22° ± 10,59°

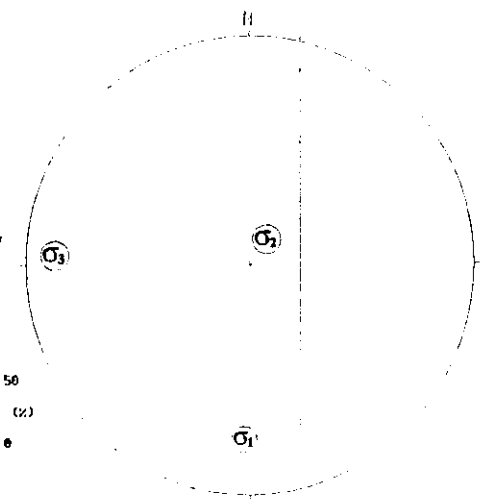
Diagrama Cabeceo/Buzamiento



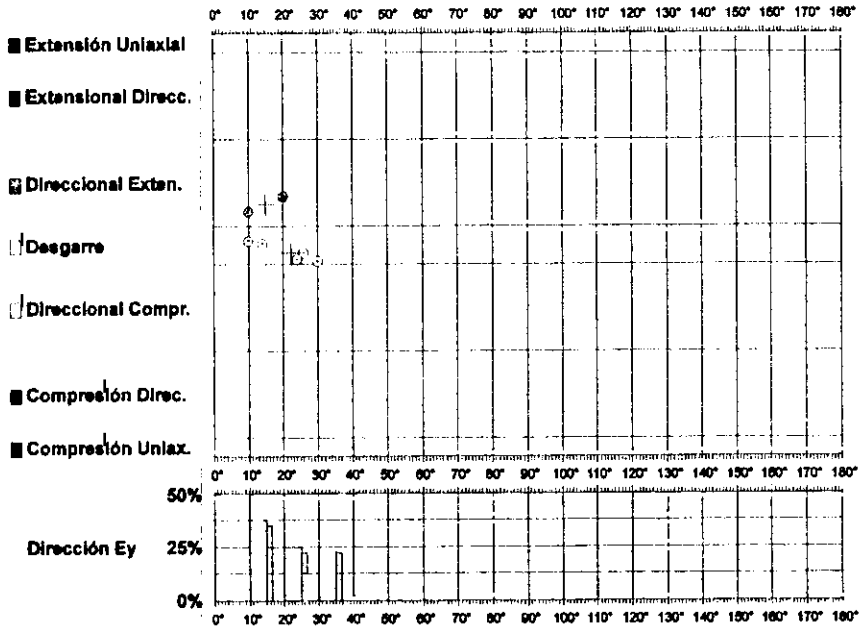
Parámetros Globales
K':-0,8560 Buzamiento:57°±20°
PHI:-03,06° Cabeceo:38°±22°

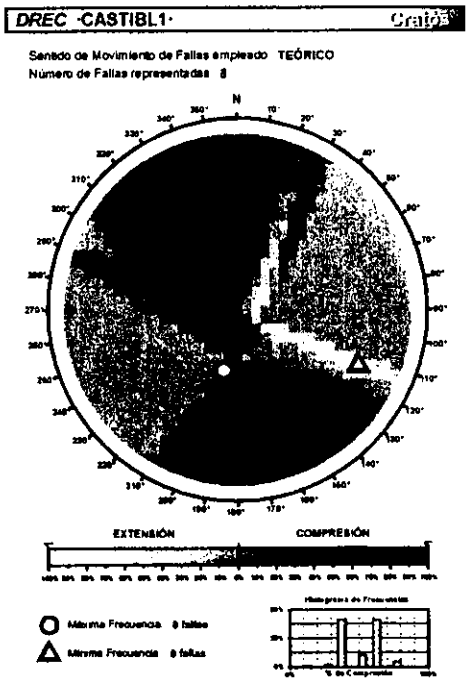


Método de Inversión de Esfuerzos



Modelo de Deslizamiento ·CASTIBL1· Cratos



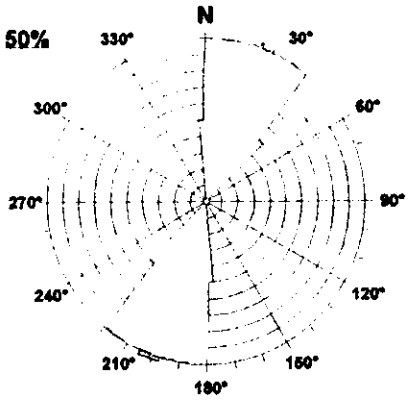


Estación: Castibl
Coordenadas U.T.M. (metros)
X: 318600
Y: 4351200
Z: 440
Litología: Aluvial
Edad: Cuaternario

1ª Subpoblación:
Ey: 020°±4°
Buz: 81°±6°
Cab: 9°±10°
s1 63°/181°
s2 24°/024°
s3 08°/290°
R = 0.12
μ = 1.41
F.E. = 6 (8)

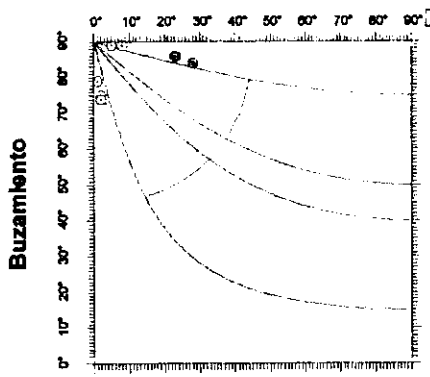
Trazas ciclográficas e histogramas del azimut, buzamiento y cabeceo

Rosa de Direcciones

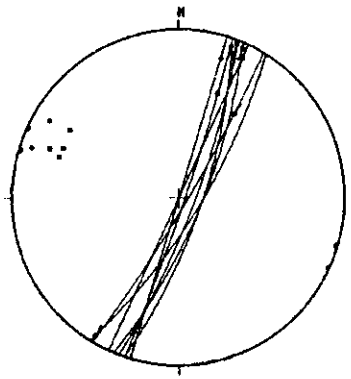


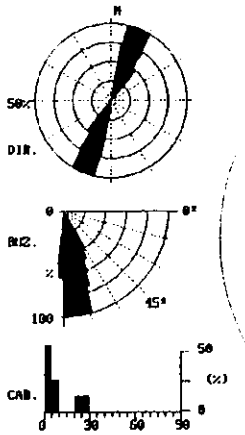
Valor Máximo de Escala: 50%
Ángulo de Apertura: 15°
DEYM: 21° ± 3,66°

Diagrama Cabeceo/Buzamiento

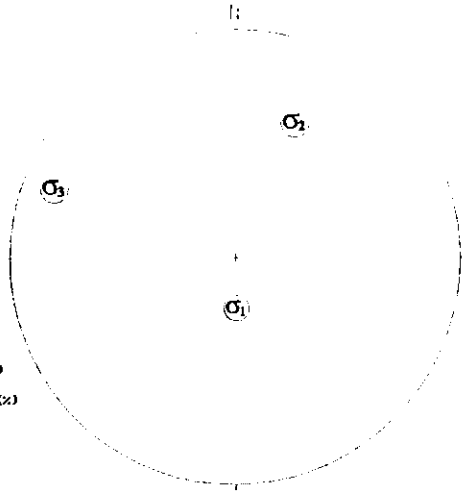


Parámetros Globales
K':22,4431 Buzamiento:81°±06°
PHI:-00,71° Cabeceo:09°±10°

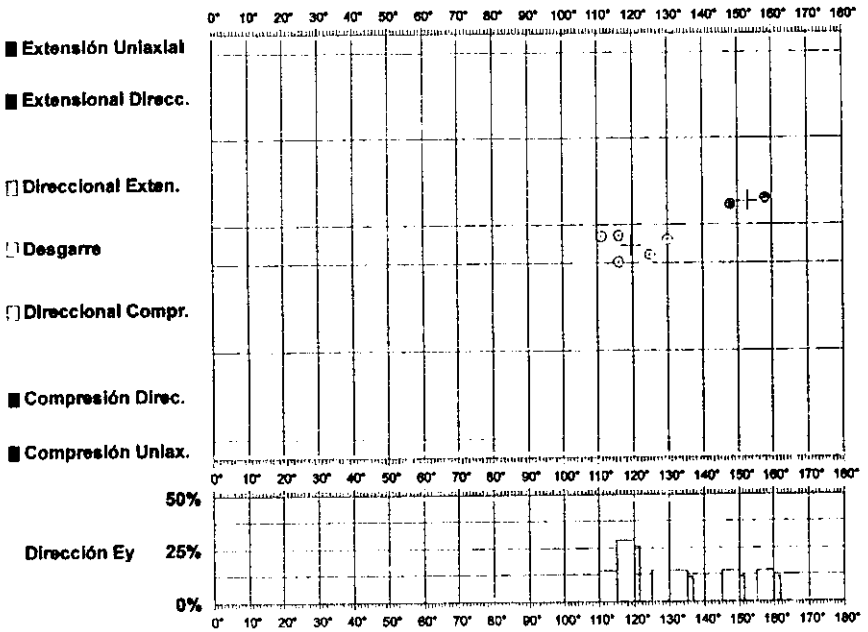


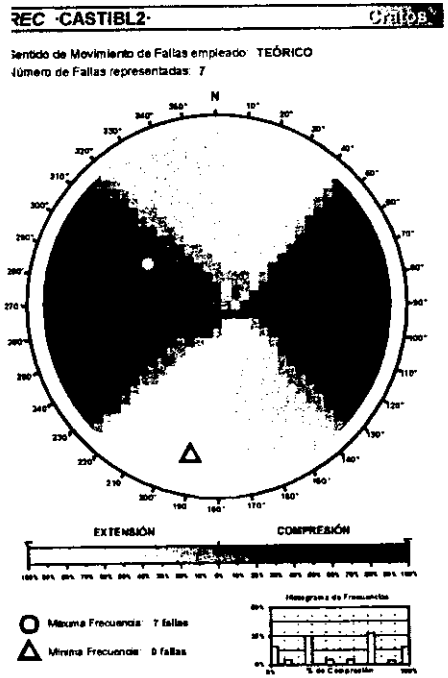


Método de Inversión de Esfuerzos



Modelo de Deslizamiento ·CASTIBL2· Cratos





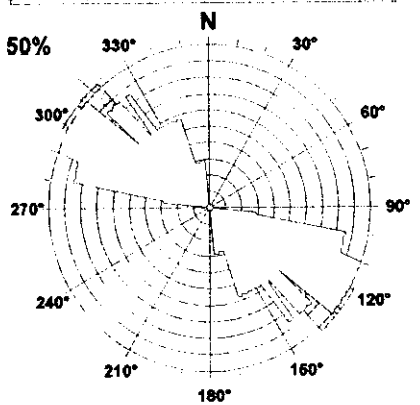
Estación: Castibl
Coordenadas U.T.M. (metros)
X: 318600
Y: 4351200
Z: 440
Litología: Aluvial
Edad: Cuaternario

2ª Subpoblación:
Ey: 129°±10°
Buz: 80°±6°
Cab: 12°±7°
s1 32°/306°
s2 55°/100°
s3 11°/208°
R = 0.42
μ = 0.31
F.E. = 7 (7)

Trazas ciclográficas e histogramas del azimut, buzamiento y cabeceo

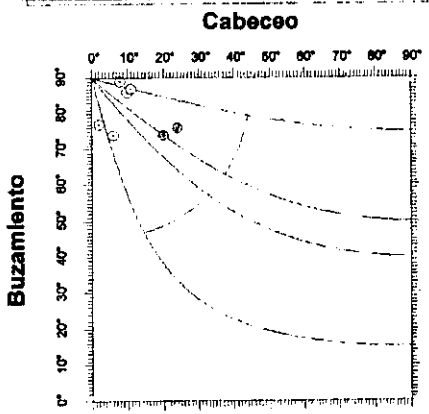
Método de Inversión de Esfuerzos

Rosa de Direcciones

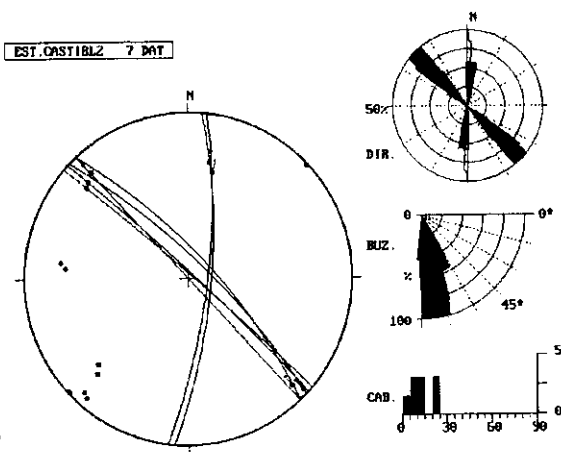


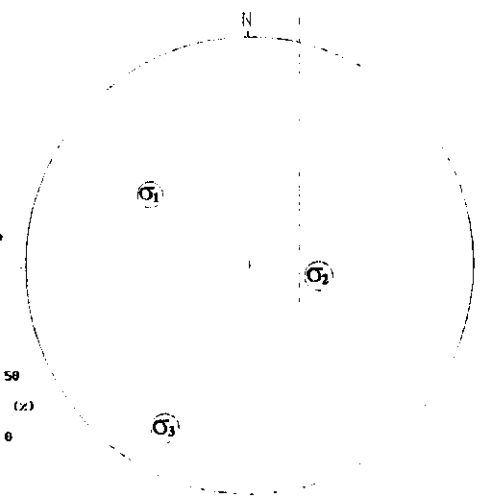
Valor Máximo de Escala: 50%
Ángulo de Apertura: 15°
DEYM: 128° ± 9,61°

Diagrama Cabeceo/Buzamiento

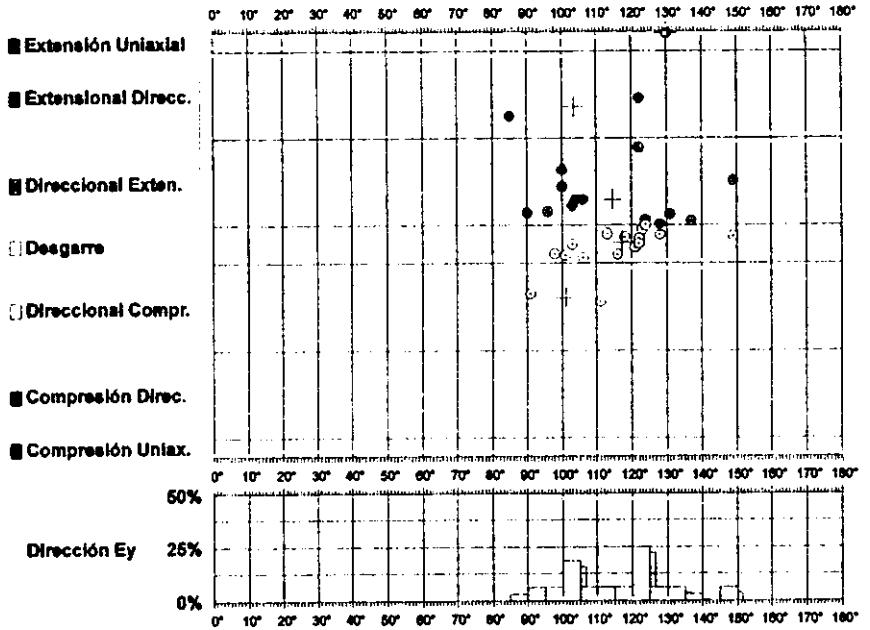


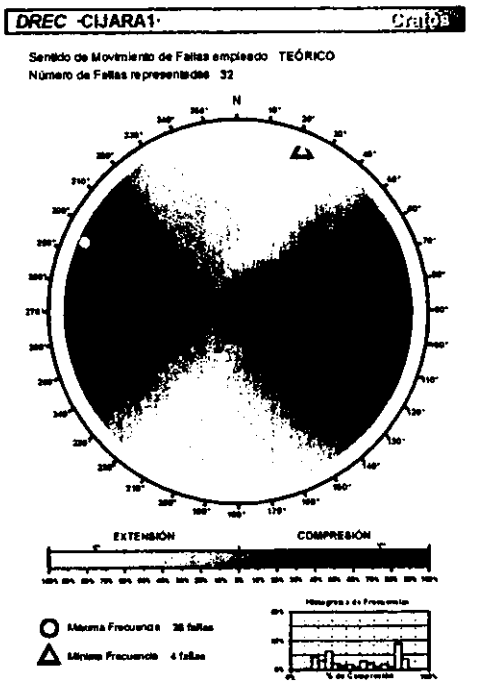
Parámetros Globales
K':16,3314
PHI:09,40°
Buzamiento:80°±06°
Cabeceo:12°±07°





Modelo de Deslizamiento ·CIJARA1· Cratos





Estación: Cijara
Coordenadas U.T.M. (metros)
X: 326600
Y: 4361600
Z: 400
Litología: Basamento hercínico
Edad: Paleozoico

1ª Subpoblación:	
Ey: 115°±9°	Ey: 115°±9°
Buz: 80°±8°	Buz: 80°±8°
Cab: 20°±17°	Cab: 20°±17°
s1 80°/290°	s1 03°/115°
s2 09°/113°	s2 86°/264°
s3 00°/023°	s3 01°/025°
R = 0.68	R = 0.47
μ = 0.31	μ = 0.61
F.E. = 13 (32)	F.E. = 13 (32)

Trazas ciclográficas e histogramas del azimut, buzamiento y cabeceo

Rosa de Direcciones

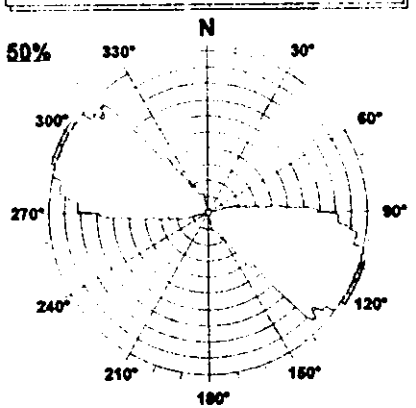
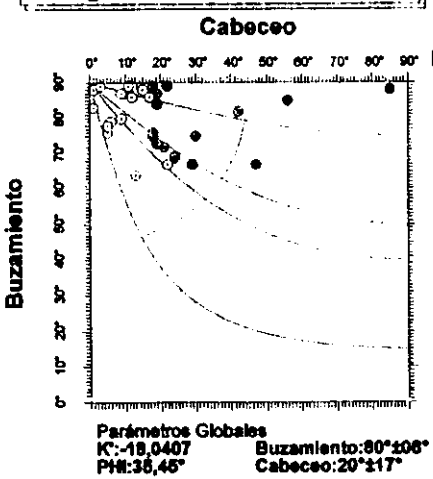
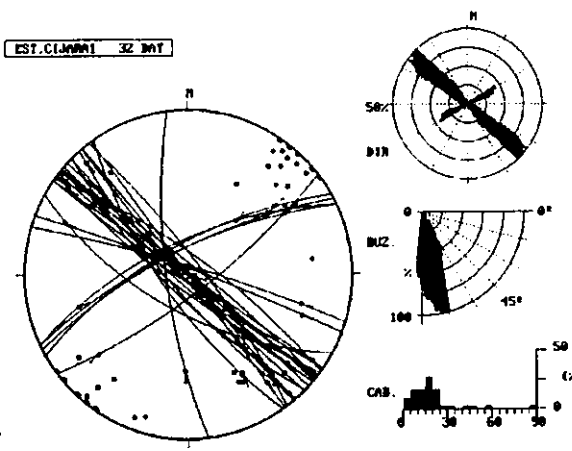
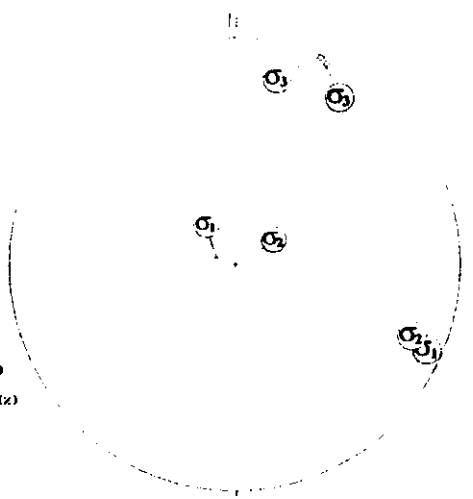


Diagrama Cabeceo/Buzamiento

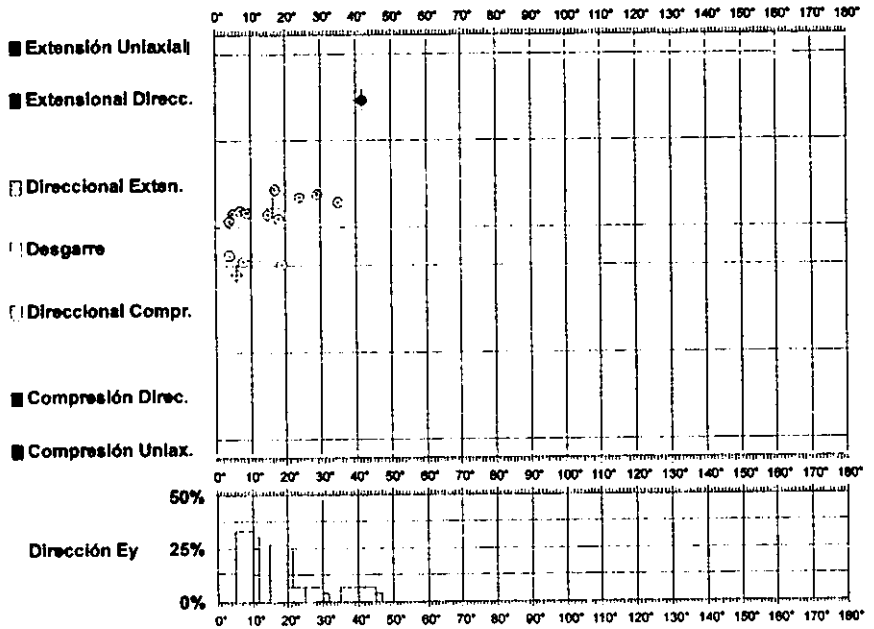


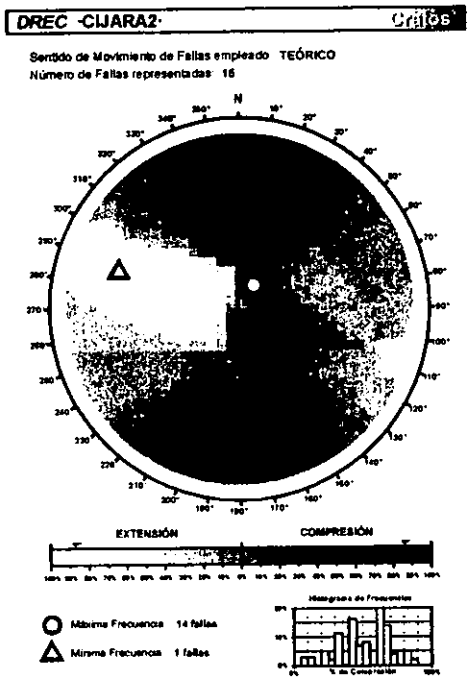


Método de Inversión de Esfuerzos



Modelo de Deslizamiento ·CIJARA2· Cratos



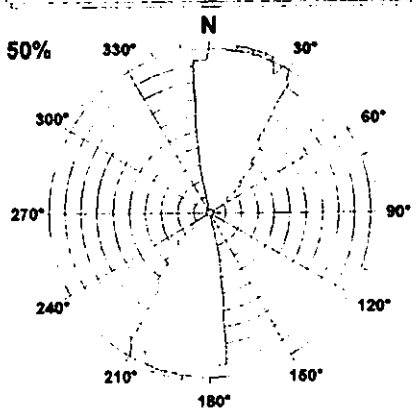


Estación: Cijara
Coordenadas U.T.M. (metros)
X: 326600
Y: 4361600
Z: 400
Litología: Basamento hercínico
Edad: Paleozoico

2ª Subpoblación:
Ey: 016°±7°
Buz: 82°±5°
Cab: 22°±12°
s1 49°/195°
s2 40°/008°
s3 03°/101°
R = 0.57
μ = 0.31
F.E. = 10 (15)

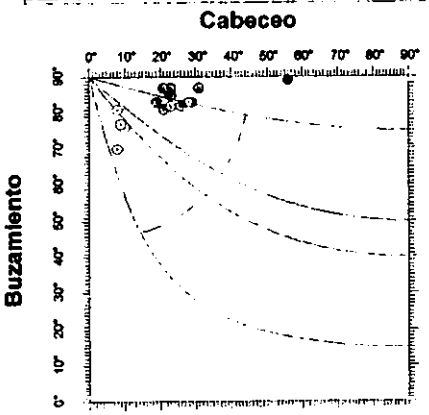
Trazas ciclográficas e histogramas del azimut, buzamiento y cabeceo

Rosa de Direcciones

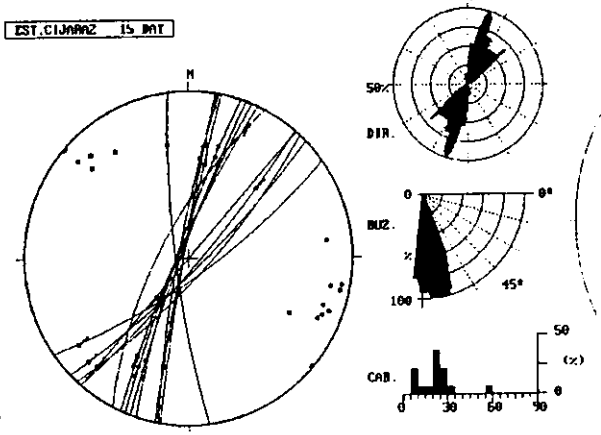


Valor Máximo de Escala: 50%
Ángulo de Apertura: 15°
DEYM: 16° ± 6,80°

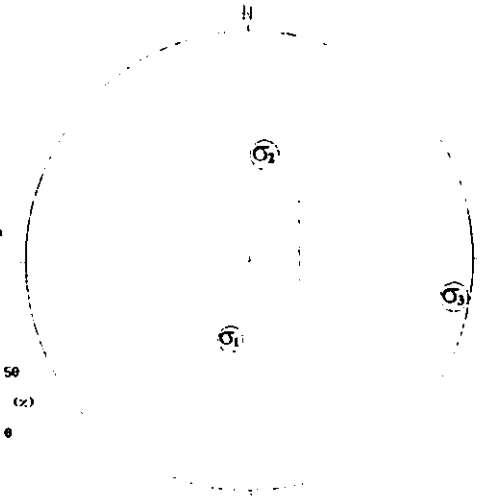
Diagrama Cabeceo/Buzamiento



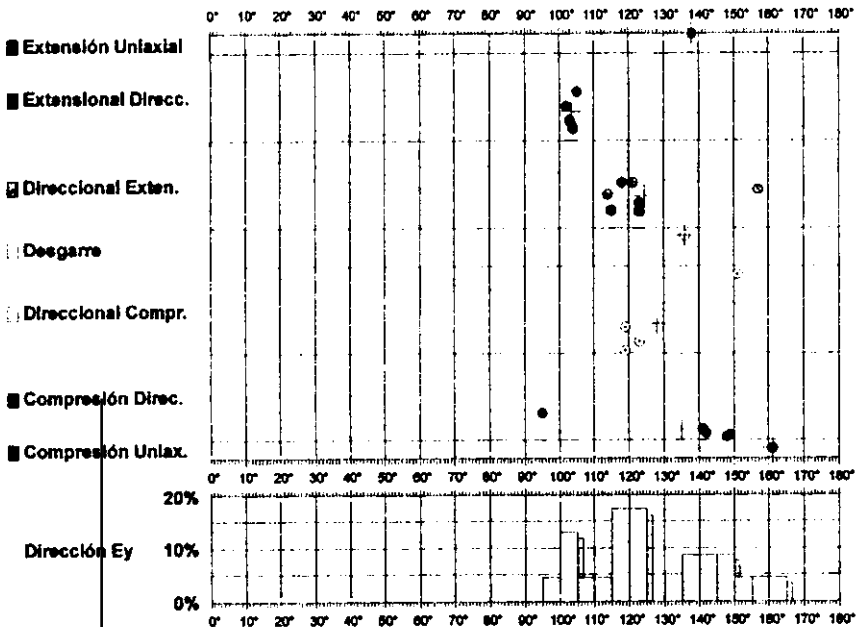
Parámetros Globales
K*:-4,6523 Buzamiento:82°±05°
PHI:48,87° Cabeceo:22°±12°

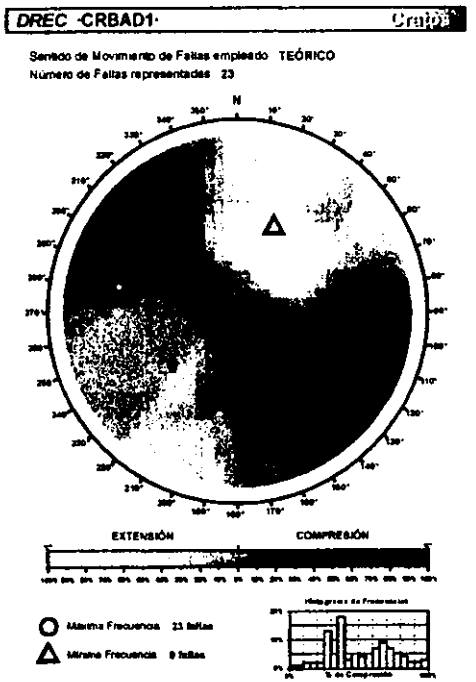


Método de Inversión de Esfuerzos



Modelo de Deslizamiento ·CRBAD1· Cratos





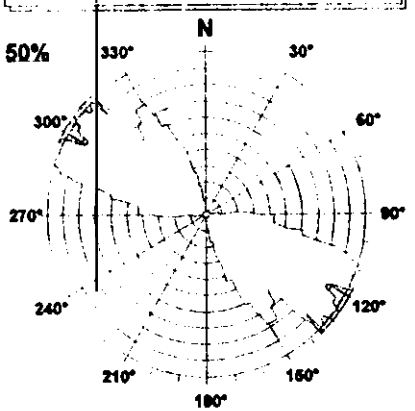
Estación: Crbad
Coordenadas U.T.M. (metros)
X: 341000
Y: 4330400
Z: 585
Litología: Basamento hercínico
Edad: Paleozoico

1ª Subpoblación:	
Ey: 126°±10°	Ey: 126°±10°
Buz: 59°±19°	Buz: 59°±19°
Cab: 35°±20°	Cab: 35°±20°
s1 20°/139°	s1 61°/261°
s2 50°/256°	s2 17°/026°
s3 32°/036°	s3 21°/123°
R = 0.24	R = 0.44
μ = 0.50	μ = 0.31
F.E. = 14 (23)	F.E. = 7 (23)

Trazas cicloográficas e histogramas del azimut, buzamiento y cabeceo

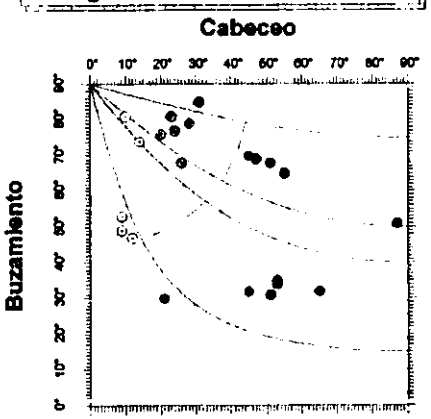
Método de Inversión de Esfuerzos

Rosa de Direcciones

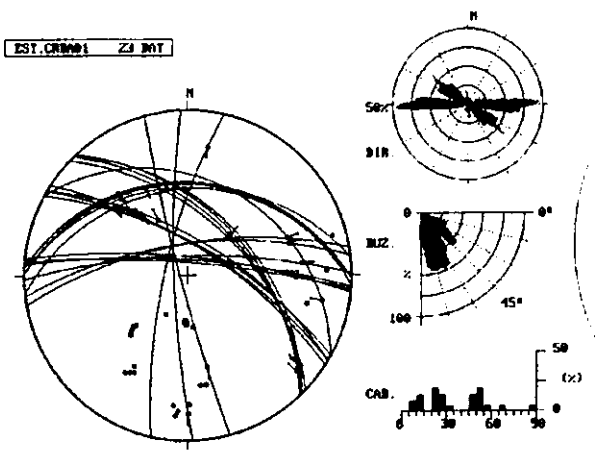


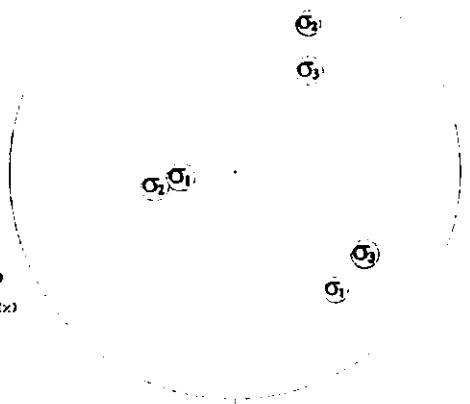
Valor Máximo de Escala: 50%
Ángulo de Apertura: 15°
DEYM: 126° ± 9,74°

Diagrama Cabeceo/Buzamiento



Parámetros Globales
K':2,2382 Buzamiento:59°±19°
PHI:-02,66° Cabeceo:35°±20°

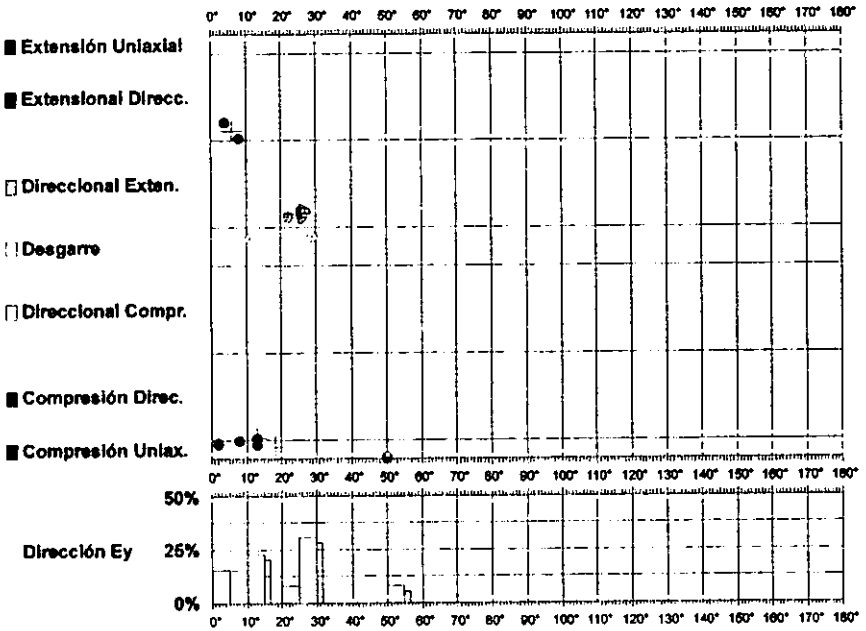


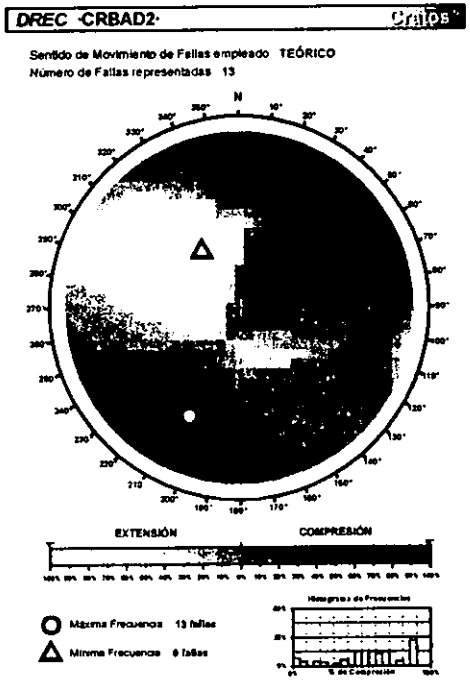


Análisis Poblacional de Fallas: *Antepaís Bético*

Modelo de Deslizamiento ·CRBAD2·

Cratos



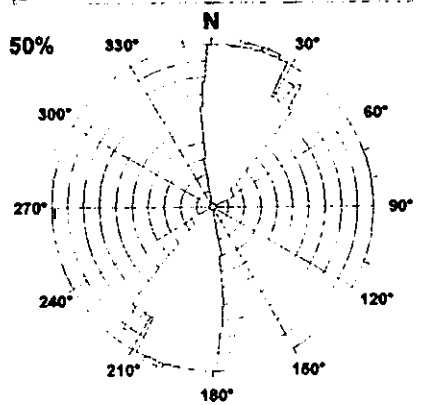


Estación: Crbad
Coordenadas U.T.M. (metros)
X: 341000
Y: 4330400
Z: 585
Litología: Basamento hercínico
Edad: Paleozoico

2ª Subpoblación:
Ey: 018°±7°
Buz: 67°±21°
Cab: 42°±24°
s1 17°/032°
s2 51°/145°
s3 32°/290°
R = 0.15
μ = 0.31
F.E. = 11 (13)

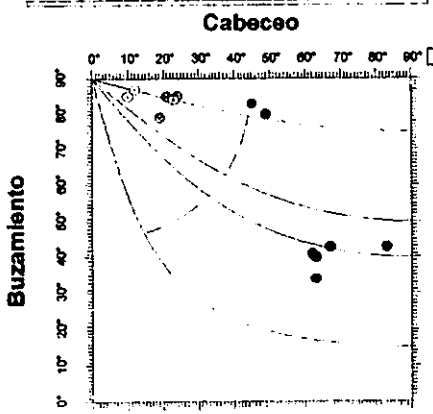
Trazas ciclográficas e histogramas del azimut, buzamiento y cabeceo

Rosa de Direcciones

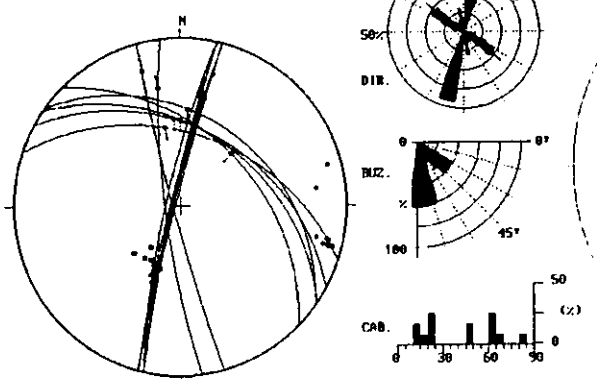


Valor Máximo de Escala: 50%
Ángulo de Apertura: 15°
DEYM: 18° ± 7,27°

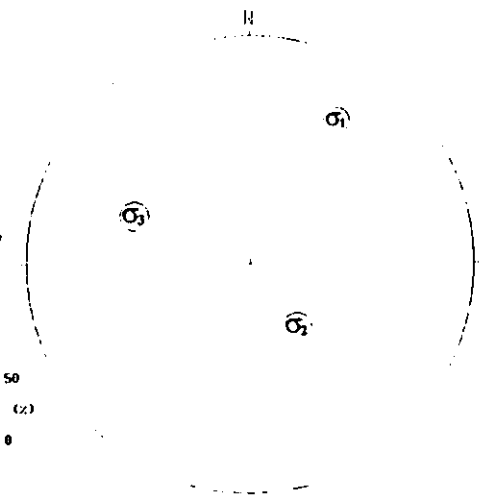
Diagrama Cabeceo/Buzamiento



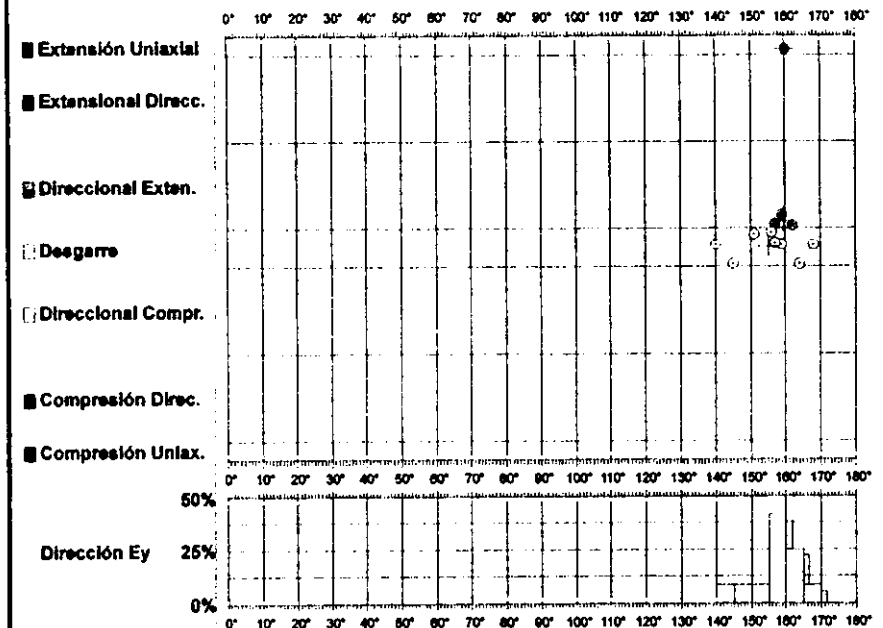
Parámetros Globales
K':6,5119
PHI:25,22°
Buzamiento:67°±21°
Cabeceo:42°±24°

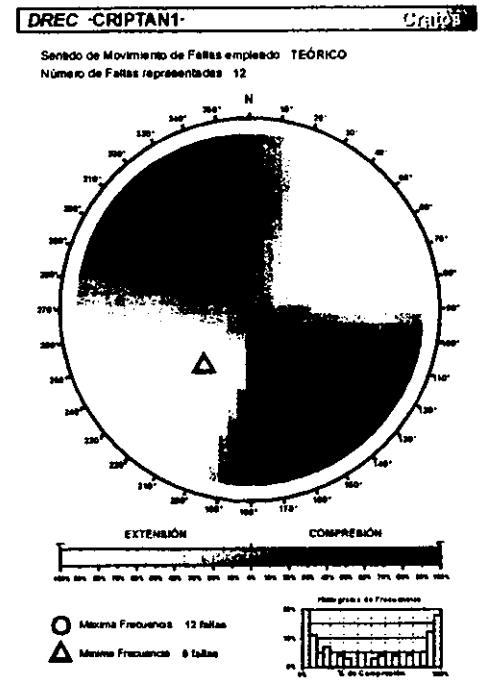


Método de Inversión de Esfuerzos



Modelo de Deslizamiento ·CRIPTAN1· Cratos



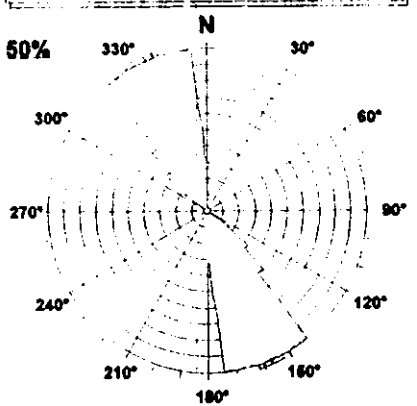


Estación: Criptana
Coordenadas U.T.M. (metros)
X: 492200
Y: 4362200
Z: 741
Litología: Carbonatos
Edad: Jurásico

1ª Subpoblación:
Ey: 157°±5°
Buz: 83°±4°
Cab: 17°±18°
s1 65°/339°
s2 24°/151°
s3 03°/242°
R = 0.86
μ = 0.31
F.E. = 12 (12)

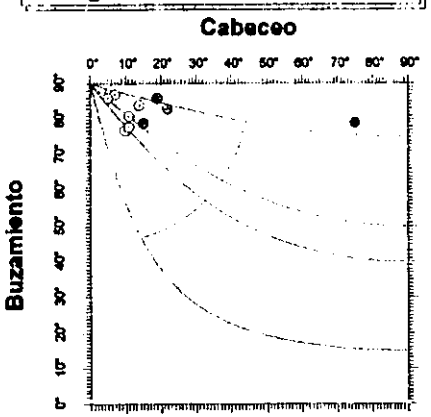
Trazas ciclográficas e histogramas del azimut, buzamiento y cabeceo

Rosa de Direcciones

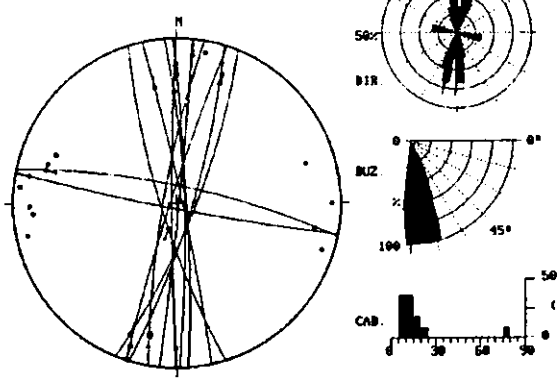


Valor Máximo de Escala: 50%
Ángulo de Apertura: 15°
DEYM: 157° ± 5,19°

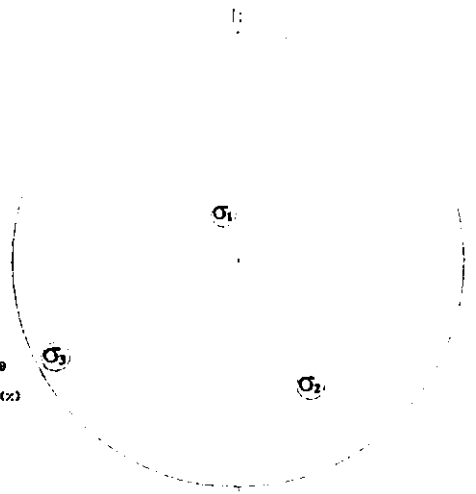
Diagrama Cabeceo/Buzamiento



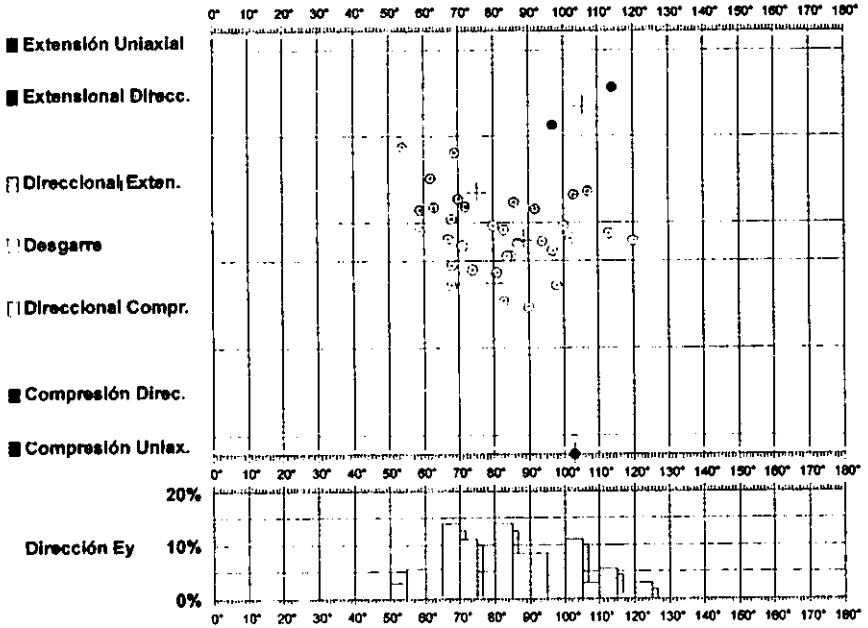
Parámetros Globales
K:17,1467 Buzamiento:83°±04°
PHI:44,44° Cabeceo:17°±18°

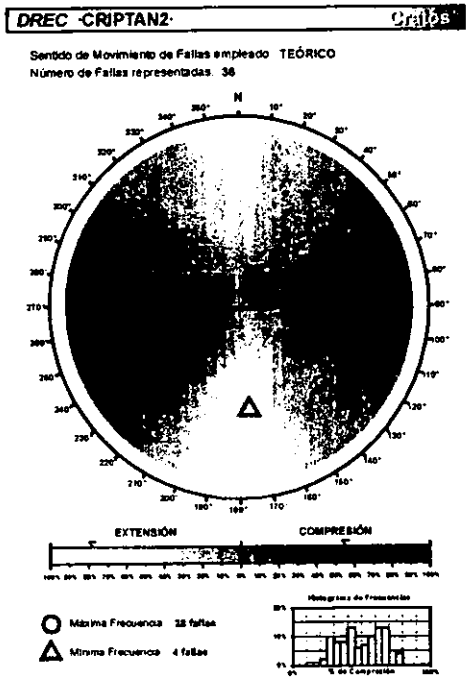


Método de Inversión de Esfuerzos



Modelo de Deslizamiento ·CRIPTAN2· Cratos





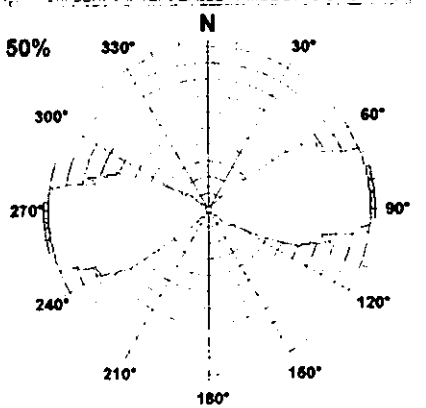
Estación: Criptana
Coordenadas U.T.M. (metros)
X: 492200
Y: 4362200
Z: 741
Litología: Carbonatos
Edad: Jurásico

2ª Subpoblación:
Ey: 084°±9°
Buz: 78°±11°
Cab: 19°±18°
s1 15°/269°
s2 74°/096°
s3 01°/359°
R = 0.68
μ = 0.31
F.E. = 27 (36)

Trazas ciclográficas e histogramas del azimut, buzamiento y cabeceo

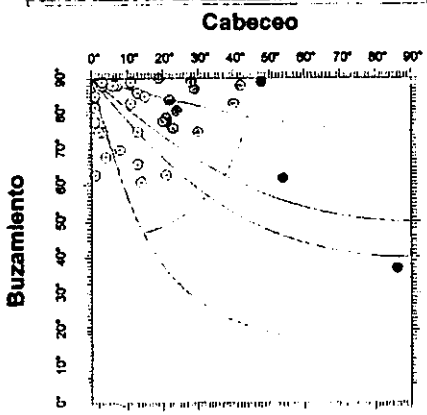
Método de Inversión de Esfuerzos

Rosa de Direcciones

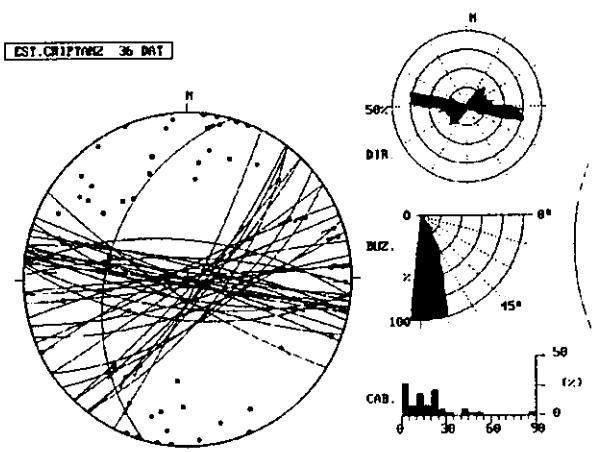


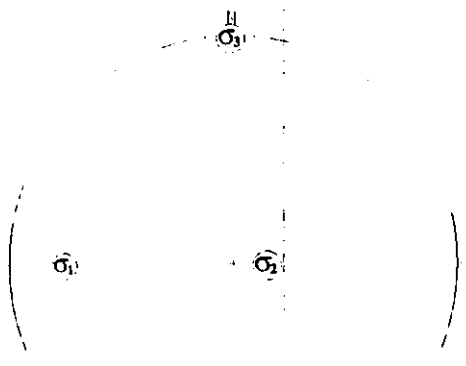
Valor Máximo de Escala: 50%
Ángulo de Apertura: 15°
DEYM: 84° ± 9,37°

Diagrama Cabeceo/Buzamiento

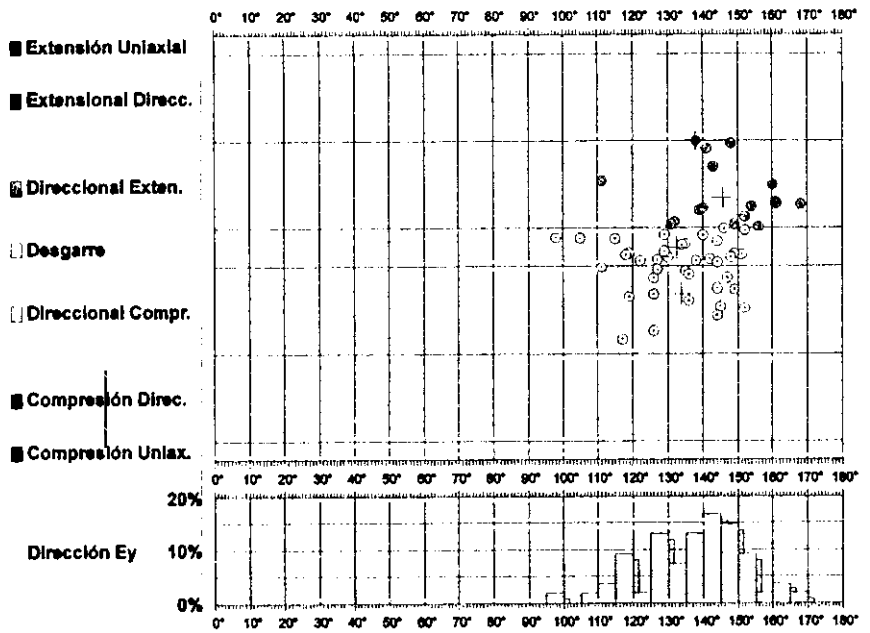


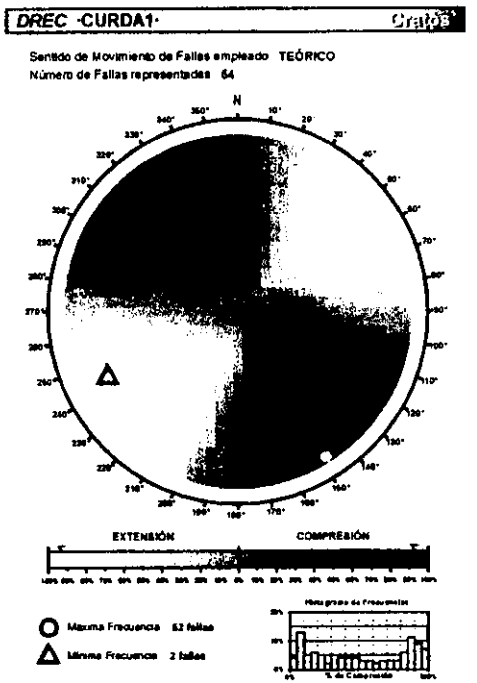
Parámetros Globales
K':14,4536 Buzamiento:78°±11°
PHI:23,72° Cabeceo:19°±18°





Modelo de Deslizamiento ·CURDA1· Cratos





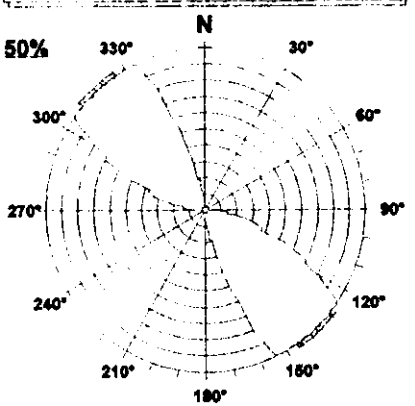
Estación: Curda
Coordenadas U.T.M. (metros)
X: 438000
Y: 4362600
Z: 772
Litología: Basamento hercínico
Edad: Paleozoico

1ª Subpoblación:
Ey: 137°±9°
Buz: 77°±7°
Cab: 16°±10°
s1 25°/321°
s2 64°/129°
s3 04°/229°
R = 0.65
μ = 0.31
F.E. = 51 (54)

Trazas cicloográficas e histogramas del azimut, buzamiento y cabeceo

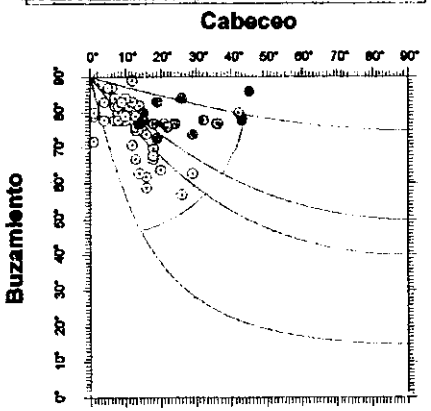
Método de Inversión de Esfuerzos

Rosa de Direcciones

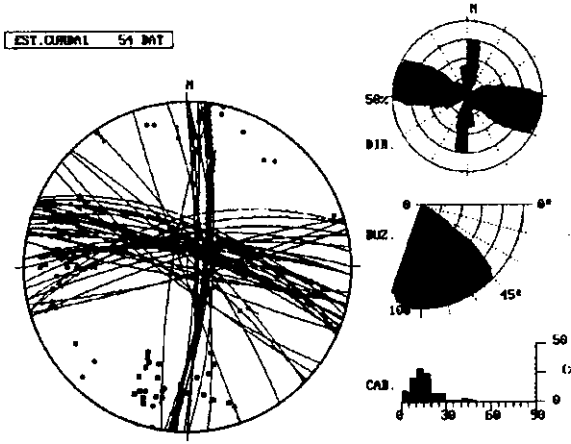


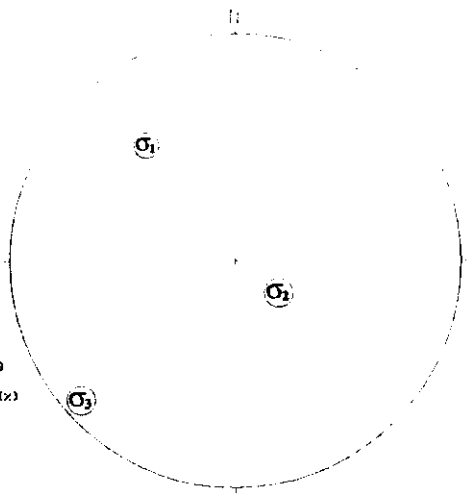
Valor Máximo de Escala: 50%
Ángulo de Apertura: 15°
DEYM: 137° ± 8,68°

Diagrama Cabeceo/Buzamiento

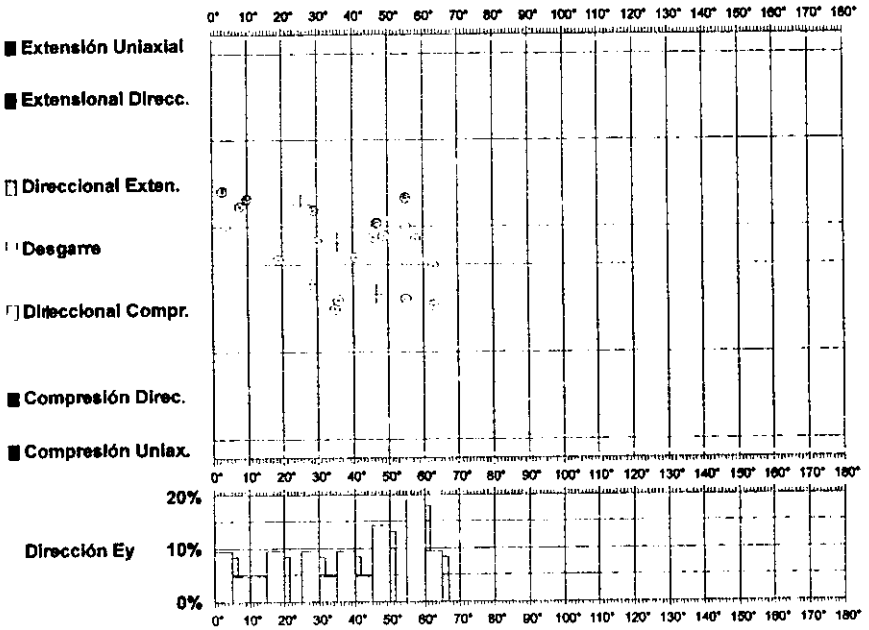


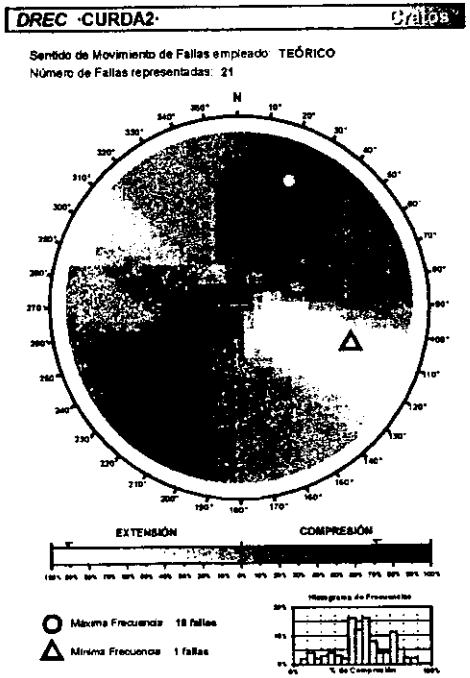
Parámetros Globales
K':7,0585
PHI:10,10°
Buzamiento:77°±07°
Cabeceo:16°±10°





Modelo de Deslizamiento ·CURDA2· Cratos



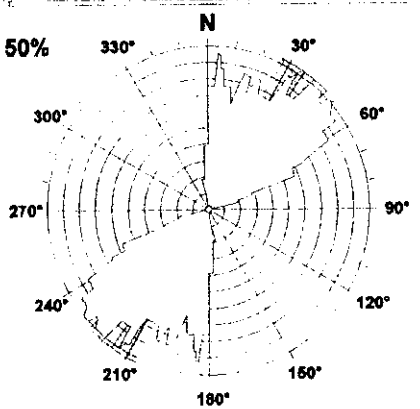


Estación: Curda
Coordenadas U.T.M. (metros)
X: 438000
Y: 4362600
Z: 772
Litología: Basamento hercínico
Edad: Paleozoico

2ª Subpoblación:
Ey: 036°±10°
Buz: 77°±9°
Cab: 14°±8°
s1 10°/032°
s2 74°/263°
s3 12°/124°
R = 0.72
μ = 0.31
F.E. = 16 (21)

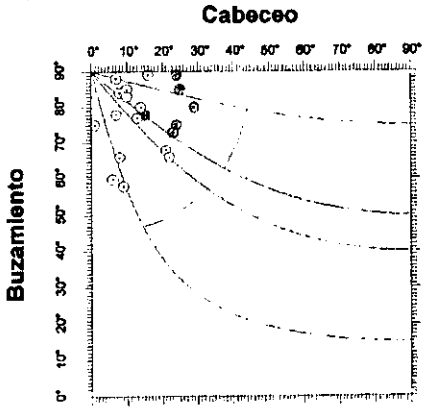
Trazas ciclográficas e histogramas del azimut, buzamiento y cabeceo

Rosa de Direcciones

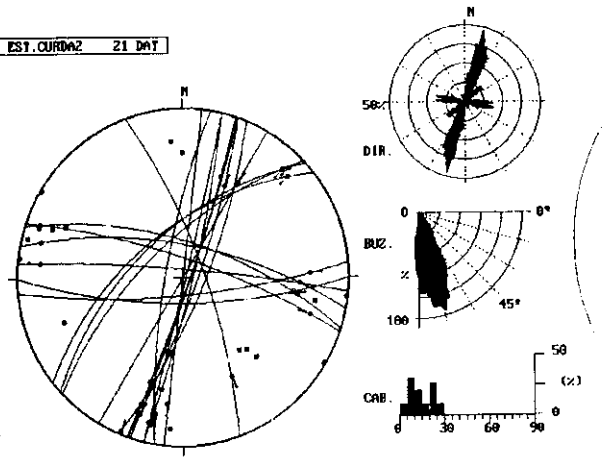


Valor Máximo de Escala: 50%
Ángulo de Apertura: 15°
DEYM: 36° ± 10,00°

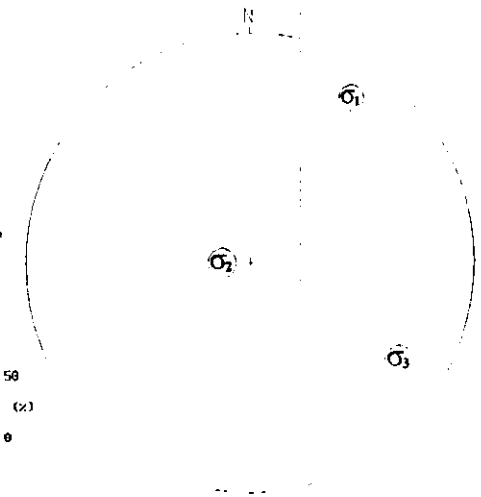
Diagrama Cabeceo/Buzamiento



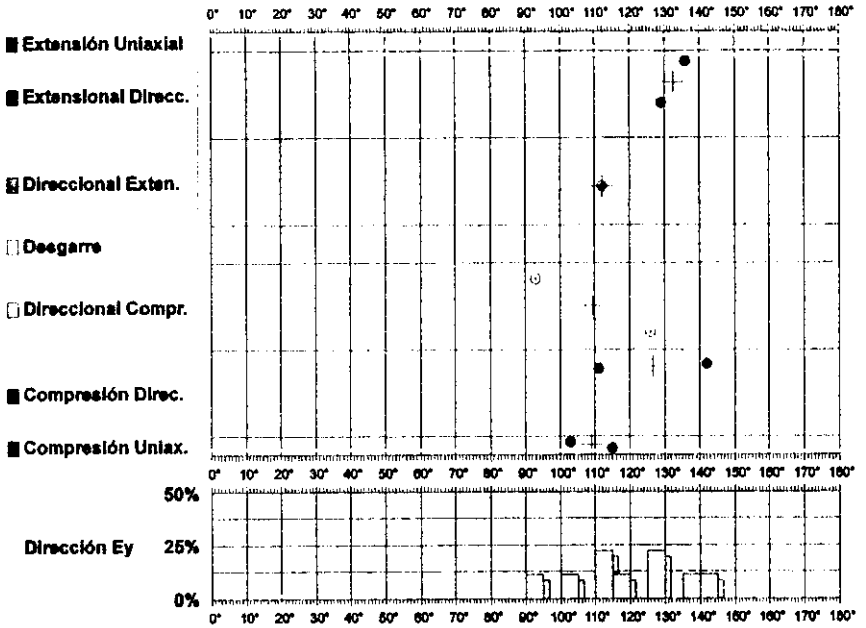
Parámetros Globales
K':7,6358 Buzamiento:77°±09°
PHI:02,68° Cabeceo:14°±08°

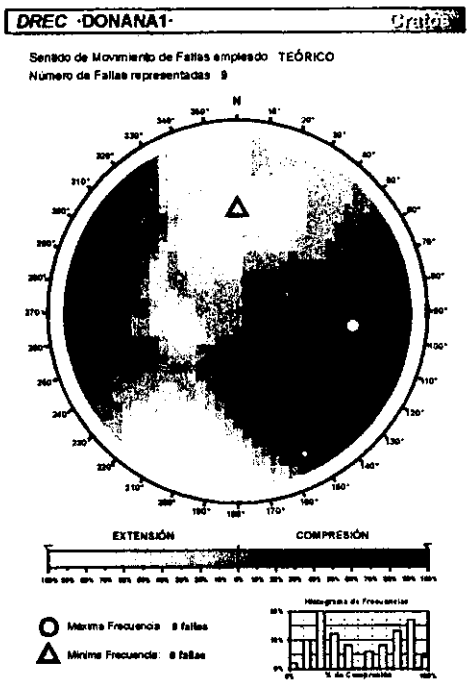


Método de Inversión de Esfuerzos



Modelo de Deslizamiento ·DONANA1· Cratos



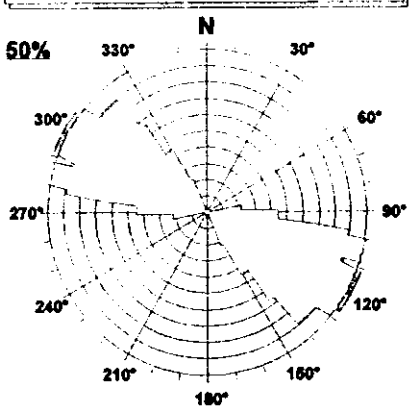


Estación: Donana
Coordenadas U.T.M. (metros)
X: 519300
Y: 4234500
Z: 920
Litología: Carbonatos
Edad: Jurásico

1ª Subpoblación:
Ey: 119°±8°
Buz: 50°±13°
Cab: 36°±23°
s1 14°/100°
s2 59°/216°
s3 26°/003°
R = 0.29
μ = 0.61
F.E. = 6 (9)

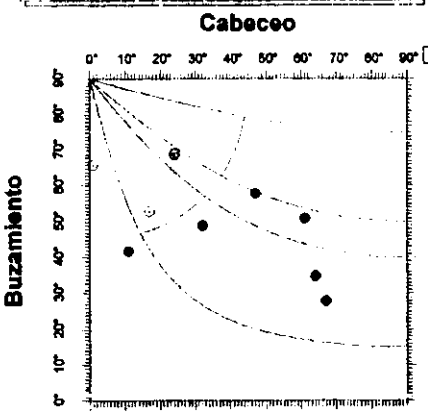
Trazas ciclográficas e histogramas del azimut, buzamiento y cabeceo

Rosa de Direcciones

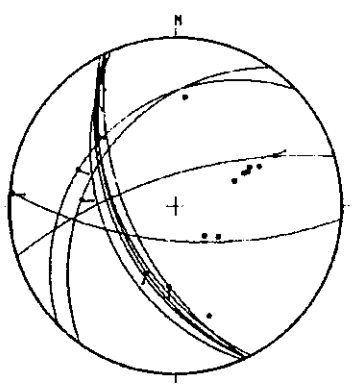


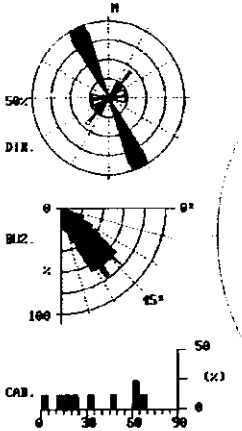
Valor Máximo de Escala: 50%
Ángulo de Apertura: 15°
DEYM: 119° ± 7,83°

Diagrama Cabeceo/Buzamiento

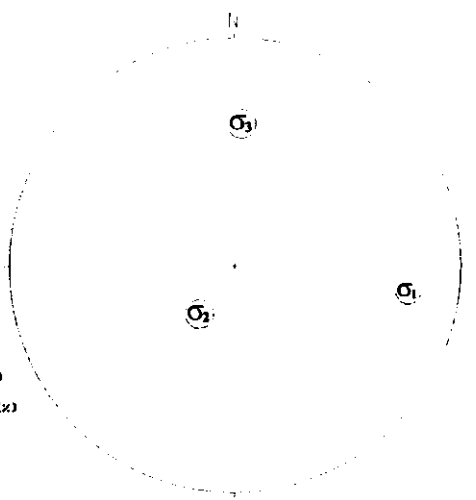


Parámetros Globales
K':-0,7986 Buzamiento:50°±13°
PHI:-19,98° Cabeceo:36°±23°

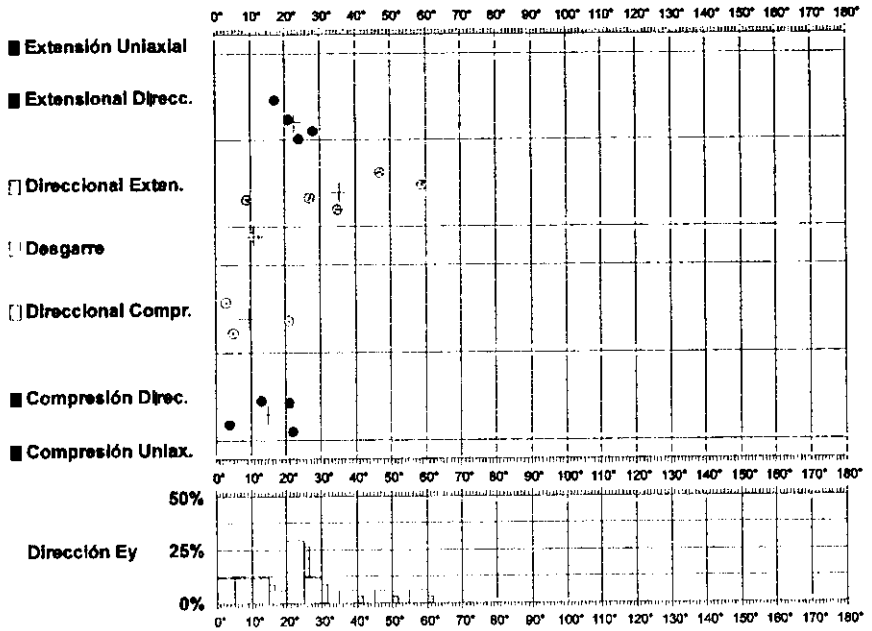




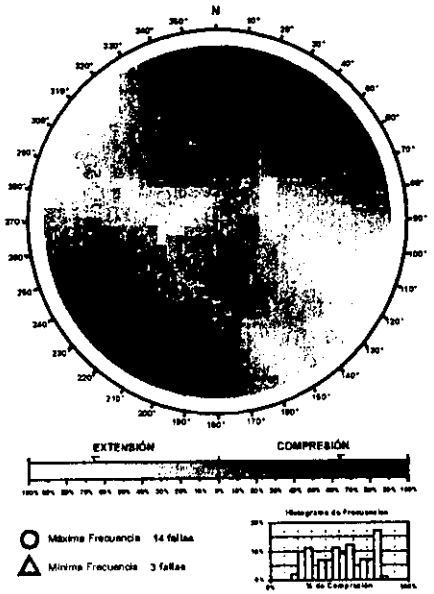
Método de Inversión de Esfuerzos



Modelo de Deslizamiento ·DONANA2· Cratos



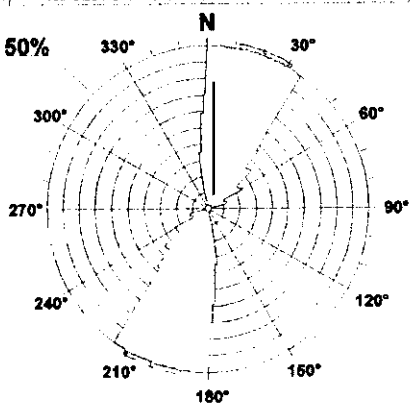
DREC ·DONANA2· Cratos



Estación: Donana
Coordenadas U.T.M. (metros)
X: 519300
Y: 4234500
Z: 920
Litología: Carbonatos
Edad: Jurásico

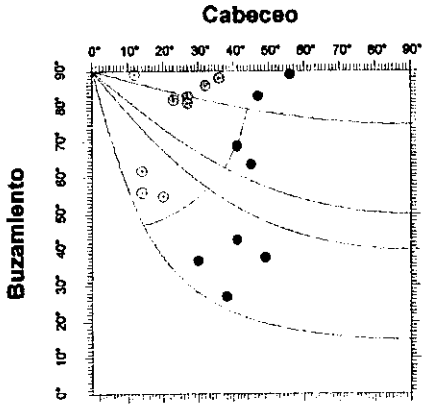
2ª Subpoblación:
Ey: 021°±10°
Buz: 67°±20°
Cab: 32°±13°
s1 00°/206°
s2 84°/298°
s3 05°/116°
R = 0.39
μ = 0.50
F.E. = 13 (17)

Rosa de Direcciones



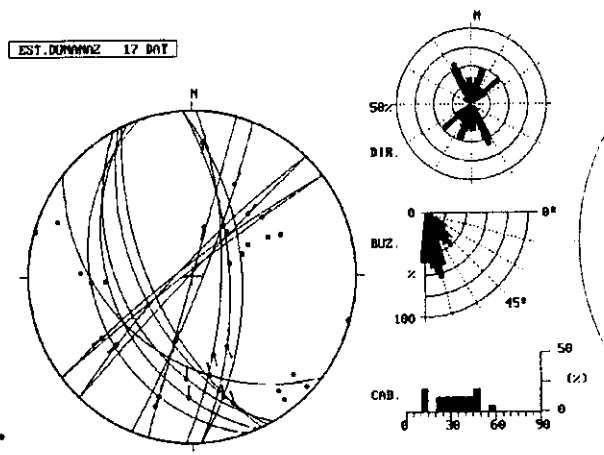
Valor Máximo de Escala: 50%
Ángulo de Apertura: 15°
DEYM: 21° ± 10,30°

Diagrama Cabeceo/Buzamiento

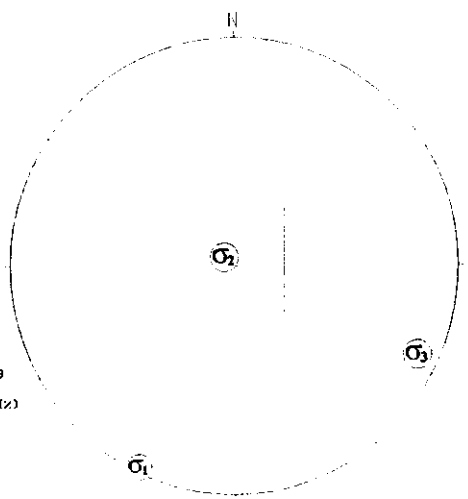


Parámetros Globales
K':4,3408 Buzamiento:67°±20°
PHI:12,61° Cabeceo:32°±13°

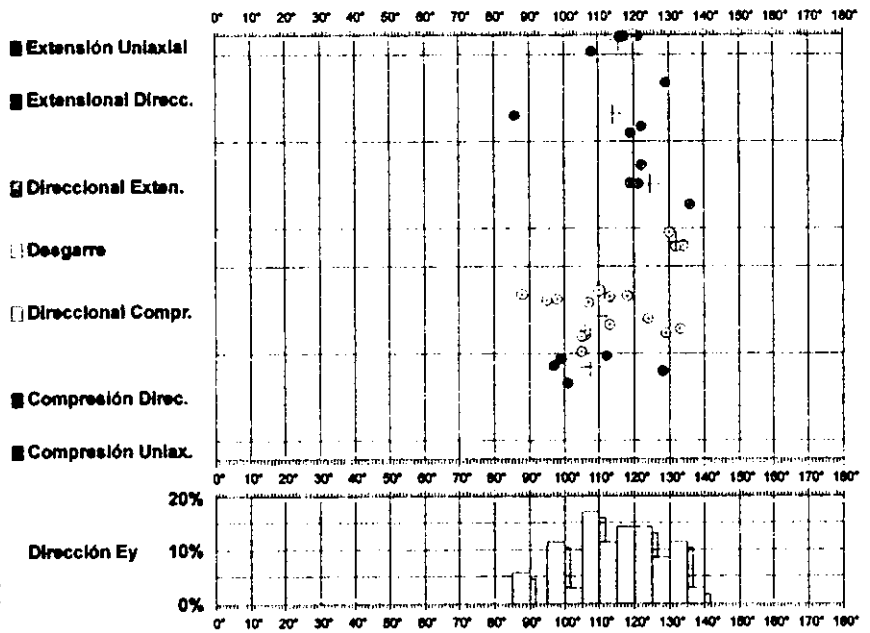
Trazas ciclográficas e histogramas del azimut, buzamiento y cabeceo

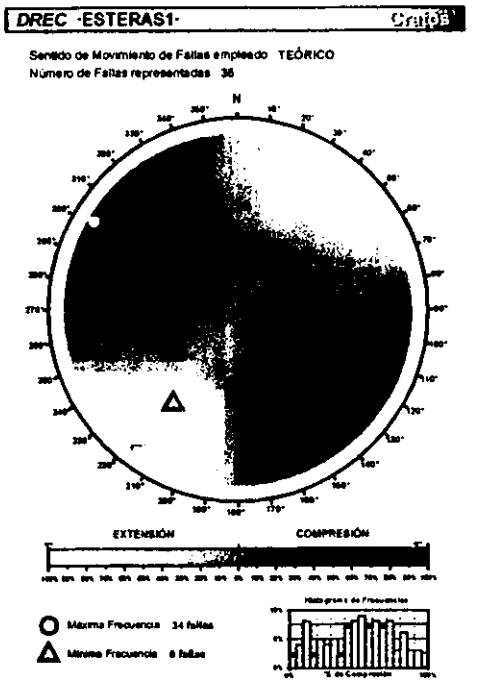


Método de Inversión de Esfuerzos



Modelo de Deslizamiento ·ESTERAS1· Cratos





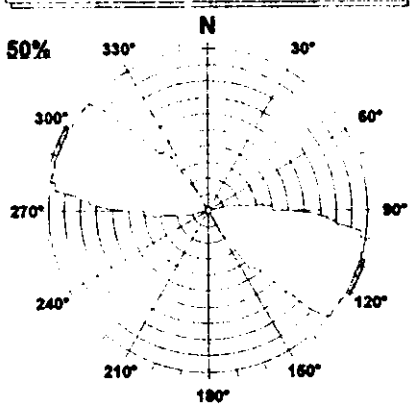
Estación: Esteras
Coordenadas U.T.M. (metros)
X: 344200
Y: 4308000
Z: 460
Litología: Basamento hercínico
Edad: Paleozoico

1ª Subpoblación:
Ey: 114°±7°
Buz: 61°±13°
Cab: 27°±24°
s1 01°/123°
s2 76°/027°
s3 13°/213°
R = 0.34
μ = 0.40
F.E. = 30 (35)

Trazas ciclográficas e histogramas del azimut, buzamiento y cabeceo

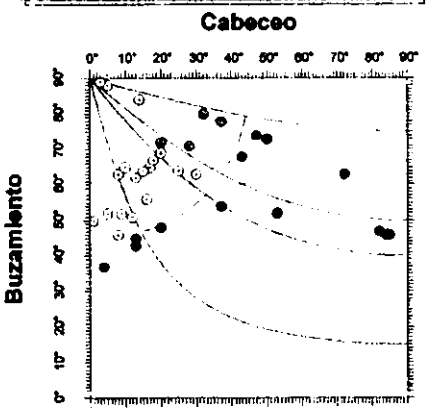
Método de Inversión de Esfuerzos

Rosa de Direcciones

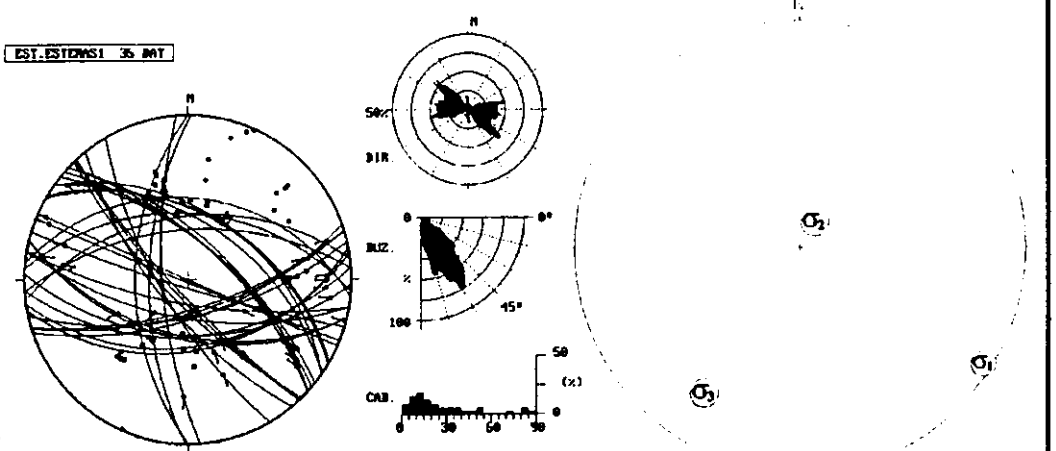


Valor Máximo de Escala: 50%
Ángulo de Apertura: 15°
DEYM: 114° ± 7,20°

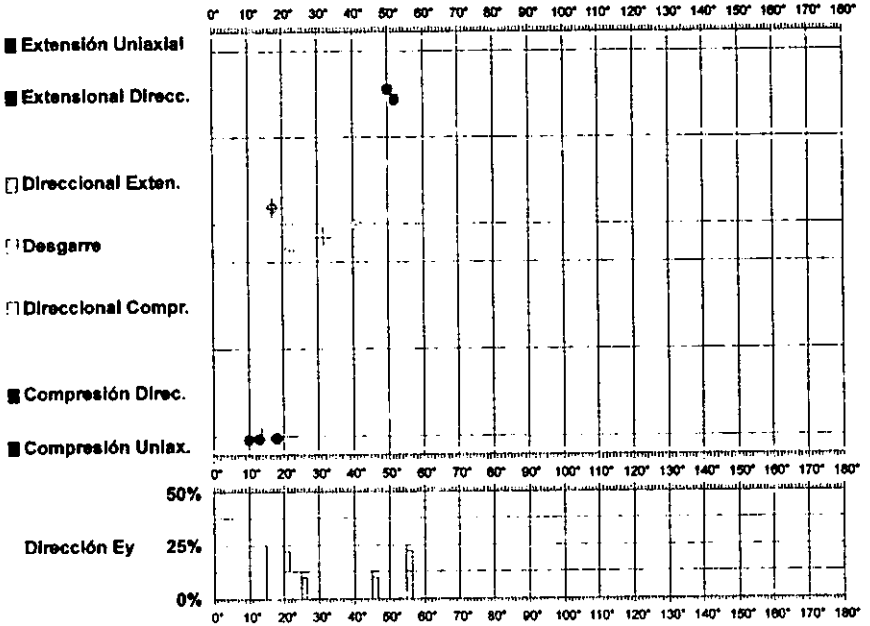
Diagrama Cabeceo/Buzamiento



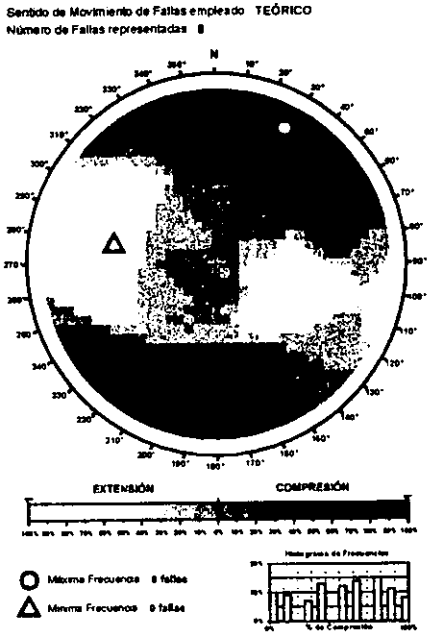
Parámetros Globales
K':24,8704 Buzamiento:61°±13°
PHI:-11,36° Cabeceo:27°±24°



Modelo de Deslizamiento ·ESTERAS2· Cratos



DREC ·ESTERAS2· Cratos

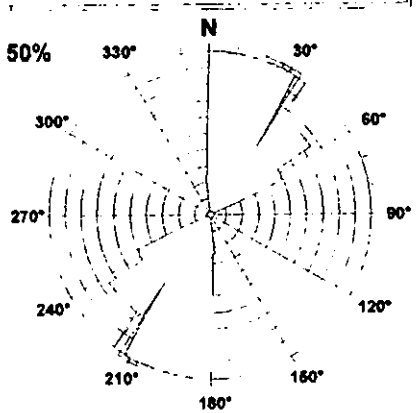


Estación: Esteras
Coordenadas U.T.M. (metros)
X: 344200
Y: 4308000
Z: 460
Litología: Basamento hercínico
Edad: Paleozoico

2ª Subpoblación:
Ey: 027°±7°
Buz: 62°±15°
Cab: 43°±24°
s1 83°/186°
s2 06°/019°
s3 01°/288°
R = 0.58
μ = 0.31
F.E. = 5 (8)

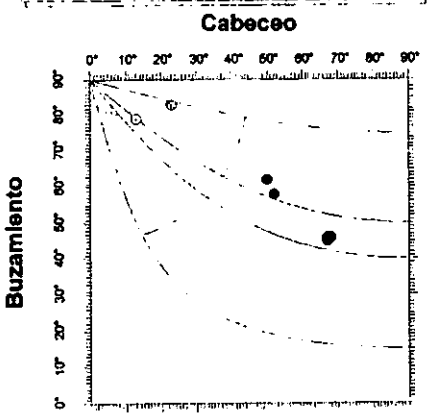
Trazas ciclográficas e histogramas del azimut, buzamiento y cabeceo

Rosa de Direcciones

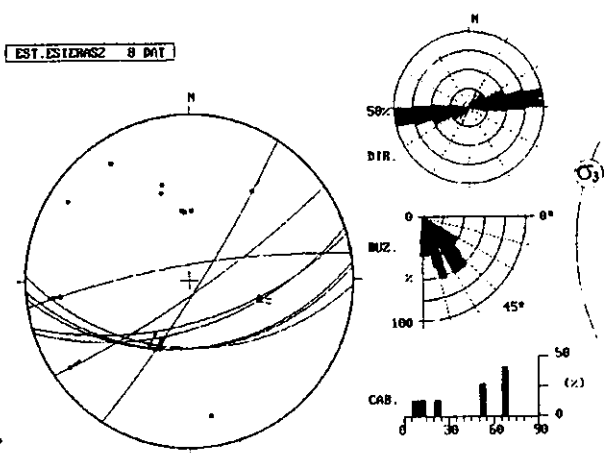


Valor Máximo de Escala: 50%
Ángulo de Apertura: 15°
DEYM: 27° ± 6,55°

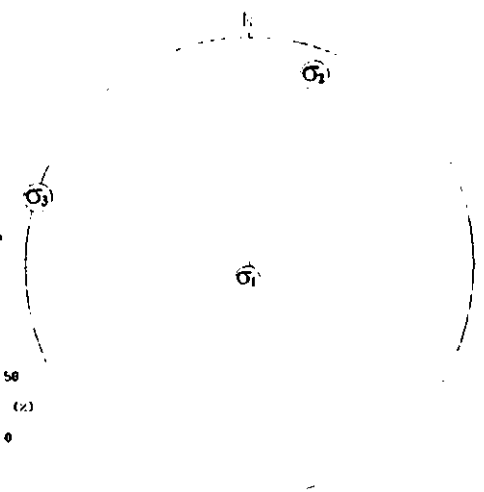
Diagrama Cabeceo/Buzamiento

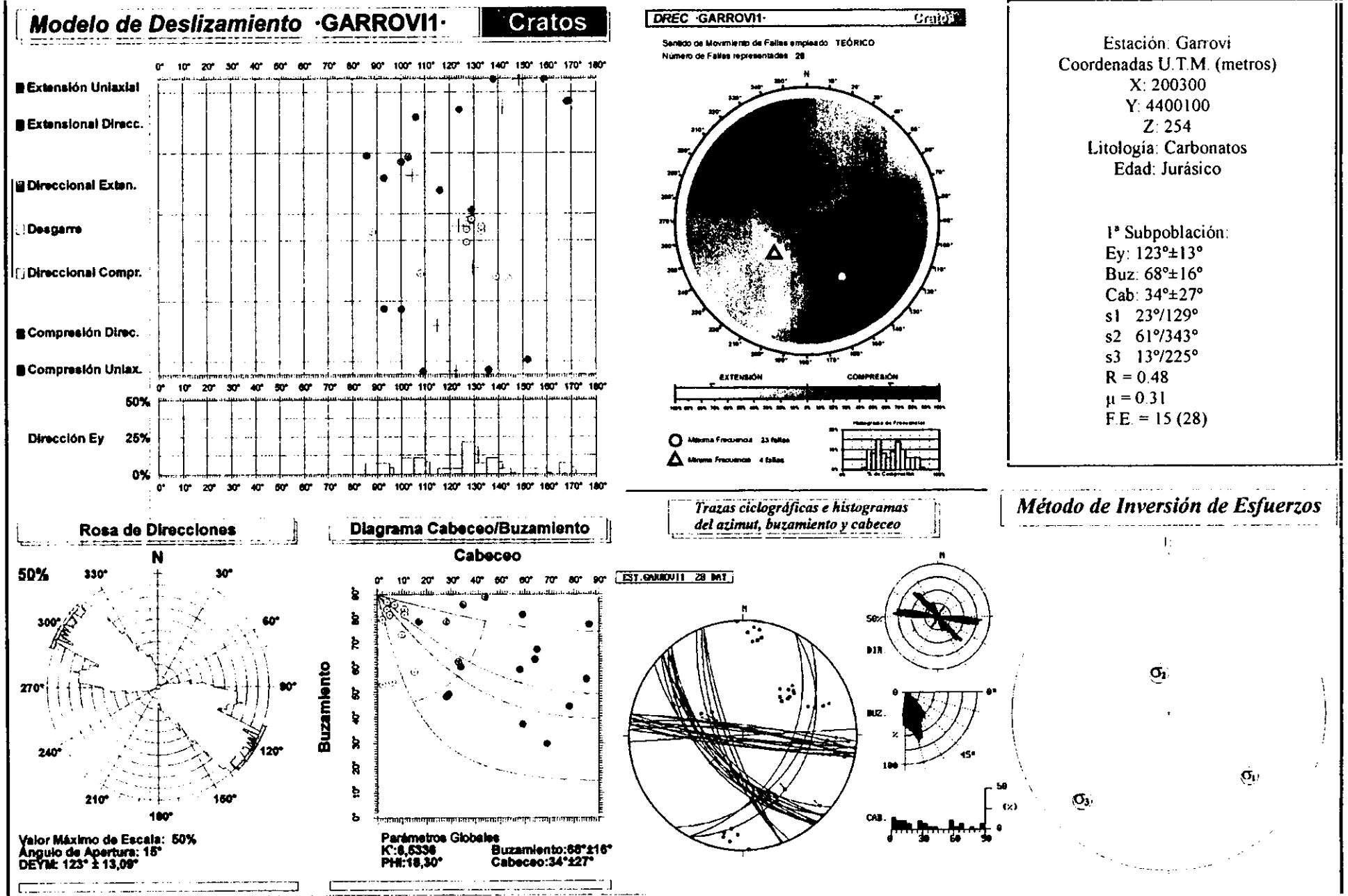


Parámetros Globales
K':-3,8017 Buzamiento:63°±15°
PHI:14,12° Cabeceo:43°±24°

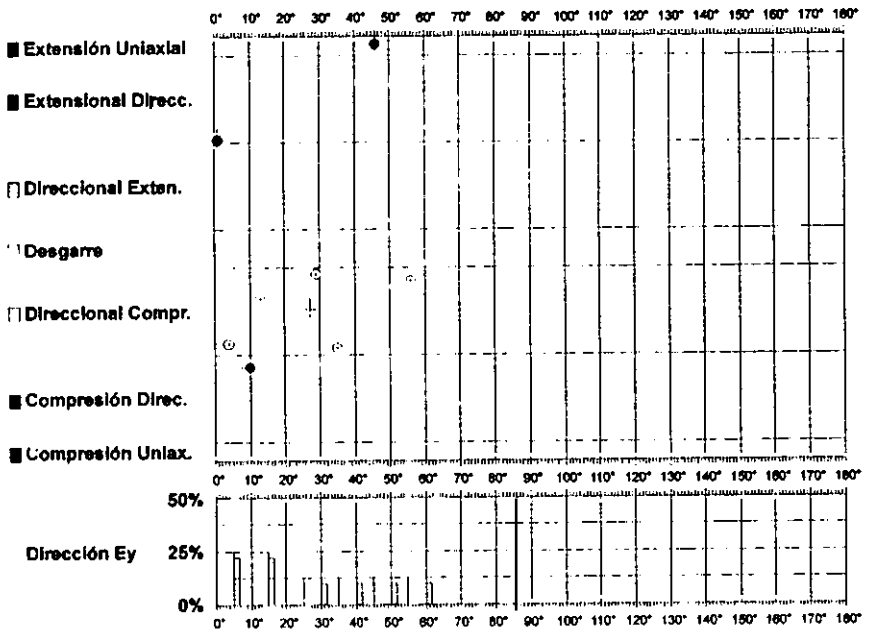


Método de Inversión de Esfuerzos

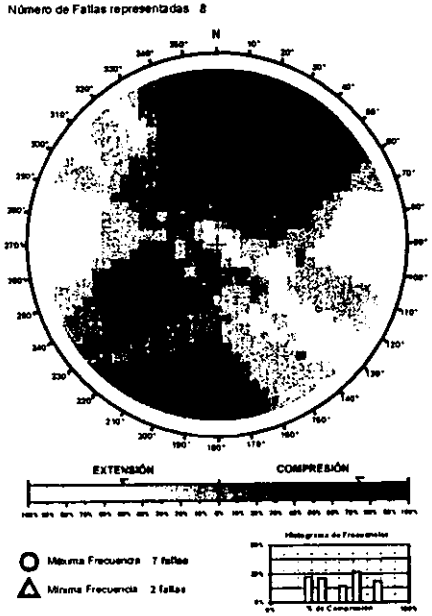



Modelo de Deslizamiento ·GARROVI1·
Cratos
Extensión Uniaxial
Extensional Direcc.
Direccional Exten.
Desgarre
Direccional Compr.
Compresión Direc.
Compresión Uniax.
Dirección Ey
50%
25%
0%
DREC ·GARROVI1·
Cratos
Sentido de Movimiento de Fallas empleado TEÓRICO
Número de Fallas representadas 28
EXTENSIÓN
COMPRESIÓN
Estación: Garrovi
Coordenadas U.T.M. (metros)
X: 200300
Y: 4400100
Z: 254
Litología: Carbonatos
Edad: Jurásico
1ª Subpoblación:
Ey: 123°±13°
Buz: 68°±16°
Cab: 34°±27°
s1 23°/129°
s2 61°/343°
s3 13°/225°
R = 0.48
μ = 0.31
F.E. = 15 (28)
Trazas ciclográficas e histogramas del azimut, buzamiento y cabeceo
Método de Inversión de Esfuerzos
Rosa de Direcciones
Diagrama Cabeceo/Buzamiento
Cabeceo
Buzamiento
EST.GARROVI1 28 MAT
Valor Máximo de Escala: 50%
Ángulo de Apertura: 15°
DEYM: 123° ± 13,09°
Parámetros Globales
K':8,6336
Phi:18,30°
Buzamiento:68°±16°
Cabeceo:34°±27°

Modelo de Deslizamiento ·GARROVI2· Cratos



DREC ·GARROVI2· Cratos

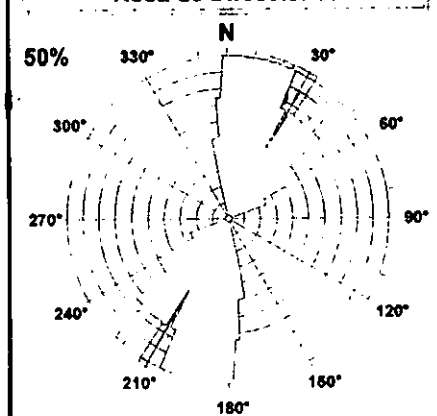


Estación: Garrovi
Coordenadas U.T.M. (metros)
X: 200300
Y: 4400100
Z: 254
Litología: Carbonatos
Edad: Jurásico

2ª Subpoblación:
Ey: 024°±9°
Buz: 61°±10°
Cab: 25°±24°
s1 57°/198°
s2 30°/353°
s3 11°/089°
R = 0.08
μ = 1.11
F.E. = 5 (8)

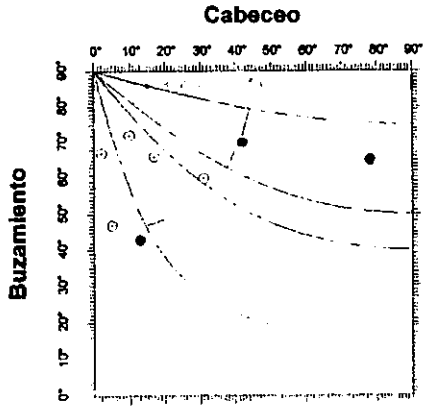
Trazas ciclográficas e histogramas del azimut, buzamiento y cabeceo

Rosa de Direcciones

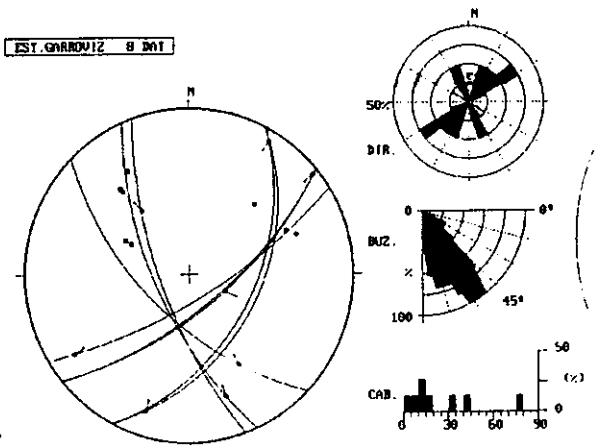


Valor Máximo de Escala: 50%
Ángulo de Apertura: 15°
DEYM: 24° ± 8,83°

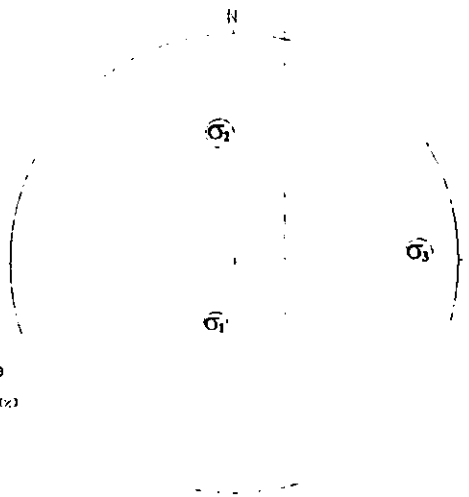
Diagrama Cabeceo/Buzamiento



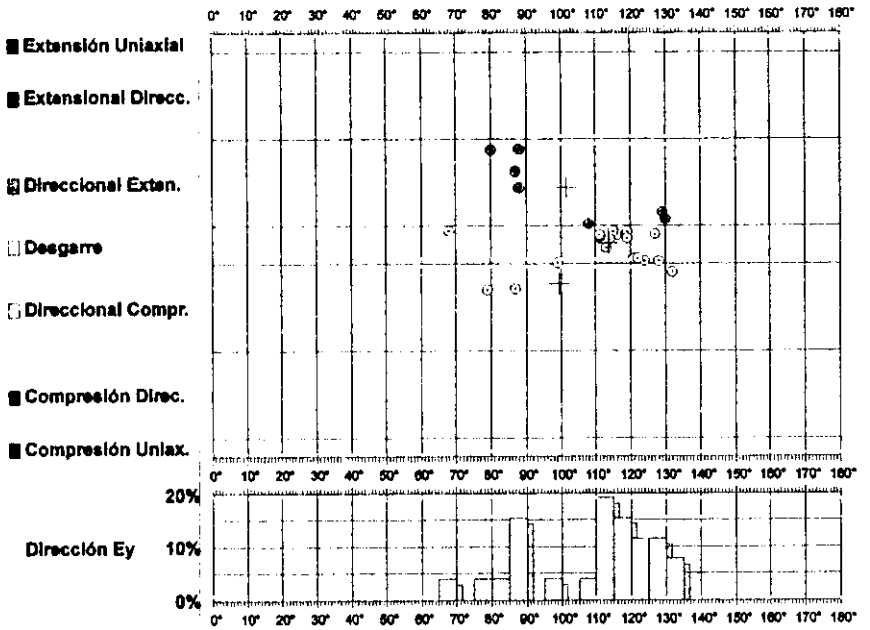
Parámetros Globales
K':-1,3622
PHI:-15,38°
Buzamiento:61°±10°
Cabeceo:25°±24°

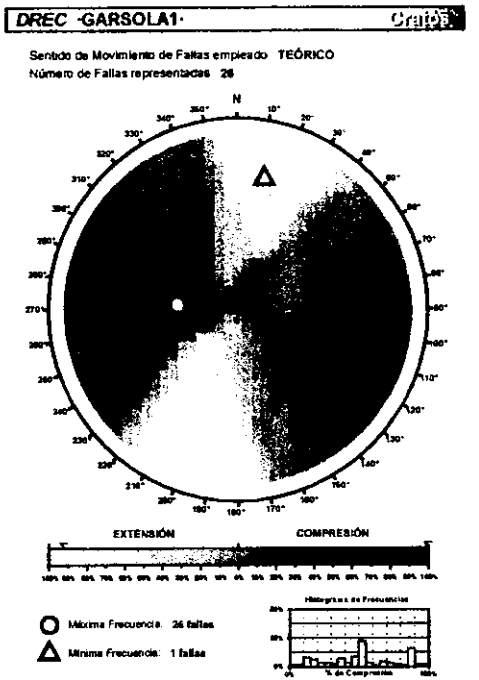


Método de Inversión de Esfuerzos



Modelo de Deslizamiento ·GARSOLA1· Cratos





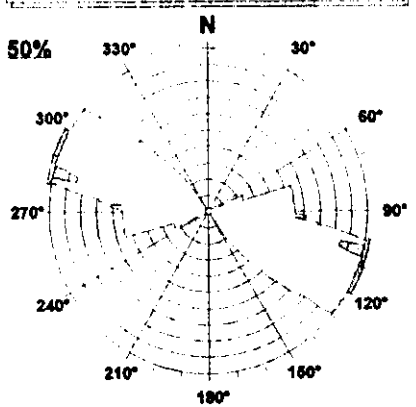
Estación: Garsola
Coordenadas U.T.M. (metros)
X: 311400
Y: 4336000
Z: 361
Litología: Basamento hercínico
Edad: Paleozoico

1ª Subpoblación:
Ey: 110°±10°
Buz: 81°±6°
Cab: 16°±10°
s1 54°/112°
s2 34°/277°
s3 06°/012°
R = 0.61
μ = 0.31
F.E. = 20 (26)

Trazas ciclográficas e histogramas del azimut, buzamiento y cabeceo

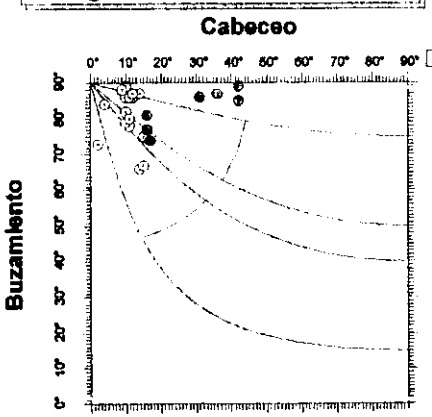
Método de Inversión de Esfuerzos

Rosa de Direcciones

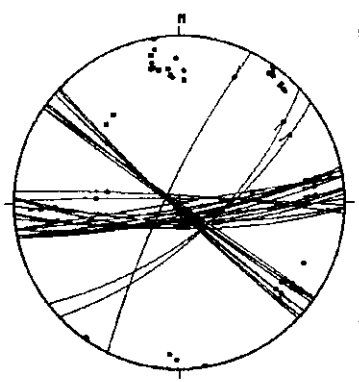


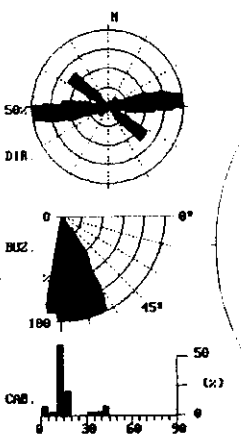
Valor Máximo de Escala: 50%
Ángulo de Apertura: 15°
DEYM: 110° ± 10,44°

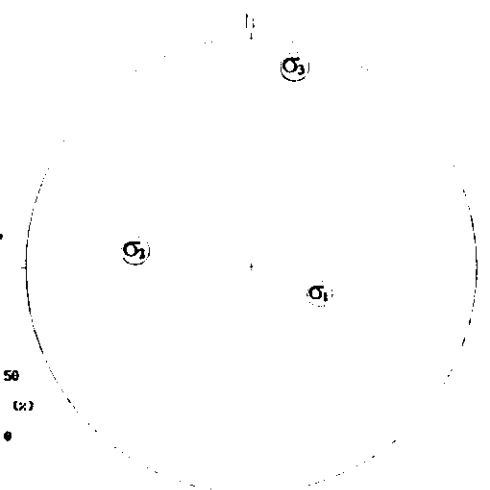
Diagrama Cabeceo/Buzamiento

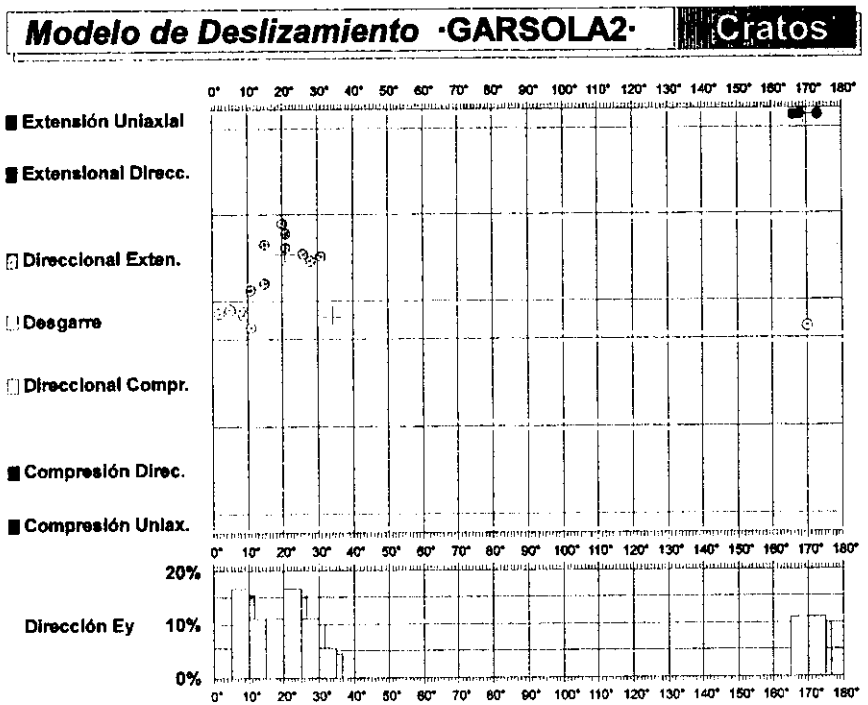


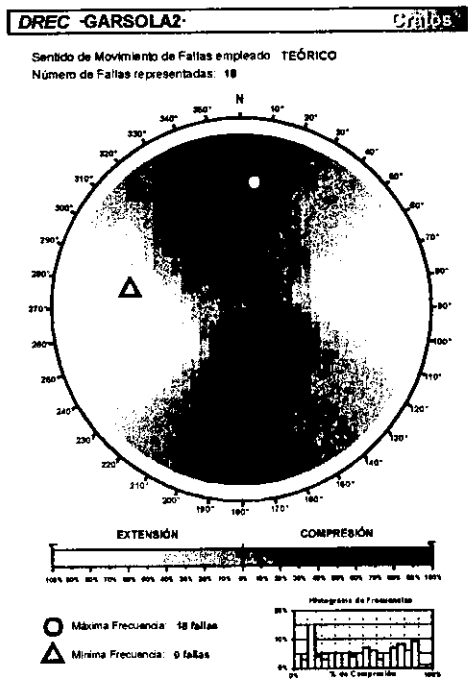
Parámetros Globales
K:6,9063 Buzamiento:81°±06°
PHI:30,23° Cabeceo:16°±10°







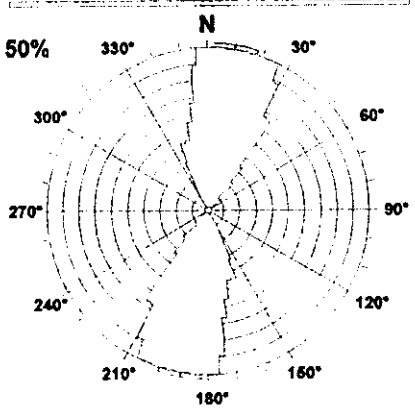


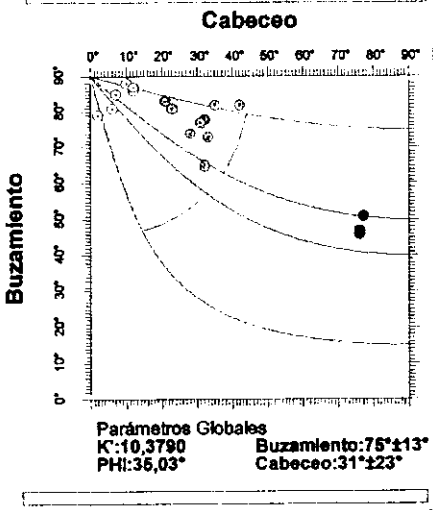


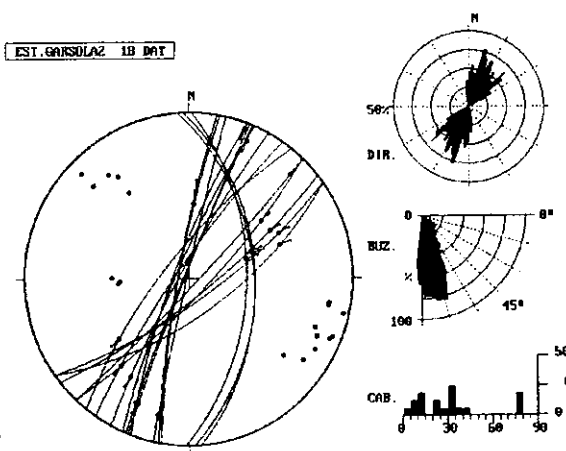
Estación: Garsola
Coordenadas U.T.M. (metros)
X: 311400
Y: 4336000
Z: 361
Litología: Basamento hercínico
Edad: Paleozoico

2ª Subpoblación:
Ey: 010°±8°
Buz: 75°±13°
Cab: 31°±23°
s1 58°/007°
s2 31°/188°
s3 00°/097°
R = 0.60
μ = 0.61
F.E. = 17 (18)

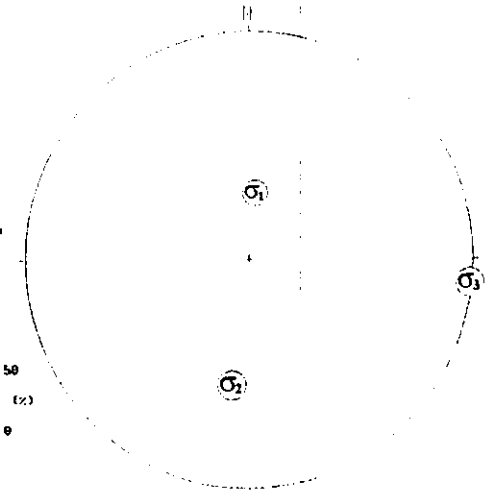
Trazas cicloográficas e histogramas del azimut, buzamiento y cabeceo



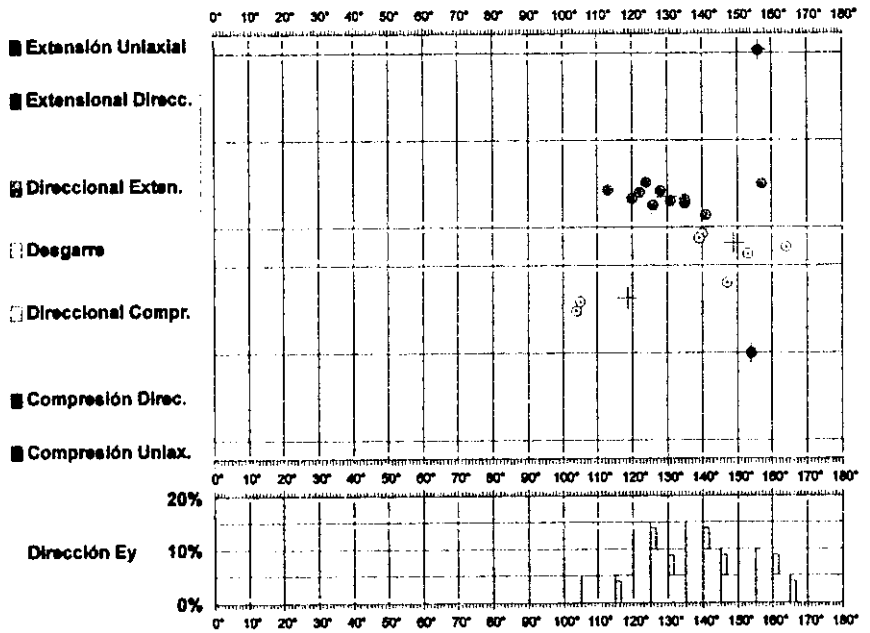


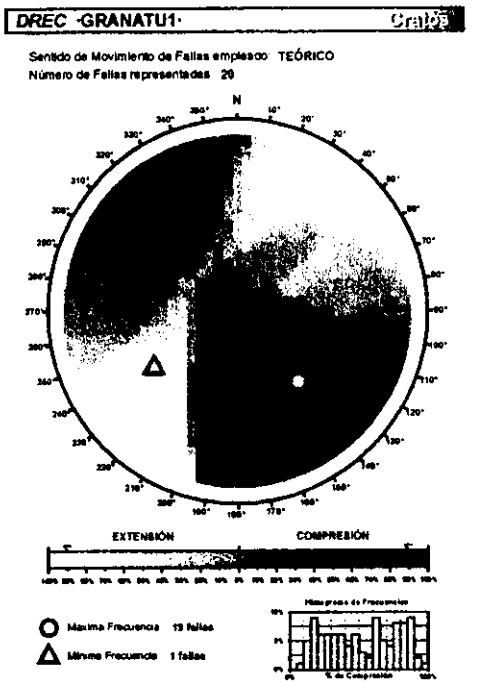


Método de Inversión de Esfuerzos



Modelo de Deslizamiento ·GRANATU1· Cratos



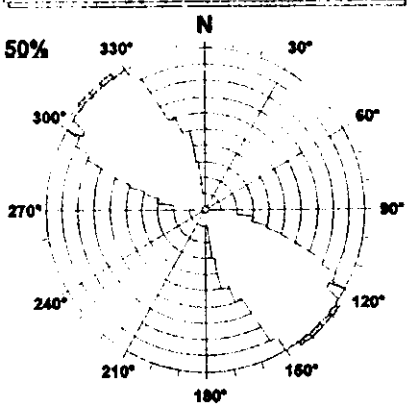


Estación: Granatu
Coordenadas U.T.M. (metros)
X: 436400
Y: 4296000
Z: 740
Litología: Basamento hercínico
Edad: Paleozoico

1ª Subpoblación:	
Ey: 135°±10°	Ey: 135°±10°
Buz: 76°±9°	Buz: 76°±9°
Cab: 24°±14°	Cab: 24°±14°
s1 19°/302°	s1 69°/333°
s2 69°/139°	s2 20°/154°
s3 05°/034°	s3 00°/064°
R = 0.58	R = 0.78
μ = 0.31	μ = 0.50
F.E. = 14 (20)	F.E. = 5 (20)

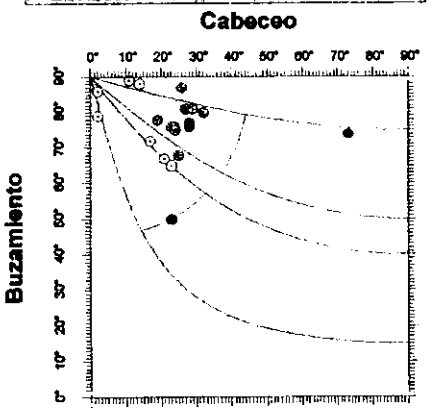
Trazas cicloográficas e histogramas del azimut, buzamiento y cabeceo

Rosa de Direcciones

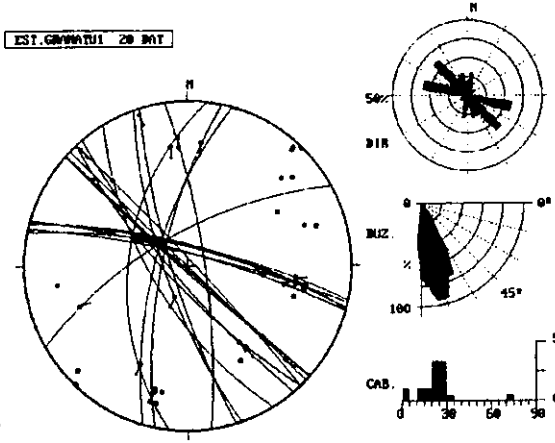


Valor Máximo de Escala: 50%
Ángulo de Apertura: 15°
DEYM: 135° ± 9,74°

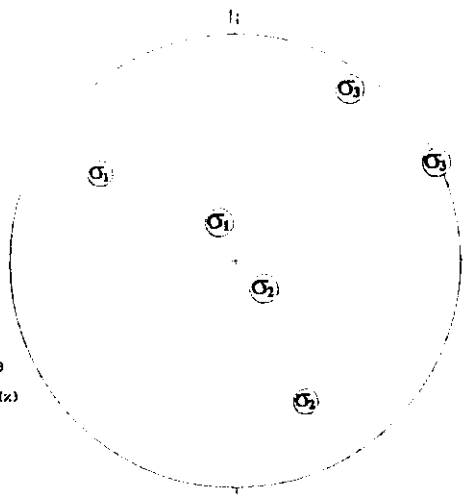
Diagrama Cabeceo/Buzamiento

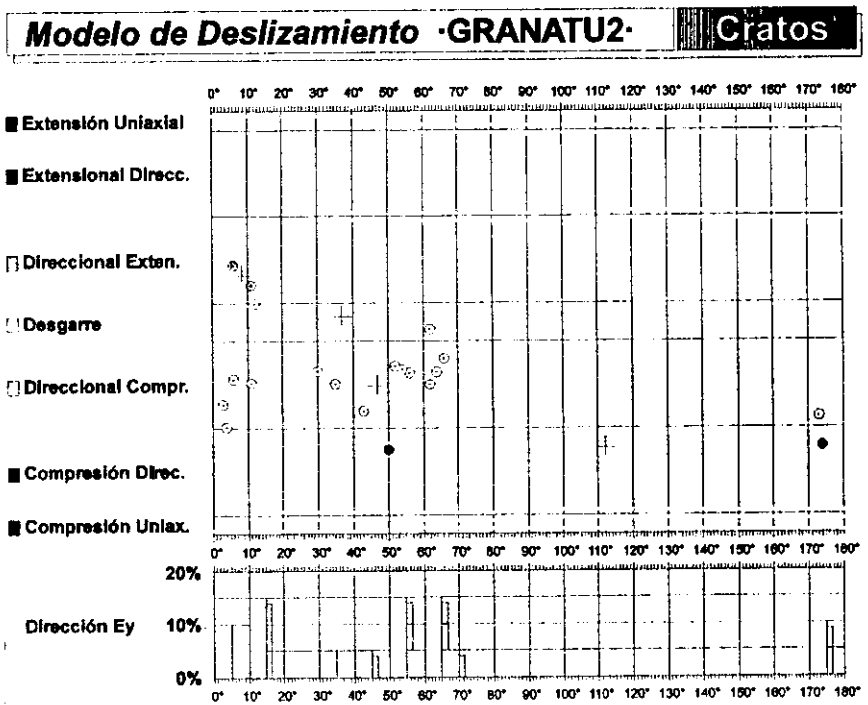


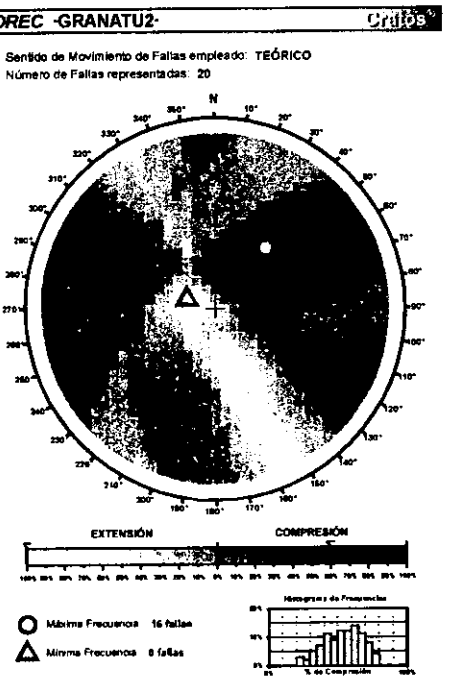
Parámetros Globales
K':-12,2071
PHI:26,96°
Buzamiento:76°±09°
Cabeceo:24°±14°



Método de Inversión de Esfuerzos



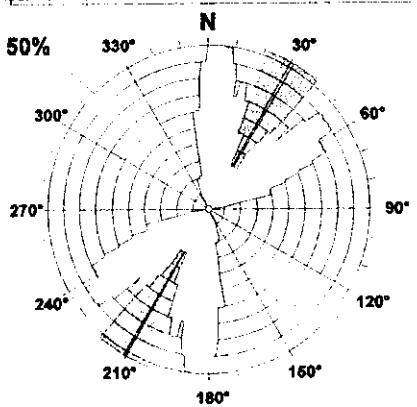




Estación: Granatu
Coordenadas U.T.M. (metros)
X: 436400
Y: 4296000
Z: 740
Litología: Basamento hercinico
Edad: Paleozoico

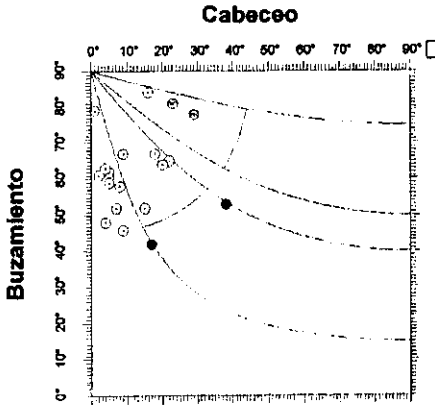
2ª Subpoblación:	
Ey: 031°±10°	Ey: 031°±10°
Buz: 62°±11°	Buz: 62°±11°
Cab: 13°±10°	Cab: 13°±10°
s1 09°/250°	s1 07°/357°
s2 62°/359°	s2 70°/110°
s3 25°/156°	s3 17°/265°
R = 0.74	R = 0.13
μ = 0.31	μ = 0.50
F.E. = 11 (20)	F.E. = 6 (20)

Rosa de Direcciones



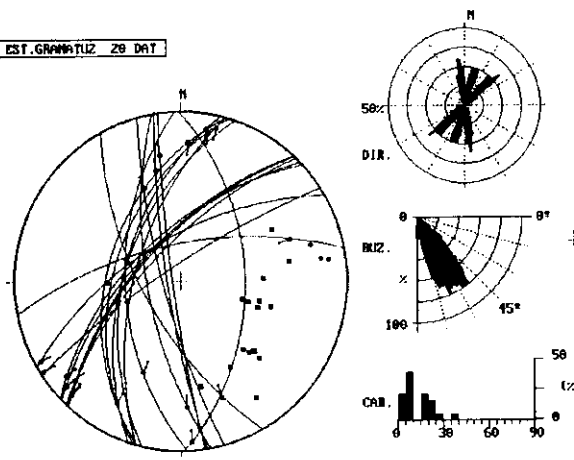
Valor Máximo de Escala: 50%
Ángulo de Apertura: 15°
DEYM: 31° ± 9,88°

Diagrama Cabeceo/Buzamiento

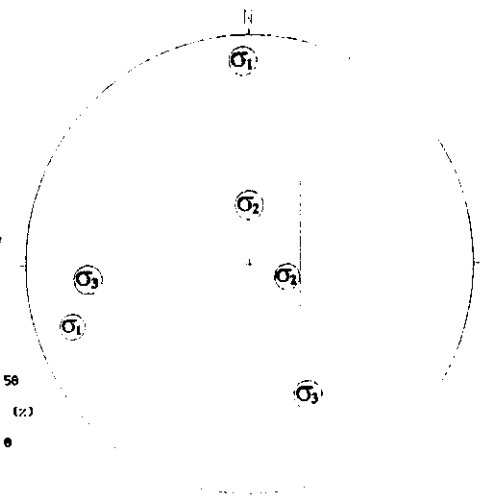


Parámetros Globales
K':-5,1212
PHI:-44,14°
Buzamiento:62°±11°
Cabeceo:13°±10°

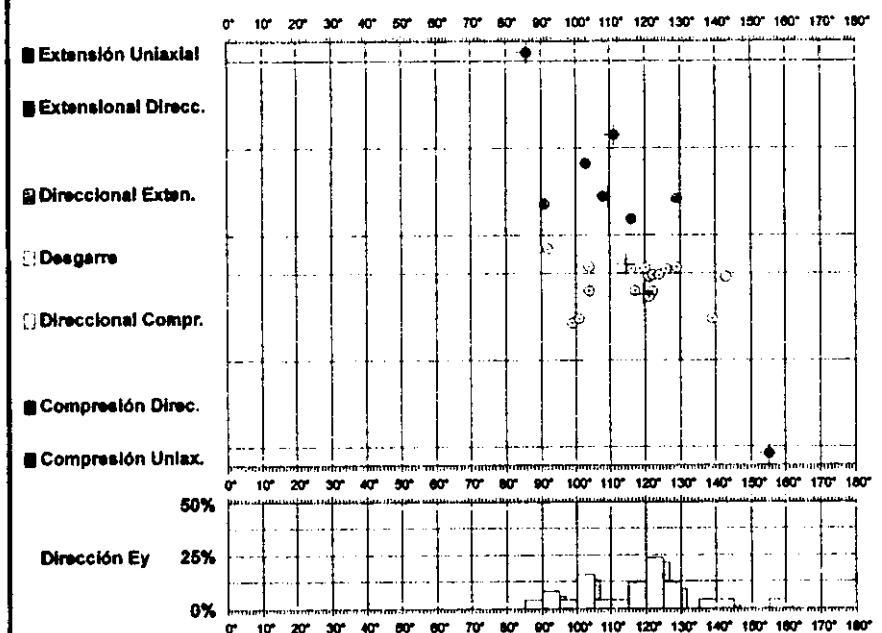
Trazas ciclográficas e histogramas del azimut, buzamiento y cabeceo

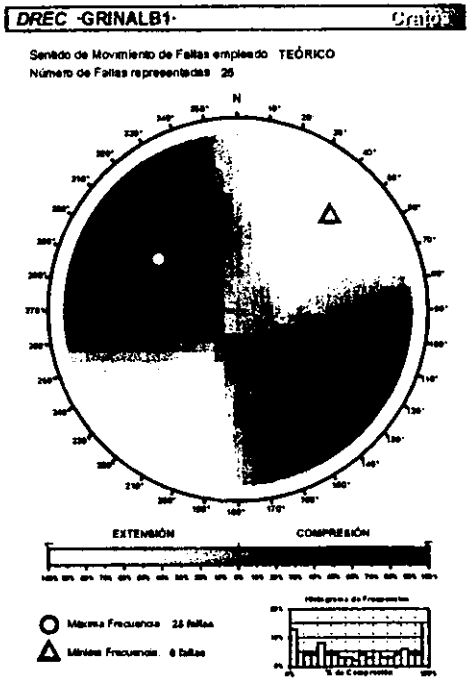


Método de Inversión de Esfuerzos



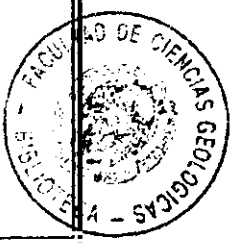
Modelo de Deslizamiento ·GRINALB1· Cratos





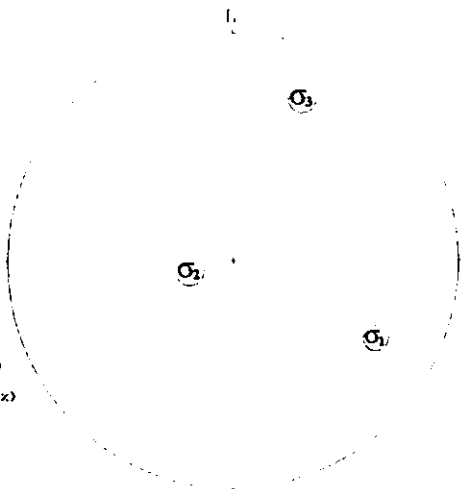
Estación: Grinalb
Coordenadas U.T.M. (metros)
X: 219800
Y: 4420600
Z: 324
Litología: Dique básico
Edad: Jurásico

1ª Subpoblación:
Ey: 116°±10°
Buz: 71°±9°
Cab: 22°±17°
s1 18°/118°
s2 66°/256°
s3 14°/023°
R = 0.78
μ = 0.31
F.E. = 17 (25)

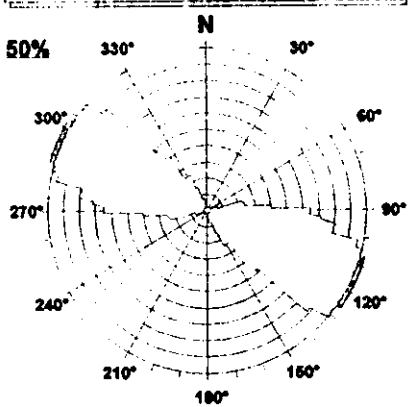


Trazas ciclográficas e histogramas del azimut, buzamiento y cabeceo

Método de Inversión de Esfuerzos

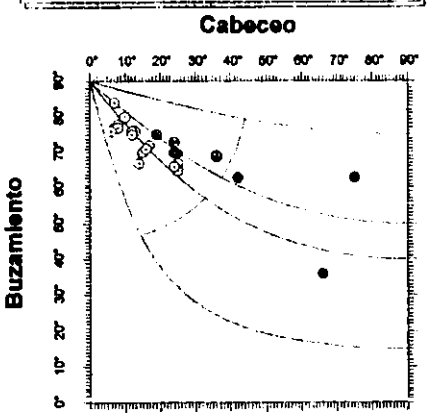


Rosa de Direcciones

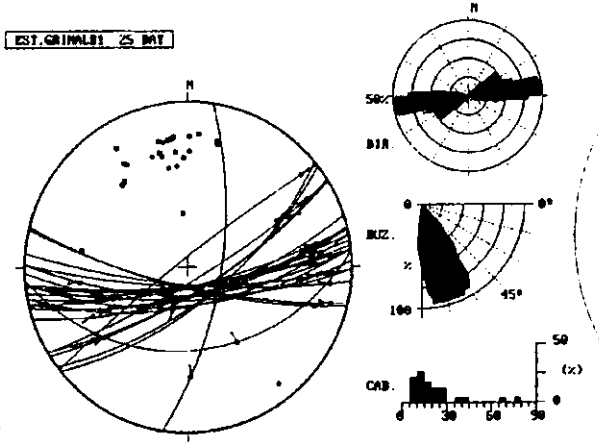


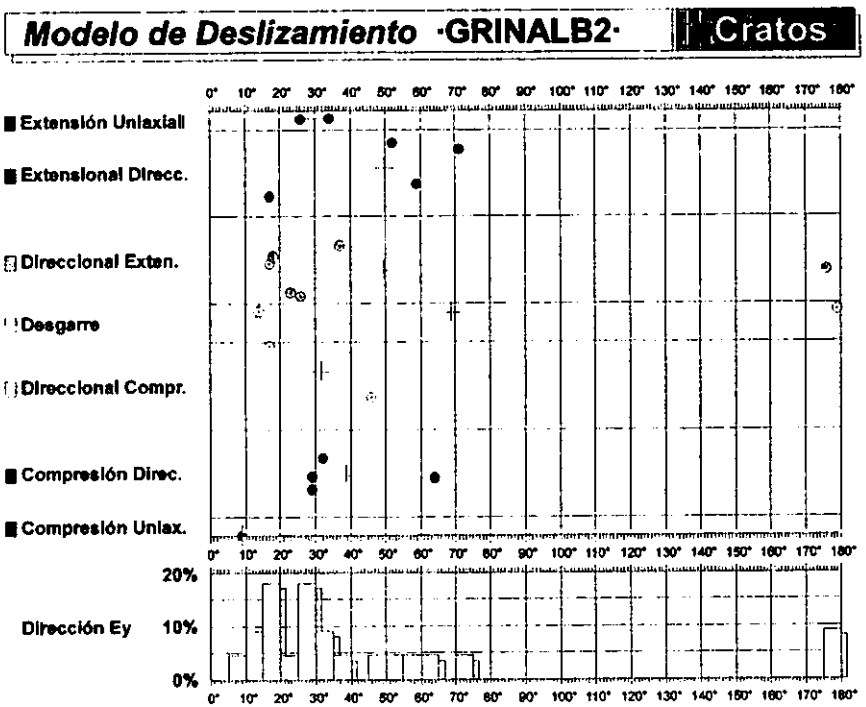
Valor Máximo de Escala: 50%
Ángulo de Apertura: 15°
DEYM: 116° ± 10,06°

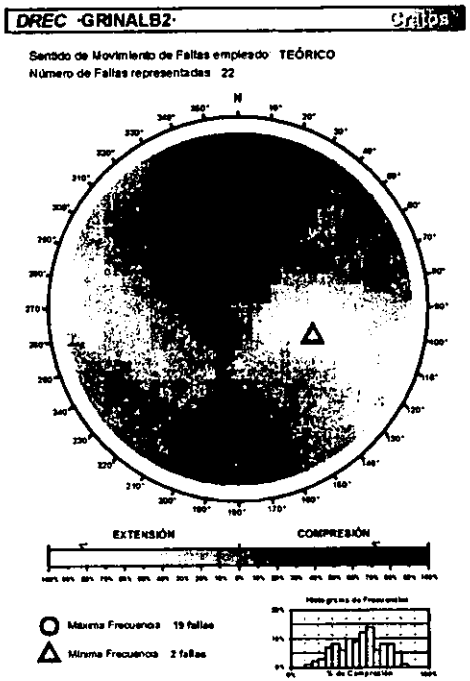
Diagrama Cabeceo/Buzamiento



Parámetros Globales
K':-3,8173 Buzamiento:71°±09°
PHI:04,82° Cabeceo:22°±17°





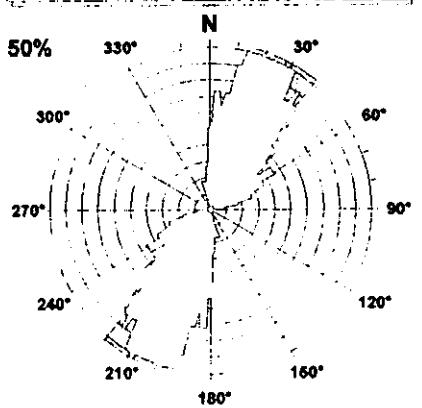


Estación: Grinalb
Coordenadas U.T.M. (metros)
X: 219800
Y: 4420600
Z: 324
Litología: Dique básico
Edad: Jurásico

2ª Subpoblación:
Ey: 028°±12°
Buz: 68°±19°
Cab: 35°±25°
s1 22°/016°
s2 66°/182°
s3 05°/283°
R = 0.77
μ = 0.31
F.E. = 14 (22)

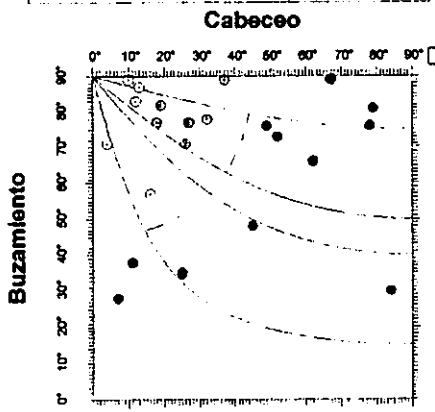
Trazas ciclográficas e histogramas del azimut, buzamiento y cabeceo

Rosa de Direcciones

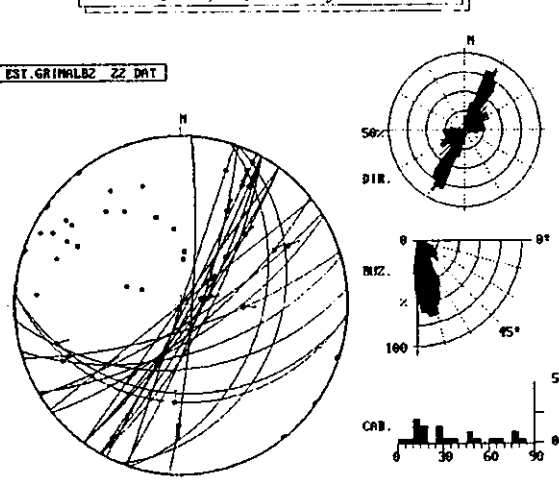


Valor Máximo de Escala: 50%
Ángulo de Apertura: 15°
DEYM: 28° ± 12,44°

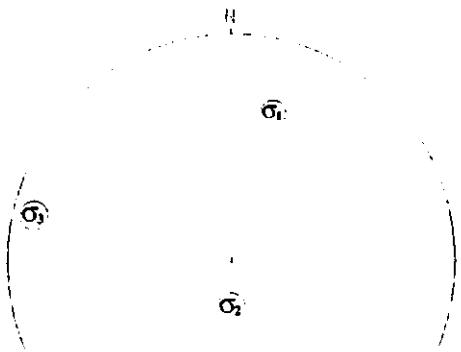
Diagrama Cabeceo/Buzamiento



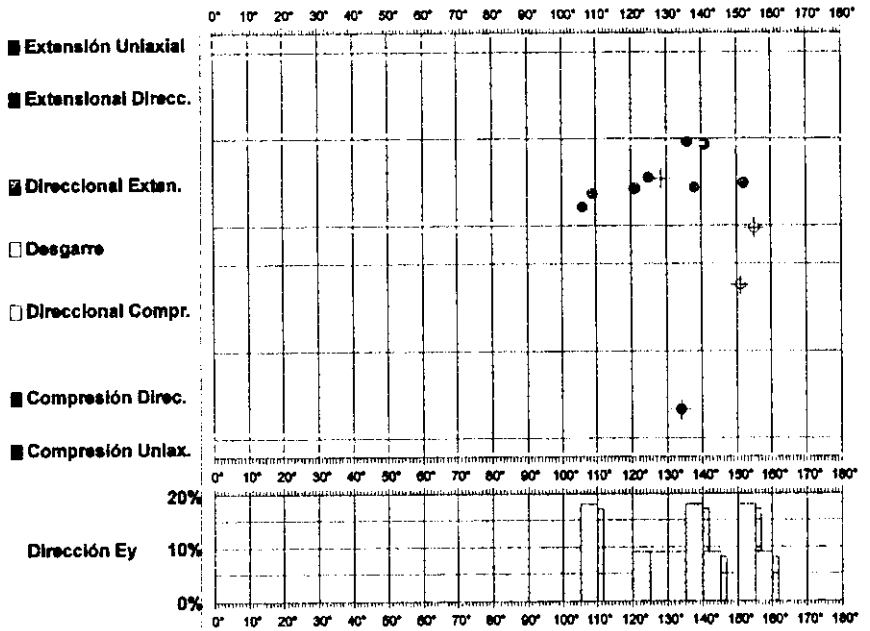
Parámetros Globales
K':2,5570 Buzamiento:68°±19°
PHI:19,68° Cabeceo:35°±25°

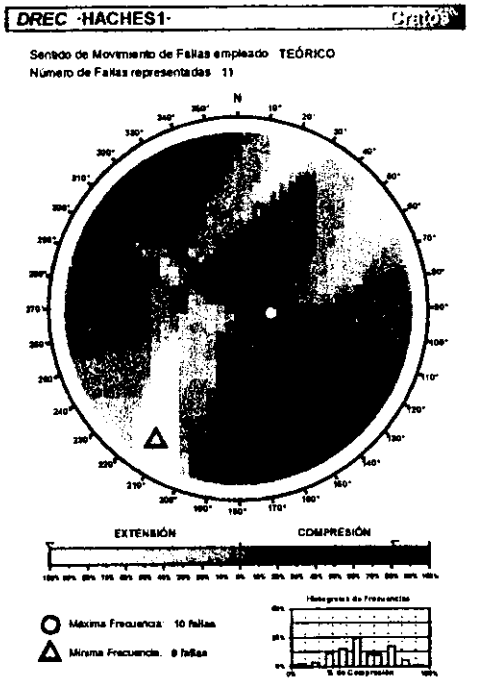


Método de Inversión de Esfuerzos



Modelo de Deslizamiento ·HACHES1· Cratos



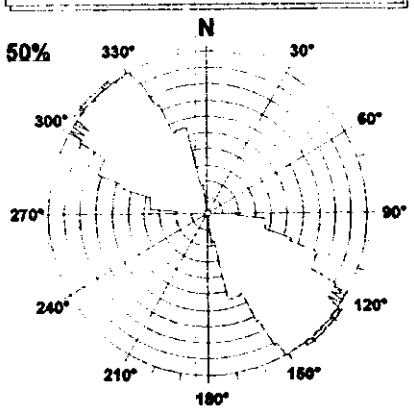


Estación: Haches
Coordenadas U.T.M. (metros)
X: 572000
Y: 4272200
Z: 1100
Litología: Carbonatos
Edad: Jurásico

1ª Subpoblación:
Ey: 134°±9°
Buz: 75°±13°
Cab: 29°±11°
s1 11°/119°
s2 78°/318°
s3 03°/210°
R = 0.47
μ = 0.40
F.E. = 10 (11)

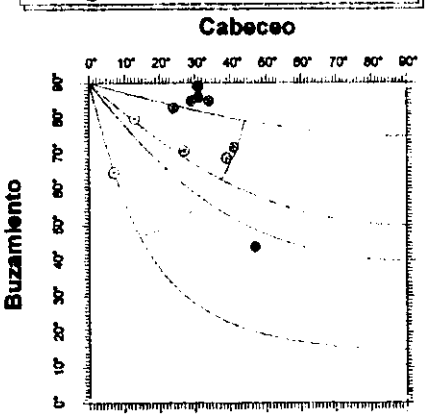
Trazas ciclográficas e histogramas del azimut, buzamiento y cabeceo

Rosa de Direcciones

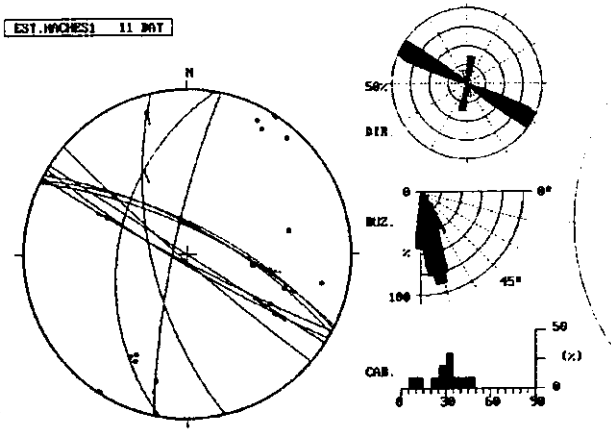


Valor Máximo de Escala: 50%
Ángulo de Apertura: 15°
DEYM: 134° ± 9,36°

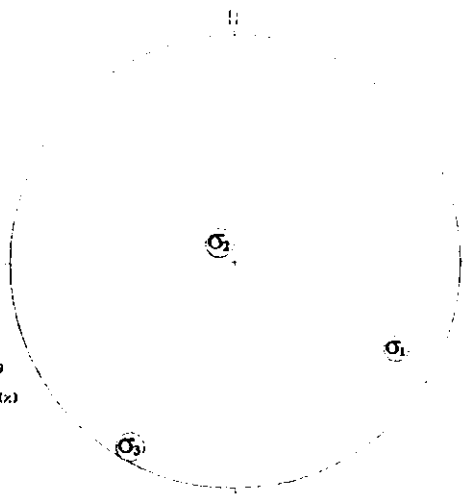
Diagrama Cabeceo/Buzamiento

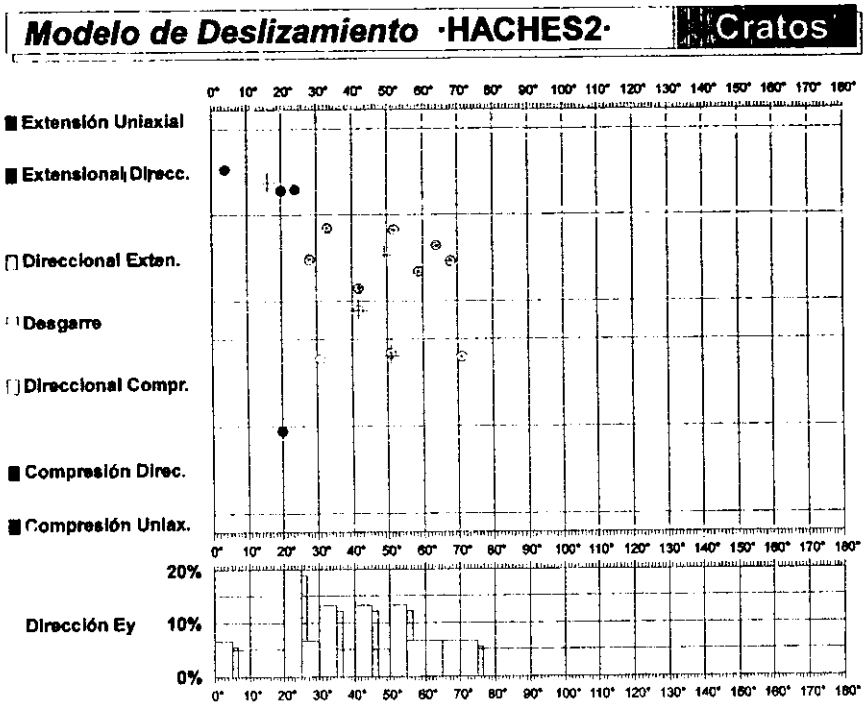


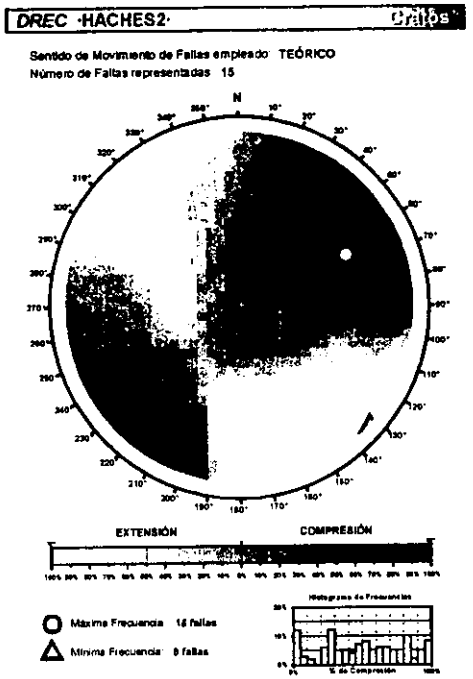
Parámetros Globales
K':1,8985 Buzamiento:75°±13°
PHI:32,14° Cabeceo:29°±11°



Método de Inversión de Esfuerzos

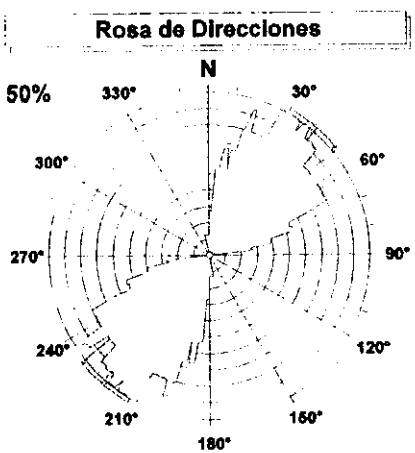


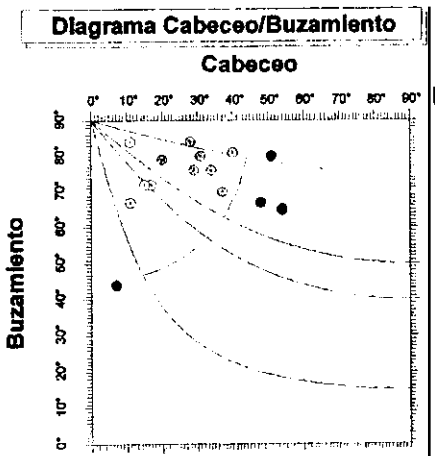




Estación: Haches
Coordenadas U.T.M. (metros)
X: 572000
Y: 4272200
Z: 1100
Litología: Carbonatos
Edad: Jurásico

2ª Subpoblación:
Ey: 041°±10°
Buz: 73°±10°
Cab: 29°±15°
s1 57°/052°
s2 31°/238°
s3 02°/146°
R = 0.67
μ = 0.31
F.E. = 15 (15)

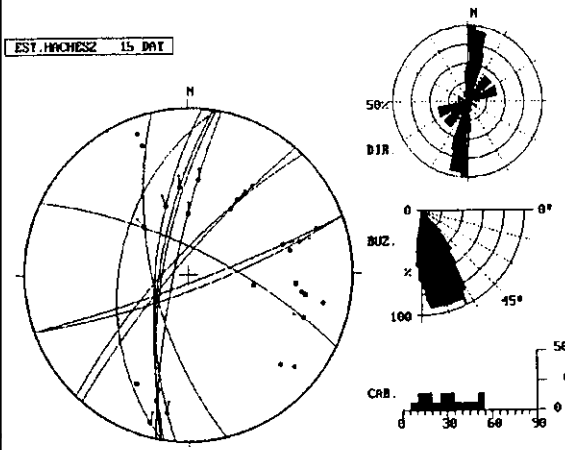




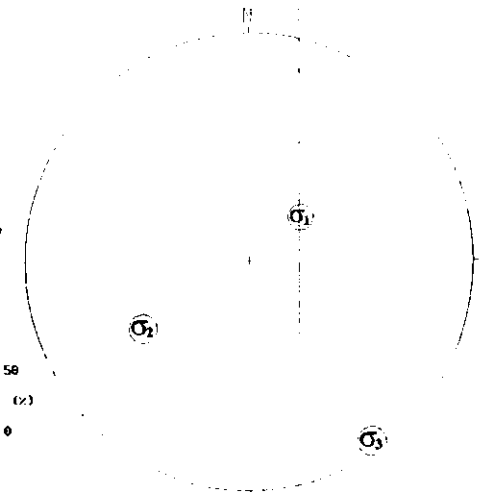
Valor Máximo de Escala: 50%
Ángulo de Apertura: 15°
DEYM: 41° ± 10,22°

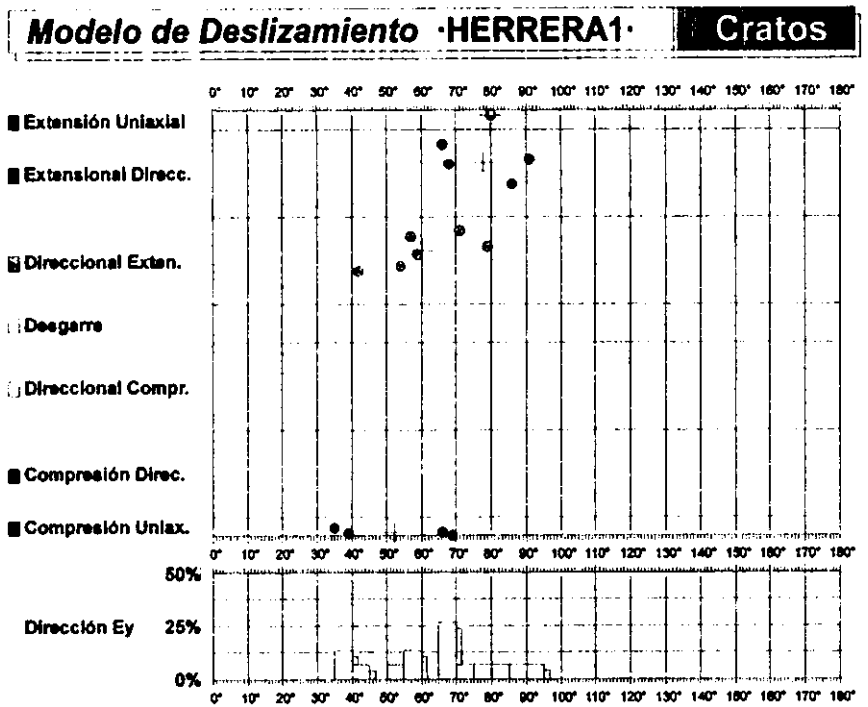
Parámetros Globales
K':3,1434
PHI:25,53°
Buzamiento:73°±10°
Cabeceo:29°±15°

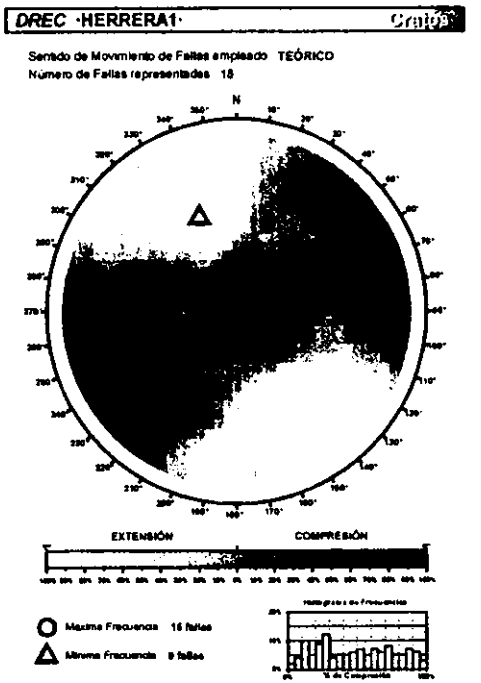
Trazas ciclográficas e histogramas del azimut, buzamiento y cabeceo



Método de Inversión de Esfuerzos





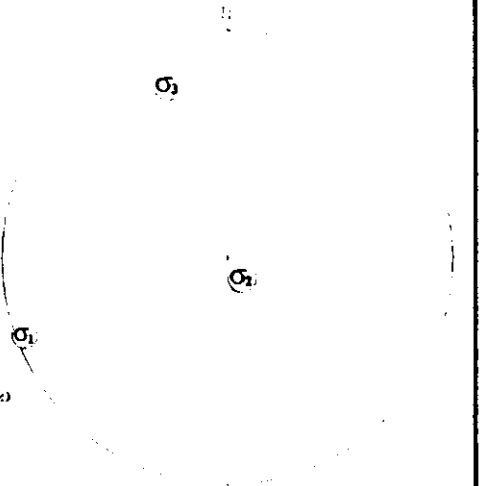


Estación: Herrera
Coordenadas U.T.M. (metros)
X: 475600
Y: 4320100
Z: 700
Litología: Carbonatos
Edad: Jurásico

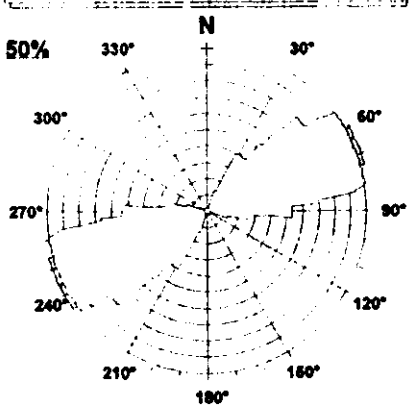
1ª Subpoblación:
Ey: 064°±10°
Buz: 56°±13°
Cab: 52°±22°
s1 01°/249°
s2 77°/154°
s3 12°/340°
R = 0.71
μ = 0.40
F.E. = 13 (15)

Trazas cicloográficas e histogramas del azimut, buzamiento y cabeceo

Método de Inversión de Esfuerzos

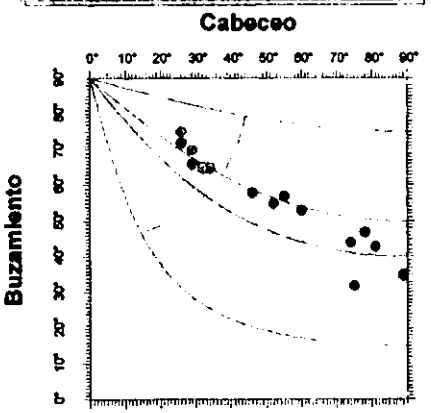


Rosa de Direcciones

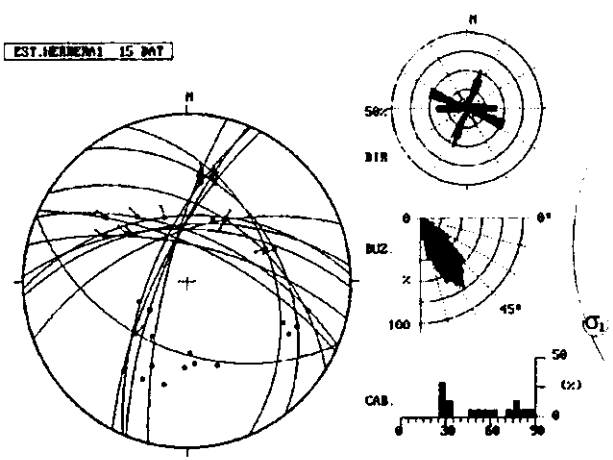


Valor Máximo de Escala: 50%
Ángulo de Apertura: 15°
DEYM: 64° ± 9,76°

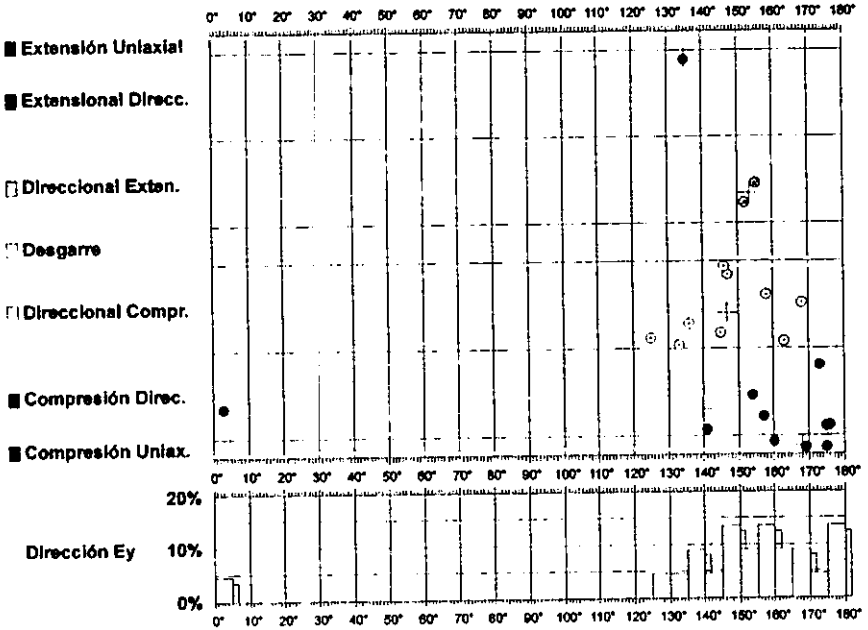
Diagrama Cabeceo/Buzamiento

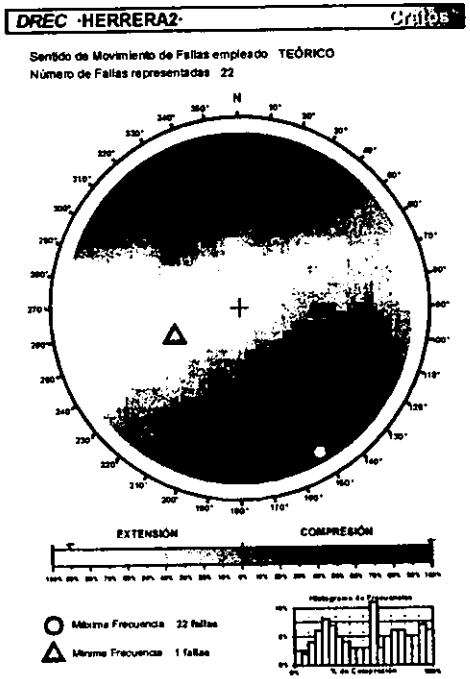


Parámetros Globales
K':0,3518 Buzamiento:56°±13°
PHI:06,87° Cabeceo:52°±22°



Modelo de Deslizamiento ·HERRERA2· Cratos



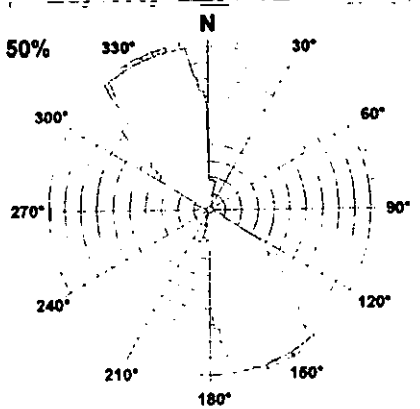


Estación: Herrera
Coordenadas U.T.M. (metros)
X: 475600
Y: 4320100
Z: 700
Litología: Carbonatos
Edad: Jurásico

2ª Subpoblación:	
Ey: 156°±9°	Ey: 156°±9°
Buz: 51°±13°	Buz: 51°±13°
Cab: 36°±22°	Cab: 36°±22°
s1 03°/344°	s1 07°/333°
s2 75°/086°	s2 18°/065°
s3 13°/253°	s3 69°/221°
R = 0.25	R = 0.11
μ = 0.31	μ = 0.91
F.E. = 16 (22)	F.E. = 5 (22)

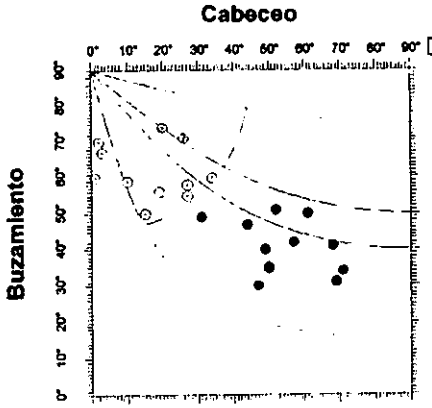
Trazas ciclográficas e histogramas del azimut, buzamiento y cabeceo

Rosa de Direcciones

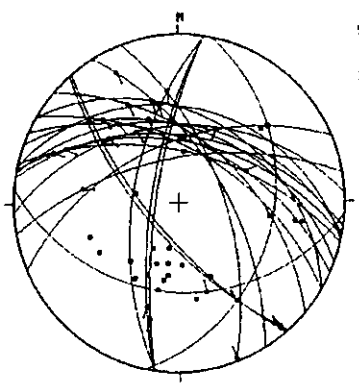


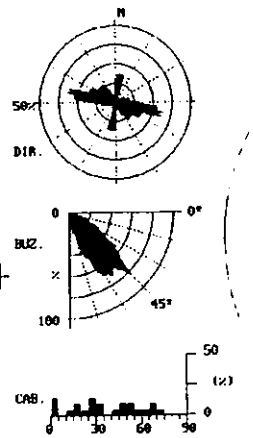
Valor Máximo de Escala: 50%
Ángulo de Apertura: 15°
DEYM: 156° ± 8,81°

Diagrama Cabeceo/Buzamiento

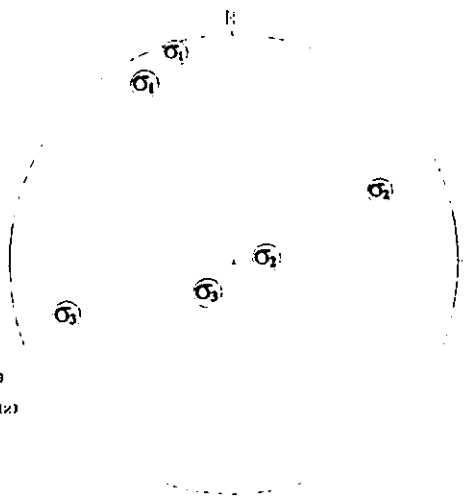


Parámetros Globales
K':-0,4821 Buzamiento:51°±13°
PHI:-18,05° Cabeceo:36°±22°

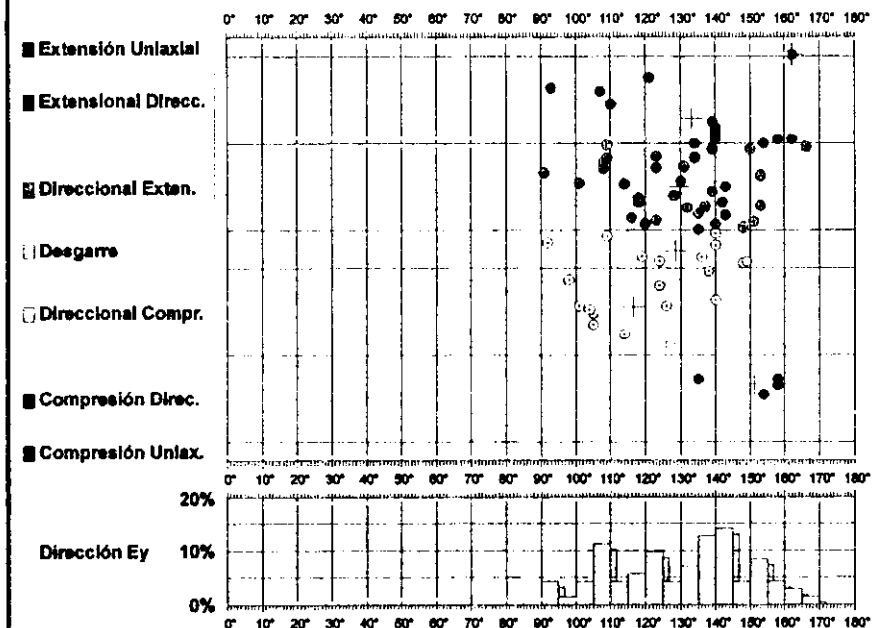


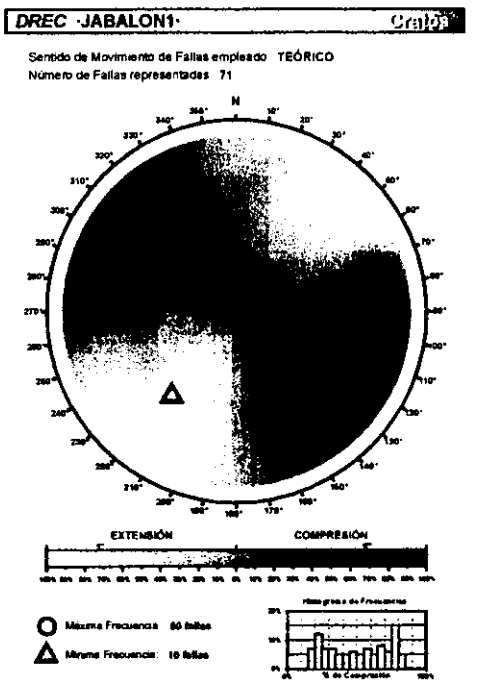


Método de Inversión de Esfuerzos



Modelo de Deslizamiento ·JABALON1· Cratos

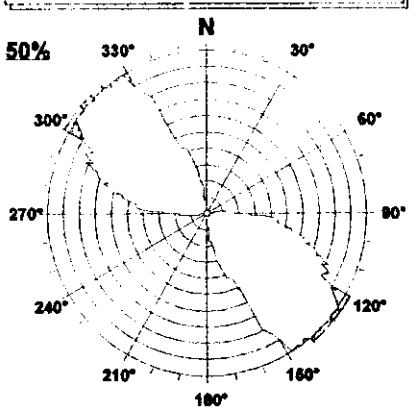




Estación: Jabalon
Coordenadas U.T.M. (metros)
X: 432500
Y: 4291900
Z: 700
Litología: Colada lávica
Edad: Mioceno sup.-Pleistoceno inf.

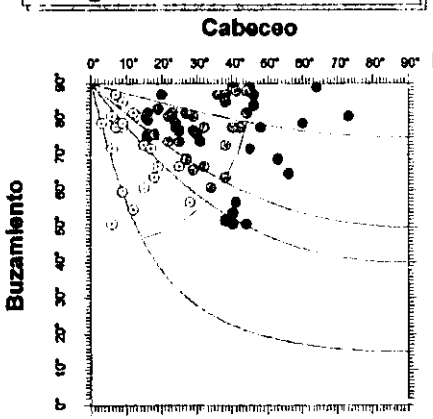
1ª Subpoblación:	
Ey: 130°±10°	Ey: 130°±10°
Buz: 75°±10°	Buz: 75°±10°
Cab: 29°±15°	Cab: 29°±15°
s1 48°/140°	s1 82°/272°
s2 40°/304°	s2 06°/127°
s3 07°/041°	s3 04°/036°
R = 0.75	R = 0.61
μ = 0.31	μ = 0.31
F.E. = 46 (71)	F.E. = 7 (71)
Ey: 130°±10°	Ey: 130°±10°
Buz: 75°±10°	Buz: 75°±10°
Cab: 29°±15°	Cab: 29°±15°
s1 60°/060°	s1 00°/332°
s2 28°/223°	s2 84°/237°
s3 07°/317°	s3 05°/062°
R = 0.46	R = 0.86
μ = 0.31	μ = 0.40
F.E. = 10 (71)	F.E. = 6 (71)

Rosa de Direcciones



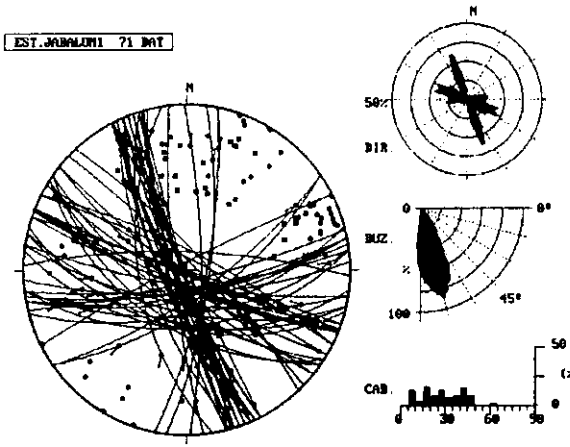
Valor Máximo de Escala: 50%
Ángulo de Apertura: 15°
DEYM: 130° ± 10,19°

Diagrama Cabeceo/Buzamiento

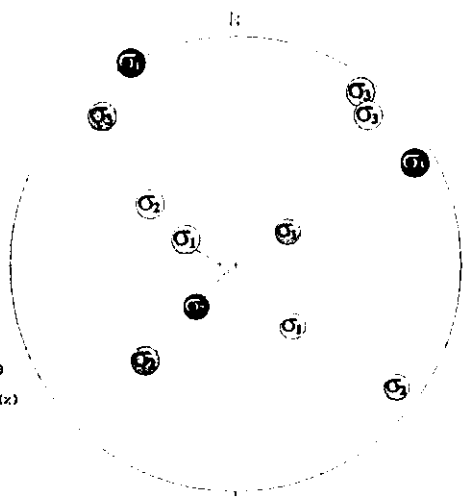


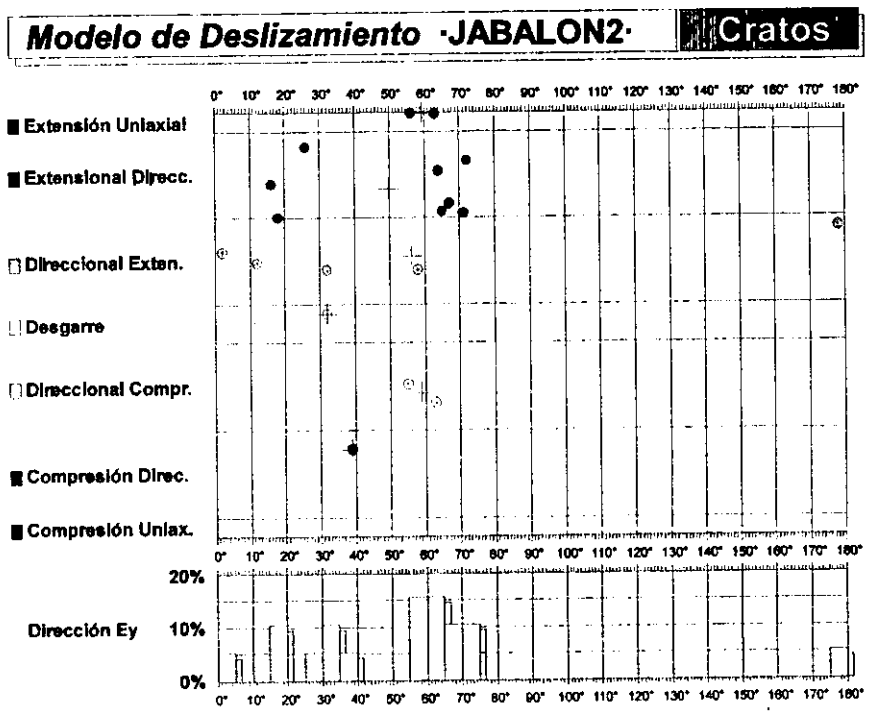
Parámetros Globales
K':3,7229 Buzamiento:75°±10°
PHI:32,14° Cabeceo:29°±16°

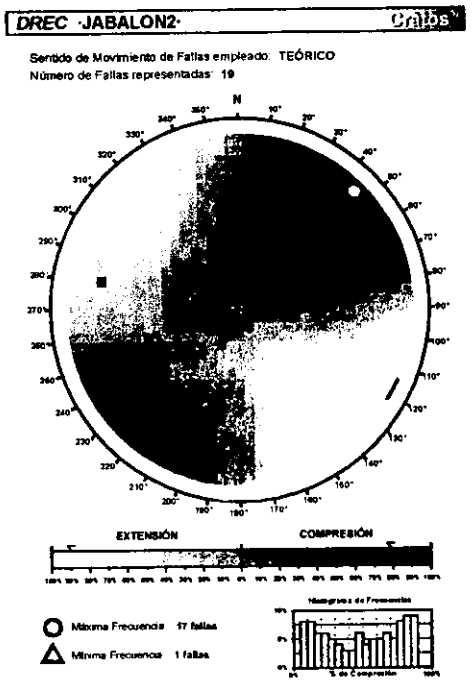
Trazas ciclográficas e histogramas del azimut, buzamiento y cabeceo



Método de Inversión de Esfuerzos





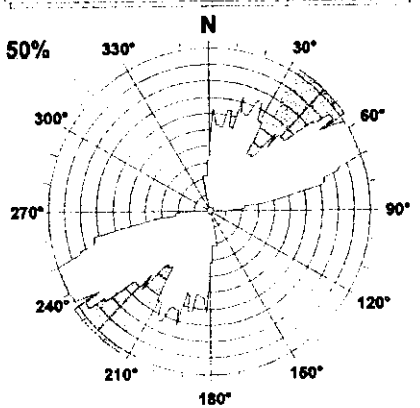


Estación: Jabalon
Coordenadas U.T.M. (metros)
X: 432500
Y: 4291900
Z: 700
Litología: Colada lávica
Edad: Mioceno sup.-Pleistoceno inf.

2ª Subpoblación:	
Ey: 044°±11°	Ey: 044°±11°
Buz: 75°±10°	Buz: 75°±10°
Cab: 44°±20°	Cab: 44°±20°
s1 84°/036°	s1 54°/229°
s2 05°/219°	s2 24°/099°
s3 00°/129°	s3 24°/357°
R = 0.46	R = 0.22
μ = 0.31	μ = 0.81
F.E. = 12 (19)	F.E. = 5 (19)

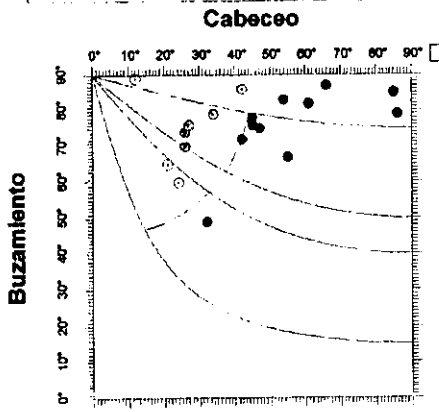
Trazas ciclográficas e histogramas del azimut, buzamiento y cabeceo

Rosa de Direcciones



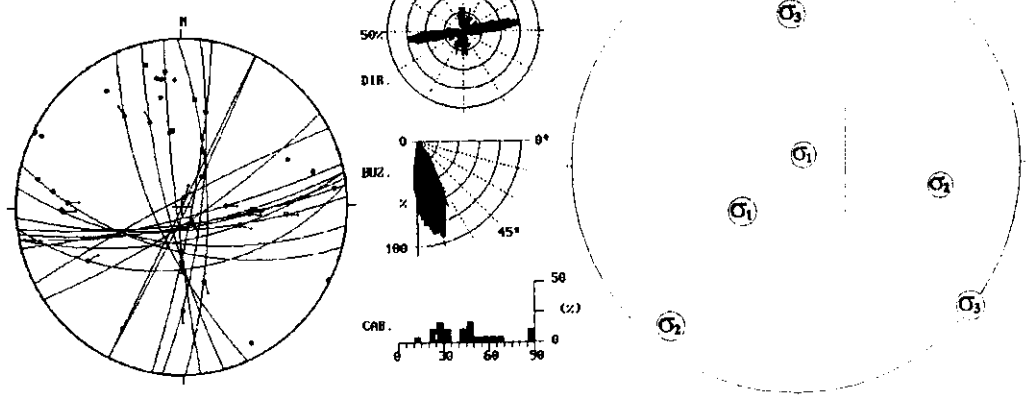
Valor Máximo de Escala: 50%
Ángulo de Apertura: 15°
DEYM: 44° ± 10,59°

Diagrama Cabeceo/Buzamiento

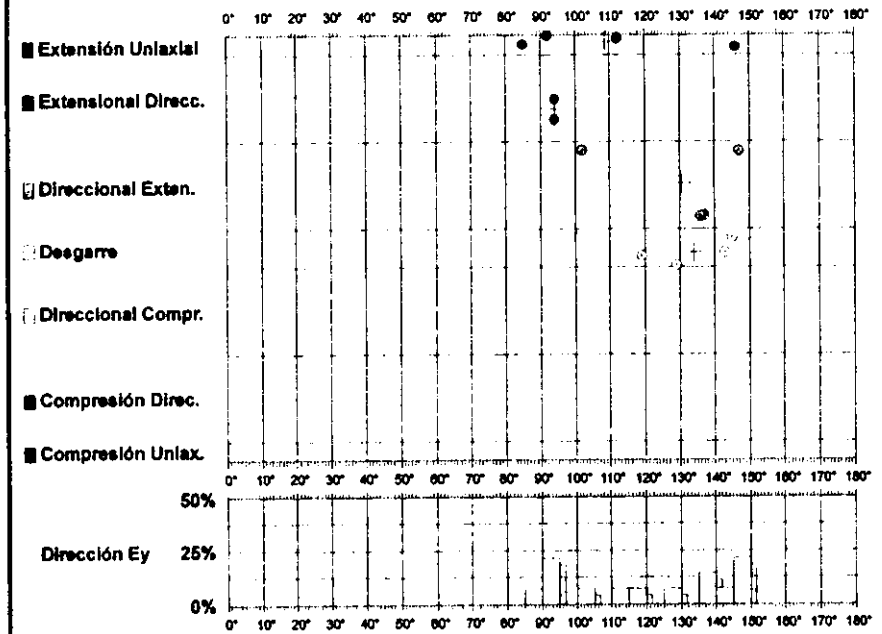


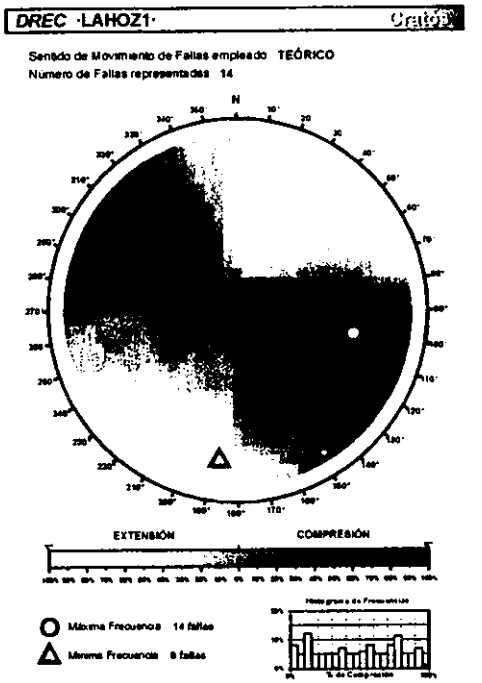
Parámetros Globales
K':3,3545 Buzamiento:75°±10°
PHI:47,81° Cabeceo:44°±20°

Método de Inversión de Esfuerzos



Modelo de Deslizamiento ·LAHOZ1· Cratos





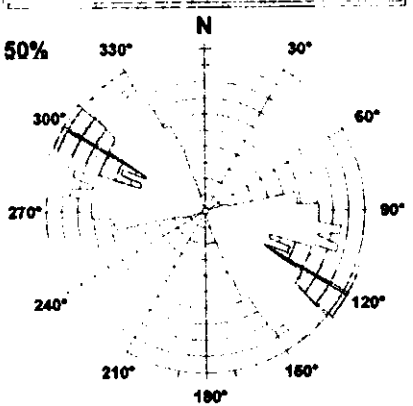
Estación: Lahoz
Coordenadas U.T.M. (metros)
X: 548600
Y: 4282000
Z: 1050
Litología: Carbonatos
Edad: Jurásico

1ª Subpoblación:
Ey: 121°±9°
Buz: 78°±6°
Cab: 41°±30°
s1 78°/326°
s2 09°/115°
s3 05°/206°
R = 0.19
μ = 1.31
F.E. = 11 (14)

Trazas cicloográficas e histogramas del azimut, buzamiento y cabeceo

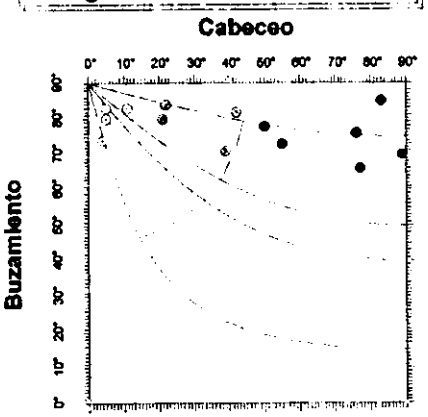
Método de Inversión de Esfuerzos

Rosa de Direcciones

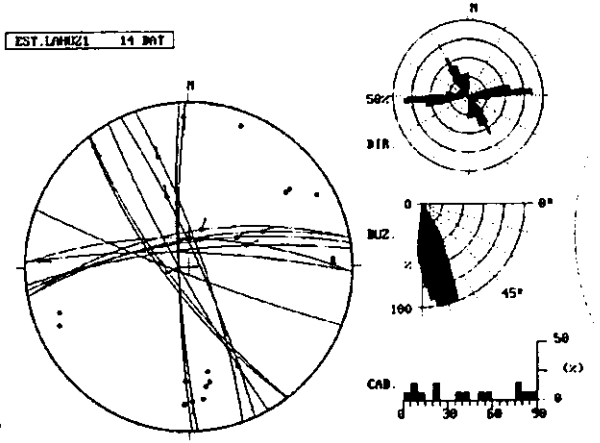


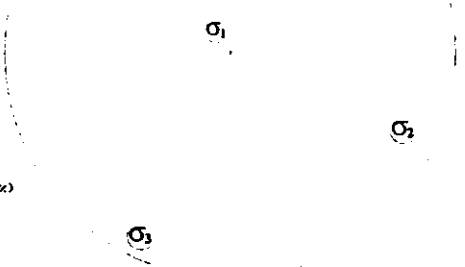
Valor Máximo de Escala: 50%
Ángulo de Apertura: 15°
DEYM: 121° ± 9,36°

Diagrama Cabeceo/Buzamiento

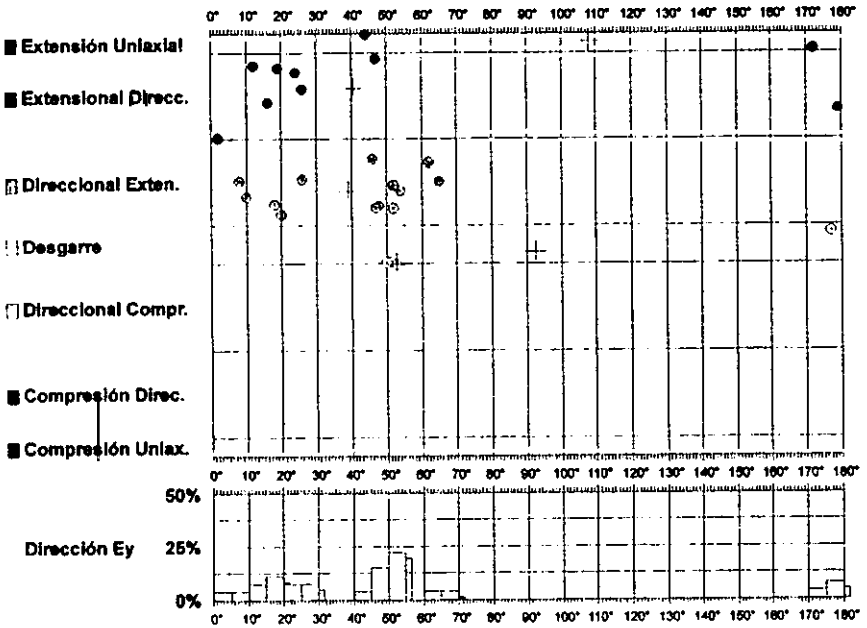


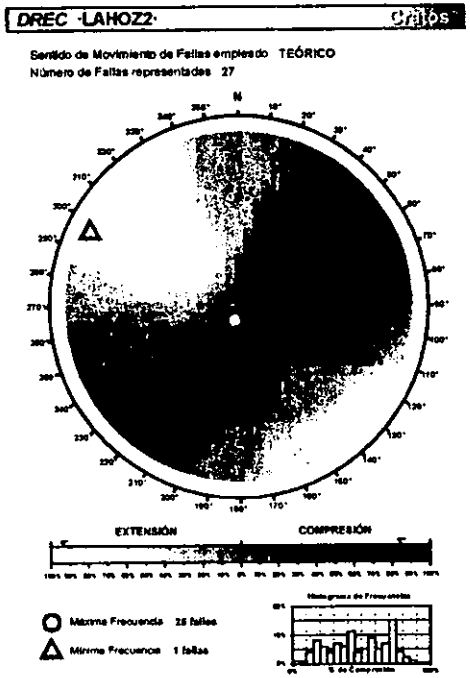
Parámetros Globales
K':-6,4232 Buzamiento:78°±06°
PHI:64,10° Cabeceo:41°±30°





Modelo de Deslizamiento ·LAHOZ2· — Cratos





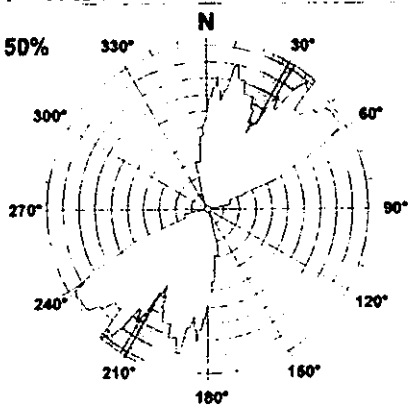
Estación: Lahoz
Coordenadas U.T.M. (metros)
X: 548600
Y: 4282000
Z: 1050
Litología: Carbonatos
Edad: Jurásico

2ª Subpoblación:
Ey: 032°±9°
Buz: 78°±6°
Cab: 38°±22°
s1 85°/014°
s2 03°/219°
s3 01°/129°
R = 0.34
μ = 0.31
F.E. = 20 (27)

Trazas cicloográficas e histogramas del azimut, buzamiento y cabeceo

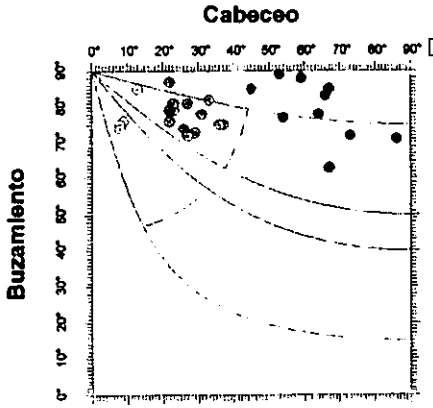
Método de Inversión de Esfuerzos

Rosa de Direcciones

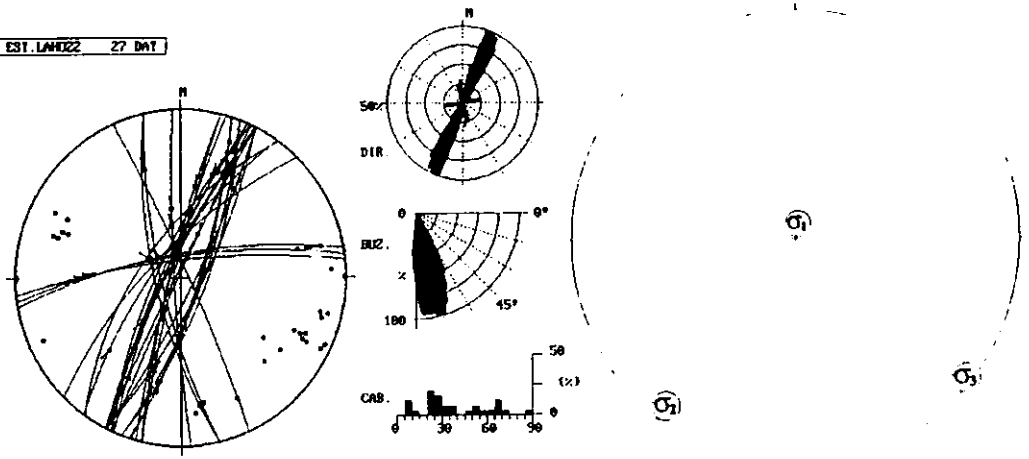


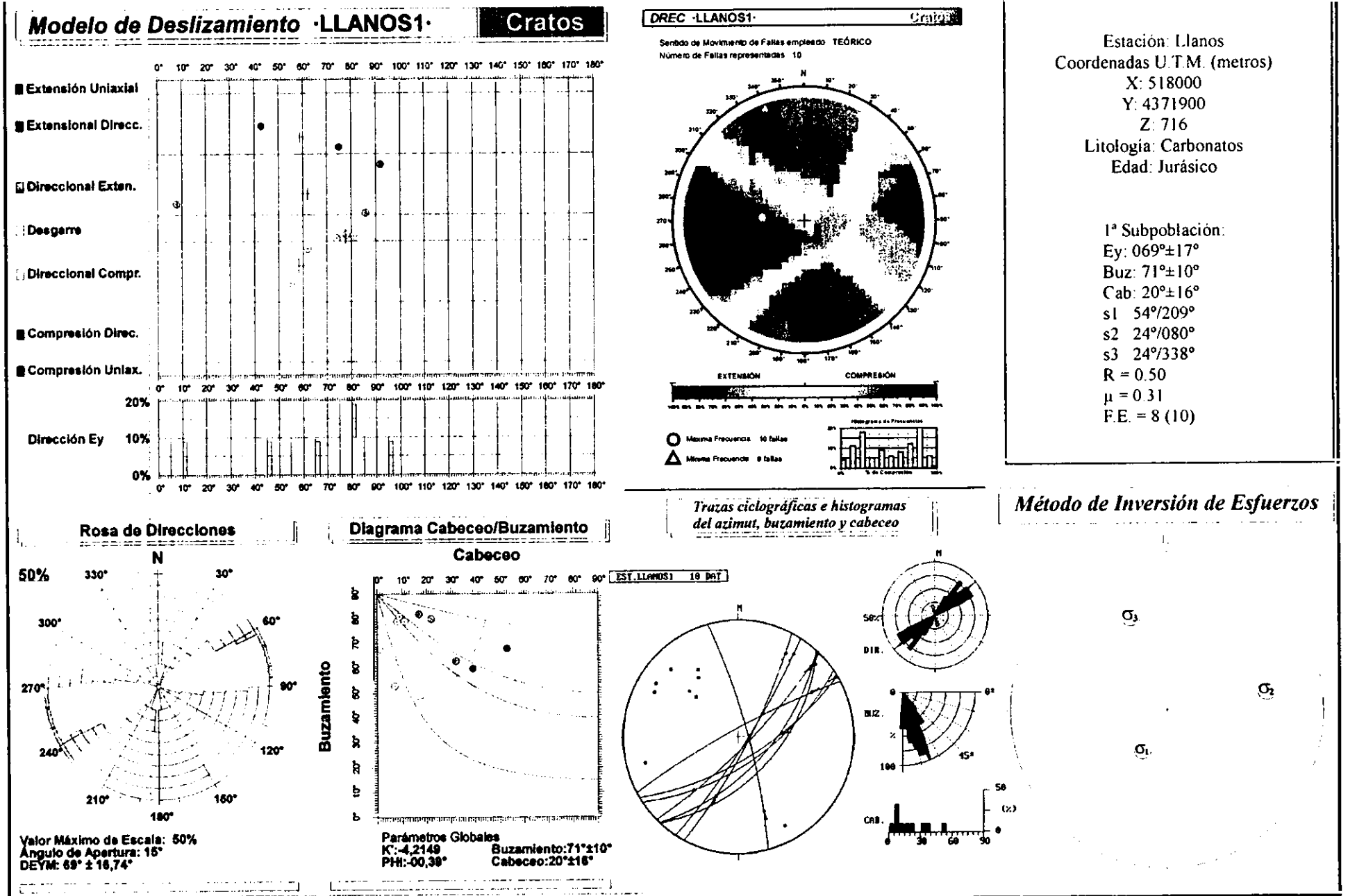
Valor Máximo de Escala: 50%
Ángulo de Apertura: 15°
DEYM: 32° ± 8,90°

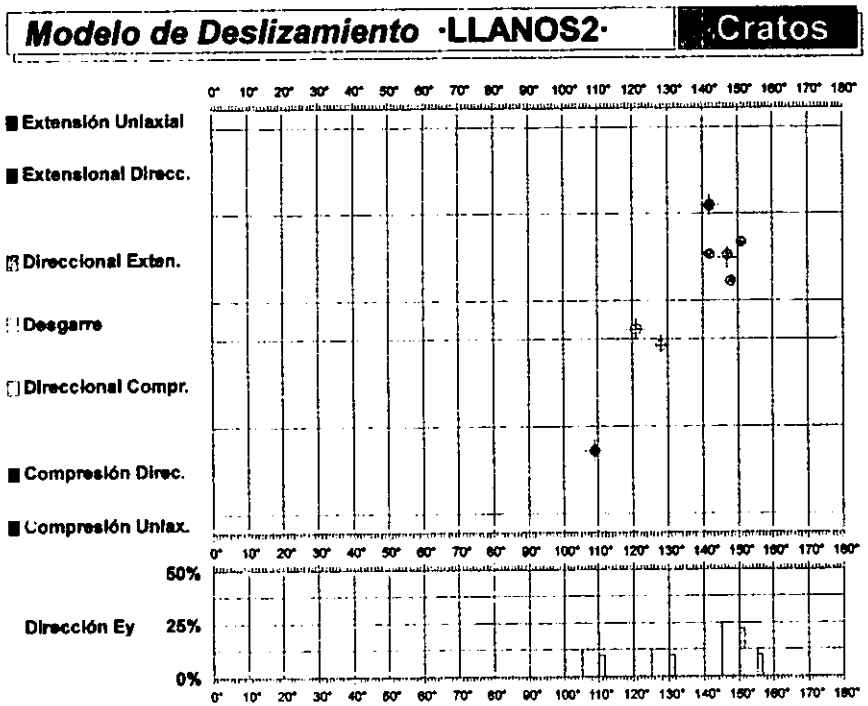
Diagrama Cabeceo/Buzamiento

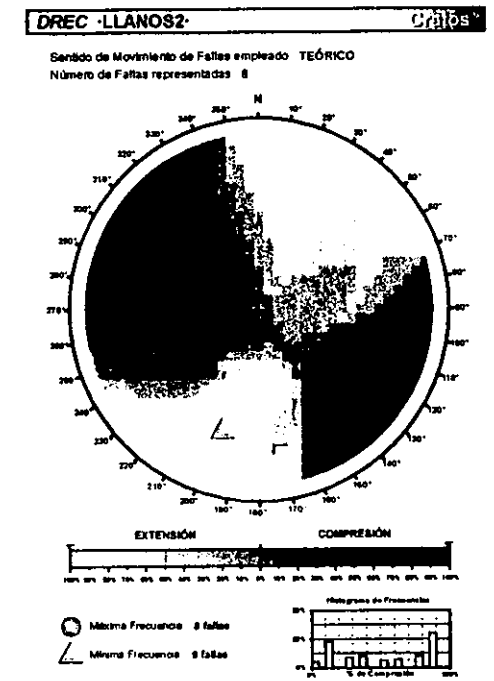


Parámetros Globales
K':-4,0662 Buzamiento:78°±06°
PHI:51,90° Cabeceo:38°±22°




Modelo de Deslizamiento ·LLANOS1·
Cratos
Extensión Uniaxial
Extensional Direcc.
Direccional Exten.
Desgarre
Direccional Compr.
Compresión Direc.
Compresión Uniax.
Dirección Ey
20%
10%
0%
DREC ·LLANOS1·
Cratos
Sentido de Movimiento de Fallas empleado TEÓRICO
Número de Fallas representadas 10
EXTENSIÓN
COMPRESIÓN
Máxima Frecuencia 10 fallas
Mínima Frecuencia 9 fallas
Estación: Llanos
Coordenadas U.T.M. (metros)
X: 518000
Y: 4371900
Z: 716
Litología: Carbonatos
Edad: Jurásico
1ª Subpoblación:
Ey: 069°±17°
Buz: 71°±10°
Cab: 20°±16°
s1 54°/209°
s2 24°/080°
s3 24°/338°
R = 0.50
μ = 0.31
F.E. = 8 (10)
Trazas ciclográficas e histogramas del azimut, buzamiento y cabeceo
Método de Inversión de Esfuerzos
Rosa de Direcciones
50%
Valor Máximo de Escala: 50%
Ángulo de Apertura: 15°
DEYM: 69° ± 16,74°
Diagrama Cabeceo/Buzamiento
Cabeceo
Buzamiento
EST.LLANOS1 10 DAT
Parámetros Globales
K':-4,2149
Buzamiento:71°±10°
PHI:-00,38°
Cabeceo:20°±16°
DIR.
BUZ.
CAB.
σ3
σ2
σ1



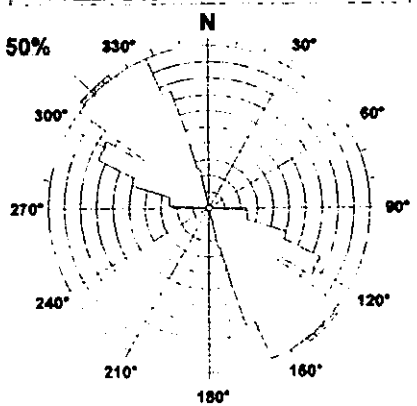


Estación: Llanos
Coordenadas U.T.M. (metros)
X: 518000
Y: 4371900
Z: 716
Litología: Carbonatos
Edad: Jurásico

2ª Subpoblación:
Ey: 137°±7°
Buz: 76°±10°
Cab: 28°±14°
s1 --°/---°
s2 --°/---°
s3 --°/---°
R = ---
μ = ---
F.E. = 0 (8)

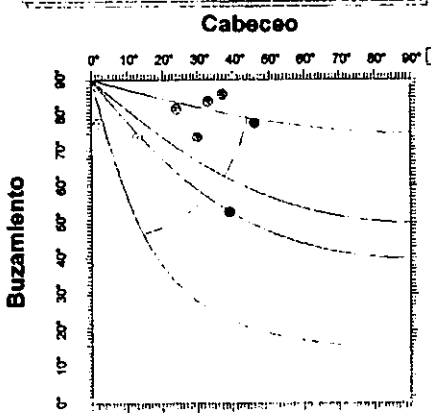
Trazas cicloográficas e histogramas del azimut, buzamiento y cabeceo

Rosa de Direcciones

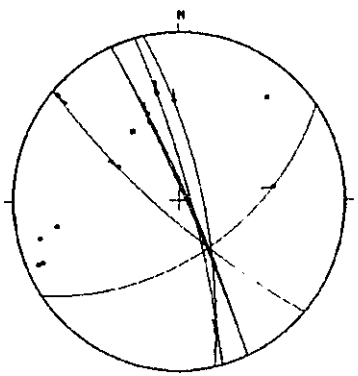


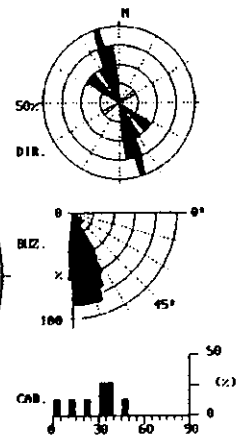
Valor Máximo de Escala: 50%
Ángulo de Apertura: 15°
DEYM: 136° ± 7,11°

Diagrama Cabeceo/Buzamiento

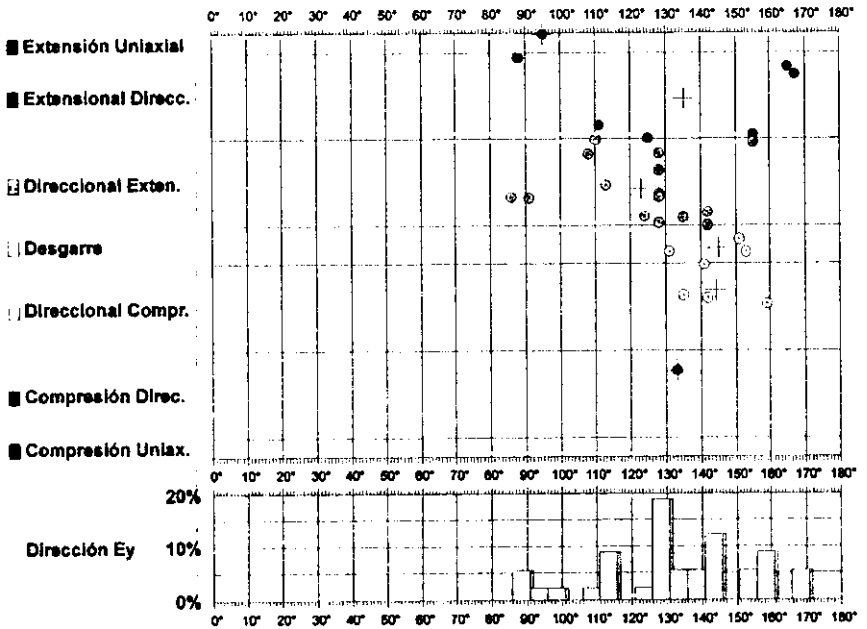


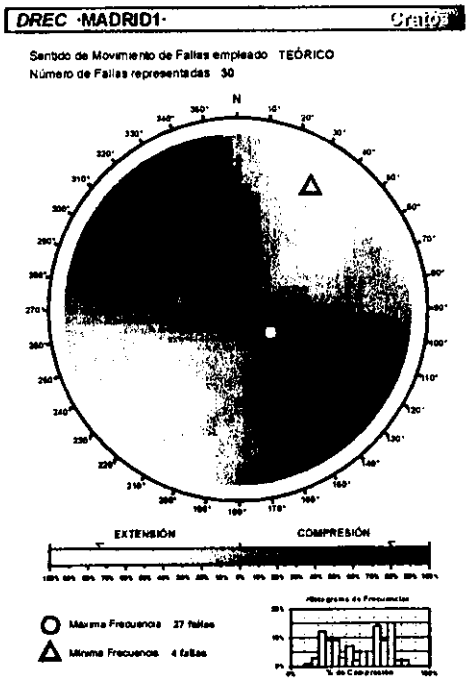
Parámetros Globales
K':-5,7487
PHI:34,05°
Buzamiento:76°±10°
Cabeceo:28°±14°





Modelo de Deslizamiento ·MADRID1· Cratos



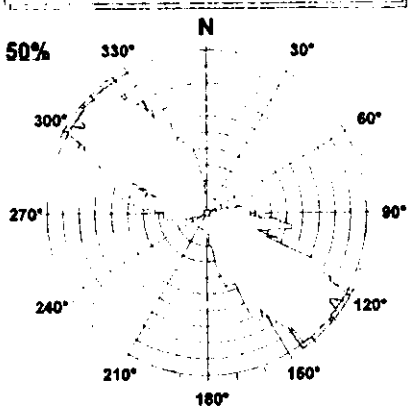


Estación: Madrid
Coordenadas U.T.M. (metros)
X: 456000
Y: 4377560
Z: 790
Litología: Basamento hercínico
Edad: Paleozoico

1ª Subpoblación:	
Ey: 131°±14°	Ey: 131°±14°
Buz: 74°±10°	Buz: 74°±10°
Cab: 31°±19°	Cab: 31°±19°
s1 86°/161°	s1 02°/341°
s2 02°/300°	s2 74°/081°
s3 02°/030°	s3 15°/250°
R = 0.61	R = 0.55
μ = 0.31	μ = 0.31
F.E. = 17 (30)	F.E. = 8 (30)

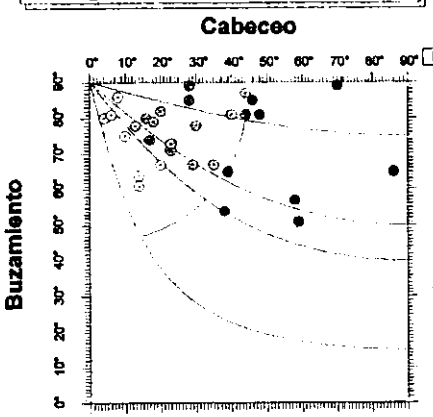
Trazas ciclográficas e histogramas del azimut, buzamiento y cabeceo

Rosa de Direcciones

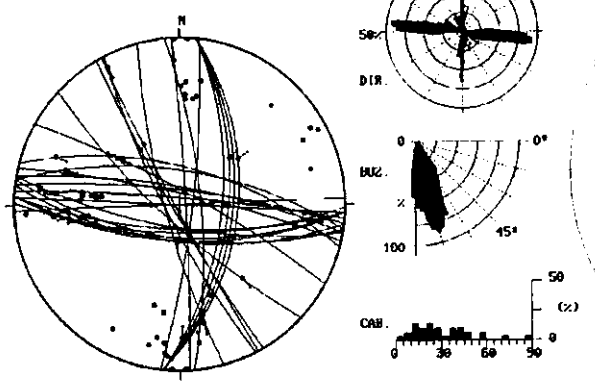


Valor Máximo de Escala: 50%
Ángulo de Apertura: 15°
DEYM: 131° ± 13,79°

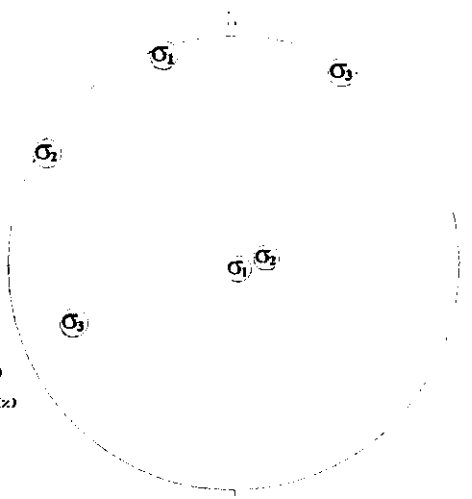
Diagrama Cabeceo/Buzamiento



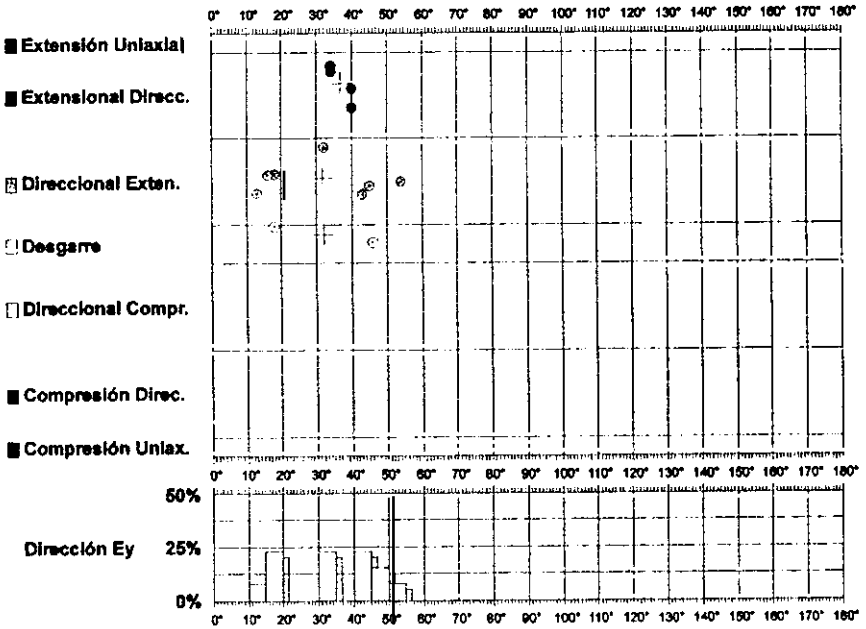
Parámetros Globales
K':-6,8706 Buzamiento:74°±10°
PHI:31,79° Cabeceo:31°±19°

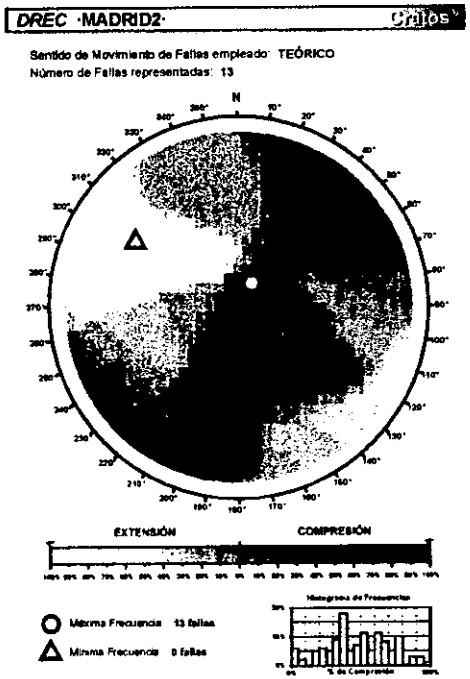


Método de Inversión de Esfuerzos



Modelo de Deslizamiento ·MADRID2· Cratos

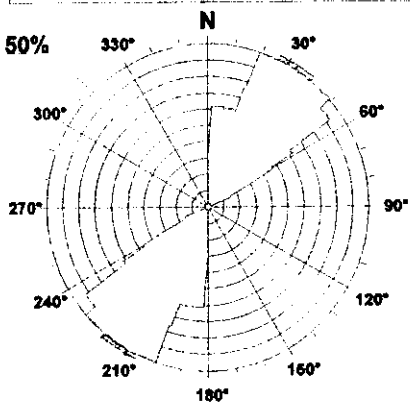




Estación: Madrid
Coordenadas U.T.M. (metros)
X: 456000
Y: 4377560
Z: 790
Litología: Basamento hercínico
Edad: Paleozoico

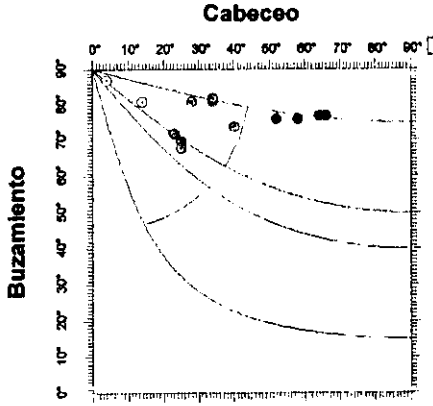
2ª Subpoblación:
Ey: 033°±7°
Buz: 77°±5°
Cab: 36°±18°
s1 85°/250°
s2 03°/028°
s3 02°/118°
R = 0.68
μ = 0.40
F.E. = 13 (13)

Rosa de Direcciones



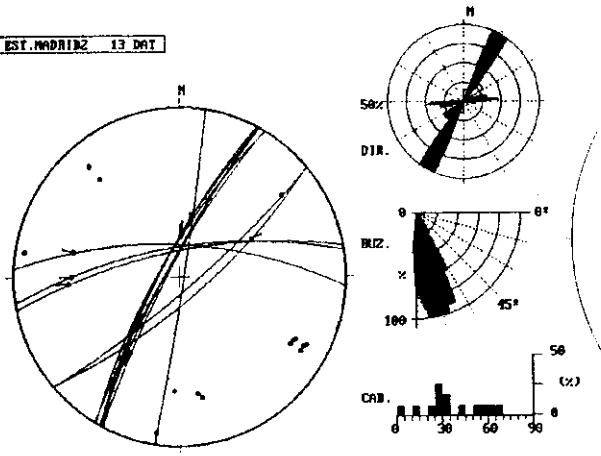
Valor Máximo de Escala: 50%
Ángulo de Apertura: 15°
DEYM: 33° ± 7,14°

Diagrama Cabeceo/Buzamiento

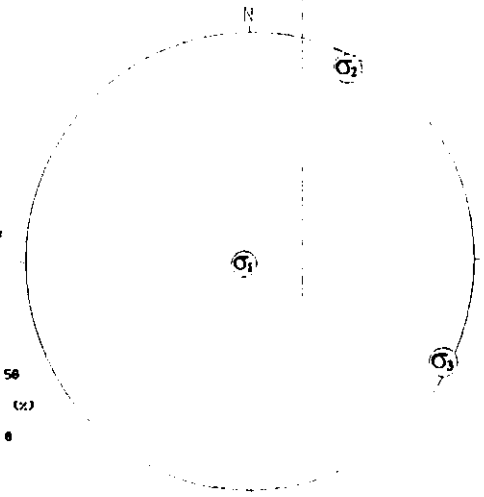


Parámetros Globales
K':24,5646
PHI:47,11°
Buzamiento:77°±06°
Cabeceo:36°±18°

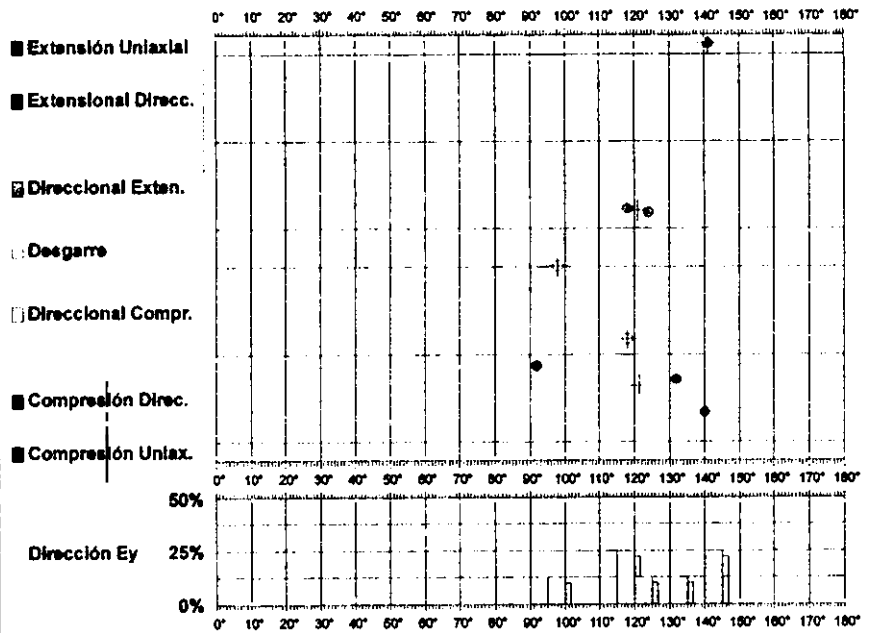
Trazas ciclográficas e histogramas del azimut, buzamiento y cabeceo

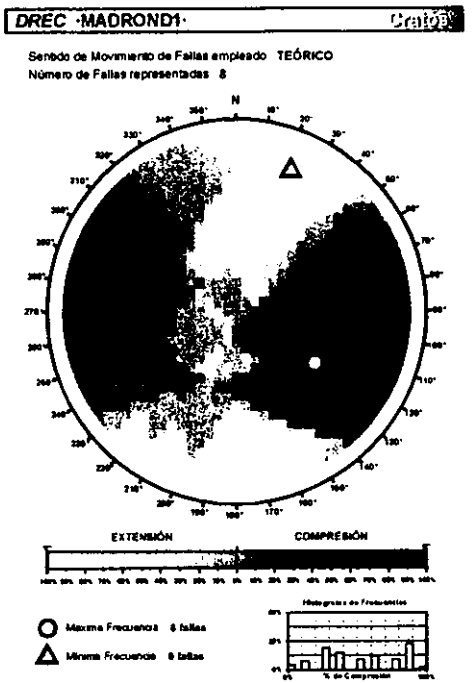


Método de Inversión de Esfuerzos



Modelo de Deslizamiento ·MADROND1· Cratos





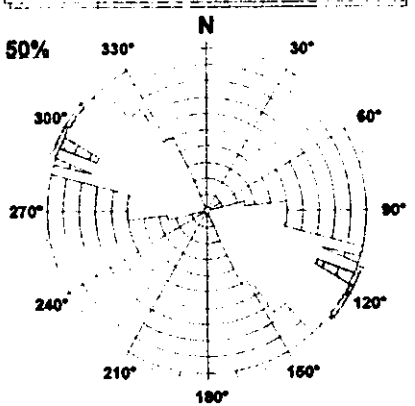
Estación: Madrond
Coordenadas U.T.M. (metros)
X: 189300
Y: 4388600
Z: 370
Litología: Dique básico
Edad: Jurásico

1ª Subpoblación:
Ey: 121°±10°
Buz: 62°±14°
Cab: 33°±21°
s1 06°/130°
s2 53°/229°
s3 35°/035°
R = 0.15
μ = 0.61
F.E. = 7 (8)

Trazas ciclográficas e histogramas del azimut, buzamiento y cabeceo

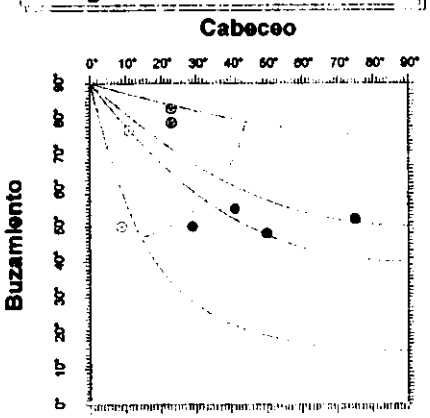
Método de Inversión de Esfuerzos

Rosa de Direcciones

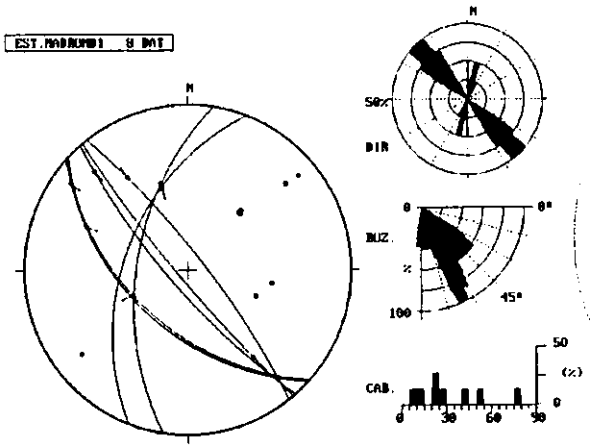


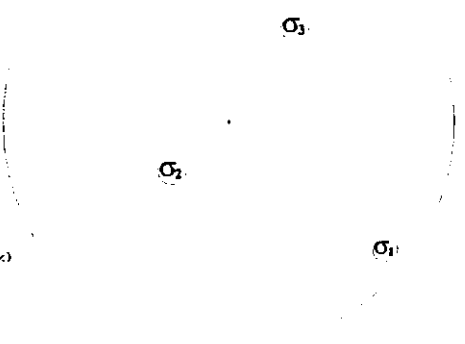
Valor Máximo de Escala: 50%
Ángulo de Apertura: 15°
DEYM: 121° ± 10,26°

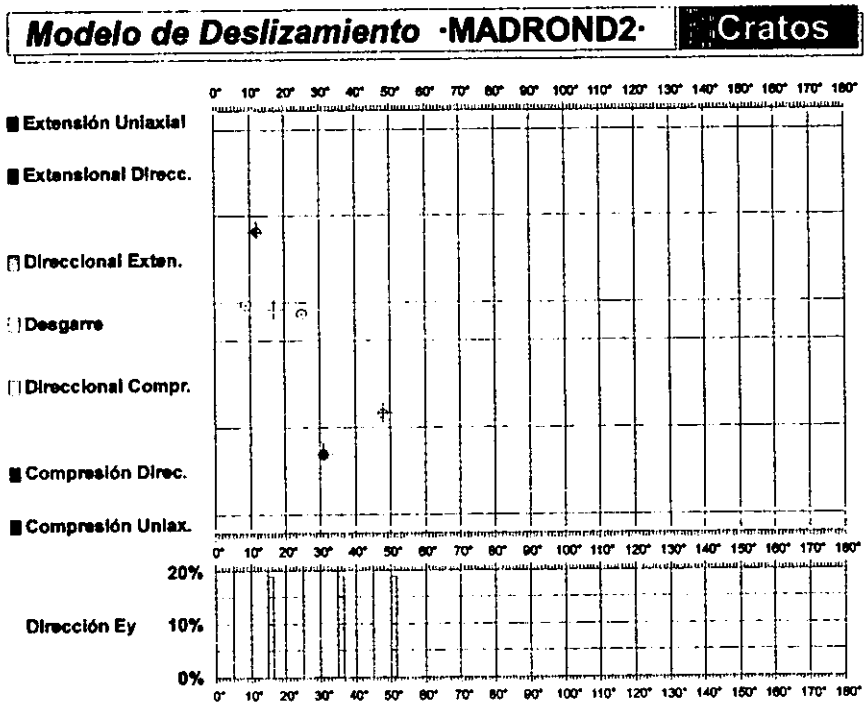
Diagrama Cabeceo/Buzamiento

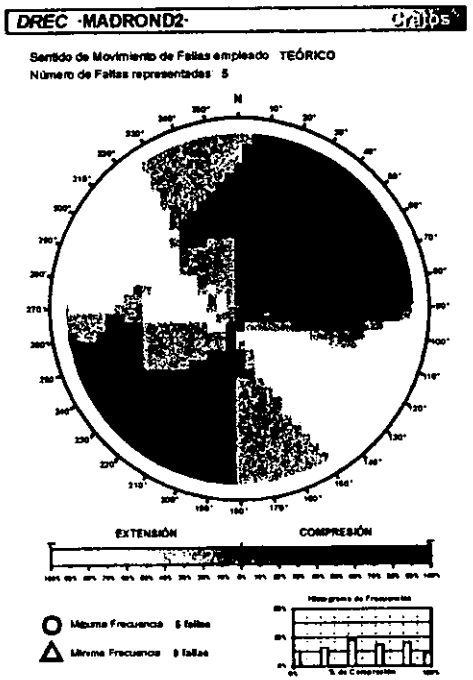


Parámetros Globales
K':-2,1724 Buzamiento:62°±14°
PHI:01,38° Cabeceo:33°±21°







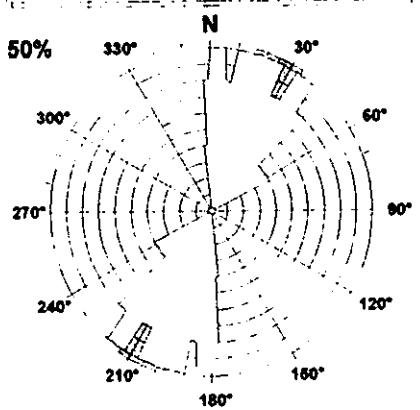


Estación: Madrond
Coordenadas U.T.M. (metros)
X: 189300
Y: 4388600
Z: 370
Litología: Dique básico
Edad: Jurásico

2ª Subpoblación:
Ey: 025°±9°
Buz: 67°±19°
Cab: 16°±12°
s1 19°/022°
s2 69°/222°
s3 06°/115°
R = 0.11
μ = 0.31
F.E. = 5 (5)

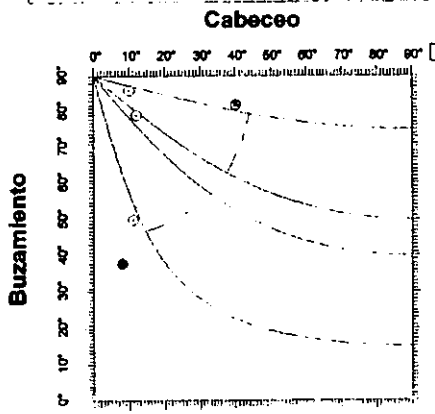
Trazas ciclográficas e histogramas del azimut, buzamiento y cabeceo

Rosa de Direcciones

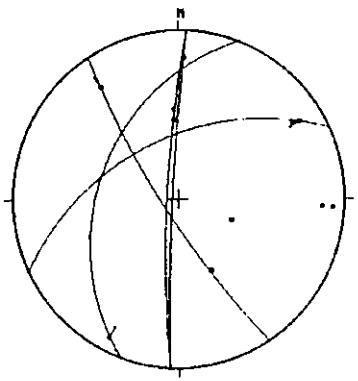


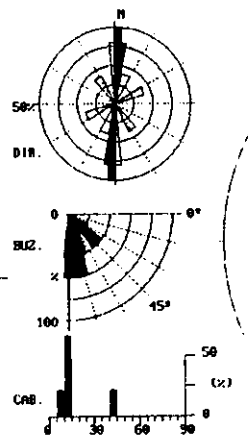
Valor Máximo de Escala: 50%
Ángulo de Apertura: 15°
DEYM: 25° ± 6,82°

Diagrama Cabeceo/Buzamiento

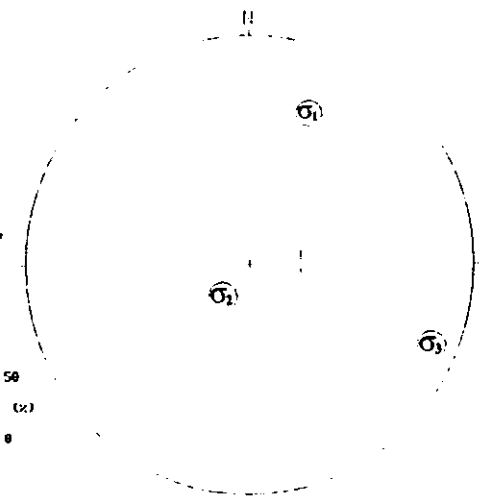


Parámetros Globales
K°:4,3008 Buzamiento:67°±19°
PHI:-24,00° Cabeceo:16°±12°

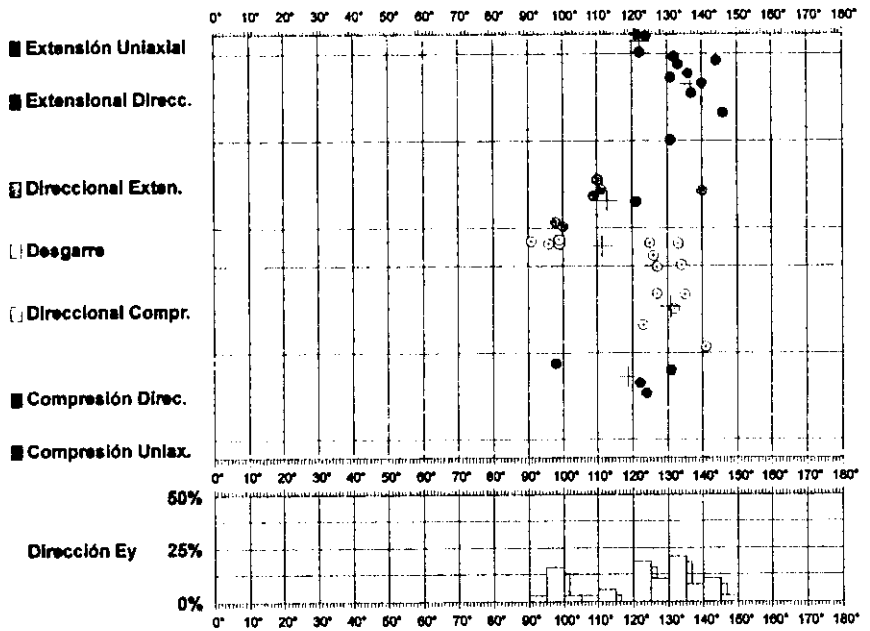


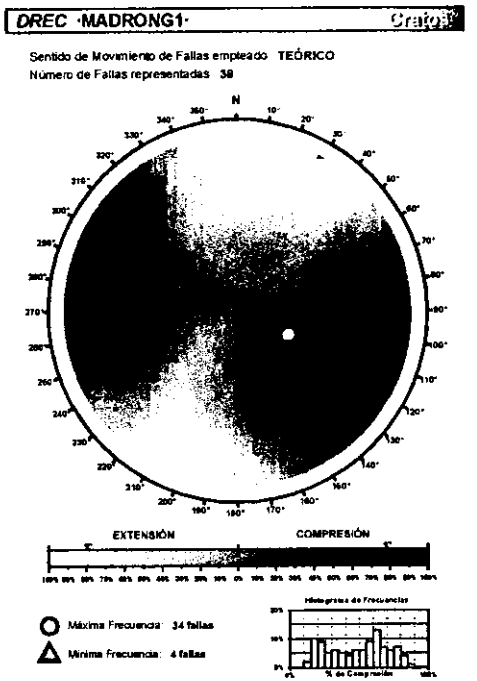


Método de Inversión de Esfuerzos



Modelo de Deslizamiento ·MADRONG1· Cratos



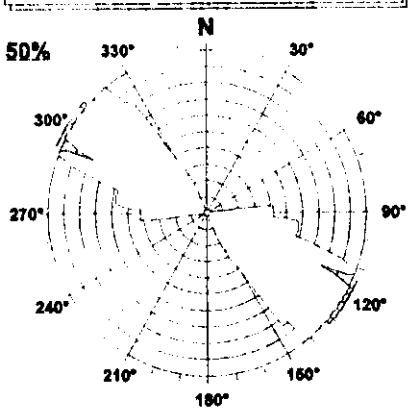


Estación: Madrong
Coordenadas U.T.M. (metros)
X: 189300
Y: 4388600
Z: 370
Litología: Basamento hercínico
Edad: Paleozoico

1ª Subpoblación:	
Ey: 123°±9°	Ey: 123°±9°
Buz: 73°±14°	Buz: 73°±14°
Cab: 32°±25°	Cab: 32°±25°
s1 00°/293°	s1 77°/112°
s2 88°/058°	s2 09°/333°
s3 00°/203°	s3 07°/242°
R = 0.69	R = 0.31
μ = 0.31	μ = 0.61
F.E. = 27 (38)	F.E. = 9 (38)

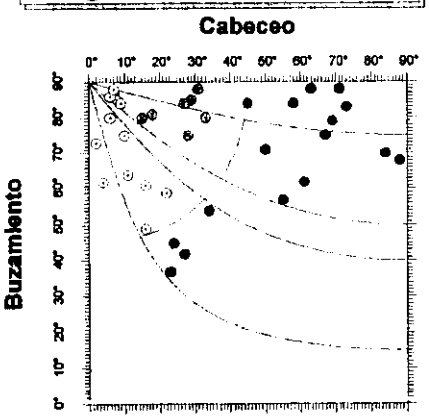
Trazas ciclográficas e histogramas del azimut, buzamiento y cabeceo

Rosa de Direcciones

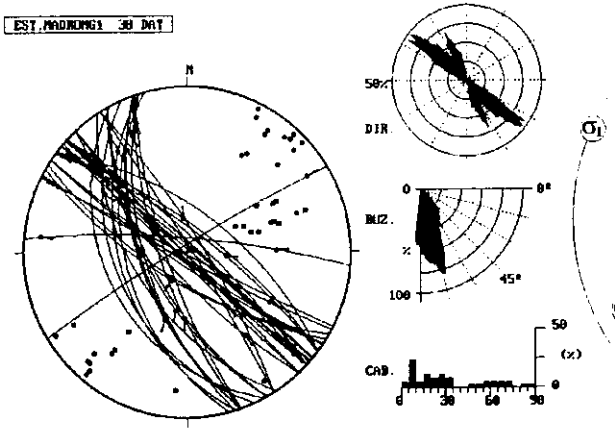


Valor Máximo de Escala: 50%
Ángulo de Apertura: 15°
DEYM: 123° ± 8,94°

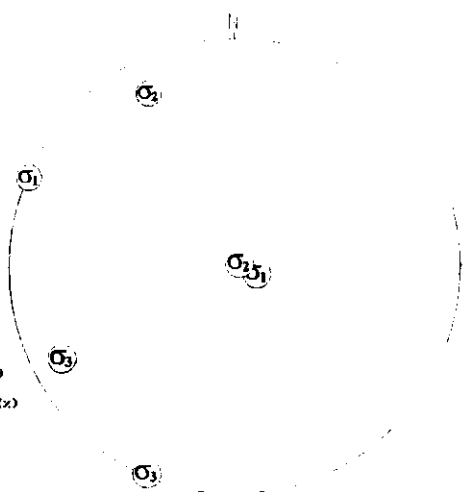
Diagrama Cabeceo/Buzamiento

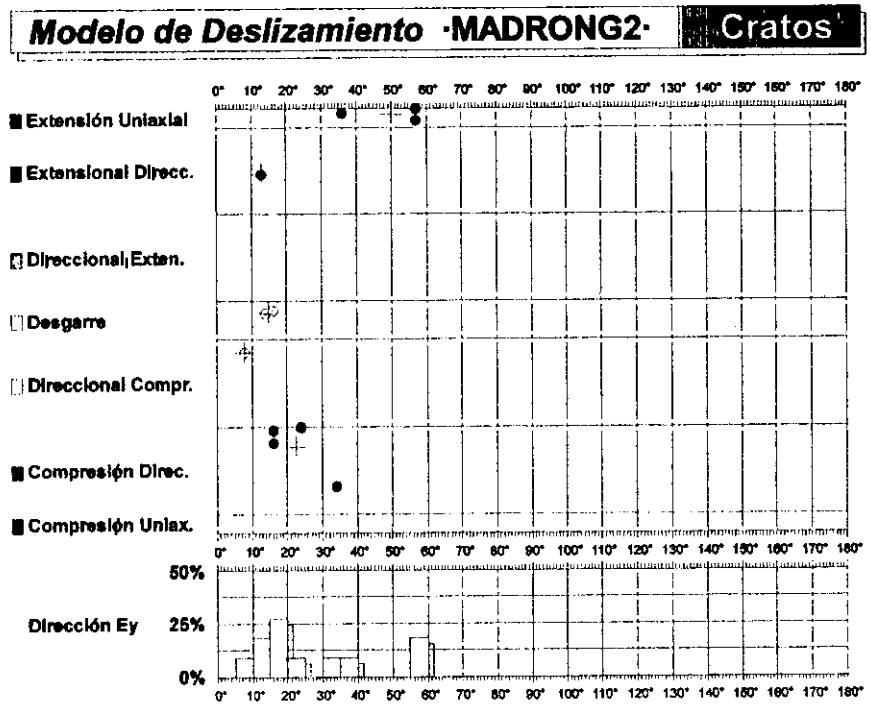


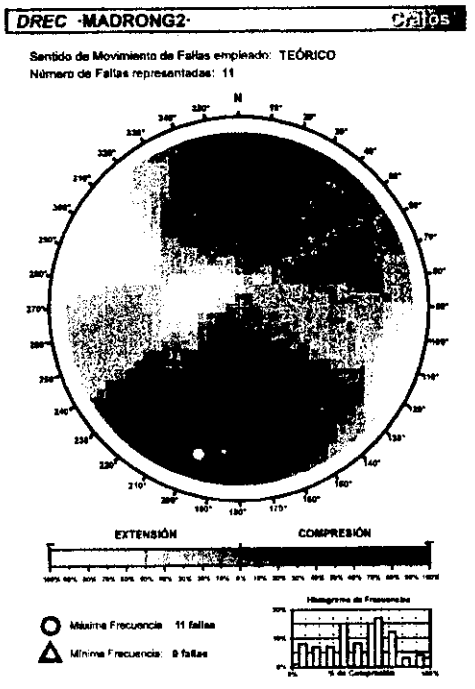
Parámetros Globales
K':6,7777
PHI:30,03°
Buzamiento:73°±14°
Cabeceo:32°±26°



Método de Inversión de Esfuerzos





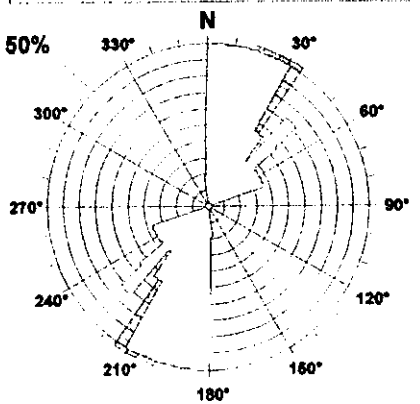


Estación: Madrong
Coordenadas U.T.M. (metros)
X: 189300
Y: 4388600
Z: 370
Litología: Basamento hercínico
Edad: Paleozoico

2ª Subpoblación:
Ey: 026°±9°
Buz: 68°±16°
Cab: 41°±28°
s1 --°/---°
s2 --°/---°
s3 --°/---°
R = ---
μ = ---
F.E. = 0 (11)

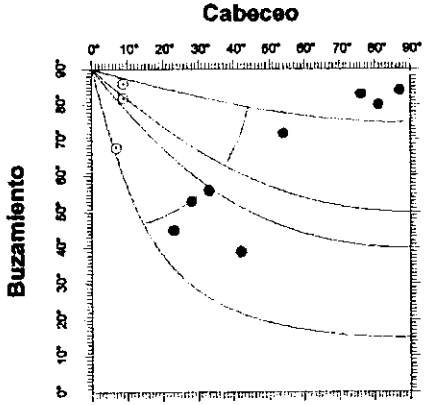
Trazas ciclográficas e histogramas del azimut, buzamiento y cabeceo

Rosa de Direcciones

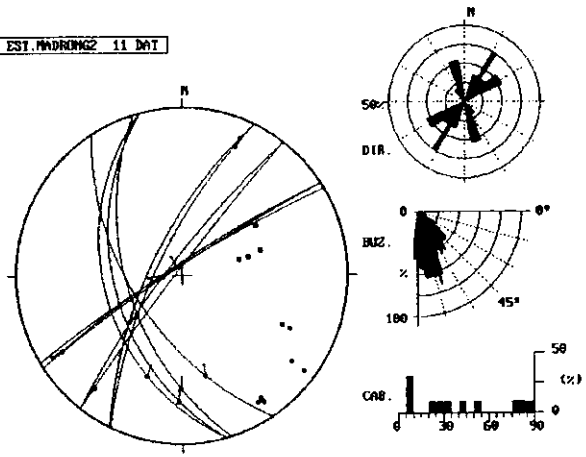


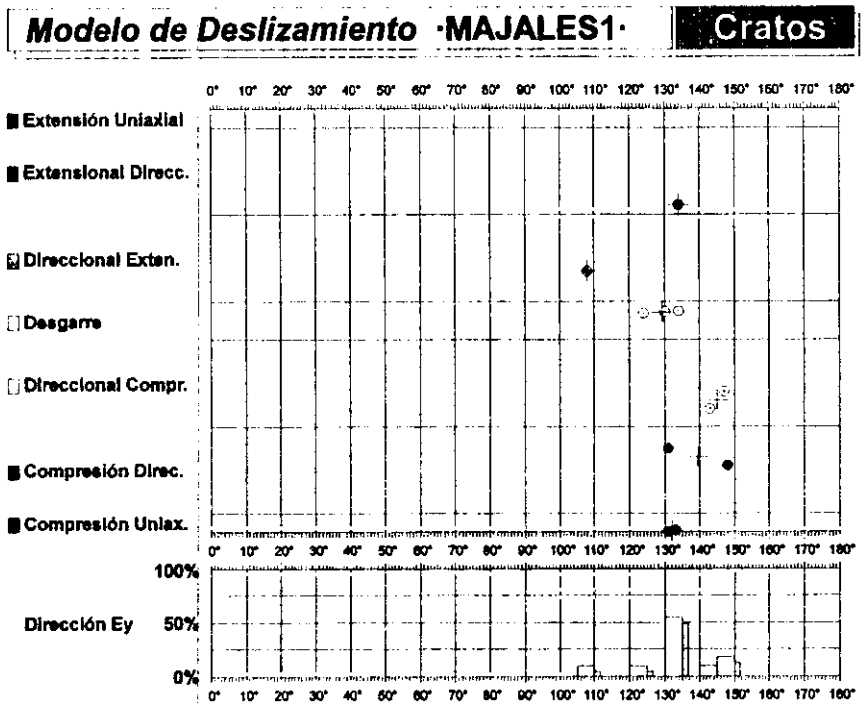
Valor Máximo de Escala: 50%
Ángulo de Apertura: 15°
DEYM: 26° ± 9,42°

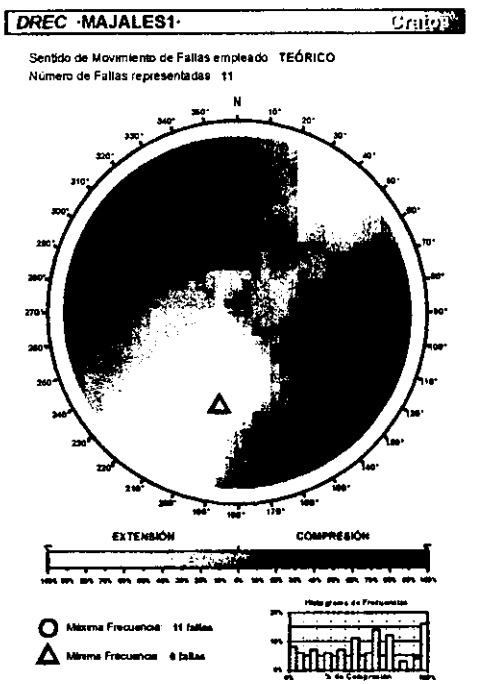
Diagrama Cabeceo/Buzamiento



Parámetros Globales
K':3,9717 Buzamiento:68°±16°
PHI:26,75° Cabeceo:41°±28°





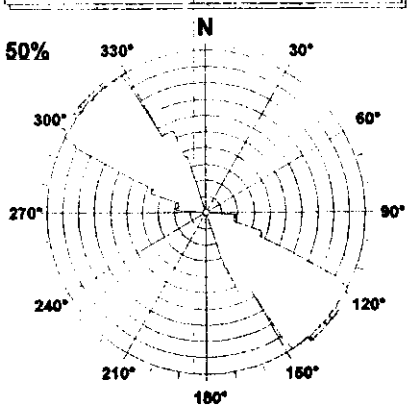


Estación: Majales
Coordenadas U.T.M. (metros)
X: 402375
Y: 4331800
Z: 760
Litología: Basamento hercínico
Edad: Paleozoico

1ª Subpoblación:
Ey: 133°±8°
Buz: 65°±18°
Cab: 36°±25°
s1 01°/306°
s2 71°/042°
s3 17°/216°
R = 0.37
μ = 0.40
F.E. = 11 (11)

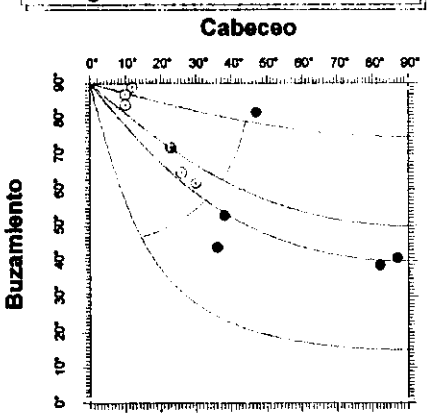
Trazas ciclográficas e histogramas del azimut, buzamiento y cabeceo

Rosa de Direcciones

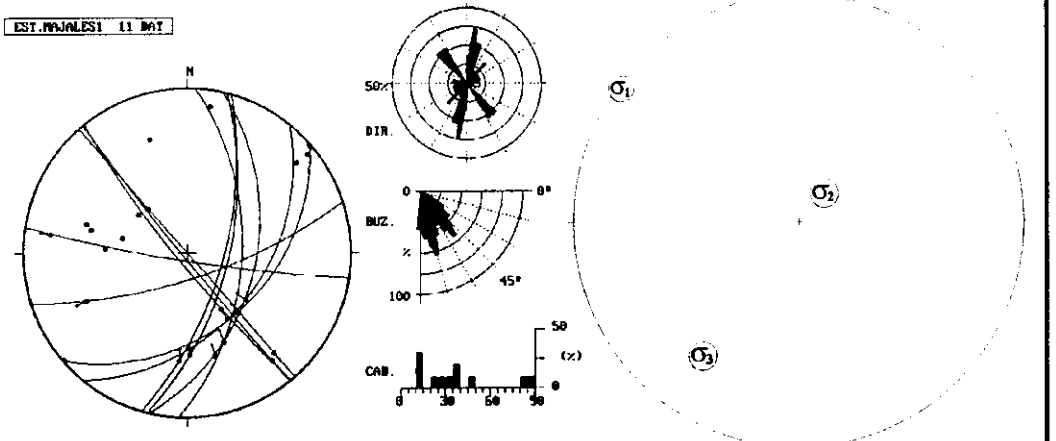


Valor Máximo de Escala: 50%
Ángulo de Apertura: 15°
DEYM: 133° ± 7,95°

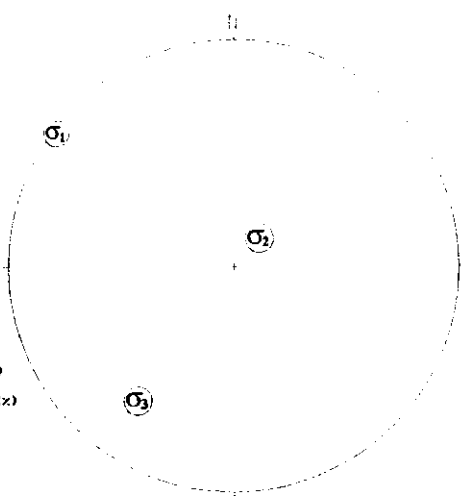
Diagrama Cabeceo/Buzamiento

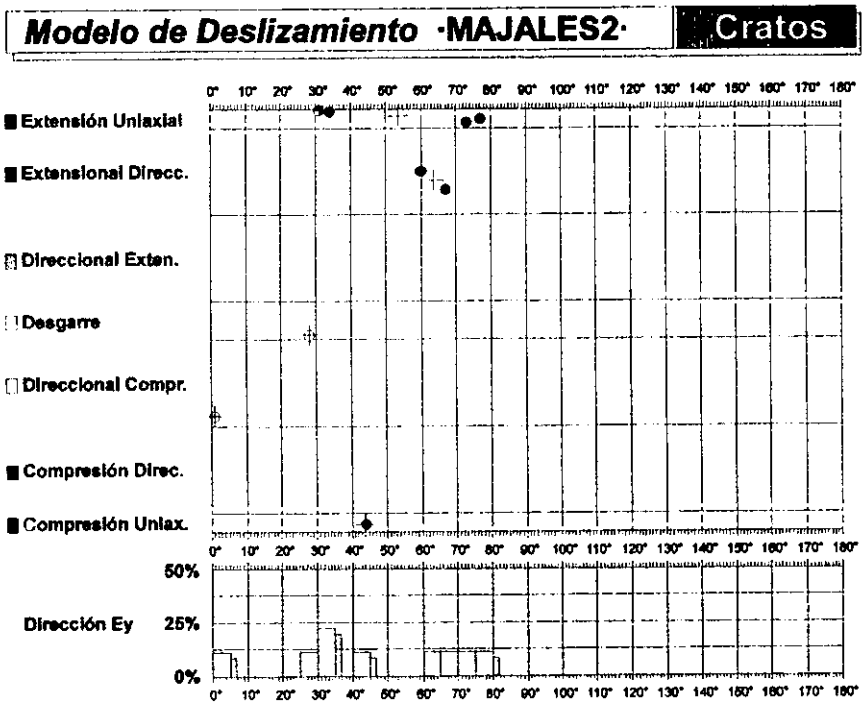


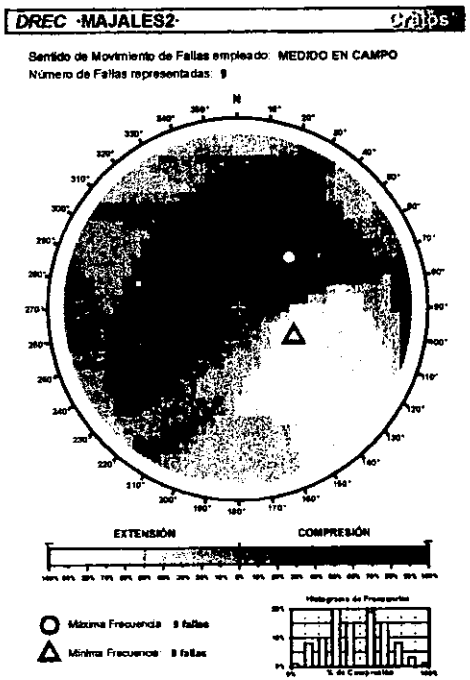
Parámetros Globales
K':3,9773 Buzamiento:65°±18°
PHI:13,15° Cabeceo:36°±25°



Método de Inversión de Esfuerzos





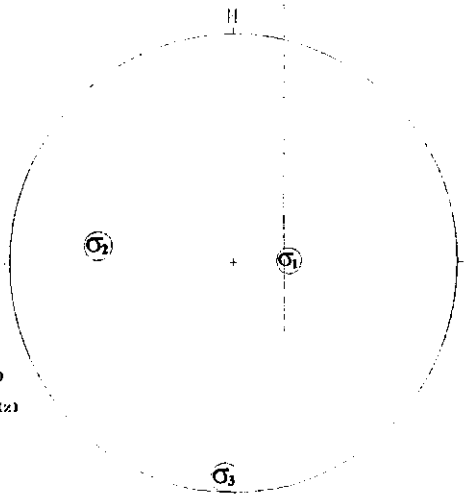


Estación: Majales
Coordenadas U.T.M. (metros)
X: 402375
Y: 4331800
Z: 760
Litología: Basamento hercínico
Edad: Paleozoico

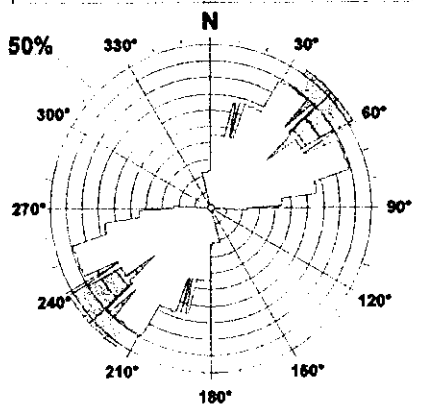
2ª Subpoblación:
Ey: 047°±12°
Buz: 68°±13°
Cab: 60°±24°
s1 62°/088°
s2 27°/276°
s3 03°/184
R = 0.04
μ = 0.40
F.E. = 5 (9)

Trazas ciclográficas e histogramas del azimut, buzamiento y cabeceo

Método de Inversión de Esfuerzos

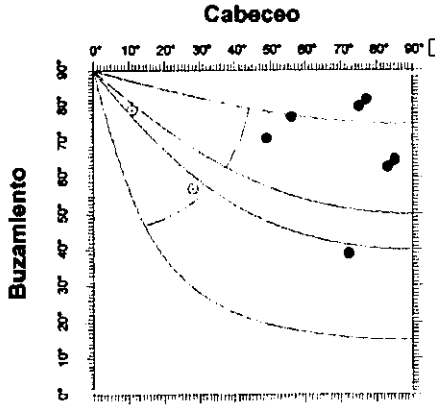


Rosa de Direcciones

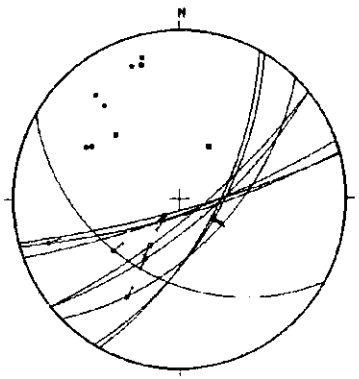


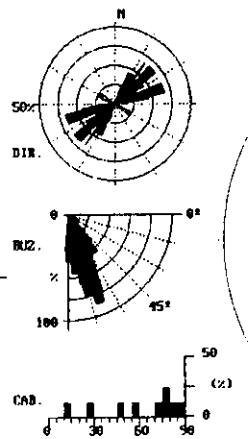
Valor Máximo de Escala: 50%
Ángulo de Apertura: 15°
DEYM: 47° ± 12,28°

Diagrama Cabeceo/Buzamiento

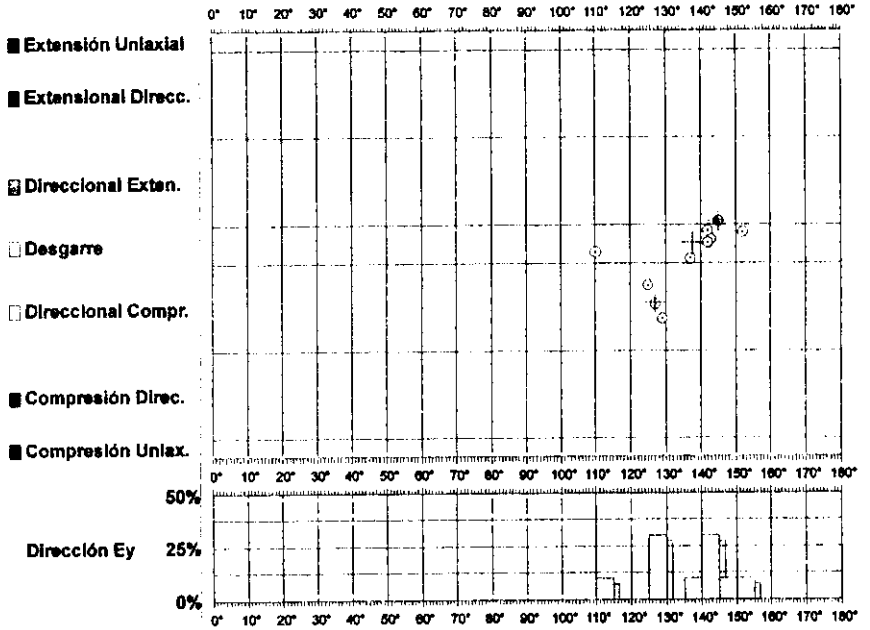


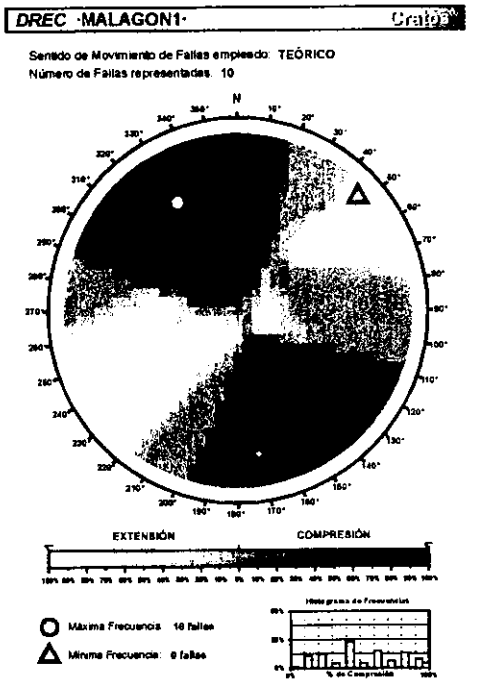
Parámetros Globales
K':-3,3361
PHI:39,98°
Buzamiento:68°±13°
Cabeceo:60°±24°





Modelo de Deslizamiento ·MALAGON1· Cratos



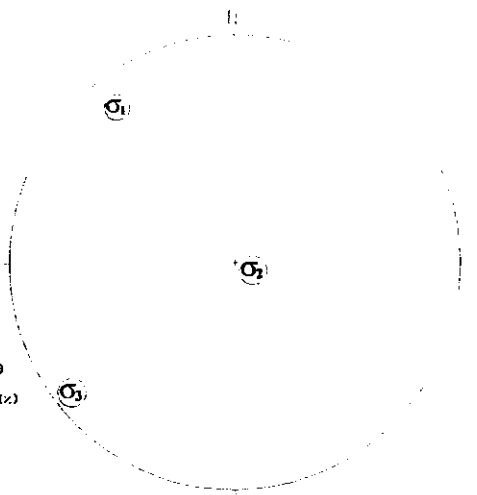


Estación: Malagon
Coordenadas U.T.M. (metros)
X: 428100
Y: 4339800
Z: 640
Litología: Basamento hercínico
Edad: Paleozoico

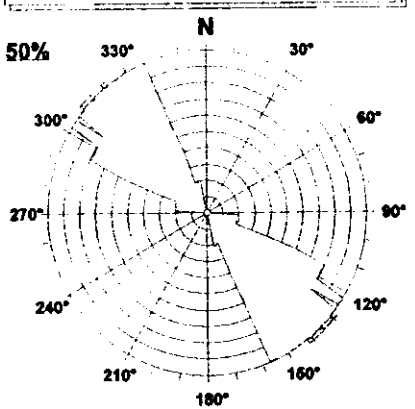
1ª Subpoblación:
Ey: 135°±7°
Buz: 78°±9°
Cab: 12°±8°
s1 09°/322°
s2 79°/120°
s3 03°/231°
R = 0.45
μ = 0.31
F.E. = 10 (10)

Trazas ciclográficas e histogramas del azimut, buzamiento y cabeceo

Método de Inversión de Esfuerzos

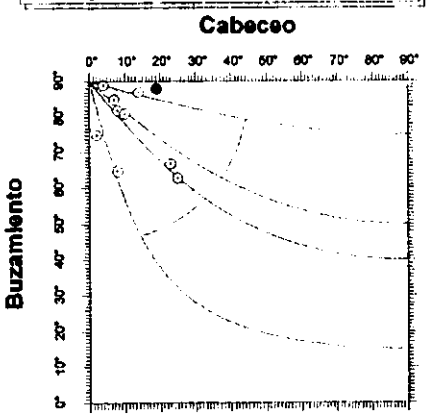


Rosa de Direcciones

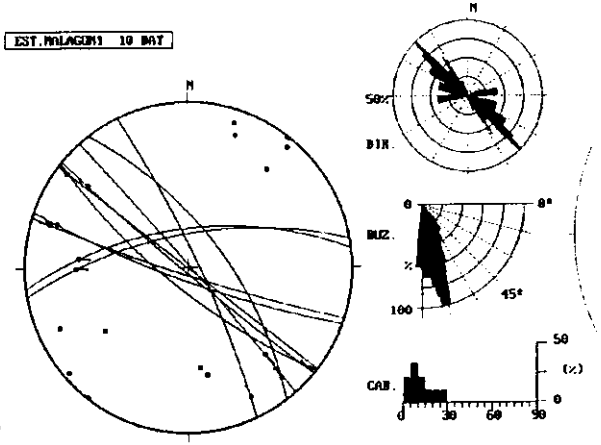


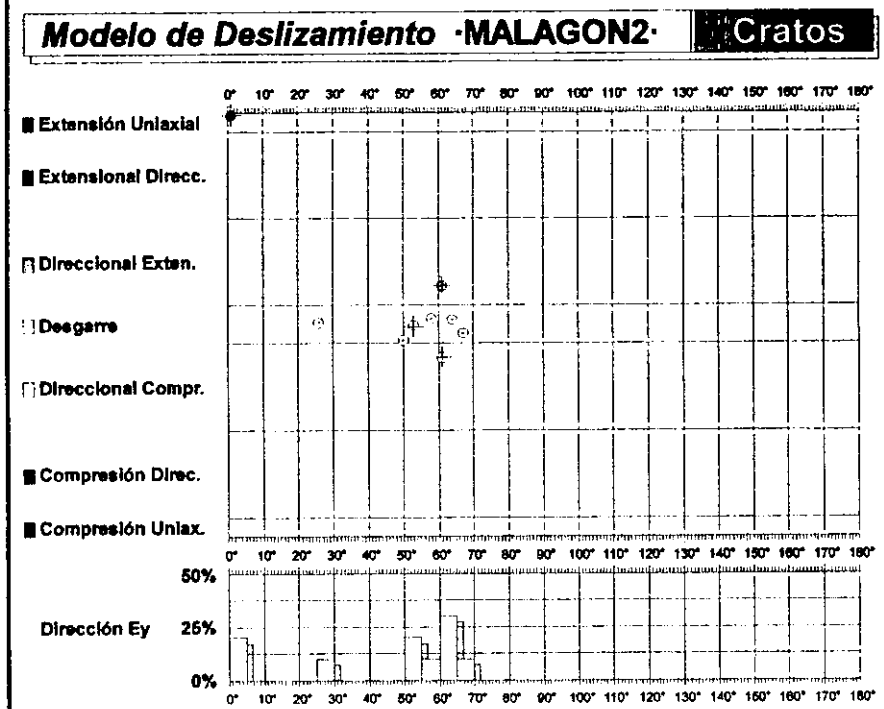
Valor Máximo de Escala: 50%
Ángulo de Apertura: 15°
DEYM: 135° ± 6,64°

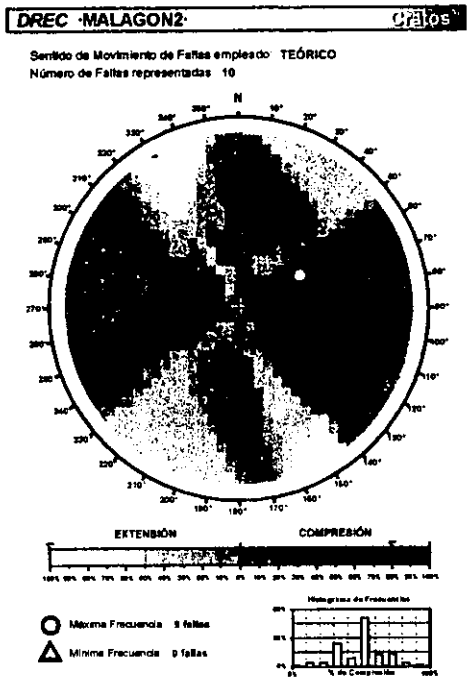
Diagrama Cabeceo/Buzamiento



Parámetros Globales
K':18,7049 Buzamiento:78°±09°
PHI:-01,27° Cabeceo:12°±06°



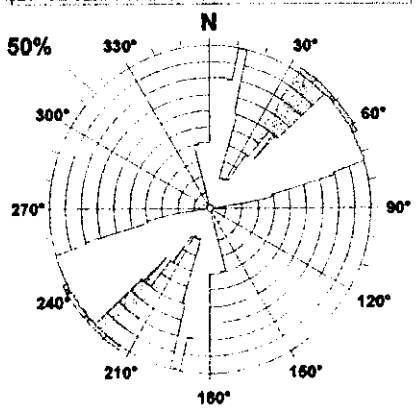


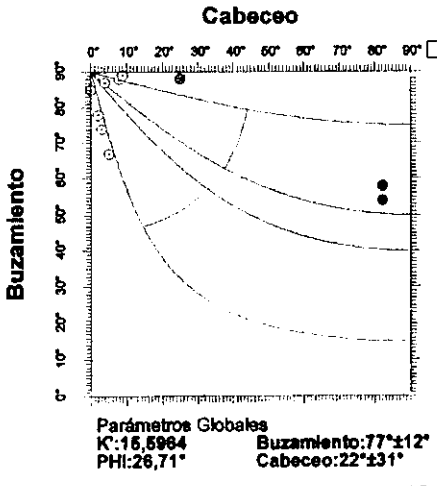


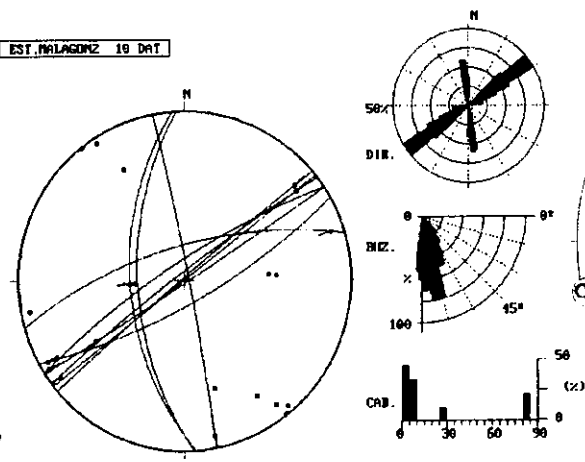
Estación: Malagon
Coordenadas U.T.M. (metros)
X: 428100
Y: 4339800
Z: 640
Litología: Basamento hercínico
Edad: Paleozoico

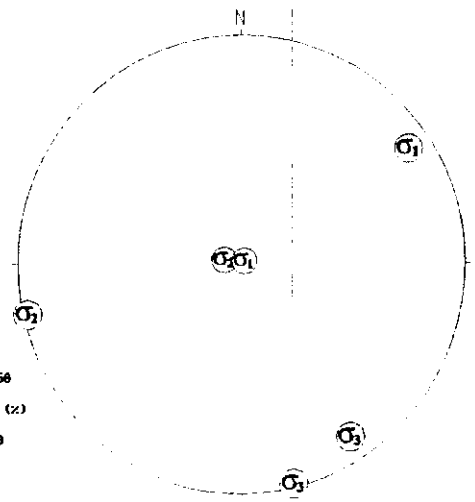
2ª Subpoblación:	
Ey: 048°±15°	Ey: 048°±15°
Buz: 77°±12°	Buz: 77°±12°
Cab: 22°±31°	Cab: 22°±31°
s1 89°/354°	s1 06°/057°
s2 00°/257°	s2 81°/279°
s3 00°/167°	s3 05°/148°
R = 0.32	R = 0.45
μ = 0.40	μ = 0.31
F.E. = 5 (10)	F.E. = 5 (10)

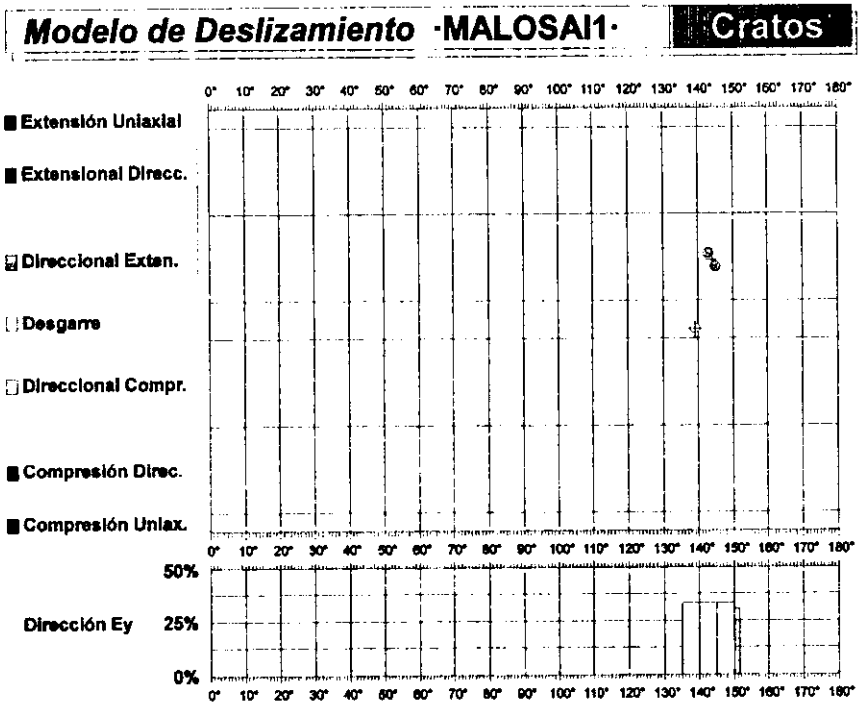
Trazas ciclográficas e histogramas del azimut, buzamiento y cabeceo

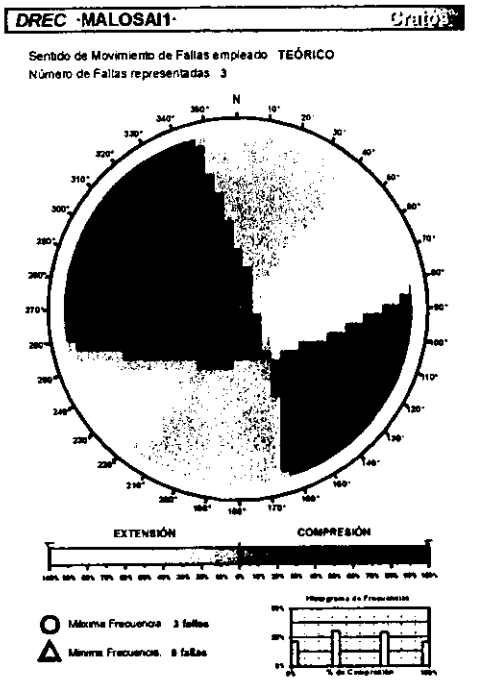








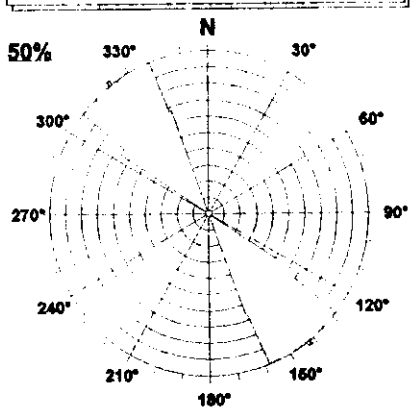


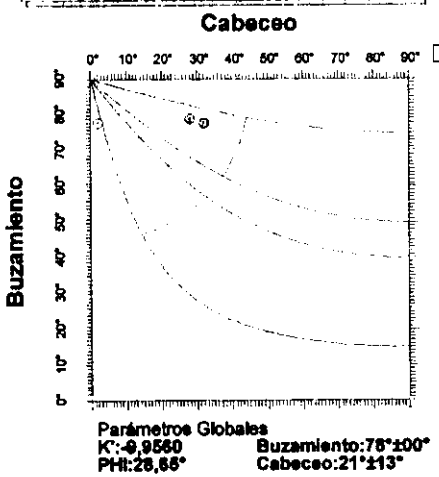


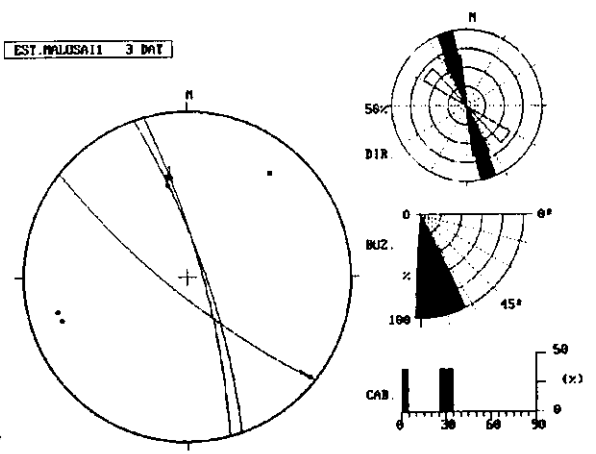
Estación: Malosai
Coordenadas U.T.M. (metros)
X: 409800
Y: 4309600
Z: 655
Litología: Carbonatos
Edad: Pleistoceno medio-superior

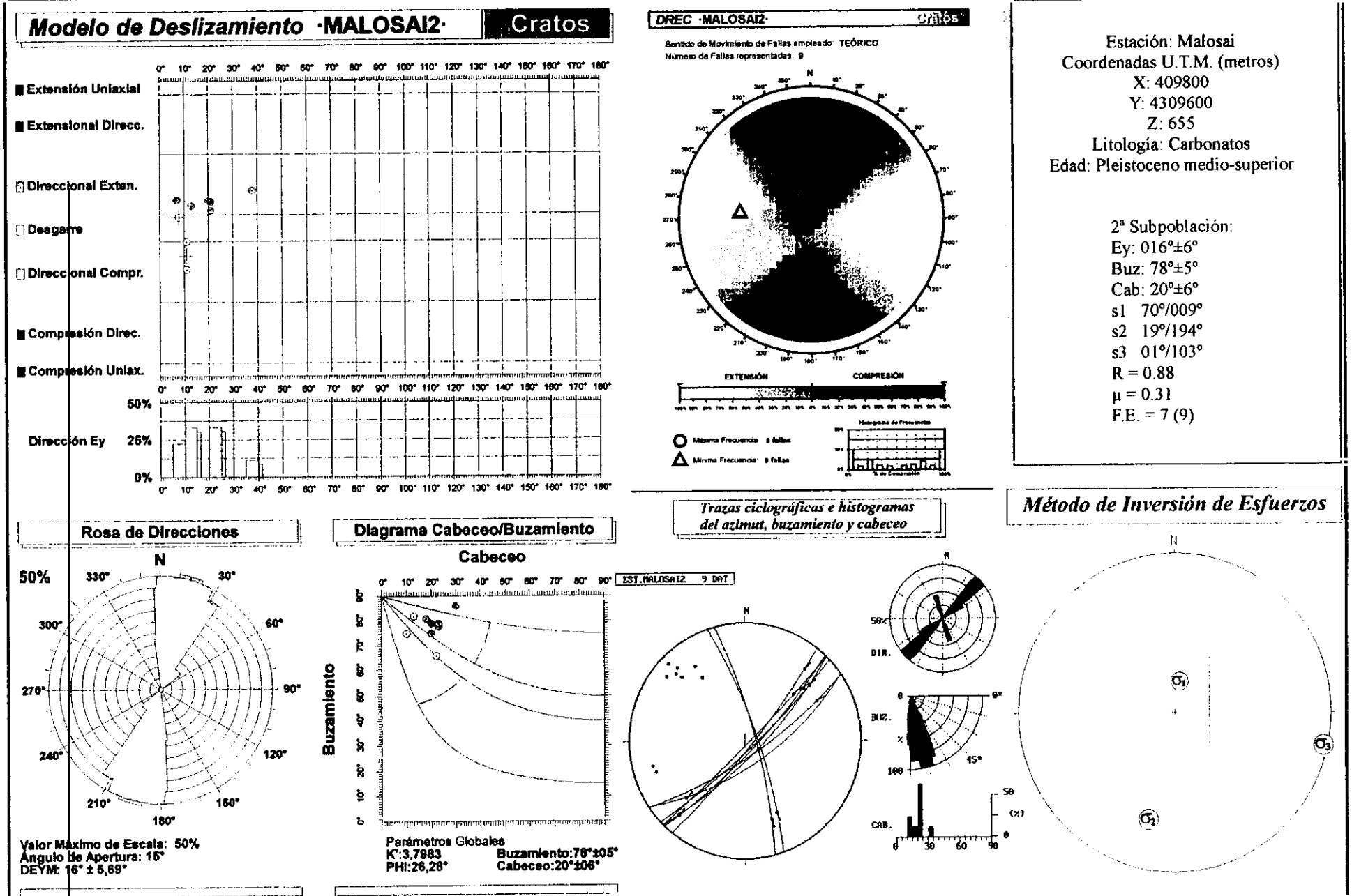
1ª Subpoblación:
Ey: 142°±2°
Buz: 78°±0°
Cab: 21°±13°
s1 --°/---°
s2 --°/---°
s3 --°/---°
R = ---
μ = ---
F.E. = 0 (3)

Trazas ciclográficas e histogramas del azimut, buzamiento y cabeceo

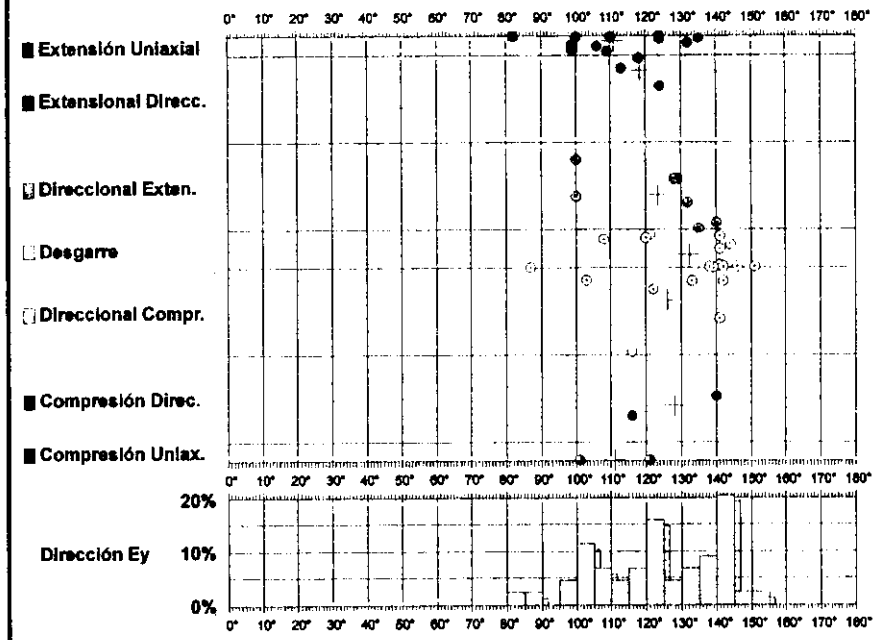


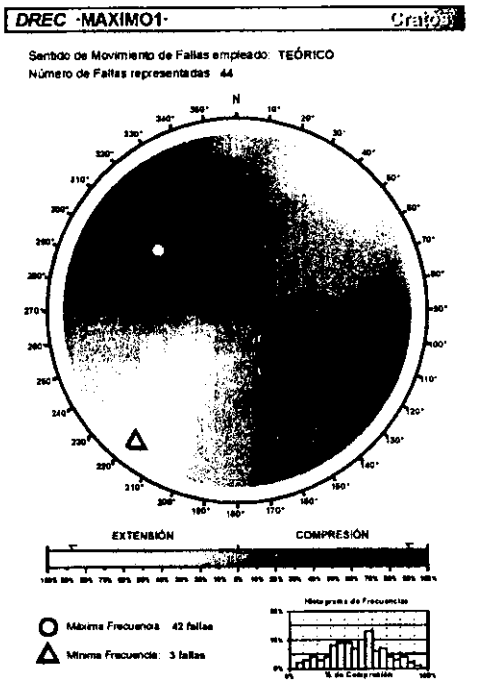





Modelo de Deslizamiento ·MALOSAI2·
Cratos
Extensión Uniaxial
Extensional Direcc.
Direccional Exten.
Deegarre
Direccional Compr.
Compresión Direc.
Compresión Uniax.
Dirección Ey
50%
25%
0%
DREC ·MALOSAI2·
Cratos
Sentido de Movimiento de Fallas empleado: TEÓRICO
Número de Fallas representadas: 9
EXTENSIÓN
COMPRESIÓN
Máxima Frecuencia: 8 fallas
Mínima Frecuencia: 0 fallas
Estación: Malosai
Coordenadas U.T.M. (metros)
X: 409800
Y: 4309600
Z: 655
Litología: Carbonatos
Edad: Pleistoceno medio-superior
2ª Subpoblación:
Ey: 016°±6°
Buz: 78°±5°
Cab: 20°±6°
s1 70°/009°
s2 19°/194°
s3 01°/103°
R = 0.88
μ = 0.31
F.E. = 7 (9)
Trazas ciclográficas e histogramas del azimut, buzamiento y cabeceo
Método de Inversión de Esfuerzos
Rosa de Direcciones
N
50%
Valor Máximo de Escala: 50%
Ángulo de Apertura: 15°
DEYM: 16° ± 5,69°
Diagrama Cabeceo/Buzamiento
Cabeceo
Buzamiento
EST.MALOSAI2 9 DAT
Parámetros Globales
K':3,7983
PHI:26,28°
Buzamiento:78°±05°
Cabeceo:20°±06°
DIR.
BUZ.
CAB.
S0
σ1
σ2
σ3

Modelo de Deslizamiento ·MAXIMO1· Cratos



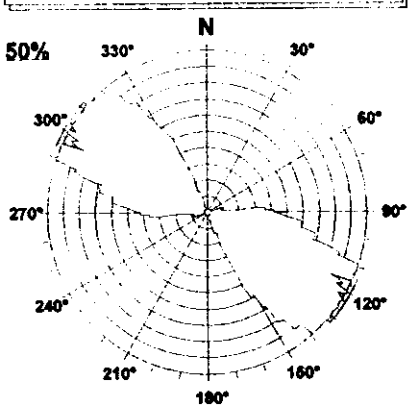


Estación: Maximo
Coordenadas U.T.M. (metros)
X: 474200
Y: 4317200
Z: 690
Litología: Carbonatos
Edad: Jurásico

1ª Subpoblación:	
Ey: 123°±9°	Ey: 123°±9°
Buz: 72°±16°	Buz: 72°±16°
Cab: 39°±31°	Cab: 39°±31°
s1 31°/130°	s1 45°/291°
s2 58°/297°	s2 28°/054°
s3 05°/036°	s3 30°/163°
R = 0.69	R = 0.49
μ = 0.31	μ = 0.31
F.E. = 26 (44)	F.E. = 11 (44)

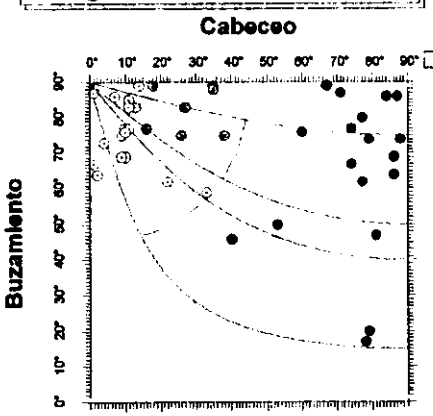
Trazas cicloográficas e histogramas del azimut, buzamiento y cabeceo

Rosa de Direcciones

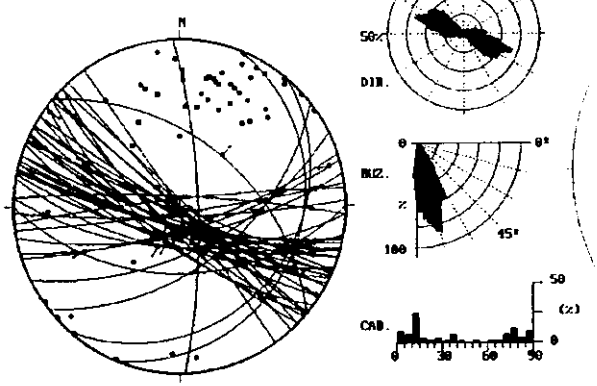


Valor Máximo de Escala: 50%
Ángulo de Apertura: 15°
DEYM: 123° ± 9,29°

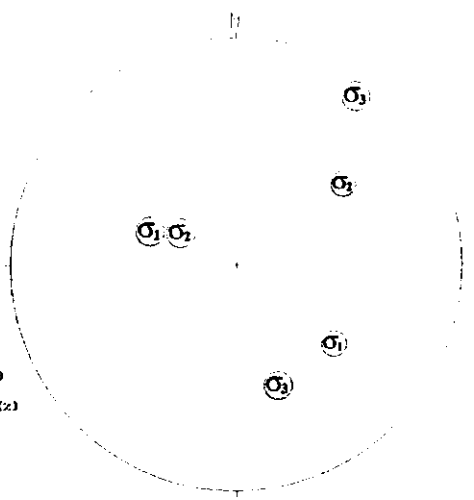
Diagrama Cabeceo/Buzamiento

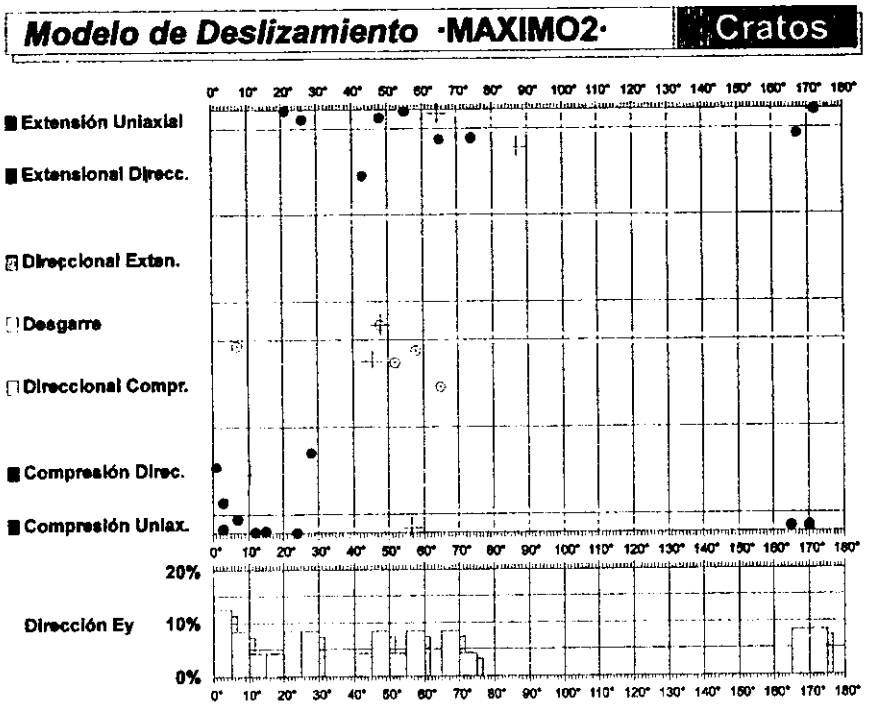


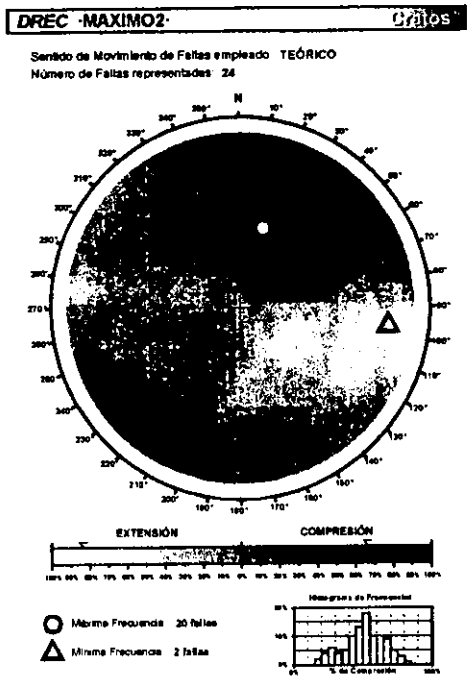
Parámetros Globales
K':-6,2625 Buzamiento:72°±16°
PHI:36,36° Cabeceo:39°±31°



Método de Inversión de Esfuerzos





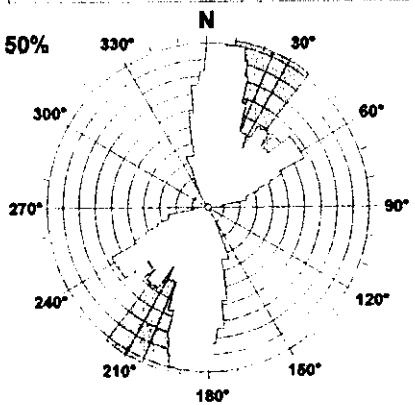


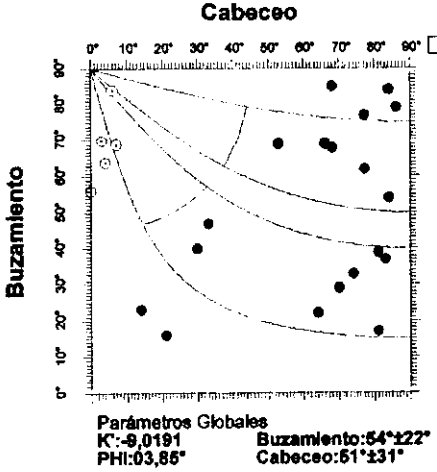
Estación: Maximo
Coordenadas U.T.M. (metros)
X: 474200
Y: 4317200
Z: 690
Litología: Carbonatos
Edad: Jurásico

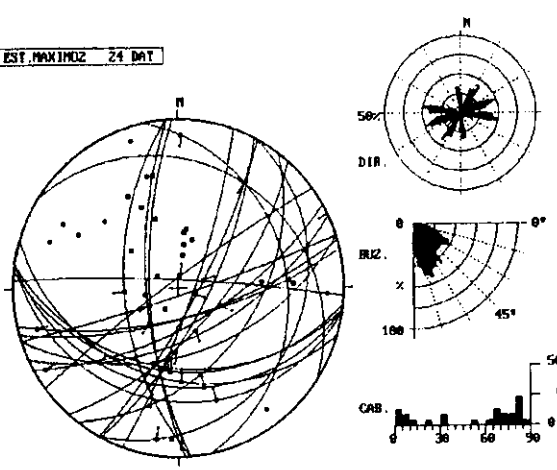
2ª Subpoblación:	
Ey: 024°±14°	Ey: 024°±14°
Buz: 54°±22°	Buz: 54°±22°
Cab: 51°±31°	Cab: 51°±31°
s1 03°/204°	s1 71°/335°
s2 65°/301°	s2 15°/118°
s3 24°/113°	s3 10°/211°
R = 0.45	R = 0.49
μ = 0.31	μ = 0.40
F.E. = 14 (24)	F.E. = 6 (24)

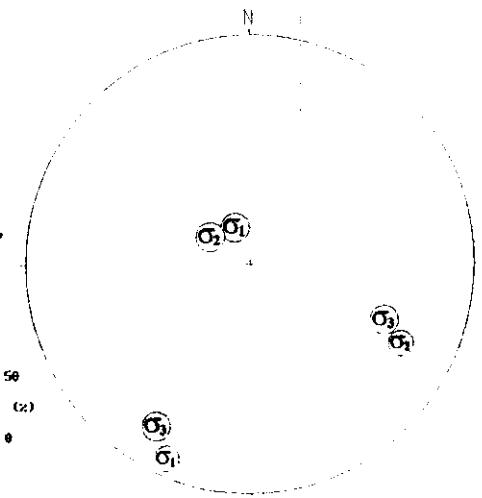
Trazas ciclográficas e histogramas del azimut, buzamiento y cabeceo

Método de Inversión de Esfuerzos

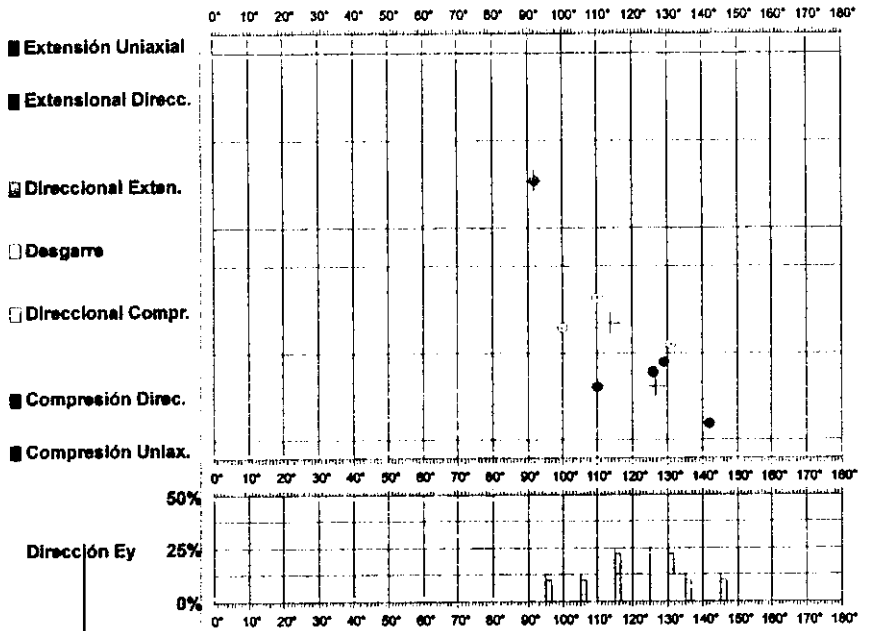


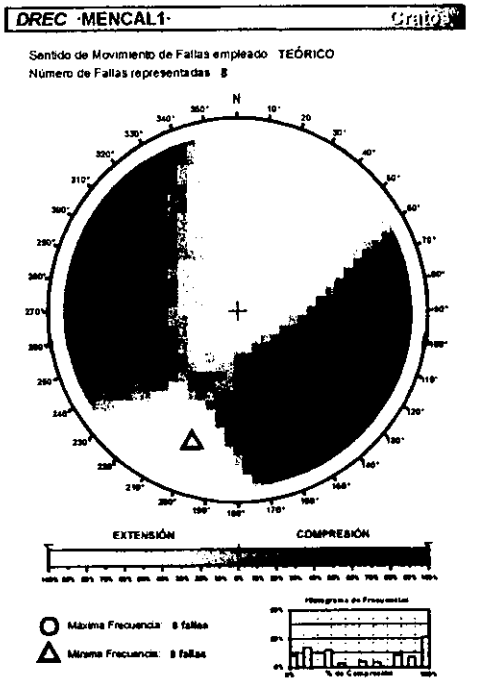






Modelo de Deslizamiento ·MENCAL1· Cratos





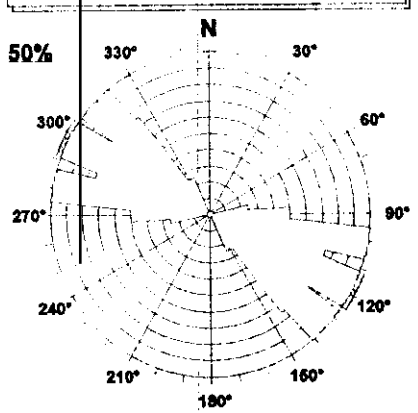
Estación: Mencal
Coordenadas U.T.M. (metros)
X: 561200
Y: 4275500
Z: 1000
Litología: Carbonatos
Edad: Jurásico

1ª Subpoblación:
Ey: 118º±7º
Buz: 60°±13°
Cab: 34°±11°
s1 10°/111°
s2 69°/352°
s3 17°/205°
R = 0.31
μ = 0.40
F.E. = 8 (8)

Trazas ciclográficas e histogramas del azimut, buzamiento y cabeceo

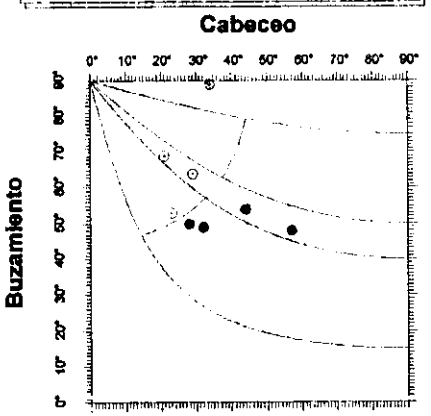
Método de Inversión de Esfuerzos

Rosa de Direcciones

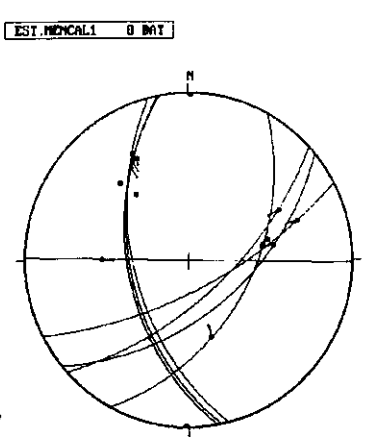


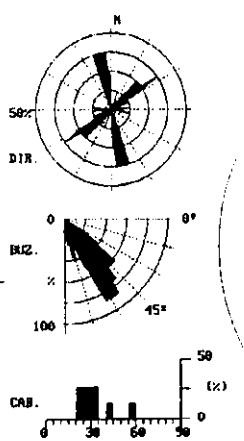
Valor Máximo de Escala: 50%
Ángulo de Apertura: 15°
DEYM: 118° ± 7,31°

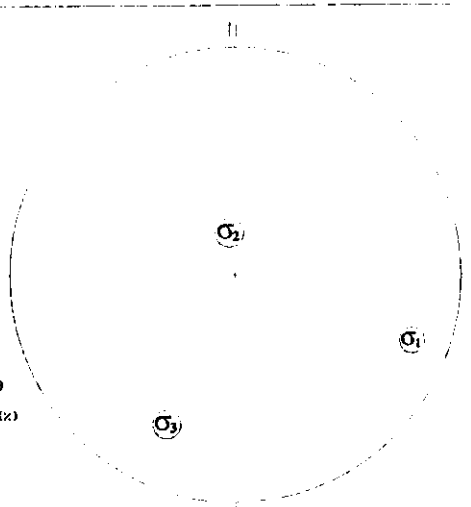
Diagrama Cabeceo/Buzamiento

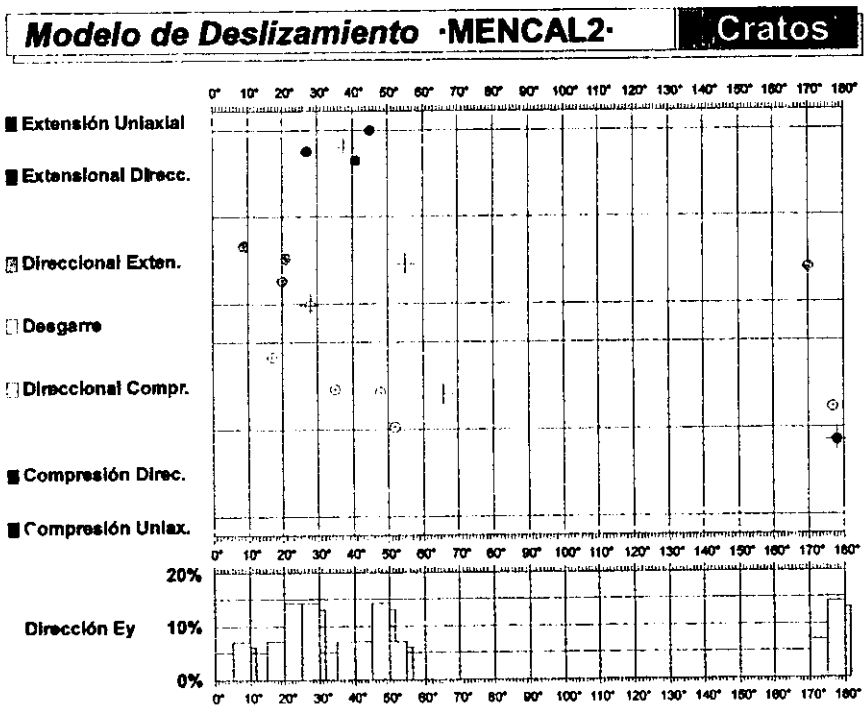


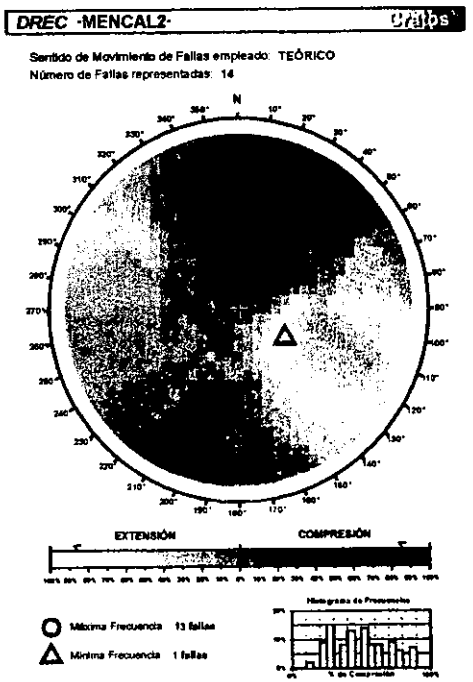
Parámetros Globales
K':-0,7834
PHI:-01,83°
Buzamiento:60°±13°
Cabeceo:34°±11°









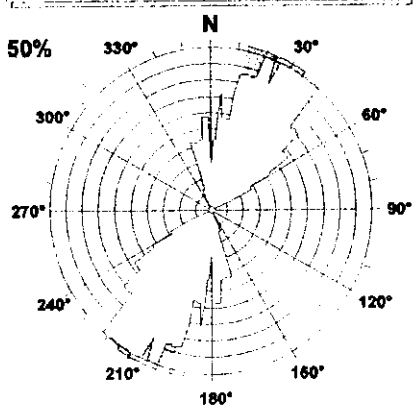


Estación: Mencal
Coordenadas U.T.M. (metros)
X: 561200
Y: 4275500
Z: 1000
Litología: Carbonatos
Edad: Jurásico

2ª Subpoblación:
Ey: 024°±11°
Buz: 66°±11°
Cab: 30°±19°
s1 01°/214°
s2 82°/314°
s3 07°/124°
R = 0.43
μ = 0.50
F.E. = 8 (14)

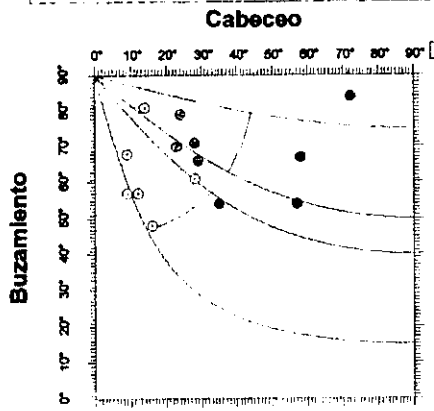
Trazas ciclográficas e histogramas del azimut, buzamiento y cabeceo

Rosa de Direcciones

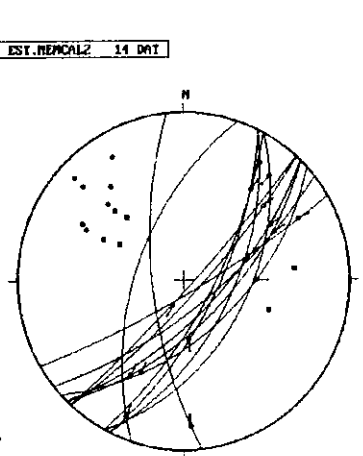


Valor Máximo de Escala: 50%
Ángulo de Apertura: 15°
DEYM: 24° ± 10,77°

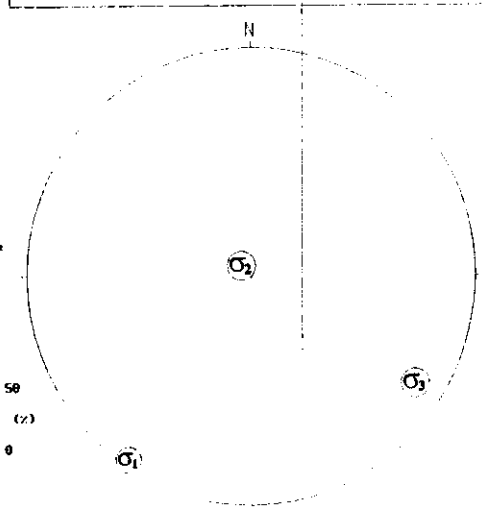
Diagrama Cabeceo/Buzamiento



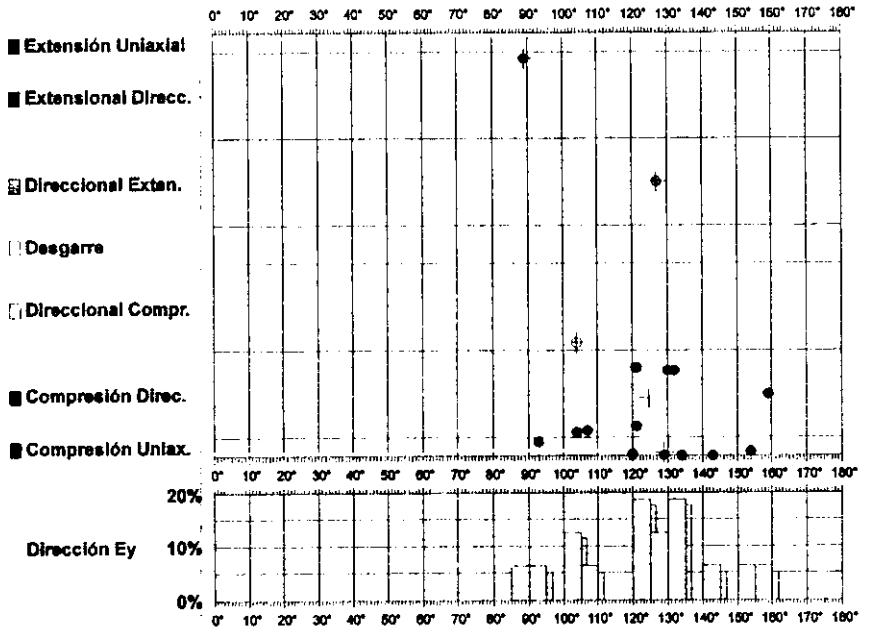
Parámetros Globales
K':1,8180 Buzamiento:66°±11°
PHI:06,63° Cabeceo:30°±19°

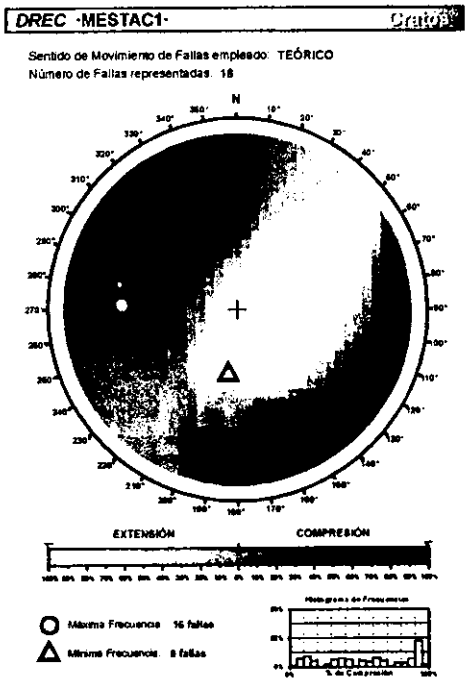


Método de Inversión de Esfuerzos



Modelo de Deslizamiento ·MESTAC1· Cratos



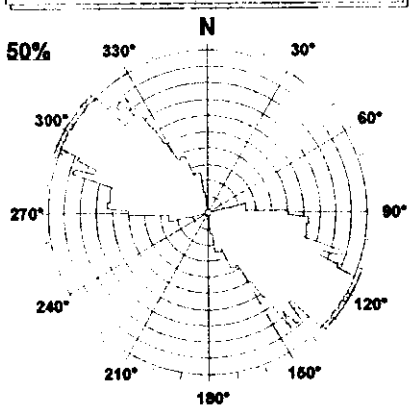


Estación: Mestac
Coordenadas U.T.M. (metros)
X: 548500
Y: 4277000
Z: 1160
Litología: Carbonatos
Edad: Jurásico

1ª Subpoblación:
Ey: 123°±12°
Buz: 40°±12°
Cab: 52°±26°
s1 06°/110°
s2 58°/008°
s3 30°/204°
R = 0.22
μ = 0.31
F.E. = 10 (16)

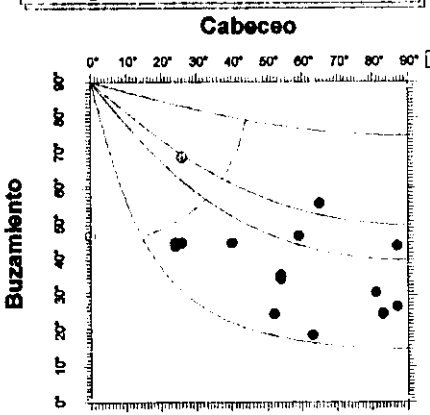
Trazas ciclográficas e histogramas del azimut, buzamiento y cabeceo

Rosa de Direcciones

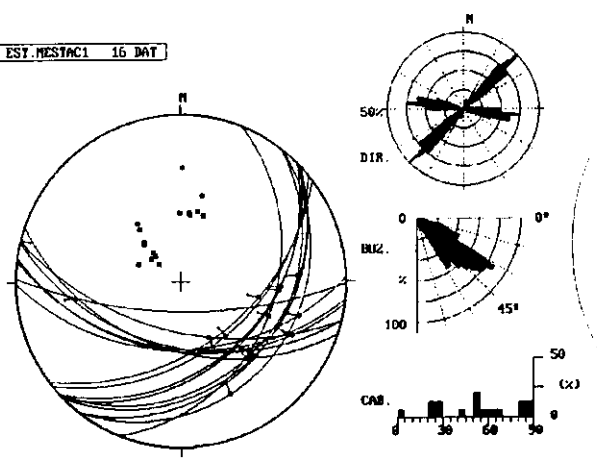


Valor Máximo de Escala: 50%
Ángulo de Apertura: 15°
DEYM: 123° ± 11,93°

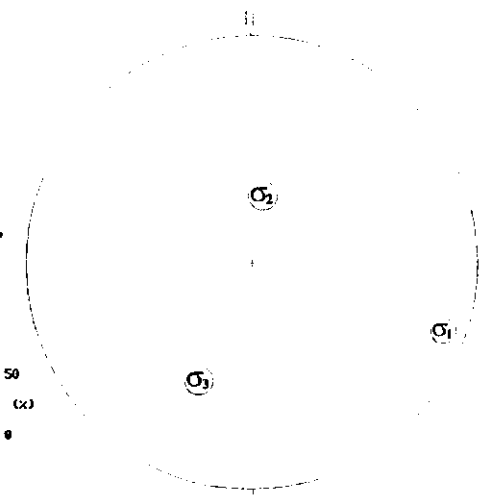
Diagrama Cabeceo/Buzamiento

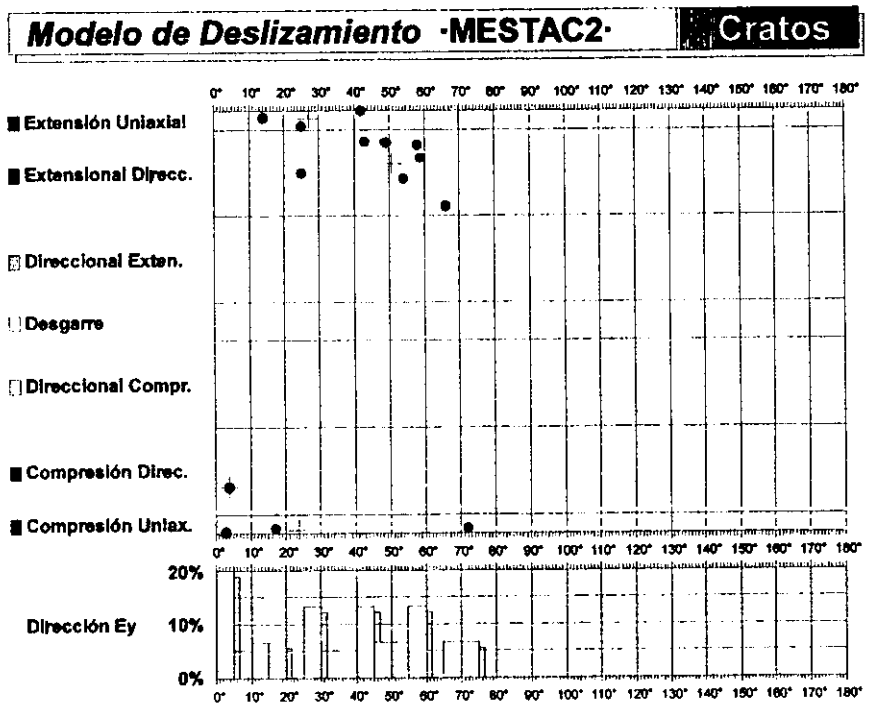


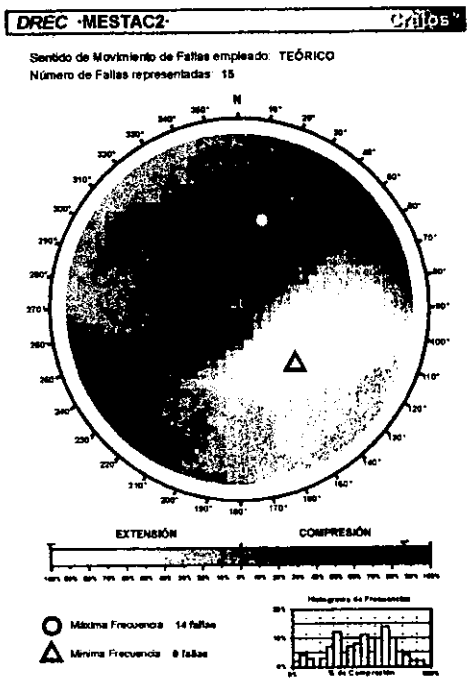
Parámetros Globales
K':-0,4129 Buzamiento:40°±12°
PHI:-23,05° Cabeceo:52°±26°



Método de Inversión de Esfuerzos





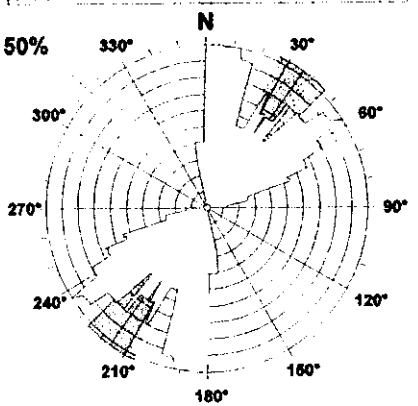


Estación: Mestac
Coordenadas U.T.M. (metros)
X: 548500
Y: 4277000
Z: 1160
Litología: Carbonatos
Edad: Jurásico

2ª Subpoblación:
Ey: 036°±10°
Buz: 59°±18°
Cab: 66°±15°
s1 09°/218°
s2 56°/323°
s3 31°/122°
R = 0.62
μ = 0.31
F.E. = 9 (15)

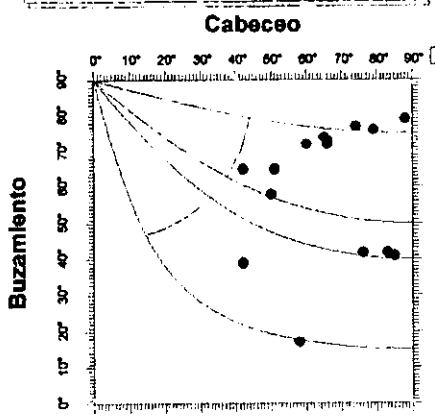
Trazas ciclográficas e histogramas del azimut, buzamiento y cabeceo

Rosa de Direcciones

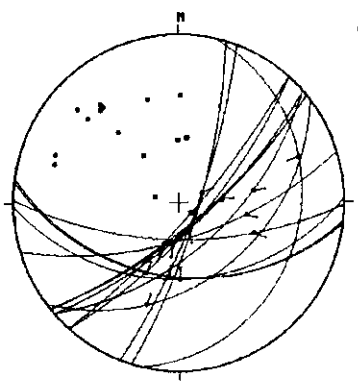


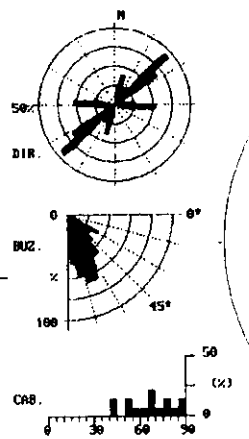
Valor Máximo de Escala: 50%
Ángulo de Apertura: 15°
DEYM: 36° ± 10,03°

Diagrama Cabeceo/Buzamiento

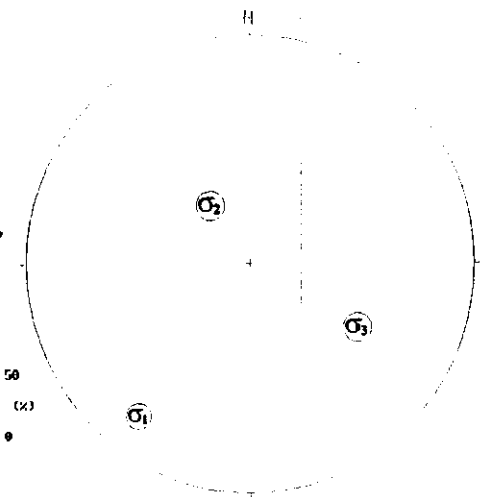


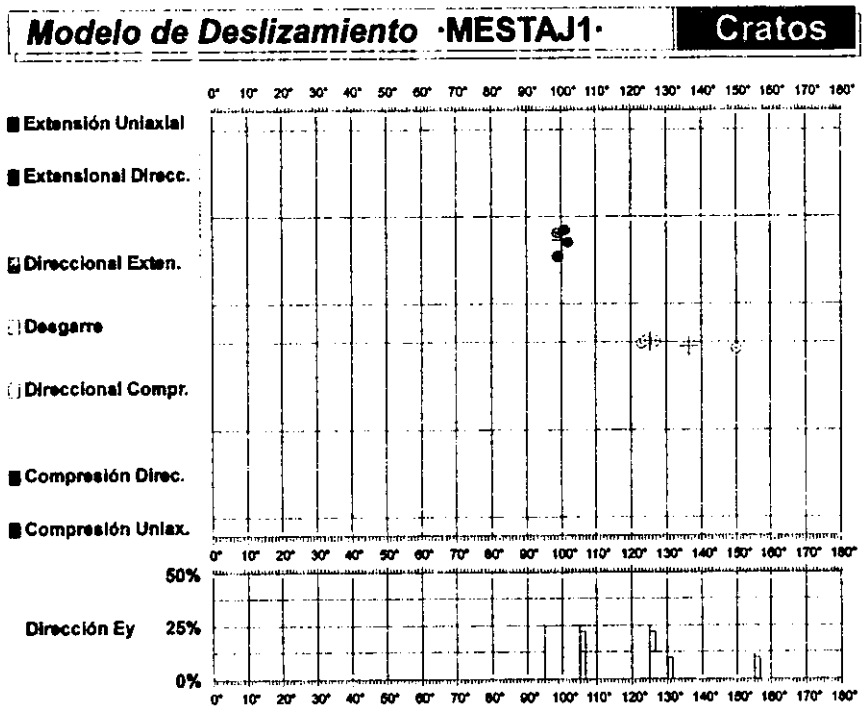
Parámetros Globales
K':-0,4722
PHI:23,33°
Buzamiento:59°±18°
Cabeceo:66°±15°

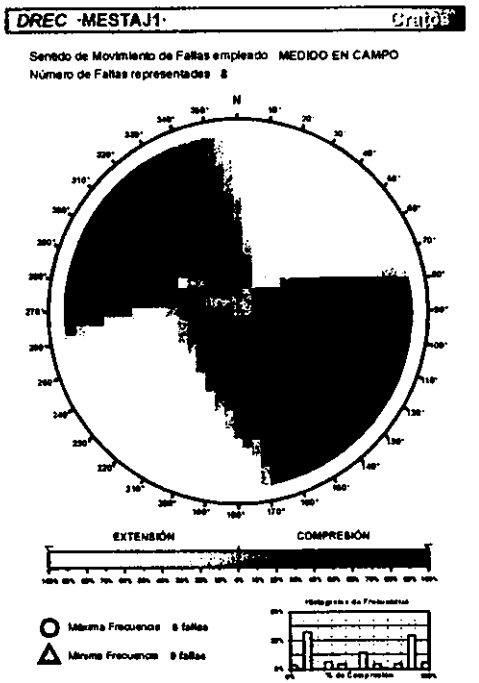




Método de Inversión de Esfuerzos



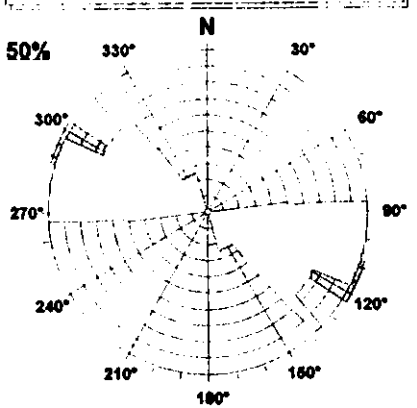


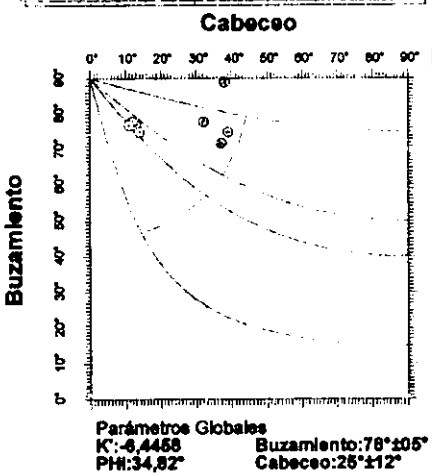


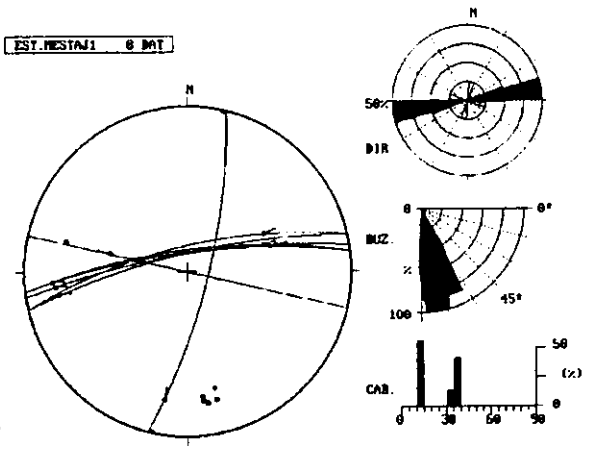
Estación: Mestaj
Coordenadas U.T.M. (metros)
X: 546900
Y: 4278750
Z: 1080
Litología: Carbonatos
Edad: Jurásico

1ª Subpoblación:
Ey: 115°±9°
Buz: 78°±5°
Cab: 24°±12°
s1 --°/---°
s2 --°/---°
s3 --°/---°
R = ---
μ = ---
F.E. = 0 (8)

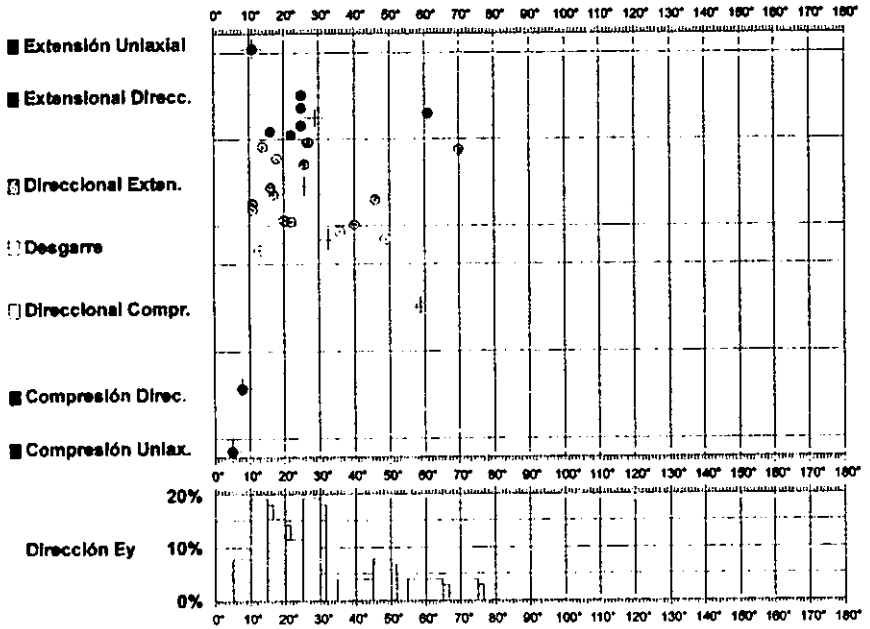
Trazas cicloográficas e histogramas del azimut, buzamiento y cabeceo

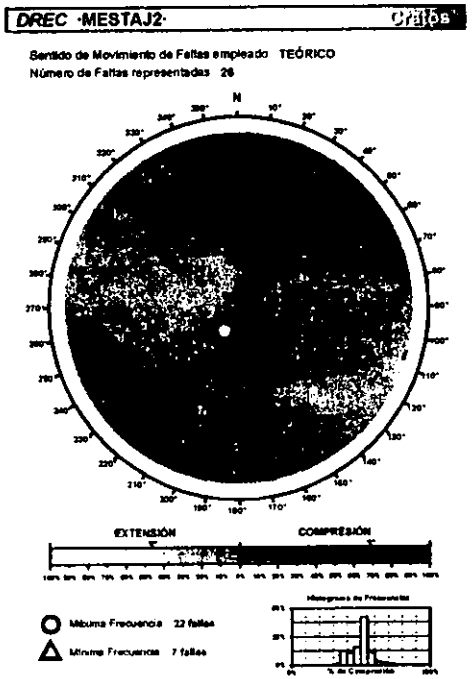






Modelo de Deslizamiento ·MESTAJ2· — Cratos



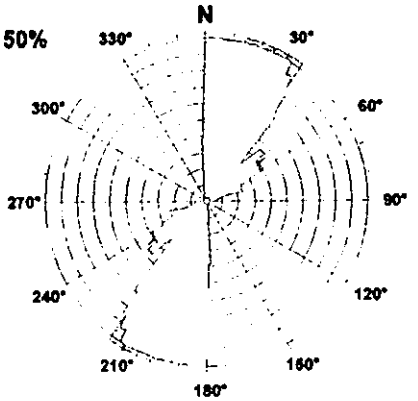


Estación: Mestaj
Coordenadas U.T.M. (metros)
X: 546900
Y: 4278750
Z: 1080
Litología: Carbonatos
Edad: Jurásico

2ª Subpoblación:
Ey: 025°±11°
Buz: 80°±13°
Cab: 36°±18°
s1 88°/032°
s2 01°/204°
s3 00°/294°
R = 0.42
μ = 1.01
F.E. = 15 (26)

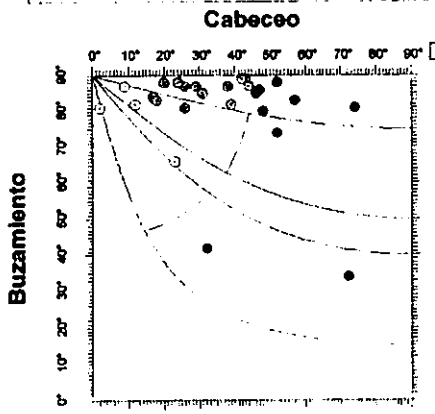
Trazas ciclográficas e histogramas del azimut, buzamiento y cabeceo

Rosa de Direcciones

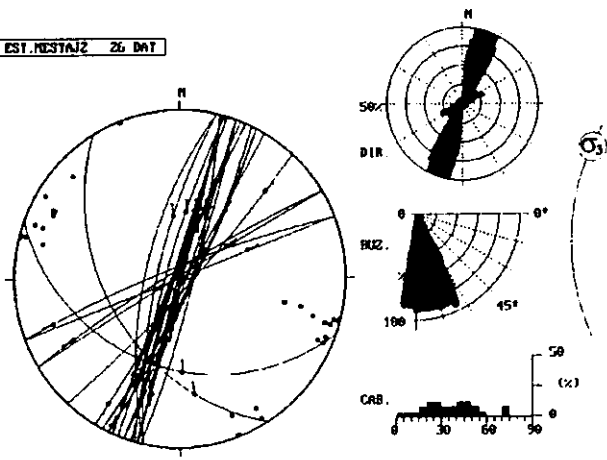


Valor Máximo de Escala: 50%
Ángulo de Apertura: 15°
DEYM: 25° ± 11,41°

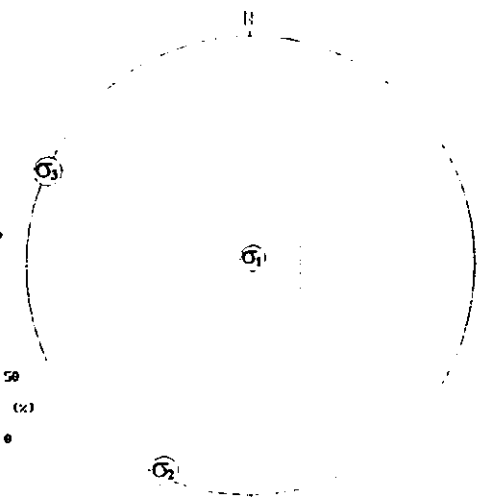
Diagrama Cabeceo/Buzamiento



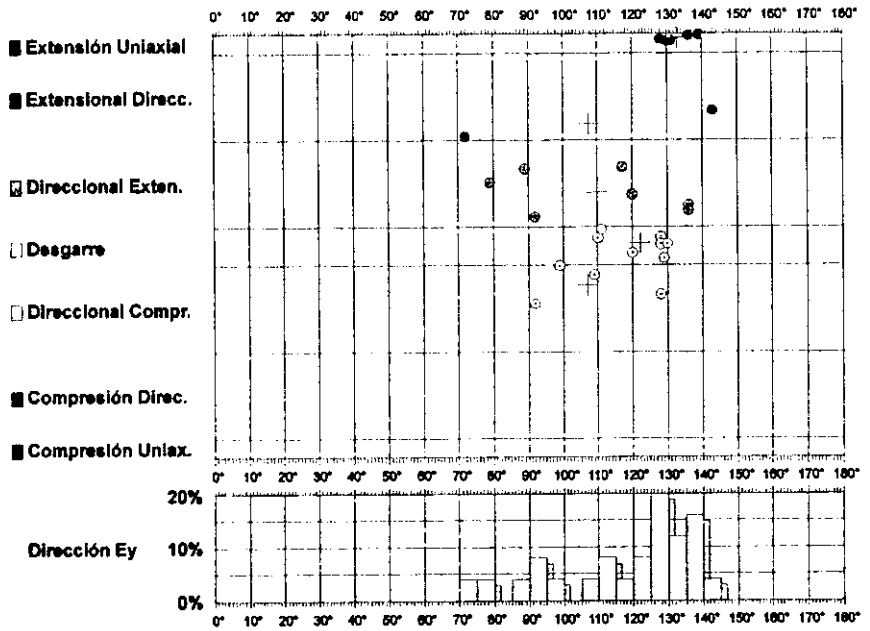
Parámetros Globales
K':4,1030
PHI:56,60°
Buzamiento:80°±13°
Cabeceo:36°±18°

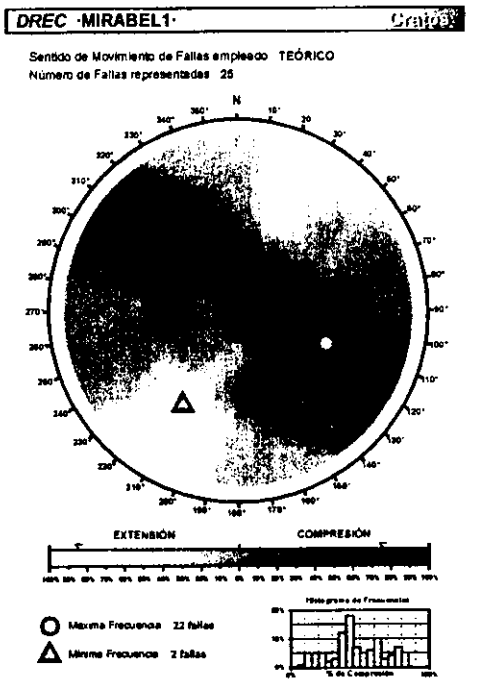


Método de Inversión de Esfuerzos



Modelo de Deslizamiento ·MIRABEL1· Cratos



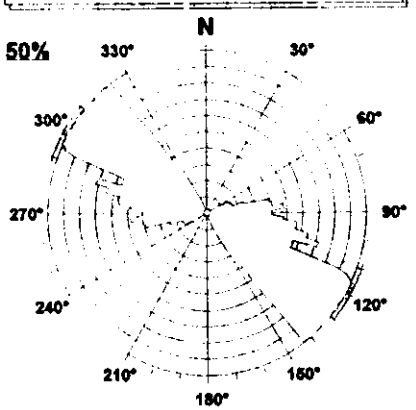


Estación: Mirabel
Coordenadas U.T.M. (metros)
X: 230300
Y: 4424100
Z: 448
Litología: Basamento hercínico
Edad: Precámbrico

1ª Subpoblación:
Ey: 119°±11°
Buz: 74°±13°
Cab: 32°±27°
s1 43°/301°
s2 46°/111°
s3 05°/206°
R = 0.61
μ = 0.31
F.E. = 18 (25)

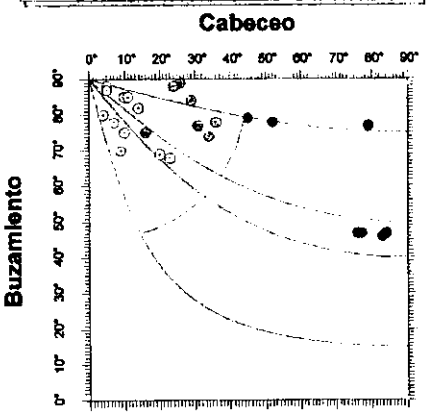
Trazas ciclográficas e histogramas del azimut, buzamiento y cabeceo

Rosa de Direcciones

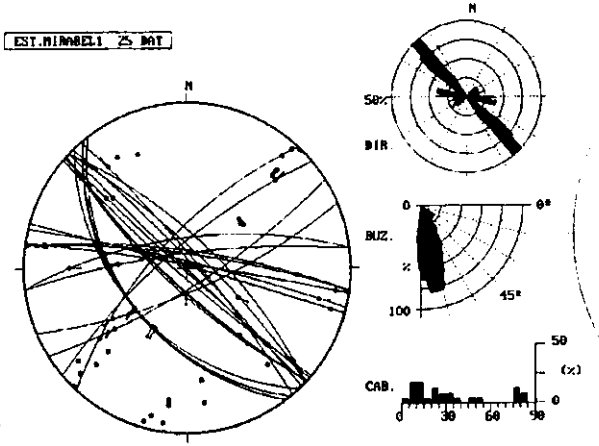


Valor Máximo de Escala: 50%
Ángulo de Apertura: 15°
DEYM: 119° ± 11,34°

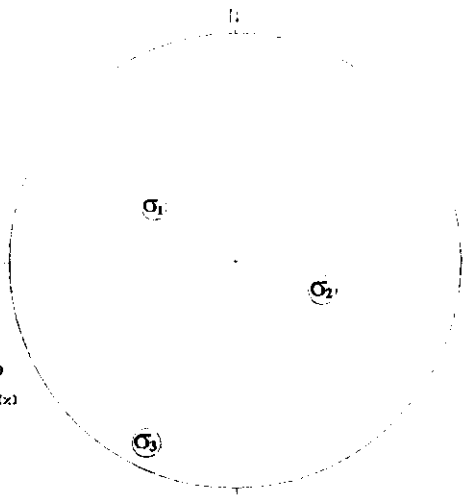
Diagrama Cabeceo/Buzamiento

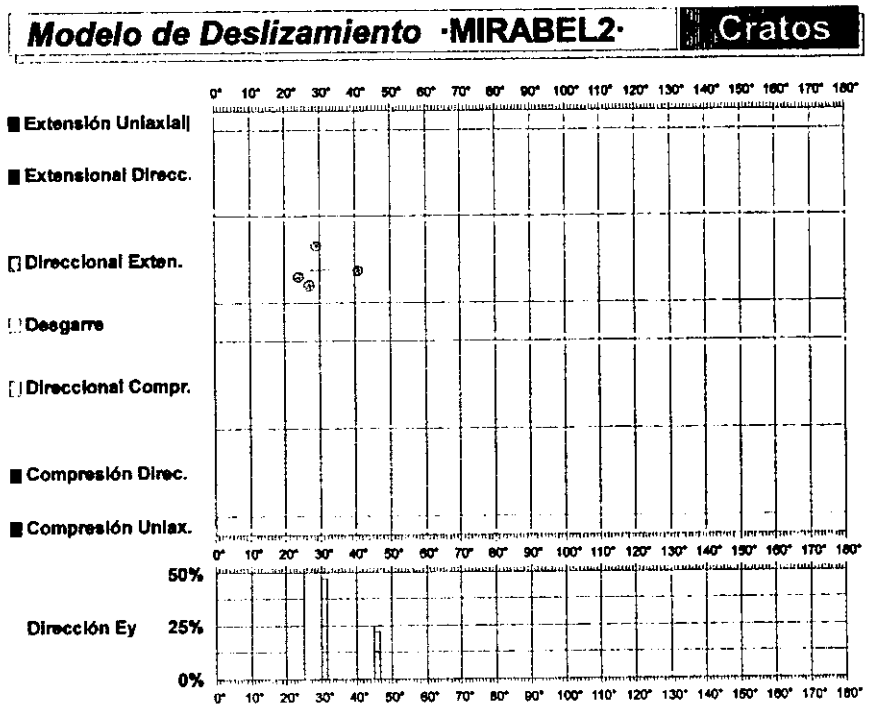


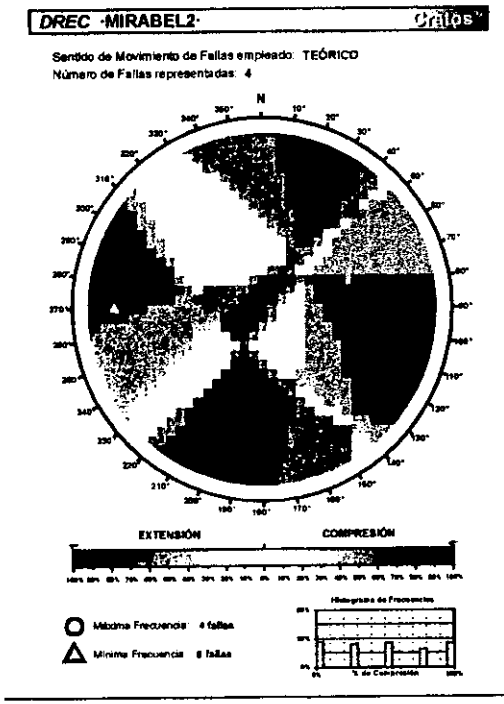
Parámetros Globales
K':8,6342 Buzamiento:74°±13°
PHI:33,16° Cabeceo:32°±27°



Método de Inversión de Esfuerzos



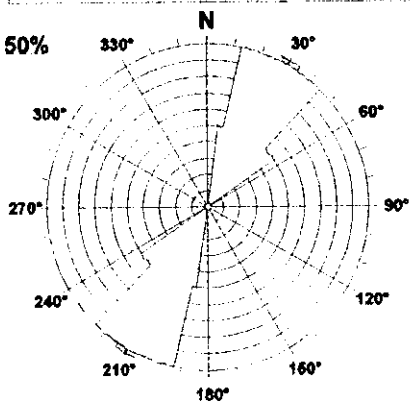


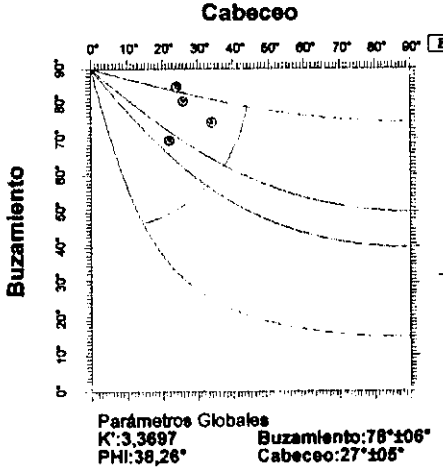


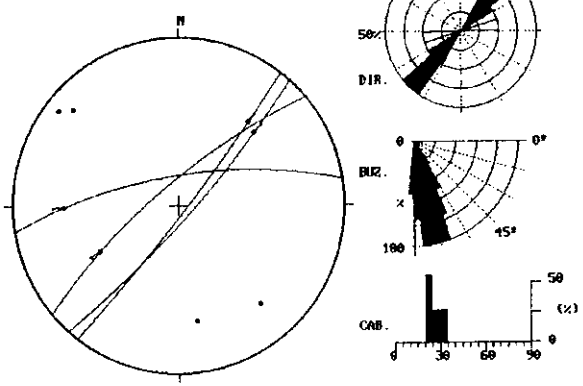
Estación: Mirabel
Coordenadas U.T.M. (metros)
X: 230300
Y: 4424100
Z: 448
Litología: Basamento hercínico
Edad: Precámbrico

2ª Subpoblación:
Ey: 030°±4°
Buz: 78°±6°
Cab: 26°±5°
s1 --°/---°
s2 --°/---°
s3 --°/---°
R = ---
μ = ---
F.E. = 0 (4)

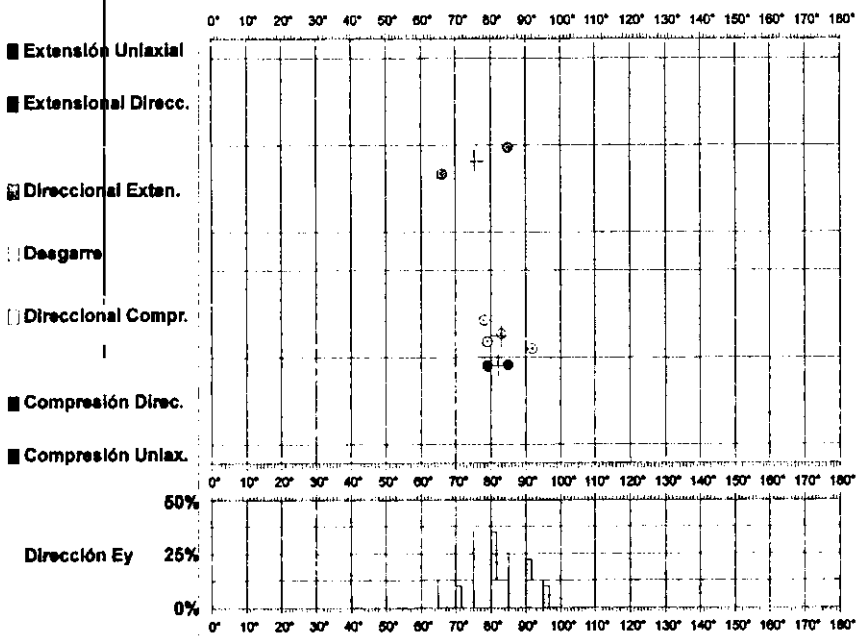
Trazas ciclográficas e histogramas del azimut, buzamiento y cabeceo

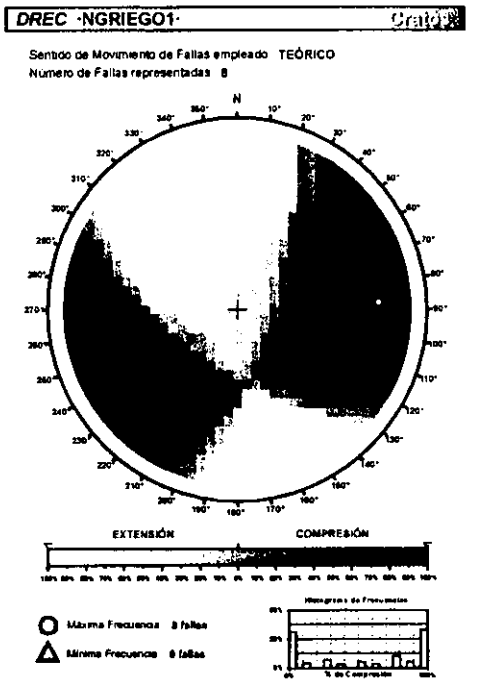






Modelo de Deslizamiento ·NGRIEGO1· Cratos



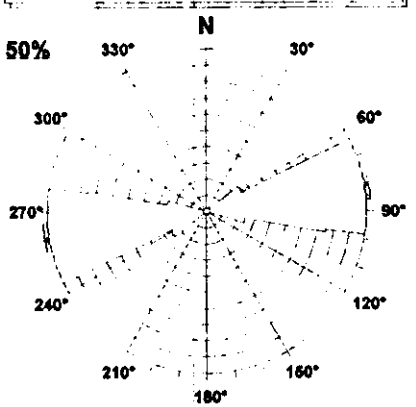


Estación: Ngriego
Coordenadas U.T.M. (metros)
X: 576850
Y: 4273000
Z: 1020
Litología: Carbonatos
Edad: Jurásico

1ª Subpoblación:
Ey: 031°±5°
Buz: 59°±7°
Cab: 28°±6°
s1 12°/242°
s2 69°/118°
s3 16°/336°
R = 0.51
μ = 0.31
F.E. = 7 (8)

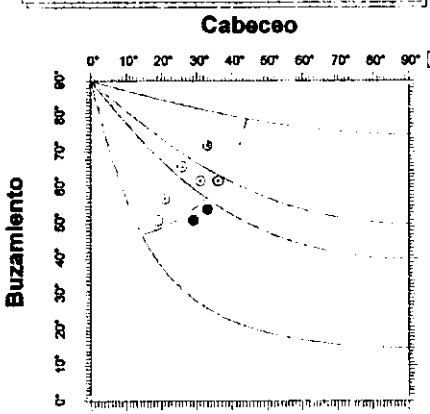
Trazas ciclográficas e histogramas del azimut, buzamiento y cabeceo

Rosa de Direcciones

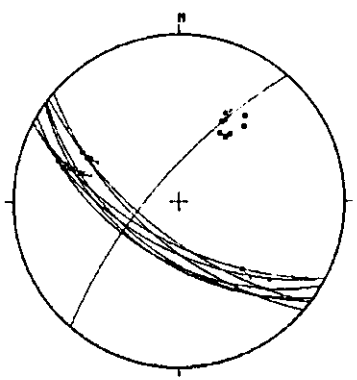


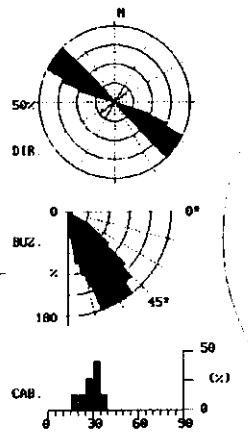
Valor Máximo de Escala: 50%
Ángulo de Apertura: 15°
DEYM: 81° ± 4,90°

Diagrama Cabeceo/Buzamiento

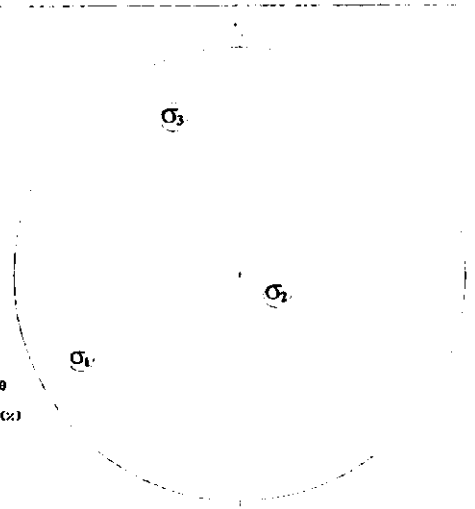


Parámetros Globales
K':-1,0006 Buzamiento:59°±07°
PHI:-14,00° Cabeceo:29°±06°

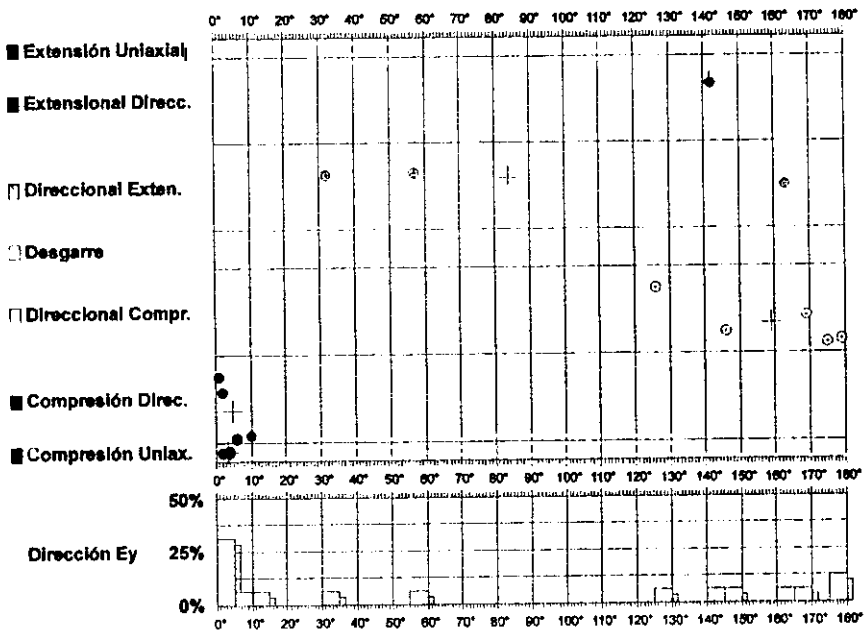


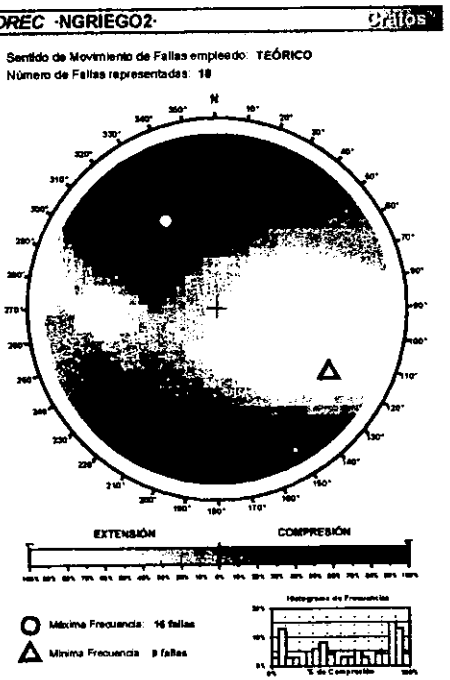


Método de Inversión de Esfuerzos



Modelo de Deslizamiento ·NGRIEGO2· Cratos



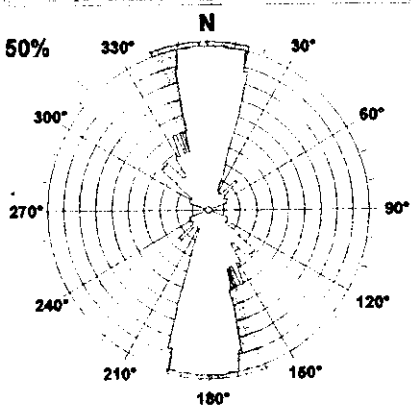


Estación: Ngriego
Coordenadas U.T.M. (metros)
X: 576850
Y: 4273000
Z: 1020
Litología: Carbonatos
Edad: Jurásico

2ª Subpoblación:
Ey: 177°±19°
Buz: 55°±14°
Cab: 41°±19°
s1 08°/006°
s2 59°/261°
s3 29°/101°
R = 0.26
μ = 0.31
F.E. = 13 (16)

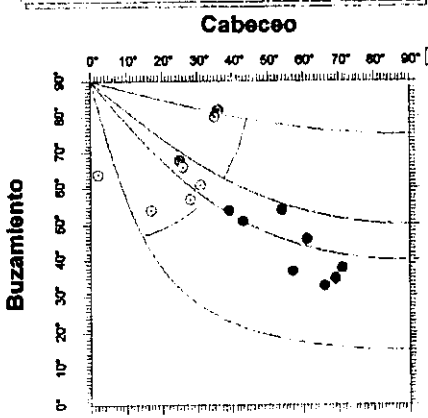
Trazas ciclográficas e histogramas del azimut, buzamiento y cabeceo

Rosa de Direcciones

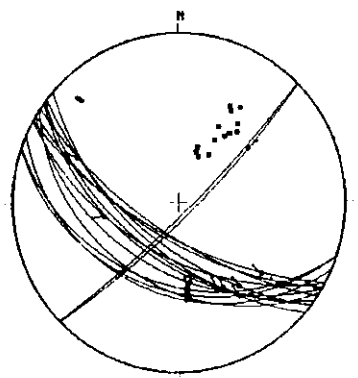


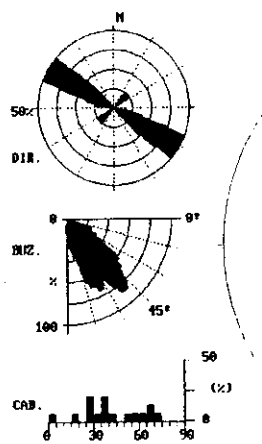
Valor Máximo de Escala: 50%
Ángulo de Apertura: 15°
DEYM: 177° ± 18,44°

Diagrama Cabeceo/Buzamiento

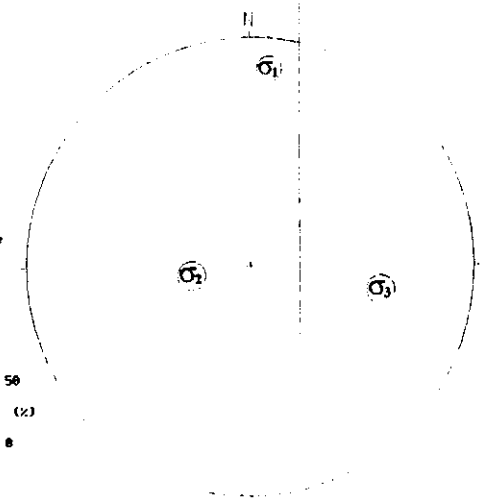


Parámetros Globales
K':-0,6257 Buzamiento:55°±14°
PHI:-03,73° Cabeceo:41°±19°

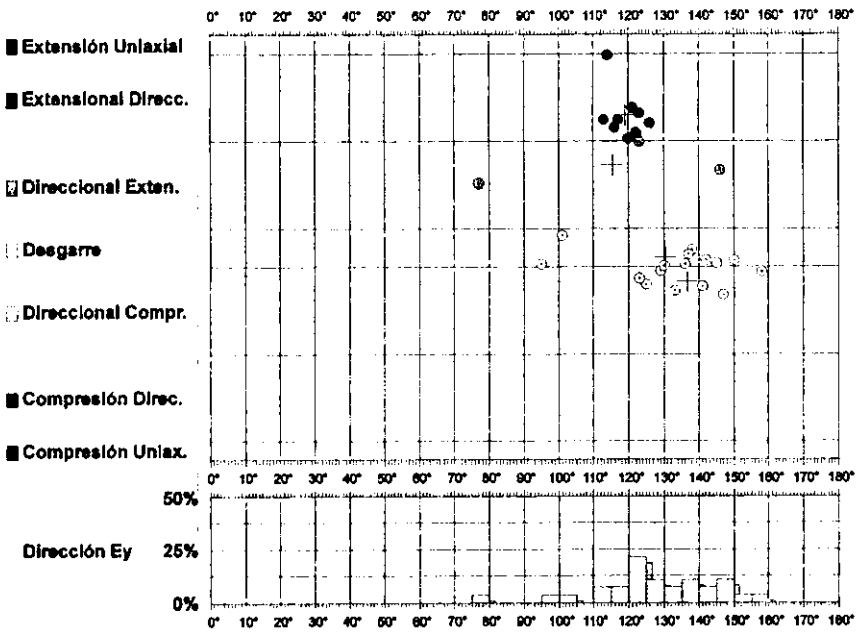


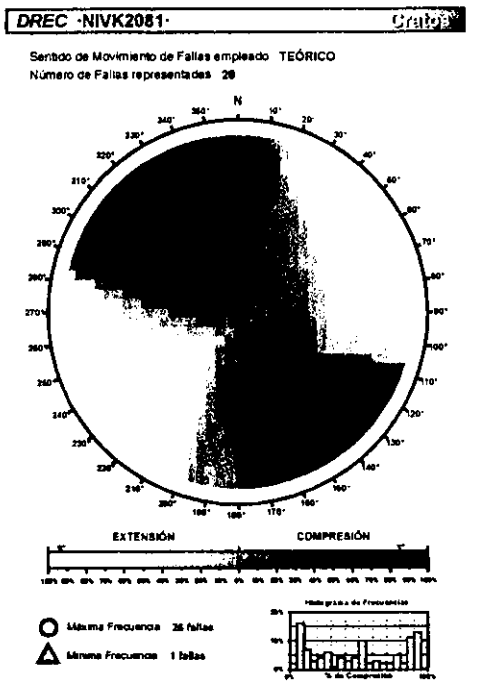


Método de Inversión de Esfuerzos



Modelo de Deslizamiento ·NIVK2081· Cratos



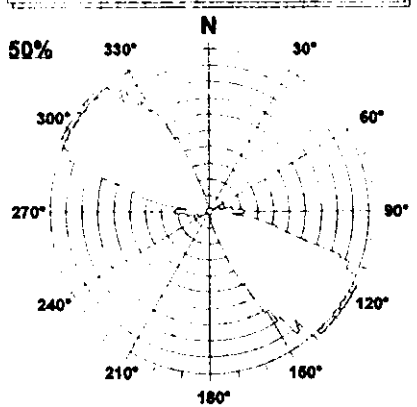


Estación: Nivk208
Coordenadas U.T.M. (metros)
X: 463600
Y: 4289800
Z: 685
Litología: Basamento hercínico
Edad: Paleozoico

1ª Subpoblación:	
Ey: 128°±11°	Ey: 128°±11°
Buz: 75°±5°	Buz: 75°±5°
Cab: 26°±19°	Cab: 26°±19°
s1 87°/270°	s1 04°/317°
s2 02°/130°	s2 74°/212°
s3 01°/040°	s3 15°/048°
R = 0.52	R = 0.51
μ = 0.61	μ = 0.31
F.E. = 11 (28)	F.E. = 15 (28)

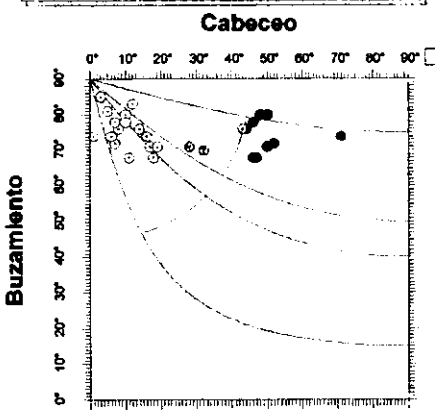
Trazas cicloográficas e histogramas del azimut, buzamiento y cabeceo

Rosa de Direcciones

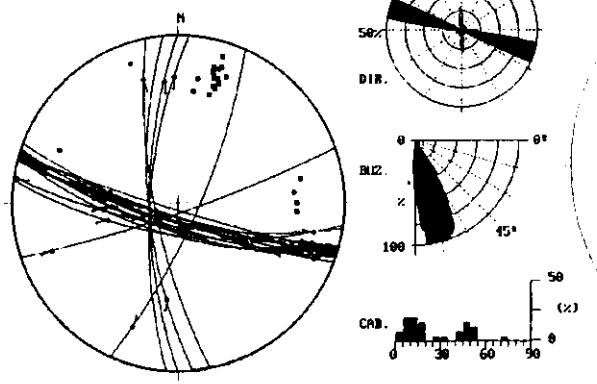


Valor Máximo de Escala: 50%
Angulo de Apertura: 15°
DEYM: 127° ± 11,21°

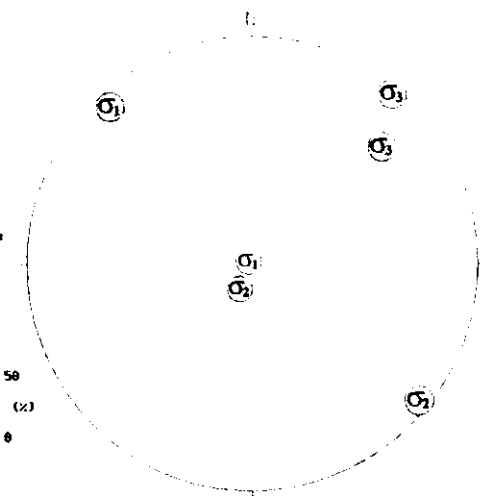
Diagrama Cabeceo/Buzamiento

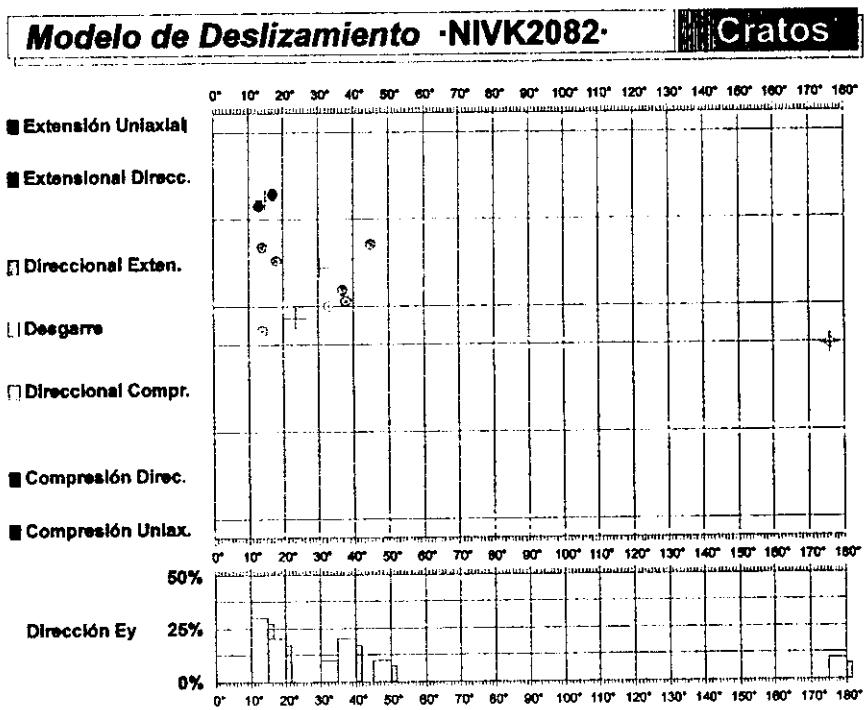


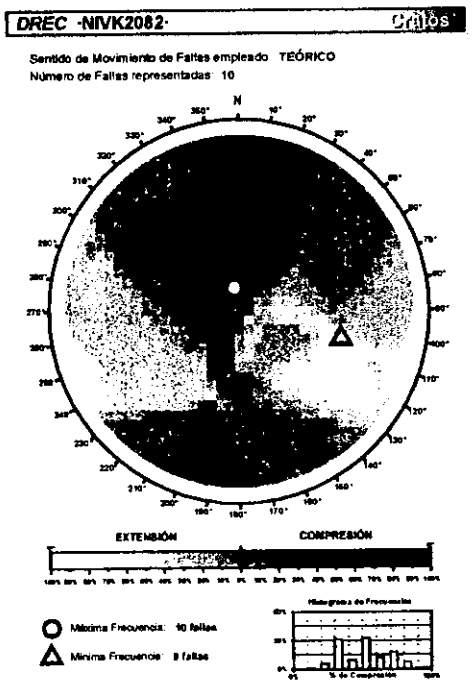
Parámetros Globales
K':-7,4507 Buzamiento:75°±05°
PHI:27,13° Cabeceo:26°±19°



Método de Inversión de Esfuerzos





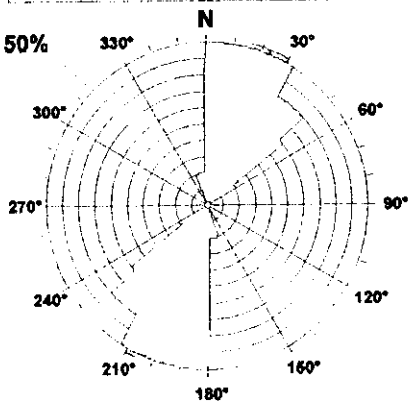


Estación: Nivk208
Coordenadas U.T.M. (metros)
X: 463600
Y: 4289800
Z: 685
Litología: Basamento hercínico
Edad: Paleozoico

2ª Subpoblación:
Ey: 022°±7°
Buz: 79°±8°
Cab: 27°±14°
s1 39°/013°
s2 46°/162°
s3 16°/269°
R = 0.33
μ = 0.40
F.E. = 6 (10)

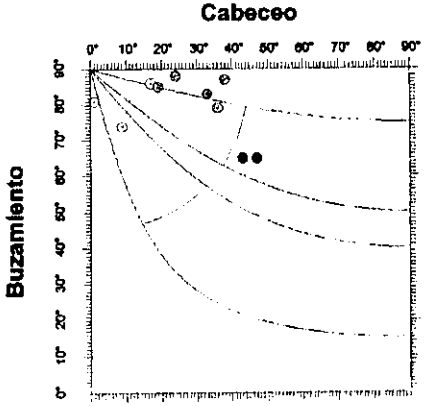
Trazas ciclográficas e histogramas del azimut, buzamiento y cabeceo

Rosa de Direcciones

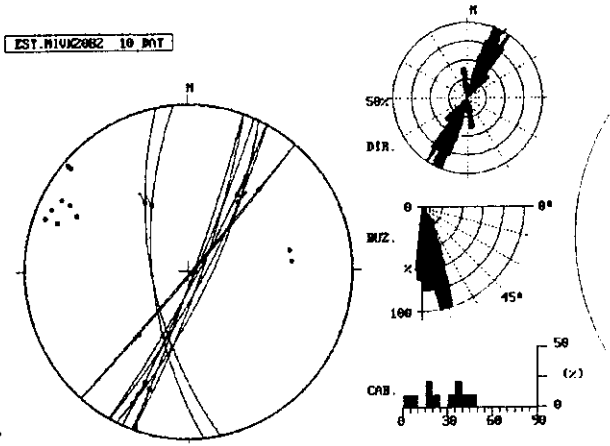


Valor Máximo de Escala: 50%
Ángulo de Apertura: 15°
DEYM: 23° ± 7,19°

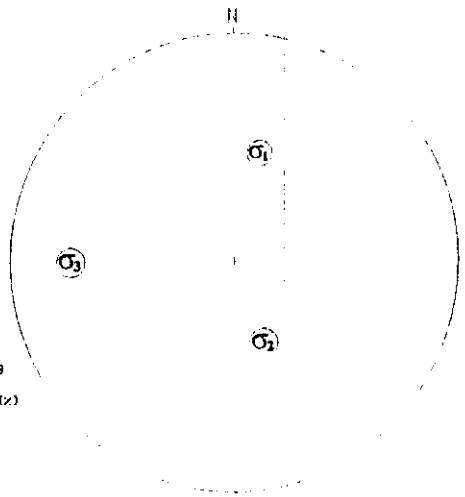
Diagrama Cabeceo/Buzamiento



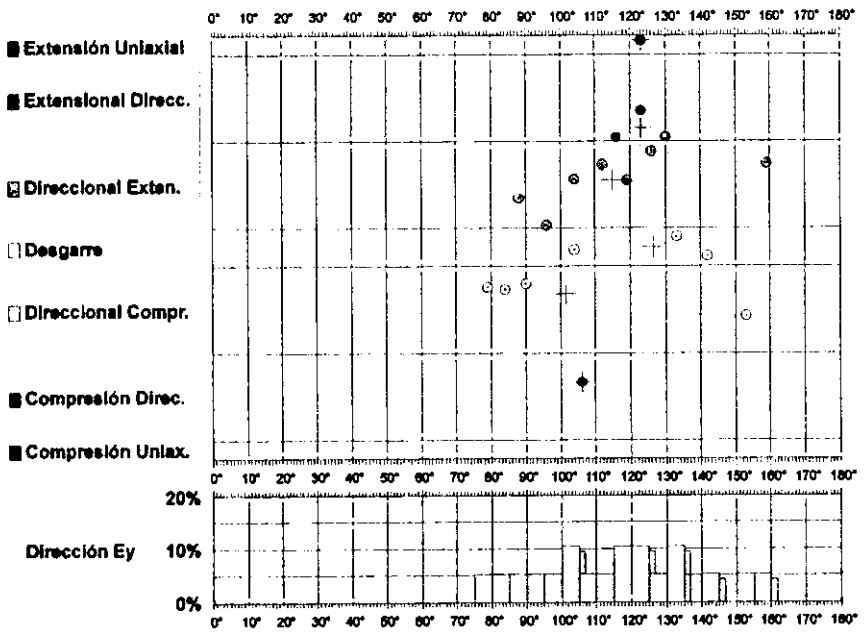
Parámetros Globales
K':-7,7480
PHI:43,64°
Buzamiento:79°±08°
Cabeceo:27°±14°

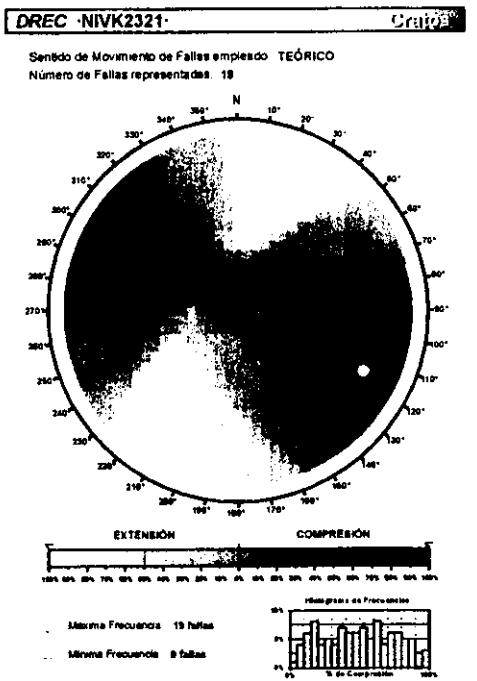


Método de Inversión de Esfuerzos



Modelo de Deslizamiento ·NIVK2321· Cratos





Estación: Nivk232
Coordenadas U.T.M. (metros)
X: 455313
Y: 4263920
Z: 800
Litología: Basamento hercínico
Edad: Paleozoico

1ª Subpoblación:	
Ey: 114°±13°	Ey: 114°±13°
Buz: 73°±11°	Buz: 73°±11°
Cab: 29°±17°	Cab: 29°±17°
s1 40°/297°	s1 82°/283°
s2 49°/113°	s2 07°/103°
s3 02°/206°	s3 00°/193°
R = 0.81	R = 0.67
μ = 0.31	μ = 0.31
F.E. = 9 (19)	F.E. = 6 (19)

Trazas ciclográficas e histogramas del azimut, buzamiento y cabeceo

Rosa de Direcciones

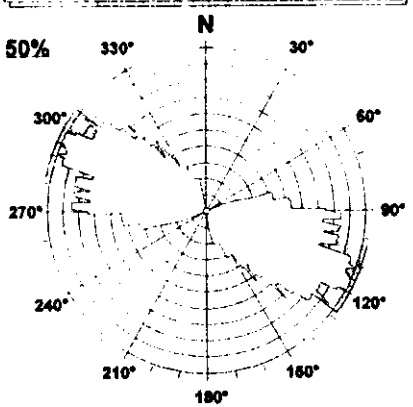
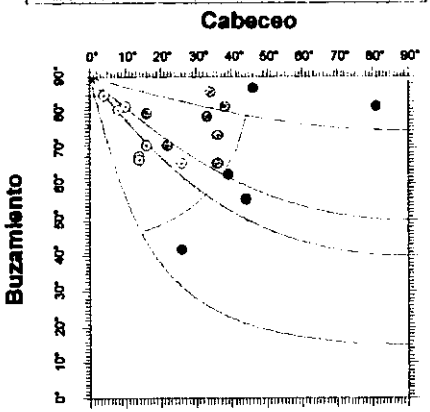
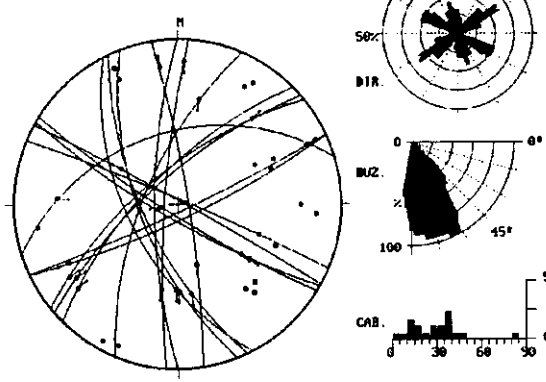
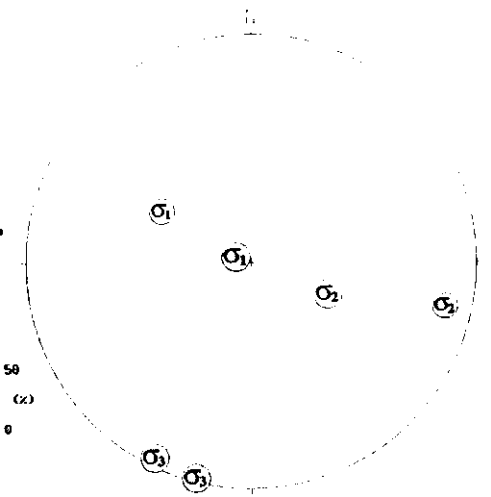


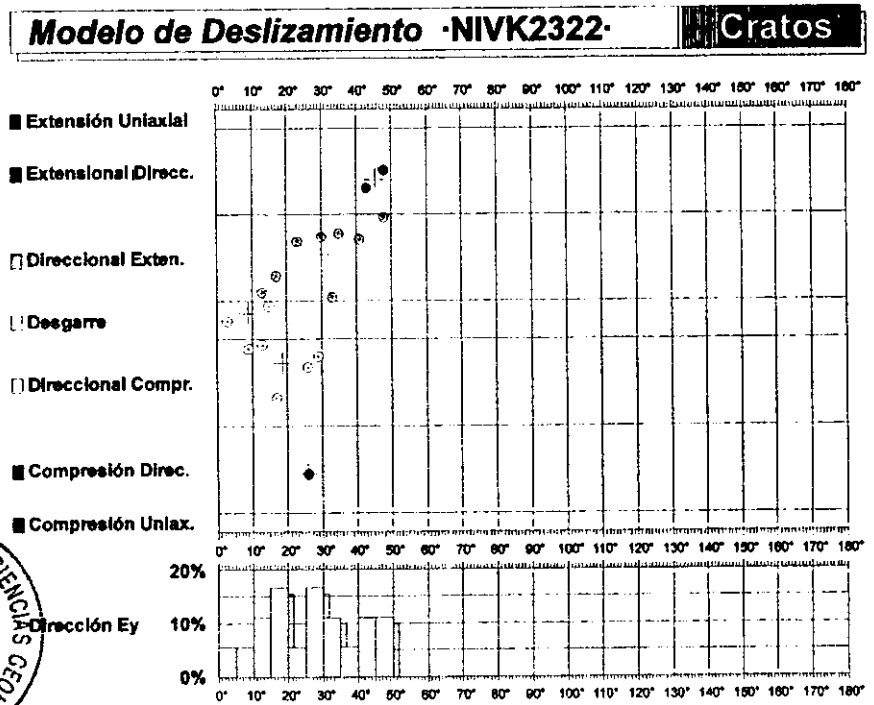
Diagrama Cabeceo/Buzamiento

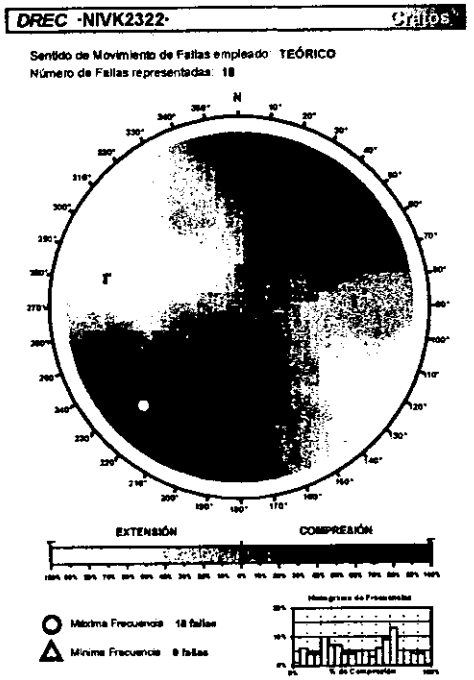




Método de Inversión de Esfuerzos







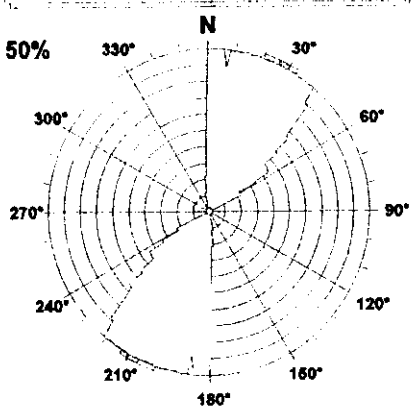
Estación: Nivk232
Coordenadas U.T.M. (metros)
X: 455313
Y: 4263920
Z: 800
Litología: Basamento hercínico
Edad: Paleozoico

2ª Subpoblación:
Ey: 026°±7°
Buz: 74°±11°
Cab: 26°±16°
s1 09°/031°
s2 79°/240°
s3 05°/122°
R = 0.56
μ = 0.31
F.E. = 16 (18)

FACULTAD DE CIENCIAS GEOLÓGICAS - BIBLIOTECA -

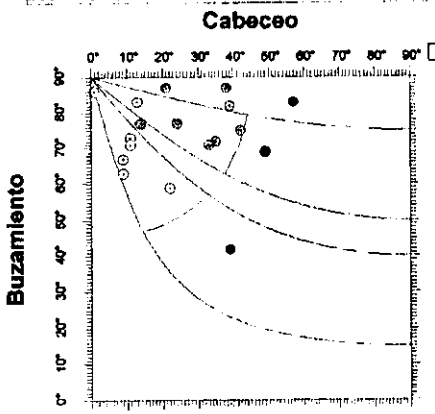
Trazas ciclográficas e histogramas del azimut, buzamiento y cabeceo

Rosa de Direcciones

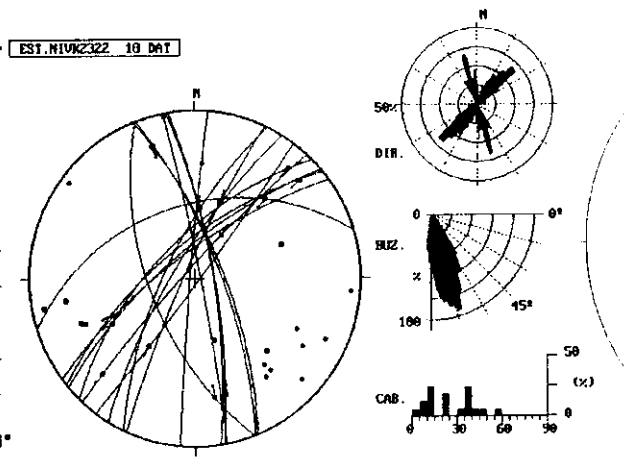


Valor Máximo de Escala: 50%
Ángulo de Apertura: 15°
DEYM: 26° ± 7,39°

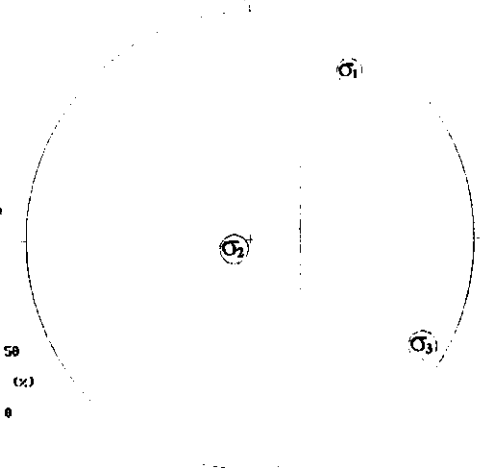
Diagrama Cabeceo/Buzamiento



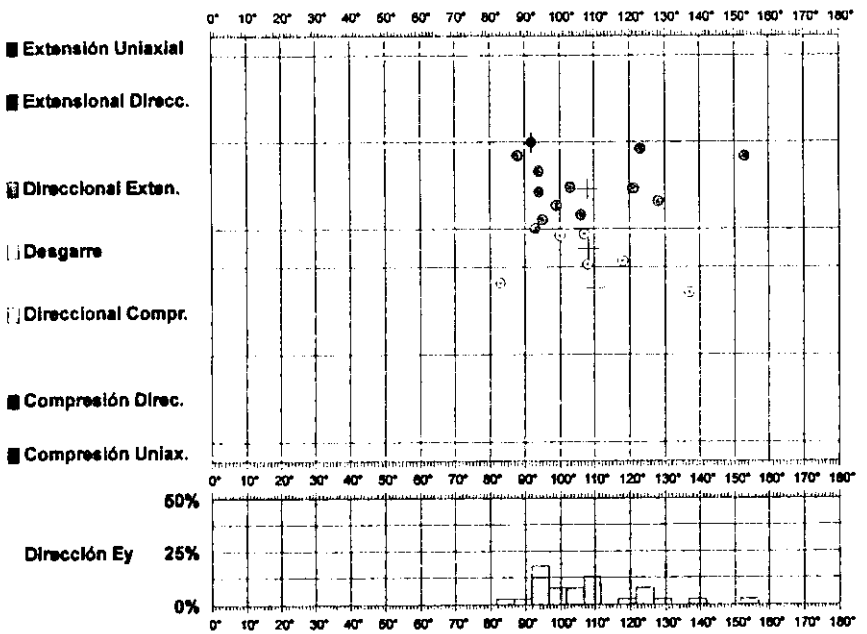
Parámetros Globales
K':-21,4457
PHI:23,82°
Buzamiento:74°±11°
Cabeceo:26°±16°

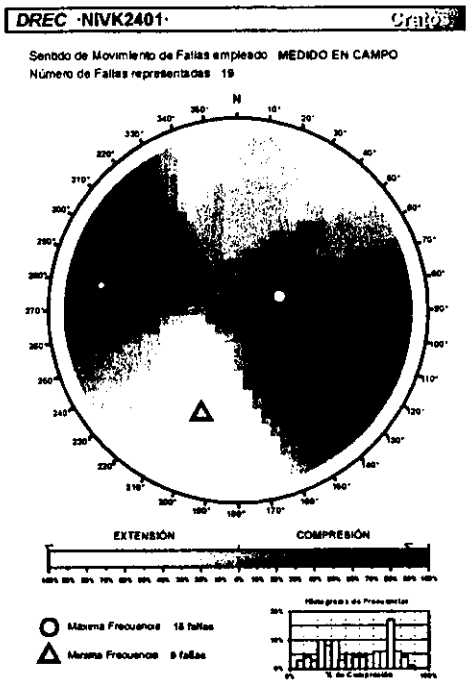


Método de Inversión de Esfuerzos



Modelo de Deslizamiento ·NIVK2401· Cratos

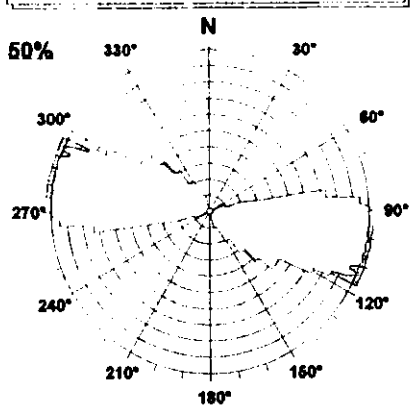




Estación: Nivk240
Coordenadas U.T.M. (metros)
X: 454900
Y: 4250300
Z: 892
Litología: Basamento hercínico
Edad: Paleozoico

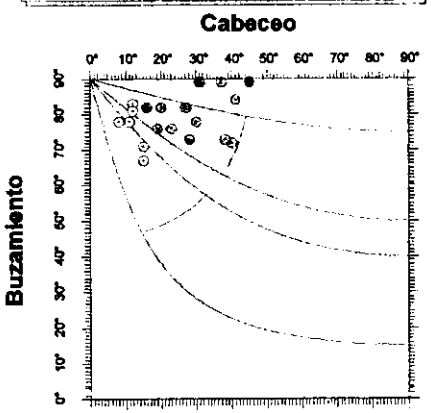
1ª Subpoblación:
Ey: 106°±11°
Buz: 79°±6°
Cab: 25°±11°
s1 28°/082°
s2 59°/279°
s3 07°/176°
R = 0.60
μ = 0.31
F.E. = 15 (19)

Rosa de Direcciones



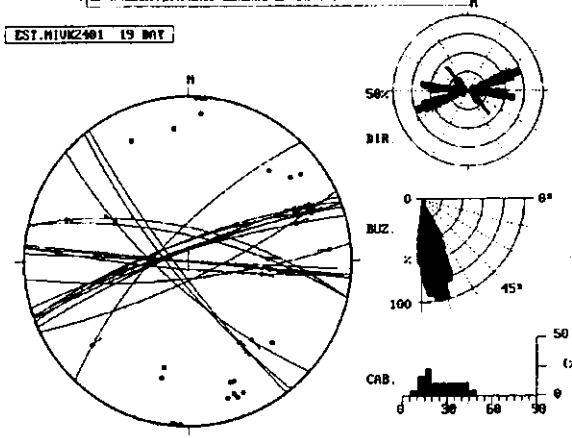
Valor Máximo de Escala: 50%
Ángulo de Apertura: 15°
DEYM: 106° ± 11,23°

Diagrama Cabeceo/Buzamiento

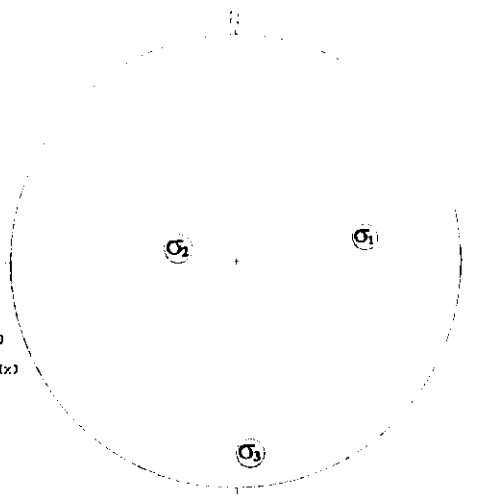


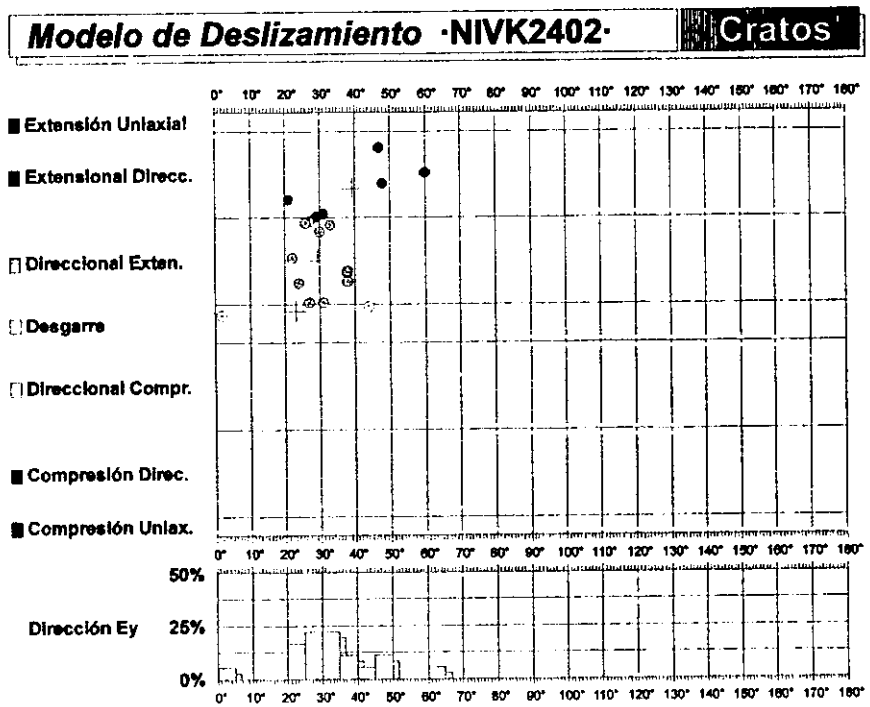
Parámetros Globales
K':3,4913 Buzamiento:79°±06°
PHI:40,60° Cabeceo:25°±11°

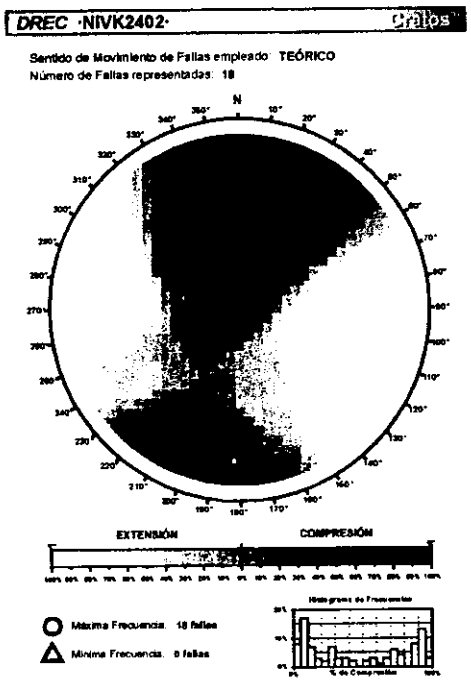
Trazas ciclográficas e histogramas del azimut, buzamiento y cabeceo



Método de Inversión de Esfuerzos







Estación: Nivk240
Coordenadas U.T.M. (metros)
X: 454900
Y: 4250300
Z: 892
Litología: Basamento hercínico
Edad: Paleozoico

2ª Subpoblación:
Ey: 032°±8°
Buz: 75°±6°
Cab: 34°±16°
s1 43°/045°
s2 45°/214°
s3 05°/310°
R = 0.53
μ = 1.01
F.E. = 18 (18)

Trazas ciclográficas e histogramas del azimut, buzamiento y cabeceo

Rosa de Direcciones

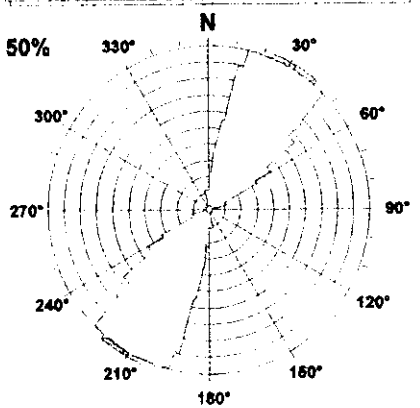
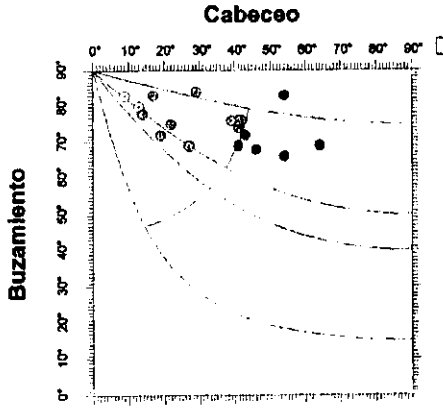
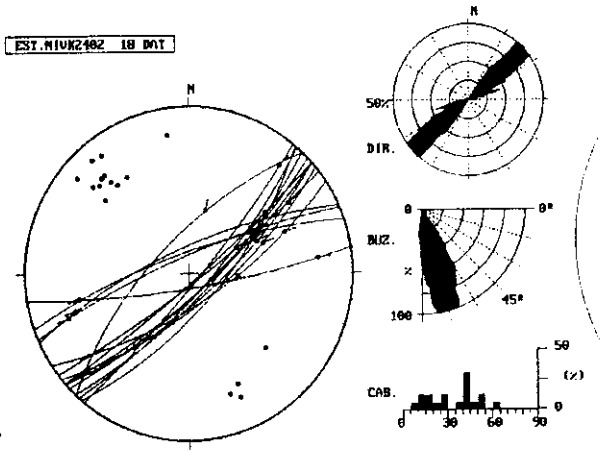
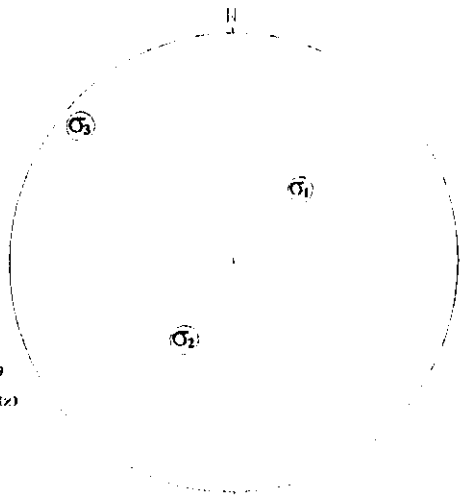


Diagrama Cabeceo/Buzamiento

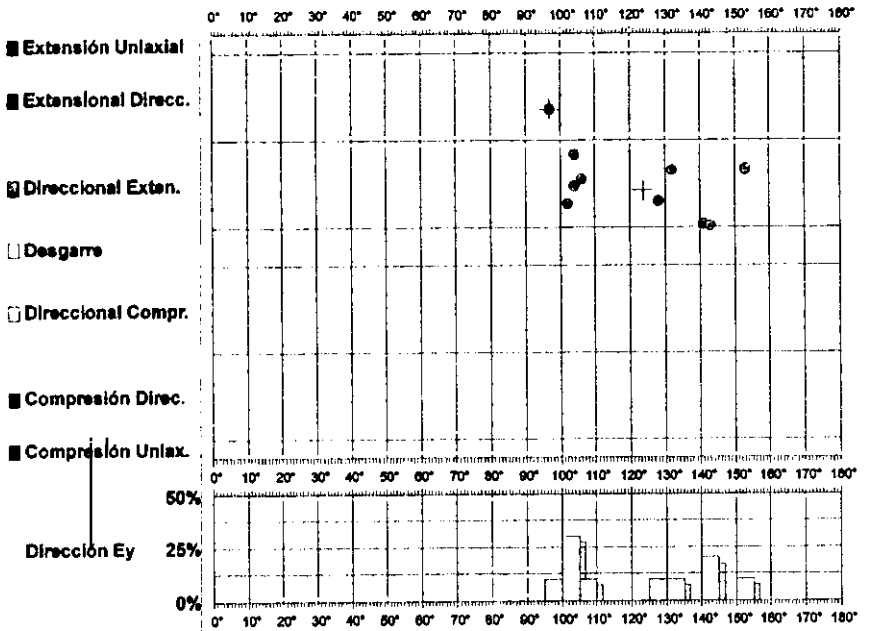


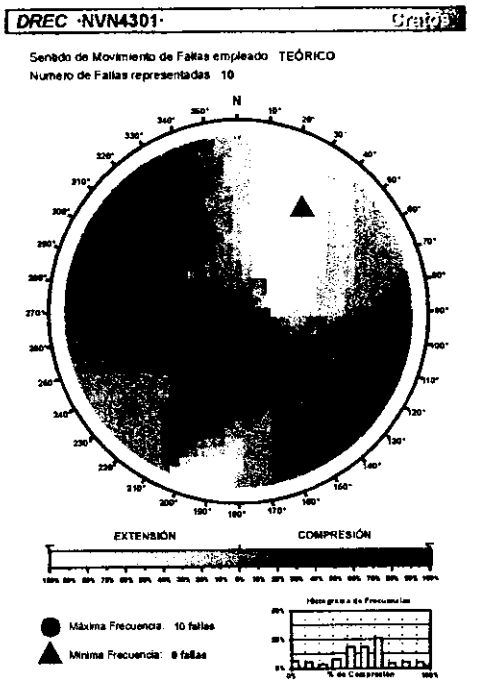


Método de Inversión de Esfuerzos



Modelo de Deslizamiento ·NVN4301· Cratos



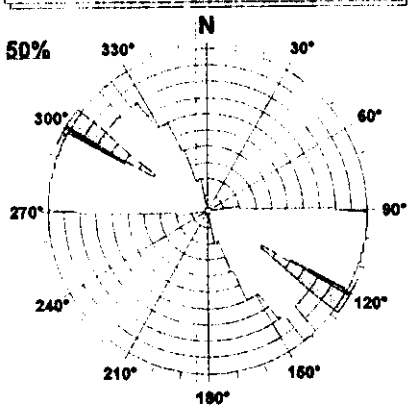


Estación Nvn430
Coordenadas U.T.M. (metros)
X: 230600
Y: 4320800
Z: 220
Litología: Aluviales
Edad: Plioceno

1ª Subpoblación:
Ey: 120°±7°
Buz: 81°±4°
Cab: 31°±11°
s1 74°/287°
s2 15°/099°
s3 02°/189°
R = 0.57
μ = 0.31
F.E. = 6 (10)

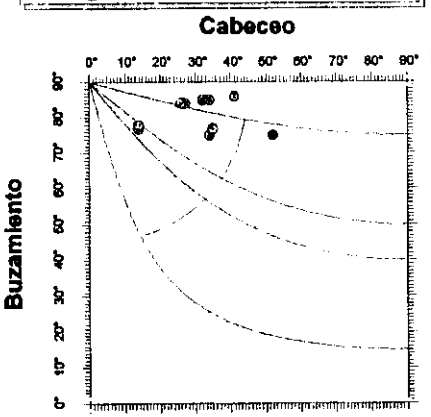
Trazas cicloográficas e histogramas del azimut, buzamiento y cabeceo

Rosa de Direcciones

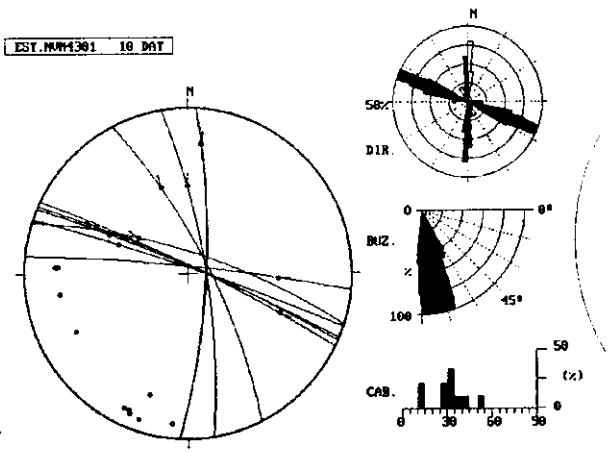


Valor Máximo de Escala: 50%
Ángulo de Apertura: 15°
DEYM: 121° ± 8,95°

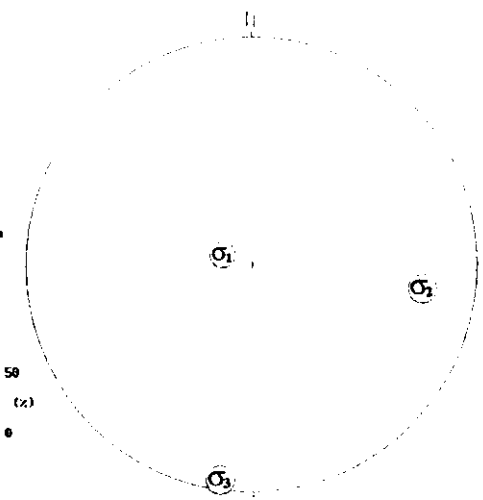
Diagrama Cabeceo/Buzamiento

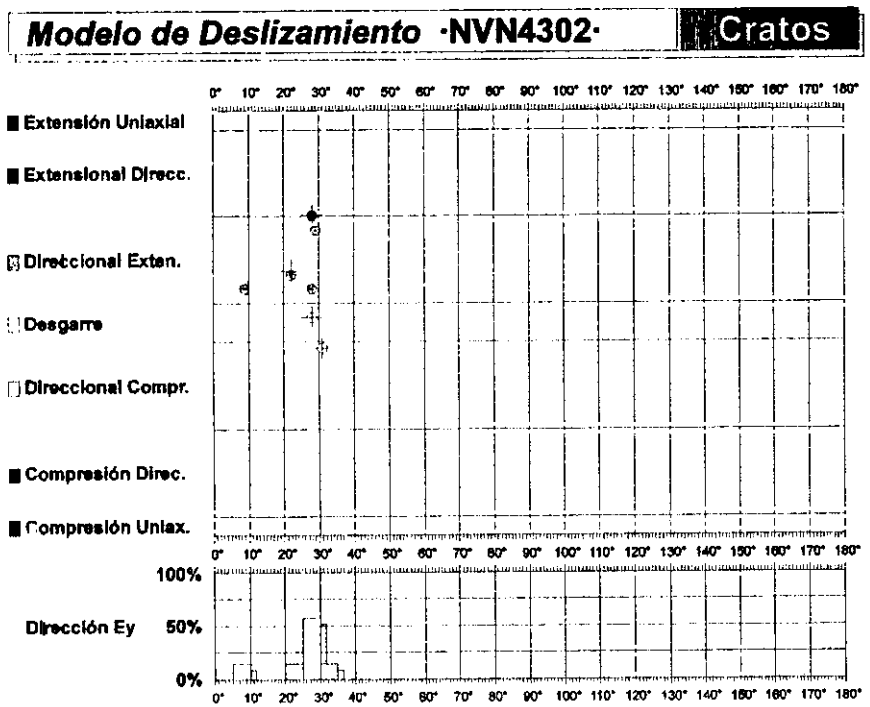


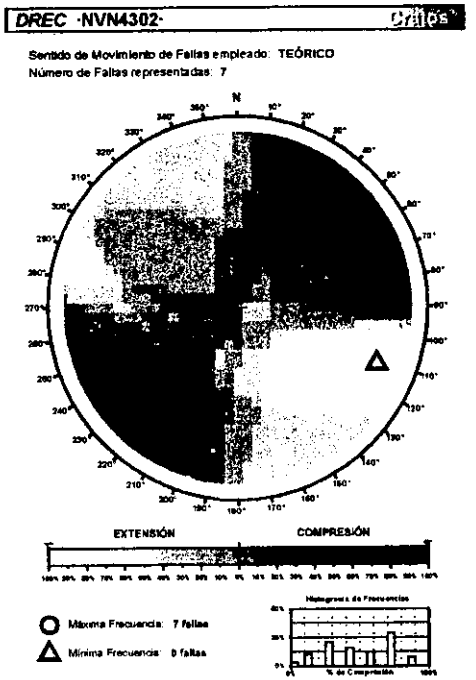
Parámetros Globales
K':2,1968 Buzamiento:81°±04°
PHI:56,81° Cabeceo:31°±11°



Método de Inversión de Esfuerzos





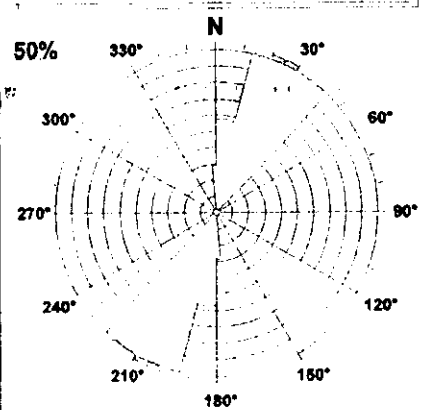


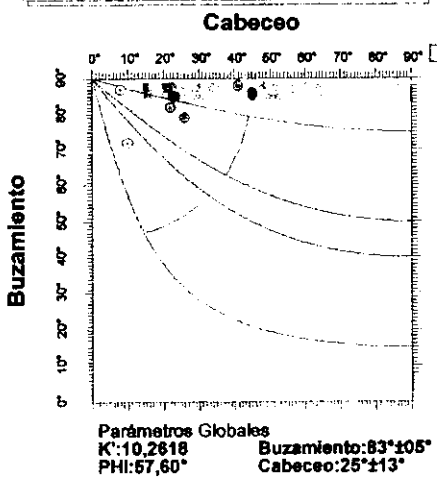
Estación: Nvn430
Coordenadas U.T.M. (metros)
X: 230600
Y: 4320800
Z: 220
Litología: Aluviales
Edad: Plioceno

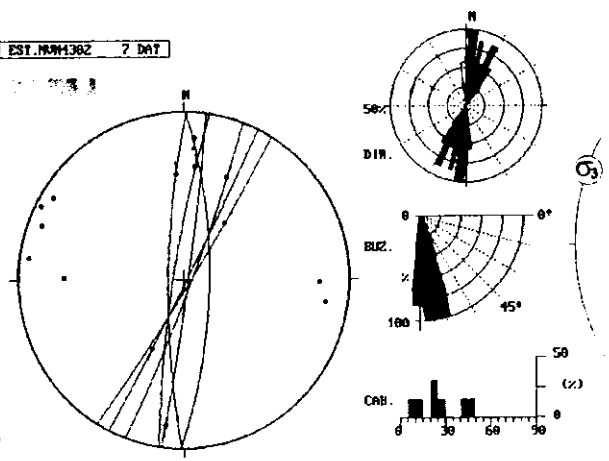
2ª Subpoblación:
Ey: 025°±5°
Buz: 83°±5°
Cab: 25°±13°
s1 34°/020°
s2 55°/199°
s3 00°/289°
R = 0.28
μ = 1.91
F.E. = 6 (7)

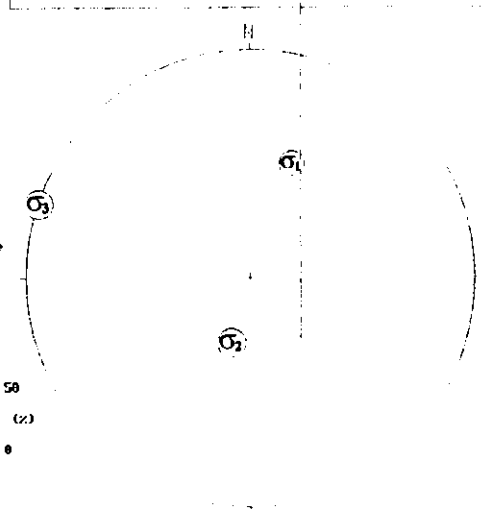
Trazas ciclográficas e histogramas del azimut, buzamiento y cabeceo

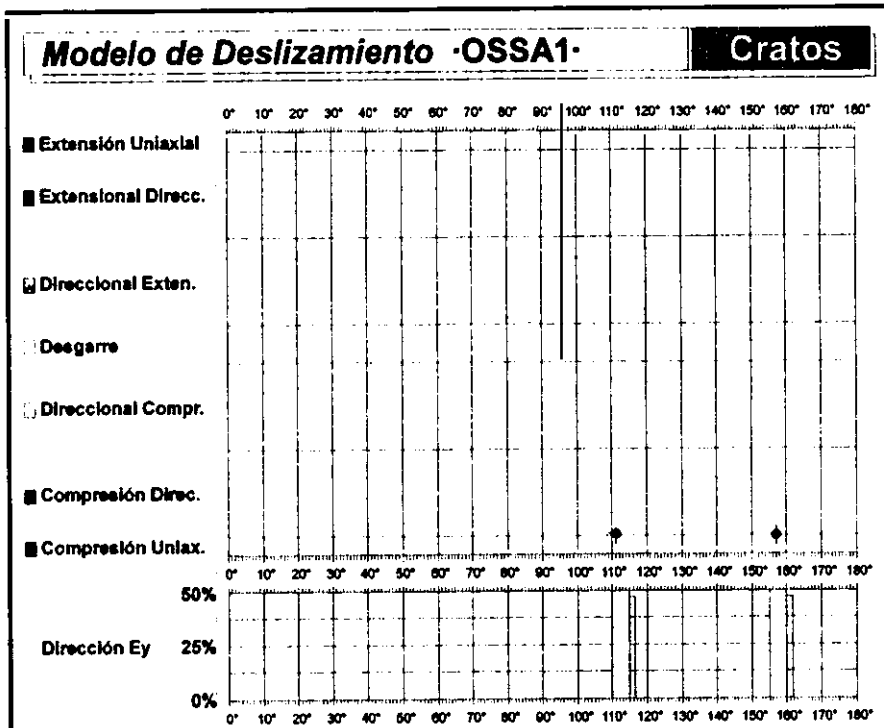
Método de Inversión de Esfuerzos

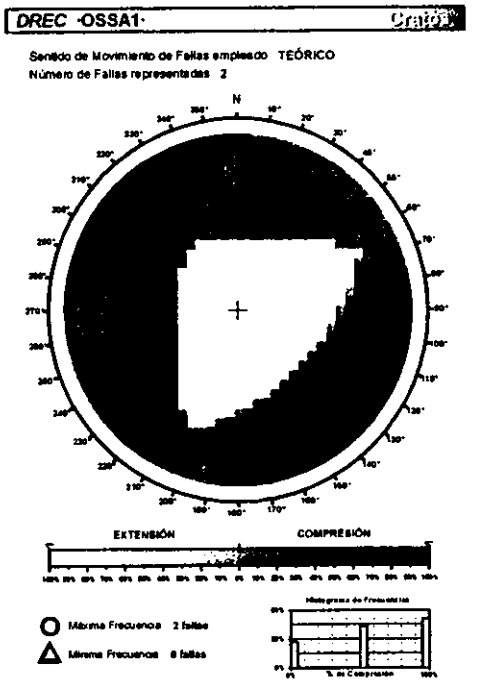








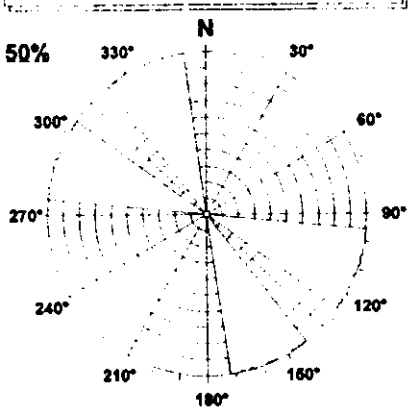


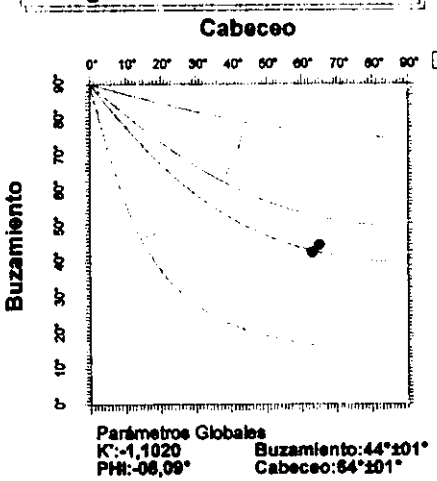


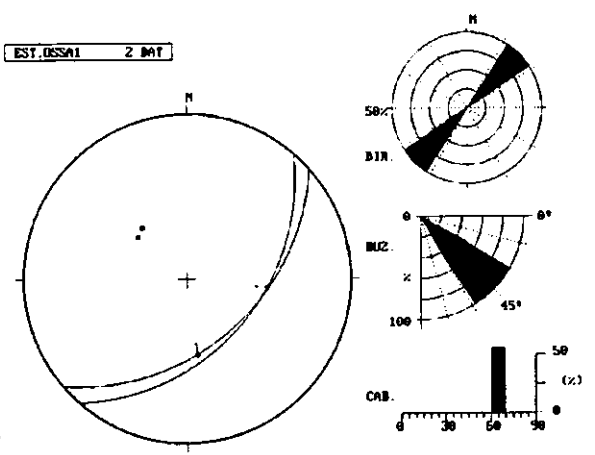
Estación: Ossa
Coordenadas U.T.M. (metros)
X: 514800
Y: 4316400
Z: 890
Litología: Carbonatos
Edad: Jurásico

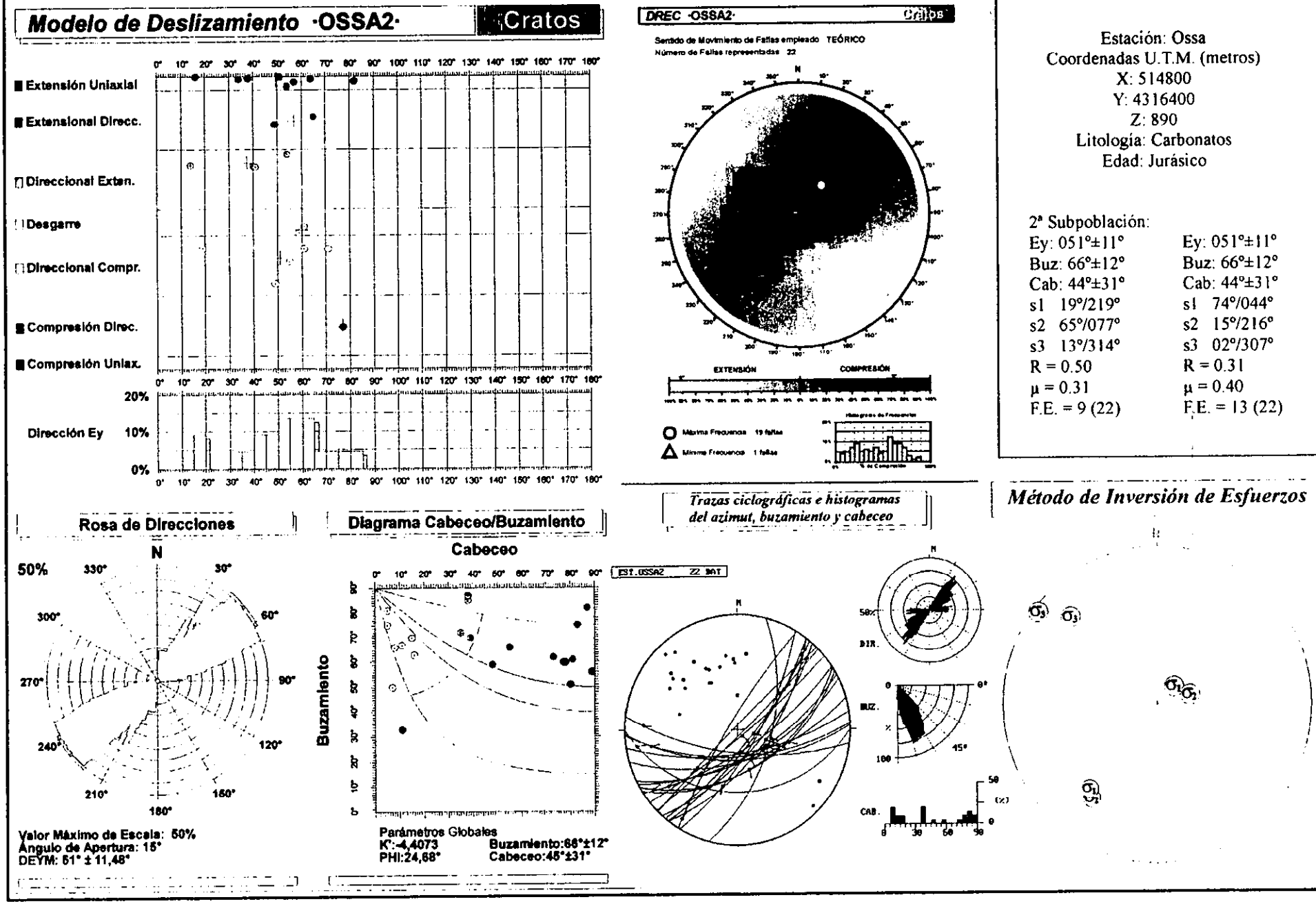
1ª Subpoblación:
Ey: 134°±0°
Buz: 44°±1°
Cab: 64°±1°
s1 --°/---°
s2 --°/---°
s3 --°/---°
R = ---
μ = ---
F.E. = 0 (2)

Trazas ciclográficas e histogramas del azimut, buzamiento y cabeceo

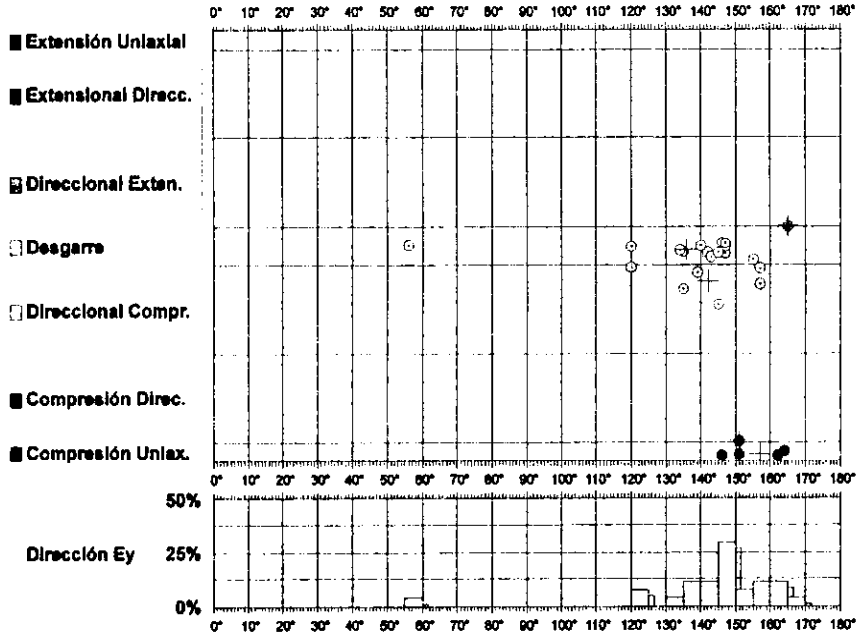


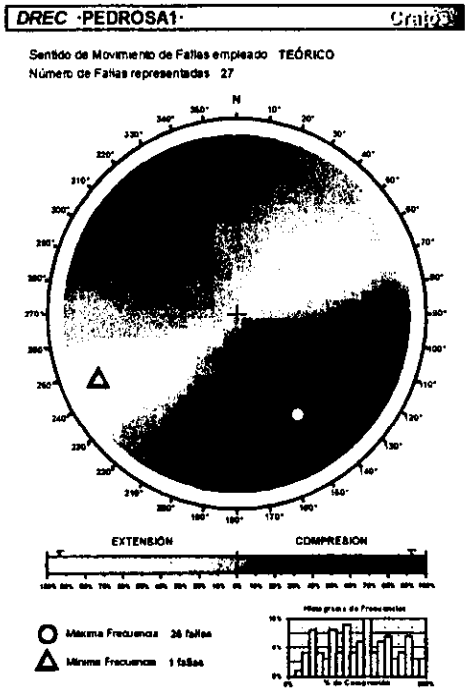





Modelo de Deslizamiento ·OSSA2·
Cratos
Extensión Uniaxial
Extensional Direcc.
Direccional Exten.
Desgarre
Direccional Compr.
Compresión Direc.
Compresión Uniax.
Dirección Ey
20%
10%
0%
DREC ·OSSA2·
Cratos
Sentido de Movimiento de Fallas empleado TEÓRICO
Número de Fallas representadas 22
EXTENSIÓN
COMPRESIÓN
Máxima Frecuencia 19 fallas
Mínima Frecuencia 1 fallas
Estación: Ossa
Coordenadas U.T.M. (metros)
X: 514800
Y: 4316400
Z: 890
Litología: Carbonatos
Edad: Jurásico
2ª Subpoblación:
Ey: 051°±11°
Buz: 66°±12°
Cab: 44°±31°
s1 19°/219°
s2 65°/077°
s3 13°/314°
R = 0.50
μ = 0.31
F.E. = 9 (22)
Ey: 051°±11°
Buz: 66°±12°
Cab: 44°±31°
s1 74°/044°
s2 15°/216°
s3 02°/307°
R = 0.31
μ = 0.40
F.E. = 13 (22)
Trazas ciclográficas e histogramas del azimut, buzamiento y cabeceo
Método de Inversión de Esfuerzos
Rosa de Direcciones
N
50%
Valor Máximo de Escala: 50%
Ángulo de Apertura: 15°
DEYM: 51° ± 11,48°
Diagrama Cabeceo/Buzamiento
Cabeceo
Buzamiento
EST.OSSA2 22 DAT
Parámetros Globales
K':-4,4073
PHI:24,68°
Buzamiento:66°±12°
Cabeceo:45°±31°
DIR.
BUZ.
CAB.

Modelo de Deslizamiento ·PEDROSA1· Cratos

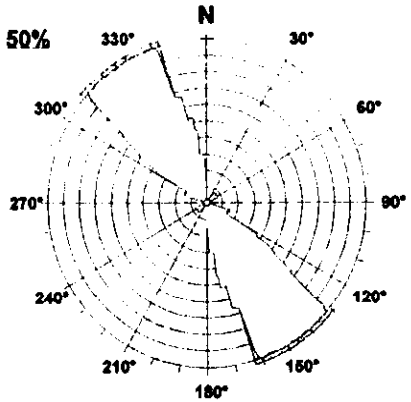




Estación: Pedrosa
Coordenadas U.T.M. (metros)
X: 487400
Y: 4316100
Z: 760
Litología: Carbonatos
Edad: Jurásico

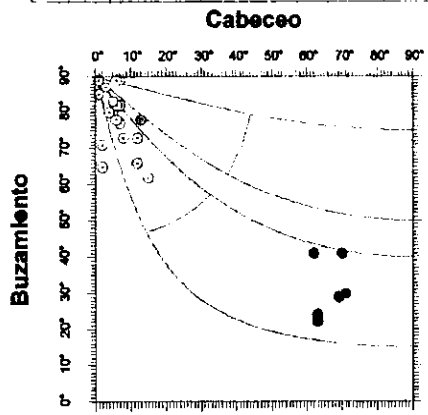
1ª Subpoblación:	
Ey: 146°±8°	Ey: 146°±8°
Buz: 69°±22°	Buz: 69°±22°
Cab: 19°±25°	Cab: 19°±25°
s1 00°/108°	s1 04°/151°
s2 07°/018°	s2 84°/313°
s3 82°/202°	s3 01°/060°
R = 0.61	R = 0.37
μ = 0.71	μ = 0.31
F.E. = 5 (27)	F.E. = 22 (27)

Rosa de Direcciones



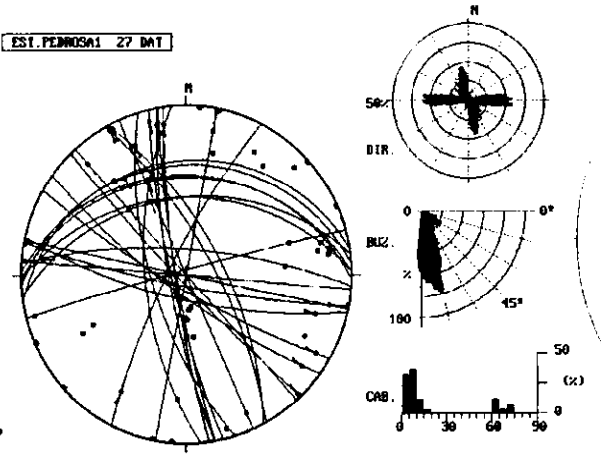
Valor Máximo de Escala: 50%
Ángulo de Apertura: 15°
DEYM: 146° ± 17,38°

Diagrama Cabeceo/Buzamiento

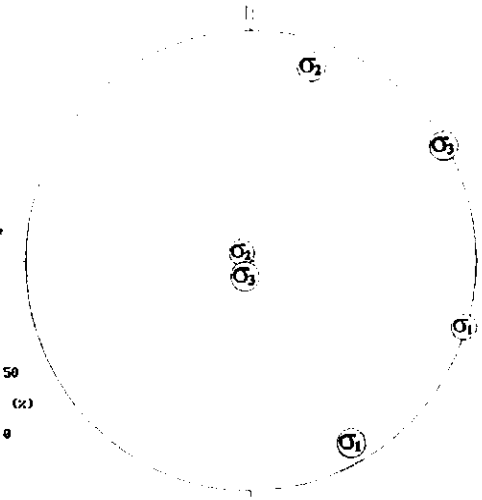


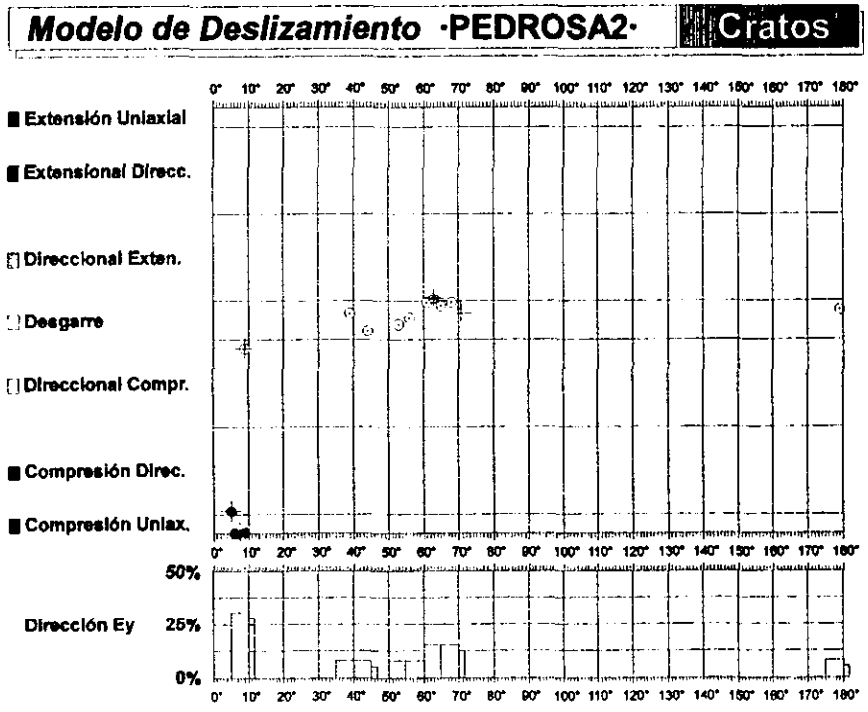
Parámetros Globales
K':-79,5324 Buzamiento:69°±22°
PHI:-09,40° Cabeceo:19°±25°

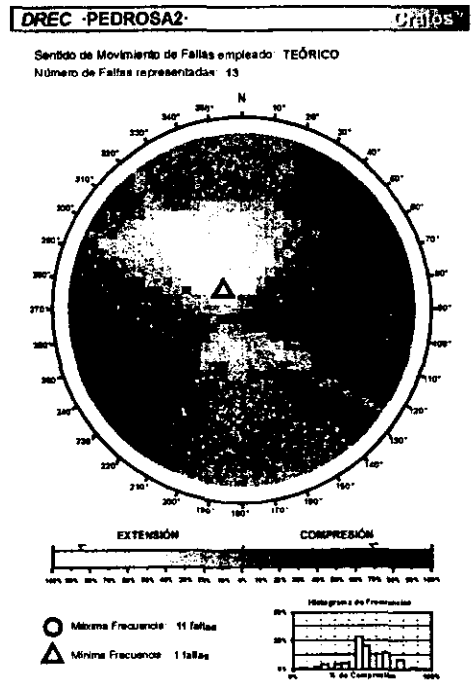
Trazas ciclográficas e histogramas del azimut, buzamiento y cabeceo



Método de Inversión de Esfuerzos





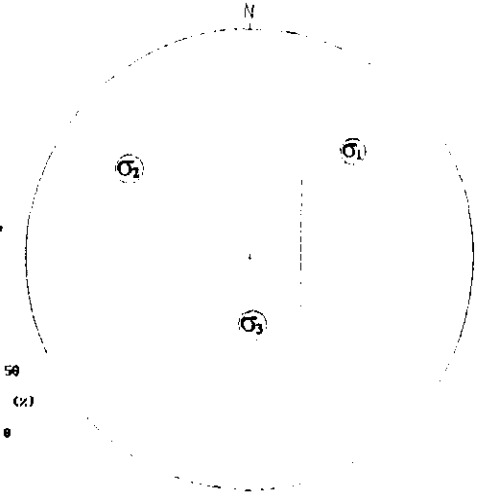


Estación: Pedrosa
Coordenadas U.T.M. (metros)
X: 487400
Y: 4316100
Z: 760
Litología: Carbonatos
Edad: Jurásico

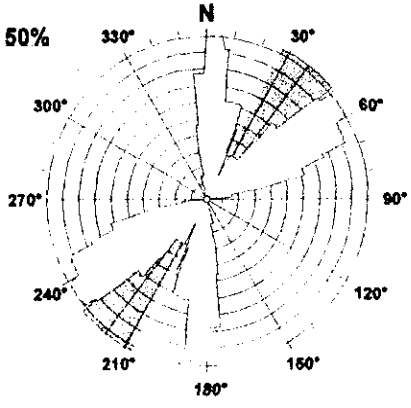
2ª Subpoblación:
Ey: 038°±11°
Buz: 72°±20°
Cab: 26°±29°
s1 24°/045°
s2 22°/305°
s3 56°/177°
R = 0.15
μ = 0.40
F.E. = 6 (13)

Trazas cicloográficas e histogramas del azimut, buzamiento y cabeceo

Método de Inversión de Esfuerzos

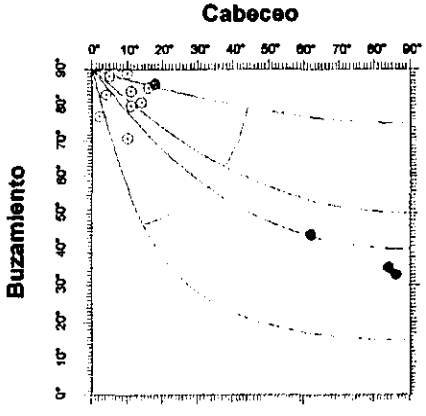


Rosa de Direcciones

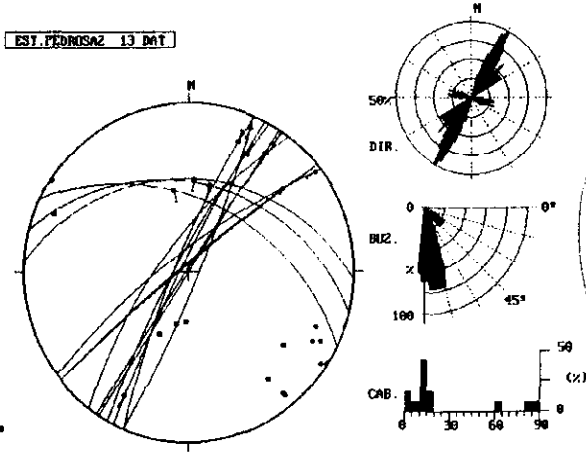


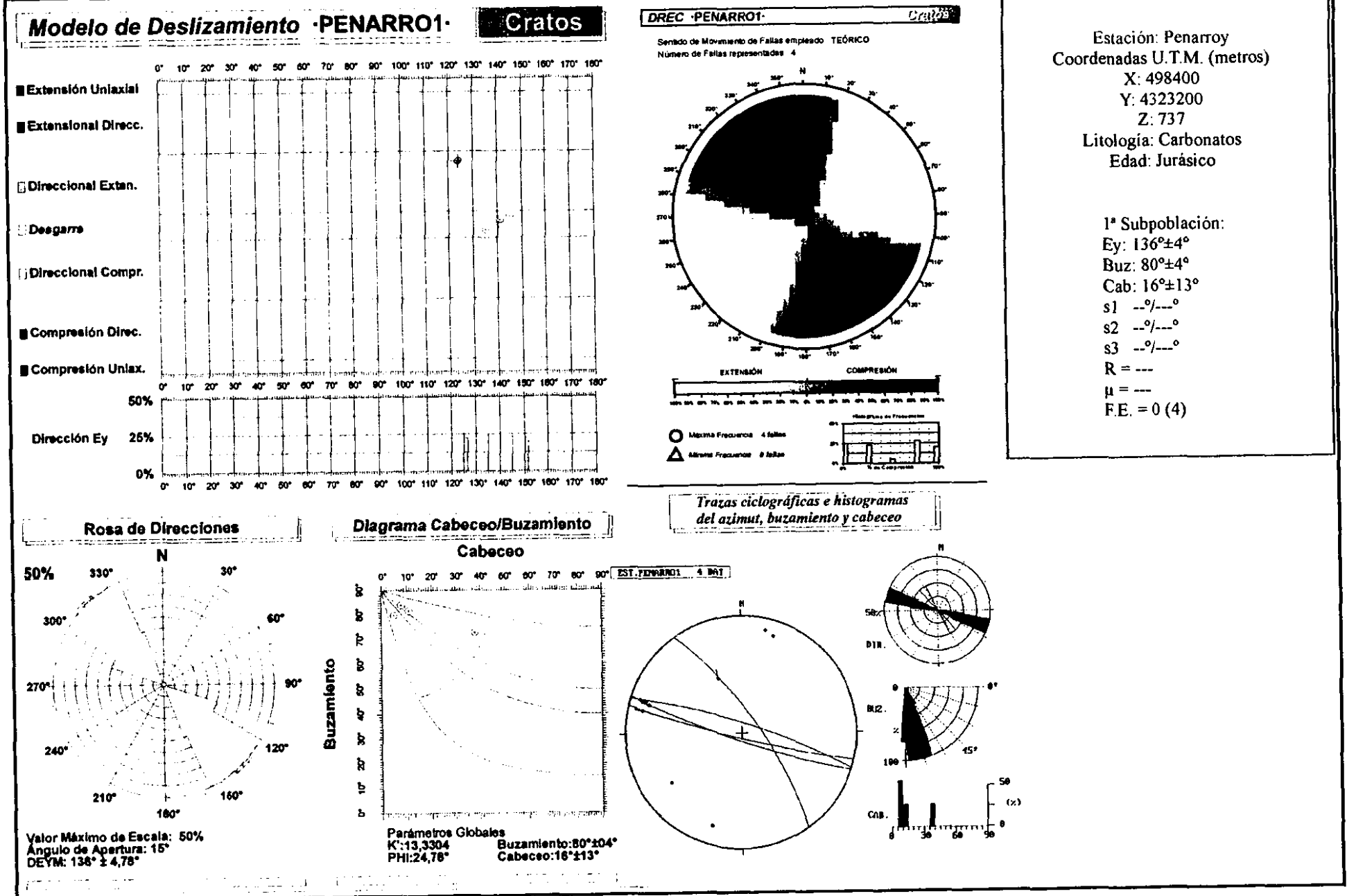
Valor Máximo de Escala: 50%
Ángulo de Apertura: 15°
DEYM: 38° ± 10,95°

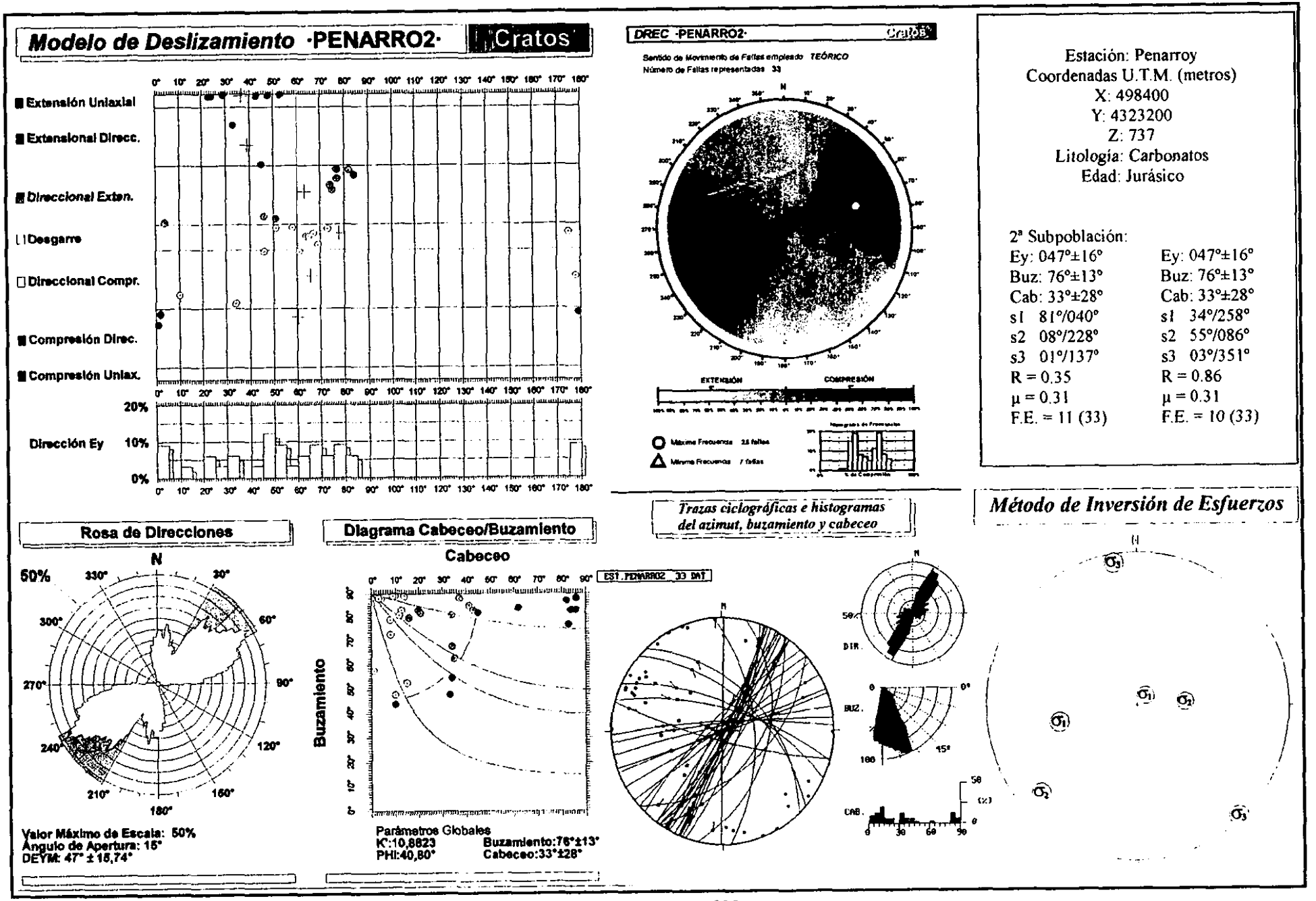
Diagrama Cabeceo/Buzamiento



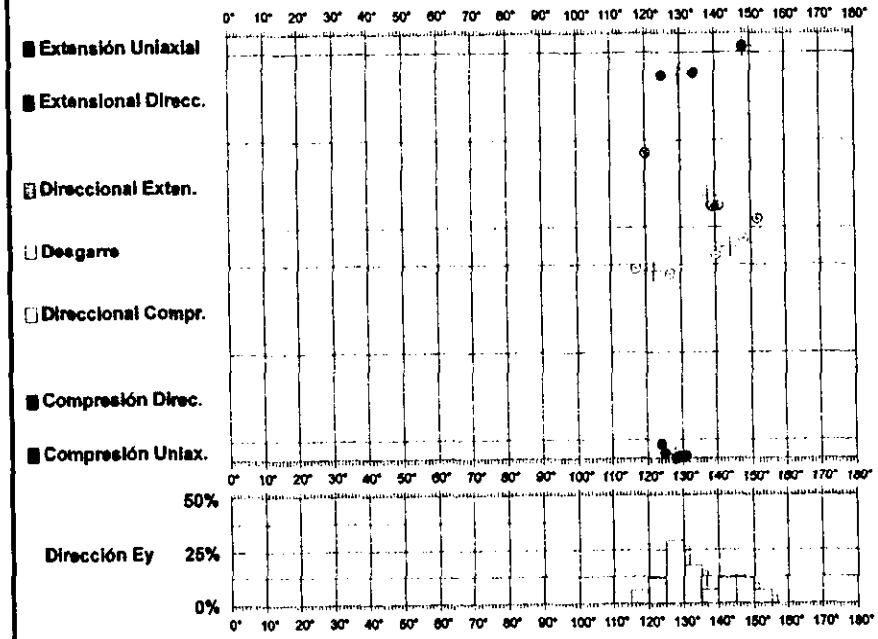
Parámetros Globales
K':6,6601
PHI:16,91°
Buzamiento:72°±20°
Cabeceo:26°±29°

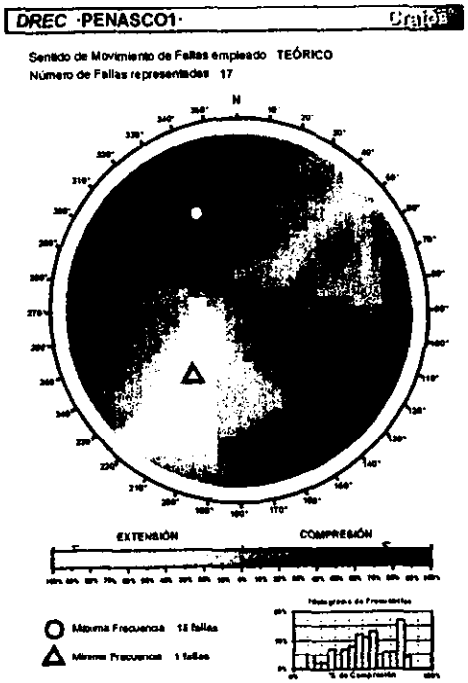



Modelo de Deslizamiento ·PENARRO1· Cratos
Extensión Uniaxial
Extensional Direcc.
Direccional Extan.
Deegarre
Direccional Compr.
Compresión Direc.
Compresión Uniax.
Dirección Ey
50%
25%
0%
DREC ·PENARRO1· Cratos
Sentido de Movimiento de Fallas empleado TEÓRICO
Número de Fallas representadas 4
EXTENSIÓN
COMPRESIÓN
Máxima Frecuencia 4 fallas
Mínima Frecuencia 0 fallas
Estación: Penarroy
Coordenadas U.T.M. (metros)
X: 498400
Y: 4323200
Z: 737
Litología: Carbonatos
Edad: Jurásico
1ª Subpoblación:
Ey: 136°±4°
Buz: 80°±4°
Cab: 16°±13°
s1 --°/---°
s2 --°/---°
s3 --°/---°
R = ---
μ = ---
F.E. = 0 (4)
Trazas ciclográficas e histogramas del azimut, buzamiento y cabeceo
Rosa de Direcciones
N
50%
Valor Máximo de Escala: 50%
Ángulo de Apertura: 15°
DEYM: 136° ± 4,78°
Diagrama Cabeceo/Buzamiento
Cabeceo
Buzamiento
EST.PENARRO1 4 BAT
Parámetros Globales
K':13,3304
PHI:24,78°
Buzamiento:80°±04°
Cabeceo:16°±13°
DIR.
BUZ.
CAB.


Modelo de Deslizamiento ·PENARRO2·
Cratos
Extensión Uniaxial
Extensional Direcc.
Direccional Exten.
Desgarre
Direccional Compr.
Compresión Direc.
Compresión Uniax.
Dirección Ey
20%
10%
0%
DREC ·PENARRO2·
Cratos
Sentido de Movimiento de Fallas empleado TEÓRICO
Número de Fallas representadas 33
EXTENSIÓN
COMPRESIÓN
Máxima Frecuencia 33 fallas
Mínima Frecuencia 7 fallas
Estación: Penarroy
Coordenadas U.T.M. (metros)
X: 498400
Y: 4323200
Z: 737
Litología: Carbonatos
Edad: Jurásico
2ª Subpoblación:
Ey: 047°±16°
Buz: 76°±13°
Cab: 33°±28°
s1 81°/040°
s2 08°/228°
s3 01°/137°
R = 0.35
μ = 0.31
F.E. = 11 (33)
Ey: 047°±16°
Buz: 76°±13°
Cab: 33°±28°
s1 34°/258°
s2 55°/086°
s3 03°/351°
R = 0.86
μ = 0.31
F.E. = 10 (33)
Trazas ciclográficas e histogramas del azimut, buzamiento y cabeceo
Método de Inversión de Esfuerzos
Rosa de Direcciones
50%
Valor Máximo de Escala: 50%
Ángulo de Apertura: 15°
DEYM: 47° ± 15,74°
Diagrama Cabeceo/Buzamiento
Cabeceo
Buzamiento
EST.PENARRO2 33 DAT
Parámetros Globales
K':10,8823
PHI:40,80°
Buzamiento:76°±13°
Cabeceo:33°±28°
DIR.
BUZ.
CAB.

Modelo de Deslizamiento ·PENASCO1· Cratos





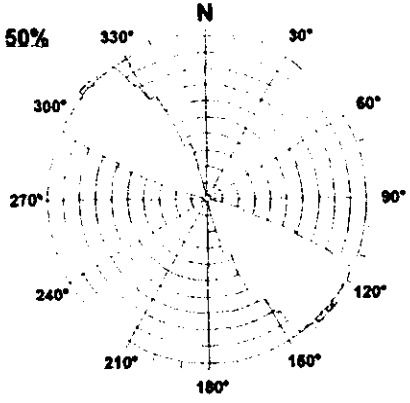
Estación: Penasco
Coordenadas U.T.M. (metros)
X: 551500
Y: 4279250
Z: 1180
Litología: Carbonatos
Edad: Jurásico

1ª Subpoblación:	
Ey: 133°±5°	Ey: 133°±5°
Buz: 60°±26°	Buz: 60°±26°
Cab: 45°±30°	Cab: 45°±30°
s1 06°/309°	s1 20°/130°
s2 83°/152°	s2 62°/266°
s3 02°/039°	s3 17°/033°
R = 0.23	R = 0.18
μ = 0.71	μ = 0.31
F.E. = 5 (17)	F.E. = 7 (17)

Trazas cicloográficas e histogramas del azimut, buzamiento y cabeceo

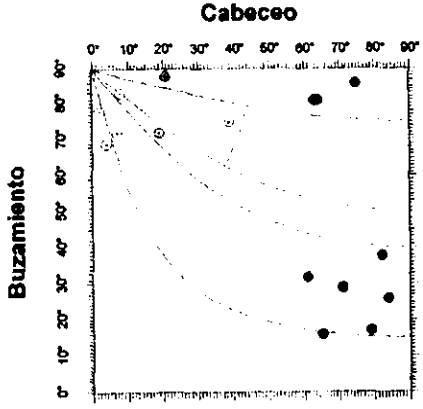
Método de Inversión de Esfuerzos

Rosa de Direcciones

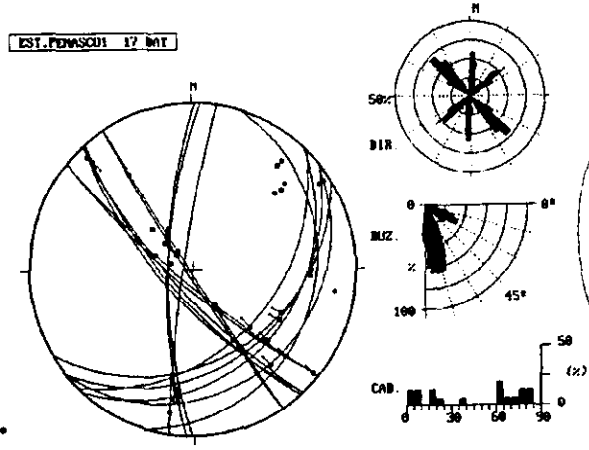


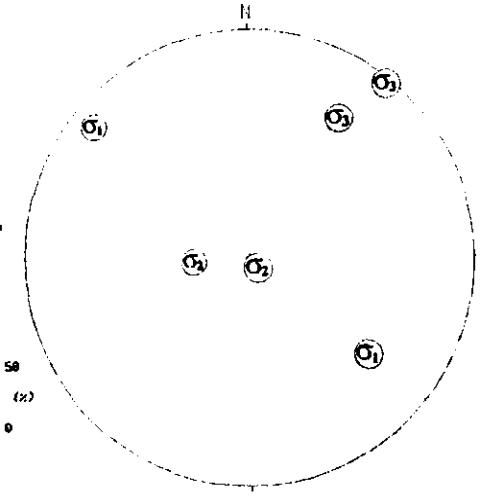
Valor Máximo de Escala: 50%
Ángulo de Apertura: 15°
DEYM: 133° ± 5,37°

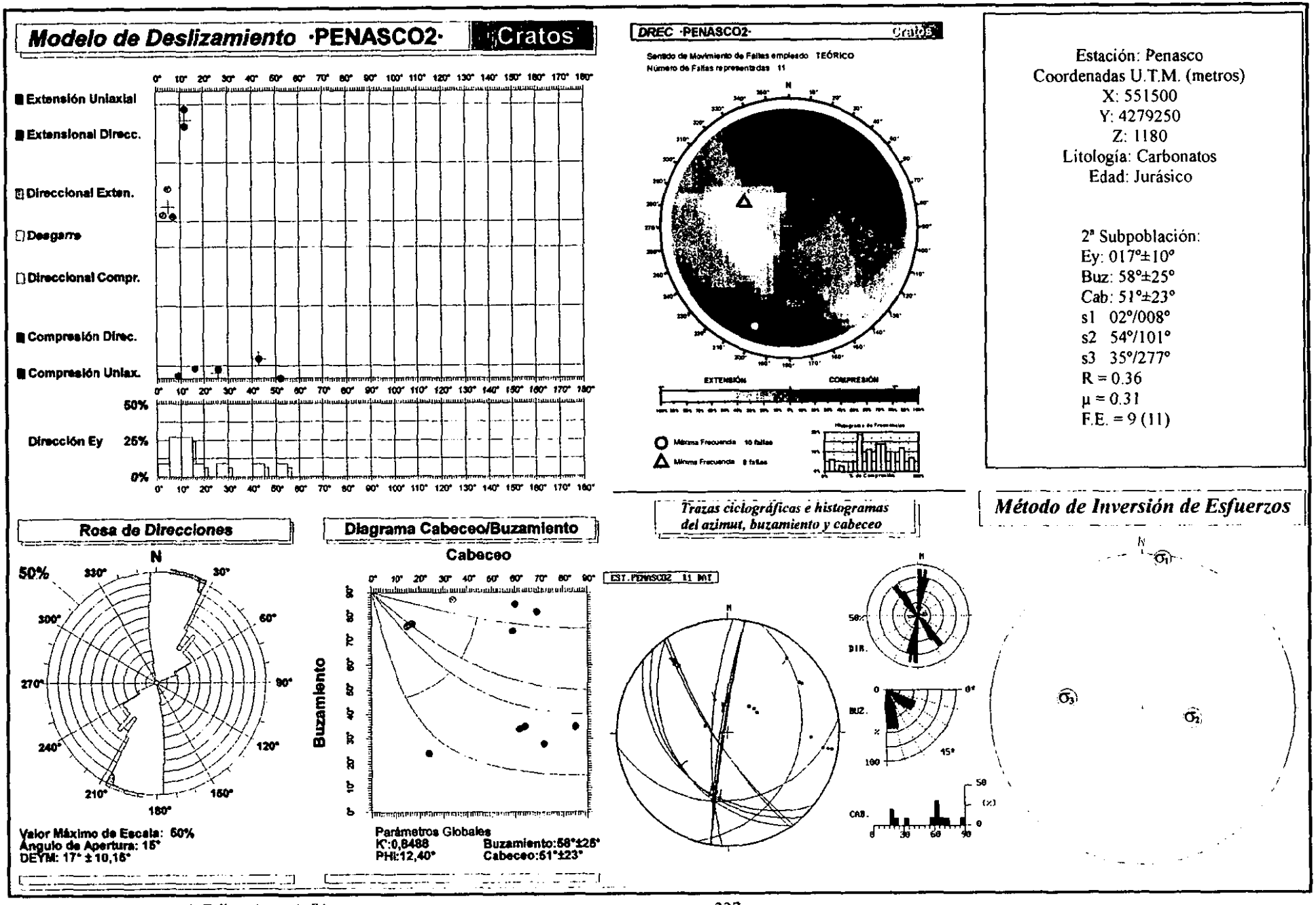
Diagrama Cabeceo/Buzamiento



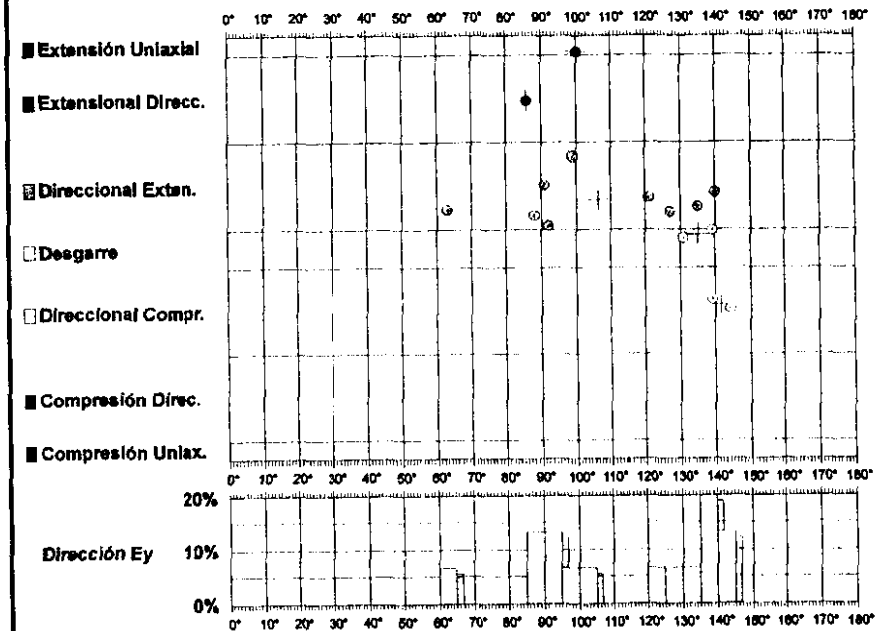
Parámetros Globales
K':3,4243 Buzamiento:60°±26°
PHI:11,64° Cabeceo:45°±30°

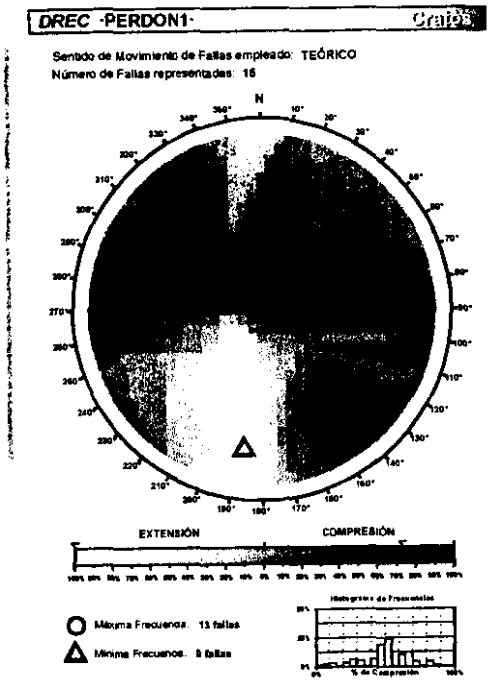





Modelo de Deslizamiento ·PENASCO2· Cratos
Extensión Uniaxial
Extensional Direcc.
Direccional Exten.
Desgarre
Direccional Compr.
Compresión Direc.
Compresión Uniax.
Dirección Ey
50%
25%
0%
DREC ·PENASCO2· Cratos
Sentido de Movimiento de Fallas empleado TEÓRICO
Número de Fallas representadas 11
EXTENSIÓN
COMPRESIÓN
Estación: Penasco
Coordenadas U.T.M. (metros)
X: 551500
Y: 4279250
Z: 1180
Litología: Carbonatos
Edad: Jurásico
2ª Subpoblación:
Ey: 017°±10°
Buz: 58°±25°
Cab: 51°±23°
s1 02°/008°
s2 54°/101°
s3 35°/277°
R = 0.36
μ = 0.31
F.E. = 9 (11)
Trazas ciclográficas e histogramas del azimut, buzamiento y cabeceo
Método de Inversión de Esfuerzos
Rosa de Direcciones
50%
Valor Máximo de Escala: 50%
Ángulo de Apertura: 15°
DEYM: 17° ± 10,16°
Diagrama Cabeceo/Buzamiento
Cabeceo
Buzamiento
Parámetros Globales
K':0,8488
PHI:12,40°
Buzamiento:58°±25°
Cabeceo:51°±23°
DIR.
BUZ.
CAB.

Modelo de Deslizamiento ·PERDON1· Cratos



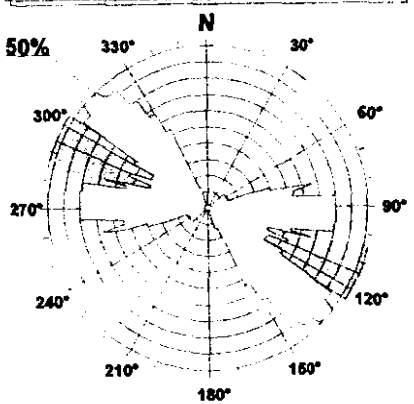


Estación: Perdon
Coordenadas U.T.M. (metros)
X: 525200
Y: 4369500
Z: 734
Litología: Carbonatos
Edad: *Jurásico*

1ª Subpoblación:
Ey: 114°±10°
Buz: 79°±7°
Cab: 28°±16°
s1 --°/---°
s2 --°/---°
s3 --°/---°
R = ---
μ = ---
F.E. = 0 (15)

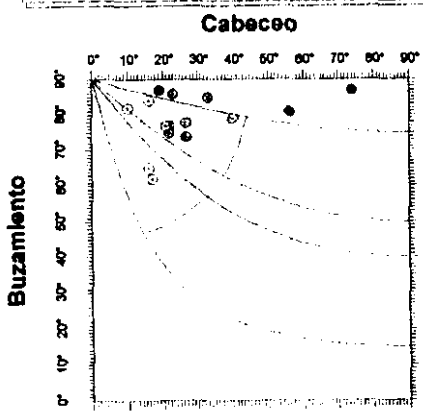
Trazas cicloográficas e histogramas del azimut, buzamiento y cabeceo

Rosa de Direcciones

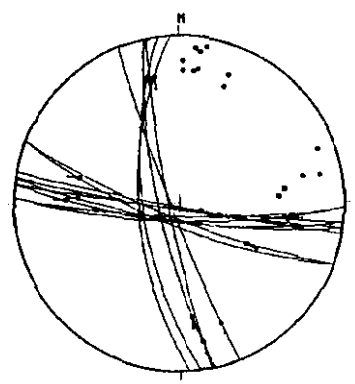


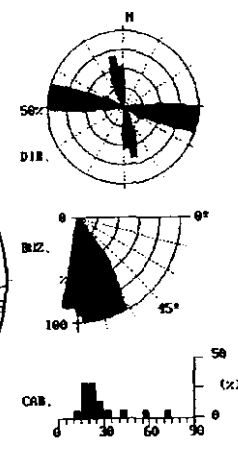
Valor Máximo de Escala: 50%
Ángulo de Apertura: 15°
DEYM: 114° ± 10,19°

Diagrama Cabeceo/Buzamiento

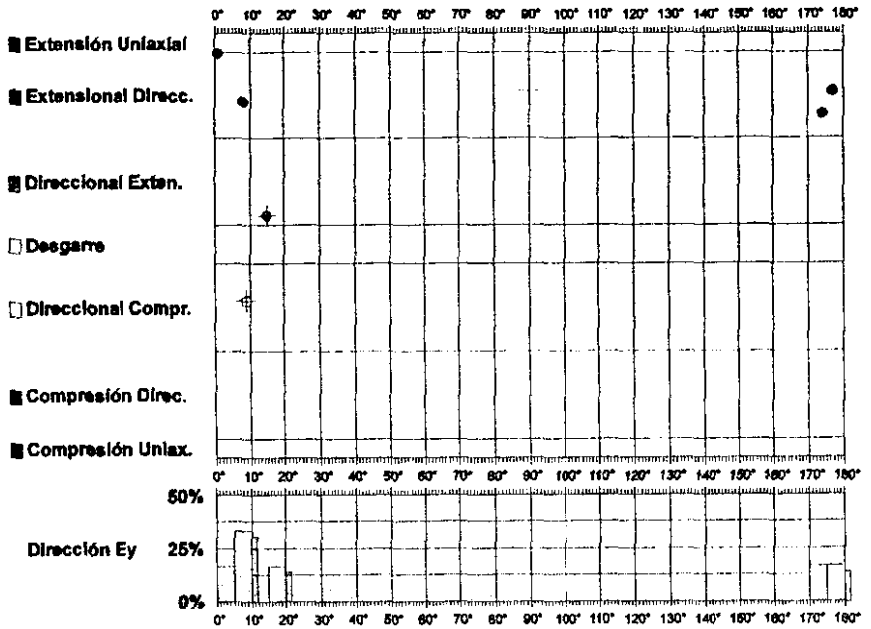


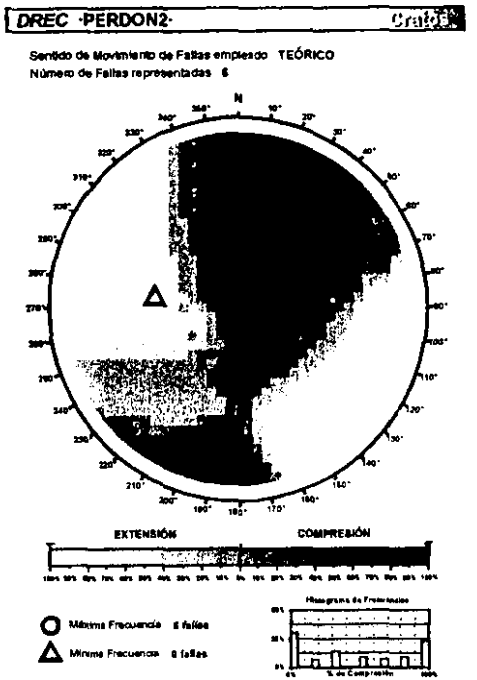
Parámetros Globales
K':3,1552 Buzamiento:79°±07°
PHI:46,02° Cabeceo:28°±16°





Modelo de Deslizamiento ·PERDON2· Cratos

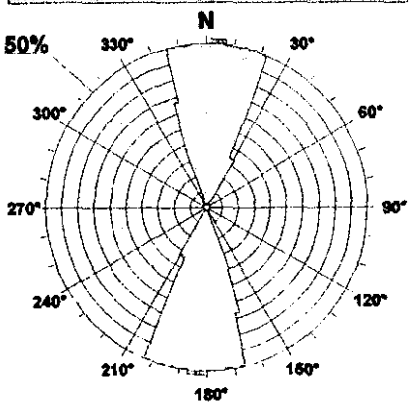




Estación: Perdon
Coordenadas U.T.M. (metros)
X: 525200
Y: 4369500
Z: 734
Litología: Carbonatos
Edad: Jurásico

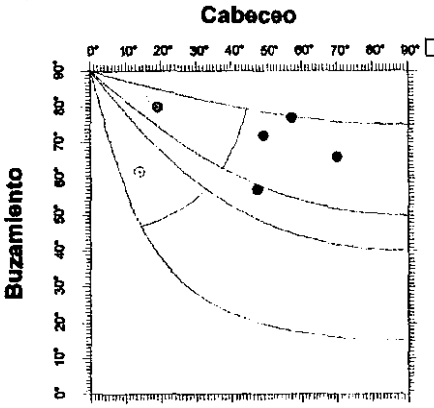
2ª Subpoblación:
Ey: 004°±3°
Buz: 69°±8°
Cab: 43°±20°
s1 54°/192°
s2 34°/359°
s3 05°/094°
R = 0.62
μ = 0.40
F.E. = 6 (6)

Rosa de Direcciones



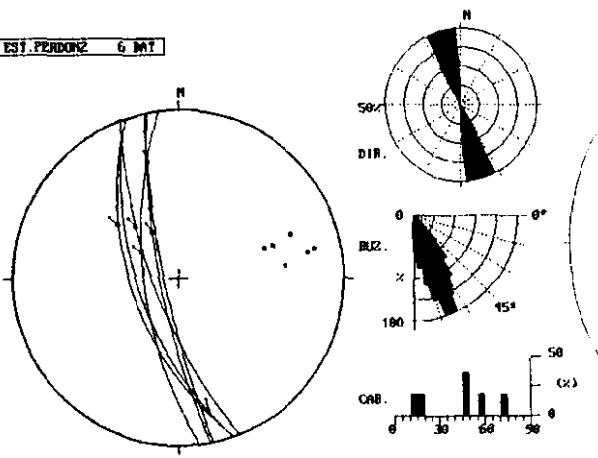
Valor Máximo de Escala: 50%
Ángulo de Apertura: 15°
DEYM: 4° ±3,27°

Diagrama Cabeceo/Buzamiento

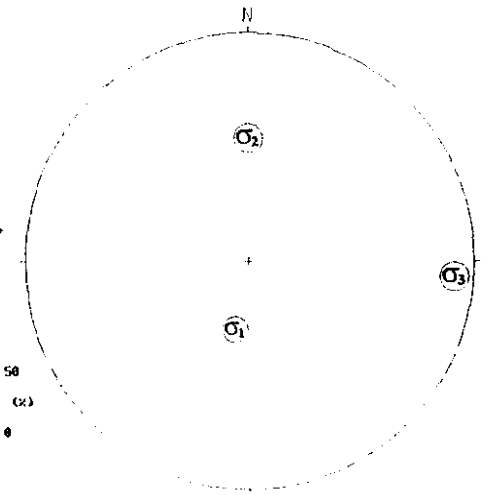


Parámetros Globales
K*:1,0560 Buzamiento:69°±08°
PHI:31,25° Cabeceo:43°±20°

Trazas ciclográficas e histogramas del azimut, buzamiento y cabeceo

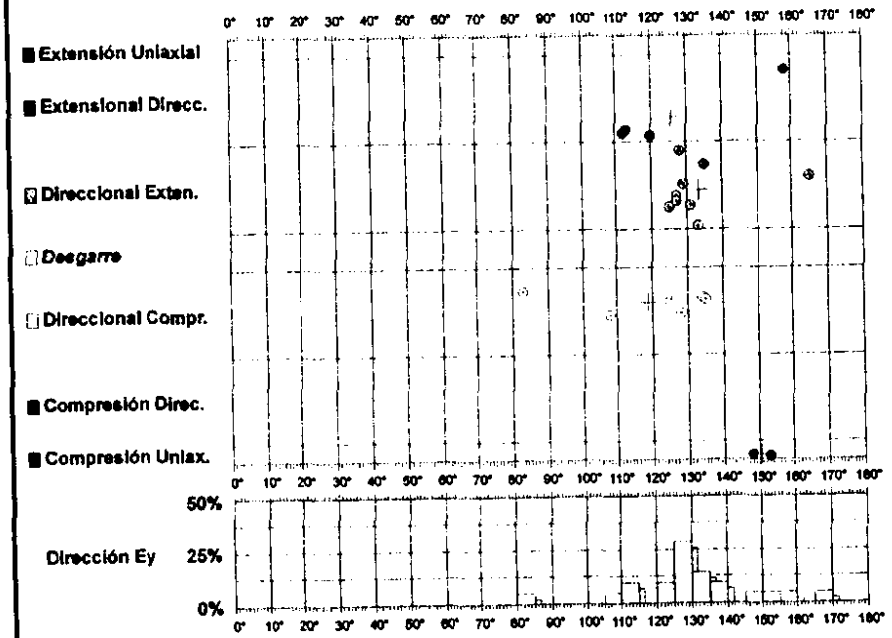


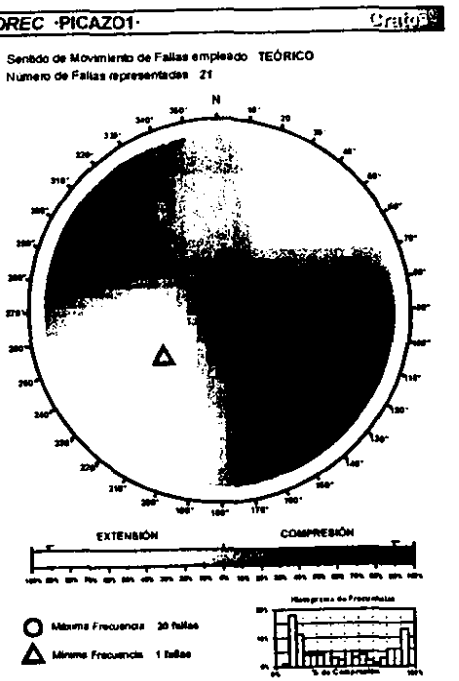
Método de Inversión de Esfuerzos



Modelo de Deslizamiento ·PICAZO1·

Cratos





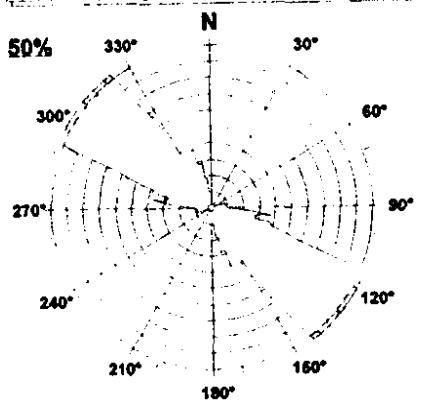
Estación: Picazo
Coordenadas U.T.M. (metros)
X: 527200
Y: 4255400
Z: 1100
Litología: Carbonatos
Edad: Jurásico

1ª Subpoblación:
Ey: 130°±13°
Buz: 66°±16°
Cab: 32°±15°
s1 08°/140°
s2 81°/333°
s3 01°/230°
R = 0.38
μ = 0.40
F.E. = 14 (21)

Trazas cicloográficas e histogramas del azimut, buzamiento y cabeceo

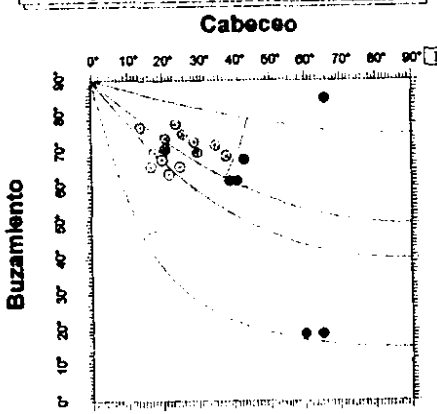
Método de Inversión de Esfuerzos

Rosa de Direcciones

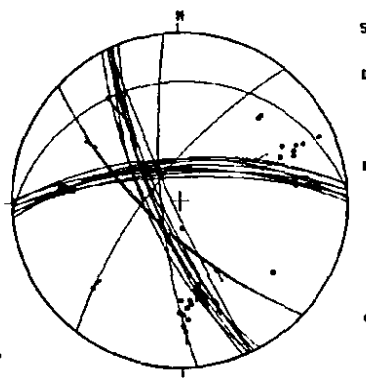


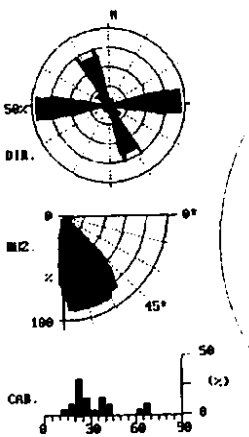
Valor Máximo de Escala: 50%
Angulo de Apertura: 15°
DEYM: 130° ± 12,81°

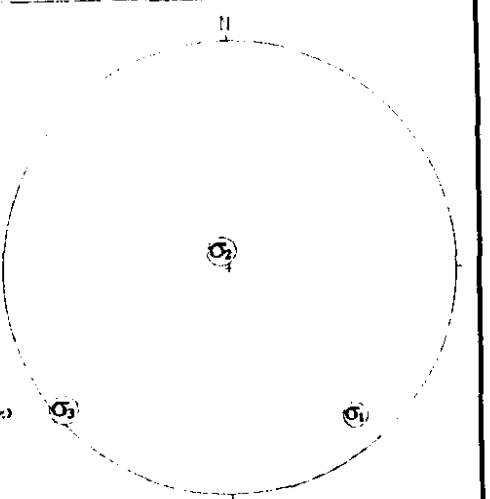
Diagrama Cabeceo/Buzamiento

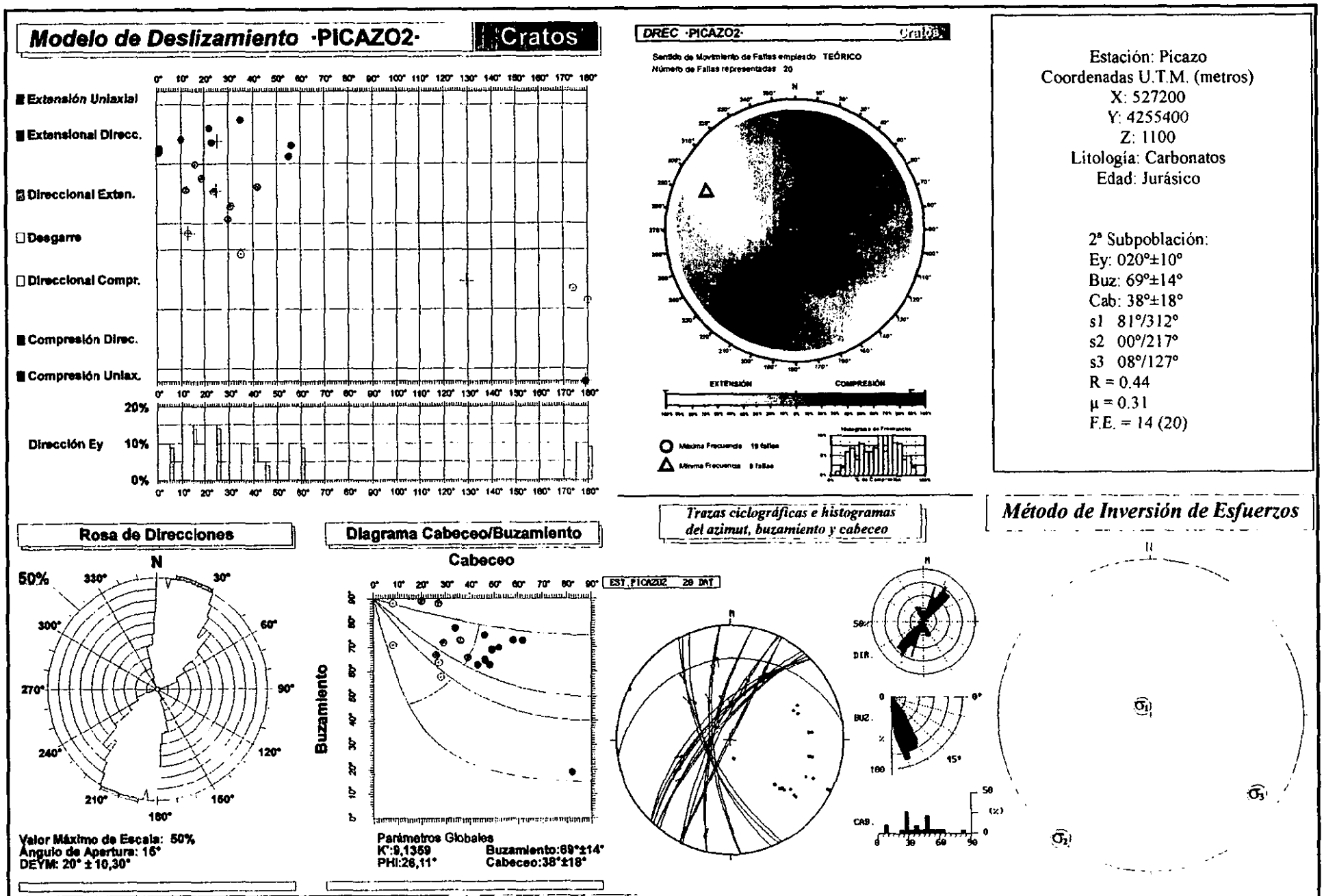


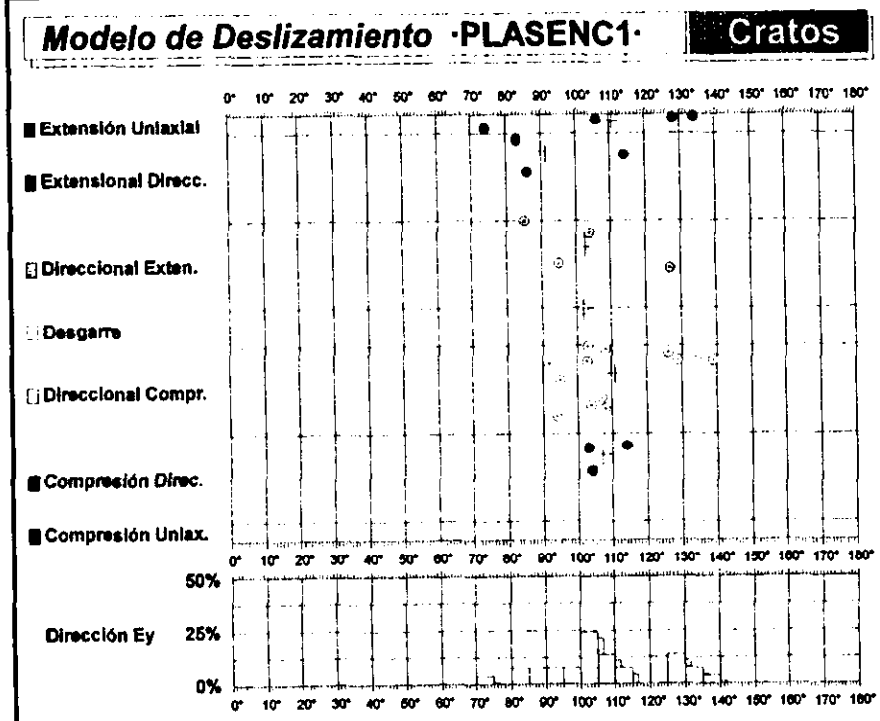
Parámetros Globales
K':-0,2538
PHI:09,93°
Buzamiento:66°±16°
Cabeceo:32°±15°

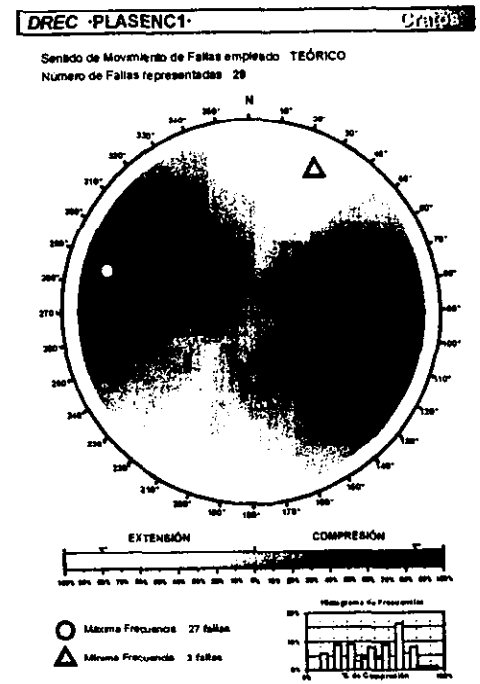







Modelo de Deslizamiento ·PICAZO2·
Cratos
Extensión Uniaxial
Extensional Direcc.
Direccional Exten.
Desgarre
Direccional Compr.
Compresión Direc.
Compresión Uniax.
Dirección Ey
20%
10%
0%
DREC ·PICAZO2·
Cratos
Sentido de Movimiento de Fallas empleado TEÓRICO
Número de Fallas representadas 20
EXTENSIÓN
COMPRESIÓN
Estación: Picazo
Coordenadas U.T.M. (metros)
X: 527200
Y: 4255400
Z: 1100
Litología: Carbonatos
Edad: Jurásico
2ª Subpoblación:
Ey: 020°±10°
Buz: 69°±14°
Cab: 38°±18°
s1 81°/312°
s2 00°/217°
s3 08°/127°
R = 0.44
μ = 0.31
F.E. = 14 (20)
Trazas ciclográficas e histogramas del azimut, buzamiento y cabeceo
Método de Inversión de Esfuerzos
Rosa de Direcciones
Diagrama Cabeceo/Buzamiento
Cabeceo
Buzamiento
Valor Máximo de Escala: 50%
Ángulo de Apertura: 16°
DEYM: 20° ± 10,30°
Parámetros Globales
K':9,1359
PHI:26,11°
Buzamiento:69°±14°
Cabeceo:38°±18°



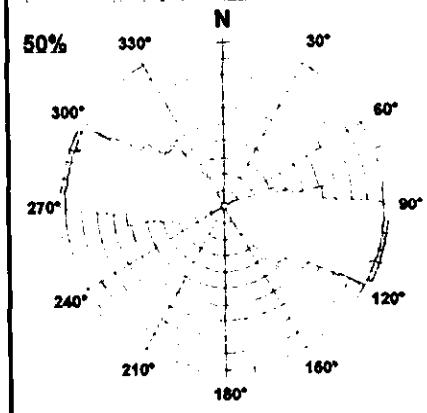


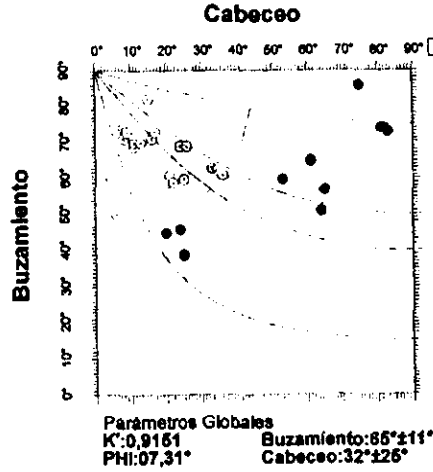
Estación: Plasenc
Coordenadas U.T.M. (metros)
X: 233300
Y: 4432100
Z: 385
Litología: Basamento hercínico
Edad: Precámbrico

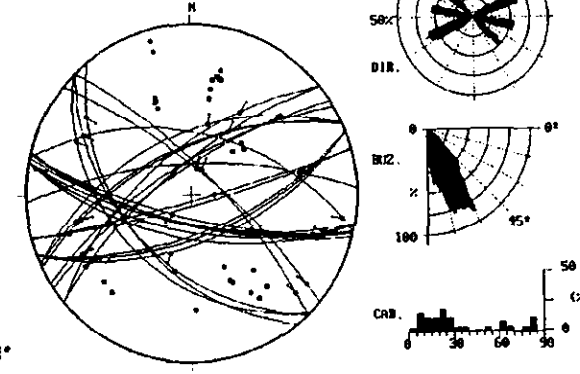
1ª Subpoblación:
Ey: 106°±11°
Buz: 65°±11°
Cab: 32°±25°
s1 08°/288°
s2 77°/152°
s3 08°/019°
R = 0.75
μ = 0.31
F.E. = 24 (29)

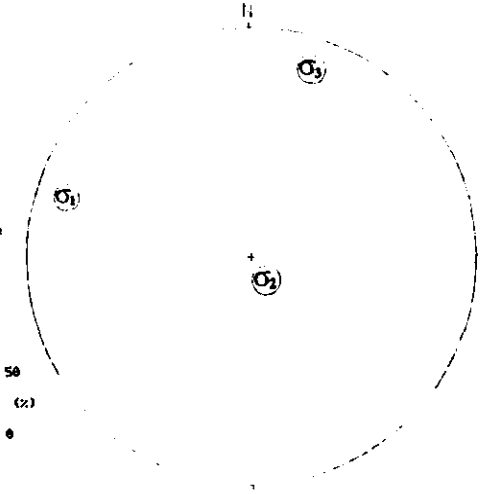
Trazas ciclográficas e histogramas del azimut, buzamiento y cabeceo

Método de Inversión de Esfuerzos

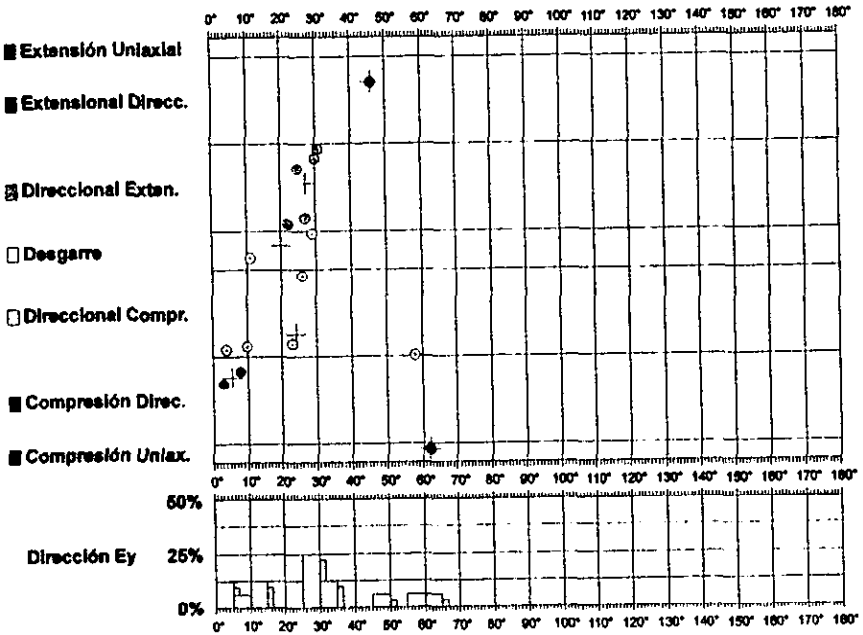


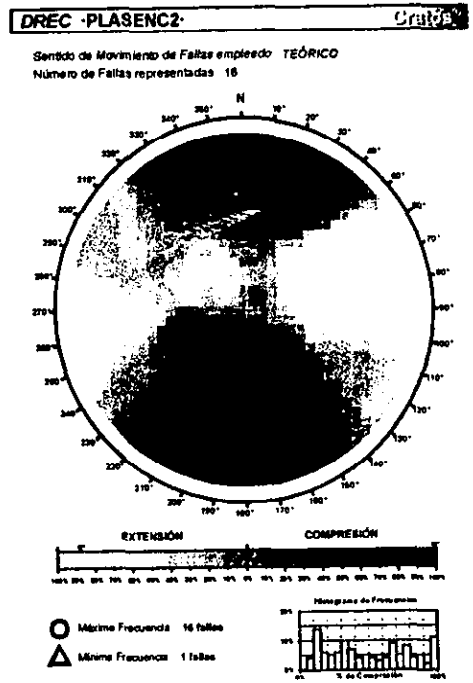






Modelo de Deslizamiento ·PLASENC2· Cratos



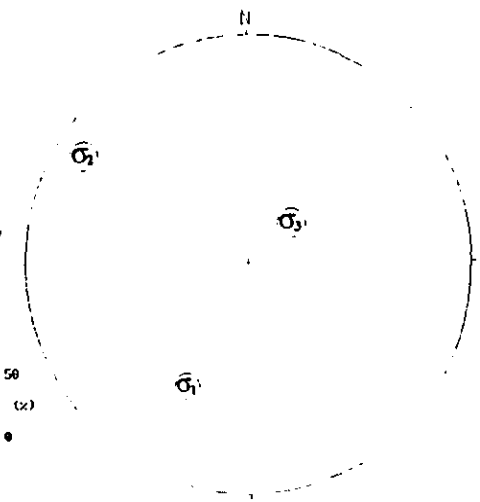


Estación: Plasenc
Coordenadas U.T.M. (metros)
X: 233300
Y: 4432100
Z: 385
Litología: Basamento hercínico
Edad: Precámbrico

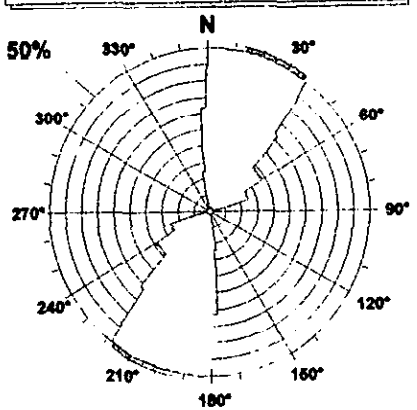
2ª Subpoblación:
Ey: 025±12°
Buz: 64°±16°
Cab: 25°±18°
s1 27°/208°
s2 07°/302°
s3 61°/047°
R = 0.25
μ = 0.31
F.E. = 12 (16)

Trazas ciclográficas e histogramas del azimut, buzamiento y cabeceo

Método de Inversión de Esfuerzos

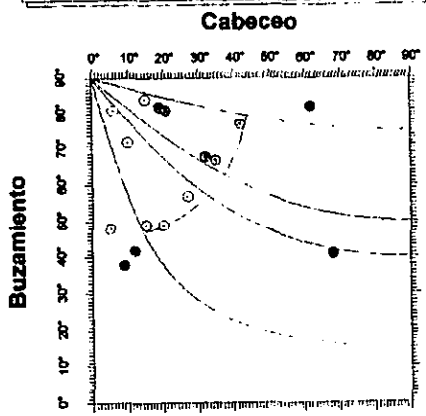


Rosa de Direcciones

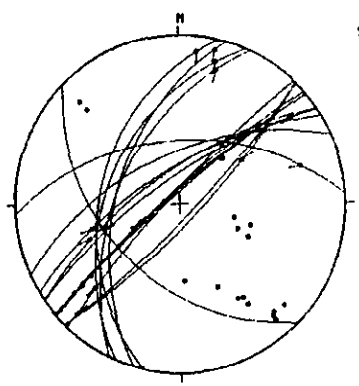


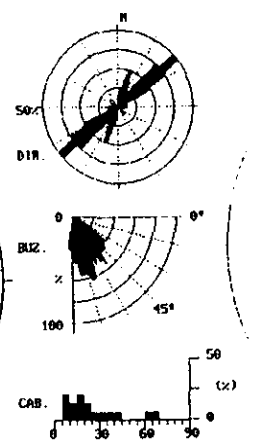
Valor Máximo de Escala: 50%
Ángulo de Apertura: 15°
DEVM: 25° ± 11,68°

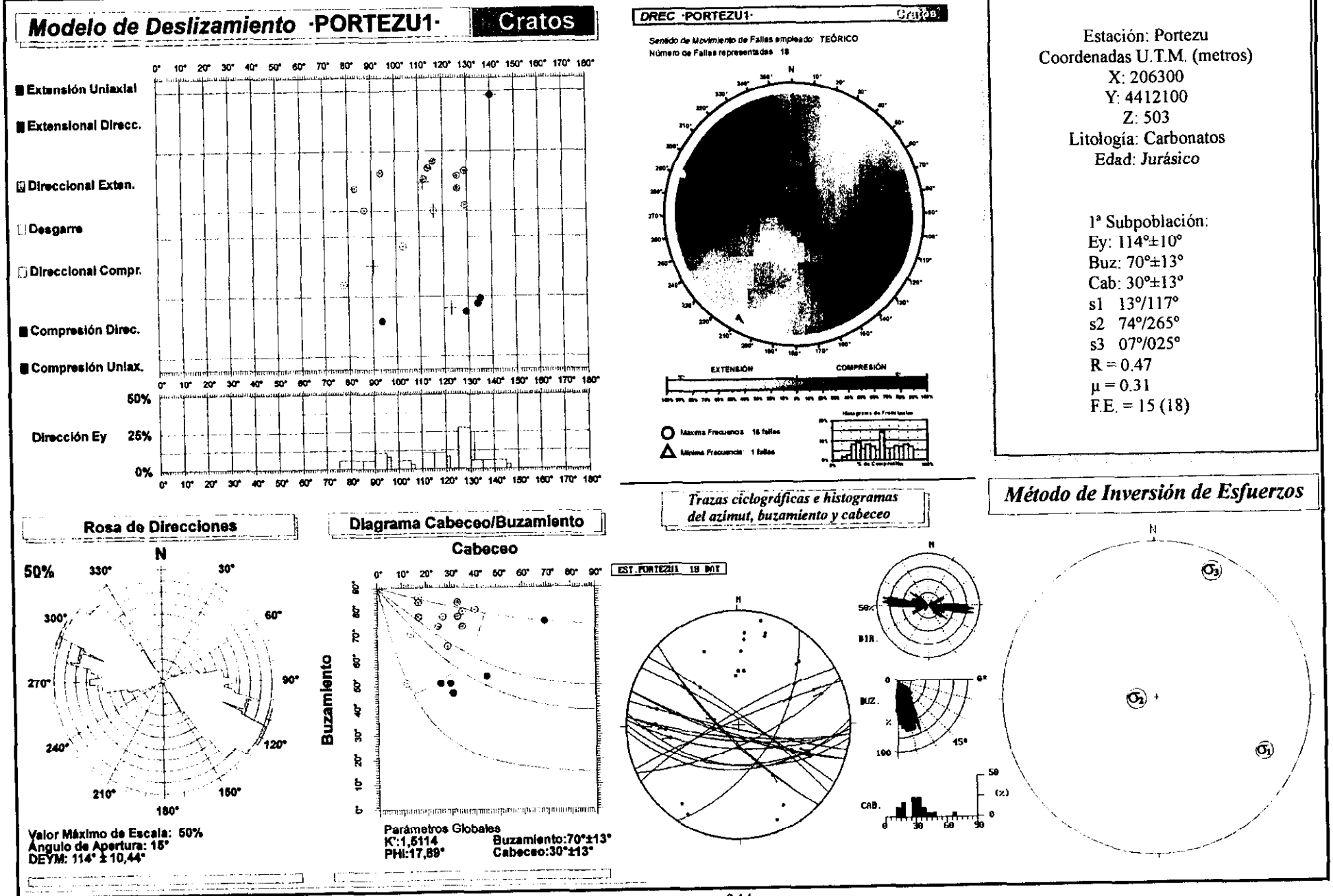
Diagrama Cabeceo/Buzamiento



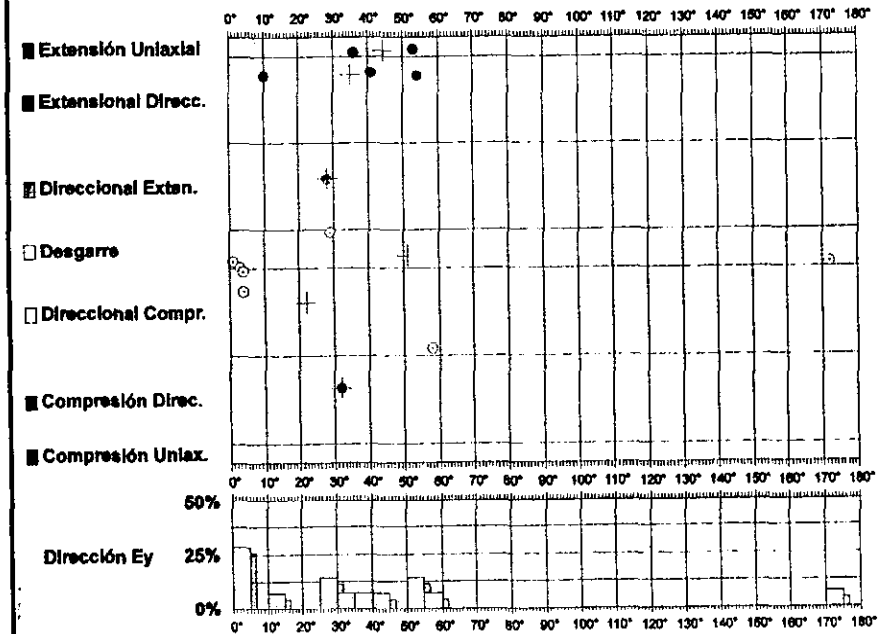
Parámetros Globales
K':-3,7756
PHI:-08,18°
Buzamiento:64°±16°
Cabeceo:25°±18°



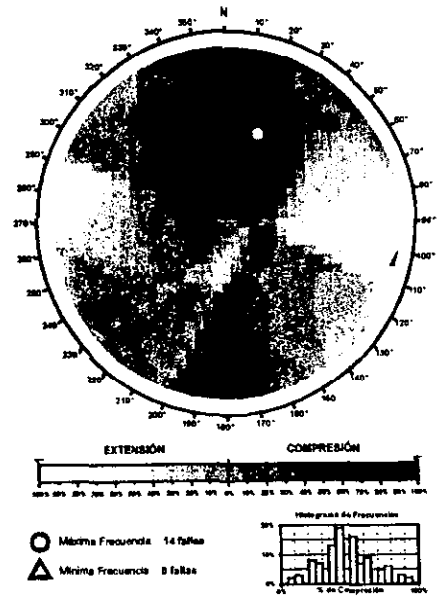



Modelo de Deslizamiento ·PORTEZU1·
Cratos
Extensión Uniaxial
Extensional Direcc.
Direccional Exten.
Desgarre
Direccional Compr.
Compresión Direc.
Compresión Uniax.
Dirección Ey
50%
25%
0%
DREC ·PORTEZU1·
Cratos
Sentido de Movimiento de Fallas empleado TEÓRICO
Número de Fallas representadas 18
EXTENSIÓN
COMPRESIÓN
Máxima Frecuencia 16 fallas
Mínima Frecuencia 1 fallas
Estación: Portezu
Coordenadas U.T.M. (metros)
X: 206300
Y: 4412100
Z: 503
Litología: Carbonatos
Edad: Jurásico
1ª Subpoblación:
Ey: 114°±10°
Buz: 70°±13°
Cab: 30°±13°
s1 13°/117°
s2 74°/265°
s3 07°/025°
R = 0.47
μ = 0.31
F.E. = 15 (18)
Trazas ciclográficas e histogramas del azimut, buzamiento y cabeceo
Método de Inversión de Esfuerzos
Rosa de Direcciones
50%
Valor Máximo de Escala: 50%
Ángulo de Apertura: 15°
DEYM: 114° ± 10,44°
Diagrama Cabeceo/Buzamiento
Cabeceo
Buzamiento
Parámetros Globales
K':1,5114
PHI:17,89°
Buzamiento:70°±13°
Cabeceo:30°±13°
EST.PORTEZU1 18 BMT
BIN.
BUZ.
CAB.

Modelo de Deslizamiento ·PORTEZU2· Cratos



DREC ·PORTEZU2· Cratos



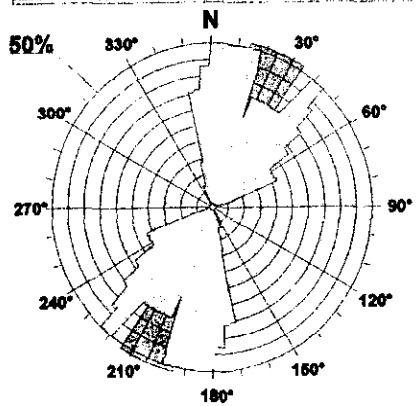
Estación: Portezu
Coordenadas U.T.M. (metros)
X: 206300
Y: 4412100
Z: 503
Litología: Carbonatos
Edad: Jurásico

2ª Subpoblación:	
Ey: 024°±10°	Ey: 024°±10°
Buz: 69°±10°	Buz: 69°±10°
Cab: 34°±26°	Cab: 34°±26°
s1 41°/202°	s1 57°/017°
s2 48°/035°	s2 05°/116°
s3 06°/298°	s3 31°/209°
R = 0.64	R = 0.72
μ = 0.31	μ = 0.31
F.E. = 7 (14)	F.E. = 6 (14)

Trazas ciclográficas e histogramas del azimut, buzamiento y cabeceo

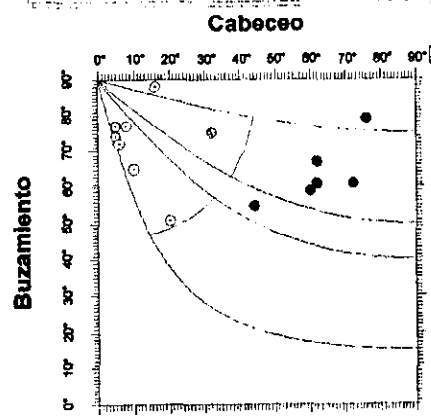
Método de Inversión de Esfuerzos

Rosa de Direcciones

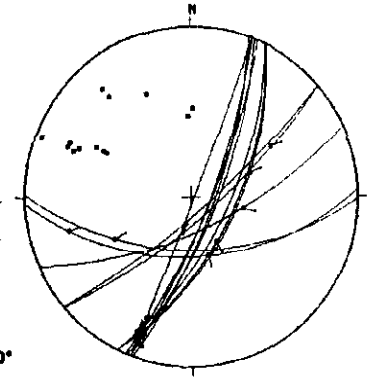


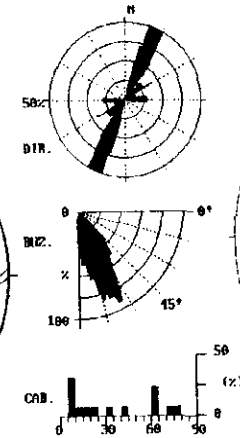
Valor Máximo de Escala: 50%
Ángulo de Apertura: 15°
DEYM: 24° ± 9,94°

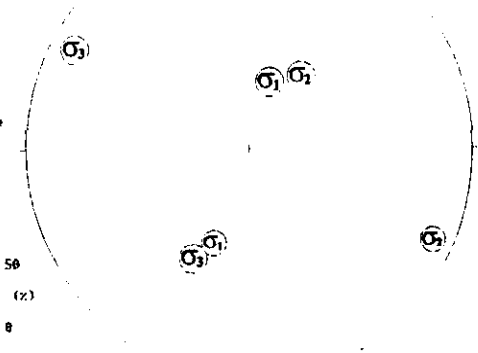
Diagrama Cabeceo/Buzamiento

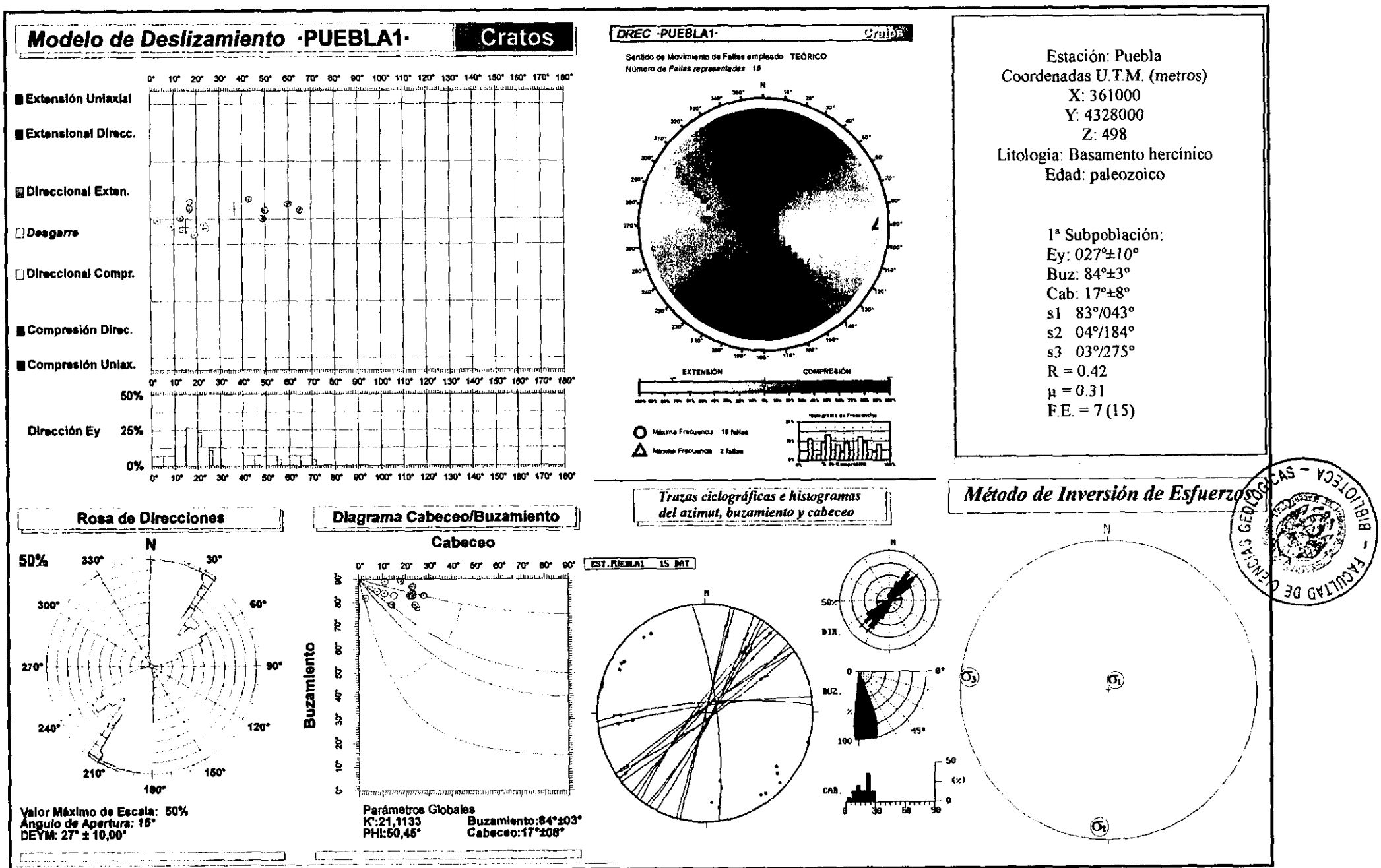


Parámetros Globales
K':-3,1119 Buzamiento:69°±10°
PHI:21,06° Cabeceo:34°±26°

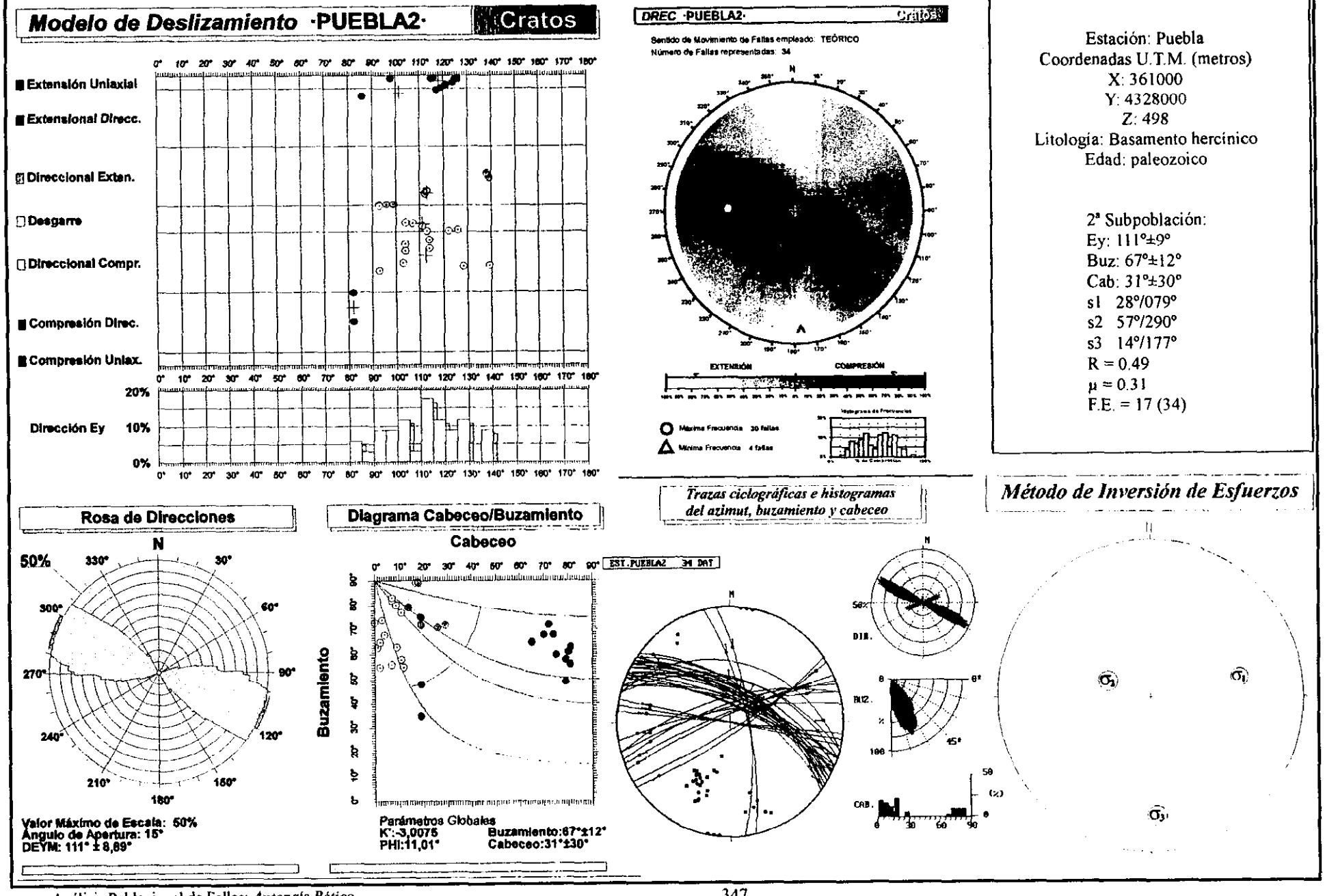




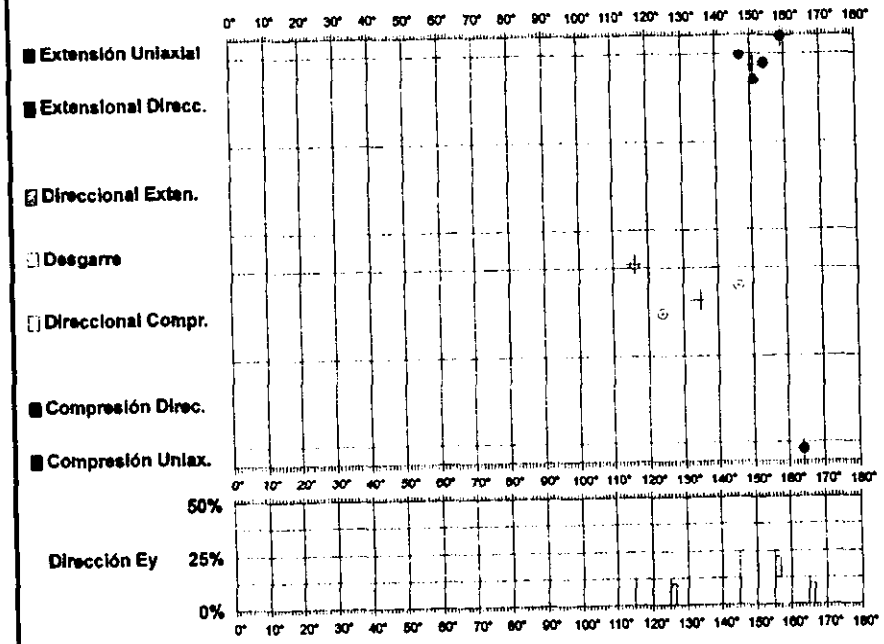


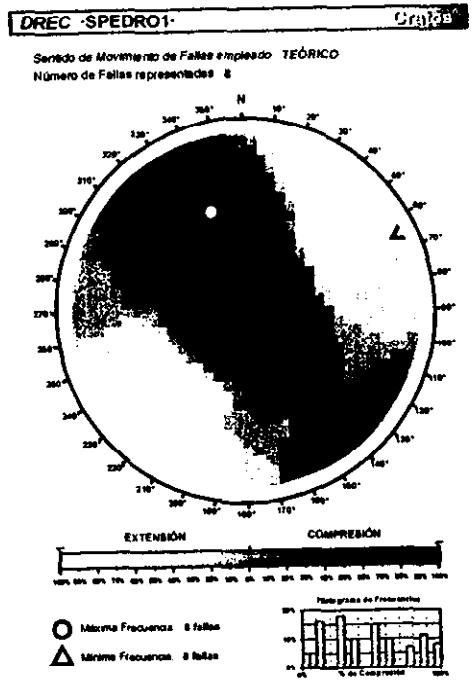


FACULTAD DE CIENCIAS GEOLÓGICAS - BIBLIOTECA


Modelo de Deslizamiento ·PUEBLA2·
Cratos
Extensión Uniaxial
Extensional Direcc.
Direccional Exten.
Desgarre
Direccional Compr.
Compresión Direc.
Compresión Uniax.
Dirección Ey
20%
10%
0%
DREC ·PUEBLA2·
Cratos
Sentido de Movimiento de Fallas empleado: TEÓRICO
Número de Fallas representadas: 34
EXTENSIÓN
COMPRESIÓN
Máxima Frecuencia 30 fallas
Mínima Frecuencia 4 fallas
Estación: Puebla
Coordenadas U.T.M. (metros)
X: 361000
Y: 4328000
Z: 498
Litología: Basamento hercínico
Edad: paleozoico
2ª Subpoblación:
Ey: 111°±9°
Buz: 67°±12°
Cab: 31°±30°
s1 28°/079°
s2 57°/290°
s3 14°/177°
R = 0.49
μ = 0.31
F.E. = 17 (34)
Trazas cicloográficas e histogramas del azimut, buzamiento y cabeceo
Método de Inversión de Esfuerzos
Rosa de Direcciones
Diagrama Cabeceo/Buzamiento
Cabeceo
Buzamiento
EST.PUEBLA2 34 DAT
Valor Máximo de Escala: 50%
Ángulo de Apertura: 15°
DEYM: 111° ± 8,89°
Parámetros Globales
K':-3,0075
PHI:11,01°
Buzamiento:67°±12°
Cabeceo:31°±30°

Modelo de Deslizamiento ·SPEDRO1· Cratos



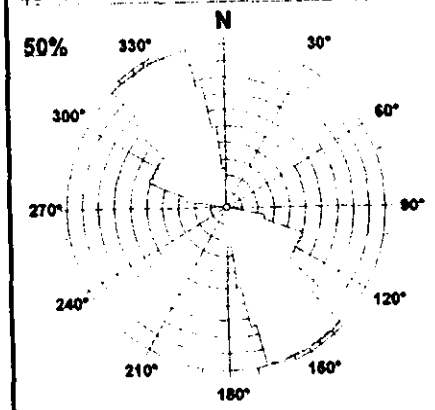


Estación: Spedro
Coordenadas U.T.M. (metros)
X: 515800
Y: 4309800
Z: 860
Litología: Basamento hercínico
Edad: Paleozoico

1ª Subpoblación:
Ey: 146°±11°
Buz: 57°±12°
Cab: 48°±26°
s1 --°/---°
s2 --°/---°
s3 --°/---°
R = ---
μ = ---
F.E. = 0 (8)

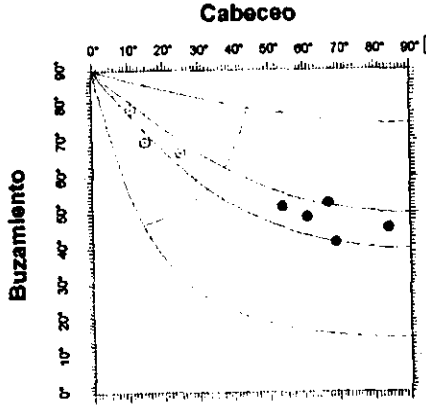
Trazas ciclográficas e histogramas del azimut, buzamiento y cabeceo

Rosa de Direcciones

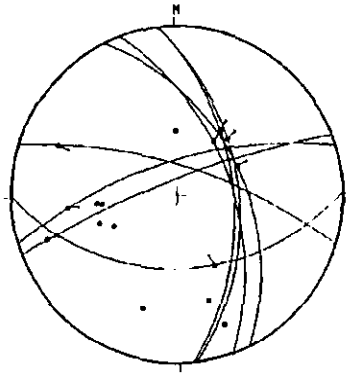


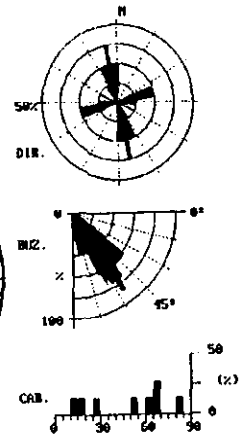
Valor Máximo de Escala: 50%
Ángulo de Apertura: 15°
DEYM: 146° ± 10,47°

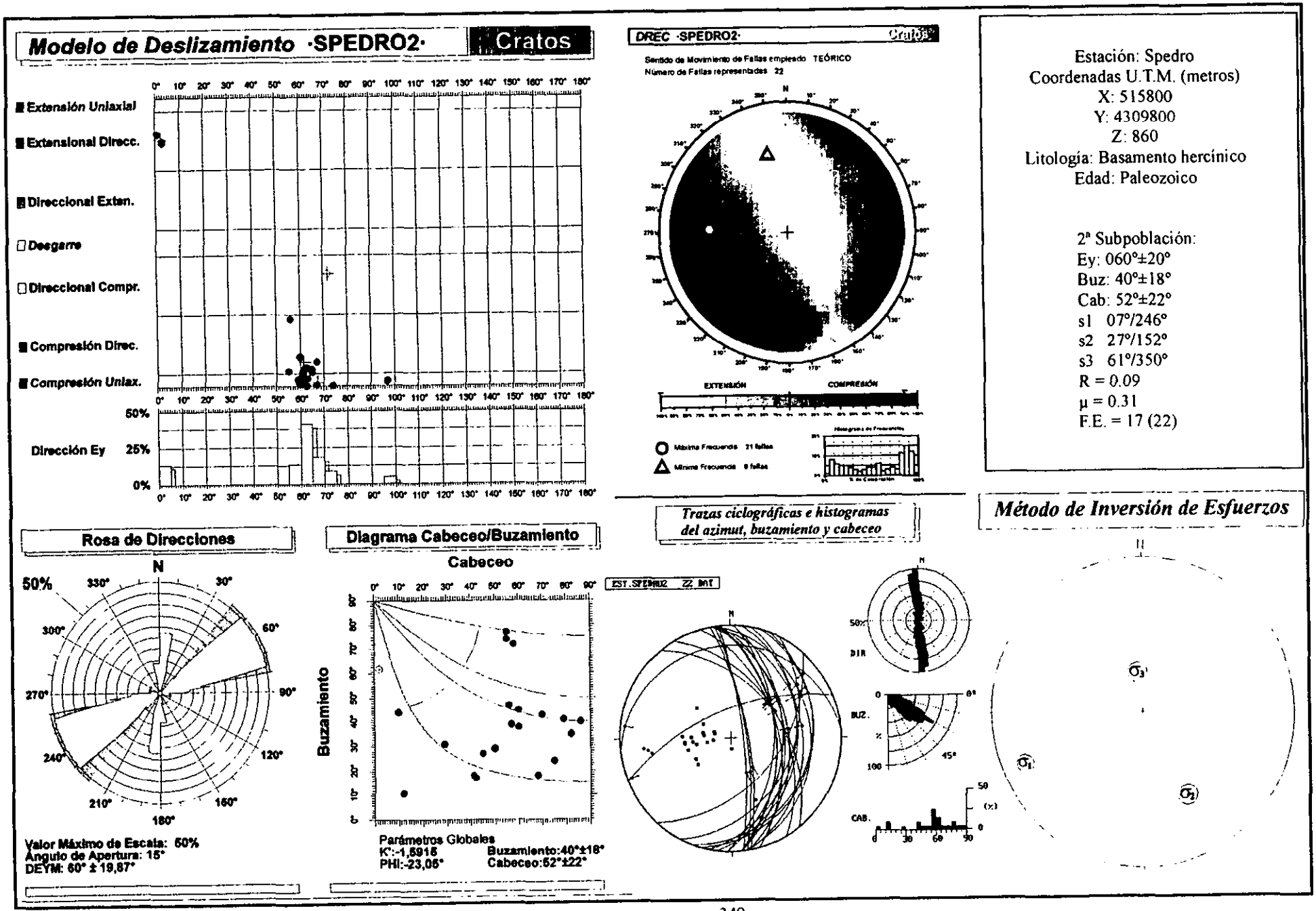
Diagrama Cabeceo/Buzamiento



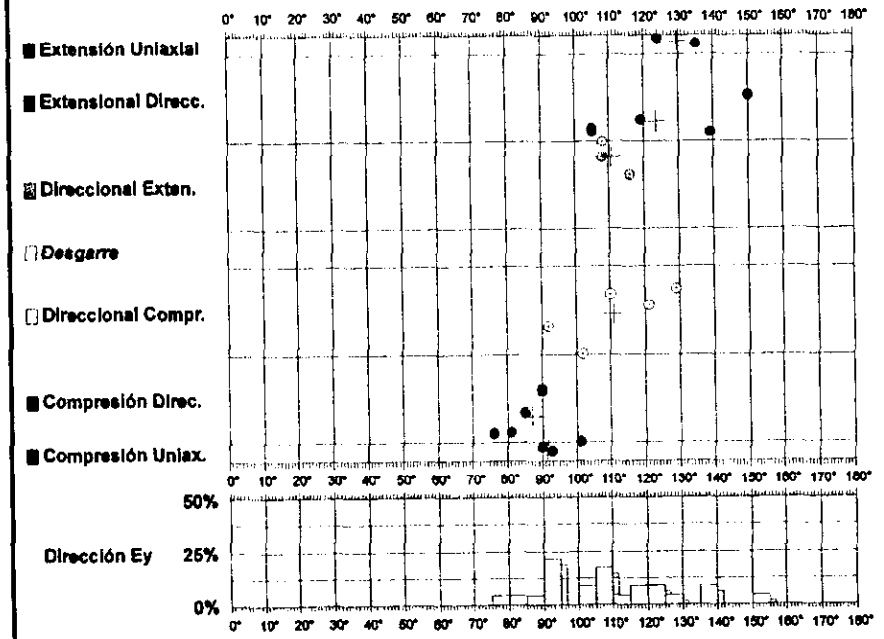
Parámetros Globales
K':-3,8695
PHI:07,70°
Buzamiento:57°±12°
Cabeceo:48°±26°

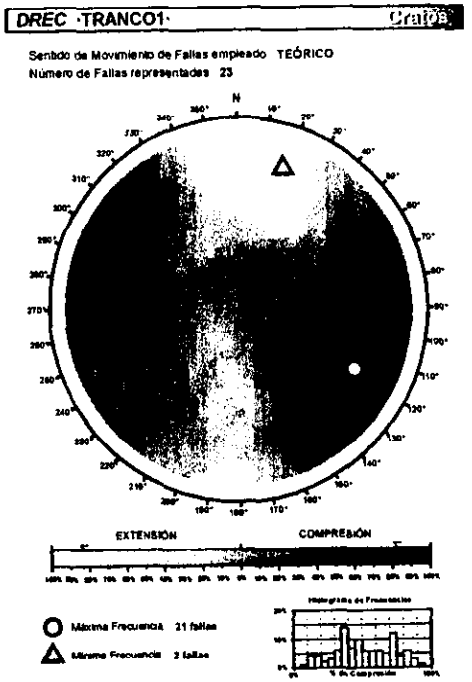





Modelo de Deslizamiento ·SPEDRO2· Cratos
Extensión Uniaxial
Extensional Direcc.
Direccional Exten.
Deslizamiento
Direccional Compr.
Compresión Direc.
Compresión Uniax.
Dirección Ey
50%
25%
0%
DREC ·SPEDRO2· Cratos
Sentido de Movimiento de Fallas empleado TEÓRICO
Número de Fallas representadas 22
EXTENSIÓN
COMPRESIÓN
Máxima Frecuencia 21 fallas
Mínima Frecuencia 0 fallas
Estación: Spedro
Coordenadas U.T.M. (metros)
X: 515800
Y: 4309800
Z: 860
Litología: Basamento hercínico
Edad: Paleozoico
2ª Subpoblación:
Ey: 060°±20°
Buz: 40°±18°
Cab: 52°±22°
s1 07°/246°
s2 27°/152°
s3 61°/350°
R = 0.09
μ = 0.31
F.E. = 17 (22)
Trazas ciclográficas e histogramas del azimut, buzamiento y cabeceo
Método de Inversión de Esfuerzos
Rosa de Direcciones
Diagrama Cabeceo/Buzamiento
Cabeceo
Buzamiento
EST.SPEDRO2 22 DAT
DIR
BUZ.
CAB.
Valor Máximo de Escala: 50%
Ángulo de Apertura: 15°
DEYM: 60° ± 19,87°
Parámetros Globales
K':-1,5916
PHI:-23,05°
Buzamiento:40°±18°
Cabeceo:52°±22°

Modelo de Deslizamiento ·TRANCO1· Cratos



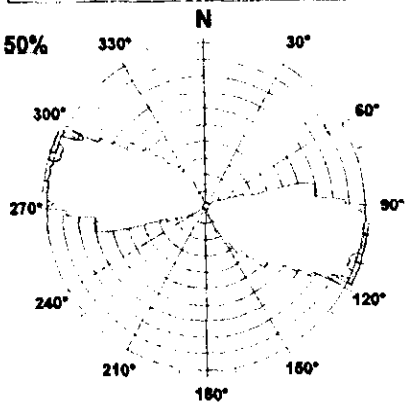


Estación: Tranco
Coordenadas U.T.M. (metros)
X: 517400
Y: 4226100
Z: 720
Litología: Carbonatos
Edad: Jurásico

1ª Subpoblación:
Ey: 107°±11°
Buz: 56°±14°
Cab: 44°±19°
s1 04°/109°
s2 69°/211°
s3 19°/017°
R = 0.48
μ = 0.40
F.E. = 19 (23)

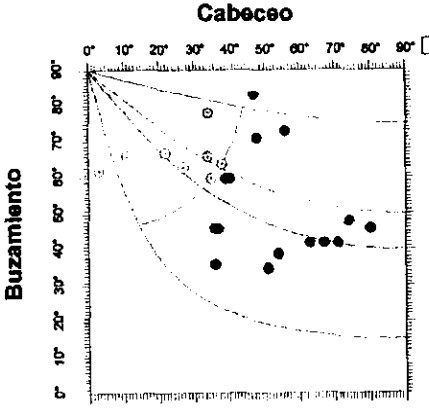
Trazas ciclográficas e histogramas del azimut, buzamiento y cabeceo

Rosa de Direcciones

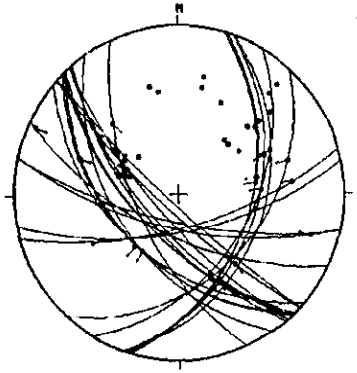


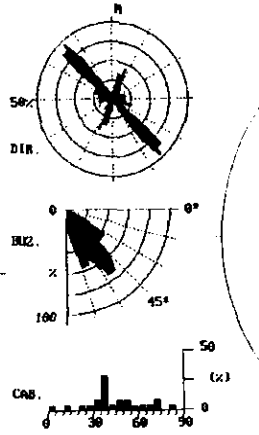
Valor Máximo de Escala: 50%
Ángulo de Apertura: 15°
DEYM: 107° ± 11,37°

Diagrama Cabeceo/Buzamiento

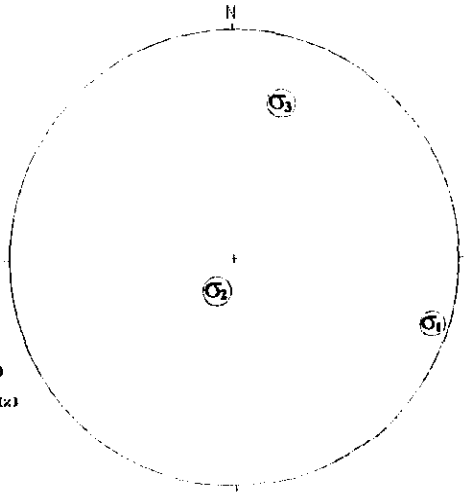


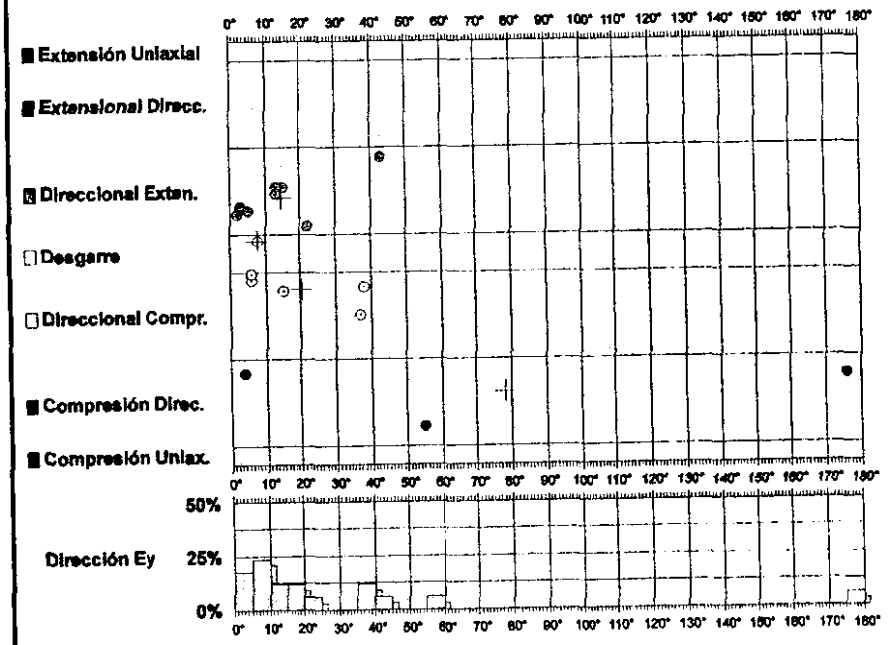
Parámetros Globales
K':-0,6311 Buzamiento:56°±14°
PHI:01,69° Cabeceo:44°±19°

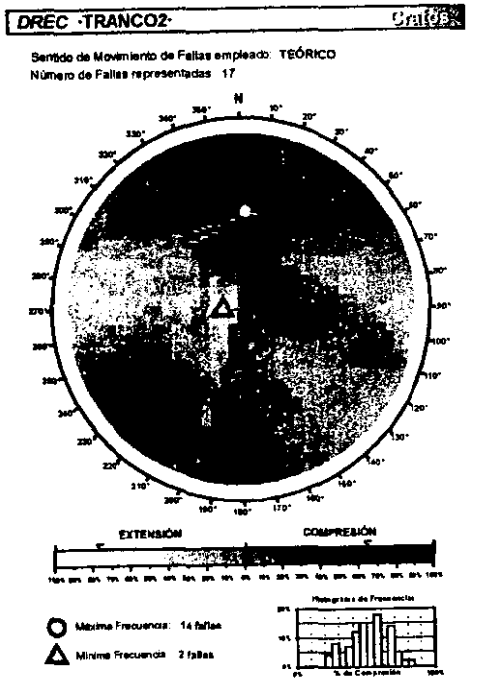




Método de Inversión de Esfuerzos





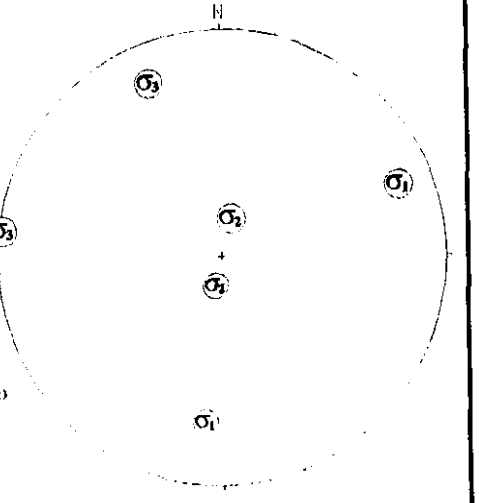


Estación: Tranco
Coordenadas U.T.M. (metros)
X: 517400
Y: 4226100
Z: 720
Litología: Carbonatos
Edad: Jurásico

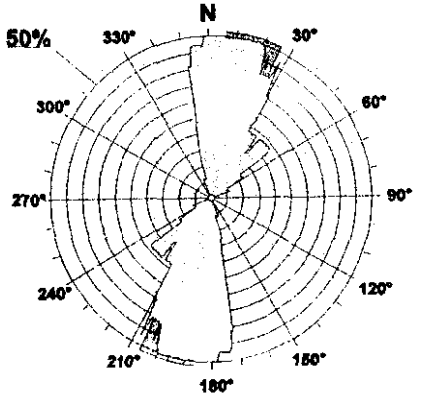
2ª Subpoblación:	
Ey: 016°±10°	Ey: 016°±10°
Buz: 72°±18°	Buz: 72°±18°
Cab: 22°±9°	Cab: 22°±9°
s1 16°/186°	s1 09°/069°
s2 72°/012°	s2 74°/195°
s3 01°/276°	s3 11°/337°
R = 0.27	R = 0.34
μ = 0.50	μ = 0.50
F.E. = 10 (17)	F.E. = 6 (17)

Trazas cicloográficas e histogramas del azimut, buzamiento y cabeceo

Método de Inversión de Esfuerzos

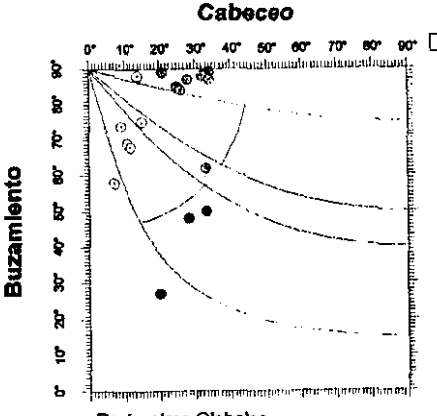


Rosa de Direcciones

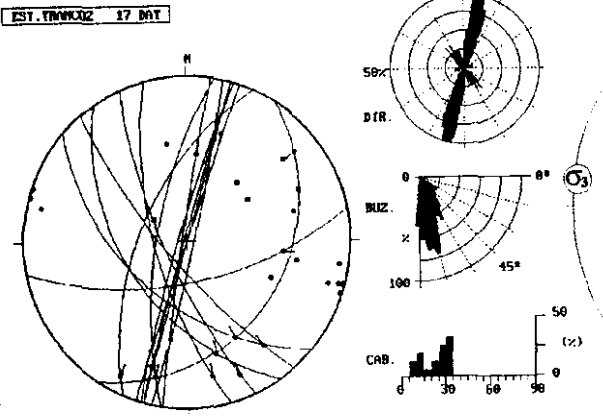


Valor Máximo de Escala: 50%
Ángulo de Apertura: 15°
DEYM: 16° ± 10,42°

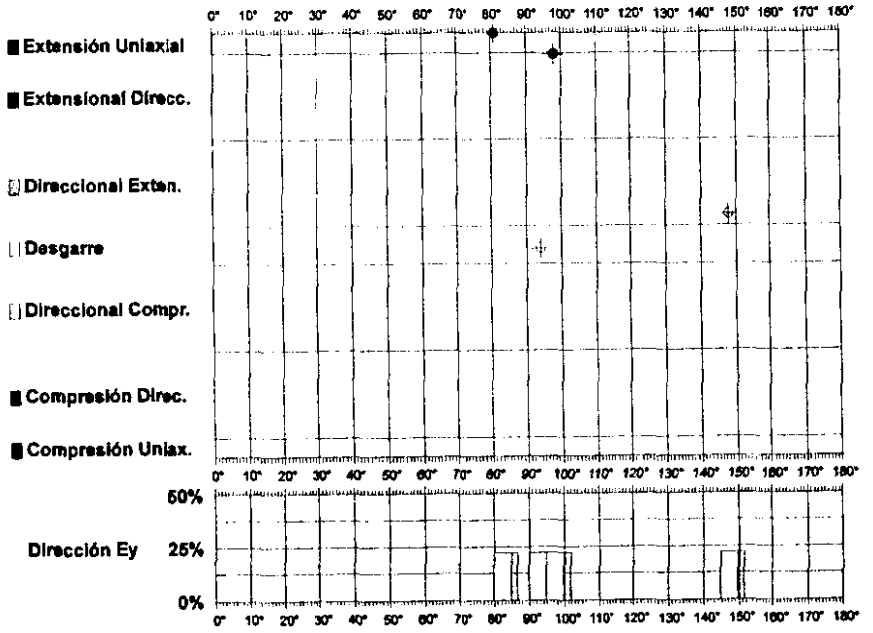
Diagrama Cabeceo/Buzamiento

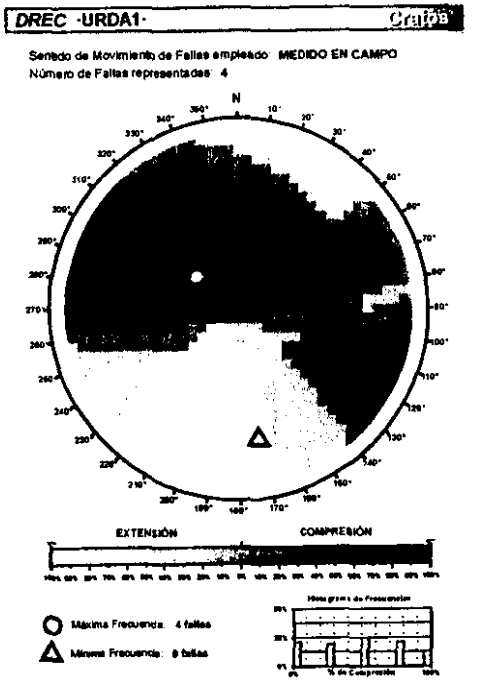


Parámetros Globales
K':2,7278 Buzamiento:72°±18°
PHI:08,12° Cabeceo:22°±09°



Modelo de Deslizamiento ·URDA1· — Cratos



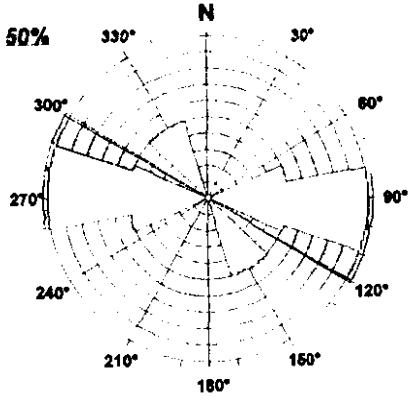


Estación: Urda
Coordenadas U.T.M. (metros)
X: 445400
Y: 4347600
Z: 940
Litología: Basamento hercínico
Edad: Paleozoico

1ª Subpoblación:
Ey: 101°±20°
Buz: 82°±3°
Cab: 46°±34°
s1 --°/---°
s2 --°/---°
s3 --°/---°
R = ---
μ = ---
F.E. = 0 (4)

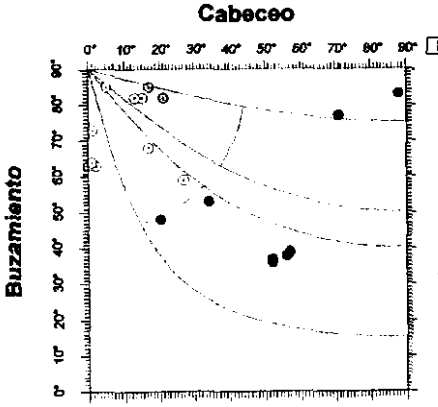
Trazas ciclográficas e histogramas del azimut, buzamiento y cabeceo

Rosa de Direcciones

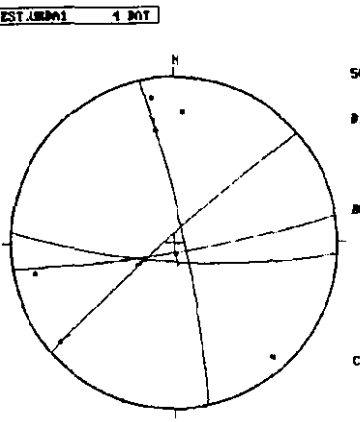


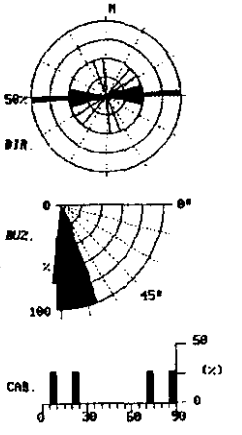
Valor Máximo de Escala: 50%
Ángulo de Apertura: 15°
DEYM: 101° ± 19,79°

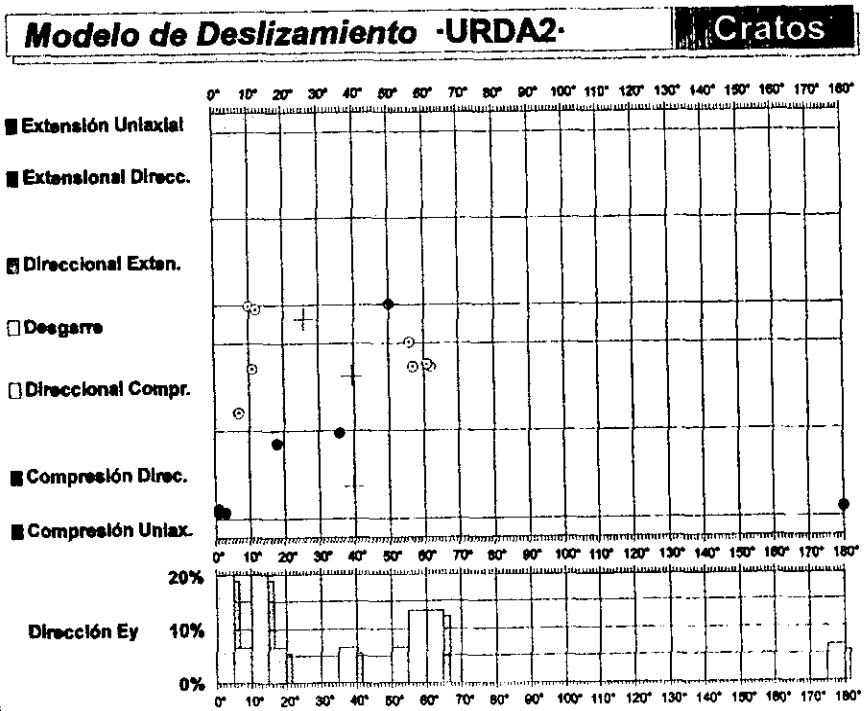
Diagrama Cabeceo/Buzamiento

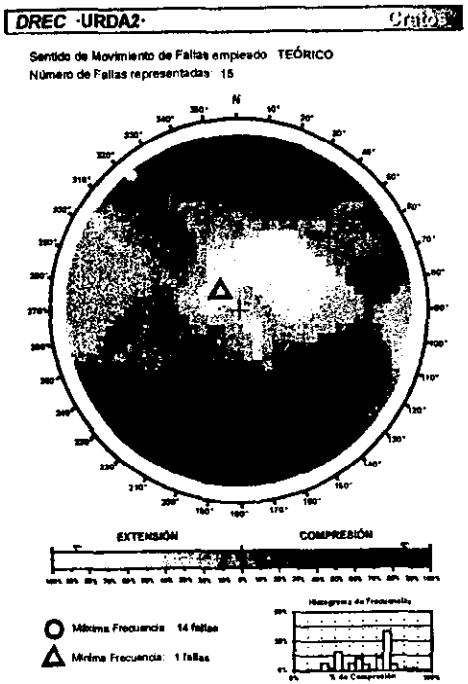


Parámetros Globales
K':-15,0184
PHI:67,89°
Buzamiento:82°±03°
Cabeceo:46°±34°





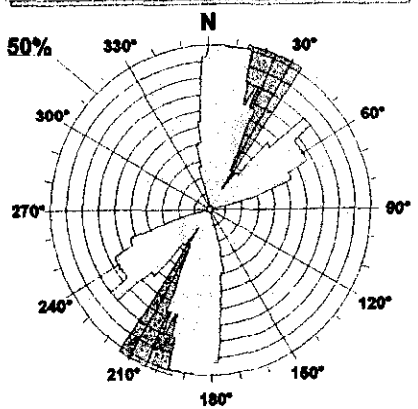




Estación: Urda
Coordenadas U.T.M. (metros)
X: 445400
Y: 4347600
Z: 940
Litología: Basamento hercínico
Edad: Paleozoico

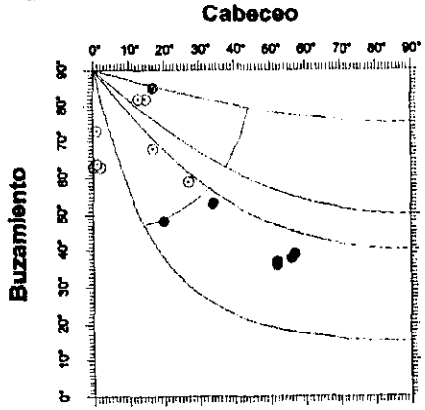
2ª Subpoblación:	
Ey: 024°±10°	Ey: 024°±10°
Buz: 59°±16°	Buz: 59°±16°
Cab: 24°±20°	Cab: 24°±20°
s1 07°/084°	s1 11°/017°
s2 80°/232°	s2 65°/132°
s3 04°/354°	s3 21°/282°
R = 0.23	R = 0.24
μ = 0.40	μ = 0.31
F.E. = 5 (15)	F.E. = 10 (15)

Rosa de Direcciones



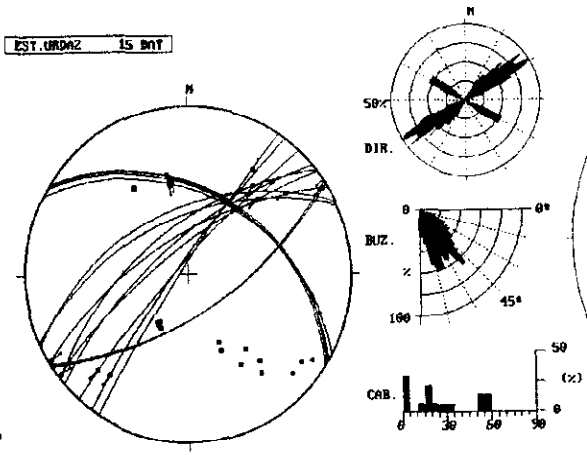
Valor Máximo de Escala: 50%
Ángulo de Apertura: 15°
DEYM: 24° ± 9,81°

Diagrama Cabeceo/Buzamiento

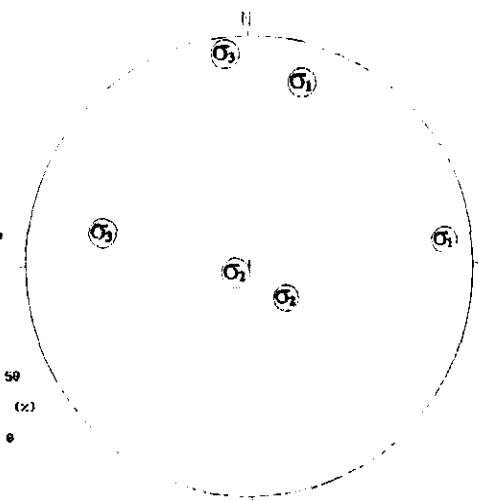


Parámetros Globales
K':4,0031
PHI:-21,81°
Buzamiento:59°±16°
Cabeceo:24°±20°

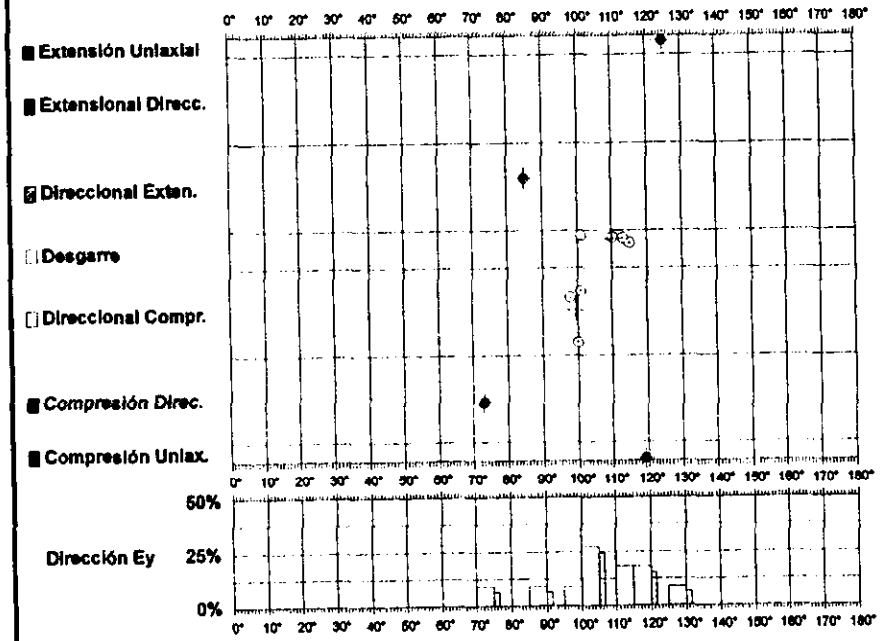
Trazas ciclográficas e histogramas del azimut, buzamiento y cabeceo

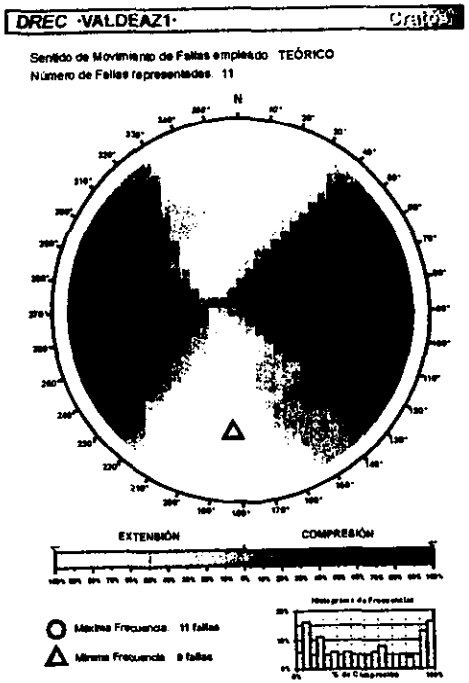


Método de Inversión de Esfuerzos



Modelo de Deslizamiento ·VALDEAZ1· Cratos





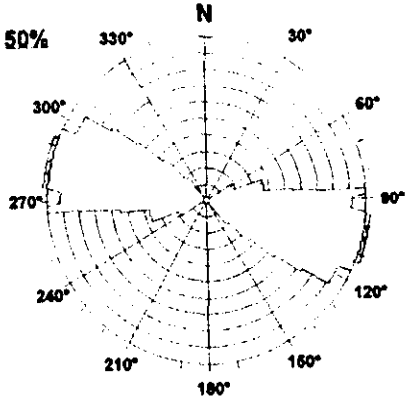
Estación: Valdeaz
Coordenadas U.T.M. (metros)
X: 337800
Y: 4288800
Z: 370
Litología: Basamento hercínico
Edad: Paleozoico

1ª Subpoblación:
Ey: 104°±9°
Buz: 71°±15°
Cab: 32°±25°
s1 27°/102°
s2 62°/285°
s3 01°/193°
R = 0.43
μ = 0.31
F.E. = 10 (11)

Trazas cicloográficas e histogramas del azimut, buzamiento y cabeceo

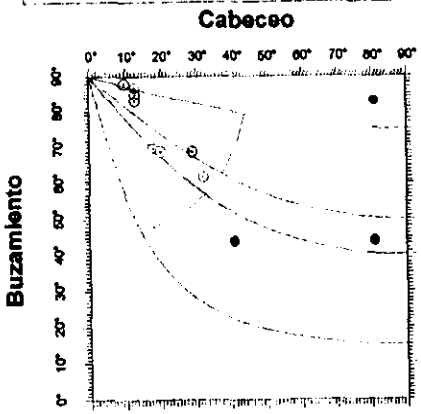
Método de Inversión de Esfuerzos

Rosa de Direcciones

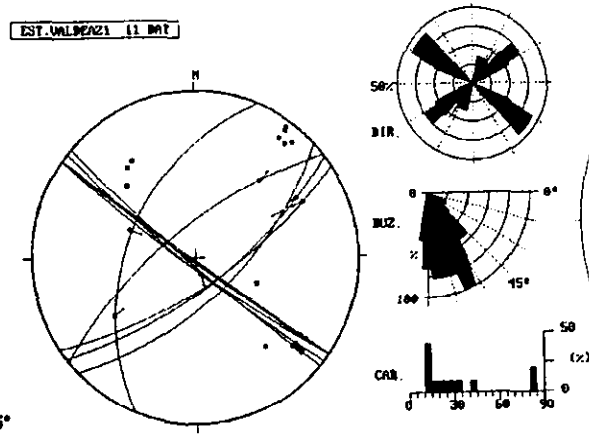


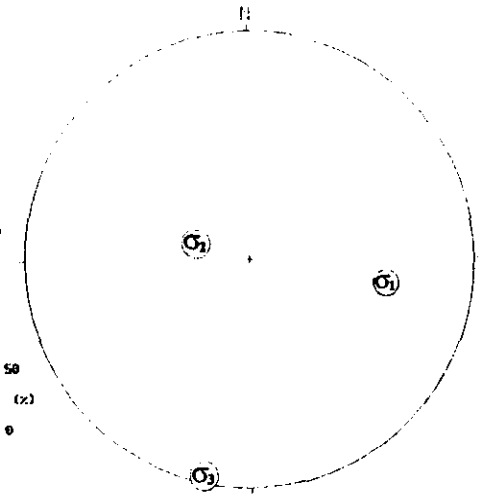
Valor Máximo de Escala: 50%
Ángulo de Apertura: 15°
DEYM: 104° ± 8,98°

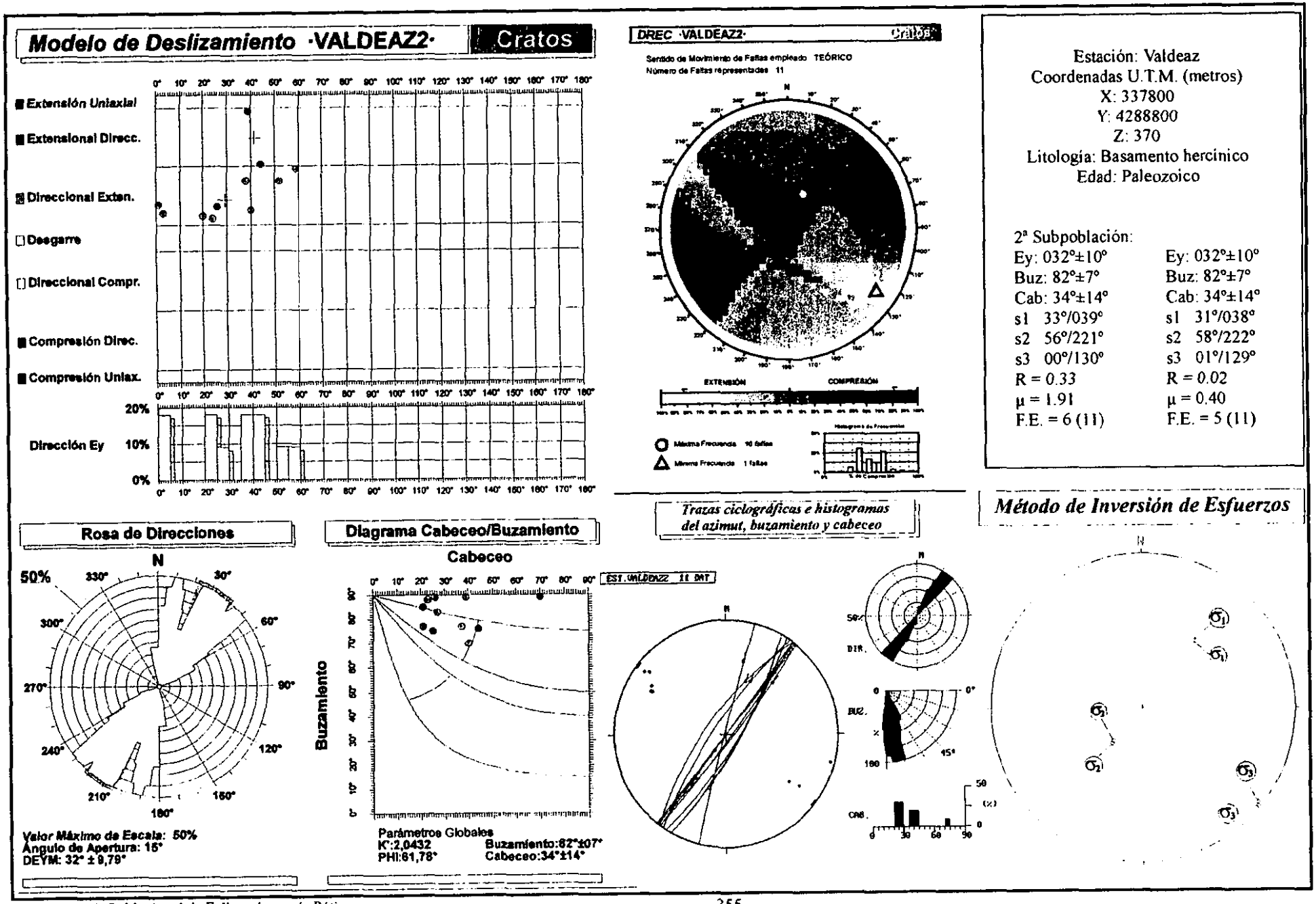
Diagrama Cabeceo/Buzamiento



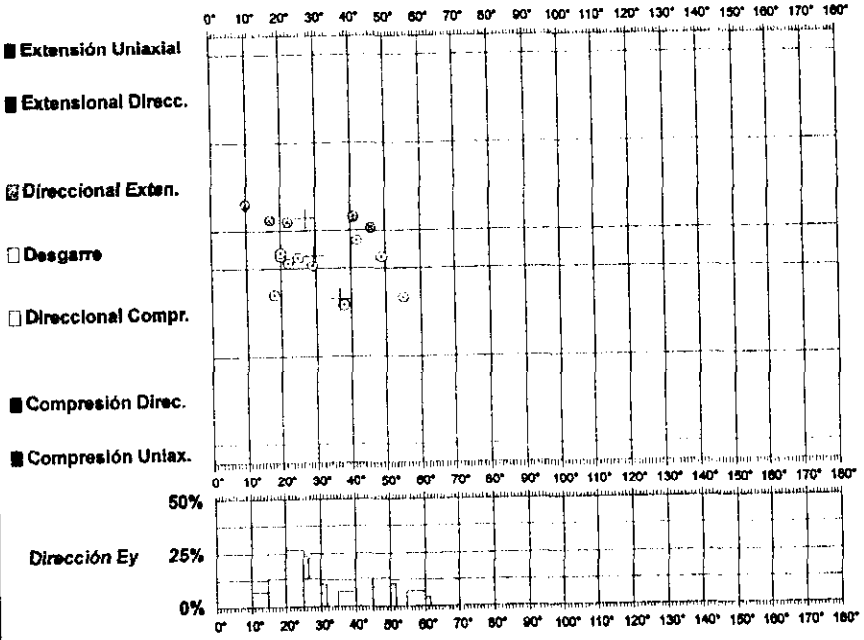
Parámetros Globales
K':2,6063 Buzamiento:71°±15°
PHI:23,97° Cabeceo:32°±25°

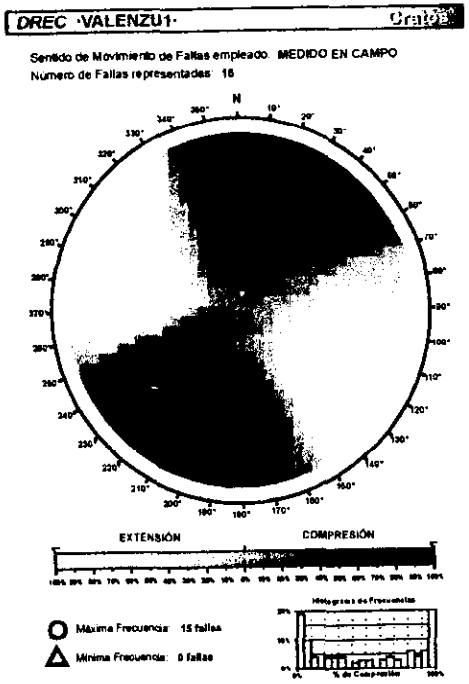





Modelo de Deslizamiento ·VALDEAZ2· Cratos
Extensión Uniaxial
Extensional Direcc.
Direccional Exten.
Desgarre
Direccional Compr.
Compresión Direc.
Compresión Uniax.
Dirección Ey
20%
10%
0%
DREC ·VALDEAZ2· Cratos
Sentido de Movimiento de Fallas empleado TEÓRICO
Número de Fallas representadas 11
EXTENSIÓN
COMPRESIÓN
Máxima Frecuencia 10 fallas
Mínima Frecuencia 1 fallas
Estación: Valdeaz
Coordenadas U.T.M. (metros)
X: 337800
Y: 4288800
Z: 370
Litología: Basamento hercínico
Edad: Paleozoico
2ª Subpoblación:
Ey: 032°±10°
Buz: 82°±7°
Cab: 34°±14°
s1 33°/039°
s2 56°/221°
s3 00°/130°
R = 0.33
μ = 1.91
F.E. = 6 (11)
Ey: 032°±10°
Buz: 82°±7°
Cab: 34°±14°
s1 31°/038°
s2 58°/222°
s3 01°/129°
R = 0.02
μ = 0.40
F.E. = 5 (11)
Trazas ciclográficas e histogramas del azimut, buzamiento y cabeceo
Método de Inversión de Esfuerzos
Rosa de Direcciones
N
50%
Valor Máximo de Escala: 50%
Ángulo de Apertura: 15°
DEYM: 32° ± 9,79°
Diagrama Cabeceo/Buzamiento
Cabeceo
Buzamiento
EST.VALDEAZ 11 DAT
Parámetros Globales
K':2,0432
PHI:61,78°
Buzamiento:82°±07°
Cabeceo:34°±14°
DIR.
BUZ.
CAB.

Modelo de Deslizamiento ·VALENZU1· Cratos





Estación: Valenzu
Coordenadas U.T.M. (metros)
X: 435200
Y: 4298200
Z: 720
Litología: Colada lávica
Edad: Mioceno sup.-Pleistoceno inf.

1ª Subpoblación:
Ey: 030°±6°
Buz: 77°±6°
Cab: 13°±6°
s1 17°/208°
s2 71°/009°
s3 05°/116°
R = 0.72
μ = 0.31
F.E. = 15 (15)

Trazas ciclográficas e histogramas del azimut, buzamiento y cabeceo

Método de Inversión de Esfuerzos

Rosa de Direcciones

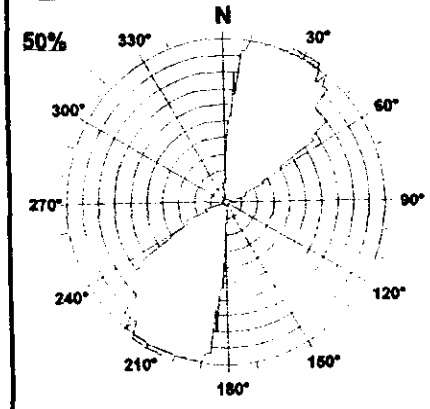
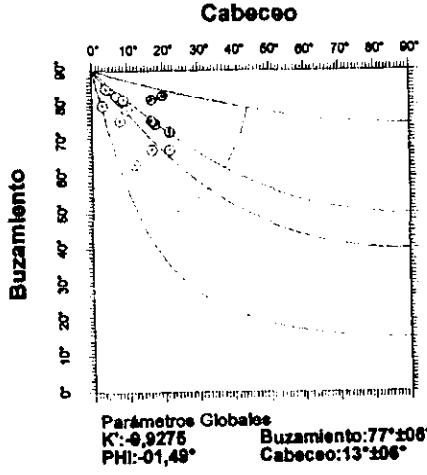
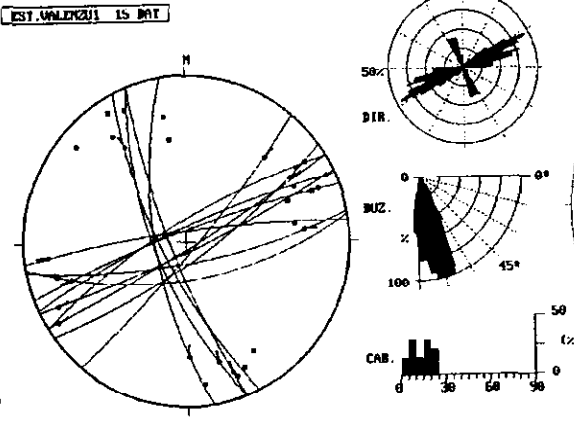
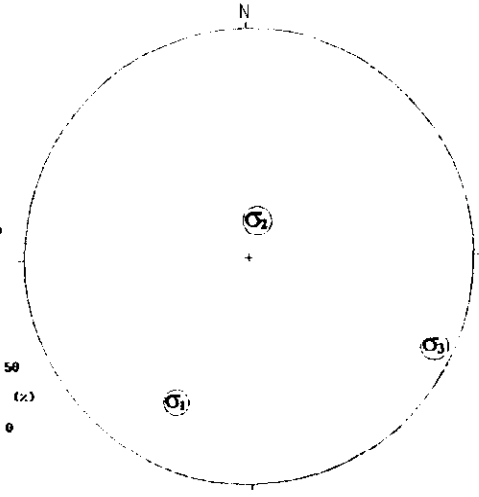
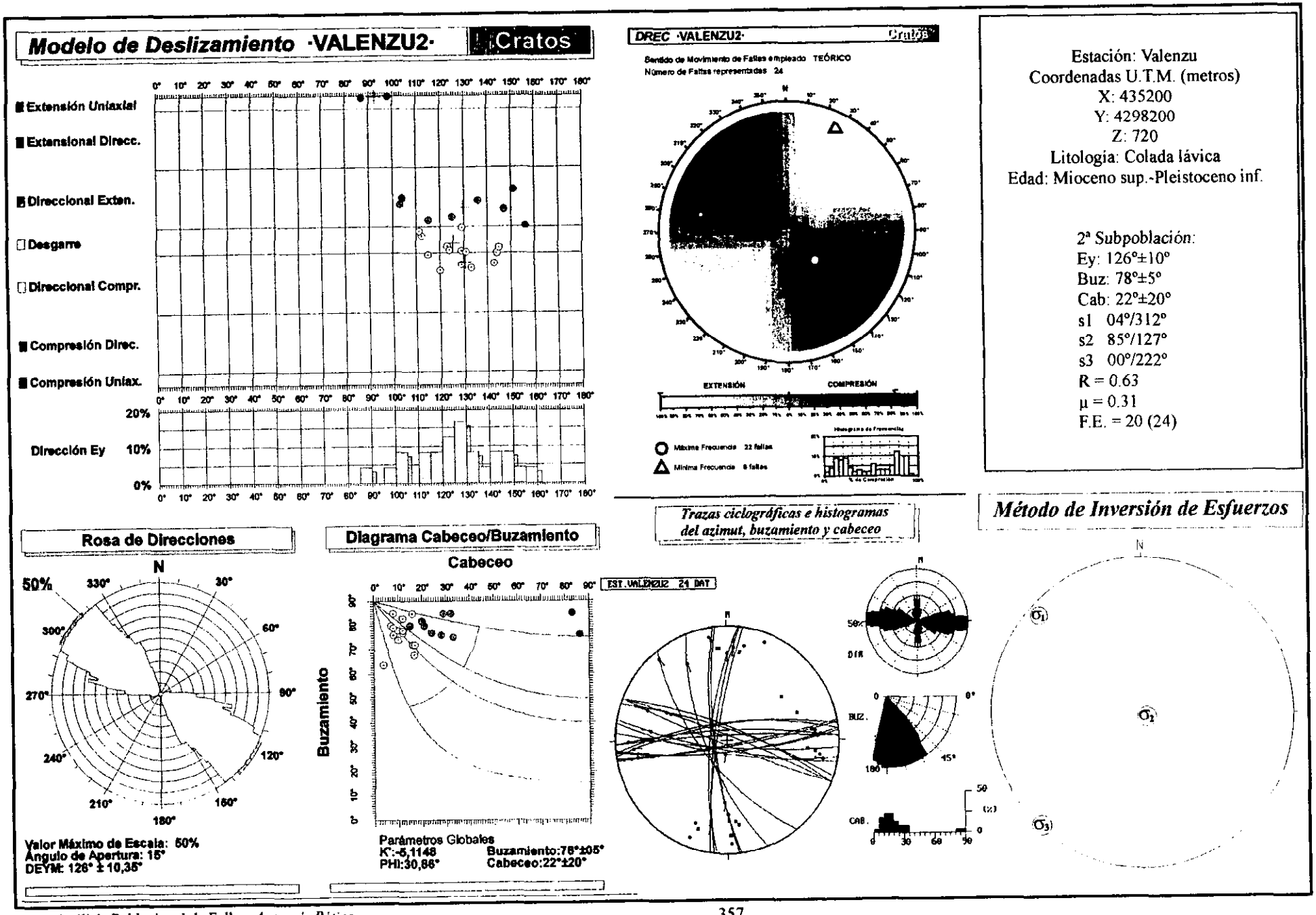


Diagrama Cabeceo/Buzamiento

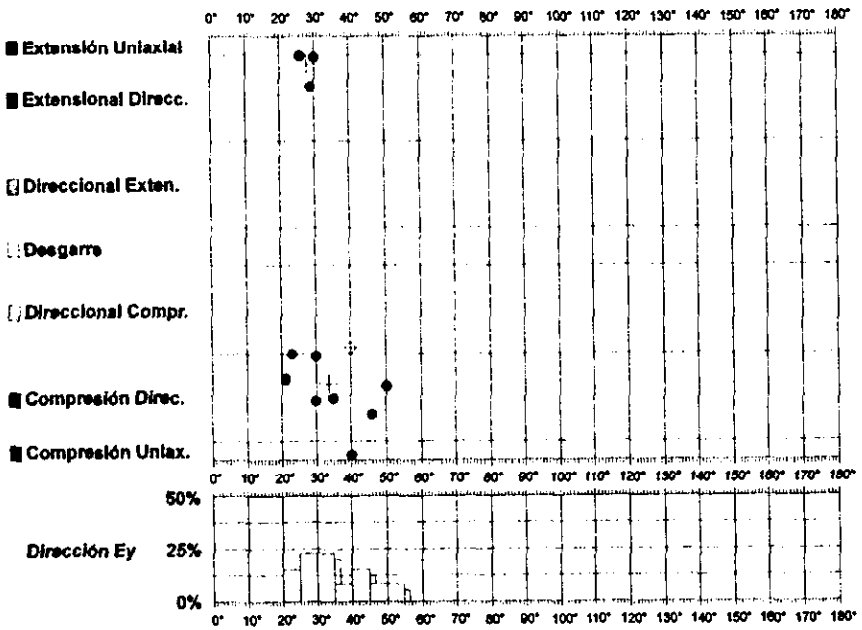


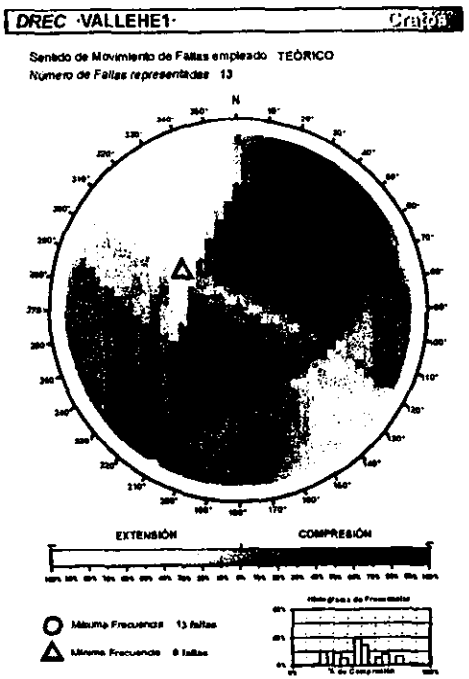





Modelo de Deslizamiento ·VALENZU2· Cratos
Extensión Uniaxial
Extensional Direcc.
Direccional Exten.
Desgarre
Direccional Compr.
Compresión Direc.
Compresión Uniax.
Dirección Ey
20%
10%
0%
DREC ·VALENZU2· Cratos
Sentido de Movimiento de Fallas empleado TEÓRICO
Número de Fallas representadas 24
EXTENSIÓN
COMPRESIÓN
Máxima Frecuencia 22 fallas
Mínima Frecuencia 8 fallas
Estación: Valenzu
Coordenadas U.T.M. (metros)
X: 435200
Y: 4298200
Z: 720
Litología: Colada lávica
Edad: Mioceno sup.-Pleistoceno inf.
2ª Subpoblación:
Ey: 126°±10°
Buz: 78°±5°
Cab: 22°±20°
s1 04°/312°
s2 85°/127°
s3 00°/222°
R = 0.63
μ = 0.31
F.E. = 20 (24)
Trazas ciclográficas e histogramas del azimut, buzamiento y cabeceo
Método de Inversión de Esfuerzos
Rosa de Direcciones
50%
Valor Máximo de Escala: 50%
Angulo de Apertura: 15°
DEYM: 126° ± 10,35°
Diagrama Cabeceo/Buzamiento
Cabeceo
Buzamiento
EST.VALENZU2 24 DAT
Parámetros Globales
K':-5,1148
PHI:30,86°
Buzamiento:78°±05°
Cabeceo:22°±20°
DIR.
BUZ.
CAB.
σ1
σ2
σ3

Modelo de Deslizamiento ·VALLEHE1· Cratos





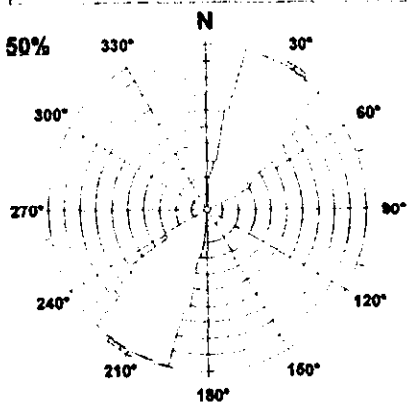
Estación: Valleher
Coordenadas U.T.M. (metros)
X: 486300
Y: 4302200
Z: 760
Litología: Basamento hercínico
Edad: Paleozoico

1ª Subpoblación:	
Ey: 033°±5°	Ey: 033°±5°
Buz: 46°±12°	Buz: 46°±12°
Cab: 36°±26°	Cab: 36°±26°
s1 04°/207°	s1 31°/026°
s2 43°/301°	s2 33°/139°
s3 46°/113°	s3 40°/264°
R = 0.14	R = 0.58
μ = 1.41	μ = 0.31
F.E. = 7 (13)	F.E. = 6 (13)

Trazas ciclográficas e histogramas del azimut, buzamiento y cabeceo

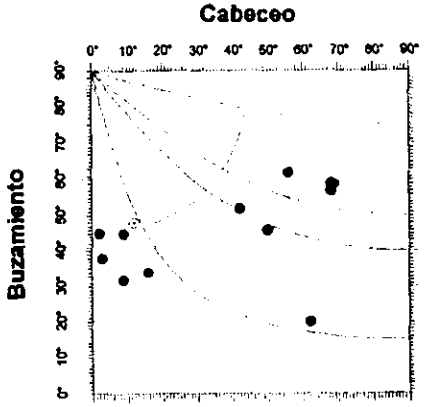
Método de Inversión de Esfuerzos

Rosa de Direcciones

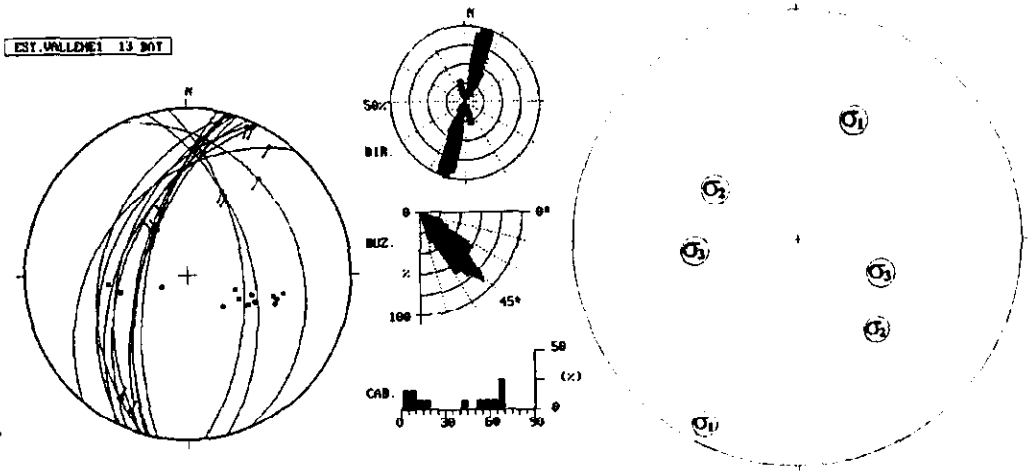


Valor Máximo de Escala: 50%
Ángulo de Apertura: 15°
DEYM: 33° ± 4,69°

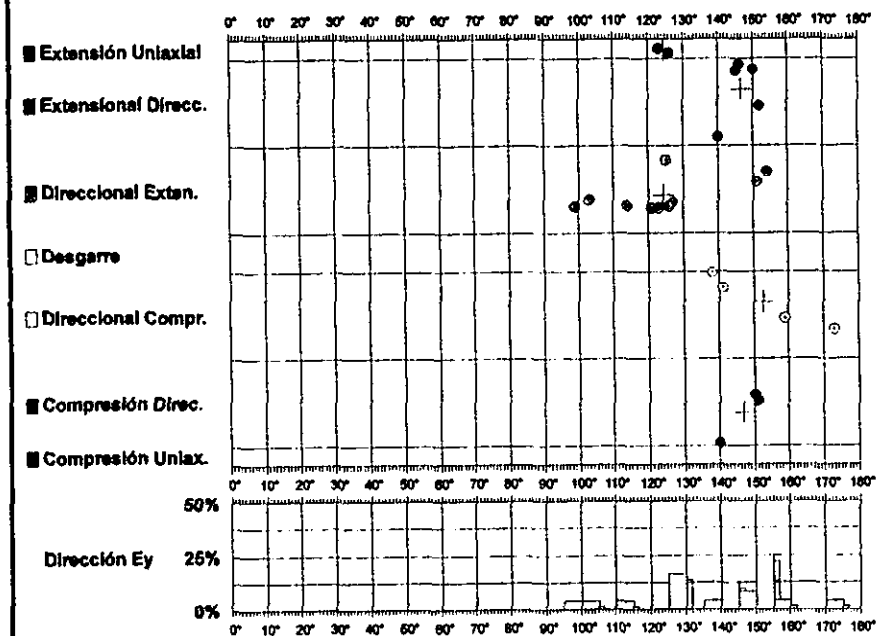
Diagrama Cabeceo/Buzamiento

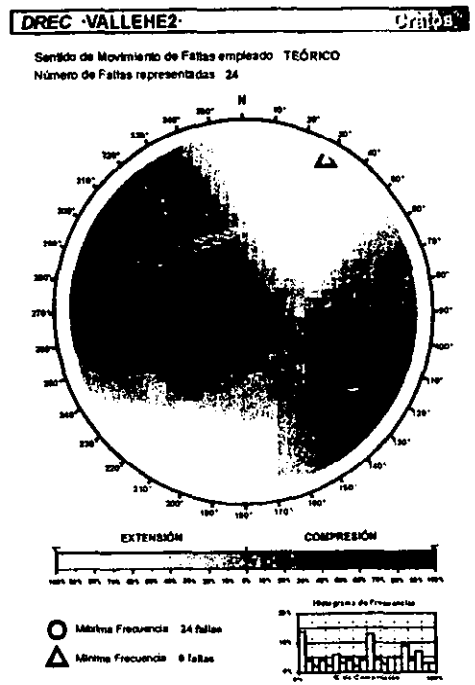


Parámetros Globales
K':-1,1437 Buzamiento:46°±12°
PHI:-27,35° Cabeceo:36°±26°



Modelo de Deslizamiento ·VALLEHE2· Cratos

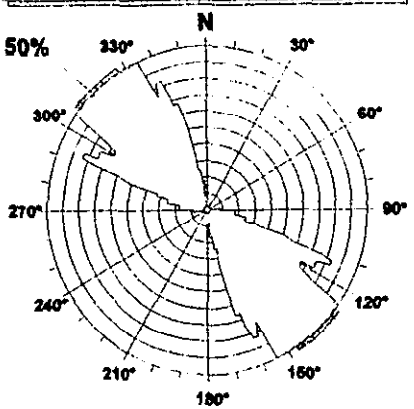




Estación: Valleher
Coordenadas U.T.M. (metros)
X: 486300
Y: 4302200
Z: 760
Litología: Basamento hercínico
Edad: Paleozoico

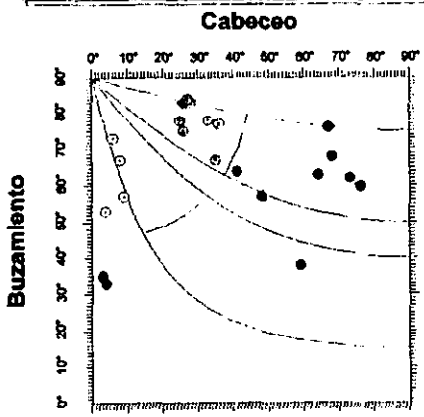
2ª Subpoblación:
Ey: 137°±10°
Buz: 67°±15°
Cab: 34°±23°
s1 08°/119°
s2 78°/254°
s3 07°/028°
R = 0.65
μ = 0.31
F.E. = 20 (24)

Rosa de Direcciones



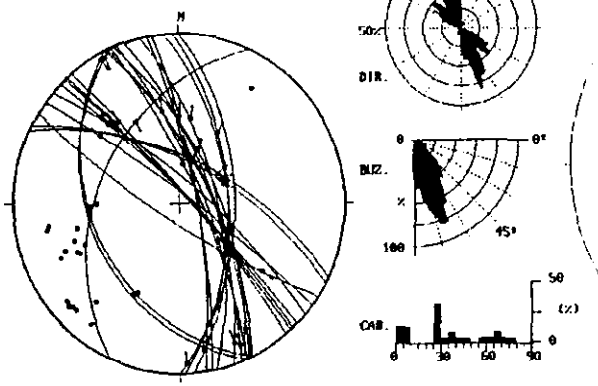
Valor Máximo de Escala: 50%
Ángulo de Apertura: 15°
DEYM: 137° ± 9,77°

Diagrama Cabeceo/Buzamiento

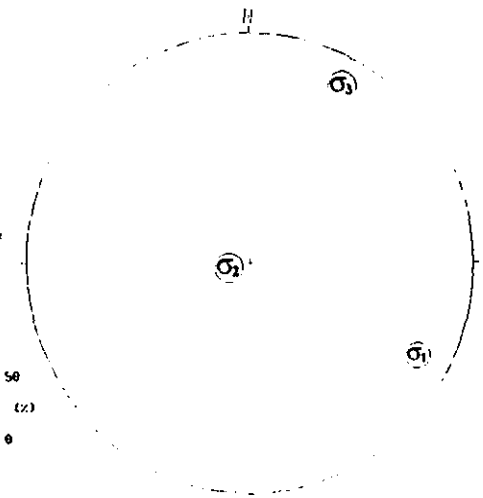


Parámetros Globales
K':-0,6979 Buzamiento:67°±15°
PHI:15,60° Cabeceo:34°±23°

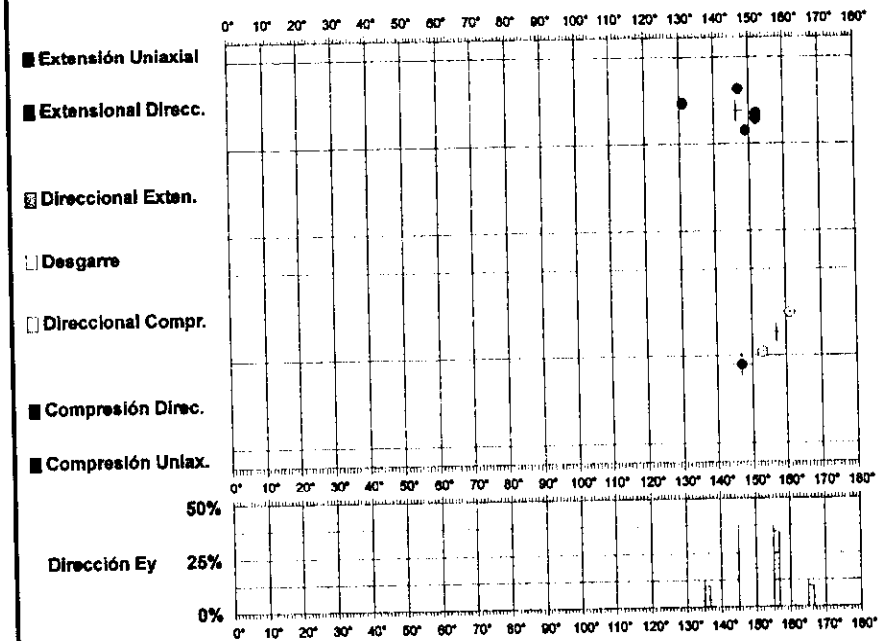
Trazas ciclográficas e histogramas del azimut, buzamiento y cabeceo

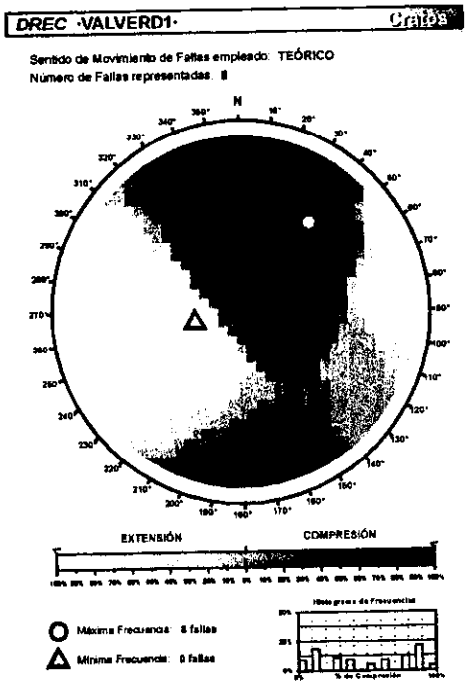


Método de Inversión de Esfuerzos



Modelo de Deslizamiento ·VALVERD1· Cratos





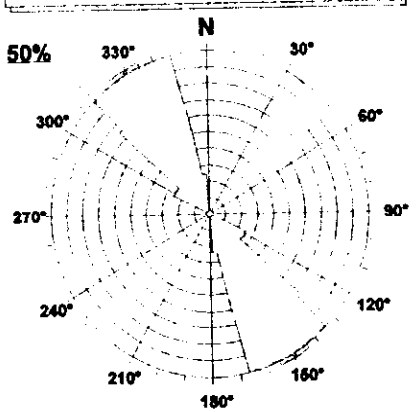
Estación: Valverde
Coordenadas U.T.M. (metros)
X: 407500
Y: 4325700
Z: 620
Litología: Colada lávica
Edad: Mioceno sup.-Pleistoceno inf.

1ª Subpoblación:
Ey: 149°±6°
Buz: 68°±13°
Cab: 40°±19°
s1 24°/002°
s2 45°/120°
s3 34°/254°
R = 0.70
μ = 0.31
F.E. = 6 (8)

Trazas ciclográficas e histogramas del azimut, buzamiento y cabeceo

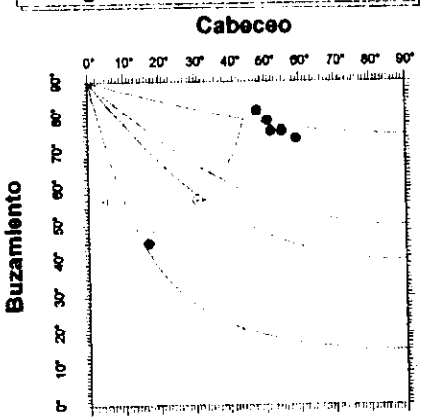
Método de Inversión de Esfuerzos

Rosa de Direcciones

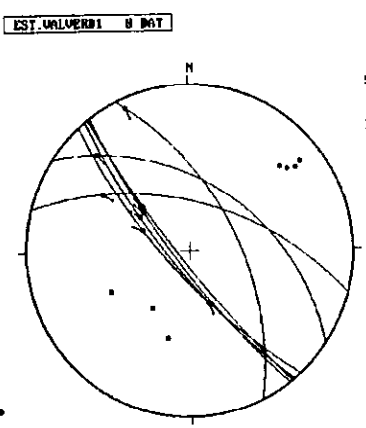


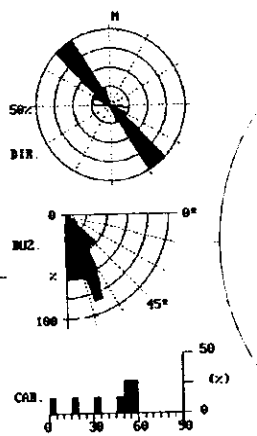
Valor Máximo de Escala: 50%
Ángulo de Apertura: 15°
DEYM: 149° ± 6,19°

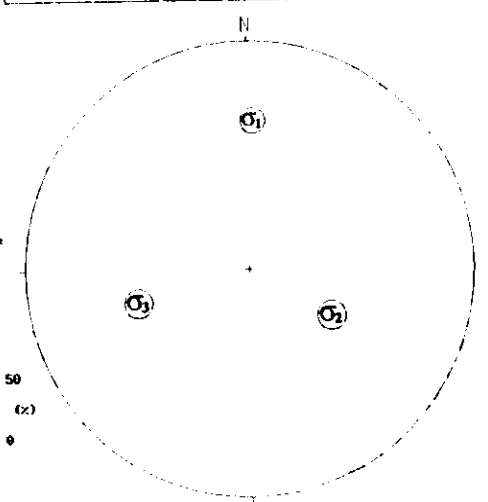
Diagrama Cabeceo/Buzamiento

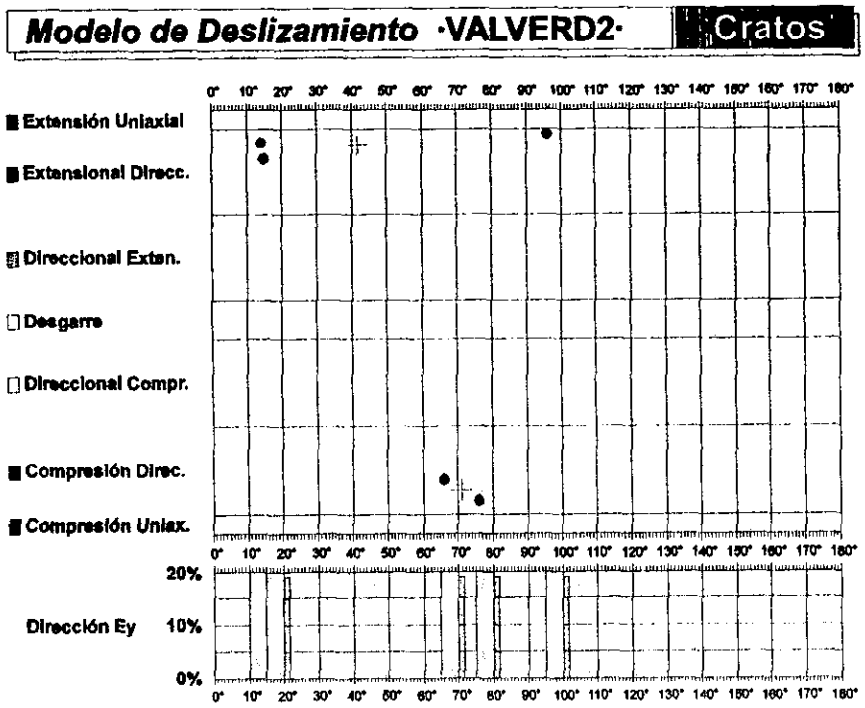


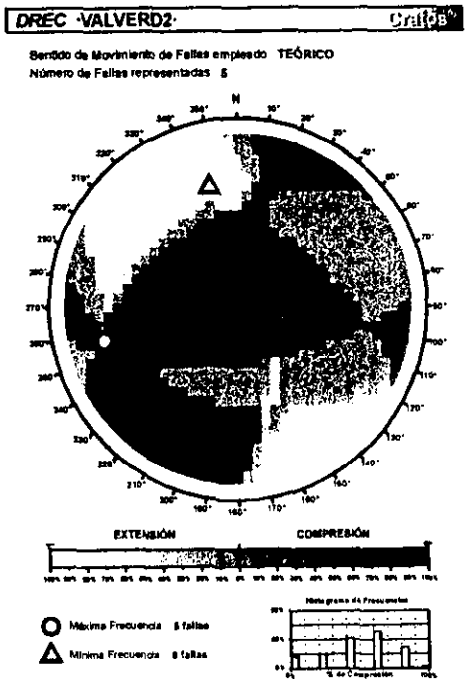
Parámetros Globales
K':-1,3327
PHI:25,70°
Buzamiento:68°±13°
Cabeceo:40°±19°







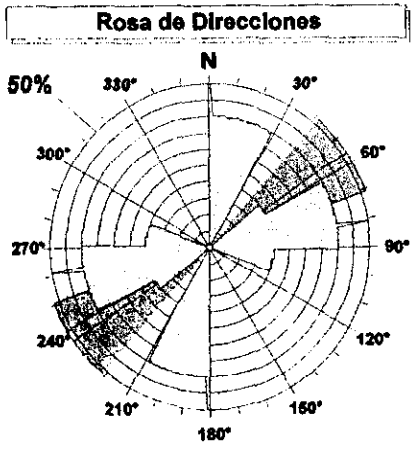


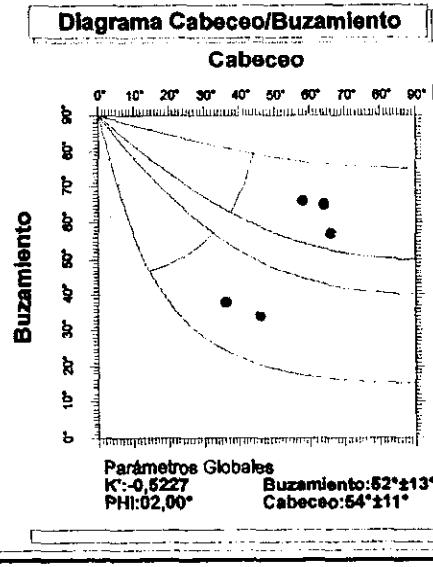


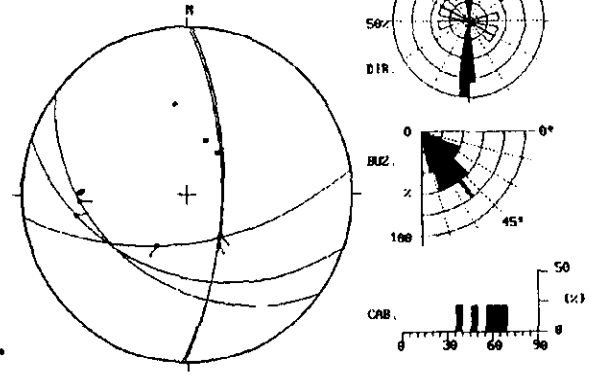
Estación: Valverde
Coordenadas U.T.M. (metros)
X: 407500
Y: 4325700
Z: 620
Litología: Colada lávica
Edad: Mioceno sup.-Pleistoceno inf.

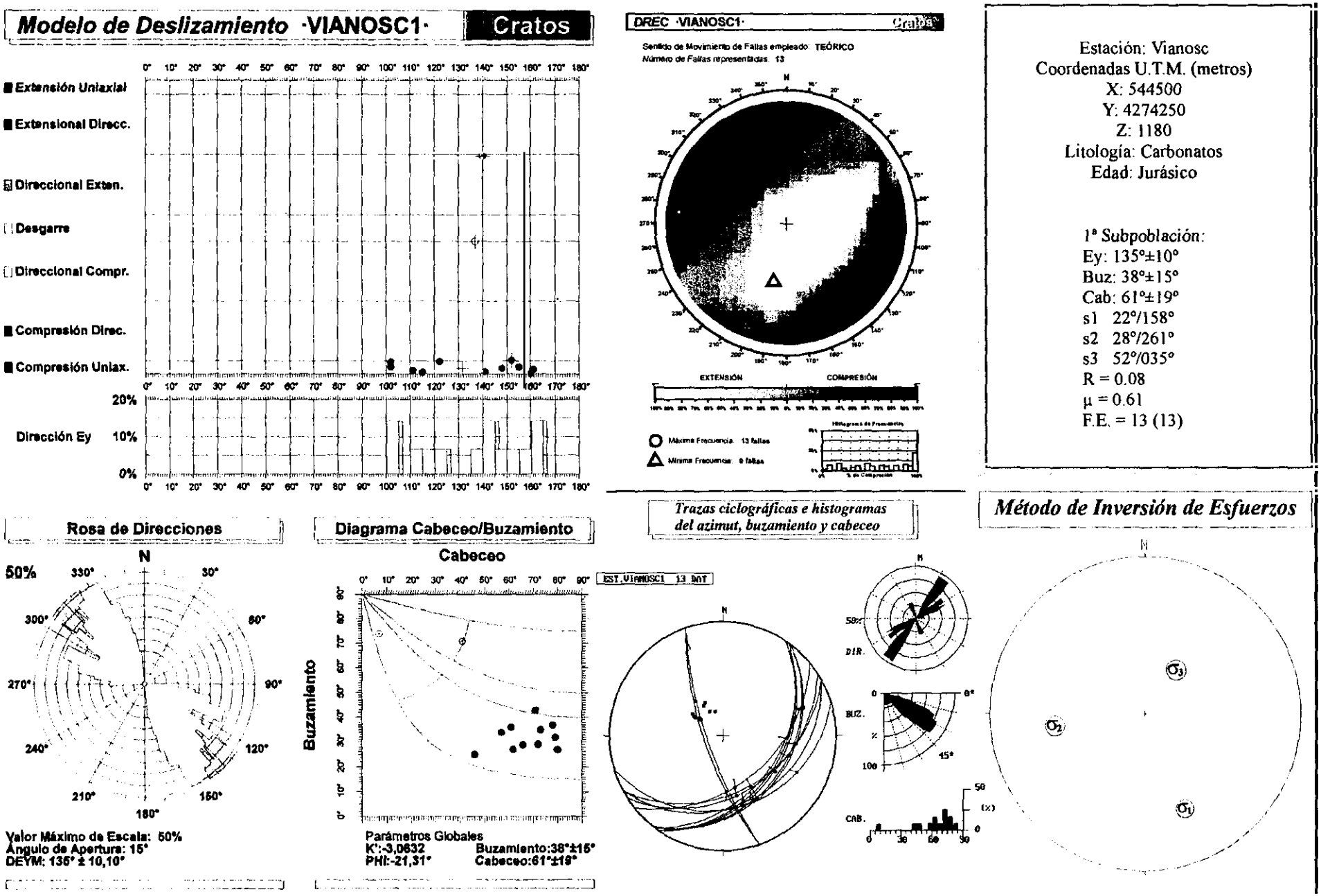
2ª Subpoblación:
Ey: 056°±14°
Buz: 52°±13°
Cab: 54°±11°
s1 --°/---°
s2 --°/---°
s3 --°/---°
R = ---
μ = ---
F.E. = 0 (5)

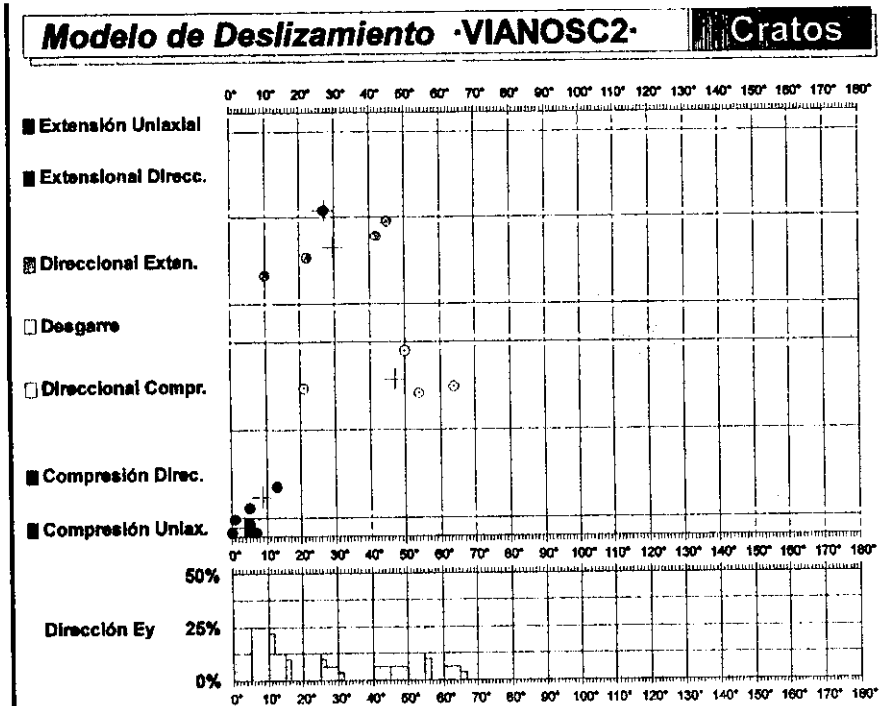
Trazas ciclográficas e histogramas del azimut, buzamiento y cabeceo

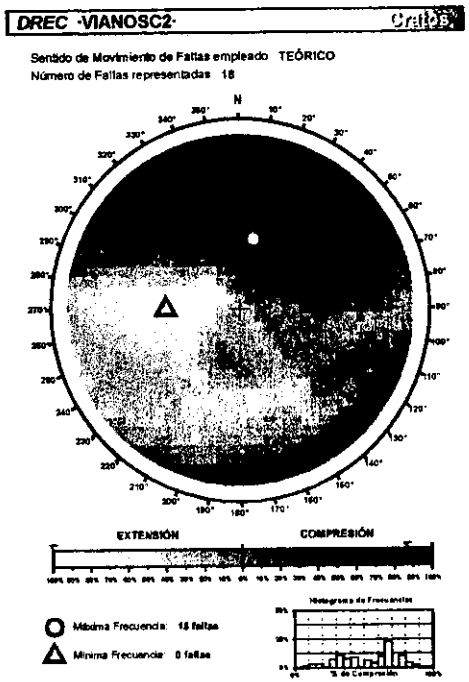







Modelo de Deslizamiento ·VIANOSC1·
Cratos
Extensión Uniaxial
Extensional Direcc.
Direccional Exten.
Desgarre
Direccional Compr.
Compresión Direc.
Compresión Uniax.
Dirección Ey
20%
10%
0%
DREC ·VIANOSC1·
Grabar
Sentido de Movimiento de Fallas empleado: TEÓRICO
Número de Fallas representadas: 13
EXTENSIÓN
COMPRESIÓN
Máxima Frecuencia: 13 fallas
Mínima Frecuencia: 0 fallas
Estación: Vianosc
Coordenadas U.T.M. (metros)
X: 544500
Y: 4274250
Z: 1180
Litología: Carbonatos
Edad: Jurásico
1ª Subpoblación:
Ey: 135°±10°
Buz: 38°±15°
Cab: 61°±19°
s1 22°/158°
s2 28°/261°
s3 52°/035°
R = 0.08
μ = 0.61
F.E. = 13 (13)
Rosa de Direcciones
Diagrama Cabeceo/Buzamiento
Trazas ciclográficas e histogramas del azimut, buzamiento y cabeceo
Método de Inversión de Esfuerzos
Cabeceo
Buzamiento
50%
Valor Máximo de Escala: 50%
Ángulo de Apertura: 15°
DEYM: 135° ± 10,10°
Parámetros Globales
K':-3,0632
PHI:-21,31°
Buzamiento:38°±15°
Cabeceo:61°±19°



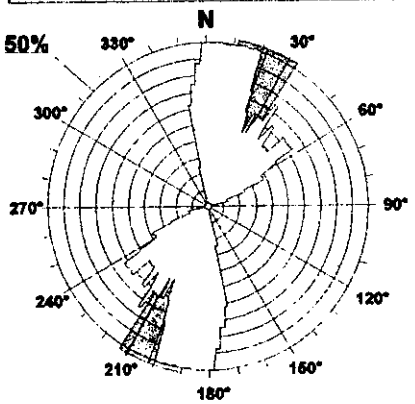


Estación: Vianosc
Coordenadas U.T.M. (metros)
X: 544500
Y: 4274250
Z: 1180
Litología: Carbonatos
Edad: Jurásico

2ª Subpoblación:
Ey: 022°±11°
Buz: 50°±26°
Cab: 34°±19°
s1 47°/005°
s2 15°/258°
s3 38°/155°
R = 0.34
μ = 0.31
F.E. = 11 (16)

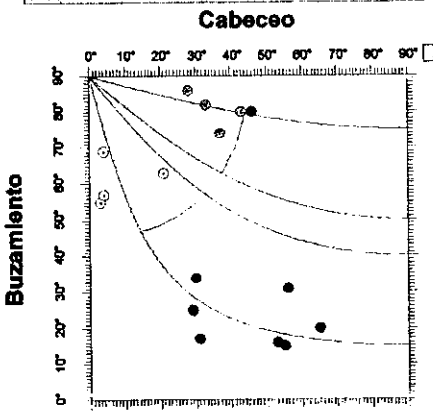
Trazas ciclográficas e histogramas del azimut, buzamiento y cabeceo

Rosa de Direcciones

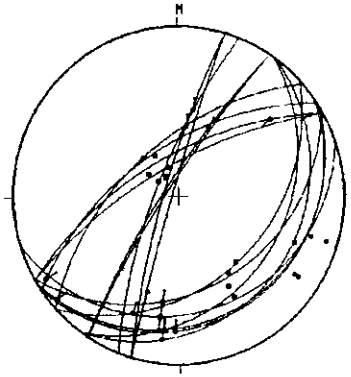


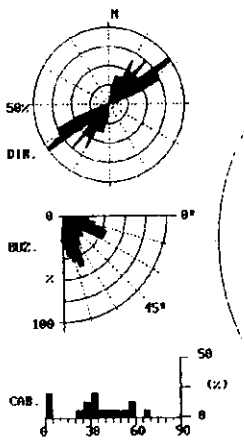
Valor Máximo de Escala: 50%
Ángulo de Apertura: 15°
DEYM: 22° ± 11,08°

Diagrama Cabeceo/Buzamiento

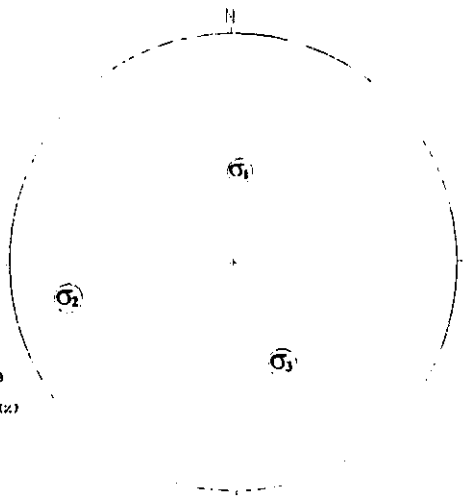


Parámetros Globales
K':-0,7268 Buzamiento:50°±26°
PHI:-22,64° Cabeceo:34°±19°



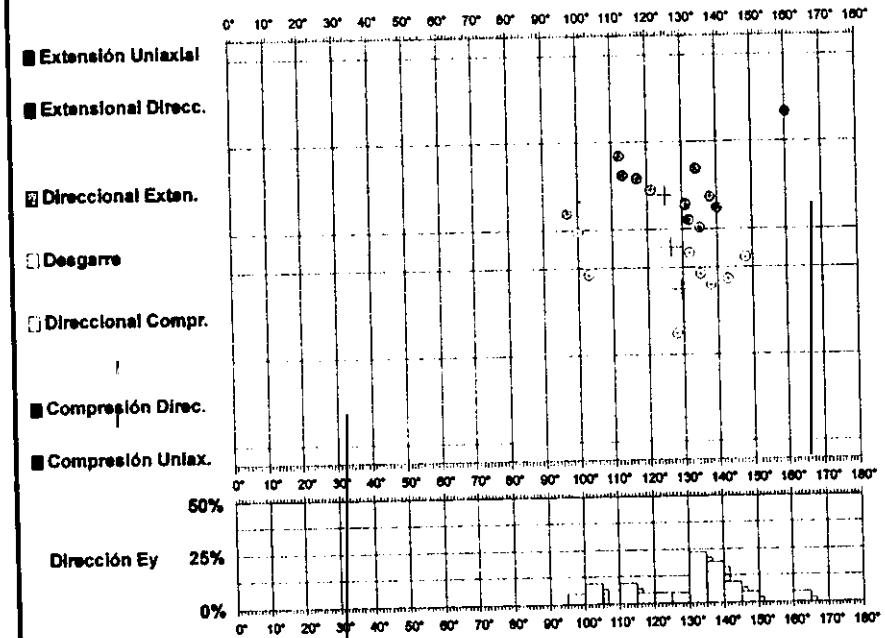


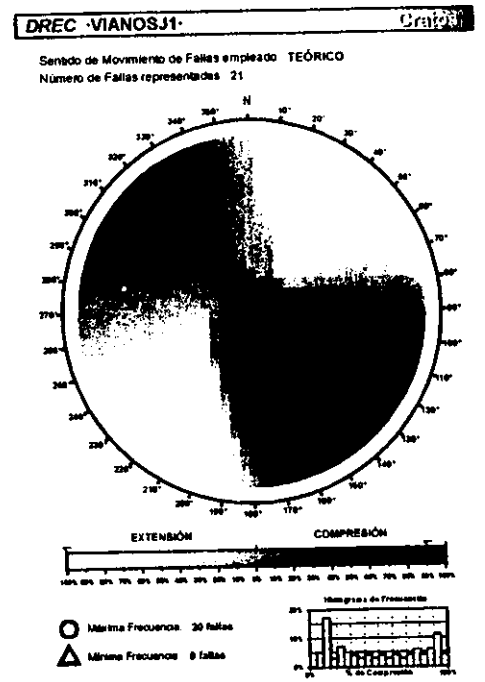
Método de Inversión de Esfuerzos



Modelo de Deslizamiento ·VIANOSJ1·

Cratos





Estación: Vianosj
Coordenadas U.T.M. (metros)
X: 543900
Y: 4277750
Z: 1080
Litología: Carbonatos
Edad: Jurásico

1ª Subpoblación:	
Ey: 128°±10°	Ey: 128°±10°
Buz: 76°±7°	Buz: 76°±7°
Cab: 22°±11°	Cab: 22°±11°
s1 03°/296°	s1 81°/112°
s2 75°/039°	s2 07°/316°
s3 13°/205°	s3 03°/226°
R = 0.67	R = 0.70
μ = 0.31	μ = 0.31
F.E. = 9 (21)	F.E. = 11 (21)

Rosa de Direcciones

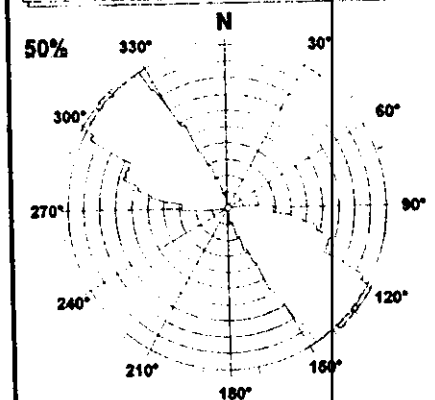
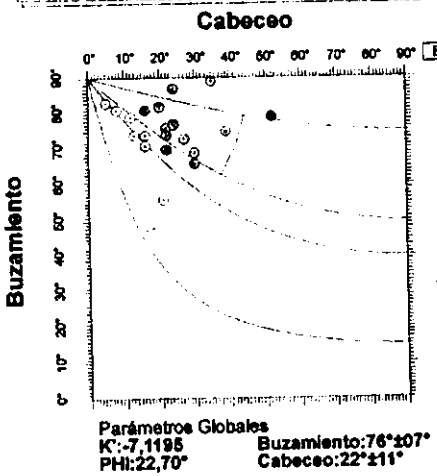
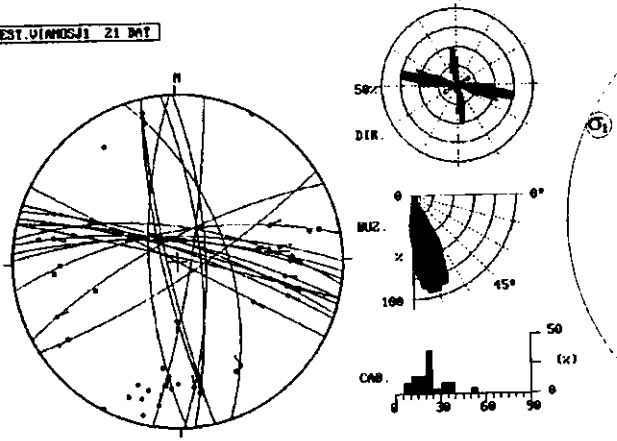


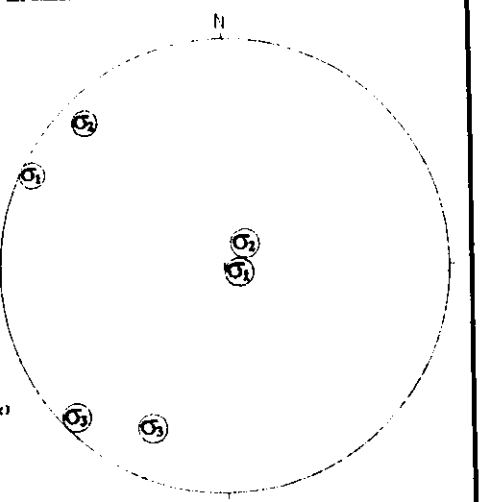
Diagrama Cabeceo/Buzamiento

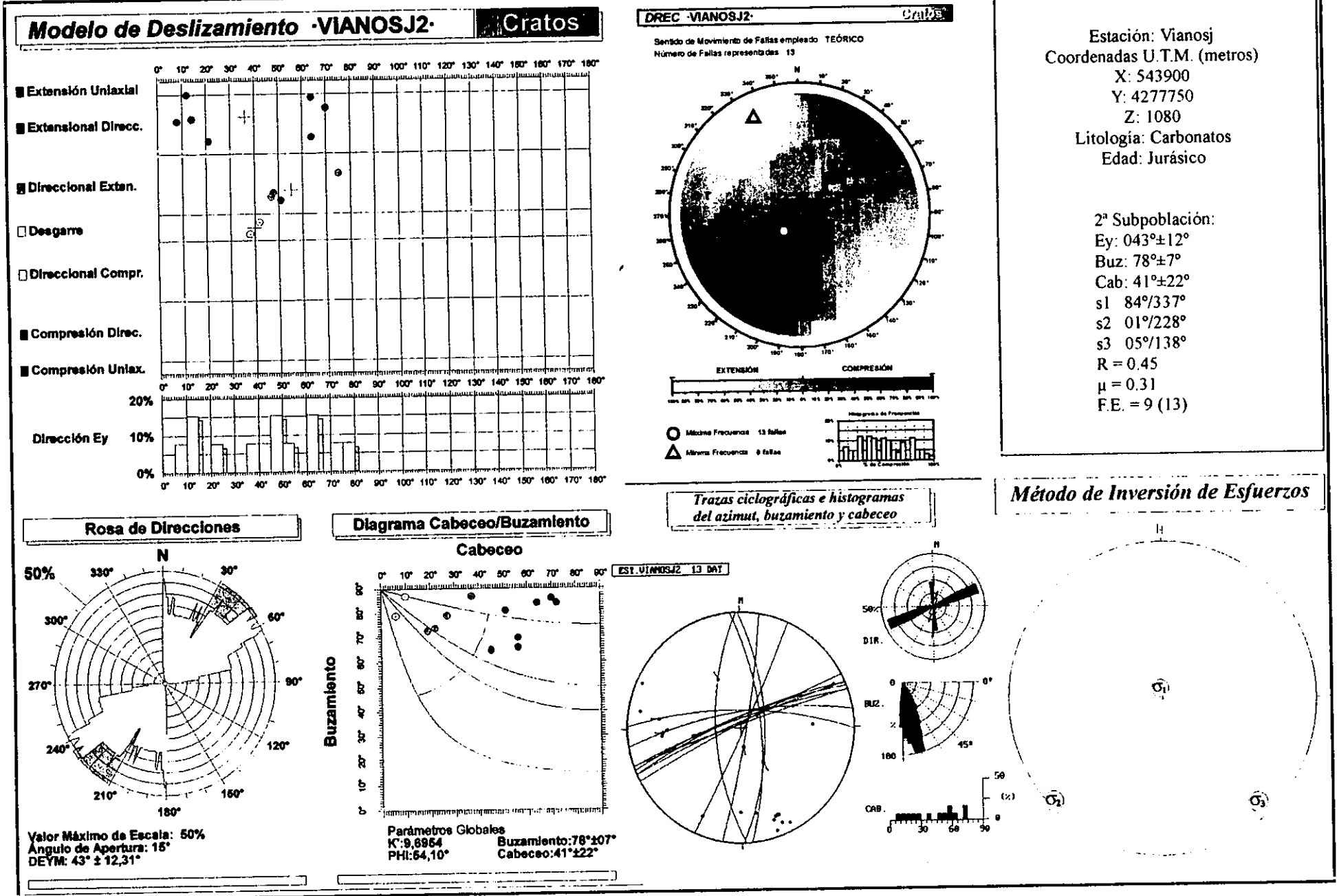


Trazas ciclográficas e histogramas del azimut, buzamiento y cabeceo

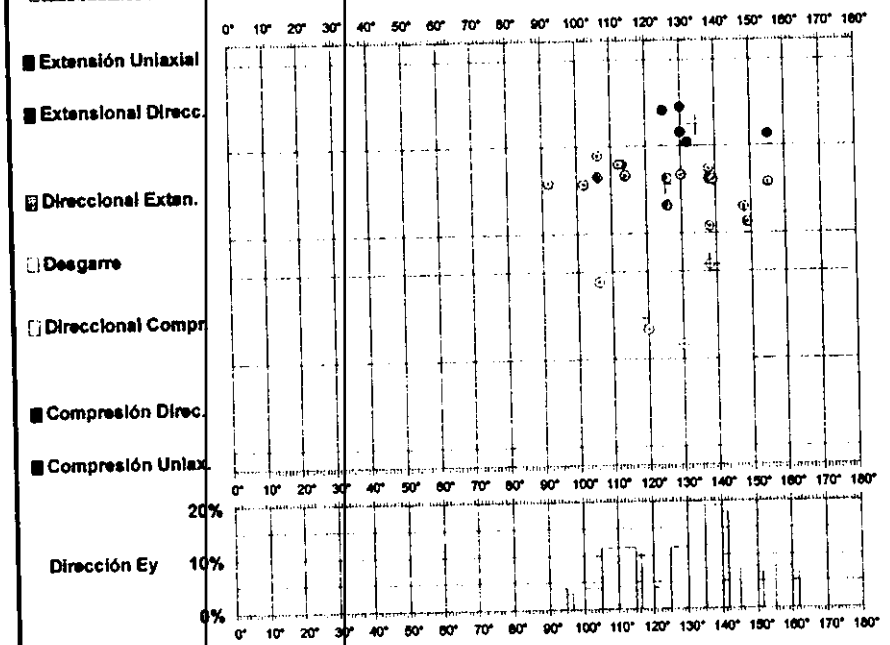


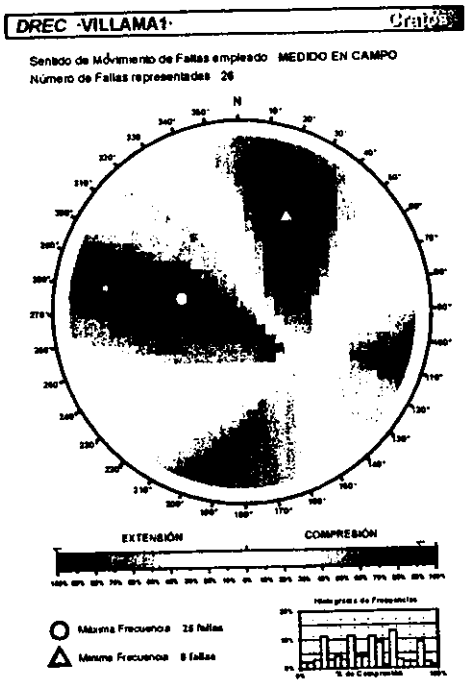
Método de Inversión de Esfuerzos




Modelo de Deslizamiento ·VIANOSJ2·
Cratos
Extensión Uniaxial
Extensional Direcc.
Direccional Exten.
Desgarre
Direccional Compr.
Compresión Direc.
Compresión Uniax.
Dirección Ey
20%
10%
0%
DREC ·VIANOSJ2·
Cratos
Sentido de Movimiento de Fallas empleado TEÓRICO
Número de Fallas representadas 13
EXTENSIÓN
COMPRESIÓN
Máxima Frecuencia 13 fallas
Mínima Frecuencia 0 fallas
Estación: Vianosj
Coordenadas U.T.M. (metros)
X: 543900
Y: 4277750
Z: 1080
Litología: Carbonatos
Edad: Jurásico
2ª Subpoblación:
Ey: 043°±12°
Buz: 78°±7°
Cab: 41°±22°
s1 84°/337°
s2 01°/228°
s3 05°/138°
R = 0.45
μ = 0.31
F.E. = 9 (13)
Rosa de Direcciones
50%
Valor Máximo de Escala: 50%
Ángulo de Apertura: 15°
DEYM: 43° ± 12,31°
Diagrama Cabeceo/Buzamiento
Cabeceo
Buzamiento
EST.VIANOSJ2 13 DAT
Parámetros Globales
K':9,6954
PHI:54,10°
Buzamiento:78°±07°
Cabeceo:41°±22°
Trazas ciclográficas e histogramas del azimut, buzamiento y cabeceo
Método de Inversión de Esfuerzos

Modelo de Deslizamiento ·VILLAMA1· Cratos



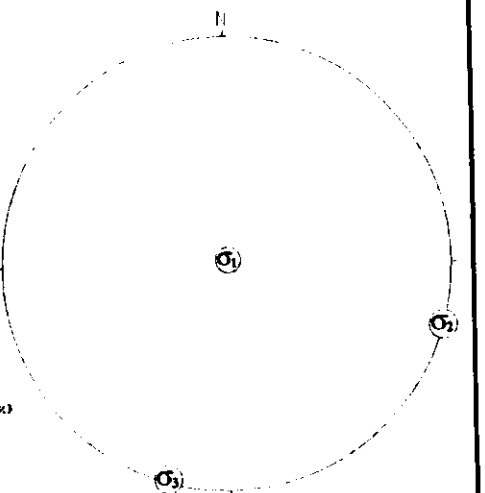


Estación: Villama
Coordenadas U.T.M. (metros)
X: 502200
Y: 4267300
Z: 872
Litología: Basamento hercínico
Edad: Paleozoico

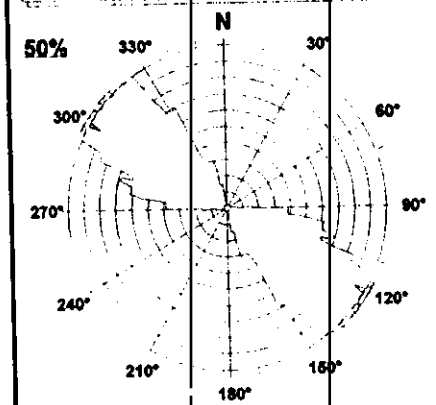
1ª Subpoblación:
Ey: 127°±10°
Buz: 75°±10°
Cab: 32°±11°
s1 89°/350°
s2 00°/107°
s3 00°/197°
R = 0.62
μ = 0.31
F.E. = 16 (26)

Trazas ciclográficas e histogramas del azimut, buzamiento y cabeceo

Método de Inversión de Esfuerzos

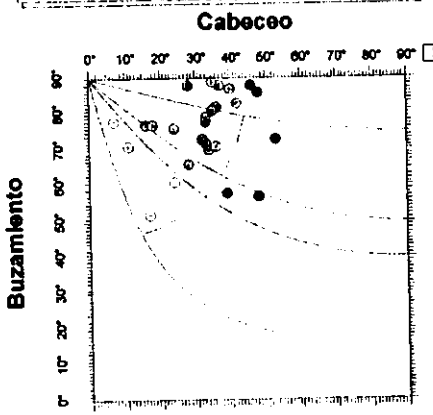


Rosa de Direcciones

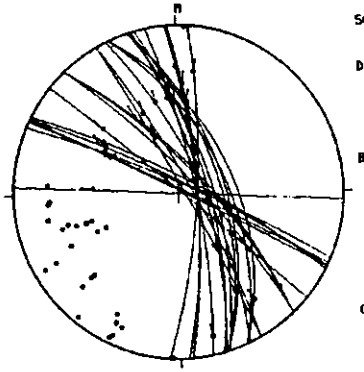


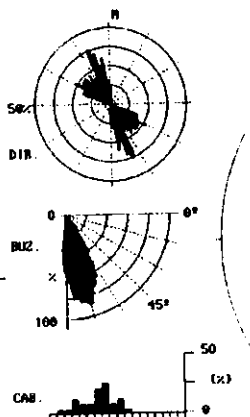
Valor Máximo de Escala: 50%
Ángulo de Apertura: 15°
DEYM: 127° ± 9,68°

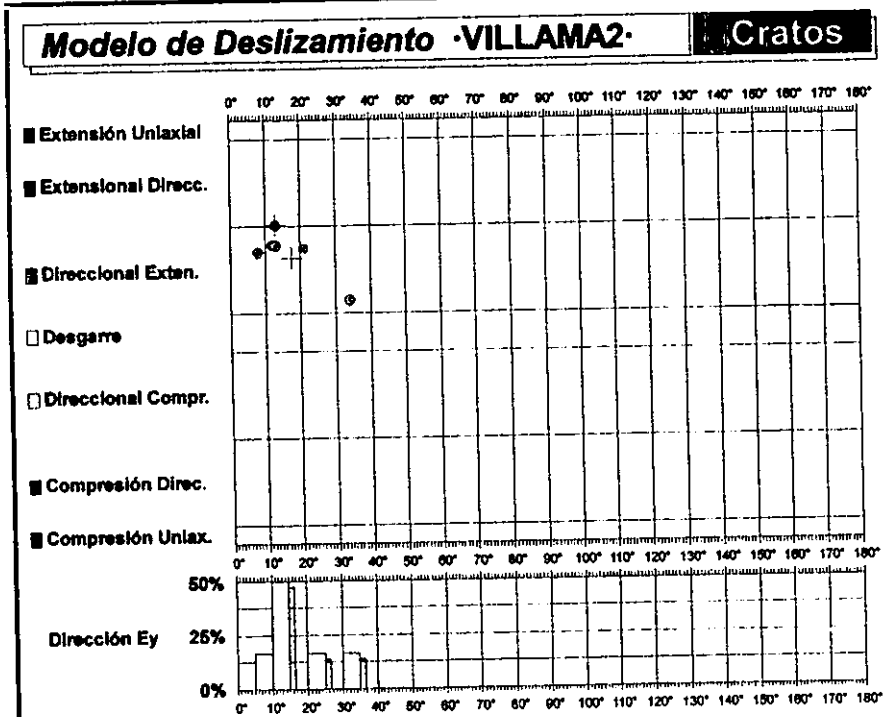
Diagrama Cabeceo/Buzamiento

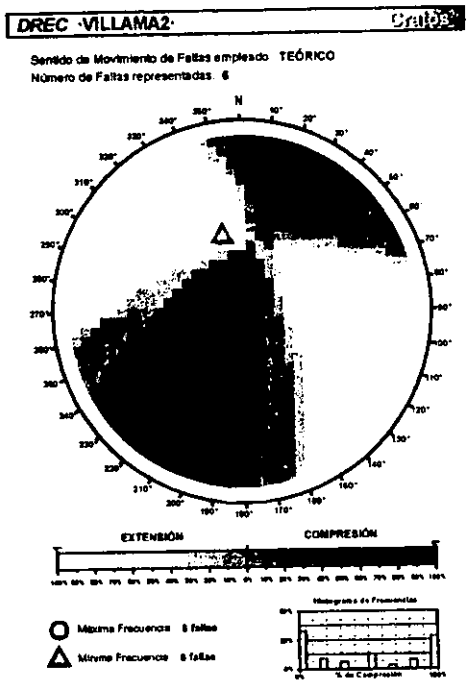


Parámetros Globales
K':-4,5695
PHI:36,35°
Buzamiento:75°±10°
Cabeceo:32°±11°







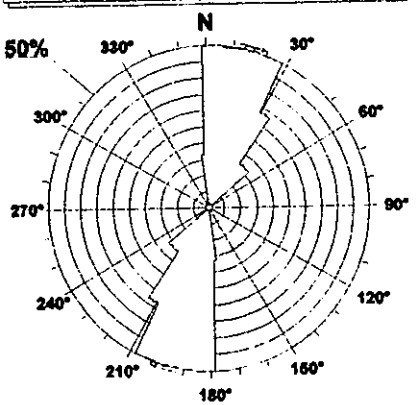


Estación: Villama
Coordenadas U.T.M. (metros)
X: 502200
Y: 4267300
Z: 872
Litología: Basamento hercínico
Edad: Paleozoico

2ª Subpoblación:
Ey: 017°±5°
Buz: 72°±5°
Cab: 33°±7°
s1 75°/051°
s2 10°/187°
s3 09°/279°
R = 0.56
μ = 1.21
F.E. = 6 (6)

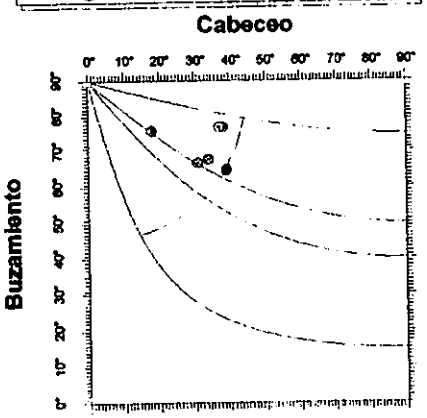
Trazas ciclográficas e histogramas del azimut, buzamiento y cabeceo

Rosa de Direcciones

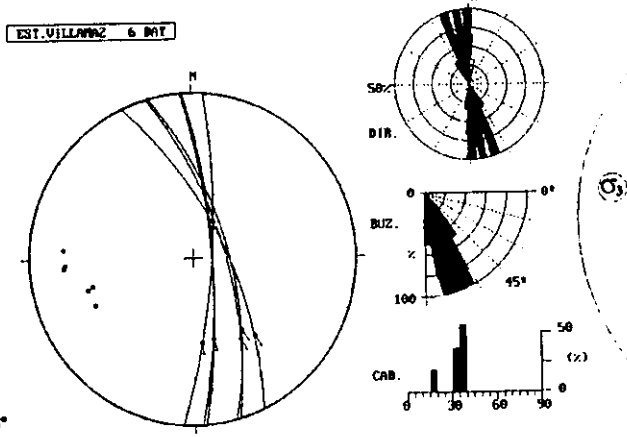


Valor Máximo de Escala: 50%
Ángulo de Apertura: 15°
DEYM: 17° ± 5,36°

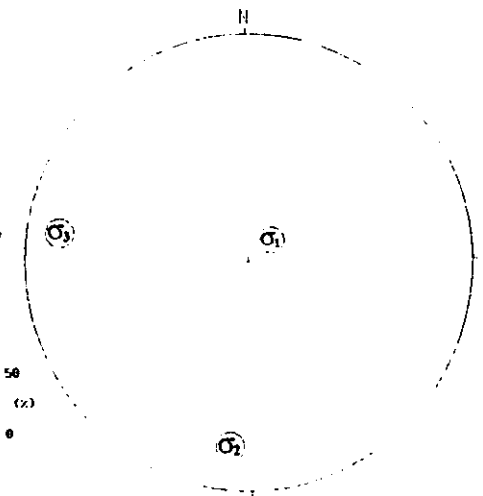
Diagrama Cabeceo/Buzamiento



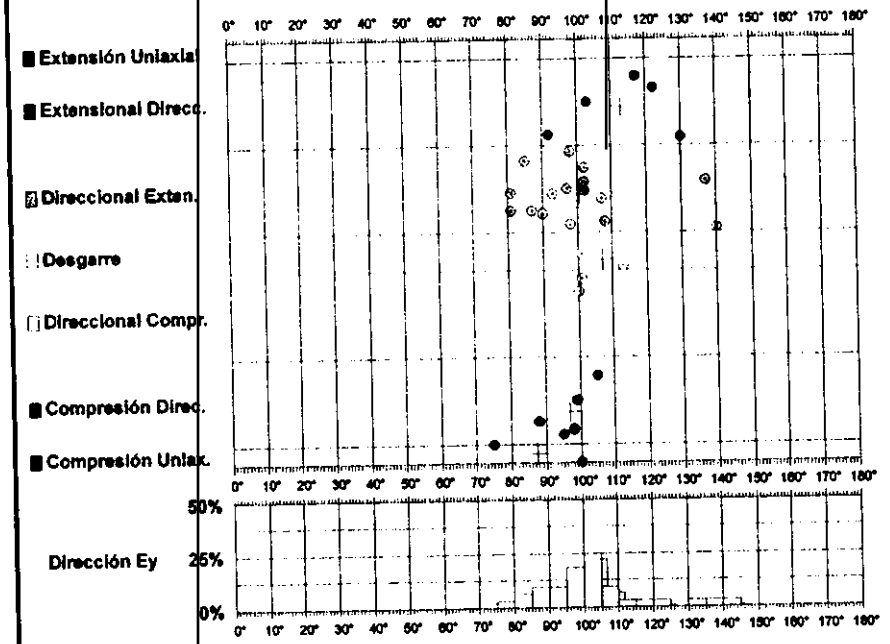
Parámetros Globales
K':1,6723 Buzamiento:72°±05°
PHI:28,36° Cabeceo:33°±07°

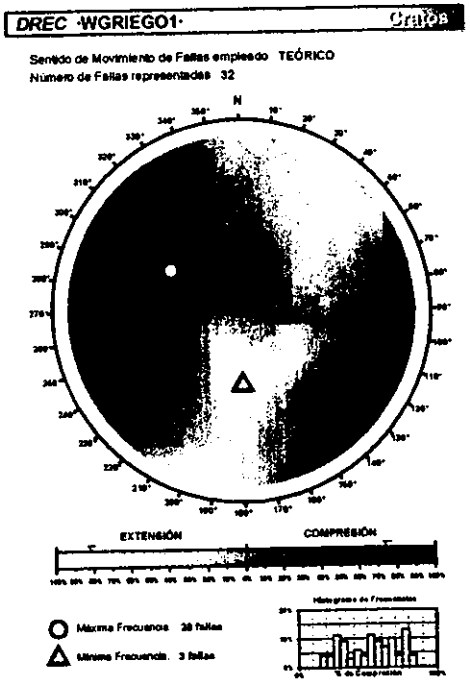


Método de Inversión de Esfuerzos



Modelo de Deslizamiento ·WGRIEGO1· Cratos



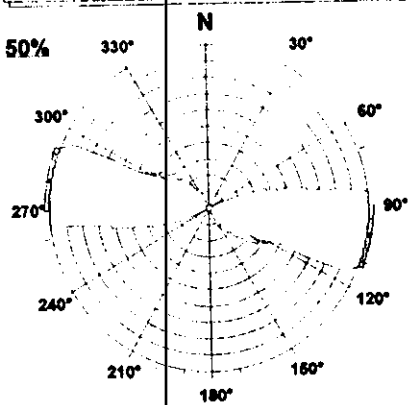


Estación: Wgriego
Coordenadas U.T.M. (metros)
X: 575000
Y: 4273250
Z: 1080
Litología: Carbonatos
Edad: Jurásico

1ª Subpoblación:	
Ey: 101°±11°	Ey: 101°±11°
Buz: 71°±19°	Buz: 71°±19°
Cab: 35°±17°	Cab: 35°±17°
s1 16°/287°	s1 11°/066°
s2 73°/120°	s2 43°/325°
s3 03°/018°	s3 44°/168°
R = 0.38	R = 0.20
μ = 0.40	μ = 0.31
F.E. = 22 (32)	F.E. = 6 (32)

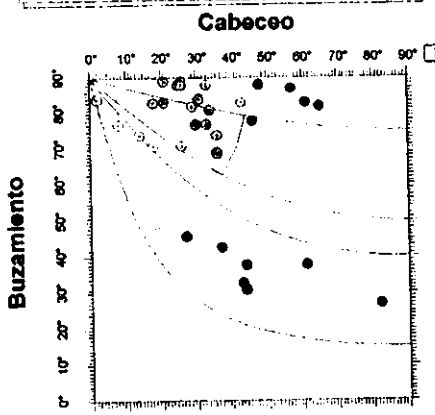
Trazas ciclográficas e histogramas del azimut, buzamiento y cabeceo

Rosa de Direcciones

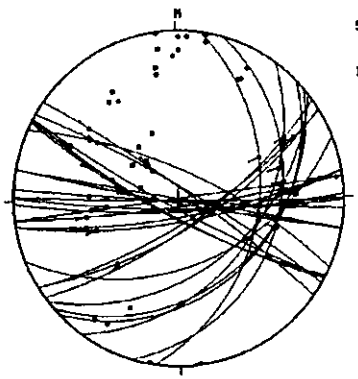


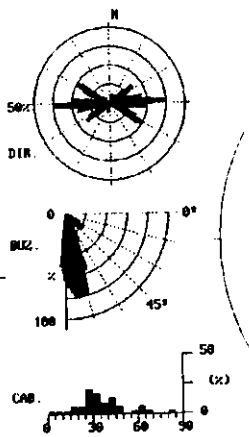
Valor Máximo de Escala: 50%
Ángulo de Apertura: 15°
DEYM: 101° ± 10,71°

Diagrama Cabeceo/Buzamiento

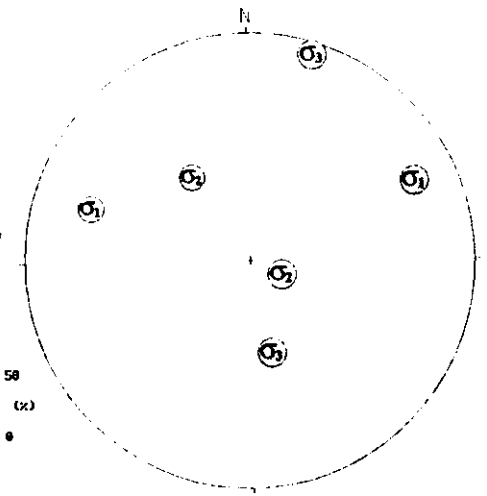


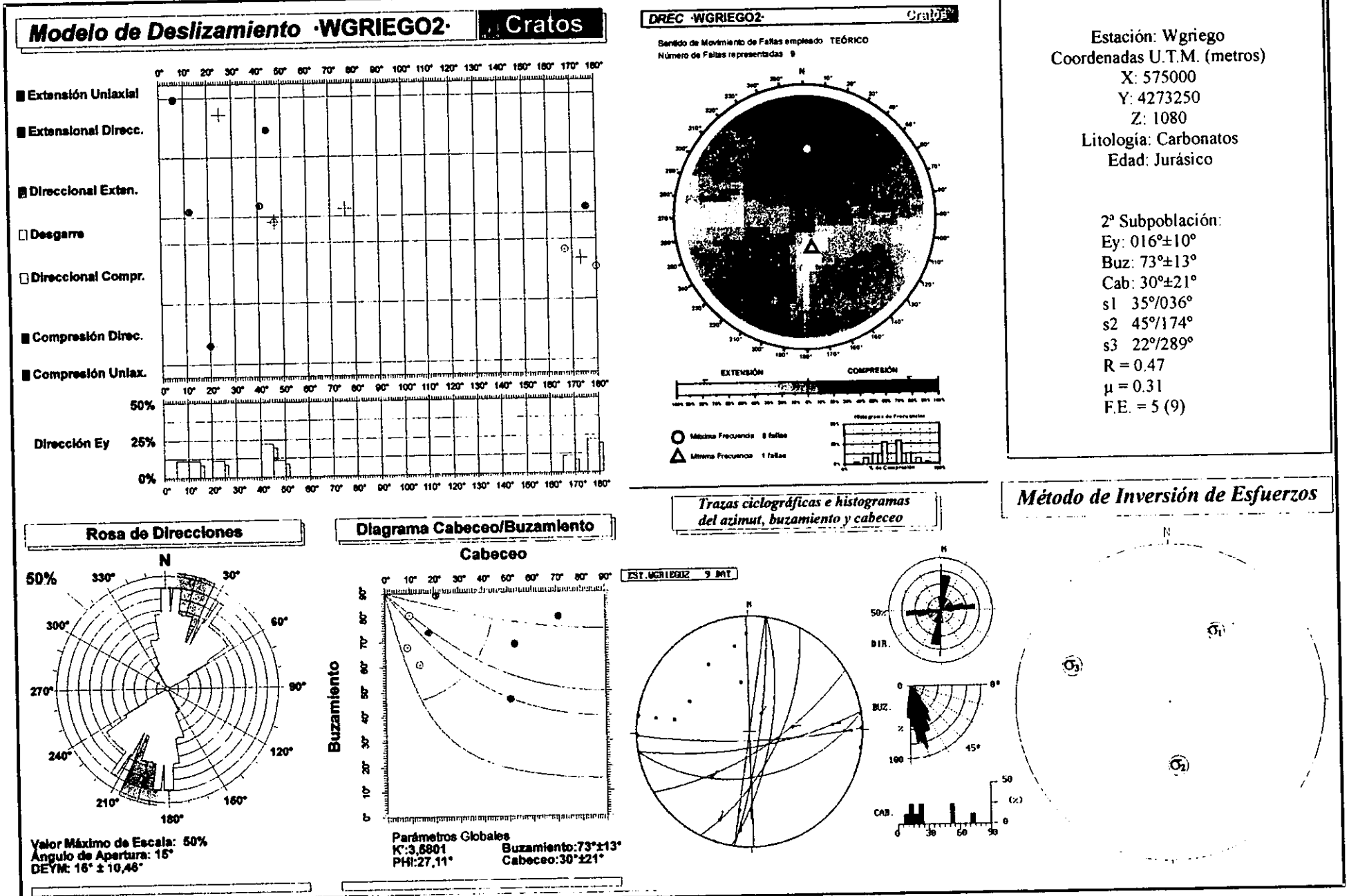
Parámetros Globales
K':-8,8911
PHI:28,04°
Buzamiento:71°±19°
Cabeceo:35°±17°



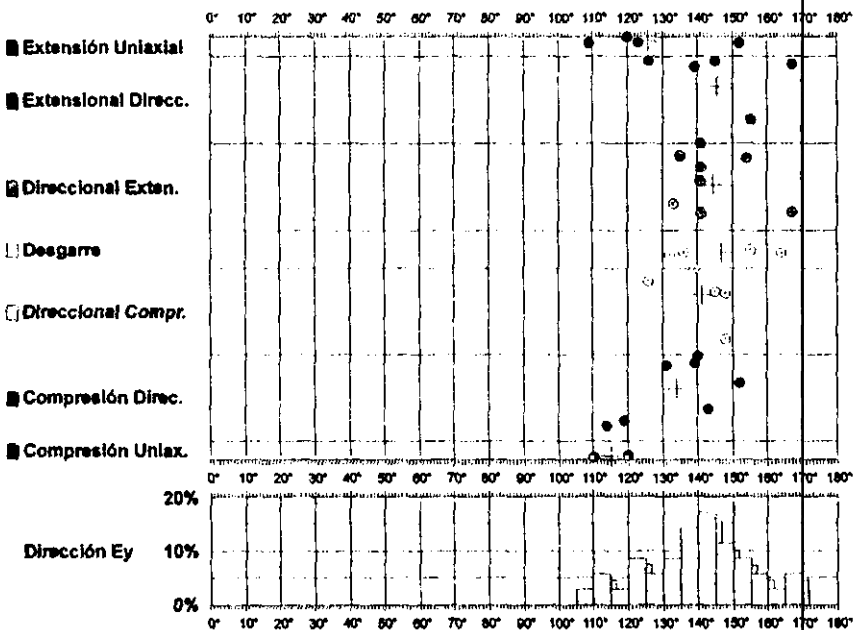


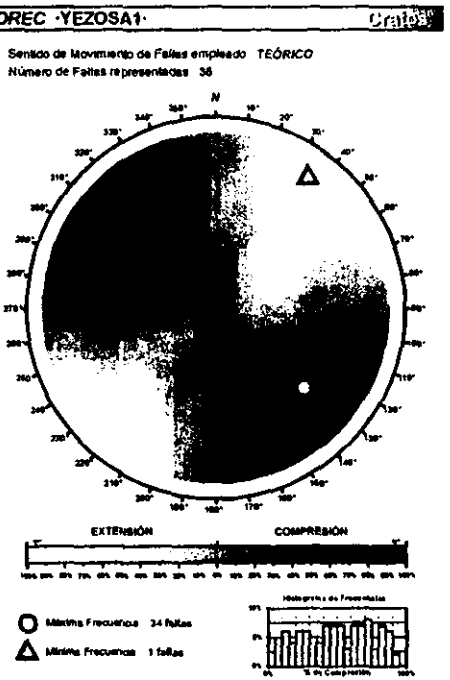
Método de Inversión de Esfuerzos




Modelo de Deslizamiento ·WGRIEGO2·
Cratos
Extensión Uniaxial
Extensional Direcc.
Direccional Exten.
Desgarre
Direccional Compr.
Compresión Direc.
Compresión Uniax.
Dirección Ey
50%
25%
0%
DREC ·WGRIEGO2·
Cratos
Sentido de Movimiento de Fallas empleado TEÓRICO
Número de Fallas representadas 9
EXTENSIÓN
COMPRESIÓN
Máxima Frecuencia 8 fallas
Mínima Frecuencia 1 fallas
Estación: Wgriego
Coordenadas U.T.M. (metros)
X: 575000
Y: 4273250
Z: 1080
Litología: Carbonatos
Edad: Jurásico
2ª Subpoblación:
Ey: 016°±10°
Buz: 73°±13°
Cab: 30°±21°
s1 35°/036°
s2 45°/174°
s3 22°/289°
R = 0.47
μ = 0.31
F.E. = 5 (9)
Trazas ciclográficas e histogramas del azimut, buzamiento y cabeceo
Método de Inversión de Esfuerzos
Rosa de Direcciones
50%
Valor Máximo de Escala: 50%
Ángulo de Apertura: 15°
DEYM: 16° ± 10,46°
Diagrama Cabeceo/Buzamiento
Cabeceo
Buzamiento
EST.WGRIEGO2 9 DAT
DIR.
BUZ.
CAB.
Parámetros Globales
K':3,6801
PHI:27,11°
Buzamiento:73°±13°
Cabeceo:30°±21°

Modelo de Deslizamiento ·YEZOSA1· Cratos

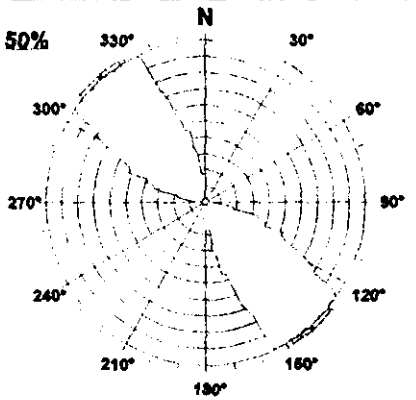




Estación: Yezosa
Coordenadas U.T.M. (metros)
X: 441700
Y: 4299200
Z: 710
Litología: Colada lávica
Edad: Mioceno sup.-Pleistoceno inf.

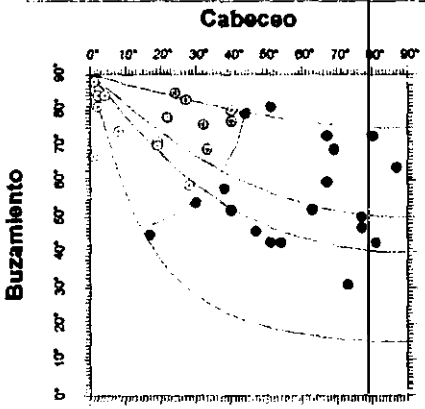
1ª Subpoblación:
Ey: 139°±9°
Buz: 65°±15°
Cab: 40°±26°
s1 16°/316°
s2 69°/170°
s3 10°/049°
R = 0.43
μ = 0.31
F.E. = 27 (35)

Rosa de Direcciones



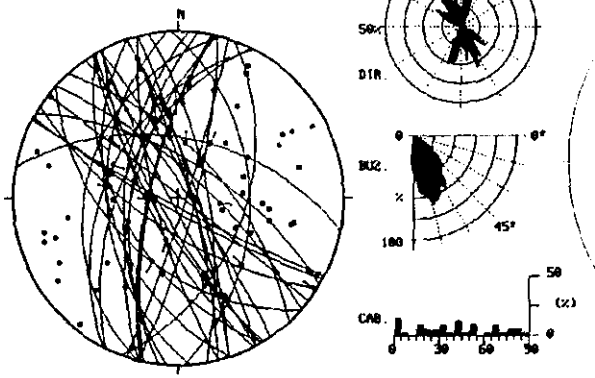
Valor Máximo de Escala: 50%
Ángulo de Apertura: 15°
DEYM: 139° ± 9,31°

Diagrama Cabeceo/Buzamiento

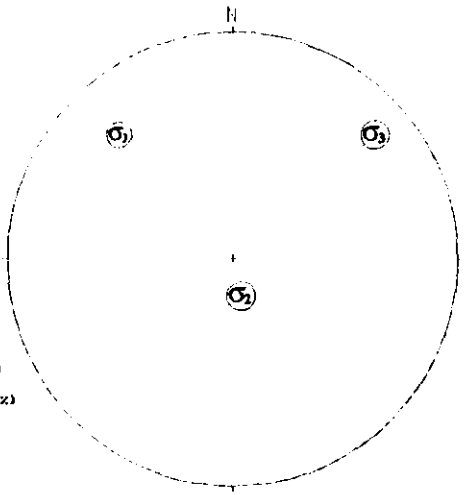


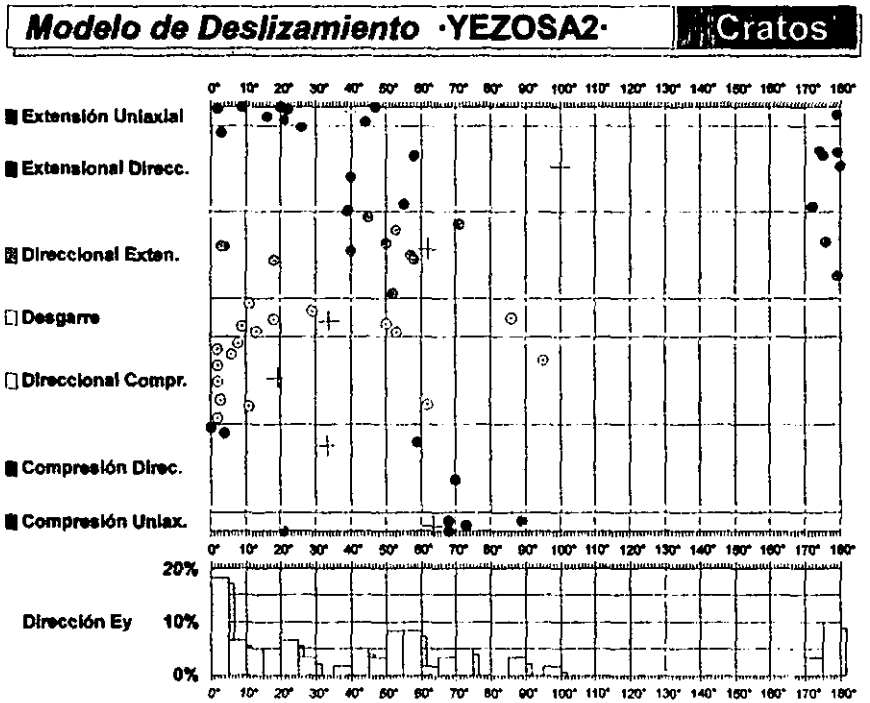
Parámetros Globales
K':-30,8128 Buzamiento:65°±15°
PHI:18,06° Cabeceo:40°±26°

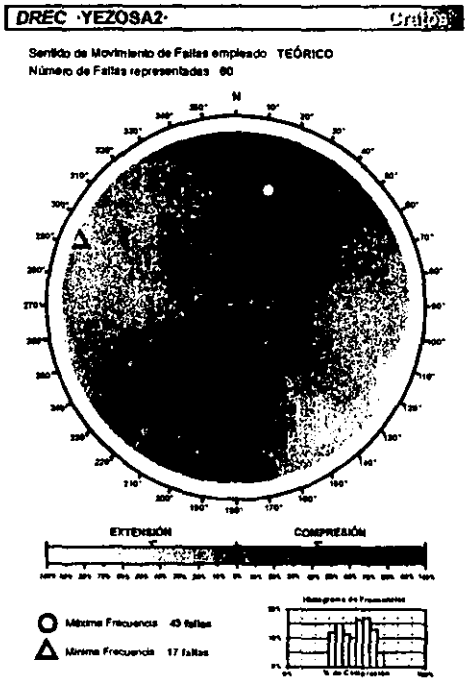
Trazas ciclográficas e histogramas del azimut, buzamiento y cabeceo



Método de Inversión de Esfuerzos



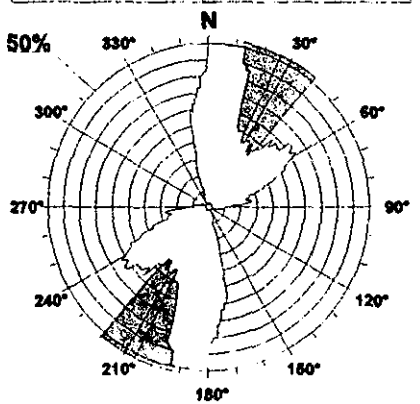




Estación: Yezosa
Coordenadas U.T.M. (metros)
X: 441700
Y: 4299200
Z: 710
Litología: Colada lávica
Edad: Mioceno sup.-Pleistoceno inf.

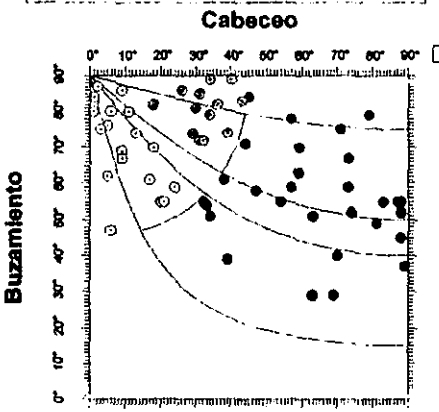
2ª Subpoblación:	
Ey: 026°±14°	Ey: 026°±14°
Buz: 66°±15°	Buz: 66°±15°
Cab: 41°±27°	Cab: 41°±27°
s1 80°/219°	s1 12°/011°
s2 09°/025°	s2 02°/101°
s3 02°/116°	s3 77°/202°
R = 0.24	R = 0.19
μ = 0.81	μ = 0.31
F.E. = 31 (60)	F.E. = 17 (60)

Rosa de Direcciones



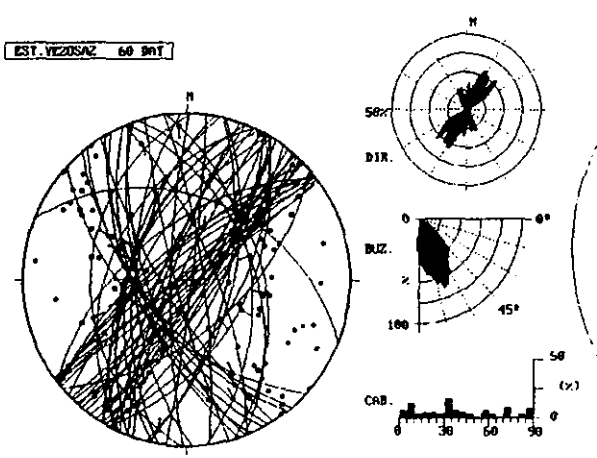
Valor Máximo de Escala: 50%
Ángulo de Apertura: 15°
DEYM: 26° ± 14,08°

Diagrama Cabeceo/Buzamiento

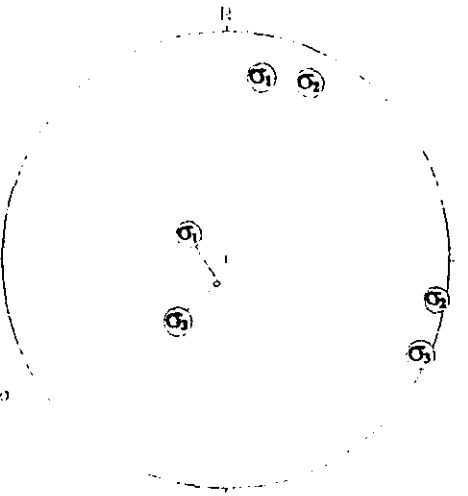


Parámetros Globales
K':-9,0733
PHI:21,67°
Buzamiento:66°±15°
Cabeceo:41°±27°

Trazas ciclográficas e histogramas del azimut, buzamiento y cabeceo

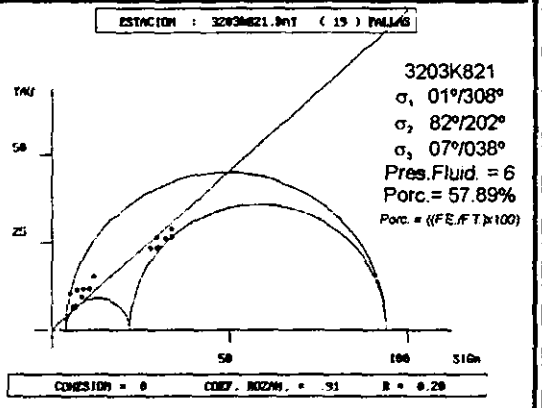


Método de Inversión de Esfuerzos

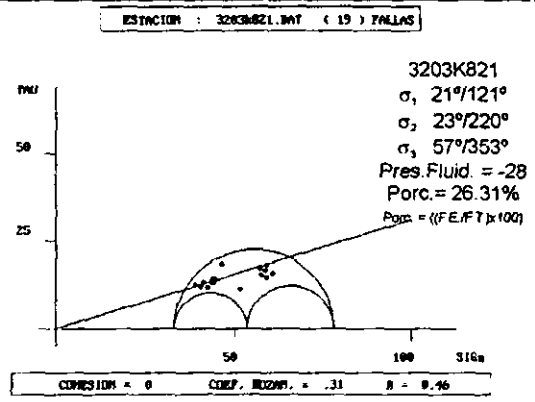


Programa *Möhr 1.1*
(Muñoz Martín. 1995)

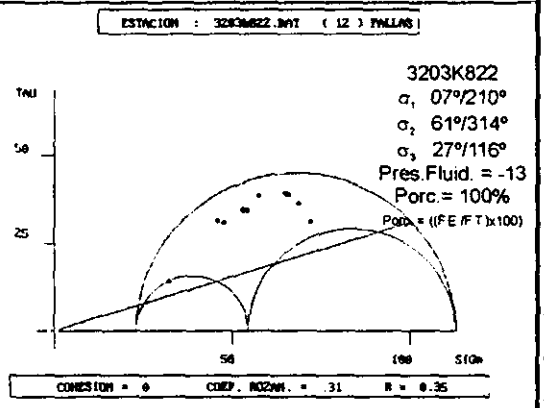
ANÁLISIS SOBRE EL CÍRCULO DE MÖHR



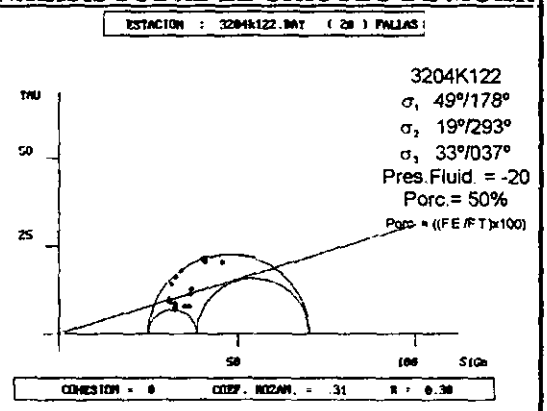
ANÁLISIS SOBRE EL CÍRCULO DE MÖHR



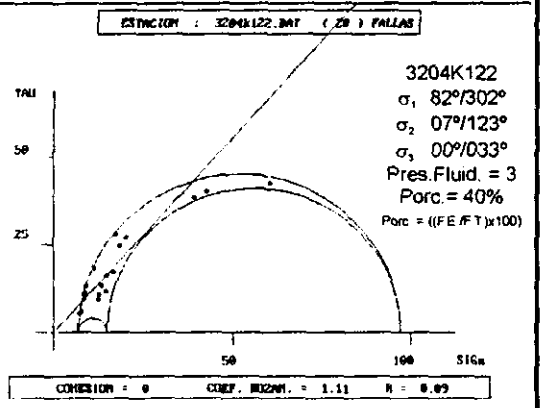
ANÁLISIS SOBRE EL CÍRCULO DE MÖHR



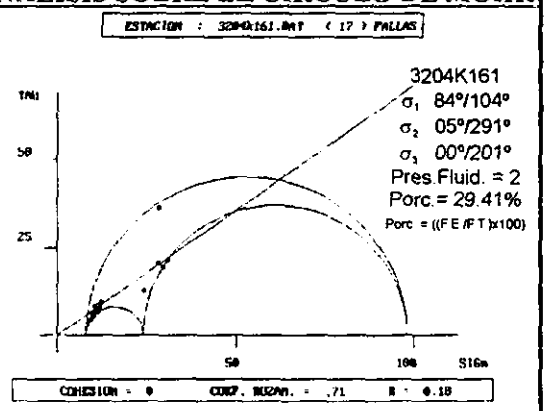
ANÁLISIS SOBRE EL CÍRCULO DE MÖHR



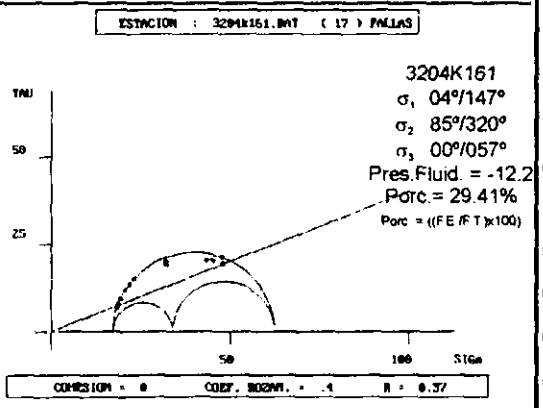
ANÁLISIS SOBRE EL CÍRCULO DE MÖHR



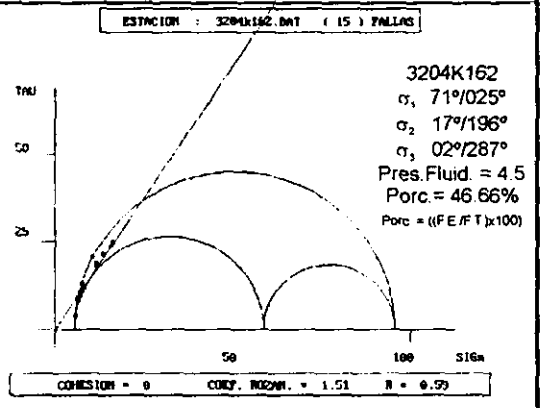
ANÁLISIS SOBRE EL CÍRCULO DE MÖHR



ANÁLISIS SOBRE EL CÍRCULO DE MÖHR

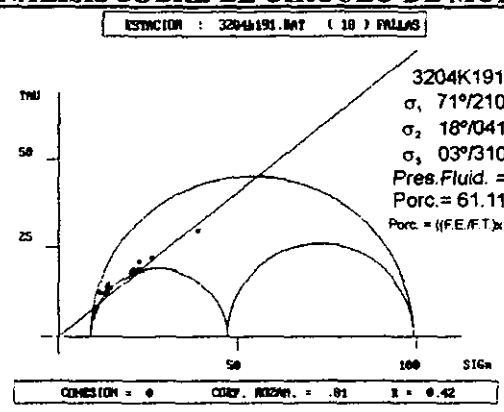


ANÁLISIS SOBRE EL CÍRCULO DE MÖHR

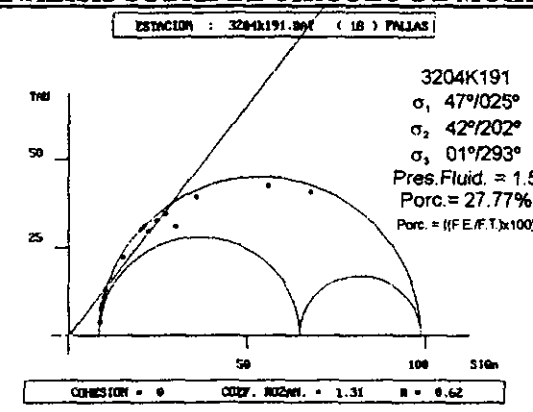


Programa *Möhr 1.1*
(Muñoz Martín, 1995)

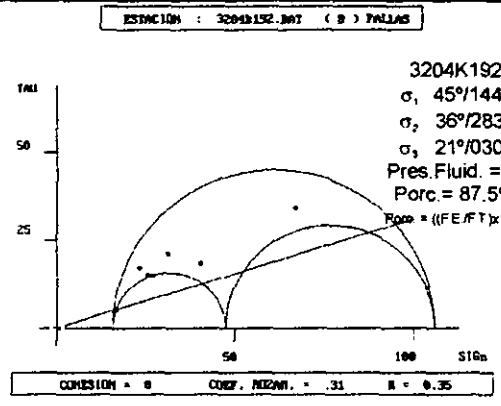
ANÁLISIS SOBRE EL CÍRCULO DE MÖHR



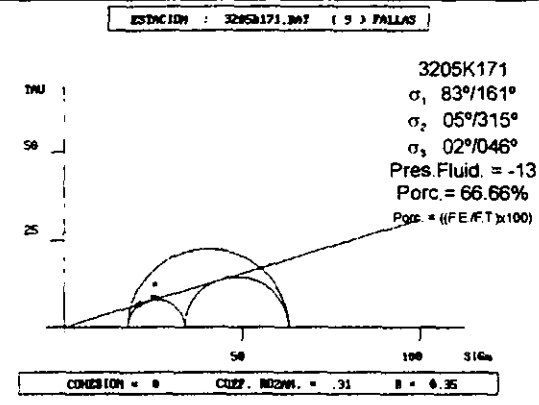
ANÁLISIS SOBRE EL CÍRCULO DE MÖHR



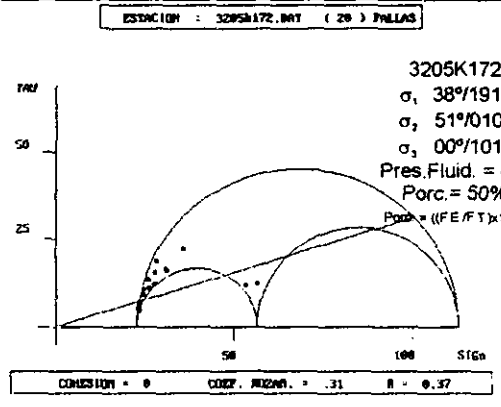
ANÁLISIS SOBRE EL CÍRCULO DE MÖHR



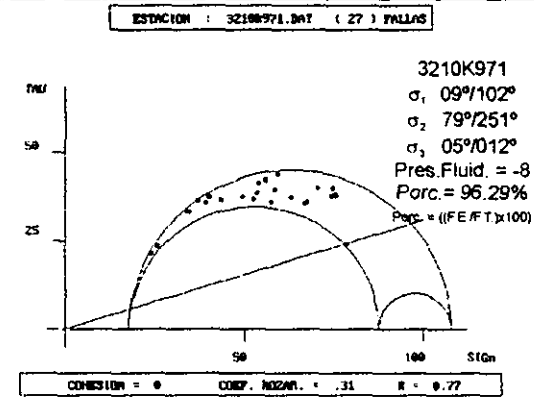
ANÁLISIS SOBRE EL CÍRCULO DE MÖHR



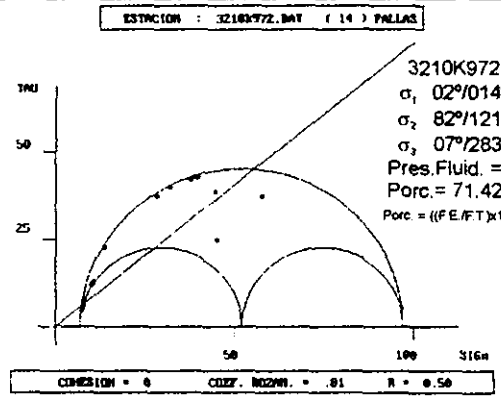
ANÁLISIS SOBRE EL CÍRCULO DE MÖHR



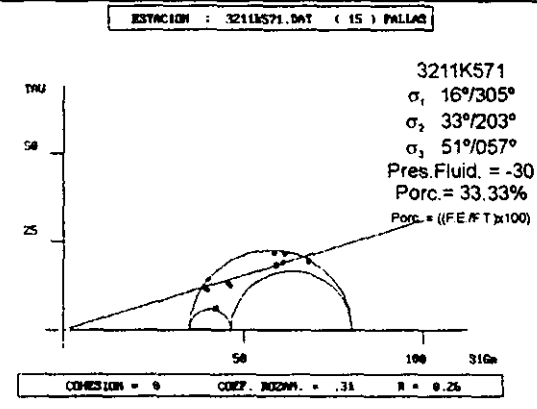
ANÁLISIS SOBRE EL CÍRCULO DE MÖHR



ANÁLISIS SOBRE EL CÍRCULO DE MÖHR



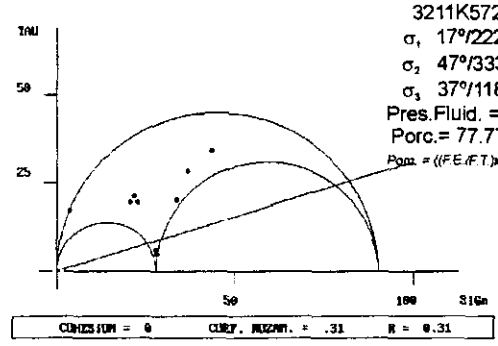
ANÁLISIS SOBRE EL CÍRCULO DE MÖHR



Programa *Möhr 1.1*
(Muñoz Martín. 1995)

ANÁLISIS SOBRE EL CÍRCULO DE MÖHR

ESTACION : 3211k572.DAT (9) FALLAS

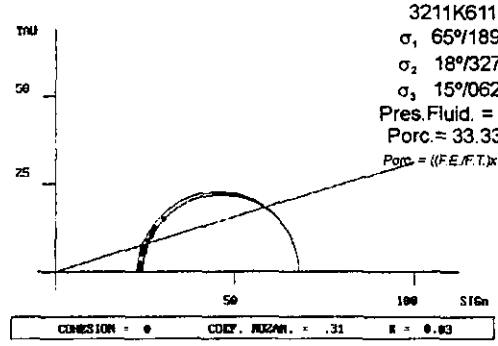


3211K572
σ_1 17°/222°
σ_2 47°/333°
σ_3 37°/118°
Pres.Fluid. = 10
Porc.= 77.77%
Porc. = ((F.E./F.T.)x100)

CONESION = 0 COEF. ROZAM. = .31 R = 0.31

ANÁLISIS SOBRE EL CÍRCULO DE MÖHR

ESTACION : 3211k611.DAT (15) FALLAS

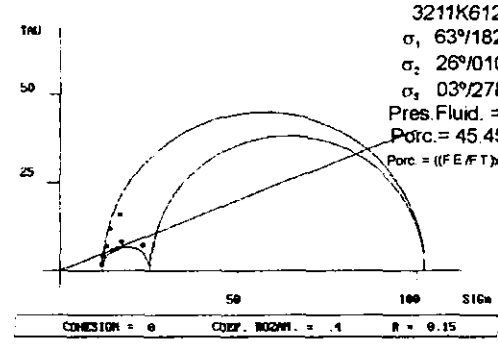


3211K611
σ_1 65°/189°
σ_2 18°/327°
σ_3 15°/062°
Pres.Fluid. = -18
Porc.= 33.33%
Porc. = ((F.E./F.T.)x100)

CONESION = 0 COEF. ROZAM. = .31 R = 0.83

ANÁLISIS SOBRE EL CÍRCULO DE MÖHR

ESTACION : 3211k612.DAT (11) FALLAS

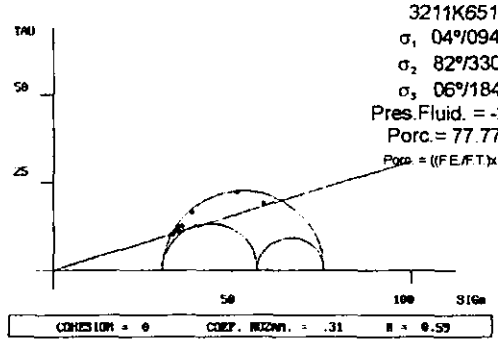


3211K612
σ_1 63°/182°
σ_2 26°/010°
σ_3 03°/278°
Pres.Fluid. = -2
Porc.= 45.45%
Porc. = ((F.E./F.T.)x100)

CONESION = 0 COEF. ROZAM. = .4 R = 0.15

ANÁLISIS SOBRE EL CÍRCULO DE MÖHR

ESTACION : 3211k651.DAT (9) FALLAS

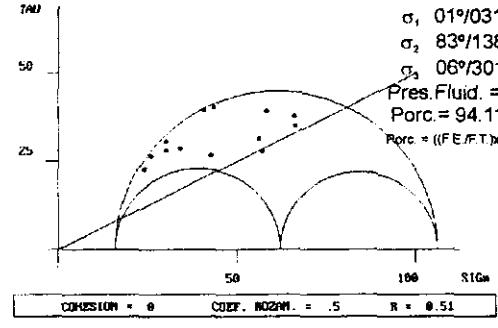


3211K651
σ_1 04°/094°
σ_2 82°/330°
σ_3 06°/184°
Pres.Fluid. = -25.5
Porc.= 77.77%
Porc. = ((F.E./F.T.)x100)

CONESION = 0 COEF. ROZAM. = .31 R = 0.59

ANÁLISIS SOBRE EL CÍRCULO DE MÖHR

ESTACION : 3211k652.DAT (17) FALLAS

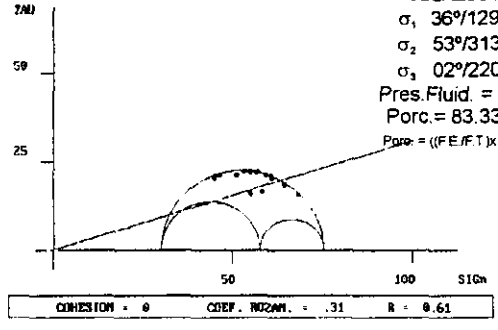


3211K652
σ_1 01°/031°
σ_2 83°/138°
σ_3 06°/301°
Pres.Fluid. = -6
Porc.= 94.11%
Porc. = ((F.E./F.T.)x100)

CONESION = 0 COEF. ROZAM. = .5 R = 0.51

ANÁLISIS SOBRE EL CÍRCULO DE MÖHR

ESTACION : 322k2901.DAT (18) FALLAS

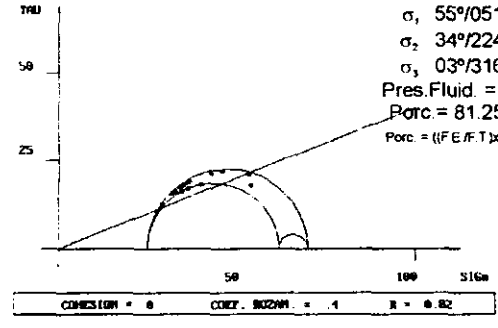


322K2901
σ_1 36°/129°
σ_2 53°/313°
σ_3 02°/220°
Pres.Fluid. = -25
Porc.= 83.33%
Porc. = ((F.E./F.T.)x100)

CONESION = 0 COEF. ROZAM. = .31 R = 0.61

ANÁLISIS SOBRE EL CÍRCULO DE MÖHR

ESTACION : 322k2902.DAT (16) FALLAS

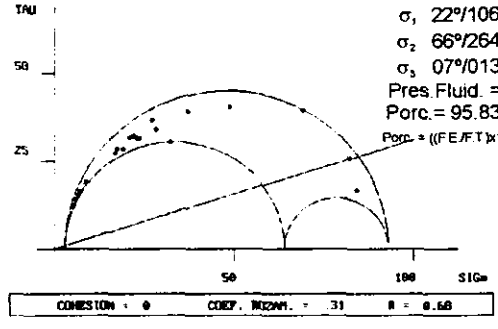


322K2902
σ_1 55°/051°
σ_2 34°/224°
σ_3 03°/316°
Pres.Fluid. = -20
Porc.= 81.25%
Porc. = ((F.E./F.T.)x100)

CONESION = 0 COEF. ROZAM. = .4 R = 0.82

ANÁLISIS SOBRE EL CÍRCULO DE MÖHR

ESTACION : 322k3051.DAT (24) FALLAS

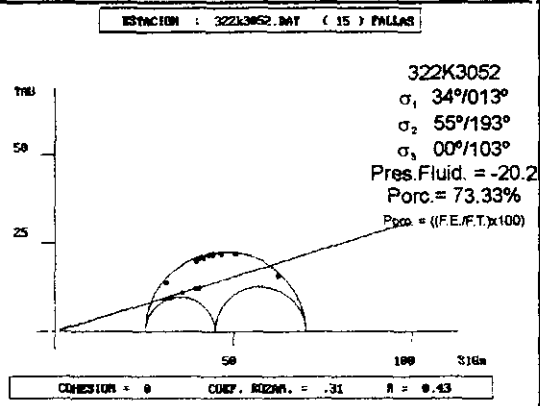


322K3051
σ_1 22°/106°
σ_2 66°/264°
σ_3 07°/013°
Pres.Fluid. = 7
Porc.= 95.83%
Porc. = ((F.E./F.T.)x100)

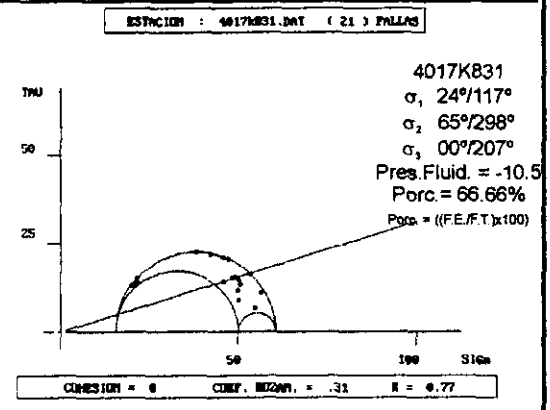
CONESION = 0 COEF. ROZAM. = .31 R = 0.68

Programa *Möhr 1.1*
(Muñoz Martin, 1995)

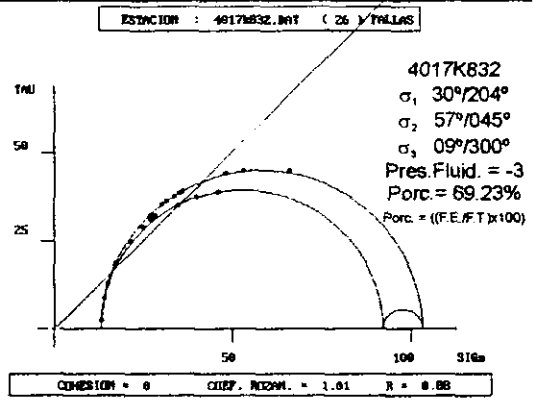
ANÁLISIS SOBRE EL CÍRCULO DE MÖHR



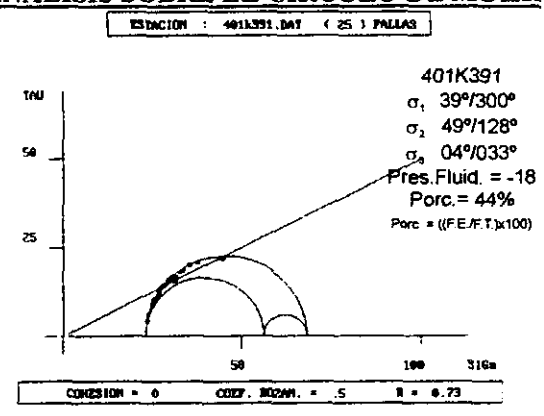
ANÁLISIS SOBRE EL CÍRCULO DE MÖHR



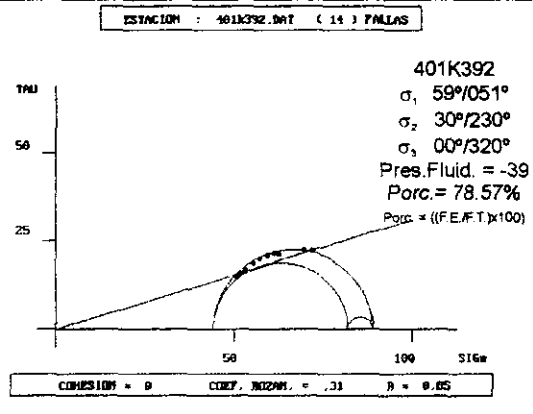
ANÁLISIS SOBRE EL CÍRCULO DE MÖHR



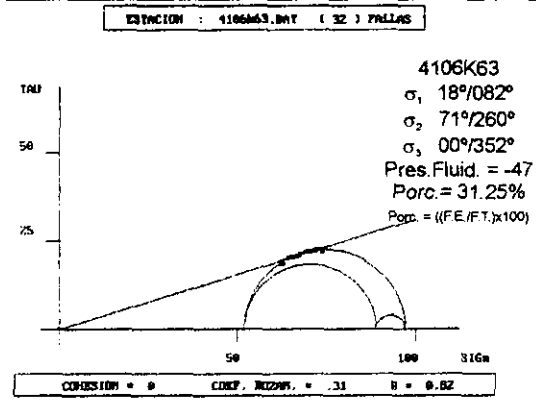
ANÁLISIS SOBRE EL CÍRCULO DE MÖHR



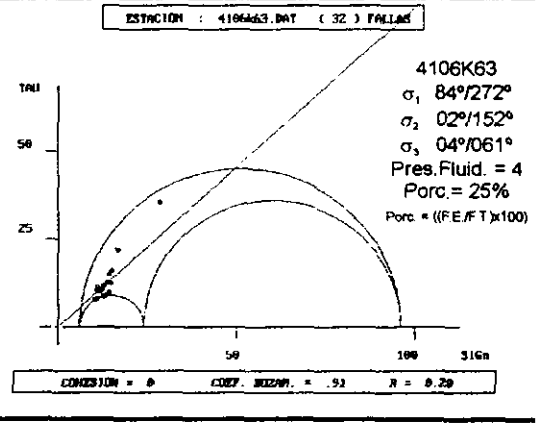
ANÁLISIS SOBRE EL CÍRCULO DE MÖHR



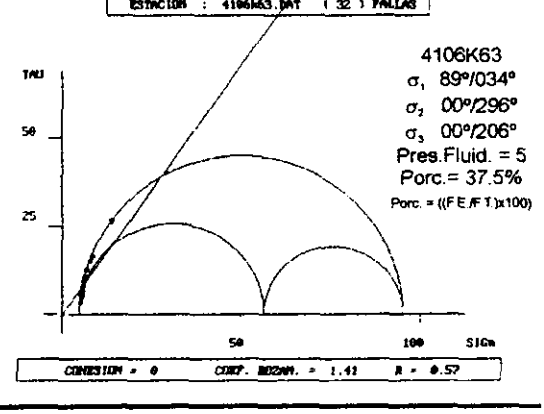
ANÁLISIS SOBRE EL CÍRCULO DE MÖHR



ANÁLISIS SOBRE EL CÍRCULO DE MÖHR

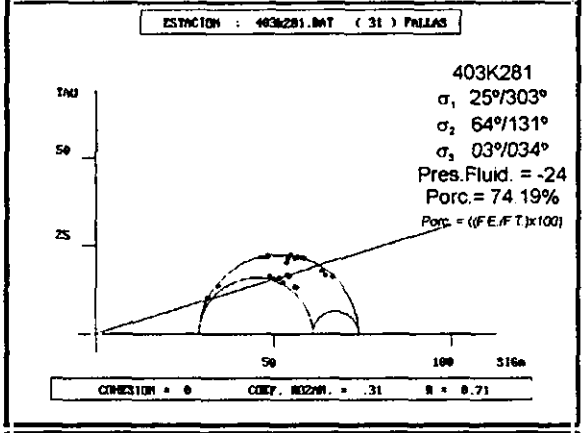


ANÁLISIS SOBRE EL CÍRCULO DE MÖHR

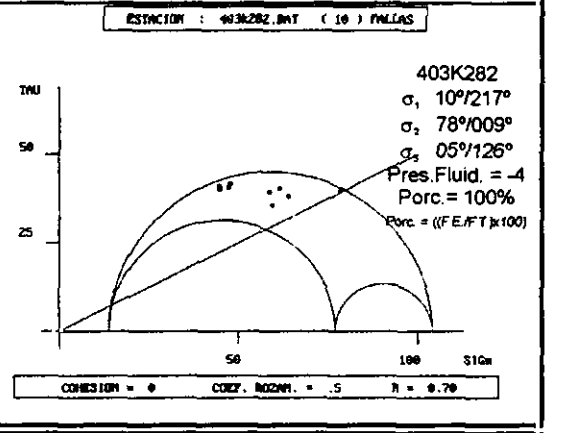


Programa *Möhr 1.1*
(Muñoz Martín. 1995)

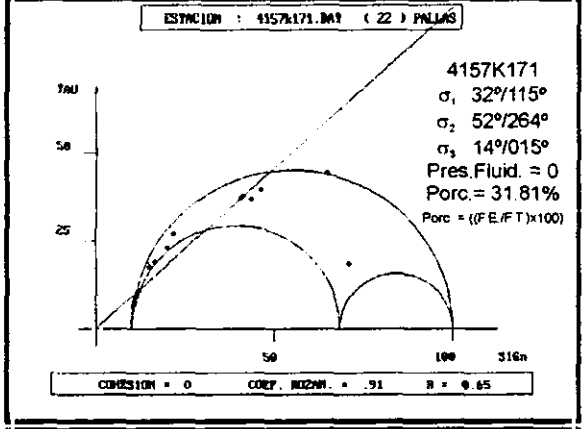
ANÁLISIS SOBRE EL CÍRCULO DE MÖHR



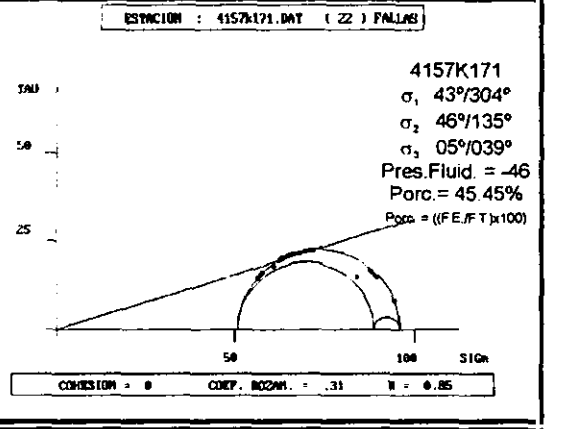
ANÁLISIS SOBRE EL CÍRCULO DE MÖHR



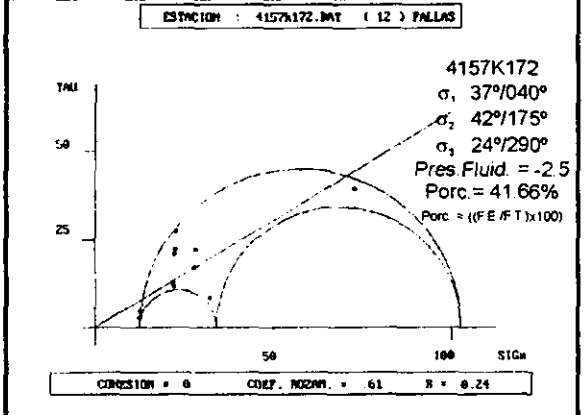
ANÁLISIS SOBRE EL CÍRCULO DE MÖHR



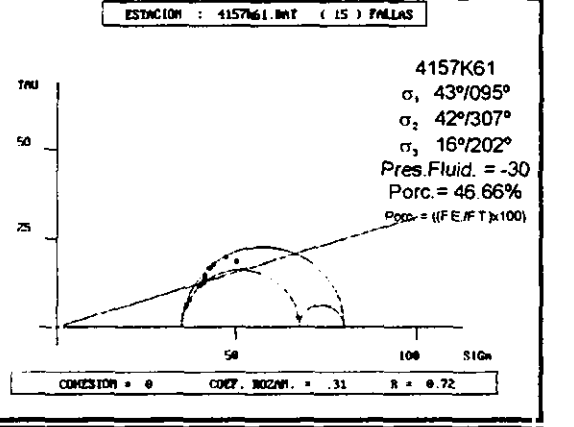
ANÁLISIS SOBRE EL CÍRCULO DE MÖHR



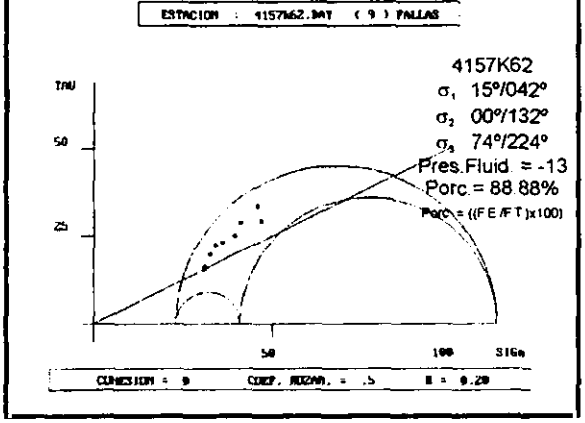
ANÁLISIS SOBRE EL CÍRCULO DE MÖHR



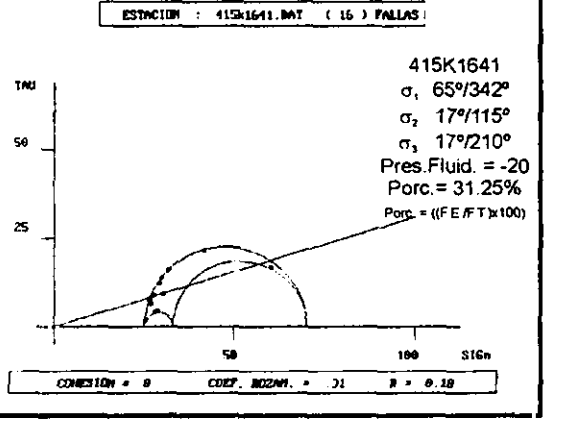
ANÁLISIS SOBRE EL CÍRCULO DE MÖHR



ANÁLISIS SOBRE EL CÍRCULO DE MÖHR

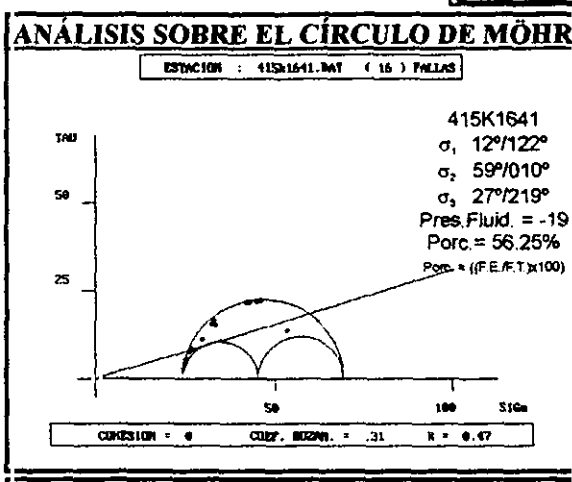


ANÁLISIS SOBRE EL CÍRCULO DE MÖHR



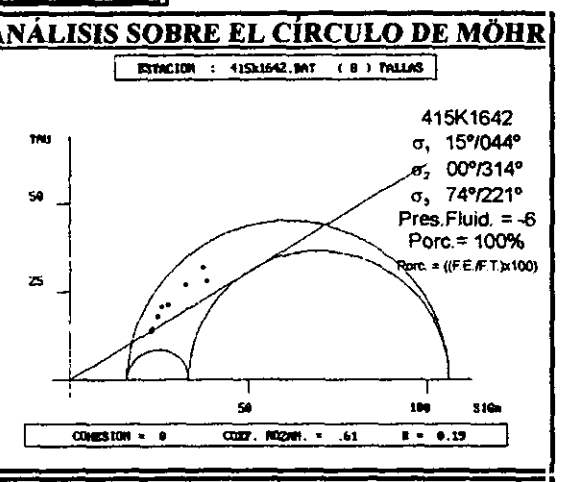
Programa *Möhr 1.1*
(Muñoz Martín, 1995)

ANÁLISIS SOBRE EL CÍRCULO DE MÖHR



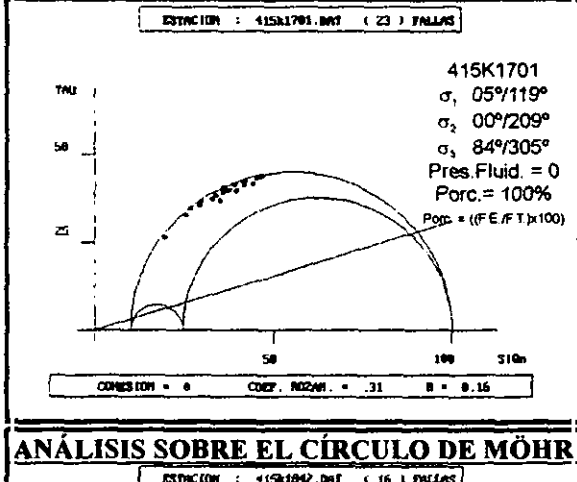
415K1641
σ_1 12°/122°
σ_2 59°/010°
σ_3 27°/219°
Pres.Fluid. = -19
Porc.= 56.25%
Porc = ((F.E./F.T.)x100)

ANÁLISIS SOBRE EL CÍRCULO DE MÖHR



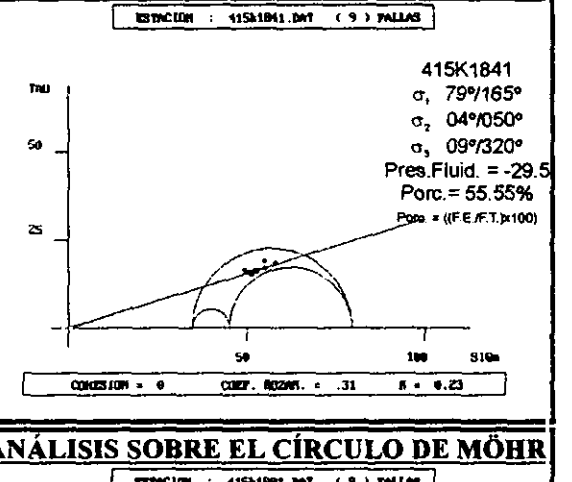
415K1642
σ_1 15°/044°
σ_2 00°/314°
σ_3 74°/221°
Pres.Fluid. = -6
Porc.= 100%
Porc = ((F.E./F.T.)x100)

ANÁLISIS SOBRE EL CÍRCULO DE MÖHR



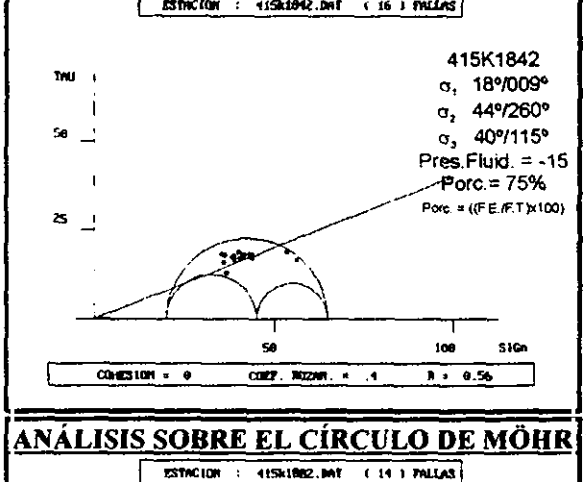
415K1701
σ_1 05°/119°
σ_2 00°/209°
σ_3 84°/305°
Pres.Fluid. = 0
Porc.= 100%
Porc = ((F.E./F.T.)x100)

ANÁLISIS SOBRE EL CÍRCULO DE MÖHR



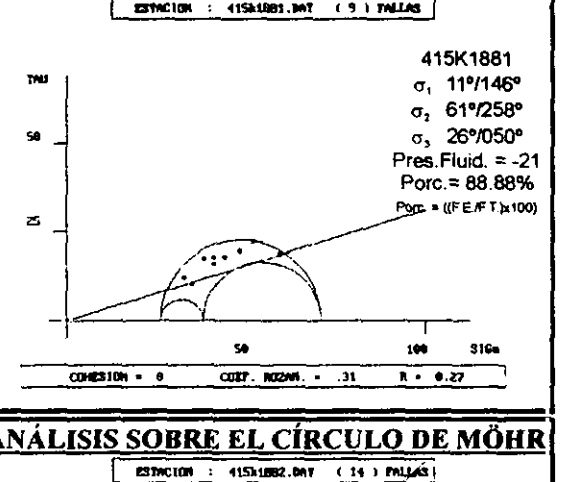
415K1841
σ_1 79°/165°
σ_2 04°/050°
σ_3 09°/320°
Pres.Fluid. = -29.5
Porc.= 55.55%
Porc = ((F.E./F.T.)x100)

ANÁLISIS SOBRE EL CÍRCULO DE MÖHR



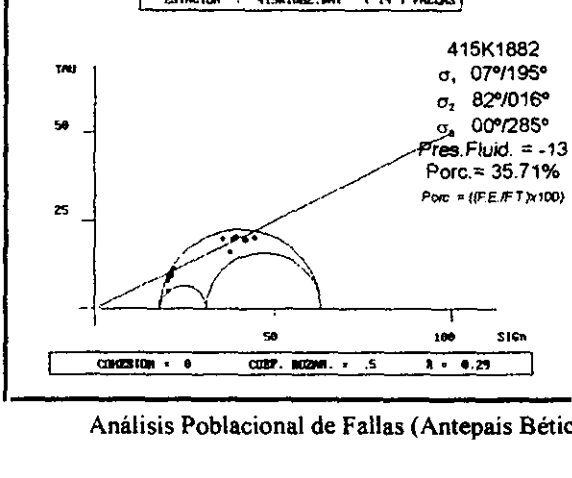
415K1842
σ_1 18°/009°
σ_2 44°/260°
σ_3 40°/115°
Pres.Fluid. = -15
Porc.= 75%
Porc = ((F.E./F.T.)x100)

ANÁLISIS SOBRE EL CÍRCULO DE MÖHR



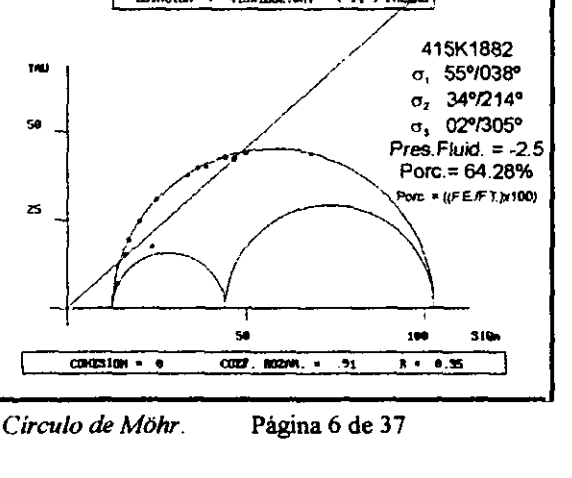
415K1881
σ_1 11°/146°
σ_2 61°/258°
σ_3 26°/050°
Pres.Fluid. = -21
Porc.= 88.88%
Porc = ((F.E./F.T.)x100)

ANÁLISIS SOBRE EL CÍRCULO DE MÖHR



415K1882
σ_1 07°/195°
σ_2 82°/016°
σ_3 00°/285°
Pres.Fluid. = -13
Porc.= 35.71%
Porc = ((F.E./F.T.)x100)

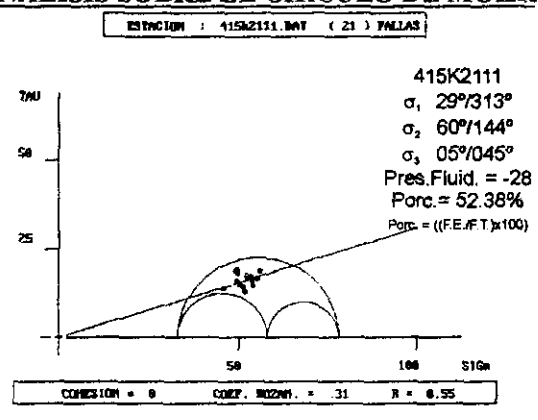
ANÁLISIS SOBRE EL CÍRCULO DE MÖHR



415K1882
σ_1 55°/038°
σ_2 34°/214°
σ_3 02°/305°
Pres.Fluid. = -2.5
Porc.= 64.28%
Porc = ((F.E./F.T.)x100)

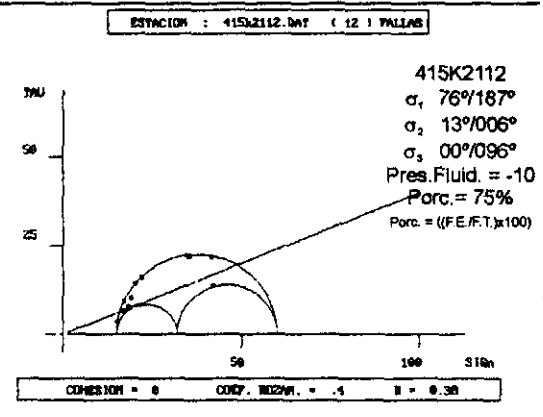
Programa *Möhr 1.1*
(Muñoz Martín, 1995)

ANÁLISIS SOBRE EL CÍRCULO DE MÖHR



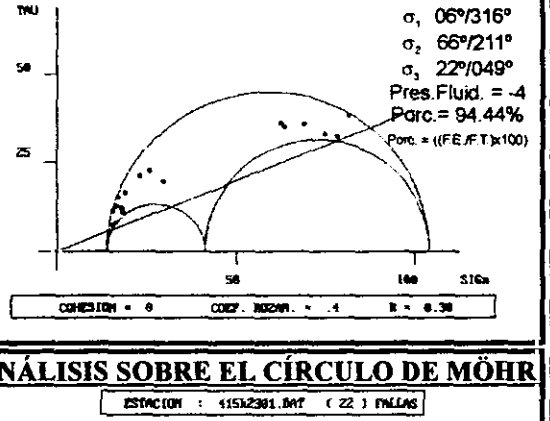
415K2111
σ_1 29°/313°
σ_2 60°/144°
σ_3 05°/045°
Pres.Fluid. = -28
Porc.= 52.38%
Porc. = ((F.E./F.T.)x100)

ANÁLISIS SOBRE EL CÍRCULO DE MÖHR



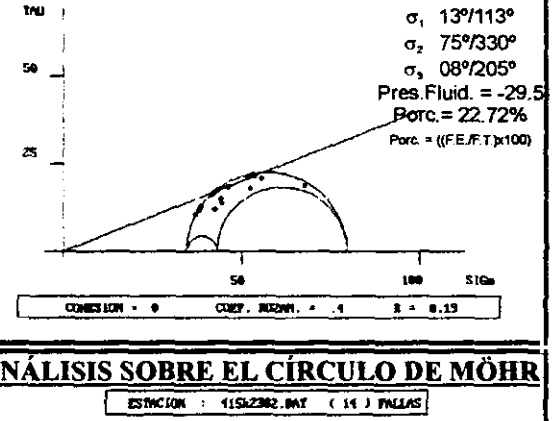
415K2112
σ_1 76°/187°
σ_2 13°/006°
σ_3 00°/096°
Pres.Fluid. = -10
Porc.= 75%
Porc. = ((F.E./F.T.)x100)

ANÁLISIS SOBRE EL CÍRCULO DE MÖHR



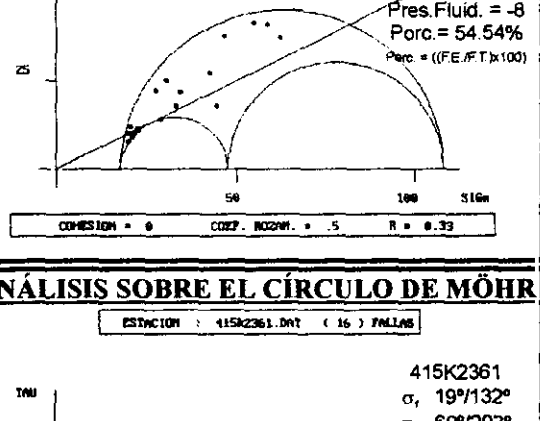
415K2251
σ_1 06°/316°
σ_2 66°/211°
σ_3 22°/049°
Pres.Fluid. = -4
Porc.= 94.44%
Porc. = ((F.E./F.T.)x100)

ANÁLISIS SOBRE EL CÍRCULO DE MÖHR



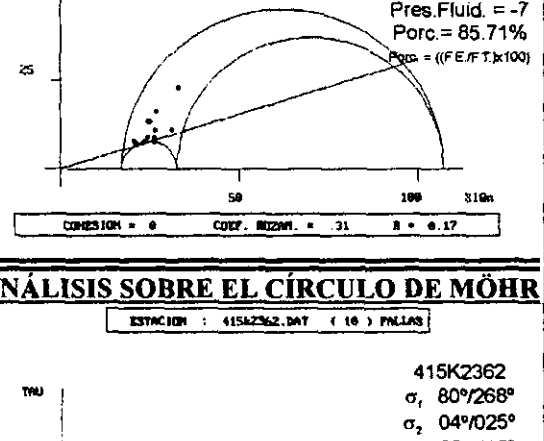
415K2301
σ_1 13°/113°
σ_2 75°/330°
σ_3 08°/205°
Pres.Fluid. = -29.5
Porc.= 22.72%
Porc. = ((F.E./F.T.)x100)

ANÁLISIS SOBRE EL CÍRCULO DE MÖHR



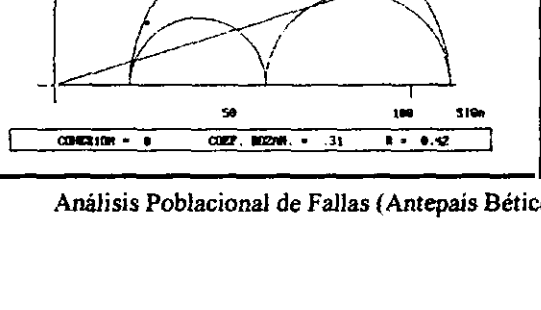
415K2301
σ_1 67°/350°
σ_2 12°/111°
σ_3 18°/205°
Pres.Fluid. = -8
Porc.= 54.54%
Porc. = ((F.E./F.T.)x100)

ANÁLISIS SOBRE EL CÍRCULO DE MÖHR



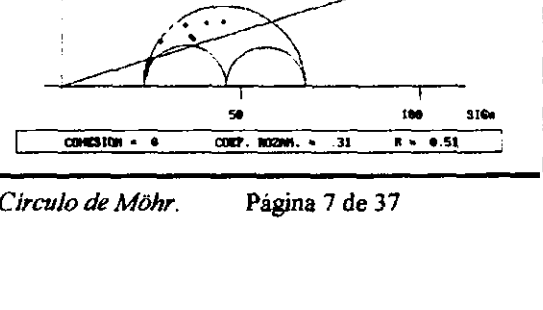
415K2302
σ_1 50°/034°
σ_2 38°/197°
σ_3 08°/294°
Pres.Fluid. = -7
Porc.= 85.71%
Porc. = ((F.E./F.T.)x100)

ANÁLISIS SOBRE EL CÍRCULO DE MÖHR



415K2361
σ_1 19°/132°
σ_2 69°/293°
σ_3 06°/040°
Pres.Fluid. = -11
Porc.= 100%
Porc. = ((F.E./F.T.)x100)

ANÁLISIS SOBRE EL CÍRCULO DE MÖHR

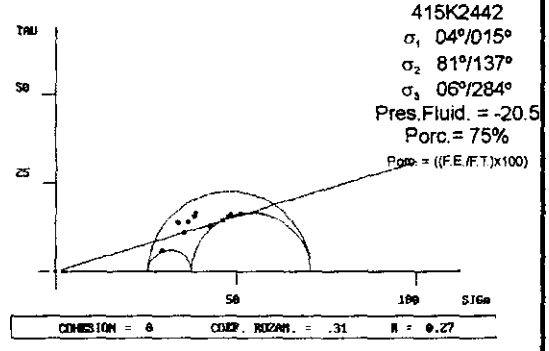


415K2362
σ_1 80°/268°
σ_2 04°/025°
σ_3 08°/116°
Pres.Fluid. = -18
Porc.= 60%
Porc. = ((F.E./F.T.)x100)

Programa *Möhr 1.1*
(Muñoz Martín, 1995)

ANÁLISIS SOBRE EL CÍRCULO DE MÖHR

ESTACION : 415k2442.DAT (12) FALLAS

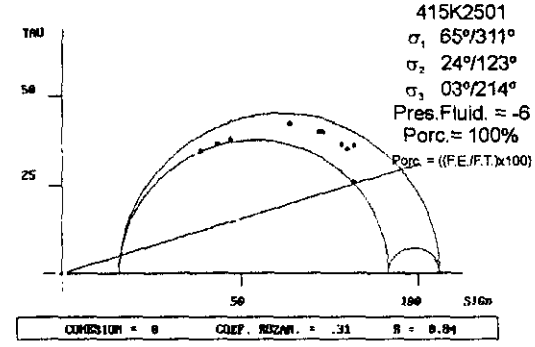


415K2442
σ_1 04°/015°
σ_2 81°/137°
σ_3 06°/284°
Pres.Fluid. = -20.5
Porc.= 75%

COHESION = 0 COEF. ROZAM. = .31 R = 0.27

ANÁLISIS SOBRE EL CÍRCULO DE MÖHR

ESTACION : 415k2501.DAT (11) FALLAS

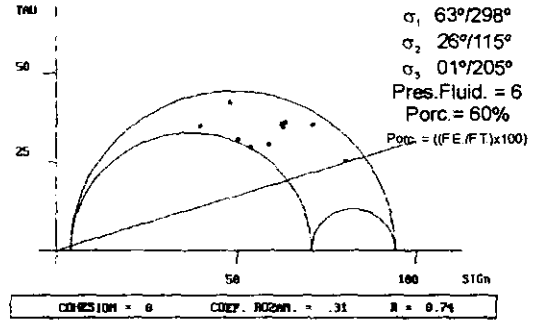


415K2501
σ_1 65°/311°
σ_2 24°/123°
σ_3 03°/214°
Pres.Fluid. = -6
Porc.= 100%

COHESION = 0 COEF. ROZAM. = .31 R = 0.84

ANÁLISIS SOBRE EL CÍRCULO DE MÖHR

ESTACION : 420k1301.DAT (10) FALLAS

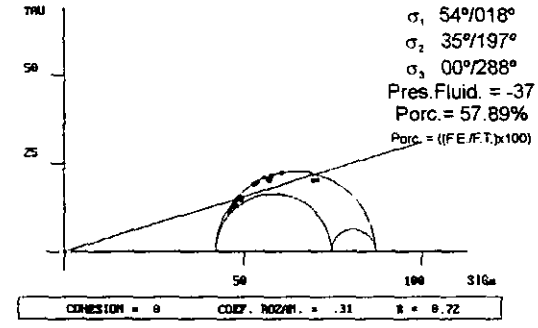


420K1301
σ_1 63°/298°
σ_2 26°/115°
σ_3 01°/205°
Pres.Fluid. = 6
Porc.= 60%

COHESION = 0 COEF. ROZAM. = .31 R = 0.74

ANÁLISIS SOBRE EL CÍRCULO DE MÖHR

ESTACION : 420k1302.DAT (15) FALLAS

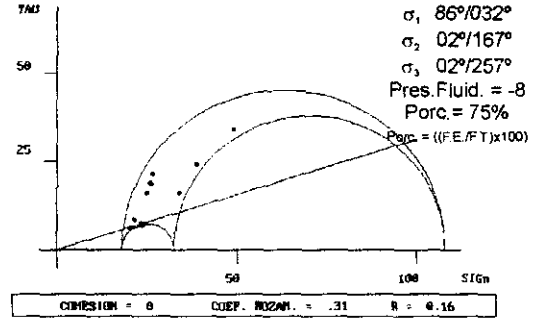


420K1302
σ_1 54°/018°
σ_2 35°/197°
σ_3 00°/288°
Pres.Fluid. = -37
Porc.= 57.89%

COHESION = 0 COEF. ROZAM. = .31 R = 0.72

ANÁLISIS SOBRE EL CÍRCULO DE MÖHR

ESTACION : 420k1381.DAT (12) FALLAS

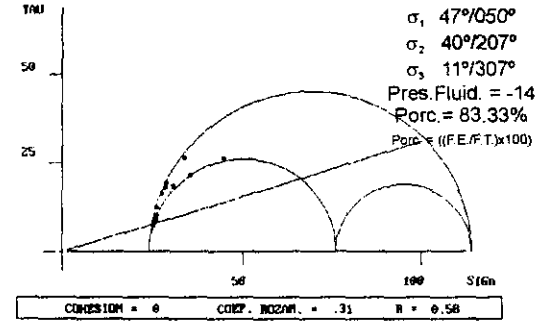


420K1381
σ_1 86°/032°
σ_2 02°/167°
σ_3 02°/257°
Pres.Fluid. = -8
Porc.= 75%

COHESION = 0 COEF. ROZAM. = .31 R = 0.16

ANÁLISIS SOBRE EL CÍRCULO DE MÖHR

ESTACION : 420k1382.DAT (12) FALLAS

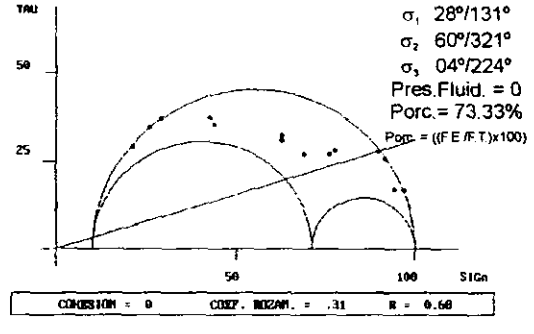


420K1382
σ_1 47°/050°
σ_2 40°/207°
σ_3 11°/307°
Pres.Fluid. = -14
Porc.= 83.33%

COHESION = 0 COEF. ROZAM. = .31 R = 0.58

ANÁLISIS SOBRE EL CÍRCULO DE MÖHR

ESTACION : 430k4381.DAT (15) FALLAS

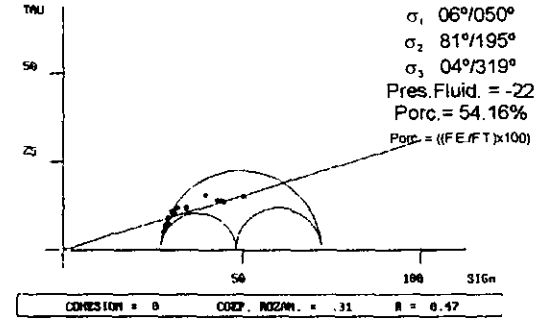


430K4381
σ_1 28°/131°
σ_2 60°/321°
σ_3 04°/224°
Pres.Fluid. = 0
Porc.= 73.33%

COHESION = 0 COEF. ROZAM. = .31 R = 0.68

ANÁLISIS SOBRE EL CÍRCULO DE MÖHR

ESTACION : 430k4382.DAT (24) FALLAS



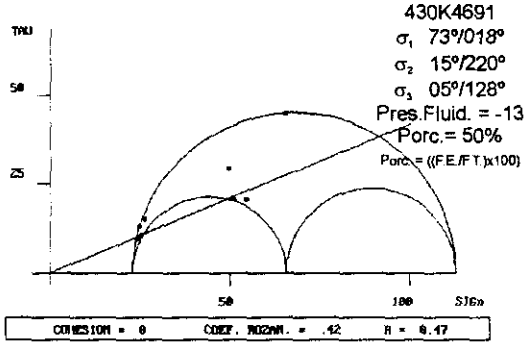
430K4382
σ_1 06°/050°
σ_2 81°/195°
σ_3 04°/319°
Pres.Fluid. = -22
Porc.= 54.16%

COHESION = 0 COEF. ROZAM. = .31 R = 0.47

Programa *Möhr 1.1*
(Muñoz Martín, 1995)

ANÁLISIS SOBRE EL CÍRCULO DE MÖHR

ESTACION : 430k4691.DAT (10) FALLAS

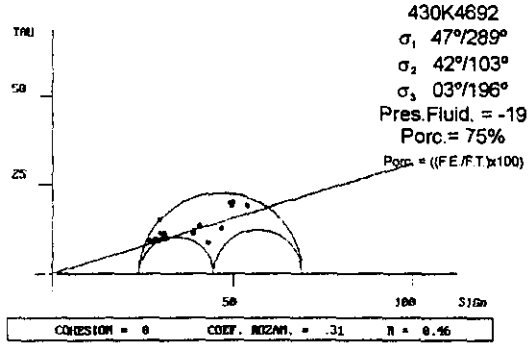


430K4691
σ_1 73°/018°
σ_2 15°/220°
σ_3 05°/128°
Pres.Fluid. = -13
Porc.= 50%
Porc.= ((F.E./F.T.)x100)

COHESION = 0 COEF. ROZAM. = .42 R = 0.47

ANÁLISIS SOBRE EL CÍRCULO DE MÖHR

ESTACION : 430k4692.DAT (20) FALLAS

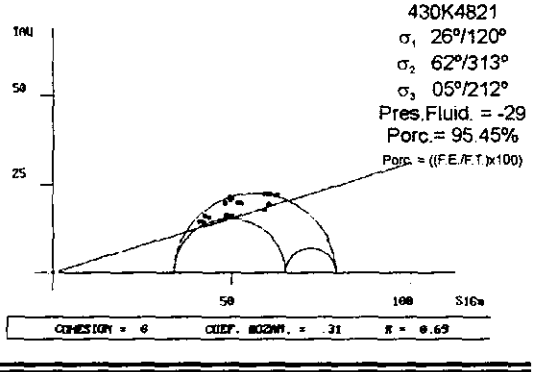


430K4692
σ_1 47°/289°
σ_2 42°/103°
σ_3 03°/196°
Pres.Fluid. = -19
Porc.= 75%
Porc.= ((F.E./F.T.)x100)

COHESION = 0 COEF. ROZAM. = .31 R = 0.46

ANÁLISIS SOBRE EL CÍRCULO DE MÖHR

ESTACION : 430k4821.DAT (22) FALLAS

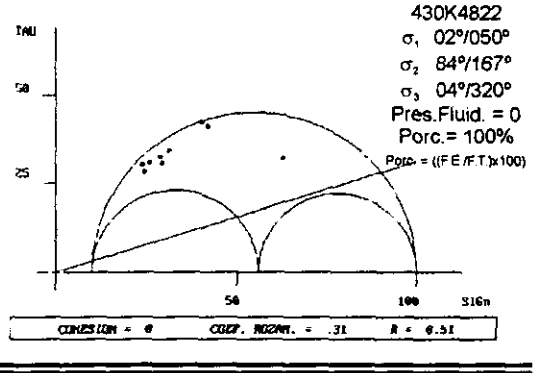


430K4821
σ_1 26°/120°
σ_2 62°/313°
σ_3 05°/212°
Pres.Fluid. = -29
Porc.= 95.45%
Porc.= ((F.E./F.T.)x100)

COHESION = 0 COEF. ROZAM. = .31 R = 0.69

ANÁLISIS SOBRE EL CÍRCULO DE MÖHR

ESTACION : 430k4822.DAT (9) FALLAS

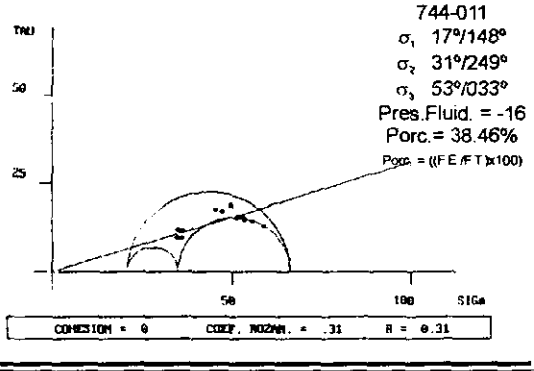


430K4822
σ_1 02°/050°
σ_2 84°/167°
σ_3 04°/320°
Pres.Fluid. = 0
Porc.= 100%
Porc.= ((F.E./F.T.)x100)

COHESION = 0 COEF. ROZAM. = .31 R = 0.51

ANÁLISIS SOBRE EL CÍRCULO DE MÖHR

ESTACION : 744-011.DAT (13) FALLAS

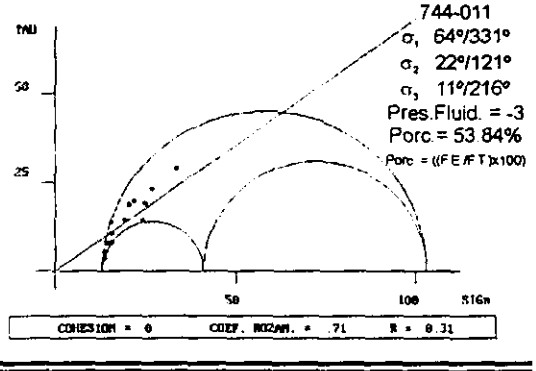


744-011
σ_1 17°/148°
σ_2 31°/249°
σ_3 53°/033°
Pres.Fluid. = -16
Porc.= 38.46%
Porc.= ((F.E./F.T.)x100)

COHESION = 0 COEF. ROZAM. = .31 R = 0.31

ANÁLISIS SOBRE EL CÍRCULO DE MÖHR

ESTACION : 744-011.DAT (13) FALLAS

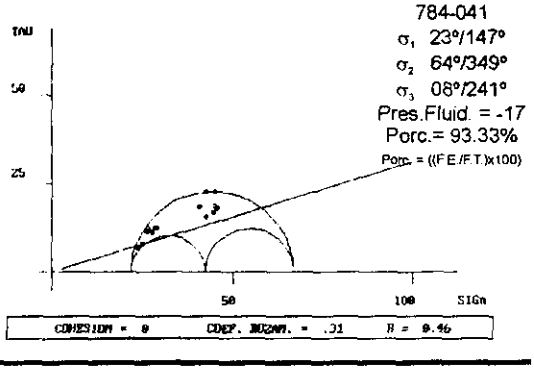


744-011
σ_1 64°/331°
σ_2 22°/121°
σ_3 11°/216°
Pres.Fluid. = -3
Porc.= 53.84%
Porc.= ((F.E./F.T.)x100)

COHESION = 0 COEF. ROZAM. = .71 R = 0.31

ANÁLISIS SOBRE EL CÍRCULO DE MÖHR

ESTACION : 784-041.DAT (15) FALLAS

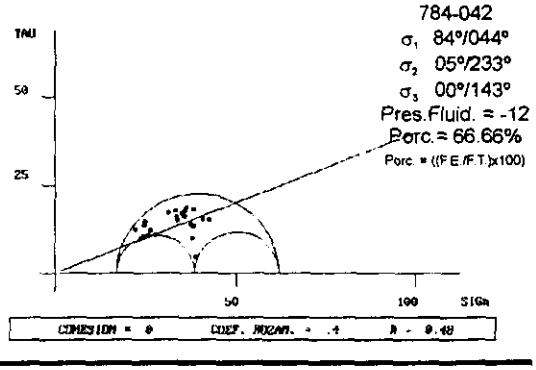


784-041
σ_1 23°/147°
σ_2 64°/349°
σ_3 08°/241°
Pres.Fluid. = -17
Porc.= 93.33%
Porc.= ((F.E./F.T.)x100)

COHESION = 0 COEF. ROZAM. = .31 R = 0.46

ANÁLISIS SOBRE EL CÍRCULO DE MÖHR

ESTACION : 784-042.DAT (24) FALLAS

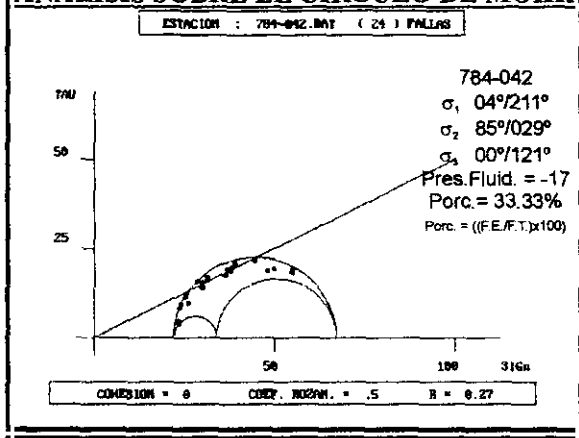


784-042
σ_1 84°/044°
σ_2 05°/233°
σ_3 00°/143°
Pres.Fluid. = -12
Porc.= 66.66%
Porc.= ((F.E./F.T.)x100)

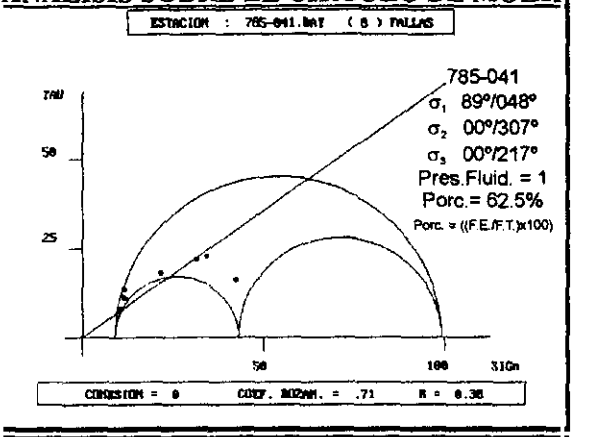
COHESION = 0 COEF. ROZAM. = .4 R = 0.49

Programa *Möhr 1.1*
(Muñoz Martín, 1995)

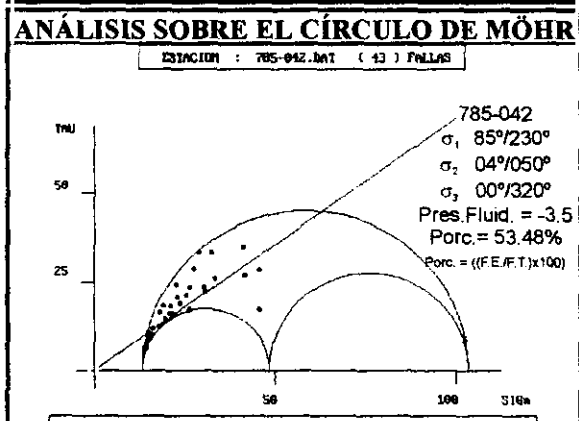
ANÁLISIS SOBRE EL CÍRCULO DE MÖHR



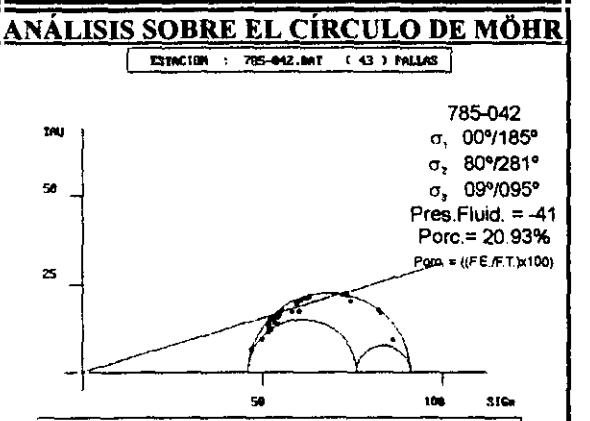
ANÁLISIS SOBRE EL CÍRCULO DE MÖHR



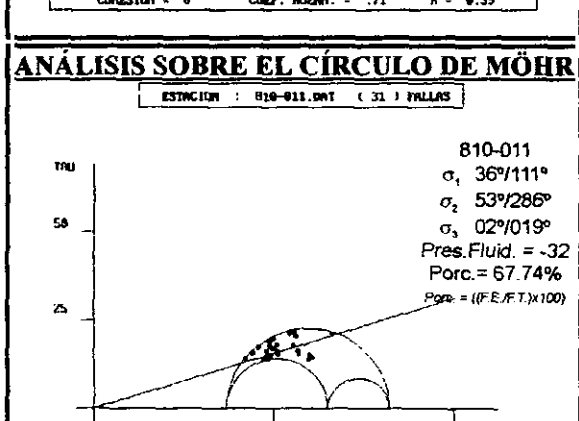
ANÁLISIS SOBRE EL CÍRCULO DE MÖHR



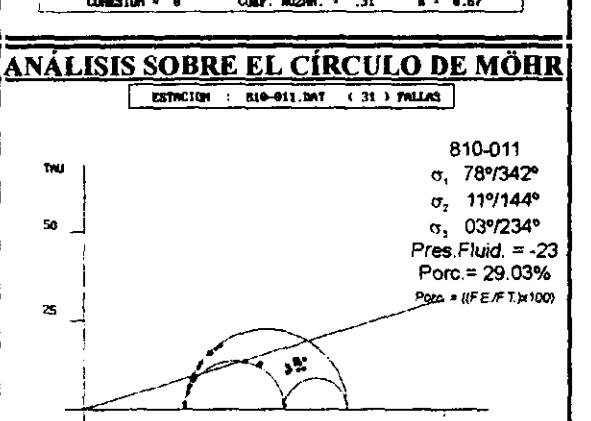
ANÁLISIS SOBRE EL CÍRCULO DE MÖHR



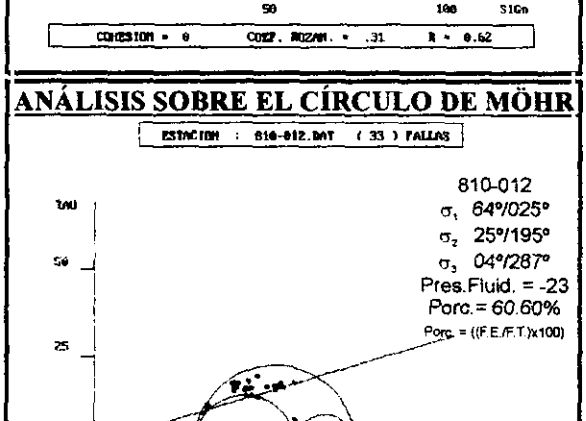
ANÁLISIS SOBRE EL CÍRCULO DE MÖHR



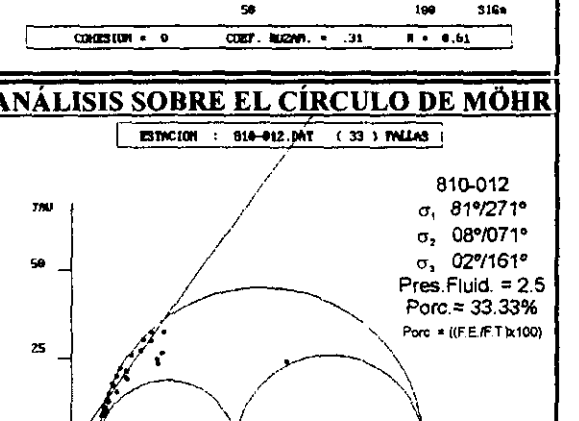
ANÁLISIS SOBRE EL CÍRCULO DE MÖHR



ANÁLISIS SOBRE EL CÍRCULO DE MÖHR



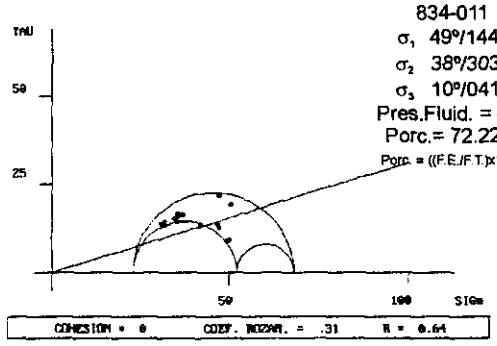
ANÁLISIS SOBRE EL CÍRCULO DE MÖHR



Programa *Möhr 1.1*
(Muñoz Martín, 1995)

ANÁLISIS SOBRE EL CÍRCULO DE MÖHR

ESTACION : 834-011.DAT (18) FALLAS

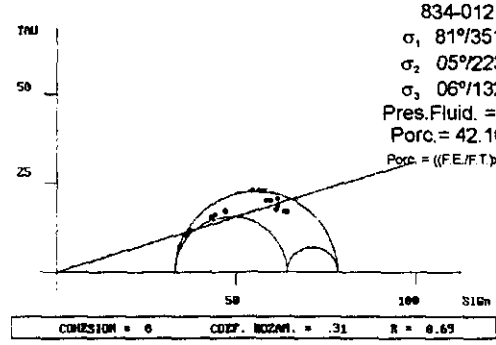


834-011
σ_1 49°/144°
σ_2 38°/303°
σ_3 10°/041°
Pres.Fluid. = -18
Porc.= 72.22%
Porc. = ((F.E./F.T.)x100)

COHESION = 0 COEF. ROZAM. = .31 R = 0.64

ANÁLISIS SOBRE EL CÍRCULO DE MÖHR

ESTACION : 834-012.DAT (19) FALLAS

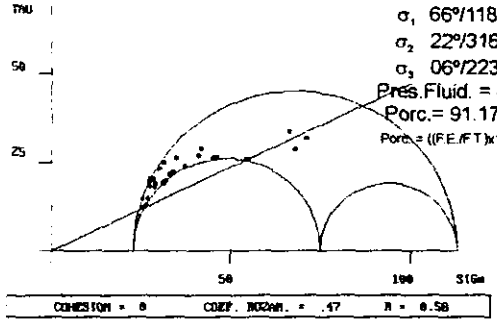


834-012
σ_1 81°/351°
σ_2 05°/223°
σ_3 06°/132°
Pres.Fluid. = -28
Porc.= 42.10%
Porc. = ((F.E./F.T.)x100)

COHESION = 0 COEF. ROZAM. = .31 R = 0.69

ANÁLISIS SOBRE EL CÍRCULO DE MÖHR

ESTACION : 836-011.DAT (34) FALLAS

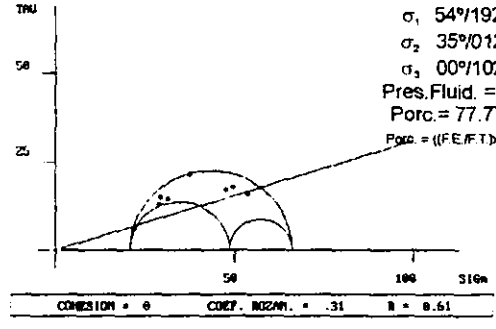


836-011
σ_1 66°/118°
σ_2 22°/316°
σ_3 06°/223°
Pres.Fluid. = -13
Porc.= 91.17%
Porc. = ((F.E./F.T.)x100)

COHESION = 0 COEF. ROZAM. = .47 R = 0.58

ANÁLISIS SOBRE EL CÍRCULO DE MÖHR

ESTACION : 836-012.DAT (9) FALLAS

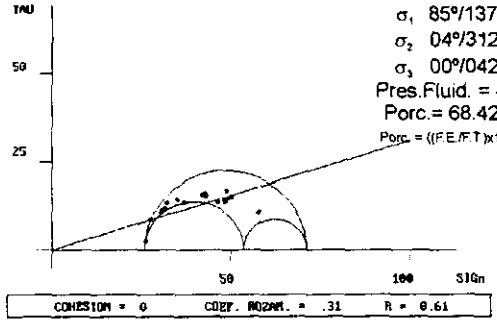


836-012
σ_1 54°/192°
σ_2 35°/012°
σ_3 00°/102°
Pres.Fluid. = -16
Porc.= 77.77%
Porc. = ((F.E./F.T.)x100)

COHESION = 0 COEF. ROZAM. = .31 R = 0.61

ANÁLISIS SOBRE EL CÍRCULO DE MÖHR

ESTACION : 836-021.DAT (19) FALLAS

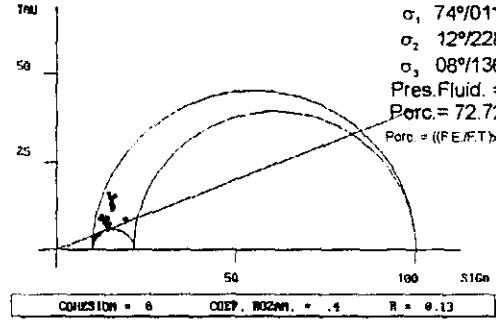


836-021
σ_1 85°/137°
σ_2 04°/312°
σ_3 00°/042°
Pres.Fluid. = -21
Porc.= 68.42%
Porc. = ((F.E./F.T.)x100)

COHESION = 0 COEF. ROZAM. = .31 R = 0.61

ANÁLISIS SOBRE EL CÍRCULO DE MÖHR

ESTACION : 836-022.DAT (22) FALLAS

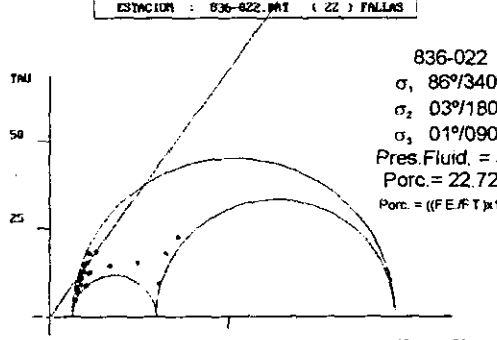


836-022
σ_1 74°/011°
σ_2 12°/228°
σ_3 08°/136°
Pres.Fluid. = 0
Porc.= 72.72%
Porc. = ((F.E./F.T.)x100)

COHESION = 0 COEF. ROZAM. = .4 R = 0.13

ANÁLISIS SOBRE EL CÍRCULO DE MÖHR

ESTACION : 836-022.DAT (22) FALLAS

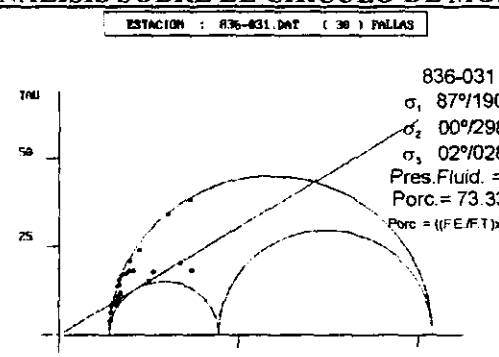


836-022
σ_1 86°/340°
σ_2 03°/180°
σ_3 01°/090°
Pres.Fluid. = 3.5
Porc.= 22.72%
Porc. = ((F.E./F.T.)x100)

COHESION = 0 COEF. ROZAM. = 1.41 R = 0.25

ANÁLISIS SOBRE EL CÍRCULO DE MÖHR

ESTACION : 836-031.DAT (30) FALLAS

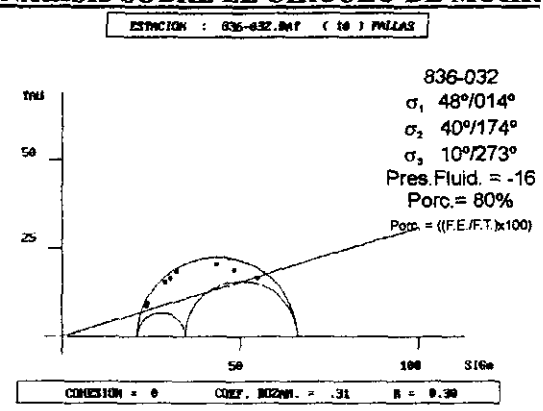


836-031
σ_1 87°/190°
σ_2 00°/298°
σ_3 02°/028°
Pres.Fluid. = -4
Porc.= 73.33%
Porc. = ((F.E./F.T.)x100)

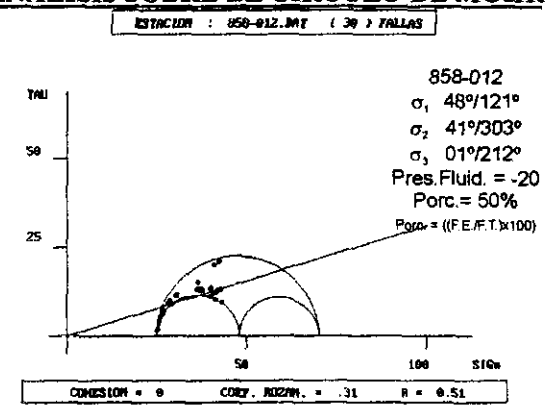
COHESION = 0 COEF. ROZAM. = .61 R = 0.34

Programa *Möhr 1.1*
(Muñoz Martín, 1995)

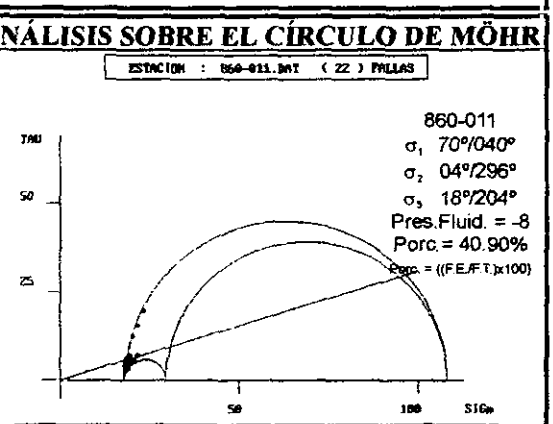
ANÁLISIS SOBRE EL CÍRCULO DE MÖHR



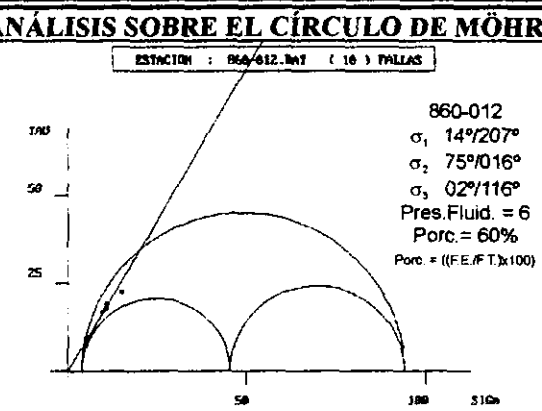
ANÁLISIS SOBRE EL CÍRCULO DE MÖHR



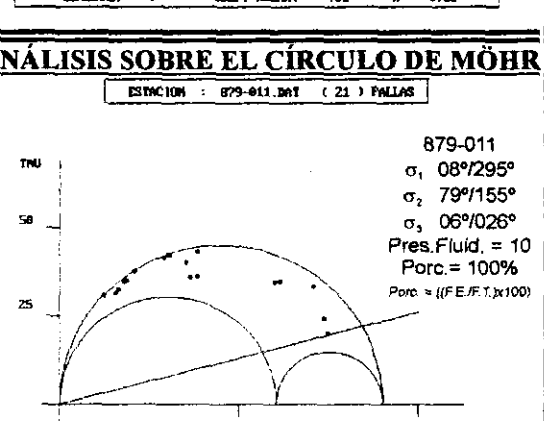
ANÁLISIS SOBRE EL CÍRCULO DE MÖHR



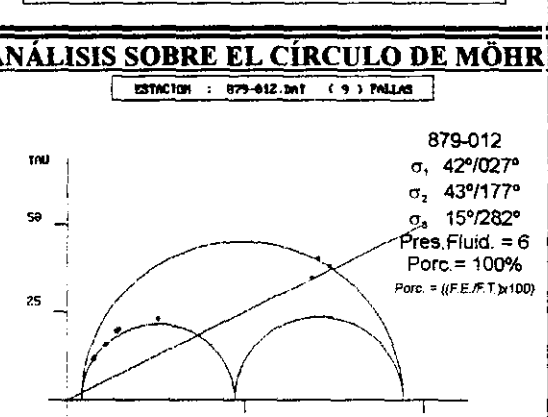
ANÁLISIS SOBRE EL CÍRCULO DE MÖHR



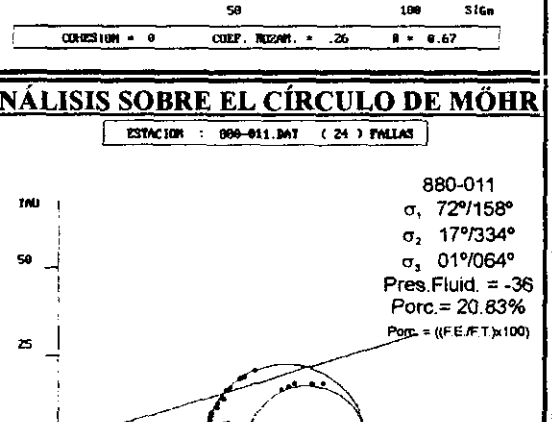
ANÁLISIS SOBRE EL CÍRCULO DE MÖHR



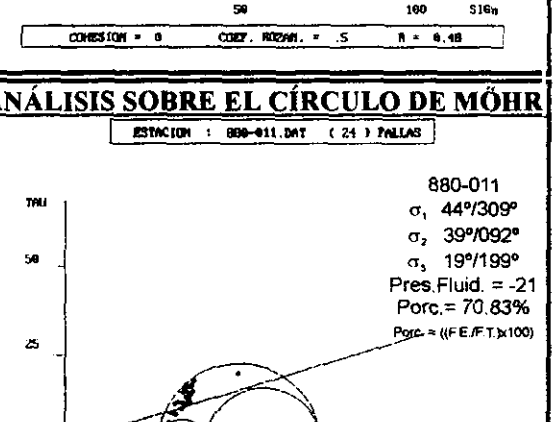
ANÁLISIS SOBRE EL CÍRCULO DE MÖHR



ANÁLISIS SOBRE EL CÍRCULO DE MÖHR



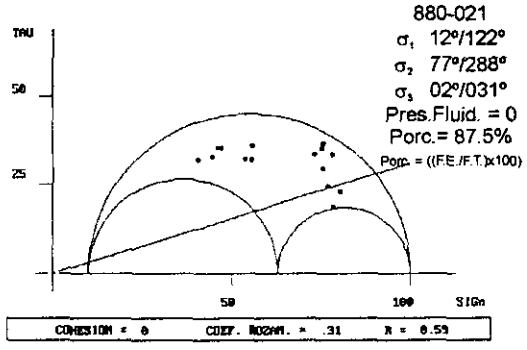
ANÁLISIS SOBRE EL CÍRCULO DE MÖHR



Programa *Möhr 1.1*
(Muñoz Martín, 1995)

ANÁLISIS SOBRE EL CÍRCULO DE MÖHR

ESTACION : 880-021.DAT (16) FALLAS

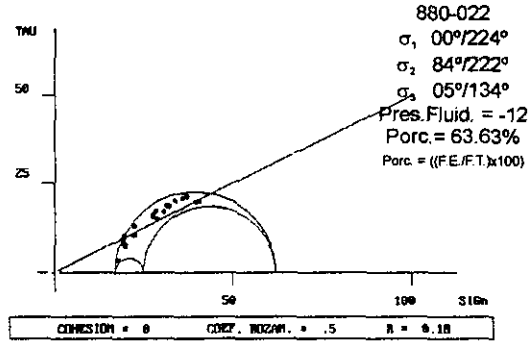


880-021
σ_1 12º/122º
σ_2 77º/288º
σ_3 02º/031º
Pres.Fluid. = 0
Porc.= 87.5%
Porc. = ((F.E./F.T.)x100)

COHESION = 0 COEF. ROZAM. = .31 R = 0.59

ANÁLISIS SOBRE EL CÍRCULO DE MÖHR

ESTACION : 880-022.DAT (22) FALLAS

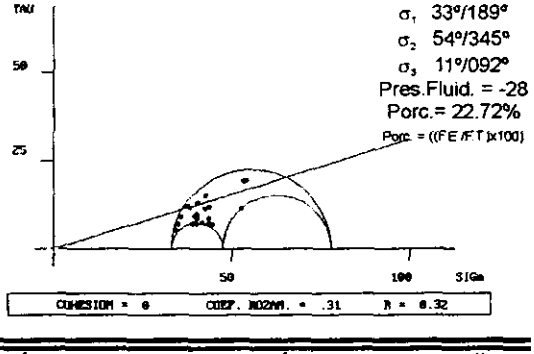


880-022
σ_1 00º/224º
σ_2 84º/222º
σ_3 05º/134º
Pres.Fluid. = -12
Porc.= 63.63%
Porc. = ((F.E./F.T.)x100)

COHESION = 0 COEF. ROZAM. = .5 R = 0.18

ANÁLISIS SOBRE EL CÍRCULO DE MÖHR

ESTACION : 880-022.DAT (22) FALLAS

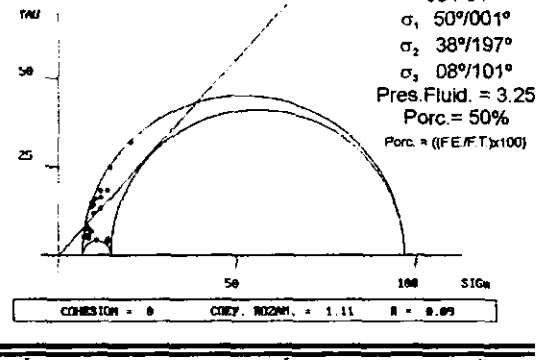


880-022
σ_1 33º/189º
σ_2 54º/345º
σ_3 11º/092º
Pres.Fluid. = -28
Porc.= 22.72%
Porc. = ((F.E./F.T.)x100)

COHESION = 0 COEF. ROZAM. = .31 R = 0.32

ANÁLISIS SOBRE EL CÍRCULO DE MÖHR

ESTACION : 884-01.DAT (24) FALLAS

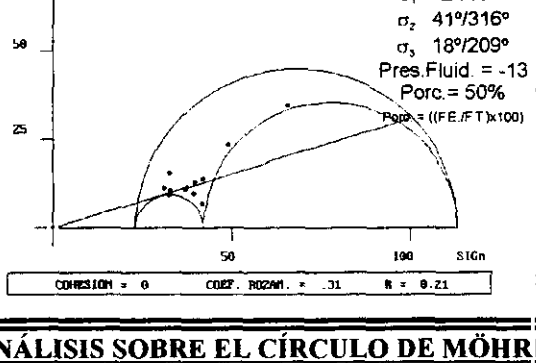


884-01
σ_1 50º/001º
σ_2 38º/197º
σ_3 08º/101º
Pres.Fluid. = 3.25
Porc.= 50%
Porc. = ((F.E./F.T.)x100)

COHESION = 0 COEF. ROZAM. = 1.11 R = 0.89

ANÁLISIS SOBRE EL CÍRCULO DE MÖHR

ESTACION : 884-021.DAT (12) FALLAS

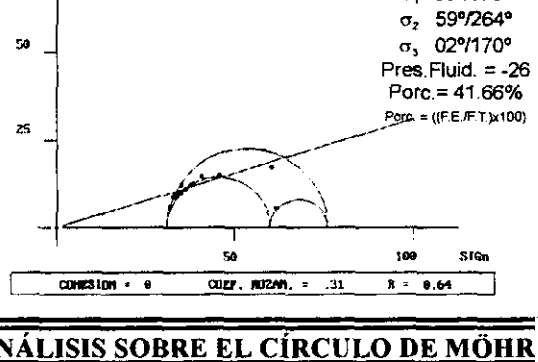


884-021
σ_1 42º/101º
σ_2 41º/316º
σ_3 18º/209º
Pres.Fluid. = -13
Porc.= 50%
Porc. = ((F.E./F.T.)x100)

COHESION = 0 COEF. ROZAM. = .31 R = 0.21

ANÁLISIS SOBRE EL CÍRCULO DE MÖHR

ESTACION : 884-021.DAT (12) FALLAS

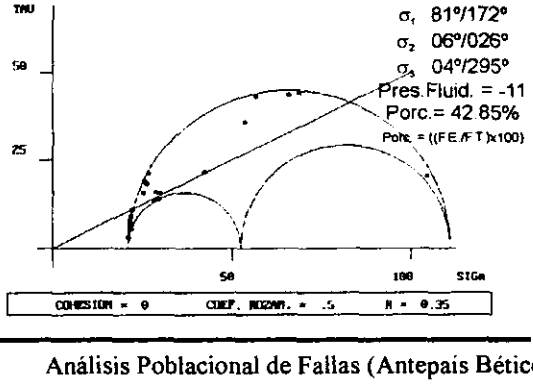


884-021
σ_1 30º/079º
σ_2 59º/264º
σ_3 02º/170º
Pres.Fluid. = -26
Porc.= 41.66%
Porc. = ((F.E./F.T.)x100)

COHESION = 0 COEF. ROZAM. = .31 R = 0.64

ANÁLISIS SOBRE EL CÍRCULO DE MÖHR

ESTACION : 884-022.DAT (28) FALLAS

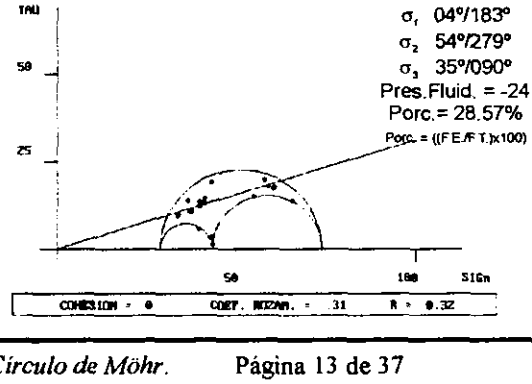


884-022
σ_1 81º/172º
σ_2 06º/026º
σ_3 04º/295º
Pres.Fluid. = -11
Porc.= 42.85%
Porc. = ((F.E./F.T.)x100)

COHESION = 0 COEF. ROZAM. = .5 R = 0.35

ANÁLISIS SOBRE EL CÍRCULO DE MÖHR

ESTACION : 884-022.DAT (28) FALLAS

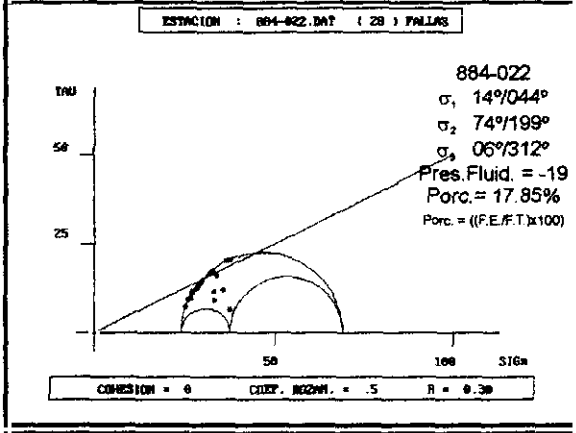


884-022
σ_1 04º/183º
σ_2 54º/279º
σ_3 35º/090º
Pres.Fluid. = -24
Porc.= 28.57%
Porc. = ((F.E./F.T.)x100)

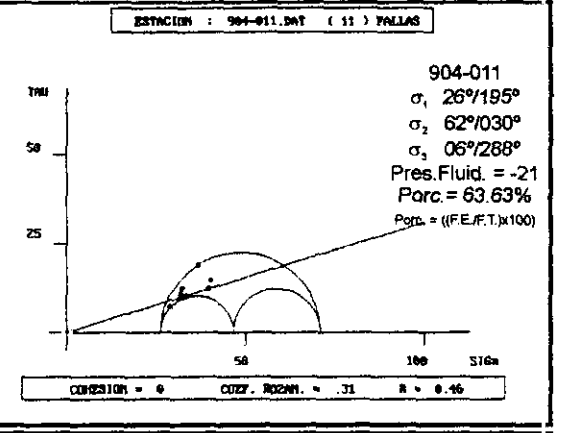
COHESION = 0 COEF. ROZAM. = .31 R = 0.32

Programa *Möhr 1.1*
(Muñoz Martín, 1995)

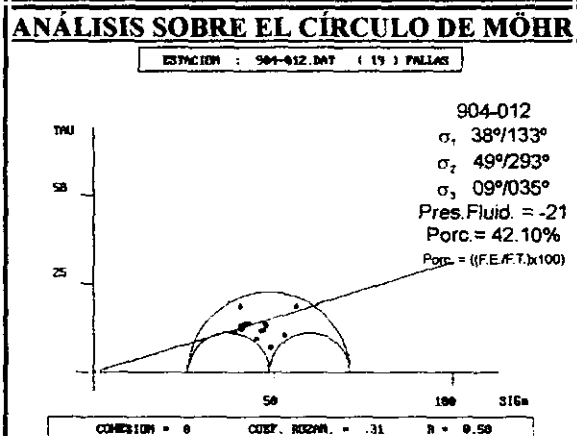
ANÁLISIS SOBRE EL CÍRCULO DE MÖHR



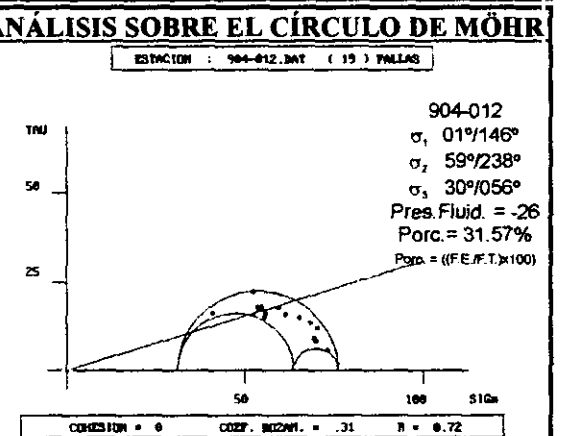
ANÁLISIS SOBRE EL CÍRCULO DE MÖHR



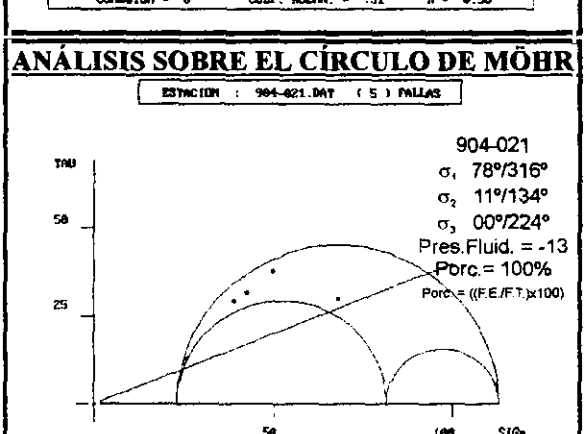
ANÁLISIS SOBRE EL CÍRCULO DE MÖHR



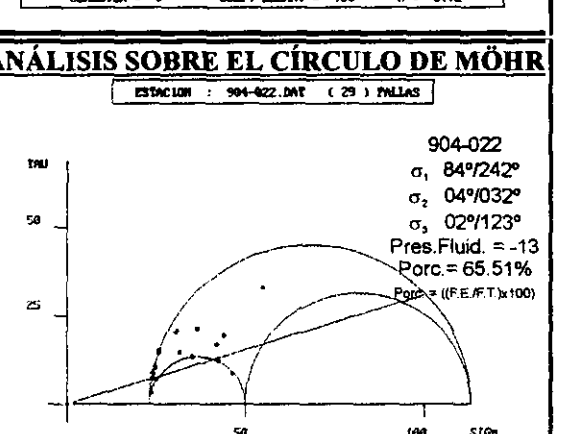
ANÁLISIS SOBRE EL CÍRCULO DE MÖHR



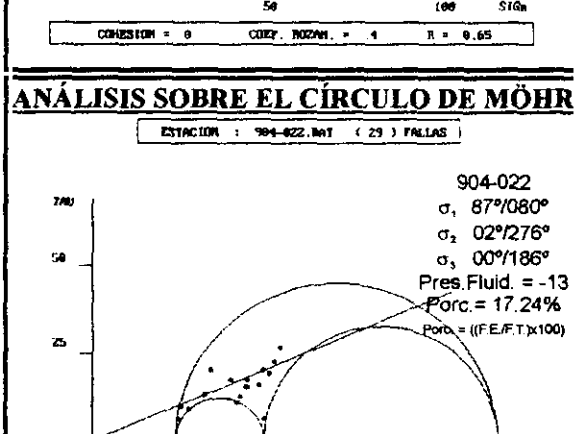
ANÁLISIS SOBRE EL CÍRCULO DE MÖHR



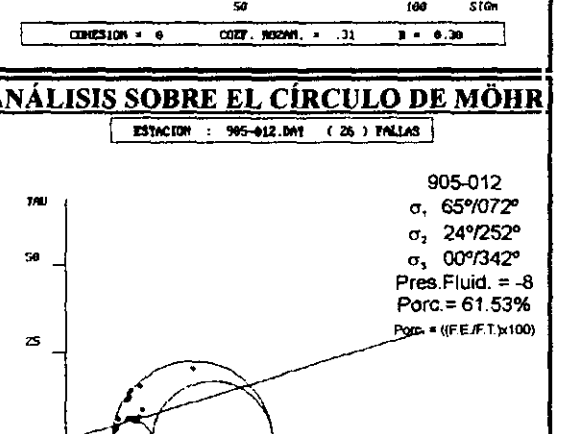
ANÁLISIS SOBRE EL CÍRCULO DE MÖHR



ANÁLISIS SOBRE EL CÍRCULO DE MÖHR

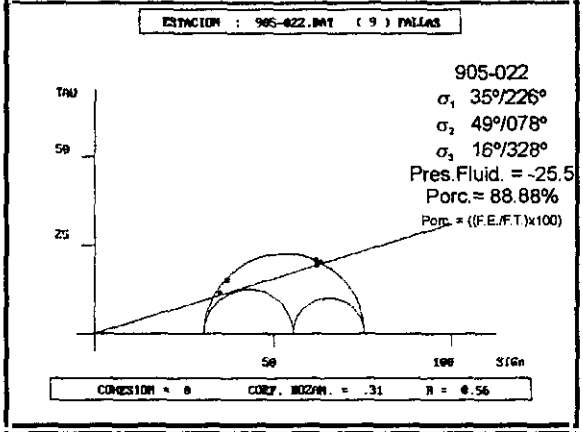


ANÁLISIS SOBRE EL CÍRCULO DE MÖHR

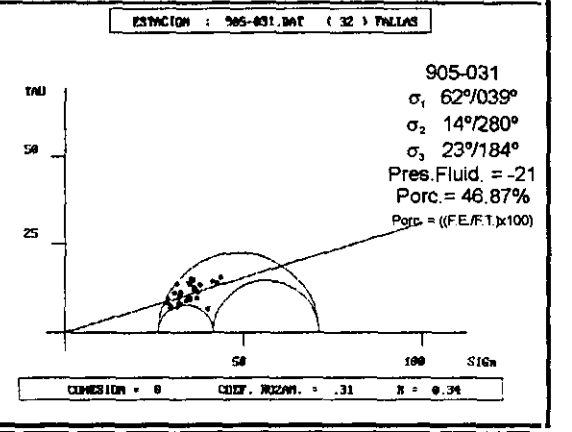


Programa *Möhr 1.1*
(Muñoz Martin, 1995)

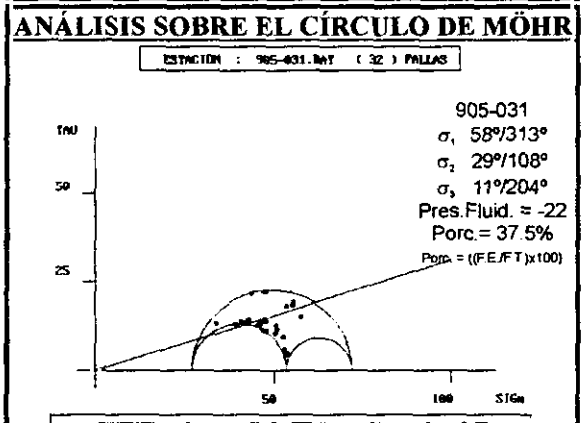
ANÁLISIS SOBRE EL CÍRCULO DE MÖHR



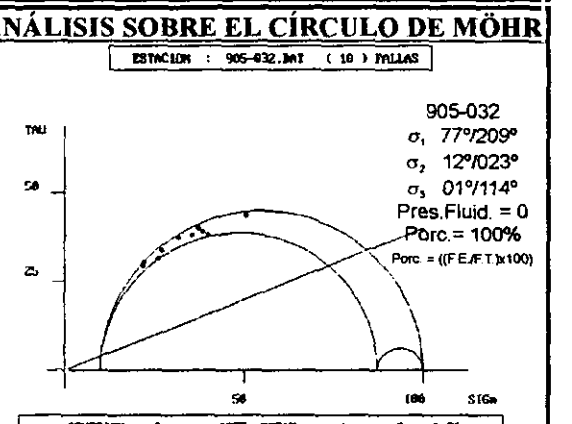
ANÁLISIS SOBRE EL CÍRCULO DE MÖHR



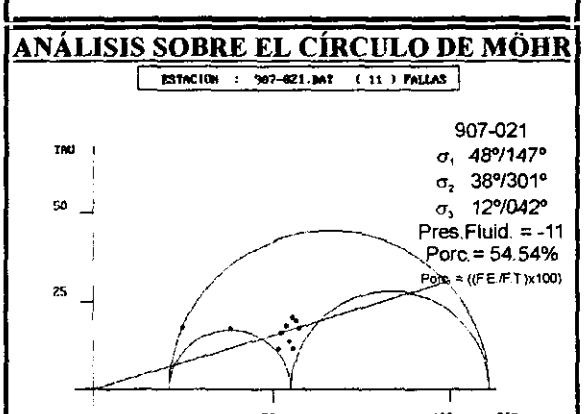
ANÁLISIS SOBRE EL CÍRCULO DE MÖHR



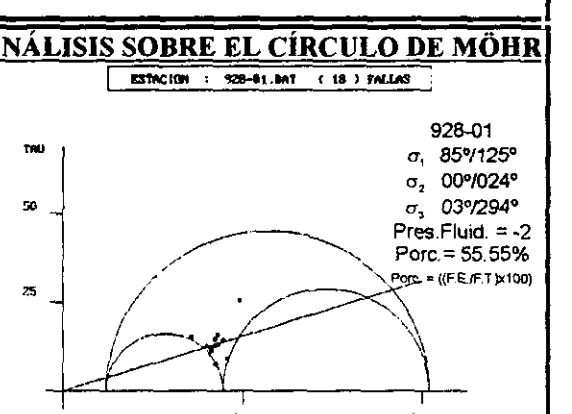
ANÁLISIS SOBRE EL CÍRCULO DE MÖHR



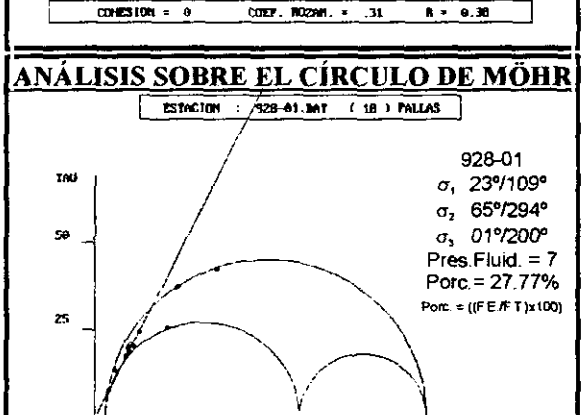
ANÁLISIS SOBRE EL CÍRCULO DE MÖHR



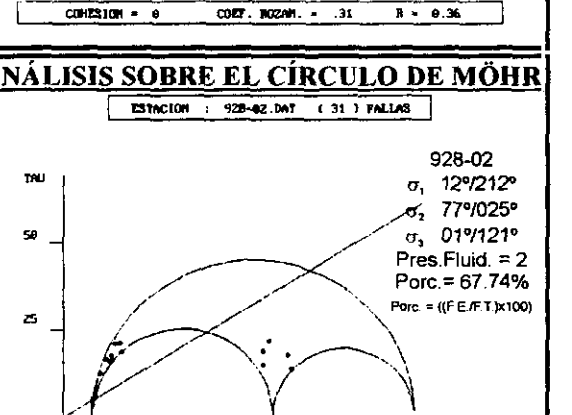
ANÁLISIS SOBRE EL CÍRCULO DE MÖHR



ANÁLISIS SOBRE EL CÍRCULO DE MÖHR

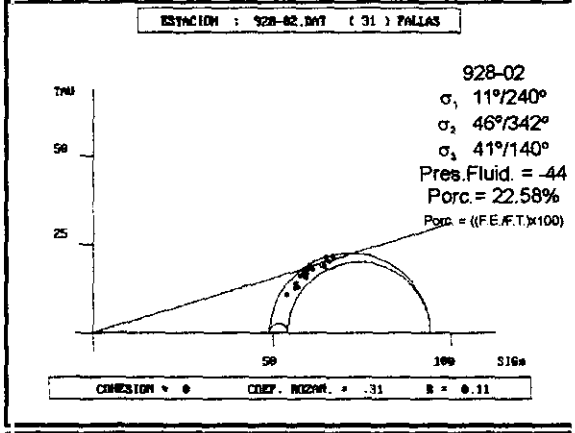


ANÁLISIS SOBRE EL CÍRCULO DE MÖHR

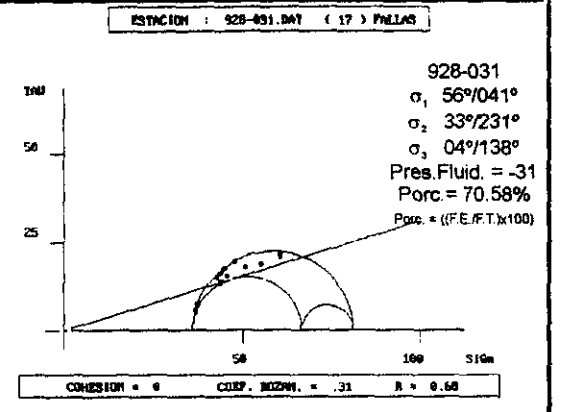


Programa *Möhr 1.1*
(Muñoz Martin, 1995)

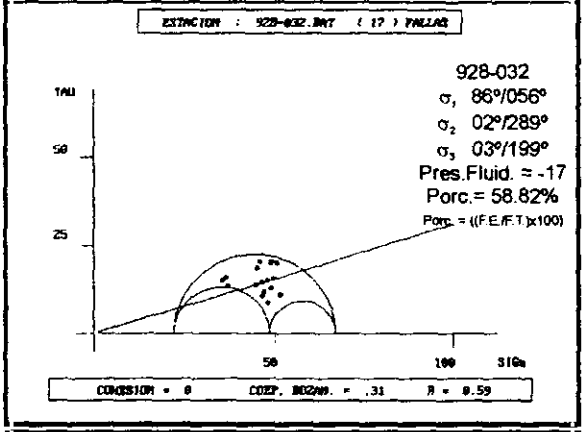
ANÁLISIS SOBRE EL CÍRCULO DE MÖHR



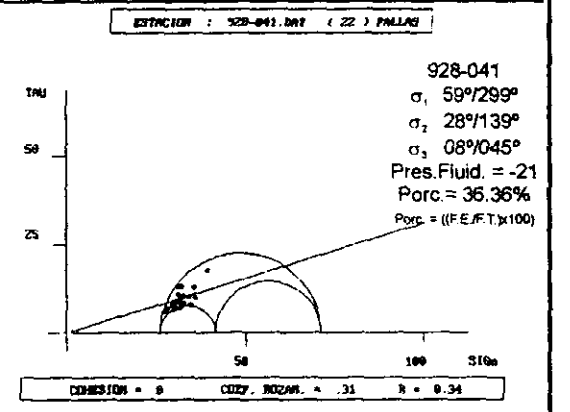
ANÁLISIS SOBRE EL CÍRCULO DE MÖHR



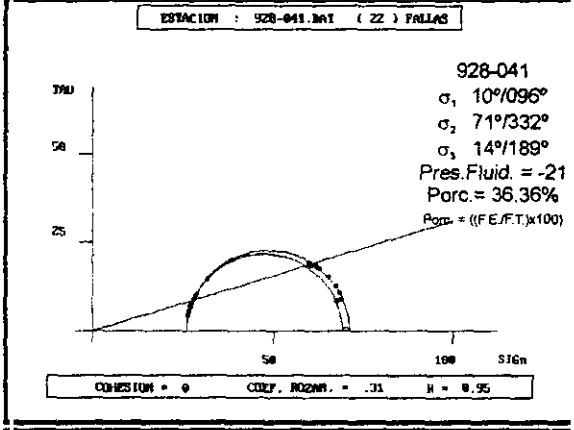
ANÁLISIS SOBRE EL CÍRCULO DE MÖHR



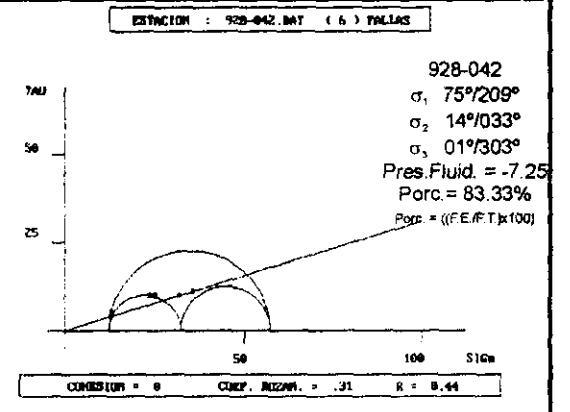
ANÁLISIS SOBRE EL CÍRCULO DE MÖHR



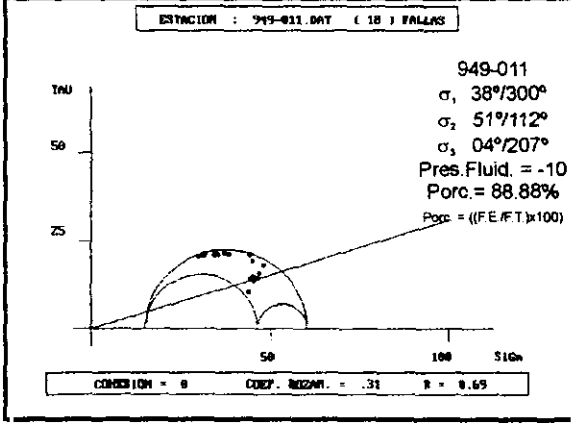
ANÁLISIS SOBRE EL CÍRCULO DE MÖHR



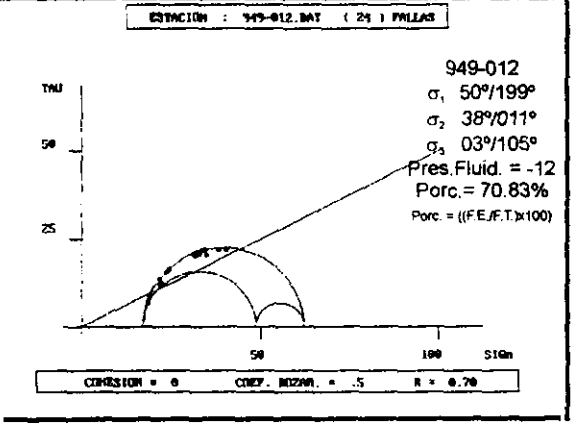
ANÁLISIS SOBRE EL CÍRCULO DE MÖHR



ANÁLISIS SOBRE EL CÍRCULO DE MÖHR

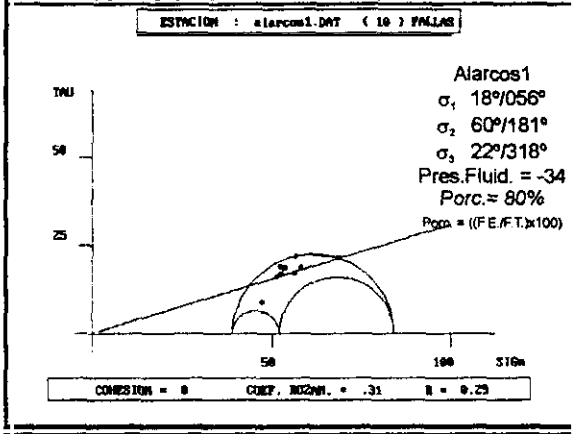


ANÁLISIS SOBRE EL CÍRCULO DE MÖHR

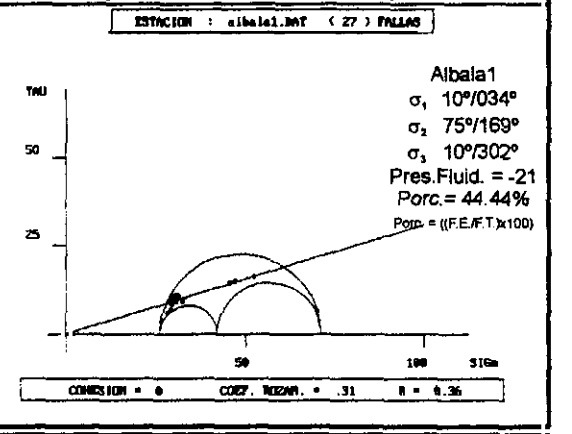


Programa *Möhr 1.1*
(Muñoz Martín. 1995)

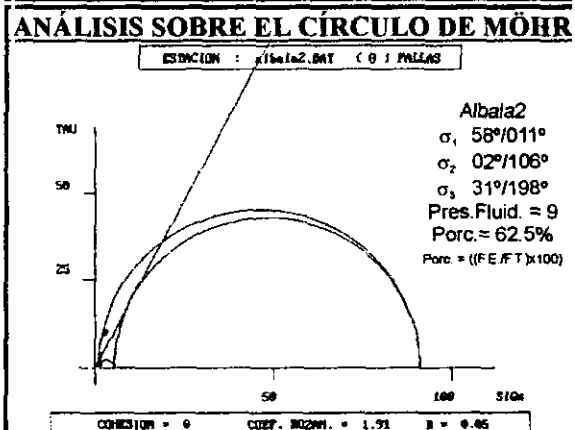
ANÁLISIS SOBRE EL CÍRCULO DE MÖHR



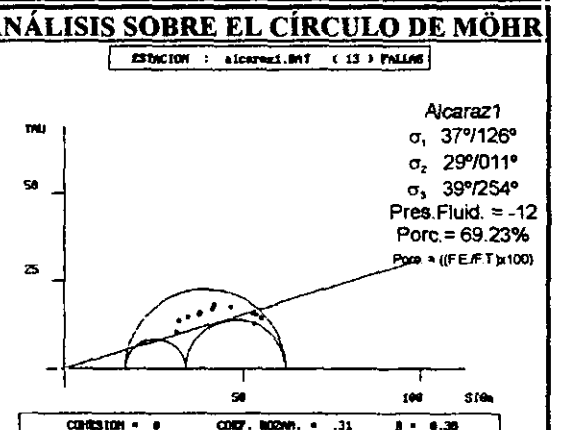
ANÁLISIS SOBRE EL CÍRCULO DE MÖHR



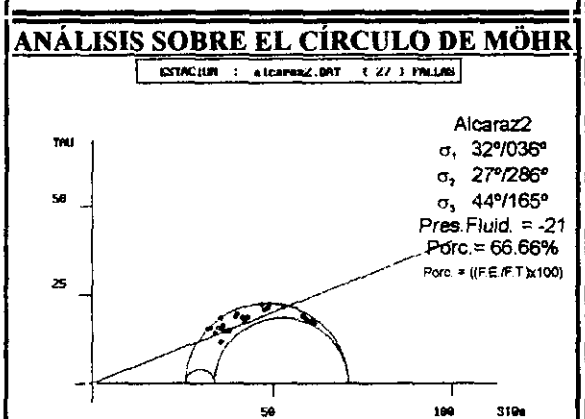
ANÁLISIS SOBRE EL CÍRCULO DE MÖHR



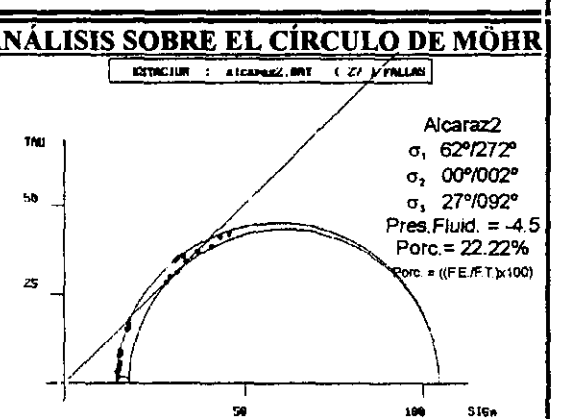
ANÁLISIS SOBRE EL CÍRCULO DE MÖHR



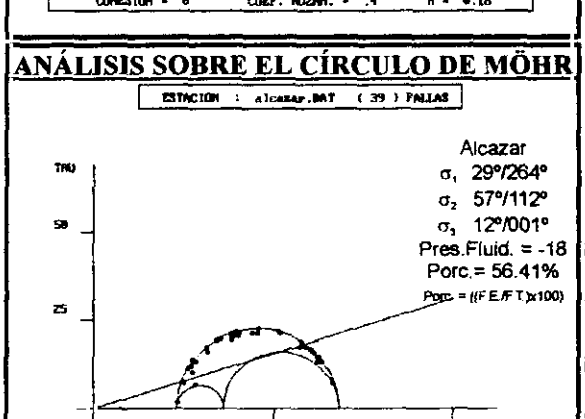
ANÁLISIS SOBRE EL CÍRCULO DE MÖHR



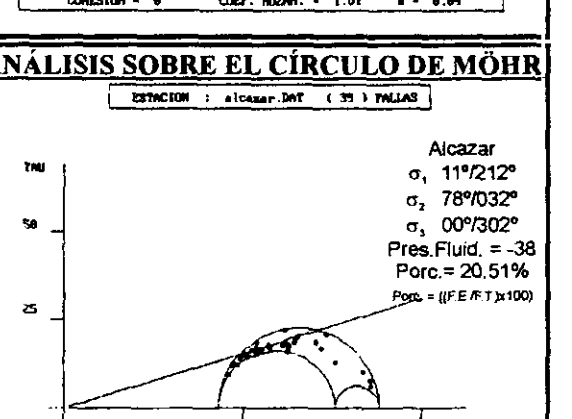
ANÁLISIS SOBRE EL CÍRCULO DE MÖHR



ANÁLISIS SOBRE EL CÍRCULO DE MÖHR



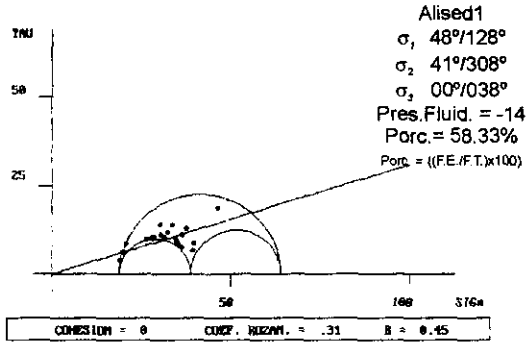
ANÁLISIS SOBRE EL CÍRCULO DE MÖHR



Programa *Möhr 1.1*
(Muñoz Martín, 1995)

ANÁLISIS SOBRE EL CÍRCULO DE MÖHR

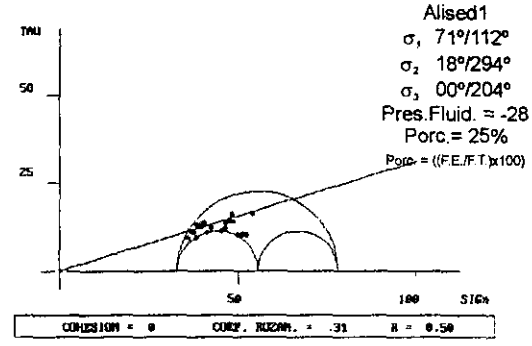
ESTACION : alised1.DAT (24) FALLAS



COHESION = 0 COEF. ROZAM. = .31 R = 0.45

ANÁLISIS SOBRE EL CÍRCULO DE MÖHR

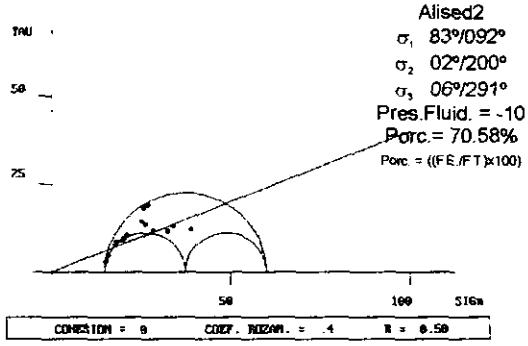
ESTACION : alised1.DAT (24) FALLAS



COHESION = 0 COEF. ROZAM. = .31 R = 0.50

ANÁLISIS SOBRE EL CÍRCULO DE MÖHR

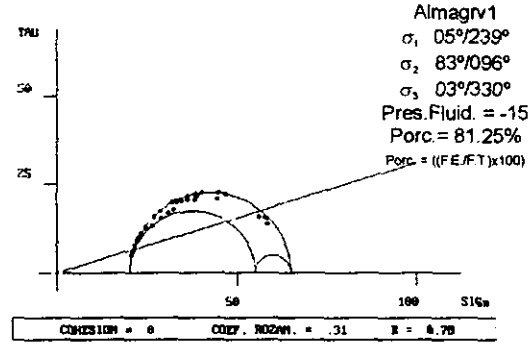
ESTACION : alised2.DAT (17) FALLAS



COHESION = 0 COEF. ROZAM. = .4 R = 0.50

ANÁLISIS SOBRE EL CÍRCULO DE MÖHR

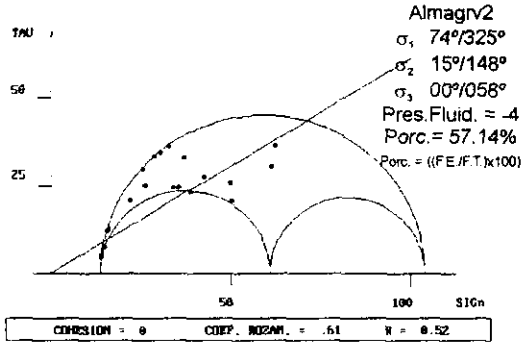
ESTACION : almagrv1.DAT (32) FALLAS



COHESION = 0 COEF. ROZAM. = .31 R = 0.70

ANÁLISIS SOBRE EL CÍRCULO DE MÖHR

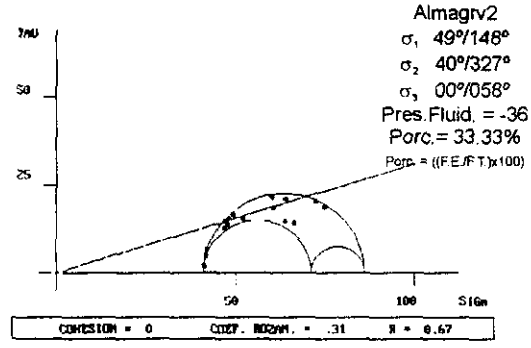
ESTACION : almagrv2.DAT (21) FALLAS



COHESION = 0 COEF. ROZAM. = .61 R = 0.52

ANÁLISIS SOBRE EL CÍRCULO DE MÖHR

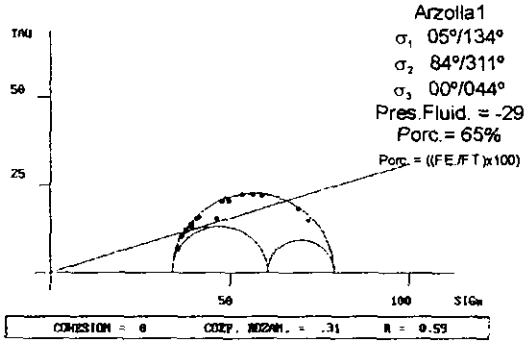
ESTACION : almagrv2.DAT (21) FALLAS



COHESION = 0 COEF. ROZAM. = .31 R = 0.67

ANÁLISIS SOBRE EL CÍRCULO DE MÖHR

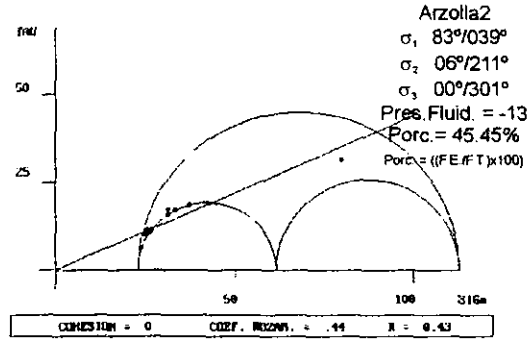
ESTACION : arzolla1.DAT (20) FALLAS



COHESION = 0 COEF. ROZAM. = .31 R = 0.59

ANÁLISIS SOBRE EL CÍRCULO DE MÖHR

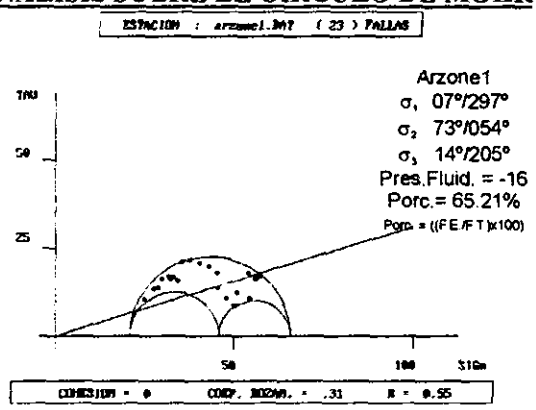
ESTACION : arzolla2.DAT (11) FALLAS



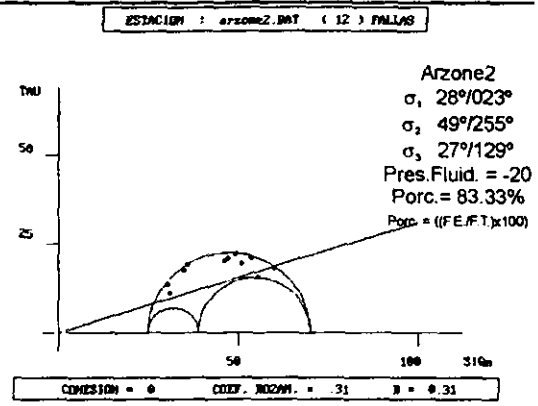
COHESION = 0 COEF. ROZAM. = .44 R = 0.43

Programa *Möhr 1.1*
(Muñoz Martín. 1995)

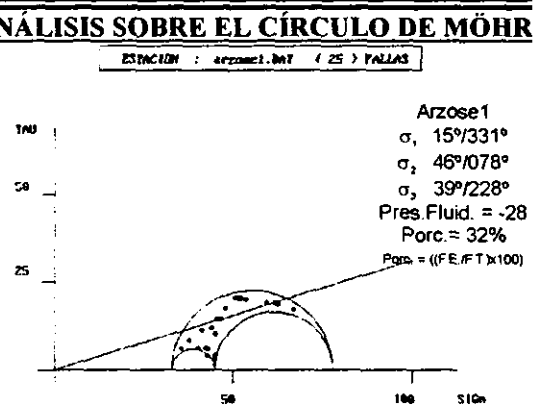
ANÁLISIS SOBRE EL CÍRCULO DE MÖHR



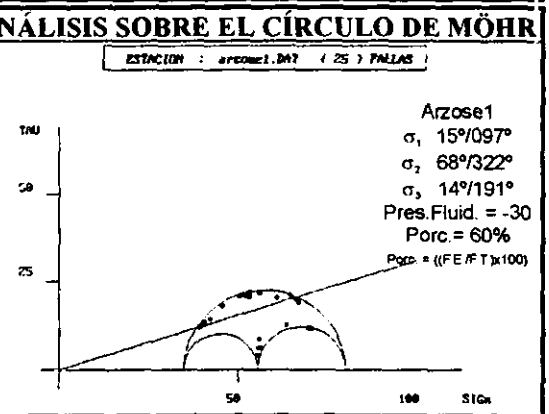
ANÁLISIS SOBRE EL CÍRCULO DE MÖHR



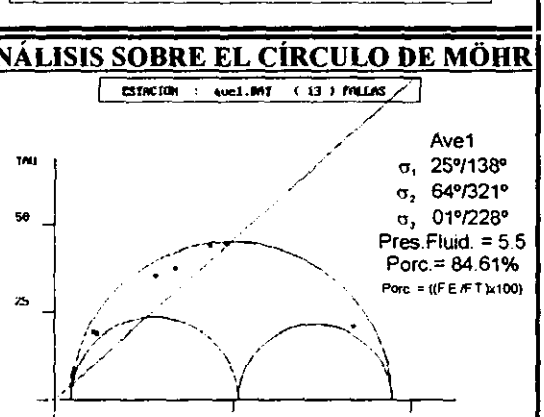
ANÁLISIS SOBRE EL CÍRCULO DE MÖHR



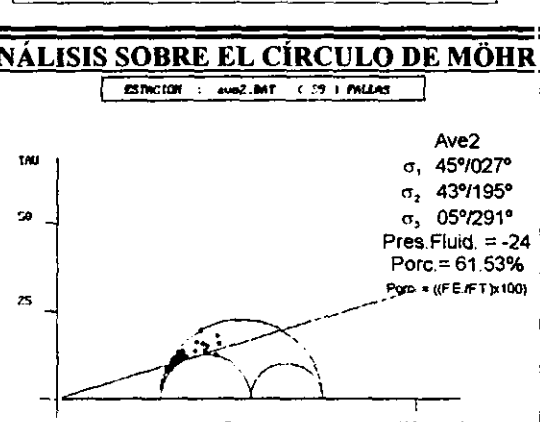
ANÁLISIS SOBRE EL CÍRCULO DE MÖHR



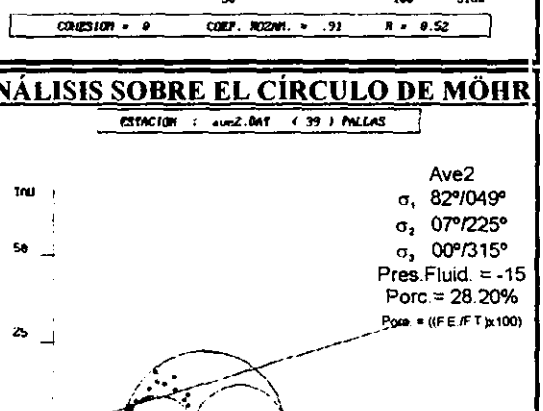
ANÁLISIS SOBRE EL CÍRCULO DE MÖHR



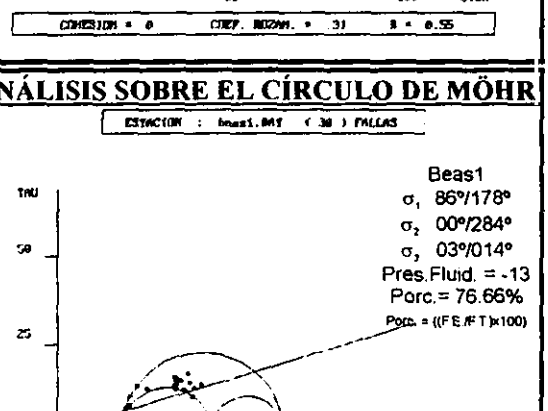
ANÁLISIS SOBRE EL CÍRCULO DE MÖHR



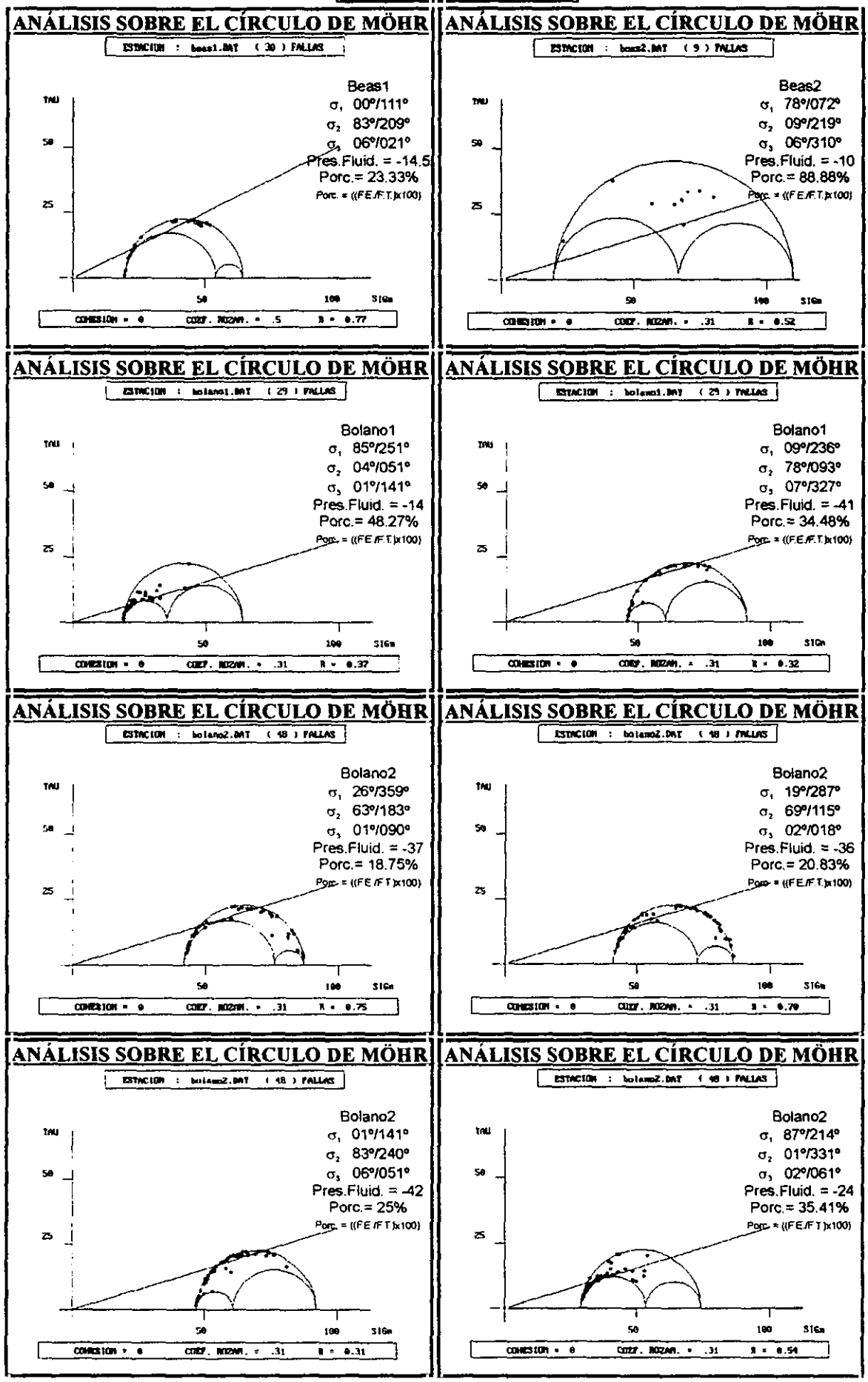
ANÁLISIS SOBRE EL CÍRCULO DE MÖHR



ANÁLISIS SOBRE EL CÍRCULO DE MÖHR



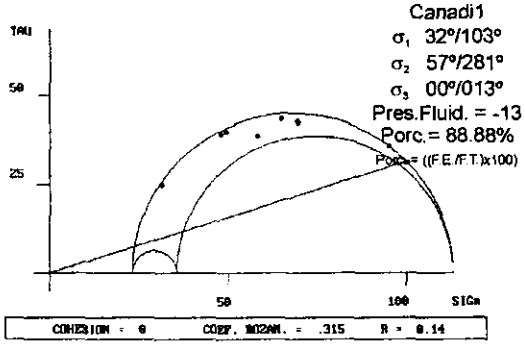
Programa *Möhr 1.1*
(Muñoz Martín, 1995)



Programa *Möhr 1.1*
(Muñoz Martín, 1995)

ANÁLISIS SOBRE EL CÍRCULO DE MÖHR

ESTACION : canadi1.DAT (9) FALLAS

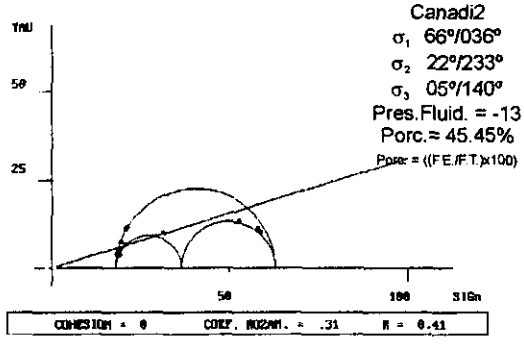


Canadi1
σ_1 32°/103°
σ_2 57°/281°
σ_3 00°/013°
Pres.Fluid. = -13
Porc.= 88.88%
Porc = ((F.E./F.T.)x100)

CONESION = 0 COEF. ROZAM. = .315 R = 0.14

ANÁLISIS SOBRE EL CÍRCULO DE MÖHR

ESTACION : canadi2.DAT (11) FALLAS

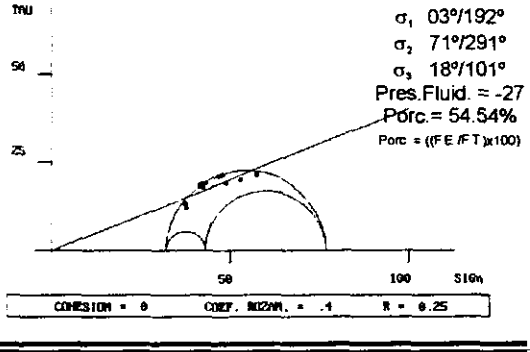


Canadi2
σ_1 66°/036°
σ_2 22°/233°
σ_3 05°/140°
Pres.Fluid. = -13
Porc.= 45.45%
Porc = ((F.E./F.T.)x100)

CONESION = 0 COEF. ROZAM. = .31 R = 0.41

ANÁLISIS SOBRE EL CÍRCULO DE MÖHR

ESTACION : canadi2.DAT (11) FALLAS

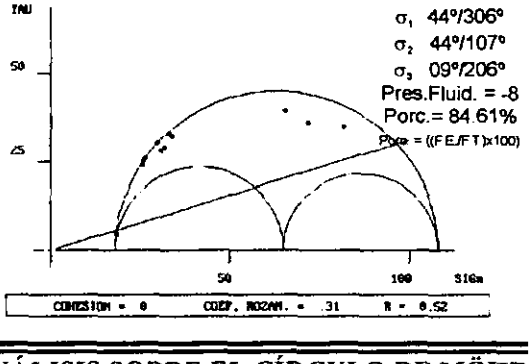


Canadi2
σ_1 03°/192°
σ_2 71°/291°
σ_3 18°/101°
Pres.Fluid. = -27
Porc.= 54.54%
Porc = ((F.E./F.T.)x100)

CONESION = 0 COEF. ROZAM. = .4 R = 0.25

ANÁLISIS SOBRE EL CÍRCULO DE MÖHR

ESTACION : carbon1.DAT (13) FALLAS

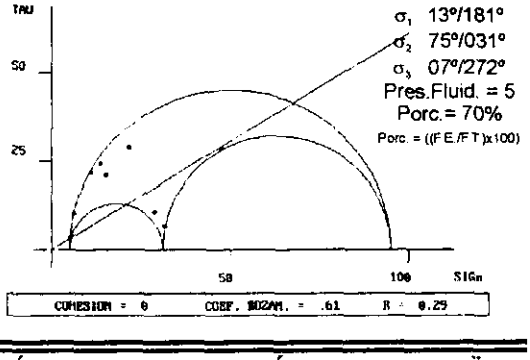


Carbon1
σ_1 44°/306°
σ_2 44°/107°
σ_3 09°/206°
Pres.Fluid. = -8
Porc.= 84.61%
Porc = ((F.E./F.T.)x100)

CONESION = 0 COEF. ROZAM. = .31 R = 0.52

ANÁLISIS SOBRE EL CÍRCULO DE MÖHR

ESTACION : carbon2.DAT (10) FALLAS

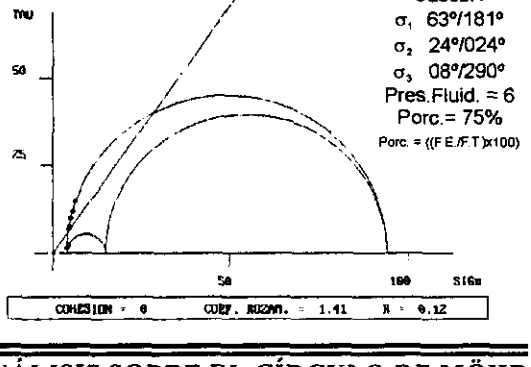


Carbon2
σ_1 13°/181°
σ_2 75°/031°
σ_3 07°/272°
Pres.Fluid. = 5
Porc.= 70%
Porc = ((F.E./F.T.)x100)

CONESION = 0 COEF. ROZAM. = .61 R = 0.29

ANÁLISIS SOBRE EL CÍRCULO DE MÖHR

ESTACION : castibl1.DAT (6) FALLAS

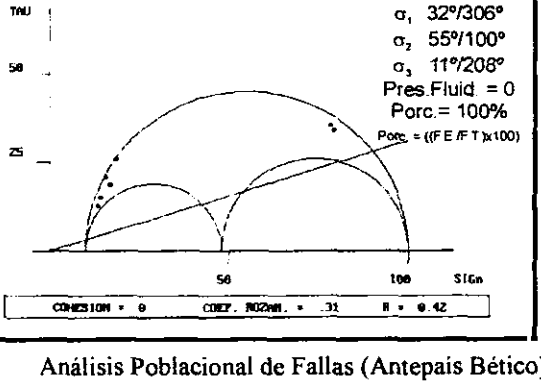


Castibl1
σ_1 63°/181°
σ_2 24°/024°
σ_3 08°/290°
Pres.Fluid. = 6
Porc.= 75%
Porc = ((F.E./F.T.)x100)

CONESION = 0 COEF. ROZAM. = 1.41 R = 0.12

ANÁLISIS SOBRE EL CÍRCULO DE MÖHR

ESTACION : castibl2.DAT (7) FALLAS

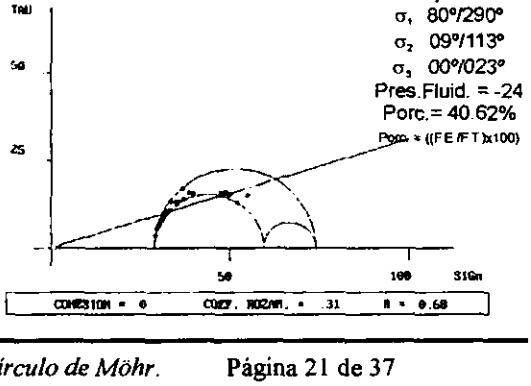


Castibl2
σ_1 32°/306°
σ_2 55°/100°
σ_3 11°/208°
Pres.Fluid. = 0
Porc.= 100%
Porc = ((F.E./F.T.)x100)

CONESION = 0 COEF. ROZAM. = .31 R = 0.42

ANÁLISIS SOBRE EL CÍRCULO DE MÖHR

ESTACION : cijara1.DAT (32) FALLAS

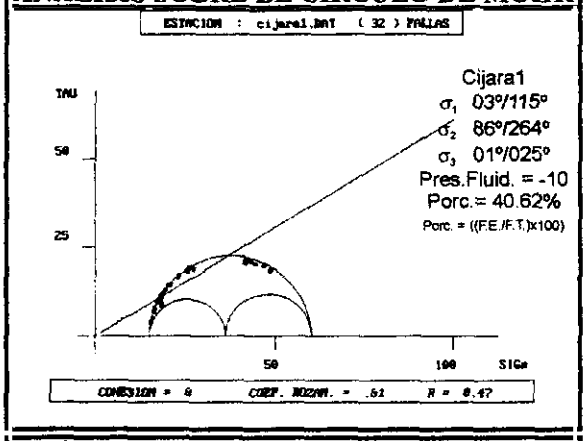


Cijara1
σ_1 80°/290°
σ_2 09°/113°
σ_3 00°/023°
Pres.Fluid. = -24
Porc.= 40.62%
Porc = ((F.E./F.T.)x100)

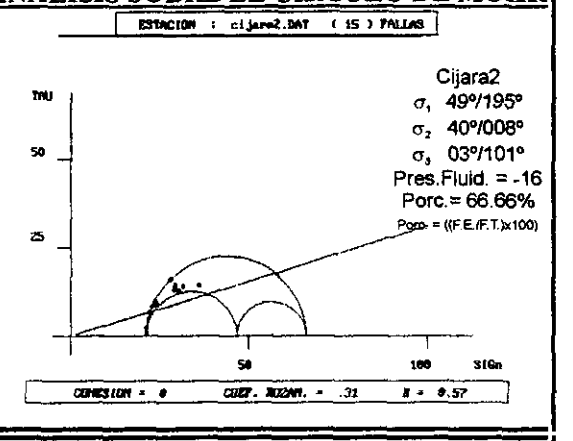
CONESION = 0 COEF. ROZAM. = .31 R = 0.68

Programa *Möhr 1.1*
(Muñoz Martín, 1995)

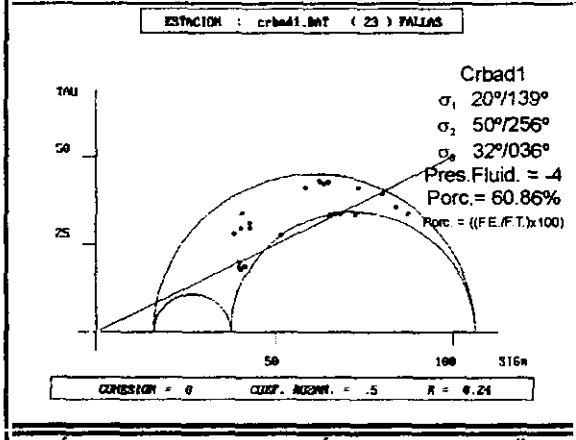
ANÁLISIS SOBRE EL CÍRCULO DE MÖHR



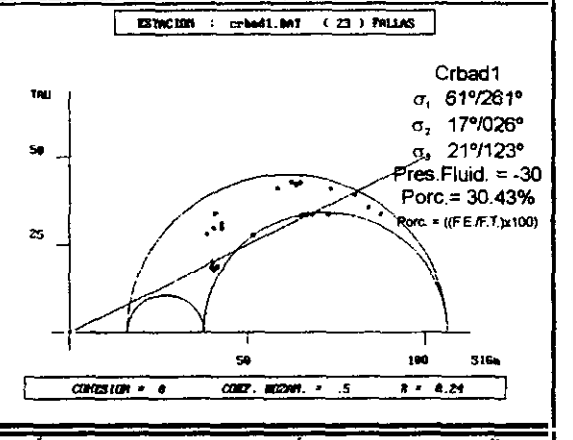
ANÁLISIS SOBRE EL CÍRCULO DE MÖHR



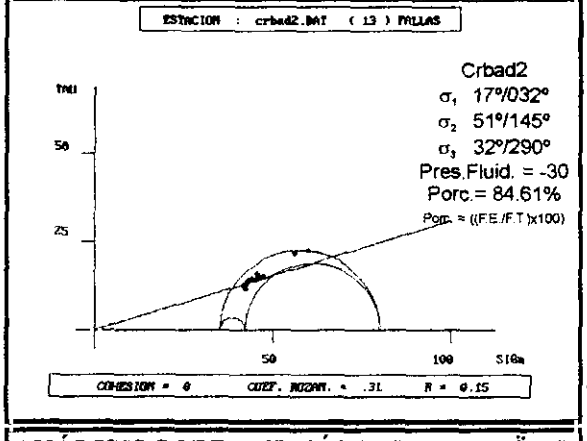
ANÁLISIS SOBRE EL CÍRCULO DE MÖHR



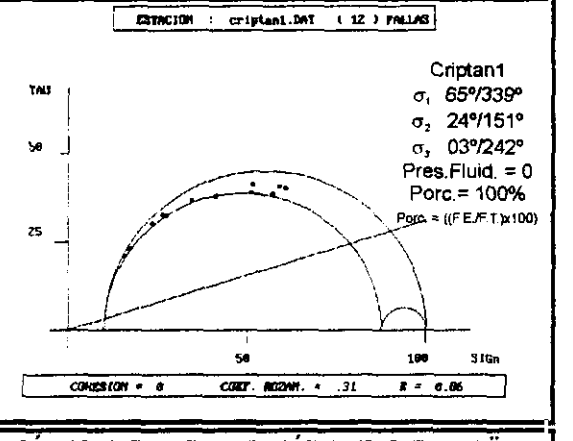
ANÁLISIS SOBRE EL CÍRCULO DE MÖHR



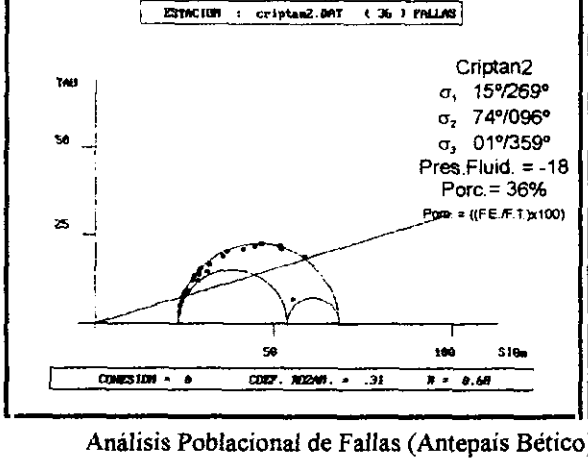
ANÁLISIS SOBRE EL CÍRCULO DE MÖHR



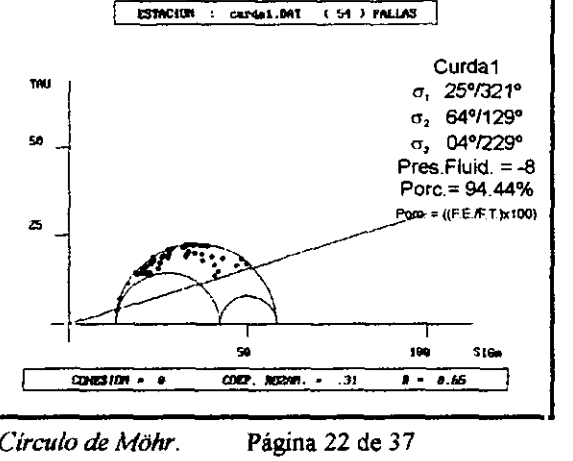
ANÁLISIS SOBRE EL CÍRCULO DE MÖHR



ANÁLISIS SOBRE EL CÍRCULO DE MÖHR



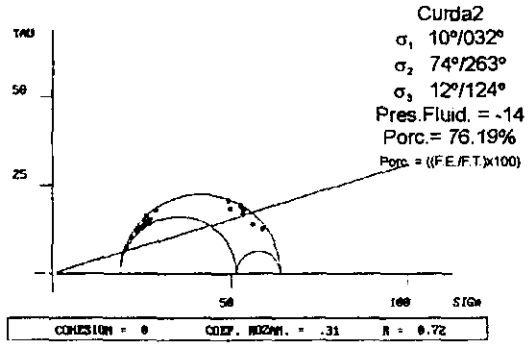
ANÁLISIS SOBRE EL CÍRCULO DE MÖHR



Programa *Möhr 1.1*
(Muñoz Martín, 1995)

ANÁLISIS SOBRE EL CÍRCULO DE MÖHR

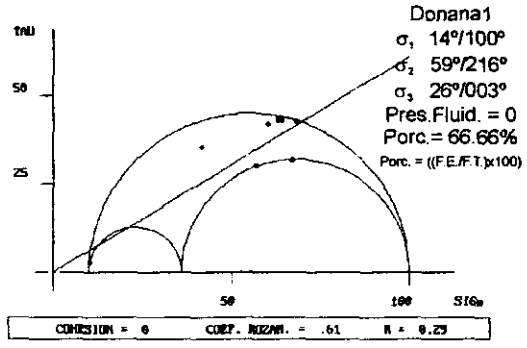
ESTACION : curda2.DAT (21) FALLAS



CONESION = 0 COEF. ROZAM. = .31 R = 0.72

ANÁLISIS SOBRE EL CÍRCULO DE MÖHR

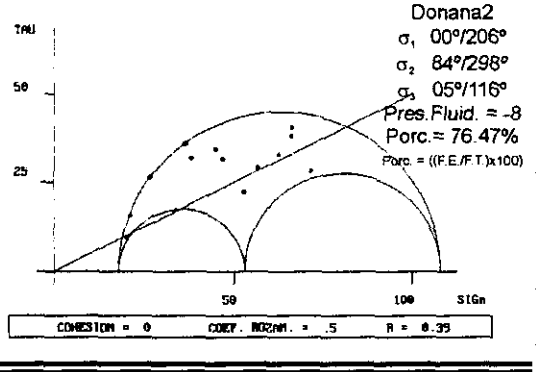
ESTACION : donana1.DAT (9) FALLAS



CONESION = 0 COEF. ROZAM. = .61 R = 0.25

ANÁLISIS SOBRE EL CÍRCULO DE MÖHR

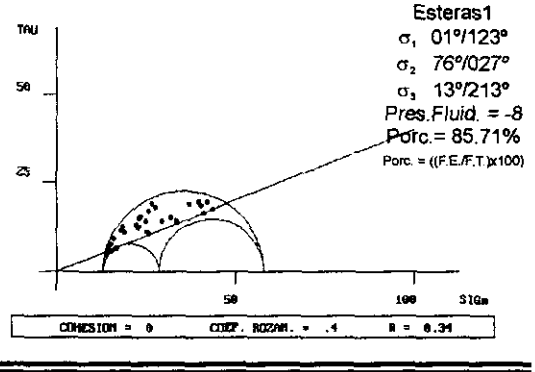
ESTACION : donana2.DAT (17) FALLAS



CONESION = 0 COEF. ROZAM. = .5 R = 0.35

ANÁLISIS SOBRE EL CÍRCULO DE MÖHR

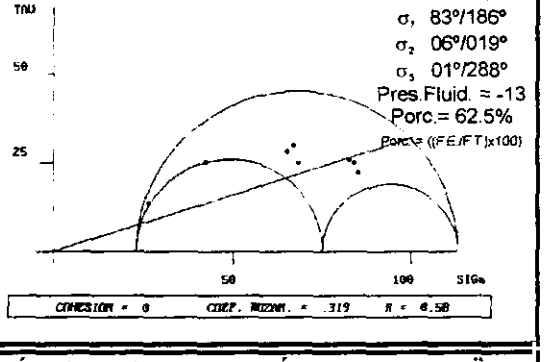
ESTACION : esteras1.DAT (35) FALLAS



CONESION = 0 COEF. ROZAM. = .4 R = 0.34

ANÁLISIS SOBRE EL CÍRCULO DE MÖHR

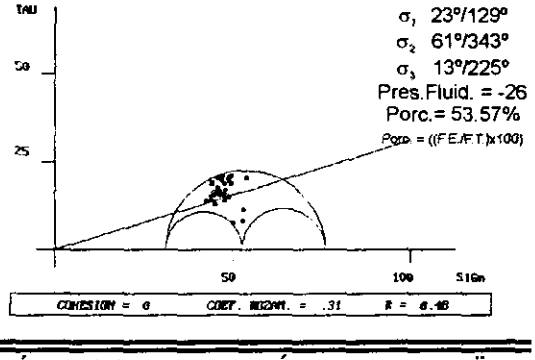
ESTACION : esteras2.DAT (8) FALLAS



CONESION = 0 COEF. ROZAM. = .319 R = 0.58

ANÁLISIS SOBRE EL CÍRCULO DE MÖHR

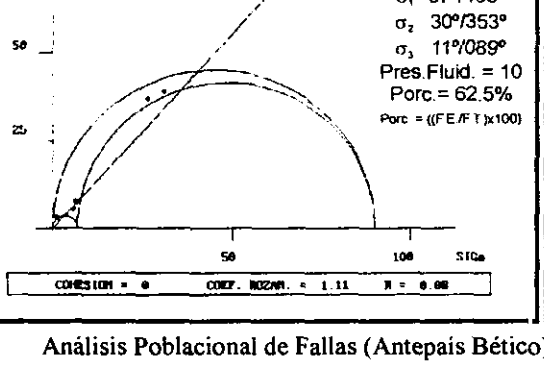
ESTACION : garrovi1.DAT (28) FALLAS



CONESION = 0 COEF. ROZAM. = .31 R = 0.48

ANÁLISIS SOBRE EL CÍRCULO DE MÖHR

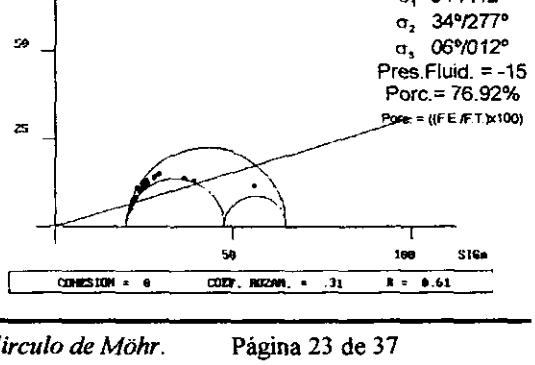
ESTACION : garrovi2.DAT (8) FALLAS



CONESION = 0 COEF. ROZAM. = 1.11 R = 0.68

ANÁLISIS SOBRE EL CÍRCULO DE MÖHR

ESTACION : garsola1.DAT (26) FALLAS

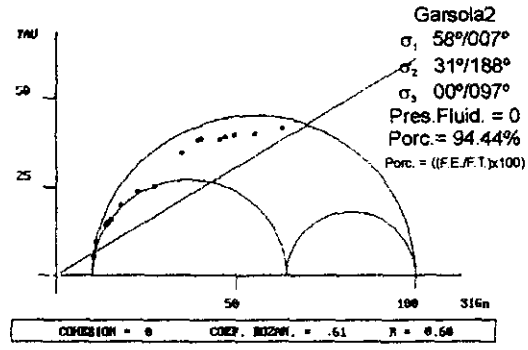


CONESION = 0 COEF. ROZAM. = .31 R = 0.61

Programa *Möhr 1.1*
(Muñoz Martín, 1995)

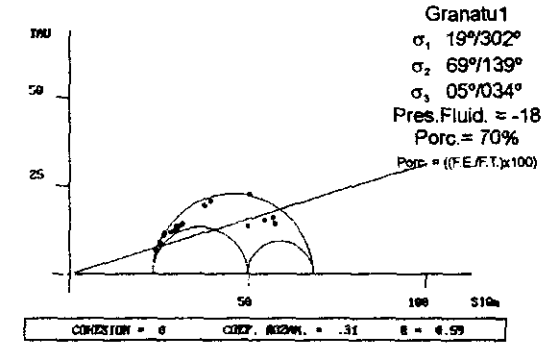
ANÁLISIS SOBRE EL CÍRCULO DE MÖHR

ESTACION : garsola2.DAT (18) FALLAS



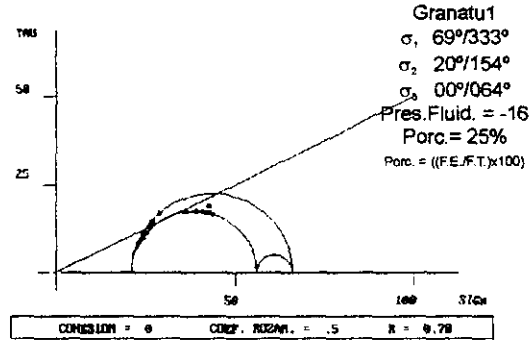
ANÁLISIS SOBRE EL CÍRCULO DE MÖHR

ESTACION : granatu1.DAT (29) FALLAS



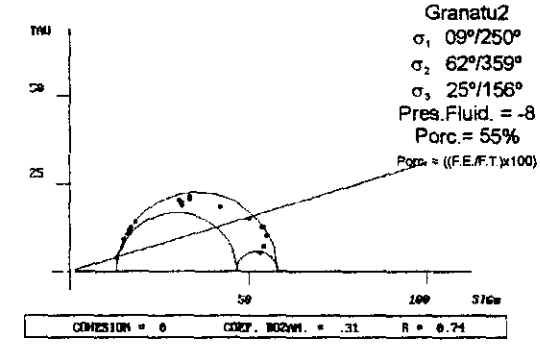
ANÁLISIS SOBRE EL CÍRCULO DE MÖHR

ESTACION : granatu1.DAT (29) FALLAS



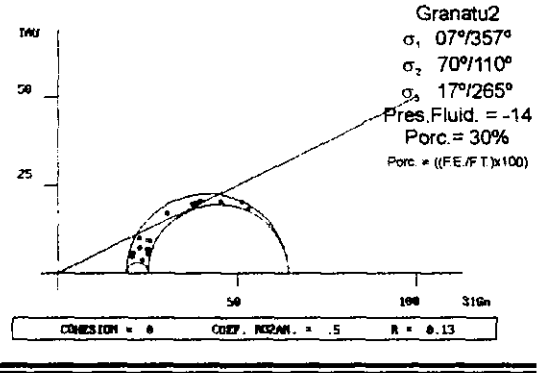
ANÁLISIS SOBRE EL CÍRCULO DE MÖHR

ESTACION : granatu2.DAT (28) FALLAS



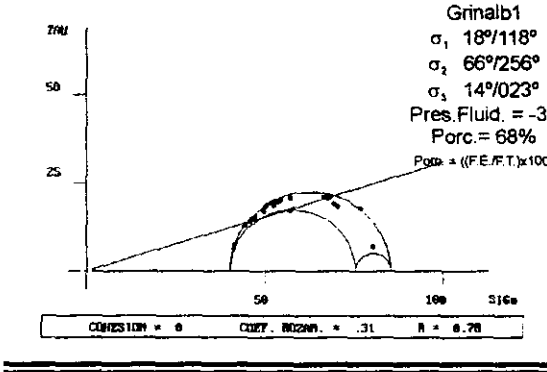
ANÁLISIS SOBRE EL CÍRCULO DE MÖHR

ESTACION : granatu2.DAT (28) FALLAS



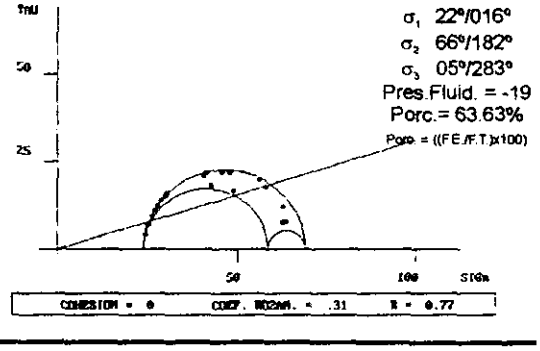
ANÁLISIS SOBRE EL CÍRCULO DE MÖHR

ESTACION : grinalb1.DAT (25) FALLAS



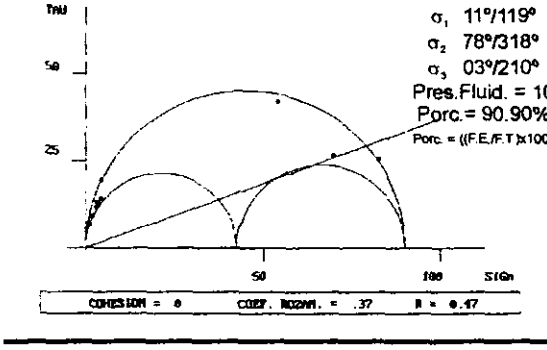
ANÁLISIS SOBRE EL CÍRCULO DE MÖHR

ESTACION : grinalb2.DAT (22) FALLAS



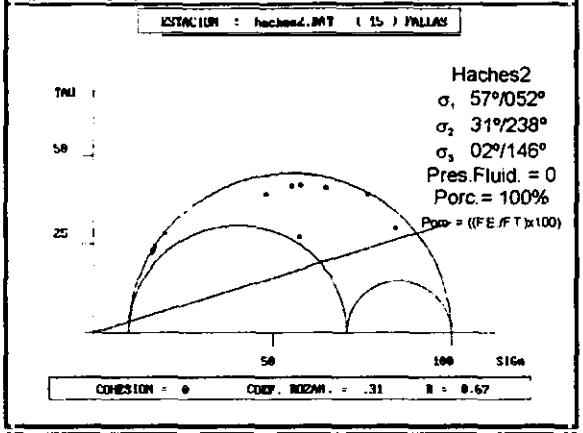
ANÁLISIS SOBRE EL CÍRCULO DE MÖHR

ESTACION : haches1.DAT (11) FALLAS

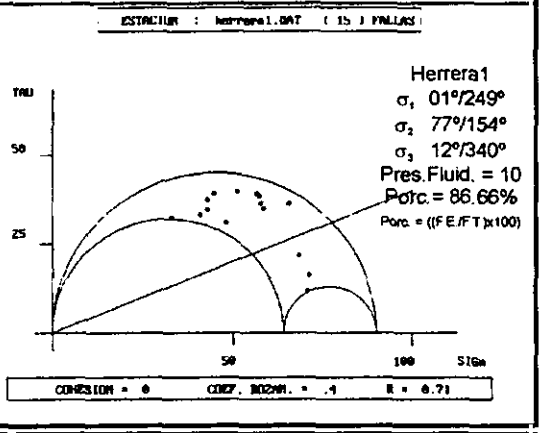


Programa *Möhr 1.1*
(Muñoz Martin, 1995)

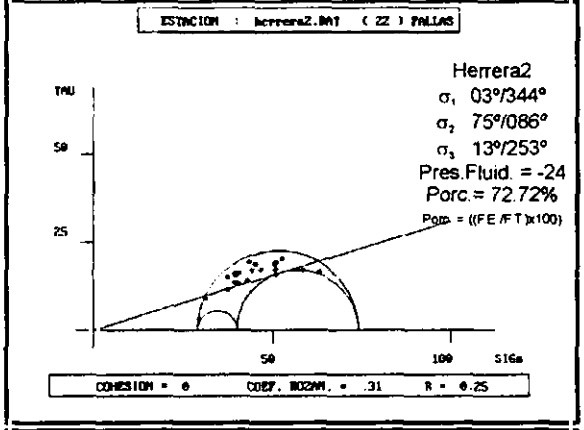
ANÁLISIS SOBRE EL CÍRCULO DE MÖHR



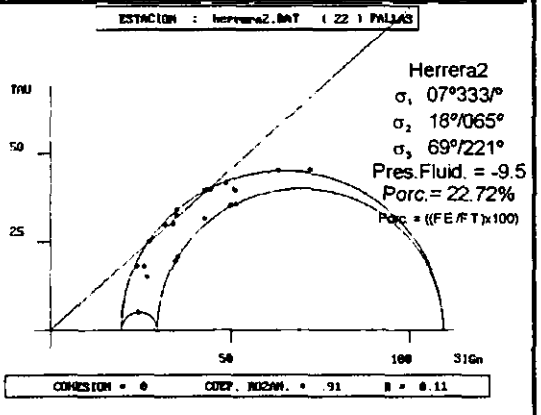
ANÁLISIS SOBRE EL CÍRCULO DE MÖHR



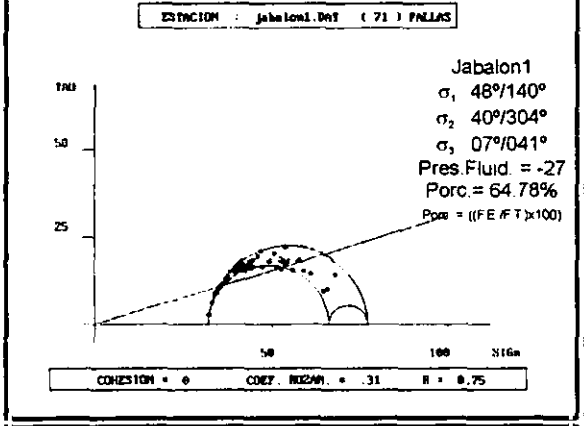
ANÁLISIS SOBRE EL CÍRCULO DE MÖHR



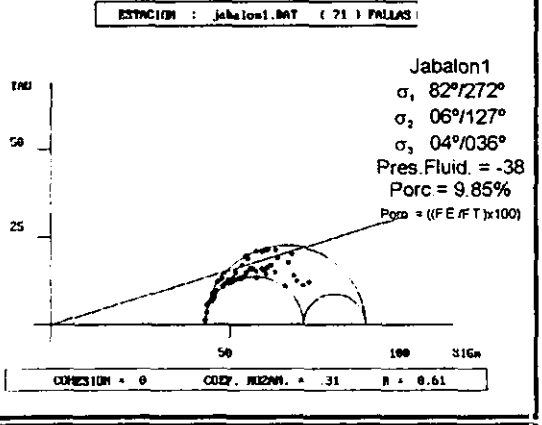
ANÁLISIS SOBRE EL CÍRCULO DE MÖHR



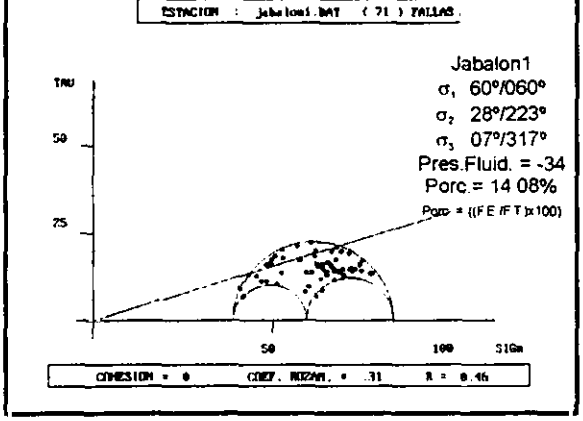
ANÁLISIS SOBRE EL CÍRCULO DE MÖHR



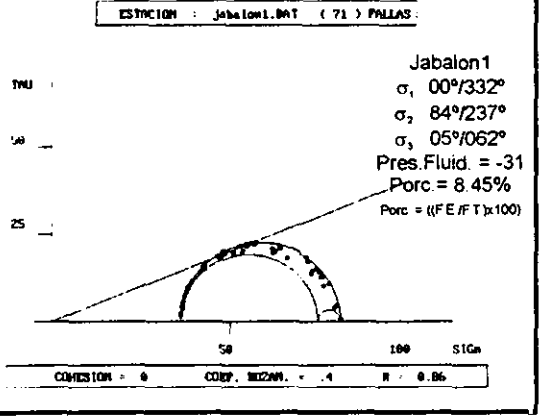
ANÁLISIS SOBRE EL CÍRCULO DE MÖHR



ANÁLISIS SOBRE EL CÍRCULO DE MÖHR

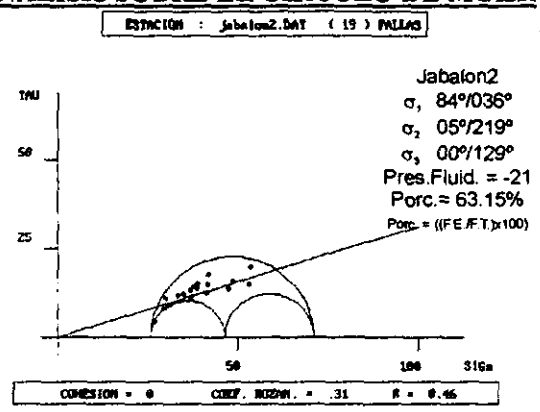


ANÁLISIS SOBRE EL CÍRCULO DE MÖHR

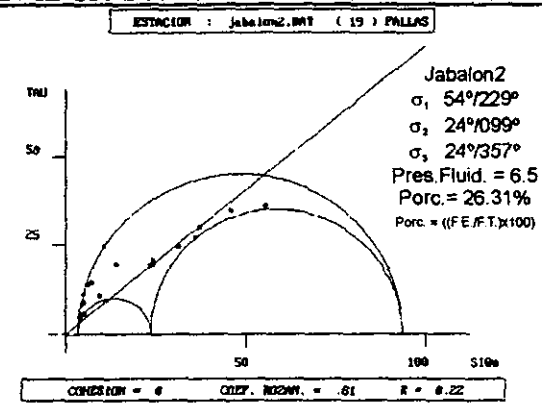


Programa *Möhr 1.1*
(Muñoz Martín, 1995)

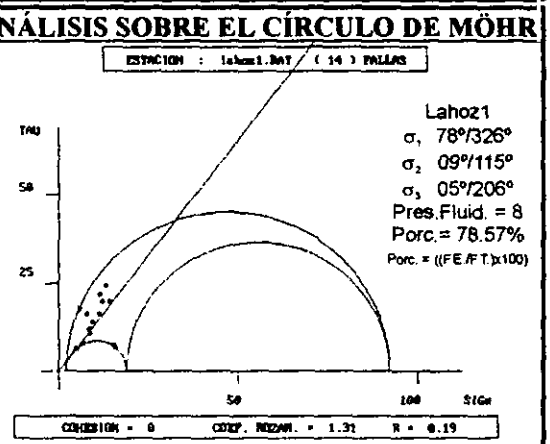
ANÁLISIS SOBRE EL CÍRCULO DE MÖHR



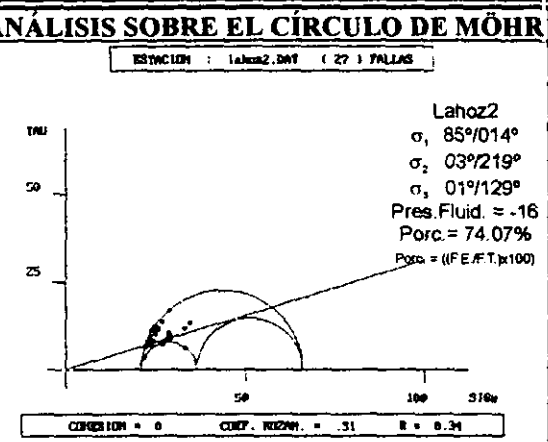
ANÁLISIS SOBRE EL CÍRCULO DE MÖHR



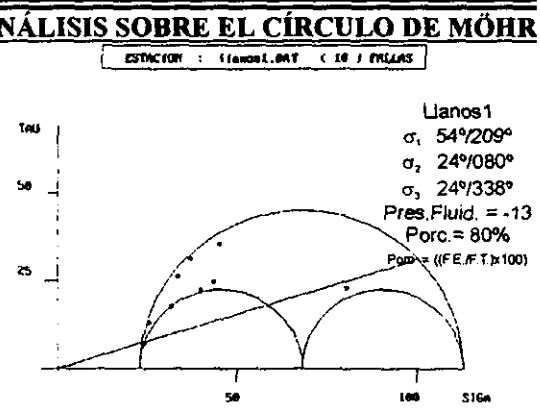
ANÁLISIS SOBRE EL CÍRCULO DE MÖHR



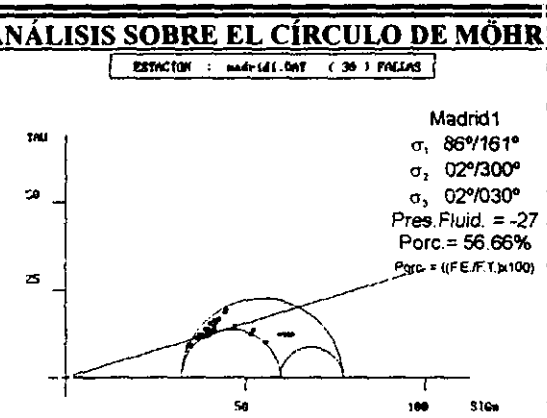
ANÁLISIS SOBRE EL CÍRCULO DE MÖHR



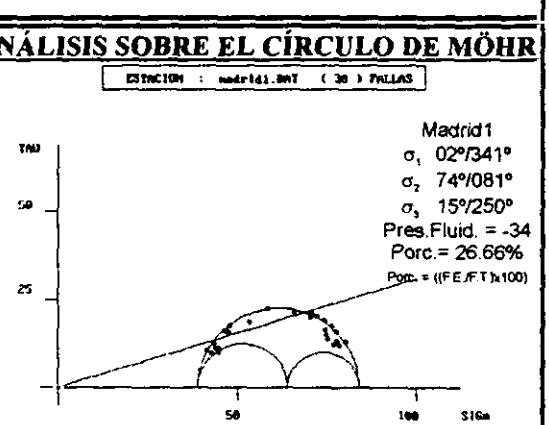
ANÁLISIS SOBRE EL CÍRCULO DE MÖHR



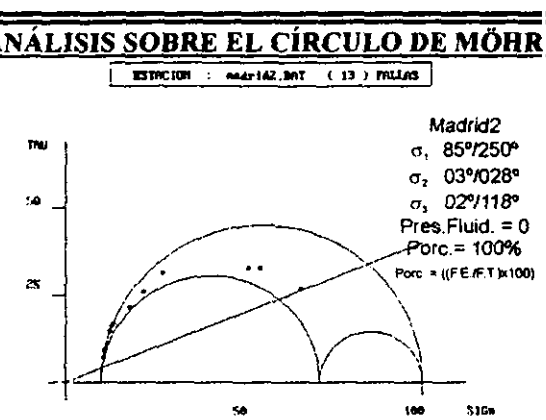
ANÁLISIS SOBRE EL CÍRCULO DE MÖHR



ANÁLISIS SOBRE EL CÍRCULO DE MÖHR

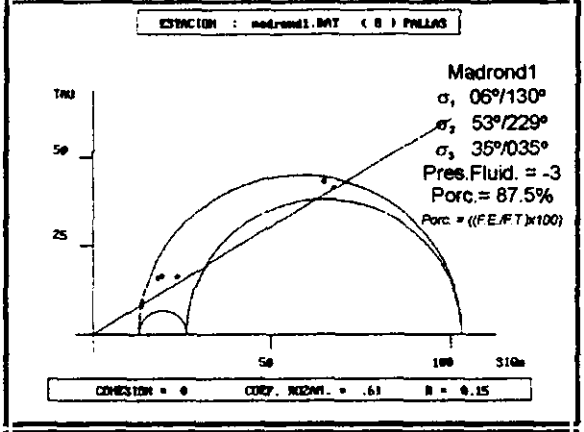


ANÁLISIS SOBRE EL CÍRCULO DE MÖHR

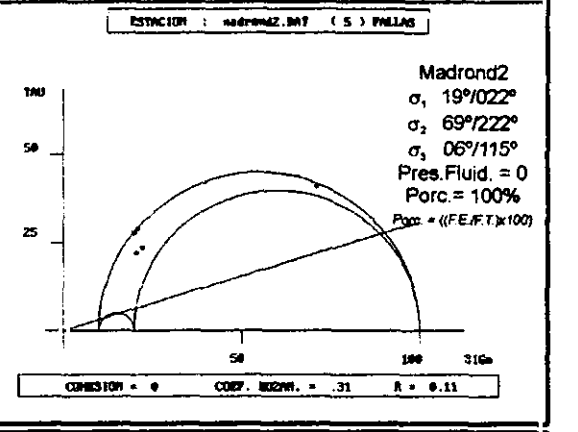


Programa *Möhr 1.1*
(Muñoz Martín, 1995)

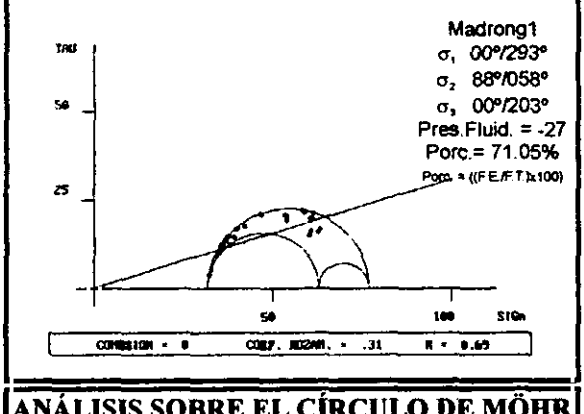
ANÁLISIS SOBRE EL CÍRCULO DE MÖHR



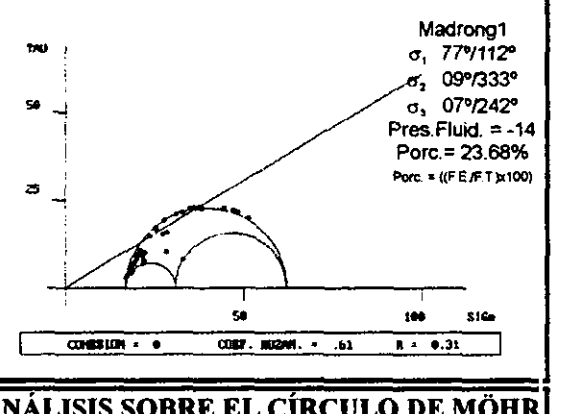
ANÁLISIS SOBRE EL CÍRCULO DE MÖHR



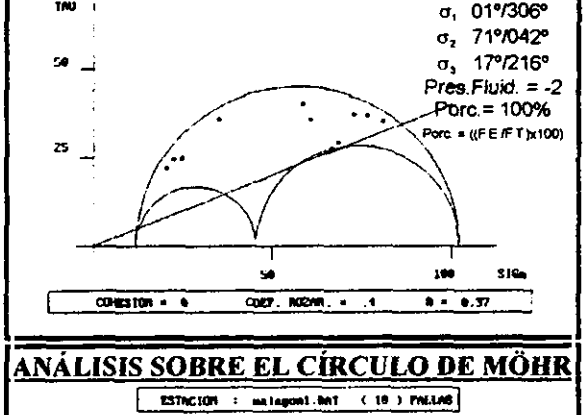
ANÁLISIS SOBRE EL CÍRCULO DE MÖHR



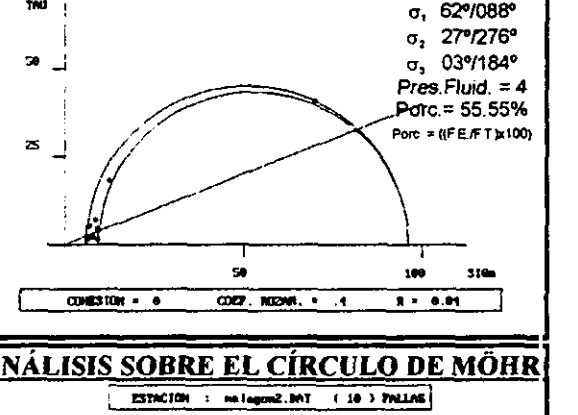
ANÁLISIS SOBRE EL CÍRCULO DE MÖHR



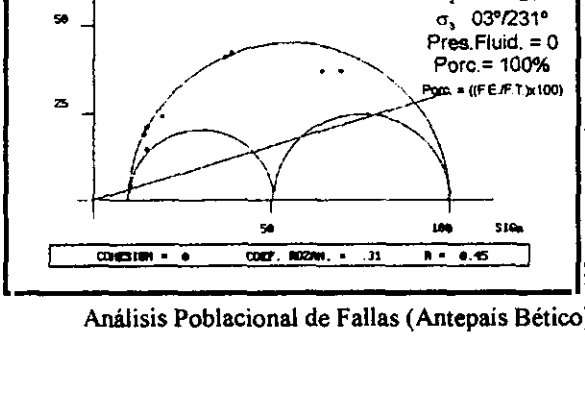
ANÁLISIS SOBRE EL CÍRCULO DE MÖHR



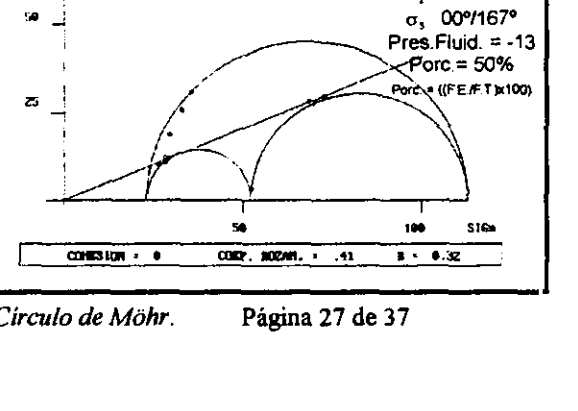
ANÁLISIS SOBRE EL CÍRCULO DE MÖHR



ANÁLISIS SOBRE EL CÍRCULO DE MÖHR

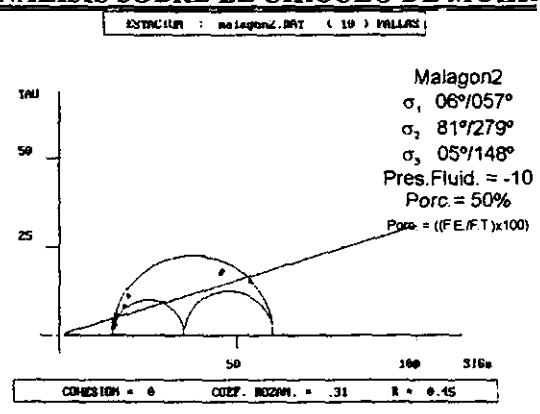


ANÁLISIS SOBRE EL CÍRCULO DE MÖHR

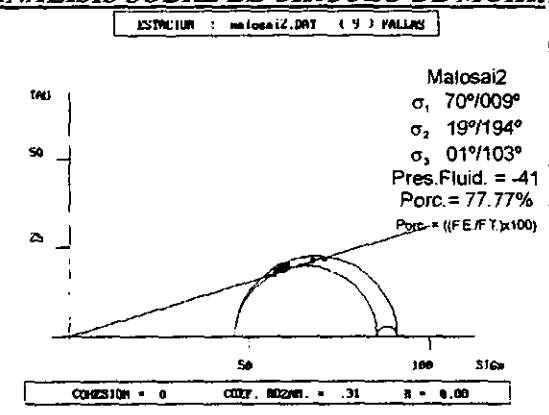


Programa *Möhr 1.1*
(Muñoz Martin, 1995)

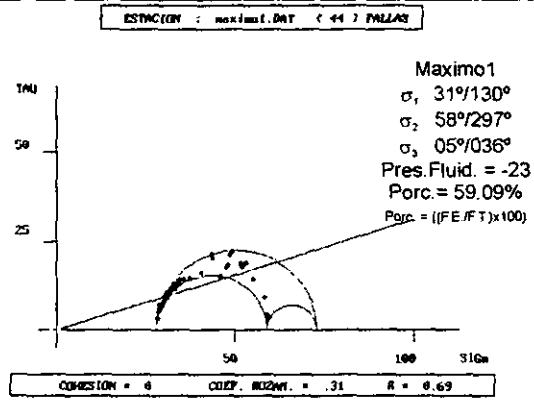
ANÁLISIS SOBRE EL CÍRCULO DE MÖHR



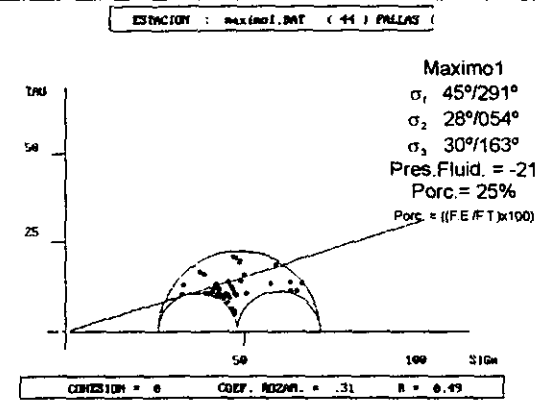
ANÁLISIS SOBRE EL CÍRCULO DE MÖHR



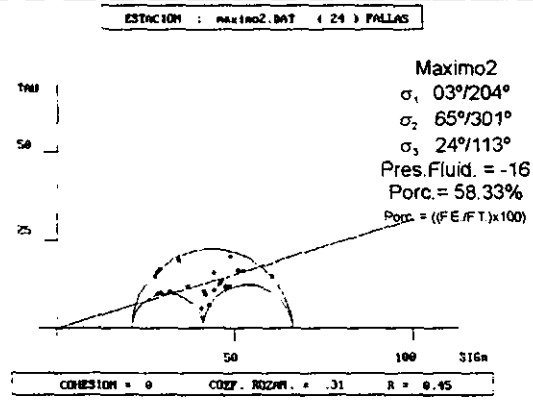
ANÁLISIS SOBRE EL CÍRCULO DE MÖHR



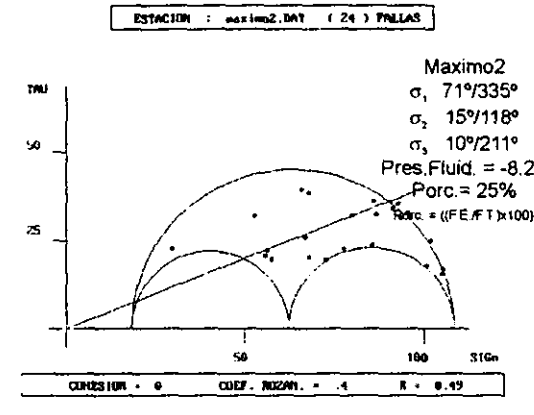
ANÁLISIS SOBRE EL CÍRCULO DE MÖHR



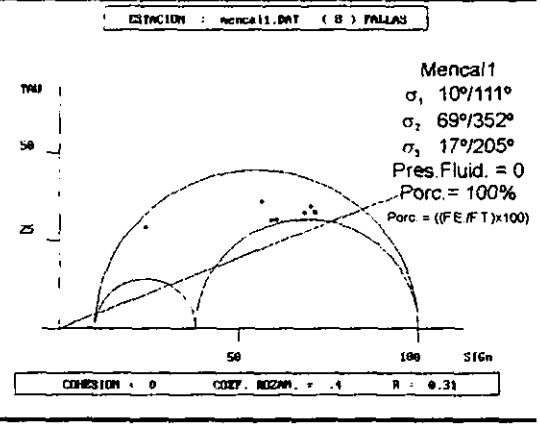
ANÁLISIS SOBRE EL CÍRCULO DE MÖHR



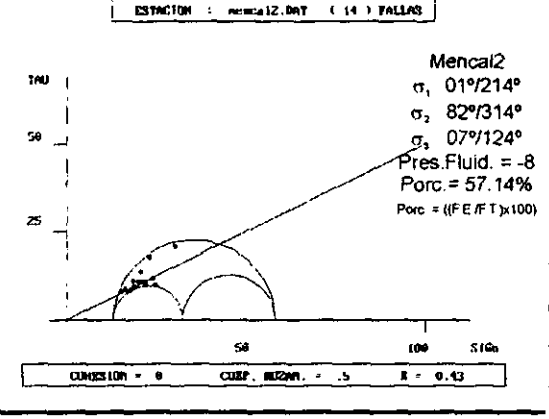
ANÁLISIS SOBRE EL CÍRCULO DE MÖHR



ANÁLISIS SOBRE EL CÍRCULO DE MÖHR



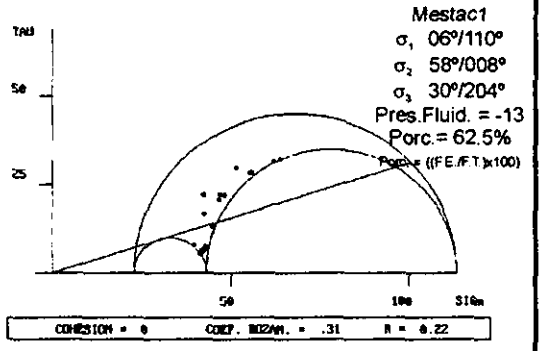
ANÁLISIS SOBRE EL CÍRCULO DE MÖHR



Programa *Möhr 1.1*
(Muñoz Martín, 1995)

ANÁLISIS SOBRE EL CÍRCULO DE MÖHR

ESTACION : mestac1.DAT (16) FALLAS

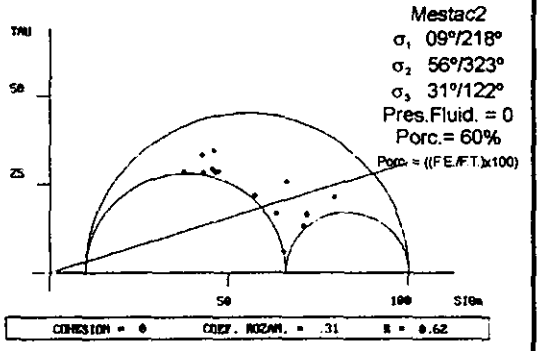


Mestac1
σ_1 06°/110°
σ_2 58°/008°
σ_3 30°/204°
Pres.Fluid. = -13
Porc.= 62.5%
Porc = ((FE./F.T.)x100)

COHESION = 0 COEF. ROZAM. = .31 R = 0.22

ANÁLISIS SOBRE EL CÍRCULO DE MÖHR

ESTACION : mestac2.DAT (15) FALLAS

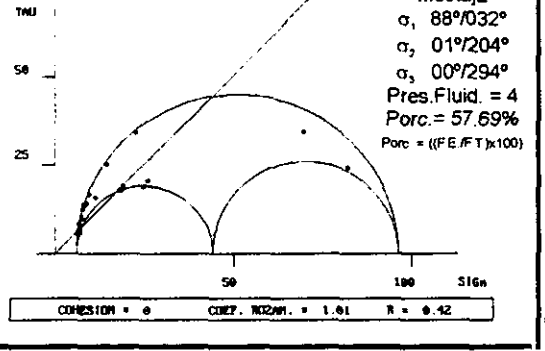


Mestac2
σ_1 09°/218°
σ_2 56°/323°
σ_3 31°/122°
Pres.Fluid. = 0
Porc.= 60%
Porc = ((FE./F.T.)x100)

COHESION = 0 COEF. ROZAM. = .31 R = 0.62

ANÁLISIS SOBRE EL CÍRCULO DE MÖHR

ESTACION : mestaj2.DAT (25) FALLAS

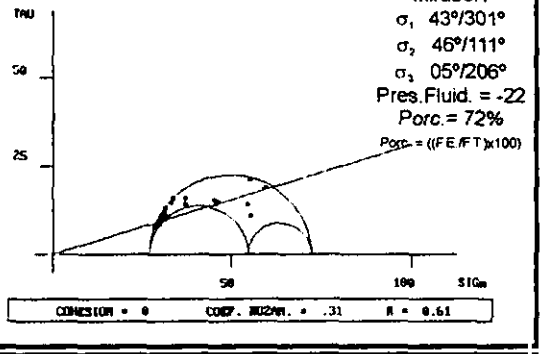


Mestaj2
σ_1 88°/032°
σ_2 01°/204°
σ_3 00°/294°
Pres.Fluid. = 4
Porc.= 57.69%
Porc = ((FE./F.T.)x100)

COHESION = 0 COEF. ROZAM. = 1.01 R = 0.42

ANÁLISIS SOBRE EL CÍRCULO DE MÖHR

ESTACION : mirabel1.DAT (25) FALLAS

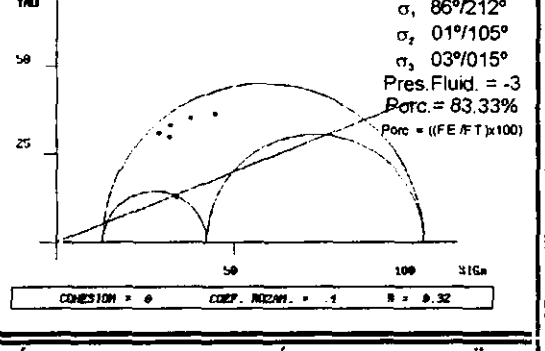


Mirabel1
σ_1 43°/301°
σ_2 46°/111°
σ_3 05°/206°
Pres.Fluid. = -22
Porc.= 72%
Porc = ((FE./F.T.)x100)

COHESION = 0 COEF. ROZAM. = .31 R = 0.61

ANÁLISIS SOBRE EL CÍRCULO DE MÖHR

ESTACION : nava.DAT (6) FALLAS

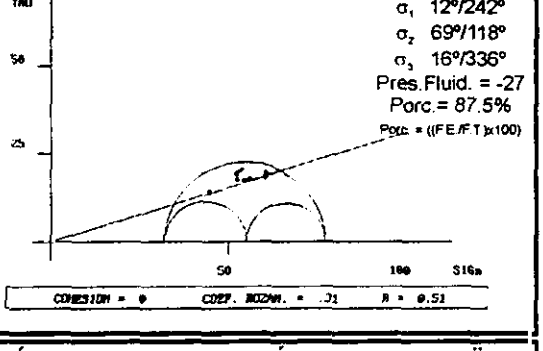


Nava
σ_1 86°/212°
σ_2 01°/105°
σ_3 03°/015°
Pres.Fluid. = -3
Porc.= 83.33%
Porc = ((FE./F.T.)x100)

COHESION = 0 COEF. ROZAM. = .1 R = 0.32

ANÁLISIS SOBRE EL CÍRCULO DE MÖHR

ESTACION : ngriego1.DAT (8) FALLAS

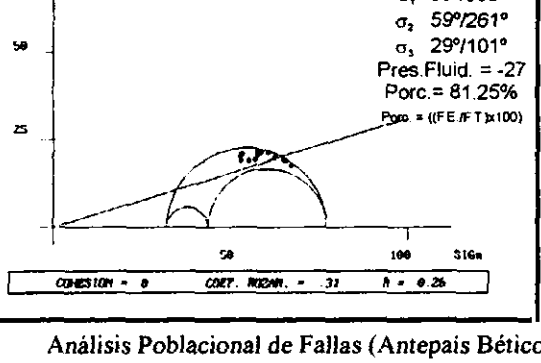


Ngriego1
σ_1 12°/242°
σ_2 69°/118°
σ_3 16°/336°
Pres.Fluid. = -27
Porc.= 87.5%
Porc = ((FE./F.T.)x100)

COHESION = 0 COEF. ROZAM. = .31 R = 0.51

ANÁLISIS SOBRE EL CÍRCULO DE MÖHR

ESTACION : ngriego2.DAT (16) FALLAS

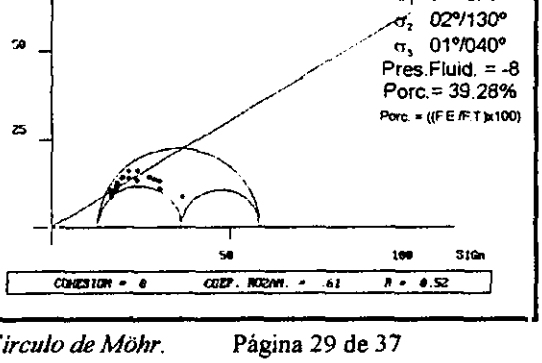


Ngriego2
σ_1 08°/006°
σ_2 59°/261°
σ_3 29°/101°
Pres.Fluid. = -27
Porc.= 81.25%
Porc = ((FE./F.T.)x100)

COHESION = 0 COEF. ROZAM. = .31 R = 0.25

ANÁLISIS SOBRE EL CÍRCULO DE MÖHR

ESTACION : nivk2081.DAT (28) FALLAS

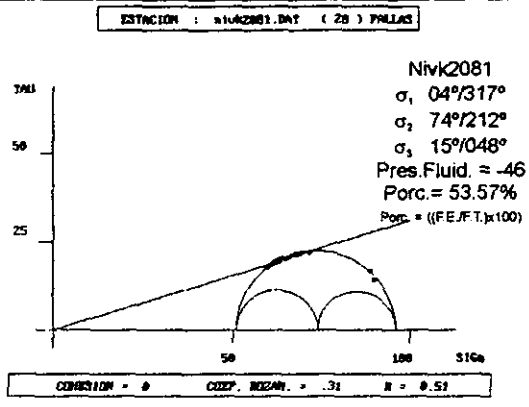


Nivk2081
σ_1 87°/270°
σ_2 02°/130°
σ_3 01°/040°
Pres.Fluid. = -8
Porc.= 39.28%
Porc = ((FE./F.T.)x100)

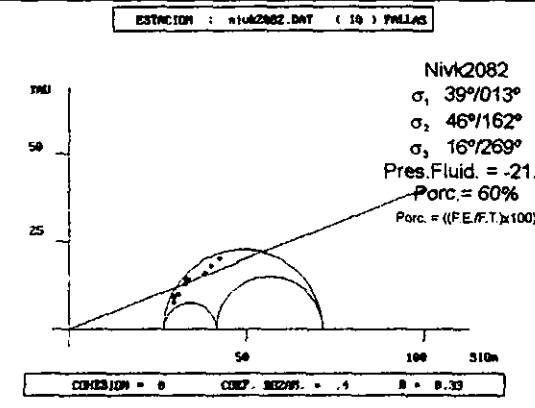
COHESION = 0 COEF. ROZAM. = .61 R = 0.52

Programa *Möhr 1.1*
(Muñoz Martín, 1995)

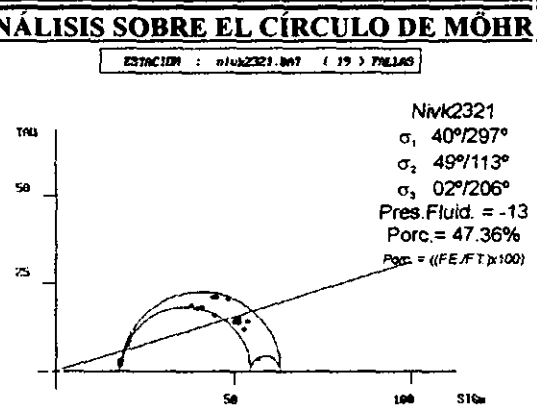
ANÁLISIS SOBRE EL CÍRCULO DE MÖHR



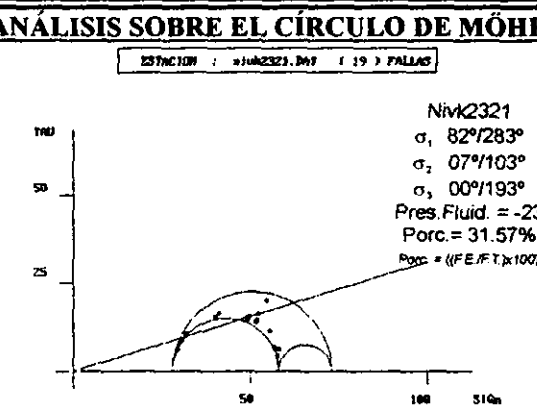
ANÁLISIS SOBRE EL CÍRCULO DE MÖHR



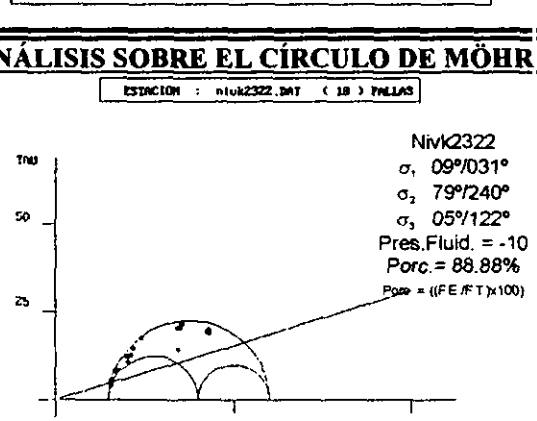
ANÁLISIS SOBRE EL CÍRCULO DE MÖHR



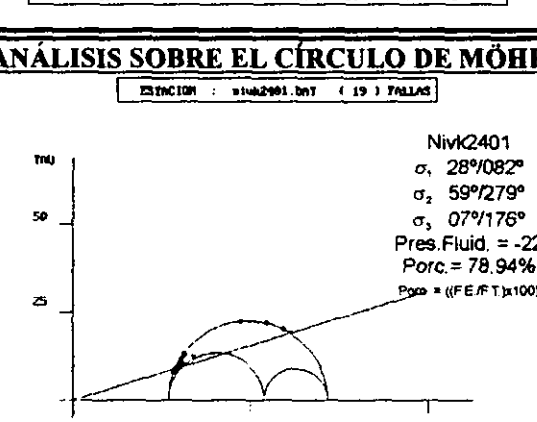
ANÁLISIS SOBRE EL CÍRCULO DE MÖHR



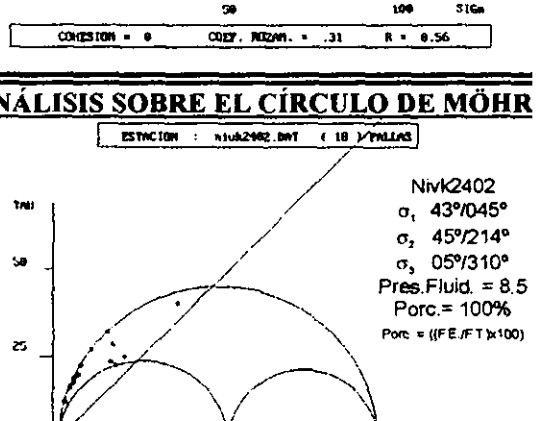
ANÁLISIS SOBRE EL CÍRCULO DE MÖHR



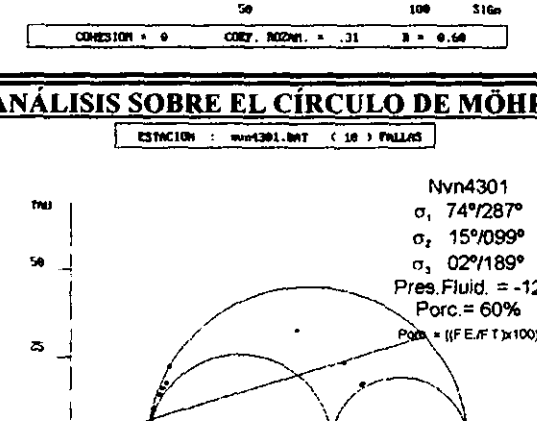
ANÁLISIS SOBRE EL CÍRCULO DE MÖHR



ANÁLISIS SOBRE EL CÍRCULO DE MÖHR

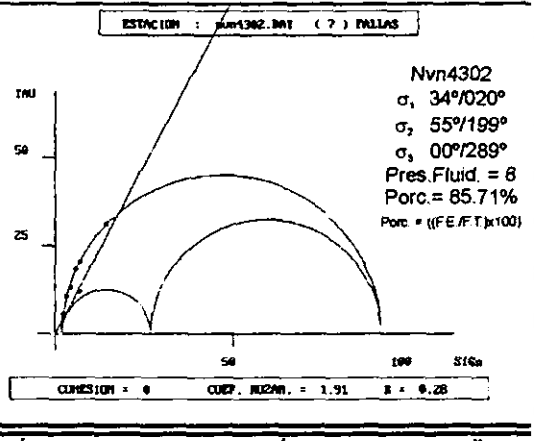


ANÁLISIS SOBRE EL CÍRCULO DE MÖHR

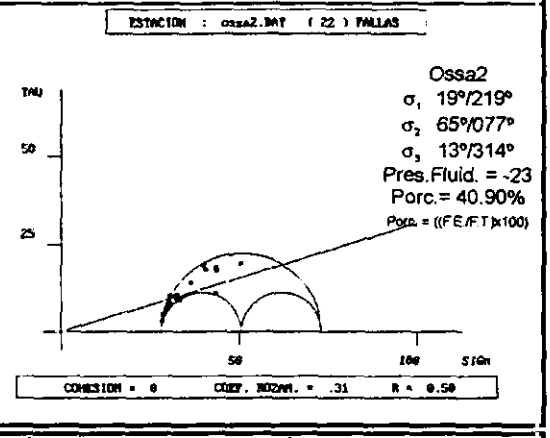


Programa *Möhr 1.1*
(Muñoz Martín, 1995)

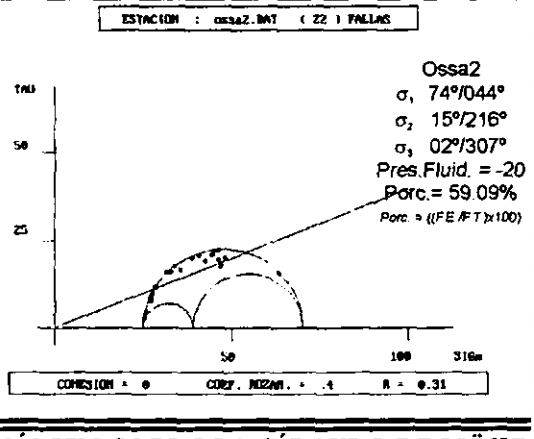
ANÁLISIS SOBRE EL CÍRCULO DE MÖHR



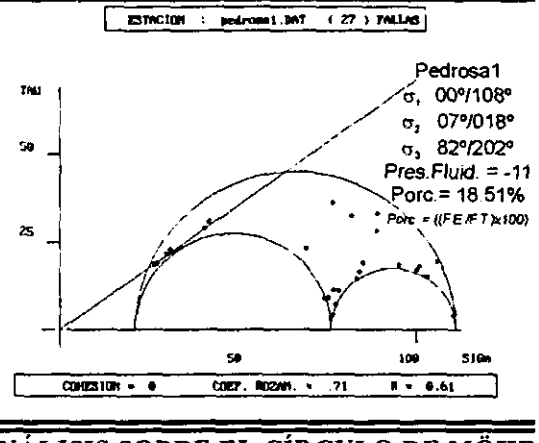
ANÁLISIS SOBRE EL CÍRCULO DE MÖHR



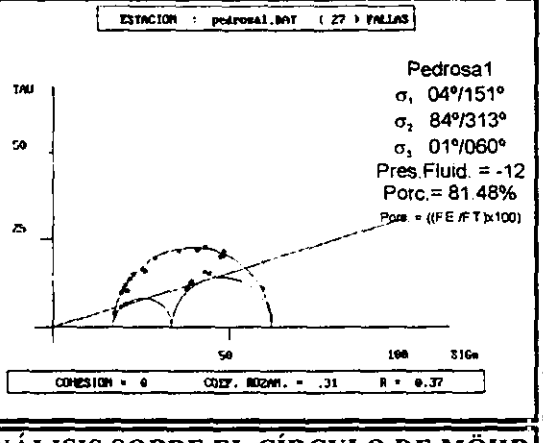
ANÁLISIS SOBRE EL CÍRCULO DE MÖHR



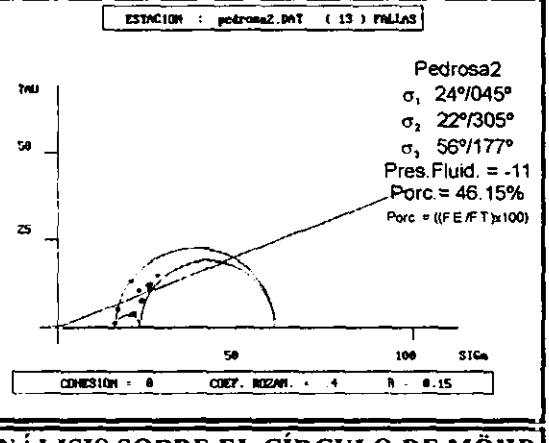
ANÁLISIS SOBRE EL CÍRCULO DE MÖHR



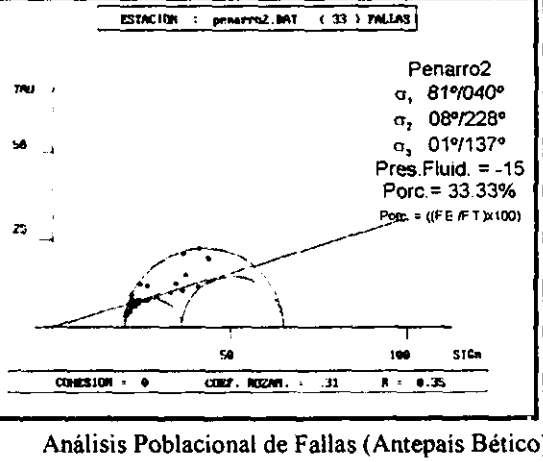
ANÁLISIS SOBRE EL CÍRCULO DE MÖHR



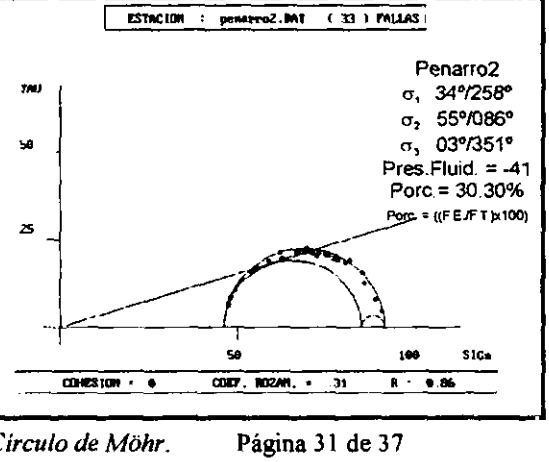
ANÁLISIS SOBRE EL CÍRCULO DE MÖHR



ANÁLISIS SOBRE EL CÍRCULO DE MÖHR

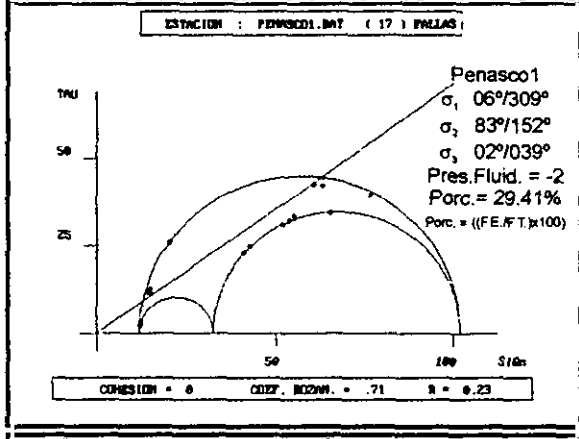


ANÁLISIS SOBRE EL CÍRCULO DE MÖHR

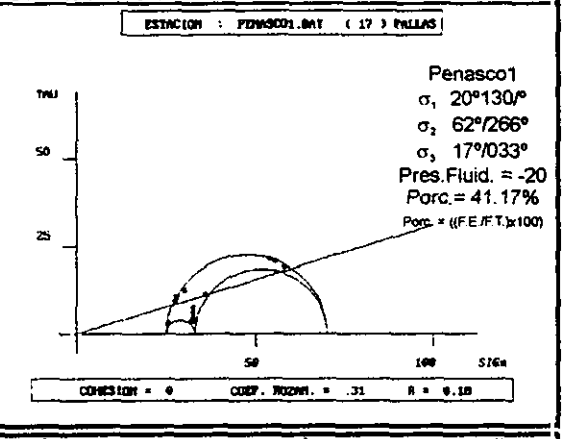


Programa *Möhr 1.1*
(Muñoz Martín, 1995)

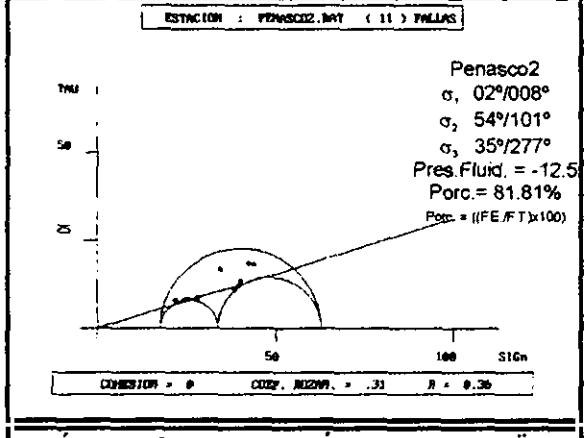
ANÁLISIS SOBRE EL CÍRCULO DE MÖHR



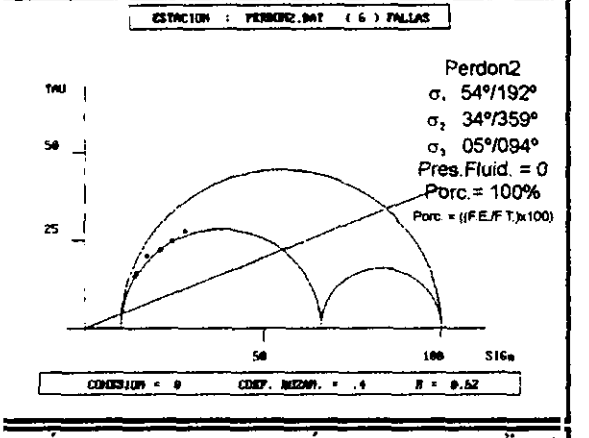
ANÁLISIS SOBRE EL CÍRCULO DE MÖHR



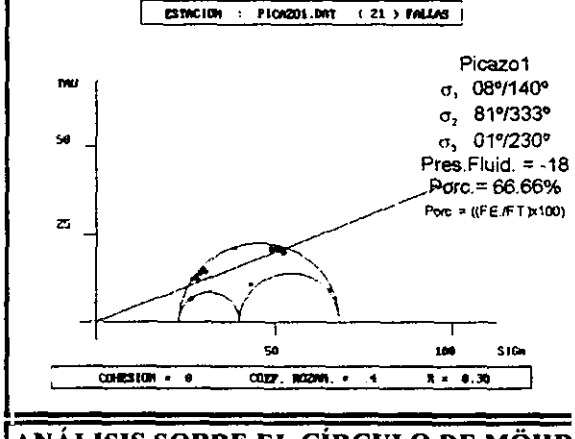
ANÁLISIS SOBRE EL CÍRCULO DE MÖHR



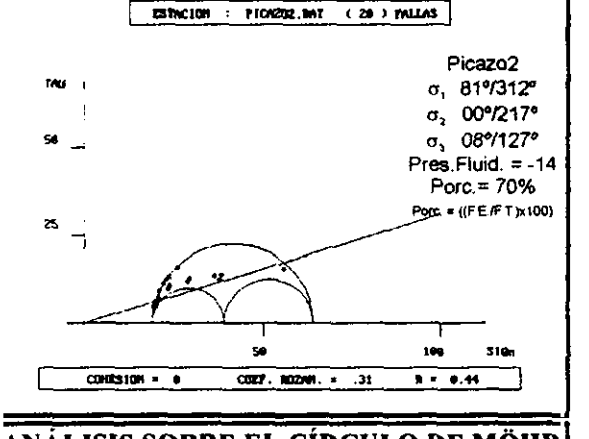
ANÁLISIS SOBRE EL CÍRCULO DE MÖHR



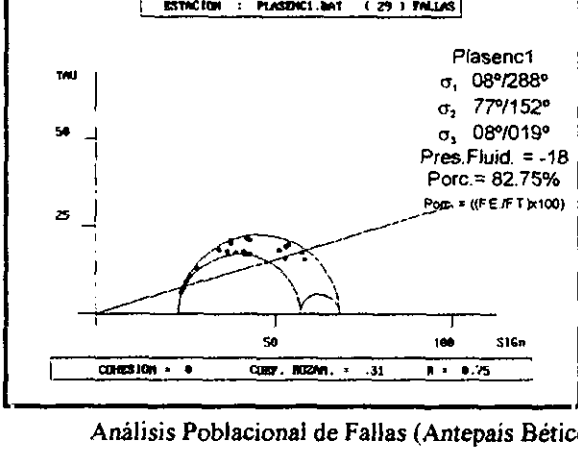
ANÁLISIS SOBRE EL CÍRCULO DE MÖHR



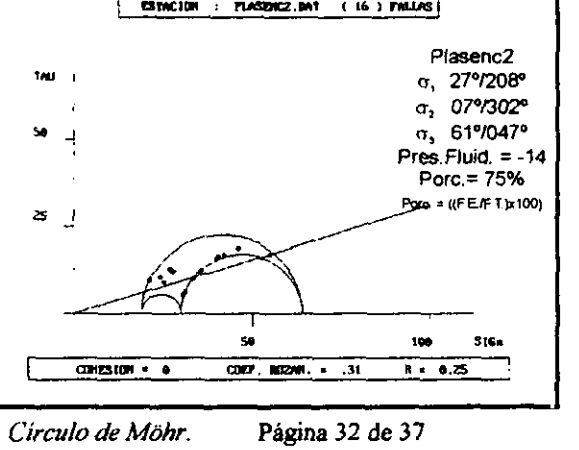
ANÁLISIS SOBRE EL CÍRCULO DE MÖHR



ANÁLISIS SOBRE EL CÍRCULO DE MÖHR



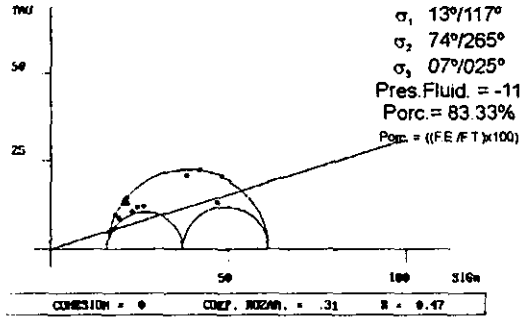
ANÁLISIS SOBRE EL CÍRCULO DE MÖHR



Programa *Möhr 1.1*
(Muñoz Martín, 1995)

ANÁLISIS SOBRE EL CÍRCULO DE MÖHR

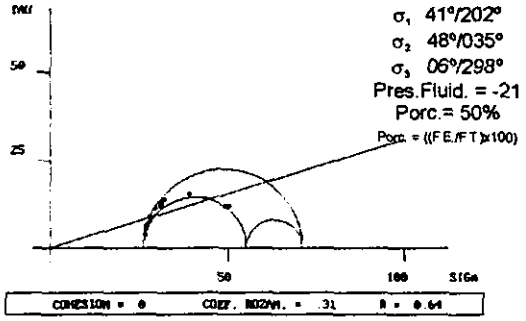
ESTACION : PORTEZU1.DAT (18) FALLAS



Portezu1
σ_1 13°/117°
σ_2 74°/265°
σ_3 07°/025°
Pres.Fluid. = -11
Porc.= 83.33%
Porc. = ((F E /F T)x100)

ANÁLISIS SOBRE EL CÍRCULO DE MÖHR

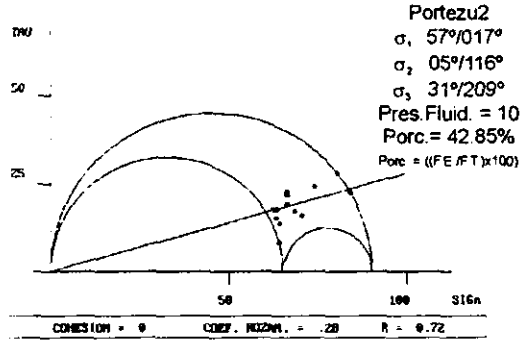
ESTACION : PORTEZU2.DAT (14) FALLAS



Portezu2
σ_1 41°/202°
σ_2 48°/035°
σ_3 06°/298°
Pres.Fluid. = -21
Porc.= 50%
Porc. = ((F E /F T)x100)

ANÁLISIS SOBRE EL CÍRCULO DE MÖHR

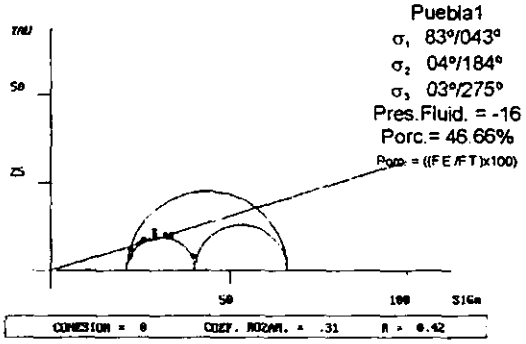
ESTACION : PORTEZU2.DAT (14) FALLAS



Portezu2
σ_1 57°/017°
σ_2 05°/116°
σ_3 31°/209°
Pres.Fluid. = 10
Porc.= 42.85%
Porc = ((F E /F T)x100)

ANÁLISIS SOBRE EL CÍRCULO DE MÖHR

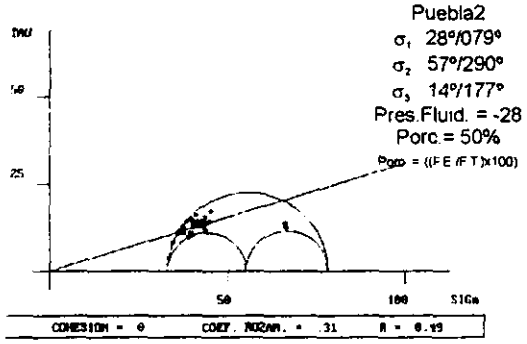
ESTACION : PUEBLA1.DAT (15) FALLAS



Puebla1
σ_1 83°/043°
σ_2 04°/184°
σ_3 03°/275°
Pres.Fluid. = -16
Porc.= 46.66%
Porc = ((F E /F T)x100)

ANÁLISIS SOBRE EL CÍRCULO DE MÖHR

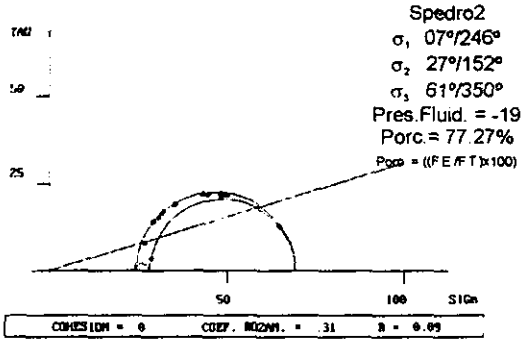
ESTACION : PUEBLA2.DAT (34) FALLAS



Puebla2
σ_1 28°/079°
σ_2 57°/290°
σ_3 14°/177°
Pres.Fluid. = -28
Porc.= 50%
Porc = ((F E /F T)x100)

ANÁLISIS SOBRE EL CÍRCULO DE MÖHR

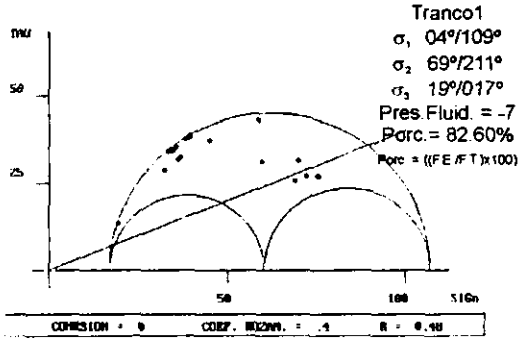
ESTACION : SPEDRO2.DAT (22) FALLAS



Spedro2
σ_1 07°/246°
σ_2 27°/152°
σ_3 61°/350°
Pres.Fluid. = -19
Porc.= 77.27%
Porc = ((F E /F T)x100)

ANÁLISIS SOBRE EL CÍRCULO DE MÖHR

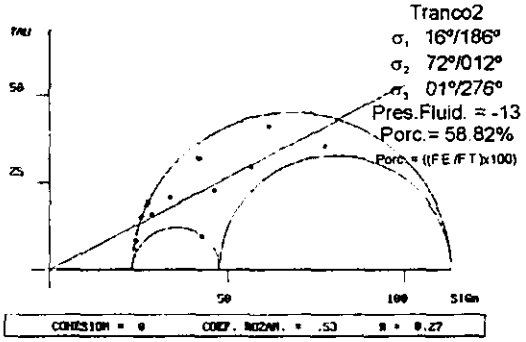
ESTACION : TRANCO1.DAT (23) FALLAS



Tranco1
σ_1 04°/109°
σ_2 69°/211°
σ_3 19°/017°
Pres.Fluid. = -7
Porc.= 82.60%
Porc = ((F E /F T)x100)

ANÁLISIS SOBRE EL CÍRCULO DE MÖHR

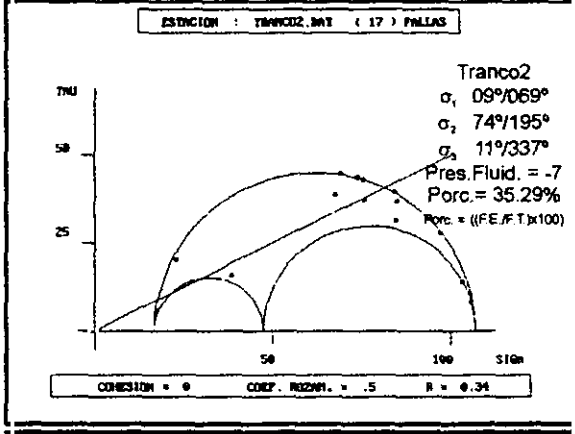
ESTACION : TRANCO2.DAT (17) FALLAS



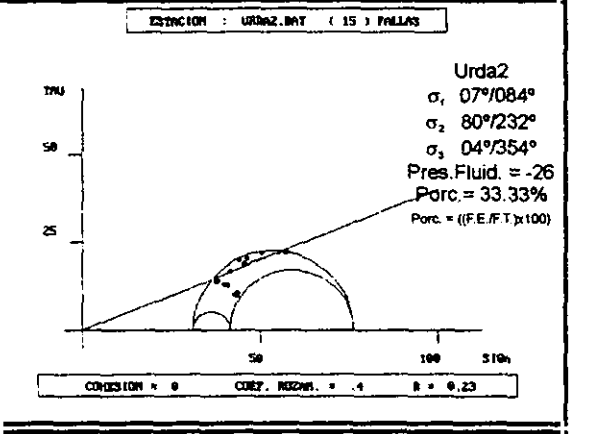
Tranco2
σ_1 16°/186°
σ_2 72°/012°
σ_3 01°/276°
Pres.Fluid. = -13
Porc.= 58.82%
Porc = ((F E /F T)x100)

Programa *Möhr 1.1*
(Muñoz Martín, 1995)

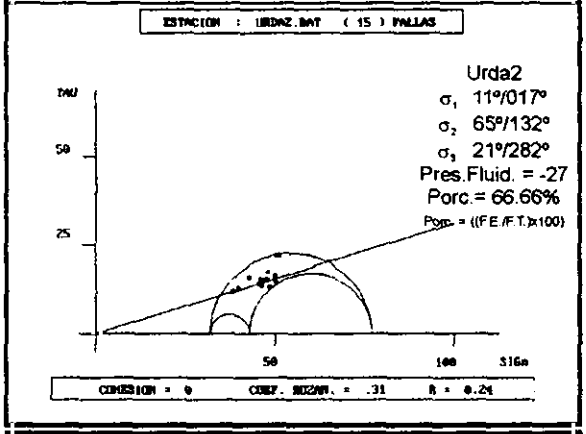
ANÁLISIS SOBRE EL CÍRCULO DE MÖHR



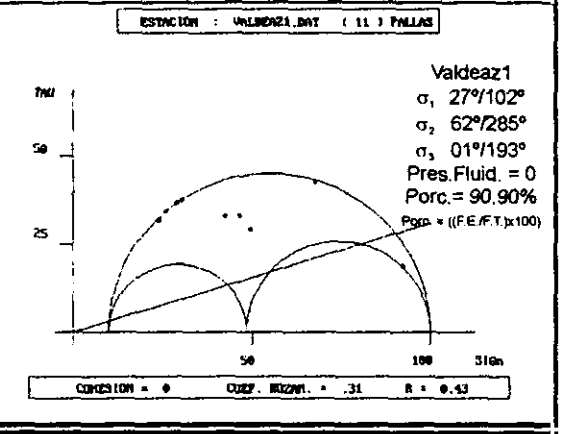
ANÁLISIS SOBRE EL CÍRCULO DE MÖHR



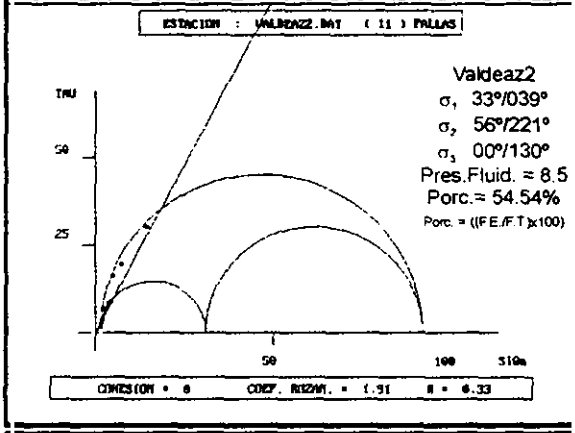
ANÁLISIS SOBRE EL CÍRCULO DE MÖHR



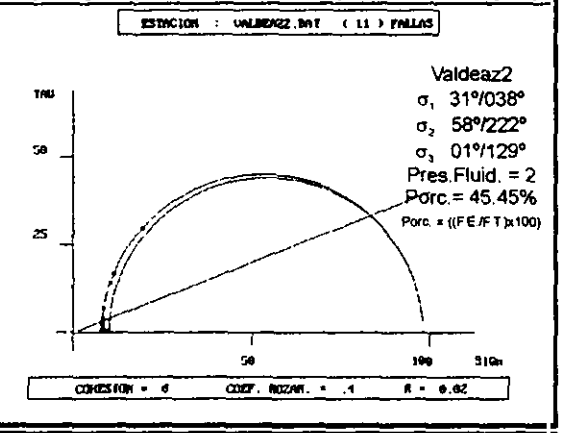
ANÁLISIS SOBRE EL CÍRCULO DE MÖHR



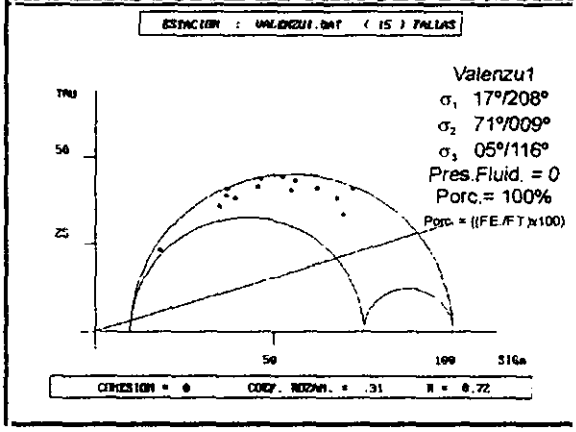
ANÁLISIS SOBRE EL CÍRCULO DE MÖHR



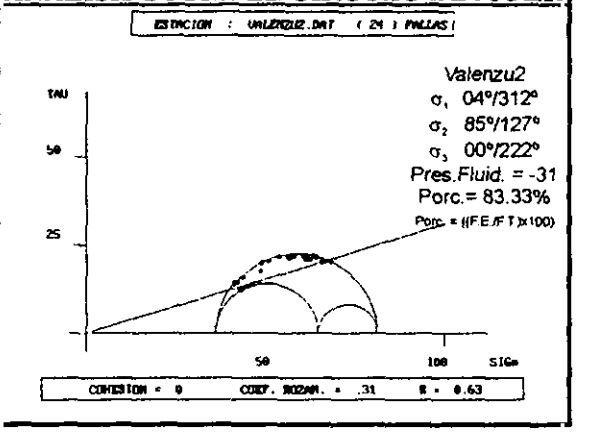
ANÁLISIS SOBRE EL CÍRCULO DE MÖHR



ANÁLISIS SOBRE EL CÍRCULO DE MÖHR

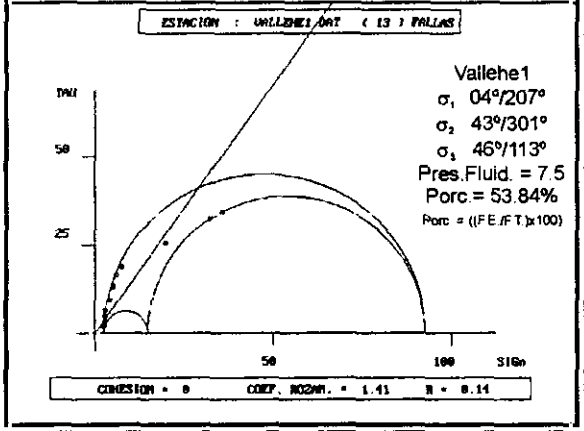


ANÁLISIS SOBRE EL CÍRCULO DE MÖHR

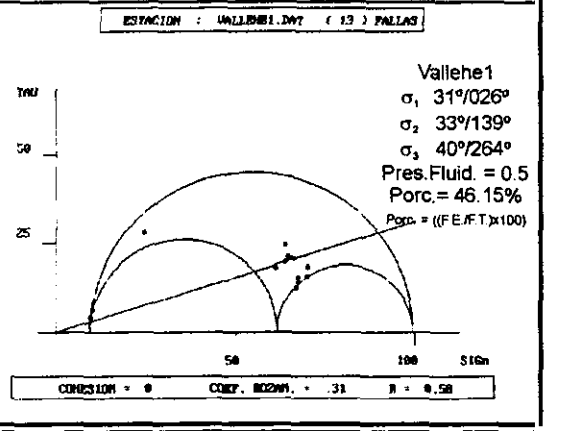


Programa *Möhr 1.1*
(Muñoz Martín, 1995)

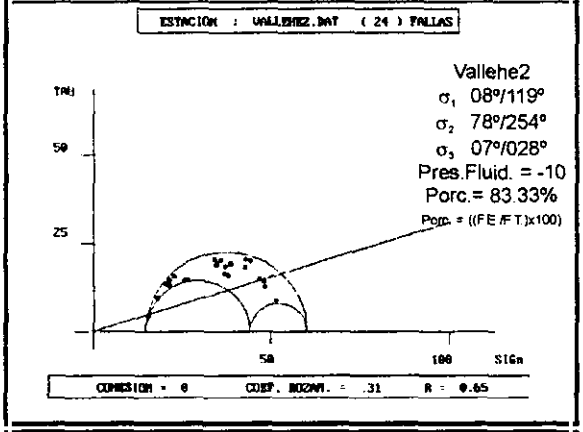
ANÁLISIS SOBRE EL CÍRCULO DE MÖHR



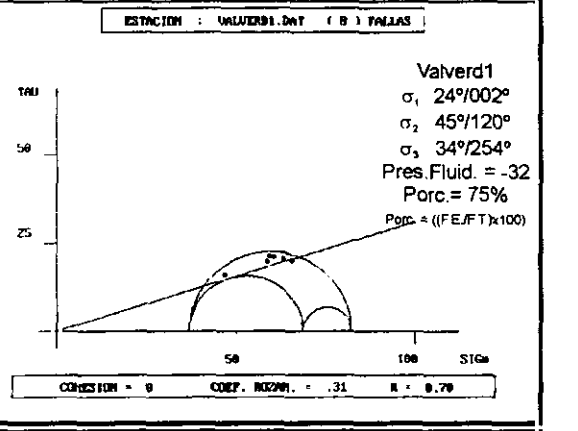
ANÁLISIS SOBRE EL CÍRCULO DE MÖHR



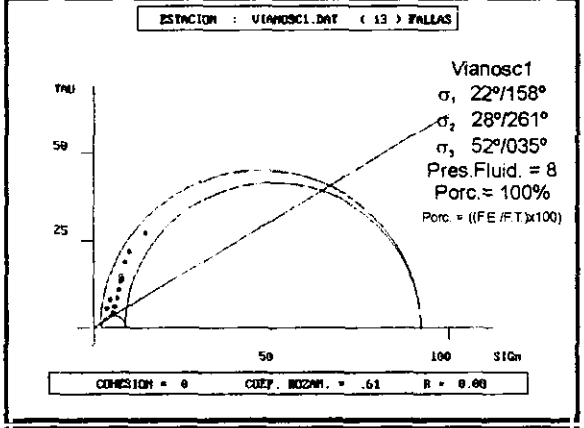
ANÁLISIS SOBRE EL CÍRCULO DE MÖHR



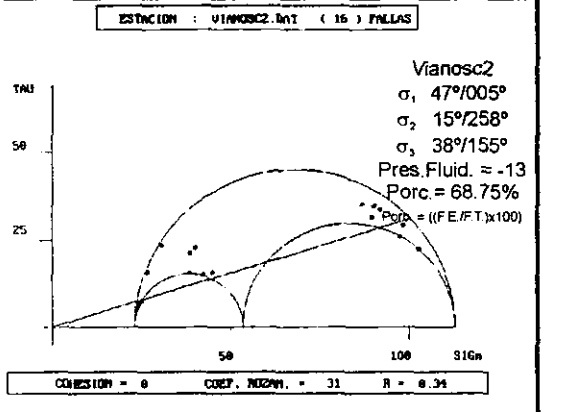
ANÁLISIS SOBRE EL CÍRCULO DE MÖHR



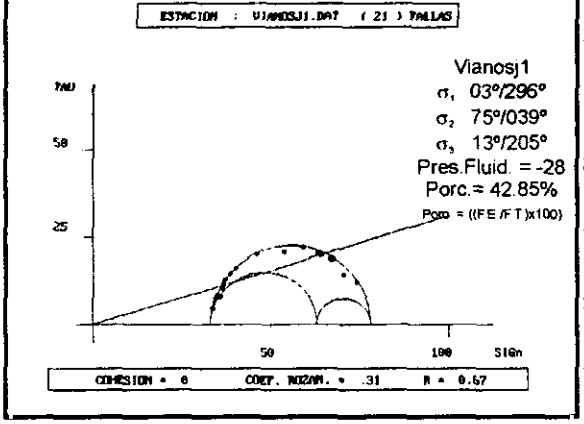
ANÁLISIS SOBRE EL CÍRCULO DE MÖHR



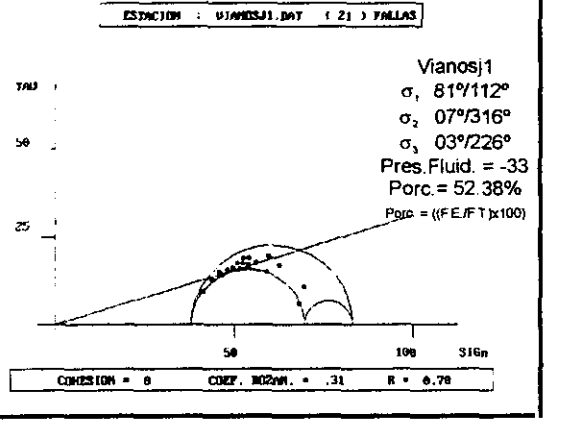
ANÁLISIS SOBRE EL CÍRCULO DE MÖHR



ANÁLISIS SOBRE EL CÍRCULO DE MÖHR

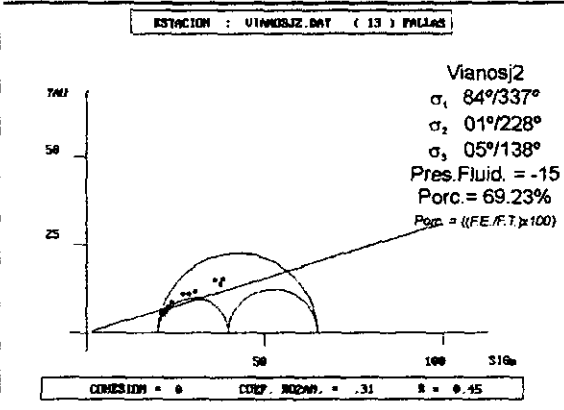


ANÁLISIS SOBRE EL CÍRCULO DE MÖHR

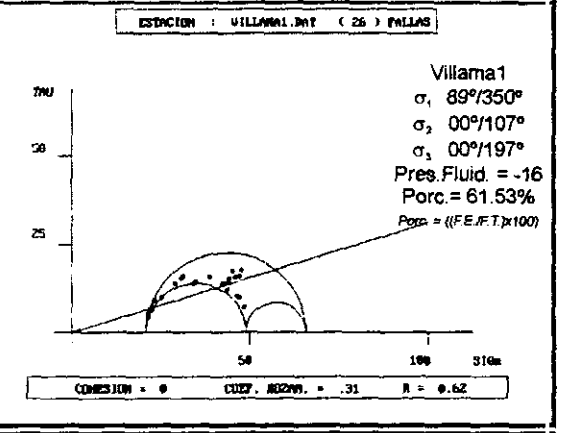


Programa *Möhr 1.1*
(Muñoz Martín, 1995)

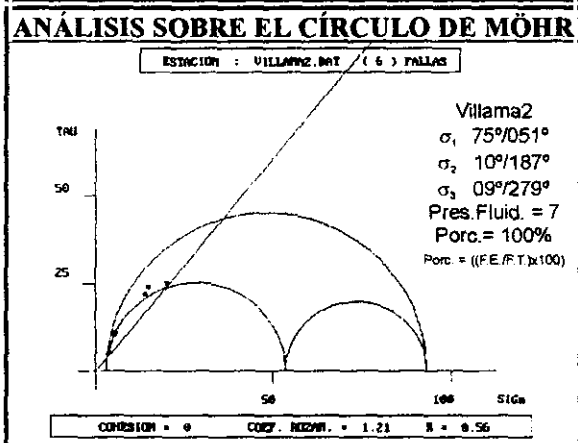
ANÁLISIS SOBRE EL CÍRCULO DE MÖHR



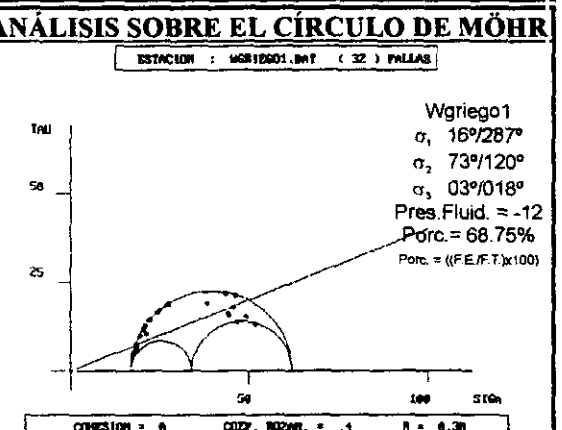
ANÁLISIS SOBRE EL CÍRCULO DE MÖHR



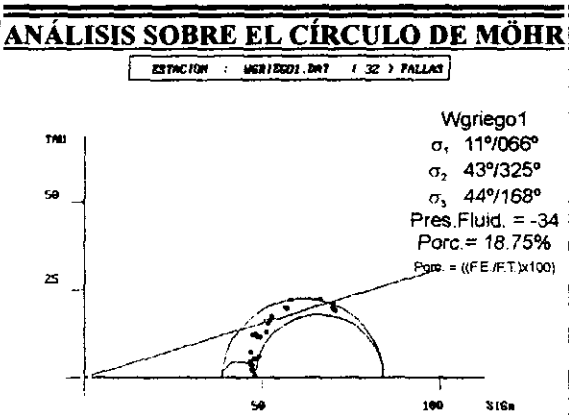
ANÁLISIS SOBRE EL CÍRCULO DE MÖHR



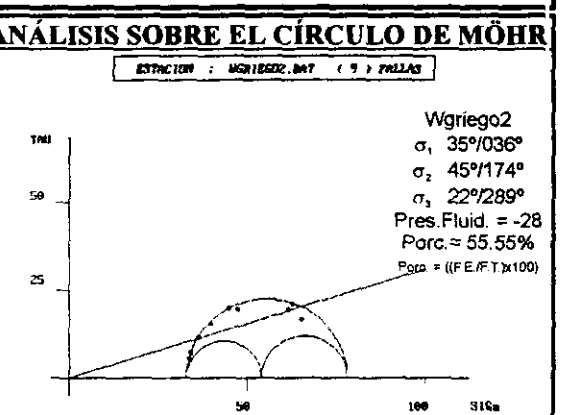
ANÁLISIS SOBRE EL CÍRCULO DE MÖHR



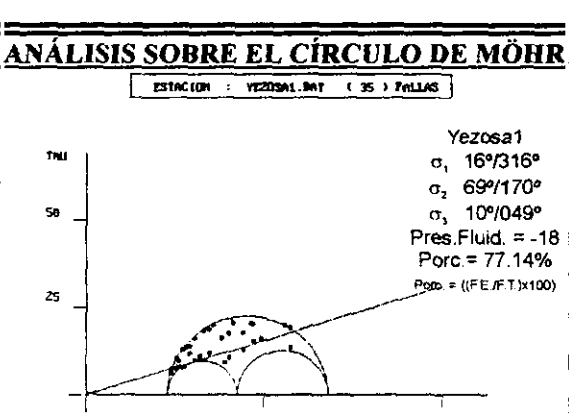
ANÁLISIS SOBRE EL CÍRCULO DE MÖHR



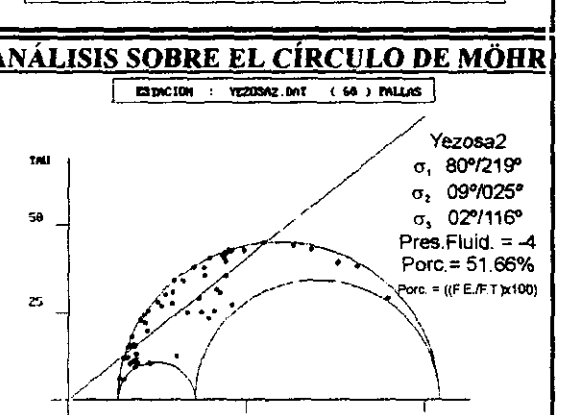
ANÁLISIS SOBRE EL CÍRCULO DE MÖHR



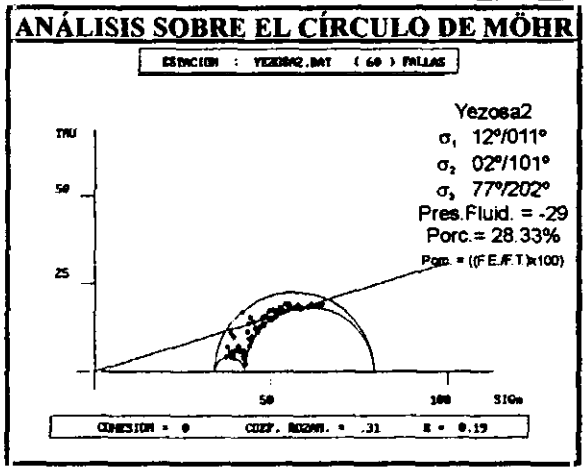
ANÁLISIS SOBRE EL CÍRCULO DE MÖHR



ANÁLISIS SOBRE EL CÍRCULO DE MÖHR



Programa Möhr 1.1
(Muñoz Martín. 1995)



ABRIR ANEXO (TOMO II) 